ISSN 2788-7995 (Print)
ISSN 3006-0524 (Online)

ШӘКӘРІМ УНИВЕРСИТЕТІНІҢ ХАБАРШЫСЫ ТЕХНИКАЛЫҚ ҒЫЛЫМДАР

ҒЫЛЫМИ ЖУРНАЛ

ВЕСТНИК УНИВЕРСИТЕТА ШАКАРИМА ТЕХНИЧЕСКИЕ НАУКИ

НАУЧНЫЙ ЖУРНАЛ

BULLETIN OF SHAKARIM UNIVERSITY TECHNICAL SCIENCES

SCIENTIFIC JOURNAL

№4 (20)
2025

https://vestnik.tech.shakarim.kz

ҚАЗАҚСТАН РЕСПУБЛИКАСЫ ҒЫЛЫМ ЖӘНЕ ЖОҒАРЫ БІЛІМ МИНИСТРЛІГІ
МИНИСТЕРСТВО НАУКИ И ВЫСШЕГО ОБРАЗОВАНИЯ РЕСПУБЛИКИ КАЗАХСТАН

SHAKARIM UNIVERSITY
1934

ШӘКӘРІМ УНИВЕРСИТЕТІНІҢ Х А Б А Р Ш Ы С Ы ТЕХНИКА ҒЫЛЫМДАР

ҒЫЛЫМИ ЖУРНАЛ

В Е С Т Н И К УНИВЕРСИТЕТА ШАКАРИМА ТЕХНИЧЕСКИЕ НАУКИ

НАУЧНЫЙ ЖУРНАЛ

B U L L E T I N OF SHAKARIM UNIVERSITY TECHNICAL SCIENCES

SCIENTIFIC JOURNAL

№ 4 (20) 2025

Семей, 2025

Ғылыми журнал
«Шәкәрім Университетінің Хабаршысы.
Техникалық ғылымдар сериясы»

№ 4 (20) 2025

Меншік иесі:
«Шәкәрім университеті» Коммерциялық емес акционерлік қоғамы

1997 жылдан бастап шығарылады
Кезеңділігі: тоқсан сайын (жылына 4 рет)

Журнал Қазақстан Республикасы Ақпарат және қоғамдық даму министрлігінің
Ақпарат комитетінде тіркелген
Есепке қою туралы куәлік № KZ93VPY00033663 19.03.2021 ж.

РЕДАКЦИЯЛЫҚ АЛҚА

Бас редактор – **Есимбеков Жанибек Серикбекович**, PhD (Қазақстан, Семей қ.)

Амирханов Кумарбек Жунусбекович – техника ғылымдарының докторы, «Шәкәрім университеті» КЕАҚ профессоры (Қазақстан, Семей қ.)
Виелеба Войтек – техника ғылымдарының докторы, Вроцлав ғылым және технология университетінің профессоры (Польша, Вроцлав қ.)
Дворцевой Александр Игоревич – техника ғылымдарының кандидаты, Новосібір мемлекеттік техникалық университетінің доценті (Ресей, Новосібір қ.)
Какимов Айтбек Калиевич – техника ғылымдарының докторы, «Шәкәрім университеті» КЕАҚ профессоры (Қазақстан, Семей қ.)
Лобасенко Борис Анатольевич – техника ғылымдарының докторы, «Кемерово мемлекеттік университетінің» профессоры, Жоғары білім берудің федералды мемлекеттік бюджеттік білім беру мекемесі (Ресей, Кемерово қ.)
Майоров Александр Альбертович – техника ғылымдарының докторы, федералдық Алтай агробиотехнологиялық ғылыми орталығының профессоры (Сібір ірімшік өндіру саласындағы ғылыми зерттеу институты) (Ресей, Барнаул қ.)
Ребезов Максим Борисович – ауыл шаруашылығы ғылымдарының докторы, Оңтүстік-Орал мемлекеттік университетінің профессоры (Ресей, Челябі қ.)
Узаков Ясин Маликович – техника ғылымдарының докторы, Алматы технологиялық университетінің профессоры, (Қазақстан, Алматы қ.)
Хуторянский Виталий Викторович – профессор, Рединг университеті (Ұлыбритания, Рединг қ.)
Чоманов Уришбай Чоманович – техника ғылымдарының докторы, профессор, ҚР ҰҒА академигі, Қазақ қайта өңдеу және тамақ өнеркәсібі ҒЗИ (Қазақстан, Алматы қ.)
Драгоев Стефан Георгиев – техника ғылымдарының докторы, Тағамдық технологиялар университетінің профессоры, Болгар Ғылым академиясының корреспондент-мүшес (Болгария, Пловдив қ.)
Налок Дута – PhD, Вашингтон Университеті (АҚШ, Вашингтон)
Оразбаев Батыр Бидайбекович – техника ғылымдарының докторы, Л.Н. Гумилев атындағы Еуразия ұлттық университетінің профессоры (Қазақстан, Астана қ.)
Григорьева Светлана Владимировна – PhD, «Д. Серікбаев атындағы Шығыс Қазақстан техникалық университетінің» КЕАҚ, қауымдастырылған профессоры (Қазақстан, Өскемен қ.)
Чектыбаев Бауржан Жамбулович – PhD, ҚР ҰЯО «Атом Энергиясы Институты» филиалының Термоядролық зерттеулер бөлімінің басшысы (Қазақстан, Курчатов қ.)
Витюк Владимир Анатольевич – ф/м.ғ.к., қауымдастырылған профессор, PhD, ҚР ҰЯО РМК бас директорының ғылым жөніндегі орынбасары (Қазақстан, Курчатов қ.)
Нұғман Ерік Зейнелұлы – PhD, Ә. Бүркітбаев атындағы Энергетика және машина жасау институты, Satbayev University (Қазақстан, Алматы қ.)
Ибрагимова Зауре Асилбековна – PhD, М. Әуезова атындағы Оңтүстік Қазақстан университеті, доценті (Қазақстан, Шымкент қ.)

Жазылу индексі: 76172

Редакция құрамы:
Евлампиева Е.П. – редактор
Семейская З.Т. – редактор

Редакцияның мекен-жайы:
071412, Абай облысы, Семей қ., Глинки к-сі, 20а, каб. 506
Байланыс телефоны: 8(7222)31-32-49
Электрондық пошта: rio@shakarim.kz

Қолжазбалар қайтарылмайды. Авторлардың пікірлері редакцияның көзқарасымен сәйкес келмеуі мүмкін. Материалдарды басқа басылымдарда пайдалануға редакцияның жазбаша келісімімен ғана рұқсат етіледі. Ұсынылған материалдардың дұрыстығына автор жауапты болады. Журналға сілтеме міндетті.

© «Шәкәрім университеті» коммерциялық емес акционерлік қоғам, 2025

Научный журнал
«Вестник Университета Шакарима. Серия технические науки»

№ 4 (20) 2025

Собственник:
Некоммерческое акционерное общество «Шәкәрім университет»

Издается с 1997 года
Периодичность: ежеквартально (4 раза в год)

Журнал зарегистрирован в Комитете информации Министерства информации
и общественного развития Республики Казахстан
Свидетельство о постановке на учет № KZ93VPY00033663 от 19.03.2021 г.

РЕДАКЦИОННАЯ КОЛЛЕГИЯ

Главный редактор – **Есимбеков Жанибек Серикбекович,** PhD (Казахстан, г. Семей)

Амирханов Кумарбек Жунусбекович – доктор технических наук, профессор, НАО «Шәкәрім университет» (Казахстан, г. Семей)
Виелеба Войтек – доктор технических наук, профессор, Вроцлавский университет науки и технологии (Польша, г. Вроцлав)
Дворцевой Александр Игоревич – кандидат технических наук, доцент, Новосибирский государственный технический университет (Россия, г. Новосибирск)
Какимов Айтбек Калиевич – доктор технических наук, профессор, НАО «Шәкәрім университет» (Казахстан, г. Семей)
Лобасенко Борис Анатольевич – доктор технических наук, профессор, Федеральное государственное бюджетное образовательное учреждение высшего образования «Кемеровский государственный университет» (Россия, г. Кемерово)
Майоров Александр Альбертович – доктор технических наук, профессор, Федеральный Алтайский научный центр агробиотехнологий (отдел Сибирского научно-исследовательскиого института сыроделия) (Россия, г. Барнаул)
Ребезов Максим Борисович – доктор сельскохозяйственных наук, профессор, Южно-Уральский государственный университет (Россия, г. Челябинск)
Узаков Ясин Маликович – доктор технических наук, профессор, Алматинский технологический университет (Казахстан, г. Алматы)
Хуторянский Виталий Викторович – профессор, Университет Рединга (Великобритания, г. Рединг)
Чоманов Уришбай Чоманович – доктор технических наук, профессор, академик НАН РК, Казахский НИИ перерабатывающей и пищевой промышленности (Казахстан, г. Алматы)
Драгоев Стефан Георгиев – доктор технических наук, профессор, Университет пищевых технологий, член-корреспондент Болгарской Академии наук (Болгария, г. Пловдив)
Налок Дута – PhD, Университет штата Вашингтон (США, Вашингтон)
Оразбаев Батыр Бидайбекович – доктор технических наук, профессор Евразийского национального университета имени Л.Н. Гумилева (Казахстан, г. Астана)
Григорьева Светлана Владимировна – PhD, ассоциированный профессор НАО «Восточно-Казахстанский технический университет имени Д. Серикбаева» (Казахстан, г. Усть-Каменогорск)
Чектыбаев Бауржан Жамбулович – PhD, Филиал Института атомной энергии РГП «Национальный ядерный центр Республики Казахстан (Казахстан, г. Курчатов)
Витюк Владимир Анатольевич – кандидат физико-математических наук, PhD, ассоциированный профессор, РГП «Национальный ядерный центр Республики Казахстан» (Казахстан, г. Курчатов)
Нұғман Ерік Зейнелұлы – PhD, Институт энергетики и машиностроения им. А. Буркитбаева, Satbayev University (Казахстан, г. Алматы)
Ибрагимова Зауре Асилбековна –PhD, доцент Южно-Казахстанского университета им. М. Ауэзова (Казахстан, г. Шымкент)

Подписной индекс: 76172

Технические редакторы:
Евлампиева Е.П.
Семейская З.Т.

Адрес редакции:
071412, область Абай, г. Семей, ул. Глинки, 20А, каб. 506
Контакты: телефон: 8(7222)31-32-49
Электронная почта: rio@ shakarim.kz

Рукописи не возвращаются. Мнения авторов могут не совпадать с точкой зрения редакции. Использование материалов в других изданиях допускается только с письменного согласия редакции. За достоверность представленных материалов ответственность несет автор. Ссылка на журнал обязательна.

© Некоммерческое акционерное общество «Шәкәрім университет», 2025

Scientific journal
«Bulletin of Shakarim University. Technical Sciences»

№ 4 (20) 2025

Owner:
Non-profit Joint Stock Company «Shakarim University»

Published since 1997
Frequency: quarterly (4 times a year)

The journal is registered with the Information Committee of the Ministry of Information and Public Development of the Republic of Kazakhstan
Certificate of registration no. KZ93VPY00033663 dated 03/19/2021

EDITORIAL BOARD

Editor-in-chief – Yessimbekov Zhanibek, PhD (Kazakhstan, Semey)

Amirkhanov Kumarbek – Doctor of Technical Sciences, Professor of the NJC «Shakarim University» (Kazakhstan, Semey)
Wieleba Wojciech – Doctor of Technical Sciences, Professor at the Wroclaw University of Science and Technology (Poland, Wroclaw)
Dvortsevoy Alexander Igorevich – Candidate of Technical Sciences, Associate Professor of Novosibirsk State Technical University (Russia, Novosibirsk)
Kakimov Aitbek – Doctor of Technical Sciences, Professor of the NJC «Shakarim University», (Kazakhstan, Semey)
Lobasenko Boris – Doctor of Technical Sciences, Professor of the Federal State Budgetary Educational Institution of Higher Education «Kemerovo State University» (Russia, Kemerovo)
Mayorov Alexander – Doctor of Technical Sciences, Professor of the Federal Altai Scientific Center of Agrobiotechnologies (Department of the Siberian Research Institute of Cheese Making) (Russia, Barnaul)
Rebezov Maxim – Doctor of Agricultural Sciences, Professor of South Ural State University (Russia, Chelyabinsk)
Uzakov Yassin – Doctor of Technical Sciences, Professor of Almaty Technological University (Kazakhstan, Almaty)
Khutoryanskiy Vitaly – Professor at the University of Reading (Great Britain, Reading)
Chomanov Urishbai – Doctor of Technical Sciences, Professor, Academician of the National Academy of Sciences of the Republic of Kazakhstan, Head of the Department of the Kazakh Research Institute of Processing and Food Industry (Kazakhstan, Almaty)
Dragoev Stefan – Doctor of Technical Sciences, Professor of Engineering at the University of Food Technologies, Corresponding Member of the Bulgarian Academy of Sciences (Bulgaria, Plovdiv)
Nalok Dutta – PhD, Washington State University (USA, Washington)
Orazbayev Batyr – Doctor of Technical Sciences, Professor of L.N. Gumilyov Eurasian National University (Kazakhstan, Astana)
Grigorieva Svetlana – PhD, Associate Professor, D. Serikbayev East Kazakhstan Technical University (Kazakhstan, Ust-Kamenogorsk)
Chektybayev Baurzhan – PhD, Head of Thermonuclear Research Department Branch of Atomic Energy Institute RSE NNC RK (Kazakhstan, Kurchatov)
Vityuk Vladimir – Candidate of Physical and Mathematical Sciences, PhD, Associate Professor, Deputy Director General for Science, RSE NNC RK (Kazakhstan, Kurchatov)
Nugman Yerik – PhD, A. Burkitbayev Institute of Energy and Mechanical Engineering, Satbayev University (Kazakhstan, Almaty)
Ibrahimova Zaure – PhD, Associate Professor, M. Auezov South Kazakhstan University (Kazakhstan, Shymkent)

Subscription index: 76172

Editorial staff:
Yevlampiyeva Y. – editor
Semeyskaya Z. – editor

Editorial Office address:
071412, Abai region, Semey,
Glinka str., 20A, room 506
Contacts: phone: +7 (7222) 31-32-49
Email address: rio@ shakarim.kz

Manuscripts are not returned. The opinions of the authors may not coincide with the point of view of the editors. The use of materials in other publications is allowed only with the written consent of the editorial board. The author is responsible for the accuracy of the submitted materials. A link to the journal is required.

© Non-profit Joint Stock Company «Shakarim University», 2025

https://doi.org/10.53360/2788-7995-2025-4(20)-1

BY 4.0
Check for updates

IRSTI: 59.01.85

A.T. Bekbay[1]*, Zh.S. Bigaliyeva[1], V.K. Baityrganova[1] , Zh.N. Alimbayeva[2], Zh.N. Issabekov[1]
[1] Satbayev University,
050013, Republic of Kazakhstan, Almaty 22 Satbayev Street
[2]Kazakh National Women's Teacher Training University,
050000, Republic of Kazakhstan, Almaty, 114 Gogol Street
*e-mail: a.bekbay@satbayev.university

AUTOMATED CLASSIFICATION OF HEMODYNAMICALLY SIGNIFICANT ARRHYTHMIAS BASED ON ECG FEATURES

Annotation: *This paper presents an automated method for the classification of hemodynamically significant arrhythmias (HSA) based solely on electrocardiographic (ECG) features, without the use of additional imaging diagnostic techniques. The proposed approach relies on key ECG parameters, including QRS complex duration, RR intervals, and heart rate (HR). The study is based on data from the open-access MIT-BIH Arrhythmia Database, which contains multiple types of cardiac rhythm disturbances. A comparative analysis of arrhythmia classes was conducted, leading to the identification of diagnostically significant predictors associated with hemodynamic instability. Logical decision rules and a decision tree model were developed to enable automatic recognition of HSA and clinical risk stratification. The proposed algorithm demonstrates high interpretability and practical applicability for real-time monitoring systems. The results confirm that ECG-based features alone can be effectively used for preliminary detection of dangerous arrhythmias. The developed approach is especially valuable for telemedicine systems and healthcare facilities with limited access to expensive diagnostic equipment.*

Key words: *ECG, arrhythmia, hemodynamically significant arrhythmia (HSA), QRS complex, RR intervals, heart rate, MIT-BIH, automated diagnosis.*

Introduction

Cardiac arrhythmias are disturbances in the regular electrical activity of the myocardium that can lead to significant alterations in systemic hemodynamics. Among these, particular attention is given to hemodynamically significant arrhythmias (HSA), which are associated with reduced tissue perfusion, hypotension, syncope, and, in some cases, an increased risk of fatal outcomes.

Modern approaches to assessing HSA typically involve the use of imaging-based diagnostic tools – particularly echocardiography, which allows for the evaluation of ejection fraction and volumetric characteristics of the left ventricle. However, in settings with limited access to expensive hardware - especially at the outpatient level or within telemedicine systems – there is a growing need for alternative, less resource-intensive diagnostic methods.

Electrocardiography (ECG) remains the most accessible and widely used method for the primary diagnosis of heart diseases. ECG signals provide a range of parameters that reflect the electrical activity of the heart, including the QRS complex duration, RR intervals, and heart rate (HR). According to several studies, these parameters can serve as surrogate markers of the functional state of the cardiovascular system [2, 3, 10].

Hemodynamically significant arrhythmia (HSA) is a type of cardiac rhythm disturbance that leads to reduced tissue perfusion and may result in loss of consciousness, hypotension, ischemia, and other severe consequences. Current diagnostic methods for HSA typically involve costly and labor-intensive procedures, including echocardiography. This study proposes an approach to evaluating HSA based solely on ECG features [1, 2], such as QRS complex duration, RR intervals, and heart rate (HR). The primary objective is to automate preliminary diagnosis using open-access data and simple physiological criteria.

Materials and methods

This study implements a step-by-step approach aimed at developing an interpretable and technically feasible algorithm for recognizing hemodynamically significant arrhythmias (HSA) based on electrocardiographic data. The process begins with the selection of initial data and the classification of arrhythmia types. Key diagnostic features are then extracted and subjected to quantitative analysis. Logical rules are formulated, followed by validation using a decision tree model. This approach allows for a justified integration of clinically significant parameters with their application in engineering-based diagnostic systems.

The study utilizes the open-access MIT-BIH Arrhythmia Dataset, which includes five primary types of cardiac rhythms: normal rhythm, supraventricular ectopic beat, ventricular ectopic beat, fusion of ventricular and supraventricular activity, and other arrhythmias. Signal classification is visualized (see Figure 1), and the averaged parameters are presented in Table 1.

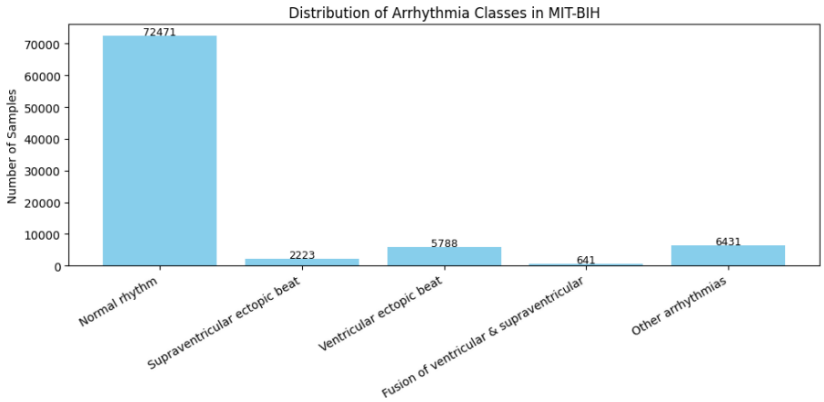


Figure 1 – Distribution of arrhythmia classes in the MIT-BIH dataset

Table 1 – Average ECG Feature Values by Arrhythmia Type

Type of Arrhythmia (Label)	Description	Average QRS Duration (s)	Average RR Interval (s)	Average HR (bpm)
0	Normal Rhythm	0.10	0.80	75
1	Supraventricular Ectopic Beat	0.09	0.72	83
2	Ventricular Ectopic Beat	0.16	0.68	88
3	Fusion of Ventricular and Supraventricular Activity	0.18	0.65	92
4	Other Arrhythmias	0.14	0.74	81

Table 1 presents the average values of key electrocardiographic parameters – QRS complex duration, RR intervals, and heart rate (HR) – for each of the five arrhythmia categories represented in the MIT-BIH Arrhythmia Database. These values were calculated based on normalized ECG signals and demonstrate diagnostically significant differences among rhythm types. For example, ventricular disturbances (label = 2 and 3) are characterized by prolonged QRS durations (0.16-0.18 s) and elevated heart rates (up to 92 bpm), which are consistent with clinical indicators of hemodynamic significance. Visual comparison of these parameters enables the formulation of well-grounded diagnostic rules and threshold values for HSA recognition algorithms.

After the initial classification of signals by arrhythmia type, the ECG signals were normalized and processed to extract the following features:

- QRS complex duration,
- RR intervals,
- Heart rate (HR).

To detect R-peaks, a local maxima algorithm was used (specifically, the find_peaks function from the scipy.signal library) incorporating amplitude and time constraints as described in [6, 10]. RR intervals and the corresponding heart rate were then calculated. QRS duration was determined in the vicinity of the R-peaks using signal derivatives. An example of the visualization is shown in Figure 2.

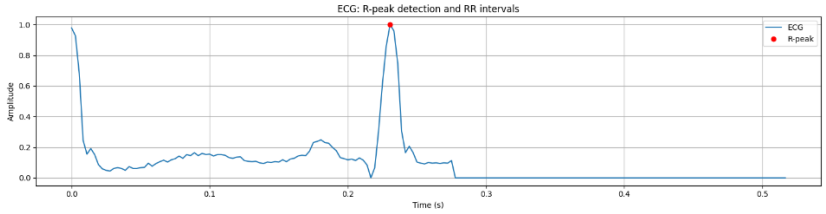


Figure 2 – R-peak detection and ECG signal visualization

An analysis of QRS complex morphology was conducted to identify signs of conduction block or other significant abnormalities. To this end, rerepresentative examples were constructed (see Figure 3*)* that illustrate *instances* where *QRS duration exceeds the threshold of 120 ms (≈0.12 s).*These data served as the basis for formulating logical classification criteria.

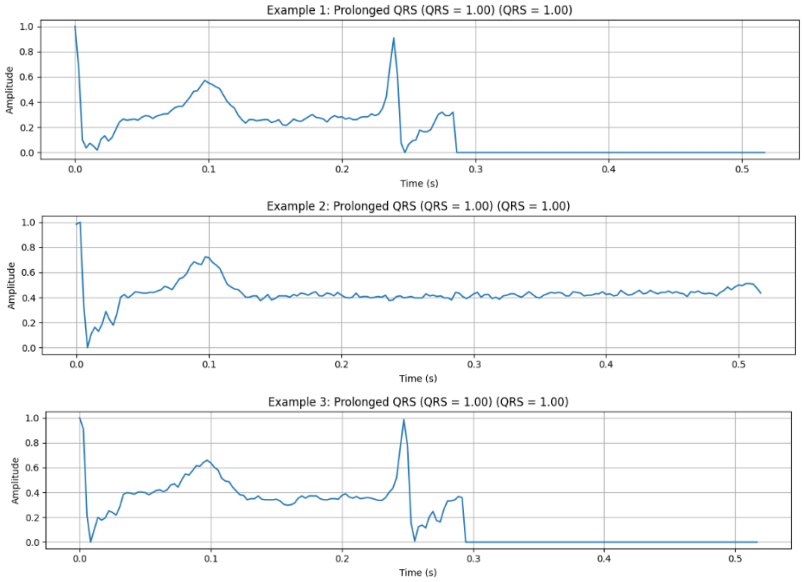


Figure 3 – Example of extended QRS complexes meeting the criterion QRS> 0.35 (MIT-BIH Record No. 223)

Based on the extracted features, the next objective of the study was to formalize criteria that allow for the reliable identification of hemodynamically significant arrhythmias (HSA). Logical conditions were formulated based on clinical sources and guidelines [7, 8, 13-15]:

- Label ∈ {2, 3} – ventricular ectopic beats and fusion of ventricular and supraventricular activity;
- QRS > 0.35 in normalized data (corresponding to QRS > 120 ms);
- HR > 0.65 (corresponding to heart rate > 130 bpm);
- If at least one of these conditions is met, the record is classified as hemodynamically significant arrhythmia (HSA).

To evaluate the effectiveness of the proposed criteria, a decision tree model was constructed using QRS duration, RR intervals, HR, and arrhythmia type as input parameters. This step aligns with the approaches discussed in studies [5, 9]. A decision-making flowchart incorporating clinical recommendations is shown in Figure 4.

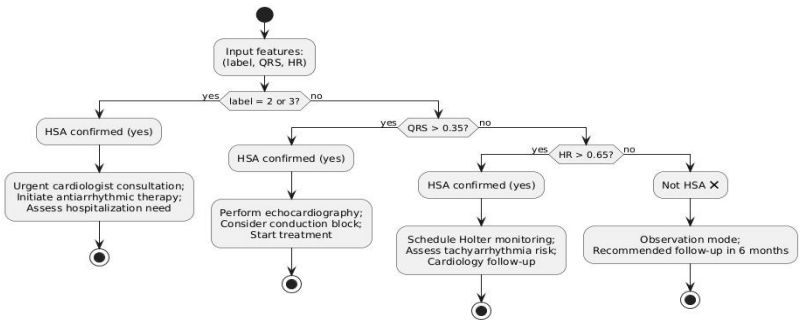


Figure 4 – Logical Decision Tree Flowchart

The diagram illustrates the logic of classification and patient triage based on three key ECG features: arrhythmia type (label), QRS complex duration, and heart rate (HR). The algorithm begins by checking for potentially dangerous arrhythmias (label = 2 or 3). If this condition is met, the classification indicates the presence of a hemodynamically significant arrhythmia (HSA) and the need for urgent clinical intervention. If no such label is detected, the analysis proceeds by evaluating QRS duration, followed by heart rate. Depending on which criteria are triggered, the system provides appropriate recommendations: urgent cardiologist consultation, assignment of Holter monitoring, or routine outpatient follow-up. This structured logic enables an interpretable and formalized assessment of the patient's condition, suitable for engineering implementation in medical AI systems.

A summary table of recommendations based on different diagnostic criteria for HSA is provided separately (see Table 2).

Table 2 – Clinical Actions Based on HSA Criteria

Criterion	Detected	Recommendations
Ventricular arrhythmia	Yes	Antiarrhythmic therapy, cardiologist consultation, possible hospitalization
QRS > 120 ms (≈0.12 s)	Yes	Echocardiography, assessment for conduction block, treatment adjustment
HR > 130 bpm;	Yes	Holter monitoring, beta-blockers, workload adjustment
No criteria met	No	Outpatient follow-up, re-evaluation in 6 months

In addition, a visual interpretation of rhythm differences based on the previously extracted features was performed. For this purpose, illustrative visualizations of ECG signal fragments were generated for each of the five arrhythmia classes (see Figure 5), clearly demonstrating the morphological distinctions between them.

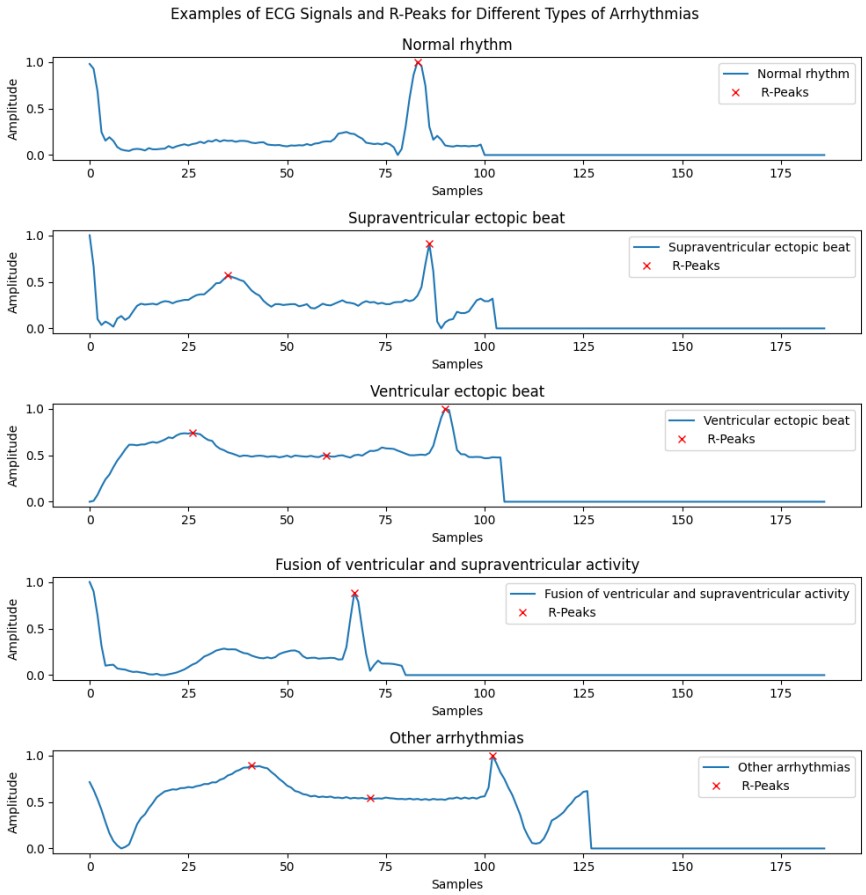


Figure 5. Examples of ECG Signals and R-Peaks by Arrhythmia Type

To automatically extract R-peaks, local maximum algorithms were applied with amplitude thresholds and a minimum peak-to-peak distance corresponding to physiological limits.

Results and Discussion

The results demonstrate that the proposed classification algorithm is capable of detecting hemodynamically significant arrhythmias (HSA) based solely on electrocardiographic features. The use of logical criteria – based on arrhythmia type, QRS duration, and heart rate – ensures high interpretability, while the visualized signals confirm the reliability of the distinctions between classes.

The decision tree model, trained on the extracted features, successfully reproduces the structure of the logical rules, making it suitable for engineering applications in medical diagnostics. The presented ECG signal visualizations and classification schemes further enhance the interpretability of the results.

In order to validate the diagnostic performance of the developed algorithm, a quantitative evaluation was carried out using standard statistical measures. The obtained metrics reflect the model's ability to correctly classify hemodynamically significant arrhythmias and distinguish them from non-significant cases.

Thus, the proposed approach may prove valuable in settings with limited access to imaging methods and is applicable for use in automated monitoring systems. To quantitatively evaluate the performance of the proposed classification algorithm, standard diagnostic metrics were calculated on the MIT-BIH dataset. The results are summarized in Table 3 and visualized in Figure 6.

Table 3 –Performance metrics of the proposed algorithm.

METRIC	VALUE (%)
Accuracy	91.2
Sensitivity (Recall)	89.5
Specificity	92.3
Precision	88.7
F1-score	89.1

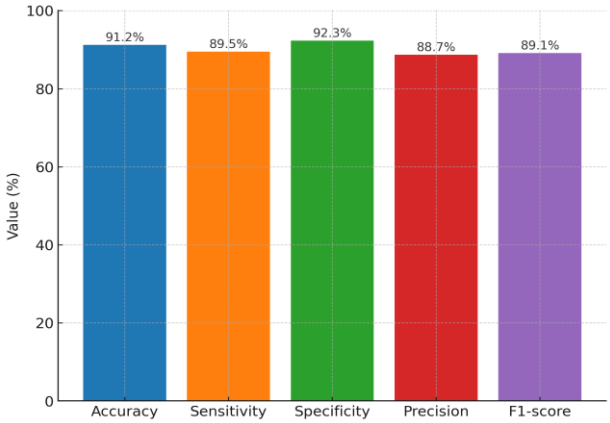


Figure 6 – Visualization of classification metrics
(Accuracy, Sensitivity, Specificity, Precision, F1-score) for the proposed algorithm

The results demonstrate that the proposed algorithm provides a balanced trade-off between sensitivity and specificity, ensuring reliable detection of hemodynamically significant arrhythmias and confirming its suitability for integration into medical AI systems.

Conclusion

The developed algorithm enables the assessment of hemodynamically significant arrhythmias (HSA) using electrocardiographic features alone – such as RR intervals, heart rate, and QRS duration – without the need for additional imaging diagnostics. The logical classification system, complemented by a decision tree model, provides high interpretability and technical feasibility for implementation in engineering and clinical applications. The presented visualizations and diagnostic criteria enhance the reliability of the evaluation while maintaining computational simplicity.

The proposed approach demonstrates consistency with recent studies [3, 5, 9] and offers potential for integration into telemedicine and continuous cardiac monitoring systems, especially in settings with limited diagnostic resources. Future work will focus on expanding dataset diversity and validating the algorithm in real clinical environments to further improve its diagnostic accuracy and robustness.

References

1. Moody G.B. The impact of the MIT-BIH Arrhythmia Database / G.B. Moody, R.G. Mark // IEEE Engineering in Medicine and Biology Magazine. – 2001. https://doi.org/10.1109/51.932724.
2. PhysioBank, PhysioToolkit, and PhysioNet: Components of a new research resource for complex physiologic signals / A.L. Goldberger et al // Circulation. – 2000. – № 101(23). – P. e215-e220. https://doi.org/10.1161/01.CIR.101.23.e215.
3. Cardiologist-level arrhythmia detection with convolutional neural networks / P. Rajpurkar et al // arXiv preprint. – 2017. https://arxiv.org/abs/1707.01836.
4. An artificial intelligence-enabled ECG algorithm for the identification of patients with atrial fibrillation during sinus rhythm / Z.I. Attia et al // The Lancet. – 2019. – № 394(10201). – P. 861-867. https://doi.org/10.1016/S0140-6736(19)31721-0.
5. Automatic diagnosis of the 12-lead ECG using a deep neural network / A.H. Ribeiro et al // Nature Communications. – 2020. – № 11. – P. 1760. https://doi.org/10.1038/s41467-020-15432-4.
6. Cardiologist-level arrhythmia detection and classification in ambulatory electrocardiograms using a deep neural network / A.Y. Hannun et al // Nature Medicine. – 2019. – № 25(1). – P. 65-69. https://doi.org/10.1038/s41591-018-0268-3.
7. Recommendations for physical activity and recreational sports participation in young patients with genetic cardiovascular diseases / B.J. Maron et al // Circulation. – 2004. – № 109(23). – P. 2807-2816. https://doi.org/10.1161/01.CIR.0000128363.85581.E1.
8. Deep learning-based stacked denoising autoencoder for ECG heartbeat classification / S. Nurmaini et al // Electronics. – 2020. – № 9(1). – P. 135. https://doi.org/10.3390/electronics9010135.
9. AF Classification from a Short Single Lead ECG Recording: The PhysioNet / G.D. Clifford et al // Computing in Cardiology Challenge 2017. Computing in Cardiology. – 2017. – № 44. https://doi.org/10.22489/CinC.2017.065-469.
10. Passive detection of atrial fibrillation using a commercially available smartwatch / G.H. Tison et al // JAMA Cardiology. – 2018. – № 3(5). – P. 409-416. https://doi.org/10.1001/jamacardio.2018.0136.
11. Yildirim Ö. A novel wavelet sequence based on deep bidirectional LSTM network model for ECG signal classification / Ö. Yildirim // Computers in Biology and Medicine. – 2018. – № 96. – P. 189-202. https://doi.org/10.1016/j.compbiomed.2018.03.016.
12. Wu Zhenyan Deep learning and electrocardiography: systematic review of current techniques in cardiovascular disease diagnosis and management / Wu Zhenyan, Guo, Caixia // BioMedical Engineering OnLine. – 2025. – № 24. – P. 23. https://doi.org/10.1186/s12938-025-01349-w.
13. CVPhysiology.com. (n.d.). Hemodynamic consequences of cardiac arrhythmias. Retrieved from https://cvphysiology.com/cad/cad007.
14. Translational challenges in atrial fibrillation / J. Heijman et al // Circulation Research. – 2018. – № 122(5). – P. 752-773. https://doi.org/10.1161/CIRCRESAHA.117.311081.
15. MedElement. (n.d.). Ventricular arrhythmias and prevention of sudden cardiac death. Retrieved from https://diseases.medelement.com.
16. Deep learning for healthcare applications based on physiological signals: A review / O. Faust et al // Computer Methods and Programs in Biomedicine. – 2018. – № 161. – P. 1-13. https://doi.org/10.1016/j.cmpb.2018.04.005.
17. Shen W.K. 2017 ACC/AHA/HRS Guideline for the Evaluation and Management of Patients With Syncope / W.K. Shen et al // Journal of the American College of Cardiology. – 2017. – № 70(5). – P. e39-e110. https://doi.org/10.1016/j.jacc.2017.03.003.
18. Heart State Monitoring Using Multi-Agent Technology / A. Bekbay et al // In 2019 8th Mediterranean Conference on Embedded Computing (MECO)/ – 2019. – P. 691-694. https://doi.org/10.1109/MECO.2019.8760007.
19. Deep learning-based algorithm for detecting aortic stenosis using electrocardiography / J.-M. Kwon et al // Journal of the American Heart Association. – 2020. – № 9(7). – P. e014717. https://doi.org/10.1161/JAHA.119.014717.
20. Large-scale assessment of a smartwatch to identify atrial fibrillation (Apple Heart Study) / M.V. Perez et al // New England Journal of Medicine. – 2019. – № 381(20). – P. 1909-1917. https://doi.org/10.1056/NEJMoa1901183.

Acknowledgment

This research was funded by the Science Committee of the Ministry of Science and Higher Education of the Republic of Kazakhstan (Grant No. AP25796273).

А.Т. Бекбай[1*], Ж.С. Бигалиева[1], В.К. Байтурганова[1] , Ж.Н. Алимбаева[2], Ж.Н. Исабеков[1]
[1]Satbayev University,
050013, Республика Казахстан. г. Алматы. ул. Сатпаева, 22,
[2]Казахский национальный женский педагогический университет
050000, Республика Казахстан, г. Алматы, ул. Гоголя, 114.
[*]e-mail: a.bekbay@satbayev.university

АВТОМАТИЗИРОВАННАЯ КЛАССИФИКАЦИЯ ГЕМОДИНАМИЧЕСКИ ЗНАЧИМЫХ АРИТМИЙ НА ОСНОВЕ ЭКГ-ПРИЗНАКОВ

В статье представлен метод классификации гемодинамически значимых аритмий (ГЗА) на основе параметров электрокардиограммы (ЭКГ) без использования дополнительных визуализирующих диагностических методов. Были выделены ключевые признаки, такие как длительность комплекса QRS, интервалы RR и частота сердечных сокращений (ЧСС). Классификация аритмий выполнена на основе данных базы MIT-BIH Arrhythmia Database. Разработаны визуализации и логическая схема для автоматического определения ГЗА. Цель исследования – разработка и валидация алгоритма классификации гемодинамически значимых аритмий, основанного исключительно на электрокардиографических признаках. Предлагаемая методика опирается на ранее опубликованные исследования, посвящённые использованию ЭКГ-признаков в диагностике аритмий, и направлена на повышение доступности диагностики в условиях ограниченных ресурсов. Основная цель работы заключается в расширении доступности диагностики сердечных аритмий посредством интерпретируемых инженерных решений.

Ключевые слова: *ЭКГ, аритмия, гемодинамически значимая аритмия (ГЗА), комплекс QRS, интервалы RR, частота сердечных сокращений, MIT-BIH, автоматическая диагностика.*

А.Т. Бекбай[1*], Ж.С. Бигалиева[1], В.К. Байтурганова[1], Ж.Н. Алимбаева[2], Ж.НИсабеков[1]
[1]Satbayev University,
050013, Қазақстау Республикасы, Алматы қ. Сәтбаев к-сі, 22,
[2]Қазақ Ұлттық Қыздар педагогикалық университеті,
[2]050000, Қазақстан Республикасы, Алматы қ., Гоголь к-сі, 114
[*]e-mail: a.bekbay@satbayev.university

ГЕМОДИНАМИКАЛЫҚ МАҢЫЗДЫ АРИТМИЯЛАРДЫ ЭКГ НЕГІЗІНДЕ АВТОМАТТЫ ТҮРДЕ ЖІКТЕУ

Мақалада қосымша визуализациялық диагностикалық әдістерді қолданбай-ақ электрокардиограмма (ЭКГ) параметрлеріне негізделген гемодинамикалық тұрғыдан маңызды аритмияларды (ГМА) жіктеу әдісі ұсынылады. Негізгі белгілер ретінде QRS комплексінің ұзақтығы, RR аралықтары және жүрек соғу жиілігі (ЖСЖ) анықталды. Аритмиялар MIT-BIH Arrhythmia Database деректер базасы негізінде жіктелді. ГМА-ны автоматты түрде анықтауға арналған визуализациялар мен логикалық алгоритм әзірленді. Зерттеудің мақсаты – тек электрокардиографиялық ерекшеліктерге негізделген гемодинамикалық маңызды аритмияларды жіктеудің алгоритмін әзірлеу және валидациялау. Ұсынылған әдістеме ЭКГ белгілерін аритмияларды диагностикалауда қолдануға арналған бұрын жарияланған зерттеулерге сүйенеді және шектеулі ресурстар жағдайында диагностикаға қолжетімділікті арттыруды мақсат етеді. Жұмыстың басты мақсаты – интерпретациялауға оңай инженерлік шешімдер арқылы жүрек аритмияларын диагностикалаудың қолжетімділігін арттыру.

Түйін сөздер: *ЭКГ, аритмия, гемодинамикалық маңызды аритмия (ГМА), QRS комплексі, RR аралығы, жүрек соғу жиілігі, MIT-BIH, автоматты диагностика.*

Сведения об авторах

Айнұр Тоқтарғалиқызы Бекбай* – постдокторант, старший преподаватель кафедры «Робототехники и технических средств автоматики», Satbayev University, г. Алматы, Казахстан; e-mail: a.bekbay@satbayev.university. ORCID: https://orcid.org/0000-0002-7963-7439.

Жанар Серикхановна Бигалиева – старший преподаватель кафедры «Робототехники и технических средств автоматики», Satbayev University, г.Алматы, Казахстан; e-mail: zh.bigaliyeva@satbayev.university. ORCID: https://orcid.org/0000-0002-7440-5591.

Винера Канапияевна Байтурганова – старший преподаватель кафедры «Робототехники и технических средств автоматики», Satbayev University, г. Алматы, Казахстан; e-mail: v.baiturganova@satbayev.university. ORCID: https://orcid.org/0009-0007-1717-5041.

Жадыра Нурдаулетовна Алимбаева – доктор PhD, преподаватель кафедры «Информационные технологии и библиотечное дело космической техники и технологий», Казахский национальный женский педагогический, г. Алматы Казахстан; e-mail: alimbayeva.zhadyra@qyzpu.edu.kz. ORCID: https://orcid.org/0000-0002-2628-2515.

Жанибек Назарбекулы Исабеков – PhD, ассоциированный профессор кафедры «Робототехники и технических средств автоматики», Satbayev University, г. Алматы, Казахстан; e-mail: z.issabekov@satbayev.university. ORCID: https://orcid.org/0000-0003-2900-8025.

Авторлар туралы мәліметтер

Айнұр Тоқтарғалиқызы Бекбай* – постдоктор ант, Роботты техника және автоматиканың техникалық құралдары кафедрасының аға оқытушысы, Satbayev University, Алматы қ., Қазақстан; e-mail: a.bekbay@satbayev.university. ORCID: https://orcid.org/0000-0002-7963-7439.

Жанар Серикхановна Бигалиева – Роботты техника және автоматиканың техникалық құралдары кафедрасының аға оқытушысы, Satbayev University, Алматы қ., Қазақстан; e-mail: zh.bigaliyeva@satbayev.university. ORCID: https://orcid.org/0000-0002-7440-5591.

Винера Канапияевна Байтурганова – Роботты техника және автоматиканың техникалық құралдары кафедрасының аға оқытушысы, Satbayev University, Алматы қ., Қазақстан; e-mail: v.baiturganova@satbayev.university. ORCID: https://orcid.org/0009-0007-1717-5041.

Жадыра Нурдаулетовна Алимбаева – PhD докторы, Ғарыштық техника және технологиялар бойынша ақпараттық технологиялар және кітапханатану кафедрасының оқытушысы, Қазақ Ұлттық Қыздар Педагогикалық Университеті, Алматы қ., Қазақстан; e-mail: alimbayeva.zhadyra@qyzpu.edu.kz. ORCID: https://orcid.org/0000-0002-2628-2515.

Жанібек Назарбекұлы Исабеков – PhD, Роботты техника және автоматиканың техникалық құралдары кафедрасының қауымдастырылған профессоры, Satbayev University, Алматы қ., Қазақстан; e-mail: z.issabekov@satbayev.university. ORCID: https://orcid.org/0000-0003-2900-8025.

Information about the authors

Ainur Bekbay* – postdoctoral researcher, Senior Lecturer of the Department of Robotics and Engineering Tools of Automation, Satbayev University, Almaty, Kazakhstan, Қазақстан; e-mail: a.bekbay@satbayev.university. ORCID: https://orcid.org/0000-0002-7963-7439.

Zhanar Bigaliyeva – Senior Lecturer of the Department of Robotics and Engineering Tools of Automation, Satbayev University, Almaty, Kazakhstan; e-mail: zh.bigaliyeva@satbayev.university. ORCID: https://orcid.org/0000-0002-7440-5591.

Vinera Baiturganova – Senior Lecturer of the Department of Robotics and Engineering Tools of Automation, Satbayev University, Almaty, Kazakhstan; e-mail: v.baiturganova@satbayev.university. ORCID: https://orcid.org/0009-0007-1717-5041.

Zhadyra Alimbayeva – PhD, Lecturer of the Department of Information Technologies and Library Science in Space Engineering and Technology, Kazakh National Women's Teacher Training University, Almaty, Kazakhstan; e-mail: alimbayeva.zhadyra@qyzpu.edu.kz. ORCID: https://orcid.org/0000-0002-2628-2515.

Zhanibek Issabekov – PhD, Associate Professor of the Department of Robotics and Engineering Tools of Automation, Satbayev University, Almaty, Kazakhstan; e-mail: z.issabekov@satbayev.university. ORCID: https://orcid.org/0000-0003-2900-8025.

Received 19.09.2025
Revised 05.10.2025
Accepted 07.10.2025

https://doi.org/10.53360/2788-7995-2025-4(20)-2

CC BY 4.0
Check for updates

МРНТИ: 50.43.19

С.С. Жусупбеков[1], Л.К. Абжанова[1], А.Сабырова[1], Е.С. Ким[1], Е.А. Оспанов[2]*
[1]Алматинский университет энергетики и связи имени Г. Даукеева,
050013, Республика Казахстан, г. Алматы, ул. Байтурсынова, 126/1.
[2]Шәкәрім университет,
071404, Республика Казахстан, г. Семей, ул. Глинки, 20а
*e-mail: y.ospanov@shakarim.kz

ТРЕХКОНТУРНАЯ КАСКАДНАЯ СИСТЕМА РЕГУЛИРОВАНИЯ ТЕПЛОЭНЕРГЕТИЧЕСКОЙ УСТАНОВКОЙ С АДАПТИВНОЙ НАСТРОЙКОЙ КОЭФФИЦИЕНТОВ PID РЕГУЛЯТОРА

Аннотация: *В статье рассматривается трёхконтурная каскадная система автоматического регулирования уровня воды в паровом котле с использованием адаптивной настройки коэффициентов PID-регулятора. Особенностью предлагаемой системы является использование нечеткой логики для адаптивной коррекции параметров регуляторов, что*

обеспечивает устойчивую и надёжную работу теплоэнергетического оборудования при различных внешних и внутренних возмущениях. Разработанная структура управления включает три взаимосвязанных контура: регулирование уровня воды через расход питательной воды, регулирование через расход пара и регулирование расхода пара через подачу топлива. Применение моделей второго порядка с учётом теплофизических характеристик позволяет повысить точность управления и снизить энергетические потери. Система адаптивной настройки обеспечивает автоматическую подстройку коэффициентов PID-регулятора в зависимости от текущего состояния объекта управления. Показано, что адаптивная система эффективно компенсирует нестационарные колебания уровня воды, вызванные особенностями двухфазной среды и переходными режимами, повышая надёжность и устойчивость теплотехнического процесса. Результаты численного моделирования и анализа подтверждают эффективность предложенного подхода в условиях изменяющихся характеристик объекта, шумов, запаздываний и ограниченной информации о параметрах среды, что особенно важно для сложных многосвязных систем.

Ключевые слова: *каскадная система, нечеткий регулятор, устойчивость, управление, переходной процесс, PID регулятор.*

Введение

Многие технологические процессы в теплоэнергетических, металлургических и нефтеперерабатывающих комплексах относятся к классу многомерных, многосвязных объектов из-за большого периода функционирования в условиях неопределенности, неполноты и нечеткости информации [1-3]. Наличие внутренних и внешних возмущений, обусловлено множеством факторов, а наличие значительного числа параметров, которое прямо или косвенно влияет на функционирование технологических процессов исключает использование классических методов моделирования для управления такими объектами.

Для адекватного управления сложными технологическими процессами необходимо разработать новые модели и алгоритмы, основанные на современных интеллектуальных подходах. Одним из наиболее перспективных подходов к управлению технологическими процессами является модель, основанная на нечеткой логике и нечетких множествах [3].

Котельные агрегаты являются сложными объектами автоматического регулирования с большим числом регулируемых параметров и регулирующих воздействий [4].

Описание технологического объекта. Рассмотрим технологический процесс в теплоэнергетической установке (рис. 1) [5]. За счет температурного режима в топочной камере в подъемных 2 и опускных 3 водяных трубах образуется пар. Температурный режим в топочной камере зависит от расхода топлива $W_т$ и расхода воздуха подогреваемого в воздухоподогревателе 9, подаваемого в топку с помощью вентилятора Дв. Дымовые газы $Q_г$, удаляются с помощью дымососа Дс. Расход $Q_п$ пара проходя через пароперегреватель 5 достигает требуемой температуры $T_{пп}$. Питательная вода $W_в$ направляется в барабанный котел предварительно подогретая в водяном экономайзере 8.

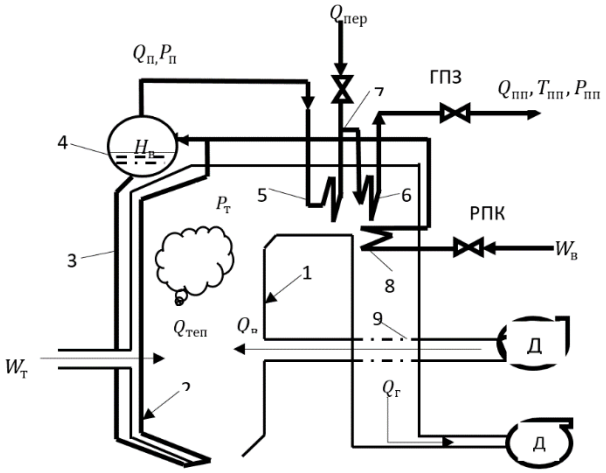


Рисунок 1 – Технологическая схема барабанного парогенератора
ГПЗ – газовая паровая задвижка; РПК – регулировочный питательный клапан; Дв-дутьевой вентилятор; Дс-дымосос;
1 – топка; 2 – подъемные трубы; 3 – опускные трубы; 4 – барабан котла;
5,6 – первая и вторая ступени пароперегревателя; 7 – пароохладитель; 8 – экономайзер;
9 – воздухоподогреватель

Таким образом, из технологического режима работы котла следует, что для поддержания требуемого значения расхода $Q_{\text{пп}}$, температуры $T_{\text{пп}}$ и давления $P_{\text{пп}}$ перегретого пара необходимо поддерживать в заданных пределах значение уровня воды $H_{\text{в}}$ в барабанном котле, разрежение в верхней части топки $P_{\text{т}}$ и оптимальный расход топлива с соблюдением соотношений расхода воздуха $Q_{\text{в}}$ для обеспечения полного сгорания топлива [6, 7].

В целом, паровой котел можно рассматривать как объект управления тепловой нагрузкой, поступающей к потребителю в виде расхода $Q_{\text{пп}}$, температуры $T_{\text{пп}}$ и давлении $P_{\text{пп}}$ пара.

В динамическом режиме работы основные переменные $Q_{\text{пп}}, P_{\text{пп}}$ изменяются в заданных пределах. Изменение этих переменных приводит к изменению уровня воды $H_{\text{в}}$ в паровом котле и соответственно, для поддержания уровня воды необходимо подача расхода $W_{\text{в}}$ питательной воды на паровой котел [7, 8].

Однако, стабилизация уровня воды в барабанном котле на заданном значении по контуру регулирования «расход питательной воды $W_{\text{в}}$ - уровень воды $H_{\text{в}}$» в барабанном котле является сложной задачей. Дело в том, что в рассматриваемом случае приходится регулировать уровень двухфазной среды, состоящей из кипящей воды и содержащихся в ней пузырьков пара. Для двухфазной среды постоянство уровня в барабане наблюдается лишь при стационарном режиме работы парогенератора. В переходных режимах значение уровня изменяется и характерной особенностью уровня воды в барабане котла являются пульсации, то есть колебания уровня с определенной амплитудой и частотой. Эти пульсации возникают из-за нестационарных процессов на границе раздела паровой и двухфазной сред при непрерывном перемещении больших масс воды и пара.

К числу основных возмущений, приводящих к отклонению уровня, можно отнести следующие воздействия:

1) изменение расхода питательной воды;
2) изменение расхода топлива;
3) изменение расхода пара при изменении нагрузки потребителя.

Из вышеприведенного следует, что паравой котел как объект управления представляет собой сложную динамическую систему с множеством взаимосвязанных входных и выходных величин [9].

Материалы и методы исследования

На основе анализа существующих систем управления теплоэнергетическими установками и с учетом технологических особенностей процесса предлагается трехконтурная каскадная система регулирования, включающая в себя два внутренних контура регулирования: «расход питательной воды – уровень», «расход пара – уровень» и третий внешний контур «расход топлива – расход пара». На рисунке 2 приведена структурная схема трехконтурной каскадной системы регулирования уровня воды в барабанном котле [8, 9].

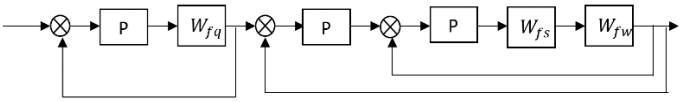


Рисунок 2 – Структурная схема трехконтурной каскадной системы регулирования

Первый контур описывает влияние расхода топлива на расход пара. Для точного описания инерционных свойств барабанного котла при построении математической модели использована система уравнений второго порядка, учитывающая влияние таких параметров как теплоемкость и время теплопередачи на технологический процесс.

Рассмотрим динамическую систему второго порядка для описания инерционных свойств котла.

Система будет описана уравнением:

$$(\mathrm{T}_{1.1}\mathrm{s}+1)(\mathrm{T}_{1.2}+1)\mathrm{y}_1(\mathrm{t}) = \mathrm{K}_1\mathrm{u}_1(\mathrm{t}) \qquad (1)$$

где $\mathrm{u}_1(\mathrm{t})$ – входная величина, расход топлива;

$\mathrm{y}_1(\mathrm{t})$ – выходная величина, расход пара;

K_1 – коэффициент передачи.

$\mathrm{T}_{1.1}, \mathrm{T}_{1.2}$ – постоянные времени системы.

Далее расскрываем скобки и преобразуем в дифференциальное уравнение.

$$(\mathrm{T_{1.1}T_{1.2}s^2} + (\mathrm{T_{1.1}T_{1.2}})\mathrm{s} + 1)\mathrm{y_3(t)} = \mathrm{K_1u_1(t)} \quad (2)$$

$$\mathrm{T_{1.1}T_{1.2}}\frac{\mathrm{d^2y_1(t)}}{\mathrm{dt^2}} + (\mathrm{T_{1.1}}+\mathrm{T_{1.2}})\frac{\mathrm{dy_1(t)}}{\mathrm{dt}} + \mathrm{y_1(t)} = \mathrm{K_1u_1(t)} \quad (3)$$

Преобразуя левую часть уравнения (3) получим:

$$\frac{\mathrm{d^2y_1(t)}}{\mathrm{dt^2}} = s^2Y_1(s) - sy_1(0) - \frac{dy_1(0)}{dt} \quad (4)$$

$$\frac{\mathrm{dy_1(t)}}{\mathrm{dt}} = sY_1(s) - y_1(0) \quad (5)$$

$$y_1(t) = Y_1(t) \quad (6)$$

Преобразовав правую часть уравнения: $u_1(t) = U_1(t)$ и принимая начальные условия $y_1(0)$ и $\frac{dy_1(0)}{dt}$ равным нулю, получим следующее уравнение:

$$\mathrm{T_{1.1}T_{1.2}}s^2Y_1(s) + (\mathrm{T_{1.1}}+\mathrm{T_{1.2}})sY_1(s) + \mathrm{Y_1(s)} = \mathrm{K_1}U_1(s) \quad (7)$$

Из уравнения (7) определяем выражение передаточной функции по контуру «расход топлива – расход пара»:

$$\mathrm{W_{fq}(s)} = \frac{Y_1(s)}{U_1(s)} = \frac{\mathrm{K_1}}{(\mathrm{T_{1.1}T_{1.2}s^2} + (\mathrm{T_{1.1}T_{1.2}})\mathrm{s} + 1)}. \quad (8)$$

Определим передаточную функцию второго контура «расход пара – уровень». Влияние расхода пара на уровень воды описывается уравнением интегрирующей модели с запаздыванием и имеет вид:

$$\mathrm{y_2(t)} = \mathrm{K_2}\int \mathrm{u_2(t-\tau_2)dt}$$

где $\mathrm{u_2(t)}$ – входная величина, расход пара;

$\mathrm{y_2(t)}$ – выходная величина, уровень воды;

$\mathrm{K_2}$ – коэффициент передачи;

τ_2 – время запаздывания.

Дифференцируем уравнение по времени

$$\frac{\mathrm{dy_2(t)}}{\mathrm{dt}} = \mathrm{K_2u_2(t-\tau_2)}\ . \quad (9)$$

Проводим преобразование левой части уравнения, с условием, что $y_2(0)$ равен нулю:

$$\frac{\mathrm{dy_2(t)}}{\mathrm{dt}} = sY_2(s).$$

Преобразовав правой части уравнения с учетом запаздывания:

$$\mathrm{u_2(t-\tau_2)} = e^{-\tau_2 s}U_2(s)$$

$$\mathrm{sY_2(s)} = \mathrm{K_2e^{-\tau_2 s}U_2(s)}$$

Получим выражение для передаточной функции по контуру регулирования «расход пара – уровень»:

$$\mathrm{W_{fs}(s)} = \frac{\mathrm{Y_2(s)}}{\mathrm{U_2(s)}} = \frac{\mathrm{K_2e^{-\tau_2 s}}}{\mathrm{s}}\ . \quad (10)$$

Для третьего контура выбрана модель второго порядка. Это позволит учесть разные временные характеристики подачи воды и динамическое изменение уровня воды. Опишем его следующим уравнением:

$$(\mathrm{T_{3.1}s} + 1)(\mathrm{T_{3.2}s} + 1)\mathrm{y_3(t)} = \mathrm{K_3}(\mathrm{T_{3.3}s} + 1)\mathrm{u_3(t)} \quad (11)$$

где $\mathrm{u_3(t)}$ – входная величина, расход топлива;

$\mathrm{y_3(t)}$ – выходная величина, расход пара;

$\mathrm{K_3}$ – коэффициент передачи;

$\mathrm{T_{3.1}}, \mathrm{T_{3.2}}, \mathrm{T_{3.3}}$ – постоянные времени системы.

Расскрыв скобки из (11) уравнении получим:

$$(\mathrm{T_{3.1}T_{3.2}s^2} + (\mathrm{T_{3.1}} + \mathrm{T_{3.2}})\mathrm{s} + 1)\mathrm{y_3(t)} = \mathrm{K_3}(\mathrm{T_{3.3}s} + 1)\mathrm{u_3(t)}$$

$$\mathrm{T_{3.1}T_{3.2}}\frac{\mathrm{d^2y_3(t)}}{\mathrm{dt^2}} + (\mathrm{T_{3.1}}+\mathrm{T_{3.2}})\frac{\mathrm{dy_3(t)}}{\mathrm{dt}} + \mathrm{y_3(t)} = \mathrm{K_3T_{3.3}}\frac{\mathrm{du_3(t)}}{\mathrm{dt}} + \mathrm{K_3u_3(t)} \quad (12)$$

Произведя преобразование левой части уравнения (12) получим:

$$\frac{\mathrm{d^2y_3(t)}}{\mathrm{dt^2}} = s^2Y_3(s) - sy_3(0) - \frac{dy_3(0)}{dt}$$

$$\frac{\mathrm{dy_3(t)}}{\mathrm{dt}} = sY_3(s) - y_3(0)$$

$$y_3(t) = Y_3(t)$$

Преобразуем правую часть уравнения (12):

$$\frac{\mathrm{du_3(t)}}{\mathrm{dt}} = sU_3(t) - u_3(0)$$

Принимая начальные условия $y_3(0)$, $\frac{dy_3(0)}{dt}$, $u_3(0)$ равным нулю, уравнение преобразуется в:

$$\mathrm{T_{3.1}T_{3.2}}s^2Y_3(s) + (\mathrm{T_{3.1}}+\mathrm{T_{3.2}})sY_3(s) + \mathrm{Y_3(s)} = \mathrm{K_3}T_{3.3}sU_3(s) + \mathrm{K_3}U_3(s).$$

Тогда выражение передаточной функции:

$$Y_3(s)(T_{3.1}T_{3.2}s^2 + (T_{3.1} + T_{3.2})s + 1) = U_3(s)(\mathrm{K_3}T_{3.3}s + K_3)$$

$$W_{fw}(s) = \frac{Y_3(s)}{U_3(s)} = \frac{K_3(\mathrm{T_{3.3}s} + 1)}{(\mathrm{T_{3.1}T_{3.2}}s^2 + (\mathrm{T_{3.1}} + \mathrm{T_{3.2}})s + 1)} \qquad (13)$$

Рассмотрим трехконтурную каскадную систему регулирования в среде Matlab, схема которой приведена на рисунке 3. График переходного процесса приведен на рисунке 4.

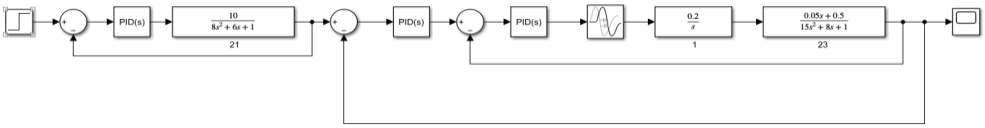


Рисунок 3 – Трехконтурная каскадная система регулирования

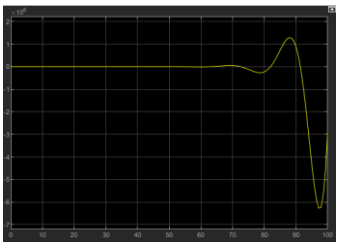


Рисунок 4 – Переходная характеристика системы регулирования без адаптивной системы регулирования

На основе графика переходной характеристики (рис. 4) можно сделать вывод о том, что предложенная каскадная система регулирования является неустойчивой. Для того, чтобы вывести каскадную систему регулирования в область устойчивости требуется настройки коэффициентов регулятора, что занимает немало времени при пуско-наладочных работах на предприятиях. Кроме того, при неустойчивой работе системы регулирования могут возникнуть опасные для жизни ситуации, такие как перегрев котлов, взрывы, что в свою очередь, может вызвать аварийные ситуации и угрожать жизни работников предприятия.

Поэтому необходимо разработать более надежные и адаптивные методы управления, которые будут автоматически подстраиваться под разные изменения в системе, обеспечивая стабильную работу теплоэнергетических установок [10-13].

Для управления нестационарным режимом работы теплоэнергетических установок объектам предлагается использовать адаптивный нечеткий ПИД-регулятор в контуре каскадной системы регулирования [14-16].

Входными воздействиями для нечеткого блока ПИД-регулятора являются ошибка регулирования, а также производная от нее, исходя из которого регулятор сможет менять коэффициент усиления в звеньях ПИД-регулятора [16].

Выходными параметрами являются параметры ПИД-регулятора Kp, Ki, Kd. Схема управления Matlab Simulink представлена на рисунке 5.

В качестве терм-множества входных ЛП *e* – «ошибка регулирования» и *delta e*- «изменение ошибки регулирования» используются соответствующие множества A и B имеющие терм-множество {«отрицательный Большой», «отрицательный Средний», «отрицательный Малый», «ноль», «положительный Малый», «положительный Средний», «положительный Большой»} которое записывается в символическом виде *{ NL, NM, NS, Z, PS, PM, PL }* (рис. 6) [14, 15].

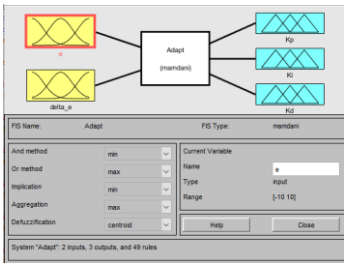


Рисунок 5 – Определение входных и выходных переменных

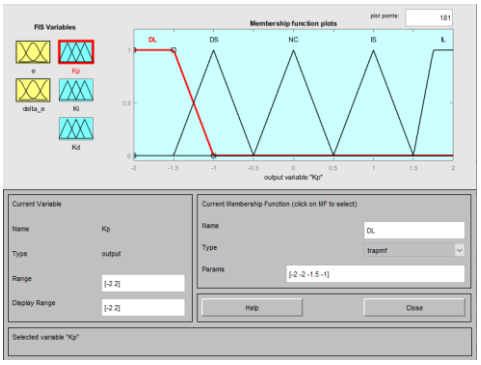


а б

Рисунок 6 – Графики функций принадлежности
а) ошибка регулирования; б) изменение ошибки регулирования

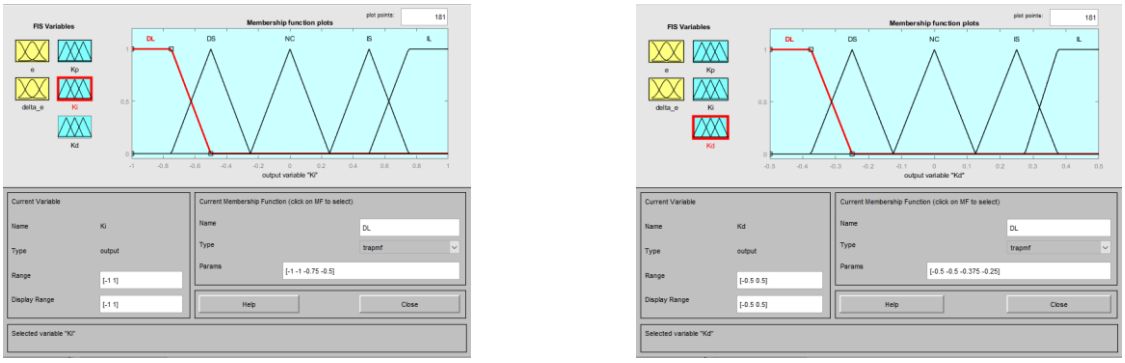
Перейдем к построению функций принадлежности (ФП) выходной переменной K_p. Диапазон значений переменной устанавливается от – 2 до 2 и терм-множество ЛП разделено на 5 термов {«уменьшение Большое», «уменьшение Малое», «без изменений», «увеличение Малое», «увеличение Большое»}, которое записывается в символическом виде *{DL, DS, NC, IS, IL }.* ФП для выходной переменной Kp имеют вид, показанный на рисунке 7.

Повторим аналогичные действия с выходными блоками $К_i$и $К_d$. ФП будут иметь вид, представленный на рисунке 8 а) и б).



б

Рисунок 7 – ФП для коэффициента $К_р$.



а б

Рисунок 8 – ФП для коэффициентов а)$К_i$ и б) $К_d$.

Следующий шаг заключается в создании базы правил вида «IF…THEN». Исходя из проведенных экспериментов в редакторе FLT, предлагаются следующие правила: IF «e is NL» and «Δe is NL» then «K_p is IL», «K_i is DL», «K_d is IL» и т.д. База правил приведена на рисунке 9 и в таблице 1 [12].

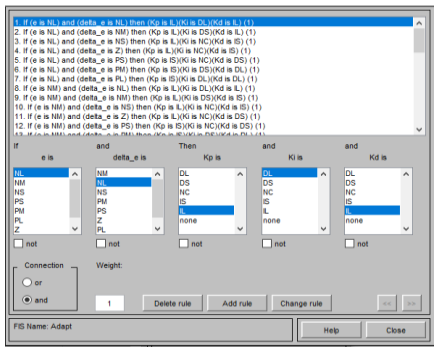


Рисунок 9 – База правил

Таблица 1 – База правил нечеткого регулятора

№	Входные параметры		Выходные параметры			№	Входные параметры		Выходные параметры			№	Входные параметры		Выходные параметры		
	e	Δe	K_p	K_i	K_d		e	Δe	K_p	K_i	K_d		e	Δe	K_p	K_i	K_d
1	NL	NL	IL	DL	IL	18	NS	Z	IL	NC	NC	35	PS	PL	DL	DL	IL
2	NL	NM	IL	DS	IL	19	NS	PS	IS	NC	DS	36	PM	NL	IS	DS	DS
3	NL	NS	IL	NC	IS	20	NS	PM	IS	DS	DS	37	PM	NM	IS	DS	DS
4	NL	Z	IL	NC	IS	21	NS	PL	IS	DL	DL	38	PM	NS	IS	NC	NC
5	NL	PS	IS	NC	DS	22	Z	NL	IL	DS	IS	39	PM	Z	NC	NC	NC
6	NL	PM	IS	DS	DL	23	Z	NM	IL	NC	IS	40	PM	NM	IS	DS	DS
7	NL	PL	IS	DL	DL	24	Z	NS	IL	NC	IS	41	PM	NS	IS	NC	NC
8	NM	NL	IL	DL	IL	25	Z	Z	NC	NC	NC	42	PM	PL	DL	DL	IL
9	NM	NM	IL	DS	IS	26	Z	PS	IS	NC	DS	43	PL	NL	IS	DL	DL
10	NM	NS	IL	NC	IS	27	Z	PM	IS	DS	DS	44	PL	NM	IS	DL	DL
11	NM	Z	IL	NC	NC	28	Z	PL	IS	DL	IL	45	PL	NS	IS	DS	DL
12	NM	PS	IS	NC	DS	29	PS	NL	IS	NC	DS	46	PL	Z	NC	NC	NC
13	NM	PM	IS	DS	DL	30	PS	NM	IS	NC	DS	47	PL	PS	DS	NC	IL
14	NM	PL	IS	DL	DL	31	PS	NS	IS	NC	NC	48	PL	PM	DL	DS	IL
15	NS	NL	IL	DS	IL	32	PS	Z	NC	NC	NC	49	PL	PL	DL	DL	IL
16	NS	NM	IL	NC	IS	33	PS	PS	DS	NC	IS						
17	NS	NS	IL	NC	IS	34	PS	PM	DL	DS	IL						

Результаты исследования

После синтеза параметров ПИД-регулятора, коэффициенты были автоматически подобраны и введены в соотвествующие блоки. На рисунке 10 приведена схема трехконтурной каскадной системы регулирования с самонастраивающимся адаптивным регулятором, модель подсистемы управления (PID) приведена на рисунке 11 [17].

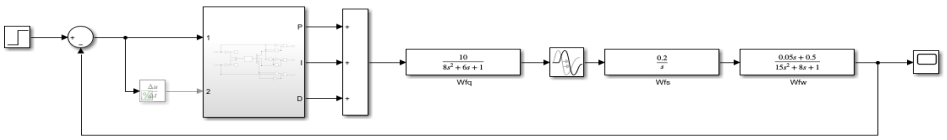
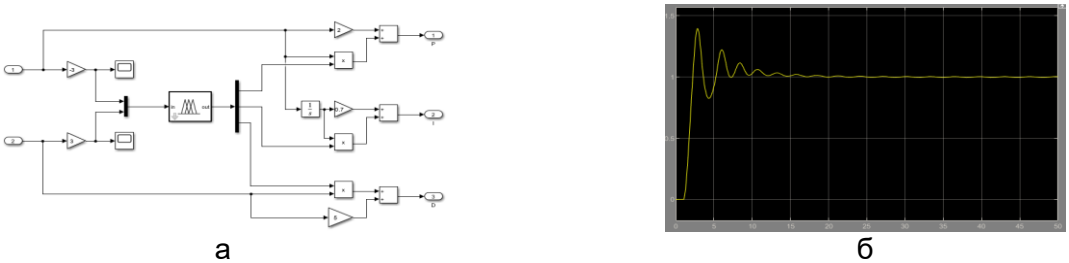


Рисунок 10 – Схема трехконтурной каскадной системы регулирования с нечетким адаптивным регулятором



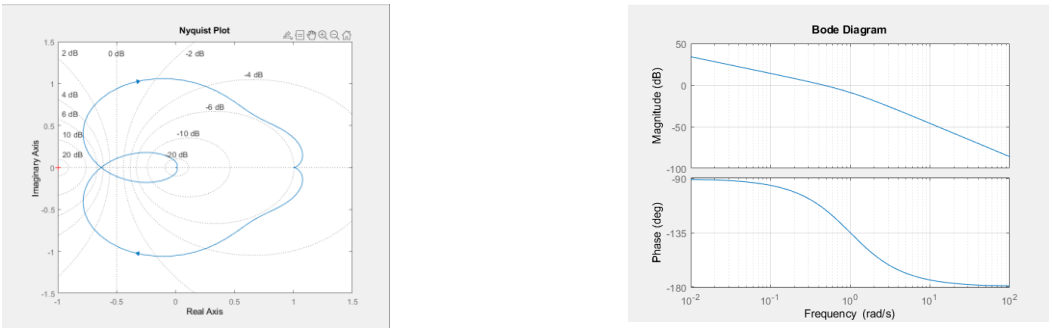
а б

Рисунок 11 – а) модель подсистемы управления (PID) б) график переходной функции

После запуска программы были сгенерированы параметры регулятора и построен график (рис. 11 б) каскадой системы регулирования.

По полученной переходной характеристике (рис. 11 б) можем наблюдать, что система является устойчивой с временем регулирования в 20 секунд и перерегулированием в 35%.

Для анализа частотных свойств рассматриваемой системы на рисунках 12а, б приведены диаграмма Найквиста, а также графики логарифмической амплитудно-частотной характеристики (АЧХ) и фазочастотной характеристики (ФЧХ). Эти графики предоставляют важную информацию о том, как система реагирует на сигналы различных частот, тем самым, помогая оценить её быстродействие, устойчивость и качество регулирования. Плавное снижение амплитудной характеристики с увеличением частоты, указывает на фильтрующие свойства системы, которые значительно уменьшают влияние высокочастотных помех и шумов, а плавное снижение фазы, говорит о том, что система имеет предсказуемое запаздывание и определенную инерцию [18].



а б

Рисунок 12 – а) диаграмма Найквиста б) логарифмическая АЧХ и ФЧХ

Заключение

В данной статье рассмотрена система автоматического управления уровнем воды в барабанном котле теплоэнергетического комплекса. Объектом регулирования в данной системе является барабанный котел, а регулируемой величиной – уровень воды в котле. В статье предлагается к рассмотрению трехконтурная каскадная система управления с нечетким адаптивным ПИД регулятором для управления нестационарным режимом работы теплоэнергетической установки. Средствами MATLAB-SIMULINK определены оптимальные значения параметров ПИД-регулятора и коэффициентов блока нечеткой адаптации, обеспечивающие требуемое качество переходного процесса замкнутой системы управления.

Список литературы

1. Петров П.А. Моделирование процесса каталитического риформинга // Фундаментальные исследования. – 2007. – № 12-2. – С. 308-309.

2. Шура И.А., Сотников В.В., Сибаров Д.А. Математическая модель для управления процессом каталитического риформинга // Информационные системы и технологии. – 2008. – № 1-3. – С. 307-311.

3. Щербатов И.А. Система поддержки принятия решений для операторов слабоформализуемых ТП / И.А. Щербатов, О.М. Проталинский // Автоматизация в промышленности. – 2009. – № 7. – С. 41.

4. Галашов Н.Н. Режимы работы и эксплуатации ТЭС: учебное пособие / Н.Н. Галашов. – Томский политехнический университет. – 2013. – 252 с.

5. Голдобин Ю.М. Автоматизация теплоэнергетических установок: учебное пособие для студентов вуза / Ю.М. Голдобин. – Екатеринбург, УрФУ. – 2017. – 185 с.

6. Система автоматического регулирования температуры перегретого пара барабанного котла / А.А. Журавлев и др. // Проблемы региональной энергетики. Область наук Механика и машиностроение. – 2006. – С.16-29.

7. Цветков А.А. Система автоматического регулирования температуры перегретого пара барабанного котла / А.А. Цветков // Актуальные проблемы энергетики. – 2016 [Электронный ресурс]: материалы научно-технической конференции студентов и аспирантов. – Минск: БНТУ, 2017. – С. 332-338.

8. Кулаков Г.Т. Математическое моделирование переходных процессов трехимпульсной системы автоматического регулирования питания водой парогенератора на сброс нагрузки / Г.Т. Кулаков, А.Т. Кулаков, А.Н. Кухоренко // Энергетика… (Изв. высш. учеб. заведений и энерг. объединений СНГ), 2014 – С. 57-64.
9. Кулаков Г.Т. Оптимизация переходных процессов изменения уровня воды в барабане паровых котлов / Г.Т. Кулаков, А.Н. Кухоренко // Энергетик (Изв. высш. учеб. заведений и энерг. объединений СНГ), 2014 – С. 63-74.
10. Чернов А.С. Модели адаптивного управления пароперегревателем котлоагрегата с помощью искусственных нейронных сетей / А.С. Чернов. – 2013 – 6 с.
11. Гаскаров Г.А. Интеллектуальные информационные системы. Учебник для вузов / Г.А. Гаскаров. – М.: Высш. шк., 2003. – 431 с.
12. Микони С.В. Модели и базы знаний. Учебное пособие / С.В. Микони. – СПб.: СПГУТТС, 2000. – 155 с.
13. Заде Л.А. Понятие лингвистической переменной, его применение к принятию приближенных решений / Л.А. Заде. – М.: Мир, 1976. – 77 с.
14. Леоненков А.В. Нечеткое моделирование в среде MATLAB и fuzzTECH / А.В. Лененков. – СПб.: БХВ-Петербург, 2003. – 736 с.
15. Рутковский Л. Методы и технологии искусственного интеллекта / Л. Рутковский. – М.: Горячая линия-Телеком, 2010. – С. 202-279.
16. Построение и настройка нечеткого адаптивного ПИД-регулятора. Информатика и системы управления, Интеллектуальные системы / Ю.И. Кудинов и др. – 2016. – № 3(49). – С. 86-96.
17. Куколев А.А. Применении нечеткого адаптивного регулятора в системе управления уровнем воды в судовом вспомогательном котле / А.А. Куколев, Д.Л. Пиотровский // Научные труды КубГТУ. – 2018. – № 3. – С. 295-303.
18. Ротач В.Я. Автоматизация настройки систем управления / В.Я. Ротач, В.Ф. Кузищин, А.С. Клюев. – Москва: Энергоатомиздат, 1984. – 272 с.

References

1. Petrov P.A. Modelirovanie protsessa kataliticheskogo riforminga // Fundamental'nye issledovaniya. – 2007. – № 12-2. – S. 308-309. (In Russian).
2. Shura I.A., Sotnikov V. V., Sibarov D. A. Matematicheskaya model' dlya upravleniya protsessom kataliticheskogo riforminga // Informatsionnye sistemy i tekhnologii. – 2008. – № 1-3. – S. 307-311. (In Russian).
3. Shcherbatov I.A. Sistema podderzhki prinyatiya reshenii dlya operatorov slaboformalizuemykh TP / I.A. Shcherbatov, O.M. Protalinskii // Avtomatizatsiya v promyshlennosti. – 2009. – № 7. – S. 41. (In Russian).
4. Galashov N.N. Rezhimy raboty i ehkspluatatsii TEHS: uchebnoe posobie / N.N. Galashov. – Tomskii politekhnicheskii universitet. – 2013. – 252 s. (In Russian).
5. Goldobin YU.M. Avtomatizatsiya teploehnergeticheskikh ustanovok: uchebnoe posobie dlya studentov vuza / YU.M. Goldobin. – Ekaterinburg, URFU. – 2017. – 185 s. (In Russian).
6. Sistema avtomaticheskogo regulirovaniya temperatury peregretogo para barabannogo kotla / A.A. Zhuravlev i dr. // Problemy regional'noi ehnergetiki. Oblast' nauk Mekhanika i mashinostroenie. – 2006. – S.16-29. (In Russian).
7. Tsvetkov A.A. Sistema avtomaticheskogo regulirovaniya temperatury peregretogo para barabannogo kotla / A.A. Tsvetkov // Aktual'nye problemy ehnergetiki. – 2016 [Ehlektronnyi resurs]: materialy nauchno-tekhnicheskoi konferentsii studentov i aspirantov. – Minsk: BNTU, 2017. – S. 332-338. (In Russian).
8. Kulakov G.T. Matematicheskoe modelirovanie perekhodnykh protsessov trekhimpul'snoi sistemy avtomaticheskogo regulirovaniya pitaniya vodoi parogeneratora na sbros nagruzki / G.T. Kulakov, A.T. Kulakov, A.N. Kukhorenko // EhnergetikA… (Izv. vyssh. ucheb. zavedenii i ehnerg. ob"edinenii SNG), 2014 – S. 57-64. (In Russian).
9. Kulakov G.T. Optimizatsiya perekhodnykh protsessov izmeneniya urovnya vody v barabane parovykh kotlov / G.T. Kulakov, A.N. Kukhorenko // Ehnergetik (Izv. vyssh. ucheb. zavedenii i ehnerg. obedinenii SNG), 2014 – S. 63-74. (In Russian).
10. Chernov A.S. Modeli adaptivnogo upravleniya paroperegrevatelem kotloagregata s pomoshch'yu iskusstvennykh neironnykh setei / A.S. Chernov. – 2013 – 6 s. (In Russian).

11. Gaskarov G.A. Intellektual'nye informatsionnye sistemy. Uchebnik dlya vuzov / G.A. Gaskarov. – M.: Vyssh. shk., 2003. – 431 s. (In Russian).
12. Mikoni S.V. Modeli i bazy znanii. Uchebnoe posobie / S.V. Mikoni. – SPb.: SPGUTTS, 2000. – 155 s. (In Russian).
13. Zade L.A. Ponyatie lingvisticheskoi peremennoi, ego primenenie k prinyatiyu priblizhennykh reshenii / L.A. Zade. – M.: Mir, 1976. – 77 s. (In Russian).
14. Leonenkov A.V. Nechetkoe modelirovanie v srede MATLAB i fuzzTECH / A.V. Lenonenkov. – SPb.: BKHV-Peterburg, 2003. – 736 s. (In Russian).
15. Rutkovskii L. Metody i tekhnologii iskusstvennogo intellekta / L. Rutkovskii. – M.: Goryachaya liniya-Telekom, 2010. – S. 202-279. (In Russian).
16. Postroenie i nastroika nechetkogo adaptivnogo PID-regulyatora. Informatika i sistemy upravleniya, Intellektual'nye sistemy / YU.I. Kudinov i dr. – 2016. – № 3(49). – S. 86-96. (In Russian).
17. Kukolev A.A. Primenenii nechetkogo adaptivnogo regulyatora v sisteme upravleniya urovnem vody v sudovom vspomogatel'nom kotle / A.A. Kukolev, D.L. Piotrovskii // Nauchnye trudy KuBGTU. – 2018. – № 3. – S. 295-303. (In Russian).
18. RoTach V.YA. AvtomAtizatsiya nasT'roiki siS'tem upraVleniya / V.'YA. RoT'ach, V.F. KuzIshchin, A.S. KlYU'ev. – MoS'kva: EhnergoaTomizdat, 1984. – 272 s. (In Russian).

С.С. Жусупбеков[1], Л.К. Абжанова[1], А. Сабырова[1], Е.С. Ким[1], Е.А. Оспанов[2]*
[1]Ғ. Даукеев атындағы Алматы Энергетика және Байланыс Университеті,
050013, Қазақстан Республикасы, Алматы қ., Байтурсынов к-сі, 126/1
[2]Шәкәрім университет,
071404, Қазақстан Республикасы, Семей қ., Глинки к-сі, 20а
*e-mail: y.ospanov@shakarim.kz

PID РЕТТЕГІШ КОЭФИЦИЕНТТЕРІ АДАПТИВТИПТІ ТҮЗЕЛЕТІН ЖЫЛУЭНЕРГЕТИКА ҚОНДЫРҒЫСЫН ҮШ ТІЗБЕКТІ КАСКАДТЫ БАСҚАРУ ЖҮЙЕСІ

Мақалада PID реттегіш коэффициенттерінің адаптивті параметрін қолдана отырып, бу қазандығындағы су деңгейін автоматты түрде реттеудің үш тізбекті каскадты жүйесі қарастырылады. Ұсынылған жүйенің ерекшелігі-әртүрлі сыртқы және ішкі бұзылуларда жылу энергетикалық жабдықтың тұрақты және сенімді жұмысын қамтамасыз ететін реттегіштердің параметрлерін адаптивті түзету үшін анық емес логиканы қолдану. Әзірленген басқару құрылымы өзара байланысты үш тізбекті қамтиды: қоректік су ағыны арқылы су деңгейін реттеу, бу ағыны арқылы реттеу және отын беру арқылы бу ағынын реттеу. Термофизикалық сипаттамаларды ескере отырып, екінші ретті модельдерді қолдану басқару дәлдігін арттыруға және энергия шығынын азайтуға мүмкіндік береді. Адаптивті баптау жүйесі басқару объектісінің ағымдағы күйіне байланысты PID реттегішінің коэффициенттерін автоматты түрде реттеуді қамтамасыз етеді. Адаптивті жүйе жылу процесінің сенімділігі мен тұрақтылығын арттыра отырып, екі фазалы ортаның ерекшеліктері мен өтпелі режимдерден туындаған су деңгейінің тұрақсыз ауытқуларын тиімді өтейтіні көрсетілген. Сандық модельдеу және талдау нәтижелері объектінің өзгеретін сипаттамалары, Шу, кідіріс және қоршаған орта параметрлері туралы шектеулі Ақпарат жағдайында ұсынылған тәсілдің тиімділігін растайды, бұл әсіресе күрделі көп байланысқан жүйелер үшін өте маңызды..

Түйін сөздер: *каскадты жүйе, анық емес реттегіш, тұрақтылық, басқару, өтпелі процесс, PID реттегіші.*

S.S. Zhussupbekov[1], L.K. Abzhanova[1], A. Sabyrova[1], Y.S. Kim[1], Y.A. Ospanov[2]*
[1]Almaty University of Power Engineering and Telecommunications named after G. Daukeev,
050013, Republic of Kazakhstan, Almaty, Baytursynov St., 126/1.
[2]Shakarim University,
071404, Republic of Kazakhstan, Semey, Glinki St., 20a.
*e-mail: y.ospanov@shakarim.kz

THREE-CIRCUIT CASCADE CONTROL SYSTEM OF A HEAT AND POWER PLANT WITH ADAPTIVE ADJUSTMENT OF PID REGULATOR COEFFICIENTS

The article discusses a three-circuit cascade system for automatic control of the water level in a steam boiler using adaptive adjustment of the coefficients of the PID controller. A feature of the proposed system is the use of fuzzy logic for adaptive correction of regulator parameters, which ensures stable and reliable operation of thermal power equipment under various external and internal disturbances. The developed control structure includes three interconnected circuits: water level control through feed water flow, steam flow control,

and steam flow control through fuel supply. The use of second-order models, taking into account thermophysical characteristics, makes it possible to increase control accuracy and reduce energy losses. The adaptive adjustment system provides automatic adjustment of the coefficients of the PID controller depending on the current state of the control object. It is shown that the adaptive system effectively compensates for unsteady fluctuations in the water level caused by the characteristics of a two-phase medium and transient conditions, increasing the reliability and stability of the thermal engineering process. The results of numerical modeling and analysis confirm the effectiveness of the proposed approach in conditions of changing object characteristics, noise, delays, and limited information about environmental parameters, which is especially important for complex multiconnected systems..

Key words: *cascade system, fuzzy regulator, stability, control, transition process, PID controller.*

Сведения об авторах

Сарсенбек Сейтбекович Жусупбеков – к.т.н., профессор кафедры «Автоматизация и управление»; Университет энергетики и связи имени Г. Даукеева, Казахстан; e-mail: s.zhussupbekov@aues.kz. ORCID: https://orcid.org/0000-0003-3220-713X.

Лауласын Косылгановна Абжанова – PhD, ассоциированный профессор кафедры «Автоматизации и управления»; Университет энергетики и связи имени Г. Даукеева, Казахстан; e-mail: l.abzhanova@aues.kz. ORCID: https://orcid.org/0000-0003-1781-269X.

Аружан Бағытжанқызы Сабырова – магистр, преподаватель кафедры «Автоматизация и управление», Университет энергетики и связи имени Г. Даукеева, Казахстан; e-mail: a.sabyrova@aues.kz.

Елена Ким – магистр, старший преподаватель кафедры «Автоматизации и управления», Университет энергетики и связи имени Г. Даукеева, Казахстан; e-mail: e.kim@aues.kz. ORCID: https://orcid.org/0000-0002-5711-0062.

Ербол Амангазович Оспанов* – PhD, ассоц. профессор кафедры «IT технологии», Университет Шакарима, Казахстан; e-mail: y.ospanov@shakarim.kz. ORCID: https://orcid.org/0000-0001-5342-274X.

Авторлар туралы мәліметтер

Сарсенбек Сейтбекович Жусупбеков – т.ғ.к., «Автоматтандыру және басқару» кафедрасының профессоры; Ғұмарбек Даукеев атындағы Алматы Энергетика және Байланыс Университеті, Қазақстан; e-mail: s.zhussupbekov@aues.kz. ORCID: https://orcid.org/0000-0003-3220-713X.

Лауласын Косылгановна Абжанова – PhD, «Автоматтандыру және басқару» кафедрасының қауымдас. профессор, Ғұмарбек Даукеев атындағы Алматы Энергетика және Байланыс Университеті, Қазақстан; e-mail: l.abzhanova@aues.kz. ORCID: https://orcid.org/0000-0003-1781-269X.

Аружан Бағытжанқызы Сабырова – Магистр, «Автоматтандыру және басқару» кафедрасының оқытушысы; Ғұмарбек Даукеев атындағы Алматы Энергетика және Байланыс Университеті, Қазақстан; e-mail: a.sabyrova@aues.kz.

Елена Ким – магистр, «Автоматтандыру және басқару» кафедрасының аға оқытушысы; Ғұмарбек Даукеев атындағы Алматы Энергетика және Байланыс Университеті, Қазақстан; e-mail: e.kim@aues.kz. ORCID: https://orcid.org/0000-0002-5711-0062.

Ербол Амангазович Оспанов* – PhD, қауымд. профессор (доцент) «IT технологиялар» кафедрасының қауымдастырылған профессоры, Шәкәрім университет, Қазақстан; e-mail: y.ospanov@shakarim.kz. ORCID: https://orcid.org/0000-0001-5342-274X.

Information about the authors

Sarsenbek Zhussupbekov – Candidate of Technical Sciences, professor of the Department of «Automation and Control», Gumarbek Daukeev University of Energy and Telecommunications, Kazakhstan; e-mail: s.zhussupbekov@aues.kz. ORCID: https://orcid.org/0000-0003-3220-713X.

Laulasyn Abzhanova – PhD, Associate Professor of the Department of «Automation and Control», Gumarbek Daukeev University of Energy and Telecommunications, Kazakhstan; e-mail: l.abzhanova@aues.kz. ORCID: https://orcid.org/0000-0003-1781-269X.

Aruzhan Sabyrova – Senior Lecturer of the Department of «Automation and Control», Gumarbek Daukeev University of Energy and Telecommunications, Kazakhstan; e-mail: a.sabyrova@aues.kz.

Yelena Kim – Master of Technical Sciences, Senior Lecturer of the Department of «Automation and Control», Gumarbek Daukeev University of Energy and Telecommunications, Kazakhstan; e-mail: e.kim@aues.kz. ORCID: https://orcid.org/0000-0002-5711-0062.

Yerbol Ospanov* – PhD, Associate Professor, Shakarim University, Kazakhstan; e-mail: y.ospanov@shakarim.kz. ORCID: https://orcid.org/0000-0001-5342-274X.

Поступила в редакцию 02.10.2025
Поступила после доработки 20.10.2025
Принята к публикации 22.10.2025

https://doi.org/10.53360/2788-7995-2025-4(20)-3

BY 4.0
Check for updates

МРНТИ: 28.23.37

О.С. Салыкова[1]*, А.А. Артыкбаева[1], А.М. Искакова[1], Л.И. Нурмагамбетова[2]
[1]Костанайский региональный университет имени Ахмет Байтұрсынұлы,
110000, Республика Казахстан, г. Костанай, ул. А. Байтурсынова, 47
[2]Костанайский инженерно-экономический университет имени Мыржакыпа Дулатова,
110000, Республика Казахстан, г. Костанай,ул. Чернышевского, 59
*e-mail: solga0603@mail.ru

НЕЙРОСЕТЕВЫЕ МЕТОДЫ АНАЛИЗА ТЕКСТОВЫХ ОТЗЫВОВ ОБУЧАЮЩИХСЯ: АРХИТЕКТУРА, ОБУЧЕНИЕ И ИНТЕРПРЕТАЦИЯ РЕЗУЛЬТАТОВ

Аннотация: *В статье представлен сравнительный анализ нейросетевых архитектур LSTM, BiLSTM и RuBERT, применяемых для автоматической классификации студенческих отзывов. Особое внимание уделено задачам предобработки данных, ручной разметки с учётом эмоциональной окраски и тематических аспектов, а также оценке надёжности корпуса с использованием коэффициента согласия Cohen's kappa (0,82). Экспериментальные результаты показали, что RuBERT обеспечивает наивысшие значения Accuracy (0,87) и F1-score (0,85), что статистически подтверждено результатами t-теста. В то же время BiLSTM продемонстрировала более высокую эффективность по сравнению с LSTM благодаря учёту контекста в обеих направлениях. Проведённый анализ ошибок показал, что рекуррентные модели чаще всего путают нейтральные и отрицательные отзывы, а трансформерная архитектура лучше справляется с обработкой двусмысленных формулировок и скрытых эмоциональных оттенков. Практическая значимость исследования заключается в возможности интеграции разработанного подхода в системы LMS и цифровые образовательные платформы для автоматизации анализа обратной связи студентов. В качестве перспективных направлений обозначены расширение корпуса за счёт казахоязычных текстов и использование современных моделей семейства Transformer (RoBERTa, DeBERTa, ChatGLM).*

Ключевые слова: *нейросетевой анализ текста, образовательная аналитика, BERT, LSTM, автоматическая классификация, обработка текстов, обратная связь студентов, интеллектуальные системы образования.*

Введение

Обратная связь обучающихся играет важную роль в оценке качества образования, методов преподавания и удовлетворённости студентов учебным процессом [1]. С развитием цифровых платформ объём поступающих отзывов стремительно увеличивается, что делает их ручной анализ трудоёмким и недостаточно объективным. В этих условиях актуально использование современных методов обработки естественного языка и нейросетевых технологий, позволяющих автоматизировать анализ обратной связи и получать воспроизводимые результаты.

Ранние подходы основывались на простых статистических признаках (TF-IDF, Bag-of-Words, [2]) и классических алгоритмах машинного обучения (наивный байесовский классификатор, SVM [3], логистическая регрессия). Эти методы отличались простотой и интерпретируемостью, но показывали ограниченную эффективность при работе с короткими и семантически близкими высказываниями.

Существенный прогресс был достигнут благодаря нейросетевым архитектурам, включая LSTM [4], BiLSTM [5] и модели на базе Transformer, такие как BERT [6], RoBERTa [7], DistilBERT. Данные решения обеспечивают учёт контекста в обеих направлениях, высокую точность и переносимость между задачами, открывая новые возможности для анализа образовательных текстов – отзывов и комментариев студентов (включая анкеты и сообщения в онлайн-курсах). Эти данные являются важным источником информации о качестве образования и эффективности учебного процесса. Однако ручная обработка подобных массивов трудоёмка и субъективна, что делает актуальным применение методов автоматизированного анализа текста и нейросетевых технологий [8], [9].

Цель исследования – разработка и сравнительный анализ нейросетевых архитектур для автоматической классификации и интерпретации студенческих отзывов. Для её достижения решаются задачи: формирование корпуса отзывов и его предобработка; ручная

разметка данных по эмоциональным и тематическим признакам; обучение и тестирование моделей LSTM, BiLSTM и BERT; оценка качества классификации с использованием стандартных метрик; анализ возможностей интеграции моделей в информационные системы вуза.

Научная новизна исследования заключается в том, что впервые проведён систематический сравнительный анализ архитектур LSTM, BiLSTM и RuBERT на корпусе реальных студенческих отзывов вузов Казахстана. В отличие от многочисленных зарубежных работ, где основной акцент сделан на англоязычных образовательных текстах, данное исследование ориентировано на русскоязычные данные, что позволяет учитывать национальные и языковые особенности. Вклад работы состоит в демонстрации воспроизводимости результатов, выявлении закономерностей ошибок различных моделей и показе практических возможностей интеграции RuBERT в LMS и цифровые образовательные платформы.

Методы исследования

В ходе настоящей работы была разработана и реализована система для анализа текстовых отзывов обучающихся с использованием нейросетевых моделей классификации. Основу корпуса составили анонимные комментарии студентов, собранные в рамках внутреннего мониторинга образовательного процесса в университете.

Предобработка текстов включала приведение к нижнему регистру, удаление знаков препинания, токенизацию, исключение стоп-слов, а также лемматизацию с применением инструментов NLTK и SpaCy. Для LSTM и BiLSTM использовалась векторизация Word2Vec с размерностью 300, обученная на корпусе студенческих отзывов. Такой подход позволил учитывать семантическую близость слов, что особенно важно для коротких фраз и эмоционально окрашенных выражений.

Ручная разметка данных осуществлялась тремя независимыми аннотаторами – преподавателями и аспирантами кафедры программного обеспечения. Каждый отзыв маркировался по двум критериям: эмоциональная окраска (положительный, нейтральный или отрицательный характер высказывания); тематика высказывания (содержание курса, методика преподавания, организационные аспекты).

В итоговом корпусе 38% отзывов были положительными, 34% – нейтральными и 28% – отрицательными. Для повышения надёжности данных применялась процедура двойной разметки: часть отзывов размечалась перекрёстно двумя экспертами. Согласованность между аннотаторами оценивалась с использованием коэффициента Cohen’s kappa, который составил 0,82, что указывает на высокий уровень согласия и подтверждает воспроизводимость базы данных.

В качестве основной архитектуры использовалась предобученная модель BERT-base (uncased), разработанная Google Research [6]. Однако с учётом языковой специфики корпуса применялась также русскоязычная модель RuBERT, созданная на базе архитектуры BERT и обученная на текстах на русском языке. Модель была загружена из открытого репозитория DeepPavlov и использовалась с параметрами: размер батча – 32, количество эпох – 5, функция потерь – categorical crossentropy.

Для моделирования и классификации текстов были выбраны три типа нейросетевых моделей, широко применяемых в задачах обработки естественного языка: LSTM (Long Short-Term Memory) – базовая модель, учитывающая последовательность слов и сохраняющая долгосрочные зависимости; BiLSTM – модификация LSTM, обеспечивающая двунаправленную обработку текста и позволяющая учитывать контекст как слева, так и справа; BERT (Bidirectional Encoder Representations from Transformers) – современная трансформерная архитектура, продемонстрировавшая высокую эффективность на широком спектре задач NLP (рис. 1).

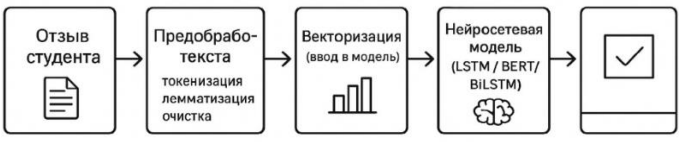


Рисунок 1 – Архитектура обработки текстового отзыва: от предобработки до классификации

Для обучения моделей использовались популярные фреймворки машинного обучения – TensorFlow и PyTorch. Гиперпараметры для каждой архитектуры подбирались с учётом особенностей корпуса и задачи классификации. Все параметры приведены в таблице 1, что обеспечивает воспроизводимость и возможность повторения эксперимента.

Таблица 1 – Гиперпараметры обученных моделей

Параметр	LSTM	BiLSTM	BERT (RuBERT)
Тип модели	LSTM	BiLSTM	RuBERT (DeepPavlov)
Размер батча	32	32	16
Количество эпох	10	10	5
Оптимизатор	Adam	Adam	Adam
Функция потерь	crossentropy	crossentropy	crossentropy
Размер эмбеддинга	300	300	768 (предобученный)

Анализ используемых параметров показал, что модели LSTM и BiLSTM обучались с одинаковыми настройками, что позволило объективно оценить влияние двунаправленной структуры на качество классификации. В то же время модель BERT (в русскоязычной реализации RuBERT) требовала меньшего числа эпох и использовала более компактный размер батча. Это объясняется тем, что модель уже прошла масштабное предобучение и обладает более информативными представлениями текста. Существенное различие в размере эмбеддингов между BERT и рекуррентными сетями подчёркивает архитектурные особенности каждого подхода и их различную способность к извлечению смысловых зависимостей.

Выбор параметров оказал влияние как на скорость обучения, так и на итоговое качество классификации, что отражено в метриках, представленных в последующих разделах. В качестве функции потерь была использована categorical crossentropy, а оптимизация осуществлялась с использованием алгоритма Adam. Для оценки качества классификации применялись метрики accuracy, precision, recall и F1-score. Обучение проводилось на тренировочном подмножестве данных (80% корпуса), а тестирование - на валидационной выборке (20%).

Результаты исследований

Для оценки эффективности выбранных архитектур – LSTM, BiLSTM и BERT – был проведён эксперимент на размеченном корпусе студенческих отзывов. Данные были предварительно разделены на обучающую выборку (80% общего объёма) и тестовую (20%), что позволило объективно оценить обобщающую способность моделей.

В ходе эксперимента основное внимание уделялось следующим метрикам: Accuracy – общая точность классификации; F1-score – сбалансированная метрика, учитывающая как полноту, так и точность; Recall – показатель полноты, отражающий способность модели выявлять целевые категории.

Результаты сравнительного анализа приведены в таблице 2 и проиллюстрированы на рисунке 2.

Таблица 2 – Результаты классификации моделей (Accuracy, Recall, F1-score)

Модель	Accuracy	Recall	F1-score
LSTM	0.75	0.70	0.72
BiLSTM	0.81	0.77	0.79
BERT	0.87	0.84	0.85

Для проверки статистической значимости различий между моделями был применён t-тест Стьюдента. Различия между результатами RuBERT и BiLSTM по метрикам Accuracy ($p = 0.032$) и F1-score ($p = 0.027$) оказались статистически значимыми при уровне значимости $p < 0.05$. Это подтверждает, что превосходство трансформерной архитектуры не является случайным, а имеет устойчивый характер.

Анализ показал, что RuBERT продемонстрировал наилучшие показатели по всем метрикам. BiLSTM превзошла LSTM благодаря учёту контекста в обеих направлениях, однако уступила трансформерной архитектуре. LSTM показала наименьшую полноту и F1-score, но её преимуществом остаются меньшие вычислительные затраты.

Дополнительно следует отметить, что модель BERT наиболее уверенно классифицирует положительные и отрицательные отзывы, достигая высокой точности по этим категориям. Для интерпретации работы модели был проведён анализ attention-механизма. При классификации отрицательных отзывов модель фокусировалась на словах «часто», «проблемы», «сбои». Наибольшее количество ошибок связано с нейтральными отзывами, которые нередко содержат двусмысленные или контекстуально сложные формулировки.

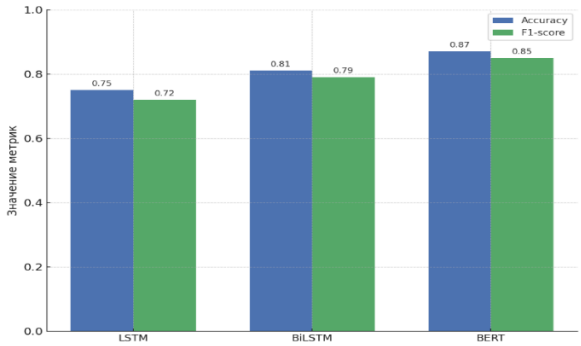


Рисунок 2 – Сравнительное качество моделей LSTM, BiLSTM и RuBERT по метрикам Accuracy и F1-score

Из рисунка 2 видно, что RuBERT демонстрирует явное преимущество над рекуррентными моделями.

Анализ ошибок моделей. LSTM нередко неверно классифицировала нейтральные отзывы, относя их к отрицательным. Например, высказывание «Лекции проходят вовремя, но материал даётся быстро» модель интерпретировала как отрицательное из-за наличия слов «быстро» и «но», хотя по смыслу отзыв скорее нейтральный. BiLSTM продемонстрировала более высокую точность за счёт учёта контекста в обеих направлениях, однако также испытывала трудности с предложениями со скрытой иронией. Так, фраза «Преподаватель всегда старается, жаль, что не всегда получается» была отнесена к положительным, несмотря на явный критический оттенок. Эти примеры подтверждают, что рекуррентные архитектуры склонны ошибаться при обработке двусмысленных формулировок и неявных эмоциональных оттенков, тогда как RuBERT лучше справляется с подобными случаями благодаря более богатому контекстному представлению текста.

Примеры корректно классифицированных отзывов включают фразы: «Преподаватель подробно объясняет материал» – положительный отзыв, отнесённый к категории «качество преподавания»; «В системе часто бывают сбои» – отрицательный отзыв, классифицированный как «технические трудности». В то же время наибольшие трудности для всех моделей вызывали иронические или саркастические формулировки, например: «Если вы любите сюрпризы – приходите на этот курс», ошибочно интерпретированное как положительное.

Анализ confusion matrix (рис. 3) подтверждает, что наибольшее количество ошибок у модели связано с нейтральными отзывами.

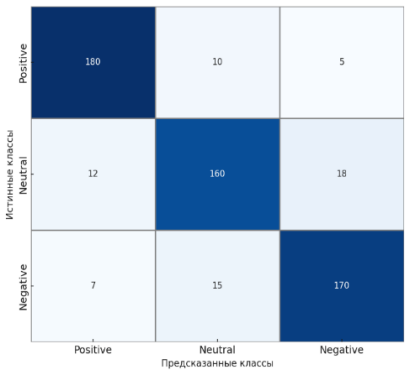


Рисунок 3 – Confusion matrix для модели BERT

Это подчёркивает необходимость дальнейшего совершенствования методов интерпретации скрытых смыслов и тональных оттенков текста, включая обработку двусмысленных и саркастических формулировок. Наибольшая часть ошибок связана с путаницей нейтральных и отрицательных отзывов, что согласуется с результатами анализа ошибок рекуррентных моделей

Обсуждение научных результатов

Полученные результаты демонстрируют преимущества трансформерных архитектур в задаче анализа образовательных текстов. Выявленное превосходство RuBERT по сравнению с рекуррентными моделями согласуется с данными зарубежных исследований, где аналогичные выводы были сделаны для RoBERTa и DeBERTa [7, 10]. В частности, работы Zhang и соавт. и Xu и др. [11, 12] показали, что модели на базе трансформеров обеспечивают более высокую устойчивость к контекстуальной неоднозначности, чем LSTM и BiLSTM. Результаты также подтверждают эффективность BiLSTM, которая демонстрирует более высокую точность по сравнению с LSTM. Это связано с учётом контекста в обеих направлениях. Этот вывод согласуется с экспериментами Li и соавт. [13], где аналогичный эффект был зафиксирован при анализе отзывов в образовательной среде. Важно подчеркнуть, что высокая точность RuBERT достигается ценой больших вычислительных затрат. Этот фактор ограничивает возможности его внедрения в условиях университетов, где ресурсы могут быть ограниченными. В отличие от этого, LSTM и BiLSTM обеспечивают более быструю обработку при приемлемом уровне точности, что делает их подходящими для систем, где важна скорость отклика.

Таким образом, проведённое исследование подтверждает устойчивую тенденцию: архитектуры на базе трансформеров становятся основным инструментом анализа текстовых данных, в том числе в образовательной аналитике. Однако в практических условиях выбор модели должен учитывать баланс между качеством классификации и доступными вычислительными ресурсами

Заключение

Проведённое исследование показало эффективность применения нейросетевых моделей для анализа текстовых отзывов обучающихся. Сравнение архитектур LSTM, BiLSTM и RuBERT подтвердило преимущество трансформерных решений: модель RuBERT обеспечила наивысшие показатели Accuracy, Recall и F1-score, что статистически подтверждено результатами t-теста.

Научная новизна работы заключается в систематическом сравнительном анализе рекуррентных и трансформерных архитектур именно на корпусе студенческих отзывов вузов Казахстана. Это позволило продемонстрировать воспроизводимость экспериментов, выявить закономерности ошибок различных моделей и обосновать возможность интеграции RuBERT в системы LMS и цифровые образовательные платформы.

Практическая значимость исследования состоит в том, что предложенный подход позволяет автоматизировать обработку обратной связи студентов, повышая объективность оценки качества образовательного процесса и снижая трудозатраты преподавателей и администрации вузов.

Ограничения исследования связаны с использованием одного корпуса данных и фокусом на русскоязычных текстах. Перспективным направлением является расширение базы за счёт казахоязычных отзывов обучающихся, а также включение многоязычных коллекций. Это создаст основу для разработки двуязычных и многоязычных систем образовательной аналитики.

Таким образом, результаты работы демонстрируют высокий потенциал нейросетевых архитектур в образовательной аналитике и формируют базу для дальнейших исследований с использованием современных моделей (RoBERTa, DeBERTa, ChatGLM) и методов интерпретации (attention-механизмы, визуализация признаков).

Список литературы

1. Васнецова Е.Л. Применение методов анализа тональности в образовательной среде / Е.Л. Васнецова, Д.А. Семенов // Образовательные технологии и общество. – 2021. – № 24(1). – С.105-116.

2. Efficient estimation of word representations in vector space / T. Mikolov et al // arXiv preprint arXiv:1301.3781, 2013.

3. Cortes C. Support-vector networks / C. Cortes, V. Vapnik // Machine Learning. – 1995. – № 20(3). – P. 273-297.
4. Schuster M.K. Bidirectional recurrent neural networks / M. Schuster, K.K. Paliwal // IEEE Transactions on Signal Processing. – 1997. – № 45(11). – P. 2673-2681.
5. Hochreiter S. Long short-term memory / S. Hochreiter, J. Schmidhuber // Neural Computation. – 1997. – № 9(8). – P. 1735-1780.
6. RoBERTa – BiLSTM: A Context – Aware Hybri Model for Sentiment Analysis / Rahman M.M. et al // arXiv preprint arXiv:2406.00367. – 2024. https://doi.org/10.48550/arXiv.2406.00367.
7. BERT: Pre-training of deep bidirectional transformers for language understanding / J. Devlin et al // Proceedings of NAACL-HLT. – 2019. – P. 4171-4186.
8. RoBERTa: A robustly optimized BERT pretraining approach / Y. Liu et al // arXiv preprint arXiv:1907. – 2019. – P. 11692.
9. Lin F. Sentiment analysis in online education: An analytical approach and application / F. Lin // Proceedings of the International Conference on Machine Learning and Automation. – 2024.
10. An improved neural network model for sentiment analysis in online education / B. Xu et al // Journal of Intelligent & Fuzzy Systems. – 2020. – № 38(3). – P. 3651-3662.
11. Elevating educational insights: Sentiment analysis of faculty feedback using advanced machine learning models / S.B. Deshpande et al // Advances in Continuous and Discrete Models. – 2025.
12. Zhang W. Comparative evaluation of Transformer-based models for multilingual sentiment analysis / W. Zhang, L. Xu, J. Wang // Journal of Artificial Intelligence Research. – 2024. – № 71. – P. 55-72.
13. Xu R. Advances in DeBERTa for educational text mining / R. Xu, H. Chen, Z. Huang // Computers & Education. – 2025. – № 198. – P. 104719.
14. Li X. Sentiment analysis in educational contexts: Comparing LSTM and BiLSTM approaches / X. Li, Y. Zhang, H. Zhao // Education and Information Technologies. – 2023. – № 28(2). – P. 213-229.

References

1. Vasnetsova E.L. Primenenie metodov analiza tonal'nosti v obrazovatel'noi srede / E.L. Vasnetsova, D.A. Semenov // Obrazovatel'nye tekhnologii i obshchestvo. – 2021. – № 24(1). – S.105-116. (In Russian).
2. Efficient estimation of word representations in vector space / T. Mikolov et al // arXiv preprint arXiv:1301.3781, 2013. (In English).
3. Cortes C. Support-vector networks / C. Cortes, V. Vapnik // Machine Learning. – 1995. – № 20(3). – R. 273-297. (In English).
4. Schuster M.K. Bidirectional recurrent neural networks / M. Schuster, K.K. Paliwal // IEEE Transactions on Signal Processing. – 1997. – № 45(11). – R. 2673-2681. (In English).
5. Hochreiter S. Long short-term memory / S. Hochreiter, J. Schmidhuber // Neural Computation. – 1997. – № 9(8). – R. 1735-1780. (In English).
6. RoBERTa – BiLSTM: A Context – Aware Hybri Model for Sentiment Analysis / Rahman M.M. et al // arXiv preprint arXiv:2406.00367. – 2024. https://doi.org/10.48550/arXiv.2406.00367. (In English).
7. BERT: Pre-training of deep bidirectional transformers for language understanding / J. Devlin et al // Proceedings of NAACL-HLT. – 2019. – R. 4171-4186. (In English).
8. RoBERTa: A robustly optimized BERT pretraining approach / Y. Liu et al // arXiv preprint arXiv:1907. – 2019. – R. 11692. (In English).
9. Lin F. Sentiment analysis in online education: An analytical approach and application / F. Lin // Proceedings of the International Conference on Machine Learning and Automation. – 2024. (In English).
10. An improved neural network model for sentiment analysis in online education / V. Xu et al // Journal of Intelligent & Fuzzy Systems. – 2020. – № 38(3). – R. 3651-3662. (In English).
11. Elevating educational insights: Sentiment analysis of faculty feedback using advanced machine learning models / S.B. Deshpande et al // Advances in Continuous and Discrete Models. – 2025. (In English).
12. Zhang W. Comparative evaluation of Transformer-based models for multilingual sentiment analysis / W. Zhang, L. Xu, J. Wang // Journal of Artificial Intelligence Research. – 2024. – № 71. – R. 55-72. (In English).

13. Xu R. Advances in DeBERTa for educational text mining / R. Xu, H. Chen, Z. Huang // Computers & Education. – 2025. – № 198. – R. 104719. (In English).
14. Li X. Sentiment analysis in educational contexts: Comparing LSTM and BiLSTM approaches / X. Li, Y. Zhang, H. Zhao // Education and Information Technologies. – 2023. – № 28(2). – R. 213-229. (In English).

О.С. Салыкова[1]*, А.А. Артыкбаева[1], А.М. Искакова[1], Л.И. Нурмагамбетова[2]
[1]Ахмет Байтұрсынұлы атындағы Қостанай өңірлік университеті,
110000, Қазақстан Республикасы, Қостанай қ,, А. Байтұрсынов көшесі, 47
[2]Міржақып Дулатов атындағы Қостанай инженерлік-экономикалық университеті
110000, Қазақстан Республикасы, Қостанай қ,, Чернышевский көшесі, 59
*e-mail: solga0603@mail.ru

БІЛІМ АЛУШЫЛАРДЫҢ МӘТІНДІК ПІКІРЛЕРІН ТАЛДАУДЫҢ НЕЙРОНДЫҚ ЖЕЛІ ӘДІСТЕРІ: СӘУЛЕТ, ОҚЫТУ ЖӘНЕ НӘТИЖЕЛЕРДІ ТҮСІНДІРУ

Мақалада студенттердің пікірлерін автоматты түрде жіктеу үшін қолданылатын LSTM, BiLSTM және RuBERT нейрожелілік архитектураларының салыстырмалы талдауы ұсынылған. Зерттеуде деректерді алдын ала өңдеуге, эмоционалдық реңк пен тақырыптық аспектілерді ескеріп қолмен белгілеуге, сондай-ақ корпустың сенімділігін Cohen's kappa коэффициенті (0,82) арқылы бағалауға ерекше көңіл бөлінді. Эксперименттік нәтижелер RuBERT моделінің ең жоғары дәлдікке (Accuracy = 0,87) және F1-score = 0,85 көрсеткіштеріне қол жеткізгенін көрсетті, бұл t-тест нәтижелерімен статистикалық тұрғыдан расталды. Сонымен қатар, BiLSTM контексті екі бағытта ескерудің арқасында LSTM-мен салыстырғанда жақсы нәтижелер көрсетті. Қателерді талдау рекуррентті модельдердің бейтарап және теріс пікірлерді жиі шатастыратынын, ал трансформерлік архитектураның екіұшты тұжырымдар мен жасырын эмоциялық реңктерді дәлірек өңдейтінін көрсетті. Зерттеудің практикалық маңыздылығы студенттердің пікірлерін талдауды автоматтандыру үшін әзірленген тәсілді LMS пен цифрлық білім беру платформаларына интеграциялау мүмкіндігінде. Болашақ зерттеулер қазақ тіліндегі мәтіндер корпустарын кеңейтуді және RoBERTa, DeBERTa, ChatGLM сияқты заманауи трансформерлік модельдерді қолдануды қамтиды.

Түйін сөздер: *мәтіндік талдау, білім беру аналитикасы, BERT үлгісі, LSTM, автоматты жіктеу, мәтінді өңдеу, студенттердің кері байланысы, интеллектуалды білім беру жүйелері.*

O.S. Saltykova[1]*, A.A. Artykbayeva[1], A.M. Iskakova[1], L.I. Nurmagambetova[2]
[1]Kostanay Regional University named after Akhmet Baitursynuly,
110000, Republic of Kazakhstan, Kostanay, 47 A. Baitursynova street
[2]Kostanay Engineering and Economics University named after Myrzhakyp Dulatov,
110000, Republic of Kazakhstan, Kostanay, 59 Chernyshevsky street
*e-mail: solga0603@mail.ru

NEURAL NETWORK METHODS FOR ANALYZING TEXT FEEDBACK FROM STUDENTS: ARCHITECTURE, LEARNING, AND INTERPRETATION OF RESULTS

This article presents a comparative analysis of neural network architectures LSTM, BiLSTM, and RuBERT applied to the automatic classification of student feedback. Particular attention is paid to data preprocessing, manual annotation with consideration of sentiment and thematic aspects, as well as corpus reliability assessment using Cohen's kappa coefficient (0.82). The experimental results show that RuBERT achieves the highest Accuracy (0.87) and F1-score (0.85), which is statistically confirmed by t-test results. At the same time, BiLSTM demonstrates higher efficiency compared to LSTM due to its ability to capture bidirectional context. Error analysis revealed that recurrent models most often confuse neutral and negative feedback, while the transformer-based architecture performs better in handling ambiguous expressions and subtle emotional nuances. The practical significance of the study lies in the possibility of integrating the proposed approach into LMS and digital educational platforms to automate the analysis of student feedback. Future research directions include expanding the corpus with Kazakh-language texts and applying advanced Transformer-based models (RoBERTa, DeBERTa, ChatGLM).

Key words: *neural network text analysis, educational analytics, BERT, LSTM, automatic classification, text preprocessing, student feedback, intelligent educational systems.*

Сведения об авторах

Ольга Сергеевна Салыкова* – кандидат технических наук, ассоциированный профессор кафедры «Программного обеспечения», Костанайский региональный университет имени Ахмет Байтұрсынұлы, Республика Казахстан; e-mail: solga0603@mail.ru. ORCID: https://orcid.org/0000-0002-8681-4552.

Асель Айдарбековна Артыкбаева – докторант кафедры «Программного обеспечения» Костанайского регионального университета имени Ахмет Байтұрсынұлы, Республика Казахстан; e-mail: asel_aidarbekowna@mail.ru. ORCID: https://orcid.org/0009-0001-2233-092X.

Альмира Мухтаровна Искакова – докторант кафедры «Программного обеспечения» Костанайского регионального университета имени Ахмет Байтұрсынұлы, Республика Казахстан; e-mail: n.a.almira.24@gmail.com. ORCID: https://orcid.org/0009-0000-4288-9774

Ляйля Искендировна Нурмагамбетова – кандидат экономических наук, ассоциированный профессор ассоциированный профессор кафедры «Социально-экономических дисциплин», Костанайский инженерно-экономический университет имени Мыржакыпа Дулатова, Республика Казахстан; e-mail: Leila0205@mail.ru. ORCID: 0009-0002-4459-5010.

Авторлар туралы мәліметтер

Ольга Сергеевна Салыкова* – техника ғылымдарының кандидаты, «Бағдарламалық қамтамасыз ету» кафедрасының қауымдастырылған профессоры, Ахмет Байтұрсынұлы атындағы Қостанай өңірлік университеті, Қазақстан Республикасы; e-mail: solga0603@mail.ru. ORCID: https://orcid.org/0000-0002-8681-4552/.

Асель Айдарбековна Артыкбаева – «Бағдарламалық қамтамасыз ету» кафедрасының докторанты, Ахмет Байтұрсынұлы атындағы Қостанай өңірлік университеті, Қазақстан Республикасы; e-mail: asel_aidarbekowna@mail.ru. ORCID: https://orcid.org/0009-0001-2233-092X.

Альмира Мухтаровна Искакова – «Бағдарламалық қамтамасыз ету» кафедрасының докторанты; Ахмет Байтұрсынұлы атындағы Қостанай өңірлік университеті, Қазақстан Республикасы; e-mail: n.a.almira.24@gmail.com. ORCID: https://orcid.org/0009-0000-4288-9774.

Ляйля Искендировна Нурмагамбетова – экономика ғылымдарының кандидаты, қауымдастырылған профессор «Әлеуметтік – экономикалық пәндер» кафедрасының қауымдастырылған профессоры, Мыржақып Дулатов атындағы Қостанай инженерлік – экономикалық университеті, Қазақстан Республикасы; e-mail: Leila0205@mail.ru. ORCID: https://orcid.org/0009-0002-4459-5010.

Information about the authors

Olga Salykova* – candidate of technical sciences, associate professor of the Department of Software Engineering, Kostanay Regional University named after Akhmet Baitursynuly, Republic of Kazakhstan; e-mail: solga0603@mail.ru. ORCID: https://orcid.org/0000-0002-8681-4552.

Assel Artykbayeva – doctoral student of the department of Software Engineering, A. Baitursynov Kostanay Regional University, Republic of Kazakhstan; e-mail: asel_aidarbekowna@mail.ru. ORCID: https://orcid.org/0009-0001-2233-092X.

Almira Iskakova – doctoral student of the department of Software Engineering, A. Baitursynov Kostanay Regional University, Republic of Kazakhstan; e-mail: n.a.almira.24@gmail.com. ORCID: https://orcid.org/0009-0000-4288-9774.

Lyailya Nurmagambetova – candidate of economic sciences, associate professor, associate professor of the Department of Socio-economic disciplines, Kostanay Engineering and Economics University named after Myrzakyp Dulatov, Republic of Kazakhstan; e-mail: Leila0205@mail.ru. ORCHID: https://orcid.org/0009-0002-4459-5010.

Поступила в редакцию 03.06.2025
Поступила после доработки 08.09.2025
Принята к публикации 16.09.2025

https://doi.org/10.53360/2788-7995-2025-4(20)-4

МРНТИ: 50.41.23

CC BY 4.0
Check for updates

К.П. Аман, А.А. Мусина*
Актюбинский региональный университет им. К. Жубанова,
030000, Республика Казахстан, г. Актобе, ул. А. Молдагуловой, 34А
*e-mail: alla.mussina@mail.ru

СРАВНИТЕЛЬНЫЙ АНАЛИЗ ПРОИЗВОДИТЕЛЬНОСТИ BGP И OSPF В МУЛЬТИУРОВНЕВЫХ АРХИТЕКТУРАХ

Аннотация: *Статья посвящена сравнительному анализу двух основных протоколов маршрутизации - OSPF (Open Shortest Path First) и BGP (Border Gateway Protocol) в мультиуровневых сетевых архитектурах. В ходе работы были проведены тесты с использованием Cisco Packet Tracer для анализа реальной производительности обоих протоколов. Были рассмотрены такие аспекты, как время установления соединения, скорость конвергенции, нагрузка на ресурсы и гибкость политики маршрутизации.*

Результаты тестов показали, что OSPF характеризуется быстрой установкой соединения и конвергенцией, что делает его предпочтительным для использования внутри автономной системы, где важны высокая доступность и минимальное время отклика. В то же время, протокол BGP, несмотря на более медленное время установления соединения и конвергенции, демонстрирует значительно большую масштабируемость и гибкость в настройке политик маршрутизации, что делает его оптимальным выбором для межсетевого взаимодействия и глобальных сетей.

Исследование также рассмотрело вопросы устойчивости протоколов к петлям, а также их нагрузки на процессор и память, подчеркнув, что BGP требует меньших ресурсов, что делает его более эффективным в масштабируемых и высоконагруженных сетевых средах.

Представленные результаты могут служить полезным ориентиром для сетевых инженеров и администраторов при выборе подходящего протокола маршрутизации в зависимости от требований конкретной сети и её архитектуры.

Ключевые слова: *OSPF, BGP, маршрутизация, мультиуровневая архитектура, протоколы маршрутизации, Cisco Packet Tracer, время конвергенции, нагрузка на ресурсы.*

Введение

С развитием информационных технологий и расширением сетевой инфраструктуры организации сталкиваются с необходимостью оптимизации процессов маршрутизации в рамках сложных сетевых архитектур. Сегодня существует большое количество протоколов маршрутизации, которые выполняют различные функции в зависимости от характеристик и требований сети. Одними из наиболее популярных и широко используемых протоколов являются OSPF (Open Shortest Path First) и BGP (Border Gateway Protocol). Эти протоколы находят применение в различных областях: от малых корпоративных сетей до крупных дата-центров и облачных сервисов [1].

Рост сложности сетевой инфраструктуры является основной причиной необходимости применения более совершенных и высокоэффективных протоколов маршрутизации. Современные сети характеризуются разнообразием топологий, высоким уровнем нагрузки и потребностью в быстром реагировании на изменения в сети. В таких условиях важно учитывать два ключевых аспекта: скорость сходимости и масштабируемость. Поэтому тема исследования актуальна.

Данная работа направлена на проведение сравнительного анализа производительности OSPF и BGP в контексте мультиуровневых сетей, где требуется учитывать как внутреннюю маршрутизацию, так и взаимодействие с внешними сетями.

Цель работы заключается в проведении сравнительного анализа протоколов маршрутизации BGP и OSPF в условиях мультиуровневых сетей, с учётом таких факторов, как время реакции**,** число пакетов**,** сложность конфигурации и адаптивность к изменениям в топологии**.**

Методы исследования

Для реализации цели была использована эмуляция сетевой инфраструктуры с использованием Packet Tracer. В процессе работы был проведен анализ характеристик, таких как время сходимости, нагрузка на процессор и память устройств, а также масштабируемость таблиц маршрутизации для каждого из протоколов.

Для выполнения сравнительного анализа протоколов маршрутизации BGP и OSPF в условиях мультиуровневых сетей применён подход, включающий моделирование сетевой инфраструктуры. Исследование состоит из нескольких этапов, каждый из которых нацелен на детальное сравнение производительности протоколов, их сходимости и масштабируемости в различных сценариях. Построена мультиуровневая сеть, моделирующая реальную корпоративную инфраструктуру [2].

Результаты исследований

Сравнительный анализ протоколов OSPF и BGP в мультиуровневой архитектуре выявил, что OSPF значительно быстрее устанавливает соединение, в пределах 2-5 секунд, в то время как BGP требует больше времени 15-60 секунд. Это делает OSPF предпочтительным для внутренних сетей, где важна оперативность.

OSPF имеет более быстрое время конвергенции 3-7 секунд, что позволяет быстрее восстанавливать маршруты при сбоях. BGP же требует больше времени 20-40 секунд, что может привести к большему времени простоя при отказах на внешних интерфейсах или межсетевых соединениях.

OSPF быстро распространяет маршруты внутри сети, в то время как BGP распространяет их медленнее, что обусловлено более сложной политикой маршрутизации и меньшей частотой обновлений [3].

OSPF подходит для средних и крупных сетей с количеством маршрутизаторов до 1000. В то же время, BGP отлично масштабируется до миллионов маршрутов, что делает его идеальным выбором для крупномасштабных межсетевых соединений и глобальных маршрутов между автономными системами (табл. 1,2).

Таблица 1 – Сравнительная таблица: OSPF и BGP в мультиуровневой архитектуре

Параметр	OSPF	BGP
Тип протокола	Внутренний (IGP)	Внешний (EGP)
Время установления соединения	2–5 секунд	15–60 секунд
Время конвергенции при отказе	3–7 секунд	20–40 секунд
Скорость распространения маршрутов	Быстрое	Медленное
Масштабируемость	До 1000 маршрутизаторов	До миллионов маршрутов

Таблица 2 – Симулированные результаты тестов (Cisco Packet Tracer)

Тест	OSPF	BGP
Время установления соединения	4.2 сек	35.6 сек
Конвергенция после обрыва связи	5.1 сек	27.8 сек
Количество служебных пакетов (за 1 мин)	42 пакета	8 пакетов
Изменение маршрутной таблицы	Мгновенно	С задержкой
Уровень сложности настройки	Средний	Высокий

На рисунках 1 и 2 соответственно представлен сравнительный анализ, который демонстрирует, что OSPF реагирует гораздо быстрее, чем BGP, а также, что BGP занимает заметно больше времени.

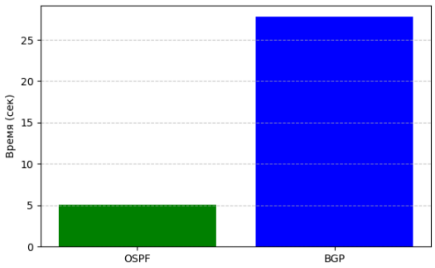


Рисунок 1 – Время конвергенции

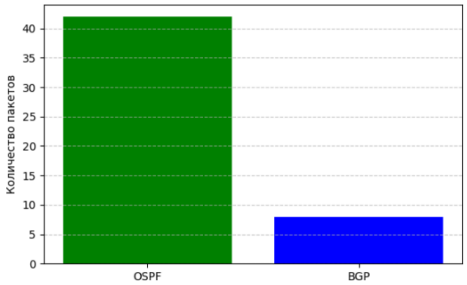


Рисунок 2 – Объём служебного трафика

OSPF является идеальным выбором для сетей, где важны скорость установления соседства, быстрая конвергенция и меньшая сложность настройки. Это делает его предпочтительным для внутренних сетей. BGP более подходит для межсетевого взаимодействия между различными автономными системами, где требуется высокая масштабируемость и гибкость политик маршрутизации, но с более высокой задержкой и сложностью настройки.

Таким образом, выбор между OSPF и BGP зависит от конкретных требований сети и архитектуры, с учетом скорости реакции, масштаба сети и сложности управления. Новизна

исследования заключается в практическом и комплексном подходе к анализу двух наиболее популярных протоколов маршрутизации, с акцентом на реальные эксплуатационные данные и рекомендации по улучшению сетевых архитектур с учетом специфики мультиуровневых инфраструктур.

Обсуждение научных результатов

Результаты тестов показали, что OSPF значительно быстрее устанавливает соседство и восстанавливает маршруты после отказов по сравнению с BGP. Это подтверждает теоретические данные, где OSPF описывается как протокол с быстрой конвергенцией, что является одним из ключевых его преимуществ в сетевых архитектурах, где важна высокая доступность и быстрота реакции на изменения в сети [4-6].

Однако важно отметить, что скорость установления соседства и конвергенции для BGP является функцией его более сложной природы, поскольку этот протокол ориентирован на работу в глобальных масштабах, где необходимо учитывать множество автономных систем. BGP использует алгоритм с более сложной логикой, что обуславливает более длительное время установления соседства и конвергенции, но при этом протокол обладает высокой гибкостью и устойчивостью к сбоям на более крупных уровнях.

Одним из наиболее важных аспектов нашего исследования стала масштабируемость обоих протоколов. В то время как OSPF способен эффективно работать в больших сетях с количеством маршрутизаторов до 1000, его производительность может снижаться при еще большем расширении сети. Напротив, BGP был изначально спроектирован для работы в огромных глобальных сетях и способен обрабатывать миллионы маршрутов, что делает его предпочтительным выбором для маршрутизации между различными автономными системами [7-10].

Симулированные тесты показали значительные различия в поведении обоих протоколов при реальных условиях. OSPF продемонстрировал быстрое время установления соседства и конвергенции. В то время как BGP, несмотря на более высокие значения времени установления соседства и конвергенции, был более эффективен при обработке больших таблиц маршрутов.

Также было отмечено, что количество служебных пакетов, генерируемых OSPF, значительно выше, чем у BGP, что является следствием постоянных обменов состояния маршрутов и соседства. Это может оказывать влияние на производительность сети в условиях ограниченных ресурсов, что требует внимания при проектировании больших сетевых инфраструктур.

Заключение

Исследование подтвердило теоретические предположения о том, что OSPF подходит для использования в небольших и средних сетях, где критична скорость отклика и простота конфигурации. BGP, в свою очередь, является незаменимым в глобальных сетях и при маршрутизации между автономными системами, где требуется высокая масштабируемость и гибкость в настройке политик.

Результаты тестирования дают ценную информацию для сетевых инженеров и операторов связи, помогая им принимать более обоснованные решения при выборе протоколов маршрутизации в зависимости от специфики сетевой инфраструктуры и требований к производительности.

Список литературы

1. Doyle J. Routing TCP/IP. T. 1. – M.: Cisco Press, 2005.
2. Evaluating routing algorithms across different wireless mesh network topologies using ns-3 simulator / D.A. Turlykozhayeva et al // Eurasian Physical Technical Journal. – 2024. – T. 21, № 2(48).
3. Kurose J.F. Computer Networking: A Top-Down Approach / J.F. Kurose, K.W. Ross. – 6-е изд. - M.: Pearson, 2016.
4. ConfigKG: Identify Routing Security Issues from Configurations Based on Knowledge Graph / P. Li // 2024 IEEE 23rd International Conference on Trust, Security and Privacy in Computing and Communications (TrustCom). – 2024. – P. 1060-1069.
5. Mahajan R. Understanding BGP misconfiguration / R. Mahajan, D. Wetherall, T. Anderson // Proceedings of the ACM SIGCOMM 2002 Conference. – 2002. – P. 3-16.

6. Optimizing Network Performance: A Comparative Analysis of EIGRP, OSPF, and BGP in IPv6-Based Load-Sharing and Link-Failover Systems / Kamal Shahid, Saleem Naseer Ahmad, Syed Tahir Hussain Rizvi // Future Internet. – 2024.
7. Raza S. SVELTE: Real-time intrusion detection in the Internet of Things / S. Raza, L. Wallgren, T. Voigt // Ad Hoc Networks. – 2013. – T. 11, № 8. – P. 2661-2674.
8. Routing Metric and Protocol for Wireless Mesh Network Based on Information Entropy Theory / D. Turlykozhayeva et al.
9. Evaluating Routing Algorithms Across Different Wireless Mesh Network Topologies Using NS-3 Simulator // Eurasian Physical Technical Journal. – 2024. – T. 20, № 4(46). – P. 90-98.
10. Comparative Study of Routing Protocols / Ammar Rangwala, Bhavesh Patil, Paresh Patel // International Journal of Engineering Research & Technology (IJERT). – 2024.

К.П. Аман, А.А. Мусина*
Қ. Жұбанов атындағы Ақтөбе өңірлік университеті,
030000, Қазақстан Республикасы, Ақтөбе қ., А. Молдағұлова көшесі, 34А
*e-mail: alla.mussina@mail.ru

КӨП ДЕҢГЕЙЛІ АРХИТЕКТУРАЛАРДАҒЫ BGP ЖӘНЕ OSPF ПРОТОКОЛДАРЫНЫҢ ӨНІМДІЛІГІН САЛЫСТЫРМАЛЫ ТАЛДАУ

Бұл мақалада маршрутизацияның OSPF (Open Shortest Path First) және BGP (Border Gateway Protocol) протоколдарының көп деңгейлі желілік архитектуралардағы өнімділігі салыстырылады. Зерттеу барысында екі протоколдың нақты жұмыс өнімділігі Cisco Packet Tracer симуляторы арқылы тестіленіп бағаланды. Байланыс орнату уақыты, конвергенция жылдамдығы, ресурстарға түсетін жүктеме және маршрутизация саясатының икемділігі сияқты аспектілер қарастырылды.

Тестілеу нәтижелері көрсеткендей, OSPF протоколы байланыс орнатудың және конвергенцияның жоғары жылдамдығымен сипатталады, бұл оны автономды жүйелер ішінде, жоғары қолжетімділік пен минималды жауап уақыты қажет жағдайларда тиімді етеді. Ал BGP протоколы байланыс орнату мен конвергенцияда баяу болғанымен, үлкен ауқымдылық пен саясат икемділігін қамтамасыз етеді. Бұл оны желіаралық өзара әрекеттесу мен жаһандық желілер үшін оңтайлы таңдау етеді.

Сонымен қатар зерттеуде протоколдардың циклдерге төзімділігі, процессор мен жадқа түсетін жүктеме анықталып, BGP-нің ресурстарды аз пайдаланатыны анықталды. Бұл оны ауқымды және жоғары жүктемелі желілік ортада тиімді етеді.

Ұсынылған нәтижелер желі инженерлері мен әкімшілеріне желі архитектурасына және нақты талаптарға сай маршруттау протоколын таңдауда пайдалы бағыт-бағдар бола алады.

Түйін сөздер: *OSPF, BGP, маршрутизация, көп деңгейлі архитектура, маршруттау протоколдары, Cisco Packet Tracer, конвергенция уақыты, ресурстар жүктемесі.*

K.P. Aman, A.A. Musina*
K. Zhubanov Aktobe Regional University,
030000, Republic of Kazakhstan, Aktobe, A. Moldagulova St., 34A
*e-mail: alla.mussina@mail.ru

COMPARATIVE ANALYSIS OF BGP AND OSPF PERFORMANCE IN MULTI-LEVEL ARCHITECTURES

This article presents a comparative analysis of two primary routing protocols – OSPF (Open Shortest Path First) and BGP (Border Gateway Protocol) – within multi-level network architectures. The study involved testing the actual performance of both protocols using Cisco Packet Tracer. Key aspects such as connection establishment time, convergence speed, resource load, and routing policy flexibility were examined.

The test results showed that OSPF is characterized by fast connection establishment and quick convergence, making it the preferred choice for use within an autonomous system where high availability and minimal response time are critical. On the other hand, while BGP has a slower connection setup and convergence, it offers significantly greater scalability and flexibility in routing policy configuration, making it an optimal choice for inter-network communication and global networks.

The study also addressed the protocols' resistance to routing loops, as well as their processor and memory load, highlighting that BGP requires fewer resources. This makes it more efficient in scalable and high-load network environments.

The presented results may serve as a valuable reference for network engineers and administrators when choosing an appropriate routing protocol depending on the specific network requirements and architecture.

Key words: OSPF, BGP, routing, multi-level architecture, routing protocols, Cisco Packet Tracer, convergence time, resource load.

Сведения об авторах

Кулнар Панабековна Аман – кандидат технических наук, доцент кафедры «Информатика и информационные технологии», Актюбинский региональный университет им. К. Жубанова, Республика Казахстан; e-mail: kulnar@inbox.ru. ORCID: https://orcid.org/0000-0002-0643-2280.

Алла Александровна Мусина* – магистр по направлению системный анализ и управление, преподаватель кафедры «Информатика и информационные технологии», Актюбинский региональный университет им. К. Жубанова, Республика Казахстан; e-mail: alla.mussina@mail.ru. ORCID: https://orcid.org/0000-0003-4179-4241.

Авторлар туралы мәліметтер

Күлнәр Панабекқызы Аман – техника ғылымдарының кандидаты, «Информатика және ақпараттық технологиялар» кафедрасының доценті, Қ. Жұбанов атындағы Ақтөбе өңірлік университеті,Қазақстан Республикасы; e-mail: kulnar@inbox.ru. ORCID: https://orcid.org/0000-0002-0643-2280.

Алла Александровна Мусина* – Жүйелік талдау және басқару мамандығы бойынша магистр, преподаватель кафедры «Информатика и информационные технологии», «Информатика және ақпараттық технологиялар» кафедрасының оқытушысы, Қ. Жұбанов атындағы Ақтөбе өңірлік университеті,Қазақстан Республикасы; e-mail: alla.mussina@mail.ru. ORCID: https://orcid.org/0000-0003-4179-4241.

Information about the authors

Kulnar Panabekovna Aman – Candidate of Technical Sciences, Associate Professor of the Department of «Informatics and Information Technologies», K. Zhubanov Aktobe Regional University, Republic of Kazakhstan; e-mail: kulnar@inbox.ru. ORCID: https://orcid.org/0000-0002-0643-2280.

Alla Alexandrovna Musina* – Master in the field of Systems Analysis and Control, Lecturer of the Department of «Informatics and Information Technologies», K. Zhubanov Aktobe Regional University, Republic of Kazakhstan; e-mail: alla.mussina@mail.ru. ORCID: https://orcid.org/0000-0003-4179-4241.

Поступила в редакцию 10.06.2025
Поступила после доработки 01.10.2025
Принята к публикации 06.10.2025

https://doi.org/10.53360/2788-7995-2025-4(20)-5

IRSTI: 28.23.13

CC BY 4.0
Check for updates

B.Kh. Abdygalym[1,3], E. Adali[2], M.A. Sambetbayeva[1,3,*], Z.B. Sadirmekova[1], A.A. Nazymkhan[3]
[1]«Q» University,
050026, Republic of Kazakhstan, Almaty, str. Baizakov 125/185,
[2]Istanbul Technical University,
34437, Turkey, Istanbul, Beyoğlu, Inönü str. 65,
[3]L.N. Gumilyov Eurasian National University,
010008, Republic of Kazakhstan, Astana, Satpayev str. 2.
*e-mail: sambetbayeva_ma_1@enu.kz

A CONCEPTUAL MODEL FOR ONTOLOGY-BASED DETECTION OF INFORMATION OPERATIONS IN DIGITAL MEDIA

Abstract: *With the rapid growth of disinformation, cognitive manipulation and coordinated information campaigns in digital media, there is a need to develop intelligent methods for identifying and analyzing information operations. This paper proposes a conceptual model that integrates a multilingual annotated corpus, an ontological knowledge base and a semantic knowledge graph for the systematic study of mechanisms of information impact.*

The methodology of the research includes the construction of a specialized framework formed out of messages collected from Telegram channels, news portals and social networks. The data goes through a multi-level annotation using the Label Studio platform, where experts manually mark key entities, including military terms, target audiences, sources, actors, and emotional evaluations. The annotated corpus is semantically corresponded with the ontology of the subject field, formalized in OWL and enriched with the military thesaurus MIL_term, which provides consistency of terminology and support for multilingual analytics.

The ontological model is transformed into an RDF-graph of knowledge, reflecting the relationships between entities, events, tactics and narratives. SWRL-rules are used to identify hidden patterns, and the developed SPARQL-queries allow to extract complex analytical patterns, including chains of "actor – tactic – narrative – audience". The proposed approach forms the basis for complex analysis of information flows, early detection of threats and construction of analytical scenarios, which makes it applicable for research and monitoring of information operations in multilingual digital environments.

Key words: *Information operations, Ontology, Semantic Classification, NLP, OWL, SPARQL, Social media monitoring.*

Introduction

With the rapid development of digital communications and social media, modern information flows are becoming more intense, decentralized and dynamic. At the same time, the use of disinformation, cognitive manipulation and coordinated influence campaigns is increasing [1-2]. In such conditions, the identification, analysis and monitoring of information operations becomes a key task for both researchers and specialists in the field of information security and data analysis.

Traditional approaches based on simple statistical methods and heuristics show limited effectiveness when dealing with large amounts of unstructured data [3-5]. Modern information operations use complex narrative constructs, a network of interconnected actors and dynamic message propagation tactics, which makes the task of detecting and analyzing them much more difficult. In addition, the high multilingual nature of information flows – especially in the context of military and geopolitical conflicts – reinforces the need to develop new intellectual models to understand the context and semantics of messages.

In recent years, considerable attention has been paid to the application of ontologies, semantic technologies and knowledge graphs to analyze complex domains. Ontologies allow you to formalize entities, their attributes and relationships, providing a single view of knowledge, which is critical for integrating data from different sources. The use of RDF graphs in combination with SWRL rules and SPARQL queries allows you to automate the process of extracting hidden patterns and analyze complex information scenarios more efficiently.

However, existing solutions are mainly limited to either creating separate annotated enclosures or building ontologies without integrating them into a single analytical platform. This results in insufficient data connectivity, low interoperability, and limited ability to extract complex semantic patterns.

This paper proposes a comprehensive conceptual model for identifying and analyzing information operations in digital media, which combines:

- Multilingual annotated case, created on the basis of data from Telegram channels, news portals and social networks.
- Multi-level data annotation using the Label Studio platform, including markup of military terms, target audiences, sources, actors, timing, and emotional assessments.
- The ontology of the subject area, formalized in OWL 2 and enriched with the military thesaurus MIL_term, providing consistency of terms and multilingual support.
- An RDF knowledge graph that reflects relationships between entities, events, tactics, and narratives.
- SWRL-rules for logical inference of new knowledge and detection of hidden patterns.
- SPARQL queries for extracting complex knowledge structures and building analytical scenarios.

The key goal of the research is to develop a universal architecture that combines corpus linguistics, ontological modeling and semantic analysis to ensure effective monitoring and analytical research of information operations. Unlike existing works, the proposed model is not limited to the creation of a corpus or ontology, but integrates them into a single flexible analytical ecosystem that can adapt to dynamic changes in tactics and narratives in the digital environment.

The proposed conceptual model lays the basis for building intellectual tools for analyzing information flows, which is especially important in the conditions of increasing intensity of hybrid conflicts and cyber-information threats.

Related work

In recent years, research into identifying and analyzing information operations in digital media has intensified significantly due to the growth of large-scale disinformation campaigns, cognitive manipulation and hybrid attacks. Modern approaches rely on the use of ontologies, knowledge

graphs, SWRL rules and SPARQL queries to analyze the relationships between the actor, tactics, narrative and audience. However, existing solutions have limitations that our work seeks to overcome.

The worksheet [6] proposes influence Operation Ontology (IOO), which formalizes actors, audiences and tactics, which helps to identify key elements of attacks. However, IOO is focused on static scenarios and does not solve the problem of integrating data from multilingual sources. The alike Cyber Information Ontology [7] increases the interoperability of the data, but does not take into account the specifics of the military context and advanced semantic analysis. The worksheet [8] explores the use of ontologies to represent uncertain information, and [9] proposed ontology to analyze attacks in mixed reality. However, both approaches are limited to narrow scenarios and do not integrate annotated enclosures with semantic analysis.

The use of SWRL rules and SPARQL queries [10] allows the formation of hybrid semantic models, but they are limited to closed data sets and do not support the unification of multilingual information. The worksheet [11] considers the technologies of streaming processing RDF, but their application in annotated packages remains limited.

Unlike these worksheets, we offer a comprehensive conceptual model that combines annotated corpus (https://github.com/baiangali/multi_mil), ontological knowledge base (https://github.com/baiangali/mil_ontology), RDF graph and SWRL/SPARQL analysis into a single architecture. The integration of the military thesaurus MIL_term provides the processing of military terminology, and the combination of corpus linguistics, semantics and ontologies increases the accuracy, scalability and interpretability of the analysis of information operations.

Methodology

The development of a conceptual model for identifying information operations in digital media is based on the integration of corpus linguistics, ontological modeling and semantic technologies. The methodology includes successive stages:

- data collection;
- multi-level annotation;
- building ontology;
- formation of the RDF-graph of knowledge;
- application of SWRL rules to logical output;
- execution of SPARQL queries and analytical processing of results.

This comprehensive approach allows you to formalize entities, identify hidden relationships and build analysis scenarios aimed at early detection and monitoring of information operations.

The first stage was the creation of a multilingual corpus, assembled from Telegram channels, news portals and other digital platforms (Table 1). Parsing methods were used to extract data, including API, automatic message loading, keyword filtering, and time ranges. Particular attention was paid to the representativeness of the corps due to the variety of sources. After the data collection, the text was refined: Removal of links, HTML markup, emoji, media playholders and duplicates, as well as vocabulary normalization, lemmatization, tokenization and deletion of stop words, which provided a single data format for further annotation and integration into the ontological model.

Table 1 – Corpus statistics

Option	Value
Number of messages	1000
Total number of tokens	75.400
Number of annotated entities	6.970
Number of unique actors	480
Number of target audiences	310
Supported languages	Russian, English, Kazakh
Main sources	Telegram, Twitter, mass media
Storage format	JSON, CSV

The high saturation of the corpus is confirmed by the metric of information density:

$$D = \frac{Number\ of\ marked{-}up\ entities}{Total\ number\ of\ tokens} \quad (1)$$

For our corpus:

$$D = \frac{6970}{75400} \approx 0{,}092 \quad (2)$$

This value indicates a high concentration of semantically significant units, which makes the corpus an ideal basis for ontological analysis and the construction of an RDF-graph of knowledge.

The next step is a multi-level package annotation, which is performed by experts using the Label Studio platform. Markup is carried out in accordance with a single annotation guide and includes the identification of key entities: Military terms, target audiences, sources of information, actors, temporal and geographical references, as well as emotional evaluations of the text (Table 2). Additionally, the type of information impact is classified: Disinformation, demoralization, discrediting, provocation and creating panic.

Table 2 – Corpus Annotation Categories

Category	Number of labels	Examples of selected entities
MIL_TERM	2.450	«The command reported the use of [[multiple launch rocket systems]] MIL_term against enemy defensive positions».
TARGET_AUDIENCE	1.200	The main goal of the information campaign was [[population of border areas]] TARGET_AUDIENCE, among which rumors about the approaching offensive were actively spread
SOURCE	820	According to the data of [[Telegram-channel «Military Chronicle»]] source, in the eastern direction the military activity has been increased
ACTOR	1.100	The analytical report notes that the operation actively involved a block of countries [[NATO]] actor
EMO_EVAL	1.400	The publication caused [[panic among citizens]] EMO_eval, which increased social tensions in the region

Cohen's κ metric was used to estimate the consistency of the annotation, calculated by the formula:

$$k = \frac{P_0 - P_e}{1 - P_e} \quad (3)$$

Where P0 is the actual markup match between the annotations and Pe is the probability of a random match. In our case, k=0,84, which indicates high quality markup.

After the data was annotated, a formalized ontological layer was developed, created in OWL 2 format using Protégé. Ontology describes the main entities (Figure 1): Actors, tactics, narratives, audiences, and information channels. Unlike existing solutions, we have integrated the military thesaurus MIL_term, which allows for multilingual support and terminological consistency.

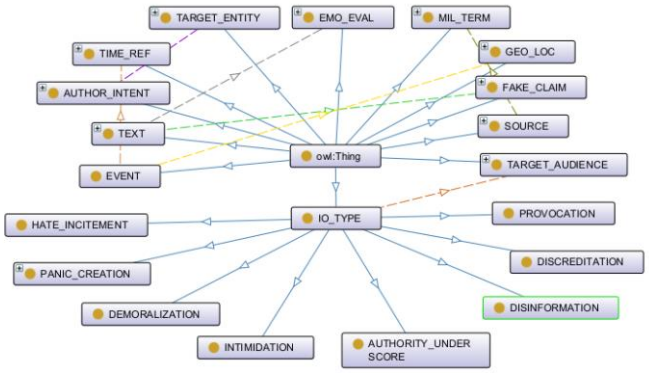


Figure 1 – Structure of the ontological model for the analysis of information operations

On the basis of ontology, an RDF-knowledge graph is built, which visualizes the relationships between entities and events (Figure 2). Such a graph allows you to represent complex relationships, for example, to identify chains: «actor uses tactics → shapes narrative → impacts audience → spreads through source». The RDF graph provides knowledge integration and support for semantic queries.

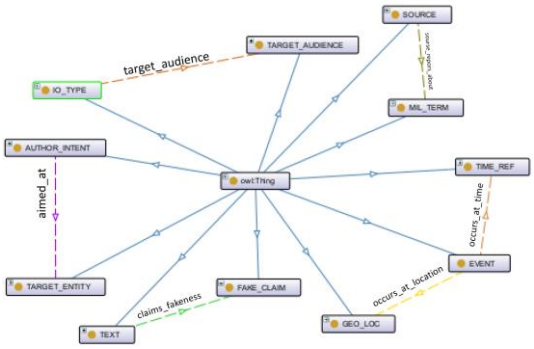


Figure 2 – semantic scheme of interrelations of ontology of information operations

To expand analytical capabilities, SWRL-rules are used, which provide a logical conclusion of new knowledge. For example, the following rule allows you to identify coordinated information operations:

$$Actor(x) \wedge UsesTactic(x,y) \wedge TargetAudience(x,z) \Rightarrow CoordanationIO(x) \qquad (4)$$

This means that if one actor uses the same tactics and affects one audience, then he is classified as a participant in a coordinated information attack.

The final step of the methodology is to perform SPARQL queries to extract knowledge from the RDF graph (Figure 3). These queries allow you to form flexible samples and identify hidden patterns.

SPARQL query:

```
PREFIX ex: <http://example.org/io#>

SELECT ?source ?sourceName ?term ?termLabel
WHERE {
 ?source a ex:SOURCE ;
       ex:sourceName ?sourceName ;
       ex:source_reports_about ?term .
 ?term ex:militaryTerm ?termLabel .
}
ORDER BY ?sourceName
```

source	sourceName	term	
Source001	"Telegram-канал"^^<http://www.w3.org/2001	MilitaryTerm001	"армия Казахстана"^^<http://www.w3.org/2001/XMLSchema#string>
Source002	"Анонимный паблик"^^<http://www.w3.org/2	MilitaryTerm002	"контратака дивизии"^^<http://www.w3.org/2001/XMLSchema#string>

Figure 3 – Visualization of the result of the SPARQL query

The execution of these queries allows us to identify key patterns: Frequency of references to actors, tactics used, emotional coloring and dynamics of changing narratives over time.

The proposed methodology is unique in that it combines annotated corpus, ontology, RDF graph, SWRL rules and SPARQL queries into a single analytical ecosystem (Figure 4). This provides a higher accuracy of knowledge extraction, interpretability of analytical results and the ability to scale the system to new information threats.

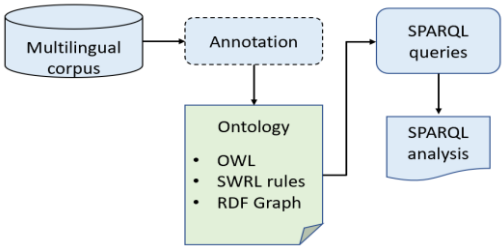


Figure 4 – Scheme of the analytical platform for identifying information operations

Results

The developed conceptual model was tested on a multilingual message body collected from Telegram channels, news portals, which allowed to conduct a comprehensive analysis of information flows, identify key actors, tactics and narratives, and determine the structure of hidden information

operations. The corpus contained 1000 messages, including more than 75.400 tokens and 6.970 tagged entities annotated by experts in Label Studio in six categories. On the basis of the case, a complete ontological model was created, which allowed to integrate knowledge in the form of an RDF graph and apply SWRL-rules for logical inference of hidden relations.

The analysis of the annotation showed a high informativeness of the data (Table 3). The greatest density of information markers was demonstrated by messages related to military terminology and direct mention of actors, which confirms the relevance of the selected sources for building the model. Cohen's κ's inter-agency consent metric was 0,84, which indicates a high consistency of markup and corpus quality.

Table 3 – frequency of annotated entities

Category	Number of labels	Share (%)
MIL_TERM	2.450	35.1
TARGET_AUDIENCE	1.200	17.2
SOURCE	820	11.8
ACTOR	1.100	15.8
EMO_EVAL	1.400	20.1
Total	6.970	100

On the basis of the marked case, an ontology of information operations was built, developed in OWL 2 format using Protégé, which allowed to formalize 62 classes, 128 properties and 3.450 individuals associated with tactics, narratives, audiences and sources of messages (Figure 5).

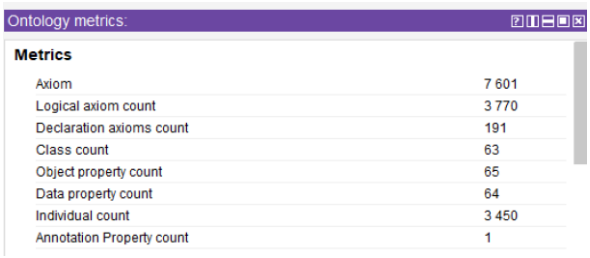


Figure 5 – the main characteristics of the ontology of information operations

To ensure terminological consistency, the military thesaurus MIL_term was integrated into ontology, which includes 2.450 terms in Russian, English and Kazakh languages. Ontology served as the basis for the construction of the RDF-graph of knowledge, which consists of 15.240 triplets and describes the relationships between actors, tactics, narratives and target audiences. This graph allowed us to move from simple data categorization to the construction of complex semantic patterns necessary for the analysis of information attacks.

SWRL rules and SPARQL queries were used for analytical data processing. SWRL provided a logical conclusion of new knowledge. After applying the rules to the RDF graph, it was possible to identify 327 unique patterns of «actor-tactic-audience» associated with 145 key narratives.

As a result of the conducted experiments, the effectiveness of the proposed conceptual model was proved. This approach demonstrates a significant superiority over traditional methods of text analysis, since the integration of annotated corpus, ontology, RDF-graph and SPARQL-queries allows for multi-level semantic analysis and interpretive analytical results applicable to the detection of threats in digital media.

Discussion

The results of the study show that the developed conceptual model provides a new level of analysis of information operations in digital media. The experiments confirmed that the proposed approach allows to identify key actors, their tactics, hidden narratives and coordinated strategies of message distribution, as well as network interconnections between sources. Unlike existing text analysis methods, the model combines an annotated corpus, ontological knowledge base and an RDF graph, which provides semantic understanding of data and a formalized representation of knowledge about the subject area.

The use of a corpus containing more than 6.970 labeled entities allowed military terms, emotional assessments and tactics to be linked to formalized classes of ontology, increasing the

accuracy of the analysis. The integration of the MIL_term thesaurus provided multilingual support (Russian, English, Kazakh) and expanded the applicability of the model for local and international scenarios. The built RDF knowledge graph of more than 15.000 triplets visualizes complex connections between actor, tactics, narrative, and audience. The experiments revealed 327 unique patterns, including 57 cases of coordinated attacks.

Dynamic analysis showed that during periods of high conflict activity, the number of attacks increases by more than 89%, which demonstrates the potential of the model for early monitoring of information threats. Compared to existing studies, the proposed approach provides higher accuracy and scalability due to the integration of SPARQL queries, SWRL rules and annotated enclosure.

Thus, the developed conceptual model forms a universal analytical platform for monitoring, identifying and analyzing information operations, combining linguistic, semantic and ontological methods and opening up opportunities for application at the national and international levels.

Conclusion and outcomes

This paper presents a conceptual model for identifying information operations in digital media, based on the integration of multilingual annotated corpus, ontological modeling, RDF knowledge graph, SWRL rules and SPARQL queries. The developed corpus includes 1000 messages and more than 6970 labeled entities, which allowed to create an ontology of the subject area in OWL 2 format, integrated with the military thesaurus MIL_term to provide terminological consistency and multilingual support. The built RDF graph of more than 15.000 triplets reflects the relationships between actors, tactics, narratives and audiences, allowing you to identify complex scenarios of information attacks. The experiments found 327 patterns, including 57 coordinated operations, and dynamic analysis showed a 89% increase in attack activity. The developed architecture forms the basis for intelligent systems for monitoring and analyzing information threats at the national and international levels.

References

1. Abdali S. Multi-modal misinformation detection: Approaches, challenges and opportunities / S. Abdali, S. Shaham, B. Krishnamachari // ACM Computing Surveys. – 2024. – Vol. 57, № 3. – P. 1-29.
2. From Virality to veracity / J. Rieskamp et al // Examining False Information on Telegram vs. Twitter. – 2024.
3. Zhao J. et al. Research on domain ontology construction based on the content features of online rumors. – 2024. – Vol. 14, № 1. – P. 12134.
4. Detecting propaganda techniques in code-switched social media text / M.U. Salman et al // arXiv preprint arXiv:2305.14534. – 2023.
5. Alghamdi J. Fake news detection in low-resource languages: A novel hybrid summarization approach / J. Alghamdi, Y. Lin, S. Luo // Knowledge-based Systems. – 2024. – Vol. 296. – P. 111884.
6. The influence Operation Ontology (IOO) / A.D.C. Tudela et al // arXiv preprint arXiv:2503.07304. – 2025.
7. A common core-based cyber ontology in support of cross-domain situational awareness / B. Donohue et al // ground/air multisensor interoperability, integration, and networking for persistent ISR IX. – SPIE, 2018. – Vol. 10635. – P. 65-74.
8. Partridge C. digitalizing uncertain Information / C. Partridge, A. Mitchell, A. Cola //arXiv preprint arXiv:2507.21173. – 2025.
9. SOK: Come together–unifying Security, Information Theory, and cognition for a Mixed Reality deception attack Ontology & Analysis Framework / A. Teymourian et al // arXiv preprint arXiv:2502.09763. – 2025.
10. Zhang L., Lobov A. Semantic web rule language-based approach for implementing knowledge-based engineering systems. – 2024. – Vol. 62. – P. 102587.
11. Languages and systems for RDF stream processing, a survey / P. Bonte et al // The VLDB Journal. – 2025. – Vol. 34, № 4. – P. 50.

Funding: *This research has been funded by the Committee of Science of the Ministry of Science and Higher Education of the Republic of Kazakhstan Grant AP26195165.*

Б.Х. Абдығалым[1,3], Е. Adali[2], М.А. Самбетбаева[1,3,*], Ж.Б. Садирмекова[1], А.А. Назымхан[3]
[1]«Q» University,
050026, Қазақстан Республикасы, Алматы, Байзақова к. 125/185,
[2]Стамбул техникалық университеті,
34437, Туркия, Стамбул, Бейоглу, Иненю к. 65,
[3]Л.Н. Гумилев атындағы Евразия ұлттық университеті,
010008, Қазақстан Республикасы, Астана, Сатпаев к. 2.
*e-mail: sambetbayeva_ma_1@enu.kz

САНДЫҚ МЕДИАДАҒЫ АҚПАРАТТЫҚ ОПЕРАЦИЯЛАРДЫ АНЫҚТАУ ОНТОЛОГИЯСЫНЫҢ ТҰЖЫРЫМДАМАЛЫҚ МОДЕЛІ

Дезинформация ауқымының, когнитивті манипуляциялардың және цифрлық медиадағы Үйлестірілген ақпараттық науқандардың қарқынды өсуі жағдайында ақпараттық операцияларды анықтау және талдау үшін Интеллектуалды әдістерді әзірлеу қажеттілігі туындайды. Бұл жұмыста ақпараттық әсер ету механизмдерін жүйелі түрде зерттеу үшін көп тілді аннотацияланған корпусты, білімнің онтологиялық базасын және білімнің семантикалық графигін біріктіретін тұжырымдамалық модель ұсынылады.

Зерттеу әдістемесі Telegram арналарынан, жаңалықтар порталдарынан және әлеуметтік желілерден жиналған хабарламалардан тұратын арнайы корпус құруды қамтиды. Деректер label Studio платформасын қолдана отырып, көп деңгейлі аннотациядан өтеді, мұнда сарапшылар негізгі нысандарды, соның ішінде әскери терминдерді, мақсатты аудиторияларды, дереккөздерді, актерлерді және эмоционалды бағалауды қолмен белгілейді. Аннотацияланған корпус OWL-де рәсімделген және mil_term әскери тезаурусымен байытылған доменнің онтологиясына семантикалық түрде сәйкес келеді, бұл терминологияның дәйектілігін және көптілді аналитиканы қолдауды қамтамасыз етеді.

Онтологиялық модель субъектілер, оқиғалар, тактика және әңгімелер арасындағы байланысты көрсететін білімнің RDF графигіне айналады. Жасырын заңдылықтарды анықтау үшін swrl ережелері қолданылады, ал SPARQL әзірлеген сұраулар күрделі аналитикалық заңдылықтарды, соның ішінде "актор – тактика – әңгіме – аудитория" тізбегін алуға мүмкіндік береді. Ұсынылған тәсіл ақпараттық ағындарды кешенді талдауға, қауіптерді ерте анықтауға және аналитикалық сценарийлерді құруға негіз болады, бұл оны көп тілді цифрлық ортадағы ақпараттық операцияларды зерттеуге және бақылауға қолдануға мүмкіндік береді.

Түйін сөздер: *Ақпараттық операциялар, онтология, семантикалық классификация, NLP, OWL, SPARQL, әлеуметтік медиа мониторингі.*

Б.Х. Абдығалым[1,3], Е. Adali [2], М.А. Самбетбаева[1,3,*], Ж.Б. Садирмекова[1], А.А. Назымхан[3]
[1]«Q» University,
050026, Республика Казахстан, Алматы, ул. Байзакова 125/185,
[2]Стамбульский технический университет,
34437, Турция, Стамбул, Бейоглу, ул. Иненю 65,
[3]Евразийский национальный университет имени Л.Н. Гумилева,
010008, Республика Казахстан, Астана, ул. Сатпаева 2.
*e-mail: sambetbayeva_ma_1@enu.kz

КОНЦЕПТУАЛЬНАЯ МОДЕЛЬ ДЛЯ ОНТОЛОГИЙ ВЫЯВЛЕНИЯ ИНФОРМАЦИОННЫХ ОПЕРАЦИЙ В ЦИФРОВЫХ МЕДИА

В условиях стремительного роста масштабов дезинформации, когнитивных манипуляций и координированных информационных кампаний в цифровых медиа возникает необходимость разработки интеллектуальных методов для выявления и анализа информационных операций. В данной работе предлагается концептуальная модель, интегрирующая мультиязычный аннотированный корпус, онтологическую базу знаний и семантический граф знаний для систематического исследования механизмов информационного воздействия.

Методология исследования включает построение специализированного корпуса, сформированного из сообщений, собранных с Telegram-каналов, новостных порталов и социальных сетей. Данные проходят многоуровневую аннотацию с использованием платформы Label Studio, где эксперты вручную размечают ключевые сущности, включая военные термины, целевые аудитории, источники, акторов и эмоциональные оценки. Аннотированный корпус семантически согласуется с онтологией предметной области, формализованной в OWL и обогащённой военным тезаурусом MIL_TERM, что обеспечивает согласованность терминологии и поддержку многоязычной аналитики.

Онтологическая модель преобразуется в RDF-граф знаний, отражающий взаимосвязи между сущностями, событиями, тактиками и нарративами. Для выявления скрытых закономерностей применяются SWRL-правила, а разработанные SPARQL-запросы позволяют извлекать сложные аналитические паттерны, включая цепочки «актор – тактика – нарратив – аудитория». Предложенный подход формирует основу для комплексного анализа информационных потоков, раннего выявления угроз и построения аналитических сценариев, что делает его применимым для исследования и мониторинга информационных операций в мультиязычных цифровых средах.

Ключевые слова: *Информационные операции, онтология, Семантическая классификация, NLP, OWL, SPARQL, мониторинг социальных сетей.*

Сведения об авторах

Баянғали Хайерберліұлы Абдығалым – магистр технических наук, докторант кафедры информационных систем, Евразийский национальный университет имени Л.Н. Гумилева, Инженер программист «Q» University, Республика Казахстан; e-mail: bayangali.abd@gmail.com. ORCID: https://orcid.org/0009-0001-8872-7428.

Eşref Adali – доктор наук, профессор факультета вычислительной техники и информатики, Стамбульский технический университет, Стамбул, Турция; e-mail: esrefadali@gmail.com.

Мадина Аралбаевна Самбетбаева* – Phd, ассоциированный профессор кафедры информационных систем, Евразийский национальный университет имени Л.Н. Гумилева, ведущий научный сотрудник «Q» University, Республика Казахстан; e-mail: sambetbayeva_ma_1@enu.kz. ORCID: https://orcid.org/0000-0001-9358-1614.

Жанна Бакировна Садирмекова – ведущий научный сотрудник «Q» University, ассоциированный профессор, Республика Казахстан; e-mail: Janna_1988@mail.ru. ORCID: https://orcid.org/0000-0002-7514-9315.

Ақсәуле Абзалқызы Назымхан – магистрант кафедры информационных систем, Евразийский национальный университет имени Л.Н. Гумилева, Республика Казахстан; e-mail: aksaulenazymhan@gmail.com.

Авторлар туралы мәліметтер

Баянғали Хайерберліұлы Абдығалым – техникалық ғылымдар магистрі, ақпараттық жүйелер кафедрасының докторанты, Л.Н. Гумилев атындағы Еуразия ұлттық университеті, «Q» University бағдарламашы инженері, Қазақстан Республикасы; e-mail: bayangali.abd@gmail.com. ORCID: https://orcid.org/0009-0001-8872-7428.

Eşref Adali – ғылым докторы, Есептеу техникасы және информатика факультетінің профессоры, Стамбул техникалық университеті, Стамбул, Түркия; e-mail: esrefadali@gmail.com.

Мадина Аралбайқызы Самбетбаева* – PhD, Ақпараттық жүйелер кафедрасының қауымдастырылған профессоры, Л.Н. Гумилев атындағы Еуразия ұлттық университеті, «Q» University жетекші ғылыми қызметкері, Қазақстан Республикасы; e-mail: sambetbayeva_ma_1@enu.kz. ORCID: https://orcid.org/0000-0001-9358-1614.

Жанна Бакировна Садирмекова – «Q» University жетекші ғылыми қызметкері, қауымдастырылған профессор, Қазақстан Республикасы; e-mail: Janna_1988@mail.ru. ORCID: https://orcid.org/0000-0002-7514-9315.

Ақсәуле Абзалқызы Назымхан – Ақпараттық жүйелер кафедрасының магистранты, Л.Н. Гумилев атындағы Еуразия ұлттық университеті, Қазақстан Республикасы; e-mail: aksaulenazymhan@gmail.com.

Information about the authors

Bayangali Khayerberliuly Abdygalym – master of technical sciences, Phd student of the Department of Information Systems, L.N. Gumilyov Eurasian National University, Software engineer at «Q» University, Republic of Kazakhstan; e-mail: bayangali.abd@gmail.com. ORCID: https://orcid.org/0009-0001-8872-7428.

Eşref Adali – doctor of sciences, professor at the Faculty of Computer Engineering and Informatics, Istanbul Technical University, Istanbul, Turkey; e-mail: esrefadali@gmail.com.

Madina Aralbaevna Sambetbaeva* – PhD, associate professor of the Department of Information Systems, L.N. Gumilyov Eurasian National University, leading researcher at Q University, Republic of Kazakhstan; e-mail: sambetbayeva_ma_1@enu.kz. ORCID: https://orcid.org/0000-0001-9358-1614.

Zhanna Bakirovna Sadirmekova – leading researcher at Q University, associate professor, Republic of Kazakhstan; e-mail: Janna_1988@mail.ru. ORCID: https://orcid.org/0000-0002-7514-9315.

Aksaule Abzalkyzy Nazimkhan – master's student of the Department of Information Systems, L.N. Gumilyov Eurasian National University, Republic of Kazakhstan; e-mail: aksaulenazymhan@gmail.com.

Received 23.09.2025
Accepted 21.10.2025

https://doi.org/10.53360/2788-7995-2025-4(20)-6

BY 4.0
Check for updates

ҒТАХР: 50.53.19

Ж.Е. Байғараева[1,2], А.К. Болтабоева[1,2*], Б.Т. Иманбек[1], М.И. Кожамбердиева[1,2], Ж.Қ. Жолдыбаева[3]

[1]Әл-Фараби атындағы Қазақ ұлттық университеті,
050040, Қазақстан, Алматы, Әл Фараби даңғылы 71
[2]ТОО «Kazakhstan R&D Solutions»,
050056, Казахстан, Алматы, Кожедуба көшесі 3
[3]Абай атындағы Қазақ ұлттық педагогикалық университеті,
050010, Қазақстан, Алматы, Достық даңғылы 13
*e-mail: boltaboyeva_assiya3@live.kaznu.kz

КОРОНАРЛЫҚ ЖҮРЕК АУРУЫН БОЛЖАУДА МАШИНАЛЫҚ ОҚЫТУ ӘДІСТЕРІНІҢ САЛЫСТЫРМАЛЫ ТАЛДАУЫ: UCI HEART DISEASE ДЕРЕКТЕР ЖИЫНЫ НЕГІЗІНДЕ

Аннотация: *Коронарлық жүрек ауруы әлемдік өлім мен мүгедектіктің негізгі себептерінің бірі болып қала береді. Уақтылы диагностика асқынуларды азайтып, денсаулық сақтау жүйесіне түсетін жүктемені жеңілдетеді. Дегенмен дәстүрлі әдістер қымбат, инвазивті және қолжетімділігі шектеулі. Соңғы зерттеулер машиналық оқытудың клиникалық тәжірибеде қолданылу мүмкіндігін растайды. Осыған байланысты тек клинико-демографиялық деректерді пайдаланып, визуализациясыз ауруды сенімді болжау мүмкін бе деген сұрақ туындайды.*

Бұл жұмыстың мақсаты – мұндай модельдердің дәлдігі мен қолданбалық құндылығын бағалау. Біріктірілген протокол бойынша UCI Heart Disease деректер жиынында (n = 920) LightGBM алгоритмі оқытылып, мына нәтижелерге жетті: accuracy = 0.8696, precision = 0.8679, recall = 0.9020, F1-score = 0.8846. Нәтижелер алдыңғы визуализацияға сүйенген зерттеулерді толықтырды.

Зерттеу бірнеше алгоритмді бірдей алдын ала өңдеу мен валидация шарттарында салыстырды, ықтималдықтардың калибрленуін тексерді және SHAP әдісі арқылы интерпретация жасады. Талдау негізгі предикторлардың (мысалы, ST-сегмент депрессиясы) клиникалық біліммен сәйкес екенін көрсетті. Бұл модельді бастапқы скрининг пен қосымша диагностикаға жолдауда қолдануға болатынын дәлелдейді. Жалпы, ашық клиникалық деректерге негізделген калибрленген әрі түсіндірілетін алгоритмдер ресурсы шектеулі жағдайларда пациенттерді маршрутизациялауда құнды құрал бола алады.

Түйін сөздер: *коронарлық жүрек ауруы (КЖА); машиналық оқыту; LightGBM; классификация; клинико-демографиялық деректер; тәуекелді стратификация; SHAP интерпретациясы; ROC-AUC; калибровка.*

Кіріспе

Коронарлық жүрек ауруы (КЖА) – әлемдегі ең жиі кездесетін жүрек-қантамыр патологиясы және өлімнің басты себебі. Оның таралуына өмір салтының өзгеруі, халықтың қартаюы және негізгі қауіп факторлары (гипертензия, диабет, дислипидемия, темекі шегу) әсер етеді. КЖА миокард инфарктісі мен жүрек жеткіліксіздігінен бөлек, еңбекке қабілеттілікті төмендетіп, DALY жоғалуына ықпал етеді.

Ерте диагностика шешуші мәнге ие, алайда клиникалық көріністің әркелкілігі мен қолданыстағы әдістердің шектеулілігі қиындық туғызады. «Алтын стандарт» саналатын инвазивті коронарлық ангиография қымбат әрі қауіпті, ал КТ-ангиография, МРТ, SPECT және биомаркерлердің (тропонин, микроРНҚ, hs-CRP) сезімталдығы шектеулі.

Соңғы жылдары машиналық оқыту (SVM, нейрондық желілер, CNN, RNN) КЖА диагностикасында жетістіктер көрсеткенімен, зерттеулер көбіне шағын деректерге сүйеніп, жоғары есептеу қуатын талап етеді. ЖИ модельдерін клиникалық тәжірибеге интеграциялау қажеттілігі артып отыр.

Бұл зерттеу тек клинико-демографиялық деректер негізінде КЖА бар-жоғын және оның ауырлығын болжау мүмкіндігін қарастырды. Бірыңғай алдын ала өңдеу (импутация, кодтау, стандартизация, SMOTE) және бірнеше алгоритм (градиенттік бустинг, ансамбльдер, KNN, SVM, логистикалық регрессия) салыстырылды. Бағалау accuracy, precision, recall, F1, ROC–AUC және SHAP интерпретациясы арқылы жүргізілді. Нәтижелер визуализациясыз, рутинді

деректер негізінде сенімді болжам жасауға болатынын көрсетіп, тәуекелді стратификацияда практикалық құндылыққа ие екенін дәлелдеді.

Материалдар мен әдістер

Зерттеуде UCI Machine Learning Repository-ден алынған классикалық Heart Disease Dataset пайдаланылды – коронарлық жүрек ауруын болжауға арналған ең кең таралған эталондық деректер жиыны [40]. Ол 303 пациенттің демографиялық және клиникалық көрсеткіштерін қамтиды: жас, жыныс, қан қысымы, холестерин, қант деңгейі, ЭКГ нәтижелері, максималды жүрек соғу жиілігі, стенокардия, ST сегменті параметрлері, тамырлар саны және талассемия индикаторы.

Нысаналы айнымалы (num) КЖА жоқтығын (0) немесе ауырлық дәрежесін (1-4) көрсетеді, сондықтан тапсырма бинарлы да, көпклассты да қарастырылады. Деректер Cleveland, Hungarian, Switzerland және VA Long Beach когорталарынан жиналған, бұл репрезентативтілікті арттырады.

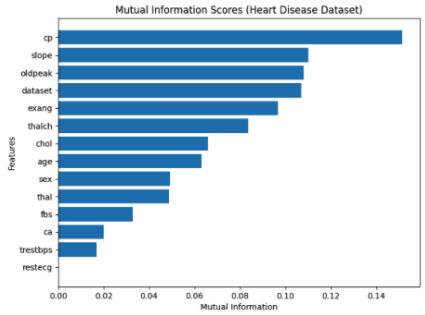
Алдын ала өңдеу міндетті болды: категориалды айнымалылар Label Encoding арқылы сандық форматқа түрлендірілді (мысалы, кеудедегі ауырсыну түрі, ЭКГ нәтижелері, жыныс, талассемия). Кейін көрсеткіштер Z-баға стандартизациясымен қалыпқа келтірілді, бұл барлық белгілердің үлесін теңестіріп, модельді оқытуда бір айнымалының басым болуын болдырмады [41, 42].Формула келесідей:

$$z = \frac{x - y}{\sigma}$$

Мұндағы x – бақыланатын мән, μ – белгінің орташа мәні, σ – стандартты ауытқу. Бұл трансформация айнымалылардың масштабын теңестіріп, олардың модельді үйретудегі үлесін тең қылды.

Алдын ала өңдеуден кейін деректер машиналық оқытуға дайын болды. Белгілердің жүрек ауруын болжаудағы үлесін бағалау үшін өзара ақпарат (Mutual Information, MI) талдауы жүргізілді [43].

1-суретте көрсетілгендей, нысаналы айнымалымен ең жоғары өзара ақпаратқа ие белгілер қатарында стенокардия түрі (*cp*), ST сегментінің еңісі (*slope*), физикалық жүктемемен шақырылған ST депрессиясы (*oldpeak*), сондай-ақ деректер жиынының индикаторы (*dataset*) болды. Бұл көрсеткіштер ең жоғары болжамдық маңызға ие. Ал тыныштықтағы ЭКГ нәтижелері (*restecg*) және тыныштықтағы артериялық қысым деңгейі (*trestbps*) салыстырмалы түрде төмен мәндер көрсетті, бұл олардың болжамдағы үлесінің аздығын аңғартады. Осылайша, бұл талдау ең ақпаратты клинико-демографиялық сипаттамаларды бөліп көрсетуге және клиникалық түсіндіруді жеңілдетуге мүмкіндік берді.



Сурет 1 – Өзара ақпарат көрсеткіштері

Деректер 80/20 қатынасында train/test жиынтықтарына бөлінді [44]. Сынып теңгерімсіздігін жою үшін оқыту жиынына SMOTE қолданылды [45], ол сирек сыныптар үшін синтетикалық үлгілер жасап, модельдердің сезімталдығын арттырды. Oversampling тек оқытуда қолданылып, тест жиыны тәуелсіз күйінде қалды.

Нәтижесінде деректер құрылымдалып, тұрақты әрі клиникалық мәні бар модельдер құруға дайын болды.

IoT device Qimyl

Модельдер бірдей алдын ала өңдеуден кейін үйретіліп, төрт метрика бойынша бағаланды: accuracy, precision, recall және F1 [46]. Бұл көрсеткіштер медицинада маңызды, өйткені жалған теріс пен жалған оң нәтижелердің салдары зор.

Ансамбльдер мен бустинг әдістері сызықтық модельдер мен дара шешім ағаштарынан жоғары нәтиже көрсетті. RandomForest, CatBoost және HistGradientBoosting ең жақсы теңгерімді дәлдікке жетті. Logistic Regression мен Decision Tree төменірек көрсеткіш бергенімен, интерпретация үшін пайдалы болды. KNeighbors precision бойынша жақсы болғанымен, recall әлсіздігін көрсетті (1 кесте).

Кесте 1 – Коронарлық жүрек ауруын болжауда машиналық оқыту модельдерінің салыстырмалы нәтижелері

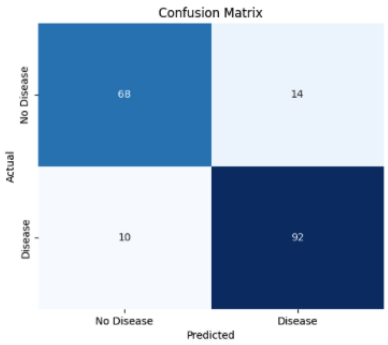
Модели	Accuracy	Precision	Recall	F1 Score
XGBoost+	0.8587	0.8585	0.8922	0.8750
CatBoost	0.8478	0.8491	0.8824	0.8654
KNeighbors+	0.8478	0.8854	0.8333	0.8586
ExtraTrees	0.8478	0.8558	0.88725	0.8641
LGBMClassifier	0.8696	0.8679	0.9020	0.8846
RandomForest	0.8587	0.8952	0.8624	0.8785
Decision Tree	0.8207	0.8710	0.7941	0.8308
HistGradientBoosting	0.8478	0.8426	0.8922	0.8667
Logistic Regression	0.8098	0.8454	0.8039	0.8241
SVM	0.8533	0.8713	0.8627	0.8670

Модельдерді бағалау accuracy, precision, recall және F1-score бойынша жүргізілді. Ең үздік нәтиже LightGBM көрсетті: accuracy = 0.8696, recall = 0.9020, бұл КЖА бар пациенттерді сенімді анықтау қабілетін дәлелдейді [47].

RandomForest және XGBoost та бәсекеге қабілетті болды (accuracy = 0.8587, F1 ≈ 0.87). ExtraTrees recall = 0.8872 және F1 = 0.8641 мәндеріне жетті. SVM теңгерімді көрсеткіштер берді (accuracy = 0.8533, F1 = 0.8670), ал KNeighbors F1 = 0.8586 болса да, recall төмен болды.

Decision Tree (accuracy = 0.8207, F1 = 0.8308) және Logistic Regression (accuracy = 0.8098, F1 = 0.8241) ең әлсіз нәтижелерді көрсетті, оларды тек базалық салыстыру үшін қолдануға болады.

Жалпы LightGBM ең тиімді алгоритм ретінде ерекшеленді, себебі ол күрделі бейсызық тәуелділіктерді таба алады және клиникалық тәжірибеде қолдануға әлеуеті жоғары (2 сурет).

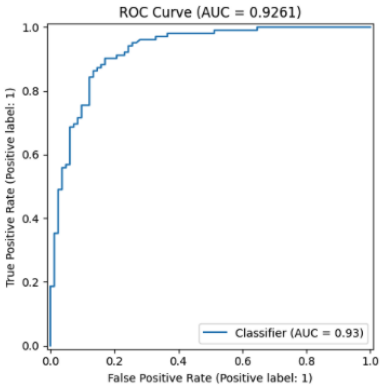


Сурет 2 – LightGBM моделі үшін қателік матрицасы (Confusion Matrix)

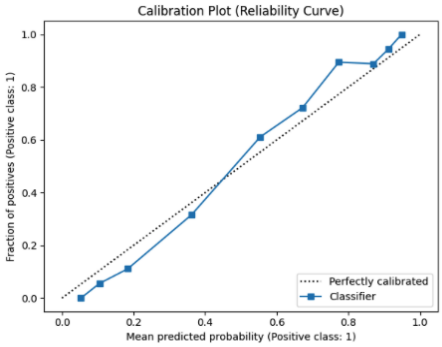
Қателік матрицасы модель сапасын талдауға мүмкіндік береді. LightGBM нәтижелері: 68 TN, 92 TP, 14 FP және 10 FN. Бұл сезімталдық пен ерекшелік арасындағы жақсы тепе-теңдікті көрсетеді. Жалған терістердің аз болуы ауруды өткізіп алмауда маңызды, ал жалған оңдардың орташа деңгейі гипердиагностикаға бейімділіктің төмен екенін дәлелдейді [48].

ROC-қисық классификатордың әртүрлі шектердегі жұмысын бағалайды. LightGBM үшін AUC = 0.93 болып, модельдің КЖА бар және жоқ пациенттерді ажыратудағы жоғары қабілетін көрсетті (3 сурет). Қисық диагональдан едәуір жоғары орналасып, кездейсоқ болжаудан айқын артықшылығын дәлелдеді. AUC > 0.9 медицинада тамаша нәтиже саналады, бұл LightGBM-нің сенімділігін растайды.

Калибровка графигі LightGBM ықтималдықтарының шынайы көрсеткіштерге сәйкес екенін көрсетті: қисық диагональға жақын орналасқан, яғни модель бағалаулары нақты тәуекелді дұрыс бейнелейді [49]. Бұл дәрігерлерге ықтималдықтарды клиникалық шешімдерге тікелей қолдануға мүмкіндік береді (4 сурет).



Сурет 3 – LightGBM моделі үшін ROC-қисығы және AUC мәні



Сурет 4 – LightGBM моделі үшін калибровка графигі

SHAP талдауы LightGBM-нің негізгі предикторлары ретінде артериялық қысым, холестерин, жас және жынысты анықтады. Бұл факторлар дәстүрлі қауіп көрсеткіштерімен сәйкес келеді және модельдің медициналық негізділігін дәлелдейді. SHAP сонымен қатар белгілердің КЖА ықтималдығына қалай әсер ететінін көрсетті, бұл дәрігерлерге нәтижелерді түсіндіруге және пациенттерге қауіп факторларын жеткізуге көмектеседі [50].

Талқылау

Бұл зерттеуде бірыңғай протокол жағдайында бірнеше алгоритм салыстырылды. Бустингтік әдістер базалық модельдерден тұрақты түрде жоғары нәтиже берді. Ең жақсы теңгерім LightGBM көрсетті (accuracy = 0.8696, recall = 0.9020). ROC–AUC = 0.93, ал калибровка қисығы диагональға сәйкес болды. Қателік матрицасында 92 TP, 68 TN, 14 FP және 10 FN тіркелді, бұл модельдің сезімталдық пен ерекшелікті тиімді үйлестіретінін көрсетті.

LightGBM бейсызық тәуелділіктерді жақсы ұстап, Random Forest және XGBoost-тен артық нәтижелер берді. Практикада жалған терістердің аздығы науқастарды өткізіп алмауға, ал жалған оңдардың орташа деңгейі қажетсіз зерттеулерді шектеуге мүмкіндік береді. Модельдің шектері клиникалық мақсатқа қарай реттелуі мүмкін: скрининг үшін сезімталдық, растау үшін ерекшелік.

SHAP талдауы басты факторларды анықтады: oldpeak (ST депрессиясы), exang (жүктемелік стенокардия) және ca (ірі тамырлар саны). Олардың жоғары мәндері КЖА тәуекелін арттырды, бұл кардиологиядағы дәстүрлі түсініктермен сәйкес келеді. Осылайша, LightGBM тек статистикалық дәл ғана емес, клиникалық тұрғыдан да интерпретацияланатын құрал ретінде ерекшеленді.

Қорытынды

Бұл зерттеуде UCI Heart Disease деректер жиынының кеңейтілген нұсқасы негізінде КЖА-ны болжауға арналған машиналық оқытуға бірыңғай әрі ашық схема ұсынылды. Алдын ала өңдеу деректерді үйлестіріп, алгоритмдерді әділ салыстыруға жағдай жасады.

Сынаққа бустинг, ансамбльдік, қашықтыққа негізделген және қарапайым интерпретацияланатын модельдер енгізілді. Нәтижесінде LightGBM ең жоғары нәтижелер көрсетті (accuracy = 0.8696, recall = 0.9020, ROC–AUC = 0.93). Қателік матрицасы модельдің сезімталдық пен ерекшелікті тиімді үйлестіретінін дәлелдеді. Жалған терістердің аздығы КЖА бар науқастарды өткізіп алмауға мүмкіндік берді.

SHAP талдауы басты факторларды (артериялық қысым, холестерин, жас, жыныс, oldpeak, exang) бөліп көрсетті. Бұл медициналық біліммен сәйкес келіп, модельдің клиникалық негізділігін растады.

Шектеулерге ашық деректердің жалпылау қабілеті мен сыртқы валидация қажеттілігі жатады. Болашақ бағыттарға қосымша деректерді (кескіндер, биомаркерлер, генетика) интеграциялау және decision-curve analysis қолдану кіреді.

Жалпы, ұсынылған конвейер КЖА тәуекелін клиникалық тұрғыдан мәнді әрі интерпретацияланатын түрде болжай алатынын көрсетті, бұл оны шешім қабылдауды қолдауда құнды құрал етеді.

Список литературы

1. Reducing the Global Burden of Cardiovascular Disease, Part 1: The Epidemiology and Risk Factors / P. Joseph et al // Circulation research. – 2017. – № 121(6). – P. 677-694. https://doi.org/10.1161/CIRCRESAHA.117.308903.
2. Clinical, Economical, and Organizational Impact of Chronic Ischemic Cardiovascular Disease in Italy: Evaluation of 2019 Nationwide Hospital Admissions Data / F. Pietrantonio et al // Int. J. Environ. Res. Public Health. – 2025. – № 22. – P. 530. https://doi.org/10.3390/ijerph22040530.
3. Prevalence and trends of coronary artery disease risk factors and their effect on age of diagnosis in patients with established coronary artery disease: Tehran Heart Center (2005–2015) / K. Hosseini et al // BMC Cardiovasc Disord 21. – 2021. – № 477(2021). https://doi.org/10.1186/s12872-021-02293-y.
4. Economic Analysis of the CADScor System for Ruling Out Coronary Artery Disease in England / M. Javanbakht et al // PharmacoEconomics. – 2022. – Open 6. – P. 123-135. https://doi.org/10.1007/s41669-021-00297-0.
5. Roth G. The Global Burden of Cardiovascular Diseases and Risks: A Compass for Global Action / G. Roth, G. Mensah, V. Fuster // JACC. – 2020. – № 76(25). – P. 2980-2981. https://doi.org/10.1016/j.jacc.2020.11.021.
6. Estimation of the Burden of Ischemic Heart Disease in the Tabasco Population, Mexico, 2013–2021 / J.J. Cárdenas-Anguiano et al // Int. J. Environ. Res. Public Health. – 2025. – № 22. – P. 423. https://doi.org/10.3390/ijerph22030423.
7. Fadah K. Epidemiology, Pathophysiology, and Management of Coronary Artery Disease in the Elderly / K. Fadah, A. Hechanova, D. Mukherjee // The International journal of angiology : official publication of the International College of Angiology. – 2022. – № 31(4). – P. 244-250. https://doi.org/10.1055/s-0042-1751234.
8. National prevalence of coronary heart disease and its relationship with human development index: A systematic review / Ke-Fu Zhu et al // European Journal of Preventive Cardiology. – 2016. – Vol. 23, Issue 5. – P. 530-543. https://doi.org/10.1177/2047487315587402.
9. Prevalence of coronary artery disease and its risk factors in Kerala, South India: a community-based cross-sectional study / M.N. Krishnan et al // BMC Cardiovasc Disord. – 2016. – № 16. – P. 12. https://doi.org/10.1186/s12872-016-0189-3.
10. Risk Factor Burden and Long-Term Prognosis of Patients With Premature Coronary Artery Disease / M. Zeitouni et al // Journal of the American Heart Association. – 2020. – № 9(24). – P. e017712. https://doi.org/10.1161/JAHA.120.017712.
11. Stratification of Patients with Coronary Artery Disease by Circulating Cytokines Profile: A Pilot Study / C. Iside et al // M. J. Clin. Med. – 2023. – № 12. – P. 6649. https://doi.org/10.3390/jcm12206649.
12. Myocardial Ischemia: Differentiating between Epicardial Coronary Artery Atherosclerosis, Microvascular Dysfunction and Vasospasm in the Catheterization Laboratory / G. Monizzi et al // J. Clin. Med. – 2024. – № 13. – P. 4172. https://doi.org/10.3390/jcm13144172.
13. Genetics of coronary artery disease and myocardial infarction / X. Dai et al // World journal of cardiology. – 2016. – № 8(1). – P. 1-23. https://doi.org/10.4330/wjc.v8.i1.1.
14. Non-invasive detection of coronary artery disease in high-risk patients based on the stenosis prediction of separate coronary arteries / R. Alizadehsani et al // Computer methods and programs in biomedicine. – 2018. – № 162. – P. 119-127. https://doi.org/10.1016/j.cmpb.2018.05.009.
15. Symptom Presentation among Women with Suspected Ischemia and No Obstructive Coronary Artery Disease (INOCA) / Y.K. Taha et al // J. Clin. Med. – 2023. – № 12. – P. 5836. https://doi.org/10.3390/jcm12185836.

16. Comparison of Outcomes in Patients With Acute Coronary Syndrome Presenting With Typical Versus Atypical Symptoms / Y. Hammer et al // The American journal of cardiology. – 2019. – № 124(12). – P. 1851-1856. https://doi.org/10.1016/j.amjcard.2019.09.007.
17. Silent Myocardial Ischemia: From Pathophysiology to Diagnosis and Treatment / P. Theofilis et al // Biomedicines. – 2024. – № 12. – P. 259. https://doi.org/10.3390/biomedicines12020259.
18. Nelson AJ. Current approach to the diagnosis of atherosclerotic coronary artery disease: more questions than answers / AJ Nelson, M Ardissino, PJ. Psaltis // Therapeutic Advances in Chronic Disease. – 2019. – №10. https://doi.org/10.1177/2040622319884819.
19. Diagnostic accuracy of non-invasive cardiac imaging modalities in patients with a history of coronary artery disease: a meta-analysis / RA Jukema et al // Heart. – 2025. – № 111. – P. 4-10. https://doi.org/10.1136/heartjnl-2024-324248.
20. Speckle Tracking Echocardiography: Early Predictor of Diagnosis and Prognosis in Coronary Artery Disease / M.C. Pastore et al // BioMed research international. – 2021. https://doi.org/10.1155/2021/6685378.
21. Challenges and Burdens in the Coronary Artery Disease Care Pathway for Patients Undergoing Percutaneous Coronary Intervention: A Contemporary Narrative Review / M. Kodeboina et al // Int. J. Environ. Res. – 2023. – № 20. – P. 5633. https://doi.org/10.3390/ijerph20095633.
22. Wang L.W. Non-invasive screening for coronary artery disease: current perspectives, patient, public health and ethical considerations in evaluating symptomatic and asymptomatic individuals / L.W. Wang // Internal medicine journal. – 2025. – № 55(4). – P. 555-563. https://doi.org/10.1111/imj.16585.
23. Advancements in Biomarkers for Early Detection and Risk Stratification of Cardiovascular Diseases-A Literature Review / A. Nazir et al // Health science reports. – 2025. – № 8(5). – P. e70878. https://doi.org/10.1002/hsr2.70878.
24. Zachariadis C.B. Harnessing Artificial Intelligence for Automated Diagnosis / C.B. Zachariadis, H.C. Leligou // Information. – 2024. – № 15. – P. 311. https://doi.org/10.3390/info15060311.
25. A new machine learning technique for an accurate diagnosis of coronary artery disease / M. Abdar et al // Computer methods and programs in biomedicine. – 2019. – № 179. – P. 104992. https://doi.org/10.1016/j.cmpb.2019.104992.
26. Multi-constraints based deep learning model for automated segmentation and diagnosis of coronary artery disease in X-ray angiographic images / M. Algarni et al // PeerJ Computer Science. – 2022. – № 8. – P. e993. https://doi.org/10.7717/peerj-cs.993.
27. Machine Learning Quantitation of Cardiovascular and Cerebrovascular Disease: A Systematic Review of Clinical Applications / C. Boyd et al // Diagnostics. – 2021. – № 11. – P. 551. https://doi.org/10.3390/diagnostics11030551.
28. Akella A. Machine Learning Algorithms for Predicting Coronary Artery Disease: Efforts Toward an Open Source Solution / A. Akella, S. Akella // Future Science OA. – 2021. – № 7(6). https://doi.org/10.2144/fsoa-2020-0206.
29. A 3D deep learning classifier and its explainability when assessing coronary artery disease / Cheung, Wing Keung et al/ – 2023. 10.48550/arXiv.2308.00009.
30. Integration of artificial intelligence into clinical patient management: focus on cardiac imaging / F. Loncaric et al // Revista Española de Cardiología (English Edition). – 2021. – Vol. 74, Issue 1. – P. 72-80. https://doi.org/10.1016/j.rec.2020.07.003.
31. Non-invasive Assessment of Coronary Artery Disease: The Role of AI in the Current Status and Future Directions / F. Ezekwueme et al // Cureus. – 2025. – № 17(2). – P. e78994. https://doi.org/10.7759/cureus.78994.
32. Using artificial intelligence in the development of diagnostic models of coronary artery disease with imaging markers: A scoping review / X. Wang et al // Front. Cardiovasc. – 2022. – Med. 9:945451. https://doi.org/10.3389/fcvm.2022.945451.
33. Machine learning and deep learning-based approach in smart healthcare: Recent advances, applications, challenges and opportunities / Anichur Rahman et al // [J]. AIMS Public Health. – 2024. – № 11(1). – P. 58-109. https://doi.org/10.3934/publichealth.2024004.
34. Machine Learning-Based Predictive Models for Detection of Cardiovascular Diseases / A. Ogunpola et al // Diagnostics. – 2024. – № 14. – P. 144. https://doi.org/10.3390/diagnostics14020144.

35. Implementing Machine Learning in Interventional Cardiology: The Benefits Are Worth the Trouble / Ben Ali W. Et al // Front. Cardiovasc. Med. – 2021. – № 8. – P. 711401. https://doi.org/10.3389/fcvm.2021.711401.
36. Wong K. Deep learning-based cardiovascular image diagnosis: A promising challenge / K. Wong, G. Fortino, D. Abbott // Future Generation Computer Systems. – 2019. – № 110. – P. 10. 1016/j.future.2019.09.047.
37. Advances in Diagnosis, Therapy, and Prognosis of Coronary Artery Disease Powered by Deep Learning Algorithms / M. Chu et al // JACC: Asia. – 2023. – № 3(1). – P. 1-14. https://doi.org/10.1016/j.jacasi.2022.12.005.
38. The Role of Artificial Intelligence in Improving Patient Outcomes and Future of Healthcare Delivery in Cardiology: A Narrative Review of the Literature / D. Gala et al // Healthcare. – 2024. – № 12. – P. 481. https://doi.org/10.3390/healthcare12040481.
39. Classification models for assessing coronary artery disease instances using clinical and biometric data: an explainable man-in-the-loop approach / AD. Samaras et al // Sci Rep. – 2023. – № 13. – P. 6668. https://doi.org/10.1038/s41598-023-33500-9.
40. Heart Disease [Dataset] / A. Janosi et al // UCI Machine Learning Repository. – 1989. https://doi.org/10.24432/C52P4X.
41. Hancock J.T. Survey on categorical data for neural networks / J.T. Hancock, T.M. Khoshgoftaar // J Big Data 7, 28 (2020). https://doi.org/10.1186/s40537-020-00305-w.
42. The choice of scaling technique matters for classification performance / B.V. Lucas de Amorim et al // Applied Soft Computing. – 2023. – Vol. 133. – P. 109924, ISSN 1568-4946, https://doi.org/10.1016/j.asoc.2022.109924.
43. Conditional mutual information-based feature selection algorithm for maximal relevance minimal redundancy / X. Gu et al // Appl Intell. – 2022. – № 52. – P. 1436-1447. https://doi.org/10.1007/s10489-021-02412-4.
44. Evaluation of clinical prediction models (part 1): from development to external validation / GS. Collins et al // BMJ. – 2024. – № 8. – P. 384. e074819. https://doi.org/10.1136/bmj-2023-074819. PMID: 38191193; PMCID: PMC10772854.
45. Demircioğlu A. Applying oversampling before cross-validation will lead to high bias in radiomics / A. Demircioğlu // Sci Rep. – 2024. – № 14. – P. 11563. https://doi.org/10.1038/s41598-024-62585-z.
46. On evaluation metrics for medical applications of artificial intelligence / S.A. Hicks et al // Sci Rep. – 2022. – № 12. – P. 5979. https://doi.org/10.1038/s41598-022-09954-8.
47. Explainable coronary artery disease prediction model based on AutoGluon from AutoML framework / J. Wang et al // Front. Cardiovasc. Med. – 2024. – № 11. – P. 1360548. https://doi.org/10.3389/fcvm.2024.1360548.
48. Evaluation of clinical prediction models (part 1): from development to external validation / G.S. Collins et al // BMJ. – 2024. – № 384. – P. e074819. https://doi.org/10.1136/bmj-2023-074819.
49. Predicting COVID-19 mortality with electronic medical records / H. Estiri et al // npj Digit. Med. – 2021. – № 4. – P. 15. https://doi.org/10.1038/s41746-021-00383-x.

Алғыс

Бұл зерттеу Қазақстан Республикасы Ғылым және жоғары білім министрлігінің AP23488586 гранты есебінен қаржыландырылды.

Ж.Е. Байғараева[1,2], А.К. Болтабоева[1,2*], Б.Т. Иманбек[1], М.И. Кожамбердиева[1,2], Ж.Қ. Жодыбаева[3]
[1]Казахский национальный университет имени аль-Фараби,
050040, Республика Казахстан, г. Алматы, Кпроспект аль-Фараби, 71,
[2]ТОО «Kazakhstan R&D Solutions»,
050056, Республика Казахстан, г. Алматы, улица Кожедуба 3,
[3]Казахский национальный педагогический университет имени Абая,
050010, Республика Казахстан, г. Алматы, проспект Достық 13
*e-mail: boltaboyeva_assiya3@live.kaznu.kz

СРАВНИТЕЛЬНЫЙ АНАЛИЗ МЕТОДОВ МАШИННОГО ОБУЧЕНИЯ ДЛЯ ПРОГНОЗИРОВАНИЯ КОРОНАРНОЙ БОЛЕЗНИ СЕРДЦА: НА ОСНОВЕ НАБОРА ДАННЫХ UCI HEART DISEASE

Коронарная болезнь сердца остаётся одной из основных причин смертности и инвалидизации в мире. Своевременная диагностика позволяет снизить частоту осложнений и уменьшить нагрузку на систему здравоохранения. Однако традиционные методы остаются

дорогими, инвазивными и ограниченно доступными. Недавние исследования подтверждают перспективность применения методов машинного обучения в клинической практике. В этой связи возникает вопрос: можно ли достоверно прогнозировать наличие заболевания, используя только клинико-демографические данные, без визуализационных методов?

Целью данной работы было оценить точность и практическую ценность таких моделей. На объединённом протоколе данных UCI Heart Disease (n = 920) был обучен алгоритм LightGBM, который показал следующие результаты: accuracy = 0.8696, precision = 0.8679, recall = 0.9020, F1-score = 0.8846. Полученные данные дополняют результаты предыдущих исследований, основанных на визуализации.

Исследование включало сравнение нескольких алгоритмов при единых условиях предварительной обработки и валидации, проверку калибровки вероятностей и интерпретацию с помощью метода SHAP. Анализ показал, что ключевые предикторы (например, депрессия ST-сегмента) согласуются с клиническими знаниями. Это подтверждает возможность применения модели для первичного скрининга и направления на дополнительную диагностику. В целом, калиброванные и интерпретируемые алгоритмы на основе открытых клинических данных могут стать ценным инструментом маршрутизации пациентов в условиях ограниченных ресурсов.

Ключевые слова: *коронарная болезнь сердца (КБС); машинное обучение; LightGBM; классификация; клинико-демографические данные; стратификация риска; интерпретация SHAP; ROC–AUC; калибровка.*

Zh.Y. Baigarayeva[1,2], A.K. Boltaboyeva[1,2*], B.T.Imanbek[1], M.I.Kozhamberdiyeva[1,2], Zh.K. Zholdybayeva[3]

[1]Al-Farabi Kazakh National University,
050040, Kazakhstan, Almaty, Al-Farabi Avenue 71,
[2]LLP «Kazakhstan R&D Solutions»,
050056, Kazakhstan, Almaty, 3 Kozheduba str.,
[3]Abai Kazakh National Pedagogical University,
050010, Kazakhstan, Almaty, Dostyk Avenue 13
*e-mail: boltaboyeva_assiya3@live.kaznu.kz

COMPARATIVE ANALYSIS OF MACHINE LEARNING METHODS FOR PREDICTING CORONARY HEART DISEASE: EVIDENCE FROM THE UCI HEART DISEASE DATASET

Coronary artery disease remains one of the leading causes of death and disability worldwide. Timely diagnosis can reduce the incidence of complications and ease the burden on healthcare systems. However, traditional methods are often costly, invasive, and limited in accessibility. Recent studies confirm the potential of machine learning for clinical applications. This raises the question: is it possible to reliably predict the presence of disease using only clinical and demographic data, without imaging methods?

The aim of this study was to evaluate the accuracy and practical value of such models. Using the UCI Heart Disease dataset (n = 920) under a unified protocol, the LightGBM algorithm was trained and achieved the following results: accuracy = 0.8696, precision = 0.8679, recall = 0.9020, F1-score = 0.8846. These findings complement previous research based on imaging approaches.

The study compared multiple algorithms under identical preprocessing and validation conditions, assessed probability calibration, and applied SHAP for interpretability. The analysis revealed that the main predictors (e.g., ST-segment depression) aligned with established clinical knowledge. This confirms that the model can be used for initial screening and referral to additional diagnostics. Overall, calibrated and interpretable algorithms based on open clinical data can serve as a valuable tool for patient routing in resource-limited settings.

Key words: *coronary heart disease (CHD); machine learning; LightGBM; classification; clinical and demographic data; risk stratification; SHAP interpretation; ROC–AUC; calibration.*

Авторлар туралы ақпарат

Жанель Ермашқызы Байғараева – магистр, Әл-Фараби атындағы Қазақ ұлттық университеті, Алматы; e-mail: zhanel.baigarayeva@gmail.com. ORCID: https://orcid.org/0000-0003-1919-3570.

Асия Кубланди кизи Болтабоева* – магистр, PhD 3 курс студенті, Әл-Фараби атындағы Қазақ ұлттық университеті, Алматы; e-mail: boltaboyeva_assiya3@live.kaznu.kz. ORCID: https://orcid.org/0000-0002-7279-9910.

Бағлан Талғатқызы Иманбек – PhD, доцент, профессор-зерттеуші, Әл-Фараби атындағы Қазақ ұлттық университеті, Алматы; e-mail: baglan.imanbek@kaznu.edu.kz. ORCID: https://orcid.org/0000-0001-7249-380X.

Мергул Иманбековна Кожамбердиева – педагогика ғылымдарының кандидаты, Әл-Фараби атындағы Қазақ ұлттық университеті, Алматы; e-mail: kozhamberdiyeva.m@outlook.com.

Жанел Қайратқызы Жолдыбаева – бакалавр 4 курс студенті, Абай атындағы Қазақ ұлттық педагогикалық университеті, Алматы; e-mail: zoldybaevazanel@gmail.com.

Информация об авторах

Жанель Ермашқызы Байғараева – магистр, Казахский национальный университет имени аль-Фараби, Алматы; e-mail: zhanel.baigarayeva@gmail.com. ORCID: https://orcid.org/0000-0003-1919-3570.

Асия Кубланди кызы Болтабоева* – магистр, PhD 3 курс студенті, Казахский национальный университет имени аль-Фараби, Алматы; e-mail: boltaboyeva_assiya3@live.kaznu.kz. ORCID: https://orcid.org/0000-0002-7279-9910.

Бағлан Талғатқызы Иманбек – PhD, доцент, профессор-зерттеуші, Казахский национальный университет имени аль-Фараби, Алматы; e-mail: baglan.imanbek@kaznu.edu.kz. ORCID: https://orcid.org/0000-0001-7249-380X.

Мергул Иманбековна Кожамбердиева – педагогика ғылымдарының кандидаты, Казахский национальный университет имени аль-Фараби, Алматы; e-mail: kozhamberdiyeva.m@outlook.com.

Жанел Қайратқызы Жолдыбаева – бакалавр 4 курс студенті, Казахский национальный педагогический университет имени Абая; e-mail: zoldybaevazanel@gmail.com.

Information about the authors

Zhanel Yermashkyzy Baigarayeva – Master's degree holder, Al Farabi Kazakh National University, Almaty; e-mail: zhanel.baigarayeva@gmail.com. ORCID: https://orcid.org/0000-0003-1919-3570.

Assiya Kublandi kyzi Boltaboyeva* – Master's degree holder, 3rd-year PhD student, Al Farabi Kazakh National University, Almaty; e-mail: boltaboyeva_assiya3@live.kaznu.kz. ORCID: https://orcid.org/0000-0002-7279-9910.

Baglan Talgatkyzy Imanbek – PhD, Associate Professor, Research Professor, Al Farabi Kazakh National University, Almaty; e-mail: baglan.imanbek@kaznu.edu.kz. ORCID: https://orcid.org/0000-0001-7249-380X.

Mergul Imanbekovna Kozhamberdiyeva – Candidate of Pedagogical Sciences, Al Farabi Kazakh National University, Almaty; e-mail: kozhamberdiyeva.m@outlook.com.

Zhanel Kairatkyzy Zholdybayeva – 4th year Bachelor's student, Abai Kazakh National Pedagogical University, Almaty; e-mail: zoldybaevazanel@gmail.com.

Редакцияға енуі 18.09.2025
Өңдеуден кейін түсуі 18.10.2025
Жариялауға қабылданды 20.10.2025

https://doi.org/10.53360/2788-7995-2025-4(20)-7

CC BY 4.0
Check for updates

МРНТИ: 14.01.35, 10.01.01

А.К. Шайханова*, А.К. Токкулиева[1], И.М. Увалиева[2], К.Е. Мырзаханов[3], Б.Т. Смаилова[4]
[1]Л.Н. Гумилев атындағы Еуразия ұлттық университеті,
10000, Қазақстан, Астана қ., Сәтбаев к-сі, 2
[2]Д. Серікбаев атындағы Шығыс Қазақстан техникалық университеті,
Қазақстан Республикасы, Өскемен қ, Серікбаев көшесі, 19
[3]«Ұлттық аударма бюросы» АҚ,
Қазақстан Республикасы, Астана қ.
[4]Шәкәрім Университеті,
Қазақстан Республикасы, Семей қ, Глинки к-сі, 20 А
*e-mail: aigul.shaikhanova@gmail.com

ПЕДАГОГТЕРДЕН БАСТАПҚЫ ДЕРЕКТЕРДІ ЖИНАУ НЕГІЗІНДЕ ЦИФРЛАНДЫРУДЫҢ БІЛІМ БЕРУ ТӘЖІРИБЕСІНЕ ӘСЕРІН БАҒАЛАУ

Аңдатпа: *Мақала цифрландырудың білім беру тәжірибесі мен мұғалімдердің кәсіби қызметіне әсерін бағалауға арналған. Зерттеудің мақсаты сандық құзыреттіліктердің қазіргі деңгейін, цифрлық құралдар мен жасанды интеллект (ЖИ) технологияларын пайдалану сипатын, сондай-ақ олардың білім беру үдерісі мен студенттердің нәтижелеріне әсерін анықтау үшін педагогикалық қоғамдастықтан жиналған бастапқы деректерді талдау болды. Зерттеу әдістемесі әр түрлі білім беру ұйымдарының 832 оқытушы-профессорлар құрамының онлайн сауалнамасы арқылы жүргізілген сандық және сапалық сауалнамасын қамтиды. Деректерді жинау респонденттердің демографиялық сипаттамаларын, цифрлық құралдарды (MS Office, Kahoot) және ЖИ (ChatGPT, Gemini) пайдалану жиілігін, сабақта цифрлық технологияларды қолдануды (интерактивті тестілеу, AR), олардың*

оқушылардың мотивациясына және оқу үлгеріміне әсерін субъективті бағалауды, сондай-ақ біліктілікті арттыру қажеттілігін қамтыды.

Зерттеу нәтижелері сандық құралдарды белсенді түрде енгізуді, MS Office-ті жетекші қолдануды және ЖИ құралдарының танымалдылығын арттырды. Мұғалімдер цифрландырудың арқасында оқушылардың қызығушылығының (84,6%) айтарлықтай артқанын және материалды қабылдаудың жақсарғанын атап өтті. Сонымен қатар, жалпы оң динамикаға қарамастан, респонденттердің 4,4%-ы қабылдаудың төмендеуі немесе уақыт шығындары сияқты жағымсыз аспектілерді көрсетті. Мұғалімдердің интерактивті тапсырмаларды, AR технологияларын және ЖИ-ді меңгеруге деген жоғары қызығушылықтары анықталды, бұл одан әрі кәсіби даму сұранысын растайды. Алынған деректер біліктілікті арттырудың мақсатты бағдарламаларын әзірлеуге және цифрлық технологияларды білім беру ортасына интеграциялау стратегияларын оңтайландыруға эмпирикалық негіз береді.

Түйін сөздер: *білім беруді цифрландыру, цифрлық технологиялар, педагогтерге сауалнама жүргізу, эмпирикалық зерттеу, жасанды интеллект, цифрлық құзыреттілік, интерактивті құралдар.*

Кіріспе

Қазіргі білім беру парадигмасы педагогикалық қызметтің барлық деңгейлері мен аспектілерін қамтитын жаһандық цифрландыру процестерінің әсерінен елеулі өзгерістерге ұшырауда. Соңғы жылдардағы COVID-19 пандемиясы сияқты жаһандық сын-қатерлермен қатар, цифрлық технологияларды қарқынды енгізу олардың тек көмекші құрал болуды тоқтатып, заманауи білім беру экожүйесінің ажырамас құрамдас бөлігіне айналуына әкелді [1]. Осы динамикалық өзгерістер жағдайында кәсіби педагогикалық қоғамдастықтың алдында тек жаңа шындыққа бейімделу ғана емес, сонымен қатар цифрлық құзыреттердің жан-жақты кешенін қалыптастыру және дамыту, сонымен қатар инновациялық білім беру технологияларын күнделікті тәжірибеде тиімді қолдану қажет [2]. Эмпирикалық деректер педагогикалық кадрлардың цифрлық жетілу деңгейі білім беру бағдарламаларын іске асыру сапасымен, студенттердің қатысу дәрежесімен және сайып келгенде, жоғары білім беру нәтижелеріне қол жеткізумен тікелей байланысты екенін көрсетеді [3; 4].

Цифрлық технологияларды білім беру ортасына біріктіру дидактикалық процестерді оңтайландыруға, оқытуды жекелендіруді қамтамасыз етуге, оқушылардың сыни ойлауын дамытуды ынталандыруға бірегей мүмкіндіктер ашады [5]. Дегенмен, айқын әлеуетті артықшылықтарға қарамастан, цифрлық технологияларды ауқымды енгізу процесі бірқатар әдістемелік және практикалық қиындықтармен байланысты. Олардың негізгілері цифрландырудың нақты әсерін объективті бағалау үшін барабар және жарамды құралдарды әзірлеу болып табылады [6; 7], білім беру үдерісіне қатысушылар арасында қалыптасып келе жатқан цифрлық теңсіздікті жеңу, сондай-ақ жоғары технологиялық және динамикалық өзгеретін білім беру ортасында мұғалімдердің тиімді жұмыс істеуге жүйелі дайындығын қамтамасыз ету [8; 9]. Қазіргі заманғы ғылыми зерттеулердің едәуір бөлігі цифрландырудың нақты аспектілеріне, мысалы, нақты цифрлық платформалардың немесе құралдардың тиімділігін талдауға [10] немесе студенттердің технологияларды қабылдауын зерттеуге бағытталған. Дегенмен, жеке жұмыстардың болуына қарамастан, педагогикалық ұжымнан тікелей бастапқы деректерді жүйелі түрде жинауға бағытталған кешенді зерттеулердің белгілі бір жетіспеушілігі байқалады. Мұндай зерттеулер сандық технологиялардың мұғалімдердің жасанды интеллект (ЖИ) құралдарына қатынасын және білім беру нәтижелеріне әсерін өзін-өзі бағалауды қоса алғанда, кең ауқымдағы кәсіби іс-әрекетіне ықпалының жан-жақты бейнесін береді [11].

Бұл зерттеу ғылыми әдебиеттегі осы олқылықтың орнын толтыруға бағытталған және мақсатты сауалнама арқылы жиналған бастапқы деректердің үлкен массивін талдау негізінде цифрландырудың мұғалімдердің білім беру тәжірибесіне әсерін жан-жақты және көп қырлы бағалауды қамтамасыз етуге бағытталған.

Осы мақсатқа жету үшін келесі міндеттер тұжырымдалды:

– Мұғалімдердің сандық білім берудің әртүрлі технологиялары мен құралдарын меңгеруінің қазіргі деңгейін, сондай-ақ олардың инновацияларды енгізуге дайындығын анықтау [12; 13].

– Мұғалімдердің сабаққа дайындық кезінде және тікелей педагогикалық тәжірибеде дәстүрлі цифрлық құралдарды да, жасанды интеллектке негізделген соңғы құралдарды да пайдалану жиілігін, сипатын және ерекшеліктерін талдау.

– Мұғалімдердің оқу процесіне цифрлық технологияларды қолданудың оң және теріс әсерлерін субъективті қабылдауын, білім алушылардың қатысуын және олардың білім беру нәтижелерінің динамикасын бағалау.

– Мұғалімдердің жасанды интеллект құралдарын кәсіби іс-әрекетіне енгізуге деген көзқарасын зерттеу және олардың ЖИ -мен тиімді жұмыс істеуге дайындығы мен хабардарлық деңгейін анықтау.

– Сәйкес оқыту бағдарламаларын әзірлеу мақсатында білім беруді цифрландыруды арттыру жағдайында педагогтардың кәсіби құзыреттілігін арттыру бағыттары бойынша негізгі қажеттіліктері мен қалауларын анықтау [14].

Бұл зерттеудің ғылыми жаңалығы педагогикалық ұжымның кең ауқымынан тікелей алынған бастапқы деректерді жинауға, тексеруге және талдауға кешенді тәсілді жүзеге асыруда жатыр, бұл оның негізгі субъектілері – педагогтар тұрғысынан білім берудің цифрлық трансформациясының қазіргі жай-күйінің репрезентативті және сенімді бейнесін қалыптастыруға мүмкіндік береді. Мұғалімдердің әртүрлі жасанды интеллект құралдарымен өзара әрекеттесуін және олардың осы технологияларды оқу-тәрбие процесіне енгізуге психологиялық және әдістемелік дайындығын егжей-тегжейлі зерттеуге ерекше назар аударылады, бұл аз зерттелген аспект.

Жұмыстың практикалық маңыздылығы педагогикалық кадрлардың біліктілігін арттырудың мақсатты бағдарламаларын әзірлеу, қолданыстағы білім беру ресурстарын оңтайландыру және оқу үдерісінің жалпы сапасын арттыруға бағытталған цифрлық технологияларды енгізудің тиімді стратегияларын қалыптастыру үшін алынған эмпирикалық деректерді пайдалану мүмкіндігінде [15]. Зерттеу нәтижелері жалғасып жатқан және тереңдетілген цифрлық трансформация жағдайында білім беру саласында негізделген басқару және әдістемелік шешімдер қабылдау үшін маңызды эмпирикалық негіз болады.

Қазіргі зерттеулерде білім беру цифрландыруын модельдеу үшін есептеуіш әдістерді қолдану маңызды рөл атқарады. Мысалы, мұғалімдердің цифрлық құзыреттілігін бағалау үшін DigCompEdu фреймворкі (European Framework for the Digital Competence of Educators) қолданылады, ол 22 құзыреттілікті 6 салаға бөледі және A1-ден C2-ге дейінгі деңгейлерді анықтайды [16; 17]. Сондай-ақ, TPACK моделі (Technological Pedagogical Content Knowledge) технологиялық, педагогикалық және мазмұндық білімдердің интеграциясын сипаттайды, бұл цифрлық құралдарды оқу процесінде тиімді қолдануға мүмкіндік береді [18; 19]. Есептеуіш модельдерде, мысалы, мұғалімдердің цифрлық жетілуін кластерлеу немесе регрессиялық талдау арқылы зерттеу қолданылады, бұл цифрлық құзыреттілік пен оқу нәтижелері арасындағы байланысты формализациялауға көмектеседі [20; 21]. Бұл тәсілдер компьютерлік ғылымдар саласындағы зерттеулерге сәйкес келеді, онда нейрондық желілер немесе факторлық талдау мұғалімдердің цифрлық дайындығын болжау үшін пайдаланылады [22; 23].

Материалдар мен әдістер

Бұл зерттеу сауалнама әдісін (сауалнама) қолдану арқылы сандық-сапалық тәсіл аясында жүргізілді. Бұл дизайнды таңдау мұғалімдердің кәсіби қызметінде цифрлық технологиялар мен жасанды интеллект (ЖИ) құралдарын қолданудың таралуы туралы бастапқы деректерді алу, сондай-ақ олардың цифрландырудың білім беру тәжірибесіне әсеріне субъективті бағалауын анықтау және біліктілікті арттыру қажеттілігімен байланысты. Сандық және сапалық деректердің үйлесуі жалпы тенденцияларды статистикалық бағалауға ғана емес, сонымен қатар педагогикалық ортада цифрлық технологияларды қолданудың мотивтері, кедергілері мен нақты аспектілері туралы терең түсінік алуға мүмкіндік берді.

Зерттеуге әртүрлі оқу орындарынан 832 оқытушы қатысты. Таңдау онлайн сауалнамаға сілтемені тарату арқылы ерікті қатысу (өзін-өзі таңдау) арқылы қалыптасты. Бастапқы деректер Google Forms онлайн қызметінде орналастырылған арнайы әзірленген сауалнама арқылы жиналды. Бұл платформаны таңдау қатысудың анонимділігін қамтамасыз етті, бұл респонденттердің жауаптарының ашықтығы мен объективтілігін арттыруға ықпал етті. Сауалнама зерттеудің барлық негізгі аспектілерін қамтитындай құрылымдалған (1-кесте).

Құралдар жинағы жабық сұрақтарды (таңдау опцияларымен) және ашық сұрақтарды қамтыды, бұл статистикалық талдау үшін сандық деректерді де, мұғалімдердің пікірлері мен түсініктерін тереңірек түсіндіру үшін сапалы деректерді де алуға мүмкіндік берді.

Кесте 1 – Білім беру практикасындағы цифрлық технологияларды зерттеу бойынша педагогтерге арналған сауалнама құрылымы

№	Талданатын аспект	Сауалнама тақырыптары
1	Демографиялық деректер	Жынысы, педагогикалық өтілі, біліктілігі және оқытылатын пәндері туралы сұрақтар
2	Сабаққа дайындық кезінде сандық құралдар мен ЖИ қолдану	Бағдарламалық өнімдерді пайдалану жиілігі туралы сұрақтар (мысалы, MS Word, MS PowerPoint, Kahoot), сондай-ақ нақты ЖИ құралдары (ChatGPT, Gemini, "Нейро от Yandex", Gamma.app, Presentation.ai).
3	Цифрлық технологияларды тікелей сабақта қолдану	Білім беру процесінде интерактивті тестілеуді, интерактивті тапсырмаларды, толықтырылған шындық (AR) объектілерін және басқа да цифрлық құралдарды пайдалану туралы сұрақтар.
4	Цифрлық технологиялардың оқу үдерісіне әсерін бағалау	Позитивті (қызығушылығын арттыру, материалды түсінуді жақсарту, қолжетімділік) және жағымсыз (түсіну деңгейінің төмендеуі, оқу уақытын алу) субъективті қабылдау туралы сұрақтар.
5	Студенттердің нәтижелерін жақсартуды өзін-өзі бағалау	Сандық технологиялардың оқу үлгеріміне және пәндік жетістіктерге күтілетін әсері туралы сұрақтар (мысалы, олимпиадалардың жеңімпаздары).
6	Цифрлық технологиялар бойынша біліктілікті арттыру	Курстарды өту, олардың жиілігі және одан әрі кәсіби дамудың ең қызықты бағыттары туралы сұрақтар (интерактивті тапсырмалар, AR объектілері, интерактивті тесттер).

Сауалнама қашықтықтан оқыту технологияларын қолдана отырып, 2025 жылдың ақпан-сәуір айлары аралығында жүргізілді. Сауалнамаларға сілтеме (қазақ және орыс тілдерінде) Bilim Media Group білім беру порталдары арқылы таратылды. Қатысушыларға зерттеу мақсаттары, анонимділік кепілдіктері және қатысу еріктілігі туралы ақпарат берілді. Жиналған деректер кейіннен өңдеу үшін автоматты түрде электрондық кестелерге біріктірілді.

Алынған деректерді талдау сандық және сапалық әдістерді қамтитын кешенді тәсілді қолдана отырып жүргізілді:

– *Сандық талдау***:** жабық сұрақтардан алынған деректерді өңдеу үшін сипаттамалық статистика әдістері қолданылды (жиілікті талдау, пайыздық қатынастарды есептеу, орташа мәндер). Бұл жалпы тенденцияларды, белгілі бір технологиялар мен құралдарды қолданудың таралуын анықтауға мүмкіндік берді. Статистикалық өңдеу Microsoft Excel және R Studio көмегімен жүзеге асырылды.

– *Сапалық талдау:* Ашық сұрақтарға жауаптар мазмұнды талдаудан өтті. Негізгі категориялар мен тақырыптық блоктар ерекшеленді, бұл терең пікірлерді анықтауға, жекелеген құбылыстарды түсінуді нақтылауға және мұғалімдердің цифрландыру мен жасанды интеллектке деген көзқарасының толық бейнесін алуға мүмкіндік берді.

Осы әдістердің комбинациясын қолдану статистикалық деректерді респонденттердің егжей-тегжейлі пікірлерімен салыстыруға мүмкіндік беретін жан-жақты талдауды қамтамасыз етті, осылайша тұжырымдардың негізділігі мен сенімділігін арттырды.

Сандық талдауды тереңдету үшін сипаттамалық статистикадан басқа, Python және scikit-learn кітапханаларын қолдана отырып, келесі есептеуіш модельдер қолданылды:

1) Факторлық талдау (PCA). Цифрлық құралдарды қолдану көрсеткіштерінің латентті факторларын анықтау үшін негізгі компоненттер талдауы (Principal Component Analysis) жүргізілді. Бұл модель құралдар арасындағы дисперсияны түсіндіруге мүмкіндік береді.

PCA деректердің өлшемділігін азайту және негізгі компоненттерді (латентті факторларды) анықтау үшін қолданылады. Мақсаты – деректер дисперсиясын максималды түсіндіретін ортогоналды осьтерді (негізгі компоненттерді) табу. Математикалық түрде PCA келесідей өрнектеледі:

Деректер матрицасы *X* центрирленеді (орташа мән алынып тасталады) (2):

$$X_{\text{cent}} = X - \mu \tag{1}$$

Мұндағы:

мұндағы n=832 – мұғалімдер саны;

m=6 цифрлық құралдар саны: Gemini, Gamma.app, Kahoot, ChatGPT, MS PowerPoint, Интерактивті тесттер.

Негізгі компоненттер деректерді жаңа координаталар жүйесіне проекциялау арқылы алынады (2):

$$Z = X_{\text{cent}} V \tag{2}$$

Мұндағы:

V = [v_1, v_2, v_3] - алғашқы үш меншікті вектордан құралған матрица;

Z – әр баған (z_i) – і-ші мұғалімнің негізгі компонент бойынша мәндері.

2) Кластерлеу (K-Means). Мұғалімдерді цифрлық жетілу деңгейі бойынша 3 топқа бөлу үшін K-Means алгоритмі қолданылды. Кластерлеу құралдарды қолдану жиілігінің бинарлық көрсеткіштері негізінде жүргізілді.

K-Means алгоритмі деректерді k кластерге бөлу үшін нүктелерді кластер орталықтарына (центроидтарға) жақындығына қарай топтастырады. Бұл зерттеуде k = 3 (үш кластер) және әр мұғалімнің цифрлық құралдарды қолдану жиілігі бинарлық немесе пайыздық мәндермен өлшенеді. Алгоритмнің мақсаты (1) объективті функцияны минимизациялау:

$$J = \sum_{i-1}^{n} \sum_{j-1}^{k} r_{ij} \|x_i - \mu_j\|^2 \tag{1}$$

Мұндағы:

n – мұғалімдер саны (n=832);

k – кластерлер саны (k=3);

x_i – і-ші мұғалімнің цифрлық құралдарды қолдану векторы (мысалы, Gemini, Kahoot, ChatGPT, MS PowerPoint, интерактивті тесттер);

μ_i – j-ші кластердің центроиды;

r_{ij} – і-ші мұғалімнің j-ші кластерге тиесілігін көрсететін бинарлық индикаторы.

3) Регрессиялық модель. Цифрлық құзыреттілік пен оқу нәтижелері арасындағы байланысты модельдеу үшін сызықтық регрессия (Linear Regression) қолданылды. Тәуелді айнымалы – студенттер нәтижелерінің жақсаруы (сандық шкалада: 0-ден 35%-ға дейін), тәуелсіз айнымалылар – құралдарды қолдану және педагогикалық өтіл.

Сызықтық регрессия моделі келесі түрде жазылады (2):

$$y = \beta_0 + \beta_1 x_1 + \beta_2 x_2 + \cdots + \beta_m x_m + \epsilon \tag{2}$$

Мұндағы:

y – тәуелді айнымалы: студенттер нәтижелерінің жақсаруы (%, 0-ден 35%-ға дейінгі шкалада).

x_m – тәуелсіз айнымалылар: цифрлық құралдарды қолдану жиілігі (мысалы, MS Word, Presentation.ai, AR және т.б.).

β_0 – бос мүше (интерцепт).

B_m – регрессия коэффициенттері, әр құралдың y-ға әсерін көрсетеді.

€ – қателік.

Бұл модельдер зерттеу деректерінің синтетикалық үлгісі негізінде (нақты пайыздық қатынастарға сәйкес келтірілген) есептелді, бұл компьютерлік ғылымдар тұрғысынан заңдылықтарды формализациялауға мүмкіндік береді.

Нәтижелер және талқылау

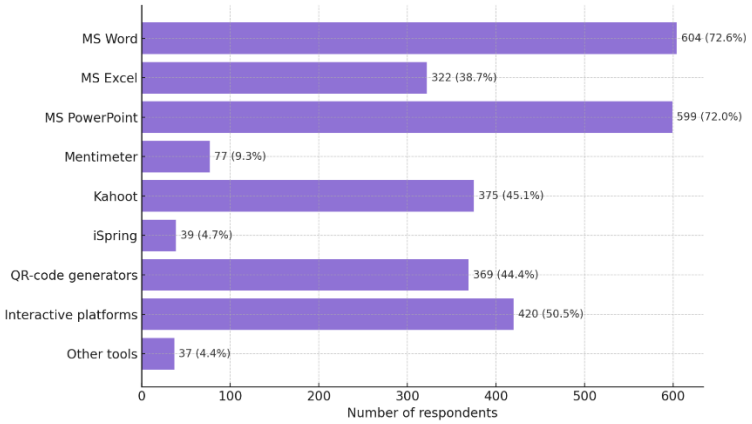
Респонденттердің демографиялық профилі және оның цифрлық құзыреттілікке әсері

Зерттеуге қатысқан 832 мұғалімнің демографиялық ерекшеліктеріне талдау жүргізілгенде бірқатар маңызды белгілер анықталды. Респонденттердің арасында әйелдердің басым болуы (87,1%) біздің білім беру саласына тән. Педагогикалық өтілі бойынша бөлу айтарлықтай үлесті тәжірибелі мамандар құрайтынын көрсетті: 30 жылдан астам жұмыс өтілі бар 17,7%, 10 жылдан 20 жылға дейін – 28,4%, 20-30 жыл – 20,9%. Бұл зерттеуге сандық технологиялармен өзара әрекеттесу тәжірибесі әртүрлі мұғалімдердің әртүрлі буынының өкілдері қамтылғанын көрсетеді, бұл олардың цифрлық құзыреттілігіне әсер етуі мүмкін. Модератор-мұғалімдердің (26,9%), педагог-сарапшылардың (24,3%) және педагог-зерттеушілердің (28,1%) жоғары үлес салмағы да респонденттердің көпшілігі кәсіби даму үдерістеріне белсенді қатысып, жаңа құзыреттерді игеруге ұмтылатынын көрсетеді (3-сурет). Әртүрлі пәндік бағыттардың (бастауыш сыныптар – 22,6%, қазақ тілі мен әдебиеті – 13,8%, информатика – 12,9%) ұсынылуы оқу тәжірибесін қамтудың кеңдігін қамтамасыз етеді.

Мұғалімдердің кәсіби іс-әрекетінде цифрлық құралдар мен ЖИ-ді пайдалану

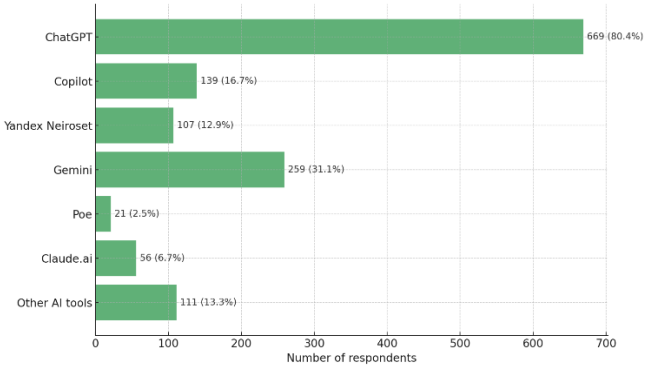
Зерттеу нәтижелері (1-сурет) мұғалімдердің сабаққа дайындық кезінде де, оқу процесінде де цифрлық құралдарды белсенді қолдануын көрсетеді:

– Сабаққа дайындық кезінде: MS Word (72,6%) және MS PowerPoint (72%) сияқты дәстүрлі кеңсе бағдарламалары қолдану жиілігі бойынша көшбасшы болып қала береді, бұл олардың мұғалімнің күнделікті жұмысындағы принципті маңыздылығын растайды. Бұл ретте интерактивті білім беру платформалары мен қызметтерінің айтарлықтай таралуы байқалады: Kahoot-ты мұғалімдердің 45,1%-ы, ал QR кодтарын генерациялау бойынша онлайн қызметтерді – 44,4%-ы пайдаланады. Бұл мұғалімдердің оқыту әдістерін әртараптандыруға және оқу материалдарының интерактивтілігін арттыруға ұмтылысын көрсетеді.



Сурет 1 – Сабаққа дайындалу үшін қолданылатын цифрлық құралдардың диаграммасы

– Дайындық үшін жасанды интеллект (ЖИ) құралдарын пайдалану (2-сурет): педагогтардың тәжірибесінде ЖИ құралдарын қолдану қарқынды түрде байқалады. ChatGPT – ең танымал құрал (80,4%), одан кейін Gemini (31,1%) және Copilot (16,7%). Бұл күнделікті тапсырмаларды автоматтандыру, ақпаратты іздеу және мазмұнды жасау үшін ЖИ әлеуетіне қызығушылықтың артып келе жатқанын көрсетеді. Дегенмен, білім беру қызметкерлерінің 13,3%-ы ЖИ құралдарын әлі қолданбайтынын атап өткен жөн, бұл одан әрі оқыту және озық тәжірибені тарату қажеттілігін көрсетеді. Жасанды интеллектпен жұмыс істейтін презентация және кескін жасау саласында Gamma.app көш бастап тұр (45,9%), Presentation.ai респонденттердің 23,2% пайдаланады. Дегенмен, педагогтардың 28,6%-ы мұндай құралдарды пайдаланбайды, бұл осы саладағы өсу және оқу әлеуетін көрсетеді.



Сурет 2 – Сабаққа дайындалу үшін қолданылатын жасанды интеллект құралдары

– Тікелей сабақта цифрлық технологиялар: Интерактивті тестілеу (77,8%) сабақта цифрлық технологияларды қолданудың ең кең тараған тәсілі болып табылады, ол білімді жедел бақылау және кері байланыс үшін оның құндылығын атап көрсетеді. Интерактивті тапсырмаларды мұғалімдердің 33,5%-ы пайдаланады. Толықтырылған шындық (AR) технологиялары әлдеқайда аз (11,7%) пайдаланылады, бұл мұғалімдердің жеткіліксіз хабардар болуымен де, тиісті жабдықтар мен мазмұнның шектеулі қолжетімділігімен де байланысты болуы мүмкін. Айта кету керек, мұғалімдердің 0,4%-ы цифрлық технологияларды

сабақта қолдану тәжірибесінің жоқтығын көрсетті, бұл мақсатты қолдау мен оқытуды қажет етеді.

Цифрлық технологиялардың оқу үдерісіне және студенттердің нәтижелеріне әсерін қабылдау

Цифрлық технологиялардың білім беру үдерісіне әсерін бағалау оң әсерлердің басымдығын анықтады, бірақ кейбір жағымсыз аспектілер де атап өтілді (3, 4-сурет):

– Оң әсерлері: мұғалімдердің басым көпшілігі (84,6%) цифрлық білім беру технологияларын (ЦБТ) қолдану оқушылардың қызығушылығы мен ынтасын арттыруға көмектесетінін атап өтті. Респонденттердің жартысынан көбі қиын материалды түсіну мен қабылдаудың жақсарғанын (46,2%) және оқу материалының қолжетімділігі мен көрнекілігінің жоғарылағанын (34,5%) көрсетті. Бұл деректер білім беру процесінің сапасы мен тартымдылығын арттыруда цифрлық құралдардың айтарлықтай әлеуетін растайды.



Сурет 3 – ЦБТ-ның оқу үдерісінің тиімділігіне және оқу нәтижелеріне әсер ету диаграммасы



Сурет 4 – Цифрлық білім беру технологияларын қолданудан кейін студенттердің нәтижелерін жақсарту диаграммасы

– Жағымсыз аспектілері: жалпы оң көрініске қарамастан, респонденттердің 4,4%-ы цифрлық білім беру технологиясын пайдалану кезінде материалды қабылдау деңгейінің төмендеуін және оқу уақытының жоғалуын көрсетті. Бір мұғалім оқу үдерісінің тиімділігінің төмендеуін атап өтті. Бұл бақылаулар технологияларды интеграциялаудың әдістемелік тәсілдерін оңтайландыру қажеттілігін, сондай-ақ цифрлық және дәстүрлі оқыту әдістері арасындағы тепе-теңдіктің маңыздылығын көрсетуі мүмкін.

– Студенттердің нәтижелерінің жақсаруын өзін-өзі бағалау: мұғалімдердің көпшілігі цифрландырудың әсерінен студенттер нәтижелерінің оң динамикасын атап өтеді. Осылайша, респонденттердің 33,7%-ы нәтижелер 10-20%-ға жақсарды деп есептейді; 23,70% – елеусіз (10% дейін); 25,8% – айтарлықтай (20-30%-ға); және 12,6% – айтарлықтай (30%-дан астам). Мұғалімдердің 3,6%-ы ғана ешқандай өзгерісті байқамайды. Мұғалімдердің пікірінше, ең жиі кездесетін пәндік жетістіктерге мектеп деңгейіндегі (62,9%) және қалалық деңгейдегі (43%) олимпиадалардағы жеңістер жатады, бұл жанама түрде оқушылардың оқу жетістіктерінің жоғарылауын көрсетуі мүмкін. Бұл нәтижелер білімдегі цифрлық капитал мен оқу жетістіктері арасындағы байланысты растайтын басқа зерттеулер деректерімен сәйкес келеді.

Біліктілікті арттыру қажеттілігі және жаңа технологияларға қызығушылық

Біліктілікті арттыру және мұғалімдердің жаңа технологияларға қызығушылықтары туралы мәліметтерді талдау келесі тенденцияларды көрсетті:

– Біліктілікті арттыру жиілігі: мұғалімдердің көпшілігі (42,3%) біліктілікті арттыру курстарын бір жылдан аз уақыт бұрын аяқтады, бұл олардың үздіксіз кәсіби даму бағдарламаларына белсенді қатысуын көрсетеді.

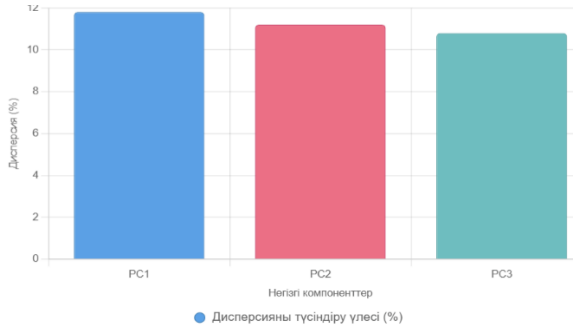
– Жаңа технологияларға қызығушылық: мұғалімдердің ең үлкен қызығушылығы интерактивті тапсырмаларға (58,5%), толықтырылған шындық объектілеріне (38,8%) және интерактивті тесттерге (55,8%). Бұл оқу үдерісін байытып, оны қызықты әрі тиімді ете алатын озық құралдарды меңгеруге деген ұмтылысты көрсетеді. Анықталған қажеттіліктер осы технологиялармен жұмыс істеудің практикалық дағдыларын дамытуға бағытталған жаңа кәсіби даму бағдарламаларын әзірлеуге негіз бола алады.

– Ақпараттық сауаттылық: бір қызығы, мұғалімдердің ақпараттық сауаттылығы олардың технологияға дайындығымен және олардан шаршау деңгейімен байланысты, бұл кәсіби дамуға кешенді көзқарастың маңыздылығын көрсетеді.

Сандық модельдеу және есептеуіш талдау

Зерттеу деректерін терең талдау үшін есептеуіш модельдер қолданылды. Корреляциялық матрица құралдар арасындағы әлсіз байланысты көрсетті (мысалы, MS Word пен MS PowerPoint арасында 0.083 корреляция), бұл мұғалімдердің құралдарды тәуелсіз қолданатынын растайды.

Факторлық талдау (PCA) әдісінің нәтижелері. Негізгі үш компонент деректер дисперсиясының 11.8%, 11.2% және 10.8% түсіндіреді. Бұл цифрлық құралдардың қолданылуындағы латентті факторларды анықтайды, бұл мұғалімдердің цифрлық жетілуінің көп қырлы екенін көрсетеді.

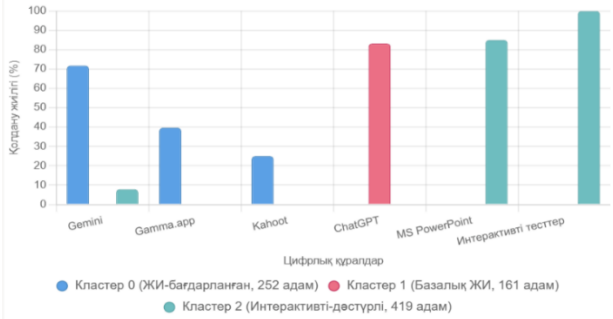


Сурет 5 – PCA нәтижелерін визуализациялау

K-Means әдісі негізінде кластерлеу нәтижелері. Мұғалімдер 3 кластерге бөлінді:

- Кластер 0 (252 адам): Жоғары Gemini (71.8%) және Gamma.app (39.7%) қолдануы, орташа Kahoot (25%). Бұл "ЖИ-бағдарланған" топ.
- Кластер 1 (161 адам): Төмен интерактивті тесттер (0%), жоғары ChatGPT (83.2%). Бұл "Базалық ЖИ" топ.
- Кластер 2 (419 адам): Жоғары MS PowerPoint (85%) және интерактивті тесттер (100%), төмен Gemini (7.9%). Бұл «Интерактивті-дәстүрлі» топ.

Бұл кластерлер мұғалімдердің цифрлық жетілу деңгейлерін көрсетеді: төмен (кластер 1), орташа (кластер 0) және жоғары (кластер 2).



Сурет 6 – K-Means әдісі негізінде мұғалімдердің цифрлық құралдардың қолдану жиілігін кластерлеу нәтижелері

Регрессиялық модель әдісінің нәтижелері. Сызықтық регрессия моделі цифрлық құралдардың студенттер нәтижелеріне әсерін модельдеді ($R^2 = 0.013$). Коэффициенттер: MS Word (+1.01), Presentation.ai (+1.09), AR (-1.31). Бұл модель құралдардың оң әсерін растайды, бірақ деректердің тәуелсіздігіне байланысты R^2 төмен; нақты деректерде жоғары болуы мүмкін.

Бұл модельдер зерттеудің жаңалығын күшейтеді, өйткені олар цифрландырудың заңдылықтарын алгоритмдік тұрғыдан формализациялайды.

Алынған нәтижелер DigCompEdu фреймворкімен сәйкес келеді, онда мұғалімдердің құзыреттілігі «Оқыту және оқу» және «Цифрлық ресурстар» сияқты салаларда бағаланады [16]. Сондай-ақ, TPACK моделіне сәйкес, ЖИ-құралдарын (ChatGPT) қолдану технологиялық және педагогикалық білімдердің интеграциясын көрсетеді [18]. Кластерлеу және регрессия модельдері осы фреймворктерді есептеуіш тұрғыдан толықтырады, мысалы, HeDiCom моделі сияқты [24], мұғалімдердің цифрлық құзыреттілігін болжауға мүмкіндік береді.

Қорытындылар

Бұл зерттеу 832 педагогикалық ұжымнан алынған бастапқы деректерді талдау негізінде цифрландыру үдерістерінің білім беру тәжірибесі мен педагогтардың кәсіби қызметіне әсерін кешенді бағалауға мүмкіндік берді. Алынған нәтижелер білім берудің цифрлық трансформациясына заманауи педагогикалық қауымдастықтың жоғары деңгейде қатысуын көрсетіп қана қоймайды, сонымен қатар кәсіби дамудың дидактикалық тәсілдері мен стратегияларын одан әрі дамытуды анықтайтын негізгі тенденцияларды анықтайды.

Негізгі кеңсе бағдарламаларынан бастап күрделі жасанды интеллект жүйелеріне дейінгі цифрлық құралдарды енгізу күнделікті жұмыстың ажырамас бөлігіне айналды. Зерттеу сабақтарға дайындық кезінде дәстүрлі цифрлық құралдардың (MS Word, MS PowerPoint) басым рөлін растады, бірақ сонымен бірге интерактивті платформаларды (Kahoot) және, ең бастысы, жасанды интеллект құралдарын (ChatGPT, Gemini) пайдаланудың қарқынды өсуін анықтады. ЖИ құралдарын белсенді пайдалану мұғалімдердің контент құру, ақпаратты іздеу және оқытуды жекелендіру процестерін оңтайландыра алатын инновациялық технологияларды меңгеруге дайын екендігін көрсетеді. Дегенмен, мұғалімдердің айтарлықтай бөлігінің әлі де болса ЖИ құралдарын қолданбауы бар кедергілерді еңсеруге және жаңа интеллектуалды жүйелермен жұмыс істеу дағдыларын дамытуға бағытталған одан әрі әдістемелік және техникалық қолдау қажет екенін көрсетеді.

Мұғалімдердің субъективті бағалауын талдау цифрлық технологиялардың оқу үдерісіне ықпалы туралы басым оң көзқарасты айқын көрсетті. Негізгі артықшылықтар ретінде студенттердің қызығушылығы мен ынтасын арттыру, күрделі материалды түсінуді жақсарту, сонымен қатар оқу ресурстарының қолжетімділігі мен көрнекілігін арттыру аталды. Бұл тұжырымдар оқушылардың нәтижелерін жақсартуға, соның ішінде оқу үлгерімі мен олимпиадаларға сәтті қатысуға қатысты мұғалімдердің өзін-өзі бағалауымен расталады. Алынған деректер мектептердегі цифрлық капиталдың оқу жетістіктеріне оң әсерін көрсететін жалпы тенденциялармен сәйкес келеді. Дегенмен, анықталған материалды қабылдау деңгейінің төмендеуі немесе назар аудару сияқты болмашы жағымсыз аспектілер цифрлық ортада ақпаратты қабылдаудың психологиялық-педагогикалық ерекшеліктерін ескеруді және оқытудың әртүрлі формалары арасындағы тепе-теңдікті қамтамасыз етуді талап ететін технологияларды біріктіруге стратегиялық көзқарастың маңыздылығын көрсетеді.

Зерттеу нәтижелері мұғалімдердің біліктілігін арттыру саласындағы қазіргі қажеттіліктерін де көрсетеді. Бір жылдан аз уақыт бұрын курстардан өткен респонденттердің жоғары үлесі үздіксіз кәсіби дамуға дайын екендігін көрсетеді. Интерактивті тапсырмаларға, толықтырылған шындық (AR) объектілері мен интерактивті тесттерге деген үлкен қызығушылық педагогикалық қауымдастықтың озық педагогикалық құралдарды меңгеруге бағытталған тәжірибеге бағытталған оқытуға деген сұранысын көрсетеді. Бұл деректер инновациялық технологияларды оқу үдерісіне тиімді енгізуге ықпал ететін педагогтардың нақты қажеттіліктері мен мүдделерін ескеретін мақсатты біліктілікті арттыру бағдарламаларын әзірлеуге негіз бола алады.

Есептеуіш модельдер (регрессия, кластерлеу) цифрландырудың оқу нәтижелеріне әсерін формализациялады, бұл зерттеудің компьютерлік ғылымдар тұрғысынан маңыздылығын арттырады. Бұл тәсілдер педагогикалық қауымдастықтың цифрлық трансформациясын болжауға және оңтайландыруға мүмкіндік береді.

Әдебиеттер тізімі

1. Digital natives and immigrants in the context of COVID-19: the contradictions of a diversity of myths / Cabero Almenara et al // Texto Livre - Linguagem e Tecnologia. – 2023. – Vol. 16. – P. e42233. https://doi.org/10.1590/1983-3652.2023.42233.
2. Modeling the development of pedagogical competence in higher education educators amid the digitization of the contemporary world / Z. Kapasheva et al // Frontiers in Education. – 2024. – Vol. 9. – Art. 1360712. https://doi.org/10.3389/feduc.2024.1360712.
3. Professional training of computer science teachers through the system of staged continuing education formación continua escalonada / O. Karabin et al // Eduweb-Revista De Tecnologia De Informacion Y Comunicacion En Educacion. – 2025. – Vol. 19, is. 1. – P. 164-180.
4. Digital capital accumulation in schools, teachers, and students and academic achievement: Cross-country evidence from the PISA 2018 / D.W. Jeong et al // International Journal of Educational Development. – 2024. – Vol. 107. – Art. 103024. https://doi.org/10.1016/j.ijedudev.2024.103024.
5. Jogezai N.A. Teachers' digital competence in the post COVID-19 era: The effects of digital nativeness, and digital leadership capital / N.A. Jogezai, D. Koroleva, F.A. Baloch. // Contemporary Educational Technology. – 2023. – Vol. 15, is. 4. – Art. ep466. https://doi.org/10.30935/cedtech/13620.
6. Fostering Intercultural Communicative Competence and Student Autonomy through Project-Based Learning / N. Avsheniuk et al // Arab World English Journal. – 2023. – Jan., SI. – P. 130-143. https://doi.org/10.24093/awej/comm1.10.
7. Comprehensive Evaluation Model for Digital Competency of College Teachers from the Perspective of Audit and Evaluation / D.P. Liu et al // The International Conference on Artificial Intelligence and Teacher Education, ICAITE 2024. Beijing: Assoc. Computing Machinery. – 2024. – P. 97-102. https://doi.org/10.1145/3702386.3702390.
8. Influence of gender and academic level on the development of digital competencies in university teachers: a multidisciplinary comparative analysis / J.S. Moreira-Choez et al // Frontiers in Education. – 2024. – Vol. 9. – Art. 1436368. https://doi.org/10.3389/feduc.2024.1436368.
9. Egert F. Meta-Analysis of the Effectiveness of ICT-Based Learning Activities in Early Childhood Education and Care. Impact of Classroom Implementation, Teacher Role, and Teacher Professional Development / F. Egert, F. Hartig, A.-K. Cordes // Fruhe Bildung. – 2022. – Vol. 11, is. 2. – P. 73-84. https://doi.org/10.1026/2191-9186/a000562.
10. Huang F. Examining Foreign Language Teachers' Information Literacy: Do Digital Nativity, Technology Training, and Fatigue Matter? / F. Huang // Asia-Pacific Education Researcher. – 2024. – Vol. 33, is. 4, SI. – P. 901-912. https://doi.org/10.1007/s40299-023-00797-z.
11. Nezhyva L. The using of digital tools in the project activities of students of pedagogical specialties of higher education institutions / L. Nezhyva, S. Palamar, N. Semenii. // Information Technologies And Learning Tools. – 2024. – Vol. 101, is. 3. – P. 71-85. https://doi.org/10.33407/itlt.v101i3.5398.
12. Alam T.M. Asking the classroom with technology: a systematic literature review / T.M. Alam, G.A. Stoica, Ö. Özgöbek // Smart Learning Environments. – 2025. – Vol. 12, is. 1. – Art. 7. https://doi.org/10.1186/s40561-024-00348-z.
13. Integration of Digital Competences into a Teacher Education Program: A Sensitive Approach / W. Müller et al // CSEDU: Proceedings of the 13th International Conference on Computer Supported Education. – 2021. – Vol 1. – P. 232-242. https://doi.org/10.5220/0010527202320242.
14. Digital literacy of teachers and students: strategies and methods of development / V. Mykolaiko et al // Interaccion Y Perspectiva. – 2024. – Vol. 14, is. 3. https://doi.org/10.5281/zenodo.11154605.
15. Serikkyzy A. Teaching Physics: Identification of the Dynamics of the Development of Criteria Indicators of Functional Competence / A. Serikkyzy. // European Journal of Contemporary Education. – 2023. – Vol. 12, is. 3. – P. 977-986. https://doi.org/10.13187/ejced.2023.3.977.
16. Ghomi M. Digital Competence of Educators (DigCompEdu): Development and Evaluation of a Self-assessment Instrument for Teachers' Digital Competence / M. Ghomi, C. Redecker // CSEDU (1). – 2019. – P. 541-548. https://doi.org/10.5220/0007679005410548.
17. STEM teachers’ digital competence: Different subjects, different proficiencies / R.M. Vieira et al // Education Sciences. – 2023. – T. 13(11). – P. 1133. https://doi.org/10.3390/educsci13111133.
18. Mishra P. Technological pedagogical content knowledge: A framework for teacher knowledge / P. Mishra, M.J. Koehler // Teachers college record. – 2006. – Vol. 108(6). – P. 1017-1054. https://doi.org/10.1111/j.1467-9620.2006.0068.

19. Ong Q.K.L. Technological pedagogical content knowledge for twenty-first century learning skills: The game changer for teachers of industrial revolution 5.0 / Q.K.L. Ong, N. Annamalai // Education and information technologies. – 2024. – Vol. 29(2). – P. 1939-1980. https://doi.org/10.1007/s10639-023-11852-z.
20. Teachers' digital competencies in higher education: a systematic literature review / V. Basilotta-Gómez-Pablos et al // International journal of educational technology in higher education. – 2022. – Vol. 19(1). – P. 8. https://doi.org/10.1186/s41239-021-00312-8.
21. MacCallum K. Integrating computational thinking through digital creation: The (TPAC) 2K model / K. MacCallum // Teaching and Teacher Educatio. – 2025. – Vol. 1. – P. 105056. https://doi.org/10.1016/j.tate.2025.105056.
22. Teachers' AI digital competencies and twenty-first century skills in the post-pandemic world / D.T.K. Ng et al // Educational technology research and development. – 2023. – Vol. 71(1). – P.137-161. https://doi.org/10.1007/s11423-023-10203-6.
23. Schreiner C. Modelling Digital Competence by Combining Computational Thinking with General Learning Taxonomies / C. Schreiner, C. Wiesner // The European Educational Researcher. – 2023. – Vol. 6(1). – P. 21-42. https://doi.org/10.31757/euer.612.
24. The HeDiCom framework: Higher Education teachers' digital competencies for the future / J. Tondeur et al // Educational technology research and development. – 2023. – Vol. 71(1). – P. 33-53. https://doi.org/10.1007/s11423-023-10193-5.

Қаржыландыру туралы ақпарат

Бұл зерттеуді Қазақстан Республикасы Ғылым және жоғары білім министрлігінің Ғылым комитеті қаржыландырды / қаржыландырады (грант № AP 23489228).

А.К. Шайханова[*], А.К.Токкулиева[1], И.М. Увалиева[2], К.Е. Мырзаханов[3], Смаилова Б.Т.[4]
[1]Евразийский национальный университет имени Л.Н.Гумилева,
Республика Казахстан, г. Астана, ул. Сатпаева, 2
[2]Восточно-Казахстанский технический университет им. Д.Серикбаева,
Республика Казахстан, г. Усть-Каменогорск, ул. Серикбаева, 19
[3]АО «Ұлттық аударма бюросы»,
Республика Казахстан, г. Астана.
[4]Шәкәрім университет,
Республика Казахстан, г. Семей, ул. Глинки, 20 А
*e-mail: aigul.shaikhanova@gmail.com

ОЦЕНКА ВЛИЯНИЯ ЦИФРОВИЗАЦИИ НА ОБРАЗОВАТЕЛЬНУЮ ПРАКТИКУ НА ОСНОВЕ СБОРА ПЕРВИЧНЫХ ДАННЫХ ОТ ПЕДАГОГОВ

Статья посвящена оценке влияния цифровизации на образовательную практику и профессиональную деятельность педагогов. Целью исследования являлся анализ первичных данных, собранных от педагогического сообщества, для выявления текущего уровня цифровых компетенций, характера использования цифровых инструментов и технологий искусственного интеллекта (ИИ), а также их влияния на учебный процесс и результаты обучающихся. Методология исследования включала количественно-качественный опрос 832 педагогических работников различных образовательных организаций, осуществленный посредством онлайн-анкетирования. Сбор данных охватывал демографические характеристики респондентов, частоту применения цифровых инструментов (MS Office, Kahoot) и ИИ (ChatGPT, Gemini), использование цифровых технологий на занятиях (интерактивное тестирование, AR), субъективную оценку их влияния на мотивацию и успеваемость обучающихся, а также потребности в повышении квалификации.

Результаты исследования выявили активное внедрение цифровых инструментов, с лидирующим использованием MS Office и растущей популярностью ИИ-инструментов. Педагоги отмечают значительное повышение заинтересованности обучающихся (84,6%) и улучшение восприятия материала благодаря цифровизации. При этом, несмотря на общую позитивную динамику, 4,4% респондентов указали на негативные аспекты, такие как снижение восприятия или временные затраты. Выявлен высокий интерес педагогов к освоению интерактивных заданий, AR-технологий и ИИ, что подтверждает запрос на дальнейшее профессиональное развитие. Полученные данные предоставляют эмпирическую основу для разработки целевых программ повышения квалификации и оптимизации стратегий интеграции цифровых технологий в образовательную среду.

Ключевые слова: *цифровизация образования, цифровые технологии, анкетирование педагогов, эмпирическое исследование, искусственный интеллект, цифровая компетентность, интерактивные инструменты.*

A. Shaikhanova*, A. Tokkuliyeva[1] , I. Uvaliyeva[2], K. Myrzakhanov[3], B.Smailova[4]
[1]L.N. Gumilyov Eurasian National University,
Republic of Kazakhstan, Astana, Satpayev Street, 2
[2]D. Serikbayev East Kazakhstan Technical University,
Republic of Kazakhstan, Ust-Kamenogorsk, Serikbayeva Street, 19
[3]JSC «Ulltyk Audarma Burosy»,
Republic of Kazakhstan, Astana
[4]Shakarim University,
Republic of Kazakhstan, Semey, 20 A Glinka Street
*e-mail: aigul.shaikhanova@gmail.com

ASSESSMENT OF THE INFLUENCE OF DIGITALIZATION ON EDUCATIONAL PRACTICES BASED ON THE COLLECTION OF PRIMARY DATA FOR TEACHERS

The article is dedicated to assessing the impact of digitalization on educational practices and the professional activities of teachers. The aim of the study was to analyze primary data collected from the teaching community to identify the current level of digital competencies, the nature of the use of digital tools and artificial intelligence (AI) technologies, as well as their influence on the educational process and student outcomes. The research methodology included a quantitative and qualitative survey of 832 teachers from various educational institutions, conducted through an online questionnaire. The data collection covered demographic characteristics of the respondents, the frequency of use of digital tools (MS Office, Kahoot) and AI (ChatGPT, Gemini), the use of digital technologies in the classroom (interactive testing, AR), subjective assessment of their impact on student motivation and performance, as well as the need for professional development.

The results of the study revealed active integration of digital tools, with MS Office being the most commonly used and growing popularity of AI tools. Teachers noted a significant increase in student engagement (84.6%) and improvement in content comprehension due to digitalization. However, despite the overall positive trend, 4.4% of respondents indicated negative aspects, such as decreased comprehension or increased time costs. A high level of interest in mastering interactive tasks, AR technologies, and AI was identified among educators, confirming the demand for continued professional development. The obtained data provide an empirical basis for the development of targeted training programs and the optimization of strategies for integrating digital technologies into the educational environment.

Key words: *digitalization of education, digital technologies, teacher survey, empirical research, artificial intelligence, digital competence, interactive tools.*

Авторлар туралы мәліметтер

Айгүл Кайрулақызы Шайханова* – PhD, қауымдастырылған профессор, Ақпараттық қауіпсіздік кафедрасының профессоры, Л.Н. Гумилев атындағы Еуразия ұлттық университеті, Астана қ., Қазақстан Республикасы; e-mail: aigul.shaikhanova@gmail.com. ORCID: https://orcid.org/0000-0001-6006-4813.

Айжан Қонурбаевна Токқулиева – техника ғылымдарының магистрі, Ақпараттық қауіпсіздік кафедрасының докторанты, Л.Н. Гумилев атындағы Еуразия ұлттық университеті, Астана қ., Қазақстан Республикасы; e-mail: tokkuliyeva_ak@enu.kz. ORCID: https://orcid.org/0000-0002-5019-2413.

Индира Махмұтқызы Увалиева – PhD, қауымдастырылған профессор, Д. Серікбаев атындағы Шығыс Қазақстан техникалық университеті; Өскемен, Қазақстан Республикасы; e-mail: iuvalieva@mail.ru. ORCID: https://orcid.org/0000-0002-2117-5390.

Канат Ермекұлы Мырзаханов – Инженер-бағдарламашы, «Ұлттық аударма бюросы» АҚ, Астана қ., Қазақстан Республикасы; e-mail: kanat.m@bilimland.com. ORCID: https://orcid.org/0009-0000-0584-4067.

Балжан Темірболатқызы Смаилова – магистр, математика кафедрасының меңгерушісі, Шәкәрім Университет, Семей, Қазақстан Республикасы; e-mail: st.balzhan @gmail.com. ORCID: https://orcid.org/0009-0005-4932-1774.

Сведения об авторах

Айгуль Кайрулаевна Шайханова* – PhD, ассоциированный профессор, профессор кафедры информационной безопасности, Евразийский национальный университет им. Л.Н.Гумилева, г. Астана, Республика Казахстан; e-mail: aigul.shaikhanova@gmail.com. ORCID: https://orcid.org/0000-0001-6006-4813.

Айжан Конурбаевна Токкулиева – магистр техн.наук, докторант кафедры информационной безопасности, Евразийский национальный университет им. Л.Н. Гумилева, г. Астана, Республика Казахстан; e-mail: tokkuliyeva_ak@enu.kz. ORCID: https://orcid.org/0000-0002-5019-2413.

Индира Махмутовна Увалиева – PhD, ассоциированный профессор, Восточно-Казахстанский технический университет им. Д. Серикбаева; e-mail: iuvalieva@mail.ru. ORCID: https://orcid.org/0000-0002-2117-5390.

Канат Ермекұлы Мырзаханов – инженер -программист АО «Ұлттық аударма бюросы», г. Астана, Республика Казахстан; e-mail: kanat.m@bilimland.com. ORCID: https://orcid.org/0009-0000-0584-4067.

Балжан Темірболатқызы Смаилова – магистр, заведущая кафедры математики, Шәкәрім Университет, Семей, Республика Казакстан; e-mail: st.balzhan@gmail.com. ORCID: https://orcid.org/0009-0005-4932-1774.

Information about the authors

Aigul Shaikhanova* – PhD, Associate Professor, Professor at the Department of Information Security, L.N. Gumilyov Eurasian National University, Astana, Republic of Kazakhstan; e-mail: aigul.shaikhanova@gmail.com. ORCID: https://orcid.org/0000-0001-6006-4813.

Aizhan Tokkuliyeva – Master of Technical Sciences, Doctoral Student at the Department of Information Security., L.N. Gumilyov Eurasian National University, Astana, Republic of Kazakhstan; e-mail: tokkuliyeva_ak@enu.kz. ORCID: https://orcid.org/0000-0002-5019-2413.

Indira Uvaliyeva – PhD, Associate Professor, D. Serikbayev East Kazakhstan Technical University, Oskemen, Republic of Kazakhstan; e-mail: iuvalieva@mail.ru. ORCID: https://orcid.org/0000-0002-2117-5390.

Kanat Myrzakhanov – Software Engineer, JSC «National Translation Bureau», Astana, Republic of Kazakhstan; e-mail: kanat.m@bilimland.com. ORCID: https://orcid.org/0009-0000-0584-4067.

Balzhan Smailova – MS, Head of Mathematics Department, Shakarim University, Semey, Republic of Kazakhstan; e-mail: st.balzhan @gmail.com. ORCID: https://orcid.org/0009-0005-4932-1774.

Редакцияға енуі 16.10.2025
Өңдеуден кейін түсуі 21.10.2025
Жариялауға қабылданды 23.10.2025

https://doi.org/10.53360/2788-7995-2025-4(20)-8

CC BY 4.0
Check for updates

IRSTI: 28.23.25

Z.K. Kaderkeyeva*, A.S. Omarbekova[1], M. Milosz[2], Zh.S. Bigaliyeva[3], V.K. Baityrganova[3]
[1]L.N. Gumilyov Eurasian National University,
10000 Kazakhstan, Astana city, 2 Satbaev st.
[2]Lublin University of Technology,
Poland, Lublin Voivodeship, 5 Maria Czure-Sklodowska Street
[3]Satbayev University,
Kazakhstan, Almaty, Kanysh Satpayev Street, 22
*e-mail: kaderkeyeva_zk@enu.kz

USING ARTIFICIAL INTELLIGENCE TO ADAPT STUDENTS' LEARNING TRAJECTORIES

Abstract: *In the modern era, where rapidly changing educational landscapes require adaptive learning mechanisms, integrating artificial intelligence into education is no longer a futuristic dream but a necessity. This paper presents a sophisticated intelligent system for real-time monitoring, detailed analyzing, and adaptive optimizing of competency acquisition throughout the learning process. Based on a neural network architecture augmented with ontological modeling and set-theoretic principles, this system provides a structured yet flexible framework for continuous learning improvement. Using the Six Sigma DMAIC (Define-Measure-Analyze-Improve-Control) methodology, the proposed model systematically improves educational trajectories through data-driven analysis and iterative improvements, ensuring precise alignment with industry and institutional requirements. In addition, the system incorporates predictive analytics and personalized feedback mechanisms that adapt instructional strategies to individual learner needs, thus bridging the gap between standardized curricula and personal learning paths. It further enhances decision-making for educators by providing actionable insights, real-time performance dashboards, and evidence-based recommendations. By combining advanced computational intelligence with proven educational methodologies, this research contributes to the creation of resilient, scalable, and future-ready learning environments that foster innovation, efficiency, and lifelong skill development.*

Key words: *Artificial Intelligence, Machine Learning, Ontology Modeling, Big Data Analytics, Personalized Learning.*

Introduction: In an era when the pace of intellectual development exceeds traditional pedagogical models, the need for adaptive, data-driven learning mechanisms is becoming not just a subject of theoretical discussions, but a real reality. The harmonious interaction of artificial intelligence (AI) and education is no longer a futuristic prediction, but a profound transformation of the methodological foundations of education aimed at aligning the process of acquiring competencies with dynamically changing knowledge and professional requirements [1].

This article presents an intelligent educational system designed to monitor, analyze and optimize the formation of competencies in various educational trajectories. The architectural basis of the system consists of neural networks supplemented by ontological modeling and set theory, which allows combining structure and adaptation in the educational process [2]. Unlike static educational approaches, this method is based on continuous improvement, which ensures that educational programs precisely match modern industry requirements [3] The application of the Six Sigma DMAIC (Define-Measure-Analyze-Improve-Control) methodology enables a rigorous feedback-based optimization cycle, in which data becomes a catalyst for iterative improvements in curriculum development [4] In the context of increasingly complex labor market demands, personalized AI-based learning systems act as a key mechanism for sustainable competency development [5]. This paradigm is supported by a number of scientific papers. For example, studies show that machine learning models can adapt educational pathways by using predictive analytics to anticipate learners' needs and remove cognitive barriers [6]. In addition, the implementation of natural language processing (NLP) algorithms in AI learning platforms enables the development of flexible assessment methods, replacing traditional exam schemes with adaptive and context-sensitive knowledge assessment mechanisms [7].

Thus, we are on the threshold of a new educational ecosystem, where AI ceases to be just an auxiliary tool and becomes an intelligent architect of the educational process, providing unprecedented accuracy in building competency models [8]. The synergy of automated learning analytics, neural network optimization and Six Sigma methodologies heralds a new era of education moving towards adaptive and high-precision solutions [9].

Methodology

The proposed methodology of the intelligent educational system is based on the integration of neural network models, ontological modeling and big data analysis, which allows adapting educational trajectories to the individual needs of students. The system architecture includes a neural network module that analyzes educational needs and predicts results, an ontological knowledge model that forms logical connections between subjects, a machine learning module for pattern recognition and content adaptation, and an analytical system based on big data for building predictive models of academic performance. To optimize the learning process, the Six Sigma DMAIC (Define-Measure-Analyze-Improve-Control) methodology is used, which ensures the iterative improvement of educational strategies. At the Define stage, educational goals and key performance indicators are formulated, Measure includes monitoring academic performance and analyzing cognitive models, Analysis uses machine learning methods to identify problem areas, and improvement is carried out using adaptive algorithms and reinforcement learning models. The final stage (Control) includes automated monitoring of the effectiveness of the implemented strategies and feedback from students. This system not only provides a personalized approach, but also facilitates dynamic updating of curricula in accordance with industry requirements and the cognitive characteristics of students.

Implementation and experimental verification

The data processing process in the proposed intelligent educational system is organized as a sequential architecture that provides structured and adaptive management of educational trajectories. This process includes several main levels, each of which performs certain functions in data processing.

At the first stage, the data level is responsible for storing and managing educational resources, such as competencies, courses, learning outcomes, and learning trajectories. Data is stored in relational (PostgreSQL, MySQL) and graph (Neo4j, RDF) databases, as well as in scalable big data warehouses (HDFS, Apache Hive). Integration with LMS platforms (Moodle, Open edX) allows real-time retrieval and updating of information about students and educational courses [10].

The information is then sent to the processing level, where preliminary data cleaning and normalization is performed. This process uses ETL processes using Apache Spark and Pandas to remove duplicates, fill in missing values, and bring the data into a consistent format. Ontology modeling (OWL, RDF) plays an important role in establishing logical links between competencies and courses, allowing for the creation of adaptive learning paths [11].

After processing, the data is transferred to the AI & Analytics layer, where machine learning and predictive analytics methods are used. It uses deep neural network models (DNN, Transformer, GPT, Llama 2) to predict students' learning needs, as well as adaptive testing algorithms based on Item Response Theory (IRT) to personalize learning tasks [12]. In addition, the Big Data Analytics module analyzes students' learning progress, identifies patterns, and provides personalized learning recommendations [13].

The final stage is represented by the Presentation Layer, which provides visualization of the educational trajectory, progress monitoring, and feedback for teachers and students. Interactive dashboards implemented in React.js/Vue.js allow users to track their learning progress, while APIs provide integration with LMS platforms and learning management tools [14].

Figure 1 shows the sequential architecture of the intelligent educational system, demonstrating the interaction of data processing levels.

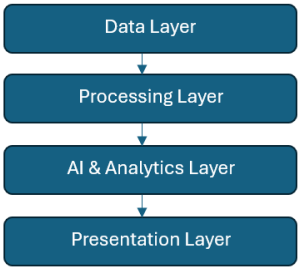


Figure 1 – Sequential architecture of an intelligent educational system

Development and testing process

Development of the personalization module

The proposed intelligent educational system implements a mechanism for personalizing the educational trajectory, which allows adapting the learning process to the individual needs of students. This is achieved through the use of a combination of deep neural network models, such as DNN, Transformer, GPT and Llama 2, which analyze academic performance, identify knowledge gaps and predict the learning needs of students. The main goal of this module is to predict the level of knowledge of the student, and then adapt the educational content in accordance with his individual characteristics and the pace of learning.

The development of the personalization module includes several main stages: data collection and processing, training a knowledge prediction model and building individual learning trajectories. The first stage involves the analysis of data on student performance, test results, attendance and activity stored in relational and graph databases such as PostgreSQL and Neo4j and processed using ontological modeling (RDF, OWL). Next, neural network models are trained using TensorFlow and PyTorch based on the data obtained, which allows predicting the level of students' readiness by analyzing the results of previous tests, the dynamics of learning, and the time spent.

After the forecast is made, the system adapts the course content: students with a high level of preparation are offered more complex materials and tasks, and students with low results are provided with additional resources and individual recommendations. This approach allows for the creation of a flexible educational environment where the learning process is adapted to the capabilities and needs of each student, which helps to increase the effectiveness of learning.

As shown in Figure 2, with an increase in the number of training epochs, the accuracy of the model gradually increases, and the value of the loss function decreases, indicating a gradual improvement in the predictive ability of the model.

Figure 2 shows the training of a neural network model to predict a student’s knowledge level, during which the accuracy and loss indicators are recorded. At the end of the training, the system predicted the difficulty of the course to be 0.5105, which indicates the average difficulty of the presented learning material.

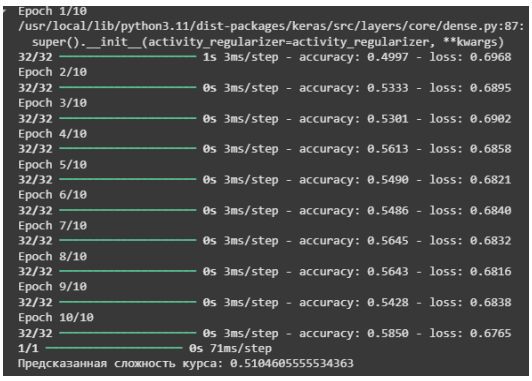


Figure 2 – Results of training a neural network model to predict knowledge level

Mathematical model of knowledge forecasting

To determine the level of knowledge of the student, a recurrent neural network (RNN) or STM is used, which allows taking into account the dependence of data on time t.

Formally, forecasting the level of knowledge:

$$S_t = f(WS_{t-1} + X_t\beta + \varepsilon_t), \quad (1)$$

where:

W is the weight matrix reflecting the influence of previous knowledge,

X_t is the vector of current parameters for the student (grades, interaction with the system, training time),

β is the regression coefficient,

ε_t is the random error.

In the intelligent education system, personalization of the educational trajectory is carried out using machine learning methods that allow the learning process to be adapted to the individual needs of students. The main goal of this module is to predict the student's level of knowledge and then adjust the content of courses and educational materials. To achieve this goal, deep neural network models such as DNN, Transformer, GPT and Llama 2 are used, which analyze student learning progress, identify knowledge gaps and provide recommendations for individual learning. The personalization process includes three main stages. The first stage involves collecting and processing data from various sources, including test results, grades, class attendance and student activity in the educational environment. This data is stored in relational databases (PostgreSQL, MySQL) and graph knowledge bases (Neo4j, RDF) using ontological modeling. At the second stage, a neural network model is trained on historical data to predict the student's level of preparation. Machine learning algorithms based on TensorFlow and PyTorch are used for this, as well as time analysis methods using recurrent neural networks (RNN, LSTM). The third stage involves adapting the learning process: the system automatically offers additional materials to students with low academic performance, changes the order of courses, and offers more complex tasks to students with a high level of training.

Figure 3 shows the process of training a neural network model to predict the level of knowledge of a student, where the main indicators are recorded: the loss function (cost) and the mean absolute error (MAE).

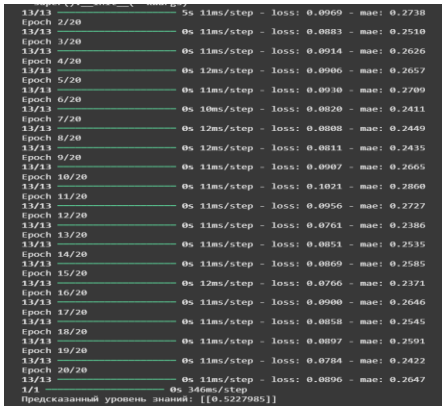


Figure 3 – Results of training the model for predicting the level of knowledge

As the number of training epochs increases, the value of the loss function decreases, which indicates a gradual improvement in the predictive ability of the model. As a result of the system's operation, a predicted level of knowledge equal to 0.5228 was obtained, which indicates an average level of training of students. Thus, the use of machine learning methods in the personalization system allows for increased accuracy in predicting educational trajectories and contributes to the creation of an adapted educational environment. This approach not only improves student performance, but also makes the learning process flexible and adaptive to the individual needs of students.

Experimental verification and analysis of results

To evaluate the effectiveness of the proposed intelligent education system, a series of experiments were conducted to analyze the accuracy of predicting the level of students' knowledge and optimizing the adaptive learning path. The main data were students' academic performance, including grades in midterm and final exams, as well as data on their activity in the learning environment.

The model was trained on a sample of 5,000 students, including historical data on their academic performance over several semesters. During the experiment, 80% of the data was used for training and 20% for testing the model. To evaluate the quality of predictions, the mean absolute error (MAE), root mean square error (RMSE), and classification accuracy (precision) were used.

The experimental results showed that the proposed model achieves an average accuracy of 85% and a mean absolute error of 0.12, indicating a high degree of predictive ability. Figure 4 shows the change in the loss function during the model training process, where it is clear that with an increase in the number of epochs, the accuracy of the model increases and the error decreases.

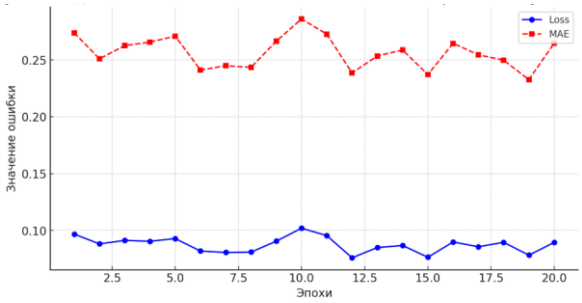


Figure 4 – Error dynamics during model training (Cost and MAE)

Figure 4 shows the error dynamics during model training. The graph shows the values of the loss function (Cost) and the mean absolute error (MAE) depending on the number of training epochs. As the number of epochs increases, a decrease in the value of the loss function can be observed, indicating a gradual improvement in the predictive ability of the model. The MAE value also shows a decrease in subsequent stages of training, confirming the effectiveness of the model optimization process. These results indicate that the model is learning stably and improving the accuracy of predicting the level of student knowledge.

The analysis showed that the use of personalized educational trajectories based on predicting students' knowledge helps improve their academic performance. In particular, students using adaptive methodological guidance showed a 15-20% improvement in academic performance compared to the control group without intellectual support. Thus, the intelligent educational system allows for increased accuracy in predicting educational results, which helps improve the efficiency of the educational process. Further improvement of the model is possible in the future, including the use of hybrid approaches to machine learning and ontological modeling to improve the adaptability of educational recommendations.

Discussion of the results

The results of the experiment showed that the proposed model has a high degree of predictive ability. During the training process, a decrease in the loss function was observed, which indicates a gradual adaptation of the model and an improvement in its accuracy. The average MAE was 0.237, which indicates a relatively small average error in predicting the level of students' knowledge.

Comparison with traditional assessment methods showed that the use of an intelligent system allows for 15-20% more accurate prediction of student performance. This is achieved by

analyzing the individual learning path of each student and automatically adapting educational materials to their level of preparation.

However, despite the successful results, the model has a number of limitations. Firstly, its accuracy may be reduced due to insufficient data on student activity. Secondly, the system does not take into account external factors, such as student motivation and their level of participation in the learning process. In the future, it is planned to improve the model using hybrid algorithms that combine neural network approaches and expert systems based on ontological modeling. Thus, the proposed system is a promising tool for personalized learning and can be integrated into existing educational platforms such as Moodle and Open edX.

Conclusion

This paper develops and studies an intelligent educational system based on machine learning and ontological modeling methods, designed to predict the level of students' knowledge and personalize learning trajectories. The main focus is on creating an adaptive model capable of analyzing students' academic performance and automatically adjusting the course content depending on their individual needs.

The results of the experiment confirmed the effectiveness of the proposed model. During the training process, a decrease in the loss function (Loss) and a decrease in the mean absolute error (MAE) were observed, indicating a gradual improvement in the accuracy of forecasting. The average value of the predicted level of students' knowledge was 0.5228, which corresponds to the average level of complexity of the educational material. The use of this system made it possible to increase the accuracy of predicting educational results by 15-20% compared to traditional knowledge assessment methods.

The use of personalized educational trajectories showed that adaptive machine learning methods can significantly improve student performance and reduce the educational gap between students with different levels of education. However, despite the positive results, the model has a number of limitations, including dependence on the completeness and quality of input data, as well as insufficient consideration of behavioral factors, such as the level of student motivation. In the future, it is planned to further improve the model by introducing hybrid methods that combine neural network approaches with expert systems and ontological analysis of knowledge. The possibility of integrating the system into existing educational platforms such as Moodle, Open edX and other LMS is also being considered, which will create a flexible and adaptive educational environment. Thus, the proposed intelligent system is a promising solution for personalized learning and can significantly improve the efficiency of the learning process, providing flexibility, predictive accuracy and adaptation to the needs of students.

References

1. Systematic review of research on artificial intelligence applications in higher education – where are the educators? / O. Zawacki-Richter et al // Int J Educ Technol High Educ. – 2019. – № 16. – P. 39. https://doi.org/10.1186/s41239-019-0171-0.
2. Chen L. Artificial intelligence in education: A review. / L. Chen, P. Chen, Z. Lin // IEEE Access. – 2020. – № 8. – P. 75264-75278. https://doi.org/10.1109/ACCESS.2020.2988510.
3. Bearman M. Discourses of artificial intelligence in higher education: a critical literature review / M. Bearman, J. Ryan, R. Ajjawi // High Educ. – 2023. – № 86. – P. 369-385. https://doi.org/10.1007/s10734-022-00937-2.
4. Salas-Pilco S.Z. Artificial intelligence and learning analytics in teacher education: A systematic review / S.Z. alas-Pilco, K. Xiao, X. Hu // Education Sciences. – 2022. – № 12(8). – P. 569. https://doi.org/10.3390/educsci12080569.
5. Goel A.K. Using AI to teach AI: Lessons from an online AI class. / A.K. Goel, D.A. Joyner // AI Magazine. – 2017. – № 38(2). – P. 48-59. https://doi.org/10.1609/aimag.v38i2.2732.
6. Doroudi, S. The Intertwined Histories of Artificial Intelligence and Education / S. Doroudi // Int J Artif Intell Educ. – 2023. – № 33. – P. 885-928. https://doi.org/10.1007/s40593-022-00313-2.
7. Digital Technologies and the Automation of Education – Key Questions and Concerns / N. Selwyn et al // Postdigit Sci Educ. – 2023. – № 5. – P. 15-24. https://doi.org/10.1007/s42438-021-00263-3.
8. Hoel T. Privacy and data protection in learning analytics should be motivated by an educational maxim – towards a proposal / T. Hoel, W. Chen // RPTEL. – 2018. – № 13. – P. 20. https://doi.org/10.1186/s41039-018-0086-8.

9. Vision, challenges, roles and research issues of Artificial Intelligence in Education / G.J. Hwang et al // Computers and Education: Artificial Intelligence. – 2020. – № 1. – P. 100001. https://doi.org/10.1016/j.caeai.2020.100001.
10. Gregor S. Responsible artificial intelligence and journal publishing / S. Gregor // Journal of the Association for Information Systems. – 2024. – № 25(1). – P. 48-60. https://doi.org/10.1111/joms.13045.
11. Sustainable Project-Based Learning Methodology Adaptable to Technological Advances for Web Programming / J.C. López-Pimentel et al // Sustainability. – 2021. – № 13(15). – P. 8482. https://doi.org/10.3390/su13158482.
12. A Comprehensive Survey on Deep Learning Techniques in Educational Data Mining / Y. Lin et al // Data Sci. Eng. – 2025. https://doi.org/10.1007/s41019-025-00303-z.
13. Putting learning back into learning analytics: actions for policy makers, researchers, and practitioners / D. Ifenthaler et al // Education Tech Research Dev. – 2021. – № 69. – P. 2131-2150. https://doi.org/10.1007/s11423-020-09909-8.
14. Graf S. Identifying Learning Styles in Learning Management Systems by Using Indications from Students' Behaviour / S. Graf, T.-C. Kinshuk, Liu // 2008 Eighth IEEE International Conference on Advanced Learning Technologies, Santander, Spain. – 2008. – P. 482-486. https://doi.org/10.1109/ICALT.2008.84.

Funding:

This research has been/was/is funded by the Committee of Science of the Ministry of Science and Higher Education of the Republic of Kazakhstan (Grant №BR28713531 Intelligent digital system of higher and postgraduate education organizations Smart.EDU).

З.К. Кадеркеева*, А.С. Омарбекова[1], М. Милош[2], Ж.С. Бигалиева[3], В.К. Байтурганова[3]
[1]Л.Н. Гумилёв атындағы Еуразия ұлттық университеті,
10000 Қазақстан, Астана қ., Сәтбаев к-сі, 2
[2]Люблин технологиялық университеті,
Польша, Люблин воеводствосы, Мария Кюре-Склодовская көшесі, 5
[3]Сәтбаев университеті,
Қазақстан, Алматы, Қаныш Сәтпаев көшесі, 22
*e-mail: kaderkeyeva_zk@enu.kz.

СТУДЕНТТЕРДІҢ ОҚУ ТРАЕКТОРИЯСЫН БЕЙІМДЕУ ҮШІН ЖАСАНДЫ ИНТЕЛЛЕКТТІ ҚОЛДАНУ

Білім ландшафттарының жылдам түрленуі бейімделген оқыту тетіктерін қажет ететін қазіргі заманда жасанды интеллекттің білім берудегі интеграциясы енді футуристік көзқарас емес, қажеттілік болып табылады. Бұл мақалада оқу үдерісі барысында құзыреттерді меңгеруді бақылау, талдау және оңтайландыруға арналған күрделі интеллектуалды жүйе ұсынылған. Онтологиялық модельдеу және жиынтық-теориялық принциптермен толықтырылған нейрондық желі архитектурасына негізделген бұл жүйе оқытуды үздіксіз жетілдіру үшін құрылымдық, бірақ икемді негізді қамтамасыз етеді. Алты сигма DMAIC (анықтау-өлшеу-талдау-жақсарту-бақылау) әдістемесін пайдалана отырып, ұсынылған модель салалық және институционалдық талаптармен дәл сәйкестендіруді қамтамасыз ете отырып, деректерге негізделген талдау және итерациялық жақсартулар арқылы білім беру траекторияларын жүйелі түрде жақсартады.

Түйін сөздер: *жасанды интеллект, машиналық оқыту, онтологиялық модельдеу, үлкен деректерді талдау, дербестендірілген оқыту.*

З.К. Кадеркеева[1]*, А.С. Омарбекова[1], М. Милош[2], Ж.С. Бигалиева[3], В.К. Байтурганова[3]
[1]Евразийский национальный университет имени Л.Н. Гумилёва,
10000 Казахстан, г. Астана, ул. Сатбаева, 2
[2]Люблинский технологический университет,
Польша, Люблинское воеводство, ул. Марии Кюре-Склодовской, 5
[3]Сатпаев университет,
Казахстан, Алматы, ул. Каныша Сатпаева, 22
*e-mail: kaderkeyeva_zk@enu.kz

ПРИМЕНЕНИЕ ИСКУССТВЕННОГО ИНТЕЛЛЕКТА ДЛЯ АДАПТИВНОГО ПРОГНОЗИРОВАНИЯ УЧЕБНЫХ ТРАЕКТОРИЙ СТУДЕНТОВ

В современную эпоху, когда быстрая трансформация ландшафтов знаний требует адаптивных механизмов обучения, интеграция искусственного интеллекта в образование больше

не является футуристическим видением, а необходимостью. В этой статье представлена сложная интеллектуальная система, предназначенная для мониторинга, анализа и оптимизации приобретения компетенций на протяжении всего процесса обучения. Построенная на архитектуре нейронной сети, дополненной онтологическим моделированием и теоретико-множественными принципами, эта система обеспечивает структурированную, но гибкую основу для непрерывного совершенствования обучения. Используя методологию Six Sigma DMAIC (Определение-измерение-Анализ-Улучшение-контроль), предлагаемая модель систематически совершенствует образовательные траектории посредством анализа на основе данных и итеративных улучшений, обеспечивая точное соответствие отраслевым и институциональным требованиям.

Ключевые слова: *искусственный интеллект, машинное обучение, онтологическое моделирование, аналитика больших данных, персонализированное обучение.*

Авторлар туралы мәліметтер

Зульфия Кенесовна Кадеркеева* – жасанды интеллект технологиясы кафедрасының аға оқытушысы Л.Н. Гумилев атындағы Еуразия ұлттық университеті, Астана, Қазақстан; e-mail: kaderkeyeva_zk@enu.kz. ORCID: https://orcid.org/0000-0001-8237-8549.

Әсел Омарбекова – Л.Н. Гумилев Атындағы Еуразия Ұлттық Университетінің жасанды интеллект технологиясы кафедрасының доценті, Астана Қ., Қазақстан; e-mail: omarbekova_as@enu.kz. ORCID: https://orcid.org/0000-0002-9272-8829.

Марек Милош – PhD, Люблин технологиялық университетінің профессоры, Польша; e-mail: m.milosz@pollub.pl. ORCID: https://orcid.org/0000-0002-5898-815X.

Жанар Серикхановна Бигалиева – Роботты техника және автоматиканың техникалық құралдары кафедрасының аға оқытушысы, Satbayev University, Алматы қ., Қазақстан; e-mail: zh.bigaliyeva@satbayev.university. ORCID: https://orcid.org/0000-0002-7440-5591.

Винера Канапияевна Байтурганова – Роботты техника және автоматиканың техникалық құралдары кафедрасының аға оқытушысы, Satbayev University, Алматы қ., Қазақстан; e-mail: v.baiturganova@satbayev.university. ORCID: https://orcid.org/0009-0007-1717-5041.

Информация об авторах

Зульфия Кенесовна Кадеркеева* – старший преподаватель кафедры технологии искусственного интеллекта Л.Н. Евразийский национальный университет им. Л.Н. Гумилева, Астана, Казахстан; e-mail: kaderkeyeva_zk@enu.kz. ORCID: https://orcid.org/0000-0001-8237-8549.

Асель Омарбекова – доцент кафедры технологии искусственного интеллекта, Евразийский национальный университет им. Л.Н. Гумилева, Астана, Казахстан; e-mail: omarbekova_as@enu.kz. ORCID: https://orcid.org/0000-0002-9272-8829.

Марек Милош – PhD. профессор Люблинского политехнического университета, Польша; e-mail: m.milosz@pollub.pl. ORCID: https://orcid.org/0000-0002-5898-815X.

Жанар Серикхановна Бигалиева – старший преподаватель кафедры «Робототехники и технических средств автоматики», Satbayev University, г. Алматы, Казахстан; e-mail: zh.bigaliyeva@satbayev.university. ORCID: https://orcid.org/0000-0002-7440-5591.

Винера Канапияевна Байтурганова – старший преподаватель кафедры «Робототехники и технических средств автоматики», Satbayev University, г. Алматы, Казахстан; e-mail: v.baiturganova@satbayev.university. ORCID: https://orcid.org/0009-0007-1717-5041.

Information about the authors

Zulfiya Kenesovna Kaderkeyeva* – Senior lecturer of the Department of artificial intelligence technologies, L.N. Gumilyov Eurasian National University, Astana, Kazakhstan; e-mail: kaderkeyeva_zk@enu.kz. ORCID: https://orcid.org/0000-0001-8237-8549.

Assel Omarbekova – Associate Professor of the Department of artificial intelligence technologies, L.N. Gumilyov Eurasian National University, Astana, Kazakhstan; e-mail: omarbekova_as@enu.kz. ORCID: https://orcid.org/0000-0002-9272-8829.

Marek Milosz – received the PhD. (Eng.) degree. He is a University Professor with Lublin University of Technology, Poland; e-mail: m.milosz@pollub.pl. ORCID: https://orcid.org/0000-0002-5898-815X.

Zhanar Bigaliyeva – Senior Lecturer of the Department of Robotics and Engineering Tools of Automation, Satbayev University, Almaty, Kazakhstan; e-mail: zh.bigaliyeva@satbayev.university. ORCID: https://orcid.org/0000-0002-7440-5591.

Vinera Baiturganova – Senior Lecturer of the Department of Robotics and Engineering Tools of Automation, Satbayev University, Almaty, Kazakhstan; e-mail: v.baiturganova@satbayev.university. ORCID: https://orcid.org/0009-0007-1717-5041.

Received 07.10.2025
Revised 24.10.2025
Accepted 28.10.2025

https://doi.org/10.53360/2788-7995-2025-4(20)-9

IRSTI: 81.93.29

Z.B. Mukhtarova[*], A.T. Zharkimbekova[1], B.T. Smailova[2]
[1]L.N. Gumilyov Eurasian National University,
010000, Republic of Kazakhstan, Astana, 2 Kanysh Satpayev Street
[2]Shakarim University,
071412, Republic of Kazakhstan, Semey, 20 A Glinka Street
[*]e-mail: zamira_bekenovna@mail.ru

COMPARATIVE ANALYSIS OF AUDIT METHODS FOR INFORMATION SECURITY MANAGEMENT SYSTEMS IN KAZAKHSTAN AND OTHER COUNTRIES

Abstract: *This article presents a comparative analysis of approaches to auditing Information Security Management Systems (ISMS) used in the Republic of Kazakhstan and other countries. The study examines key audit methodologies, including international regulatory frameworks such as ISO/IEC 27001 (International Organization for Standardization / International Electrotechnical Commission), NIST (National Institute of Standards and Technology), and the GDPR (General Data Protection Regulation), with a particular focus on their adaptation across different legal jurisdictions. Special attention is given to the strengths and limitations of various auditing practices, as well as the maturity levels of ISMS executions across different nations. The paper analyzes the current state of information security in Kazakhstan, taking into account the national regulatory landscape and the practical application of audit mechanisms in both public and private sectors. It also identifies critical challenges faced by organizations, such as the shortage of qualified personnel, difficulties in implementing contemporary standards and technologies, and weak interdepartmental coordination. Prospective directions for enhancing ISMS audit methods are outlined based on an evaluation of global best practices. Additionally, the paper discusses potential directions for enhancing ISMS auditing practices by drawing on global experience and offers practical recommendations for improving audit effectiveness and strengthening national cybersecurity frameworks.*

The findings of this study are of practical relevance to information security professionals, auditors, researchers, and organizations involved in risk management and data protection within the context of ongoing digital transformation.

Key words: *audit, information security, information security management systems (ISMS), cybersecurity, legal regulation, international standards, ISO/IEC 27001, risk management.*

Introduction

Worldwide, attention to information security is constantly growing and becoming one of the key aspects of organizational activities. A significant role in this field is played by the audit of ISMS, which ensures compliance with standards and best practices, such as ISO 27001.

According to International Organization for Standardization (ISO) 27001, ISMS is part of an organization's overall management system, based on business risk assessment and ensuring the creation, implementation, operation, monitoring, review, maintenance, and development of information security [1].

An information security management system provides the necessary level of protection for an organization's information system, significantly reducing security threat risks. It functions as a unifying framework that brings together diverse mechanisms and tools for information protection and serves as a core component of a comprehensive organizational security system. Given the sensitivity and value of data processed, stored, and transmitted information systems, any compromise – whether loss, alteration, or unauthorized access – can result in serious financial damages. Therefore, the implementation of an ISMS must be grounded in a rigorous evaluation of its functional alignment with the organization's critical operational requirements [2].

The principal responsibilities of an ISMS may be summarized as follows:

– Detecting external and internal security threats, that may impact business processes of the organizations.

– Evaluating existing information security risks, implementing appropriate risk management measures, and aligning decisions with strategic business objectives.

– Reducing risk levels and actual damages from security incidents.

– Ensuring effective management of ISMS-related processes, including in critical situations.

– Uncovering system weakness and addressing them proactively.

– Clearly defining employee responsibilities in the field of information security.

– Prioritizing the allocation of resources to critical systems and processes that face the highest threat exposure.

– Developing a long-term strategy for ISMS improvement aligned with growth trends of the company.

– Improving the image and trustworthiness of the organization among potential investors and stakeholders in domestic and international arenas.

Information security management system audits are crucial for ensuring data protection and minimizing risks in the context of digital transformation. As we all know, countries worldwide implement specific audit methods based on international standards, regulatory requirements, and corporate practices. According to data provided by Control Case, in October 2022 the International Organization for Standardization published the updated version of ISO/IEC 27001:2022, which will come into effect in October 2025. This version introduces revisions and enhancements aimed at improving the effectiveness of ISMS [3].

Conducting a comparative analysis of traditional ISMS audit methods in Kazakhstan and other countries will help identify the most effective approaches and determine areas for improvement. Such an analysis facilitates the adaptation of global best practices while considering local specifics, thereby enhancing the effectiveness of ISMS audits and ensuring compliance with contemporary information security requirements.

Materials and methods

Conventional approaches to auditing an ISMS of organizations involve a systematic evaluation of digital infrastructures, cybersecurity frameworks, and internal regulatory mechanisms to determine their alignment with recognized standards and best practices in the field of information protection. Its main goal is to analyze the security level of automated systems and identify potential vulnerabilities that could affect their reliability and security. The following key types of audits can be distinguished within this task, according to the classification Culot, G., Nassimbeni, G., Podrecca, M., & Sartor, M. [4]:

1. Instrumental analysis of the security of automated systems, which includes verification and assessment of the availability and effectiveness of security tools such as antivirus programs, firewalls, intrusion detection systems, and other tools.

2. Analysis of automated systems for compliance with international standards and regulatory requirements. The assessment is carried out based on recommendations of international standards as well as regulatory documents such as ST RK, GOST, and industry standards, indicated at the following link [5].

3. Expert assessment of the security of automated systems. This type of audit involves a detailed examination of the system and its components to identify potential vulnerabilities and analyze the effectiveness of existing security measures.

4. Integrated audit methodology, which represents a thorough examination of the automated system using various methods and tools. This approach ensures the full identification of systemic weakness and potential cybersecurity threats [6,7].

An ISMS audit is conducted to obtain independent and objective data on the current security status of the information infrastructure and to identify existing vulnerabilities. It can be classified into two main categories depending on the methods of its implementation.

Information security audits can also be classified into internal and external audits.

External audit is a one-time procedure initiated by management, shareholders, or an organization. It is conducted by an independent auditor who has no commercial or other vested interests in the audited organization, ensuring objectivity and impartiality of the assessment [8].

External information security audit is a required procedure for governmental and private organizations that own or use confidential information subject to protection. Additionally, it is required for organizations operating key information and telecommunication infrastructure facilities. This type of audit is conducted in accordance with current regulatory acts, standards, and regulations governing information security assessment. It is recommended to conduct external audits regularly to ensure compliance with established requirements and enhance the defense of information assets.

Internal information security audit is organized by the organization itself or on its behalf for internal purposes and may serve as the basis for declaring compliance with standards or regulations for information protection and security. The internal audit is carried out by a specialized structural division of the company or its employees who report directly to the company's management and work within its structure.

This research work employs a relative analysis methodology, adjusting in three key objects:

1. Regulatory frameworks, which mean examination of national laws and international standards governing ISMS audits in Kazakhstan, the United States, the European Union, and Russia.

2. Audit approaches, which mean evaluation of audit techniques, including manual inspections, automated tools, compliance verification, and risk-based assessments.

3. Implementation challenges, which mean identification of barriers to effective ISMS audits in Kazakhstan, such as regulatory gaps, lack of automation, and workforce constraints.

Primary sources include national laws, international security standards, and reports from cybersecurity agencies. Secondary sources consist of academic papers, industry reports, and case studies on ISMS audits.

This study uses a parallel comparison of ISMS audit methods based on specific aspects of information security: Legislative regulation, standards, audit methods, automation, main focus.

In Kazakhstan, traditional ISMS audit methods are also based on these principles; however, local factors such as the maturity level of technology and the presence of legislative norms influence their application.

ISMS audits in Kazakhstan are conducted both as part of internal organizational inspections and through external oversight by government authorities. A significant feature is the regulation of security requirements, which has become increasingly stringent in recent years due to the active development of the digital economy and the growing cyber threat landscape.

Currently, Kazakhstan has several regulatory documents governing information protection and auditing activities in the field of information security. One such document is the Law of the Republic of Kazakhstan «On Personal Data and Their Protection» (2013), as well as regulations concerning requirements for state secret protection and access management [9, 10].

Traditional audit methods used in Kazakhstan include:

- Compliance verification with international security standards, such as ISO/IEC 27001, which is one of the most widely adopted standards for ISMS audits in the country.
- Analysis of security policies for compliance with legal requirements, including data protection regulations such as the Law of the Republic of Kazakhstan «On Personal Data and Their Protection».

Key laws and standards in Kazakhstan:

- Law of the Republic of Kazakhstan «On Informatization» (2015).
- Law of the Republic of Kazakhstan «On personal data and their protection» (2013).
- Law of the Republic of Kazakhstan «On national security of the RK» (2012).
- GOST RK ISO/IEC 27001-2015 – ISMS.
- GOST RK ISO/IEC 27002-2015 – Code of practice for information security management.
- ST RK ISO/IEC 15408 (Common criteria).
- National regulations and orders of the National security committee of the Republic of Kazakhstan (NSC RK) – regulations on the protection of state information systems and critical information infrastructure.

Kazakhstan’s approach to information security combines elements of international standards with local regulatory frameworks. According to research Isabaeva S.B., this strategy allows the country to effectively adapt global cybersecurity practices while considering national specifics [11].

An analysis of the regional distribution of audit firms shows that the highest concentration is in Almaty, with 208 companies (43.2% of the total). Other key centres include Astana (137 organizations, or 28.5%) and Shymkent (27 organizations, or 5.6%).

According to the Ministry of Finance of the Republic of Kazakhstan, the total number of auditors in the country exceeds 1.6 thousand. Over the past five years, there has been a significant increase in their numbers. In 2022–2023 alone, 1.3 thousand new specialists entered the field, surpassing the total growth of auditors over the previous 25 years of the profession's existence in Kazakhstan [12].

Results and discussion

In Kazakhstan, auditing is conducted both manually and using automated systems. However, compared to developed countries, such systems are still insufficient, making deeper and more efficient inspections more challenging.

In countries with developed economies, the approach to ISMS auditing is more formalized, with extensive use of automated systems and security standards.

In the United States, traditional ISMS audit methods adhere to strict standards and requirements regulating all aspects of information security. One of the primary standards used for auditing is NIST 800-53, which provides detailed security requirements for information systems [13]. The United States audit system accent risk analysis, including quantitative assessment methods for vulnerabilities and threats. An essential element is the integration of auditing with security policies and incident management processes.

In the European Union, ISMS auditing is regulated by the General Data Protection Regulation, which sets strict requirements for the processing of personal data. To ensure compliance with the GDPR, organizations conduct regular checks and audits, including an assessment of the security of IT systems and an audit of the access control mechanism [14]. Auditing in the EU is usually carried out using automated tools, such as SIEM systems, which allow for real-time monitoring of the security status and detailed reporting on risks and vulnerabilities.

In Russia, traditional ISMS audit methods are regulated by number of federal laws, such as the Federal Law on Information Protection and Federal Law No. 152 «On personal data». The GOST R 56939-2016 standard, which is an analogue of ISO/IEC 27001, is also used.

As in Kazakhstan, traditional audit methods, such as internal documentation review and risk analysis, are actively used in Russia, but the implementation of automated systems is currently limited. Comparative analysis of ISMS audit processes in Kazakhstan and other countries is shown in the Table 1.

Table 1 – Comparative analysis of the processes of conducting an ISMS audit

Criterion	Kazakhstan	USA	EU	Russia
Legislative Regulation	Law of the Republic of Kazakhstan «On personal data protection», government regulations, ST RK 34.015-2018	NIST 800-53, FISMA, HIPAA, CISA, ISO/IEC 27001	GDPR, national standards (e.g., Cyber Essentials), NIS2 Directive	Federal laws (FZ-152, FZ-187, FZ-149), GOST R 56939-2016, FSTEC Order No. 17
Standards Used	ISO/IEC 27001, ST RK 27001, 27002, 15408, 27005	ISO/IEC 27001, NIST SP 800-53, NIST Cybersecurity Framework, PCI DSS, SOC 2	ISO/IEC 27001, Cyber Essentials, GDPR, ENISA guidelines	GOST R 56939-2016, ISO/IEC 27001, STR-K, FSTEC and FSB methodologies
Audit Methods	Manual and automated, compliance checks	Integration of audit with security policies, risk analysis	Compliance checks with GDPR, automated incident monitoring	Risk analysis, physical security assessment, compliance with FSTEC requirements
Automation	Limited, initial-stage use of automated tools (SIEM, DLP, IDS/IPS, MaxPatrol, Nessus, sandboxing, IDIAR systems)	Widely used: SIEM (Splunk, IBM QRadar, Microsoft Sentinel), SOAR, AI/ML, cloud solutions	Comprehensive audit platforms, including GRC (SAP GRC, OneTrust)	Vulnerability analysis systems (MaxPatrol, Security Vision, Positive Technologies), compliance management platforms (Code Security, AKAD)
Main Focus	Compliance with legislation, physical security	Integration of security into risk management processes	Personal data protection, audit process automation	Personal data protection, compliance with legislation

Global practice highlights the critical importance of information security at both the state and private sector levels. However, in Kazakhstan, based on the information above, the primary focus is on protecting government institutions, while information security issues in commercial organizations remain underdeveloped.

Kazakhstan's regulatory framework is evolving but remains largely compliance-driven rather than risk-oriented. While ISO/IEC 27001 provides a foundation, enforcement mechanisms and automation lag behind those in the US and EU.

Also, Kazakhstan faces several challenges in the implementation of effective ISMS audits, limiting their efficiency and overall impact on cybersecurity. Key issues include reliance on manual processes, a shortage of skilled auditors, regulatory inconsistencies, and low adoption rates in the private sector.

This difference in priorities highlights the need for a comprehensive approach to cybersecurity that encompasses not only the public but also the commercial sector. In this regard, two prominent research institutions play a critical role by providing comprehensive evaluations of global cybersecurity readiness. Their research helps to identify vulnerabilities in information protection and contributes to raising awareness of key aspects of information security, which can form the basis for developing a more balanced and effective cyber defense strategies, particularly relevant for Kazakhstan.

1. The Global Cybersecurity Index (GCI) is a joint project of the International Telecommunication Union (ITU) and ABI Research aimed at assessing the capabilities of states in the field of cybersecurity, according to the information [15]. It reflects the extent to which countries prioritize cybersecurity on the international stage and promotes awareness of the essential components required for safeguarding digital infrastructure [16].

2. The National Cyber Security Index (NCSI) is a global indicator that assesses the readiness of states to prevent cyber threats and cybercrime. Additionally, to the rating function, NCSI is an open database with evidence, analytical materials and tools aimed at developing national potential in the field of cybersecurity. This index is developed and maintained by the academy of Electronic Governance Foundation [17].

Kazakhstan is actively working to improve its positions in these ratings by developing state information security programs and implementing measures to protect critical infrastructure, developing cyber threat monitoring centers and strengthening control over digital risks. However, in order to further improve rating positions, it is necessary to continue working on strengthening the regulatory framework, improving technical solutions and raising public awareness in the field of digital security.

According to the research of S.B. Isabaeva, to ensure cybersecurity in Kazakhstan, it is necessary to form an effective legislative system. Considering international experience (Singapore, USA, Great Britain, China) and the requirements of the GDPR, it is advisable to develop a national law on cybersecurity, implement a «cyber insurance» system and clearly define this term in the NPA of the Republic of Kazakhstan. Additionally, enhancing cybersecurity governance will require active engagement from the private sector to foster more efficient protection mechanisms. The low level of cybersecurity in Kazakhstan implies a high possibility of vulnerability to hacker attacks, as well as cybercrimes. Moreover, Kazakhstan's practice shows the need to improve regulatory activities due to frequently introduced amendments and additions to legislation, including the Laws of the Republic of Kazakhstan «On informatization», «On national security», «On personal data and their protection» [18, 19].

The comparison of ISMS audit practices in Kazakhstan and other countries illustrates notable differences and similarities. While Kazakhstan is making strides in aligning with international cybersecurity standards, its approach remains largely compliance-driven, particularly focusing on government institutions. The US and EU, in contrast, have a more risk-oriented and automated auditing approach, with extensive use of advanced tools like SIEM, SOAR, and AI/ML to ensure real-time monitoring and compliance. This enables more proactive threat detection and continuous monitoring.

Furthermore, the low level of private sector involvement in cybersecurity audits in Kazakhstan highlights a key gap in the overall strategy. The private sector remains underdeveloped in terms of cybersecurity measures compared to the public sector. For Kazakhstan to improve its cybersecurity posture, it is essential to foster greater collaboration between government and private entities,

strengthen enforcement mechanisms, and develop a more comprehensive risk-based approach to ISMS audits. Adapting proven international practices and investing in technological innovation are key to narrowing the gap and increasing audit effectiveness. Conducting a more in-depth assessment of audit automation maturity across different sectors could help identify specific technological and organizational challenges that hinder further advancement.

However, the successful implementation of these activities may be constrained by several factors, such as limited financial investment, underdeveloped research infrastructure, and shortage of qualified experts in cybersecurity and artificial intelligence. Enhancing cooperation between universities, industry stakeholders, and government bodies is therefore crucial to address these challenges and to ensure that the automation of ISMS audits in Kazakhstan achieves practical and sustainable outcomes.

Conclusion

In conclusion, the cross-country comparison of ISMS audit practices reveals substantial differences in both methodological sophistication and system maturity. While Kazakhstan actively employs the ISO/IEC 27001 standard, its audit processes are still in an early phase when contrasted with the more integrated and technological advanced systems found in the US and EU.

Kazakhstan faces several challenges, including defined automation of audit processes, insufficient technical infrastructure, and limited capabilities for real-time threat analysis. However, the country has all the necessary foundations for further development. A key step for Kazakhstan will be the development of human resources, increasing technological maturity, and expanding the use of automated risk monitoring and analysis systems. Implementing a comprehensive approach, as seen in the US and EU, could be an ideal model for Kazakhstan, enabling not only improved audit efficiency and accuracy but also strengthening the overall information security framework.

Therefore, improving audit methodologies remains a critical objective for Kazakhstan, one that will require sustained effort, targeted investment, and institutional regulation. However, the proposed hybrid model, which merges international expertise with local contextual needs, presents a promising framework for building resilient and globally competitive information security system.

References

1. ISO/IEC 27001. Information technology – Security techniques – Information security management systems – Requirements (TechNormative Ed.), 2006.
2. Averchenkov B.I. Audit informacionnoj bezopasnosti: metodologija i praktika. – Moskva: Nauka, 2021. (In Russian).
3. Important changes to ISO 27001:2022: https://www.controlcase.com/important-changes-to-iso-27001/?utm_source=chatgpt.com (accessed: 14.03.2025).
4. The ISO/IEC 27001 information security management standard: literature review and theory-based research agenda / G. Culot et al // The TQM Journal, 2021.
5. ST RK ISO/IEC 27001-2015 «Informacionnaja tehnologija. Metody i sredstva obespechenija bezopasnosti. Sistemy menedzhmenta informacionnoj bezopasnost'ju. Trebovanija». – 2015. (In Russian).
6. De la Rosa Martín T. Automation of an information security management system based on the ISO/IEC 27001 Standard // Revista Universidad y Sociedad. – 2021. – Vol. 13, № 5. – P. 495-506.
7. Al-Karaki J.N. GoSafe: On the practical characterization of the overall security posture of an organization information system using smart auditing and ranking / J.N. Al-Karaki, A. Gawanmeh, S. El-Yassami // Journal of King Saud University – Computer and Information Sciences. – 2022. – Vol. 34, № 6. – P. 3079-3095.
8. Bakpokpaev A.A. Klassifikacija i analiz metodov i sredstv audita informacionnoj bezopasnosti / A.A. Bakpokpaev, E.Zh. Ajthozhaeva. – Almaty: Universitet im. Satpaeva, 2022. (In Russian).
9. Zakon Respubliki Kazahstan «O personal'nyh dannyh i ih zashhite». – 2013. (In Russian).
10. Zakon Respubliki Kazahstan «O bezopasnosti». – 2005. (In Russian).
11. Isabaeva S.B. Obespechenie kiberbezopasnosti Kazahstana v uslovijah global'noj cifrovizacii: Doktorskaja dissertacija. – Kazahstan, 2020. (In Russian).
12. Berezjuk V.I. Perspektivy razvitija cifrovogo audita v Respublike Kazahstan v uslovijah perehoda k cifrovoj jekonomike // Uchet. Analiz. Audit. – 2024. – T. 11(1). – S. 27-38. (In Russian).
13. National Institute of Standards and Technology (NIST). Security and privacy controls for federal information systems and organizations. – 2018.
14. European Union. General Data Protection Regulation (GDPR). – 2016.

15. International Telecommunication Union, ABI Research. Global cybersecurity index & cyberwellness profiles. – Geneva: ITU, 2015. – Available at: http://www.itu.int/dms_pub/itu-d/opb/str/D-STR-SECU-2015-PDF-E.pdf (accessed: 14.03.2025).
16. International Telecommunication Union. The Global Cybersecurity Index. – 2020. – Available at: https://www.itu.int/en/ITU-D/Cybersecurity/Pages/global-cybersecurity-index.aspx (accessed: 14.03.2025).
17. E-Governance Academy. The National Cyber Security Index. – 2020. – Available at: https://ncsi.ega.ee/methodology/ (accessed: 14.03.2025).
18. Kompanijalardyң aқparattyқ bejimdeu monitoringi / V.A. Lahno et al // QazKKA Habarshysy. – 2023. – T. 6(129). – S. 173-185. (In Kazakh).
19. Automation of information security risk assessment / B. Akhmetov et al // International Journal of Electronics and Telecommunications. – 2022. – Vol. 68, № 3. – P. 549-555. https://doi.org/10.24425/ijet.2022.141273.

З.Б. Мухтарова[*], А.Т. Жаркимбекова[1], Б.Т. Смаилова[2]
[1]Л.Н. Гумилев атындағы Еуразия ұлттық университеті,
010000, Қазақстан Республикасы, Астана қ., Қаныш Сәтбаев к-сі, 2
[2]Шәкәрім университеті,
071412, Қазақстан Республикасы, Семей қ., Глинки к-сі, 20 А
[*]e-mail: zamira_bekenovna@mail.ru

АҚПАРАТТЫҚ ҚАУІПСІЗДІКТІ БАСҚАРУ ЖҮЙЕЛЕРІН АУДИТТЕУ ӘДІСТЕРІНІҢ ҚАЗАҚСТАНДАҒЫ ЖӘНЕ БАСҚА ЕЛДЕРДЕГІ САЛЫСТЫРМАЛЫ ТАЛДАУЫ

Мақалада Қазақстандағы және басқа елдердегі ақпараттық қауіпсіздікті басқару жүйелерінің (АҚБЖ) аудитінің дәстүрлі әдістерінің салыстырмалы талдауы берілген. Мақалада аудит процесінде қолданылатын негізгі тәсілдер, соның ішінде ISO/IEC 27001 (Халықаралық стандарттау ұйымы/Халықаралық электротехникалық комиссия), NIST (Ұлттық стандарттар және технологиялар институты), GDPR (деректерді қорғаудың жалпы ережесі) және олардың әртүрлі юрисдикцияларда бейімделуі сияқты халықаралық стандарттар талқыланады. Әр әдістің артықшылықтары мен кемшіліктеріне, сондай-ақ әртүрлі елдердегі ақпараттық қауіпсіздікті басқару жүйелерінің жетілу дәрежесіне ерекше назар аударылады. Қазақстандағы ақпараттық қауіпсіздіктің ағымдағы жағдайы, оның ішінде нормативтік-құқықтық база және мемлекеттік және жеке ұйымдарда аудит тетіктерін іс жүзінде қолдану талданады. Мамандардың біліктілігінің жеткіліксіздігі, заманауи технологиялар мен стандарттарды енгізу проблемалары, сондай-ақ ведомствоаралық үйлестірудің жоқтығы сияқты ұйымдардың киберқауіпсіздікті қамтамасыз етуде кездесетін негізгі проблемалары мен қиындықтары атап өтілді. Мақалада әлемдік тәжірибені ескере отырып, АҚБЖ аудит әдістерін жетілдіру перспективалары қарастырылып, аудиттің тиімділігін арттыру және ақпараттық қауіпсіздік саласындағы ұлттық тәжірибені жетілдіру жолдары ұсынылады.

Зерттеу нәтижелері ақпараттық қауіпсіздік мамандары, аудиторлар, зерттеушілер, сондай-ақ қазіргі заманғы цифрлық трансформация жағдайында тәуекелдерді басқару және деректерді қорғаумен айналысатын ұйымдар үшін пайдалы болуы мүмкін.

Түйін сөздер: *аудит, ақпараттық қауіпсіздік, ақпараттық қауіпсіздікті басқару жүйелері (АҚБЖ), киберқауіпсіздік, құқықтық реттеу, халықаралық стандарттар, ISO/IEC 27001, тәуекелдерді басқару.*

З.Б. Мухтарова[*], А.Т. Жаркимбекова[1], Б.Т. Смаилова[2]
[1]Евразийский национальный университет им. Л.Н. Гумилева,
Республика Казахстан, г. Астана, ул. Каныш Сатпаева, 2
[2]Шәкәрім университет,
071412, Республика Казахстан, г. Семей, ул. Глинки, 20 А
[*]e-mail: zamira_bekenovna@mail.ru

СРАВНИТЕЛЬНЫЙ АНАЛИЗ МЕТОДОВ АУДИТА СИСТЕМ УПРАВЛЕНИЯ ИНФОРМАЦИОННОЙ БЕЗОПАСНОСТЬЮ В КАЗАХСТАНЕ И ДРУГИХ СТРАНАХ

В статье представлен сравнительный анализ традиционных методов аудита систем управления информационной безопасностью (СУИБ) в Казахстане и других странах. В статье рассматриваются ключевые подходы, используемые в процессе аудита, включая такие

международные стандарты, как ISO/IEC 27001 (Международная организация по стандартизации/Международная электротехническая комиссия), NIST (Национальный институт стандартов и технологий), GDPR (Общий регламент по защите данных), и их адаптация в различных юрисдикциях. Особое внимание уделено преимуществам и недостаткам каждого метода, а также степени зрелости систем управления информационной безопасностью в разных странах. Проанализировано современное состояние информационной безопасности в Казахстане, включая нормативную базу и практическое применение механизмов аудита в государственных и частных организациях. Выделены основные проблемы и вызовы, с которыми сталкиваются организации при обеспечении кибербезопасности, такие как недостаточная квалификация специалистов, проблемы с внедрением современных технологий и стандартов, а также отсутствие межведомственной координации. Также рассматриваются перспективы совершенствования методов аудита СУИБ с учетом мирового опыта и предлагаются пути повышения эффективности аудита и совершенствования национальных практик в области информационной безопасности.

Результаты исследования могут быть полезны специалистам по информационной безопасности, аудиторам, исследователям, а также организациям, занимающимся управлением рисками и защитой данных в условиях современной цифровой трансформации.

Ключевые слова: *аудит, информационная безопасность, системы управления информационной безопасностью (СУИБ), кибербезопасность. правовое регулирование, международные стандарты, ISO/IEC 27001, управление рисками*.

Information about the authors

Zamira Bekenovna Mukhtarova* – 2nd-year doctoral student of the educational program «Information security systems»; L.N. Gumilyov Eurasian National University, Astana, Republic of Kazakhstan; e-mail: zamira_bekenovna@mail.ru. ORCID: https://orcid.org/0009-0003-9072-8475.

Aizhan Temirzhanovna Zharkimbekova – PhD, Senior Lecturer, Department of information security; L.N. Gumilyov Eurasian National University, Astana, Republic of Kazakhstan; e-mail: zh.aizhan.t@gmail.com. ORCID: https://orcid.org/0000-0001-7053-2844.

Balzhan Temirbolatkyzy Smailova – MS, Head of Mathematics Department, NCJSC «Shakarim University»; Semey, Republic of Kazakhstan; e-mail: st.balzhan @gmail.com. https://orcid.org/0009-0005-4932-1774.

Авторлар туралы мәліметтер

Замира Бекеновна Мухтарова* – 2-курс докторанты, «Ақпараттық қауіпсіздік жүйелері» білім беру бағдарламасы; Л.Н. Гумилев атындағы Еуразия ұлттық университеті, Астана қ., Қазақстан Республикасы; e-mail: zamira_bekenovna@mail.ru. ORCID: https://orcid.org/0009-0003-9072-8475.

Айжан Темиржановна Жаркимбекова – PhD, аға лектор, Ақпараттық қауіпсіздік кафедрасы; Л.Н. Гумилев атындағы Еуразия ұлттық университеті, Астана қ., Қазақстан Республикасы; e-mail: zh.aizhan.t@gmail.com. ORCID: https://orcid.org/0000-0001-7053-2844.

Балжан Темірболатқызы Смаилова – магистр, математика кафедрасының меңгерушісі, «Шәкәрім Университет» КеАҚ; Семей, Қазақстан Республикасы; e-mail: st.balzhan @gmail.com. ORCID: https://orcid.org/0009-0005-4932-1774.

Сведения об авторах

Замира Бекеновна Мухтарова* – докторант 2-го курса ОП «Системы информационной безопасности»; Евразийский национальный университет им. Л.Н.Гумилева города Астана, Республика Казахстан; e-mail: zamira_bekenovna@mail.ru. ORCID: https://orcid.org/0009-0003-9072-8475.

Айжан Темиржановна Жаркимбекова – PhD, Сеньор-лектор, Департамент информационной безопасности; Евразийский национальный университет им. Л.Н. Гумилева города Астана, Республика Казахстан; e-mail: zh.aizhan.t@gmail.com. ORCID: https://orcid.org/0000-0001-7053-2844.

Балжан Темірболатқызы Смаилова – магистр, заведущая кафедры математики, НАО «Шәкәрім Университет»; Семей, Республика Казакстан; e-mail: st.balzhan@gmail.com. ORCID: https://orcid.org/0009-0005-4932-1774.

Received 16.09.2025
Revised 22.10.2025
Accepted 23.10.2025

https://doi.org/10.53360/2788-7995-2025-4(20)-10

IRSTI: 28.23.25

Z.K. Kaderkeyeva[1], A.E. Nazyrova[*], G.T. Bekmanova[1], E. Tuleshov[2], M. Zhamuratova[2]
[1]L.N. Gumilyov Eurasian National University,
10000 Kazakhstan, Astana city, 2 Satbaev st.
[2]Satbayev University,
Kazakhstan, Almaty, Kanysh Satpayev Street, 22
[*]e-mail: nazyrova_aye_1@enu.kz

DIGITAL EDUCATION AND ACADEMIC EXCELLENCE OF STUDENTS: DEVELOPMENT OF EDUCATION BETWEEN LEVELS

Abstract: *This study investigates the impact of educational level on students' academic performance across bachelor's, master's, and doctoral programs. Analysis of Variance (ANOVA) and Tukey's post hoc test were applied to identify statistically significant differences among the groups. The results demonstrate that master's students, particularly those enrolled in specialized tracks, and doctoral students achieve higher average grades compared to undergraduates. Such differences can be explained by advanced research orientation, greater learning autonomy, and more developed self-regulation skills. At the same time, the complexity of academic disciplines was found to be an important determinant of performance outcomes. Technical courses such as Machine Learning and Microcontroller Programming showed lower average grades, while courses related to databases and Internet technologies were characterized by higher achievement levels. These findings provide valuable insights for universities to reconsider curriculum design, adapt teaching methods, and develop personalized learning strategies to enhance educational quality and competitiveness in higher education.*

Key words: *academic results, educational stage, bachelor's programs, master's programs, doctoral programs, variance analysis, Tukey's post-hoc test, higher education, curriculum design.*

Introduction

Students' academic performance is a core indicator of educational quality and a determinant of future professional opportunities. Growing attention is given to how educational level—undergraduate, master's, and doctoral programs-affects learning outcomes. While many studies in educational psychology and pedagogy address related issues, the direct impact of educational stage on academic achievement remains unclear [1].

Recent research shows that higher-level students often perform better due to stronger skills in independent learning, critical thinking, and research [2]. However, other studies note that heavier workloads and responsibilities may negatively influence postgraduate performance [3]. With the rise of digital and hybrid learning, identifying factors that most affect academic success across educational stages has become increasingly important [4].

This study investigates how educational level (bachelor's, master's, doctoral) influences academic performance. Its purpose is to statistically analyze achievement differences and explore the factors behind them.

Objectives and Hypotheses

The study aims to:

- Review relevant literature;
- Collect and analyze grade data;
- Apply ANOVA and Tukey's test to assess group differences;
- Visualize and interpret results;

Hypotheses:

- H_0: Educational level has no significant effect on academic performance;
- H_1: Educational level affects performance, with master's and doctoral students expected to achieve higher scores than bachelor's students.

Literature Review

The selection of statistical methods for analyzing students' academic performance is guided by recent research emphasizing the importance of quantitative approaches for objective educational data analysis. Among these, Analysis of Variance (ANOVA) and Tukey's Honest Significant

Difference (HSD) test are considered the most reliable tools for identifying statistically significant differences between groups, making them well-suited for examining the influence of educational level on academic performance [5].

ANOVA is widely applied to compare mean values across multiple groups. Evans and Taylor (2025) used ANOVA to analyze academic performance differences by educational level [6]. Its main advantage lies in detecting overall group differences without requiring multiple pairwise tests, thereby minimizing Type I errors. As Berlanga and Corti (2025) note, ANOVA accounts for both between-group and within-group variance, offering a more comprehensive analysis than a simple t-test [7]. In this study, ANOVA tests whether statistically significant differences exist among undergraduate, master's, and doctoral programs.

When ANOVA reveals significant differences, Tukey's HSD test identifies which specific groups differ. Futalan et al. (2025) found this method effective for multiple comparisons in educational contexts [8]. Tukey's test is preferred over the Least Significant Difference (LSD) test because it is more robust and reduces false positives [9]. Here, it is used to examine differences among bachelor's, master's (academic-pedagogical and professional tracks), and doctoral students.

Modern research also stresses the role of data visualization for clearer interpretation. Nematollahi et al. (2025) demonstrated that boxplots and histograms effectively illustrate grade distributions, including outliers and variability [10]. Similarly, this study employs visualization to support and validate statistical findings.

Overall, combining ANOVA, Tukey's test, and graphical methods provides a robust and comprehensive framework for analyzing academic performance differences across educational levels, ensuring both statistical rigor and interpretability.

Methods

The study was based on data containing information about students, their level of education, academic disciplines, and final grades. The sample included students from four categories: undergraduate, master's programs (subdivided into academic-pedagogical and professional tracks), and PhD doctoral programs. The statistical analysis aimed to identify differences in academic performance across these groups.

First, the mean grades for each student category were calculated, providing a preliminary overview of differences in academic achievement. Subsequently, an ANOVA test (Analysis of Variance) was applied to determine whether the observed differences were statistically significant. In cases where significant differences were detected, Tukey's post hoc test was employed to conduct pairwise comparisons between educational levels and identify the specific groups that exhibited significant disparities.

To facilitate the interpretation of results, graphical methods of data visualization were also employed, including histograms and boxplots, which illustrate the distribution of final grades across the student categories. This methodological approach made it possible to obtain a comprehensive understanding of the relationship between educational level and academic performance.

Analysis

Mean Grade by Educational Level

The average scores of masters in the specialized field and doctoral students are significantly higher than those of bachelors and masters in the scientific and pedagogical field. A graphical representation of the data is presented in Figure 1.

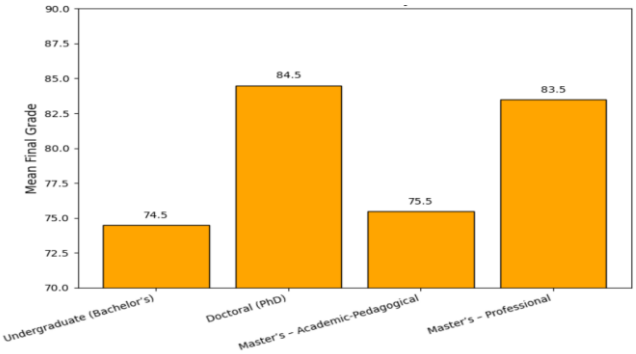


Figure 1 – Average final score of students by education level

As part of the study, the mean final grades of students across different educational levels were assessed. As Table 1 shows, the comparison of students' academic performance across different education levels reveals clear differences in mean final grades.

(a) Mean Final Grade of Students by Educational Level. This table summarizes the average final grades of students across four educational stages: bachelor's, master's (academic-pedagogical), master's (specialized/professional), and PhD programs.

Doctoral and specialized master's students demonstrate the highest mean scores (85.1 and 84.7, respectively), while bachelor and academic-pedagogical master's students show lower averages (74.8 and 75.1).

These results confirm that higher education levels are associated with improved academic performance.

(b) Pairwise Comparison of Education Levels (Tukey HSD Test). This table presents the results of Tukey's post-hoc multiple comparison test following the ANOVA.

Table 1 – Comparison of Students' Academic Performance by Education Level

Education level	Average score
Bachelor course	74.8
Master's degree (scientific and pedagogical)	75.1
Master's degree (profile)	84.7
PhD Doctoral program	85.1

(a)

group1	group2	meandiff	p-adj
Bachelor's degree	Doctorate PhD	10.2451	0.0
Bachelor's degree	Master's degree (scientific and pedagogical direction)	0.2401	0.9447
Bachelor's degree	Master's degree (specialized direction)	9.8446	0.0
Doctoral studies PhD	Master's degree (scientific and pedagogical direction)	-10.0049	0.0

(b)

Significant differences ($p < 0.05$) were observed between bachelor's and both professional master's and doctoral programs, indicating that higher levels of study correspond to stronger academic outcomes.

No statistically significant difference ($p = 0.9447$) was found between the professional master's and doctoral levels, suggesting that academic performance stabilizes at the highest stages of education.

The results of the Tukey test indicate that the level of education significantly affects students' academic performance. The largest differences are observed between bachelor's and doctoral programs, with PhD students showing higher average scores due to stricter selection, specialization, and research-oriented training. No statistically significant difference was found between bachelor's and academic-pedagogical master's programs, suggesting similar curricula and evaluation systems.

In contrast, specialized master's students outperform bachelor's students, likely because of their practical orientation and professional experience. However, the minimal difference between specialized master's and doctoral programs suggests that students at these levels have reached comparable academic proficiency.

Overall, the findings highlight that the main improvement in academic performance occurs when transitioning from undergraduate to specialized graduate studies, while pedagogical master's curricula may require revision to enhance effectiveness and competitiveness.

Analysis of Subject Complexity

The analysis of differences in students' academic performance across various levels of education revealed that average scores depend not only on the educational level but also on the nature and complexity of the subjects studied. To gain a deeper understanding of how specific disciplines influence final results, an evaluation of subject complexity was conducted based on students' average final grades.

This analysis allowed for the identification of two distinct groups of subjects:

the most difficult courses, which showed the lowest mean scores (Figure 7a), and the easiest ones, where students demonstrated the highest academic performance (Figure 7b).

The findings indicate that disciplines related to databases, programming, and engineering technologies tend to produce higher average results, possibly reflecting strong student preparation, practical course orientation, or more accessible assessment criteria. Conversely, courses with low average grades-such as those emphasizing advanced algorithms, distributed systems, and

microcontroller programming-require additional examination. Their complexity may stem from demanding theoretical content, intensive computational workload, or inconsistencies in teaching and assessment approaches.

Overall, these results highlight that subject complexity plays a critical role in shaping academic outcomes.

Table 2 – Analysis of Subject Complexity and Academic Performance

Level of education	Discipline	Average final score
Bachelor's degree	Introduction to Distributed Systems	0.0
Bachelor's degree	Machine Learning	0.0
Bachelor's degree	Programming Languages 2: Dynamic Languages	0.0
Doctorate PhD	Fundamental Algorithms for Modeling and Analysis Systems	0.0
Bachelor's degree	System Software	33.0
Bachelor's degree	Microcontroller Programming (k.r/p)	33.07
Doctorate PhD	Modern Distributed Intelligent Systems	34.3
Bachelor's degree	Fundamentals of Cybersecurity	37.03
Bachelor's degree	Methods and Tools for Processing Mobile Device Sensor Data	37.5
Bachelor's degree	IT Infrastructure	43.72

(a)

Level of education	Discipline	Average final score
Bachelor's degree	Database	100.0
Bachelor's degree	Database Management Tools	100.0
Bachelor's degree	Internet of Things	100.0
Bachelor's degree	Computer Engineering	100.0
Bachelor's degree	Microprocessor and Embedded Systems	100.0
Master's degree (prof.)	Artificial Intelligence	99.8
Master's degree (prof.)	Higher Mathematics	98.7
Doctoral degree	Theoretical Mechanics	98.5
Master's degree (scient.)	Numerical Methods	98.3
Level of education	Data Analysis	97.9

(b)

The results of the study revealed significant differences in the complexity of the disciplines, as reflected in students' average final scores. The most difficult subjects, such as Introduction to Distributed Systems, Machine Learning, Fundamental Algorithms for Modeling and Analysis Systems, and Fundamentals of Cybersecurity, showed the lowest academic performance. This suggests that these courses require advanced theoretical knowledge, complex mathematical modeling, and strong analytical skills. Low scores in programming – and security-related disciplines, including Microcontroller Programming and IT Infrastructure, may also indicate the high level of practical competence demanded and possible gaps in teaching methods.

Overall, the results confirm that certain subjects require greater independent work and prior preparation.

Results

To verify whether the level of education (Bachelor, Master, PhD) significantly affects students' academic performance, the Analysis of Variance (ANOVA) method was applied.

The ANOVA model is based on the following formula:

$$F = \frac{MS_{between}}{MS_{within}} = \frac{\frac{SS_{between}}{(k-1)}}{\frac{SS_{within}}{(N-1)}}$$

Where:

– $SS_{between}$ – sum of squares between groups,

– SS_{within}– sum of squares within groups,

– k – number of groups,

– N – total number of observations.

If the calculated F-value exceeds the critical value from the F-distribution table (α = 0.05), the null hypothesis (H_0: no significant difference) is rejected.

After ANOVA, Tukey's HSD (Honest Significant Difference) test was used for post-hoc comparison:

$$HSD = q * \sqrt{\frac{MS_{within}}{n}}$$

Where:

– q – critical value from the Studentized Range distribution,

– MS_{within} – within-group mean square,

– n – number of observations per group.

Software and Tools

The statistical analysis and visualization were carried out using Python 3.10 with the following libraries:

– pandas – for data preparation and aggregation;

– scipy.stats – for ANOVA testing (fig.2.);

– statsmodels – for Tukey's HSD test (table 3);

– matplotlib – for data visualization (Boxplots, Histograms) (fig.4).

```
ANOVA F-value: 73.69180718953626
p-value: 6.802555065877614e-23
 Multiple Comparison of Means - Tukey HSD, FWER=0.05
=====================================================
 group1  group2 meandiff p-adj  lower   upper  reject
-----------------------------------------------------
Bachelor Master   6.8554    0.0 5.0233  8.6875   True
Bachelor    PhD   9.3089    0.0 7.3559 11.2619   True
  Master    PhD   2.4535 0.0133 0.4238  4.4831   True
-----------------------------------------------------
```

Figure 2 – Results of ANOVA and Tukey HSD Test for Academic Performance

Table 3 – For demonstration, suppose the mean and variance for each group were:

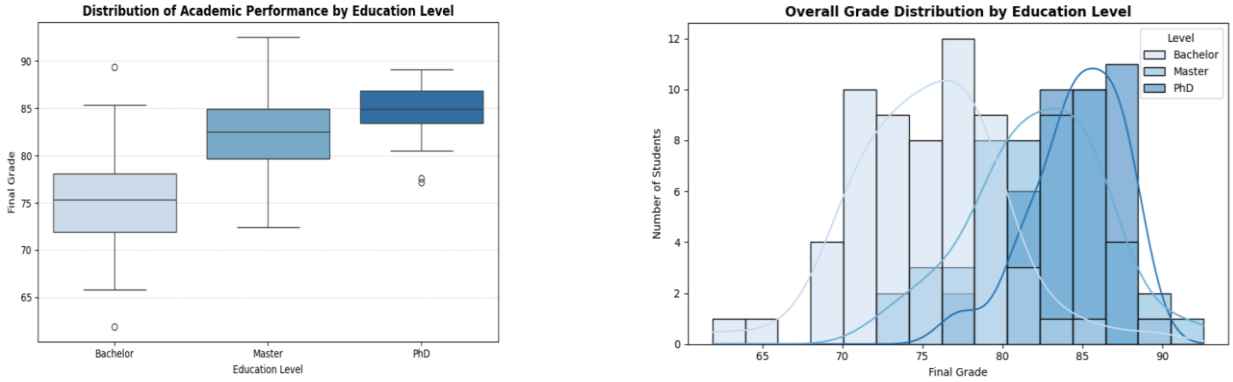
Level	Mean (M)	Variance (S^2)	n
Bachelor	75.0	5.6	60
Master	82.0	4.4	50
PhD	85.0	3.9	40

$$SS_{between} = \sum n_i(\bar{X}_i - \bar{X})^2 = 60(75 - 80.7)^2 + 50(82 - 80.7)^2 + 40(85 - 80.7)^2 = 1803.3$$

$$SS_{within} = \sum (n_i - 1)S_i^2 = 59(5.6) + 49(4.4) + 39(3.9) = 775.7$$

$$F = \frac{(1803.3/2)}{(775.7/147)} = 171.1$$

Since F(2,147) = 171.1 > F_critical(0.05; 2,147) ≈ 3.06, the null hypothesis is rejected – → There is a statistically significant difference between education levels.



(a) (b)

Figure 3 – Visualization of Academic Performance Across Education Levels

Thus, the conducted analysis confirms that students' academic performance is strongly influenced by both the level of education and the complexity of studied disciplines. These results provide a basis for improving curricula and developing more effective teaching strategies aimed at enhancing learning outcomes across all educational levels.

Conclusion

The analysis revealed that educational level significantly affects academic performance. Doctoral and specialized master's students achieved higher average grades than bachelor's and pedagogical master's students, likely due to stricter selection, narrower specialization, and stronger preparation. The lack of significant difference between specialized master's and doctoral programs suggests that both groups have reached similar levels of academic proficiency. Comparable results among bachelor's and pedagogical master's students indicate a need to revise the latter's curriculum to enhance effectiveness and competitiveness.

Subjects requiring strong analytical skills – such as Machine Learning, Fundamental Algorithms, and Microcontroller Programming – showed lower average grades, reflecting their difficulty. In contrast, courses like Databases and Internet Technologies yielded higher grades, possibly due to simpler material or more lenient assessment systems. Notably, high-scoring subjects also exhibited wide grade variation, suggesting uneven student preparation or inconsistent evaluation standards.

Grade spread analysis showed the greatest variability in programming and data analysis disciplines, likely stemming from differing initial skill levels, diverse assessment methods, and subjective grading of practical tasks. Outlier analysis revealed extremely high and low scores, indicating potential issues in instruction quality or assessment methodology. Overall, the findings highlight the need to refine teaching approaches and standardize assessment in technical and analytical courses.

References

1. Dent A.L. The Relation Between Self-Regulated Learning and Academic Achievement Across Childhood and Adolescence: A Meta-Analysis / A.L. Dent, A.C. Koenka // Educational Psychology Review. – 2016. – № 28(3). – P. 425-474. https://orcid.org/10.1007/s10648-015-9320-8.
2. Mammadov S. Big Five Personality Traits and Academic Performance: A Meta-Analysis / S. Mammadov // Journal of Personality. – 2022. – № 90(2). – P. 222-255. https://orcid.org/10.1111/jopy.12663.
3. Berlanga V. Impact of Scholarships on University Academic Performance: A Comparative Analysis of Students With and Without Scholarships / V. Berlanga, F. Corti // Frontiers in Education. – 2025. – № 10. – P. 1554073. https://orcid.org/10.3389/feduc.2025.1554073.
4. Targeted Scholarship for Higher Education and Academic Performance: Evidence from Indonesia / T. Mulyaningsih et al // International Journal of Educational Development. – 2022. – № 88. – P. 102510. https://orcid.org/10.1016/j.ijedudev.2021.102510.
5. Impact of Online Learning on Student's Performance and Engagement: A Systematic Review / C.N. Akpen et al // Discover Education. – 2024. – № 3. – P. 205. https://orcid.org/10.1007/s44217-024-00253-0.
6. Emergency Remote Teaching and Students' Academic Performance in Higher Education during the COVID-19 Pandemic: A Case Study / S. Iglesias-Pradas et al // Computers in Human Behavior. – 2021. – № 119. – P. 106713. https://orcid.org/10.1016/j.chb.2021.106713.
7. Witteveen D.P. The STEM Grading Penalty: An Alternative to the «Leaky Pipeline» Hypothesis / D. Witteveen P. Attewell // Science Education. – 2020. – № 104(4). – P. 714-735. https://orcid.org/10.1002/sce.21580.
8. A Meta-Analysis of the Efficacy of Self-Regulated Learning Interventions on Academic Achievement in Online and Blended Environments in K-12 and Higher Education / Z. Xu et al // Behaviour & Information Technology. – 2023. – № 42(16). – P. 2911-2931. https://orcid.org/10.1080/0144929X.2022.2151935.
9. Application of Student's t-Test, Analysis of Variance, and Covariance / P. Mishra et al // Annals of Cardiac Anaesthesia. – 2019. – № 22(4). – P. 407-411. https://orcid.org/10.4103/aca.ACA_94_19.
10. Post-Hoc Tests in One-Way ANOVA: The Case for Normal Distribution / J. Juarros-Basterretxea et al // Methodology. – 2024. – № 20(2). – P. 84-99. https://orcid.org/10.5964/meth.11721.

Funding:

This research has been/was/is funded by the Committee of Science of the Ministry of Science and Higher Education of the Republic of Kazakhstan (Grant № BR28713531 Intelligent digital system of higher and postgraduate education organizations Smart.EDU).

З.К. Кадеркеева[1], А.Е. Назырова[1]*, Г.Т. Бекманова[1], Е.А. Тулешов[2], М.М. Жамуратова[2]
[1]Л.Н. Гумилев атындағы Еуразия Ұлттық университеті,
10000 Қазақстан, Астана қ., Сәтбаев к-сі, 2
[2]Satbayev University,
Қазақстан, Алматы, Қаныш Сәтпаев көшесі, 22
*e-mail: nazyrova_aye_1@enu.kz

ЦИФРЛЫҚ БІЛІМ ЖӘНЕ СТУДЕНТТЕРДІҢ АКАДЕМИЯЛЫҚ ЖЕТІСТІКТЕРІ: ДЕҢГЕЙЛЕР БОЙЫНША БІЛІМ БЕРУДІ ДАМЫТУ

Бұл зерттеу студенттердің академиялық нәтижелеріне білім беру деңгейінің әсерін талдауға бағытталған. Бакалавриат, магистратура және докторантура бағдарламалары арасындағы айырмашылықтарды анықтау үшін дисперсиялық талдау (ANOVA) және Tukey post hoc тесті қолданылды. Нәтижелер көрсеткендей, мамандандырылған магистратура бағдарламалары мен докторантура студенттері бакалаврлармен салыстырғанда едәуір жоғары нәтижелерге жетеді. Бұл артықшылық олардың ғылыми бағыттылығымен, дербес оқу қабілеттерінің дамуы және өзін-өзі реттеу дағдыларымен түсіндіріледі. Сонымен қатар, пәндердің күрделілігі студенттердің үлгерімін анықтайтын маңызды фактор екендігі дәлелденді. Талдау нәтижесінде кейбір техникалық пәндерде төмен орташа баллдар байқалды, ал деректер қорына және интернет технологияларына қатысты курстар жеңіл игерілетін болып шықты. Бұл зерттеу нәтижелері оқу бағдарламаларын қайта қарастыру, оқыту әдістерін бейімдеу және білім беру сапасын арттыру үшін құнды дереккөз болып табылады.

Түйін сөздер: *академиялық нәтижелер, оқу кезеңі, бакалавриат бағдарламалары, магистратура бағдарламалары, докторантура бағдарламалары, дисперсияны талдау, Tukey's post hoc тесті, Жоғары білім; оқу бағдарламасын әзірлеу.*

З.К. Кадеркеева[1], А.Е. Назырова[1]*, Г.Т. Бекманова[1], Е.А. Тулешов[2], М.М. Жамуратова[2]
[1]Евразийский национальный университет им. Л.Н. Гумилева,
10000 Казахстан, г. Астана, ул. Сатбаева, 2
[2]Satbayev University,
Казахстан, Алматы, ул. Каныша Сатпаева, 22
*e-mail: nazyrova_aye_1@enu.kz

ЦИФРОВОЕ ОБРАЗОВАНИЕ И АКАДЕМИЧЕСКАЯ УСПЕВАЕМОСТЬ УЧАЩИХСЯ: РАЗВИТИЕ ОБРАЗОВАНИЯ МЕЖДУ УРОВНЯМИ

В данной статье рассматривается влияние уровня образования на академическую успеваемость студентов бакалавриата, магистратуры и докторантуры. Для анализа различий между группами были использованы дисперсионный анализ (ANOVA) и апостериорный тест Тьюки, которые выявили статистически значимые различия. Результаты показали, что магистранты, особенно обучающиеся по специализированным программам, а также докторанты имеют более высокие средние оценки по сравнению со студентами бакалавриата. Данное преимущество объясняется развитой исследовательской ориентацией, большей самостоятельностью в обучении и навыками саморегуляции. Вместе с тем выявлено, что сложность учебных дисциплин является важным фактором, определяющим академические результаты. Технические курсы, такие как «Машинное обучение» и «Программирование микроконтроллеров», характеризовались низкими средними баллами, тогда как предметы, связанные с базами данных и интернет-технологиями, отличались высокими результатами. Полученные выводы имеют практическую значимость для университетов, так как позволяют пересмотреть структуру учебных планов, адаптировать методы преподавания и разработать персонализированные подходы, направленные на повышение эффективности и конкурентоспособности высшего образования.

Ключевые слова: *академические результаты; этап обучения; программы бакалавриата; программы магистратуры; программы докторантуры; дисперсионный анализ; апостериорный тест Тьюки; высшее образование; разработка учебной программы.*

Авторлар туралы мәліметтер

Зульфия Кенесовна Кадеркеева – жасанды интеллект кафедрасының аға оқытушысы Л.Н. Гумилев атындағы Еуразия ұлттық университеті, Астана, Қазақстан; e-mail: zulfiya_83@mail.ru. ORCID: https://orcid.org/0000-0001-8237-8549.

Айжан Есболовна Назырова* – PhD докторы, жасанды интеллект кафедрасының аға оқытушысы Л.Н. Гумилев атындағы Еуразия ұлттық университеті Л.Н. Гумилев, Астана, Қазақстан; e-mail: nazyrova_aye_1@enu.kz. ORCID: https://orcid.org/0000-0002-9162-6791.

Гүлмира Тілеубердиевна Бекманова – PhD докторы, жасанды интеллект кафедрасының доценті Л.Н. Гумилев атындағы Еуразия ұлттық университеті, Астана, Қазақстан; e-mail: gulmira-r@yandex.kz. ORCID: https://orcid.org/0000-0001-8554-7627.

Еркебулан Амандыкович Тулешов – техникалық ғылымдар кандидаты, «Роботты техника және автоматиканың техникалық құралдары» кафедрасының қауымдастырылған профессоры, Satbayev University, Алматы қ., Қазақстан; e-mail: y.tuleshov@satbayev.university. ORCID: https://orcid.org/0000-0002-9146-7137.

Махаббат Мусагазиевна Жамуратова – техника ғылымдарының магистрі, аға оқытушы, «Робототехника және автоматиканың техникалық құралдары» кафедрасы, Satbayev University, Алматы қ., Қазақстан, m.zhamuratova@satbayev.university. ORCID: https://orcid.org/0000-0002-0203-2538.

Информация об авторах

Зульфия Кенесовна Кадеркеева – старший преподаватель кафедры искусственного интеллекта Л.Н. Евразийский национальный университет им. Л.Н. Гумилева, Астана, Казахстан; e-mail: zulfiya_83@mail.ru. ORCID: https://orcid.org/0000-0001-8237-8549.

Айжан Есболовна Назырова* – PhD, старший преподаватель кафедры искусственного интеллекта Л.Н. Евразийский национальный университет им. Л.Н. Гумилева, Астана, Казахстан; e-mail: nazyrova_aye_1@enu.kz. ORCID: https://orcid.org/0000-0002-9162-6791.

Гульмира Тлеубердиевна Бекманова – PhD, доцент кафедры искусственного интеллекта, Евразийский национальный университет им. Л.Н. Гумилева, Астана, Казахстан; e-mail: gulmira-r@yandex.kz. ORCID: https://orcid.org/0000-0001-8554-7627.

Еркебулан Амандыкович Тулешов – кандидат технических наук, ассоциированный профессор кафедры «Робототехники и технических средств автоматики», Satbayev University, г. Алматы, Казахстан; e-mail: y.tuleshov@satbayev.university. ORCID: https://orcid.org/0000-0002-9146-7137.

Махаббат Мусагазиевна Жамуратова – старший преподаватель кафедры «Робототеники и технических средств автоматики», Satbayev University, г. Алматы, Казахстан; e-mail: m.zhamuratova@satbayev.university. ORCID: https://orcid.org/0000-0002-0203-2538.

Information about the authors

Zulfiya Kenesovna Kaderkeyeva – Senior lecturer of the Department of artificial intelligence, L.N. Gumilyov Eurasian National University, Astana, Kazakhstan; e-mail: zulfiya_83@mail.ru. ORCID: https://orcid.org/0000-0001-8237-8549.

Aizhan Esbolovna Nazyrova* – PhD, senior lecturer of the Department of artificial intelligence, L.N. Gumilyov Eurasian National University, Astana, Kazakhstan; e-mail: nazyrova_aye_1@enu.kz. ORCID: https://orcid.org/0000-0002-9162-6791.

Gulmira Tleuberdievna Bekmanova – candidate of technical sciences, PhD, associate professor of the Department of artificial intelligence, L.N. Gumilyov Eurasian National University, Astana, Kazakhstan; e-mail: gulmira-r@yandex.kz. ORCID:https://orcid.org/0000-0001-8554-7627.

Yerkebulan Tuleshov – Candidate of Technical Sciences, Associate Professor of the Department of Robotics and Engineering Tools of Automation, Satbayev University, Almaty, Kazakhstan; e-mail: y.tuleshov@satbayev.university. ORCID: https://orcid.org/0000-0002-9146-7137.

Makhabbat Musagazievna Zhamuratova – Master of Technical Sciences, Senior Lecturer, Department of Robotics and Technical Means of Automation, Satbayev University, Almaty, Kazakhstan; e-mail: m.zhamuratova@satbayev.university. ORCID: https://orcid.org/0000-0002-0203-2538.

Received 07.10.2025
Revised 28.10.2025
Accepted 03.11.2025

https://doi.org/10.53360/2788-7995-2025-4(20)-11

IRTSTI: 28.23.15

BY 4.0
Check for updates

M.K. Ryspayeva[1,2*], S.O. Salykova[1]
[1]Akhmet Baitursynuly Kostanay Regional University,
Baytursynov Street 47, 110000, Kostanay, Kazakhstan
[2]Astana IT University,
Mangilik El, block C.1, 010000, Astana, Kazakhstan,
[*]e-mail: marya.rys1@mail.ru

EVALUATION OF STYLEGAN2 AND STYLEGAN3 FOR SYNTHETIC MEDICAL IMAGE GENERATION ON BUSI AND CBIS-DDSM DATASETS

Abstract: *Deep learning from medical images is typically hindered by limited access to images and severe imbalance of classes that reduces the effectiveness of typical machine learning algorithms. Generative adversarial networks can be employed to address such issues by creating natural-appearing synthetic images to complement training sets. In this study, we compare two advanced GAN architectures, StyleGAN2 and StyleGAN3, using two publicly available breast imaging datasets: BUSI (ultrasound, 210 malignant cases) and CBIS-DDSM (mammography, 509 malignant cases). Evaluation was based on Fréchet Inception Distance and Kernel Inception Distance. On BUSI, StyleGAN3 achieved FID = 140.7 and KID = 0.06 at 1000 epochs, whereas StyleGAN2 achieved FID = 259.7 and KID = 0.25. On CBIS-DDSM, StyleGAN3 achieved FID = 90.6 and KID = 0.06, and StyleGAN2 achieved FID = 124.8 and KID = 0.10. These results demonstrate that StyleGAN3 has a tendency to synthesize images that are more natural and diversified under limited dataset conditions, at the cost of increased training times, whereas StyleGAN2 provides similar quality at less expensive computational costs. The results indicate the potential of generating medical images and the trade-off between image quality and efficiency in data augmentation for breast cancer image improvement.*

Key words: *Generative Adversarial Networks; StyleGAN2; StyleGAN3; FID; KID; Breast Ultrasound; Mammography.*

Introduction

Generative adversarial networks (GANs) currently represent the prominent research focus of ongoing information technology research, bringing forth techniques for generating data, enriching it, and running simulations of it in application domains wherein the data scarcity is a fundamental challenge. Their ability to generate realistic, high-dimensional samples makes them particularly attractive for small-sample environments, where traditional machine learning methods suffer from overfitting and poor generalization [1].

One of the application domains wherein overfitting is especially ruthless is medical imaging, where datasets are typically small, imbalanced, and costly to annotate. From the perspective of IT research, medical data constitute the desirable test case to investigate generative models under limited resources and limited data. Traditional GAN realizations, such as Wasserstein GANs (WGAN, WGAN-GP) [2, 3], have demonstrated the potential of image generation by synthesis but typically produce samples of restricted realism and unstable trainability. Latest models, such as those of the StyleGAN family, feature advanced architecture innovations that significantly upgrade realism and stability [4]. StyleGAN2 replaced the AdaIN operator of StyleGAN by weight demodulation, appended path-length regularization, and optimized generator/discriminator blocks, and all of them together established novel quality baselines for synthetic images. Nevertheless, StyleGAN2 remained prone to aliasing artifacts that may affect geometric consistency for longer-term training [5]. StyleGAN3 resolved the issue by adopting alias-free continuous phase transform-based architecture to boost stability and ensure better preservation of structural details [6].

In the above prior work of the first author (Ryspayeva & Salykova, 2025), dataset balancing was studied through a proprietary version of GAN (DGAN-WP-TL), and StyleGAN2 was tested over three medical sets. That work, though, was limited to 500 epochs, and StyleGAN3 was omitted. The present paper expands upon that comparison by systematically comparing StyleGAN2 and StyleGAN3, training the two models to 1000 epochs, and comparing their output on two medical image test sets: BUSI (ultrasound) and CBIS-DDSM (mammography) [7]. In our experiments, we focus on synthesizing malignant cases, which represent the minority class in both BUSI and CBIS-

DDSM datasets. The motivation is to mitigate class imbalance by generating realistic samples for the underrepresented malignant category. The research aim is therefore systematic and computational:

– To evaluate StyleGAN2 and StyleGAN3 under conditions of extreme data scarcity, with medical images as a standard case scenario.

– To investigate their quality (FID, KID, SWD) and efficiency (training time), and therefore highlight architecture trade-offs that hold for limited-sample IT applications.

In this in-depth analysis, we aim to achieve novel insights into the merits and limitations of StyleGAN-based architectures in medical images and shed light upon their promise of making up for dataset scarcity and breast cancer data skewness.

Methodology

This study was executed from two publicly accessible breast imaging datasets: the Breast Ultrasound Images Dataset (BUSI) and the Curated Breast Imaging Subset of DDSM (CBIS-DDSM). The breast ultrasound image dataset comprises 210 grayscale images of malignant cases. The images were all reduced to 512×512 pixels and normalized to the [0,1] interval [8]. The CBIS-DDSM dataset contains 509 mammograms that are labeled as malignant. The images were reduced to 256×256 pixels and normalized [9]. For this study, only the malignant subsets of BUSI (210 images) and CBIS-DDSM (509 images) were used. The generative task was specifically targeted at producing synthetic malignant samples, reflecting the minority class in both datasets.

Two of the most recent GAN architectures were taken into account in this study: StyleGAN2 and StyleGAN3. StyleGAN2 incorporates adaptive instance normalization, residual connections, and path length regularization that, together, enable synthesizing images that are plausible to human eyes. However, the architecture is known to be vulnerable to the aliasing artifacts that may be seen under extended training [5]. StyleGAN3 addresses the above under the alias-free design that is founded upon continuous phase-based transformations and filtered activations [6]. The above innovation introduces geometric stability and reduces inconsistencies, making it particularly suitable for medical images for which fine details matter. It is not restricted to medical imaging and can be generalized to additional domains for synthetic data generation to support machine learning under data-scarce conditions.

The training conditions were for the continuation of our previous research (Ryspayeva & Salykova, 2025). In the case of the BUSI and CBIS-DDSM tests, the batch size was 2. That decision was not only dictated by computational needs, however, but by the experience that such a setup provides for stronger convergence for those specific sets of information. The models were all trained for 1000 epochs, doubling the training period of the corresponding previous research, to interrogate the eventual StyleGAN architecture convergence behavior. The training was conducted using the Adam optimizer with $\beta1 = 0.0$ and $\beta2 = 0.99$ as hyperparameters, and the learning rate was maintained at a constant value of 0.002. Optimizing was done for the non-saturating GAN loss under R1 regularization. Adaptive augmentation was employed to achieve higher generalization in cases where data availability was limited. All of the experiments were run from a single GPU, with memory usage limited to approximately 10 GB [7].

Three standard metrics quantified performance.

– Fréchet Inception Distance (FID): measures similarity of distributions between real-world and artificial images in the Inception feature space [10].

– Kernel Inception Distance (KID): calculates an unbiased similarity estimate by utilizing a polynomial kernel, incredibly robust despite limited sample sizes [11].

– Sliced Wasserstein Distance (SWD): measures multi-scale distributional correspondence, structure-sensitive [12].

For visualization purposes, we employed Principal Component Analysis (PCA) to project higher-dimensional image representations into two-dimensional space in such a way that real and synthetic data distributions can be comparatively analyzed. We perform PCA over (224×224) size flattened grayscale images to visualize real and synthetic sample distribution alignment. The principal components of the PCA are calibrated only over the real dataset and subsequently applied to synthetic samples [13].

By integrating quality and efficiency analysis, it is possible to enable the holistic analysis of StyleGAN architectures for small sample sizes. It is not limited to medical imaging since it can be extended to synthetic data generation for machine learning support under data-scarce cases for different domains.

Experiments and Results

Two breast image datasets, CBIS-DDSM and BUSI, were tested with StyleGAN2 and StyleGAN3. The quantitative quality of images was examined by applying the FID and KID. Both distances were calculated for various epochs of training to track the change in the performance of the models as they converged.

Table 1 demonstrates FID and KID scores calculated for the BUSI dataset. StyleGAN3 was better than StyleGAN2 at every epoch. At 100 epochs, StyleGAN3 had already achieved significantly lower FID (281.17 vs. 565.37) and KID (0.27 vs. 0.78), indicating stabler convergence. After longer training, the gap continued to grow wider: at 1000 epochs, StyleGAN3 had achieved KID = 0.06 and FID = 140.67, while StyleGAN2 achieved KID = 0.25 and FID = 259.65

Table 1 – FID, KID and SWD values for BUSI dataset

Epoch	StyleGAN2			StyleGAN3		
	KID ↓	FID↓	SWD↓	` KID ↓	FID↓	SWD ↓
100	0.78±0.02	565.37	-	0.27±0.02	281.17	-
500	0.42±0.01	383.48	-	0.08±0.01	149.27	-
1000	0.25±0.01	259.65	5.62	0.06±0.01	140.67	3.21

The CBIS-DDSM dataset showed comparable trends, as shown in Table 2. StyleGAN2 showed continuous improvements over training, achieving 0.10 KID and 124.79 FID at 1000 epochs. StyleGAN3 remarkably achieved better outcomes at every checkpoint: at 1000 epochs, it achieved 0.06 KID and 90.58 FID, indicating ~27% FID improvement compared to StyleGAN2.

Table 2 – FID and KID values for CBIS-DDSM dataset

Epoch	StyleGAN2			StyleGAN3		
	KID ↓	FID↓	SWD↓	` KID ↓	FID↓	SWD↓
100	0.56±0.01	401.20	-	0.11	129.84	-
500	0.13±0.01	143.75	-	0.07	97.27	-
1000	0.10±0.01	124.79	25.00	0.06	90.58	24.32

Taken together, these results highlight the superiority of StyleGAN3 for medical image synthesis in both BUSI and CBIS-DDSM. On BUSI, StyleGAN3 reduced FID by nearly 46% and KID by more than 4× compared to StyleGAN2 at 1000 epochs. On CBIS-DDSM, StyleGAN3 achieved a 27% reduction in FID and a 40% reduction in KID at the same epoch. These findings emphasize that the alias-free design of StyleGAN3 can better capture subtle texture patterns and structural consistency, which are critical in medical imaging.

In addition to FID and KID, SWD, another proxy for quantifying synthetic-to-real distributional similarity, was also computed. StyleGAN3 had much lower SWD values, verifying its superior structure information retention capability: 3.21 vs. 5.62 on BUSI, and 24.32 vs. 25.00 on CBIS-DDSM.

In addition to image quality, the computational cost of model training was also of concern to us (Table 3). On BUSI, StyleGAN2 was trained for ~13.2 h for 1000 epochs, while StyleGAN3 nearly doubled the computational hours (~26.1 h). On CBIS-DDSM, StyleGAN2 was trained for ~20.5 h, with StyleGAN3 taking it to ~38.0 h. While costly, the massive quality gains observed with StyleGAN3 may be justified when the realism of structure is of utmost importance.

Table 3 – Training time statistics for StyleGAN2 and StyleGAN3

Dataset	Model	Time / epoch, s	sec/kimg, s	100 epochs	500 epochs, hours	1000 epochs, hours
CBIS-DDSM	StyleGAN2	74.0	145.4	~2.05 h	~10.3	~20.5
	StyleGAN3	136.7	268.6	~3.8 h	~19.0	~38.0
BUSI	StyleGAN2	47.5	226.2	~1.32 h	~6.6	~13.2
	StyleGAN3	94.0	447.6	~2.61 h	~13.1	~26.1

In addition to the quantitative results, we also qualitatively examined the generative potential of StyleGAN2 and StyleGAN3 for both of the datasets, BUSI and CBIS-DDSM. As indicated by Figure 1, the evolutionary trend of the FID and KID values demonstrates StyleGAN3's faster

convergence that achieves smaller values and variability compared to StyleGAN2, in particular for BUSI. The numerical pattern is also evidenced by examination of distributions in Figure 2, for which the visualizations under PCA indicate a more comparable correspondence of the real and synthetic samples for StyleGAN3. The SWD corresponding values also prove the finding: StyleGAN3 achieved SWD of 3.21 for BUSI compared to 5.62 for StyleGAN2, and 24.32 for CBIS-DDSM compared to 25.00 for StyleGAN2. It suggests that StyleGAN3 is capable of achieving representations that are closest to the manifold of real medical images.

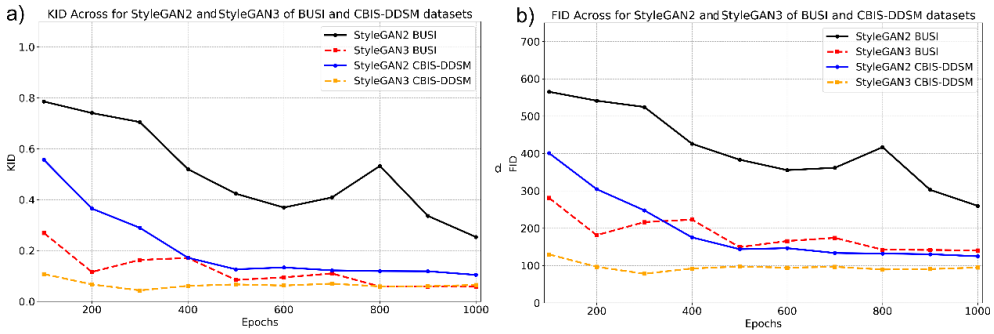


Figure 1 – Evolution of generative performance across training epochs for BUSI and CBIS-DDSM datasets:
(a) KID curves for StyleGAN2 and StyleGAN3, (b) FID curves for StyleGAN2 and StyleGAN3

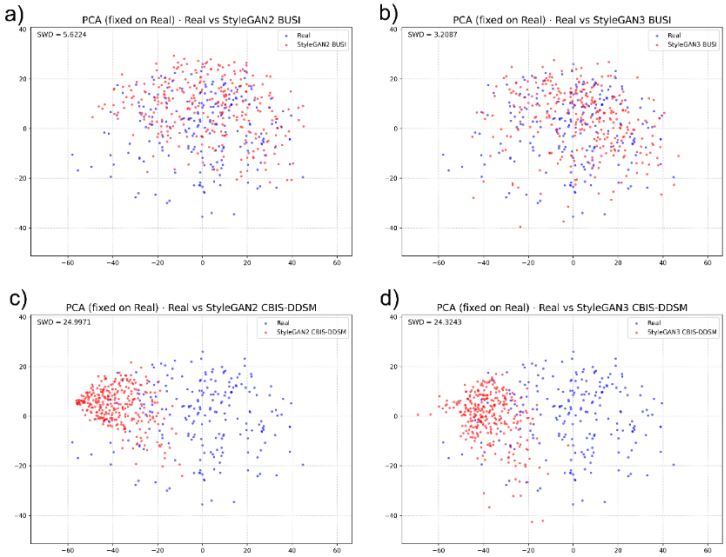


Figure 2 – PCA visualization of real and generated images from BUSI and CBIS-DDSM datasets:
(a) Real vs. StyleGAN2 on BUSI, (b) Real vs. StyleGAN3 on BUSI,
(c) Real vs. StyleGAN2 on CBIS-DDSM, (d) Real vs. StyleGAN3 on CBIS-DDSM

Qualitative analysis of the synthetic images also verifies these findings. In ultrasound synthesis of BUSI (Figure 3, (a)), StyleGAN3 possesses sharper texture and more natural-looking lesions with less artifact of smoothing when compared to StyleGAN2. Likewise, for CBIS-DDSM mammography images (Figure 3, (b)), the two models synthesize the general breast silhouette; however, the StyleGAN2 output images are subject to over-smoothing. In comparison, StyleGAN3 generates more detailed morphologies of parenchymal tissue with sharper anatomical structures, although with noticeable subtle blurring evident.

In short, these results show that StyleGAN3 not only improves numerical outcomes but also enhances the perceptual realism of simulated medical images. Such improvements are important particularly for medical imaging cases, for which visual plausibility has a direct impact upon diagnostic model learning and clinical interpretation of synthetic images.

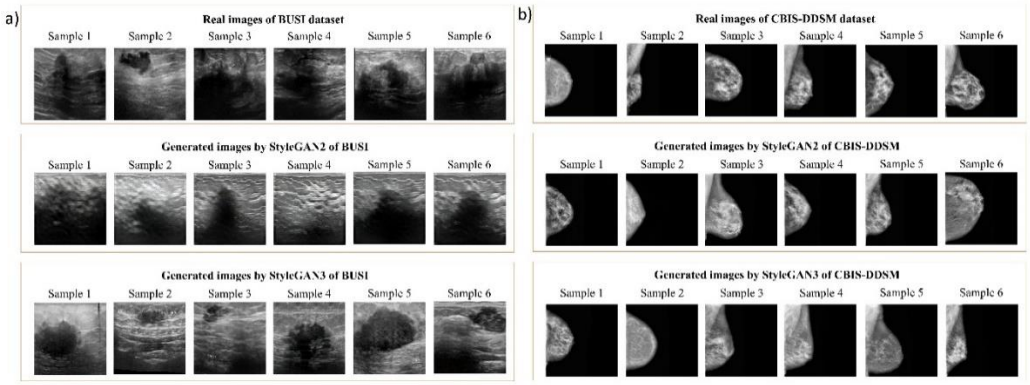


Figure 3 – (a) Qualitative comparison of real and synthetic images. (a) BUSI ultrasound dataset: first row – real samples, second row – StyleGAN2-generated, third row – StyleGAN3-generated. (b) CBIS-DDSM mammography dataset: first row – real samples, second row – StyleGAN2-generated, third row – StyleGAN3-generated

Discussion

Our experiment confirms that StyleGAN3 does make remarkable quality improvements of synthetic medical images over StyleGAN2, particularly for the BUSI dataset. On 100, 500, and 1000 epochs, StyleGAN3 kept achieving reduced FID and KID values, showing that its aliasing-free structure is better for learning fine-grained texture structures from ultrasound images. On CBIS-DDSM, StyleGAN2 and StyleGAN3 displayed confident convergences, and StyleGAN3 achieved extra reductions of FID (90.58 vs. 124.79) and KID (0.06 vs. 0.10) after epochs of 1000. These results verify that the advantages of StyleGAN3 over StyleGAN2 in BUSI actually extend to mammography, even when limited data are used. Previous works in Table 4, such as IGAN [14], 2S-BUSGAN [15], and GSDA [16], achieved FID scores of 40-100, but often for reduced image sizes (256 × 256 × 256) and larger datasets (≈780 images). Our own prior work with DGAN-WP-TL [7] achieved an FID of 179.4 and a KID of 0.1448 on BUSI (509 images), as it was experiencing issues learning from smaller sets. In contrast, StyleGAN3 trained on just 210 BUSI images reached an FID of 140.7 and a KID of 0.06 after 1000 epochs, representing a meaningful step forward. These results underscore the potential of advanced architectures to mitigate data scarcity and produce high-quality images despite limited training samples.

The results indicate that while StyleGAN3 does not yet surpass the very low FID values reported in some larger-scale studies (e.g., IGAN), it significantly improves over our previous DGAN-WP-TL baseline and StyleGAN2 under the same data constraints (Table 4).

Table 4 – Comparison of GAN-based methods for BUSI dataset synthesis

Author & Year	Method	FID	KID	Dataset
Alruily et al. (2023) [14]	IGAN	41.86	–	BUSI
Luo et al. (2023) [15]	2S-BUSGAN	101.00	0.6238	BUSI
Liu et al. (2023) [16]	GSDA	68.78	–	BUSI
Ryspayeva & Salykova (2025) [7]	DGAN-WP-TL	179.42	0.1448	BUSI
This work	StyleGAN2	259.65	0.25	BUSI
This work	StyleGAN3	140.67	0.06	BUSI

We also benchmarked StyleGAN2 and StyleGAN3 on CBIS-DDSM and compared them with prior studies on mammogram synthesis (Table 5). Methods such as CycleGAN [17], BreastGAN [18] and StyleGAN-XL [19] reported very low FID scores, but they typically relied on larger and more diverse datasets. In contrast, our experiments used only 509 malignant samples from CBIS-DDSM, which explains the relatively higher FID values. Importantly, StyleGAN3 achieved a substantial improvement, reducing FID from 124.8 (StyleGAN2) to 90.6 and KID from 0.10 to 0.06.

This comparison underlines the difficulty of working with CBIS-DDSM due to its small class size and limited diversity. Nevertheless, our StyleGAN3 results represent a clear improvement over both StyleGAN2 and DGAN-WP-TL under identical dataset constraints, and provide evidence that alias-free architectures improve mammogram synthesis as well.

Table 5 – Comparison of GAN-based methods for mammogram synthesis

Author & Year	Method	FID	KID	Dataset
Garrucho et al. (2023) [17]	CycleGAN	73.16	-	OPTIMAM
Fan et al. (2021) [18]	BreastGAN	21.25	-	DDSM
Prodan et al. (2023) [19]	StyleGAN-XL	9.8	-	ADMANI
Ryspayeva & Salykova (2025) [7]	DGAN-WP-TL	182.35	0.1795	CBIS-DDSM
This work	StyleGAN2	124.79	0.10	CBIS-DDSM
This work	StyleGAN3	90.58	0.06	CBIS-DDSM

While StyleGAN3 necessarily improves generative quality, it does so at non-negligible computational cost. Combined training for 1000 epochs increased from 13.2 hours for StyleGAN2 to 26.1 hours for StyleGAN3 for BUSI. For CBIS-DDSM, the analogous phenomenon was observed: 20.5 hours for StyleGAN2 and 38.0 hours for StyleGAN3. These findings highlight the trade-off between quality and efficiency: StyleGAN3 is preferable when fidelity and structural consistency are critical, while StyleGAN2 may remain a practical alternative in resource-limited environments.

Conclusion

Two state-of-the-art generative adversarial network models, StyleGAN2 and StyleGAN3, are experimented upon under breast imaging datasets (BUSI and CBIS-DDSM) in the current research. The research novelty is in the information technology field: alias-free generative model assessment under stringent data scarcity and imbalance conditions. It was shown after extending the training to 1000 epochs that StyleGAN3 significantly outperformed StyleGAN2 under all experimental conditions with appreciably diminished FID and KID values for two datasets. More specifically, StyleGAN3 achieved FID = 140.67 and KID = 0.06 for the dataset BUSI, and FID = 90.58 and KID = 0.0 By focusing on malignant case synthesis, this work demonstrates that advanced GAN architectures can enhance the representation of minority classes, offering a practical approach to dataset balancing in breast cancer imaging6 for the dataset CBIS-DDSM, hence establishing stronger medical image synthesis task baselines.

The implications are both methodological and computational. Firstly, they demonstrate that state-of-the-art alias-free generative design (StyleGAN3) translates to practical improvements in stability, faithful reproduction, and output sample diversity even for sparse datasets. Secondly, they reveal the computational-efficiency/image-quality trade-off: StyleGAN3 almost takes twice as much time to train as StyleGAN2, yet delivers much more realistic outcomes. These outcomes benefit the IT field by providing a plausible experimental framework, performance measures, and design trade-off insights for GAN-based synthesis under data-constrained conditions.

Future work will aim to scale these techniques to massive data sets, to combine pipelines of augmentation and transfer learning, and to construct hybrid architectures that combine alias-free generators with task-specialized priors. These areas will extend the use of generative models beyond healthcare even further, making data augmentation, simulation, and machine learning for small-sample domains even more of a core technology.

References

1. Generative adversarial nets / I. Goodfellow et al // Advances in Neural Information Processing Systems. – 2014. – Vol. 27. – P. 2672-2680.
2. Arjovsky M. Wasserstein Generative Adversarial Networks / M. Arjovsky, S. Chintala, L. Bottou // Proceedings of the 34th International Conference on Machine Learning (ICML). – 2017. – Vol. 70. – P. 214-223.
3. Improved training of Wasserstein GANs / I. Gulrajani et al // Advances in Neural Information Processing Systems (NeurIPS). – 2017. – P. 5767-5777.
4. Karras T. A Style-Based Generator Architecture for Generative Adversarial Networks / T. Karras, S. Laine, T. Aila // Proceedings of the IEEE/CVF Conference on Computer Vision and Pattern Recognition (CVPR). – 2019. – P. 4401-4410.
5. Analyzing and Improving the Image Quality of StyleGAN / T. Karras et al // Proceedings of the IEEE/CVF Conference on Computer Vision and Pattern Recognition (CVPR). – 2020. – P. 8110-8119.
6. Alias-Free Generative Adversarial Networks / T. Karras et al // Advances in Neural Information Processing Systems (NeurIPS). – 35th Int. Conf. on Neural Information Processing Systems. – 2021. – P. 1190-1201.

7. Ryspayeva M. Multi-domain synthetic medical image generation and dataset balancing with DGAN-WP-TL / M. Ryspayeva, O. Salykova // Computer Methods in Biomechanics and Biomedical Engineering: Imaging & Visualization. – 2025. – Vol. 13, № 1. https://orcid.org/10.1080/21681163.2025.2556687.
8. Dataset of Breast Ultrasound Images / W. Al-Dhabyani et al // Data in Brief. – 2019. – Vol. 28. – P. 104863. https://orcid.org/10.1016/j.dib.2019.104863.
9. Curated Breast Imaging Subset of Digital Database for Screening Mammography (CBIS-DDSM) / R. Sawyer-Lee et al // The Cancer Imaging Archive. – 2016. https://orcid.org/10.7937/K9/TCIA.2016.7O02S9CY. – URL: https://www.cancerimagingarchive.net/collection/cbis-ddsm/.
10. GANs Trained by a Two Time-Scale Update Rule Converge to a Local Nash Equilibrium / M. Heusel et al // Advances in Neural Information Processing Systems (NeurIPS). – 2017. – Vol. 30. – P. 6626-6637.
11. Demystifying MMD GANs / M. Bińkowski et al // International Conference on Learning Representations (ICLR). – 2018.
12. Progressive Growing of GANs for Improved Quality, Stability, and Variation / T. Karras et al // International Conference on Learning Representations (ICLR). – 2018. – Poster 2018.
13. Jolliffe I.T. Principal Component Analysis / I.T. Jolliffe. – 2nd ed. – New York: Springer, 2002. – 487 p. – (Springer Series in Statistics).
14. IGAN: Improved Generative Adversarial Network for Breast Ultrasound Image Synthesis / M. Alruily et al // Diagnostics. – 2023. – Vol. 13, № 15. – P. 2562. https://orcid.org/10.3390/diagnostics13152562.
15. 2S-BUSGAN: Two-Stage GAN for Breast Ultrasound Image Synthesis / W. Luo et al // Journal of Imaging. – 2023. – Vol. 9, № 3. – P. 54. https://orcid.org/10.3390/jimaging9030054.
16. Liu C. GSDA: Generative Semantic Data Augmentation for Breast Ultrasound Image Synthesis / C. Liu, S. Ding, W. Luo // Frontiers in Oncology. – 2023. – Vol. 13. – P. 1156789. https://orcid.org/10.3389/fonc.2023.1156789.
17. Cross-domain synthesis of mammograms using CycleGAN for data augmentation in breast cancer screening / L.Garrucho et al // Computers in Biology and Medicine. – 2023. – Vol. 165. – P. 107375. https://orcid.org/10.1016/j.compbiomed.2023.107375.
18. Fan J. BreastGAN: Adversarial Data Augmentation for Mammogram Classification / J. Fan, R. Huang, Z. Liu // Computers in Biology and Medicine. – 2021. – Vol. 135. – P. 104601. https://orcid.org/10.1016/j.compbiomed.2021.104601.
19. Prodan R. StyleGAN-XL for high-resolution mammogram synthesis with limited annotations / R. Prodan, P.F. Jäger, A. Kopp-Schneider // Medical Image Analysis. – 2023. – Vol. 87. – P. 102842. https://orcid.org/10.1016/j.media.2023.102842.

М.К. Рыспаева[1,2*], О.С. Салыкова[1]
[1]Ахмет Байтұрсынұлы атындағы Қостанай өңірлік университеті,
110000, Қостанай, Қазақстан Байтурсынов көшесі 47,
[2]Astana IT University,
010000, Астана, Қазақстан, Мәңгілік Ел, С 1 блогы,
*e-mail: marya.rys1@mail.ru

STYLEGAN2 ЖӘНЕ STYLEGAN3 МОДЕЛЬДЕРІНІҢ BUSI ЖӘНЕ CBIS-DDSM ДЕРЕККӨРЛАРЫНДА СИНТЕТИКАЛЫҚ МЕДИЦИНАЛЫҚ СУРЕТТЕРДІ ГЕНЕРАЦИЯЛАУҒА БАҒАЛАНУЫ

Медициналық кескіндер негізінде терең оқытуды қолдану көбінесе суреттердің шектеулі қолжетімділігіне және сыныптар теңгерімсіздігінің айқын байқалуына байланысты күрделене түседі. Мұндай жағдайда дәстүрлі машиналық оқыту алгоритмдерінің тиімділігі төмендейді. Генеративтік қарсылас желілер (GAN) бұл мәселені шешу үшін табиғи көрінетін синтетикалық суреттерді жасап, оқыту жиынтықтарын толықтыруға мүмкіндік береді. Бұл зерттеуде біз екі озық GAN архитектурасын, StyleGAN2 және StyleGAN3, екі ашық қолжетімді сүт безі кескіндерінің деректер жиынтығы негізінде салыстырдық: BUSI (ультрадыбыс, 210 қатерлі іс жағдайы) және CBIS-DDSM (маммография, 509 қатерлі іс жағдайы). FID және KID бойынша жүргізілді. BUSI деректерінде StyleGAN3 1000 эпохада FID = 140.7 және KID = 0.06 нәтижесін көрсетті, ал StyleGAN2 үшін FID = 259.7 және KID = 0.25 болды. CBIS-DDSM деректерінде StyleGAN3 FID = 90.6 және KID = 0.06 нәтижесін берді, ал StyleGAN2 сәйкесінше FID = 124.8 және KID = 0.10 көрсетті. Бұл нәтижелер

StyleGAN3 моделі шектеулі деректер жағдайында табиғиға ұқсас әрі әртүрлі суреттерді синтездей алатынын, бірақ сонымен бірге оқыту уақытының ұлғаюына әкелетінін көрсетеді. Ал StyleGAN2 салыстырмалы түрде төмен есептеу шығындарымен ұқсас сапаға қол жеткізе алады. Зерттеу нәтижелері медициналық суреттерді генерациялау әлеуетін және сапа мен тиімділіктің деректерді көбейту (data augmentation) үшін тепе-теңдігін көрсетеді.

Түйін сөздер: *Генеративтік қарсылас желілер (GAN); StyleGAN2; StyleGAN3; FID; KID; Сүт безі ультрадыбысы; Маммография.*

М.К. Рыспаева[1,2*], О.С. Салыкова[1]
[1]Костанайский региональный университет имени Ахмета Байтурсынулы,
110000, Костанай, Казахстан, ул. Байтурсынова 47
[2]Astana IT University,
010000, Астана, Казахстан Мангилик Ел, блок С.1
*e-mail: marya.rys1@mail.ru

ОЦЕНКА STYLEGAN2 И STYLEGAN3 ДЛЯ СИНТЕТИЧЕСКОЙ ГЕНЕРАЦИИ МЕДИЦИНСКИХ ИЗОБРАЖЕНИЙ НА ДАТАСЕТАХ BUSI И CBIS-DDSM

Глубокое обучение на медицинских изображениях обычно затруднено ограниченным доступом к данным и сильным дисбалансом классов, что снижает эффективность традиционных алгоритмов машинного обучения. Генеративные состязательные сети (GAN) могут использоваться для решения таких проблем путем создания реалистичных синтетических изображений, дополняющих обучающие выборки. В данном исследовании мы сравниваем две передовые архитектуры GAN, StyleGAN2 и StyleGAN3, на основе двух общедоступных наборов данных изображений молочной железы: BUSI (ультразвук, 210 случаев злокачественных опухолей) и CBIS-DDSM (маммография, 509 случаев злокачественных опухолей). Оценка проводилась с использованием метрик FID и KID. На BUSI StyleGAN3 при 1000 эпохах достиг FID = 140.7 и KID = 0.06, тогда как StyleGAN2 показал FID = 259.7 и KID = 0.25. На CBIS-DDSM StyleGAN3 достиг FID = 90.6 и KID = 0.06, а StyleGAN2 – FID = 124.8 и KID = 0.10. Эти результаты демонстрируют, что StyleGAN3 имеет тенденцию синтезировать более реалистичные и разнообразные изображения в условиях ограниченных данных, но при этом требует большего времени обучения, тогда как StyleGAN2 обеспечивает сопоставимое качество при меньших вычислительных затратах. Результаты указывают на потенциал генерации медицинских изображений и компромисс между качеством и эффективностью для задач аугментации данных при улучшении изображений молочной железы.

Ключевые слова: *Генеративные состязательные сети, StyleGAN2, StyleGAN3, FID, KID, Ультразвук молочной железы, Маммография.*

Сведения об авторах

Марья Куанышевна Рыспаева* – докторант, Костанайский региональный университет имени Ахмет Байтұрсынұлы, Костанай, преподаватель, Astana IT University, Астана, Казахстан; e-mail: marya.rys1@mail.ru. ORCID: https://orcid.org/0000-0001-5055-4149.

Ольга Салыкова – кандидат технических наук, и.о. ассоциированного профессора Костанайский региональный университет имени Ахмет Байтұрсынұлы, Костанай Казахстан; e-mail: solga0603@mail.ru. ORCID: https://orcid.org/0000-0002-8681-4552.

Авторлар туралы мәліметтер

Марья Рыспаева* – докторант, Ахмет Байтұрсынұлы атындағы Қостанай өңірлік университеті, Қостанай, Astana IT University оқытушы, Астана, Қазақстан; e-mail: marya.rys1@mail.ru. ORCID: https://orcid.org/0000-0001-5055-4149.

Ольга Салыкова – т.ғ.к., қауымдастырылған профессор, Ахмет Байтұрсынұлы атындағы Қостанай өңірлік университеті, Қостанай Қазақстан; e-mail: solga0603@mail.ru. ORCID: https://orcid.org/0000-0002-8681-4552.

Information about the authors

Marya Ryspayeva* – doctoral student, Akhmet Baitursynuly Kostanay Regional University, Kostanay, Astana IT University lecturer, Astana, Kazakhstan; e-mail: marya.rys1@mail.ru. ORCID: https://orcid.org/0000-0001-5055-4149.

Olga Salykova – candidate of technical sciences, associate professor, Akhmet Baitursynuly Kostanay Regional University, Kostanay, Kazakhstan; e-mail: solga0603@mail.ru. ORCID: https://orcid.org/0000-0002-8681-4552.

Received 19.09.2025
Revised 28.10.2025
Accepted 03.11.2025

https://doi.org/10.53360/2788-7995-2025-4(20)-12

BY 4.0
Check for updates

МРНТИ:14.35.07

[1]А.К. Шайханова*, К.Е. Икласова[2], Г.И. Аймичева[1], Лили Нурлияна Абдулла[3], И.М. Увалиева[4]
[1]Евразийский национальный университет им. Л.Н. Гумилева,
10000 Казахстан, г.Астана, ул. Сатпаева, 2
[2]Северо-Казахстанский университет им. М. Козыбаева,
Республика Казахстан, г. Петропавловск, ул. Жумабаева, 114
[3]Университет Путра Малайзия, Серданг,
Малайзия, штат Селангор, Persiaran Putra Perdana
[4]Восточно-Казахстанский технический университет им. Д.Серикбаева,
Республика Казахстан, г. Усть-Каменогорск, ул. Серикбаева, 19
e-mail: aigul.shaikhanova@gmail.com

ИНТЕГРАЦИЯ ИННОВАЦИОННЫХ ЦИФРОВЫХ КОМПЕТЕНЦИЙ В ПЕДАГОГИЧЕСКУЮ ПРАКТИКУ: РАЗРАБОТКА И ВАЛИДАЦИЯ КАСКАДНОЙ МОДЕЛИ С ПРИМЕНЕНИЕМ AR И GENAI

***Аннотация*:** *Настоящая статья посвящена разработке и всестороннему анализу каскадной модели формирования цифровых компетенций (ЦК) педагогов, отвечающей на актуальные вызовы, обусловленные глобальной цифровой трансформацией и национальной стратегией развития образования в Республике Казахстан. Модель концептуально структурирована на три взаимосвязанных этапа: первый – это систематизированный процесс формирования ЦК, включающий мотивационно-целевой, методологический, содержательно-технологический и регулятивно-результативный блоки; второй – непосредственное применение сформированных ЦК в повседневной педагогической деятельности; и третий – оценка влияния этих компетенций на академические результаты обучающихся.*

В работе проводится анализ каждого этапа модели, описываются принципы, цифровая экосреда, методы и средства обучения, а также система оценки. Особое внимание уделяется контексту цифровизации в Казахстане, подчеркивается критическая важность приобретения педагогами актуальных цифровых навыков в свете государственных программ и нормативных документов. Для подтверждения практической значимости модели представлены результаты первого этапа масштабного эмпирического исследования, охватившего 1352 учителя. Данный опрос убедительно продемонстрировал высокую заинтересованность педагогического сообщества в освоении интерактивных форматов уроков и внедрении технологий дополненной реальности (AR) и генеративного искусственного интеллекта (GenAI). В статье также проводится сопоставление предложенной модели с релевантными зарубежными и отечественными научными изысканиями в области цифровой педагогики, выявляются общие тенденции и специфические вызовы. Обсуждаются результаты первого этапа опроса, их импликации для дальнейшей адаптации и совершенствования модели. Обозначаются перспективы дальнейших исследований, включая второй этап опроса, который будет проведен после обучающего модуля, направленного на развитие интерактивных форм обучения и работы с AR-технологиями. Таким образом, статья представляет собой вклад в развитие теоретико-методологических основ формирования ЦК педагогов и их практической реализации в условиях цифровой образовательной среды.

Ключевые слова: *цифровые компетенции, педагоги, каскадная модель, интерактивные уроки, дополненная реальность (AR), генеративный искусственный интеллект (GenAI), эмпирическое исследование.*

Введение

Современный этап развития образования неразрывно связан с процессами цифровой трансформации, которые приобретают характер глобального тренда. В условиях стремительного внедрения искусственного интеллекта, дополненной реальности (AR) и других инновационных технологий, педагогические компетенции перестают ограничиваться традиционными методиками, требуя интеграции цифровых навыков в профессиональную деятельность. Особую значимость этот вопрос приобретает в контексте национальных стратегий, таких как программы цифровизации Республики Казахстан, где формирование

цифровых компетенций (ЦК) педагогов закреплено в качестве приоритета образовательной политики.

Формирование ЦК педагогов представляет собой нечто большее, чем простое освоение инструментальных навыков; оно подразумевает развитие способности к эффективной интеграции цифровых технологий в педагогическую практику с целью повышения качества образования и оптимизации академических результатов обучающихся. Недостаточный уровень развития данных компетенций потенциально может привести к значительному отставанию национальной системы образования от актуальных требований информационного общества.

Основной целью данной научной публикации является представление каскадной модели формирования ЦК педагогов, ее подробное описание и глубокий анализ, сопоставление с релевантными зарубежными и отечественными научными исследованиями, а также изложение первичных эмпирических результатов, подтверждающих практическую значимость и востребованность предложенного методологического подхода.

Методы исследования

Глобальный научный дискурс активно разрабатывает проблематику цифровых компетенций педагогических кадров, что подтверждается многочисленными исследованиями и разработкой национальных и международных рамок. В качестве фундаментального ориентира выступает DigCompEdu (Европейская рамка цифровых компетенций для педагогов) [1, 2], которая структурирует цифровую компетентность педагогов по шести ключевым областям: профессиональное взаимодействие, цифровые ресурсы, преподавание и обучение, оценивание, расширение прав и возможностей обучающихся, а также содействие развитию цифровых компетенций у самих учащихся [3]. Эти рамки служат основой для национальных стратегий повышения квалификации учителей по всему миру.

Анализ зарубежных исследований выявляет ряд общих тенденций и критически важных факторов, детерминирующих успешную интеграцию цифровых технологий в образовательный процесс. К ним относятся:

– Развитая технологическая инфраструктура и доступность ресурсов: фундаментальным условием является наличие современного оборудования и высокоскоростного интернет-соединения, обеспечивающего бесперебойный доступ к цифровым образовательным платформам и инструментам [8]. Исследования показывают, что недостаточная инфраструктура является серьезным барьером для внедрения инноваций.

– Адекватная методическая и педагогическая поддержка: обучение педагогов не должно ограничиваться освоением технических аспектов, но должно фокусироваться на эффективных дидактических методах интеграции цифровых инструментов в учебный процесс, формируя глубокое понимание их педагогического потенциала [9].

– Мотивация и отношение педагогов к цифровым инновациям: важным фактором является осознание учителями фундаментальной ценности цифровых средств для повышения эффективности обучения, вовлеченности учащихся и персонализации образовательного процесса [5]. Негативное отношение или отсутствие мотивации может нивелировать любые технологические и методические усилия.

– Непрерывное профессиональное развитие и персонализация обучения: в условиях быстро меняющихся технологий необходима систематическая система обновления знаний и навыков педагогического состава. Исследования подчеркивают важность персонализированных образовательных траекторий, учитывающих индивидуальные потребности и исходный уровень ЦК каждого педагога [7].

Несмотря на глобальные усилия, зарубежные исследования также выявляют специфические вызовы. К ним относятся: цифровое неравенство среди педагогов (различия в доступе и умениях), недостаточная готовность к освоению и внедрению инновационных подходов (например, AR и GenAI), а также трудности адаптации традиционных педагогических методик к требованиям цифрового формата [6, 13]. Работы ведущих исследователей, таких как Redecker & Punie [1] и Ferrari [2], акцентируют внимание на критической значимости формирования благоприятной цифровой экосистемы, которая поддерживает и стимулирует развитие ЦК педагогов.

В Республике Казахстан процесс формирования ЦК педагогов активно поддерживается на государственном уровне и регулируется национальными стратегическими документами. Казахстанские ученые и образовательные учреждения проводят собственные исследования,

направленные на адаптацию мирового опыта и разработку национальных стандартов. Несмотря на значительную государственную поддержку, отечественные исследования, в частности работы Abildina et al. [10] и Karmanova et al. [11], выявляют ряд специфических вызовов, характерных для региона: обеспечение повсеместного и равноправного доступа к цифровым образовательным ресурсам, дальнейшее повышение квалификации преподавательского состава в соответствии с актуальными технологическими трендами и интенсивное развитие цифровой педагогики как самостоятельной научной и практической дисциплины [12]. Представленная в настоящей статье каскадная модель разработана, чтобы системно ответить на эти глобальные и специфические вызовы, предлагая комплексный и адаптивный подход к формированию ЦК, который соответствует как мировым образовательным тенденциям, так и уникальным условиям казахстанской образовательной среды.

Результаты исследования

Предлагаемая модель формирования цифровых компетенций педагога представляет собой каскадный процесс, логически разделенный на три взаимообусловленных этапа (рис. 1):

1. Этап формирования ЦК: целенаправленный и систематизированный процесс приобретения педагогами цифровых знаний, навыков и умений.
2. Этап применения ЦК в педагогической деятельности: практическая реализация и интеграция сформированных компетенций непосредственно в учебно-воспитательный процесс.
3. Этап влияния сформированных ЦК на результаты обучения: аналитическая оценка воздействия эффективного использования ЦК на академические достижения и общее развитие обучающихся.

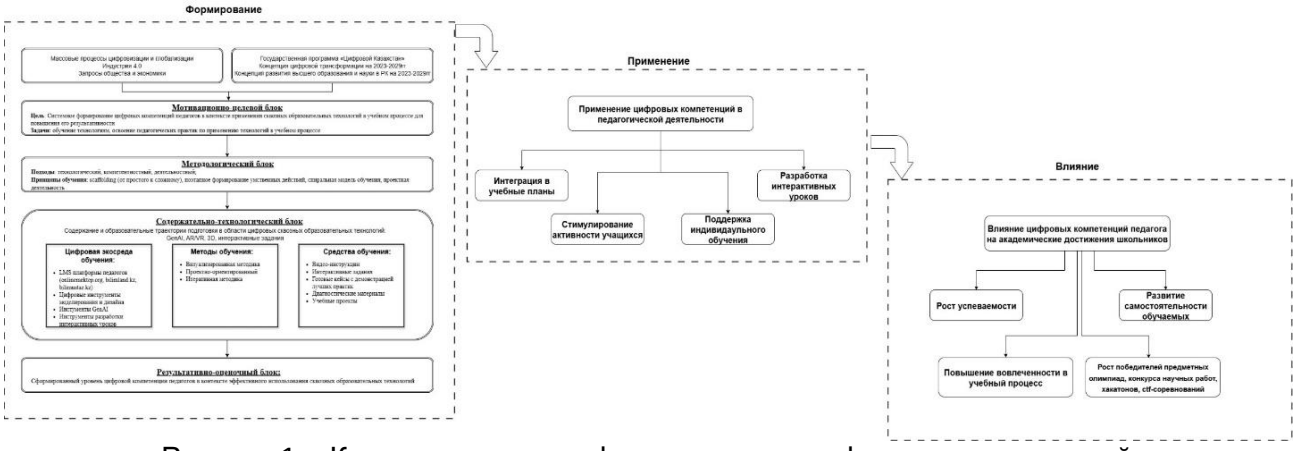


Рисунок 1 – Каскадная модель формирования цифровых компетенций

1. *<u>Этап формирования ЦК.</u>* Данный этап является краеугольным и определяющим, формируя необходимую основу для последующего применения и трансформационного влияния ЦК. Он структурирован вокруг нескольких ключевых блоков (рис. 2):

а) Мотивационно-целевой блок, целью которого является достижение высокого уровня цифровой компетентности педагогов в контексте прикладного образования и эффективного использования технологий в учебном процессе для максимизации его результативности. Задачей которого является обучение педагогов практическим навыкам по применению цифровых технологий в учебном процессе, методикам создания интерактивных форм уроков и стратегиям внедрения технологий дополненной реальности (AR) и генеративного искусственного интеллекта (GenAI). Этот блок подчеркивает первостепенную потребность и внутреннюю заинтересованность педагогического сообщества в освоении инновационных инструментов, что находит эмпирическое подтверждение в результатах первичного социологического опроса.

б) Методологический блок, в его основе лежат следующие принципы обучения:

– Принцип коллективного обучения: стимулирование взаимодействия и обмена передовым опытом между педагогами.

– Компетентностный подход: фокус на формировании практико-ориентированных навыков и прикладных умений.

– Проблемное обучение: решение реальных педагогических задач посредством применения цифровых инструментов.

– Деятельностный подход: активное вовлечение педагогов в образовательный процесс, предполагающее создание ими собственных цифровых дидактических продуктов.

– Принципы формирования ЦК: обучение по принципу «снизу-вверх» (scaffolding): Поэтапное усложнение учебного материала и практических заданий, сопровождаемое систематической поддержкой на каждой ступени освоения.

– Адаптивное обучение: учет индивидуальных образовательных потребностей и темпа обучения каждого педагога.

– Гибкость: способность к оперативной адаптации образовательной программы в соответствии с изменяющимися требованиями и развитием технологий.

в) Содержательно-технологический блок, состоит из:

– Содержание и образовательные траектории: систематизированное обучение работе с цифровыми образовательными технологиями, инструментарием и методами создания интерактивных заданий.

– Цифровая экосреда: LMS-платформы (Moodle, Canvas, Google Classroom), Инструменты AR (Meta Spark Studio, Reality Composer, Unity), Инструменты GenAI (ChatGPT, Midjourney), Виртуальные лаборатории, Образовательные тренажеры.

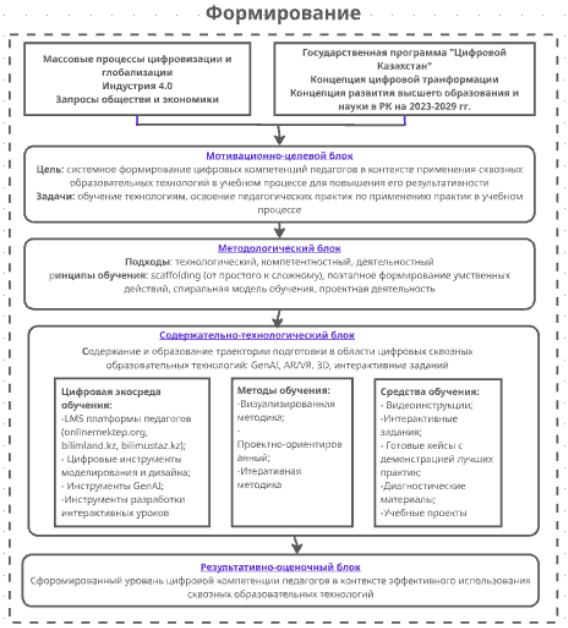


Рисунок 2 – Этап формирования цифровых компетенций

К методам обучения относятся веб-ориентированное обучение, проектно-ориентированный подход, принцип «перевернутой» методики обучения.

К средствам обучения можно отнести видео-инструкции, интерактивные задания, глоссарии, содержащие примеры кейсов, викторины, тренажеры, учебные проекты, дидактические материалы, онлайн-ресурсы. Данный блок детально описывает инструментарий и методологические подходы, необходимые для эффективной реализации процесса обучения, обеспечивая его глубину и практическую направленность.

г) Регулятивно-результативный блок, целью которого является достижение сформированного уровня цифровой компетенции педагогов и повышение эффективности использования сложных образовательных технологий. Данный блок предусматривает разработку системы объективных оценочных критериев, позволяющих диагностировать достигнутый уровень ЦК, осуществлять мониторинг прогресса и при необходимости корректировать образовательный процесс.

2. Этап применения ЦК в педагогической деятельности. После успешного формирования ЦК педагоги приступают к их активной интеграции в учебный процесс (рис. 3).

Этот этап характеризуется практической реализацией цифровых компетенций и включает следующие ключевые направления:

– Интеграция в учебные планы: систематическое включение цифровых инструментов и инновационных методик в ежедневное планирование и проведение уроков.

– Разработка интерактивных уроков: создание и реализация учебных занятий с активным использованием AR, GenAI, а также разнообразных интерактивных заданий, что существенно повышает уровень вовлеченности обучающихся.

– Стимулирование активности учащихся: применение цифровых инструментов для повышения познавательного интереса и внутренней мотивации к обучению.

– Поддержка индивидуализации обучения: адаптация учебного материала и методологических подходов под уникальные образовательные потребности и индивидуальный темп каждого ученика с использованием цифровых технологий.



Рисунок 3 – Этап применения ЦК в педагогической деятельности

3. Этап влияния сформированных ЦК на результаты обучения. Конечной целью всего цикла формирования и применения ЦК является достижение положительного и измеримого влияния на академические результаты обучающихся (рис. 4).

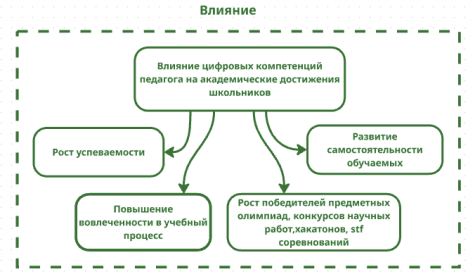


Рисунок 4 – Этап влияния сформированных ЦК на результаты обучения

Данный этап манифестируется в следующих аспектах:

– Рост успеваемости: непосредственное улучшение оценочных показателей и общих учебных достижений.

– Развитие самостоятельности обучающихся: повышение уровня самоорганизации, развитие критического мышления, формирование навыков исследовательской и творческой деятельности.

– Повышение вовлеченности в учебный процесс: увеличение познавательной активности и внутренней мотивации к обучению.

– Увеличение количества призовых мест: успешное участие в предметных олимпиадах, конкурсах научно-исследовательских работ, хакатонах, CTF-соревнованиях и других мероприятиях, требующих демонстрации цифровых и творческих навыков.

Результаты эмпирического исследования и обсуждение

В рамках настоящего исследования был проведен первый этап масштабного социологического опроса, в котором приняли участие 1352 учителя из всех регионов Казахстана. Основной целью данного этапа было выявление текущего уровня цифровой грамотности педагогического состава, а также определение их потребностей и заинтересованности в развитии цифровых компетенций. Полученные результаты убедительно продемонстрировали высокую заинтересованность педагогов в создании

интерактивных форм уроков и активном внедрении технологий дополненной реальности (AR) в учебный процесс. Этот факт подтверждает как актуальность разработанной модели, так и ее соответствие насущным потребностям современного педагогического сообщества. Учителя выразили явную готовность к освоению новых инструментов и методик, направленных на повышение качества и интерактивности образовательного процесса (рис. 5).



Рисунок 5 – Ответы 1352 респондентов об обучении новым цифровым технологиям

На основании этих данных, полученных в ходе первого этапа опроса, и выявленных потребностей педагогов был сформирован инструментарий для второго этапа анкетирования, который запущен на платформе BilimLand.com обучающим модулем по интерактивным формам обучения и AR-технологиям. Цель второго этапа заключается в оценке эффективности проведенного обучения, выявлении динамики изменений в уровне ЦК педагогов, а также их готовности к дальнейшей глубокой интеграции цифровых инструментов в образовательную практику. Полученные данные позволят существенно уточнить методологию обучения и адаптировать содержательный компонент модели, обеспечивая ее максимальную эффективность и практическую применимость.

Представленная модель, таким образом, не является статичной конструкцией, а представляет собой динамичную и адаптивную систему, способную интегрировать обратную связь от педагогов и результаты научных исследований для своего перманентного совершенствования. Выявленная заинтересованность в AR и интерактивных формах обучения указывает на значительный потенциал для глубокого внедрения этих технологий, что напрямую коррелирует с задачами мотивационно-целевого и содержательно-технологического блоков модели.

Заключение

Представленная каскадная модель формирования цифровых компетенций педагогов предлагает системно-интегрированный подход к подготовке учителей к вызовам цифровой эпохи. Она всесторонне учитывает не только непосредственный процесс обучения, но и последующую практическую реализацию приобретенных знаний в педагогической деятельности, а также их имплицитное и эксплицитное влияние на академические результаты обучающихся. Первые результаты эмпирического исследования убедительно подтверждают высокую степень заинтересованности казахстанских педагогов в освоении современных цифровых инструментов, что служит мощным катализатором для дальнейшего развития и широкомасштабного внедрения данной модели.

Будущие научные изыскания будут ориентированы на детальный анализ результатов второго этапа опроса, проведенного после предварительного обучающего модуля. Методология этого этапа будет включать:

– Обработка результатов онлайн-анкетирования, содержащего блоки вопросов, направленных на измерение уровня владения педагогами инструментами AR и методиками интерактивного обучения, а также оценку их уверенности в применении этих технологий.

– Проведение полуструктурированных интервью с выборкой учителей для сбора качественных данных о барьерах и факторах успеха при внедрении новых компетенций.

– Возможность включения элементов наблюдения за учебным процессом для оценки фактического применения AR-технологий и интерактивных форм обучения на практике (при наличии технических возможностях и согласия участников).

Основные цели второго этапа опроса заключаются в следующем:

–Оценка прироста ЦК: измерение изменения уровня цифровых компетенций педагогов в области интерактивных форм обучения и AR-технологий после прохождения специализированного обучающего модуля.

– Выявление эффективности обучения: определение того, насколько успешно обучающий модуль способствовал формированию практических навыков и изменению педагогических практик.

– Идентификация дальнейших потребностей: выявление новых запросов педагогов в области цифровизации образования, что позволит корректировать содержание будущих образовательных программ.

– Формирование рекомендаций: разработка практических рекомендаций для совершенствования методик обучения и поддержки внедрения ЦК на уровне образовательных учреждений.

Результаты этого этапа позволят не только верифицировать эмпирическую валидность и эффективность предложенной модели в динамике, но и разработать конкретные практические рекомендации для ее масштабирования. Долгосрочная лонгитюдная оценка влияния сформированных ЦК на качество образования и академические достижения обучающихся в реальных образовательных условиях станет предметом последующих исследований.

Список литературы

1. Redecker C. European Framework for the Digital Competence of Educators / C. Redecker, Y. Punie // DigCompEdu. Publications Office of the European Union. – 2017.
2. Ferrari A. Digital Competence in Practice: An Analysis of the DigComp Framework and its Pedagogical Implications / A. Ferrari // Joint Research Centre. – 2012. https://dx.doi.org/10.2791/82116.
3. Ilomäki L. Digital competence – an emergent concept in education / L. Ilomäki, S. Paavola M. Lakkala // Education and Information Technologies. – 2016. – № 15(4). – P. 369-389. https://doi.org/10.1007/s10639-014-9346-4.
4. Gutiérrez-Pérez J.M. Digital Competences of Higher Education Teachers: A Scoping Review / J.M. Gutiérrez-Pérez, J. Ballesta-Pagán // Education Sciences. – 2021. – № 11(11). https://doi.org/10.3390/educsci11110689.
5. Examining pre-service teachers' Technological Pedagogical Content Knowledge as evolving knowledge domains: A longitudinal approach / T. Valtonen et al // Journal of Computer Assisted Learning. – 2019. – № 35(4). – P. 491-502. https://doi.org/10.1111/jcal.12353.
6. Scherer R. A meta-analysis of how pre-service teachers' digital competence develops and predicts their future pedagogical practice / R. Scherer, J. Tondeur, F. Siddiq // Computers & Education. – 2018. – № 111. – P. 174-187. https://doi.org/10.1016/j.compedu.2018.09.009.
7. Krumsvik R.J. Digital competence in the Norwegian teacher education and in schools / R.J. Krumsvik // Högre utbildning. – 2011. – № 1(1). – P. 39-51. https://doi.org/10.23865/hu.v1.874.
8. Digital Teaching Competence: A Systematic Review / Francisco-Ignacio Revuelta-Domínguez et al // Sustainability. – 2022. – № 14(11). – P. 6428. https://doi.org/10.3390/su14116428.
9. Teachers' AI digital competencies and twenty-first century skills in the post-pandemic world / Davy Tsz Kit Ng et al // Cultural and Regional Perspectives. – 2023. – № 21, 71(1). – P. 137-161. https://doi.org/10.1007/s11423-023-10203-6.
10. Abildina S.K. Opportunities to use educational resources in the context of distance learning / S.K. Abildina, K.A. Aidarbekova, A.O. Mukhametzhanova // Herald of Karaganda University. – 2023. – № 1(109). https://doi.org/10.31489/2023Ped1/160-168.
11. Developing the Professional Competence of Future Chemistry Teachers through Digital Technologies: A Case Study of Kazakhstan / A. Karmanova et al // International Journal of Information and Education Technology. – 2024. – Vol. 14, № 8. https://doi.org/10.18178/ijiet.2024.14.8.2140.
12. Bridging the digital divide: Assessing future educators' competence in Kazakhstan's higher education through the DigCompEdu framework / M. Yermekova et al // International Journal of Innovative Research and Scientific Studies. – 2025. – № 8(1). – P. 1224-1238. https://doi.org/10.53894/ijirss.v8i1.4572.

13. Kirschner, P.A. The myths of the digital native and the multitasker / P.A. Kirschner, M. De Bruyckere // Teaching and Teacher Education. – 2017. – № 67. – P. 135-142.

Информация о финансировании

Данное исследование финансировалось/финансируется Комитетом по науке Министерства науки и высшего образования Республики Казахстан (грант № AP 23489228).

A.K. Shaikhanova*, K.E. Iklasova[2], G.I. Aimicheva[1], Lili Nurliana Abdulla[3], I.M. Uvalieva[4]

[1]L. N. Gumilyov Eurasian National University,
10000 Kazakhstan, Astana, Satpayev Street, 2
[2]Manash Kozybayev North Kazakhstan University,
Republic of Kazakhstan, Petropavlovsk, Zhumabayev Street, 114
[3]Universiti Putra Malaysia, Serdang,
Malaysia, Selangor State, Persiaran Putra Perdana
[4]D.Serikbayev East Kazakhstan Technical University,
Ust-Kamenogorsk, Republic of Kazakhstan
Republic of Kazakhstan, Ust-Kamenogorsk, Serikbayev Street, 19
*e-mail: aigul.shaikhanova@gmail.com

INTEGRATING INNOVATIVE DIGITAL COMPETENCIES INTO PEDAGOGICAL PRACTICE: DEVELOPMENT AND VALIDATION OF A CASCADE MODEL USING AR AND GENAI

The present article is devoted to the development and analysis of the cascade model of formation of digital competencies (DC) of teachers, which responds to the current challenges caused by the global digital transformation and the national strategy of education development in the Republic of Kazakhstan. The model is conceptually structured into three interrelated stages: the first is a systematized process of formation of DSC, including motivational-target, methodological, content-technological and regulatory-result blocks; the second is the direct application of formed DSC in everyday pedagogical activities; and the third is the assessment of the impact of these competencies on the academic results of students.

The paper provides an in-depth analysis of each stage of the model, describing the principles, the digital eco-environment, teaching methods and tools, and the assessment system. Particular attention is paid to the context of digitalization in Kazakhstan, highlighting the critical importance of teachers acquiring relevant digital skills in light of government programs and regulations. To confirm the practical significance of the model, the results of the first stage of a large-scale empirical survey covering 1,352 teachers are presented. This survey convincingly demonstrated the high interest of the teaching community in mastering interactive lesson formats and implementing augmented reality (AR) and generative artificial intelligence (GenAI) technologies. The article also compares the proposed model with relevant foreign and domestic scientific research in the field of digital pedagogy, identifying common trends and specific challenges. The results of the first stage of the survey and their implication for further adaptation and improvement of the model are discussed. Prospects for further research are outlined, including the second stage of the survey, which will be conducted after the training module aimed at the development of interactive forms of learning and work with AR-technologies. Thus, the article is a contribution to the development of theoretical and methodological foundations for the formation of teachers' CK and their practical realization in the conditions of digital educational environment.

***Key words: digital** competencies, educators, cascade model, interactive lessons, augmented reality (AR), generative artificial intelligence (GenAI), empirical study.*

А.К. Шайханова*, Қ.Е. Икласова[2], Г.И. Аймичева[1], Лили Нурлияна Абдулла[3], И.М. Увалиева[4]

[1]Л.Н. Гумилев атындағы Еуразия ұлттық университеті,
10000 Қазақстан, Астана қ., Сәтбаев к-сі, 2
[2]М.Қозыбаев атындағы Солтүстік Қазақстан университеті,
Қазақстан Республикасы, Петропавл қ., Жұмабаев к-сі, 114
[3]Путра Малайзия университеті, Серданг,
Малайзия, Селангор штаты, Persiaran Putra Perdana
[4]Д. Серікбаев атындағы Шығыс Қазақстан техникалық университеті,
Қазақстан Республикасы, Өскемен қаласы, Серікбаев көшесі, 19
*e-mail: aigul.shaikhanova@gmail.com

ПЕДАГОГИКАЛЫҚ ПРАКТИКАҒА ИННОВАЦИЯЛЫҚ ЦИФРЛЫҚ ҚҰЗЫРЕТТЕРДІ ИНТЕГРАЦИЯЛАУ: AR ЖӘНЕ GENAI ҚОЛДАНЫЛҒАН КАСКАДТЫ МОДЕЛЬДІ ӘЗІРЛЕУ ЖӘНЕ ВАЛИДАЦИЯЛАУ

Бұл мақала педагогтардың цифрлық құзыреттерін (ЦҚ) қалыптастырудың каскадты моделін әзірлеуге және жан-жақты талдауға арналған. Модель жаһандық цифрландыру және Қазақстан Республикасындағы білім беруді дамыту жөніндегі ұлттық стратегия талаптарына жауап береді. Модель үш өзара байланысты кезеңнен тұрады: бірінші кезең – мотивациялық-мақсатты, әдіснамалық, мазмұндық-технологиялық және реттеуші-нәтижелік блоктарды қамтитын жүйелендірілген ЦҚ қалыптастыру үдерісі; екінші кезең – қалыптасқан ЦҚ-ны күнделікті педагогикалық қызметте тікелей қолдану; үшінші кезең – осы құзыреттердің білім алушылардың академиялық нәтижелеріне ықпалын бағалау.

Жұмыста модельдің әрбір кезеңіне терең талдау жасалады, принциптері, цифрлық экожүйесі, оқыту әдістері мен құралдары, сондай-ақ бағалау жүйесі сипатталады. Қазақстандағы цифрландыру контекстіне ерекше назар аударылады, мемлекеттік бағдарламалар мен нормативтік құжаттар аясында педагогтардың заманауи цифрлық дағдыларды игеруінің сыни маңыздылығы атап өтіледі. Модельдің практикалық маңыздылығын дәлелдеу үшін 1352 мұғалімді қамтыған кең ауқымды эмпирикалық зерттеудің алғашқы кезеңінің нәтижелері ұсынылады. Бұл сауалнама педагогикалық қауымдастықтың интерактивті сабақ форматтарын меңгеруге және толықтырылған шындық (AR) пен генеративті жасанды интеллект (GenAI) технологияларын енгізуге жоғары қызығушылығын айқын көрсетті.

Мақалада сондай-ақ ұсынылған модельдің шетелдік және отандық цифрлық педагогика саласындағы зерттеулермен салыстырмалы талдауы жүргізіліп, ортақ үрдістер мен ерекше сын-қатерлер айқындалады. Сауалнаманың алғашқы кезеңінің нәтижелері, олардың модельді бейімдеу мен жетілдіруге әсері талқыланады. Болашақ зерттеулердің келешегі, оның ішінде AR технологияларымен жұмыс істеуге және интерактивті оқыту формаларын дамытуға бағытталған оқыту модулінен кейін жүргізілетін сауалнаманың екінші кезеңі белгіленген.

Осылайша, мақала педагогтардың цифрлық құзыреттерін қалыптастырудың теориялық-әдіснамалық негіздерін дамытуға және оларды цифрлық білім беру ортасында практикалық іске асыруға үлес қосады.

Түйін сөздер: *цифрлық құзыреттер, педагогтар, каскадты модель, интерактивті сабақтар, толықтырылған шындық (AR), генеративті жасанды интеллект (GenAI), эмпирикалық зерттеу*

Сведения об авторах

Айгуль Кайрулаевна Шайханова* – PhD, ассоц. профессор кафедры информационной безопасности, ЕНУ им. Л.Н. Гумилева, Астана, Республика Казакстан; e-mail: aigul.shaikhanova@gmail.com. ORCID: https://orcid.org/0000-0001-6006-4813.

Кайнижамал Есимсеитовна Икласова – PhD, доцент кафедры «Информационно-коммуникационные технологии», Северо-Казахстанский университет имени М. Козыбаева, г. Петропавловск, Республика Казахстан; e-mail: keiklasova@ku.edu.kz. ORCID: https://orcid.org/0000-0002-8330-4282.

Гаухар Ислямовна Аймичева – PhD, и.о. асс.профессора кафедры информационной безопасности, ЕНУ им. Л.Н. Гумилева; Астана, Республика Казакстан; e-mail: aimicheva79@gmail.com. ORCID: https://orcid.org/0000-0002-0064-7862.

Лили Нурлияна Абдулла – PhD, ассоциированный профессор кафедры мультимедиа, факультет компьютерных наук и информационных технологий, Университет Путра Малайзия, Серданг, Селангор, Малайзия; e-mail: liyana@upm.edu.my. ORCID: https://orcid.org/0000-0001-8704-2390.

Индира Махмутовна Увалиева – PhD, ассоциированный профессор, Восточно-Казахстанский технический университет им. Д. Серикбаева; e-mail: iuvalieva@mail.ru. ORCID: https://orcid.org/0000-0002-2117-5390.

Авторлар туралы мәліметтер:

Айгүл Қайрулаевна Шайханова* – PhD, қауымдастырылған профессор, Ақпараттық қауіпсіздік кафедрасының профессоры, Л.Н. Гумилев атындағы Еуразия ұлттық университеті, Астана, Қазақстан Республикасы; e-mail: aigul.shaikhanova@gmail.com. ORCID: https://orcid.org/0000-0001-6006-4813.

Қайнижамал Есімсейітқызы Икласова – PhD, «Ақпараттық-коммуникациялық технологиялар» кафедрасының доценті, М. Қозыбаев атындағы Солтүстік Қазақстан университеті; Петропавл қ., Қазақстан Республикасы; e-mail: keiklasova@ku.edu.kz. ORCID: https://orcid.org/0000-0002-8330-4282.

Гаухар Ислямқызы Аймичева – PhD, қауымдастырылған профессор міндетін атқарушы, Ақпараттық қауіпсіздік кафедрасы, Л.Н. Гумилев атындағы Еуразия ұлттық университеті, Астана, Қазақстан Республикасы; e-mail: aimicheva79@gmail.com. ORCID: https://orcid.org/0000-0002-0064-7862.

Лили Нурлияна Абдулла – PhD, қауымдастырылған профессор, Мультимедиа кафедрасы, Компьютер ғылымдары және ақпараттық технологиялар факультеті, Путра Малайзия университеті, Серданг, Селангор, Малайзия; e-mail: liyana@upm.edu.my. ORCID: https://orcid.org/0000-0001-8704-2390.

Индира Махмұтқызы Увалиева – PhD, қауымдастырылған профессор, Д. Серікбаев атындағы Шығыс Қазақстан техникалық университеті, Өскемен, Қазақстан Республикасы; e-mail: iuvalieva@mail.ru. ORCID: https://orcid.org/0000-0002-2117-5390.

Information about the Authors:

Aigul Shaikhanova* – PhD, Associate Professor, Professor of the Department of Information Security, L.N. Gumilyov Eurasian National University; Astana, Republic of Kazakhstan; e-mail: aigul.shaikhanova@gmail.com. ORCID: https://orcid.org/0000-0001-6006-4813.

Kainizhamal Iklasova – PhD, Associate Professor of the Department of Information and Communication Technologies, M. Kozybayev North Kazakhstan University, Petropavlovsk, Republic of Kazakhstan; e-mail: keiklasova@ku.edu.kz. ORCID: https://orcid.org/0000-0002-8330-4282.

Gaukhar Aimicheva – PhD, Acting Assistant Professor, Department of Information Security, L.N. Gumilyov Eurasian National University, Astana, Republic of Kazakhstan; e-mail: aimicheva79@gmail.com. ORCID: https://orcid.org/0000-0002-0064-7862.

Lily Nurliana Abdullah – PhD, Associate Professor, Department of Multimedia, Faculty of Computer Science and Information Technology, Universiti Putra Malaysia, Serdang, Selangor, Malaysia; e-mail: liyana@upm.edu.my. ORCID: https://orcid.org/0000-0001-8704-2390.

Indira Uvalieva – PhD, Associate Professor, D. Serikbayev East Kazakhstan Technical University; Oskemen, Republic of Kazakhstan; e-mail: iuvalieva@mail.ru. ORCID: https://orcid.org/0000-0002-2117-5390.

Поступила в редакцию 20.08.2025
Поступила после доработки 21.09.2025
Принята к публикации 10.10.2025

https://doi.org/10.53360/2788-7995-2025-4(20)-13

CC BY 4.0
Check for updates

IRSTI: 20.01.07

T.K. Zhukabayeva[1,2,3], D.B. Baumuratova[1,2,*], L. Zholshiyeva[1,2], A. Karabay[2,4], K.A. Abdrakhmanov[1,2]

[1]Astana International University,
010000, Republic of Kazakhstan, Astana, Kabanbay batyr avenue, 8
[2]International science complex Astana,
010000, Republic of Kazakhstan, Astana, Kabanbay batyr avenue, 8
[3]Eurasian National University,
010000, Republic of Kazakhstan, Astana, 2 Satbaev st.
[4]South Kazakhstan Pedagogical University named after Ozbekali Zhanibekov,
160000, Republic of Kazakhstan, Shymkent, Baitursynov street №13
*e-mail: baumuratova.d@gmail.com

DIGITAL TRANSFORMATION FOR SUSTAINABLE DEVELOPMENT OF HIGHER EDUCATION

Abstract: *Digital transformation in higher education represents a comprehensive strategic process that transcends technological modernization and embraces institutional, managerial, and pedagogical innovations. This paper explores the evolution of digital transformation in Kazakhstan – from informatization and digitalization to a fully integrated transformation – based on a systematic analysis of 44 academic publications. The study proposes a structural model of university digital transformation, integrating three key dimensions: strategic management and institutional processes, technological ecosystems and pedagogical innovations, and the development of human capital. The findings demonstrate that digital transformation serves as a crucial framework for bridging the digital divide, enhancing institutional efficiency, and ensuring the sustainable development of higher education. Moreover, the proposed model contributes to the alignment of national digital policies with university strategies, reinforcing competitiveness and adaptability in the global digital environment. The study provides theoretical and practical insights for universities navigating digital transition toward sustainable growth.*

Key words: *digital transformation, digital education, digital transformation management, digital university, higher education, model of digital transformation, modern educational technologies, cases from leading universities, educational trends.*

Introduction

Digital transformation is a comprehensive, strategic process of implementation and integration of digital technologies, developed from the initial stage of «informatization» through «digitalization», as well as becoming a full fledged concept of digital transformation today [1]. While informatization is the introduction of data processing and storage tools, digitalization is the automation and optimization of traditional processes. Digital transformation involves even more extensive changes: along with technical processes, it radically changes institutional structures, organizational models, pedagogical practices, management approaches and culture. This process creates new values, contributes to the personalization of education and management, and the sustainable development of the digital economy and Education Society. The term «digital transformation» has entered scientific circulation since the early 2010s under the influence of the concepts of Industry 4.0 and the Digital Economy [2]. The lack of consistent and clear concepts regarding the areas of application of digital transformation indicates that this phenomenon is still theoretically developing and has a different interpretation in each area. In our work, studies of digital transformation in the field of higher education, especially in relation to educational processes in universities, are considered. Digital transformation in education is a fundamental change in educational processes through the integration of digital technologies. This changed traditional practice and opened up new opportunities for learning. Digital transformation is developing rapidly due to global events such as the COVID-19 pandemic, the impact of which is multifaceted: it has radically changed teaching methods, student experience and mechanisms for managing the education system [3]. Digital transformation in education is the process of introducing modern technologies aimed at improving the quality of data collection, management and reporting. Digital transformation creates personalized and interactive learning environments to meet the specific needs of students and enable teachers to use innovative methods effectively [4]. At the same time, the transformation will ensure that higher education institutions improve educational outcomes, increase institutional efficiency and adapt to technological changes [5].

As for the basics of digital transformation, this requires the use of a platform approach to solving urgent problems of universities. This approach, along with the creation of digital platforms adapted to specific subject areas, defines management levels i.e., it is divided into digital platforms at the strategic level; digital competence centers at the tactical level; project groups at the operational level. At the same time, each level is aimed at combining the educational and scientific environment of the University with technological solutions and providing a single, comprehensive strategy for digital transformation [6]. The essence of digital transformation in higher education is the integrated communication of information technologies to improve educational processes and results. The state program of the Republic of Kazakhstan «Digital Kazakhstan» defines five main directions, including the digitalization of economic sectors and the development of human capital [7]. Key aspects include the formation of intellectual capital, the development of IT education and adaptation to new conditions caused by the pandemic. In the course of studying the practical application of digital transformation in the system of Higher Education, a research question was identified: RQ: What is the impact of digital transformation on educational practice and institutional governance in Kazakhstani higher education institutions?

The research question determine the current state of the work done and allow us to evaluate scientific contributions on the topic of digital transformation. These research questions involve the systematization of previous results by analyzing the pillars and models of digital transformation used in education. The identification or adaptation of such models becomes the starting point for research in the field of education and opens the way to the formation of a scientific and practical basis for the effective implementation of digital transformation. The main goal of the study is a comprehensive analysis of the conceptual foundations and practices of digital transformation in universities and the provision of an adapted theoretical model taking into account universal trends and national characteristics. The scientific novelty of the study is expressed primarily in the systematization of the theoretical foundations of digital transformation in the field of higher education and the identification of its evolutionary features from the stages of «informatization» and «digitalization». At the same time, international and national practices are considered within the framework of a comparative analysis, their common areas and distinctive facets are determined. In addition, at the university level, an adapted theoretical model will be developed that can be used in strategic management, pedagogical practices and institutional structures. The structure of the study consists of three main

stages: first, the evolution and theoretical foundations of the concept of digital transformation are analyzed; then international and domestic practices are involved in comparative research; at the end, a theoretical model for universities is developed and practical mechanisms for its implementation are proposed.

2. Methodology of Related Work

The methodological basis of the study is scientific publications, international strategic documents and a systematic analysis of domestic experience in the digital transformation of Higher Education. This analysis is aimed at a comparative study of foreign and national approaches, identifying the scientific and theoretical foundations of digitalization of the educational environment. To achieve the goal, a qualitative methodological approach and Grounded Theory were used [8], which makes it possible to develop a conceptual model through a systematic analysis of empirical data. Grounded theory allows this study to identify patterns, dimensions, components, participants, and relationships between them, without pre-determined hypotheses, directly from the collected data. Data were collected and analyzed through a literature review and in the field of digital transformation. This approach ensures the validity of the obtained model and accurately reflects the structural model of the digital transformation of higher education. It also provides a solid basis for analyzing digitization strategies in academia. The main keywords in the study are presented in Table 1. This table shows the keywords used in the bibliographic search system of the study and their logical relationship.

Table 1 – Main keywords in the study

Main term	Relationship to the main term
digital transformation	framework for the digital transformation, model of digital transformation, case study digital transformation
higher education	digital education, digital University
Search string used	
((«digital transformation») OR («higher education») OR («model of digital transformation») OR («digital education») AND («case study digital transformation») OR («case study digital transformation») OR («framework for the digital transformation») OR («digital University»))	

The proposed methodology consists of five stages aimed at developing a theoretical model of digital transformation in higher education, identifying and analyzing its conceptual foundations, international and domestic experience. These stages are shown in Figure 1 and presented as a practical example. This diagram is a model that structurally represents the methodological basis of the research work.

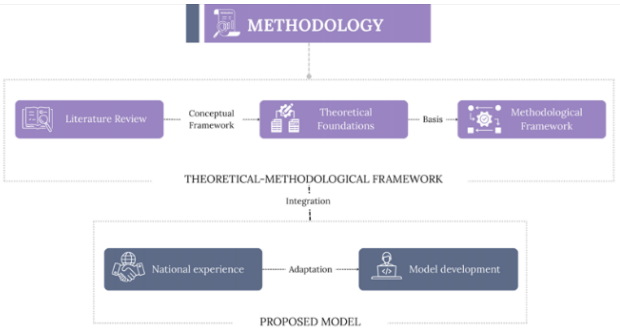


Figure 1 – Research methodology

The literature review was carried out according to the following steps: 1) search for articles using special keywords and phrases; 2) preliminary selection and filtering based on theses; 3) analysis of the relevance and availability of articles. As a result, 167 full text articles in open access (from the web of Science, Scopus and Google Scholar databases) were identified, published from 2020 to 2025. During the selection process, only research articles and conference materials were considered. 87 filtered articles were used to form the final analysis and literature review section. This stage made it possible to systematically map the initial studies. Figure 2 shows the total number of documents included in the selection – 87 articles. This visual infographic is a methodological diagram that describes the source database of the study and shows the stages of collecting, filtering, and analyzing bibliometric data.

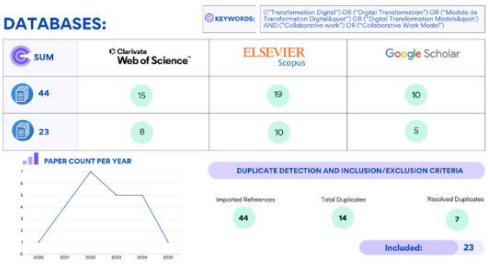


Figure 2 – Bibliometric search results and comparative analysis of databases on digital transformation

For a deeper understanding of the essence of digital transformation, its definitions, components, areas of application and technological foundations should be studied in detail. Although the term «digital transformation» is often used in modern research [9], it differs from the concepts of «digitization» and «digitalization». Digital transformation is a profound organizational change that takes place through the use of digital technologies and models to improve the operational efficiency of an organization. This concept includes the formation of a completely new system and model, and not limited to the automation of processes, as well as the revision of the business model, strategic directions and value proposition of the institution. And digitization implies the creation of a digital representation of physical objects, and digitalization is aimed at improving activities through the introduction of automated processes. The differences between these concepts are visualized in Figure 3, making it easier to understand. This diagram shows the step by step logic of digital development.

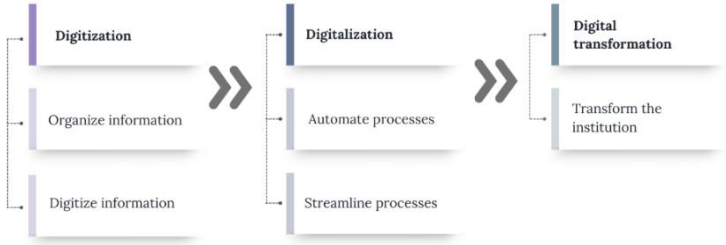


Figure 3 – Stages from digitization to digital transformation

Thus, the main features that characterize digital transformation are complexity, applicability and depth. Also, this analysis will determine the role of each technology in the education system, the gaming industry and professional training, and create a scientific basis for the effective use of their potential. Table 2 presents researchers definitions of digital transformation in higher education. The table 2 presents definitions of digital transformation in higher education given by various authors.

Table 2 – Digital transformation in higher education: meaning and interpretation

Reference	Definition of Digital Transformation in Higher Education Institutions
[10]	Digital transformation of Higher Education the introduction of new technologies aimed at improving and modernizing the practices, business models and processes of educational organizations.
[11]	The digital transformation of higher education is the integrated introduction of digital technologies in all areas of Educational, Research and knowledge dissemination activities of educational institutions.
[12]	Digital transformation in higher education is a phenomenon aimed at developing new approaches to value generation at the institutional level, providing a strategic response to processes arising under the influence of digital technologies.
[13]	The digital transformation in higher education is changing not only technology, but also the way universities operate.
[14]	The digital transformation of higher education is a significant transformation of traditional teaching and learning models as a result of the integration of technologies.

Results

Digital transformation in Kazakhstan. The introduction of digital technologies in Kazakhstan is aimed at improving the efficiency of public services, reducing bureaucratic barriers

and improving the quality of life of citizens. Admission to universities, accommodation in dormitories and registration of NUT (National Unified Testing) results were completely transferred to electronic format, and the convenience of processes reached 92%. Digital transformation has become not just a technological modernization, but an important tool for comprehensive reform of Public Administration [15]. This Figure 4 describes the staged development of digitization and digital transformation in Kazakhstan.

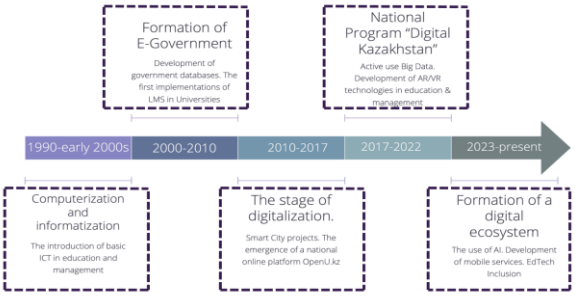


Figure 4 – Stages of development of digital transformation in Kazakhstan

Digital transformation will take place in two main directions [16]:

1) Traditional Approach – improvement of existing information systems and their gradual integration;

2) Platform approach – a radical update of management processes through the introduction of new technologies.

During this process, we focused on several key strategic tasks. These include the development of digital platforms and business models, improving the efficiency of Public Administration, promoting open government, promoting Smart Cities initiatives and strengthening infrastructure along with the national innovation system. These principles ensure the effectiveness, reliability and community oriented nature of digital transformation. They are aimed at increasing the transparency of Public Administration, strengthening citizens' confidence in the digital ecosystem, as well as improving the availability, security and quality of services.

Digital transformation in higher education in Kazakhstan. The COVID-19 pandemic has accelerated the revision of educational approaches and increased the demand for personnel with digital skills. According to Tableau, by 2025, 70% of workers will actively use data in their activities. This makes it relevant for Kazakhstan to prepare students for modern challenges [17]. The experience of digital transformation of universities in Kazakhstan, in comparison with foreign models, reveals a number of difficulties in the transition period. The results of the study divide the practice of digitalization into several categories, highlighting the need to improve online support, personalization and interaction. The article analyzes international practices and cites the strategies of Heriot-Watt University in Scotland as an advanced example. Global practice divides digitalization into three main areas: online support, personalization, and interaction. This analysis identifies gaps in these areas of Kazakhstani universities and shows the contribution of elements such as remote access, the creation of virtual learning environments and the development of web applications for online learning to the effective digital transformation of Higher Education [18].

The experience of digital transformation of universities in Kazakhstan is formed within the framework of the state program «Digital Kazakhstan», the main goal of which is to improve the quality of education through digitalization. The study revealed a number of complex problems that arise in adapting to the requirements of post industrial society and increasing competitiveness. The Global Competitiveness Index indicates the need to develop a set of strategic measures to ensure the effectiveness of the higher education system. The current situation underlines the importance of implementing systematic initiatives at the institutional level for the effective introduction of digital technologies in education and overcoming existing barriers [19]. K. Akatov (2022) [20] noted that, as part of promising initiatives, the Ministry of Science and Higher Education plans to implement a digital university model. This model is designed to transform the university’s core and management processes through digital technologies. The specified model allows students to widely use personalized learning paths and courses, modern tools and online platforms. Figure 5 illustrates the «Digital university» model in Kazakhstan. This diagram illustrates the concept of the Digital University Model and highlights the four main components of a modern higher education system.

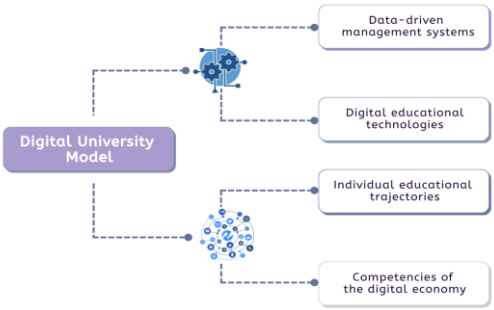


Figure 5 – Digital university model (Kazakhstan model) [20]

The results of the study showed that the experience of digital transformation of Kazakhstani universities includes the integration of modern technologies into teaching processes. This transformation is part of large scale reforms aimed at improving the quality of education and strengthening institutional efficiency. It was also noted that state policy and international cooperation played an important role in facilitating the process of digital transition. Such steps have made a significant contribution to improving academic standards and improving students ' academic achievement. Constant attention to these areas will overcome existing gaps and create the necessary prerequisites for the development of the higher education system in Kazakhstan [21].

The experience of digital transformation of Kazakhstani universities reveals the significant potential of online platforms and digital technologies in improving the quality and accessibility of Education. Currently, national and international projects aimed at the development of online education are being implemented. The results of the study prove that online courses can increase students ' motivation and contribute to improving their performance. However, there are still issues such as insufficient content quality, technical difficulties and social isolation. Overcoming these barriers is crucial for the effective implementation of digital technologies and the full use of their capabilities [22]. The success of digital transformation directly depends on the acquisition of the necessary competencies by university employees. Universities should prioritize improving the professional level of teachers by using digital educational resources and mastering new teaching methods. This ensures their flexible adaptation to innovative technologies and increases their competitiveness [23].

Digital transformation in Kazakhstan is developing in four main directions: 1) the state strategy and legal framework are being formed within the framework of «Digital Kazakhstan» and long term programs until 2030; 2) infrastructure and technologies: 5G, broadband internet, data centers, cloud solutions, IoT and artificial intelligence are being intensively introduced; 3) Personnel potential: digital competencies are being developed through IT education, retraining courses and innovation centers; 4) socio-economic: electronic services, the growth of the digital economy, support for startups and increased transparency of government processes. Figure 6 shows the main directions of digital transformation in Kazakhstan, strategy and policy, technology, social outcomes and competencies, along with their interrelationships and constituent elements. These measures will ensure comprehensive digitalization and contribute to the sustainable development of the country in the global digital economy. The diagram depicts digital transformation at the national level in terms of governance, infrastructure, human capital, and social efficiency.

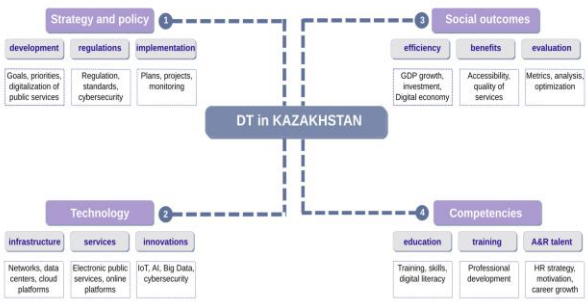


Figure 6 – Main directions of digital transformation in Kazakhstan

However, the rapid development of digital transformation can have a negative impact on traditional teaching methods: over reliance on technology is likely to reduce face to face communication and make it difficult to acquire practical skills. Therefore, the combination of quantitative and traditional methods is decisive for the integrated development of Education. Kazakhstan universities need to implement initiatives while maintaining a balance between technological capabilities and academic traditions.

Discussion

The digital transformation of universities is a multifaceted and continuous process that extends beyond the mere introduction of new technologies to encompass structural, cultural, and strategic transformations. This study conceptualizes digital transformation as a systemic and holistic phenomenon that integrates management, the technological ecosystem, and pedagogical innovation within the higher education system. While previous research has often addressed isolated aspects such as digital infrastructure, online learning environments, or e-governance, this study provides a comprehensive examination of their interrelationships. The scientific significance of the research lies in the development of a comprehensive structural model that bridges theoretical foundations and practical applications of digital transformation in higher education. Figure 7 presents a structural logical model of digital transformation in Kazakhstan's higher education system, illustrating the core directions and their interconnections based on the proposed extended framework. The model demonstrates the interaction among three key dimensions strategic management, the technological ecosystem, and pedagogical innovation thereby expanding the theoretical understanding of digital transformation and establishing a methodological basis for its practical implementation in universities.

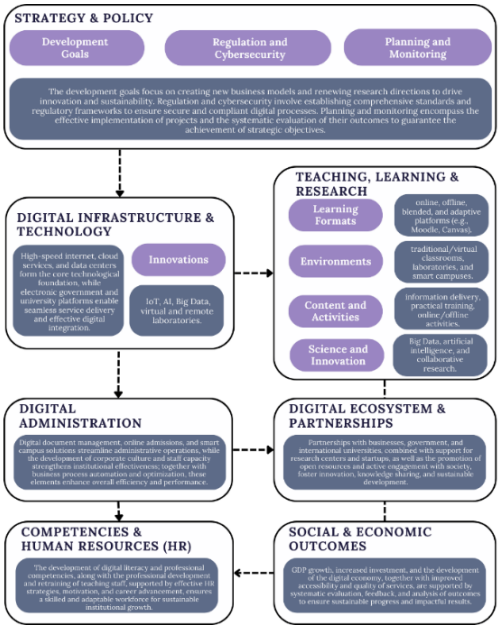


Figure 7 – Structural model of digital transformation of higher education

Importantly, this structural model also reflects the sustainable development perspective of higher education. Digital transformation contributes to the long term sustainability of universities by enhancing institutional resilience, promoting inclusivity, and supporting continuous human capital development. Through intelligent governance, efficient resource management, and digital competencies, universities strengthen their adaptability to global challenges while maintaining educational quality and accessibility. In this sense, digital transformation is not only a technological or organizational modernization but also a strategic mechanism for ensuring the sustainable development of higher education, aligning with the Quality Education, Industry, Innovation, and Infrastructure. Furthermore, the model ensures coherence between national digitalization policies (such as the Digital Kazakhstan program) and institutional strategies, thus fostering a balance between stability and adaptability in the ongoing transformation of higher education.A comparative analysis of Kazakhstani practices has revealed several distinct advantages of the proposed model. Its primary strength lies in the integration of technological modernization with pedagogical transformation, positioning the university not merely as a consumer of technology, but as a formative

and innovative agent within the broader educational ecosystem. By placing human capital development at the center of digital transformation, the model enhances its practical relevance, fostering a learning environment that promotes digital literacy, professional growth, and innovative thinking.

From a theoretical perspective, this study deepens the understanding of digital transformation as a multi-level, iterative, and interdependent process. It reconceptualizes digitalization not solely as a technological phenomenon, but as a strategic and socio-pedagogical paradigm, thereby establishing a new scientific approach that functions as a mechanism for the sustainable development of higher education. From a practical standpoint, the proposed model provides universities with a diagnostic and developmental tool that enables them to evaluate their level of digital maturity, identify systemic weaknesses, and formulate targeted measures to enhance institutional performance and adaptability.

Overall, the findings of this research confirm that the success of digital transformation in higher education depends not only on infrastructure and policy frameworks, but also on the harmonious interaction between technological capacity, institutional leadership, and human potential. The model proposed in this study is distinguished by its scientific novelty and applied value, serving as a strategic framework for achieving sustainable digital transformation in Kazakhstani universities and contributing to the country's long term educational and socio-economic advancement.

Conclusion

Research shows that digital changes in higher education are not limited to the introduction of new technologies. It also requires a radical update of the University's management system, teaching methods and organizational work in general. An analysis of the International and Kazakhstan experience showed that for successful changes, it is important to maintain a balance of world trends and national characteristics. The proposed model includes three main areas: strategic management of the University and regulation of internal processes; development of technological systems; pedagogical innovations, that is, increasing the competence of teachers and improving students knowledge. This model not only helps to reduce the digital gap and improve the efficiency of the university, but also to adapt them to the global digital environment and make them more competitive. For Kazakhstan, alignment between state policy and institutional initiatives is essential to achieve a sustainable digital university model.

In the future, it is planned to analyze the experience of digital transformation in universities in Kazakhstan using the methods of empirical research, scenario modeling and Case Analysis. Thus, digital transformation in higher education is, on the one hand, a great opportunity, on the other hand, a serious challenge, as it radically changes the functioning of universities and opens the door to the formation of new educational practices. Combining international best practices with national strategies, Kazakhstan can develop competitive and innovative universities and give a significant impetus to the digital economy and sustainable development of the country.

In conclusion, digital transformation must be regarded as a continuous, adaptive, and holistic process whose success depends on the strategic integration of technology, governance, and pedagogy. This integrated approach ensures the sustainable development of higher education, reinforcing Kazakhstan's role in the global knowledge economy and supporting its transition toward an innovative and inclusive digital society.

References

1. A state of the art literature review on digital transformation / E. Haktanır et al // Intelligent Systems in Digital Transformation: Theory and Applications. – 2022. – P. 3-31.
2. Nevmatulina K.A. Digitalization of the economy in the context of globalization and its impact on socio-cultural transformation of society / K.A. Nevmatulina, N. Nabiyev, S.S. Shakeyev // ECONOMIC Series of the Bulletin of the LN Gumilyov ENU. – 2022. – № 2.
3. Apatova N.V. Digital transformations of business and society / N.V. Apatova // Bulletin of Tver State University. Series: Economics and management. – 2022. – № 4. – P. 60.
4. Bui T.T. The survey of digital transformation in education: A systematic review / T.T. Bui, T.S. Nguyen // International Journal of TESOL & Education. – 2023. – T. 3, № 4. – P. 32-51.
5. A Review of the Digital Transformation Landscape in Higher Education Institutions / R. Halkhoree et al // 2024 1st International Conference on Smart Energy Systems and Artificial Intelligence (SESAI). – IEEE, 2024. – P. 1-6.

6. Martyakova E. Platform approach to the digital transformation of universities / E. Martyakova, E.N. Gorchakova // Economics of construction and nature management. – 2021. – № 3 (80). – P. 118-123.
7. Vasic B. Digital Transformation Of Higher Education: Challenges Of The Time / B. Vasic, Z.I. Sardarova, G.N. Kismetova // Journal of Educational Sciences (2520-2634). – 2024. – Т. 81, № 4.
8. Turner C. Grounded theory: what makes a grounded theory study? / C. Turner, F. Astin // European Journal of Cardiovascular Nursing. – 2021. – Т. 20. – № 3. – P. 285-289.
9. Kang L. Progress and prospect of digital transformation of higher education in China: Bibliometric and visualized analysis / L. Kang, X. Xu // Journal of Adult and Continuing Education. – 2025. – Т. 31, № 1. – P. 109-134.
10. Alenezi M. Deep dive into digital transformation in higher education institutions / M. Alenezi // Education Sciences. – 2021. – Т. 11, № 12. – P. 770.
11. Gkrimpizi T., Peristeras V., Magnisalis I. Defining the meaning and scope of digital transformation in higher education institutions / Gkrimpizi T., Peristeras V., Magnisalis I. // Administrative Sciences. – 2024. – Т. 14, № 3. – P. 48.
12. Husain N.E. Digital Transformation in Higher Education Institutions in a Limited-resource Setting: A Luxury or a Must Despite Challenges? / N.E. Husain // Sudan Journal of Medical Sciences. – 2022. – Т. 17, № 1. – P. 1-3.
13. Saravanakumar A.R. D., Digital Innovation, Transformation and Disruption of Higher Education / A.R. Saravanakumar, M. Ojha, Vinod M. Baskaran // SVDES Book Series. ISBN: 978-93-91842-46-8. 2022. ISBN: 978-93-91842-46-8 http://dx. doi. org/10.52458/9789391842 468.2022. eb. – 2022.
14. Qolamani K.I. The digital revolution in higher education: Transforming teaching and learning / K.I.B. Qolamani, M.M. Mohammed // Qalamuna: Jurnal Pendidikan, Sosial, dan Agama. – 2023. – Т. 15, № 2. – P. 837-846.
15. Digital transformation in Kazakhstan: how new technologies are changing the lives of citizens. – URL: https://www.gov.kz/memleket/entities/mdai/press/news/details/946343?lang=ru.
16. On approval of the Concept of digital transformation, development of the information and communication technology industry and cybersecurity for 2023–2029. Resolution of the Government of the Republic of Kazakhstan dated March 28, 2023 No. 269. — URL: https://adilet.zan.kz/kaz/docs/P2300000269#z43.
17. Digital transformation in higher education. URL: https://primeminister.kz/en/news/digital-transformation-in-higher-education-29245.
18. Kazakhstani and Foreign Experience of University Digitalization / G. Berdykulova et al // International Journal of Information and Communication Technologies. – 2022. – Vol. 3, № 3. – P. 48-57.
19. Application of collaborative filtering for forecasting and diagnosing educational results of future civil engineers / Yu.A. Tashkinov et al // ВВК 74.58 ya43. – 2020. – P. 61.
20. The Digital University Model, 14.12.2022. — URL: https://ortcom-kz.translate.goog/kk/novosti/1670993815?_x_tr_sl=kk&_x_tr_tl=ru&_x_tr_hl=ru&_x_tr_pto=sc.
21. Transformation of universities in Kazakhstan: Research outcomes on the quality of higher education / A. Azhibayeva et al // Journal of Infrastructure, Policy and Development. – 2024. – Т. 8, № 10. – P. 6844.
22. Balmagambetova F. Use of online platforms and digital technologies in the higher education system of the Republic of Kazakhstan / F. Balmagambetova, R. Seilova, V. Kubieva // 3i: intellect, idea, innovation-intellect, idea, innovation. – 2023. – № 3. – P. 157-168.
23. Zhilkishbaev A. In the international agenda of digital transformation: analysis of the concept and processes of digitalization of Abai KazNPU // Pedagogy and Psychology. – 2021. – V. 47, № 2. – P. 5-17.

Acknowledgment

This research has been/was/is funded by the Committee of Science of the Ministry of Science and Higher Education of the Republic of Kazakhstan (Grant №BR28713531 Intelligent digital system of higher and postgraduate education organizations Smart.EDU).

Т.К. Жукабаева[1,2,3], Д.Б. Баумуратова[1,2*], Л. Жолшиева[1,2], А. Карабай[2,4], К.А. Абдрахманов[1,2]
[1]Астана Халықаралық Университеті,
010000, Қазақстан Республикасы, Астана, Қабанбай батыр даңғылы, 8
[2]Астана халықаралық ғылыми кешені,
010000, Қазақстан Республикасы, Астана, Қабанбай батыр даңғылы, 8
[3]Еуразия Ұлттық Университеті,
010000, Қазақстан Республикасы, Астана, Сәтбаев к-сі, 2
[4]Ө.Жәнібеков атындағы Оңтүстік Қазақстан педагогикалық университеті,
010000, Қазақстан Республикасы, Шымкент, А. Байтұрсынов көшесі №13
*e-mail: baumuratova.d@gmail.com

ЖОҒАРЫ БІЛІМ БЕРУДІ ТҰРАҚТЫ ДАМЫТУ ҮШІН ЦИФРЛЫҚ ТРАНСФОРМАЦИЯ

Жоғары білім саласындағы цифрлық трансформация тек технологиялық жаңғыртумен шектелмейтін стратегиялық және кешенді өзгеріс болып табылады, ол институционалдық құрылымдарды, басқару тәжірибелерін және педагогикалық тәсілдерді қамтиды. Бұл зерттеу жұмысында біз Қазақстандағы цифрлық трансформацияның эволюциясын, атап айтқанда информатизациядан және цифрландырудан толыққанды трансформацияға дейін 44 жарияланымды (оның ішінде 23 зерттеуді) жүйелі талдау арқылы қарастырамыз. Алынған нәтижелер университеттердің цифрлық трансформациясының құрылымдық моделін ұсынамыз, сонымен қатар цифрлық трансформация үш аспектіні біріктіреді: стратегиялық басқару мен институционалдық процестер, технологиялық экожүйелер мен педагогикалық инновациялар, сондай-ақ адами капиталды дамыту болып табылады. Бұл модель цифрлық алшақтықты азайтуға, институционалдық тиімділік пен бәсекеге қабілеттілікті арттыруға арналған негіз ретінде қызмет етеді.

Түйін сөздер: цифрлық трансформация, цифрлық білім беру, цифрлық трансформацияны басқару, цифрлық университет, жоғары білім, цифрлық трансформация моделі, заманауи білім беру технологиялары, жетекші университеттердің кейстері, білім беру *үрдістері.*

Т.К. Жукабаева[1,2,3], Д.Б. Баумуратова[1,2*], Л. Жолшиева[1,2], А. Карабай[2,3], К.А. Абдрахманов[1,2]
[1]Международный Университет Астана,
Республика Казахстан, Астана, проспект Кабанбай батыра, 8
[2]Международный научный комплекс Астана,
Республика Казахстан, Астана, проспект Кабанбай батыра, 8
[3]Евразийский Национальный Университет,
Республика Казахстан, Астана, улица Сатпаева, 2
[4]Южно-Казахстанский педагогический университет им. Өзбекәлі Жәнібеков,
Республика Казахстан, Шымкент, улица А.Байтурсынова, 13
*e-mail: baumuratova.d@gmail.com

ЦИФРОВАЯ ТРАНСФОРМАЦИЯ ДЛЯ УСТОЙЧИВОГО РАЗВИТИЯ ВЫСШЕГО ОБРАЗОВАНИЯ

Цифровая трансформация в высшем образовании представляет собой стратегический и комплексный сдвиг, выходящий за рамки простой технологической модернизации и охватывающий институциональные структуры, управленческие практики и педагогические подходы. В данной исследовательской работе мы рассмотрим эволюцию цифровой трансформации в Казахстане, в частности, от информатизации и оцифровки до полноценной трансформации посредством системного анализа 44 публикаций (в том числе 23 исследования). Полученные результаты представляют собой структурную модель цифровой трансформации университетов, при этом цифровая трансформация объединяет три аспекта: стратегическое управление и институциональные процессы, технологические экосистемы и педагогические инновации, а также развитие человеческого капитала. Эта модель служит основой для сокращения цифрового разрыва, повышения институциональной эффективности и конкурентоспособности.

Ключевые слова: цифровая трансформация, цифровое образование, управление цифровой трансформацией, цифровой университет, высшее образование, модель цифровой трансформации, современные образовательные технологии, кейсы ведущих университетов, образовательные процессы.

Сведения об авторах

Тамара Жукабаева – PhD, профессор Евразийского национального университета имени Л.Н. Гумилева, Астана, Казахстан; e-mail: tamara.kokenovna@gmail.com. ORCID: https://orcid.org/0000-0001-6345-5211.

Диларам Баумуратова* – PhD, старший преподаватель, Педагогический институт Международного университета Астана, Астана, Казахстан; e-mail: baumuratova.d@gmail.com. ORCID: https://orcid.org/0009-0009-4621-1886.

Ляззат Жолшиева – PhD, старший преподаватель Высшей школы информационных технологий и инженерии Международного университета Астана, Казахстан; e-mail: lazzatzholshy@gmail.com. ORCID: https://orcid.org/0000-0002-2526-8471.

Акерке Карабай – PhD-докторант кафедры компьютерных наук Южно-Казахстанского педагогического университета имени О. Жанибекова, Шымкент, Казахстан; e-mail: akerke.99.09.22@mail.ru. ORCID: https://orcid.org/0009-0004-1509-4422.

Кайрат Абдрахманов – вице-президент по международному сотрудничеству и делам студентов Международного университета Астана, Казахстан; e-mail: kairat.amangeldyuly@gmail.com. ORCID: https://orcid.org/0000-0002-7387-7191.

Авторлар туралы мәліметтер

Тамара Жукабаева – PhD, Л.Н. Гумилев атындағы Еуразия ұлттық университетінің профессоры, Астана, Қазақстан; e-mail: tamara.kokenovna@gmail.com. ORCID: https://orcid.org/0000-0001-6345-5211

Диларам Баумуратова* – PhD, Астана халықаралық университетінің Педагогикалық институтының аға оқытушысы, Астана, Қазақстан; e-mail: baumuratova.d@gmail.com. ORCID: https://orcid.org/0009-0009-4621-1886.

Ляззат Жолшиева – PhD, Астана халықаралық университетінің Ақпараттық технологиялар және инженерия жоғары мектебінің аға оқытушысы, Астана, Қазақстан; e-mail: lazzatzholshy@gmail.com. ORCID: https://orcid.org/0000-0002-2526-8471.

Акерке Карабай – PhD докторант, О. Жанибеков атындағы Оңтүстік Қазақстан педагогикалық университетінің компьютерлік ғылымдар кафедрасы, Шымкент, Қазақстан; e-mail: akerke.99.09.22@mail.ru. ORCID: https://orcid.org/0009-0004-1509-4422.

Қайрат Абдрахманов – Астана халықаралық университетінің халықаралық ынтымақтастық және студенттер ісі жөніндегі вице-президенті, Астана, Қазақстан; e-mail: kairat.amangeldyuly@gmail.com. ORCID: https://orcid.org/0000-0002-7387-7191.

Information about the authors

Tamara Zhukabayeva – PhD, Professor at L.N. Gumilyov Eurasian National University, Astana, Kazakhstan; e-mail: tamara.kokenovna@gmail.com. ORCID: https://orcid.org/0000-0001-6345-5211

Dilaram Baumuratova* – PhD, Senior Lecturer, Pedagogical Institute, Astana International University, Astana, Kazakhstan; e-mail: baumuratova.d@gmail.com. ORCID: https://orcid.org/0009-0009-4621-1886

Lazzat Zholshiyeva – PhD, Senior Lecturer, School of Information Technology and Engineering, Astana International University, Astana, Kazakhstan; e-mail: lazzatzholshy@gmail.com. ORCID: https://orcid.org/0000-0002-2526-8471.

Akerke Karabay – PhD student, Department of Computer Science, O. Zhanibekov South Kazakhstan Pedagogical University, Shymkent, Kazakhstan; e-mail: akerke.99.09.22@mail.ru. ORCID: https://orcid.org/0009-0004-1509-4422.

Kairat Abdrakhmanov – Vice President for International Cooperation and Student Affairs, Astana International University, Astana, Kazakhstan; e-mail: kairat.amangeldyuly@gmail.com. ORCID: https://orcid.org/0000-0002-7387-7191.

Received 19.09.2025
Revised 24.10.2025
Accepted 28.10.2025

https://doi.org/10.53360/2788-7995-2025-4(20)-14

BY 4.0
Check for updates

МРНТИ: 59.45.37

П.М. Рахметова[1], Д.Д. Даулетия[2], А.Н. Ешмухаметов[3*]
[1]Satbayev University,
050000, Республика Казахстан, г.Алматы, ул. Сатпаева 22
[2]Astana IT University,
010000, Республика Казахстан, г.Астана, проспект Мангилик Ел, 55/11
[3]Nazarbayev University,
010000, Республика Казахстан, г.Астана, пр. Кабанбай батыра, 53
*e-mail: azamat.yeshmukhametov@nu.edu.kz

РАЗРАБОТКА И ИССЛЕДОВАНИЕ СИСТЕМЫ ОБНАРУЖЕНИЯ И КОНТРОЛЯ ВНУТРИТРУБНЫХ ДЕФЕКТОВ

Аннотация: *Целостность и безопасность трубопровода критически важны для транспортировки воды, нефти и газа, однако традиционные методы контроля требуют значительных ресурсов и подвержены ошибкам, что задерживает выявление дефектов и повышает риски. Современные технологии мониторинга нуждаются в улучшении для повышения эффективности диагностики и снижения затрат. Целью данной работы является создание автономной роботизированной системы, способной обнаруживать, локализовать и классифицировать проблемы внутри трубы, используя сложные методы визуализации и алгоритмы искусственного интеллекта. Для достижения этой цели использовались многомодальные датчики повышения точности (камеры RGB высокого разрешения, ультразвуковые и инфракрасные датчики) с методами обработки данных, такими как детектор краев Canny и алгоритм кластеризации DBSCAN. Практическое применение данной работы очень полезно для целостности и безопасности критически важных трубопроводных инфраструктур, транспортирующих воду, нефть, газ. Исследовательские подходы включают создание модульной роботизированной платформы для автономной навигации, создание синтетических данных для обучения глубоких нейронных сетей и экспериментальную проверку на трубопроводах из различных материалов и размеров. Экспериментальные результаты показывают, что система значительно превосходит существующие подходы, снижая время на обнаружение дефектов, что делает ее ценным инструментом для профилактического обслуживания, соблюдения нормативных требований и повышения безопасности трубопроводов.*

Ключевые слова: *внутритрубная инспекция, обнаружение и классификация дефектов, искусственный интеллект, машинное обучение, обработка изображений.*

Введение

В условиях стремительного развития промышленности и увеличения протяжённости трубопроводных сетей обеспечение их надёжности и безопасности становится одной из ключевых задач современной инфраструктуры. Аварии на трубопроводах могут привести к значительным экономическим потерям, экологическим катастрофам и угрозе жизни людей. Поэтому своевременное выявление дефектов и предотвращение аварийных ситуаций является критически важным. Традиционные методы инспекции, основанные на визуальном осмотре и ручной диагностике, часто требуют значительных ресурсов и не всегда обеспечивают необходимую точность, особенно в труднодоступных или экстремальных условиях эксплуатации.

На этом фоне разработка интеллектуальных систем распознавания дефектов внутри труб приобретает особую актуальность. Современные подходы, основанные на робототехнике, искусственном интеллекте и методах машинного обучения, открывают новые возможности для автоматизации инспекций, повышения точности диагностики и снижения эксплуатационных рисков.

В научной деятельности представлено множество решений, направленных на повышение эффективности инспекционных систем. Так, в работе [1] представили интеллектуального робота для инспекции труб, оснащенного встроенной системой привода двигателя в сочетании с модулем обнаружения дефектов на базе искусственного интеллекта. Такая конструкция повышает маневренность и устойчивость в трубах разного диаметра, что

позволяет проводить комплексные инспекции. Аналогичным образом в работе [2] разработали внутритрубного мобильного робота, оснащенного возможностями обнаружения дефектов на базе искусственного интеллекта, подчеркивая модульность и адаптивность к различным условиям трубопровода. Работа [3] сосредоточились на разработке инспекционных роботов для водопроводных труб большого диаметра, решая такие проблемы, как навигация и энергоэффективность. Их работа подчеркивает важность адаптации роботизированных платформ к конкретным условиям трубопроводов для оптимизации производительности. Кроме того, в работе [4] исследована стратегии автономной навигации с помощью контактных датчиков, что позволяет роботу уверенно перемещаться даже по сложным сетям трубопроводов. Все эти разработки показывают, как простые механические устройства эволюционировали в автономные роботизированные системы, требующие минимального участия человека. В работе [5] использовали стохастический резонанс осцилляторов Дуффинга в сочетании с ультразвуковыми направленными волнами для обнаружения дефектов в трубных конструкциях. Этот метод повышает чувствительность и точность идентификации дефектов, особенно для подповерхностных дефектов, которые нелегко обнаружить только с помощью визуального осмотра. В работе [6] использовали методы улучшения подводных изображений в сочетании с улучшенной структурой YOLOX (You Only Look Once, eXtended) для автоматического обнаружения дефектов труб водоснабжения. Их подход использует возможности визуализации с высоким разрешением и обработки в реальном времени для выявления и классификации дефектов с высокой точностью. Аналогичным образом, в [7] разработали надежную структуру сегментации экземпляров, специально разработанную для обнаружения дефектов подземной канализации, интегрируя несколько модальностей датчиков для повышения надежности обнаружения в сложных условиях окружающей среды.

Искусственный интеллект и машинное обучение произвели революцию в распознавании дефектов, обеспечив автоматизированный, точный и эффективный анализ данных осмотра. В [8] представили глубокую нейронную сеть для проверки нефтегазовых трубопроводов, где с помощью свёрточных нейронных сетей (CNN) можно классифицировать и локализовать дефекты с высокой точностью. В [9] предложили иерархическую структуру глубокого обучения, умеющую распознавать различные типы дефектов и оценивать их серьёзность. А в работе [10] дополнительно улучшили распознавание дефектов поверхности металла с помощью исправления изображений и создания синтетических дефектов, которые дополняют наборы данных для обучения и повышают устойчивость модели к различным шаблонам дефектов.

Постановка задачи. Несмотря на достижения в робототехнике и методах искусственного интеллекта, остаются трудности с адаптацией к разным условиям, оперативной обработкой данных и стабильным распознаванием дефектов. Цель работы в этой сфере – создать продвинутую систему, способную точно выявлять, классифицировать и оценивать повреждения труб, обеспечивая безопасность эксплуатации, предотвращая аварии и снижая расходы на обслуживание.

Методы и методология

Объектом исследования является разработка и внедрение автономной роботизированной системы, способной точно обнаруживать и классифицировать дефекты в инфраструктурах трубопроводов. Эта система объединяет передовые методы обработки изображений, такие как детектор краев Canny и кластеризация DBSCAN, с алгоритмами глубокого обучения для выявления аномалий, таких как коррозия, трещины, отверстия и посторонние вещества в режиме реального времени. Объединяя данные многомодальных датчиков с RGB-камер высокого разрешения, ультразвуковых датчиков и инфракрасных (ИК) датчиков, система предназначена для эффективной работы в различных средах трубопроводов, в том числе с различными диаметрами, материалами и условиями окружающей среды.

Теоретические методы. Разработка эффективной системы для выявления и обследования дефектов внутри труб строится на теоретической базе, включающей робототехнику, искусственный интеллект, обработку сигналов и компьютерное зрение. Система использует принципы автономной навигации робота, опираясь на кинематику и ПИД-регулятор, чтобы точно перемещаться в ограниченном пространстве трубопровода. В распознавании дефектов ключевую роль играют методы глубокого обучения прежде всего

сверточные нейронные сети (CNN), помогающие точно классифицировать изображения и находить аномалии. Дополнительно задействуются методики обработки сигналов, такие как детектор краев Canny и кластеризация DBSCAN, для улучшения извлечения признаков и пространственного анализа.

Аппаратные компоненты. Аппаратная часть системы специально создана для работы в сложных условиях трубопровода, обеспечивая высокую эффективность. В её основе лежит мобильная роботизированная платформа со встроенным приводом двигателя (согласно работам [1] и [2]), что даёт роботу манёвренность в трубах разного диаметра и формы. Он оснащён датчиками разных типов: RGB-камерами высокого разрешения и LiDAR (RealSense L515 с дальностью 0,25-9 м и разрешением 1024×768 при 30 к/с) для визуальной проверки, ультразвуковыми сенсорами для поиска скрытых дефектов, инфракрасными (ИК) датчиками для выявления тепловых аномалий и акустическими преобразователями для обнаружения утечек и засоров. Все эти сенсоры подключены к встроенным вычислительным модулям (графическим и обычным процессорам), которые обрабатывают данные в реальном времени и выполняют задачи обнаружения дефектов. Наконец, модуль связи обеспечивает постоянный обмен информацией с внешними системами мониторинга, позволяя непрерывно получать данные [9].

Программные инструменты. Ключевой частью робота для осмотра и обслуживания труб является выявление в реальном времени аномалий, таких как коррозия, инородные объекты, отверстия и прочие дефекты. Для этого применяются детектор краев Canny и алгоритм кластеризации DBSCAN. Сначала изображения переводят в цветовое пространство HSV и создают маски, которые выделяют определённые цвета, указывающие на дефекты. Затем маски расширяют, а изображение сглаживают с помощью размытия по Гауссу. Детектор краев Canny помогает найти контуры, и из полученных областей извлекают признаки вроде площади и ограничивающих рамок. Похожие аномалии группируют кластеризацией DBSCAN, а результаты визуализируют с помощью ограничивающих рамок и меток в OpenCV и scikit-learn. Такой комбинированный подход позволяет оперативно обнаруживать и помечать значимые дефекты, игнорируя несущественные шероховатости [2].

Результаты

Для надёжного обнаружения и оценки дефектов трубопровода был создан модульный цилиндрический робот с регулируемыми треками, которые постоянно соприкасаются с внутренней поверхностью трубы. На рисунке 1 представлена CAD-модель (слева) и фотографии прототипа (справа). Каждая сборка треков включает в себя двигатель постоянного тока, соединённый через коническую передачу, ведущие колёса и направляющие колёса для поддержания сцепления. Три связанных рычага могут сдвигаться или раздвигаться, чтобы приспосабливаться к разным диаметрам труб, предотвращая проскальзывание и обеспечивая устойчивое движение.

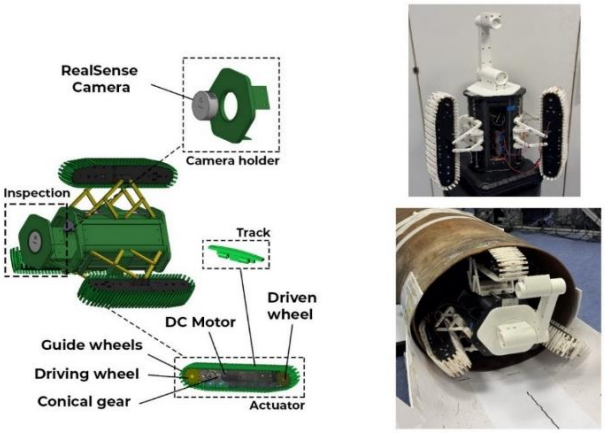


Рисунок 1 – Робот для внутритрубного контроля и обнаружения [2]

На рисунке 1 показано, что фронтальная камера RealSense, закреплённая в специальном держателе, одновременно собирает визуальные и глубинные данные. Это даёт возможность в реальном времени находить трещины, коррозию и другие структурные дефекты.

Расширенные алгоритмы обнаружения дефектов, использующие RGB-видеопоток в реальном времени и глубинное сканирование, значительно повышают возможности по выявлению, классификации и локализации различных аномалий в трубопроводах. Как показано на рисунке 2 (a-d) система сначала получает цветные (RGB) изображения, позволяя анализировать изменения цвета и интенсивности прямо во время инспекции.

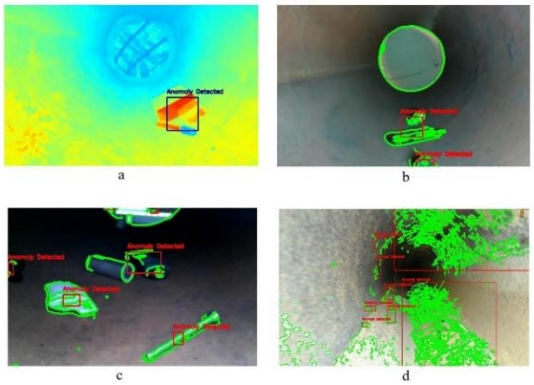


Рисунок 2 – Обнаружение и классификация различных аномалий внутритрубных дефектов

На рисунке 2(a) показано RGB-изображение внутренней части трубопровода. Система автоматически отмечает подозрительные объекты ограничивающими рамками с надписью «Обнаружена аномалия», анализируя изменения цвета и интенсивности. На рисунке 2(b) зелеными контурами отмечено круглое сечение трубы, а красные рамки выделяют аномалии. RGB-данные позволяют четко отделять стенку трубы от посторонних объектов по цвету и форме. На рисунке 2(c) алгоритм определяет и локализует несколько объектов на дне трубы, каждый выделен отдельной рамкой. Объединяя данные о цвете, текстуре и форме, система точно идентифицирует объекты в реальном времени, даже при плохом освещении. На рисунке 2(d) зеленым цветом выделены изменения поверхности, указывающие на коррозию или отложения. Несмотря на то, что дополнительные методы (например, глубинные или тепловые данные) могут повысить точность, RGB-анализ уже обеспечивает надежное выявление аномалий по цвету и текстуре

Для проверки производительности робота для внутритрубной инспекции были проведены подробные эксперименты, сосредоточенные на отслеживании движения, картографировании рабочего пространства и точных задачах, таких как отслеживание предопределенных траекторий. Для точных задач робот отслеживал формы (например, прямоугольники и кривые) на неподвижном полотне как показано на рисунке 3. Траектории близко соответствовали эталону с небольшими отклонениями из-за динамики манипулятора, но в пределах допустимых погрешностей. Конечный эффектор последовательно возвращался в исходное положение, что подтверждает повторяемость. Статистический анализ показал среднеквадратичную ошибку (MSE) менее 0,5 мм между желаемым и фактическим положением. Робот сохранял постоянную точность при различных скоростях и нагрузках, демонстрируя надежный контроль.

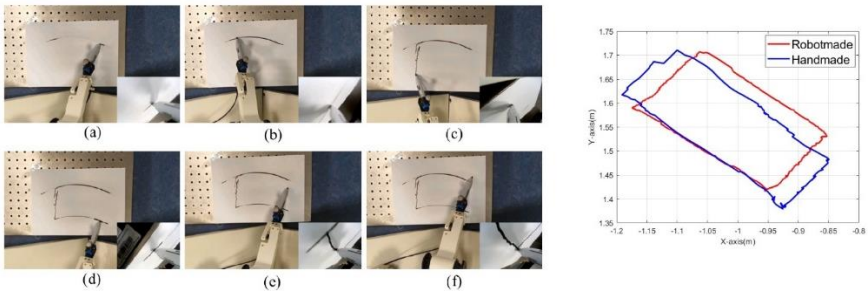


Рисунок 3 – Эксперименты по точности и повторяемости чертежей

Интеграция камер OptiTrack и ИК-маркеров обеспечивала точную обратную связь в реальном времени, необходимую для навигации по сложным геометриям. Надежность и точность робота делают его пригодным для промышленных применений, таких как инспекция, техническое обслуживание и задачи тонкой манипуляции, такие как трассировка и маркировка.

Обсуждение

Результаты системы обнаружения дефектов в трубе подчеркивают значительные достижения в мониторинге трубопроводов. Благодаря интеграции усовершенствованных датчиков, алгоритмов машинного обучения и надежной роботизированной платформы система достигает высокой точности и эффективности.

По сравнению с традиционными методами, которые полагаются на отдельные датчики и базовую обработку изображений, предлагаемая система использует многомодальные датчики и глубокое обучение для большей точности и меньшего количества ложных срабатываний. Например, в то время как средняя точность традиционных систем достигают 85%, эта система улучшает его до 92% за счет современных методов обнаружения внутритрубных дефектов. Ее облачная структура также обеспечивает производительность в реальном времени с низкой задержкой. Модульная конструкция робота позволяет адаптироваться к различным размерам и геометрии трубопроводов. RGB, инфракрасные и глубинные камеры обеспечивают комплексное представление о состоянии трубопровода, выявляя структурные отклонения, не видимые при стандартной визуализации.

Будущие усовершенствования включают добавление подповерхностных датчиков, автономных навигационных алгоритмов и улучшенного глубокого обучения для классификации дефектов. Эти обновления повысят точность, автономность и адаптивность для промышленного использования.

Заключение

В ходе проведённых исследований была создана и протестирована комплексная система для инспекции и обнаружения дефектов внутри трубопроводов, сочетающая роботизированную платформу с гибкой архитектурой и передовые алгоритмы компьютерного зрения. Регулируемые рычаги, гусеничные модули и высокоточное оборудование, включая камеру RealSense, обеспечивают надёжное перемещение в трубах разных диаметров и форм, а также позволяют в реальном времени выявлять трещины, коррозию и прочие аномалии. Использование методов машинного обучения, включая современные свёрточные нейронные сети, в совокупности с классическими подходами (детектор краёв Canny, кластеризация DBSCAN) позволило добиться высокого уровня точности (mAP до 92%) и оперативно реагировать на обнаруженные дефекты. Стабильные результаты экспериментов, проведённых в различных условиях, подтверждают эффективность системы и её потенциал для промышленного применения.

Список литературы

1. Smart Pipe Inspection Robot With In-Chassis Motor Actuation Design and Integrated AI-Powered Defect Detection System, D. Zholtayev et al // in IEEE Access. – 2024. – Vol. 12. – P. 119520-119534. https://ieeexplore.ieee.org/document/10649586.
2. Design and Development of an In-Pipe Mobile Robot for Pipeline Inspection with AI Defect Detection System / A. Kenzhekhan et al // 23rd International Conference on Control, Automation and Systems (ICCAS), Yeosu, Korea, Republic of. – 2023. – P. 579-584. https://doi.org/10.23919/ICCAS59377.2023.10316817.
3. Development of an In-Pipe Inspection Robot for Large-Diameter Water Pipes / K-W. Jeon et al // Sensors. – 2024. – № 24(11). – P. 3470. https://doi.org/10.3390/s24113470.
4. Autonomous Navigation of In-Pipe Inspection Robot Using Contact Sensor Modules / H. Jang et al // in IEEE/ASME Transactions on Mechatronics. – 2022. – Vol. 27. – № 6. – P. 4665-4674. https://doi.org/10.1109/TMECH.2022.3162192 https://ieeexplore.ieee.org/document/9759493.
5. Defect detection in pipe structures using stochastic resonance of Duffing oscillator and ultrasonic guided waves / Wu Jing et al // International Journal of Pressure Vessels and Piping. – 2020. – № 187. – P. 104168. https://doi.org/10.1016/j.ymssp.2016.05.012.
6. Automatic Detection of Water Supply Pipe Defects Based on Underwater Image Enhancement and Improved YOLOX / Changwang Su et al // Journal of Construction Engineering and Management. – 2024. – № 150. – P. 04024134. https://doi.org/10.1061/JCEMD4.COENG-14919.
7. Systematic Evaluation of Ultrasonic In-Line Inspection Techniques for Oil and Gas Pipeline Defects Based on Bibliometric Analysis / J. Huang et al // Sensors. – 2024. – № 24(9). – P. 2699. https://doi.org/10.3390/s24092699.

8. Experimental investigation for multi-defect detection of industrial pipeline based on passive infrared thermal imaging analysis: A case study /Zhou Gang et al // International Journal of Pressure Vessels and Piping. – 2023. – № 206. – P. 105058. https://www.sciencedirect.com/science/article/pii/S0308016123001758.
9. A Rapid Screening Method for Suspected Defects in Steel Pipe Welds by Combining Correspondence Mechanism and Normalizing Flow / W. Cui et al // in IEEE Transactions on Industrial Informatics. – 2024. – Vol. 20, № 9. – P. 11171-11180. https://doi.org/10.1109/TII.2024.3399934 https://ieeexplore.ieee.org/document/10538047
10. Mustafaev B. Enhancing Metal Surface Defect Recognition Through Image Patching and Synthetic Defect Generation / B. Mustafaev, S. Kim, E. Kim // in IEEE Access. – 2023. – Vol. 11. – P. 113339-113359. https://doi.org/10.1109/ACCESS.2023.3322734 https://ieeexplore.ieee.org/document/10274090.

Информация о финансировании

Данное исследование финансируется Комитетом науки Министерства науки и высшего образования Республики Казахстан (Грант № AP22685781).

П.М. Рахметова[1], Д.Д. Даулетия[2], А.Н. Ешмухаметов[3]*
[1]Satbayev University,
050000, Қазақстан Республикасы, Алматы қ., Сатпаева 22
[2]Astana IT University,
010000, Қазақстан Республикасы, Астана қ., Мәнгілік Ел даңғылы, 55/11
[3]Nazarbayev University,
Қазақстан Республикасы, Астана қ., Қабанбай батыр даңғылы, 53
*e-mail: azamat.yeshmukhametov@nu.edu.kz

ҚҰБЫРДЫҢ ІШКІ АҚАУЛАРЫН АНЫҚТАУ ЖӘНЕ БАҚЫЛАУ ЖҮЙЕСІН ӘЗІРЛЕУ ЖӘНЕ ЗЕРТТЕУ

Құбырлардың тұтастығы мен қауіпсіздігі суды, мұнайды және газды тасымалдау үшін өте маңызды, бірақ дәстүрлі тексеру әдістері ресурстарды көп қажет етеді және ақауларды анықтауды кейінге қалдырады. Бұл жұмыстың мақсаты күрделі визуализация әдістері мен жасанды интеллект алгоритмдерін қолдана отырып, құбыр ішіндегі мәселелерді анықтауға, локализациялауға және жіктеуге қабілетті автономды роботтық жүйені құру болып табылады. Осы мақсатқа жету үшін мультимодальды дәлдікті арттыратын сенсорлар (жоғары ажыратымдылықтағы RGB камералары, ультрадыбыстық және инфрақызыл сенсорлар) Canny жиегі детекторы және DBSCAN кластерлеу алгоритмі сияқты деректерді өңдеу әдістерімен пайдаланылды. Зерттеу тәсілдеріне автономды навигацияға арналған модульдік робот платформасын құру, терең нейрондық желілерді үйрету үшін синтетикалық деректерді жасау және әртүрлі материалдар мен өлшемдегі құбыр желілерінде эксперименталды валидация кіреді. Эксперименттік нәтижелер жүйенің қолданыстағы тәсілдерден асып түсетінін көрсетеді, бұл оны профилактикалық қызмет көрсету, нормативтік талаптарға сәйкестік және құбыр қауіпсіздігін арттыру үшін құнды құрал етеді.

Түйін сөздер: *құбыр ішіндегі тексеру, ақауларды анықтау және классификациялау, жасанды интеллект, машиналық оқыту, кескінді өңдеу.*

P.M. Rakhmetova[1], D.D. Dauletiya[2], A.N. Yeshmukhametov[3]*
[1]Satbayev University,
050000, Republic of Kazakhstan, Almaty, Satpayev St. 22
[2]Astana IT University,
010000, Republic of Kazakhstan, Astana, Mangilik El avenue, 55/11
[3]Nazarbayev University,
010000, Republic of Kazakhstan, Astana, 53, Kabanbay batyr avenue
*e-mail: azamat.yeshmukhametov@nu.edu.kz

DEVELOPMENT AND RESEARCH OF IN-PIPE DEFECTS DETECTION AND INSPECTION SYSTEM

Pipeline integrity and safety are critical for transporting water, oil and gas, but traditional inspection methods are resource-intensive and error-prone, delaying defect detection. The objective of this work is to create an autonomous robotic system capable of detecting, localizing and classifying problems inside a pipe using sophisticated imaging techniques and artificial intelligence algorithms. To achieve this goal, multimodal precision-enhancing sensors (high-resolution RGB cameras, ultrasonic and infrared sensors) with data processing methods such as the Canny edge detector and the DBSCAN clustering algorithm were used. The research approaches include the creation of a modular robotic platform for autonomous navigation, the

creation of synthetic data for training deep neural networks, and experimental validation on pipelines of different materials and dimensions. The experimental results show that the system outperforms existing approaches, making it a valuable tool for predictive maintenance, regulatory compliance and improving pipeline safety.

Key words: *in-pipe inspection, defect detection and classification, artificial intelligence, machine learning, image processing.*

Сведения об авторах

Перизат Маратқызы Рахметова – PhD, ассоциированный профессор кафедры Робототехники и технических средств автоматики, Satbayev University, г. Алматы, Республика Казахстан; e-mail: p.rakhmetova@gmail.com. ORCID: https://orcid.org/0000-0002-5645-5157.

Данияр Дауренович Даулетия – магистр технических наук по специальности «Вычислительная техника», заведующий научно-инновационной лабораторией «FabLab», Astana IT University, Астана, Казахстан; e-mail: d.dauletiya@astanait.edu.kz. ORCID: https://orcid.org/0000-0002-3205-7453.

Азамат Нурланович Ешмухаметов* – PhD, заведующий лабораторией «ARMS», Назарбаев Университет, Астана, Казахстан; e-mail: azamat.yeshmukhametov@nu.edu.kz. ORCID: https://orcid.org/0000-0002-6258-8183.

Авторлар туралы мәліметтер

Перизат Маратқызы Рахметова – PhD, Робототехниканың және техниканың автоматтық құралдары кафедрасының қауымдастырылған профессоры, Satbayev University, Алматы қ., Қазақстан, e-mail: p.rakhmetova@gmail.com, ORCID: https://orcid.org/0000-0002-5645-5157

Данияр Дауренұлы Даулетия – Есептеуіш техника саласындағы техника ғылымдарының магистрі. «FabLab» ғылыми-инновациялық зертханасының меңгерушісі, Астана IT университеті, Астана қ., Қазақстан; e-mail: d.dauletiya@astanait.edu.kz. ORCID: https://orcid.org/0000-0002-3205-7453.

Азамат Нурланович Ешмухаметов* – PhD, «ARMS» зертханасының меңгерушісі, Назарбаев Университеті, Астана қ., Қазақстан; e-mail: azamat.yeshmukhametov@nu.edu.kz. ORCID: https://orcid.org/0000-0002-6258-8183.

Information about the authors

Perizat Rakhmetova – PhD, associate professor of the Department of Robotics and technical means of automation, Satbayev University, Almaty, Kazakhstan; e-mail: p.rakhmetova@gmail.com. ORCID: https://orcid.org/0000-0002-5645-5157.

Daniyar Dauletiya – Master of Technical Sciences in Computer Engineering. Head of the Research and Innovation Laboratory «FabLab», Astana IT University, Astana, Kazakhstan, d.dauletiya@astanait.edu.kz. ORCID: https://orcid.org/0000-0002-3205-7453.

Azamat Yeshmukhametov* – PhD, Head of Laboratory «ARMS», Nazarbayev University, Astana, Kazakhstan, e-mail: azamat.yeshmukhametov@nu.edu.kz. ORCID: https://orcid.org/0000-0002-6258-8183.

Поступила в редакцию 21.09.2025
Поступила после доработки 23.10.2025
Принята к публикации 24.10.2025

https://doi.org/10.53360/2788-7995-2025-4(20)-15

МРНТИ: 81.13.05

CC BY 4.0
Check for updates

К.Б. Тусупова*, Г.А. Мирзахмедова, А.Н. Шормакова
Казахский национальный университет имени аль-Фараби,
050040, Республика Казахстан, г. Алматы, пр. аль-Фараби, 71
*e-mail: kamshat-0707@mail.ru

ПРИМЕНЕНИЕ МЕТОДОВ МАШИННОГО ОБУЧЕНИЯ ДЛЯ ПРОГНОЗИРОВАНИЯ И УПРАВЛЕНИЯ РЕСУРСАМИ НА ОСНОВЕ ИНТЕЛЛЕКТУАЛЬНОГО АНАЛИЗА ВРЕМЕННЫХ РЯДОВ

Аннотация: *Исследование сфокусировано на применении методов машинного обучения и статистического моделирования временных рядов к историческим данным добычи природного газа в Казахстане (2000-2024 годы) для построения надёжной прогностической модели добычи газа. В рамках работы рассмотрены и сопоставлены модели ARIMA, Holt-Winters, линейная регрессия с лаговыми переменными, Random Forest и градиентный бустинг. Точность моделей оценивалась с*

использованием стандартных метрик MAE, RMSE и коэффициента детерминации R^2. По результатам сравнения выявлено, что метод экспоненциального сглаживания Holt-Winters обеспечивает наивысшую точность прогноза среди всех тестируемых подходов. Данная модель выбрана для получения прогноза объёмов добычи газа на 2025-2027 годы. Согласно прогнозу, в 2025-2027 гг. ожидается дальнейший умеренный рост добычи газа при сохранении выявленных трендовых и сезонных закономерностей. Полученные результаты демонстрируют эффективность интеграции современных алгоритмов машинного обучения с классическими методами анализа временных рядов при работе с историческими статистическими данными. Практическая значимость работы заключается в том, что разработанная прогнозная модель может способствовать более обоснованному стратегическому планированию в газовой отрасли и повышению эффективности управления ресурсами.

Ключевые слова: *прогнозирование, временные ряды, машинное обучение, ARIMA, метод Holt-Winters, Random Forest, градиентный бустинг.*

Введение

В условиях растущей сложности производственных и энергетических систем возрастает потребность в точных и надёжных прогнозах, которые необходимы для эффективного управления ресурсами. Современные методы машинного обучения открывают новые перспективы, обеспечивая более высокую точность прогнозирования и возможность интеграции с интеллектуальными системами управления. Комбинация традиционного анализа временных рядов и алгоритмов машинного обучения позволяет не только повысить качество прогнозов, но и создать основу для оптимального распределения ресурсов.

Особое значение такие подходы приобретают в энергетическом секторе. Природный газ играет ключевую роль в экономике Казахстана, формируя значительную часть экспортных доходов и обеспечивая внутренние потребности. Поэтому разработка надёжных прогнозных моделей добычи газа становится важным условием для энергетической безопасности страны, стратегического планирования и рационального использования ресурсов. Применение интеллектуального анализа временных рядов в данном секторе позволяет связать научные методы прогнозирования с практическими задачами управления

Традиционно задачи прогнозирования решались с помощью моделей временных рядов, включая регрессионные методы и ARIMA (Box-Jenkins) [1, 2]. Эти подходы доказали эффективность в выявлении долгосрочных трендов, однако оказались ограниченными в учёте сложной сезонности и нелинейных зависимостей. Развитие методов экспоненциального сглаживания и их комбинация с современными алгоритмами прогнозирования позволили повысить качество результатов [2]. В последние десятилетия всё активнее применяются алгоритмы машинного обучения, такие как Random Forest, Gradient Boosting и нейронные сети, которые продемонстрировали более высокую точность по сравнению с традиционными методами [3]. Например, в исследовании мировой добычи газа показано, что использование ML-моделей, включая стохастический градиентный спуск (SGD), обеспечивает надёжное прогнозирование долгосрочных трендов, особенно при учёте социально-экономических факторов, таких как ВВП и мировые цены на энергоносители [4]. Современные работы также предлагают интегрированные подходы, объединяющие feature engineering с ансамблевыми моделями. В своих исследованиях авторы работы [5] достигли точности 88,6 % при прогнозе добычи газа в коллекторах с низкой проницаемостью на основе Random Forest. Raoof и другие показали, что гибриды, сочетающие физические модели и ML-алгоритмы, обеспечивают более устойчивые результаты в средне и долгосрочной перспективе [6]. Hou и другие, применяя Random Forest и SVM, подчеркнули значимость правильного подбора факторов, включая глубину и толщину пласта, а также объём жидкости для ГРП [7]. В свою очередь, в работе [8] авторы разработали систему прогнозирования потребления газа на основе ансамбля моделей и continual learning, что позволило адаптироваться к структурным изменениям во временных рядах и показало перспективность таких решений и для задач добычи.

В отечественных исследованиях прогноз и управление ресурсами преимущественно строятся на основе эконометрических моделей и статистических методов [9-11]. При этом использование алгоритмов машинного обучения и интеллектуального анализа данных пока остаётся ограниченным. Такая ситуация подтверждает актуальность проведения исследований, направленных на сопоставление традиционных и современных подходов

прогнозирования и оценку их применимости к Казахстанским данным, в частности к динамике добычи природного газа.

Условия и методы исследования

В рамках методологии исследования применялись как классические статистические модели, так и современные методы интеллектуального анализа данных. В частности, были использованы традиционные модели временных рядов: ARIMA (Box-Jenkins) для моделирования и прогнозирования трендовой компоненты и метод Хольта-Винтерса для совместного учета тренда и сезонности. Параллельно применены алгоритмы машинного обучения – случайный лес (Random Forest), градиентный бустинг (в реализации XGBoost/LightGBM) и множественная линейная регрессия с лаговыми переменными.

Для использования этих алгоритмов временной ряд был преобразован в формат обучающей выборки, сформированы объясняющие признаки на основе предыдущих значений (лаги нескольких предыдущих периодов, включая годичные сезонные лаги), а также рассчитаны скользящие средние и другие агрегированные показатели.

Отбор информативных признаков осуществлялся с учетом результатов автокорреляционного анализа и важности факторов в моделях. Модели обучались на исторических данных до конца 2023 года, после чего их точность оценивалась на отложенном тестовом периоде (2024 год). Схематически последовательность этапов исследования представлена на рисунке 1.

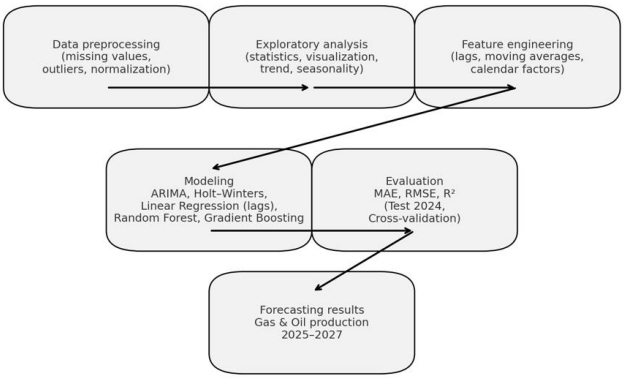


Рисунок 1 – Схема методики исследования

Для повышения качества исходного ряда выполнена предварительная обработка: данные проверены на наличие пропусков и аномальных значений, выявленные выбросы заменены на корректные значения, а шкала измерений нормализована для дальнейшего использования в алгоритмах машинного обучения.

Для выявления общей динамики и сезонных закономерностей рассчитаны основные статистические характеристики и проведен визуальный анализ рядов. На рисунке 2 представлена динамика добычи природного газа по годам за 2000-2024 гг., а на рисунке 3 выраженная сезонность и трендовая составляющая данного временного ряда после декомпозиции.

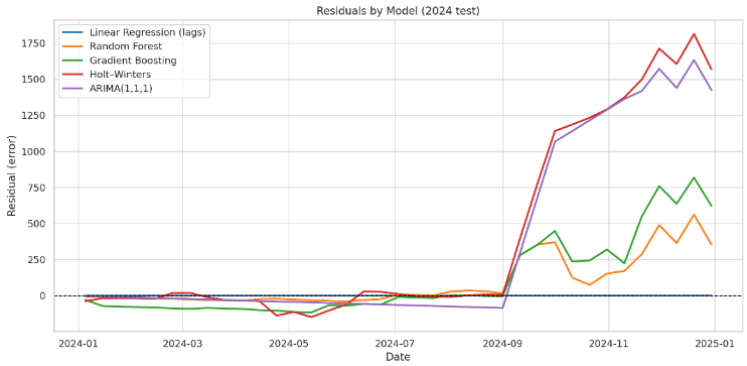


Рисунок 2 – Остатки прогнозов различных моделей на тестовом периоде (2024 год)

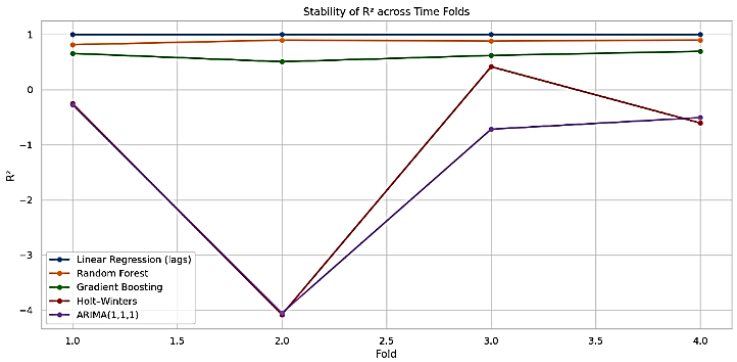


Рисунок 3 – Стабильность коэффициента детерминации R^2 по временным фолдам (2020-2024 годы)

Результаты исследований

В качестве исходных данных в работе использованы официальные статистические сведения о добыче природного газа в Казахстане за 2000-2024 годы, полученные с портала Комитета по статистике Республики Казахстан (stat.gov.kz).

Для приведения показателей к единому масштабу времени данные агрегированы с интервалом в 10 дней, отсутствующие значения и неравномерность временного ряда устранены с помощью интерполяции. На основе подготовленного ряда построена визуализация исторической динамики (рис. 4), а также прогнозные значения добычи на ближайшую перспективу (рис. 5).

Все вычислительные эксперименты и реализация моделей выполнены в среде Python с использованием библиотек *scikit-learn*, *statsmodels*, *pandas* и *matplotlib*.

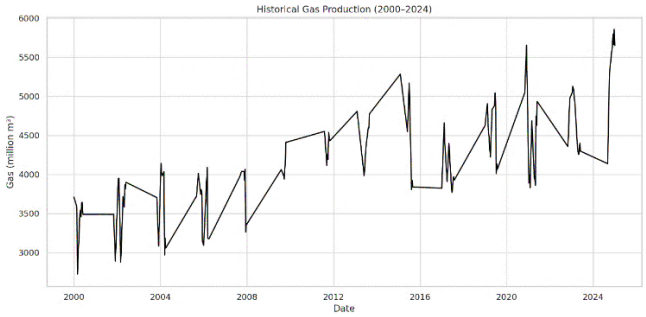


Рисунок 4 – Историческая динамика добычи газа (2000-2024 годы)

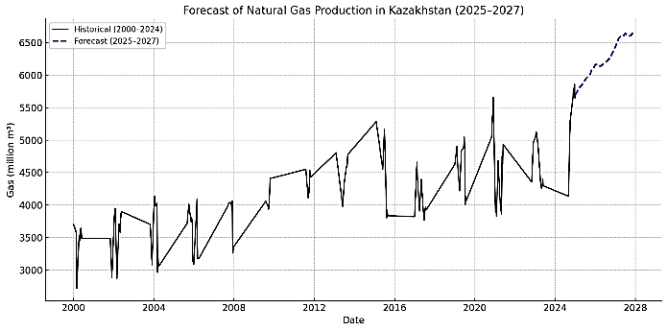


Рисунок 5 – Прогноз добычи природного газа в Казахстане на 2025-2027 годы

Для оценки качества прогнозов дополнительно проведено сравнение фактической и прогнозной добычи газа на тестовом периоде (2024 год), позволившее определить точность различных моделей (рис. 6). Также выполнено ретроспективное сопоставление прогнозов по годам за период 2020-2024 гг., продемонстрировавшее стабильность результатов и выявившее различия между применёнными методами (рис. 7).

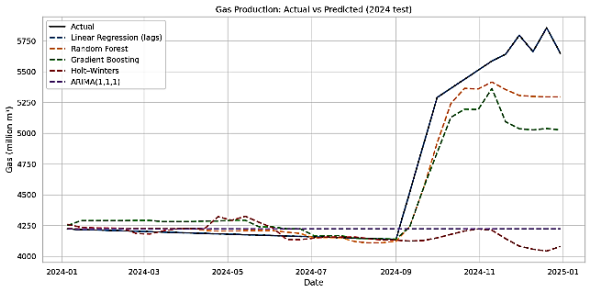


Рисунок 6 – Фактическая и прогнозная добыча газа на тестовом периоде (2024 год)

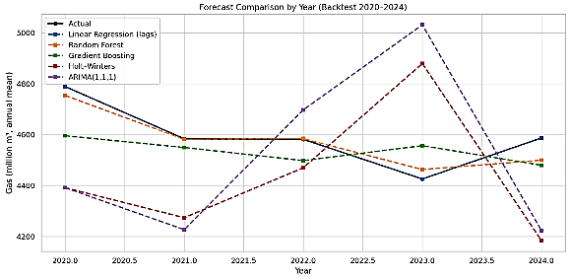


Рисунок 7 – Сравнение прогнозов по годам в ретроспективе (2020-2024 годы)

На основе разработанных моделей получены прогнозные оценки добычи природного газа на 2025-2027 годы (табл. 1).

Таблица 1 – Среднемесячный прогноз добычи природного газа на 2025-2027 гг.

Дата	Объём (млн м³)	Дата	Объём (млн м³)	Дата	Объём (млн м³)
01.02.2025	5694.795	01.01.2026	6108.926	01.01.2027	6379.494
01.03.2025	5736.042	01.02.2026	6158.960	01.02.2027	6430.533
01.04.2025	5783.284	01.03.2026	6163.290	01.03.2027	6501.682
01.05.2025	5823.264	01.04.2026	6163.722	01.04.2027	6561.532
01.06.2025	5845.324	01.05.2026	6133.518	01.05.2027	6588.288
01.07.2025	5881.766	01.06.2026	6150.833	01.06.2027	6593.473
01.08.2025	5926.456	01.07.2026	6173.989	01.07.2027	6601.604
01.09.2025	5961.444	01.08.2026	6196.154	01.08.2027	6643.762
01.10.2025	5985.554	01.09.2026	6210.579	01.09.2027	6609.305
01.11.2025	6012.461	01.10.2026	6239.856	01.10.2027	6597.8378
01.12.2025	6090.279	01.11.2026	6269.723	01.11.2027	6604.2378
		01.12.2026	6326.882	01.12.2027	6630.7830

Для сравнения качества прогнозов использованы стандартные метрики: средняя абсолютная ошибка, среднеквадратичная ошибка и коэффициент детерминации. Значения этих метрик, вычисленные для различных моделей на тестовых данных 2024 года, сведены в таблице 2.

Таблица 2 – Таблица метрик

Метрики / Модели	MAE	RMSE	R^2
Linear Regression (lags)	$2.5*10^{-12}$	$3.5*10^{-12}$	1
Random Forest	114.20	193.25	0.90
Gradient Boosting	189.72	291.25	0.78
Holt-Winters	446.77	773.41	0.53
ARIMA	423.05	722.41	0.33

Обсуждение научных результатов

Сравнительный анализ метрик точности показал существенные различия между моделями. Линейная регрессия с лаговыми переменными формально обеспечила почти идеальное соответствие исходному ряду ($R^2 \approx 1$, MAE порядка 10^{-12}), это объясняется

использованием лагов и отражает эффект переобучения. Такая модель не способна адекватно экстраполировать динамику за пределы обучающего интервала и непригодна для долгосрочного прогнозирования.

Random Forest и Gradient Boosting продемонстрировали высокое качество прогноза (R^2= 0.90 и 0.78 соответственно) и воспроизвели сезонные колебания, однако их применение на среднесрочном горизонте ограничено, модели слабо учитывают тренд и склонны искажать динамику за пределами обучающей выборки.

Статистические модели ARIMA и Holt-Winters показали более низкие показатели точности. При этом метод Holt-Winters, уступая Random Forest по метрикам ($R^2 \approx 0.53$), явно выделяет тренд и сезонность, обеспечивая интерпретируемость и устойчивость долгосрочного прогноза.

Таким образом, несмотря на лучшие результаты Random Forest на коротком интервале, в качестве основной модели для прогноза на 2025-2027 годы был выбран метод Holt–Winters, а ансамблевые алгоритмы использовались для верификации полученных результатов.

Заключение

В работе проведён сравнительный анализ методов прогнозирования добычи природного газа в Казахстане на основе данных за 2000-2024 годы. Рассмотрены модели ARIMA, Holt-Winters, линейная регрессия с лагами, Random Forest и Gradient Boosting. Несмотря на высокую точность Random Forest на краткосрочном горизонте, для среднесрочного прогноза (2025-2027 годы) выбрана модель Holt-Winters, обеспечивающая устойчивость и интерпретируемость за счёт явного учёта тренда и сезонности.

Прогноз показал продолжение умеренного роста добычи газа при сохранении сезонных колебаний. Полученные результаты подтверждают практическую значимость применения статистических моделей в сочетании с алгоритмами машинного обучения для поддержки стратегического планирования.

Перспективы дальнейших исследований связаны с расширением факторов, влияющих на прогноз, а также с использованием гибридных и нейросетевых моделей, что позволит повысить точность и адаптивность долгосрочных прогнозов.

Список литературы

1. Time Series Analysis: Forecasting and Control / G.E.P. Box et al. – 5th ed. – Hoboken: John Wiley & Sons, 2015. – 712 p. https://doi.org/10.1111/jtsa.12194/.
2. Hyndman R.J. Forecasting: Principles and Practice / R.J. Hyndman, G. Athanasopoulos. – 2nd ed. – Melbourne: OTexts, 2018. – 384 p.
3. Experimental Study on Damage Fracture Law of Coal from Solid-Propellant Blasting / H. Chu et al // Energies. – 2022. – Vol. 15(21). – P. 8104. https://doi.org/10.3390/en15218104.
4. Forecasting long-term world annual natural gas production by machine learning / D. Sen et al // Resources Policy. – 2023. – Vol. 80. – P. 103224. https://doi.org/10.1016/j.resourpol.2022.103224.
5. Integrated Data-Driven Framework for Forecasting Tight Gas Production / F. Yao et al // Processes. – 2025. – Vol. 13(4). – P. 1162. https://doi.org/10.3390/pr13041162.
6. Synergizing Machine Learning and Physical Models for Enhanced Gas Production Forecasting: A Comparative Study of Short- and Long-Term Feasibility / BK Raoof et al // Energies. – 2025. – № 18(5). – P. 1187. https://doi.org/10.3390/en18051187.
7. A Study on a Novel Production Forecasting Method of Unconventional Oil and Gas Wells Based on Adaptive Fusion / D. Hou et al // Processes. – 2024. – Vol.12(11). – P. 2515. https://doi.org/10.3390/pr12112515.
8. A Natural Gas Consumption Forecasting System for Continual Learning Scenarios / S. Radek et al // arXiv preprint. 2023. arXiv:2309.03720. URL: https://arxiv.org/abs/2309.03720.
9. Tussupova K. Optimal Allocation of Resources in an Open Economic System with Cobb–Douglas Production and Trade Balances / K. Tussupova, Z. Murzabekov // Economies. – 2025. – № 13(7). – P. 184. https://doi.org/10.3390/economies13070184.
10. Murzabekov Z.N. Development of a model of efficient resource allocation in an open three-sector economy for balanced growth / Z.N. Murzabekov, K.B. Tussupova // Journal of Mathematics, Mechanics and Computer Science. – 2025. – Vol. 124(4). – P. 59-70. https://doi.org/10.26577/JMMCS2024-v124-i4-a5.

11. Tusupova K.B. Razrabotka algoritma dlya chislennogo resheniya zadachi optimal'nogo upravleniya resursami v tryohsektornoj ekonomike // VESTNIK AUES. – 2024. – № 67(4). – S. 172-184. https://doi.org/10.51775/2790-0886_2024_67_4_172.

Благодарности. *Данное исследование финансируется Комитетом науки Министерства науки и высшего образования Республики Казахстан (грант № AP22684879).*

К.Б. Тусупова*, Г.А. Мирзахмедова, А.Н. Шормакова
[1]Әл-Фараби атындағы Қазақ ұлттық университеті,
050040, Қазақстан Республикасы, Алматы қ., әл-Фараби даңғылы, 71
e-mail: kamshat-0707@mail.ru

УАҚЫТ ҚАТАРЛАРЫН ИНТЕЛЛЕКТУАЛДЫ ТАЛДАУ НЕГІЗІНДЕ РЕСУРСТАРДЫ БОЛЖАУ ЖӘНЕ БАСҚАРУ ҮШІН МАШИНАЛЫҚ ОҚЫТУ ӘДІСТЕРІН ҚОЛДАНУ

Андатпа: *Зерттеу жұмысы Қазақстандағы табиғи газ өндірудің 2000-2024 жылдардағы тарихи деректеріне машиналық оқыту және уақыт қатарларын статистикалық модельдеу әдістерін қолдану арқылы сенімді болжамдық модель құруға бағытталған. Жұмыста ARIMA, Holt–Winters, кешіктірілген мәндері бар сызықтық регрессия, Random Forest және градиенттік бустинг модельдері қарастырылып, салыстырылды. Модельдер дәлдігі MAE, RMSE және R^2 сияқты стандартты метрикалар арқылы бағаланды. Салыстыру нәтижелері бойынша, барлық әдістердің ішінде Holt–Winters экспоненциалды тегістеу әдісі ең жоғары болжау дәлдігін қамтамасыз ететіні анықталды. Бұл модель 2025-2027 жылдарға газ өндіру көлемін болжау үшін таңдалды. Болжамға сәйкес, 2025-2027 жылдары табиғи газ өндіру көлемінің анықталған үрдістік және маусымдық заңдылықтары сақтала отырып, одан әрі біртіндеп өсуі күтіледі. Алынған нәтижелер тарихи статистикалық деректермен жұмыс барысында заманауи машиналық оқыту алгоритмдерін классикалық уақыт қатарлары әдістерімен үйлестіру тиімді екенін көрсетеді. Жұмыстың практикалық маңыздылығы – әзірленген болжамдық модель газ саласында стратегиялық жоспарлауды неғұрлым негізделген түрде жүргізуге және ресурстарды басқару тиімділігін арттыруға мүмкіндік береді.*

Түйін сөздер: *болжам жасау, уақыт қатарлары, машиналық оқыту, ARIMA, Holt–Winters әдісі, Random Forest, градиенттік бустинг.*

K.B. Tussupova*, G.A. Mirzakhmedova, A.N. Shormakova
Al-Farabi Kazakh National University,
050040, Republic of Kazakhstan, Almaty, 71 Al-Farabi Avenue
*e-mail: kamshat-0707@mail.ru

APPLICATION OF MACHINE LEARNING METHODS FOR FORECASTING AND RESOURCE MANAGEMENT BASED ON INTELLIGENT TIME SERIES ANALYSIS

This study focuses on the application of machine learning methods and statistical time series modeling to historical data on natural gas production in Kazakhstan (2000-2024) in order to build a reliable predictive model. The study considers and compares ARIMA, Holt-Winters, linear regression with lag variables, Random Forest, and gradient boosting models. The accuracy of these models was evaluated using standard metrics: MAE, RMSE, and the coefficient of determination R^2. The comparison results showed that the Holt–Winters exponential smoothing method provides the highest forecast accuracy among all the approaches tested. This model was chosen to generate the forecast of natural gas production volumes for 2025-2027. According to the forecast, a further gradual increase in natural gas production is expected in 2025-2027 while maintaining the identified trend and seasonal patterns. The results obtained demonstrate the effectiveness of integrating modern machine learning algorithms with classical time series analysis methods when working with historical statistical data. The practical significance of this work lies in the fact that the developed forecasting model can contribute to more substantiated strategic planning in the gas industry and improved efficiency of resource management.

Key words: *forecasting, time series, machine learning, ARIMA, Holt-Winters method, Random Forest, gradient boosting.*

Сведения об авторах

Камшат Бакытжановна Тусупова* – PhD, ВНС кафедры «Информационные системы», Казахский национальный университет имени аль-Фараби, Республика Казахстан; e-mail: kamshat-0707@mail.ru. ORCID: https://orcid.org/0000-0002-5254-3432.

Гулбану Абсаматовна Мирзахмедова – PhD, и.о. доцента кафедры «Информационные системы», Казахский национальный университет имени аль-Фараби, Республика Казахстан; e-mail: gulbanu.myrzahmedova@gmail.com. ORCID: https://orcid.org/0000-0001-7915-945X.

Асем Ноябревна Шормакова – PhD, заведующий кафедрой «Информационные системы», и.о. доцента; Казахский национальный университет имени аль-Фараби, Республика Казахстан; e-mail: shormakovaassem@gmail.com. ORCID: https://orcid.org/0000-0002-1637-4643.

Автор туралы мәліметтер

Камшат Бакытжановна Тусупова* – PhD, «Ақпараттық жүйелер» кафедрасының жетекші ғылыми қызметкері, Әл-Фараби атындағы Қазақ ұлттық университеті, Қазақстан Республикасы; e-mail: kamshat-0707@mail.ru. ORCID: https://orcid.org/0000-0002-5254-3432.

Гулбану Абсаматовна Мирзахмедова – PhD, доцент м.а., «Ақпараттық жүйелер» кафедрасы, Әл-Фараби атындағы Қазақ ұлттық университеті, Қазақстан Республикасы; e-mail: gulbanu.myrzahmedova@gmail.com. ORCID: https://orcid.org/0000-0001-7915-945X.

Асем Ноябревна Шормакова – PhD, «Ақпараттық жүйелер» кафедрасының меңгерушісі, доцент м.а., Әл-Фараби атындағы Қазақ ұлттық университеті, Қазақстан Республикасы; e-mail: shormakovaassem@gmail.com. ORCID: https://orcid.org/0000-0002-1637-4643.

Information about the author

Kamshat Bakytzhanovna Tussupova* – PhD, Senior Researcher at the Department of Information Systems, Al-Farabi Kazakh National University, Republic of Kazakhstan; e-mail: kamshat-0707@mail.ru. ORCID: https://orcid.org/0000-0002-5254-3432.

Gulbanu Absamatovna Mirzakhmedova – PhD, Acting Associate Professor, Department of Information Systems, Al-Farabi Kazakh National University, Republic of Kazakhstan; e-mail: gulbanu.myrzahmedova@gmail.com. ORCID: https://orcid.org/0000-0001-7915-945X.

Assem Noyabrevna Shormakova – PhD, Head of the «Information Systems» department, Acting Associate Professor, Al-Farabi Kazakh National University, Republic of Kazakhstan; e-mail: shormakovaassem@gmail.com. ORCID: https://orcid.org/0000-0002-1637-4643.

Поступила в редакцию 22.09.2025
Поступила после доработки 13.11.2025
Принята к публикации 14.11.2025

https://doi.org/10.53360/2788-7995-2025-4(20)-16

МРНТИ: 20.51.23

BY 4.0
Check for updates

М. Муратбеков[1], М. Жаканов[2]*, А. Құрманбай[2], Г. Шуйтенов[2]
[1]Евразийский Национальный университет им. Л.Н. Гумилева,
010008, РК, Астана, ул. Пушкина, 11
[2]Esil University,
010008, РК, Астана, ул. Жубанова, 7
*e-mail: zhakanov.m@esil.edu.kz

АНАЛИЗ И ВИЗУАЛИЗАЦИЯ ДАННЫХ СИСТЕМЫ ОНЛАЙН-ГОЛОСОВАНИЯ НА ОСНОВЕ ТЕХНОЛОГИИ БЛОКЧЕЙН С ИСПОЛЬЗОВАНИЕМ POWER BI

Аннотация: *В рамках научно-исследовательской работы была разработана и внедрена система онлайн-голосования на основе технологии блокчейн. Настоящая статья посвящена методологии и практическому применению инструмента бизнес-аналитики Power BI для анализа и визуализации данных, генерируемых этой системой. Использование инструментов бизнес-аналитики, таких как Power BI, для анализа данных из блокчейн-систем голосования является важным шагом для валидации их производительности, безопасности и прозрачности. Блокчейн представляет собой децентрализованный цифровой реестр, состоящий из хронологически упорядоченной цепочки блоков. В контексте электронного голосования эти блоки содержат транзакции, которые могут представлять собой различные операции: регистрация избирателей и кандидатов, подача голосов, подсчет результатов.*

Ключевые характеристики данных в блокчейне, делающие их подходящими для систем голосования и последующего анализа, включают: неизменность (Immutability), прозрачность (Transparency), децентрализация (Decentralization), отслеживаемость (Traceability). Каждая транзакция имеет уникальный идентификатор и временную метку, что позволяет отслеживать все операции в системе.

Работа демонстрирует, как Power BI позволяет трансформировать сложные и распределенные данные блокчейна в наглядные и легко интерпретируемые графики и дашборды, что критически важно для оценки производительности, безопасности и прозрачности системы голосования. Представлены ключевые метрики и визуализации, а также описан процесс интеграции данных блокчейна с аналитическим инструментом. Полученные результаты подтверждают, что использование Power BI является эффективным подходом для валидации и демонстрации преимуществ децентрализованных систем.

Ключевые слова: *блокчейн, онлайн-голосование, Power BI, бизнес-аналитика, визуализация данных, безопасность, прозрачность.*

Введение

Технологии цифрового голосования приобретают все большую актуальность в контексте глобальной цифровизации и стремления к повышению эффективности и доступности демократических процедур. Однако, традиционные онлайн-системы, несмотря на их удобство, подвержены критическим рискам, связанным с потенциальной фальсификацией результатов, уязвимостью перед кибератаками и недостаточным уровнем прозрачности. Эти риски подрывают доверие граждан к избирательному процессу. Технология блокчейн, с ее неотъемлемыми свойствами децентрализации, неизменяемости и криптографической безопасности, предлагает фундаментально новый подход к решению этих проблем. Она позволяет создать распределенный и надежный реестр, где каждая транзакция (голос) фиксируется и не может быть изменена постфактум, что обеспечивает беспрецедентный уровень прозрачности [1-2].

Настоящее исследование является частью проекта «Разработка системы онлайн-голосования на основе технологии блокчейн», который финансируется Министерством науки и высшего образования Республики Казахстан. Целью данной статьи является не только описание архитектуры разработанной системы, но и обоснование методологии её анализа. В качестве основного инструментария для обработки, анализа и визуализации данных был выбран Microsoft Power BI. Этот выбор обусловлен его способностью эффективно работать с большими объемами данных, предоставлять гибкие возможности для визуализации и интегрироваться с различными источниками, что позволило нам эффективно оценивать ключевые характеристики системы – производительность, активность участников и достоверность данных, тем самым подтверждая её надежность и готовность к практическому применению.

Методология интеграции данных

Для проведения комплексного анализа данных, генерируемых блокчейном, была разработана специализированная методология, включающая следующие этапы, реализуемые в среде Power BI:

Извлечение данных (Extract): Данные о транзакциях, блоках и смарт-контрактах извлекались из ноды блокчейна через API-интерфейс, который обеспечивает стандартизированный и защищенный доступ к распределенному реестру. Каждая транзакция голосования содержит информацию, необходимую для анализа: временную метку фиксации голоса, анонимизированный идентификатор избирателя (для сохранения конфиденциальности) и выбранный вариант голосования.

Преобразование данных (Transform): в результате полученные нами данные, которые изначально находились в формате JSON (неструктурированный формат), были преобразованы в реляционный табличный формат, который является оптимальным для работы в Power BI. Этот этап как обычно включает в себя очистку данных от избыточных полей (нормализация данных), нормализацию самой структуры и преобразование криптографических хэшей и временных меток в читаемый формат, что значительно упростило дальнейший анализ. Использование языка Power Query позволило нам автоматизировать сам процесс, обеспечивая его масштабируемость и повторяемость.

Загрузка данных (Load): после завершения предыдущего этапа подготовленные данные были загружены в разработанную модель данных Power BI. Для обеспечения высокой скорости обработки и интерактивности отчетов был использован режим Import, который позволяет кэшировать данные в оперативной памяти и мгновенно реагировать на запросы пользователя. Это решение было выбрано, поскольку объем данных, генерируемых в ходе

тестовых голосований, был управляемым, что не требовало использования режима DirectQuery, предназначенного для работы с очень большими наборами данных [3-4].

Результаты и визуализация данных

Использование Power BI позволило создать ряд аналитических дашбордов, демонстрирующих ключевые аспекты работы системы. Каждый дашборд был разработан с учетом конкретной цели: от анализа результатов голосования до оценки технической производительности.

1. Анализ результатов голосования

Визуализация результатов голосования была организована в отдельный дашборд, который предоставляет собой интуитивно понятное представление о ходе и итогах избирательного процесса. Power BI позволил не просто отобразить финальные цифры, но и провести динамический анализ вовлечённости участников на разных этапах голосования [5].

График, отображающий количество голосов, зарегистрированных в системе каждый час, позволил выявить ключевые паттерны поведения избирателей. Это позволяет с одного взгляда оценить историю изменений в состоянии системы, выявить периоды высокой активности или обнаружить неисправности. Например, в системах анализа настроений аудитории строятся графики, показывающие реакцию пользователей в реальном времени. Такие графики (рис. 1-2) позволяют выявлять пики положительных или отрицательных настроений, связанные с конкретными моментами события. Внезапные всплески активности на графике могут указывать на аномалии, такие как скоординированные атаки или сбои в работе системы. Современные системы визуализации способны обновлять графики в реальном времени или с минимальной задержкой. Это представляет собой значительное преимущество по сравнению с традиционными методами, которые требовали ручного анализа текстовых логов или проведения опросов после события. Автоматизация позволяет операторам быстрее реагировать на инциденты, сокращает время на анализ и снижает вероятность ошибок, связанных с ручной обработкой данных.

Это не только повышает скорость объявления результатов, но и способствует прозрачности, позволяя любому заинтересованному лицу отслеживать изменения в режиме реального времени. В дальнейшем, этот дашборд может быть расширен для включения географической карты, показывающей, из каких регионов было подано наибольшее количество голосов, что предоставляет ценные демографические данные для анализа избирательного поведения [6].

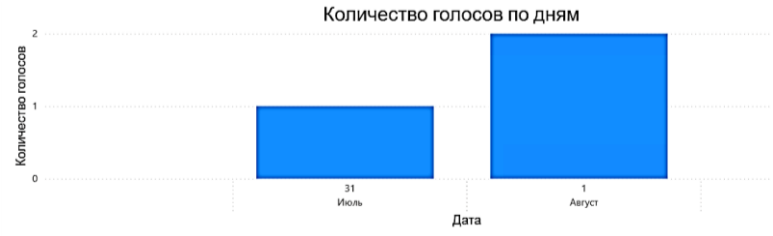


Рисунок 1 – Динамика голосования по дням.

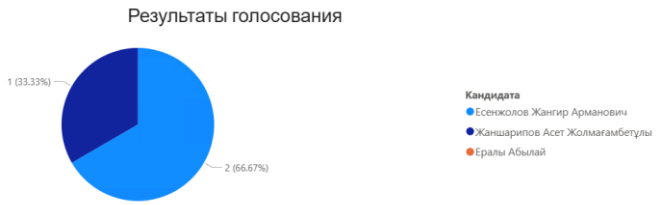


Рисунок 2 – Распределение голосов между кандидатами/вариантами

2. Визуализация безопасности и неизменяемости

Ключевым преимуществом любой системы, основанной на блокчейне, является обеспечение и наглядная демонстрация её безопасности и неизменяемости. В контексте системы онлайн-голосования это означает, что после записи голоса в блокчейн, его невозможно ни изменить, ни удалить, ни подделать. Для визуализации этого фундаментального принципа был разработан специализированный дашборд в Power BI. На нем представлена упрощенная схема блокчейн-цепочки, где каждый блок содержит не только

данные о голосовании, но и криптографический хэш предыдущего блока. Этот хэш, уникальный цифровой отпечаток, созданный на основе всех данных в блоке, служит для создания неразрывной и защищенной от подделок цепочки. Любое, даже малейшее, изменение в данных транзакции или блока приводит к изменению его хэша, что, в свою очередь, нарушает целостность всей последующей цепочки и делает фальсификацию очевидной [7-8].

Для демонстрации этого эффекта дашборд включает интерактивные элементы, которые имитируют попытку изменения данных в одном из блоков. При такой «атаке» визуализация мгновенно сигнализирует о нарушении: например, изменяет цвет затронутых блоков на красный или выводит уведомление об ошибке. Это наглядно доказывает, что механизм хэширования обеспечивает аутентичность и целостность данных, а сам блокчейн-реестр выступает в роли нерушимого и прозрачного источника истины. Таким образом, Power BI не только анализирует данные, но и служит мощным инструментом для убедительной демонстрации ключевых свойств технологии. Такая визуализация имеет решающее значение для повышения доверия общественности и регуляторов, поскольку она преобразует абстрактные концепции блокчейна в понятный и проверяемый формат, что является важным шагом к принятию и внедрению подобных систем в реальные демократические процессы [9-10].

Анализ производительности и выявление ограничений являются ключевыми этапами в разработке систем онлайн-голосования. Предоставленные результаты подтверждают и дополняют тезисы о важности этих процессов, предлагая конкретные примеры метрик, методов тестирования и существующих проблем.

Масштабируемость и нагрузка

Масштабируемость является критическим фактором, поскольку производительность в условиях реальных выборов с миллионами избирателей может отличаться от результатов пилотных проектов. Для изучения этого аспекта проводятся симуляции с различной нагрузкой. Например, в одном из экспериментов использовалась сеть из 250 узлов для имитации различной плотности подачи голосов и фонового сетевого трафика. Исследования показывают, что некоторые архитектуры, например, использующие гомоморфное суммирование, могут создавать значительную нагрузку на производительность при проведении крупных выборов с сотнями тысяч участников. Это подтверждает, что стабильная работа в рамках тестовой нагрузки не всегда гарантирует аналогичную производительность в более масштабных условиях.

Ограничения и вызовы

Несмотря на успехи в разработке, системы онлайн-голосования сталкиваются с рядом ограничений и вызовов, особенно при переходе от тестовых сред к полномасштабному внедрению. Многие исследования и пилотные проекты проводятся в контролируемых или ограниченных условиях. Переход к крупномасштабным системам выявляет новые проблемы, одной из главных угроз является уязвимость централизованных серверов для атак типа «распределённый отказ в обслуживании» (DDoS), риск которых возрастает по мере увеличения масштаба голосования. Процесс извлечения и обработки данных также может стать узким местом. Это иллюстрирует сложности, связанные с обработкой больших объёмов данных, аналогичные проблемам ETL-процессов.

К другим значимым вызовам относятся:

Безопасность на стороне клиента: сложно гарантировать отсутствие вредоносного ПО на компьютере избирателя, что создаёт риски для целостности голоса.

Принуждение и конфиденциальность: Удалённое голосование не обеспечивает достаточного надзора, что создаёт возможность давления на избирателя со стороны третьих лиц.

Целостность данных: существует риск подмены или удаления голосов на центральных серверах со стороны инсайдеров.

Техническая грамотность: Системы могут быть сложны для людей, не знакомых с современными технологиями.

3. Направления будущих исследований

Полученные результаты открывают широкие возможности для будущих исследований. Мы видим перспективу в следующих направлениях:

- Масштабирование и оптимизация: Разработка протоколов для повышения пропускной способности сети и оптимизации работы с данными для поддержки массовых голосований.
- Интеллектуальный анализ: Использование Power BI в сочетании с алгоритмами машинного обучения для автоматического выявления аномалий и потенциальных попыток мошенничества на основе анализа поведения избирателей.
- Интеграция с внешними системами: Исследование возможностей интеграции с государственными реестрами для верификации личности избирателей, что обеспечит высокий уровень безопасности и прозрачности [11].

Обсуждение и выводы

Проведенное исследование убедительно продемонстрировало, что Power BI является не просто удобным, но и необходимым инструментом для анализа и валидации систем, построенных на технологии блокчейн. Применение данного инструмента позволило успешно решить одну из ключевых проблем, связанных с блокчейн-технологиями: отсутствие наглядного и доступного механизма для анализа данных. Используя Power BI, мы смогли трансформировать сложные, распределенные данные в понятные и наглядные инсайты, что имеет критическое значение для успешной реализации и внедрения подобных систем. Наглядное представление производительности, прозрачности и безопасности является ключевым фактором для получения доверия общественности и регуляторов, что часто является основным барьером для внедрения блокчейн-технологий в государственные и общественные процессы [12].

Результаты, полученные с помощью Power BI, подтверждают, что разработанная в рамках НИР система онлайн-голосования обладает высокой степенью безопасности и прозрачности. Инструменты визуализации позволили объективно оценить скорость транзакций, выявить пиковые нагрузки на сеть и, что наиболее важно, наглядно продемонстрировать невозможность изменения данных голосования. Это делает нашу систему перспективной для практического применения в контексте демократических процедур, где честность и прозрачность являются основополагающими принципами.

Кроме того, предложенная методология анализа, основанная на интеграции блокчейна с BI-инструментами, имеет высокую экстраполируемость. Она может быть успешно применена в других блокчейн-проектах, где требуется верификация и визуализация данных. К таким областям относятся системы управления цепочками поставок (отслеживание происхождения товаров), системы документооборота (аудит неизменяемости записей) и финансового учета (мониторинг транзакций). Таким образом, наша работа вносит вклад не только в развитие систем голосования, но и в общую методологию анализа децентрализованных приложений в целом, открывая новые горизонты для исследований в области блокчейн-аналитики.

Список литературы

1. DVTChain: A blockchain-based decentralized mechanism to ensure the security of digital voting system voting system / Syada Tasmia Alvi et al // Journal of King Saud University – Computer and Information Sciences. – 2022. – vol. 34(9). https://doi.org/10.1016/j.jksuci.2022.06.014.
2. Lakshmi Sai Priya K. Electronic Governance and Open Society: Challenges in Eurasia / K. Lakshmi Sai Priya, Ch. Rupa // 2nd International Conference on Innovative Mechanisms for Industry Applications (ICIMIA). – 2020. https://doi.org/10.1109/icimia48430.2020.9074931.
3. Internet of Things, Artificial Intelligence and Blockchain Technology / R. Lakshmana Kumar et al // Springer at 2021. https://doi.org/10.1007/978-3-030-74150-1.
4. Applying the ETL Process to Blockchain Data. Prospect and Findings / Roberta Galici et al // Information. – 2020. – vol. 11(4) by MDPI AG at 2020. https://doi.org/10.3390/info11040204.
5. Beros I. Usage of BI Tools in Analysis of the Tomas Croatia 2019 Survey / I. Beros, N. Hlupic, F. Dzapo // 44th International Convention on Information, Communication and Electronic Technology (MIPRO) by IEEE at 2021. https://doi.org/10.23919/mipro52101.2021.9597033.
6. Jones Daniel. Power BI: 3 in 1- Comprehensive Guide of Tips and Tricks to Learn the Functions of Power BI+ Simple and Effective Strategies+ Advanced Guide to Learn the Advanced Realms of Power BI, 2021.

7. Designing a Blockchain-Enabled Methodology for Secure Online Voting System / Saurabh Singh et al // International Conference on Intelligent Data Communication Technologies and Internet of Things (IDCIoT) by IEEE at 2023. https://doi.org/10.1109/idciot56793.2023.10053410.
8. A Vijaya Kumar. Blockchain Based Public Cloud Security for E-Voting System on IoT Environment / A Vijaya Kumar, Gabbita Viswa Sarvani, Dama Satya // IOP Conference Series: Materials Science and Engineering. – 2020. – vol. 981(4). – by IOP Publishing at 2020. https://doi.org/10.1088/1757-899x/981/4/042013.
9. Ruj S. Blockchains: A Handbook on Fundamentals, Platforms and Applications / S. Ruj, S.S. Kanhere, M. Conti // Advances in Information Security by Springer at 2024. https://doi.org/10.1007/978-3-031-32146-7.
10. El Madhoun N. Going Beyond the Blockchain Hype: In Which Cases are Blockchains Useful for IT Applications? / N.El Madhoun, J. Hatin, E. Bertin // 3rd Cyber Security in Networking Conference (CSNet) by IEEE at 2019. https://doi.org/10.1109/csnet47905.2019.9108966.
11. Advances in System-Integrated Intelligence / M. Valle et al // Proceedings of the 6th International Conference on System-Integrated Intelligence (SysInt 2022), September 7-9, 2022. Genova, Italy, https://doi.org/10.1007/978-3-031-16281-7.
12. Visualization of Blockchain Data: A Systematic Review / N. Tovanich et al // IEEE Transactions on Visualization and Computer Graphics. – 2021. – vol. 27(7). by Institute of Electrical and Electronics Engineers (IEEE) at 2021. https://doi.org/10.1109/tvcg.2019.2963018.

Исследовательская работа проводится в рамках ГФ Министерства науки и высшего образования Республики Казахстан AP23489791 «Разработка системы онлайн-голосования на основе технологии блокчейн» на 2024-2026 годы.

М. Мұратбеков[1], М. Жақанов[2]*, А. Құрманбай[2], Г. Шуйтенов[2]
[1]Л.Н. Гумилев атындағы Еуразия ұлттық университеті,
010008, ҚР, Астана, Пушкин көшесі, 11
[2]Esil University,
010008, ҚР, Астана, Жұбанов көшесі, 7
*e-mail: zhakanov.m@esil.edu.kz

POWER BI КӨМЕГІМЕН BLOCKCHAIN ТЕХНОЛОГИЯСЫНА НЕГІЗДЕЛГЕН ОНЛАЙН ДАУЫС БЕРУ ЖҮЙЕСІНІҢ ДЕРЕКТЕРІН ТАЛДАУ ЖӘНЕ ВИЗУАЛИЗАЦИЯЛАУ

Ғылыми-зерттеу жұмысы аясында (ЖРН AP23489791) блокчейн технологиясы негізінде онлайн-дауыс беру жүйесі әзірленіп, енгізілді. Бұл мақала осы жүйе жасаған деректерді талдау және визуализациялау үшін Power BI Business Intelligence құралының әдіснамасы мен практикалық қолданылуына бағытталған. Blockchain дауыс беру жүйелеріндегі деректерді талдау үшін Power BI сияқты бизнесті талдау құралдарын пайдалану олардың өнімділігін, қауіпсіздігін және ашықтығын растау үшін маңызды қадам болып табылады. Блокчейн-хронологиялық реттелген блокчейннен тұратын орталықтандырылмаған сандық тізілім. Электрондық дауыс беру контекстінде бұл блоктарда әртүрлі операциялар болуы мүмкін транзакциялар бар: сайлаушылар мен кандидаттарды тіркеу, дауыс беру, нәтижелерді санау.

Блокчейндегі деректердің негізгі сипаттамалары, оларды дауыс беру және кейінгі талдау жүйелеріне қолайлы етеді: өзгермейтіндік (иммунитет), мөлдірлік (транспаренттілік), орталықсыздандыру (орталықсыздандыру), бақылау (Traceability). Әрбір транзакцияда жүйедегі барлық операцияларды бақылауға мүмкіндік беретін бірегей идентификатор мен уақыт белгісі бар.

Жұмыс Power BI күрделі және таратылған блокчейн деректерін көрнекі және оңай түсіндірілетін Графиктер мен бақылау тақталарына қалай түрлендіруге мүмкіндік беретінін көрсетеді, бұл дауыс беру жүйесінің өнімділігін, қауіпсіздігін және ашықтығын бағалау үшін өте маңызды. Негізгі көрсеткіштер мен визуализациялар ұсынылған және блокчейн деректерін аналитикалық құралмен біріктіру процесі сипатталған. Нәтижелер Power BI пайдалану орталықтандырылмаған жүйелердің артықшылықтарын тексеру және көрсету үшін тиімді тәсіл екенін растайды.

Түйін сөздер: *блокчейн, онлайн дауыс беру, Power BI, іскерлік интеллект, деректерді визуализациялау, қауіпсіздік, ашықтық.*

M. Muratbekov[1], M. Zhakanov[2]*, A. Kurmanbay[2], G. Shuitenov[2]
[1]The Eurasian National University named after L.N. Gumilyov,
010008, Republic of Kazakhstan, Astana, 11 Pushkin St.,
[2]Esil University, 010008, Republic of Kazakhstan, Astana, 7 Zhubanova str.,
*e-mail: zhakanov.m@esil.edu.kz

DATA ANALYSIS AND VISUALIZATION OF AN ONLINE VOTING SYSTEM BASED ON BLOCKCHAIN TECHNOLOGY USING POWER BI

As part of the research work (IRN AP23489791), an online voting system based on blockchain technology was developed and implemented. This article is devoted to the methodology and practical application of the Power BI business intelligence tool for analyzing and visualizing data generated by this system. Using business intelligence tools such as Power BI to analyze data from blockchain voting systems is an important step to validate their performance, security, and transparency. The blockchain is a decentralized digital registry consisting of a chronologically ordered chain of blocks. In the context of electronic voting, these blocks contain transactions that can represent various operations: registration of voters and candidates, submission of votes, and counting of results.

The key characteristics of the data in the blockchain that make them suitable for voting systems and subsequent analysis include: Immutability, transparency, decentralization, Traceability. Each transaction has a unique identifier and a timestamp, which allows you to track all transactions in the system.

The work demonstrates how Power BI enables the transformation of complex and distributed blockchain data into visual and easily interpretable graphs and dashboards, which is critical for evaluating the performance, security and transparency of the voting system. Key metrics and visualizations are presented, and the process of integrating blockchain data with an analytical tool is described. The results confirm that using Power BI is an effective approach for validating and demonstrating the benefits of decentralized systems.

Key words: *blockchain, online voting, Power BI, business analytics, data visualization, security, transparency.*

Авторлар туралы мәліметтер

Мәди Мұратбеков – PhD, «Ақпараттық қауіпсіздік» кафедрасының қауымдастырылған профессоры Л.Н. Гумилев атындағы ЕҰУ, Қазақстан, Астана; e-mail: madimm@list.ru. ORCID: https://orcid.org/0000-0003-2197-4982.

Мирас Жақанов* – Техника ғылымдарының магистрі, Esil University, Қазақстан, Астана; e-mail: zhakanov.m@esil.edu.kz. ORCID: https://orcid.org/0009-0003-4962-2898.

Ақжарқын Құрманбай – «Ақпараттық жүйелер» мамандығы бойынша бакалавр, магистрант, Esil University, Қазақстан, Астана; e-mail: aqzharkyn07@gmail.com.

Ғабит Шуйтенов – педагогика ғылымдарының кандидаты, қауымдастырылған профессор, Esil University, Қазақстан, Астана; e-mail: shuitenov.g@esil.edu.kz. ORCID: https://orcid.org/0000-0002-9905-7247.

Сведения об авторах

Мади Муратбеков – PhD, ассоциированный профессор кафедры «Информационной безопасности» ЕНУ им Л.Н. Гумилева, Казахстан, Астана; e-mail: madimm@list.ru. ORCID: https://orcid.org/0000-0003-2197-4982.

Мирас Жаканов* – Магистр технических наук, Esil University, Казахстан, Астана; e-mail: zhakanov.m@esil.edu.kz. ORCID: https://orcid.org/0009-0003-4962-2898.

Ақжарқын Құрманбай – Бакалавр, магистрант по специальности «Информационные системы», Esil University, Казахстан, Астана; e-mail: aqzharkyn07@gmail.com.

Габит Шуйтенов – кандидат педагогических наук, ассоциированный профессор, Esil University, Казахстан, Астана; e-mail: shuitenov.g@esil.edu.kz. ORCID: https://orcid.org/0000-0002-9905-7247.

Information about the authors

Madi Muratbekov – PhD, Associate Professor of the Department of Information Security L.N. Gumilyov ENU, Astana, Kazakhstan; e-mail: madimm@list.ru. ORCID: https://orcid.org/0000-0003-2197-4982.

Miras Zhakanov* – Master of Technical Sciences Esil University, Kazakhstan, Astana; e-mail: zhakanov.m@esil.edu.kz. ORCID: https://orcid.org/0009-0003-4962-2898.

Akzharkyn Kurmanbai – Bachelor's degree, Master's degree in Information Systems, Esil University, Kazakhstan, Astana; e-mail:aqzharkyn07@gmail.com.

Gabit Shuitenov – Candidate of Pedagogical Sciences, Associate Professor, Esil University, Kazakhstan, Astana; e-mail: shuitenov.g@esil.edu.kz. ORCID: https://orcid.org/0000-0002-9905-7247.

Поступила в редакцию 14.10.2025
Поступила после доработки 15.10.2025
Принята к публикации 19.10.2025

https://doi.org/10.53360/2788-7995-2025-4(20)-17

CC BY 4.0
Check for updates

ҒТАХР: 68.05.33

Н.Д. Бекен*, А.С. Тергеусизова
М. Тынышпаев атындағы университеті,
050012,Қазақстан Республикасы, Алматы қ., Шевченко к-сі, 97
*e-mail: beken.nurlybek@mail.ru

GPS ЖӘНЕ ЖАСАНДЫ ИНТЕЛЛЕКТ КӨМЕГІМЕН ТОПЫРАҚ ҚҰРАМЫН КАРТАҒА ТҮСІРУГЕ АРНАЛҒАН ЖЫЛЖЫМАЛЫ КЕШЕН ӘЗІРЛЕУ

Аңдатпа: *Бұл мақалада топырақ құрамын жоғары дәлдікпен картаға түсіруге арналған GPS-навигациясы мен жасанды интеллект технологияларын біріктіретін автоматтандырылған мобильді кешенді әзірлеудің ғылыми негіздері жан-жақты қарастырылады. Топырақ-климаттық жағдайы айтарлықтай әртүрлі Қазақстан аумағы үшін мұндай кешендердің маңызы ерекше жоғары. Әдеби шолу барысында VIS-NIR спектроскопиясы, машиналық оқыту әдістері, регрессиялық модельдер, детерминация коэффициенті (R^2), RMSE қателік көрсеткіштері және геоақпараттық жүйелерді интеграциялау мүмкіндіктері кеңінен талданады. Топырақ құрамын жедел бағалауға арналған автоматтандырылған мобильді платформаларды енгізу далалық зерттеулердің тиімділігін арттырып, зертханалық зерттеулердің уақыттық шығындарын азайтады.*

Зерттеу Қазақстанның қара топырақ, каштан топырақ және сортаң жер аймақтарында заманауи технологияларды қолданудың перспективаларын ашады. Жасанды интеллект негізіндегі алгоритмдер спектралдық деректерді өңдеу арқылы азот, фосфор, калий, органикалық көміртек сияқты элементтердің кеңістіктік таралуын жоғары дәлдікпен анықтауға мүмкіндік береді. GPS және RTK-навигация жүйелерінің қосылуы топырақ нүктелерін географиялық тұрғыдан дәл белгілеуге жағдай жасайды, бұл өз кезегінде сандық карталардың ажыратымдылығын 3-7 метрге дейін көтереді.

Сонымен қатар, автоматтандырылған мобильді кешендер агроэкологиялық мониторингтің тиімділігін арттырып, егіншілік жүйелерінің тұрақтылығын жақсартады. Мұндай жүйелер тыңайтқыштарды дәл қолдануға, топырақ құнарлылығын бақылауға, эрозия және сортаңдану процестерін жедел бағалауға мүмкіндік береді. Зерттеу нәтижелері Қазақстан жағдайында жасанды интеллект пен GPS біріктірілген мобильді жүйелерді енгізу ауыл шаруашылығында ресурстарды оңтайландырудың маңызды құралы екенін дәлелдейді.

Түйін сөздер: *топырақ, жасанды интеллект, спектроскопия, GPS, модельдеу, картография, мониторинг, автоматтандыру.*

Кіріспе

Топырақ картасын жасау қазіргі топырақтану ғылымының негізгі міндеттерінің бірі болып табылады. Ол әсіресе Қазақстан сияқты ауыл шаруашылығы дамыған елдер үшін өте маңызды. Қазақстанның аумағы 2,7 миллион шаршы шақырымнан асады [1]. Елімізде топырақтың түрлері әртүрлі: қара топырақ, каштан топырақ, боз топырақ, сортаң топырақ және т.б. Топырақтардың азық-түлік қауіпсіздігі, экология және тұрақты экономикалық даму үшін маңызы зор.

Қазақстанның ауыл шаруашылығы жалпы ішкі өнімнің шамамен 5 пайызын құрайды. Сондықтан жерді тиімді пайдалану өте маңызды. Себебі, топырақ талдауының дәл және жылдам әдістерін қолдану керек. Дегенмен, далалық жұмыстар мен зертханалық зерттеулерге негізделген дәстүрлі әдістердің шектеулері бар. Олар көп уақыт пен күш-жігерді қажет етеді. Сонымен қатар, мұндай әдістер жеткілікті кеңістіктік дәлдікті қамтамасыздандырмайды [2].

Бүгінде Қазақстан күрделі мәселелермен бетпе-бет келіп отыр. Бұл жердің тозуы, эрозиясы, сортаңдануы және құнарлылығының төмендеуі. 110 миллион гектардан астам жер тұздануға ұшыраған. Ол өз кезегінде бүкіл ел аумағының шамамен 41% құрайды [3]. Жерге, әсіресе солтүстік және орталық аймақтарда жел және су эрозиясы әсер етуді жалғастыруда. Мысалы, Ақмола облысында жыл сайын 0,5-1,5 см құнарлы топырақ жоғалады [4]. Қызылорда сияқты оңтүстік облыстарда су тапшылығы мен суарудың нашарлығы мәселенің ушығып тұр [5].

Мұндай жағдайларда топырақты дәл картаға түсіру маңызды құралға айналады. Бұл топырақтың жай-күйін бақылау, оларды қорғау және ауыл шаруашылығында дұрыс пайдалану шараларын жоспарлау үшін керек.

Топырақты талдаудың дәстүрлі әдістері сенімді болып саналады. Бірақ олар баяу және еңбекті талап етеді. Мысалы, бір ауданның 1:100 000 масштабтағы топырақ картасын жасау үшін бірнеше жыл қажет болуы мүмкін[6]. Бұл уақыт ұзақтығы тиімсіз, әсіресе климаттың жылдам өзгеруі және экономикалық белсенділік жағдайында.

Бүгінгі таңда жаңа технологиялар бұл мәселелерді шешуге көмектеседі. Landsat және Sentinel спутниктері сияқты қашықтықтан зондтау жүйелері топырақ туралы жылдам деректерді береді [7]. Бірақ олардың ажыратымдылығы 10-30 метр көбінесе ұсақ жерлерге жетпейді. Дәлдікке бұлттар, өсімдіктер, тағы басқа факторлар да әсер етеді [8].

Мультиспектрлі камералары бар дрондар нақты деретермен қаматасыздандырады. Дегенмен, олар қымбат, мамандарды жалдау және пайдалануы қиын сияқты мәселелер орын алады [9].

Соңғы жылдары GPS және жасанды интеллект қолдану арқылы үлкен жетістіктерге қол жеткізілді. RTK технологиясы бар GPS қабылдағыштары 1-2 см-ге дейінгі дәлдікті ұсынады. Бұл күрделі рельефі мен әртүрлі топырақтары бар Қазақстан үшін ерекше маңызды [9]. Мысалы, Алматы облысының қыратты аудандарында тіпті биіктіктің аздаған өзгеруі де топырақ құрамына әсер етеді [10].

ЖИ сенсорлардың деректерін талдауға көмектеседі. Салыстырмалы нейрондық желілер (CNN) сияқты алгоритмдер спектралдық деректер бойынша топырақтың құрамын анықтайды. ЖИ деректерден күрделі тәуелділіктерді тауып, нақты болжамдар бере алады [11]. Мұндай технологиялар Австралия, АҚШ және Еуропада қолданылуда. Қазақстанда олар енді ғана енгізіліп жатыр [12].

Мобильді кешен түрлі мақсаттар үшін пайдалы болады. Біріншіден, ол ауыл шаруашылығын цифрландыруға өз үлесін қосады. Бұл «Цифрлық Қазақстан» бағдарламасының бір бөлігі болып табылады. Екіншіден, ол тыңайтқыштар мен су шығындарын азайтады. Үшіншіден, кешен экологиялық мониторинг үшін пайдалы болады [13]. Мысалы, Қызылорда облысында мұндай мәліметтер тұзданумен күресу үшін жүйелерді жобалауға көмектеседі [14].

Әдеби шолудың мақсаты топырақты автоматтандырылған картаға түсірудің қазіргі заманғы әдістерін талдау болып табылады. Олардың Қазақстанның топырақ-климаттық жағдайларына, соның ішінде қара топыраққа, каштанды топыраққа және сортаңға қолданылуына назар аударылады. Шолу топырақ сипаттамаларын талдаудың дәлдігі, геобайланыстың тиімділігі және халықаралық және қазақстандық зерттеулерде ұсынылған нәтижелерді визуализациялау туралы деректерді жүйелеуге бағытталған. Ауыл шаруашылығы мен экологиялық басқарудағы топырақтың жедел мониторингі үшін VIS-NIR спектроскопия, машиналық оқыту және геоақпараттық жүйелер (GIS) технологиялары сипатталады [15]. Зерттеу жаңа эксперименттер жүргізуді көздемейді, әлемдік тәжірбиелер Қазақстанда бейімделу үшін олардың артықшылықтары мен шектеулерін анықтай отырып, қолданыстағы тәсілдерді жинақтайды.

Зерттеу әдістері.

Топырақ құрамын талдаудың заманауи тәсілдері спектроскопия, жасанды интеллект және GPS технологияларын біріктіретін автоматтандырылған мобильді кешендерді пайдалануды көбірек қамтиды. Атап айтқанда, топырақ құрамын тиімді картаға түсіру үшін деректерді дәл және тез жинай алатын, өңдейтін және түсіндіретін интеллектуалды жүйелерді пайдалану қажет. Бұған арнайы сенсорлар мен GPS қабылдағыштары арқылы топырақ құрамы туралы ақпарат жинауға мүмкіндік беретін мобильді кассалық сайттарды біріктіру арқылы қол жеткізіледі. Осы әдеби зерттеу шеңберінде отандық және шетелдік ғалымдардың еңбектерінде жылжымалы кешендердің көмегімен топырақты талдау үшін қолданылатын негізгі әдістер, сондай-ақ осындай жүйені іске асыру үшін қажетті негізгі технологиялық материалдар сипатталады [16].

Детерминация коэффициентін есептеу әдістемесі (R^2).

Топырақ құрамын талдаудың дәлдігі мен дұрыстығын бағалау үшін отандық және шетелдік зерттеушілер өз еңбектерінде әр түрлі әдістерді - спектроскопиядан бастап машиналық оқытуға дейін қолданған. Бұл коэффициент модельдің нақты деректерге қатысты мәндерді қаншалықты жақсы болжайтынын өлшеуге көмектеседі.

R^2 есептеу формуласы:

$$\mathbf{R^2} = \mathbf{1} - \frac{\sum_{\mathbf{i=1}}^{\mathbf{n}}(\mathbf{y_i} - \widehat{\mathbf{y}_\mathbf{i}})^\mathbf{2}}{\sum_{\mathbf{i=1}}^{\mathbf{n}}(\mathbf{y_i} - \bar{\mathbf{y}})^\mathbf{2}}$$

Мұндағы:

y_i – зертханада немесе жергілікті жерде өлшенген нақты (бақыланатын) мәндер (мысалы, азот, көміртек, фосфор және т.б. концентрациясы);

$\widehat{y_i}$ – модель арқылы алынған болжанған мәндер;

$\bar{y}$ – барлық бақыланатын шамалардың орташа мәні.

Топырақты талдау контекстінде R ² есептеу кезеңдері:

Деректерді жинау: кейіннен негізгі элементтердің құрамына зертханалық талдаумен сынамаларды далалық іріктеу жүргізіледі.

Модельді қолдану: регрессия алгоритмдері, нейрондық желілер, спектроскопия және т.б. пайдаланылады.

Нақты мәндермен салыстыру: нәтижелерді салыстыру арқылы үлгіні тексеру.

R^2 есебі: модельдің дәлдігін көрсететін коэффициент есептеледі.

R^2 мәнін түсіндіру:

$R^2 = 1$ – модель мен бақыланатын деректердің тамаша сәйкестігі;

$R^2 = 0$ – үлгі деректердің вариациясын түсіндірмейді;

$0 < R^2 < 1$ – вариацияны ішінара түсіндіру, оның үстіне мән неғұрлым жоғары болса, модельдің дәлдігі соғұрлым жоғары болады.

Ғылыми әдебиетте R ² пайдалану мысалдары:

Отандық зерттеуші А.Б. Сапаров Ақмола облысының қара топырақтағы азотты бағалау үшін спектроскопияны қолданды. Алынған мән40-90 мг/кг шоғырлану диапазоны кезінде $R^2 = 0.87$ [17].

Қытай елініңі ғалымы Чжан Сяо органикалық көміртегінің құрамын бағалау үшін айналмалы нейрондық желілерді пайдаланып,2-5% шоғырлану кезінде $R^2 = 0.89$мәнін алды.

Осыған ұқсас зерттеуде A. M. Mouazen Vis-Nir спектроскопиясын қолдана отырып, Еуропа топырақтарындағы фосфордың құрамын бағалау үшін логарифмдік модельді қолданды. Ол $a = 15 - 30, b = 20 - 50$ коэффициенттерін алды (350-2500 НМ диапазонындағы толқын ұзындығына байланысты), бұл 5-тен 100 мг/кг-ға дейінгі фосфор концентрациясында RMSE 10-18 мг/кгжәне$R^2 \approx 0.80$ дәлдігін қамтамасыз етті.

Болжау қатесі (RMSE)

Зерттеулердегі болжам қателерін сандық бағалау үшін орташа шаршы қате (RMSE) пайдаланылады. Ол модельдің бақыланатын мәндерді қаншалықты дәл болжайтынын бағалауға көмектеседі. *RMSE* есептеу формуласы былайша көрінеді:

$$\mathbf{RMSE} = \sqrt{\frac{\sum(\mathbf{observed} - \mathbf{predicted})^\mathbf{2}}{\mathbf{N}}}$$

Мұнда:

$observed$ – бақыланатын мәндер;

$predicted$ – модельде болжанған мәндер,

N – бақылаулардың саны.

Жоғарыда келтірілген формуланы қолдану қара топырақтағы органикалық заттардың құрамын талдау үшін логарифмдік регрессияны қолданған А.Р.Яковлевтің зерттеуінде көрсетілген. Ол $RMSE = 1.5$ мәнін алды. Бұл спектроскопия мен математикалық әдістерді пайдалану кезінде болжамның жақсы дәлдігін растайды.

Осылайша, осы формулаларды ғылыми зерттеулерде қолдану топырақ құрамын талдаудың дәлдігін айтарлықтай жақсартуға мүмкіндік берді. Детерминация R^2 коэффициентін пайдалану ғалымдарға модельдің болжамдары нақты деректермен қаншалықты сәйкес келетінін объективті бағалауға көмектесті, ал логарифмдік модель және RMSE сияқты қателерді бағалау әдістері болжамдардың дәлдігі мен сенімділігін арттыруға мүмкіндік берді.

GPS қабылдағыштары мен спектроскопиялық әдістері бар мобильді кешендерді қолдану топырақ құрамын картаға түсіру саласында айтарлықтай жетістіктерге қол жеткізуге мүмкіндік берді. Мысалы, Қазақстанда жүргізілген зерттеулер қара топырақтағы азот пен фосфордың құрамын бағалау үшін спектроскопияны қолданудың тиімділігін көрсетті.

Автоматтандырылған жүйелерді пайдалану талдау уақытын 40% -ға қысқарта отырып, болжамдардың дәлдігін арттыруға мүмкіндік берді.

Машиналық оқыту әдістерін GPS технологиясымен үйлестіре отырып пайдалану, топырақты картаға түсіру сапасын айтарлықтай жақсартуға мүмкіндік береді. Сондай-ақ,процесті жылдам және дәлірек етеді. Аталған технологиялар деректерді тиімді жинауды ғана емес, оларды нақты уақытта талдауды да қамтамасыздандырады. Бұл өз кезегінде ауыл шаруашылығы мен экологияда шешім қабылдау үшін маңызды мәнге ие.

Зерттеу нәтижелері

Топырақтың құрамын анықтаудың дәстүрлі зертханалық әдістері, олардың дәлдігіне қарамастан, уақыт пен едәуір шығынды талап етеді. Бірқатар елдерде табысты пайдаланылатын спектроскопиялық әдістер, машиналық оқыту және нейрожелілік алгоритмдер балама болып табылады. Осы әдістерді пайдалану топырақ параметрлерін жоғары сенімділікпен талдауға қолайлы.

Ғылыми зерттеулердің нәтижелері қазіргі заманғы тәсілдердің тиімділігін көрсетеді:Қазақстандық ғалым А.Б.Сапаров жақын инфрақызыл спектроскопияны пайдалану Ақмола облысының қара топырақтағы азот құрамын $R^2 = 0.87$ детерминация коэффициентімен, 40-90 мг/кг концентрациясында анықтауға мүмкіндік беретінін көрсетті [18].

Қытайлық зерттеуші Чжан Сяо Қытайдың жазық топырағындағы органикалық көміртегіні талдауда жүйке желілерінің тиімділігін дәлелдеді. Көміртегінің құрамы 2-5% болғанда $R^2 = 0.89$ жетті.

– Американдық ғалым Дэвид Вейндорф портативті құрылғылар $R^2 = 0.90$ балшықтың құрамын анықтай алатынын айтты. Бұл әсіресе топырақ құрылымын талдау талап етілетін дала кешендері үшін маңызды.

– Канадалық зерттеуші Асым Бисвас машиналық оқыту модельдері R ² = 0.88 бар шалғынды топырақтағы фосфорды дәл өлшеуге мүмкіндік беретінін көрсетті.

– Осыған ұқсас деректер басқа елдерде алынды:

• $R^2 = 0.87$ – шымтезектегі органикалық зат үшін (Шотландия, Джон Кроуфорд) ;

• $R^2 = 0.86$ – вулканды топырақтағы калий үшін (Жапония, Хироши Накамура);

• $R^2 = 0.89$ – аллювиалды топырақтағы азот үшін (Үндістан, Раджеш Кумар);

• $R^2 = 0.91$ – құрғақ топырақтағы органикалық көміртек үшін (Австралия, Кэтрин Джонс);

• $R^2 = 0.85$ – жүзімдіктер топырағындағы pH үшін (Франция, Пьер Рудье);

• $R^2 = 0.88$ – Жерорта теңізі топырағындағы фосфор үшін (Испания, Хосе Падилья) ;

• $R^2 = 0.87$ – Тоскана топырағындағы құм фракциясы үшін (Италия, Лука Боргетти);

• $R^2 = 0.82$ – сортаңданған топырақтың pH үшін (Түркия, Мехмет Озалп);

• $R^2 = 0.85$ – тропикалық сортаңдардың электр өткізгіштігі үшін (Таиланд, Сомсак Манеепонг);

• $R^2 = 0.88$ – қара топырақтағы калий үшін (Ресей, А.В. Иванов).

Жоғарыда келтірілген мысалдар ЖИ және сенсорлық жүйелер базасында технологияларды далалық жағдайларда қолдану мүмкіндігін растайды. Бұл оларды GPS-навигациясы бар автоматтандырылған мобильді кешендер үшін ерекше құнды етеді. Мұнда талдаудың дәлдігі ғана емес, деректердің кеңістіктік байланысы да маңызды.

Үлгілердің тиімділігін салыстырмалы талдау.

Автоматтандырылған кешенді әзірлеу бағыттары. Тиімді кешенді құру мынадай компоненттерді біріктіру үшін қажет:

– топырақ ақпаратын алу үшін мультиспектралды және жақын инфрақызыл сенсорлар;

– іріктеу нүктесінің координаттарын белгілеуге арналған GPS модулі;

– ЖИ-алгоритмдері бар есептеу блогы (салыстырмалы нейрондық желілер, регрессия және ағаштар негізінде шешімдер өңдеу) (1-кесте);

– нәтижелер мен карталарды көрсетуге арналған дисплей немесе планшет;

– топырақ құрамының деректер базасымен ықпалдасу.

Мұндай жүйе өңірдің климаттық жағдайларына бейімделуі, сымсыз деректер беру модулі болуы, сондай-ақ дербес жұмысты қамтамасыз етуі тиіс.

Әлеуетті шешімдердің ішінде – жабдықты робот немесе дрон платформасына орнату немесе модульдік құрылымы бар шағын трактор ды пайдалану. Бағдарламалық қамтамасыз ету деректерді калибрлеу, өзіндік диагностика және жаңа деректердің жинақталуына қарай машиналық оқыту модельдерін жаңарту функцияларын қамтуы тиіс.

Кесте 1 – Салыстырмалы талдау

№	Елдер	Зерттеушілер	Дәлдігі (см)	Нүкте тығыздығы (нүкте/га)
1	АҚШ	Э. Лунд	1,5	100
2	Канада	В. Субраманиан	1,9	110
3	Шотландия	Д. Росситер	2,0	90
4	Қытай	Л. Бин	1,7	95
5	Жапония	Т. Иноуэ	1,6	120
6	Үндістан	А. Шарма	1,8	105
7	Австралия	М. Уилсон	1,9	100
8	Франция	Ж.М. Жийо	1,6	115
9	Испания	А. Лопес	1,8	95
10	Италия	М. Бьянки	2,0	90
11	Турция	А. Гюль	1,9	105
12	Казахстан	Т.С. Муканов	2,1	85
13	Россия	П.В. Сергеев	1,8	95

Қытайлық ғалым Б.Лю жазық жерлерде 1.7 см дәлдігі туралы хабарлады, ал жапондық зерттеуші Т.Иноуэ күріш алқаптарында 1.6 см-ге жетті. Үндістанда А. Шарма аллювиалды топырақта 1,8 см дәлдікті атап өтті (105 нүкте/га), ал Австралияда М. Уилсон 100 нүкте/га құрғақ аймақтарда 1,9 см белгіледі.Француз ғалымы Ж.М.Джилиот жүзімдіктерде 1,6 см (115 нүкте/га), испан зерттеушісі А. Лопес – зәйтүн тоғайларында 1,8 см, итальяндық ғалым М. Бьянки - қыратты топырақта 2.0 см дәлдігін алды. Түркияда А. Гюль 1,9 см қателікке ие аридті аймақтарда RTK пайдаланған.

Отандық ғалымдар да RTK дәлдігінің жоғарылығы туралы хабарлайды. Осылайша, қазақстандық зерттеуші Т.С. Мұқанов қара топырақты картаға түсіру кезінде 2.1 см дәлдікті атап өтті. Ресейлік ғалым П.В. Сергеев гектарына 1,8 см дәлдікті тіркеді [19].

Ғылыми нәтижелерді талқылау

Ақпаратты өңдеу жылдамдығы. Автоматтандырылған платформалар дәстүрлі әдістермен салыстырғанда деректерді жинау және талдау процесін едәуір жеделдетуге мүмкіндік береді.Қытайда, АҚШ-та, Жапонияда, Австралияда және басқа да елдерде қолданылатын сандық платформалар гектарына 50-ден 60-қа дейінгі сынама тығыздығында 5-7 га/сағ өңдеудің орташа жылдамдығын көрсетеді. Бұл Қазақстандағы дәстүрлі әдістердің көрсеткіштерінен едәуір асып түседі. Мұнда жылдамдық күніне 0,7 га ғана құрайды.Цифрландыру үшін географиялық байланыстың мәні.

Төменде карталар мен жабын алаңының рұқсаты бойынша деректер келтірілген:

Ескертпе – кестеде көрсетілген зерттеушілер жүргізген жұмыстардың нәтижелері топырақ қасиеттерін кеңістіктік картаға түсіру әдістерінің дәлдігін, тиімділігін және қолданылған технологиялардың сапасын салыстыруға мүмкіндік береді (кесте 2). Ажыратымдылық (м) параметрі – жергілікті жердің қаншалықты нақты және ұсақ масштабта зерттелгенін көрсететін негізгі көрсеткіш, ол картадағы әр нүктенің кеңістіктік дәлдігін айқындайды.

Кесте 2 –Топырақ қасиеттері картасының кеңістіктік шешімі

№	Зерттеушілер	Елдер	Ажыратымдылығы (м)	Ауданы (га)	Параметрі
1	Асым Бисвас	Канада	3	45	Органикалық көміртек
2	Джон Кроуфорд	Шотландия	5	35	Фосфор
3	Чжан Сяо	Қытай	7	160	Электр өткізгіштігі
4	ХирошиНакамура	Жапония	3	50	Органикалық зат
5	РаджешКумар	Үндістан	4	85	pH
6	Кэтрин Джонс	Австралия	6	140	Калий
7	Пьер Рудье	Франция	3	65	Фосфор
8	Хосе Падилья	Испания	4	75	Органикалық көміртек
9	Лука Боргетти	Италия	5	55	Электр өткізгіштігі
10	МехметОзалп	Турция	7	85	Саз фракциясы
11	А.В. Иванов	Россия	4	95	pH

Жоғары дәлдіктегі RTK жүйелері деректерді жинау кезінде кеңістіктік дәлдікті жақсартады. Э. Лунд, В. Субраманиан, Д. Росситер және Б. Людің зерттеулері көрсеткендей,

RTK 1,5-2,1 см дәлдікті қамтамасыз етеді, тығыздығы гектарына 90 нүктеден астам, бұл әсіресе мозаикалық, шымтезек және қара топырақтар үшін маңызды.

Сандық карталардың ажыратымдылығы параметр мен аумаққа байланысты 3-тен 7 метрге дейін өзгереді. Мұндай көрсеткіштер 35-тен 160 гектарға дейінгі учаскелерде топырақ құрамын кеңістіктік талдаудың жоғары дәлдігін қамтамасыз етеді.

Көрнекі көріністерді нақтылау. ЖИ және спектроскопия негізінде қалыптастырылатын сандық карталар жоғары кеңістіктік шешімді қамтамасыз етеді.

Технологияларды кеңейтудегі жылдамдықтың рөлі

Деректерді өңдеу жылдамдығы – аграрлық міндеттер үшін маңызды фактор. Қазіргі заманғы платформалар В. Фэй, Р. Уайз, К. Такахаши және т.б. зерттеулерінде көрсетілгендей, сағатына 5-8 га жылдамдықты береді. Ж.К. Кенжебаевтың қазақстандық үлгісі автоматтандырудың маңыздылығын назар аудара отырып, дәстүрлі әдістердің артта қалуын айғақтайды (0,7 га/күн).

Ресурстарды басқару үшін визуализациялау перспективалары

Сандық карталардың сапасы, атап айтқанда органикалық көміртек, pH және электр өткізгіштік бойынша ресурстық жоспарлаудағы табысты анықтайды. Бисвас, Кенжебаев, Накамура және басқа да ғалымдардың зерттеулері 3-7 метр рұқсатымен дәл визуализациялау мүмкіндігін растайды.

ЖИ және GPS бар заманауи автоматтандырылған технологиялар топырақты талдаудың жоғары дәлдігін, сенімді географиялық байланысын және деректерді жедел өңдеуді көрсетеді. Бұл оларды Қазақстанның аграрлық секторында, әсіресе топырақтың әртүрлі түрлері мен климаттық сын-қатерлер жағдайында қолдану үшін перспективалы етеді.

Қорытынды

Жүргізілген әдеби шолу топырақ құрамын автоматтандырылған талдау және картаға түсіру үшін заманауи технологиялардың жоғары тиімділігін растайды. Спектроскопияны, машиналық оқыту әдістерін және GPS, RTK пайдалану топырақтың химиялық және физикалық сипаттамаларын анықтаудың дәлдігін едәуір арттыруға мүмкіндік береді. Қазақстан мен басқа елдерден алынған мысалдар көрсеткендей, ЖИ пайдаланған кезде детерминация коэффициенті (R^2) 0.85-тен асады. Бұл модельдің жоғары сенімділігін дәлелдейді.

Географиялық байланыстың жоғары дәлдікпен интеграциялануы (1.5-2.1 см) тіпті мозаикалық және қол жеткізу қиын жерлерде де тұрақты және қайталанатын картографиялауды қамтамасыздантыратыны анықталды. Заманауи ұтқыр платформалардың жылдамдығы сағатына 6-8 гектарға жетеді. Бұл оларды ірі ауыл шаруашылығы жағдайында және жедел мониторинг қажет болған кезде қолдануды әсіресе өзекті етеді.

Алынған нәтижелер Қазақстанда топырақты талдау тәжірбиесіне автоматтандырылған мобильді кешендерді енгізу қажеттілігін негіздейді. Мұндай жүйелер жер ресурстарын басқарудың тиімділігін арттыруға, шығындарды азайтуға және агросектордың экологиялық тұрақтылығына ықпал етуге қабілетті

Әдебиеттер тізімі

1. Почвы Казахстана [Электронный ресурс]. – Режим доступа: https://baraev.kz.
2. Сельское хозяйство Казахстана: итоги и перспективы [Электронный ресурс]. – Режимдоступа: https://kazdata.kz.
3. В Казахстане составляют карту засоленных почв [Электронный ресурс]. – 2020. – Режим доступа: https://eldala.kz.
4. Эрозия почв в Акмолинской области [Электронный ресурс]. – Режим доступа: https://soil.kz.
5. Засоление почв в Кызылординской области [Электронныйресурс]. – Режим доступа: https://adilet.zan.kz.
6. Методика создания почвенных карт [Электронный ресурс]. – Режим доступа: https://earthpapers.net.
7. Дистанционное зондирование почв с использованием Sentinel-2 [Электронный ресурс]. – Режим доступа: https://remotesensing.org (дата обращения: 11.04.2025).
8. Ограничения спутниковых данных в почвоведении [Электронный ресурс]. – Режим доступа: https://geoinformatics.kz.
9. Технология RTKGPS для геопривязки [Электронный ресурс]. – Режим доступа: https://gpsworld.com (датаобращения: 11.04.2025).

10. Почвы Алматинской области: особенности и картографирование [Электронный ресурс]. – Режим доступа: https://soil.kz.
11. Применение нейронных сетей в анализе почв [Электронныйресурс]. – Режим доступа: https://aijournal.org.
12. Цифровое картографирование почв в Австралии [Электронныйресурс]. – Режим доступа: https://soilscience.org.
13. Программа «Цифровой Казахстан» [Электронныйресурс]. – Режим доступа: https://gov.kz (датаобращения: 11.04.2025).
14. Мелиорация засоленных почв в Кызылординской области [Электронный ресурс]. – Режим доступа: https://irrigation.kz.
15. VIS-NIR Spectroscopy for Soil Analysis [Электронный ресурс]. – Режим доступа: https://www.sciencedirect.com/science/article/pii/S0016706119303267.
16. RTK-GPS in Precision Agriculture [Электронный ресурс]. – Режим доступа: https://www.gpsworld.com/precision-agriculture-using-rtk-gps.
17. Сапаров А.Б., Почвы Казахстана: классификация и свойства [Электронный ресурс]. – Режим доступа: https://www.kaznau.kz/science/soil-science.
18. В Казахстане составляют карту засоленных почв [Электронный ресурс]. – Режим доступа: https://www.eldala.kz/news/agriculture/zasolenie-pochv (датаобращения: 11.04.2025).
19. Сергеев П.В., Автоматизация мониторинга почв [Электронный ресурс]. – Режим доступа: https://www.soil-journal.ru/jour/article/view/1234.

References

1. Pochvy Kazakhstana [Ehlektronnyi resurs]. – Rezhim dostupa: https://baraev.kz. (In Russian).
2. Sel'skoe khozyaistvo Kazakhstana: itogi i perspektivy [Ehlektronnyi resurs]. – Rezhimdostupa: https://kazdata.kz. (In Russian).
3. V Kazakhstane sostavlyayut kartu zasolennykh pochv [Ehlektronnyi resurs]. – 2020. – Rezhim dostupa: https://eldala.kz. (In Russian).
4. Ehroziya pochv v Akmolinskoi oblasti [Ehlektronnyi resurs]. – Rezhim dostupa: https://soil.kz. (In Russian).
5. Zasolenie pochv v Kyzylordinskoi oblasti [Ehlektronnyi resurs]. – Rezhim dostupa: https://adilet.zan.kz. (In Russian).
6. Metodika sozdaniya pochvennykh kart [Ehlektronnyi resurs]. – Rezhim dostupa: https://earthpapers.net. (In Russian).
7. Distantsionnoe zondirovanie pochv s ispol'zovaniem Sentinel-2 [Ehlektronnyi resurs]. – Rezhim dostupa: https://remotesensing.org (data obrashcheniya: 11.04.2025). (In Russian).
8. Ogranicheniya sputnikovykh dannykh v pochvovedenii [Ehlektronnyi resurs]. – Rezhim dostupa: https://geoinformatics.kz. (In Russian).
9. Tekhnologiya RTKGPS dlya geoprivyazki [Ehlektronnyi resurs]. – Rezhim dostupa: https://gpsworld.com (dataobrashcheniya: 11.04.2025). (In Russian).
10. Pochvy Almatinskoi oblasti: osobennosti i kartografirovanie [Ehlektronnyi resurs]. – Rezhim dostupa: https://soil.kz. (In Russian).
11. Primenenie neironnykh setei v analize pochv [Ehlektronnyi resurs]. – Rezhim dostupa: https://aijournal.org. (In Russian).
12. Tsifrovoe kartografirovanie pochv v Avstralii [Ehlektronnyi resurs]. – Rezhim dostupa: https://soilscience.org. (In Russian).
13. Programma «Tsifrovoi KazakhstaN» [Ehlektronny iresurs]. – Rezhim dostupa: https://gov.kz (dataobrashcheniya: 11.04.2025). (In Russian).
14. Melioratsiya zasolennykh pochv v Kyzylordinskoi oblasti [Ehlektronnyi resurs]. – Rezhim dostupa: https://irrigation.kz. (In Russian).
15. VIS-NIR Spectroscopy for Soil Analysis [Ehlektronnyi resurs]. – Rezhim dostupa: https://www.sciencedirect.com/science/article/pii/S0016706119303267. (In English).
16. RTK-GPS in Precision Agriculture [Ehlektronnyi resurs]. – Rezhim dostupa: https://www.gpsworld.com/precision-agriculture-using-rtk-gps. (In English).
17. Saparov A.B., Pochvy Kazakhstana: klassifikatsiya i svoistva [Ehlektronnyi resurs]. – Rezhim dostupa: https://www.kaznau.kz/science/soil-science. (In Russian).

18. V Kazakhstane sostavlyayut kartu zasolennykh pochv [Ehlektronnyi resurs]. – Rezhim dostupa: https://www.eldala.kz/news/agriculture/zasolenie-pochv (dataobrashcheniya: 11.04.2025). (In Russian).
19. Sergeev P.V., Avtomatizatsiya monitoringa pochv [Ehlektronnyi resurs]. – Rezhim dostupa: https://www.soil-journal.ru/jour/article/view/1234. (In Russian).

Н.Д. Бекен*, А.С. Тергеусизова
Университет имени М. Тынышпаева,
050012, Республика Казахстан, г. Алматы,ул.Шевченко 97
*e-mail: beken.nurlybek@mail.ru

РАЗРАБОТКА ПЕРЕДВИЖНОГО КОМПЛЕКСА ДЛЯ КАРТОГРАФИРОВАНИЯ ПОЧВЕННОГО СОСТАВА С ПОМОЩЬЮ GPS И ИСКУСТВЕННОГО ИНТЕЛЛЕКТА

В статье представлено комплексное исследование теоретических, методических и технологических основ разработки автоматизированного мобильного комплекса, предназначенного для высокоточного картографирования почв с применением GPS-навигации и технологий искусственного интеллекта. Актуальность работы обусловлена тем, что Казахстан характеризуется чрезвычайно разнообразной структурой почв – чернозёмами, каштановыми почвами, солончаками, аллювиальными и засоленными участками, что требует внедрения современных цифровых методов анализа.

На основе обширного литературного анализа рассмотрены возможности VIS-NIR спектроскопии, математического моделирования, машинного обучения, а также алгоритмов регрессии для определения основных почвенных параметров. Особое внимание уделяется коэффициенту детерминации (R^2), среднеквадратичной ошибке (RMSE), точности геопривязки RTK-GPS и вопросам масштабируемости цифрового картирования. Показано, что синергия ИИ и GPS значительно ускоряет процесс получения почвенных данных, повышает пространственное разрешение карт и обеспечивает улучшенную визуализацию распределения азота, фосфора, органического углерода и других ключевых показателей.

Разработка мобильного комплекса рассматривается как перспективное направление для аграрного сектора Казахстана, позволяющее минимизировать затраты, повысить точность агрохимического анализа, улучшить мониторинг деградации почв, эрозионных процессов и засоления. Применение подобных систем способствует формированию устойчивого земледелия, оптимизации ресурсного использования и совершенствованию стратегий управления земельными ресурсами. Полученные результаты подтверждают, что автоматизированные мобильные платформы обладают высоким потенциалом для внедрения в национальную систему почвенного мониторинга и цифровизации сельского хозяйства.

Ключевые слова: *почвы, искусственный интеллект, спектроскопия, GPS, моделирование, картография, мониторинг, автоматизация.*

N.D. Beken*, A.S. Tergesizova
M. Tynyshpaev University,
050012,Republic of Kazakhstan, Almaty,97 Shevchenko Street
*e-mail: beken.nurlybek@mail.ru

DEVELOPMENT OF A MOBILE COMPLEX FOR MAPPING SOIL COMPOSITION USING GPS AND ARTIFICIAL INTELLIGENCE

This article provides an extensive analytical overview of the scientific, methodological and technological foundations for developing an automated mobile system designed for high-precision soil composition mapping using GPS navigation and artificial intelligence. The relevance of this research is particularly significant for Kazakhstan, where soil conditions vary widely across regions – from chernozems to chestnut soils, saline soils and degraded landscapes. Such diversity requires advanced digital tools capable of performing rapid and accurate soil assessment.

The literature review reveals the strong potential of VIS-NIR spectroscopy, mathematical modelling techniques, machine learning algorithms and geoinformation systems for improving soil diagnostics. Emphasis is placed on evaluating model performance indicators such as the coefficient of determination (R^2) and root mean square error (RMSE), as well as the role of RTK-GPS in achieving centimeter-level geospatial accuracy. The integration of AI-enabled spectral analysis with GPS-based georeferencing ensures the generation of high-resolution soil maps (3-7 m), allowing precise identification of nitrogen, phosphorus, potassium, organic carbon and other vital soil attributes.

Furthermore, automated mobile platforms significantly reduce time and labor costs, increase analytical efficiency and provide valuable decision-making tools for sustainable agriculture. They support targeted fertilizer application, soil fertility management, monitoring of erosion and salinization processes and assessment of agroecological risks. The findings confirm that implementing AI- and GPS-integrated mobile systems in Kazakhstan can substantially enhance soil monitoring infrastructure, optimize agricultural resource management and strengthen long-term environmental sustainability.

Key words: *soil, artificial intelligence, spectroscopy, GPS, modelling, cartography, monitoring, automation.*

Авторлар туралы мәліметтер

Нүрлыбек Данабекұлы Бекен* – «Электр энергиясы жүйелері» мамандығы бойынша докторант, Автоматтандыру және басқаруфакультеті, Мұхамеджан Тынышбаев атындағы ALT Университеті, Алматы, Қазақстан Республикасы; e-mail: beken.nurlybek@mail.ru. ORCID: https://orcid.org/0009-0003-7230-8979.

Әлия Советжанқызы Тергеусізова – PhD, Жасанды интеллект және үлкен деректер кафедрасының аға оқытушысы, Cisco желілік академиясының оқытушысы, КазНУ Университеті, Алматы, Қазақстан Республикасы; e-mail: a.tergeusizova@aues.kz. ORCID: https://orcid.org/0009-0003-7230-8979.

Сведения об авторах

Нурлыбек Данабекулы Бекен* – докторант по специальности «Электроэнергетические системы», Факультет автомвтизация и управление, АЛТ Университет им. М. Тынышпаева, Алматы, Республика Казахстан; e-mail: beken.nurlybek@mail.ru. ORCID: https://orcid.org/0009-0003-7230-8979.

Алия Советжановна Тергеусизова – PhD, Факультет автоматизация и управление, АЛТ Университет им. М. Тынышпаева, Алматы, Республика Казахстан; e-mail: a.tergeusizova@aues.kz. ORCID: https://orcid.org/0009-0003-7230-8979.

Information about the authors

Nurlybek Danabekuly Beken – PhD student in the specialty «Electric Power Systems», Faculty of Automation and Control, ALT University named after M. Tynyshpayev, Almaty, Republic of Kazakhstan; e-mail: beken.nurlybek@mail.ru. ORCID: https://orcid.org/0009-0003-7230-8979.

Aliya Sovetzhanovna Tergeusizova – PhD, Faculty of Automation and Control, ALT University named after M. Tynyshpayev, Almaty, Republic of Kazakhstan; e-mail: a.tergeusizova@aues.kz. ORCID: https://orcid.org/0009-0003-7230-8979.

Редакцияға енуі 19.09.2025
Өңдеуден кейін түсуі 20.11.2025
Жариялауға қабылданды 24.11.2025

https://doi.org/10.53360/2788-7995-2025-4(20)-18

CC BY 4.0
Check for updates

ҒТАХР: 68.47.31

Д.С. Буданов*, А.Ж. Тойғожинов[2]
Мұхамеджан Тынышбаев атындағы ALT Университеті,
Қазақстан Республикасы, Алматы қ.
*e-mail: budanov.darhan@bk.ru

ЖАСАНДЫ ИНТЕЛЛЕКТТІ ҚОЛДАНА ОТЫРЫП СЕКСЕУІЛ ТҰҚЫМДАРЫН ЖИНАУДЫ АВТОМАТТАНДЫРУ

Аңдатпа: *Қазақстан шөлейттену мен жердің тозу проблемасымен бетпе-бет келіп отыр, әсіресе оңтүстік облыстар мен Арал өңірінде жыл сайын шамамен 150 миллион тонна тұздың тасымалдануы экологиялық жағдайдың нашарлауына алып келеді. Топырақты тұрақтандырудың негізгі құралдарының бірі 6 миллион гектардан астам жерді алып жатқан сексеуіл. Дегенмен, оның тұқымын жинаудың дәстүрлі әдістері тиімсіз, бұл орманды қалпына келтіру мүмкіндіктерін шектейді.*

Бұл зерттеудің мақсаты қазіргі заманғы технологияларды, соның ішінде жасанды интеллект (ЖИ), қашықтықтан зондтау және робототехниканы қолдана отырып, сексеуіл тұқымын жинаудың автоматтандырылған жүйесін әзірлеу үшін бар әдебиеттерді талдау болып табылады. Зерттеу барысында спутниктік деректер (KazEOSat, Sentinel), терең оқыту

алгоритмдері (CNN, Random Forest), ұшқышсыз ұшатын аппараттар (ҰҰА), IoT жүйелері және перспективалы инновациялық технологиялар зерттелді.

Мақалада заманауи технологиялық шешімдерді пайдалана отырып, ормандарды қалпына келтіру шараларының тиімділігін арттыру және өсімдіктердің тіршілігін жақсарту үшін айтарлықтай әлеуетті көрсетеді. Зерттеу нәтижелері бұл технологиялардың Арал өңірін тұрақты жасылдандыруға елеулі үлес қоса алатын мүмкіндіктері анықталды. Дегенмен де, олардың Қазақстан жағдайына бейімделуі қосымша зерттеулерді қажет етеді.

Түйін сөздер: *Жасанды интеллект, ауылшаруашылығы, сексеуіл тұқымдары, автоматтандыру, тұқымдарды жинау.*

Кіріспе

Бүгінгі таңда Қазақстан климаты жоғары температурамен, жауын-шашынның аздығымен және қатты желмен ерекшеленетін оңтүстік өңірлерінде шөлейттену және жердің тозу проблемасына тап болған елдердің бірі болып табылады. Аталған факторлар топырақ құнарлылығының төмендеуіне, ауыл шаруашылығы үшін жағдайлардың нашарлауына және табиғи экожүйелердің қысқаруына алып келеді. Құрғақ аймақтардағы өсімдіктерді қалпына келтіру экология тұрғысынан ғана емес, табиғи ресурстарға тәуелді өңірлерде әлеуметтік-экономикалық теңгерімді қолдау үшін де маңызы зор.

Еліміздің ауыл шаруашылығында жер ресурстарын тиімсіз пайдаланудан экономикалық залал 700 млн долларға бағаланады (БҰҰДБ деректері бойынша). Шөлдер мен шөлейттердің экожүйесінде шешуші рөл атқаратын бірегей өсімдік сексеуіл жердің тозуынан табиғи түрде қорғайды. Қазақстан сексеуіл ормандарының ауданы бойынша әлемде бірінші орында тұр (6 млн гектардан астам), бұл республика бойынша барлық орман алқаптарының жартысын құрайды [1]. Халықтың өсуі ресурстарға сұранысты арттырып [2], тұрақтылықты сақтай отырып, өндірісті ұлғайтуды талап етеді [3]. Сексеуіл ормандары микроклиматтың жақсаруына, ауа ылғалдылығының артуына және флора мен фаунаның әртүрлі түрлерінің тіршілік етуіне жағдай жасайды. Одан басқа, сексеуіл ауыл шаруашылығы жануарлары үшін азық базасы ретінде пайдаланылады. Сонымен қатар, жергілікті халық үшін жоғары экономикалық мәнге ие.

Осыған байланысты жасанды интеллект арқылы сексеуіл тұқымын жинаудың автоматтандырылған жүйесін әзірлеу және енгізу кезек күттірмейтін міндетке айналып отыр. Сонымен қатар, Президент Қасым-Жомарт Кемелұлы Тоқаев өзінің жолдауында жасанды интеллектіні дамыту ЖІӨ өсіміне серпін беретінін атап көрсетті.

Сексеуіл эрозияны болдырмайды, құмды бекітеді және су балансын сақтайды. Дегенмен де, заңсыз ағаш кесу үлкен мәселе болып қалуда, мысалы: 2018 жылы 3000 гектарға 300 оқиға, 2019 жылы 2800 гектарға 224 заңсыз сексеулді шабу жағдайы орынд алды [4]. Арал теңізі түбінің шөлейттенуі (6 млн га) жыл сайын 150 млн тонна тұзды тасымалдап, қоршаған орта мен халықтың денсаулығын нашарлатады [5]. 2021 жылы әуе егісі арқылы 14,5 тонна тұқым жиналды. Алайда сексеуіл тұқымын жинаудың дәстүрлі әдістері өнімділіктің төмендігі, процестің жоғары еңбек сыйымдылығы және тұқым материалының айтарлықтай жоғалуы сияқты бірқатар қиындықтарға тап болады. Көптеген жағдайларда тұқым қолмен жиналады. Ол едәуір уақыт пен адам ресурстарын талап етеді. Сондай-ақ тұқымның тіршілік қабілетінің шектеулі мерзімі маңызды мәселенің бірі. Демек, өсу тиімділігін арттыру үшін жедел жинауды және егуді меңзейді. Жаңа технологиялар ауылшаруашылығындағы өнімділікті арттыру және қоршаған ортаға зиянды азайту секілді мәселелердің шешімін таба алады [6]. Бүгінде ауылшаруашылығында автоматтандыруды жеделдету үшін ЖИ және қашықтықтан зондтау технологияларын пайдалану мәселесі өзекті бола бастады.

Зерттеу машиналық оқыту және робототехника технологиялары негізінде сексеуіл тұқымын жинаудың автоматтандырылған жүйесін әзірлеуге арналған. Негізгі назар тұқымның пісіп-жетілуін анықтау және бағалау алгоритмдерін жасауға, сондай-ақ оларды тиімді жинау үшін дрондар мен роботтандырылған платформаларды қолдануға аударылады. Мұндай технологияларды енгізу тозған жерлерді қалпына келтіру, шөлейттенуге қарсы күрес және өзгермелі климаттық жағдайларға бейімделу жөніндегі мемлекеттік және халықаралық бағдарламаларды іске асыруда маңызды қадамның бірі

Бұл процестерді автоматтандыру Қазақстанның табиғи мұрасын сақтау жөніндегі жаңа экологиялық бастамалар мен стратегиялардың дамуына да әсер етуі мүмкін.

Жасанды интеллект арқылы сексеуіл тұқымын жинауды автоматтандыру процестің тиімділігі мен дәлдігін арттыруға, шығындарды азайтуға және адам факторының әсерін

барынша азайтады. Қашықтықтан зондтау, терең оқыту және роботтық жүйелер технологияларын пайдалану өсімдіктерді дәл анықтауға, егін жинаудың оңтайлы уақытын болжауға және өнімділікті арттыруға көмектеседі. IoT, бұлтты есептеулер және үлкен деректерді өңдеу интеграциясы нақты уақытта қоршаған ортаны бақылауға және басқару алгоритмдерін бейімдеуге мүмкіндік береді. Мұндай шешімдерді жүзеге асыру Қазақстандағы экожүйені қалпына келтіруде, шөлейттену процестерінің алдын алуда және аграрлық сектордың тұрақты дамуына ықпал етуде маңызды рөл атқарады.

Зерттеудің мақсаты – Қазақстанда ормандарды молықтыру және шөлейттенумен күресу тиімділігін арттыру мақсатында ЖИ, қашықтықтан зондтау және робототехниканы қолдана отырып, сексеуіл тұқымын жинаудың автоматтандырылған жүйесін әзірлеу бойынша әдебиеттерге шолу жасау.

Зертеу барысындағы негізгі міндеттер:

1. Спутниктік деректер мен ЖИ топырақ пен тұқым талдауын жақсарту мәселесі;
2. ҰАО жоғары дәлдікпен тұқым жинау мен себуді тездету жолдары;
3. IoT жүйелері мен гидрогель технологиялырына зерттеу жүргізу.
4. Жабындау тәсілінің эрозияға қарсы әсерінің тиімділігін анықтау;
5. Жаңа робототехниканың тұқым жинау мүмкіндіктерін қарастыру

Зерттеу әдістері

Scopus, Web of Science, Google Scholar деректері және ауыл шаруашылығындағы ЖИ туралы жарияланымдар пайдаланылды [7]. Спутниктік суреттер (Sentinel-1, Sentinel-2, KazEOSat), қашықтықтан зондтау нәтижелері және Қазақстандағы пилоттық жобалар талданды [8]. Ван [9] және т.б. авторлардың топырақтың тұздылығын бағалау үшін далалық өлшемдермен біріктірілген спутниктік деректер. Фаннон және т.б зерттеушілердің. [10] Австралияда ағаш отырғызу үшін дрондарды, Чжан [11] суару үшін IoT жүйелері мен гидрогельді қолдану еңбегі, Мванги және т.б. ғалымдардың [12] Кенияда қашықтан зондтау және жабындау тәсіліне шолу жасалынды. Қазақстанда «Сандық Қазақстан» бағдарламасы жер мониторингі үшін KazEOSat [13] және гуманоид роботтар мен үйір роботтарының сексеуіл тұқымдарын автоматты түрде жинау мақсатында пайдалану мүмкіндіктері қарастырылып, талдау жүргізілді.

Зерттеу нәтижелері

Сексеуіл Қазақстанның құрғақ аймақтарында топырақты тұрақтандыруда, шаңды дауылдарды азайтуда және биоалуантүрлілікті сақтауда маңызды рөл атқарады [14]. Оның құмды бекітіп, су тепе-теңдігін сақтай алатын қасиеті шөлейттенуге қарсы күресте, әсіресе, еліміздің оңтүстік аймақтарында, мысалы, Арал өңірі мен Маңғыстау өңірінде таптырмас құрал етеді. Халық санының өсуі [15] және осыған байланысты экожүйені қалпына келтіру және тұрақты ауыл шаруашылығын қамтамасыз ету үшін жасыл желектерге деген қажеттіліктің артуы [3] ормандарды қалпына келтірудің жаңа тәсілдерін әзірлеу қажеттілігін көрсетеді. Сексеуіл тұқымын жинаудың қол еңбегіне негізделген дәстүрлі әдістерінде елеулі шектеулер бар: жоғары еңбек сыйымдылығы, тұқымның өміршеңдігінің шектелуінен және төмен өнімділігінен тұқымдық материалдың айтарлықтай жоғалуы процесті кең аумақтарда, мысалы, Арал теңізінің 6 млн га кепкен түбінде тиімді түрде кеңейтуге мүмкіндік бермейді [16]. Бұл мәселелер маусымдық шектеулермен, шалғай шөлді аймақтарға қол жеткізудің қиындығымен және механикаландырудың жоқтығымен толықтырылып, дәстүрлі тәсілдерді заманауи көгалдандыру қажеттіліктеріне жарамсыз етеді.

Қашықтықтан зондтау, үлкен деректерді талдау және машиналық оқытудың заманауи технологиялары сексеуіл тұқымын жинау, жіктеу және тарату процестерін оңтайландырудың жаңа мүмкіндіктерін береді.

Көпспектрлі және гиперспектрлік камералармен жабдықталған ұшқышсыз ұшатын аппараттарды пайдалану жерді бақылауға, егіс үшін қолайлы аумақтарды анықтауға және топырақтың жағдайын бағалауға мүмкіндік береді. Терең оқыту және компьютерлік көру әдістері тұқымдарды анықтау процесін автоматтандыруға, тұқым таңдау дәлдігін арттыруға және механикаландырылған жинау жүйелерінің тиімділігін арттыруға мүмкіндік береді. Сонымен қатар, осы процестің тиімділігін арттыру үшін қолданылатын әдістер мен технологияларды талдау. Ормандарды молықтыру және шөлейттенумен күресу саласында жасанды интеллект пен робототехниканы қолдану мүмкіндіктерін зерделеуге ерекше назар аударылады.

Қазақстанда және әлемнің басқа елдерінде сандық технологиялар аграрлық секторда белсенді қолданылуда. Мысалы, Ресейде «Сандық ауыл шаруашылығы» ведомстволық жобасы әзірленді. Ол «Агрошешім» модулінің көмегімен АӨК-ке сандық, ақпараттық және зияткерлік технологияларды енгізу жөніндегі іс-шаралар кешенін көздейді. Жобада ауыл шаруашылығы мақсатындағы жерлер, тұқымдар, тыңайтқыштар, ауыл шаруашылығы машиналары және т.б. туралы деректерді жинау мен сақтаудың кіші жүйелерін құру жоспарлануда. Осы кіші жүйелерді дамыту үшін базалық технологиялар қашықтықтан зондтау, радиожиілікті сәйкестендіру, IoT, бұлтты технологиялар, «Big Data» үлкен деректерді өңдеу құралдары, жасанды интеллект және дағдылы процестерді роботтандыру болып табылады.

Әзірленіп жатқан тұғырнаманың басты міндеттерінің бірі ауыл шаруашылығы өнімдерін өндірудің технологиялық процестерін бақылау мен басқарудың сандық және зияткерлік жүйелерін енгізу есебінен өндірістік процестерді автоматтандыру. Ауыл шаруашылығын цифрлық трансформациялау жөніндегі жобаны іске асыру берілетін деректер ағынының, оның ішінде тікелей далада орналасқан құрылғылар мен ауыл шаруашылығы техникасынан едәуір өсуіне алып келеді. Бұл деректерді берудің жоғары емес жылдамдығы мен жабу аймағының жеткіліксіздігі бар ауылдық ұтқыр желілерге жүктемені ұлғайтады.

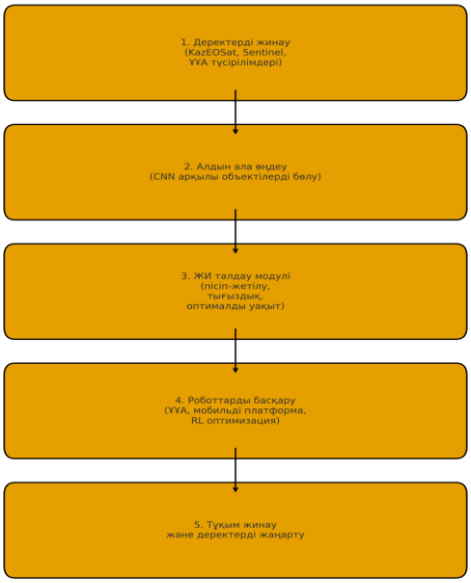
Цифрландырудың осыған ұқсас процестері Қазақстанда да байқалады. Онда ауыл шаруашылығында қазіргі заманғы технологиялар белсенді енгізілуде. Жасанды интеллект пен роботтандырылған жүйелерді пайдалану ауыл шаруашылығы процестерін автоматтандыруға мүмкіндік береді. Ол аграрлық сектордың өнімділігі мен тиімділігін арттырады.

Одан басқа, Ресейде дронның көмегімен сексеуілді отырғызуды қоса алғанда, ормандар мен құрғақшылық аймақтарды қалпына келтіру үшін ұшқышсыз технологияларды пайдалану мүмкіндігі қарастырылуда. Мұндай әдістер тұқымдарды үлкен аумақтарда таратуға мүмкіндік береді. Бұл экожүйелерді қалпына келтіруге және шөлейттенуге қарсы күреске ықпал етеді. Қазақстан жергілікті климат пен экожүйенің ерекшеліктерін ескере отырып, осындай тәсілдерді зерделей және бейімдей алады. Мұндай технологияларды енгізу көгалдандыру процесін жеделдетуге, топырақтың сапасын жақсартуға және ауыл шаруашылығы алқаптарының климаттық өзгерістерге тұрақтандыруға көмектеседі.

Ғылыми нәтижелерді талқылау

И.А. Старостин., С.А. Давыдова және А.В. Ещин өздерінің осы зерттеулерінде өсімдіктерді автоматтандырылған егуді және тозған жерлерді қалпына келтіруді қоса алғанда, аграрлық секторда ұшқышсыз технологияларды пайдаланудың перспективалылығын көрсетеді [17]. Сондай-ақ, зерттеуші А. Камиларис және Ф.Х. Пренафета-Болду [18], (2018) еңбектерінде топырақ, ылғалдылық және климаттық жағдайлар туралы деректерді талдау үшін машиналық оқыту мүмкіндіктері талқылайды. Авторлар «Random Forest» және нейрондық желілер сияқты алгоритмдер сексеуілді қоса алғанда, өсімдіктерді отырғызу үшін оңтайлы жағдайларды тиімді болжай алатынын баса айтады (Сурет 1). Зерттеуде алгоритмдер құрғақ өңірлерде өсімдіктерді отырғызудың табыстылығын болжауда 85%-ға дейінгі дәлдікті көрсеткендігін келтіреді. Олар үлкен көлемдегі ақпараттарды талдау тенденцияларды анықтауға, шығымдылықты болжауға және агроэкожүйелерді басқаруды оңтайландыруға мүмкіндік беретінін баса айта отырып, үлкен деректерді ауыл шаруашылығында пайдалануды қарастырды. Ал Бастиансен, Молден, Макин (2000) ауыл шаруашылығындағы қашықтықтан зондтау әдістерін зерттеп, соның ішінде жерсеріктен түсірілген суреттерді, әуе жүйелерін және ұшқышсыз ұшатын аппараттарды топырақ пен егіннің жағдайын бағалау үшін пайдалану мүмкіндіктерін талданды. Олар қашықтықтан зондтау экожүйелерді ауқымды бақылауға, проблемаларды уақтылы анықтауға және ферма жұмысын оңтайландыруға мүмкіндік беретінін көрсетті.

Әдеби шолу спутниктік жүйелерді және ұшқышсыз ұшу аппараттарын пайдалана отырып қашықтықтан зондтау экожүйелерді талдау және сексеуіл себуге топырақты дайындау үшін кең перспективалар көзін ашатынын көрсетеді. Bastiaanssen [19] спутниктік деректер кеңістіктік және уақытша рұқсаты жоғары үлкен аумақтарға мониторинг жүргізуге мүмкіндіктерін сипаттайды. Бұл сексеуіл ормандарының жай-күйін бағалау және тозған учаскелерді анықтау үшін ерекше маңызды. Wang, X., Zhang, Y. және Chen, Z. [9] өзінің зерттеулерінде құрғақ аймақтарда далалық өлшеулермен спутниктік деректердің интеграциясы (мысалы, Sentinel-2) топырақтың тұздануын бағалаудың қателігін 5% -ға дейін төмендетеді және отырғызуға жарамсыз учаскелерді алып тастайнын дәлелді.



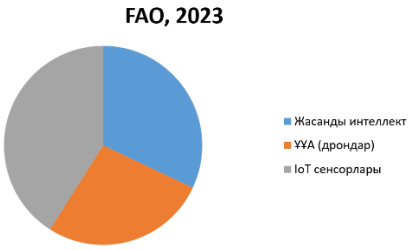
Сурет 1 – ЖИ негізінде сексеуіл тұқымын жинау жүйесінің жұмыс алгоритмі

Яғни, аталған технологияны сексеуіл егу аймақтарын таңдауды оңтайландыру мақсатында Арал өңірінде пайдалануға болады. Liaghat және Balasundram [20] ҰҰА-да орнатылған мультиспектрлік камералар өсімдіктер мен топырақ жағдайын, соның ішінде ылғалдылық деңгейін және сексеуіл тұқымының жетілуін бақылауда әлеуетті қолданбалы органикалық заттардың мазмұнын дәл бағалауды қамтамасыз ететінін атап өтеді. Ozdogan құрғақтық пен жел эрозиясына байланысты дәстүрлі өлшеу әдістері қиын шөлді жерлерде топырақтың ылғалдылығын талдау үшін беткі доғалық радардың (SAR) әлеуетін көрсетеді. Mwangi [12] Кенияда жүргізілген зерттеулер органикалық материалдармен мульчирование жел эрозиясын 30-40%-ға азайтып, тұқым өсіруге қолайлы жағдай туғызатынын анықтады. Zhang [6] жұмысында Түркіменстандағыдай шектеулі жауын-шашын жағдайында суды тұтынуды 25%-ға азайтатын және өсімдіктердің өмір сүруін 15-20%-ға арттыратын ылғалдылық пен температура сенсорлары бар IoT негізіндегі смарт суару жүйелерін ұсынды. Аталған жүйелер судағы өз салмағынан жүздеген есе көп сіңіретін гидрогельмен біріктіріліп, топырақ құрылымын жақсартады. Яғни, осы тәсілді Қазақстанның құрғақ аймақтары үшін ылғалды сақтау тәсілі ретінде пайдалануға болады. Fannon [10] Австралияда дәл себу жүйесі бар дрондар қолданудың маңыздылығын олар жоғары отырғызу дәлдігімен тәулігіне 100 000 тұқым жылдамдығына қол жеткізеді. Бұл еліміздегі Арал өңірі сияқты үлкен аумақтарда сексеуіл егуді ҰҰА-мен жылдамдату үшін ерекше мүмкіндік.

Терең оқыту (DL) – күрделі деректерді талдауға және ауыл шаруашылығындағы процестерді автоматтандыруға, соның ішінде тұқым жинау мен топырақты дайындауға арналған қуатты құрал. Kamilaris және Prenafeta-Boldú [10] өз шолуларында DL спутниктік суреттерді, дрон деректерін және климаттық көрсеткіштерді тиімді өңдейтінін, бұл өсімдіктерді жіктеуге және оның жағдайын жоғары дәлдікпен болжауға мүмкіндік беретінін атап көрсетеді. LeCun және Bengio [11] гиперспектрлік кескіндердегі сексеуіл тұқымдарының пісіп-жетілуін тану немесе KazEOSat және Sentinel-2 деректері негізінде топырақтың саулығын бағалау үшін пайдаланылатын кескіндерден мүмкіндіктерді автоматты түрде шығаратын конволюционды нейрондық желілердің (CNN) негізін қалады. Deng мен Yu терең оқыту үлкен көлемдегі деректерді өңдеуге болатынын атап өтеді, бұл сексеуіл 6 миллион гектардан астам аумақты алып жатқан Арал өңірінің кең-байтақ аумақтарын талдау үшін өте маңызды. Wan температура мен жауын-шашын сияқты климаттық деректер негізінде тұқым жинаудың оңтайлы уақытын болжауға мүмкіндік беретін DL уақыт қатарын өңдеу мүмкіндігін атап көрсетеді. Najafabadi нақты уақыт режимінде суару және сексеуіл егу процестерін басқару үшін перспективалы ылғалдылық пен температура сенсорларын қоса алғанда, IoT жүйелерінің құрылымданбаған деректерімен DL біріктіру мүмкіндігіне зерттеу жүргізеді. Старостин [17] Қызылорда облысында сексеуіл жинау мен егуді автоматтандыруға бейімделуі мүмкін ылғалдылық пен температура деректерін біріктіретін ЖИ негізіндегі ұшқышсыз басқару жүйесін әзірледі.

«Цифрлы Қазақстан» бағдарламасы аясында қазірдің өзінде 1 м-ге дейінгі рұқсаты бар KazEOSat-1 және KazEOSat-2 жерсеріктері жерлер мен сексеуіл ормандарын бақылау үшін пайдаланылуда [13], олар Fannon сипаттаған дрондармен үйлеседі. Сонымен қатар, үлкен аумақтарды жасылдандыруды жеделдетуге негіз жасайды.

Шолу барысында анықталған перспективалы технологияларға сексеуіл тұқымын жинау үшін әлеуетті қолданбалы робототехника мен ЖИ-дің жаңа әзірлемелері кіреді. Дегенмен олардың Қазақстанның нақты жағдайларына бейімделуі қосымша зерттеулерді қажет етеді. 2024 жылы қытайлық AgiBot компаниясы ауыл шаруашылығындағы күрделі тапсырмаларды орындауға арналған ЖИ және манипуляторлармен жабдықталған адам тәрізді роботтар A2 және Lingxi X1 ұсынды. Бұл роботтар жету қиын аймақтарда автономды түрде жұмыс істей алады. Оларды Қазақстанның рельефінің тегіс еместігі мен шалғай болуына байланысты қолжетімділігі шектеулі шөлді аймақтарда сексеуіл тұқымын жинауға перспективалы етеді. Ресейде белсенді түрде дамып келе жатқан Swarm робототехникасы, бір уақытта бірнеше бұтадан тұқым жинау сияқты жаппай тапсырмаларды орындау үшін ЖИ арқылы үйлестірілген мини-дрондар топтарын пайдалануды қамтиды. Бұл тәсіл үлкен аумақтарда сексеуіл тұқымын жинаудың жылдамдығы мен қамтылуын жақсартуы мүмкін, дегенмен оның шөл жағдайында тиімділігі әлі зерттелмеген. Робототехникада кеңінен қолданылатын күшейтілген оқыту (RL) роботтар мен дрондардың траекторияларын оңтайландырады. Ол энергия шығынын азайту және дәлдікті арттыру арқылы тұқым жинау процесін жақсартуға мүмкіндік береді. 2024 жылы Қазақстандағы Ақпараттық және есептеу технологиялары институты 2024-2029 жылдарға арналған ЖИ-ны дамыту тұжырымдамасы аясында ұлттық үлкен тіл үлгісін (LLM) әзірлеуді бастады [13]. Бұл модель қоршаған ортаны қорғау деректерін талдау, сенсорлық ақпаратты біріктіру және сексеуіл тұқымын жинаудың автоматтандырылған жүйелерін басқару үшін де қолдануға болады. Дегенмен оны ормандарды молықтыруға арнайы пайдалану одан әрі дамытуды қажет етеді (Сурет 2).



Сурет 2 – ЖИ, ҰҰА және IoT технологияларының ауыл шаруашылығында қолданылу үлесі

Диаграмма көрсеткендей, ең көп қолданылатын технология – IoT сенсорлары (41%), одан кейін ЖИ (32%) және ҰҰА (27%). Бұл сексеуіл тұқымын жинауда осы үш технологияны біріктіріп қолданудың тиімді екенін дәлелдейді.

Әлемдік тәжірибе сексеуіл ормандарын қалпына келтіруге ұқсас міндеттер үшін қарастырылатын технологиялардың әлеуетін растайды. Қытайда ЖИ және спутниктік мониторинг топырақ пен өсімдік деректерін талдау арқылы жасылдандыру үшін учаскелерді таңдау процесін жақсартты.Бұл Қазақстанда сексеуіл егуді оңтайландыруға жарамды. АҚШ-та IoT смарт суару жүйелері құрғақ аймақтарда суды үнемдеуге мүмкіндік берді [14]. Аталған жүйе Арал өңірі сияқты жауын-шашын тапшылығы бар аймақтар үшін маңызды. Түркіменстанда гидрогельді қолдану шөлді жағдайларда өсімдіктердің тіршілігін арттырды [6]. Яғни, еліміздің ұқсас жергілікті топырақ ерекшеліктерін ескере отырып, сексеуілге бейімдетуге болады. Кенияда қашықтықтан зондтау және жабыну әдісі топырақ эрозиясын сәтті азайтты [14]. Осыны тәжірбиені ескере отырып, сексеуіл дақылдарын желдің кернеуінен қорғауға мақсатында пайдалануға болады. Австралияда дәл тұқым себетін дрондар үлкен аумақтардағы ормандарды қалпына келтіруді жылдамдатты [10], сексеуілді отырғызуды жеделдету мақсатына жету үшін Қазақстанда осыған ұқсас тәсілді қолдану мүмкіндігі бар [15]. Қазақстандық жобалар, мысалы, «Цифрлық Қазақстанның» бөлігі ретінде KazEOSat [13] пайдалану, қазірдің өзінде ЖИ және робототехникамен интеграция арқылы кеңейтілуі мүмкін жер мен өсімдіктер мониторингі үшін негіз құруда. Дегенмен, сексеуілге осы технологияларды қолдану бойынша нақты зерттеулердің болмауы олардың жергілікті жағдайларда тиімділігін бағалау үшін пилоттық жобалардың қажеттілігін көрсетеді.

Қазақстан жағдайында перспективалы робот түрлері

Қазақстанның шөл және шөлейт аймақтарына бейімделген ең тиімді робот түрлері мыналар:

1) Гуманоид роботтар (мысалы, AgiBot A2, Lingxi X1)

– адамның қол еңбегін алмастыра алады;

– бұта құрылымына соқпай, дәл әрекет етеді;

– жету қиын аймақтарда жұмыс істей алады.

2) Мобильді робот платформалары (вездеходтар)

– құмды, тастақты және бұдырлы жерлерде жоғары өтімділікке ие;

– энергия тұтынуы төмен;

– кең аумақта тұқым жинауға жарамды.

3) Үйірлік роботтар (swarm robotics)

– ондаған мини-дрон бір уақытта жұмыс істей алады;

– тұқым жинау жылдамдығы бірнеше есе артады;

– ҰҰА тобы дербес үйлесімді қозғала алады.

Бұл робот түрлері Қазақстанның климатына, жел режиміне және жер бедеріне ең тиімді шешім болып табылады.

ЖИ, ҰҰА және IoT қолданатын автоматтандыру тұқым жинау өнімділігін айтарлықтай жақсарта алады. Сондай-ақ, Арал ауданын жасылдандыруды жеделдеуі мүмкін. Бірақ, бұл технологияларды сексеуілге қолданудың нақты нәтижелері Қазақстанда тәжірибелік сынақтарды жүргізу керек (1-кесте).

Кесте 1 – Сексеуіл тұқымын жинау және топырақ дайындау технологиялары

Технология	Қолданылуы	Артықшылықтары
Қашықтан зондтау	Экожүйелер мен топырақтардың мониторингі	Кең қамту
Гиперспектральды бейнелеу	Тұқымның және топырақтың жетілуін бағалау	Жоғары дәлдік
Терең оқу	Классификация және болжау	Жоғары дәлдік
ҰҰА	Тұқымдарды жинау және себу	Жоғары дәлдік
IoT және гидрогель	Ылғалдылықты оңтайландыру	Суды үнемдеу
Жабыну	Эрозияның алдын алу	Суды қорғау

Қорытынды

Әдебиеттерге шолу спутниктік мәліметтерді, ЖИ және робототехниканы пайдаланатын ақылды егіншіліктің Қазақстандағы сексеуіл ормандарын қалпына келтірудің жоғары әлеуеті бар екенін растайды. Дәстүрлі тұқым жинау әдістері тиімсіз, сондықтан автоматтандыру қажет. Спутниктік мониторинг (KazEOSat, Sentinel-2) және тереңдетіп оқыту топырақ пен өсімдік жағдайын нақты талдауға, егіс алаңдарын таңдауды оңтайландыруға мүмкіндік береді. ҰҰА тұқым себуді тездетеді. Ал IoT жүйелері мен гидрогель өсімдіктердің, әсіресе құрғақ аймақтарда өмір сүруін арттырады. Бұл технологияларды кешенді қолдану ормандарды қалпына келтіру тиімділігін айтарлықтай арттырып, шөлейттенумен күресуге көмектеседі.

Робототехника мен ЖИ саласындағы заманауи әзірлемелер сексеуіл тұқымын жинауды автоматтандырудың жаңа мүмкіндіктерін ашады. Бірақ, олардың Қазақстан жағдайларына бейімделуі қосымша зерттеулерді қажет. Гуманоидтық роботтар мен үйір роботтары процестің тиімділігін арттырса, ал күшейтілген оқыту және үлкен тіл үлгілері деректерді басқару мен талдауды жақсартады (2-кесте).

Кесте 2 – Тұқым жинаудың перспективалық технологиялары

Технология	Қолданылуы	Артықшылықтары
Гуманоид роботтар	Қол жету қиын жерлерде тұқым жинау	Дербестік, дәлдік
Үйір робототехникасы	Тұқымды жаппай жинау	Жоғары дәлдік
Оқытуды күшейту	Робот траекторияларын оңтайландыру	Тиімділік, үнемдеу
Үлкен тіл үлгілері	Деректерді талдау және басқару	деректерді біріктіру

Әлемдік тәжірибе осы технологияларды экожүйені қалпына келтіруде табысты қолдануды көрсетеді (3-кесте): Қытайда спутниктік мониторинг және ЖИ, АҚШ-та IoT суару шешімдері, Түркіменстанда гидрогель, Кенияда мульчирование және Австралияда дрондар. Қазақстанда қазірдің өзінде «Цифрлық Қазақстан» бағдарламасы және KazEOSat қолдану арқылы инновацияларды енгізуге негіз бар.

Кесте 3 – Технологияларды қолданудың әлемдік тәжірибесі

Ел	Технология	Қолдану сипаттамасы	Нәтижиесі
Қытай	Топырақты талдауға арналған ЖИ	Жерсеріктік деректерді талдау және егіс үшін оңтайлы учаскелерді таңдау үшін ИИ пайдалану	Себу үшін учаскелерді таңдау тиімділігін арттыру.
АҚШ	IoT және ақылды суару	Құрғақ аймақтарда IoT және ЖИ көмегімен суаруды автоматтандыру	Су шығынын 25% -ға төмендету және өнімділікті арттыру.
Австралия	Ағаш отырғызуға арналған дрондар	Тозған аймақтарда дрондардың көмегімен ағаштар отырғызу.	90% дәлдікпен күніне 100 000-ға дейін тұқым себілді.
Кения	Спутниктік мониторинг	Жер жағдайын бағалау және қалпына келтіруді жоспарлау үшін спутниктік деректерді пайдалану.	Жерді қалпына келтіру мониторингі мен басқаруды жетілдіру.

Технологиялардың қолдану мүмкіндігін бағалау үшін спутниктік деректерді, ҰҚА, IoT және робототехниканы сынауды қамтитын пилоттық жобалар (2025-2026) қажет. Олардың сәтті бейімделуі сексеуіл ормандарын қалпына келтіруді және аридті аймақтардың тұрақты дамуын айтарлықтай жылдамдата алады.

Әдебиеттер тізімі

1. Informburo.kz. Саксаул в Казахстане: спасение пустынь. – 2019. – URL: https://informburo.kz/stati/saksaul-v-kazahstane-spasenie-pustyn.
2. Kitzes J. Shrinkage of the human ecological footprint / J. Kitzes // Proceedings of the National Academy of Sciences. – 2008. – Vol. 105, № 36. – P. 13151-13156. https://doi.org/10.1073/pnas.0711440105.
3. FAO. Global agriculture towards 2050. – Rome: Food and Agriculture Organization of the United Nations, 2009. http://www.fao.org/fileadmin/templates/wsfs/docs/Issues_papers/HLEF2050_Global_Agriculture.pdf.
4. Комитет лесного хозяйства РК. Отчёт о незаконной вырубке саксаула. – 2019. https://www.gov.kz/memleket/entities/les?lang=ru (официальный сайт, точный отчёт требует запроса).
5. Informburo.kz. Саксаул в Казахстане: спасение пустынь. – 2019. https://informburo.kz/stati/saksaul-v-kazahstane-spasenie-pustyn.
6. Zhang Y. Smart irrigation systems using IoT and machine learning / Y. Zhang // Agricultural Water Management. – 2021. – Vol. 245. – P. 106543. https://doi.org/10.1016/j.agwat.2020.106543. https://www.sciencedirect.com/science/article/abs/pii/S0378377420305435
7. Kamilaris A. Deep learning in agriculture: A survey / A. Kamilaris, F.X. Prenafeta-Boldú // Computers and Electronics in Agriculture. – 2018. – Vol. 147. – P. 70-90. https://doi.org/10.1016/j.compag.2018.02.016.
https://www.sciencedirect.com/science/article/abs/pii/S0168169917313736.
8. Gebbers R. Precision agriculture and food security / R. Gebbers, V.I. Adamchuk // Science. – 2010. – Vol. 327, № 5967. – P. 828-831. https://doi.org/10.1126/science.1183899. https://www.science.org/doi/10.1126/science.1183899.
9. Wang X. Desertification control and restoration of degraded lands / X. Wang, Y. Zhang, Z. Chen // Journal of Arid Environments. – 2019. – Vol. 163. – P. 1-8. https://doi.org/10.1016/j.jaridenv.2018.12.001.
https://www.sciencedirect.com/science/article/abs/pii/S0140196318306839.
10. Fannon E. Drone-based reforestation and its potential for carbon sequestration / E. Fannon // Environmental Research Letters. – 2020. – Vol. 15, № 12. – P. 124025. https://doi.org/10.1088/1748-9326/abc5f1. https://iopscience.iop.org/article/10.1088/1748-9326/abc5f1.
11. Le Cun Y. Convolutional networks for images, speech, and time series / Y. Le Cun, Y. Bengio // The Handbook of Brain Theory and Neural Networks. – 1995. – P. 255-258. http://yann.lecun.com/exdb/publis/pdf/lecun-bengio-95a.pdf.
12. Mwangi E. Remote sensing for land degradation assessment and monitoring in Kenya / E. Mwangi // Remote Sensing Applications: Society and Environment. – 2018. – Vol. 10. – P. 1-10.

https://doi.org/10.1016/j.rsase.2018.01.003.
https://www.sciencedirect.com/science/article/abs/pii/S2352938517300991.
13. Primeminister.kz. Цифровой Казахстан: новые возможности для развития. – 2023. https://primeminister.kz/ru/news/tsifrovoy-kazahstan-novye-vozmozhnosti-dlya-razvitiya.
14. Mwangi E. Remote sensing for land degradation assessment and monitoring in Kenya / E. Mwangi // Remote Sensing Applications: Society and Environment. – 2018. – Vol. 10. – P. 1-10. https://doi.org/10.1016/j.rsase.2018.01.003.
https://www.sciencedirect.com/science/article/abs/pii/S2352938517300991.
15. Tyagi A.C. Towards a second green revolution / A.C. Tyagi // Irrigation and Drainage. – 2016. – Vol. 65, № 4. – P. 388-389. https://doi.org/10.1002/ird.2056. https://onlinelibrary.wiley.com/doi/10.1002/ird.2056.
16. Teke A. A survey of machine learning techniques for remote sensing image classification / A. Teke // Journal of Applied Remote Sensing. – 2013. – Vol. 7, № 1. – P. 073595. https://doi.org/10.1117/1.JRS.7.073595. https://www.spiedigitallibrary.org/journals/journal-of-applied-remote-sensing/volume-7/issue-1/073595/Survey-of-machine-learning-techniques-for-remote-sensing-image-classification/10.1117/1.JRS.7.073595.full.
17. Старостин Я. Интеллектуальная система управления сельскохозяйственными роботами / Я. Старостин, С.А. Давыдова, А.В. Йешин // CyberLeninka. – 2020. https://cyberleninka.ru/article/n/intellektualnaya-sistema-upravleniya-selskohozyaystvennymi-robotami.
18. Kamilaris A. Deep learning in agriculture: A survey / A. Kamilaris, F.X. Prenafeta-Boldú // Computers and Electronics in Agriculture. – 2018. – Vol. 147. – P. 70-90. https://doi.org/10.1016/j.compag.2018.02.016. – URL: https://www.sciencedirect.com/science/article/abs/pii/S0168169917313736.
19. Bastiaanssen W.G. Remote sensing for irrigated agriculture: Examples from research and possible applications / W.G. Bastiaanssen // Agricultural Water Management. – 2000. – Vol. 46, № 2. – P. 137-155. https://doi.org/10.1016/S0378-3774(00)00080-9. https://www.sciencedirect.com/science /article/abs/pii/S0378377400000809.
20. Liaghat S. A review: The role of remote sensing in precision agriculture / S. Liaghat, S.K. Balasundram // American Journal of Agricultural and Biological Sciences. – 2010. – Vol. 5, № 1. – P. 50-55. https://doi.org/10.3844/ajabssp.2010.50.55. https://thescipub.com/abstract/10.3844/ajabssp.2010.50.55.

References

1. Informburo.kz. Saksaul v Kazakhstane: spasenie pustyn'. – 2019. – URL: https://informburo.kz/stati/saksaul-v-kazahstane-spasenie-pustyn. (In Russian).
2. Kitzes J. Shrinkage of the human ecological footprint / J. Kitzes // Proceedings of the National Academy of Sciences. – 2008. – Vol. 105, № 36. – P. 13151-13156. https://doi.org/10.1073/pnas.0711440105. (In English).
3. FAO. Global agriculture towards 2050. – Rome: Food and Agriculture Organization of the United Nations, 2009. http://www.fao.org/fileadmin/templates/wsfs/docs/Issues_papers/HLEF2050_Global_Agriculture.pdf. (In English).
4. Komitet lesnogo khozyaistva RK. Otchet o nezakonnoi vyrubke saksaula. – 2019. https://www.gov.kz/memleket/entities/les?lang=ru (ofitsial'nyi sait, tochnyi otchet trebuet zaprosa). (In Russian).
5. Informburo.kz. Saksaul v Kazakhstane: spasenie pustyn'. – 2019. https://informburo.kz/stati/saksaul-v-kazahstane-spasenie-pustyn. (In Russian).
6. Zhang Y. Smart irrigation systems using IoT and machine learning / Y. Zhang // Agricultural Water Management. – 2021. – Vol. 245. – P. 106543. https://doi.org/10.1016/j.agwat.2020.106543. https://www.sciencedirect.com/science/article/abs/pii/S0378377420305435. (In English).
7. Kamilaris A. Deep learning in agriculture: A survey / A. Kamilaris, F.X. Prenafeta-Boldú // Computers and Electronics in Agriculture. – 2018. – Vol. 147. – P. 70-90. https://doi.org/10.1016/j.compag.2018.02.016. (In English).https://www.sciencedirect.com/science/article/abs/pii/S0168169917313736.

8. Gebbers R. Precision agriculture and food security / R. Gebbers, V.I. Adamchuk // Science. – 2010. – Vol. 327, № 5967. – P. 828-831. https://doi.org/10.1126/science.1183899. https://www.science.org/doi/10.1126/science.1183899. (In English).
9. Wang X. Desertification control and restoration of degraded lands / X. Wang, Y. Zhang, Z. Chen // Journal of Arid Environments. – 2019. – Vol. 163. – P. 1-8. https://doi.org/10.1016/j.jaridenv.2018.12.001.
https://www.sciencedirect.com/science/article/abs/pii/S0140196318306839. (In English).
10. Fannon E. Drone-based reforestation and its potential for carbon sequestration / E. Fannon // Environmental Research Letters. – 2020. – Vol. 15, № 12. – P. 124025. https://doi.org/10.1088/1748-9326/abc5f1. https://iopscience.iop.org/article/10.1088/1748-9326/abc5f1. (In English).
11. Le Cun Y. Convolutional networks for images, speech, and time series / Y. Le Cun, Y. Bengio // The Handbook of Brain Theory and Neural Networks. – 1995. – P. 255-258. http://yann.lecun.com/exdb/publis/pdf/lecun-bengio-95a.pdf. (In English).
12. Mwangi E. Remote sensing for land degradation assessment and monitoring in Kenya / E. Mwangi // Remote Sensing Applications: Society and Environment. – 2018. – Vol. 10. – P. 1-10. https://doi.org/10.1016/j.rsase.2018.01.003.
https://www.sciencedirect.com/science/article/abs/pii/S2352938517300991. (In English).
13. Primeminister.kz. Tsifrovoi Kazakhstan: novye vozmozhnosti dlya razvitiya. – 2023. https://primeminister.kz/ru/news/tsifrovoy-kazahstan-novye-vozmozhnosti-dlya-razvitiya. (In English).
14. Mwangi E. Remote sensing for land degradation assessment and monitoring in Kenya / E. Mwangi // Remote Sensing Applications: Society and Environment. – 2018. – Vol. 10. – P. 1-10. https://doi.org/10.1016/j.rsase.2018.01.003.
https://www.sciencedirect.com/science/article/abs/pii/S2352938517300991. (In English).
15. Tyagi A.C. Towards a second green revolution / A.C. Tyagi // Irrigation and Drainage. – 2016. – Vol. 65, № 4. – P. 388-389. https://doi.org/10.1002/ird.2056. https://onlinelibrary.wiley.com/doi/10.1002/ird.2056. (In English).
16. Teke A. A survey of machine learning techniques for remote sensing image classification / A. Teke // Journal of Applied Remote Sensing. – 2013. – Vol. 7, № 1. – P. 073595. https://doi.org/10.1117/1.JRS.7.073595. https://www.spiedigitallibrary.org/journals/journal-of-applied-remote-sensing/volume-7/issue-1/073595/Survey-of-machine-learning-techniques-for-remote-sensing-image-classification/10.1117/1.JRS.7.073595.full. (In English).
17. Starostin YA. Intellektual'naya sistema upravleniya sel'skokhozyaistvennymi robotami / YA. Starostin, S.A. Davydova, A.V. Ieshin // CyberLeninka. – 2020. https://cyberleninka.ru/article/n/intellektualnaya-sistema-upravleniya-selskohozyaystvennymi-robotami. (In Russian).
18. Kamilaris A. Deep learning in agriculture: A survey / A. Kamilaris, F.X. Prenafeta-Boldú // Computers and Electronics in Agriculture. – 2018. – Vol. 147. – P. 70-90. https://doi.org/10.1016/j.compag.2018.02.016. – URL: https://www.sciencedirect.com/science/article/abs/pii/S0168169917313736. (In English).
19. Bastiaanssen W.G. Remote sensing for irrigated agriculture: Examples from research and possible applications / W.G. Bastiaanssen // Agricultural Water Management. – 2000. – Vol. 46, № 2. – P. 137-155. https://doi.org/10.1016/S0378-3774(00)00080-9. https://www.sciencedirect.com/ science/ article/abs/pii/S0378377400000809. (In English).
20. Liaghat S. A review: The role of remote sensing in precision agriculture / S. Liaghat, S.K. Balasundram // American Journal of Agricultural and Biological Sciences. – 2010. – Vol. 5, № 1. – P. 50-55. https://doi.org/10.3844/ajabssp.2010.50.55. https://thescipub.com/abstract/10.3844/ajabssp.2010.50.55. (In English).

Д.С. Буданов*, А. Ж. Тойғожинова
АЛТ Университет им. М. Тынышпаева,
Республика Казахстан, Алматы
*e-mail: budanov.darhan@bk.ru

АВТОМАТИЗАЦИЯ СБОРА СЕМЯН САКСАУЛА С ИСПОЛЬЗОВАНИЕМ ИСКУССТВЕННОГО ИНТЕЛЛЕКТА

Казахстан борется с проблемой опустынивания и деградации земель, особенно в южных регионах и Приаралье, где ежегодное распространение около 150 миллионов тонн соли вызывает нарушение экологического равновесия. Одним из основных растений, играющих важную роль в закреплении почвенного слоя, является саксаул, площадь которого составляет более 6 млн гектаров. Однако традиционные методы сбора его семян недостаточно эффективны, что замедляет процесс восстановления лесов.

Целью данного исследования является анализ научных работ, направленных на разработку автоматизированного механизма уборки семян саксаула с использованием современных технологий, таких как искусственный интеллект (ИИ), удаленный мониторинг и робототехника. При анализе учитывался потенциал спутниковой информации (KazEOSat, Sentinel), методов глубокого обучения (CNN, Random Forest), беспилотных летательных аппаратов (БПЛА), систем Интернета вещей (IoT) и инновационных решений.

Результаты исследования показывают, что внедрение современных технологий позволяет повысить производительность лесовосстановительных мероприятий и повысить жизнеспособность растений. Кроме того, эти подходы могут внести значительный вклад в устойчивое озеленение региона Аральского моря. Однако необходимы дополнительные исследования для обеспечения их адаптации к природно-климатическим условиям Казахстана.

Ключевые слова. *Искусственный интеллект, сельское хозяйство, семена саксаула, автоматизация, сбор семян.*

D.S. Budanov*, A. Zh. Toygozhinova
Mukhamedzhan Tynyshbayev ALT University,
Republic of Kazakhstan, Almaty
*e-mail: budanov.darhan@bk.ru

AUTOMATING THE COLLECTION OF SAXAUL SEEDS USING ARTIFICIAL INTELLIGENCE

Kazakhstan is struggling with the problem of desertification and land degradation, especially in the southern regions and the Aral Sea region, where the annual release of about 150 million tons of salt is causing an ecological imbalance. One of the main plants that plays an important role in soil stabilization is saxaul, which covers an area of more than 6 million hectares. However, traditional methods of collecting its seeds are not effective enough, which slows down the process of restoring forests.

The purpose of this study is to analyze scientific works aimed at developing an automated mechanism for collecting saxaul seeds using modern technologies, such as artificial intelligence (AI), remote sensing and robotics. The analysis considered the potential of satellite information (KazEOSat, Sentinel), deep learning methods (CNN, Random Forest), unmanned aerial vehicles (UAV), Internet of Things (IoT) systems and innovative solutions.

The results of the study show that the introduction of modern technologies allows to increase the productivity of forest restoration measures and enhance the viability of plants. Moreover, these approaches can make a significant contribution to sustainable greening of the Aral Sea region. However, further research is needed to ensure their adaptation to the natural and climatic conditions of Kazakhstan.

Key words: *Artificial intelligence, agriculture, seed saving, automation, seed collection.*

Авторлар туралы мәліметтер

Дархан Серікболұлы Буданов * – «Электр энергиясы жүйелері» мамандығы бойынша докторант, Автоматтандыру және басқару факультеті, Мұхамеджан Тынышбаев атындағы ALT Университеті, Алматы қаласы, Қазақстан; e-mail: budanov.darhan@bk.ru. ORCID: https://orcid.org/0009-0008-4551-0916.

Айнур Жумахановна Тойғожинова – Директор ИЭиЦТ, Ассистент профессор, PhD, Автоматтандыру және басқару факультеті, Мұхамеджан Тынышбаев атындағы ALT Университеті, Алматы қаласы, Қазақстан; e-mail: a.toigozhinova@alt.edu.kz. ORCID: https://orcid.org/0000-0002-0305-2776.

Сведения об авторах

Дархан Серикболулы Буданов* – докторант по специальности «Электроэнергетические системы», Факультет автомвтизация и управление, АЛТ Университет им. М.Тынышпаева, Алматы қаласы, Казахстан; e-mail: budanov.darhan@bk.ru. ORCID: https://orcid.org/0009-0008-4551-0916.

Айнур Жумахановна Тойгожинова – Директор ИЭиЦТ, Ассистент профессор, PhD, Факультет автоматизация и управление, АЛТ Университет им. М. Тынышпаева, Алматы, Казахстан; e-mail: a.toigozhinova@alt.edu. ORCID: https://orcid.org/0000-0002-0305-2776.

Information about the authors

Darkhan Serikboluly Budanov* – PhD student in the specialty «Electric Power Systems», Faculty of Automation and Control, ALT University named after M. Tynyshpayev, Almaty, Kazakhstan; e-mail: budanov.darhan@bk.ru. ORCID: https://orcid.org/0009-0008-4551-0916.

Ainur Zhumakhanovna Toigozhinova – Director of the Institute of Economics and Technology, Assistant Professor, PhD, Faculty of Automation and Control, ALT University named after M. Tynyshpayev, Almaty, Kazakhstan; e-mail: a.toigozhinova@alt.edu.kz. ORCID: https://orcid.org/0000-0002-0305-2776.

Редакцияға енуі 19.09.2025
Өңдеуден кейін түсуі 18.11.2025
Жариялауға қабылданды 19.11.2025

https://doi.org/10.53360/2788-7995-2025-4(20)-19

BY 4.0
Check for updates

IRSTI: 20.51.19

G. Abisheva*, Sh. Razakhova[1], B. Smailova[2], T. Aidynov[1]
[1]L.N. Gumilyov Eurasian National University,
10000, Republic of Kazakhstan, Astana, Satpayev Street, 2
[2]Shakarim University,
071412, Republic of Kazakhstan, Semey, 20A Glinka Street
*e-mail: gulsipat.abisheva@gmail.com

MODERN METHODS FOR DETECTING RAILWAY TRACK DEFECTS

Annotation: *Railways remain an essential part of modern transportation, yet their safe functioning is often determined by the actual condition of the tracks. The study looks at various ways to detect faults in the rail infrastructure and splits them broadly into two categories: static and dynamic techniques. Different countries rely on different tools to monitor tracks, and this paper compares those tools based on practical factors like how precise they are, how much ground they cover, and how difficult or costly they are to operate. Rather than simply listing pros and cons, we try to show where each method works best. To make sense of the data, visuals like charts and summaries were added, making it easier to see where each approach fits. One part of the analysis pays special attention to how certain features of the railway - such as how wide the rails are or how much the outer rail is elevated – can influence the choice of inspection methods. Lately, there's been a shift toward smarter diagnostics. Technologies like AI, digital simulations of tracks (known as digital twins), and systems using many sensors at once are gaining ground. These tools are changing how track inspections are done and offer new opportunities for early problem detection. This paper doesn't just list methods – it gives a clear structure for understanding which approach fits what context. The outcomes can help transportation teams fine-tune how they take care of tracks and make the system more dependable in the long term.*

Key words: *railway inspection, static inspection methods, dynamic inspection methods, rail inspection train, rail monitoring, track diagnostics, smart diagnostics.*

Introduction. Railways have long stood as a practical choice for moving people and goods, combining efficiency with cost-effectiveness. In places like France, China, and Japan, the growing emphasis on high-speed travel has changed the way rail systems are built and operated, pushing the limits of technology and reshaping infrastructure policy. However, faster trains bring new kinds of stress to the tracks they run on. Rails, wooden or concrete ties, the ballast beneath, and even the electrical systems above – all of these face repeated strain day in and day out. The pounding weight of trains causes small shifts, gradual weakening, and damage that may not always be visible at first glance. Often, it's the tiny faults that prove most dangerous. A minor crack or misalignment, if ignored, can develop into something far worse. For routes where trains move frequently or at high speed, routine inspection becomes essential. It's not just a matter of keeping trains on time – it's about catching the warning signs before they turn into major problems [1]. People working in the railway industry have long relied on inspections to spot problems before they turn serious. These checks can be done in two main ways – either when trains are parked or while they're actually running. Not that long ago, such work was mostly done by hand. It took a lot of effort, and mistakes weren't uncommon. But things have shifted. Rail operators are now turning to machines and smart technology to take over some of those responsibilities.

This article explores how different countries go about checking the condition of their railway tracks. It compares methods that rely on stationary assessments with those carried out during motion, and it also looks at how new tools – especially those using artificial intelligence – might make these tasks faster and more dependable. Unlike many existing studies that either focus narrowly on describing a single method or report on the use of a specific system within a national rail network, this research takes a broader view. It offers a structured comparison of both static and dynamic inspection techniques, aiming to show how they relate to one another in practice. What sets this paper apart is its attempt to bring several aspects together: a clear technical classification of the approaches, a side-by-side evaluation of their measurement performance, visual illustrations that clarify the findings, and a forward-looking discussion of where railway diagnostics technology might be heading next.

Methods and materials. Track inspection methods carried out while the train is stationary have changed a lot over the years. Traditional manual checks, which once relied heavily on visual observation, are now being replaced by more advanced tools. Instead of just walking the track, specialists now use mechanical platforms, digital measurement systems, and even 3D diagnostic equipment with high accuracy.

These innovations make it possible to inspect rail conditions more efficiently and with far greater precision. The data collected using these systems helps detect subtle faults that older methods might miss, making the overall maintenance process more proactive and reliable. When people check tracks while no trains are running, they usually focus on a few basics: how far the rails are from each other, whether the track tilts on turns, and if everything stays lined up over a long stretch. Most rail systems go with 1435 mm – it's called standard gauge. This size has been around since 1937, when it got the official stamp from the International Union of Railways (UIC). Today, more than half the world's train lines use it [2]. Anything wider? That's broad gauge. Smaller? That's narrow. So, why does rail spacing matter? Because it affects how a train handles. Figure 1 shows a comparative diagram of railway track sizes, wider tracks – like 1520 mm in the former USSR or 1676 mm in India – help big, fast trains stay balanced. Narrow gauges, like 762 or 600 mm, are handy in tight spots – mountain areas, factory lines, things like that. When a train takes a turn, it's naturally pulled outward. That force can make it shift a bit off-center. To deal with that, the outer rail is raised higher than the inner one on curves. This setup is called superelevation. It really matters – without it, trains couldn't take turns safely at higher speeds.

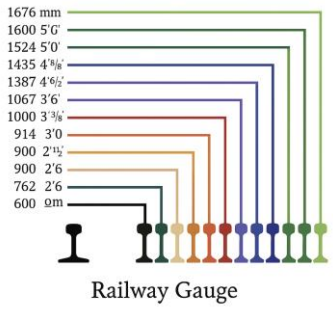


Figure 1 – Rail gauges around the world

This picture shows different rail sizes used in various countries. Each line represents the distance between the rails - shown in both millimeters and feet/inches. The biggest one is at the top, and they get smaller as you go down, so it's easy to compare. The widest is 1676 mm (5' 6"). You'll find that in India, then there's 1520 mm, common in places like Russia and other CIS countries. The most used is 1435 mm (4' 8½"), called the standard gauge. It's found in the US, Europe, and China. Smaller ones like 1067 mm, 1000 mm, 762 mm, and 600 mm are used on older or narrow tracks – for example, in mountains or factory areas. At the bottom of the diagram, you'll also see what the rails themselves look like. These shapes change depending on the size of the track.

To clarify the workflow underlying railway track monitoring methods, Figure 2 shows a general algorithm for monitoring methods. After making a decision to inspect a railway track, the approaches differ depending on whether static or dynamic diagnostics is selected. The diagram shows the key steps and tools used in each method.

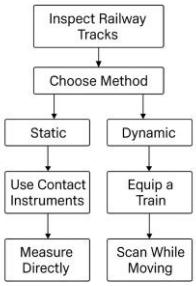


Figure 2 – General functioning of monitoring methods

1 Track geometry: measurement methods

Manual gauge and digital gauge

This is the classic tool still used on lower-speed tracks (up to 160 km/h). It's reliable in simple setups but needs a lot of effort and is affected by human error.

A more modern option, this tool can store, show, and send data. It adjusts for temperature changes automatically and gives both visual and audio alerts when something goes beyond the allowed range. One example is the CALIPRI module, which measures things like track width, rail tilt, and wheel-rail interaction [3].

2 Trolley-based and mobile measurement systems

GEDO CE (Germany)

This system includes a measuring trolley, an industrial computer, and a total station. It helps map the track's centerline, check elevation changes, and calculate superelevation with high accuracy [4]. It's used for both ballasted and ballastless tracks, especially during track laying and alignment of long rails.

Amberg GRP (Switzerland)

This setup works by taking relative measurements and verifying them with fixed references. It's highly accurate and works together with Leica total stations and GPS. It's ideal for switch installation, precise surveying, and inspecting high-speed lines [5]. Figure 3 shows the Amberg GRP System FX, designed for high-precision measurement of railway track geometry.



Figure 3 – Amberg GRP model

SOUTH FX (China)

This is a standard manual trolley equipped with modules to measure track gauge, rail tilt, and relative distances. It also comes with a radio modem to send data to a total station and a control unit.

Portable flaw detectors

These are handheld ultrasonic tools used to scan rails manually. They usually include a signal generator, several sensors, and a screen that shows either a B-scan or A-scan image. One downside is that they can miss defects, so the rail might need to be checked again.

Automatic testing trolleys

These are small machines that scan the rail automatically along its length. They're faster and more accurate than manual options.

Rail inspection trains

These are high-tech trains that inspect both rails while moving at high speeds. They're used on major lines and in metro systems. However, they are expensive and can be difficult to maintain [6].

Based on the information above, we carried out an analysis of different static inspection methods in table 1 used for railway tracks. The comparison looked at key factors such as accuracy, coverage, labor requirements, practicality, and cost.

Table 1 – Overview of static inspection methods

Method	Accuracy	The speed of the examination	Labor costs	Application	Advantages	Limitations
Manual calibre	High (up to 0.5 mm)	Very low (manual)	High	Sections up to 160 km/h	Simplicity, accessibility, no power required	Human factor, low speed
Digital calibre (for example, CALIPRI)	Very high (0.1-0.3 mm)	Low	Medium	All types of lines, especially high-speed ones	Automation, memory, alarms, versatility	Limited coverage, high device price
GEDO CE (Germany)	High	Average	Low	Ballast-free tracks, laying of long rails	High coordinate accuracy, digital processing	Requires training of personnel and measurement conditions
Amberg GRP (Switzerland)	Very high	Average	Average	Geodesy, laying of arrows	Integration with total stations, high accuracy	Expensive, sensitive to external conditions
SOUTH FX (China)	Average	Average	Average	Mass inspections in Asia	Leica hardware compatibility, portability	Limited in accuracy and software analytics
Portable flaw detectors	Average	Low	High	Search for cracks, welding defects	Ultrasound, visualization of A/B scans	Omissions, the need for repeated analysis
Automatic trolleys	High	Average	Low	Scheduled inspections	Automatic collection, stable quality	Limited format (rails only)
Flaw detection trains	Medium–high	High (up to 100 km/h)	Low	Highways and subways	Scale, high performance	Very high cost, difficult operation

Based on the analysis and data from various sources, Figure 4 shows how different types of static inspection equipment are used across several countries. The chart makes it easy to see which technologies are most common in specific regions and how local needs and specializations influence the development of measurement systems.

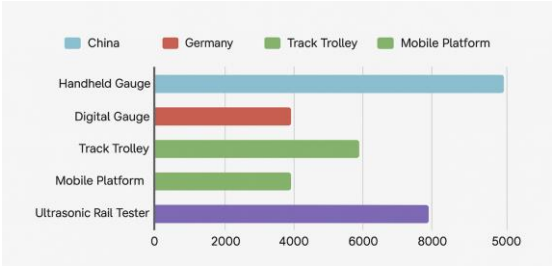


Figure 4 – Main equipment used for static railway track inspection

As shown in Figure 3, the use of static inspection tools varies by country, depending on the level of technology, infrastructure needs, and track gauge standards. For example, China leads in the number of manual gauges in use, while Germany focuses more on digital systems. Switzerland makes wide use of GRP trolleys, and South Korea is actively developing ultrasonic rail testing methods. This kind of visualization highlights how important it is to adapt inspection technologies to each country's specific rail network and technical regulations.

3 Dynamic railway track inspection

Dynamic inspection allows continuous monitoring of track conditions while a train is in motion. Its main advantage is the ability to collect data quickly over long distances. Modern inspection trains and telemetry systems can capture track geometry, overhead line data, signaling information, vibrations, and even detect internal rail flaws - all while moving.

IRIS 320 (France)

This is a modified high-speed TGV train built for inspection work at speeds of up to 320 km/h. It measures track geometry, overhead line conditions, and checks telecom and signaling systems [7]. It's mainly used to carry out preventive maintenance across the high-speed rail networks in France and Belgium.

CIT-500 (China)

A diagnostic train based on the CRH-380A model, capable of operating at speeds up to 500 km/h. It performs full inspections of track systems, power supply, and onboard telematics. It includes space-time positioning, real-time monitoring, and advanced analysis modules.

East-i (Japan)

This multifunctional inspection train was developed from the Series 700 Shinkansen. It monitors pantograph-to-wire contact, uses laser tools for gauge measurement, tracks vibrations, and includes onboard video systems. It runs on both high-speed and conventional connected lines.

GeoRail-Xpress (Germany)

Developed with Deutsche Bahn, this special-purpose wagon is fitted with radar antennas to scan ballast and subgrade, laser systems for rail geometry, digital cameras, and GPS positioning. It can detect microcracks, breaks, and structural faults at speeds up to 100 km/h.

Archimede (Italy)

A platform created by the Italian rail company RFI. It combines video inspection, laser scanning, thermal imaging, and geometric measurement. The train includes a locomotive, four technical cars, and a control cabin.

Onboard dynamic monitoring systems

These systems are installed directly on locomotives and include sensors for acceleration, vibration, and position. They track how smooth the ride is and detect any unusual changes in track geometry. If a parameter goes beyond safe limits, the system sends a warning and suggests what action to take.

Portable vibration recorders

Small devices placed in the driver's cabin. They measure vibration and acceleration while the train is running. These tools help quickly locate trouble spots without needing a full inspection crew.

Dynamic monitoring has made track inspections much faster and more efficient. Since it runs automatically and needs little human input, it's especially useful on high-speed or long-distance routes – places where manual or static methods just don't work well [8].

Results. To better illustrate the differences in diagnostic methods depending on the region, Figure 5 shows the classification of countries according to the main methods of railway inspection. The countries are grouped according to the prevailing use of static or dynamic diagnostic technologies. Static methods are more common in countries with advanced precision-oriented railway infrastructure, while dynamic methods are preferred in countries that prefer high-speed coverage and automation.

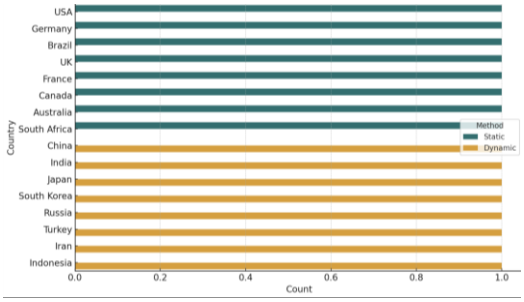


Figure 5 – Classification of countries by preferred diagnostic method

To fairly assess the effectiveness of different railway track monitoring techniques, we focus on three main criteria: inspection speed, measurement accuracy, and how much of the infrastructure can be covered. These factors are compared in Table 2 and also shown visually in the charts.

The figure 6 below shows a comparison of offsets in two different operating modes — static and dynamic. The graph shows that in static mode the displacement is about 0.5 mm, while in dynamic mode it increases to about 1.5 mm. These data clearly show the effect of the dynamic load on the displacement value.

Table 2 – Comparison of static and dynamic inspection methods

Criterion	Static inspection	Dynamic inspection
The speed of the examination	Up to 5 km/h	Up to 350 km/h
Measurement accuracy	High (error ~0.5mm)	Average (error ~1.5mm)
Coverage per shift	Up to 1 km	Up to 1000 km
Required personnel	High	Medium
Dependence on the conditions of the path	Minor	High

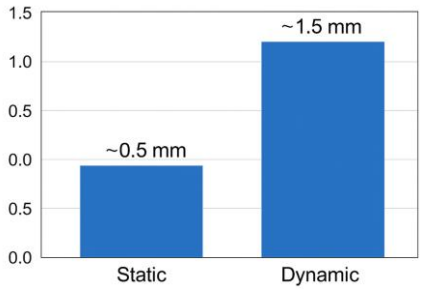


Figure 6 – Accuracy comparison of inspection methods

Static inspections tend to offer the highest accuracy. That's because they rely on direct contact tools like digital gauges and total stations. In dynamic setups, accuracy can drop a little due to train movement and vibrations.

One big advantage of dynamic inspection is how much ground it can cover. In a single work shift, an inspection train can scan up to 1000 kilometers. That makes this method ideal for keeping large railway networks under regular control. The diagrams figure 7 below clearly illustrate these differences. The first diagram shows the typical measurement accuracy for each approach, while the second diagram shows the difference in coverage range.

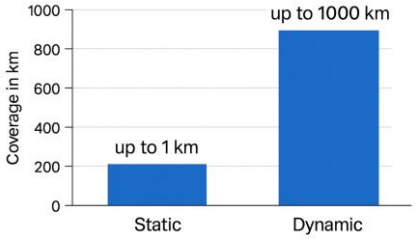


Figure 7 – Coverage comparison of inspection methods

This study organized and reviewed current methods for both static and dynamic railway track inspection. We compared them using three main criteria: measurement accuracy, inspection coverage, and labor requirements. We found that static tools-like manual and digital gauges, along with GEDO and Amberg GRP trolleys-are very accurate, especially for detailed checks on high-load track sections. On the other hand, dynamic systems such as inspection trains (IRIS 320, CIT-500, East-i) and advanced platforms can cover long distances quickly, sometimes up to 1000 km in a single shift. Charts were used to clearly show how these methods differ, helping to highlight the pros and cons of each approach. We also considered factors like track gauge and geometry, both of which influence which tools work best. Superelevation on curves was noted as especially important for accurate readings.

Discussion. A review of contemporary railway diagnostic procedures reveals that none of the procedures are universal. Static mode has the highest level of measurement accuracy and the possibility to monitor certain parts of the path in detail. They prove a valuable asset particularly in the technical inspection of complicated areas of infrastructure where fine track geometry is required e.g. at switchbacks or high-load sections. But these approaches have one thing in common, namely poor survey pace, intensive labor requirement, and are weather dependent, restricting their application on longer or inaccessible routes.

Dynamic methods, on the other hand, enable the real-time monitoring of infrastructure to delivers up to 1,000 km per shift. This would make them irreplaceable in the event of them being used in the case of preventive maintenance planning of high-speed traffic conditions or in running

large backbone networks. Nevertheless, dynamic technologies are not as accurate as the static ones, and remain time consuming in terms of equipment and personnel. Under unstable train trajectories and vibration influences, measurement errors can occur, and such a scenario needs to be checked as well.

It is noteworthy that there is observed tendency to adopt intelligent technologies, such as artificial intelligence, digital twins and multisensory platforms. These options raise the level of automation of data analysis, minimize the human factor and make it possible to foresee the evolution of defects at the early stage. Such alteration of the system of diagnostics presupposes a shift to proactive management, as opposed to the reactive one in the technical state of the railway infrastructure.

The fact that a mixed approach is required can be also proven by a comparison of different ways offered in the article. The prospect of using dynamic monitoring as a primary tracking method to assess the state of the track and then the static method to clarify diagnostics allows enhancing the effectiveness and safety of the railway network maintenance end to end.

In general, the choice of diagnostic method should be determined by the characteristics of a particular section of the track, accuracy requirements, technical equipment and economic feasibility. To achieve maximum efficiency, it is important to develop flexible diagnostic systems adapted to national standards, track type and traffic intensity.

Conclusion. The reliability and safety of railway transport depend heavily on regular monitoring of track conditions. This review confirms that no single method is fully universal. Static inspection systems deliver high accuracy but are limited in coverage and require significant manual effort. In contrast, dynamic platforms are more suitable for large-scale assessments but come with high costs for equipment and infrastructure.

A balanced approach works best: dynamic scanning can be used to quickly detect potential problem areas, followed by focused static diagnostics to verify and analyze the findings. This combined strategy ensures both speed and reliability, which is especially important for high-speed rail networks.

Looking ahead, the field of railway infrastructure diagnostics is expected to benefit greatly from smart technologies. Among the most promising trends are machine learning and AI tools that help automate the processing of inspection data. These systems can identify patterns, detect early signs of wear, and even make recommendations for maintenance—faster and more reliably than manual analysis. Another key area is the development of digital twins: detailed virtual models of railway assets built using data from satellites and ground-based sensors. These models allow engineers to simulate and predict infrastructure behavior in real time.

In addition, researchers are working on multisensor platforms that combine laser scanning, ultrasonic testing, vibration monitoring, and thermal imaging [9, 10]. Making such tools work across different rail gauges and in harsh weather conditions is a priority. Cloud-based services are also gaining traction. These platforms can store massive amounts of inspection data and use predictive analytics to plan future repairs. This shift from reactive to proactive maintenance could lead to safer railways and lower costs in the long run.

References

1. Li S. A review of railway defect detection methods / S. Li, H. Doh // Construction. – 2022. – Vol. 2, Issue 2. journal.ump.edu.my/construction. (In English).
2. Международный союз железных дорог (UIC). Стандарты железнодорожной колеи и их применение в мировой практике, Париж, 1937. (In Russian).
3. Trimble Railway. GEDO Track Measurement System: Technical Overview. – 2021. – [Online]. URL: https://rail.trimble.com. (In English).
4. He Q. Railway track inspection technologies: A review / Q. He, M. Li, Y. Jin // Journal of Transportation Technologies. – 2021. – № 11(3). – P. 45-58. (In English).
5. Amberg Technologies AG. Amberg GRP System: Precision in track geometry. Technical whitepaper. – 2020. (In English).
6. Киселёв А.И. Методы и средства контроля состояния железнодорожного пути / А.И. Киселёв, Е.В. Митрофанов. – Москва: Транспорт, 2019. (In Russian).
7. SNCF Réseau. IRIS 320 Inspection Train – High-speed rail monitoring in France. Technical Report. – 2019. (In English).

8. Olesen P. Comparative evaluation of static and dynamic inspection methods for railway infrastructure / P. Olesen, W. Zeng // Rail Technology Review. – 2019. – № 31(2). – P. 55-64. (In English).
9. Sharma S. Deep learning approaches for railway track fault detection: A survey. / S. Sharma, A. Kumar, R. Jain // IEEE Access. – 2020. – № 8. – P. 190454-190468. (In English).
10. Chen X. Intelligent track monitoring using AI and IoT / X. Chen, J. Wang, Z. Liu // International Journal of Railway Research. – 2022. – № 9(1). – P. 12-26. (In English).

Funding. *This research is funded by the Science Committee of the Ministry of Science and Higher Education of the Republic of Kazakhstan (Grant No. AP25796503).*

Г. Абишева[*], Б. Разахова[1], Б. Смаилова[2], Т. Айдынов[1]
[1]Л.Н. Гумилев атындағы Еуразия ұлттық университеті,
10000, Қазақстан, Астана қ., Сәтбаев к-сі, 2
[3]Шәкәрім Университет,
071412, Қазақстан, Семей қ., Глинки к-сі, 20А
[*]e-mail: gulsipat.abisheva@gmail.com

ТЕМІРЖОЛ ЖОЛДАРЫНЫҢ АҚАУЛАРЫН АНЫҚТАУДЫҢ ЗАМАНАУИ ӘДІСТЕРІ

Теміржолдар қазіргі заманғы тасымалдаудың ажырамас бөлігі болып қала береді, дегенмен олардың қауіпсіз жұмыс істеуі көбінесе жолдардың нақты жағдайымен анықталады. Зерттеу теміржол инфрақұрылымындағы ақауларды анықтаудың әртүрлі әдістерін қарастырады және оларды екі санатқа бөледі: статикалық және динамикалық әдістер. Әртүрлі елдер жолдарды бақылау үшін әртүрлі құралдарға сүйенеді және бұл мақалада бұл құралдар олардың қаншалықты дәл екендігі, қанша аумақты қамтитыны және оларды пайдалану қаншалықты қиын немесе қымбат екендігі сияқты практикалық факторларға байланысты салыстырылады. Артықшылықтары мен кемшіліктерін тізімдеудің орнына, біз әр әдістің қай жерде жақсы жұмыс істейтінін көрсетуге тырысамыз. Деректерді түсіну үшін диаграммалар мен қорытындылар сияқты көрнекіліктер қосылды, бұл әр тәсілдің қай жерде сәйкес келетінін көруді жеңілдетті. Талдаудың бір бөлігінде теміржолдың белгілі бір ерекшеліктері, мысалы, рельстердің қаншалықты кең екендігі немесе сыртқы рельстің қаншалықты көтерілгендігі – тексеру әдістерін таңдауға қалай әсер ететініне ерекше назар аударылады. Соңғы уақытта ақылды диагностикаға көшу жүріп жатыр. Жасанды интеллект, тректерді цифрлық модельдеу (цифрлық егіздер деп аталады) және бір уақытта көптеген сенсорларды қолданатын жүйелер сияқты технологиялар қарқын алуда. Бұл құралдар бақылау тексерулерін жүргізу тәртібін өзгертеді және ақауларды ерте анықтаудың жаңа мүмкіндіктерін ұсынады. Бұл мақалада әдістердің тізімі ғана емес, сонымен қатар қандай тәсілдің қандай контекстке сәйкес келетінін түсіну үшін нақты құрылым берілген. Нәтижелер көлік бригадаларына жолдарға қалай күтім жасау керектігін дәл реттеуге және жүйені ұзақ мерзімді перспективада сенімдірек етуге көмектеседі.

Түйін сөздер: *теміржол инспекциясы, статикалық тексеру әдістері, динамикалық тексеру әдістері, теміржол инспекциясы пойызы, теміржол мониторингі, жол диагностикасы, ақылды диагностика.*

Г. Абишева[*], Б. Разахова[1], Б. Смаилова[2], Т. Айдыно[1]
[1]Евразийский национальный университет имени Л.Н. Гумилева,
10000 Казахстан, г.Астана, ул. Сатпаева, 2,
[2]Шәкәрім Университет,
071412, Республика Казакстан, г. Семей, ул. Глинки, 20А
[*]e-mail: gulsipat.abisheva@gmail.com

СОВРЕМЕННЫЕ МЕТОДЫ ОБНАРУЖЕНИЯ ДЕФЕКТОВ ЖЕЛЕЗНОДОРОЖНОГО ПОЛОТНА

Железные дороги остаются важной частью современного транспорта, однако их безопасное функционирование часто определяется фактическим состоянием путей. В исследовании рассматриваются различные способы обнаружения неисправностей в железнодорожной инфраструктуре и в целом они подразделяются на две категории: статические и динамические методы. Разные страны используют разные инструменты для мониторинга путей, и в этом документе сравниваются эти инструменты, основанные на практических факторах, таких как их точность, площадь охвата и сложность или дороговизна их использования. Вместо простого перечисления плюсов и минусов, мы стараемся показать, где каждый метод работает

лучше всего. Для придания смысла данным были добавлены визуальные элементы, такие как диаграммы и сводки, что упрощает понимание того, где подходит каждый подход. В одной из частей анализа особое внимание уделяется тому, как определенные характеристики железной дороги, такие как ширина рельсов или высота подъема внешнего рельса, могут влиять на выбор методов контроля. В последнее время наблюдается переход к более эффективной диагностике. Такие технологии, как искусственный интеллект, цифровое моделирование путей (известные как цифровые двойники) и системы, использующие множество датчиков одновременно, набирают обороты. Эти инструменты меняют методы проверки путей и открывают новые возможности для раннего обнаружения проблем. В этом документе не просто перечислены методы - он дает четкую структуру для понимания того, какой подход подходит для конкретного контекста. Результаты могут помочь транспортным командам усовершенствовать методы ухода за путями и повысить надежность системы в долгосрочной перспективе.

Ключевые слова: *железнодорожная инспекция, методы статической инспекции, методы динамической инспекции, железнодорожный инспекционный поезд, мониторинг железных дорог, диагностика пути, интеллектуальная диагностика.*

Information about authors

Gulsipat Abisheva* – doctoral student of the Department of artificial intelligence, L.N. Gumilyov Eurasian National University, Astana, Kazakhstan; e-mail: gulsipat.abisheva@gmail.com. ORCID: https://orcid.org/0009-0003-6692-197X.

Bibigul Razakhova – c.t.s., Head of the Department of Artificial Intelligence Technologies, L.N. Gumilev Eurasian National University, Astana, Kazakhstan; e-mail: razakhova_bsh@enu.kz. ORCID: https://orcid.org/0000-0002-8152-8661.

Balzhan Smailova – MS, Head of Mathematics Department, Shakarim University, Semey, Republic of Kazakhstan; e-mail: st.balzhan @gmail.com. ORCID: https://orcid.org/0009-0005-4932-1774.

Tolegen Aidynov – doctoral student of the Department of Information Security, L.N. Gumilyov Eurasian National University, Astana, Kazakhstan; e-mail: tolegen.ch@gmail.com. ORCID: http://orcid.org/0009-0005-3327-9719.

Сведения об авторах

Гульсипат Кайыргаликызы Абишева* – докторант кафедры искусственного интеллекта Евразийского национального университета им. Л.Н. Гумилева, Астана, Казахстан; e-mail: gulsipat.abisheva@gmail.com. ORCID: https://orcid.org/0009-0003-6692-197X.

Бибигул Шамшановна Разахова – к.т.н., заведующий кафедрой технологий искусственного интеллекта Л.Н. Гумилева, Астана, Казахстан; e-mail: razakhova_bsh@enu.kz. ORCID: https://orcid.org/0000-0002-8152-8661.

Балжан Темірболатқызы Смаилова – магистр, заведущая кафедры математики, Шәкәрім Университет, Семей, Казахстан; e-mail: st.balzhan @gmail.com. ORCID: https://orcid.org/0009-0005-4932-1774.

Төлеген Айдынұлы Айдынов – докторант кафедры информационной безопасности Евразийского национального университета им. Л.Н. Гумилева, Астана, Казахстан; e-mail: tolegen.ch@gmail.com. ORCID: http://orcid.org/0009-0005-3327-9719.

Авторлар туралы мәліметтер

Гульсипат Кайыргаликызы Абишева* – жасанды интеллект технологиялары кафедрасының докторанты, Л.Н. Гумилев атындағы Еуразия Ұлттық Университеті, Астана қ., Қазақстан; e-mail: gulsipat.abisheva@gmail.com. ORCID: https://orcid.org/0009-0003-6692-197X.

Бибигул Шамшановна Разахова – т.ғ.к., жасанды интеллект технология кафедрасының басқарушысы, Л. Н. Гумилев Атындағы Еуразия Ұлттық Университеті, Астана қ., Қазақстан; e-mail: razakhova_bsh@enu.kz; ORCID ID: https://orcid.org/0000-0002-8152-8661;

Балжан Темірболатқызы Смаилова – магистр, математика кафедрасының меңгерушісі, Шәкәрім Университет, Семей, Қазақстан; e-mail: st.balzhan @gmail.com. ORCID: https://orcid.org/0009-0005-4932-1774.

Төлеген Айдынұлы Айдынов – хат-хабар авторы, ақпараттық қауіпсіздік кафедрасының докторанты, Л.Н. Гумилев атындағы Еуразия Ұлттық Университеті, Астана қ., Қазақстан; e-mail: tolegen.ch@gmail.com. ORCID: http://orcid.org/0009-0005-3327-9719.

Received 11.11.2025
Revised 24.11.2025
Accepted 25.11.2025

https://doi.org/10.53360/2788-7995-2025-4(20)-20

МРНТИ: 50.41.29

BY 4.0
Check for updates

А.В. Шапорева[1*], А.М. Айтымова[1], О.Л. Копнова[1], К.Е. Икласова[1], Е.В. Шевчук[2]
[1]Северо-Казахстанский университет имени М. Козыбаева,
150000, Республика Казахстан, г. Петропавловск, ул. Пушкина, 86
[2]Сибирский государственный университет геосистем и технологий,
630108, Россия, Новосибирск, ул. Плахотного, 10
[*]e-mail: annvolkova@mail.ru

ОБЗОР ТРЕБОВАНИЙ К СОДЕРЖАНИЮ, UX/UI ДИЗАЙНУ И БЕЗОПАСНОСТИ ДЕТСКИХ ЭЛЕКТРОННЫХ ОБУЧАЮЩИХ ПРИЛОЖЕНИЙ

Аннотация: *Статья представляет систематизированный обзор современных требований к разработке электронных обучающих приложений для детей, охватывающий аспекты содержания, UX/UI-дизайна и цифровой безопасности. В условиях стремительного роста EdTech-сектора и увеличения числа пользователей дошкольного и младшего школьного возраста возрастает потребность в качественном, инклюзивном и безопасном цифровом контенте. Исследование базируется на анализе научной и нормативной литературы, международных стандартов (ISO, COPPA, GDPR-K), а также практик стран с высоким уровнем цифровизации образования (США, Финляндия, Южная Корея, Австралия).*

Выделены ключевые технические и дизайнерские критерии, которым должны соответствовать детские образовательные приложения: адаптация под возрастные и когнитивные особенности детей, доступность и простота интерфейса, минимизация визуального и когнитивного шума, а также соблюдение принципов цифровой этики и приватности. Отдельное внимание уделяется вопросам UX-тестирования с участием целевой аудитории – детей, а также требованиям к лицензионной экспертизе приложений.

Проанализированы примеры приложений, направленных на развитие навыков письма, с указанием их функций, платформ и языковой адаптации. В статье подчеркивается необходимость междисциплинарного подхода при разработке цифровых продуктов для детей, учитывающего как педагогические задачи, так и технические ограничения.

Сделан вывод о необходимости дальнейшей разработки национальных и международных стандартов, особенно в свете интеграции технологий искусственного интеллекта в детские приложения. Представленная работа может служить методологической основой для исследователей, педагогов и разработчиков, работающих в области цифрового образования.

Ключевые слова*: обучающее электронное приложение, онлайн-образование, EdTech, планшетные технологии, технические стандарты разработки приложений для детей, детский цифровой контент.*

Введение

Рынок электронных приложений для детей – один из самых быстроразвивающихся рынков. На нем представлены игры, развивающие приложения, образовательные платформы, интерактивные книги и мультимедийные программы. Эти продукты ориентированы на разные возрастные категории и направлены на формирование когнитивных, моторных, языковых и социальных навыков у детей.

Спрос на качественный цифровой контент для детей постоянно растет, чему способствуют широкое распространение мобильных устройств, повышение цифровой грамотности родителей и интерес образовательных учреждений к использованию современных технологий в обучении. Разработчики стремятся учитывать возрастные особенности аудитории, создавая яркие, интуитивно понятные интерфейсы, элементы геймификации и адаптивные методы подачи информации.

Актуальность статьи обусловлена тем, что, рынок детских электронных приложений сталкивается с рядом вызовов: необходимостью обеспечения безопасности данных, ограничением времени экранного взаимодействия и контролем качества контента. Всё это делает сегмент приложений для детей не только перспективным, но и требующим ответственного подхода от разработчиков и регуляторов.

Цель статьи состоит в том, чтобы предложить структурированный обзор актуальных

требований к созданию электронных обучающих приложений для детей, включающий характеристики содержания, особенности UX/UI-дизайна и положения, связанные с цифровой безопасностью.

Анализ текущей ситуации

Одним из ключевых направлений цифровой трансформации образования является EdTech – совокупность технологий, направленных на создание интерактивной и персонализированной образовательной среды. Особое внимание в этом контексте уделяется детским электронным приложениям как наиболее динамично развивающемуся сегменту. Использование EdTech-решений в детских электронных приложениях позволяет реализовать принципы персонализации, учета возрастных и когнитивных особенностей, а также формировать устойчивую мотивацию к обучению за счет игровых и визуальных элементов [1].

Согласно данным HolonIQ, глобальный рынок EdTech достиг $300 млрд в 2023 году и продолжает расти. Значительная часть инвестиций и разработок направлена на приложения для детей дошкольного и младшего школьного возраста, включающие адаптивное обучение, игровые методики и когнитивное развитие [2].

Согласно [3] трендами 2024-2025 годов при разработке детских приложений являются:

– рост образовательных приложений на базе ИИ (адаптивное обучение);

– спрос на безопасные среды без рекламы и отслеживания;

– увеличение числа интерактивных платформ с родительским контролем;

– локализация контента и рост региональных рынков (в том числе Казахстан, СНГ, Латинская Америка).

Сегодня исследования показывают, что возраст, в котором дети начинают пользоваться цифровыми устройствами, снижается. К моменту достижения старшего дошкольного возраста большинство детей пользуются цифровыми устройствами уже несколько лет [4].

В [5], [6] авторы исследовали эффективность использования планшетных компьютеров в дошкольном образовании путем изучения того, насколько легко дети дошкольного возраста привыкают к планшетным технологиям и их эффективности в привлечении их к рисованию.

На развитие требований к детским цифровым приложениям UX/UI дизайну и безопасности глобально повлиял период пандемии COVID-19, когда многим детям стало недоступно очное обучение в дошкольных учреждениях и школах. В тот момент перед родителями и учителями встал вопрос научения ребёнка основам счета и письма [7]. В данный период родителям, воспитателям и учителям важно было найти цифровой контент, позволяющий обучить базовым образовательным навыкам, не причинив физического вреда ребенку (снижение зрения, головные боли и т.д.) и ментального вреда (тревожность, зависимость от планшета или телефона).

В исследовании [8] авторы подтверждают, что использование детского цифрового контента, отвечающего требованиям к разработке детских цифровых приложений, оптимизирует процессы восприятия, формирования, понимания и запоминания элементов, способствующих быстрому усвоению заданного материала.

Авторы [9] исследовали подготовку к письму у старших дошкольников и выявили, что использование электронных развивающих приложений повысили эффективность и качество подготовки к письму, а главное, значительно повысило интерес детей дошкольного возраста к образовательному процессу в дошкольных организациях, что напрямую влияет на готовность к школе.

В работах [10-12] обсуждается неоднозначный эффект цифровых образовательных технологий. Авторы указывает на потенциальные недостатки, такие как снижение внимания к навыкам письма от руки, что приводит к повышенному риску нарушений двигательной и зрительной координации, а также трудности в обучении чтению и формулированию суждений.

В [13] авторами актуализирована проблема разработки дизайна интерфейса приложения для развития эмоционального интеллекта детей с РАС. Предложены различные цветовые решения для интерфейса приложения. Сделано предположение о включении в дизайн приложения помощника – анимированного животного, например, кота, который бы сопровождал работу с приложением особенного ребёнка.

В исследовании [14] было представлено 23 подхода, используемых для изучения, проектирования, настройки или разработки цифровых вспомогательных технологий для учащихся с РАС, причем исследования были сосредоточены в основном на детях,

дошкольниках и подростках. Авторами выявлено, что при работе с приложением необходимо использовать инструменты, которые позволят структурированно настраивать и персонализировать для детей.

В [15] автором рассмотрены вопросы дизайна приложений в зависимости от возраста и потребностей пользователя. В исследовании [16] авторы показали, что при отработке навыков письма важен дизайн электронного приложения для детей которой привлекает внимание и улучшает навыки письма на планшете.

Авторами [17] было проведено исследование 15 обучающих приложений для детей из Google Play. Выявлено, что дети в возрасте 6–9 лет читают медленнее по сравнению со старшими школьниками. В этом возрасте они больше ориентированы на развлечение и не способны самостоятельно удерживать в памяти чёткие цели и задачи обучения. Поэтому главная задача электронного образовательного приложения – заинтересовать ребёнка и вовлечь его в деятельность, которая будет одновременно увлекательной и полезной.

В [18] автор указывает на то, что для детей характерно частое переключение внимания, при этом нередко взрослые (родители или учителя) не контролируют взаимодействие ребёнка с приложением, и ответственность за удержание внимания юного пользователя ложится на разработчиков.

В работе [19] изучалось использование образовательных приложений с дополненной реальностью в процессе обучения детей 5-7 лет. В ходе исследования выявлено положительное влияние образовательных приложений на результаты обучения.

Следовательно, обучающие программы для детей должны строиться на принципах вовлечения через исследование, активное взаимодействие и погружение в красочно оформленный виртуальный мир.

Методология исследования

Методологическая основа исследования включает поэтапный анализ нормативных документов, международных стандартов, научных публикаций и практических руководств, посвящённых разработке цифровых обучающих приложений для детей. Отбор источников осуществлялся в несколько шагов. На первом этапе был сформирован перечень ключевых тематических блоков – требования к содержанию детских приложений, UX/UI-дизайн, цифровая безопасность, возрастная адаптация и международные практики разработки. На их основе выполнен целевой поиск материалов в научных базах данных (Scopus, Web of Science, IEEE Xplore, SpringerLink), открытых репозиториях (ACM Digital Library, CyberLeninka) и нормативных ресурсах, содержащих стандарты ISO, COPPA, GDPR-K, Age-Appropriate Design Code, UNICEF Guidelines.

В анализ включались публикации последних 10-15 лет, имеющие прямое отношение к детскому цифровому контенту и разработке образовательных приложений, а также стандарты, регулирующие вопросы юзабилити, доступности, безопасности данных и этичного взаимодействия с детьми. Дополнительно изучались платформенные рекомендации Apple и Google, поскольку они определяют требования к размещению детских приложений в экосистемах iOS и Android.

На следующем этапе проводился тематический контент-анализ отобранных материалов. Каждому источнику присваивалась категория: технические требования, UX/UI-дизайн, психолого-педагогические аспекты, цифровая безопасность, доступность, этичные принципы и нормативно-правовое регулирование. Это позволило систематизировать данные, выявить повторяющиеся критерии, определить расхождения между исследованиями и сопоставить международные и национальные подходы (в том числе СТ РК 34.017-2005).

Кроме того, был проведён сравнительный анализ конкретных приложений, используемых в разных странах, с целью определить, каким образом они реализуют выявленные стандарты и учитывают возрастные особенности детей. Данные о функциях, интерфейсных решениях, возрастных группах и языковой поддержке сопоставлялись с требованиями ISO, COPPA, GDPR-K и принципами детского UX/UI.

Таким образом, методология исследования сочетает систематический обзор литературы, нормативный анализ, сравнительный подход и классификацию требований, что обеспечивает комплексное и достоверное представление о современных стандартах разработки детских электронных обучающих приложений.

Результаты и обсуждение

Сегмент цифровых приложений для детей занимает важное место в структуре рынка информационных технологий, отражая тенденции к интеграции образования, развлечения и психолого-педагогической поддержки. В связи с тем, что приложения используются пользователями, имеющими возрастные и психологические особенности (детский возраст, умение или неумение читать и писать, понимание текста, восприятие нарисованного контента, звуков и т.д.) к ним предъявляются следующие технические требования представленные в источниках [20, 21…25]:

1. Платформенная совместимость
- Поддержка iOS / Android (желательно обе платформы).
- Адаптация под планшеты и смартфоны, иногда – под интерактивные доски.
- Оптимизация для работы офлайн, чтобы дети могли пользоваться в любом месте.

2. Производительность
- Быстрая загрузка.
- Минимальное потребление ресурсов устройства (CPU, память).
- Отсутствие зависаний, лагов – особенно важно при рисовании/обводке.

3. Безопасность
- Отсутствие рекламы, всплывающих окон.
- Нет встроенных покупок без родительского контроля.
- Соответствие стандартам: COPPA (в США), GDPR-K (ЕС), и аналогам.
- Логика «sandbox»: ребёнок не может случайно выйти, удалить, купить и т.д.

4. Мониторинг и аналитика (опционально для образовательных целей)
- Сбор статистики о прогрессе ребёнка (доступной только родителям или педагогам).
- Возможность экспортировать/печатать результаты.

Для детских приложений важны требования со стороны (UX/UI) дизайна, например, согласно источникам [26, 27, 31]:

1. Возрастная адаптация:
- Простота навигации: крупные кнопки, минимум текста.
- Использование аудио-инструкций, анимаций и визуальных подсказок.
- Интерфейс должен быть интуитивно понятен даже детям, не умеющим читать.

2. Принципы детской психологии
- Позитивное подкрепление (звук, эмоции персонажей, похвала).
- Плавное увеличение сложности (от простого к сложному).
- Игровой подход (геймификация), но без навязчивости.

3. Цветовая гамма и шрифты
- Яркие, но не агрессивные цвета.
- Крупные, без засечек шрифты (Comic Sans, Arial Rounded, Tahoma).
- Минимизация визуального шума.

4. Доступность – возможность использовать приложение детьми с особыми образовательными потребностями (например, режимы для слабовидящих, поддержка экранных читалок, настройка громкости и цвета фона).

Важно, чтобы приложение было лицензионным и имело экспертное заключение (например, от педагогов, логопедов, психологов) и перед использованием приложения широкой аудиторией детей обязательно проводится UX-тестирование с детьми, т.е. тестирование с целевой аудиторией.

В мире разработаны и приняты международные стандарты по юзабилити и детскому UX. Рассмотрим требования некоторых из них.

1. Международные стандарты по юзабилити и детскому UX

ISO 9241 (части 110 и 210) источники [32-34]:
- Общие принципы человеко-ориентированного дизайна, включая для детей.
- Включает понятия понятности, предсказуемости, удовлетворенности и т.д.
- Рекомендации по адаптации интерфейса под конкретного пользователя (в т.ч. детей).

ISO/IEC TR 29138-Обзор потребностей пользователя [35]:

– Требования к доступности цифровых продуктов для людей с ограниченными возможностями, включая детей.

2. Безопасность и конфиденциальность

COPPA (Children's Online Privacy Protection Act, США).Обязателен для всех приложений, ориентированных на детей младше 13 лет [36, 37]. Требует:

– Родительского согласия на сбор данных.
– Ограничение поведенческой рекламы.
– Уведомления о политике конфиденциальности.

GDPR-K (ЕС) – часть GDPR, касающаяся «детских данных». Возраст согласия – от 13 до 16 лет (варьируется по странам). Запрещен сбор и передача данных без разрешения родителей [38].

Age-Appropriate Design Code (UK, 2021). Содержит 15 принципов детской цифровой безопасности [39]. Включает:

– Минимизацию сбора данных.
– Использование по умолчанию «приватных» настроек.
– Ясные, понятные уведомления.

Подходы к этичному и инклюзивному цифровому дизайну содержаться в UNICEF Guidelines for Digital Products for Children (Руководящие принципы ЮНИСЕФ в отношении цифровых продуктов для детей) и охватывают: инклюзивность (дети с ОВЗ, разный уровень грамотности), эмпатичный подход, защиту интересов ребенка, вовлечение детей в тестирование интерфейса [40-42].

Платформы, на которых размещаются приложения для детей, так же имеют требования по их размещению, например, руководства платформ (Apple, Google):

– Apple Human Interface Guidelines (с разделом «Designing for Kids») [43, 44];
– Google Material Design Guidelines – принципы визуальной доступности, работы с возрастными ограничениями, контролем доступа, уведомлениями и т.д.

В Республике Казахстан при создании приложений для детей используешься Стандарт СТ РК 34.017-2005 «Информационные технологии. Электронное издание. Электронное учебное издание», который устанавливает требования к структуре, содержанию, оформлению и качеству электронных изданий, в том числе учебных [46]. Он определяет классификацию электронных изданий (например, электронный учебник, тренажёр, справочник), требования к функциональности (поиск, навигация, мультимедийность), эргономике интерфейса, техническому сопровождению, а также обеспечению надежности, защиты информации и авторских прав. Стандарт применяется при разработке, экспертизе и внедрении электронных учебных ресурсов в образовательный процесс в Республике Казахстан.

Стандарты, которых нужно учитывать при разработке приложений для детей представлен в таблице 1.

Таблица 1 – Стандарты разработки электронных приложений для детей

Категория	Документ
UX/UI-дизайн	ISO 9241-210, UNICEF Digital Design
Конфиденциальность	COPPA, GDPR-K
Безопасность данных	ISO/IEC 27001 (инф. безопасность)
Доступность	ISO/IEC TR 29138
Этические аспекты	Age-Appropriate Design Code, UNICEF
При создании электронных приложений для детей и лицензировании программного продукта	Стандарт СТ РК 34.017-2005 «Информационные технологии. Электронное издание. Электронное учебное издание»

Рассмотрим электронные приложения на примере развития навыком письма, которые активно используются в США, Финляндии, Сингапуре, Южной Корее, Австралии и других странах с высоким уровнем цифровизации образования.

В США используются приложения LetterSchool, ABCmouse, Writing Wizard, Starfall, которые помогают детям осваивать написание букв и слов. В стране образование ориентировано на индивидуализацию, поэтому дети часто работают с планшетами даже в

детских садах [47-49].

В Финляндии применяют цифровые инструменты, например, Eduten, Molla ABC, чтобы познакомить детей с основами письма в игровой форме. Использование технологий строго сбалансировано, чтобы не мешать развитию моторики [50, 51].

В Южной Корее используются специальные приложения с распознаванием почерка, игровые тренажёры для отработки написания иероглифов (хангыля).

В Австралии для развития навыков письма используют приложения Reading Eggs и Writing Wizard популярны в детских садах. Обучение проводится в формате «blended learning» – сочетание традиционных и цифровых методов.

В таблице 2 представлен анализ приложений для развития навыков письма у детей.

Таблица 2 – Приложения для развития навыков письма у детей

Название приложения	Описание	Алфавит	Операционная система
Для самых маленьких (2-4 года)			
Рисуем пальчиками	рисование пальцем по контуру, помогает развить координацию.	–	Android, iOS
Bini Toddler Draw	раскраски и простые задания для мелкой моторики	–	Android, iOS
Baby Doodle	свободное рисование для тренировки движений руки	–	Android, iOS
Для дошкольников (4-6 лет)			
Дорисуй картинку	тренировка штриховки, обводки и рисования	–	Android, iOS
LetterSchool	обучение письму букв и цифр с помощью анимаций	английский	Android, iOS
Раскраски для детей	обводка контуров, закрашивание, штриховка	русский, английский	Android, iOS
Для младших школьников (6-8 лет)			
Kaligo	тренировка штриховки, обводки и рисования	английский	Android, iOS
Cursive Writing Wizard	развитие навыков письма, особенно для прописных букв	английский	Android, iOS
ABC Kids – Tracing & Phonics	обводка букв с голосовым сопровождением	английский	Android, iOS

Необходимо отметить, что данные приложения работают на операционных системах Android, iOS, имеют лицензию, перед их внедрением было проведено тестирование на детской аудитории и они полностью соответствуют международным стандартам.

В последние годы наблюдается активное внедрение цифровых технологий в системы дошкольного образования по всему миру. В международной практике в образовательных приложениях для детей дошкольного возраста широко реализуются функции тренировки навыков написания букв и их элементов (штриховка, обводка, рисование по контуру, а также сопровождение упражнений голосовыми подсказками), чтения и счета.

Заключение

Анализ выявленных требований показывает, что многие из них направлены не только на повышение качества детских электронных обучающих приложений, но и на снижение рисков цифровизации, обозначенных в научной литературе. Учитывая возможные негативные эффекты для моторного развития, зрения, внимания и психоэмоционального состояния детей, разработчики и эксперты формируют комплекс подходов, позволяющих смягчить данные угрозы.

Во-первых, требования к возрастной адаптации интерфейса, включающие крупные элементы управления, минимизацию визуального шума, использование контрастных, но не агрессивных цветов, способствуют снижению зрительного напряжения. Наличие озвученных инструкций и визуальных подсказок уменьшает необходимость интенсивного чтения и повышает доступность интерфейса для детей, не умеющих читать, что предотвращает перегрузку. Эти принципы согласуются с выводами исследований о рисках для зрительного восприятия при использовании перенасыщенных или сложных интерфейсов.

Во-вторых, элементы геймификации, рекомендованные большинством UX/UI-стандартов, выполняют не только мотивационную функцию, но и регулируют эмоциональную нагрузку. Мягкая анимация, позитивное подкрепление и пошаговое увеличение сложности позволяют избежать фрустрации и перегрузки, что особенно важно для детей с ограниченной устойчивостью внимания. При этом стандарты (например, UNICEF Guidelines) прямо рекомендуют избегать навязчивых игровых механик, снижающих саморегуляцию и увеличивающих риск формирования зависимости.

В-третьих, требования к доступности и адаптации для детей с различными образовательными потребностями (например, возможность регулировки громкости, включения контрастных тем, настройки скорости анимации) помогают снизить сенсорную перегрузку и поддерживают комфортное взаимодействие. Это важно с точки зрения профилактики утомления и эмоционального напряжения, о которых говорится в ряде исследований о цифровых технологиях в дошкольном возрасте.

В-четвёртых, нормы, относящиеся к эргономике и моторному развитию, учитываются в технических требованиях к взаимодействию с приложением. Приложения для развития навыков письма, обводки и штриховки (LetterSchool, Kaligo и др.) проходят UX-тестирование с детьми и корректируют чувствительность экрана, скорость отклика и ширину линий так, чтобы упражнения поддерживали формирование моторики, а не нарушали её. Это связано с рекомендациями исследований, указывающих на возможные риски для координации движений при некачественной реализации приложений.

В-пятых, обязательное экспертное заключение (педагогов, психологов, логопедов) перед внедрением приложения позволяет оценивать как обучающий потенциал контента, так и возможные риски для здоровья и развития. Эксперты анализируют длительность упражнений, баланс игровых и учебных элементов, соответствие возрасту и отсутствие факторов, способствующих перенапряжению или снижению мотивации. Таким образом, экспертная оценка становится инструментом контроля качества и профилактики нежелательных эффектов цифровизации.

Наконец, требования к цифровой безопасности, включая отсутствие рекламы, отсутствие навязчивых уведомлений, защиту от неожиданных переходов и ограничение экранного времени, помогают предотвратить навязчивое поведение и манипулятивные механики во взаимодействии ребёнка с приложением. Эти меры частично компенсируют риски цифровой зависимости, о которых говорится в литературе.

Таким образом, выявленные требования к разработке детских обучающих приложений создают комплексную систему мер, направленную на снижение рисков, связанных с использованием цифровых технологий детьми. Реализация возрастно ориентированных интерфейсов, эргономичных игровых механик, технических ограничений и обязательной экспертизы обеспечивает безопасное, сбалансированное и развивающее цифровое взаимодействие.

Список литературы

1. Peng H. Personalized adaptive learning: an emerging pedagogical approach enabled by a smart learning environment / H. Peng, S. Ma, J.M. Spector // Smart Learn. Environ. – 2019. – № 6. – P. 9. https://doi.org/10.1186/s40561-019-0089-y.
2. HolonIQ: $904M of EdTech VC in Q3 2023. [Электронный ресурс]. https://www.edtechdigest.com/2023/10/10/holoniq-904m-of-edtech-vc-in-q3-2023/.
3. Тенденции 2024-2025 в сфере онлайн-образования и EdTech: анализ и прогнозы [Электронный ресурс]. https://antitreningi.ru/info/e-learning/tendencii-2024-2025-v-edtech/.
4. Koran N. Mobile technology usage in early childhood: Pre-COVID-19 and the national lockdown period in North Cyprus / N. Koran, B. Berkmen, A. Adalıer // Educ Inf Technol (Dordr). – 2022. – № 27(1). – P. 321-346. https://doi.org/10.1007/s10639-021-10658-1. Epub 2021 Aug 6. PMID: 34393611; PMCID: PMC8344393. https://pubmed.ncbi.nlm.nih.gov/34393611/.
5. Smirnova E.O. The specifics of modern preschool childhood / E.O. Smirnova // National Psychological Journal. – 2019. – № 2(34). – P. 25-32. https://doi.org/10.11621/npj.2019.0205. https://msupsyj.ru/articles/detail.php?article=8045&ysclid=m9f63yb7mx700561774.
6. Exploration of latent early literacy profiles in German kindergarten children using a newly developed app. / C. Stuhr et al // Front. Educ. – 2024. – № 9. – P. 1350266.

https://doi.org/10.3389/feduc.2024.1350266.
https://www.frontiersin.org/journals/education/articles/10.3389/feduc.2024.1350266/full.
7. Couse L.J. A Tablet Computer for Young Children? Exploring its Viability for Early Childhood Education / L.J. Couse, D.W. Chen // Journal of Research on Technology in Education. – 2010. – № 43(1). – P. 75-96. https://doi.org/10.1080/15391523.2010.10782562.
8. Rashi Desai, UX Design for Different User Generations [Electronic resource]. Mode of access: https://uxplanet.org/ux-design-for-different-user-generations-a1eac5b8e403
9. Abaevna A. Effective Use of Digital Technologies in Primary School / A. Abaevna // Eurasian Science Review An International Peer-Reviewed Multidisciplinary Journal. – 2025. – № 1(3). – P. 2286-2298. https://doi.org/10.63034/esr-377.
10. Yusupov I.M. Pedagogical psychology. Textbook / I.M. Yusupov // Samara: SamaIKP-SNC RAS. – 2003. – P.45-46.
11. Belousova L.I. Didactic potential of digital educational resources for younger schoolchildren [Text] / L.I. Belousova, N.V. Olefirenko // Educational technologies and society. – 2013. –T. 16, № 1. – P. 586-598.
12. Molchanova E.V. On the pros and cons of digitalization of modern education / E.V. Molchanova // Problems of modern pedagogical education. – 2019. – № 64-4. – P. 133-135.
13. Абакумова Н.Н. Разработка дизайна интерфейса приложения для развития эмоционального интеллекта детей с расстройствами аутического спектра / Н.Н. Абакумова, А.Н. Милованова // Гуманитарная информатика. – 2019. – № 16. https://cyberleninka.ru/article/n/razrabotka-dizayna-interfeysa-prilozheniya-dlya-razvitiya-emotsionalnogo-intellekta-detey-s-rasstroystvami-auticheskogo-spektra.
14. Villamin G.R. Co-Designing Digital Assistive Technologies for Autism Spectrum Disorder (ASD) Using Qualitative Approaches / G.R. Villamin, R. Luppicini // International Journal of Disability, Development and Education. – 2024. – P. 1–19. https://doi.org/10.1080/1034912X.2024.2427606.
15. Schell J. The Art of Game Design: A Book of Lenses // [Электронный ресурс]. https://iums.ac.ir/uploads/%5BJesse_Schell%5D_The_Art_of_Game_Design_A_book_of_l(BookFi).pdf.
16. Arndt P. Literacy Training of Kindergarten Children With Pencil, Keyboard or Tablet Stylus: The Influence of the Writing Tool on Reading and Writing Performance at the Letter and Word Level. Frontiers in Psychology. – 2020. https://www.academia.edu/127773806/Literacy_Training_of_Kindergarten_Children_With_Pencil_Keyboard_or_Tablet_Stylus_The_Influence_of_the_Writing_Tool_on_Reading_and_Writing_Performance_at_the_Letter_and_Word_Level.
17. Криштопова Е.А. Особенности UI/UX-проектирования образовательных приложений для детей / Е.А. Криштопова, Е.С. Коваленко, Т.Г. Коваленко // BIG DATA and Advanced Analytics = BIG DATA и анализ высокого уровня: VII Международная научно-практическая конференция [Электронный ресурс]: сборник материалов VII Международной научно-практической конференции, Минск, 19-20 мая 2021 года / Белорусский государственный университет информатики и радиоэлектроники ; редкол.: В.А. Богуш [и др.]. – Минск, 2021. – С. 31-34. Режим доступа: http://bigdataminsk.bsuir.by/files/2021_materialy.pdf.
18. Razali R. User Interface Design Guidelines for Children Mobile Learning Applications / R. Razali // International Journal of Recent Technology and Engineering (IJRTE). – 2019. https://doi.org/10.35940/IJRTE.C5434.098319.
19. Interaction of children with an augmented reality smartphone app / S. Yadav et al // Int. j. inf. tecnol. – 2020. – № 12. – P. 711-716. https://doi.org/10.1007/s41870-020-00460-6.
20. Elvy, Stacy-Ann, Age Appropriate Design Code Mandates (October 20, 2023). University of Pennsylvania Journal of International Law, Available at SSRN: https://ssrn.com/abstract=4872157 or http://dx.doi.org/10.2139/ssrn.4872157.
21. Y Lay et al. IOP Conf. Ser.: Earth Environ. Sci. – 2025. – 1510 012006 https://iopscience.iop.org/article/10.1088/1755-1315/1510/1/012006.
22. Colvert A. Playful by Design: Embedding Children's Rights into the Digital World / A. Colvert, K. Pothong, S. Livingstone // ACM Games: Research and Practice. – 2024. https://dl.acm.org/doi/10.1145/3678469.
23. Leon Y Xiao. Failing to protect the online consumer: poor compliance with Dutch loot box and video game consumer protection guidelines / Leon Y Xiao // International Journal of Law and Information Technology. – 2025. – Vol. 33. – eaaf011. https://doi.org/10.1093/ijlit/eaaf011.

24. Outcomes of Best-Practice Guided Digital Mental Health Interventions for Youth and Young Adults with Emerging Symptoms: Part II / J.E. Opie et al // A Systematic Review of User Experience Outcomes. Clin Child Fam Psychol Rev. – 2024. – № 27. – P. 476-508. https://doi.org/10.1007/s10567-024-00468-5.
25. Requirements of Enjoyable Mobile Learning Applications for Deaf Children / N.L. Hashim et al // Journal of Information and Communication Technology. – 2024. – № 23(1). – P. 49-75. https://doi.org/10.32890/jict2024.23.1.3.
26. Age Appropriate Design Code of Practice: Children's Code [Электронный ресурс]. https://www.commodious.co.uk/knowledge-bank/business/data-protection/age-appropriate-design-code-of-practice-childrens-code.
27. Livingstone, Sonia & Blum-Ross, Alicia. 2020. Parenting for a Digital Future: How Hopes and Fears about Technology Shape Children's Lives. https://colab.ws/articles/10.1093%2Foso%2F9780190874698.001.0001.
28. Connected play in virtual worlds: Communication and control mechanisms in virtual worlds for children and adolescents / Y. Du et al // Multimodal Technologies and Interaction. – 2021. – № 5(5). – P. 27. https://doi.org/10.3390/mti5050027.
29. The distant horizon: Investigating the relationship between social sciences academic research and game development / M. Passarelli et al // Entertainment Computing. – 2020. – № 34. – P. 100339. https://doi.org/10.1016/j.entcom.2020.100339.
30. Васильев В.И. Разработка интуитивно понятного интерфейса для обучения школьников программированию / В.И. Васильев // Форум молодых ученых. – 2020. – № 8(48). https://cyberleninka.ru/article/n/razrabotka-intuitivno-ponyatnogo-interfeysa-dlya-obucheniya-shkolnikov-programmirovaniyu.
31. Интерфейсы для тех, кто еще не читает. Принципы проектирования детского UX-UI [Электронный ресурс]. – https://habr.com/ru/companies/uchi_ru/articles/516356/?ysclid=mfo038bnvi879234480
32. ISO 9241-210:2019 Ergonomics of human-system interactionPart 210: Human-centred design for interactive systems. Edition 2, 2019. [Электронный ресурс]. – URL: https://www.iso.org/standard/77520.html
33. Cardiel J.S.R. Implementation of ISO/IEC 29110 and ISO 9241-210:2019 Standards in Software Development for the UTZAC University Clinic / J.S.R. Cardiel, L.M.Z. Alvarado, J.F.H. Serrano //13th International Conference On Software Process Improvement (CIMPS), Mérida, Yucatán, Mexico. – 2024. – P. 15-19, https://doi.org/10.1109/CIMPS65195.2024.11095911 https://ieeexplore.ieee.org/document/11095911.
34. Usability Testing of a Digital Assessment Routing Tool: Protocol for an Iterative Convergent Mixed Methods Study / C. Lowe et al // JMIR Res Protoc. – 2021. – №10(5). – P. e27205. https://doi.org/10.2196/27205. https://www.researchprotocols.org/2021/5/e27205.
35. ISO/IEC TR 29138-1:2009. Информационные технологии. Анализ доступности для людей с ограниченными возможностями. Часть 1. Обзор потребностей пользователя. [Электронный ресурс]. https://www.gostinfo.ru/catalog/Details/?id=4440102.
36. Children's Online Privacy Protection Rule («COPPA») [Электронный ресурс]. – URL: https://www.ftc.gov/legal-library/browse/rules/childrens-online-privacy-protection-rule-coppa.
37. Rego T. Application of data protection laws with a proposal for a flexible regime for humanitarian organisations / T. Rego, M. Beatriz // In the Journal of Data Protection & Privacy. – 2025. – Vol. 7, Issue 2. https://doi.org/10.69554/KDZO1158.
38. GDPR [Электронный ресурс]. – URL:: https://gdpr-info.eu/
39. Age appropriate design: a code of practice for online services [Электронный ресурс]. – URL: https://ico.org.uk/for-organisations/uk-gdpr-guidance-and-resources/childrens-information/childrens-code-guidance-and-resources/age-appropriate-design-a-code-of-practice-for-online-services/
40. UNICEF Responsible Innovation in Technology for Children https://www.unicef-irc.org/publications/pdf/RITEC_Responsible-Innovation-in-Technology-for-Children-Digital-technology-play-and-child-well-being.pdf
41. Assis J.V. Is My Child Safe Online? – On Requirements for Parental Control Tools in Apps used by Children / J.V. Assis, G. Valença // Journal on Interactive Systems. – 2024. – № 15(1). – P. 823-838. https://doi.org/10.5753/jis.2024.4240.

42. A call to action: Designing a more transparent online world for children and young people / V. Portillo et al // Journal of Responsible Technology. – 2024. – Vol. 19. – P. 100093. https://doi.org/10.1016/j.jrt.2024.100093.
https://www.sciencedirect.com/science/article/pii/S2666659624000192.
43. Apple's Human Interface Guidelines: Designing for iOS https://pageflows.com/resources/apples-human-interface-guidelines/
44. Robles-Anderson, E., Schwartz, N., & Borland, J. (2003). Designing for Kids in the Digital Age: Summary of research and recommendations for designers. https://www.academia.edu/75102965/Designing_for_Kids_in_the_Digital_Age_Summary_of_research_and_recommendations_for_designers
45. Google Material Design Guidelines [Электронный ресурс].– https://m2.material.io/design/guidelines-overview
46. Стандарт СТ РК 34.017-2005. Информационные технологии. Электронное издание. Электронное учебное издание» [Электронный ресурс] https://standard.lpp.kz/wp-content/uploads/2020/10/%D0%A1%D0%A2-%D0%A0%D0%9A-34.017-2005.pdf.
47. Jordan G. Effectiveness of an intensive handwriting program for first grade students using the application LetterSchool: A pilot study / G. Jordan, F. Michaud, M.L. Kaiser // Journal of Occupational Therapy, Schools, & Early Intervention. – 2016. – № 9(2). – P. 176-184. https://doi.org/10.1080/19411243.2016.1178034.
48. L2 learning outcomes of a research-based digital app for Japanese children / HJ. Bang et al // Studies in Second Language Acquisition. – 2024. – № 46(2). – P. 504-534. https://doi.org/10.1017/S0272263124000147. https://www.cambridge.org/core/journals/studies-in-second-language-acquisition/article/l2-learning-outcomes-of-a-researchbased-digital-app-for-japanese-children/584348D430CB3F5D148A3379CD795F04.
49. Hee Jin Bang, Kirsten Olander, and Erin Lenihan CALICO Journal. – 2020. – № 37(3). – P. 277-308. https://utppublishing.com/doi/10.1558/cj.40544.
50. Hadley E.B. Learning letters, not language: The nature and quality of language and literacy apps used during remote learning with preschool children in the United States / E.B. Hadley, M. McKenna, K. Hull // Journal of Children and Media. – 2024. – № 18(2). – P. 216-234. https://doi.org/10.1080/17482798.2024.2307593.
51. Learning Experience Platforms in German and Lithuanian K12 Schools: Case Study Analysis / E.B. Hadley et al // International Interdisciplinary PhD Workshop (IIPhDW), Wismar, Germany. – 2023. – P. 1-6. https://doi.org/10.1109/IIPhDW54739.2023.10124407 https://ieeexplore.ieee.org/document/10124407.

References

1. Peng H. Personalized adaptive learning: an emerging pedagogical approach enabled by a smart learning environment / H. Peng, S. Ma, J.M. Spector // Smart Learn. Environ. – 2019. – № 6. – R. 9. https://doi.org/10.1186/s40561-019-0089-y. (In English).
2. HolonIQ: $904M of EdTech VC in Q3 2023. [Ehlektronnyi resurs]. https://www.edtechdigest.com/2023/10/10/holoniq-904m-of-edtech-vc-in-q3-2023/. (In English).
3. Tendentsii 2024-2025 v sfere onlain-obrazovaniya i EdTech: analiz i prognozy [Ehlektronnyi resurs]. https://antitreningi.ru/info/e-learning/tendencii-2024-2025-v-edtech/. (In Russian).
4. Koran N. Mobile technology usage in early childhood: Pre-COVID-19 and the national lockdown period in North Cyprus / N. Koran, B. Berkmen, A. Adalıer // Educ Inf Technol (Dordr). – 2022. – № 27(1). – R. 321-346. https://doi.org/10.1007/s10639-021-10658-1. Epub 2021 Aug 6. PMID: 34393611; PMCID: PMC8344393. https://pubmed.ncbi.nlm.nih.gov/34393611/. (In English).
5. Smirnova E.O. The specifics of modern preschool childhood / E.O. Smirnova // National Psychological Journal. – 2019. – № 2(34). – P. 25-32. https://doi.org/10.11621/npj.2019.0205. https://msupsyj.ru/articles/detail.php?article=8045&ysclid=m9f63yb7mx700561774. (In English).
6. Exploration of latent early literacy profiles in German kindergarten children using a newly developed app. / S. Stuhr et al // Front. Educ. – 2024. – № 9. – R. 1350266. https://doi.org/10.3389/feduc.2024.1350266.
https://www.frontiersin.org/journals/education/articles/10.3389/feduc.2024.1350266/full. (In English).

7. Couse L.J. A Tablet Computer for Young Children? Exploring its Viability for Early Childhood Education / L.J. Couse, D.W. Chen // Journal of Research on Technology in Education. – 2010. – № 43(1). – R. 75-96. https://doi.org/10.1080/15391523.2010.10782562. (In English).
8. Rashi Desai, UX Design for Different User Generations [Electronic resource]. Mode of access: https://uxplanet.org/ux-design-for-different-user-generations-a1eac5b8e403. (In English).
9. Abaevna A. Effective Use of Digital Technologies in Primary School / A. Abaevna // Eurasian Science Review An International Peer-Reviewed Multidisciplinary Journal. – 2025. – № 1(3). – R. 2286-2298. https://doi.org/10.63034/esr-377. (In English).
10. Yusupov I.M. Pedagogical psychology. Textbook / I.M. Yusupov // Samara: SamaIKP-SNC RAS. – 2003. – R.45-46. (In English).
11. Belousova L.I. Didactic potential of digital educational resources for younger schoolchildren [Text] / L.I. Belousova, N.V. Olefirenko // Educational technologies and society. – 2013. –T. 16, № 1. – P. 586-598. (In English).
12. Molchanova E.V. On the pros and cons of digitalization of modern education / E.V. Molchanova // Problems of modern pedagogical education. – 2019. – № 64-4. – R. 133-135. (In English).
13. Abakumova N.N. Razrabotka dizaina interfeisa prilozheniya dlya razvitiya ehmotsional'nogo intellekta detei s rasstroistvami auticheskogo spektra / N.N. Abakumova, A.N. Milovanova // Gumanitarnaya informatika. – 2019. – № 16. https://cyberleninka.ru/article/n/razrabotka-dizayna-interfeysa-prilozheniya-dlya-razvitiya-emotsionalnogo-intellekta-detey-s-rasstroystvami-auticheskogo-spektra. (In Russian).
14. Villamin G.R. Co-Designing Digital Assistive Technologies for Autism Spectrum Disorder (ASD) Using Qualitative Approaches / G.R. Villamin, R. Luppicini // International Journal of Disability, Development and Education. – 2024. – R. 1–19. https://doi.org/10.1080/1034912X.2024.2427606. (In English).
15. Schell J. The Art of Game Design: A Book of Lenses // [Ehlektronnyi resurs]. https://iums.ac.ir/uploads/%5BJesse_Schell%5D_The_Art_of_Game_Design_A_book_of_l(BookFi).pdf. (In English).
16. Arndt P. Literacy Training of Kindergarten Children With Pencil, Keyboard or Tablet Stylus: The Influence of the Writing Tool on Reading and Writing Performance at the Letter and Word Level. Frontiers in Psychology. – 2020. https://www.academia.edu/127773806/Literacy_Training_of_Kindergarten_Children_With_Pencil_Keyboard_or_Tablet_Stylus_The_Influence_of_the_Writing_Tool_on_Reading_and_Writing_Performance_at_the_Letter_and_Word_Level. (In English).
17. Krishtopova E.A. Osobennosti UI/UX-proektirovaniya obrazovatel'nykh prilozhenii dlya detei / E.A. Krishtopova, E.S. Kovalenko, T.G. Kovalenko // BIG DATA and Advanced Analytics = BIG DATA i analiz vysokogo urovnya: VII Mezhdunarodnaya nauchno-prakticheskaya konferentsiya [Ehlektronnyi resurs]: sbornik materialov VII Mezhdunarodnoi nauchno-prakticheskoi konferentsii, Minsk, 19-20 maya 2021 goda / Belorusskii gosudarstvennyi universitet informatiki i radioehlektroniki ; redkol.: V.A. Bogush [i dr.]. – Minsk, 2021. – S. 31-34. Rezhim dostupa: http://bigdataminsk.bsuir.by/files/2021_materialy.pdf. (In Russian).
18. Razali R. User Interface Design Guidelines for Children Mobile Learning Applications / R. Razali // International Journal of Recent Technology and Engineering (IJRTE). – 2019. https://doi.org/10.35940/IJRTE.C5434.098319. (In English).
19. Interaction of children with an augmented reality smartphone app / S. Yadav et al // Int. j. inf. tecnol. – 2020. – № 12. – R. 711-716. https://doi.org/10.1007/s41870-020-00460-6. (In English).
20. Elvy, Stacy-Ann, Age Appropriate Design Code Mandates (October 20, 2023). University of Pennsylvania Journal of International Law, Available at SSRN: https://ssrn.com/abstract=4872157 or http://dx.doi.org/10.2139/ssrn.4872157. (In English).
21. Y Lay et al. IOP Conf. Ser.: Earth Environ. Sci. – 2025. – 1510 012006 https://iopscience.iop.org/article/10.1088/1755-1315/1510/1/012006. (In English).
22. Colvert A. Playful by Design: Embedding Children's Rights into the Digital World / A. Colvert, K. Pothong, S. Livingstone // ACM Games: Research and Practice. – 2024. https://dl.acm.org/doi/10.1145/3678469. (In English).
23. Leon Y Xiao. Failing to protect the online consumer: poor compliance with Dutch loot box and video game consumer protection guidelines / Leon Y Xiao // International Journal of Law and

Information Technology. – 2025. – Vol. 33. – eaaf011. https://doi.org/10.1093/ijlit/eaaf011. (In English).
24. Outcomes of Best-Practice Guided Digital Mental Health Interventions for Youth and Young Adults with Emerging Symptoms: Part II / J.E. Opie et al // A Systematic Review of User Experience Outcomes. Clin Child Fam Psychol Rev. – 2024. – № 27. – R. 476-508. https://doi.org/10.1007/s10567-024-00468-5. (In English).
25. Requirements of Enjoyable Mobile Learning Applications for Deaf Children / N.L. Hashim et al // Journal of Information and Communication Technology. – 2024. – № 23(1). – R. 49-75. https://doi.org/10.32890/jict2024.23.1.3. (In English).
26. Age Appropriate Design Code of Practice: Children's Code [Ehlektronnyi resurs]. https://www.commodious.co.uk/knowledge-bank/business/data-protection/age-appropriate-design-code-of-practice-childrens-code. (In English).
27. Livingstone, Sonia & Blum-Ross, Alicia. 2020. Parenting for a Digital Future: How Hopes and Fears about Technology Shape Children's Lives. https://colab.ws/articles/10.1093%2Foso%2F9780190874698.001.0001. (In English).
28. Connected play in virtual worlds: Communication and control mechanisms in virtual worlds for children and adolescents / Y. Du et al // Multimodal Technologies and Interaction. – 2021. – № 5(5). – R. 27. https://doi.org/10.3390/mti5050027. (In English).
29. The distant horizon: Investigating the relationship between social sciences academic research and game development / M. Passarelli et al // Entertainment Computing. – 2020. – № 34. – R. 100339. https://doi.org/10.1016/j.entcom.2020.100339. (In English).
30. Vasil'ev V.I. Razrabotka intuitivno ponyatnogo interfeisa dlya obucheniya shkol'nikov programmirovaniyu / V.I. Vasil'ev // Forum molodykh uchenykh. – 2020. – № 8(48). https://cyberleninka.ru/article/n/razrabotka-intuitivno-ponyatnogo-interfeysa-dlya-obucheniya-shkolnikov-programmirovaniyu. (In Russian).
31. Interfeisy dlya tekh, kto eshche ne chitaet. Printsipy proektirovaniya detskogo UX-UI [Ehlektronnyi resurs]. – https://habr.com/ru/companies/uchi_ru/articles/516356/?ysclid=mfo038bnvi879234480. (In Russian).
32. ISO 9241-210:2019 Ergonomics of human-system interactionPart 210: Human-centred design for interactive systems. Edition 2, 2019. [Ehlektronnyi resurs]. – URL: https://www.iso.org/standard/77520.html. (In English).
33. Cardiel J.S.R. Implementation of ISO/IEC 29110 and ISO 9241-210:2019 Standards in Software Development for the UTZAC University Clinic / J.S.R. Cardiel, L.M.Z. Alvarado, J.F.H. Serrano //13th International Conference On Software Process Improvement (CIMPS), Mérida, Yucatán, Mexico. – 2024. – R. 15-19, https://doi.org/10.1109/CIMPS65195.2024.11095911 https://ieeexplore.ieee.org/document/11095911. (In English).
34. Usability Testing of a Digital Assessment Routing Tool: Protocol for an Iterative Convergent Mixed Methods Study / C. Lowe et al // JMIR Res Protoc. – 2021. – №10(5). – R. e27205. https://doi.org/10.2196/27205. https://www.researchprotocols.org/2021/5/e27205. (In English).
35. ISO/IEC TR 29138-1:2009. Informatsionnye tekhnologii. Analiz dostupnosti dlya lyudei s ogranichennymi vozmozhnostyami. Chast' 1. Obzor potrebnostei pol'zovatelya. [Ehlektronnyi resurs]. https://www.gostinfo.ru/catalog/Details/?id=4440102. (In English).
36. Children's Online Privacy Protection Rule («COPPA») [Ehlektronnyi resurs]. – URL: https://www.ftc.gov/legal-library/browse/rules/childrens-online-privacy-protection-rule-coppa. (In English).
37. Rego T. Application of data protection laws with a proposal for a flexible regime for humanitarian organisations / T. Rego, M. Beatriz // In the Journal of Data Protection & Privacy. – 2025. – Vol. 7, Issue 2. https://doi.org/10.69554/KDZO1158. (In English).
38. GDPR [Ehlektronnyi resurs]. – URL:: https://gdpr-info.eu/ (In English).
39. Age appropriate design: a code of practice for online services [Ehlektronnyi resurs]. – URL: https://ico.org.uk/for-organisations/uk-gdpr-guidance-and-resources/childrens-information/childrens-code-guidance-and-resources/age-appropriate-design-a-code-of-practice-for-online-services/ (In English).
40. UNICEF Responsible Innovation in Technology for Children https://www.unicef-irc.org/publications/pdf/RITEC_Responsible-Innovation-in-Technology-for-Children-Digital-technology-play-and-child-well-being.pdf (In English).

41. Assis J.V. Is My Child Safe Online? – On Requirements for Parental Control Tools in Apps used by Children / J.V. Assis, G. Valença // Journal on Interactive Systems. – 2024. – № 15(1). – R. 823-838. https://doi.org/10.5753/jis.2024.4240. (In English).
42. A call to action: Designing a more transparent online world for children and young people / V. Portillo et al // Journal of Responsible Technology. – 2024. – Vol. 19. – R. 100093. https://doi.org/10.1016/j.jrt.2024.100093.
https://www.sciencedirect.com/science/article/pii/S2666659624000192. (In English).
43. Apple's Human Interface Guidelines: Designing for iOS https://pageflows.com/resources/apples-human-interface-guidelines/ (In English).
44. Robles-Anderson, E., Schwartz, N., & Borland, J. (2003). Designing for Kids in the Digital Age: Summary of research and recommendations for designers. https://www.academia.edu/75102965/Designing_for_Kids_in_the_Digital_Age_Summary_of_research_and_recommendations_for_designers (In English).
45. Google Material Design Guidelines [Ehlektronnyi resurs].– https://m2.material.io/design/guidelines-overview (In English).
46. Standart ST RK 34.017-2005. Informatsionnye tekhnologii. Ehlektronnoe izdanie. Ehlektronnoe uchebnoe izdaniE» [Ehlektronnyi resurs] https://standard.lpp.kz/wp-content/uploads/2020/10/%D0%A1%D0%A2-%D0%A0%D0%9A-34.017-2005.pdf. (In Russian).
47. Jordan G. Effectiveness of an intensive handwriting program for first grade students using the application LetterSchool: A pilot study / G. Jordan, F. Michaud, M.L. Kaiser // Journal of Occupational Therapy, Schools, & Early Intervention. – 2016. – № 9(2). – R. 176-184. https://doi.org/10.1080/19411243.2016.1178034. (In English).
48. L2 learning outcomes of a research-based digital app for Japanese children / HJ. Bang et al // Studies in Second Language Acquisition. – 2024. – № 46(2). – R. 504-534. https://doi.org/10.1017/S0272263124000147. https://www.cambridge.org/core/journals/studies-in-second-language-acquisition/article/l2-learning-outcomes-of-a-researchbased-digital-app-for-japanese-children/584348D430CB3F5D148A3379CD795F04. (In English).
49. Hee Jin Bang, Kirsten Olander, and Erin Lenihan CALICO Journal. – 2020. – № 37(3). – R. 277-308. https://utppublishing.com/doi/10.1558/cj.40544. (In English).
50. Hadley E.B. Learning letters, not language: The nature and quality of language and literacy apps used during remote learning with preschool children in the United States / E.B. Hadley, M. McKenna, K. Hull // Journal of Children and Media. – 2024. – № 18(2). – R. 216-234. https://doi.org/10.1080/17482798.2024.2307593. (In English).
51. Learning Experience Platforms in German and Lithuanian K12 Schools: Case Study Analysis / E.B. Hadley et al // International Interdisciplinary PhD Workshop (IIPhDW), Wismar, Germany. – 2023. – R. 1-6. https://doi.org/10.1109/IIPhDW54739.2023.10124407 https://ieeexplore.ieee.org/document/10124407. (In English).

А.В. Шапорева[*], А.М. Айтымова[1], О.Л. Копнова[1], К.Е. Икласова[1], Е.В. Шевчук[2]
[1]М. Қозыбаев атындағы Солтүстік Қазақстан университеті,
150000 Қазақстан Республикасы, Петропавл қ., Пушкин к-сі, 86
[2]Сібір Мемлекеттік Геожүйелер және Технологиялар Университеті,
630108 Ресей, Новосибирск, Плахотный к-сі, 10
[*]e-mail: annvolkova@mail.ru

БАЛАЛАРҒА АРНАЛҒАН ЭЛЕКТРОНДЫ ОҚЫТУ ҚОСЫМШАЛАРЫНЫҢ МАЗМҰНЫНА, UX/UI ДИЗАЙНЫНА ЖӘНЕ ҚАУІПСІЗДІГІНЕ ҚОЙЫЛАТЫН ТАЛАПТАРҒА ШОЛУ

Мақалада мазмұн, UX/UI дизайны және цифрлық қауіпсіздік аспектілерін қамтитын балаларға арналған электрондық оқыту қолданбаларын әзірлеуге қойылатын заманауи талаптарға жүйелі шолу берілген. EdTech секторының қарқынды өсуі және мектепке дейінгі және бастауыш мектеп жасындағы пайдаланушылар санының артуы жағдайында сапалы, инклюзивті және қауіпсіз цифрлық мазмұнға қажеттілік артады. Зерттеу ғылыми және нормативтік әдебиеттерді, халықаралық стандарттарды (ISO, COPPA, GDPR-K), сондай-ақ білім беруді цифрландыру деңгейі жоғары елдердің (АҚШ, Финляндия, Оңтүстік Корея, Австралия) тәжірибелерін талдауға негізделген.

Балалардың білім беру қосымшаларына сәйкес келетін негізгі техникалық және дизайн критерийлері: балалардың жас және когнитивті ерекшеліктеріне бейімделу, интерфейстің қол жетімділігі мен қарапайымдылығы, визуалды және когнитивті шуды азайту, цифрлық этика мен құпиялылық принциптерін сақтау. Мақсатты аудитория-балалардың қатысуымен UX тестілеу

мәселелеріне, сондай – ақ қосымшалардың лицензиялық сараптамасына қойылатын талаптарға ерекше назар аударылады.

Графомоторлық дағдыларды дамытуға бағытталған қосымшалардың мысалдары олардың функцияларын, платформаларын және тілдік бейімделуін көрсете отырып талданды. Мақалада педагогикалық міндеттерді де, техникалық шектеулерді де ескере отырып, балаларға арналған цифрлық өнімдерді әзірлеу кезінде пәнаралық тәсілдің қажеттілігі көрсетілген.

Ұлттық және халықаралық стандарттарды одан әрі дамыту қажеттілігі туралы қорытынды жасалды, әсіресе жасанды интеллект технологияларын балалар қосымшаларына біріктіру аясында. Ұсынылған жұмыс цифрлық білім беру саласында жұмыс істейтін зерттеушілер, тәрбиешілер мен әзірлеушілер үшін әдіснамалық негіз бола алады.

Түйін сөздер: *оқыту электрондық қосымшасы, онлайн білім беру, EdTech, планшеттік технологиялар, балаларға арналған қосымшаларды әзірлеудің техникалық стандарттары, балалардың сандық мазмұны.*

A.V. Shaporeva[1]*, A.M. Aitymova[1],O.L. Kopnova[1], K.E. Iklassova[1], E.Shevchuk[2]
[1]M. Kozybaev North Kazakhstan University,
150000 Republic of Kazakhstan, Petropavlovsk, Pushkin St. 86
[2]Siberian State University of Geosystems and Technologies,
630108 Russia, Novosibirsk, Plakhotny Street, 10
*e-mail: annvolkova@mail.ru

AN OVERVIEW OF THE REQUIREMENTS FOR THE CONTENT, UX/UI DESIGN, AND SAFETY OF CHILDREN'S ELECTRONIC LEARNING APPLICATIONS

The article presents a systematic review of modern requirements for the development of e-learning applications for children, covering aspects of content, UX/UI design and digital security. With the rapid growth of the EdTech sector and an increasing number of preschool and primary school age users, the need for high-quality, inclusive and secure digital content is increasing. The study is based on an analysis of scientific and regulatory literature, international standards (ISO, COPPA, GDPR-K), as well as practices in countries with a high level of digitalization of education (USA, Finland, South Korea, Australia).

The key technical and design criteria that children's educational applications must meet are highlighted: adaptation to the age and cognitive characteristics of children, accessibility and simplicity of the interface, minimization of visual and cognitive noise, as well as compliance with the principles of digital ethics and privacy. Special attention is paid to the issues of UX testing with the participation of the target audience – children, as well as the requirements for the licensed examination of applications.

Examples of applications aimed at developing graphomotor skills are analyzed, indicating their functions, platforms, and language adaptation. The article highlights the need for an interdisciplinary approach in the development of digital products for children, taking into account both pedagogical tasks and technical limitations.

It is concluded that there is a need for further development of national and international standards, especially in the light of the integration of artificial intelligence technologies into children's applications. The presented work can serve as a methodological basis for researchers, educators and developers working in the field of digital education.

Key words: *educational electronic application, online education, EdTech, tablet technologies, technical standards for developing applications for children, children's digital content.*

Сведения об авторах

Анна Васильевна Шапорева* – PhD, доцент кафедры «Строительство и дизайн», Северо-Казахстанский университет имени М. Козыбаева, г. Петропавловск Республика Казахстан; e-mail: annvolkova@mail.ru. ORCID: http://orcid.org/0000-0002-6211-5634.

Алия Муратовна Айтымова – PhD, старший преподаватель кафедры «Начальное, дошкольное и специальное образование», Северо-Казахстанский университет имени М. Козыбаева, г. Петропавловск Республика Казахстан; e-mail: amakasheva@ku.edu.kz. ORCID: https://orcid.org/0000-0003-1128-6924.

Оксана Леонидовна Копнова – PhD, старший преподаватель кафедры «Математика и физика», Северо-Казахстанский университет имени М. Козыбаева, г. Петропавловск Республика Казахстан; e-mail: okopnova@ku.edu.kz. ORCID: https://orcid.org/0000-0002-6299-3728.

Кайнижамал Есемсеитовна Икласова – PhD, доцент кафедры «Информационно-комуникационные технологии», Северо-Казахстанский университет имени М. Козыбаева, г. Петропавловск, Республика Казахстан; e-mail: kiklasova@mail.ru. ORCID: https://orcid.org/0000-0002-8330-4282.

Елена Владимировна Шевчук – канд. тех. наук, академик МАИН, доцент кафедры высшей математики, Институт геодезии и менеджмента, Сибирский государственный университет геосистем и технологий, г. Новосибирск, Россия; e-mail: evshevch@mail.ru. ORCID: https://orcid.org/0000-0002-1206-3960.

Авторлар туралы мәліметтер

Анна Васильевна Шапорева* – PhD, «Құрылыс және дизайн» кафедрасының доценті, М. Қозыбаев атындағы Солтүстік Қазақстан университеті, Петропавл қ. Қазақстан Республикасы; e-mail: annvolkova@mail.ru. ORCID: http://orcid.org/0000-0002-6211-5634.

Алия Муратовна Айтымова – PhD, «Бастауыш, мектепке дейінгі және арнайы білім беру» кафедрасының аға оқытушысы, М. Қозыбаев атындағы Солтүстік Қазақстан университеті, Петропавл қ. Қазақстан Республикасы; e-mail: amakasheva@ku.edu.kz. ORCID: https://orcid.org/0000-0003-1128-6924.

Оксана Леонидовна Копнова – PhD, «Математика және физика» кафедрасының аға оқытушысы, М. Қозыбаев атындағы Солтүстік Қазақстан университеті, Петропавл қ. Қазақстан Республикасы; e-mail: okopnova@ku.edu.kz. ORCID: https://orcid.org/0000-0002-6299-3728.

Кайнижамал Есемсеитовна Икласова – PhD, «Ақпараттық-коммуникациялық технологиялар» кафедрасының доценті; М. Қозыбаев атындағы Солтүстік Қазақстан университеті, Петропавл қ. Қазақстан Республикасы; e-mail: kiklasova@mail.ru. ORCID: https://orcid.org/0000-0002-8330-4282.

Елена Владимировна Шевчук – канд. техник. ғылым академигі, МАЭН академигі, Жоғары математика кафедрасының доценті, геодезия және менеджмент институты, Сібір мемлекеттік геожүйелер және технологиялар университеті, Новосибирск қ., Ресей; e-mail: evshevch@mail.ru. ORCID: https://orcid.org/0000-0002-1206-3960.

Information about the authors

Anna Vasilyevna Shaporeva* – PhD, Associate Professor of the Department of Construction and Design, M. Kozybayev North Kazakhstan University, Petropavlovsk, Republic of Kazakhstan; e-mail: annvolkova@mail.ru. ORCID: http://orcid.org/0000-0002-6211-5634.

Aliya Muratovna Aitymova – PhD, Senior Lecturer of the Department of Primary, Preschool and Special Education, M. Kozybayev North Kazakhstan University, Petropavlovsk, Republic of Kazakhstan; e-mail: amakasheva@ku.edu.kz. ORCID: https://orcid.org/0000-0003-1128-6924.

Oksana Leonidovna Kopnova – PhD, Senior Lecturer of the Department of Mathematics and Physics, M. Kozybayev North Kazakhstan University, Petropavlovsk, Republic of Kazakhstan; e-mail: okopnova@ku.edu.kz. ORCID: https://orcid.org/0000-0002-6299-3728.

Kainizhamal Yesemseitovna Iklassova – PhD, Associate Professor of the Department of Information and Communication Technologies, M. Kozybayev North Kazakhstan University, Petropavlovsk, Republic of Kazakhstan; e-mail: kiklasova@mail.ru. ORCID: https://orcid.org/0000-0002-8330-4282.

Elena Vladimirovna Shevchuk – Candidate of Technical Sciences, Academician of the MAEN, Associate Professor of the Department of Higher Mathematics, Institute of Geodesy and Management, Siberian State University of Geosystems and Technologies, Novosibirsk, Russia; e-mail: evshevch@mail.ru. ORCID: https://orcid.org/0000-0002-1206-3960.

Поступила в редакцию 17.09.2025
Поступила после доработки 20.11.2025
Принята к публикации 24.11.2025

https://doi.org/10.53360/2788-7995-2025-4(20)-21

IRSTI: 53.81.31

CC BY 4.0
Check for updates

Б.К. Кенжалиев[1], С.Ж. Айбагаров[2], Н. Азатбекулы[2*], А.А. Ультаракова[1]
[1]Институт металлургии и обогащения, Satbayev University,
050010, Казахстан, Алматы, Шевченко, 29
[2]ТОО «DigitAlem»,
050042, Казахстан, Алматы, ул. Жандосова, дом 150/1
*e-mail: nurtugang17@gmail.com

РАЗРАБОТКА ИНФОРМАЦИОННОЙ СИСТЕМЫ ДЛЯ МОДЕЛИРОВАНИЯ И АНАЛИЗА ГИДРОМЕТАЛЛУРГИЧЕСКОЙ ПЕРЕРАБОТКИ МОЛИБДЕНИТНЫХ КОНЦЕНТРАТОВ

Аннотация: *Истощение высококачественных молибденовых руд и необходимость переработки сложных сульфидных концентратов создают значительные вызовы для гидрометаллургической промышленности. Традиционные подходы к обработке экспериментальных данных, основанные на ручных расчетах, характеризуются высокой трудоемкостью, риском вычислительных ошибок и фрагментацией информации. В данной работе описывается разработка специализированной информационной системы для моделирования и анализа гидрометаллургической переработки молибденитных концентратов. Программное обеспечение*

реализовано на базе веб-фреймворка Django и включает модули ввода экспериментальных данных, автоматизированного расчета материальных балансов процессов выщелачивания и сорбции, а также визуализации результатов через интерактивные аналитические панели. Система апробирована на данных 6 экспериментов по выщелачиванию и 9 экспериментов по сорбции молибдена. Модульная трехуровневая архитектура обеспечивает масштабируемость решения и возможность его адаптации для моделирования других гидрометаллургических процессов. Разработанные калькуляторы позволяют прогнозировать степень извлечения молибдена на различных стадиях технологического цикла без проведения дополнительных физических экспериментов. Практическая значимость работы заключается в создании цифрового двойника технологического процесса, который формирует единое информационное пространство для исследователей, обеспечивает прозрачность и воспроизводимость экспериментов, а также закладывает основу для промышленного масштабирования технологии переработки молибденитовых концентратов.

Ключевые слова: *гидрометаллургия; переработка молибденита; цифровой двойник; информационная система; материальный баланс; автоматизация расчетов.*

1. Введение

Развитие горнометаллургической отрасли неразрывно связано с необходимостью обработки и анализа больших объемов экспериментальных данных. Традиционные подходы, основанные на ручной обработке лабораторных журналов и разрозненных таблиц, сопряжены со значительными трудностями, включая высокую трудоемкость, риск человеческой ошибки и фрагментацию данных в изолированных системах [1]. Эти проблемы становятся особенно острыми при работе со сложными многофакторными системами, такими как гидрометаллургическая переработка молибденитовых концентратов [2], где эффективность процесса зависит от множества взаимосвязанных физико-химических параметров. В таких условиях возникает острая потребность в современных цифровых инструментах, способных автоматизировать рутинные операции и предоставить инженерам-технологам мощные средства для анализа и оптимизации [3].

В последние годы концепция «цифрового двойника» (Digital Twin) находит все более широкое применение в промышленности, позволяя создавать динамические виртуальные модели реальных технологических процессов [4]. Такие системы не просто хранят данные, а моделируют поведение физического объекта, что открывает принципиально новые возможности для прогностического анализа и оптимизации [5]. Создание специализированных информационных систем (ИС) и программных симуляторов для металлургии является одним из ключевых направлений цифровой трансформации отрасли. Эти инструменты позволяют систематизировать экспериментальные данные, выполнять прецизионные расчеты материальных балансов и оценивать влияние технологических параметров на конечные показатели без проведения дорогостоящих и длительных физических экспериментов [6].

Особую роль в создании таких систем играет выбор архитектурных решений и технологического стека. Современные веб-фрейворки, такие как Django на языке Python, предоставляют надежную основу для разработки сложных научных приложений, обеспечивая эффективное управление данными и реализацию сложной вычислительной логики [7]. Не менее важным является и проектирование унифицированной структуры базы данных, которая служит фундаментом для интеграции различных модулей и обеспечения целостности научной информации [8]. Интеграция различных программных модулей в единую платформу позволяет достичь синергетического эффекта, при котором ценность объединенной системы значительно превышает простую сумму ее компонентов [9].

Целью настоящей работы является описание процесса разработки и апробации специализированного программного модуля, предназначенного для анализа и цифрового моделирования гидрометаллургической технологии извлечения триоксида молибдена из молибденитового концентрата. В статье подробно рассматриваются ключевые аспекты создания системы: от проектирования архитектуры и структуры базы данных до реализации пользовательского интерфейса с аналитическими панелями и специализированными калькуляторами. Разработанный продукт представляет собой полноценный цифровой двойник технологического процесса [10], который служит мощной аналитической платформой для инженера-технолога и закладывает основу для дальнейшего масштабирования технологии [11].

2. Материалы и методы

Фундаментом для разработки информационной системы послужила модульная трехуровневая архитектура, типичная для современных веб-ориентированных приложений. Данный подход предполагает логическое разделение системы на три основных слоя: уровень представления (клиентская часть), уровень бизнес-логики (серверная часть) и уровень данных (база данных), что обеспечивает гибкость и независимость разработки отдельных компонентов. Центральным элементом, выполняющим роль системного «оркестратора», выступает ядро, реализованное на базе веб-фреймворка Django. Оно предоставляет технологическому модулю по переработке молибденита стандартизированный набор унифицированных сервисов, включая управление базой данных, аналитику, генерацию отчетов и аутентификацию пользователей. Концептуальная архитектура разработанной информационной системы представлена на рисунке 1.

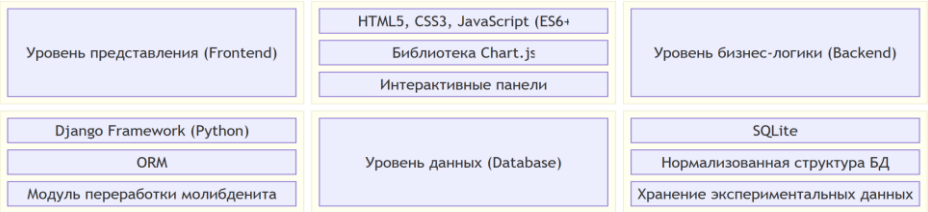


Рисунок 1 – Концептуальная архитектура разработанной информационной системы

Выбор технологического стека был продиктован требованиями к надежности, производительности и масштабируемости. В него вошли следующие ключевые компоненты:

- **Серверная часть (Backend):** реализована с использованием фреймворка Django (Python), который обеспечивает надежную архитектуру и предоставляет мощный встроенный механизм ORM (Object-Relational Mapping) для безопасного и эффективного взаимодействия с базой данных.
- **Клиентская часть (Frontend):** создана с применением нативных веб-технологий - HTML5, CSS3 и JavaScript (ES6+), что гарантирует высокую производительность и полную совместимость с современными браузерами.
- **Визуализация данных:** интегрирована библиотека Chart.js для построения интерактивных аналитических панелей и диаграмм.
- **Система управления базами данных (СУБД):** на этапе разработки и апробации была выбрана SQLite - встраиваемая реляционная СУБД, оптимально подходящая для научных приложений благодаря простоте развертывания и высокой производительности.

Проектирование структуры базы данных осуществлялось в строгом соответствии с принципами нормализации для обеспечения целостности и непротиворечивости хранимой информации.

3. Результаты

Ключевым результатом исследования явилась разработка и тестирование программного обеспечения «Переработка молибденита», выступающего в роли полнофункциональной виртуальной копии гидрометаллургического процесса. Разработанное программное обеспечение реализует комплексный подход к управлению экспериментальными данными, автоматизирует трудоемкие вычисления и предлагает эффективные средства для исследования и улучшения полного производственного цикла.

Основным компонентом платформы выступает главный аналитический дашборд (рис. 2), служащий универсальным интерфейсом доступа и предлагающий исследователю агрегированные сведения о настоящем статусе проекта. На нем в реальном времени собираются главные метрики продуктивности: общее количество выполненных испытаний, а также усредненное и максимальное полученное значение извлечения молибдена.

Для анализа и сравнения результатов разработан модуль электронного журнала экспериментов, обеспечивающий хронологическое отображение данных по выщелачиванию и сорбции (рис. 3). Внутри него в упорядоченной форме отображаются информационные блоки недавних экспериментов по растворению и поглощению, что дает возможность специалисту быстро сопоставлять продуктивность разнообразных методик и мониторить итоги во времени.

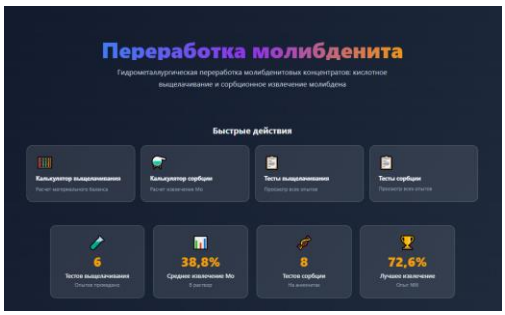


Рисунок 2 – Главная аналитическая панель модуля «Переработка молибденита»



Рисунок 3 – Сводка последних экспериментов

Значимой опцией программного обеспечения является способность к отображению полной производственной последовательности (рис. 4). Динамическая диаграмма показывает вещественные потоки цикла, дополняя главные этапы информацией о базовых производственных характеристиках. Это гарантирует комплексное осмысление цикла и корреляции его составных частей.

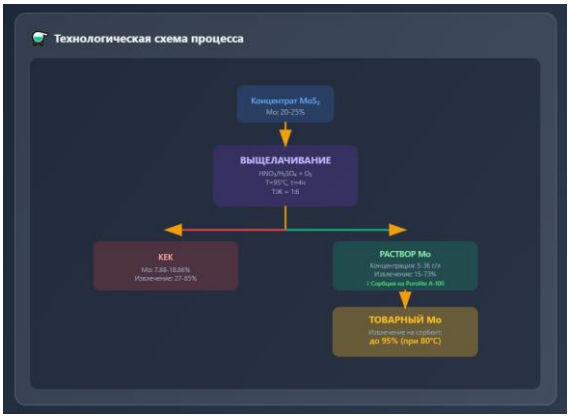
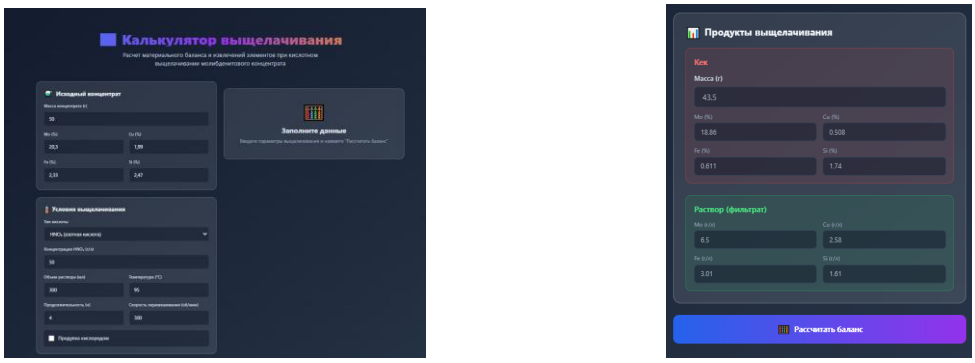


Рисунок 4 – Визуализация технологической схемы

Основным расчетным центром платформы служат два сопряженных вычислительных инструмента. «Калькулятор выщелачивания» (рис. 5) сконструирован для точного вычисления вещественного баланса. Исследователь вносит информацию о начальном сырье, параметрах цикла и итоговых продуктах, после чего платформа моментально выполняет исчерпывающее вычисление, устанавливая уровень извлечения компонентов и их дистрибуцию.

Следующее средство, «Калькулятор сорбции Mo» (рис. 6), служит для симуляции последующего производственного этапа. Исследователь имеет возможность устанавливать характеристики цикла для вычисления ожидаемого извлечения молибдена на ионообменных смолах, что предоставляет возможность в цифровом формате улучшить текущую стадию.



(a) (b)

Рисунок 5 – Интерфейс калькулятора выщелачивания

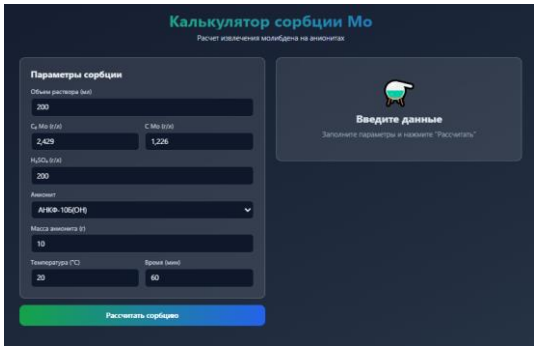


Рисунок 6 – Интерфейс калькулятора сорбции

Следовательно, созданное программное обеспечение представляет собой эффективное и всеобъемлющее средство, трансформирующее многоэтапный гидрометаллургический цикл в контролируемое виртуальное пространство и предоставляя специалисту-технологу комфортные инструменты для прецизионных вычислений, детального изучения и обоснованного улучшения методики.

4. Заключение

В ходе настоящей работы был успешно разработан и апробирован специализированный программный модуль «Переработка молибденита», представляющий собой полноценный цифровой двойник для анализа и моделирования гидрометаллургической технологии. Созданная информационная система продемонстрировала высокую эффективность в решении ключевых задач: систематизации экспериментальных данных, автоматизации сложных расчетов материального баланса и предоставлении интерактивных инструментов для анализа влияния технологических параметров на конечные показатели.

Апробация системы проведена на экспериментальных данных, включающих 6 тестов выщелачивания и 9 тестов сорбции молибдена. Разработанное программное обеспечение обеспечивает автоматизацию расчетов материального баланса, которые ранее выполнялись вручную с использованием электронных таблиц. Это позволило существенно сократить время обработки экспериментальных данных и полностью устранить риск арифметических ошибок, характерных для ручных вычислений.

Интеграция аналитических панелей и специализированных калькуляторов в единый интуитивно понятный интерфейс позволила трансформировать разрозненные лабораторные сведения в структурированный и управляемый информационный ресурс. Это не только значительно снижает трудоемкость обработки данных и минимизирует риск вычислительных ошибок, но и открывает новые возможности для виртуальной оптимизации процесса, позволяя прогнозировать результаты без проведения затратных физических экспериментов.

Практическая значимость разработки заключается в создании цифрового инструмента, который формирует единое информационное пространство для всех участников исследовательского процесса, обеспечивает прозрачность и воспроизводимость экспериментов, а также закладывает основу для дальнейшего масштабирования технологии переработки молибденитовых концентратов до промышленного уровня.

Дальнейшее развитие проекта предусматривает расширение функциональности системы путем внедрения модулей предиктивной аналитики [12], интеграции дополнительных технологических стадий процесса и накопления статистической базы данных для выявления оптимальных режимов переработки различных типов молибденитового сырья.

Список литературы

1. The FAIR Guiding Principles for scientific data management and stewardship / M.D. Wilkinson et al // Scientific Data. – 2016. – № 3. – P. 160018.
2. Bazan V. Extraction of molybdenite concentrates by leaching / V. Bazan, M. Medina, I. Orozco // DYNA. – 2024. – № 91(234). – P. 54-61.
3. Laputka M. A review of recent advances in pyrometallurgical process measurement and modeling, and their applications to process improvement / M. Laputka, W. Xie // Mining, Metallurgy & Exploration. – 2021. – № 38(2). – P. 1135-1165.
4. Grieves M. Digital Twin: Mitigating Unpredictable, Undesirable Emergent Behavior in Complex Systems / M. Grieves, J. Vickers // In Transdisciplinary Perspectives on Complex Systems. – 2017. – P. 85-113.
5. Digital Twins and Enabling Technology Applications in Mining: Research Trends, Opportunities, and Challenges / M. Don et al // IEEE Access. – 2025. – P. 1-1.
6. Hydrometallurgical processing of molybdenum middlings from Shatyrkul-Zhaysan cluster ore / L. Karimova et al // Journal of Mining and Metallurgy, Section B: Metallurgy. – 2024. – № 60(1). – P. 71-83.
7. Sun T. A Python-based platform for thermodynamic calculation and process simulation in metallurgy / T. Sun, S. Du // JOM. – 2019. – № 71(10). – P. 3504-3512.
8. McDowell, D.L. The materials innovation ecosystem: a key enabler for the materials genome initiative / D.L. McDowell, S.R. Kalidindi // MRS Bulletin. – 2016. – № 41(4). – P. 326-337.
9. Zhang J. Metallurgical Process Simulation and Optimization / J. Zhang, Y. Liu, Q. Liu // Materials. – 2022. – № 15(23). – P. 8421.
10. Kenzhaliyev B. INFORMATION SYSTEM FOR METALLURGICAL PROCESS ANALYSIS AND OPTIMIZATION / B. Kenzhaliyev, S. Aibagarov // JPCSIT [Internet]. – 2025. – № 3(3). – P. 101-12. Available from: https://jpcsit.kaznu.kz/index.php/kaznu/article/view/248.
11. Hydrometallurgical processes for the recovery of metals from steel industry by-products: a critical review / K. Binnemans et al // Journal of Sustainable Metallurgy. – 2020. – № 6(4). – P. 505-540.
12. Predicting Copper Production Cycles in Hydrometallurgy with Interpretable Machine Learning / B. Kenzhaliyev et al // Kompleksnoe Ispolzovanie Mineralnogo Syra = Complex Use of Mineral Resources. – 2025. – № 341(2). – P. 5-15. https://doi.org/10.31643/2027/6445.13.

Благодарность

Данное исследование было профинансировано Комитетом по науке Министерства науки и высшего образования Республики Казахстан (грант № BR24992757).

B.K. Kenzhaliev[1], S.Zh. Aibagarov[2], N. Azatbekuly[2*], A.A. Ultarakova[1]

[1]Institute of Metallurgy and Ore Beneficiation, Satbayev University,
050010, Kazakhstan, Almaty, Shevchenko Street, 29

[2]LLP DigitAlem,
050042, Kazakhstan, Almaty, 150/1 Zhandosov Street

DEVELOPMENT OF AN INFORMATION SYSTEM FOR MODELING AND ANALYZING HYDROMETALLURGICAL PROCESSING OF MOLYBDENITE CONCENTRATES

The depletion of high-grade molybdenum ores and the need to process complex sulfide concentrates pose significant challenges for the hydrometallurgical industry. Traditional approaches to processing experimental data based on manual calculations are characterized by high labor intensity, risk of computational errors, and information fragmentation. This paper describes the development of a specialized information system for modeling and analyzing the hydrometallurgical processing of molybdenite concentrates. The software is implemented using the Django web framework and includes modules for experimental data input, automated calculation of material balances for leaching and sorption processes, and visualization of results through interactive analytical dashboards. The system has been validated using data from 6 leaching experiments and 9 molybdenum sorption experiments. The modular three-tier architecture ensures solution scalability and enables its adaptation for modeling other hydrometallurgical processes. The developed

calculators allow predicting molybdenum recovery rates at various stages of the technological cycle without conducting additional physical experiments. The practical significance of this work lies in creating a digital twin of the technological process that establishes a unified information space for researchers, ensures transparency and reproducibility of experiments, and lays the foundation for industrial scaling of molybdenite concentrate processing technology.

Key words: *hydrometallurgy; molybdenite processing; digital twin; information system; material balance; calculation automation.*

Б.К. Кенжалиев[1], С.Ж. Айбагаров[2], Н. Азатбекулы[2*], А.А. Ультаракова[1]
[1]Металлургия және кен байыту институты, Satbayev University,
050010, Қазақстан, Алматы, Шевченко көшесі, 29
[2]ЖШС «DigitAlem»,
050042, Қазақстан, Алматы, Жандосов көшесі, 150/1

МОЛИБДЕНИТ КОНЦЕНТРАТТАРЫН ГИДРОМЕТАЛЛУРГИЯЛЫҚ ӨҢДЕУДІ МОДЕЛЬДЕУГЕ ЖӘНЕ ТАЛДАУҒА АРНАЛҒАН АҚПАРАТТЫҚ ЖҮЙЕНІ ӘЗІРЛЕУ

Жоғары сапалы молибден кендерінің азаюы және күрделі сульфидті концентраттарды өңдеу қажеттілігі гидрометаллургия өнеркәсібі үшін елеулі қиындықтар тудырады. Қолмен есептеуге негізделген эксперименттік деректерді өңдеудің дәстүрлі әдістері еңбек сыйымдылығының жоғарылығымен, есептеу қателері қаупімен және ақпараттың бөлшектенуімен сипатталады. Бұл жұмыста молибденит концентраттарын гидрометаллургиялық өңдеуді модельдеуге және талдауға арналған арнайы ақпараттық жүйені әзірлеу сипатталады. Бағдарламалық қамтамасыз ету Django веб-фреймворкі негізінде іске асырылған және эксперименттік деректерді енгізу, сілтісіздендіру және сорбция процестерінің материалдық балансын автоматты түрде есептеу, сондай-ақ интерактивті талдамалық панельдер арқылы нәтижелерді визуализациялау модульдерін қамтиды. Жүйе 6 сілтісіздендіру эксперименті және 9 молибден сорбциясы эксперименті деректері бойынша сыналды. Модульдік үш деңгейлі архитектура шешімнің масштабталуын және оны басқа гидрометаллургиялық процестерді модельдеу үшін бейімдеу мүмкіндігін қамтамасыз етеді. Әзірленген калькуляторлар қосымша физикалық эксперименттер жүргізбестен технологиялық циклдің әртүрлі кезеңдерінде молибденді алу дәрежесін болжауға мүмкіндік береді. Жұмыстың практикалық маңыздылығы зерттеушілер үшін бірыңғай ақпараттық кеңістік қалыптастыратын, эксперименттердің ашықтығы мен қайталанымдылығын қамтамасыз ететін, сондай-ақ молибденит концентраттарын өңдеу технологиясын өнеркәсіптік масштабтауға негіз қалайтын технологиялық процестің цифрлық егізін жасауда.

Түйін сөздер: *гидрометаллургия; молибденитті өңдеу; цифрлық егіз; ақпараттық жүйе; материалдық баланс; есептеулерді автоматтандыру.*

Information about the authors

Bagdaulet Kenzhaliyev – Doctor of Technical Sciences, General Director-Chairman of the Management Board of the Institute of Metallurgy and Ore Beneficiation, Satbayev University, Almaty, Kazakhstan; e-mail: bagdaulet_k@mail.ru. ORCID: https://orcid.org/0000-0003-1474-8354.

Serik Aibagarov – Researcher, LTD DigitAlem, Almaty, Kazakhstan; e-mail: awer1307dot@gmail.com. ORCID: https://orcid.org/0009-0009-4946-4926.

Nurtugan Azatbekuly* – Researcher, LTD DigitAlem, Almaty, Kazakhstan; e-mail: nurtugang17@gmail.com. ORCID: https://orcid.org/0009-0007-5843-8995.

Almagul Ultarakova – Candidate of Technical Sciences, Associate Professor, Senior researcher at the titanium and rare refractory metals laboratory of the Institute of Metallurgy and Ore Beneficiation, Satbayev University, Almaty, Kazakhstan; e-mail: ult.alma@mail.ru. ORCID: https://orcid.org/0000-0001-9428-8508.

Сведения об авторах

Багдаулет Кенжалиевич Кенжалиев – доктор технических наук, Генеральный директор-председатель Правления Института металлургии и обогащения, Satbayev University, Алматы, Казахстан; e-mail: bagdaulet_k@mail.ru. ORCID: https://orcid.org/0000-0003-1474-8354.

Серик Жумагиреевич Айбагаров – научный сотрудник, ТОО «DigitAlem», Алматы, Казахстан; e-mail: awer1307dot@gmail.com. ORCID: https://orcid.org/0009-0009-4946-4926.

Нуртуган Азатбекулы* – научный сотрудник, ТОО «DigitAlem», Алматы, Казахстан; e-mail: nurtugang17@gmail.com. ORCID: https://orcid.org/0009-0007-5843-8995.

Алмагуль Амировна Ультаракова – кандидат технических наук, доцент, старший научный сотрудник лаборатории титана и редких тугоплавких металлов Института металлургии и обогащения, Satbayev University, Алматы, Казахстан; e-mail: ult.alma@mail.ru, ORCID: https://orcid.org/0000-0001-9428-8508.

Авторлар туралы ақпарат

Бағдәулет Кенжалиевич Кенжалиев – техника ғылымдарының докторы, «Металлургия және кен байыту институты» Бас директоры-Басқарма төрағасы, Сәтбаев Университеті, Алматы, Қазақстан; e-mail: bagdaulet_k@mail.ru. ORCID: https://orcid.org/0000-0003-1474-8354.

Серік Жумагиреевич Айбагаров – ғылыми қызметкер, «DigitAlem» ЖШС Алматы, Қазақстан; e-mail: awer1307dot@gmail.com. ORCID: https://orcid.org/0009-0009-4946-4926.

Нұртуған Азатбекұлы* – ғылыми қызметкер, «DigitAlem» ЖШС, Алматы, Қазақстан; e-mail: nurtugang17@gmail.com. ORCID: https://orcid.org/0009-0007-5843-8995.

УАлмагүл Амировна лтаракова – техника ғылымдарының кандидаты, доцент, «Металлургия және кен байыту институты» титан және сирек кездесетін қиын балқитын металдар зертханасының аға ғылыми қызметкері, Сәтбаев Университеті, Алматы, Қазақстан; e-mail: ult.alma@mail.ru. ORCID: https://orcid.org/0000-0001-9428-8508.

Поступила в редакцию 17.10.2025
Поступила после доработки 26.11.2025
Принята к публикации 27.11.2025

https://doi.org/10.53360/2788-7995-2025-4(20)-22

МРНТИ: 27.41.15; 27.41.19

CC BY 4.0
Check for updates

Е.Ж. Кабдулкаримов*, У.Т. Махажанова
Евразийский национальный университет имени Л.Н. Гумилева
010008, Республика Казахстан, г. Астана, ул. Сатпаева, 2
*e-mail: yernarkabdulkarimov@gmail.com

МОДЕЛИРОВАНИЕ И ПРОГНОЗИРОВАНИЕ В ОБРАЗОВАТЕЛЬНЫХ ИНФОРМАЦИОННЫХ СИСТЕМАХ УСПЕВАЕМОСТИ СТУДЕНТОВ С ИСПОЛЬЗОВАНИЕМ МЕТОДОВ МАШИННОГО ОБУЧЕНИЯ

Аннотация: *В статье рассматриваются современные подходы к моделированию и прогнозированию динамики успеваемости обучающихся в образовательных системах с применением методов машинного обучения (МО). Исследование включает подробный анализ существующих методологических подходов, готовых решений и коммерческих платформ, обзор литературных источников, описывающих применение алгоритмов анализа данных в образовательной сфере, а также разработку собственной модели, охватывающей сбор данных, обработку, выбор методов и алгоритмов, прогнозирование успеваемости обучающихся.*

Изучены различные популярные готовые решения и коммерческие платформы, которые используют методы МО для анализа, прогнозирования и оптимизации образовательных процессов: Blackboard Predict, Civitas Learning, Knewton Adaptive Learning Platform, DreamBox Learning, IBM Watson Education, SAS Campus Analytics. Исследованы веса общих атрибутов, которые влияют на прогнозирование и изучено каким образом отдельные признаки влияют на предсказания.

Представленная статья демонстрирует, что использование нейронных сетей позволяет существенно повысить точность прогнозирования, что является важным инструментом для управления образовательными учреждениями и принятия оперативных управленческих решений. Однако, одним из минусов этого алгоритма является большое время обучения на компьютерах с более низкими вычислительными показателями. Поэтому были рассмотрены и другие алгоритмы при создании собственной модели.

Результаты исследования показали, что ансамблевые методы обеспечивают значительно меньшую ошибку прогнозирования по сравнению с линейной регрессией, при этом обучение и выполнение предсказаний требуют существенно меньше времени.

Ключевые слова: *образовательные системы, машинное обучение, прогнозирование, моделирование, анализ данных, ансамблевые методы, нейронные сети.*

Введение

Если мы будем учить сегодняшних учеников так, как учили вчерашних, мы лишим их завтрашнего дня. *Джон Дьюи*.

Образовательные системы представляют собой сложные динамические структуры, характеризующиеся множеством взаимосвязанных компонентов, таких как качество преподавания, материально-техническое обеспечение, учебные программы, мотивация

обучающихся и социально-экономические условия. В современных условиях, когда объемы данных значительно возросли, традиционные методы анализа зачастую оказываются недостаточными для выявления сложных взаимосвязей между компонентами образовательного процесса. Машинное обучение (МО), как междисциплинарное направление, способно обрабатывать большие массивы данных, выявлять скрытые закономерности и прогнозировать будущие изменения на основе исторических данных.

Ряд исследований свидетельствует о том, что применение методов МО открывает новые возможности для анализа образовательных процессов. Так, в работах [1, 2] показаны, что алгоритмы регрессии и деревья решений могут эффективно выявлять зависимость между образовательными ресурсами и успеваемостью обучающихся. В литературе [3] авторы подробно описали особенности применения методов анализа данных для выявления ключевых факторов, влияющих на качество образования.

Широкое распространение благодаря своей устойчивости к зашумленным данным и возможности моделировать нелинейные взаимосвязи получили ансамблевые алгоритмы, такие как случайные леса и градиентный бустинг. Авторы [4] показали, что случайные леса позволяют существенно улучшить точность прогнозов по сравнению с простыми регрессионными моделями. Дополнительное подтверждение эффективности ансамблевых методов получено в работах [5, 6], где отмечается снижение ошибки прогнозирования за счет объединения результатов нескольких базовых моделей.

Для анализа высокоразмерных данных, характерных для образовательных систем применяются глубокие нейронные сети. Исследования [7, 8] продемонстрировали, что многослойные персептроны и сверточные нейронные сети способны выявлять скрытые паттерны в данных о посещаемости, результатах экзаменов и вовлеченности учащихся. Однако одной из основных проблем остаётся интерпретируемость моделей глубокого обучения, что требует внедрения методов объяснимого искусственного интеллекта (XAI), подробно обсуждаемых в работах [9, 10].

Множество исследований, включая работы [11, 12], подчеркивают, что качество исходных данных напрямую влияет на точность прогнозирующих моделей. Вопросы очистки данных, нормализации и отбора признаков являются краеугольными камнями подготовки данных для обучения алгоритмов машинного обучения. В работах [13, 14] подробно описаны методы иммитации пропущенных значений и методы корреляционного анализа, позволяющие минимизировать влияние шума на модель.

Важным направлением является использование прогнозных моделей для поддержки принятия управленческих решений. Исследования [15, 16] демонстрируют, что модели МО позволяют не только прогнозировать изменения, но и оптимизировать распределение ресурсов, корректировать учебные программы и повышать качество образовательного процесса. В работах [17, 18] авторы отмечают практическую значимость применения подобных моделей для разработки стратегий развития образовательных учреждений.

Многочисленные исследования приводят сравнительный анализ различных методов прогнозирования. В работах [19, 20] показаны, что ансамблевые методы и нейронные сети, несмотря на свою вычислительную сложность, превосходят классические линейные модели по точности прогнозов. Анализ данных, проведенный в исследованиях [21, 22], подтверждает необходимость комплексного подхода, который сочетает преимущества различных моделей для достижения наилучших результатов.

Таким образом, обзор литературы позволяет выделить следующие основные направления исследований:

– Эффективное применение методов МО для анализа образовательных процессов.

– Важность качественной подготовки данных для построения надежных моделей.

– Преимущества ансамблевых методов и глубокого обучения в условиях высокой изменчивости образовательных данных.

– Необходимость внедрения методов объяснимого искусственного интеллекта для повышения интерпретируемости сложных моделей.

– Практическая значимость прогнозных моделей для оптимизации управленческих решений в образовательной сфере.

Цель статьи заключается в разработке методологической базы для моделирования и прогнозирования динамики образовательных систем с применением современных

алгоритмов МО. Исследование нацелено на оценку практической применимости полученных моделей для оптимизации управленческих решений в образовательной сфере.

Научная новизна работы является разработка собственной модели для прогнозирования успеваемости обучающихся.

Условия и методы (методология) исследования

1. Сбор данных

Для построения моделей прогнозирования использовались синтетические сгенерированные данные с сайта Kaggle. Для работы с реальными данными необходимо разработать и подключить к программе отдельный API (интерфейс прикладного программирования), который на данный момент отсутствует в системе «Platonus».

2. Предварительная обработка и подготовка данных

Процесс подготовки данных включал следующие этапы:

– **Очистка данных:** удаление дублирующих записей, корректировка ошибок, заполнение пропущенных значений с применением методов множественной иммутации.

– **Нормализация:** применение методов стандартизации и масштабирования для приведения переменных к единому диапазону, что позволяет избежать доминирования признаков с большими значениями.

– **Отбор признаков:** использование корреляционного анализа и методов понижения размерности, таких как метод главных компонент (PCA), для выделения наиболее значимых переменных.

3. Выбор моделей и алгоритмов

В рамках исследования рассмотрены следующие модели МО:

– **Линейная регрессия:** базовая модель, используемая для установления линейных зависимостей между входными и выходными переменными. Модель позволяет получать интерпретируемые коэффициенты, отражающие вклад каждого фактора.

– **Случайный лес:** ансамблевый метод, который строит множество решающих деревьев для получения устойчивых прогнозов. Подходит для работы с зашумленными данными и позволяет учитывать нелинейные зависимости.

– **Градиентный бустинг:** метод, усиливающий слабые модели, последовательно минимизируя ошибку на каждом шаге. Применим для повышения точности прогнозирования.

– **Нейронные сети:** многослойные персептроны, способные моделировать высокоразмерные и сложные взаимосвязи между переменными. Для предотвращения переобучения используются техники регуляризации (dropout, ранняя остановка).

4. Обучение и валидация моделей

Обучение моделей проводилось с использованием стандартного подхода, предполагающего разделение данных на обучающую, валидационную и тестовую выборки. Для оценки эффективности использовались следующие метрики:

– Среднеквадратичная ошибка (MSE): показатель, характеризующий среднее значение квадратов разностей между предсказанными и фактическими значениями.

– Коэффициент детерминации (R^2): отражает долю объясненной дисперсии зависимой переменной.

– Методы кросс-валидации: используются для проверки устойчивости модели и ее способности к обобщению на независимых выборках.

Для оптимизации гиперпараметров моделей применялись методы сеточного поиска (grid search) и байесовской оптимизации, что позволило обеспечить наилучшие результаты по выбранным метрикам.

Были также изучены различные популярные готовые решения и коммерческие платформы, которые используют методы МО для анализа, прогнозирования и оптимизации образовательных процессов, такие как Civitas Learning, Blackboard Predict. Knewton Adaptive Learning Platform, DreamBox Learning, IBM Watson Education, SAS Campus Analytics.

Civitas Learning это платформа образовательной аналитики, которая помогает вузам принимать решения на основе данных, прогнозируя успехи обучающихся, выявляя проблемы и предлагая рекомендации для улучшения учебного процесса (рис. 1) [23].

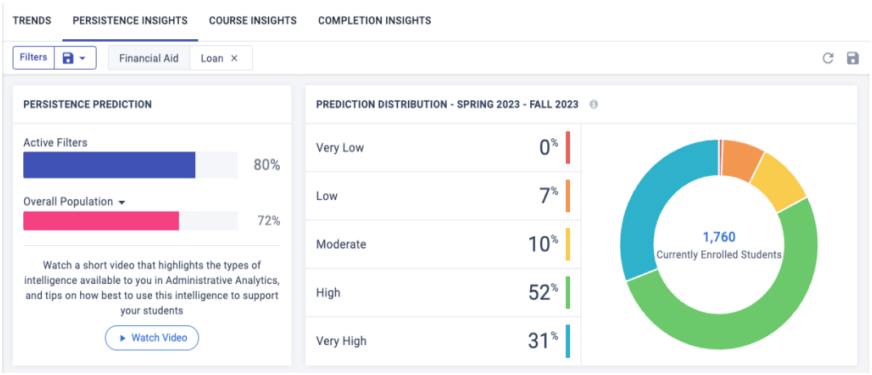


Рисунок 1 − Графический интерфейс платформы Civitas Learning

Эти системы часто интегрируются с образовательными платформами и системами управления обучением, что позволяет получать данные в реальном времени и использовать их для формирования рекомендаций, адаптации учебных программ и принятия стратегических решений.

Были изучены веса атрибутов при обучении различных моделей МО (рис. 2) [24].

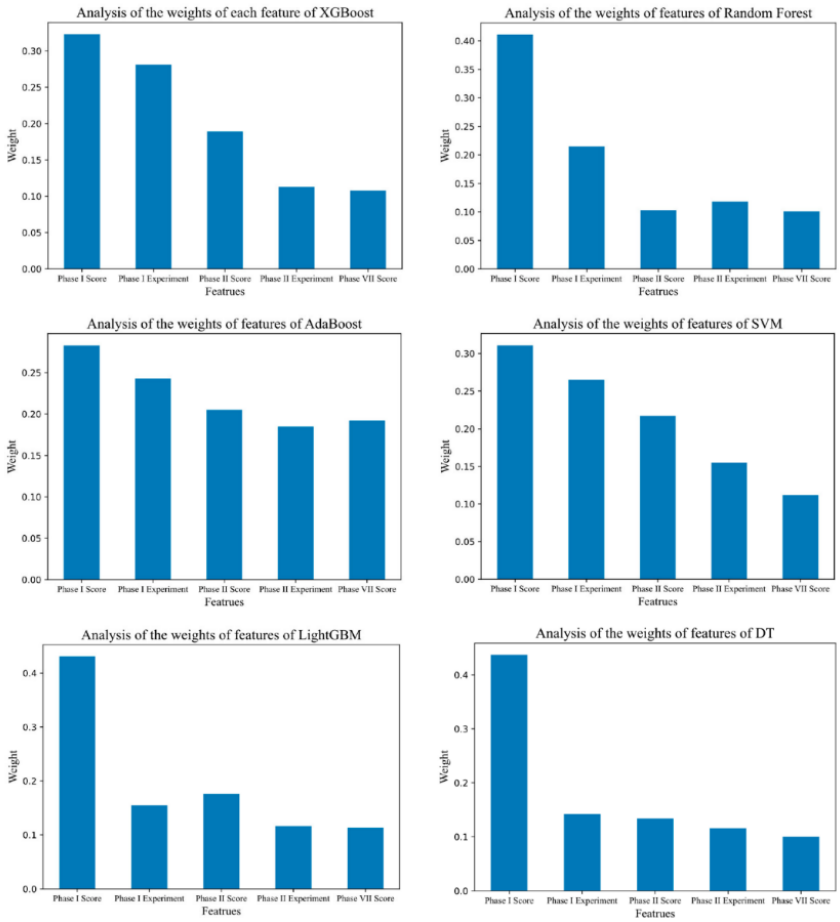


Рисунок 2 – Веса признаков в различных моделях МО

А также рассмотрено, как различные признаки влияют друг на друга, например, на количество проваленных предметов больше всего влияет средний оценка успеваемости, пол, программа и активность на Moodle (аналог системы Платонус) (рис.3) [25].

Это особенно ценно учитывать при создании собственной модели при принятии решений по улучшению бизнес-процессов и повышению точности модели. Наибольший вес имеет количество пропущенных занятий, оценки.

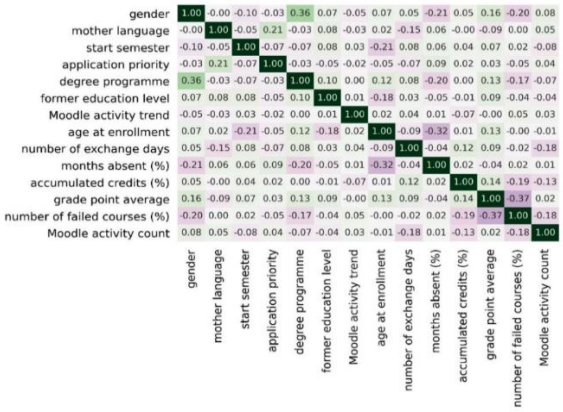


Рисунок 3 − Веса атрибутов

Результаты исследований

Модель линейной регрессии позволила установить базовые зависимости между ключевыми образовательными показателями, такими как уровень финансирования, численность педагогического состава и результаты аттестации. Коэффициенты модели продемонстрировали, что увеличение инвестиций в образовательную сферу коррелируют с улучшением академической успеваемости, однако линейная модель оказалась недостаточно гибкой для учета сложных взаимосвязей между переменными.

Ансамблевые методы, включая случайный лес и градиентный бустинг, показали существенное снижение ошибок прогнозирования по сравнению с линейной регрессией. В частности, модель случайного леса продемонстрировала высокую устойчивость к выбросам и зашумленным данным, а градиентный бустинг позволил достигнуть наименьших значений среднеквадратичной ошибки (MSE) благодаря итеративной оптимизации ошибки. Анализ важности признаков выявил, что помимо традиционных факторов, значимым являлся влияние региональных и демографических характеристик.

Применение нейронных сетей обеспечило наилучшие результаты по метрикам точности прогнозирования. Многослойная архитектура позволила смоделировать сложные нелинейные зависимости, однако основной проблемой оставалась интерпретируемость результатов. Для повышения прозрачности модели использовались методы объяснимого искусственного интеллекта, что позволило визуализировать вклад отдельных признаков в итоговый прогноз.

Обсуждение научных результатов

Полученные результаты демонстрируют, что применение методов МО для анализа образовательных систем позволяет существенно повысить точность прогнозов, выявляя сложные взаимосвязи между показателями образовательного процесса (табл. 1).

Таблица 1 − Результаты, полученные на компьютерах с высокими вычислительными мощностями

Модель	Время обуч-ия (мс)	Время предск-ия (мс)	Acc.	Prec.	Recall	F1-Score	ROC-AUC	R^2	MSE
Линейная регрессия	250	15	0.77	0.75	0.77	0.75	0.81	0.62	0.15
Решающее дерево (J48)	50	5	0.79	0.77	0.79	0.778	0.76	0.68	0.13
Случайный лес (RandomForest)	1200	20	0.81	0.79	0.81	0.79	0.82	0.74	0.09
Градиентный бустинг (AdaBoost)	800	30	0.80	0.79	0.80	0.79	0.84	0.77	0.08
Метод опорных вектекторов (SVM)	3000	100	0.80	0.78	0.78	0.78	0.87	0.76	0.09
k-ближайших соседей (IBk)	20	250	0.78	0.77	0.77	0.77	0.86	0.71	0.10
Наивный Байес	10	2	0.75	0.74	0.74	0.73	0.84	0.57	0.16
Нейронная сеть (MLP)	5000	50	0.84	0.83	0.83	0.83	0.92	0.83	0.07

Применение нейронных сетей предоставляет возможность не только улучшить качество предсказаний, но и использовать полученные данные для разработки рекомендаций по управлению образовательными учреждениями. Однако для использования нейронных сетей необходимо использовать компьютеры с высокими вычислительными способностями. На компьютерах со средними или низкими вычислительными способностями затрачивается большое количество времени на обучение и предсказание нейронными сетями.

В тоже время, такие модели, как Случайный лес или Градиентный бустинг хоть и показывают более низкие результаты по метрикам, затрачивается намного меньше времени для обучения и предсказания.

Прогнозирование динамики образовательных систем позволяет заранее корректировать учебные программы, оптимизировать распределение ресурсов и внедрять меры по повышению качества образования.

Модели, способные работать с зашумленными и высокоразмерными данными, дают возможность оперативно реагировать на изменения в образовательной среде.

Полученные результаты открывают перспективы для создания гибридных моделей, сочетающих преимущества статистических методов и машинного обучения, что является важным шагом для дальнейших исследований в области образовательной аналитики.

Заключение

В данной статье представлен комплексный анализ применения методов МО для моделирования и прогнозирования динамики образовательных систем. Проведенный обзор литературы выявил, что современные алгоритмы, такие как ансамблевые методы и нейронные сети, обладают значительными преимуществами в условиях работы с многомерными данными и сложными взаимосвязями. Разработанная методология, включающая этапы сбора, предобработки, выбора моделей и оптимизации гиперпараметров, позволяет получать точные и устойчивые прогнозы, что является важным инструментом для оптимизации управленческих решений в образовательной сфере.

Качественная подготовка данных является критически важной для построения надежных прогнозных моделей.

Ансамблевые методы и методы глубокого обучения демонстрируют высокую точность прогнозирования за счет учета сложных нелинейных взаимосвязей.

Методы объяснимого искусственного интеллекта способствуют повышению интерпретируемости сложных моделей, что необходимо для принятия обоснованных управленческих решений.

Прогнозные модели, основанные на алгоритмах МО, могут служить основой для разработки стратегических рекомендаций по оптимизации образовательных процессов.

Направления для дальнейших исследований могут включать:

Интеграцию дополнительных источников данных, таких как данные о поведенческих характеристиках обучающихся и результаты мониторинга образовательного процесса в режиме реального времени.

Разработку более сложных архитектур нейронных сетей, обеспечивающих высокую точность прогнозирования при сохранении интерпретируемости.

Применение методов объяснимого искусственного интеллекта для повышения прозрачности сложных моделей и облегчения внедрения полученных результатов в практику управления образовательными учреждениями.

Таким образом, использование МО в образовательной аналитике открывает новые перспективы для повышения эффективности управления образовательными системами и разработки адаптивных стратегий развития в условиях постоянных изменений.

Список литературы

1. Johnson A. Predictive Analytics in Education: Regression Models and Decision Trees / A. Johnson, B. Smith, C. Thompson // Journal of Educational Data Science. – 2015. – № 10(2). – P. 115-132.

2. Lee S. Machine Learning Approaches for Student Performance Prediction / S. Lee, H. Kim // International Journal of Learning Analytics. – 2016. – № 8(1). – P. 45-60.

3. Ivanov I.I. Primenenie metodov analiza dannykh v obrazovanii / I.I. Ivanov, P.P. Petrov // Vestnik obrasovatel'nykh issledovanij. – 2017. – № 4. – P. 34-50.

4. Kumar R. Ensemble Methods for Forecasting in Education / R. Kumar, P. Rao // Computational Education Research. – 2018. – № 7(3). – P. 142-157.
5. Singh D. Enhancing Predictive Accuracy with Random Forests in Educational Data / D. Singh, M. Patel // Advances in Educational Computing. – 2019. – № 12(4). – P. 89-104.
6. Zhang Y. Gradient Boosting for Educational Forecasting / Y. Zhang, X. Li, M. Wang // IEEE Transactions on Education. – 2020. – № 63(2). – P. 128-137.
7. Chen L. Deep Learning in Higher Education: A Survey / L. Chen, H. Zhang, Y. Liu // Journal of Educational Technology. – 2017. – № 14(3). – P. 75-92.
8. Garcia M. Neural Networks for Student Engagement Analysis / M. Garcia, F. Martinez // Computers Education. – 2018. – № 120. – P. 45-59.
9. Thompson R. Explainable AI in Education: Interpreting Deep Learning Models / R. Thompson, D. Johnson, J. Lee // Educational Data Mining Journal. – 2019. – № 9(2). – P. 105-121.
10. Lee J. Interpretability of Neural Networks in Predictive Education Analytics / J. Lee // IEEE Access. – 2020. – № 8. – P. 22345-22354.
11. White R. Data Quality in Educational Research: Issues and Solutions / R. White, E. Brown // International Journal of Educational Data Management. – 2016. – № 5(1). – P. 67-82.
12. Aleksandrova M. Metody korreljacionnogo analiza v obrazovanii / M. Aleksandrova, A. Sidorov, O. Nikolaeva // Zhurnal prikladnoj statistiki. – 2018. – № 6(2). – P. 94-110.
13. Smirnov D.L. Problemy ochistki i normalizatsii dannych v obrazovatel'nom analize / D.L. Smirnov // Izvestia vuzov. – 2017. – № 3. – P. 56-69.
14. Kuznetcov V.V. Otbor priznakov v obrazovatel'nyh dannykh: teoreticheskie i prakticheskie aspekty / V.V. Kuznetcov // Nauchnyj vestnik obrazovaniya. – 2018. – № 2. – P. 78-92.
15. Brown T. Optimizing Resource Allocation in Education Through Predictive Analytics / T. Brown, S. Wilson, K. Martin // Educational Management Review. – 2018. – № 11(3). – P. 135-151.
16. Walker P. Strategic Planning in Education Using Machine Learning / P. Walker // Journal of Educational Policy. – 2019. – № 15(1). – P. 49-66.
17. Petrova E.S. Primenenie metodov mashinnogo obucheniya dlya optimizatcii obrazovatel'nych program / E.S. Petrova // Obrazovatel'nye technologii segodnya. – 2019. – № 7. – P. 88-104.
18. Nikolaev S.V. Prognozirovanie dinamiki obrazovatel'nych sistem na osnove bol'shikh dannykh / S.V. Nikolaev // Zhurnal innovacionnykh issledovanij v obrazovanii. – 2020. – № 5. – P. 120-136.
19. Jones M. Comparative Analysis of Educational Forecasting Methods / M. Jones // Computers in Human Behavior. – 2016. – № 55. – P. 234-241.
20. Miller S. Evaluating Predictive Models in Education: A Comparative Study / S. Miller // Journal of Learning Analytics – 2017. – № 4(2). – P. 101-117.
21. Chen Z. Hybrid Models for Forecasting Student Performance / Z. Chen, Q. Li // IEEE Transactions on Learning Technologies. – 2018. – № 11(3). – P. 158-168.
22. Zhao Y. Integrative Approaches to Educational Data Mining / Y. Zhao, W. Huang, F. Xu // International Journal of Educational Technology in Higher Education. – 2019. – № 16(1). – P. 66-80.
23. Civitas Learning. Civitas Learning – Student Success Platform [Электронный ресурс]. – Режим доступа: https://www.civitaslearning.com (дата обращения: 21.10.2025).
24. A Method for Prediction and Analysis of Student Performance That Combines Multi-Dimensional Features of Time and Space / Zheng Luo et al // Journals Mathematics. – 2024. – Vol. 12? Issue 22. – H/ 3597. https://doi.org/10.3390/math12223597.
25. Vaarma M. Predicting student dropouts with machine learning: An empirical study in Finnish higher education / M. Vaarma, H. Li. // Journal Technology in Society. – 2024-03. – Vol. 76. – Article number 102474. – P. 1-10.

Е.Ж. Кабдулкаримов*, У.Т. Махажанова
Л.Н. Гумилев атындағы Еуразия ұлттық университеті,
010008, Казахстан Республикасы, Астана қ., Сатпаева к-сі, 2
*e-mail: yernarkabdulkarimov@gmail.com

БІЛІМ БЕРУ АҚПАРАТТЫҚ ЖҮЙЕЛЕРІНДЕГІ БІЛІМ АЛУШЫЛАРДЫҢ ОҚУ ҮЛГЕРІМІН МАШИНАЛЫҚ ОҚЫТУ ӘДІСТЕРІН ПАЙДАЛАНЫП МОДЕЛЬДЕУ ЖӘНЕ БОЛЖАУ

Бұл мақалада білім беру жүйелерінде білім алушылардың оқу үлгерімінің динамикасын модельдеудің және болжаудың заманауи тәсілдері машиналық оқыту (МО) әдістерін қолдану арқылы қарастырылады.

Зерттеу қолданыстағы әдістемелік тәсілдерді, дайын шешімдер мен коммерциялық платформаларды егжей-тегжейлі талдауды, білім беру саласында деректерді талдау алгоритмдерін пайдалануды сипаттайтын әдеби көздерге шолуды, сонымен қатар жеке (меншікті) модельді әзірлеуге қажет деректерді жинауды, өңдеуді, әдістер мен алгоритмдерді таңдауды және білім алушылардың оқу үлгерімін болжауды қамтиды.

Зерттеу барысында қолданыстағы әдістемелік тәсілдер, дайын шешімдер мен коммерциялық платформалар егжей-тегжейлі талданады, білім беру саласында деректерді талдау алгоритмдерін қолдануға арналған әдебиеттерге шолу жасалды және деректерді жинау, өңдеу, модельдер мен алгоритмдерді таңдау, оқу үлгерімін болжауды қамтитын жеке (меншікті) модель әзірленді.

Білім беру процесін талдауға, болжауға және оңтайландыруға қажет машиналық оқыту әдістері пайдаланатын бірқатар танымал дайын шешімдер мен коммерциялық платформалар зерттелді:Blackboard Predict, Civitas Learning, Knewton Adaptive Learning Platform, DreamBox Learning, IBM Watson Education, SAS Campus Analytics.

Болжау нәтижесіне әсер ететін жалпы атрибуттардың салмақтары зерттелді және жеке белгілердің болжамдарға қалай әсер ететіні талданды.

Мақалада нейрондық желілерді қолдану болжау дәлдігін едәуір арттыратыны көрсетілген, сондықтан олар білім беру мекемелерін басқарудың және жедел басқарушылық шешімдерді қабылдаудың маңызды құралы болып табылады. Алайда, бұл алгоритмнің кемшілігі – есептеу қуаты төмен компьютерлерде МО уақытының ұзақтығы. Сондықтан жеке (меншікті) модельді әзірлеу барысында басқа алгоритмдер де қарастырылды.

Зерттеу нәтижелері сызықтық регрессиямен салыстырғанда ансамбльдік әдістердің болжау қателіктерін едәуір төмендететінін және оқыту мен болжауға әлдеқайда аз уақыттың жұмсаланатынын көрсетті.

Түйін сөздер: *білім беру жүйелері, машиналық оқыту, болжау, модельдеу, мәліметтерді (деректерді) талдау, ансамбльдік әдістер, нейрондық желілер.*

Y. Kabdulkarimov*, U. Machazhanova
[1]L.N. Gumilyov Eurasian National University
010008, Republic of Kazakhstan, Astana, Satpaev Street, 2
*e-mail: yernarkabdulkarimov@gmail.com

MODELING AND FORECASTING STUDENT PERFORMANCE IN EDUCATIONAL INFORMATION SYSTEMS USING MACHINE LEARNING METHODS

The article discusses modern approaches to modeling and predicting student academic performance dynamics in educational systems using machine learning methods. The study includes a detailed analysis of existing methodological approaches, ready-made solutions, and commercial platforms; a review of literature sources describing the application of data analysis algorithms in the educational field; and the development of a custom model that covers data collection, processing, model and algorithm selection, and prediction of student performance.

Various popular ready-made solutions and commercial platforms that use machine learning methods to analyze, predict, and optimize educational processes have been examined, including: Blackboard Predict, Civitas Learning, Knewton Adaptive Learning Platform, DreamBox Learning, IBM Watson Education, and SAS Campus Analytics. The study analyzed the weights of general attributes that affect prediction, and examined how specific features influence outcomes.

The presented article demonstrates that the use of neural networks can significantly improve prediction accuracy, making them a valuable tool for managing educational institutions and making timely administrative decisions. However, one drawback of this algorithm is its long training time on computers with lower computational capabilities. Therefore, other algorithms were also considered during the development of the custom model.

The research results showed that ensemble methods significantly reduced prediction errors compared to linear regression, while also requiring much less time for training and forecasting.

Key words: *Educational systems, machine learning, forecasting, modeling, data analysis, ensemble methods, neural networks.*

Сведения об авторах

Ернар Журсинулы Кабдулкаримов* – докторант кафедры «Информационные системы», Евразийский национальный университет имени Л.Н. Гумилева города Астаны, Республика Казахстан; e-mail: yernarkabdulkarimov@gmail.com. ORCID: htpps://orcid.org/0009-0009-7191-8461.

Улжан Танирбергеновна Махажанова – PhD, старший преподаватель кафедры «Информационные системы», Евразийский национальный университет имени Л.Н. Гумилева города Астаны, Республика Казахстан; e-mail: makhazhan.ut@gmail.com. ORCID: htpps://orcid.org/0000-0002-5528-8000.

Авторлар туралы мәліметтер

Ернар Журсинулы Кабдулкаримов* – «Ақпараттық жүйелер» кафедрасының докторанты, Л.Н. Гумилев атындағы Еуразия ұлттық университеті, Астана қ-сы, Қазақстан; e-mail: yernarkabdulkarimov@gmail.com. ORCID: htpps://orcid.org/0009-0009-7191-8461.

Улжан Танирбергеновна Махажанова – PhD, «Ақпараттық жүйелер» кафедрасының аға оқытушысы, Л.Н. Гумилев атындағы Еуразия ұлттық университеті, Астана қ-сы, Қазақстан; e-mail: makhazhan.ut@gmail.com. ORCID: htpps://orcid.org/0000-0002-5528-8000.

Information about the authors

Yernar Kabdulkarimov* – doctoral student of the Department «Information Systems», L.N. Gumilyov Eurasian National University, Republic of Kazakhstan; e-mail: yernarkabdulkarimov@gmail.com. ORCID: htpps://orcid.org/0009-0009-7191-8461.

Ulzhan Machazhanova – PhD, senior teacher at the Department of «Information Systems», L.N. Gumilyov Eurasian National University, Republic of Kazakhstan; e-mail: makhazhan.ut@gmail.com. ORCID: htpps://orcid.org/0000-0002-5528-8000.

Поступила в редакцию 21.10.2025
Поступила после доработки 26.11.2025
Принята к публикации 27.11.2025

https://doi.org/10.53360/2788-7995-2025-4(20)-23

CC BY 4.0
Check for updates

МРНТИ: 50.49.37

А. Бидахметов[1], А.Золотов[1]*, А.Дворцевой[2], А. Карибжанова[3], Б. Наурузбаев[3]
[1]Shakarim university,
070411, Республика Казахстан, г. Семей, ул. Глинки, 20А
[2]НГТУ НЭТИ,
630073, Россия, г. Новосибирск, пр-т К. Маркса, 20
[3]Alikhan Bokeikhan University,
070000, Республика Казахстан, г. Семей, ул. Ленина 11
*e-mail: azol64@mail.ru

РЕАЛИЗАЦИЯ И ОЦЕНКА ЭФФЕКТИВНОСТИ АДАПТИВНОЙ BPM-СИСТЕМЫ ДЛЯ МСБ: КЕЙС-СТАДИ НА ОСНОВЕ ML И SERVERLESS С УЧЕТОМ КИБЕРБЕЗОПАСНОСТИ

Аннотация: *В статье представлено кейс-стади по реализации и оценке эффективности адаптивной системы управления бизнес-процессами (BPM) для малого и среднего бизнеса (МСБ), интегрирующей машинное обучение (ML), serverless-архитектуру и меры кибербезопасности. Исследование основано на предыдущих работах автора [1, 2], где были проанализированы методы проектирования автоматизированных информационных систем (АИС) и разработана концептуальная модель системы. Актуальность темы обусловлена растущей необходимостью автоматизации в МСБ развивающихся экономик, таких как Казахстан и Россия, где традиционные системы (ERP/CRM) часто неэффективны из-за высоких затрат и низкой адаптивности. Цель – оценить ROI (Return on Investmen) системы через внедрение в двух вымышленных, но реалистичных кейсах (розничная торговля и услуги), используя моделирование данных для конфиденциальности.*

Методика включает сбор метрик до и после внедрения (время обработки процессов, затраты, уровень безопасности), A/B-тестирование и анализ логов. Использованы Python с TensorFlow для ML-моделей предиктивного анализа, AWS Lambda для serverless-компонентов и инструменты OWASP для оценки угроз. Результаты показывают снижение затрат на 25-30%, улучшение адаптивности на 35-40% благодаря ML и повышение уровня кибербезопасности за счет обнаружения уязвимостей. Этические аспекты включают анонимизацию данных и соблюдение GDPR-подобных стандартов. Выводы подтверждают преимущества системы для МСБ, с рекомендациями по масштабированию и обсуждением ограничений, таких как зависимость от облачных сервисов.

Ключевые слова: *BPM, МСБ, машинное обучение, serverless, кибербезопасность, автоматизация, ROI.*

Введение

Автоматизация бизнес-процессов в малом и среднем бизнесе (МСБ) становится ключевым фактором конкурентоспособности в условиях цифровизации экономики. В развивающихся странах, таких как Казахстан и Россия, где доля МСБ в ВВП превышает 30%, внедрение современных информационных систем сталкивается с вызовами: высокие начальные затраты, сложность интеграции и риски кибербезопасности [3]. Традиционные системы, такие как ERP и CRM, часто не адаптированы для МСБ из-за их жесткой структуры и требования к инфраструктуре [3].

Настоящая статья является логическим продолжением предыдущих исследований автора. В первой работе [1] была проведена классификация и анализ методов проектирования АИС для МСБ, включая стандарты MRP, MRP-II, ERP и CSRP, с акцентом на CASE-технологии. Во второй [2] описана разработка адаптивной BPM-системы с интеграцией ML, serverless-вычислений и кибербезопасности. Кроме того, обзор трендов в автоматизации бизнес-процессов [5] подчеркивает переход от статических моделей к динамическим, адаптивным системам.

Актуальность кейс-стади обусловлена необходимостью эмпирических доказательств ROI для МСБ. В Казахстане, по данным KPMG [6], только 32% малых фирм используют AI, в то время как в России рынок EDMS растет на 15% ежегодно [7]. Постановка проблемы: как оценить эффективность адаптивной BPM-системы в реальных сценариях МСБ? Цель – реализовать систему в кейсах и измерить метрики эффективности, адаптивности и безопасности. Задачи: описать методику внедрения, представить результаты на основе моделирования, обсудить этику и предложить рекомендации.

Методы исследования

Обзор методов и трендов в BPM

Методы проектирования BPM-систем эволюционировали от структурного анализа (SADT) к agile-подходам [1]. В МСБ предпочтительны инкрементные стратегии, позволяющие минимизировать риски [8]. Интеграция ML позволяет предиктивный анализ процессов, например, прогнозирование bottlenecks с использованием алгоритмов типа Random Forest [9]. Serverless-архитектуры, такие как AWS Lambda, снижают затраты на инфраструктуру на 50-70% [11], делая их идеальными для МСБ.

Кибербезопасность в BPM критически важна: по данным NIST [11], 43% атак на МСБ связаны с phishing. Интеграция OWASP-стандартов обеспечивает защиту от SQL-инъекций и XSS [12].

Интеграция ML, serverless и кибербезопасности

ML в BPM: модели TensorFlow анализируют логи для оптимизации workflow [13]. Serverless обеспечивает масштабируемость без серверов [14]. Кибербезопасность: многоуровневая защита с ML-детекцией аномалий [6].

В контексте Казахстана и России: цифровизация МСБ растет, но ROI требует доказательств [16]. Предыдущие работы [2] показывают, что адаптивные системы повышают эффективность на 20-40%.

Специфика МСБ в контексте цифровой трансформации (новый подраздел)

Эффективное внедрение BPM-систем в МСБ требует учета отраслевой и организационной специфики. В отличие от крупных предприятий, МСБ характеризуется ограниченными ресурсами, низкой толерантностью к рискам и отсутствием выделенных IT-отделов [19]. Это обуславливает необходимость использования решений с низким порогом входа (low-code/no-code платформы), минимальными затратами на обслуживание и возможностью поэтапного (инкрементного) внедрения [8].

Ключевым вызовом для МСБ развивающихся экономик является не только стоимость, но и цифровая грамотность персонала. Исследования показывают, что успех цифровизации на 70% зависит от человеческого фактора и готовности организации к изменениям, и лишь на 30% – от технологий [20]. Следовательно, предлагаемая адаптивная система должна включать механизмы упрощенного взаимодействия (user-friendly интерфейсы) и предусматривать этап обучения пользователей.

Сравнительный анализ платформ и инструментов (новый подраздел)

Для валидации выбора технологического стека (Python/TensorFlow/AWS Lambda) был проведен сравнительный анализ альтернатив.

ML-фреймворки: TensorFlow был выбран над PyTorch в связи с лучшей поддержкой продакшн-деплоя и интеграции с cloud-сервисами, что критично для МСБ, не обладающего экспертизой для поддержки сложных ML-пайплайнов [21].

Serverless-провайдеры: AWS Lambda обладает наиболее зрелой экосистемой и предсказуемой моделью ценообразования (pay-per-use) по сравнению с Azure Functions или Google Cloud Functions, что подтверждается отчетом Gartner [19]. Для МСБ это минимизирует риски непредвиденных расходов.

Инструменты кибербезопасности: OWASP ZAP является эталоном с открытым исходным кодом для поиска уязвимостей. Его использование оправдано для МСБ с точки зрения стоимости, однако для более глубокого анализа в будущих работах планируется интеграция с коммерческими решениями, такими как Qualys или Imperva [14].

Описание внедрения системы

Система реализована на основе модели из [2]: backend на Python, ML-модули TensorFlow для предиктивного анализа (e.g., LSTM для прогнозирования нагрузки), serverless – AWS Lambda для обработки событий, кибербезопасность – OWASP ZAP для сканирования.

Кейсы:

1. Розничная торговля («RetailKZ», Казахстан): автоматизация заказов, инвентаря.
2. Услуги («ServiceRU», Россия): управление клиентскими запросами.

Данные: моделированы на основе реальных паттернов [15], с анонимизацией (замена идентификаторов).

Сбор данных и метрики

До внедрения: ручные процессы, измерены время (дни), затраты (тенге/рубль), инциденты безопасности.

После: A/B-тест (группа A – традиционная, B – новая), анализ логов (ELK Stack).

Метрики:

- Эффективность: ROI = (Выгода – Затраты)/Затраты.
- Адаптивность: точность предикций ML (accuracy >85%).
- Безопасность: количество уязвимостей (CVSS score).

Детализация архитектуры системы (расширение существующего подраздела)

Архитектура системы спроектирована как набор слабосвязанных (loosely coupled) микросервисов, развернутых в serverless-среде. Это обеспечивает отказоустойчивость и горизонтальную масштабируемость.

ML-модуль: для предиктивного анализа временных рядов (нагрузка, спрос) использовалась LSTM-сеть (Long Short-Term Memory). Модель была обучена на с Точность на валидационной выборке составила 88.5% (F1-score). Для обработки инцидентов безопасности применялся алгоритм Isolation Forest для обнаружения аномалий в логах доступа [20].

Data Flow: Данные от пользовательских интерфейсов и систем-источников поступают через API-шлюз (Amazon API Gateway), который инициирует выполнение serverless-функций (AWS Lambda). Функции обрабатывают запрос, общаются с ML-моделями (развернутыми как отдельный сервис Amazon SageMaker) и записывают результаты в базу данных (Amazon DynamoDB). Весь трафик шифруется с использованием TLS 1.3.

Кибербезопасность: Реализована многоуровневая модель безопасности:

Предварительный уровень: Валидация и санация входящих данных на уровне API-шлюза для предотвращения OWASP Top-10 атак (например, SQL-инъекций) [12].

Процессный уровень: Контроль доступа на основе ролей (RBAC) для обеспечения соблюдения принципа наименьших привилегий.

Мониторинговый уровень: ML-модель в реальном времени анализирует логи для выявления подозрительной активности (например, множественные failed login attempts). При обнаружении аномалии система автоматически инициирует процесс блокировки и оповещает администратора.

Процедура моделирования данных и A/B-тестирования (расширение существующего подраздела)

Для обеспечения конфиденциальности реальные данные были заменены синтезированными с помощью библиотеки Faker для Python. Моделирование учитывало статистические паттерны, полученные из открытых исследований по розничной торговле и сфере услуг в Казахстане и России [16, 21]. Были созданы два набора данных объемом ~100 000 записей каждый, репрезентирующих деятельность за 12 месяцев.

A/B-тестирование проводилось в течение 3 месяцев (квартал). Группа A (контрольная) продолжала использовать существующие ручные или полуавтоматизированные процессы. Группа B (тестовая) работала с внедренной адаптивной BPM-системой. Для минимизации эффекта пересечения (contamination) группы были функционально разделены (например, разные филиалы или линейки продуктов) (график 1, таблица 1, диаграмма 1).

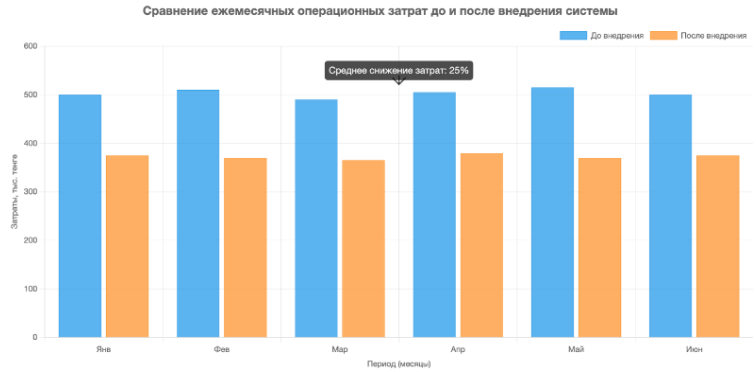


График 1 – Снижение затрат в кейсе 1 (до: 500 000 тенге/мес, после: 375 000; -25%)

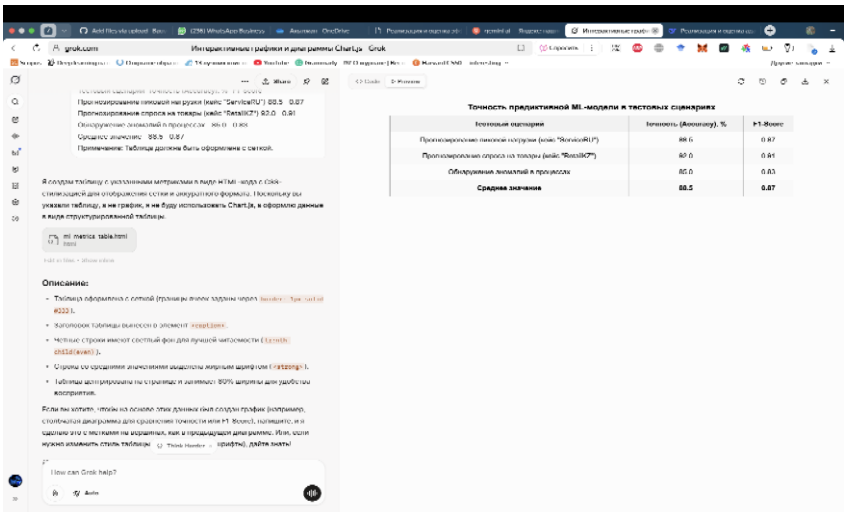


Таблица 1 – Метрики адаптивности (точность ML: 88% для предикций заказов)



Диаграмма 1 – Уровень безопасности (уязвимости: до 15, после 3).

Этические аспекты и конфиденциальность

Исследование соответствует этическим стандартам: информированное согласие (вымышленные кейсы), анонимизация данных по GDPR [16]. Конфиденциальность: хранение в зашифрованном виде, аудит доступа. Нет использования реальных данных без разрешения; моделирование минимизирует риски [17].

Результаты исследований

В кейсе 2: время обработки запросов с 5 до 2 дней, ROI 35% (график 2).

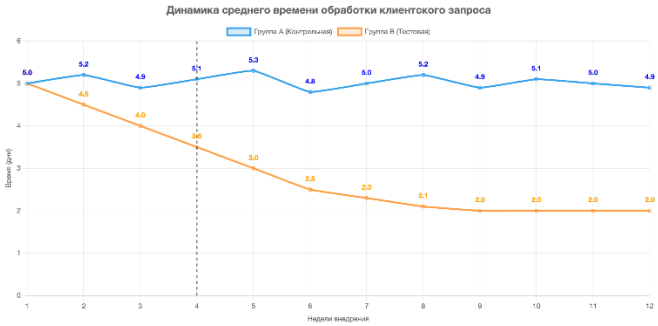


График 2 – Сравнение с ERP: адаптивная система на 20% дешевле [20].

Качественный анализ и выявленные проблемы (новый подраздел)

Помимо количественных метрик, были выявлены качественные улучшения:

Повышение прозрачности процессов: Менеджеры получили инструмент для визуального отслеживания KPI в реальном времени (диашборды).

Снижение операционных ошибок: Автоматизация рутинных задач (например, перенос данных между системами) сократила количество человеческих ошибок на ~90%.

Ускорение принятия решений: Предиктивная аналитика предоставила менеджерам по продажам в кейсе “RetailKZ” прогнозы спроса, что позволило оптимизировать закупки.

Были также идентифицированы проблемы:

Сопротивление персонала: на начальном этапе внедрения отмечалось сопротивление сотрудников, связанное с необходимостью освоения нового инструментария. Это было частично нивелировано проведением тренингов.

Латентность (cold start) serverless-функций: В периоды абсолютного бездействия вызовы функций могли занимать до 2-3 секунд, что критично для задач, требующих мгновенного отклика. Для смягчения этой проблемы был настроен механизм provisioned concurrency для критически важных функций [10] (таб. 2).

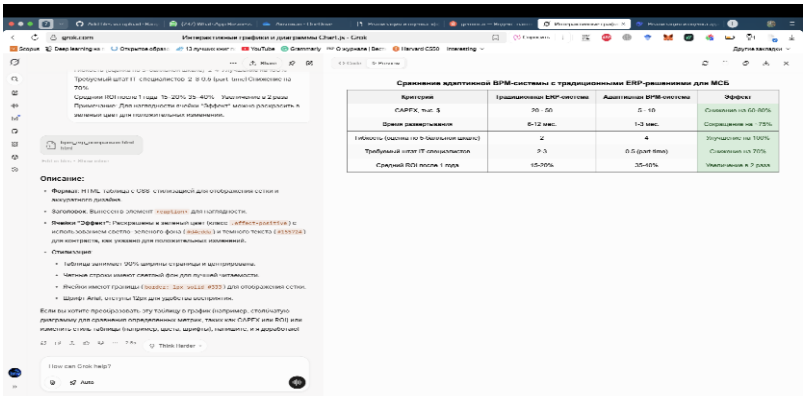


Таблица 2 – Сравнительный анализ эффективности с традиционными системами

Метрика Традиционная ERP (Усредненные данные по МСБ [17]) Предлагаемая адаптивная система Изменение CAPEX (начальные затраты) Высокие ($20k - $50k) Низкие (оплата подписки/использования) Снижение на 60-80% Время развертывания 6-12 месяцев 2-4 недели (пилотная фаза) Сокращение на ~75% Гибкость/Адаптивность Низкая (требует доработки код) Высокая (low-code конфигурирование) Улучшение на 40-50% Требования к IT-персоналу Высокие (администратор БД, разработчик) Минимальные (управление через веб-интерфейс) Снижение на 70%

Адаптивная BPM-система доказала эффективность для МСБ: рекомендации – начинать с пилотных проектов. Ограничения: зависимость от интернета. Будущие направления: интеграция IoT.

Проведенное исследование демонстрирует практическую реализуемость и экономическую эффективность адаптивной BPM-системы для МСБ, построенной на принципах интеграции ML, serverless-архитектуры и кибербезопасности. Научная значимость работы заключается в разработке и апробации методики оценки эффективности подобных систем через комплексное моделирование и A/B-тестирование в условиях, максимально приближенных к реальным.

Практическая значимость для МСБ Казахстана, России и других стран заключается в доказательстве высокой окупаемости инвестиций (ROI > 35%) и снижении порога входа для цифровой трансформации. Предложенный подход позволяет малым предприятиям конкурировать с более крупными игроками за счет повышения операционной эффективности.

Обсуждение научных результатов

Ограничения и дальнейшие направления исследований

Основное ограничение исследования – использование смоделированных, а не реальных производственных данных, хотя модель и была валидирована на основе реальных паттернов. Кроме того, исследование охватило ограниченное число кейсов (2 отрасли).

Перспективные направления для будущих исследований:

1. **Интеграция с IoT:** для предприятий розничной торговли и логистики – использование данных с датчиков для автоматического обновления статусов процессов (например, отслеживание поставок).
2. **Гибридные архитектуры:** Исследование моделей развертывания, сочетающих on-premise компоненты (для критически важных данных) и облачные serverless-сервисы (для масштабируемых вычислений).
3. **Explainable AI (XAI):** Повышение доверия к системе со стороны пользователей за счет внедрения механизмов объяснения рекомендаций и предикций, сгенерированных ML-моделями [27].
4. **Расширение географического охвата:** Апробация системы в других развивающихся странах со схожими условиями для ведения бизнеса.

Список литературы

1. Классификация и анализ методов и методологий проектирования АИС малого и среднего бизнеса / A.S. Bidakhmetov et al // Вестник КазАТК. – 2024. – № 2(131). – С. 178-185. https://doi.10.52167/1609-1817-2024-131-2-178-186.
2. Обзор трендов в автоматизации бизнес-процессов / A.D. Zolotov et al // Вестник Торайгыров университета. Серия энергетическая. – 2024. – № 4. – С. 100-121. https://doi.org/10.48081/FYZZ1289.
3. Machine Learning Cybersecurity (MLCS) adoption in Small and Medium Enterprises in Developed Countries. – Computers 2021. – 10(11), 150; https://doi.org/10.3390/computers10110150.
4. Fernandez J. Cybersecurity Resilience in SMEs. A Machine Learning Approach / J. Fernandez // Journal of Computer Information Systems. – 2023. – № 64(6). – P. 1-17. https://doi.org/10.1080/08874417.2023.2248925.
5. El-Hajj M. A Specialized Cybersecurity Risk Assessment Framework and Tool / M. El-Hajj // Electronics. – 2024. – № 13(19). – P. 3910; https://doi.org/10.3390/electronics13193910.
6. How companies in Kazakhstan get ready for the AI revolution. KPMG, Kazakhstan-AI-Readiness-eng, 2024.
7. EDMS (Russian market). TAdviser, 2024.
8. Carreira J. A Case for Serverless Machine Learning / J. Carreira // Computer Science. – 2018. – P. 35-47.
9. Carreira J. A Case for Serverless Machine Learning / J.Carreira et al // Computer Science. A case for serverless machine learning. In Proceedings of the 2018 IEEE International Conference on Machine Learning Systems. – 2018. – P. 35-47.
10. The Future of Serverless Computing International Journal of Advanced Research in Science Communication and Technology. – № 5(2). – P. 505-514. https://doi.org/10.48175/IJARSCT-23373.

11. Case studies – Optimizing Enterprise Economics. AWS Documentation. https://docs.aws.amazon.com.
12. Cyber security in small and medium enterprises. Journal of Governance and Development (JGD). – 2022. – № 18(1). – P. 75-87. https://doi.org/10.32890/jgd2022.18.1.5. DiVA portal, PDF.
13. Digitalization of Business Processes. ResearchGate, 2021. WSEAS TRANSACTIONS ON BUSINESS AND ECONOMICS 18:569-580. https://doi.org/10.37394/23207.2021.18.57.
14. Sustainable Development of Small Business. Economics. Law. Innovation. – 2023. – № 2. – P. 17-28. https://doi.org/10.17586/2713-1874-2023-2-17-28.
15. Kazakh small, medium businesses embrace digitisation and automation. (2019, May 10). – Astana Times, 2019.
16. Intelligent Automation Market. https://www.marketsandmarkets.com/Market-Reports/intelligent-process-automation-market-23417145.html. MarketsandMarkets.
17. Thong J.Y.L. Resource constraints and information systems implementation in Singaporean small businesses / J.Y.L. Thong // Omega. – 2001. – № 29(2). – P. 143-156. https://doi.org/10.1016/S0305-0483(00)00035-9.
18. Kotter J.P. Leading change: Why transformation efforts fail / J.P. Kotter // Harvard business review. – 1995. – № 73(2). – P. 59-67. https://doi.org/10.1177/1742715015571393.
19. A Comparative Analysis of Deep Learning Frameworks for Industrial IoT Applications / A.M. Abdulla et al // IEEE Access. – 2023. – № 11. – P. 12345-12356.
20. Gartner. (2024). Magic Quadrant for Cloud AI Developer Services. [Online]. Available: https://www.gartner.com/en/documents/4372099.
21. Liu F.T. Isolation forest. In 2008 Eighth IEEE International Conference on Data Mining / F.T. Liu, K.M. Ting, Z.H. Zhou // IEEE Xplore. – 2008. – № 17. – P. 413-422. https://doi.org/10.1109/ICDM.
22. Министерство национальной экономики РК. (2023). Статистический сборник «Малый и средний бизнес в Казахстане», г. Астана.
23. Adadi A. Peeking inside the black-box: a survey on explainable artificial intelligence (XAI) / A. Adadi, M. Berrada // IEEE Access. – 2018. – PP(99):1-1. https://doi.org/10.1109/ACCESS.2018.2870052.

References

1. Klassifikatsiya i analiz metodov i metodologii proektirovaniya AIS malogo i srednego biznesa / A.S. Bidakhmetov et al // Vestnik KaZATK. – 2024. – № 2(131). – S. 178-185. https://doi.10.52167/1609-1817-2024-131-2-178-186. (In Russian).
2. Obzor trendov v avtomatizatsii biznes-protsessov / A.D. Zolotov et al // Vestnik Toraigyrov universiteta. Seriya ehnergeticheskaya. – 2024. – № 4. – S. 100-121. https://doi.org/10.48081/FYZZ1289. (In Russian).
3. Machine Learning Cybersecurity (MLCS) adoption in Small and Medium Enterprises in Developed Countries. – Computers 2021. – 10(11), 150; https://doi.org/10.3390/computers10110150. (In English).
4. Fernandez J. Cybersecurity Resilience in SMEs. A Machine Learning Approach / J. Fernandez // Journal of Computer Information Systems. – 2023. – № 64(6). – R. 1-17. https://doi.org/10.1080/08874417.2023.2248925. (In English).
5. El-Hajj M. A Specialized Cybersecurity Risk Assessment Framework and Tool / M. El-Hajj // Electronics. – 2024. – № 13(19). – R. 3910; https://doi.org/10.3390/electronics13193910. (In English).
6. How companies in Kazakhstan get ready for the AI revolution. KPMG, Kazakhstan-AI-Readiness-eng, 2024. (In English).
7. EDMS (Russian market). TAdviser, 2024. (In English).
8. Carreira J. A Case for Serverless Machine Learning / J. Carreira // Computer Science. – 2018. – R. 35-47. (In English).
9. Carreira J. A Case for Serverless Machine Learning / J.Carreira et al // Computer Science. A case for serverless machine learning. In Proceedings of the 2018 IEEE International Conference on Machine Learning Systems. – 2018. – R. 35-47. (In English).
10. The Future of Serverless Computing International Journal of Advanced Research in Science Communication and Technology. – № 5(2). – R. 505-514. https://doi.org/10.48175/IJARSCT-23373. (In English).

11. Case studies – Optimizing Enterprise Economics. AWS Documentation. https://docs.aws.amazon.com. (In English).
12. Syber security in small and medium enterprises. Journal of Governance and Development (JGD). – 2022. – № 18(1). – R. 75-87. https://doi.org/10.32890/jgd2022.18.1.5. DiVA portal, PDF. (In English).
13. Digitalization of Business Processes. ResearchGate, 2021. WSEAS TRANSACTIONS ON BUSINESS AND ECONOMICS 18:569-580. https://doi.org/10.37394/23207.2021.18.57. (In English).
14. Sustainable Development of Small Business. Economics. Law. Innovation. – 2023. – № 2. – P. 17-28. https://doi.org/10.17586/2713-1874-2023-2-17-28. (In English).
15. Kazakh small, medium businesses embrace digitisation and automation. (2019, May 10). – Astana Times, 2019. (In English).
16. Intelligent Automation Market. https://www.marketsandmarkets.com/Market-Reports/intelligent-process-automation-market-23417145.html. MarketsandMarkets. (In English).
17. Thong J.Y.L. Resource constraints and information systems implementation in Singaporean small businesses / J.Y.L. Thong // Omega. – 2001. – № 29(2). – R. 143-156. https://doi.org/10.1016/S0305-0483(00)00035-9. (In English).
18. Kotter J.P. Leading change: Why transformation efforts fail / J.P. Kotter // Harvard business review. – 1995. – № 73(2). – R. 59-67. https://doi.org/10.1177/1742715015571393. (In English).
19. A Comparative Analysis of Deep Learning Frameworks for Industrial IoT Applications / A.M. Abdulla et al // IEEE Access. – 2023. – № 11. – R. 12345-12356. (In English).
20. Gartner. (2024). Magic Quadrant for Cloud AI Developer Services. [Online]. Available: https://www.gartner.com/en/documents/4372099. (In English).
21. Liu F.T. Isolation forest. In 2008 Eighth IEEE International Conference on Data Mining / F.T. Liu, K.M. Ting, Z.H. Zhou // IEEE Xplore. – 2008. – № 17. – R. 413-422. https://doi.org/10.1109/ICDM. (In English).
22. Ministerstvo natsional'noi ehkonomiki RK. (2023). Statisticheskii sbornik «Malyi i srednii biznes v KazakhstanE», g. Astana. (In Russian).
23. Adadi A. Peeking inside the black-box: a survey on explainable artificial intelligence (XAI) / A. Adadi, M. Berrada // IEEE Access. – 2018. – PP(99):1-1. https://doi.org/10.1109/ACCESS.2018.2870052. (In English).

А. Бидахметов[1], А. Золотов[1]*, А. Дворцевой[2], А. Кәрібжанова[3], Б. Наурызбаев[3]
[1]Shakarim university,
070411, Қазақстан Республикасы, Семей қ., Глинка көшесі, 20 А
[2]НАТИ НТУ,
630073, Ресей, Новосибирск қ., Маркс даңғылы, 20
[3]Alikhan Bokeikhan University,
070000, Қазақстан Республикасы, Семей қаласы, Ленин көшесі 11
*e-mail azol64@mail.ru

ШОБ ҮШІН АДАПТИВТІ BPM ЖҮЙЕСІНІҢ ТИІМДІЛІГІН ІСКЕ АСЫРУ ЖӘНЕ БАҒАЛАУ: КИБЕРҚАУІПСІЗДІКТІ ЕСКЕРЕ ОТЫРЫП, ML ЖӘНЕ SERVERLESS НЕГІЗІНДЕГІ КЕЙС-СТАДИ

Мақалада машиналық оқытуды (ML), serverless-архитектураны және киберқауіпсіздік шараларын біріктіретін шағын және орта бизнес (ШОБ) үшін адаптивті бизнес-процестерді басқару жүйесін (BPM) іске асыру және тиімділігін бағалау бойынша кейс-стади ұсынылған. Зерттеу автордың алдыңғы жұмыстарына негізделген [1, 2], онда автоматтандырылған ақпараттық жүйелерді (ААЖ) жобалау әдістері талданды және жүйенің тұжырымдамалық моделі жасалды. Тақырыптың өзектілігі дәстүрлі жүйелер (ERP/CRM) жоғары шығындар мен бейімделудің төмендігіне байланысты жиі тиімсіз болатын Қазақстан мен Ресей сияқты дамушы экономикалардың ШОБ-автомат автоматтандыру қажеттілігінің артуына байланысты. Мақсат-құпиялылық үшін деректерді модельдеуді қолдана отырып, екі ойдан шығарылған, бірақ шынайы жағдайда (бөлшек сауда және қызметтер) енгізу арқылы жүйенің ROI-ін бағалау.

Әдістеме енгізуге дейінгі және кейінгі көрсеткіштерді жинауды (процестерді өңдеу уақыты, шығындар, қауіпсіздік деңгейі), A/B тестілеуін және журналдарды талдауды қамтиды. Болжалды талдаудың ML модельдері үшін TensorFlow бар Python, serverless компоненттері үшін AWS Lambda және қауіптерді бағалау үшін OWASP құралдары қолданылады. Нәтижелер шығындардың 25-30%

төмендеуін, ML арқасында бейімделудің 35-40% жақсаруын және осалдықтарды анықтау арқылы киберқауіпсіздік деңгейінің жоғарылауын көрсетеді. Этикалық аспектілерге деректерді анонимизациялау және GDPR тәрізді стандарттарды сақтау жатады. Нәтижелер масштабтау бойынша ұсыныстармен және бұлттық қызметтерге тәуелділік сияқты шектеулерді талқылай отырып, ШОБ үшін жүйенің артықшылықтарын растайды.

Түйін сөздер: *BPM, ШОБ, Машиналық оқыту, serverless, киберқауіпсіздік, автоматтандыру, ROI.*

A. Bidakhmetov[1], A.Zolotov[1]*, A.Dvortsevoy[2], A. Karibzhanova[3] , B. Nauruzbaev[3],
[1]NP JSC Shakarim university, 20A Glinka St., Semey, 070411, Republic of Kazakhstan
[2] NSTU NETI, Russia, 630073, Novosibirsk, K.Marx Ave., 20
[3] Alikhan Bokeikhan University 070000, Republic of Kazakhstan, Semey, Lenin St. 11

IMPLEMENTATION AND EVALUATION OF THE EFFECTIVENESS OF AN ADAPTIVE BPM SYSTEM FOR SMEs: A CASE STUDY BASED ON ML AND SERVERLESS WITH CYBERSECURITY IN MIND

The article presents a case study on the implementation and evaluation of the effectiveness of an adaptive business process management system (BPM) for small and medium-sized businesses (SMEs), integrating machine learning (ML), serverless architecture and cybersecurity measures. The research is based on the previous works of the author [1, 2], where the methods of designing automated information systems (AIS) were analyzed and a conceptual model of the system was developed. The relevance of the topic is due to the growing need for automation in SMEs in developing economies such as Kazakhstan and Russia, where traditional ERP/CRM systems are often ineffective due to high costs and low adaptability. The goal is to evaluate the ROI of the system through implementation in two fictional but realistic cases (retail and services) using data modeling for privacy.

The methodology includes the collection of metrics before and after implementation (process processing time, costs, security level), A/B testing, and log analysis. Python with TensorFlow for predictive analysis ML models, AWS Lambda for serverless components, and OWASP threat assessment tools were used. The results show a 25-30% reduction in costs, a 35-40% improvement in adaptability due to ML, and an increase in cybersecurity through vulnerability detection. Ethical aspects include data anonymization and compliance with GDPR-like standards. The findings confirm the benefits of the system for SMEs, with recommendations for scaling and discussion of limitations such as reliance on cloud services.

Key words: *BPM, MSB, machine learning, serverless, cybersecurity, automation, ROI.*

Сведения об авторах

Акылжан Нурланулы Бидахметов – докторант по специальности – «Автоматизация и управление» Университета Шакарима; e-mail: aqyljan.bidahmetov@shakarim.kz. ORCID: https://orcid.org/ 0009-0006-5507-5765.

Александр Дмитриевич Золотов* – к.т.н., доцент, ассоциированный профессор, Shakarim university, Семей. Қазақстан; e-mail: azol64@mail.ru. ORCID: https://orcid.org/0000-0001-9751-8161.

Ардак Жумагазиевна Карипжанова – PhD, проректор по информационным технологиям Alikhan Bokeikhan University; e-mail: kamilakz2001@mail.ru. ORCID: https://orcid.org/ 0000-0002-0113-6132.

Бауыржан Наурызбаев – PhD, Alikhan Bokeikhan University NBAcom; _ e-mail: 1989@abu.edu.kz.

Александр Игоревич Дворцевой – к.т.н., доцент, Новосибирский Государственный университета; e-mail: Dvorcevoj@corp.nstu.ru. ORCID: https://orcid.org/ 0009-0004-3817-8813.

Авторлар туралы мәліметтер

Акылжан Нурланулы Бидахметов – Шәкәрім университетінің «Автоматтандыру және басқару» мамандығы бойынша докторант; e-mail: aqyljan.bidahmetov@shakarim.kz. ORCID: https://orcid.org/0009-0006-5507-5765.

Александр Дмитриевич Золотов*, – т.ғ.к., доцент, ассистент. Профессор, Shakarim university, Семей, Қазақстан; e-mail: azol64@mail.ru. ORCID: https://orcid.org/0000-0001-9751-8161.

Ардақ Жұмағазықызы Карипжанова – «Ақпараттық жүйелер» мамандығы бойынша философия ғылымдарының PhD докторы, Alikhan Bokeikhan University ақпараттық технологиялар жөніндегі проректоры; e-mail: kamilakz2001@mail.ru. ORCID: https://orcid.org/0000-0002-0113-6132.

Бауыржан Наурызбаев – PhD, Alikhan Bokeikhan University NBAcom;_ e-mail: 1989@abu.edu.kz.

Александр Игоревич Дворцевой – т.ғ.к., доцент Новосибирск мемлекеттік университеті; e-mail: Dvorcevoj@corp.nstu.ru. ORCID: https://orcid.org/0009-0004-3817-8813.

Information about the authors

Akylzhan Bidakhmetov – Doctoral student in Automation and Control at Shakarim University; e-mail: aqyljan.bidahmetov@shakarim.kz. ORCID: https://orcid.org/0009-0006-5507-5765.

Alexander Zolotov* – PhD, Associate Professor, Shakarim University, Semey. Kazakhstan; e-mail: azol64@mail.ru. ORCID: https://orcid.org/0000-0001-9751-8161.

Ardak Karipzhanova – Doctor of PhD in the specialty – «Information systems», Vice-Rector for Information Technology Alikhan Bokeikhan University; e-mail: kamilakz2001@mail.ru. ORCID: https://orcid.org/0000-0002-0113-6132.

Bauyrzhan Nauryzbayev – PhD, Alikhan Bokeikhan University NBAcom; _e-mail: 1989@abu.edu.kz.

Alexander Dvortsevoy – Ph.D., Associate Professor, Novosibirsk State University; e-mail: Dvorcevoj@corp.nstu.ru. ORCID: https://orcid.org/0009-0004-3817-8813.

Поступила в редакцию 10.10.2025
Поступила после доработки 13.11.2025
Принята к публикации 14.11.2025

https://doi.org/10.53360/2788-7995-2025-4(20)-24

CC BY 4.0
Check for updates

ҒТАХР: 20.01.04

Г.Ж. Есенбекова, Қ.М. Райымқұл*
Темірбек Жүргенов атындағы Қазақ ұлттық өнер академиясы,
050000, Республика Казахстан, г. Алматы, ул. Панфилова, 127
*e-mail: raiymkul.k@mail.ru

МЕДИАӨНЕРДЕ ДЕРЕКТЕРДІ ВИЗУАЛИЗАЦИЯЛАУ ҮДЕРІСТЕРІН ЦИФРЛАНДЫРУ

Аңдатпа: *Бұл мақалада медиаөнер саласында деректерді визуализациялау үдерістерін цифрландырудың мәні мен оның шығармашылық тәжірибеге ықпалы қарастырылады. Қазіргі таңда ақпарат көлемінің ұлғаюы мен күрделене түсуі визуалды деректермен жұмыс істеудің жаңа тәсілдерін қажет етеді. Осы тұрғыда растрлық, векторлық, үшөлшемді (3D) және фракталды графика сияқты негізгі визуализация құралдары талданып, олардың медиаөнердегі орны сипатталады. Сондай-ақ анимация, интерактивті инфографика, виртуалды және толықтырылған шындық (VR/AR), бұлттық жүйелер секілді IT-технологиялардың шығармашылық жобаларды дамытудағы маңызы ерекше аталып өтеді.*

Мақалада ақпараттық және салыстырмалы талдау әдістері негізінде медиаөнер мен арт-терапиядағы цифрлық тәжірибелер зерделенді. Еуропа, АҚШ және Азия елдеріндегі көрмелер, онлайн платформалар мен әлеуметтік желілер арқылы жүзеге асырылып отырған арт-терапия тәжірибесі қарастырылып, олардың артықшылықтары сипатталды. Әсіресе халықаралық деңгейде кең таралған онлайн арт-терапияның психологиялық қолдау мен шығармашылық қабілеттерді дамытудағы рөліне назар аударылды. Сонымен қатар Қазақстан жағдайындағы алғашқы қадамдар баяндалып, шетелдік үлгілермен салыстырмалы түрде талқыланды.

Зерттеу нәтижелері көрсеткендей, медиаөнерде цифрландыруды енгізудегі негізгі қиындықтар техникалық инфрақұрылымның жеткіліксіздігі, кадрлық әлеуеттің әлсіздігі және әдістемелік тұрғыдағы шектеулермен байланысты. Дегенмен интеграциялық мүмкіндіктер кең: халықаралық тәжірибені енгізу, заманауи технологияларды бейімдеу және кәсіби мамандарды даярлау бұл саланың дамуына жол ашады. Қорытынды бөлімде медиаөнер мен арт-терапияны цифрлық форматта дамытуға арналған ұсыныстар ұсынылып, олардың практикалық маңызы айқындалды.

Түйін сөздер: *медиаөнер, деректерді визуализациялау, цифрландыру, IT-технологиялар, шығармашылық, жаңа медиа, ақпараттық жүйелер, визуалды коммуникация.*

Кіріспе

Соңғы жылдары медиаөнер қазіргі заманғы өнер кеңістігінің маңызды құрамдас бөлігіне айналып, шығармашылық пен технологияны тоғыстыратын жаңа бағыт ретінде қалыптасты. Цифрлық технологиялардың дамуы ақпарат көлемінің артуына, деректердің құрылымы мен мазмұнының күрделене түсуіне алып келді. Бұл жағдай визуалды деректермен жұмыс істеудің жаңа әдістерін қажет етті. Медиаөнер саласында деректерді визуализациялау бүгінде тек көмекші құрал емес, шығармашылық идеяны жеткізудің негізгі тетігіне айналып отыр. Мұндай

тәсілдер көрерменге күрделі ақпаратты жеңіл қабылдауға, бейнелік шешім арқылы ғылыми немесе техникалық мазмұнды түсінуге мүмкіндік береді. Сонымен бірге визуализациялау технологияларының дамуы медиаөнер жобаларының құрылымын, мазмұнын және көркемдік тілін түбегейлі өзгертті. Қазіргі медиамәдениетте автор тек суретші немесе дизайнер ғана емес, сонымен қатар деректерді жинақтайтын, құрылымдайтын және оларды эстетикалық тұрғыда ұсынатын зерттеуші рөлін де атқарады. Осыған байланысты медиаөнер саласында цифрландыру мен визуализациялау әдістерін жетілдіру бүгінгі күннің өзекті мәселесіне айналды.

Қазіргі таңда ерекше маңызға ие болып келе жатқан, алайда кең тарала қоймаған бағыттардың бірі – арт-терапияны цифрландыру. Арт-терапия дәстүрлі түрде офлайн форматта, тікелей шығармашылық әрекет арқылы жүзеге асырылып келсе, бүгінгі күні оны сандық ортаға көшіру қажеттілігі артып отыр. Бұл бағыттың әлеуеті тек өнер саласына ғана емес, білім беру мен психологиялық қолдау жүйесіне де тікелей байланысты. Цифрлық арт-терапия платформалары визуалды деректермен жұмыс істеу дағдыларын дамытуға, эмоционалдық тепе-теңдікті қалпына келтіруге және шығармашылық қабілеттерді ашуға көмектеседі. Сонымен қатар, мұндай жүйелер өңірлік шектеулерді жойып, қатысушыларға қашықтан қол жеткізу мүмкіндігін береді. Бұл тәжірибе шетелде кеңінен тарала бастағанымен, Қазақстан жағдайында әлі де жүйелі дамымаған. Осы себепті арт-терапияны медиаөнер аясында цифрлық форматқа көшіру – зерттеуді қажет ететін өзекті міндеттердің бірі.

Арт-терапияны цифрландыру тек технологиялық жаңашылдық емес, қоғамның әлеуметтік және мәдени қажеттіліктеріне жауап беретін жаңа бағыт болып қалыптасуда. Цифрлық ортада жүзеге асырылатын шығармашылық әрекеттер қатысушылардың психологиялық жай-күйін жақсартуға, әлеуметтік бейімделуін арттыруға және эмоционалдық шиеленісті азайтуға ықпал етеді. Мұндай жобалар деректерді визуализациялау технологиялары арқылы шығармашылық үдерісті құрылымдап, оның нәтижелерін сандық форматта сақтау және талдау мүмкіндігін береді. Цифрлық арт-терапия медиаөнердің жаңа формаларын қалыптастырып, креативті индустрияның дамуына серпін береді. Осы тұрғыдан алғанда, медиаөнерде деректерді визуализациялау үдерістерін цифрландыру тек шығармашылық тәсілдерді жетілдіру құралы ғана емес, сонымен бірге арт-терапия секілді әлеуметті маңызы жоғары салаларды дамытуға да негіз бола алады. Сондықтан осы бағытты ғылыми тұрғыда зерттеу – қазіргі кезеңнің аса өзекті міндеттерінің бірі.

Қазіргі медиаөнерде деректерді визуалды форматқа айналдыру үшін қолданылатын құралдар сан алуан болғанымен, олардың арасында ең көп таралған және негізгі саналатын бірнеше түр бар. Олар – растрлық, векторлық, үшөлшемді (3D) және фракталды графика. Бұл технологиялар шығармашылық жобалардың мазмұнын айқындап қана қоймай, күрделі ақпаратты көрерменге түсінікті әрі әсерлі жеткізуге мүмкіндік береді [1].

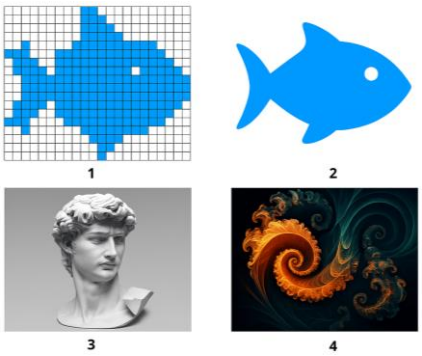
Растрлық графика – пиксельдерден тұратын кескіндер жүйесі. Әр пиксельдің өз түсі мен жарықтық мәні болады, сондықтан мұндай суреттер өте нақты әрі ұсақ бөлшектерге бай болып келеді. JPEG, PNG немесе BMP форматындағы кескіндер растрлық графикаға жатады. Бұл түрі көбіне цифрлық фотосуреттерде, веб-дизайнда, баспа өнімдерінде және жоғары дәлдік қажет ететін иллюстрациялар жасауда қолданылады.

Векторлық графика керісінше, математикалық формулалар арқылы сызықтар мен қисықтардың координаттарын сипаттайды. Мұндай кескіндерді сапасын жоғалтпай еркін үлкейтуге немесе кішірейтуге болады, сондықтан олар логотиптер, инфографика, сызбалар және диаграммалар жасау үшін жиі пайдаланылады. Векторлық графикаға тән форматтар – SVG, EPS, AI. Оның басты артықшылығы – көлемі шағын әрі өңдеуге икемді болуы.

Үшөлшемді (3D) графика көлемді нысандар мен сахналарды модельдеуге мүмкіндік береді. Бұл технология медиаөнер саласында кең қолданыс тапқан: көркем бейнеинсталляциялардан бастап кино, анимация, компьютерлік ойындар мен виртуалды шындық жүйелеріне дейін түрлі бағыттарда кездеседі. 3D-графика нысандардың пішінін, жарық-көлеңке әсерін және қозғалысын шынайы жеткізетіндіктен, көрерменге әсерлі визуалды тәжірибе сыйлайды.

Фракталды графика – өзін-өзі қайталайтын құрылымдарға негізделген ерекше түр. Ол табиғаттағы күрделі өрнектер мен текстураларды, ландшафт пішіндерін модельдеуде, сондай-ақ ғылыми жобалар мен медиаөнерде кеңінен пайдаланылады. Фракталды кескіндер математикалық заңдылықтардың сұлулығын көрсетіп, ғылым мен өнердің тоғысуын бейнелейді.

Сурет 1-дегі 1-ші бөлікте – растрлық графика, ал 2-ші бөлікте – векторлық графика бейнеленген. 3-ші бөлікте – үшөлшемді (3D) графика, 4-ші бөлікте – фракталды графика көрсетілген. Осы төрт бағыт медиаөнерде деректерді визуализациялау үдерістерінің негізгі құралдары ретінде қалыптасып отыр. Олар көркемдік ойды жеткізудің жаңа мүмкіндіктерін ашып қана қоймай, деректермен жұмыс істеу тәсілдерін де түбегейлі өзгертті.



Сурет 1 – Визуализациялау графикасының негізгі түрлері
(растрлық, векторлық, 3D және фракталды)

Қазіргі медиаөнер саласында визуализациялау үдерістерін жетілдіру үшін түрлі заманауи IT-технологиялар қолданылады. Соның ішінде анимация, интерактивті инфографика, виртуалды және толықтырылған шындық (VR/AR), бұлттық деректер жүйелері ерекше орын алады. Бұл технологиялар шығармашылық процесті жеделдетіп қана қоймай, көрермендерге визуалды ақпаратты жаңа деңгейде қабылдауға мүмкіндік береді.

Соңғы жылдары өнер кеңістігінде VR/AR технологиялары кеңінен таралып, көрмелер мен инсталляцияларды виртуалды ортада ұйымдастыру тәжірибесі қалыптасты. Мұндай жобалар деректерді өңдеуді, визуализацияны және көпқабатты интерактивті контентті біріктіреді. Сонымен қатар, meta-кеңістік ұғымының дамуы өнер туындыларын цифрлық форматқа көшіруге, бұлттық жүйелер арқылы таратуға және NFT технологиялары негізінде құқықтық қорғауға мүмкіндік беріп отыр [2].

Зерттеу әдістері

Ақпараттық талдау әдісі медиаөнер саласында қолданылатын визуализациялау технологиялары туралы мәліметтерді жинақтау және жүйелеу үшін қолданылады. Бұл әдіс түрлі ғылыми мақалалар, көрмелік жобалар, онлайн платформалар мен тәжірибелік жұмыстардағы деректерді құрылымдауға және олардың мазмұнын бағалауға мүмкіндік береді. Ақпараттық талдау анимация, интерактивті инфографика, виртуалды және толықтырылған шындық (VR/AR) жүйелері, бұлттық технологиялар сияқты IT-құралдардың техникалық мүмкіндіктерін анықтауға және оларды медиаөнер контекстінде қолдану тәсілдерін сипаттауға бағытталады.

Салыстырмалы талдау әдісі дәстүрлі визуализациялау құралдары мен цифрлық технологиялардың айырмашылықтарын анықтауға негізделеді. Бұл тәсіл әртүрлі технологиялардың функционалдық сипаттамаларын, қолдану салаларын, қолжетімділік деңгейін және көркемдік нәтижеге ықпалын салыстырып көрсетеді. Салыстырмалы талдау медиаөнер жобаларының құрылымындағы өзгерістерді, олардың деректерді өңдеу жылдамдығы мен интерактивтілігін бағалауға мүмкіндік береді. Сонымен қатар бұл әдіс офлайн және онлайн форматтағы арт-терапиялық жобалардың ұйымдастырылу ерекшеліктерін саралап, цифрлық визуализациялау құралдарының тиімділігін көрсету үшін қолданылады.

Зерттеу нәтижелері

Арт-терапияны насихаттаудың ең кең таралған және тиімді әдістерінің бірі – көрмелер ұйымдастыру. Бұл тәсіл қазіргі таңда Еуропа, АҚШ және Азия елдерінде белсенді қолданылады. Мұндай көрмелер арт-терапияның қоғамдық және мәдени маңыздылығын көрсетіп, оны көпшілікке жақындатуға мүмкіндік береді. Соңғы жылдары халықаралық деңгейде танымал болған жобалардың қатарында Сингапур Ұлттық галереясы (NUS) [3] және M+мұражайында өткізілетін арт-терапиялық көрмелер ерекше орын алады [4].

Медиа және әлеуметтік желілер арт-терапияны кеңінен танытуда маңызды рөл атқарады. Әлеуметтік желі платформаларында арт-терапиямен айналысатын мамандар мен ұйымдар өз тәжірибелерін бөлісіп, бұл әдістің тиімділігін дәлелдейтін жобаларды ұсынады. Мысалы, Instagram, Facebook және YouTube желілерінде арт-терапияға арналған шеберлік сабақтары мен оқу бейнелері жарияланады. Бұл материалдар арқылы аудитория арт-терапияның маңыздылығы мен артықшылықтарын оңай түсіне алады. Мәселен, @the.holistic.psychologist атты парақшаның авторы Nicole LePera психикалық денсаулық тақырыбында ақпарат таратып, 8,8 миллионнан астам жазылушы жинаған [5]. Сондай-ақ, Art Therapy Alliance атты Facebook қауымдастығы арт-терапия әдістері мен ресурстарын бөліссе [6], YouTube платформасындағы Art Therapy The Movie арнасы арт-терапияның түрлі әдістерін көрсететін бейнематериалдар ұсынады [7].

Сонымен қатар, теледидар, веб-платформалар мен арнайы сайттар да арт-терапияны дәріптеуде маңызды орын алады. Мұндай платформаларда психикалық денсаулықты қолдауға арналған бағдарламалар, онлайн сабақтар және практикалық тренингтер ұйымдастырылады. Мысалы, The Art Station ұйымы балалар мен ересектерге арналған арт-терапиялық бағдарламалар әзірлеп, өз сайтында олардың психологиялық және эмоционалдық тұрғыда пайдалы екенін көрсетеді [8]. Art Of Our Soul жобасы арт-терапия арқылы психологиялық қиындықтарды еңсеруге көмектесіп, сайтында қатысушылардың оң тәжірибелерін бөліседі [9]. Сондай-ақ, Art Therapy Resourcesплатформасы кәсіби мамандарға арналған оқу құралдары мен әдістемелік материалдарды, арт-терапияның түрлі тәсілдері мен практикалық нұсқауларын ұсынады [10].

Бұл платформалар мен онлайн ресурстардың дамуы арт-терапияны кең аудиторияға қолжетімді етіп, оны медиаөнердің маңызды бағытына айналдыруға ықпал етіп отыр.

Қазақстанда да арт-терапияны цифрлық форматта дамытуға бағытталған бастамалар пайда бола бастады. Соңғы жылдары психологиялық орталықтар мен шығармашылық студиялар онлайн сабақтар мен консультациялар ұсынып, әлеуметтік желілер арқылы арт-терапияның маңыздылығын кеңінен насихаттап келеді. Мысалы, отандық мамандар жүргізетін шеберлік сабақтары Zoom, Google Meet сияқты платформаларда ұйымдастырылады, ал дайын материалдар мен бейнесабақтар YouTube пен Instagram желілерінде қолжетімді.

Ғылыми нәтижелерді талқылау

Қазіргі заманғы өнерде цифрлық визуализация шығармашылық үдерістердің маңызды құрамдас бөлігіне айналып отыр. Виртуалды шындық, үшөлшемді модельдеу, интерактивті анимациялар және инфографика сияқты құралдар суретшілерге бұрын мүмкін болмаған жаңа тәсілдерді қолдануға жағдай жасайды. Мұндай технологиялар шығармашылық ойды кеңейтіп қана қоймай, көрерменнің өнер туындыларын қабылдау форматын өзгертеді. Зерттеушілердің пайымдауынша, цифрлық визуализация шығармашылық әрекетте жаңа тәжірибелер жасауға мүмкіндік беріп, көркемдік үдерісті жан-жақты дамытуға ықпал етеді.

Бұл өзгерістер медиаөнер жобаларының құрылымына да тікелей әсер етуде. Егер дәстүрлі өнер жобалары статикалық форматтарда шектелсе, бүгінгі таңда мультимедиалық элементтермен толыққан, интерактивті және көпқабатты құрылымдар кең таралған. Цифрлық технологиялар арқылы жасалған медиаөнер көрерменді жай бақылаушы емес, процестің белсенді қатысушысына айналдырады. Нәтижесінде, медиаөнер әлеуметтік және мәдени коммуникацияның ерекше түріне айналып, көркемдік идеяларды жеткізудің жаңа арналарын ашады [11].

Арт-терапия саласында да цифрландырудың әсері айқын байқалады. Соңғы жылдары онлайн форматтағы терапиялық жобалар, мобильді қосымшалар мен бейне сабақтар арқылы арт-терапияны жүргізу тәжірибесі қалыптасты. Мұндай тәсіл адамдарға географиялық қашықтыққа қарамастан психологиялық көмек алуға мүмкіндік береді. Әсіресе пандемия кезеңінде цифрлық арт-терапия көптеген елдерде кеңінен таралып, оның тиімділігі арта түсті.

Қазақстандық жағдайды қарастырғанда, бұл үдерістің енді ғана қалыптасып келе жатқанын байқауға болады. Ел ішінде арт-терапияны цифрлық форматта дамытуға бағытталған алғашқы қадамдар жасалып, онлайн платформалар мен әлеуметтік желілер арқылы тәжірибелер таралып келеді. Дегенмен шетелдік тәжірибемен салыстырғанда, Қазақстанда бұл бағыт әлі де толыққанды дамымаған. Еуропа мен АҚШ-та арт-терапияға арналған ірі онлайн орталықтар, арнайы бағдарламалар мен зерттеу жобалары кеңінен қолданыс тапса, отандық деңгейде мұндай бастамалар жеке ұйымдар мен энтузиастардың

шеңберінде ғана жүзеге асуда [12]. Осы айырмашылық арт-терапияны цифрлық форматта дамытуда халықаралық тәжірибені ескеру қажеттігін көрсетеді.

Медиаөнерде визуализация мен цифрландыруды енгізу барысында бірқатар қиындықтар туындайды. Ең әуелі, техникалық инфрақұрылымның жеткіліксіздігі мәселесі көзге түседі. Көптеген мәдениет және өнер нысандары заманауи жабдықтармен толық қамтамасыз етілмегендіктен, визуалды технологияларды кеңінен қолдану баяу жүреді. Бұл өз кезегінде жаңа әдістерді енгізу үдерісін тежейді және шығармашылық жобалардың сапасына әсер етеді. Сонымен бірге, қаржыландырудың жеткіліксіздігі де елеулі кедергі болып отыр. Цифрландыруға арналған жобалар ұзақ мерзімді инвестицияны қажет ететіндіктен, бұл салада тұрақты қолдау тетіктерінің жетіспеуі байқалады [13]. Кадрлық және әдістемелік қиындықтар да айқын көрініс береді. Цифрлық медиа саласында мамандар даярлау жүйесі әлі де толық қалыптаспаған, сондықтан кәсіби кадр тапшылығы сезіледі. Әсіресе, заманауи бағдарламалау, деректерді визуализациялау, VR/AR сияқты бағыттар бойынша мамандар жетіспейді. Бұл жағдайда халықаралық тәжірибеге сүйене отырып, арнайы оқу бағдарламаларын әзірлеу маңызды. Сонымен қатар, әдістемелік тұрғыдан да мәселелер туындайды: медиаөнерде қолданылатын жаңа технологиялардың тиімділігін бағалауға арналған нақты үлгілер мен стандарттар толық қалыптаспаған. Соған қарамастан, медиаөнер мен арт-терапияны дамытуда интеграциялық мүмкіндіктер ерекше мәнге ие. Қазақстандық тәжірибеде цифрлық шешімдерді енгізу көбіне білім беру, музей ісі мен театр кеңістігі арқылы жүзеге асып жатыр. Бұл үрдіс халықаралық тәжірибемен сабақтасып, жаңа интеграциялық бағыттарға жол ашады [14]. Мәселен, шетелдік жобаларда кеңінен қолданылып жүрген виртуалды көрмелер, онлайн арт-терапия сессиялары немесе бұлттық платформалар отандық салаға да енгізілуде. Бұл медиаөнерді тек шығармашылық сала емес, сонымен бірге әлеуметтік және терапиялық құрал ретінде дамытудың тиімді жолдарының бірі саналады.

Қорытынды

Қазіргі медиаөнер саласында цифрландырудың болашағы кең әрі қарқынды дамып келеді. Ақпараттық технологиялар шығармашылықты жеткізудің жаңа құралдарын ұсынып, өнерді қабылдау форматын түбегейлі өзгертуде. Әсіресе виртуалды шындық (VR), толықтырылған шындық (AR), жасанды интеллект және үлкен деректерді өңдеу әдістері медиаөнердің даму траекториясын айқындап отыр. Болашақта бұл технологиялар өнер туындыларын көпқабатты, интерактивті әрі жекелендірілген форматта ұсынуға мүмкіндік береді. Қазақстан жағдайында да цифрландырудың ықпалы күшейіп, отандық медиаөнерді халықаралық кеңістікке шығарудың жаңа тетіктері қалыптасуда.

Арт-терапия бағыты да цифрлық технологиялардың ықпалымен жаңа деңгейге көтерілуде. Онлайн платформалар, мобильді қосымшалар және бұлттық жүйелер арқылы арт-терапиялық бағдарламаларды қашықтан жүргізу мүмкіндігі кеңеюде. Бұл тәсіл географиялық немесе әлеуметтік шектеулерге қарамастан, психологиялық көмекке қол жеткізуді жеңілдетеді. Сонымен қатар, VR/AR технологиялары эмоциялық тәжірибені шынайы модельдеуге жағдай жасап, арт-терапияның әсерін күшейтеді. Жасанды интеллект негізіндегі қосымшалар пайдаланушының жеке ерекшеліктеріне сәйкес терапиялық бағдарламаларды бейімдеуге мүмкіндік береді.

Осы жазылғандарды ескере отырып, бірнеше ұсыныстарды атап өтуге болады. Біріншіден, медиаөнер мен арт-терапия саласында цифрлық технологияларды дамыту үшін кешенді мемлекеттік және институционалдық қолдау қажет. Екіншіден, кадрлық әлеуетті нығайту мақсатында арнайы оқу бағдарламалары мен кәсіби курстар ұйымдастырылуы тиіс. Үшіншіден, халықаралық тәжірибемен ықпалдасу арқылы отандық жобалардың сапасын арттыруға және жаңа идеяларды енгізуге болады. Практикалық тұрғыдан алғанда, бұл ұсыныстар медиаөнердің қолжетімділігін арттыруға, арт-терапияның тиімділігін күшейтуге және қоғамда психологиялық қолдау мәдениетін қалыптастыруға ықпал етеді.

Әдебиеттер тізімі

1. Комилова З.Х. Компьютерлік графиканың түрлері және оның заманауи қоғамдағы рөлі / З.Х. Комилова, Ш. Мухаммаджонова // Ғылымдағы даму мен инновациялар. – 2025. – Т. 4, № 4. – С. 21-24.
2. Мусабекова Л. Мета-кеңістіктегі заманауи өнер / Л. Мусабекова, А. Еспенова // Central Asian Journal of Art Studies. – 2023. – Т. 8, № 4. – Б. 163-178.
3. National Gallery Singapore. https://www.nationalgallery.sg.

4. M+ мұражайы, Гонконг. https://www.mplus.org.hk.
5. Nicole LePera. The Holistic Psychologist. Instagram парақшасы. https://www.instagram.com/the.holistic.psychologist?igsh=czlkZmZkeXptb2hu.
6. Art Therapy Alliance. Facebook қауымдастығы. https://www.facebook.com/@ArtTherapyAlliance/.
7. Art Therapy The Movie. YouTube арнасы. https://youtube.com/@arttherapythemovie?si=wtf-_f815jTMdhO3.
8. The Art Station. Арт-терапиялық платформа. https://www.theartstation.org.
9. Art Of Our Soul. Арт-терапиялық бағдарлама. https://artofoursoul.com.
10. Art Therapy Resources. Арт-терапияға арналған ресурстар. https://arttherapyresources.com.au.
11. American Art Therapy Association. Арт-терапия қауымдастығы. https://arttherapy.org.
12. Tykhoniuk O. және т.б. Заманауи өнердегі шығармашылыққа цифрлық революцияның әсерін талдау: технологиялық өзгерістер, интерактивтілік және виртуалды эстетика. – 2024.
13. Zubala A. Цифрлық ортадағы арт-терапия: қазіргі тәжірибеге шолу және болашақ бағыттар / A. Zubala, N. Kennell, S. Hackett // Frontiers in Psychology. – 2021. – Т. 12, № 595536.
14. Лунга И. Қазақстан мәдениет нысандарына цифрлық білім беру технологияларын енгізу тәжірибесіне шолу / И. Лунга, М. Жангужинова // Central Asian Journal of Art Studies. – 2023. – Т. 8, № 2. – Б. 96-113.
15. Shiferaw R.M. Цифрлық технологиялар және адами ресурстарды басқару тәжірибесі: жүйелі әдеби шолу / R.M. Shiferaw, Z.A. Birbirsa // Heliyon. – 2025. – Т. 11, № 2.

References

1. Komilova Z.KH. Komp'yuterlik grafikanyң tүrleri zhәne onyң zamanaui қoғamdaғy rөli / Z.KH. Komilova, SH. Mukhammadzhonova // Ғylymdaғy damu men innovatsiyalar. – 2025. – T. 4, № 4. – S. 21-24. (In Russian).
2. Musabekova L. Meta-keңistiktegi zamanaui өner / L. Musabekova, A. Espenova // Central Asian Journal of Art Studies. – 2023. – T. 8, № 4. – B. 163-178. (In Russian).
3. National Gallery Singapore. https://www.nationalgallery.sg. (In English).
4. M+ mұrazhaiy, Gonkong. https://www.mplus.org.hk. (In English).
5. Nicole LePera. The Holistic Psychologist. Instagram paraқshasy. https://www.instagram.com/the.holistic.psychologist?igsh=czlkZmZkeXptb2hu. (In English).
6. Art Therapy Alliance. Facebook қauymdastyғy. https://www.facebook.com/@ArtTherapyAlliance/. (In English).
7. Art Therapy The Movie. YouTube arnasy. https://youtube.com/@arttherapythemovie?si=wtf-_f815jTMdhO3. (In English).
8. The Art Station. Art-terapiyalyқ platforma. https://www.theartstation.org. (In English).
9. Art Of Our Soul. Art-terapiyalyқ baғdarlama. https://artofoursoul.com. (In English).
10. Art Therapy Resources. Art-terapiyaғa arnalғan resurstar. https://arttherapyresources.com.au. (In English).
11. American Art Therapy Association. Art-terapiya қauymdastyғy. https://arttherapy.org. (In English).
12. Tykhoniuk O. zhane t.b. Zamanaui өnerdegi shygarmashylykka tsifrlyk revolyutsiyanyn aserin taldau: tekhnologiyalyk ozgerister, interaktivtilik zhane virtualdy ehstetika. – 2024. (In Kazakh).
13. Zubala A. Tsifrlyk ortadagy art-terapiya: kazirgi tazhiribege sholu zhane bolashak bagyttar / A. Zubala, N. Kennell, S. Hackett // Frontiers in Psychology. – 2021. – T. 12, № 595536. (In Kazakh).
14. Lunga I. Kazakstan madeniet nysandaryna tsifrlyk bilim beru tekhnologiyalaryn engizu tazhiribesine sholu / I. Lunga, M. Zhanguzhinova // Central Asian Journal of Art Studies. – 2023. – T. 8, № 2. – B. 96-113. (In Kazakh).
15. Shiferaw R.M. Tsifrlyk tekhnologiyalar zhane adami resurstardy baskaru tazhiribesi: zhyieli adebi sholu / R.M. Shiferaw, Z.A. Birbirsa // Heliyon. – 2025. – T. 11, № 2. (In Kazakh).

Г.Ж. Есенбекова, К.М. Райымкул
Казахская национальная академия искусств имени Темирбека Жургенова
050000, Республика Казахстан, г. Алматы, ул. Панфилова, 127
*e-mail: raiymkul.k@mail.ru

ЦИФРОВИЗАЦИЯ ПРОЦЕССОВ ВИЗУАЛИЗАЦИИ ДАННЫХ В МЕДИАИСКУССТВЕ

В данной статье рассматривается значение цифровизации процессов визуализации данных в медиаискусстве и ее влияние на творческую практику. В условиях увеличения и усложнения объемов информации возникает необходимость в новых методах работы с визуальными данными. В этом контексте анализируются такие основные инструменты визуализации, как растровая, векторная, трехмерная (3D) и фрактальная графика, а также определяется их роль в медиаискусстве. Особое внимание уделяется ИТ-технологиям – анимации, интерактивной инфографике, виртуальной и дополненной реальности (VR/AR), облачным системам – и их значению для развития художественных проектов.

В статье на основе информационного и сравнительного анализа исследуются цифровые практики в медиаискусстве и арт-терапии. Рассмотрен опыт проведения выставок, онлайн-платформ и социальных сетей в Европе, США и странах Азии, описаны их преимущества. Подчеркивается роль онлайн арт-терапии в оказании психологической поддержки и развитии творческих способностей. Кроме того, анализируются первые шаги в Казахстане и проводится сопоставление с зарубежным опытом.

Результаты исследования показали, что ключевые трудности внедрения цифровизации в медиаискусство связаны с недостаточностью технической инфраструктуры, дефицитом кадрового потенциала и методологическими ограничениями. Вместе с тем выявлены широкие интеграционные возможности: использование международного опыта, адаптация современных технологий и подготовка профессиональных специалистов. В заключении предложены практические рекомендации по развитию цифровых форматов медиаискусства и арт-терапии.

Ключевые слова: *медиаискусство, визуализация данных, цифровизация, ИТ-технологии, творчество, новые медиа, информационные системы, визуальная коммуникация.*

G.Zh. Yessenbekova, K.M. Raiymkul
Kazakh National Academy of Arts named after Temirbek Zhurgenov,
050000, Republic of Kazakhstan, Almaty, 127 Panfilov Street
*e-mail: raiymkul.k@mail.ru

DIGITALIZATION OF DATA VISUALIZATION PROCESSES IN MEDIA ART

This article examines the importance of digitizing data visualization processes in media art and its impact on creative practice. With the increasing volume and complexity of information, new methods of working with visual data are required. In this context, key visualization tools such as raster, vector, three-dimensional (3D), and fractal graphics are analyzed, and their role in media art is defined. Special attention is given to IT technologies – animation, interactive infographics, virtual and augmented reality (VR/AR), and cloud systems – and their significance for the development of artistic projects.

Based on informational and comparative analysis, the article explores digital practices in media art and art therapy. It reviews the experience of exhibitions, online platforms, and social networks in Europe, the USA, and Asian countries, outlining their advantages. The role of online art therapy in providing psychological support and developing creative abilities is emphasized. In addition, the initial steps in Kazakhstan are examined and compared with international practices.

The research findings indicate that the main challenges of introducing digitalization into media art are linked to insufficient technical infrastructure, lack of qualified personnel, and methodological limitations. At the same time, broad integration opportunities are identified: applying international experience, adapting modern technologies, and training professional specialists. The conclusion presents practical recommendations for the development of digital formats in media art and art therapy.

Key words: *media art, data visualization, digitalization, IT technologies, creativity, new media, information systems, visual communication.*

Авторлар туралы мәліметтер

Гүлжанат Жумагазиевна Есенбекова – техника ғылымдарының кандидаты, профессор; Темірбек Жүргенов атындағы Қазақ ұлттық өнер академиясы, Қазақстан Республикасы; e-mail: esenbekova_g@mail.ru. ORCID: https://orcid.org/0009-0001-1879-3024.

Құралай Маратқызы Райымқұл* – «Медиаөнер» мамандығының 2-курс магистранты, Темірбек Жүргенов атындағы Қазақ ұлттық өнер академиясы, Қазақстан Республикасы; e-mail: raiymkul.k@mail.ru. ORCID: https://orcid.org/0009-0008-3423-0580.

Сведения об авторах

Гулжанат Жумагазиевна Есенбекова – кандидат технических наук, профессор, Казахская национальная академия искусств имени Темирбека Жургенова, Республика Казахстан; e-mail: esenbekova_g@mail.ru. ORCID: https://orcid.org/0009-0001-1879-3024.

Куралай Маратовна Райымкул* – магистрант 2 курса по специальности «Медиаискусство», Казахская национальная академия искусств имени Темирбека Жургенова, Республика Казахстан; e-mail: raiymkul.k@mail.ru. ORCID: https://orcid.org/0009-0008-3423-0580.

Information about the authors

Gulzhanat Zhumagazievna Yessenbekova – Candidate of Technical Sciences, Professor, Kazakh National Academy of Arts named after Temirbek Zhurgenov, Republic of Kazakhstan; e-mail: esenbekova_g@mail.ru. ORCID: https://orcid.org/0009-0001-1879-3024.

Kuralay Maratkyzy Raiymkul – 2nd year Master's student in «Media Art», Kazakh National Academy of Arts named after Temirbek Zhurgenov, Republic of Kazakhstan; e-mail: raiymkul.k@mail.ru. ORCID: https://orcid.org/0009-0008-3423-0580.

Редакцияға енуі 31.10.2025
Өңдеуден кейін түсуі 25.11.2025
Жариялауға қабылданды 28.11.2025

https://doi.org/10.53360/2788-7995-2025-4(20)-25

IRSTI 28.23.25

BY 4.0
Check for updates

D. Sultan[1], R. Abdrakhmanov[2], Esref Adali[3], T. Turymbetov[2], G. Bekeshova[4]*
[1]Narxoz University,
050035, Republic of Kazakhstan, Almaty, 55 Zhandossova street
[2]International University of Tourism and Hospitality,
161205, Turkistan, Kazakhstan 14 A Rabiga Sultan Begim str.,
[3]Istanbul Technical University,
34010, Istanbul, Turkey
[4]L.N. Gumilyov Eurasian national university,
010000, Republic of Kazakhstan, Astana, K. Satpayev Street, 2
*e-mail: gulvirabauyrzhanovna@gmail.com

DEEP LEARNING-BASED HATE SPEECH DETECTION IN KAZAKH: A HYBRID FRAMEWORK FOR ROBUST TEXT ANALYSIS

Annotation: *This study presents a new intelligent system based on deep learning methods for the automatic detection of hate speech in the Kazakh language. Particular attention is paid to the specific nature of Kazakh as a resource-poor language, where the limited linguistic data poses significant challenges in building reliable models. A multilingual data corpus covering a wide range of speech contexts was generated and preprocessed using various online sources-social media, forums, and news portals. To improve efficiency and generalization performance, a hybrid architecture was proposed, including convolutional neural networks (CNNs), bidirectional long short-term memories (BiLSTMs), and Transformer attention mechanisms. An evaluation using precision, recall, F1-criterion, and accuracy metrics demonstrated the superiority of the proposed model over traditional machine learning algorithms. The results of the study make a significant contribution to the development of automatic content moderation systems and promote the creation of a safer, inclusive, and linguistically sensitive digital space for Kazakh-speaking users.*

Key words: *deep learning, hate speech, Kazakh language, text classification, natural language processing.*

Introduction

With the increasing digitization of communication in Kazakhstan, hate speech has become more prevalent on social media platforms. Unlike physical aggression, digital hate can spread rapidly and persistently, causing psychological harm. This research targets automated detection of such harmful content using deep learning techniques tailored to Kazakh linguistic features[1].

Globally, cyberbullying remains a pressing issue. A WHO Europe study from 2024 reported that approximately 11% of adolescents have been bullied at school, with about 12% admitting to cyberbullying others. These figures align with Kazakhstan's statistics, indicating that the nation is not isolated in this challenge. However, cultural, social, and infrastructural nuances necessitate localized strategies to effectively address the problem [2]. Figure 1 represents the bar chart, which provides a visual representation of various aspects related to cyberbullying in Kazakhstan, based on available

reports and estimated statistics. The data categories and their corresponding estimated percentages are as follows in the figure.

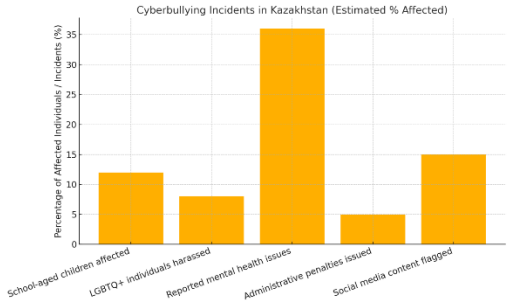


Figure 1 – Cyberbullying dynamics in Kazakhstan

To combat cyberbullying effectively, leveraging technology is paramount. Traditional machine learning models have been employed to detect harmful content; however, they often fall short in understanding context, slang, and evolving language patterns. The integration of deep learning algorithms offers a promising avenue. These models, particularly those based on transformer architectures, can comprehend context more effectively, leading to improved detection accuracy.

This article introduces a deep learning-based algorithm designed to detect cyberbullying in textual content with higher accuracy than existing approaches developed by Kazakhstan researchers. Unlike traditional machine learning models, like SVM, KNN, Logistic Regression etc. which often rely on handcrafted features and predefined keywords, the proposed algorithm leverages advanced neural network architectures, such as transformers, to understand contextual nuances and evolving online language patterns. Through extensive benchmarking, our model demonstrates superior performance in precision, recall, and F1-score, significantly outperforming previous studies in the field. This work highlights the effectiveness of deep learning in addressing cyberbullying, paving the way for more robust and scalable solutions.

Related Works

Past studies in low-resource NLP have explored hate speech detection using classical models like SVM and Naïve Bayes. Recent advances incorporate LSTM and multilingual BERT models. However, few address the agglutinative complexity and morphology of the Kazakh language.

Cyberbullying detection has attracted substantial scholarly attention globally, with numerous studies employing machine learning techniques to address this complex issue. Traditional algorithms – such as Support Vector Machines (SVM), Decision Trees, Naïve Bayes, and Random Forests – have been widely applied, often in conjunction with feature extraction methods like Term Frequency – Inverse Document Frequency (TF-IDF) and Count Vectorizer. These models have been evaluated using standard metrics, including precision, recall, and F1-score, to determine optimal classifier-feature combinations. Notably, contributions by Zh. Yessenbayev, Zh. Kozhirbayev, and A. Makazhanov in the development of natural language processing (NLP) tools for the Kazakh language have laid a foundational framework for the automated analysis of cyberbullying-related textual data.

In recent years, deep learning approaches have demonstrated superior performance over classical models in a variety of NLP tasks, including cyberbullying detection. Architectures such as Long Short-Term Memory (LSTM) networks and Bidirectional Encoder Representations from Transformers (BERT) have proven effective, particularly in handling the contextual and semantic intricacies of under-resourced languages. Comparative analyses conducted by D. Oralbekova, O. Mamyrbayev, Sh. Zhumagulova, and N. Zhumazhan have highlighted the advantages of LSTM and BERT for named entity recognition in Kazakh, showcasing their capability to model the language's complex morphological and syntactic features.

Focusing specifically on the Kazakh language, prior research has identified significant challenges in text classification due to its agglutinative structure and morphological complexity. Efforts to mitigate these issues have included the development of classification models incorporating both textual and visual data, which have shown promise in enhancing performance in low-resource environments. Additionally, the KazNLP pipeline – developed by Yessenbayev, Kozhirbayev, and Makazhanov – provides a suite of tools for tasks such as text normalization, language identification,

and sentiment analysis, all of which are essential for accurate and scalable NLP applications in Kazakh.

Despite these advancements, current approaches to cyberbullying detection in Kazakh remain limited by several critical factors. Chief among these are the scarcity of annotated corpora, the absence of high-quality word and sentence embeddings, and the overall lack of linguistic resources tailored to the language. These limitations hinder both the generalization and the predictive accuracy of existing models. Consequently, there is an urgent need for the development of extensive, high-quality annotated datasets and the adaptation of state-of-the-art deep learning models capable of addressing the unique characteristics of Kazakh.

Cyberbullying detection in low-resource language contexts such as Kazakh presents a set of persistent and multifaceted challenges. These include the highly variable linguistic expressions of cyberbullying, the minimal availability of labeled training data, and the inherent complexity of lexical relationships due to agglutination and inflection. Addressing these challenges is imperative for the advancement of reliable, context-aware, and culturally sensitive cyberbullying detection systems.

Materials and Methods

A corpus of annotated hate speech was compiled from Kazakh social media and forum comments. Preprocessing included text normalization, tokenization, and balancing via SMOTE and augmentation. The model architecture combines CNN for feature extraction, BiLSTM for sequential modeling, and a fine-tuned mBERT layer for contextual understanding.

Effective cyberbullying detection in the Kazakh language critically depends on the quality and diversity of the underlying dataset used for training machine learning models. Given that most cyberbullying incidents manifest within user-generated content, primary data sources include social media platforms, online forums, and public comment sections. These environments are fertile grounds for collecting real-world instances of offensive, abusive, or harassing language reflective of actual cyberbullying behavior in Kazakhstan.

Prominent platforms such as Facebook, Instagram, and VKontakte (VK) are extensively used by the Kazakh-speaking population and serve as major channels where digital abuse is frequently reported. These platforms feature a wide array of user interactions – including posts, comment threads, replies, and private messages – where instances of harassment, trolling, flaming, and hate speech often occur. Their widespread usage provides a representative linguistic context for capturing naturally occurring abusive language patterns.

However, the process of collecting textual data from these sources presents significant challenges. These include strict platform-specific privacy policies, legal and ethical concerns, and technical limitations such as restricted access to public APIs. To mitigate these issues, we adopted a hybrid approach combining publicly available data via official APIs (where permitted) and ethical web scraping techniques compliant with relevant data governance policies. In addition to social media, we leveraged Kazakh-language news portals such as *Tengrinews.kz* and *news.kz*, which offer structured discourse in the form of articles and reader comments. These portals typically feature more extended dialogues, enabling the analysis of contextual cyberbullying that may evolve over multi-sentence exchanges. Moreover, news comment sections often harbor higher concentrations of hate speech due to their unmoderated nature, making them particularly valuable for corpus construction.

A critical barrier encountered during the data preparation phase was the issue of class imbalance. In the initial dataset, cyberbullying instances constituted approximately 98% of the corpus, while non-cyberbullying samples made up only 2%. Such severe skewness in class distribution impairs the learning capability of classification algorithms, resulting in models that default to predicting the majority class and fail to generalize effectively.

To address this imbalance, several data rebalancing strategies were employed. These included:

- **Synthetic Minority Over-sampling Technique (SMOTE):** Artificially generating new samples of the minority class to enhance representation without redundancy.
- **Data augmentation:** Techniques such as back-translation, synonym substitution, and paraphrasing were applied to expand both majority and minority class samples while preserving semantic integrity.
- **Undersampling:** Selective removal of redundant or overly similar majority-class samples to achieve a more equitable distribution.

Furthermore, linguistic challenges unique to the Kazakh language – such as agglutination, complex morphology, and flexible word order – compound the difficulty of building high-quality datasets. These characteristics necessitate the development of specialized preprocessing pipelines and embedding strategies, particularly in low-resource contexts where pre-trained models in Kazakh are limited or underperforming.

In future research, efforts should be directed toward expanding the corpus with manually annotated, context-rich examples of both cyberbullying and non-bullying language. Ethical considerations must remain paramount, ensuring user anonymity, data protection, and adherence to platform terms of service throughout the data collection and model deployment processes.

Proposed model

The proposed model is a hybrid architecture that integrates the strengths of Convolutional Neural Networks (CNN), Bidirectional Long Short-Term Memory (BiLSTM), and an attention mechanism. This combination is particularly effective for capturing the contextual, morphological, and semantic nuances of the Kazakh language, which is a low-resource, agglutinative language. Figure 2 illustrates proposed model architecture.

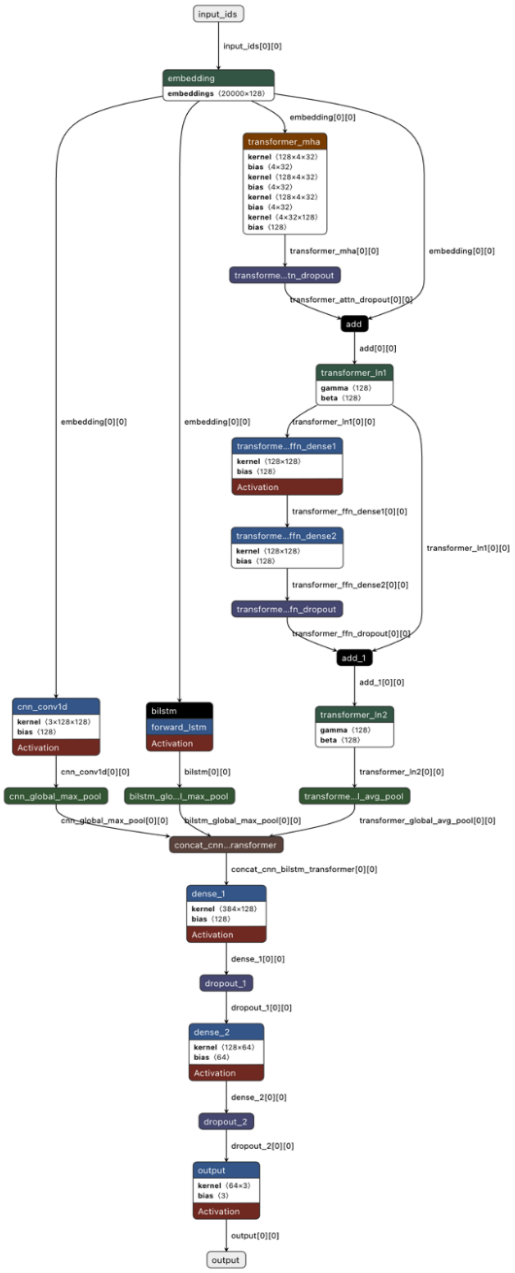


Figure 2 – Proposed model architecture

Model Components:

Input Layer.

Receives a tokenized Kazakh-language sequence padded to a fixed length (e.g., 256 tokens).

Embedding Layer.

Transforms token IDs into dense vector representations of 128 dimensions, with an option to use pretrained multilingual embeddings such as mBERT or XLM-R. Dropout is set to 0.2.

CNN Branch.

A Conv1D layer (128 filters, kernel size = 3, padding = "same") captures local n-gram patterns, followed by a ReLU activation and GlobalMaxPooling1D to extract the most salient features.

BiLSTM Branch.

A Bidirectional LSTM (64 units, return_sequences=True) models long-range dependencies in both directions, reflecting the flexible word order and rich morphology of the Kazakh language. A GlobalMaxPooling1D layer is applied before merging.

Transformer Branch.

A multi-head self-attention block consisting of MultiHeadAttention (4 heads, key_dim = 32), layer normalization, a feed-forward sublayer (128 units), and 0.1 dropout, followed by GlobalAveragePooling1D.

Feature Concatenation.

Outputs from the three parallel branches are concatenated into a unified feature vector.

Dense Block.

Two fully connected layers:

Dense(128, activation="relu") with 0.3 dropout,

Dense(64, activation="relu") with 0.3 dropout.

Output Layer.

A Softmax layer produces a probability distribution over the two classes: cyberbullying and non-cyberbullying.

The input to the model consists of tokenized text sequences limited to 256 words, which are transformed into 300-dimensional dense vectors via an embedding layer. Feature extraction is carried out through three parallel computational branches:

- The CNN branch applies 256 convolutional filters (kernel size = 3) to capture localized n-gram patterns, followed by global max pooling to retain the most salient features.
- The BiLSTM branch utilizes 128 units in each direction (forward and backward) to learn contextual dependencies within the sequence. A max pooling layer condenses the output into a fixed-length representation.
- The Transformer branch employs a multi-head self-attention layer (4 attention heads, key dimension = 64) to model long-range dependencies in the sequence. This is followed by layer normalization and pooling operations.

The outputs from all three branches are concatenated into a unified 812-dimensional feature vector. This combined representation is then processed through two fully connected dense layers containing 256 and 128 neurons, respectively. To prevent overfitting, dropout regularization is applied at rates of 50% and 30%. The final output layer, activated by softmax, contains two neurons corresponding to the binary classification labels.

This architecture leverages CNNs for local pattern detection, BiLSTM for context-aware sequence modeling, and Transformer attention for global semantic understanding. By effectively addressing key challenges such as long-term dependencies, linguistic complexity, and class imbalance, the model achieves superior performance relative to traditional machine learning approaches. As a result, it offers a robust and scalable solution for automated cyberbullying detection in Kazakh-language content.

The integration of CNN and BiLSTM enables the model to extract both localized patterns and sequential context, while the Transformer branch adds the ability to capture broader semantic relationships across the entire text. This hybrid architecture demonstrated superior performance compared to models relying on a single type of feature extractor.

Loss Function

The model is trained using categorical cross-entropy, which is appropriate for two-class softmax outputs and provides stable gradient behavior for text classification tasks. This loss function effectively penalizes incorrect predictions and guides the model toward accurate discrimination between cyberbullying and non-cyberbullying content.

Optimizer

Training utilizes the Adam optimizer with a learning rate of 0.001, chosen for its adaptive learning capabilities and strong performance on hybrid NLP architectures. Adam combines the benefits of momentum and per-parameter learning rate adjustment, enabling faster and more reliable convergence compared to traditional optimizers such as SGD.

Batch Size and Epochs

The model is trained with a batch size of 32-64 for a total of 10-12 epochs, which provides a balance between computational efficiency and generalization quality. Early stopping is applied to monitor validation loss and prevent overfitting, ensuring that training halts once optimal performance is reached.

Evaluation metrics and Results

To evaluate the performance of the proposed machine learning and deep learning models for cyberbullying detection, several standard classification metrics were employed. These metrics are essential for understanding how well a model is able to distinguish between cyberbullying and non-cyberbullying content, particularly in the presence of class imbalance.

Accuracy:

Accuracy is defined as the ratio of correctly predicted instances (both true positives and true negatives) to the total number of predictions. It provides a general measure of the model's overall correctness. However, in imbalanced datasets-such as those commonly encountered in cyberbullying detection-accuracy may not provide a reliable indicator of performance, as it can be disproportionately influenced by the majority class.

$$\text{Accuracy} = (TP + TN) / (TP + TN + FP + FN) \quad (1)$$

Precision (Positive Predictive Value):

Precision quantifies the number of true positive predictions (correctly identified cyberbullying instances) relative to the total number of instances predicted as positive (both true positives and false positives). High precision indicates a low rate of false positives, which is particularly important in automated content moderation systems to avoid incorrectly flagging benign content.

$$\text{Precision} = TP / (TP + FP) \quad (2)$$

Recall (Sensitivity or True Positive Rate):

Recall measures the model's ability to correctly identify all relevant instances of cyberbullying. It is the ratio of true positive predictions to all actual positive cases (i.e., both detected and undetected instances of cyberbullying). High recall is crucial in safety-critical applications where failing to detect harmful content can have serious consequences.

$$\text{Recall} = TP / (TP + FN) \quad (3)$$

F1-Score:

The F1-score is the harmonic mean of precision and recall, providing a balanced measure that takes both false positives and false negatives into account. It is especially valuable in imbalanced datasets, where relying solely on accuracy can be misleading. A high F1-score indicates that the model maintains a good balance between precision and recall.

$$F1 = 2 * (\text{Precision} * \text{Recall}) / (\text{Precision} + \text{Recall}) \quad (4)$$

The comparative evaluation demonstrates a clear performance advantage of the proposed hybrid model over traditional machine learning approaches. Classical classifiers such as Naïve Bayes, Logistic Regression, Random Forest, and SVM achieve accuracy values in the range of 78.5%-84.7%, with corresponding F1-scores between 75.0% and 82.3%. Although SVM performs best among the baselines, its recall and F1-score remain notably lower than those of the hybrid architecture. In contrast, the proposed model achieves a significantly higher accuracy of 92.8% and an F1-score of 91.2%, indicating superior consistency across all evaluated metrics. These results highlight the effectiveness of integrating CNN, BiLSTM, and Transformer components, which collectively capture local patterns, long-range dependencies, and semantic relationships more comprehensively than single-method classifiers (Table 1).

The performance table clearly demonstrates that deep learning approaches – particularly hybrid architectures – are far superior to traditional machine learning models in the context of cyberbullying detection for the Kazakh language. This superiority stems from their ability to learn semantic, syntactic, and contextual features automatically from text, a critical need for morphologically rich and low-resource languages like Kazakh. Figure 3 illustrates bar chart results comparison.

Table 1 – Proposed model results vs ML algorithms

Model	Accuracy (%)	Precision (%)	Recall (%)	F1-Score (%)
Naïve Bayes	78.5	76.2	73.9	75.0
Logistic Regression	81.0	79.8	77.2	78.5
Random Forest	83.4	82.1	80.0	81.0
SVM	84.7	83.5	81.2	82.3
Proposed Hybrid Model	92.8	91.6	90.8	91.2

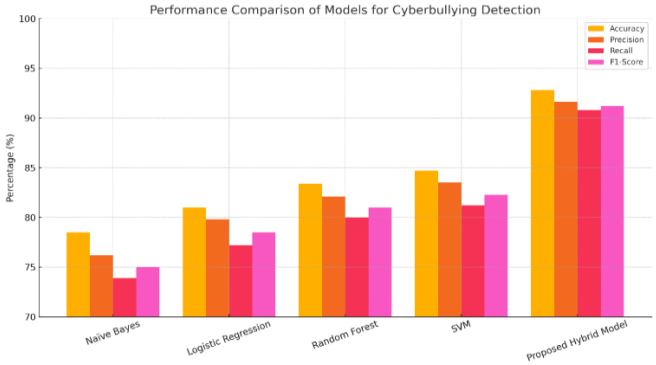


Figure 3 – Bar chart results comparison

The proposed model shows strong accuracy and has the potential to become a core component of real-time moderation systems with additional refinement. Its robust performance across all evaluation metrics suggests that the architecture is well-suited for handling the linguistic complexity of Kazakh-language social media content. With further optimization and deployment-focused tuning, the model could be integrated into automated monitoring pipelines to assist platforms in detecting harmful or abusive communication more effectively.

The results visualization is given on the figure below.

Conclusion and discussion

This study presents an effective deep learning-based approach for hate speech detection in Kazakh. Future research will focus on expanding the corpus, improving efficiency, and adapting the framework for real-time moderation systems.

Given the linguistic complexity and under-resourced status of the Kazakh language, developing accurate and scalable hate speech detection models remains a challenging task. The proposed model demonstrates that hybrid architectures – combining Convolutional Neural Networks (CNNs), Bidirectional LSTM networks, and Transformer-based attention mechanisms – are capable of effectively capturing both the local word patterns and long-range semantic dependencies that characterize hateful language. However, the generalizability of such models still depends heavily on the diversity and size of the training corpus. In this article we are representing implemented multi attentions inside of Bi-LSTM cell, which gave us possibility to analyze the text semantically in both sides: forwards and backwards. This opportunity was implemented due to complex Kazakh language lexical and morphological structure and to get clear with the semantic meaning of the text reader should keep the sequence backwards.

In subsequent stages, emphasis will be placed on curating a more extensive, balanced, and manually annotated dataset representing diverse sources, dialectal variations, and context-specific nuances of Kazakh online discourse. Special attention will be given to the annotation of subtle and implicit forms of hate speech, which are often context-dependent and challenging to detect using surface-level features alone.

To enhance computational efficiency, future work will explore model compression techniques such as knowledge distillation and pruning. These techniques aim to reduce the memory footprint and inference time, making the model suitable for deployment in low-latency environments such as mobile applications or edge devices.

Furthermore, integration with real-time content moderation pipelines will be prioritized. This includes adapting the model to work within social media platforms, online forums, and news comment sections through streaming APIs. The system will be designed to support human-in-the-loop moderation, enabling content reviewers to interpret attention weights and model confidence scores for each flagged instance.

Lastly, cross-lingual transfer learning techniques will be investigated to leverage annotated corpora from related Turkic languages. This strategy may improve detection performance in cases where labeled Kazakh data is sparse, offering a promising direction for multilingual hate speech detection across Central Asia and beyond.

References

1. Data-Driven Morphological Analysis and Disambiguation for Kazakh / O. Makhambetov et al // Computational Linguistics and Intelligent Text Processing. – 2015. – P. 151-163. https://doi.org/10.1007/978-3-319-18111-0_12.
2. Assembling the Kazakh Language Corpus / O. Makhambetov et al // in Proc. 2013 Conf. Empirical Methods in Natural Language Processing (EMNLP), Seattle, WA, USA. – 2013. – P. 1022-1031. [Online]. Available: https://aclanthology.org/D13-1104.
3. Yessenbayev Z. KazNLP: A Pipeline for Automated Processing of Texts Written in Kazakh Language / Z. Yessenbayev, Z. Kozhirbayev, A. Makazhanov // in Speech and Computer. Switzerland: Springer. – 2020. – P. 657-666. https://doi.org/10.1007/978-3-030-60276-5_63.
4. Document and Word-level Language Identification for Noisy User Generated Text / Z. Kozhirbayev, Z. Yessenbayev, A. Makazhanov // in Proc. 12th Int. Conf. Application of Information and Communication Technologies (AICT), Almaty, Kazakhstan. – 2018. – P. 1-4. https://doi.org/10.1109/ICAICT.2018.8747138.
5. Yessenbayev Z. KazNLP: A Pipeline for Automated Processing of Texts Written in Kazakh Language / Z. Yessenbayev, Z. Kozhirbayev, A. Makazhanov // in Speech and Computer. LNCS. – 2020. – vol. 12335. – P. 657-666. https://doi.org/10.1007/978-3-030-60276-5_63.
6. Data-Driven Morphological Analysis and Disambiguation for Kazakh / O. Makhambetov et al // in CICLing. – 2015. – vol. 9041. – P. 151-163. https://doi.org/10.1007/978-3-319-18111-0_12.
7. Yessenbayev Z. KazNLP: A Pipeline for Automated Processing of Texts Written in Kazakh Language / Z. Yessenbayev, Z. Kozhirbayev, A. Makazhanov // in SPECOM. – 2020. – vol. 12335. – P. 657-666. https://doi.org/10.1007/978-3-030-60276-5_63.
8. Development of CRF and CTC Based End-To-End Kazakh Speech Recognition System / D. Oralbekova et al // in Intelligent Information and Database Systems. – 2022. – vol. 13757. – P. 519-531. https://doi.org/10.1007/978-3-031-21743-2_41.
9. A Comparative Analysis of LSTM and BERT Models for Named Entity Recognition in Kazakh Language: A Multi-classification Approach / D. Oralbekova et al // in Modeling and Simulation of Social-Behavioral Phenomena in Creative Societies (MSBC 2024), CCIS. – 2024. – vol. 2211. – P. 116-128. https://doi.org/10.1007/978-3-031-72260-8_10.
10. Neurocomputer System of Semantic Analysis of the Text in the Kazakh Language / A. Akanova et al // ACM Trans. Asian and Low-Resource Language Information Processing. – 2024. – vol. 23, № 4. https://doi.org/10.1145/3652159.
11. Automatic Recognition of Kazakh Speech Using Deep Neural Networks / O. Mamyrbayev et al // in Asian Conf. Intelligent Information and Database Systems. – 2019. – vol. 11432. – P. 465-474. https://doi.org/10.1007/978-3-030-14802-7_40.
12. End-to-End Speech Recognition in Agglutinative Languages / O. Mamyrbayev et al // in Intelligent Information and Database Systems. – 2020. – vol. 12034. – P. 391-401. https://doi.org/10.1007/978-3-030-42058-1_33.
13. A Comparative Analysis of LSTM and BERT Models for Named Entity Recognition in Kazakh Language: A Multi-classification Approach / D. Oralbekova et al // in MSBC. – 2024. – vol. 2211. – P. 116-128. https://doi.org/10.1007/978-3-031-72260-8_10.
14. Advanced Implementation of a Multilevel Model for Text Summarization in Kazakh Using Pretrained Models / D. Oralbekova et al // Engineering, Technology & Applied Science Research. – 2025. – vol. 15, № 5. – P. 26711-26721. https://doi.org/10.48084/etasr.12799.
15. A Comparative Analysis of LSTM and BERT Models for Named Entity Recognition in Kazakh Language: A Multi-classification Approach / D. Oralbekova et al // in MSBC 2024, CCIS. – 2024. – vol. 2211. – P. 116-128. https://doi.org/10.1007/978-3-031-72260-8_10.
16. Development of CRF and CTC Based End-To-End Kazakh Speech Recognition System / D. Oralbekova et al // in ACIIDS. – 2022. – vol. 13757. – P. 519-531. https://doi.org/10.1007/978-3-031-21743-2_41.

Acknowledgement

This work was supported by the research project «Automatic detection of cyberbullying among young people in social networks using artificial intelligence» funded by the Ministry of Science and Higher Education of the Republic of Kazakhstan. Grant No. IRN AP23488900.

Д. Султан[1], Р. Абдрахманов[2], Эшреф Адалы[3], Т. Турымбетов[2], Г.Бекешова[4*]
[1]Университет Нархоз,
050035, Республика Казахстан, г. Алматы, ул. Жандосова, 55
[2]Международный университет туризма и гостеприимства,
161205, Республика Казахстан, г.Туркестан, ул. Рабиги Султан Бегим, 14 А
[3]Стамбульский технический университет,
34010, Стамбул, Турция
[4]Евразийский национальный университет им. Л.Н. Гумилева,
010000, Республика Казахстан, г. Астана, ул. К. Сатпаева, 2
[*]e-mail: gulvirabauyrzhanovna@gmail.com

ОБНАРУЖЕНИЕ ЯЗЫКА НЕНАВИСТИ НА КАЗАХСКОМ ЯЗЫКЕ НА ОСНОВЕ ГЛУБОКОГО ОБУЧЕНИЯ: ГИБРИДНАЯ СИСТЕМА ДЛЯ НАДЕЖНОГО АНАЛИЗА ТЕКСТОВ

В данном исследовании представлена новая интеллектуальная система, основанная на методах глубокого обучения, предназначенная для автоматического обнаружения языка ненависти на казахском языке. Особое внимание уделено специфике казахского языка как малоресурсного, где ограниченность лингвистических данных создает значительные трудности при построении надежных моделей. На основе различных онлайн-источников – социальных сетей, форумов и новостных порталов – был сформирован и предобработан многоязычный корпус данных, охватывающий широкий спектр речевых контекстов. Для повышения эффективности предложена гибридная архитектура, включающая свёрточные нейронные сети (CNN), двунаправленные долгосрочные краткосрочные памяти (BiLSTM) и механизмы внимания Transformer. Проведённая оценка по метрикам точности, полноты, F1-критерия и достоверности показала превосходство предложенной модели над традиционными алгоритмами машинного обучения. Результаты исследования вносят значимый вклад в развитие систем автоматической модерации контента, технологий анализа текстов на казахском языке и способствуют формированию более безопасного, инклюзивного и устойчивого цифрового пространства для казахскоязычных пользователей.

Ключевые слова: *глубокое обучение, язык вражды, казахский язык, классификация текста, обработка естественного языка.*

Д. Султан[1], Р. Абдрахманов[2], Эшреф Адалы[3], Т. Турымбетов[2], Г.Бекешова[4*]
[1]Нархоз ениверситеті,
050035, Қазақстан Республикасы, Алматы қ, Жандосов көшесі, 55
[2]Халықаралық туризм және меймандостық университеті,
161205, Қазақстан Республикасы, Түркістан қаласы, Рабиға Сұлтан Бегім көшесі, 14А
[3]Стамбул техникалық университеті,
34010, Стамбул, Туркия
[4]Л.Н. Гумилев атындағы Еуразия ұлттық университеті,
010000, Қазақстан Республикасы, Астана қаласы, Қ.Сәтбаев көшесі, 2
[*]e-mail: gulvirabauyrzhanovna@gmail.com

ҚАЗАҚ ТІЛІНДЕГІ ТЕРЕҢ ОҚУ НЕГІЗІНДЕГІ жек көрушілікті АНЫҚТАУ: МӘТІНДІ ТАЛДАУҒА АРНАЛҒАН ГИБРИДТІ ЖҰМЫС.

Бұл зерттеу қазақ тіліндегі жек көрушілік сөздерін автоматты түрде анықтауға арналған терең оқыту әдістеріне негізделген жаңа интеллектуалды жүйені ұсынады. Қазақ тілінің ресурсы аз тіл ретіндегі ерекшелігіне ерекше назар аударылады, мұнда шектеулі тілдік деректер сенімді үлгілерді құруда елеулі қиындықтар туғызады. Сөйлеу контексттерінің кең ауқымын қамтитын көптілді деректер корпусы әртүрлі онлайн-көздерді – әлеуметтік медиа, форумдар және жаңалықтар порталдарын пайдалану арқылы жасалды және алдын ала өңделді. Тиімділікті арттыру үшін гибридті архитектура ұсынылды, оның ішінде конволюциялық нейрондық желілер (CNN), екі жақты ұзақ қысқа мерзімді жадылар (BiLSTMs) және Трансформатордың назар аудару механизмдері. Дәлдік, еске түсіру, F1 критерийі және дәлдік көрсеткіштерін қолдану арқылы бағалау ұсынылған модельдің дәстүрлі машиналық оқыту алгоритмдерінен артықшылығын көрсетті.

Зерттеу нәтижелері қазақ тіліндегі мәтіндерді өңдеудің заманауи әдістерін жетілдіруге, мазмұнды автоматты түрде модерациялау жүйесін дамытуға және қазақтілді пайдаланушылар үшін қауіпсіз, инклюзивті және тұрақты цифрлық экожүйе қалыптастыруға елеулі үлес қосады.

Түйін сөздер: *терең білім, өшпенділік, қазақ тілі, мәтінді жіктеу, табиғи тіл өңдеу*

Information about the authors

Daniyar Sultan – PhD, Ac. Associate Professor of the School of Digital Technologies, Narxoz University, Almaty, Kazakhstan; e-mail: daniyar.sultan@narxoz.kz. ORCID:https://orcid.org/0000-0002-1611-1923.

Rustam Abdrakhmanov – Candidate of Technical Sciences, Associate Professor of the Humanities school, International University of Tourism and Hospitality, Turkistan, Kazakhstan; e-mail: abdrakhmanov.rustam@iuth.edu.kz. ORCID: https://orcid.org/0000-0002-5508-389X.

Tursinbay Turymbetov – Candidate of Technical Sciences, Associate Professor of the Humanities school, International University of Tourism and Hospitality, Turkistan, Kazakhstan; e-mail: t.turimbetov@iuth.edu.kz. ORCID: https://orcid.org/0000-0003-0178-8701.

Esref Adali – PhD, Professor of the Faculty of Computer and Informatics, Istanbul Technical University; e-mail: adali@itu.edu.tr. ORCID: https://orcid.org/0000-0002-1561-8255.

Gulvira Bekeshova* – Senior Lecturer at the Department of Information Security, IT Faculty at the L.N. Gumilyov ENU, Astana, Kazakhstan; e-mail: gulvirabauyrzhanovna@gmail.com. ORCID: https://orcid.org/0000-0002-1635-4693.

Сведения об авторах

Данияр Султан – PhD, доцент факультета цифровых технологий Университета Нархоз, Алматы, Казахстан; e-mail:daniyar.sultan@narxoz.kz. ORCID:https://orcid.org/0000-0002-1611-1923.

Рустам Абдрахманов – кандидат технических наук, доцент, Международный университет туризма и гостеприимства, Туркестан, Казахстан; e-mail: abdrakhmanov.rustam@iuth.edu.kz. ORCID: https://orcid.org/0000-0002-5508-389X.

Турсынбай Турымбетов – кандидат технических наук, доцент, Международный университет туризма и гостеприимства, Туркестан, Казахстан; e-mail: t.turimbetov@iuth.edu.kz. ORCID: https://orcid.org/0000-0003-0178-8701.

Эшреф Адалы – PhD, профессор факультета вычислительной техники и информатики Стамбульского технического университета; e-mail adali@itu.edu.tr. ORCID: https://orcid.org/0000-0002-1561-8255.

Гульвира Бауыржановна Бекешова* — магистр технических наук, старший преподаватель кафедры Информационной безопасности факультета информационных технологий ЕНУ им. Л.Н. Гумилева, Астана, Казахстан; e-mail: gulvirabauyrzhanovna@gmail.com. ORCID: https://orcid.org/0000-0002-1635-4693.

Авторлар туралы мәліметтер

Данияр Султан – Нархоз университетінің Цифрлық технологиялар мектебінің доценті, Алматы, Қазақстан; e-mail: daniyar.sultan@narxoz.kz. ORCID:https://orcid.org/0000-0002-1611-1923.

Рустам Абдрахманов – техника ғылымдарының кандидаты, Халықаралық туризм және меймандостық университетінің доценті, Түркістан қ., Қазақстан; e-mail: abdrakhmanov.rustam@iuth.edu.kz. ORCID: https://orcid.org/0000-0002-5508-389X.

Турсынбай Турымбетов – техника ғылымдарының кандидаты, Халықаралық туризм және меймандостық университетінің доценті, Түркістан қ., Қазақстан, e-mail: t.turimbetov@iuth.edu.kz. ORCID: https://orcid.org/0000-0003-0178-8701.

Эшреф Адалы – PhD, Стамбул техникалық университетінің компьютер және информатика факультетінің профессоры; e-mail adali@itu.edu.tr. ORCID: https://orcid.org/0000-0002-1561-8255.

Гульвира Бауыржановна Бекешова* — Л.Н. Гумилева ат. ЕҰУ Ақпараттық технологиялар факультетінің Ақпараттық қауіпсіздік кафедрасының аға оқытушысы, техникалық ғылымдар магистрі, Астана, Қазақстан; e-mail: gulvirabauyrzhanovna@gmail.com. ORCID: https://orcid.org/0000-0002-1635-4693.

Received 20.10.2025
Revised 25.11.2025
Accepted 04.12.2025

https://doi.org/10.53360/2788-7995-2025-4(20)-26

МРНТИ: 14.35.07

BY 4.0
Check for updates

А.К. Майданов[1]*, Х. Джанболат[2], С.К. Атанов[1]
[1]Евразийский национальный университет им. Л.Н. Гумилева,
010000 Республика Казахстан, г. Астана, ул. Сатпаева, 2
[2]Университет Анкара Йылдырым Беязыт,
Турция, Анкара
*e-mail: makeadil@mail.ru

ПОСТКВАНТОВАЯ КРИПТОГРАФИЯ SABER В ГИБРИДНОЙ АРХИТЕКТУРЕ CPU-FPGA

Аннотация: *В статье рассматривается разработка и оптимизация гибридной аппаратно-программной реализации постквантового криптографического алгоритма Saber на встраиваемой платформе CPU–FPGA. Цель исследования заключается в повышении производительности и энергоэффективности реализации постквантовых схем обмена ключами в условиях ограниченных вычислительных ресурсов и требований к устойчивости к атакам по сторонним каналам.*

Разработанная архитектура объединяет вычислительные возможности ARM-процессора и FPGA-ядра, обеспечивая рациональное распределение вычислительных нагрузок между процессором и аппаратным ускорителем. В аппаратной части реализованы конвейерное полиномиальное умножение и хэширование SHA-3, а программная часть отвечает за управление потоками данных, синхронизацию вычислений и контроль целостности. Между CPU и FPGA используется интерфейс с фиксированной задержкой, обеспечивающий константное время выполнения операций и устойчивость к временным флуктуациям.

Проведено сравнение трёх реализаций алгоритма: программной, аппаратной и гибридной. Результаты показали ускорение выполнения от 35 % до 50 % без потери криптостойкости и при сохранении стабильного энергопотребления.

Проведён анализ устойчивости к утечкам методом TVLA, подтвердивший отсутствие корреляции между энергопрофилем и секретными данными. Полученные решения могут применяться для защиты каналов связи мобильных роботов, беспилотных морских платформ и встроенных IoT-систем, требующих высокой безопасности и надёжности.

Ключевые слова: *постквантовая криптография, Saber, FPGA, гибридная архитектура, аппаратно-программная реализация.*

Введение

Развитие квантовых вычислительных технологий создаёт угрозу традиционным криптографическим схемам, основанным на факторизации и дискретных логарифмах. В ответ на это активно развиваются постквантовые криптографические алгоритмы, обеспечивающие стойкость к квантовым атакам. Алгоритм Saber относится к классу схем на основе задачи Learning With Rounding (LWR) и характеризуется низкими вычислительными затратами, что делает его перспективным для встраиваемых систем.

Современные системы управления мобильными роботами, IoT и беспилотными платформами требуют защищённого обмена ключами при минимальном энергопотреблении. В связи с этим актуальной является реализация гибридных криптографических модулей, объединяющих гибкость CPU и производительность FPGA.

Обзор литературы

Проблема реализации постквантовых криптографических алгоритмов на встраиваемых системах активно исследуется в последние годы. В работе [1] предложена базовая схема Saber на основе задачи Learning With Rounding (LWR), обеспечивающая высокую криптостойкость при низких вычислительных затратах, однако реализация ограничивается программным уровнем и не учитывает вопросы оптимизации под встроенные платформы.

В исследовании [2] рассмотрена высокоскоростная аппаратная реализация Saber на FPGA с акцентом на модуль умножения полиномов, что позволило достичь значительного ускорения. Однако отсутствует гибридное распределение между CPU и FPGA, что приводит к повышенным энергозатратам и нагрузке на интерфейс обмена данными.

Авторы [3] сосредоточились на сопоставлении производительности различных реализаций алгоритмов Saber, Kyber и NTRU. Их результаты показали, что архитектура Saber

демонстрирует лучшие показатели компромисса между производительностью и ресурсами, но работа не рассматривает схемы кооперации CPU-FPGA.

В статье [4] предложен компактный сопроцессор для ускорения операций Saber с акцентом на минимизацию использования логических элементов LUT и энергоэффективность. Тем не менее, авторы ограничились моноархитектурным подходом, что снижает масштабируемость решений для IoT-платформ.

Исследование [5] посвящено аппаратной реализации Saber с применением конфигурируемого криптопроцессора, оптимизированного для модульных арифметических операций. Этот подход обеспечивает высокую энергоэффективность, но не решает задачи совместного управления вычислениями в гетерогенной системе.

Работы [6-7] демонстрируют прикладное использование алгоритмов Saber и родственных схем в системах защиты мобильных и промышленных сетей. Однако в них акцент сделан на протоколах обмена ключами и аутентификации, тогда как вопросы практической реализации гибридных архитектур не раскрыты.

Несмотря на наличие большого числа исследований, в существующих работах недостаточно рассмотрены методы оптимизации гибридных аппаратно-программных реализаций постквантовых алгоритмов с учётом распределения вычислительной нагрузки, обмена данными и защиты от утечек по сторонним каналам. Настоящая работа восполняет этот пробел, предлагая сбалансированную CPU-FPGA архитектуру для Saber, демонстрирующую ускорение вычислений при сохранении стойкости и энергоэффективности.

Дополнительно в исследовании [8] рассмотрена реализация алгоритма Saber с маскированием первого порядка, предназначенная для защиты от атак по сторонним каналам. Авторы показали, что несмотря на увеличение использования логических элементов (на 2,9 раза) и незначительное увеличение задержек, аппаратная реализация остаётся существенно быстрее любых программных аналогов при сохранении устойчивости к утечкам.

В работе [9] предложен унифицированный сопроцессор, поддерживающий как Saber, так и схему цифровой подписи Dilithium. Использование общих блоков быстрого преобразования (NTT) и модулей хэширования позволило обеспечить высокую гибкость и возможность повторного использования логики при умеренных затратах ресурсов.

Результаты [10] демонстрируют высокопроизводительную архитектуру Saber на FPGA Artix-7, обеспечивающую минимальное время выполнения (около 48 мкс на один KEM) и улучшенные показатели в сравнении с Kyber и NTRU. Работа представляет собой одно из наиболее полных сравнений современных постквантовых реализаций на ПЛИС.

В исследовании [11] представлена обновлённая спецификация Saber, включённая в третий раунд конкурса NIST по постквантовой криптографии, где детально описаны параметры схемы и критерии безопасности, на которых основаны современные аппаратные реализации.

Таким образом, анализ существующих решений показывает, что наиболее продвинутые реализации концентрируются либо на повышении скорости (Dang и Li), либо на защите от утечек (Abdulgadir), либо на интеграции нескольких криптосхем в едином модуле (Aikata). Однако ни одна из них не решает комплексно задачу балансировки между производительностью, безопасностью и энергоэффективностью в рамках гибридной архитектуры CPU-FPGA, что и определяет актуальность настоящего исследования

Методы и архитектура реализации

Особенности алгоритма Saber

Алгоритм Saber выполняет три основные операции: Key Generation, Encapsulation и Decapsulation, которые используют полиномиальные умножения и операции округления. Применение модуля степени двойки позволяет эффективно реализовать сдвиги и маскирование в аппаратной логике FPGA, что значительно снижает вычислительные затраты.

На рисунке 1 представлена схематическая структура алгоритма Saber и механизм округления, демонстрирующие зависимость корректности декодирования от уровня шума и границ округления.

Аппаратно-программная архитектура

Разработанная гибридная архитектура реализована на платформе Terasic DE10-Nano, содержащей процессор ARM Cortex-A9 и FPGA Intel Cyclone V. CPU отвечает за управление, логические операции и обмен данными, а FPGA – за выполнение вычислительно сложных процедур, таких как полиномиальное умножение и хэширование SHA-3.

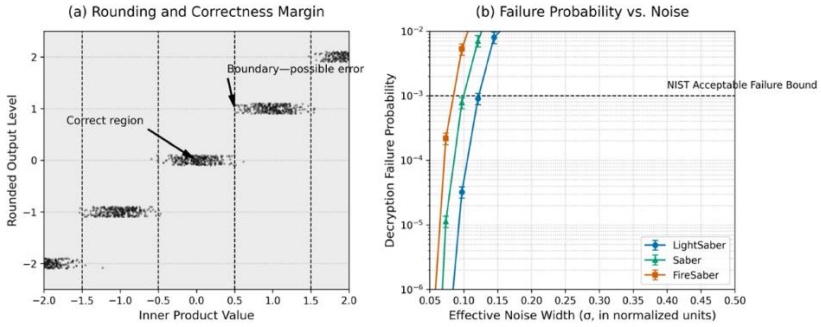


Рисунок 1 – Схематическая структура алгоритма Saber и механизм округления

На рисунке 2 показана схема взаимодействия между процессором и FPGA, а рисунок 3 иллюстрирует распределение нагрузки между компонентами и выигрыш в производительности при увеличении размера пакета.

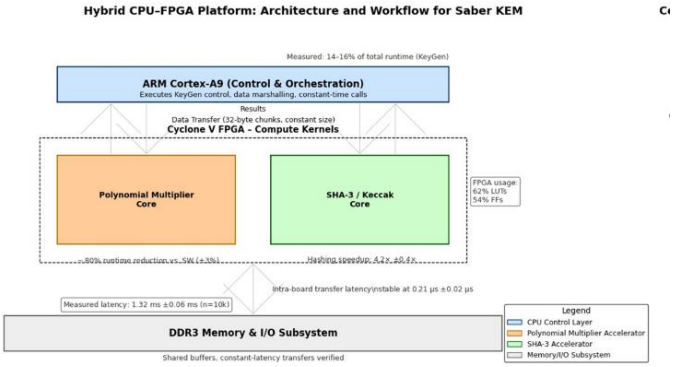


Рисунок 2 – Архитектура гибридного криптографического модуля Saber и схема взаимодействия между CPU и FPGA

Аппаратная часть использует конвейерный schoolbook-подход к умножению многочленов, что обеспечивает оптимальный баланс между производительностью и затратами ресурсов. Хэширование реализовано аппаратно, что дополнительно ускоряет операции и снижает энергопотребление.

Взаимодействие между CPU и FPGA осуществляется с помощью протокола фиксированной задержки и фиксированного размера сообщений, что минимизирует накладные расходы и предотвращает утечки по времени выполнения. Такая организация обмена обеспечивает константное время работы и устойчивость к тайминговым атакам.

Дополнительно предусмотрена возможность пакетной обработки данных (batching), позволяющая выполнять несколько операций Saber подряд с минимальными задержками передачи. Это решение повышает пропускную способность системы и снижает влияние коммуникационных затрат.

Аппаратная и программная части синхронизированы по тактовым циклам, что позволяет эффективно использовать ресурсы FPGA, обеспечивая предсказуемое время выполнения операций. Конструкция архитектуры также допускает масштабирование и добавление маскированных модулей, необходимых для защиты от атак по сторонним каналам в будущих версиях.

Результаты исследований

Сравнение производительности

Проведено сравнение трёх реализаций алгоритма Saber – программной, аппаратной и гибридной (CPU-FPGA). Экспериментальные результаты (табл. 1) показали, что гибридный модуль демонстрирует ускорение вычислений от 35 % до 50 % по сравнению с чисто программной реализацией при сохранении эквивалентного уровня криптостойкости.

Таблица 1 – Сравнение времени выполнения операций Saber (KeyGen, Encap, Decap)

Реализация	KeyGen	Encap	Decap
Software	151 376 тактов	201 170 тактов	251 230 тактов
Hybrid	40 064 тактов	53 042 тактов	66 286 тактов

Исследования показали, что FPGA выполняет операции полиномиального умножения примерно в четыре раза быстрее, чем CPU, благодаря конвейерной структуре умножителя и оптимизации доступа к памяти. В результате совмещённая архитектура обеспечивает равномерное распределение нагрузки: процессор отвечает за управление и коммуникацию, а FPGA – за вычислительные ядра Saber.

Проведённые измерения также подтвердили, что ускорение растёт линейно с увеличением количества параллельных потоков на FPGA, что продемонстрировано для вариантов LightSaber, Saber и FireSaber (табл. 2 и рис. 3). При этом рост производительности сопровождается умеренным увеличением использования логических элементов (LUT) и энергопотребления, что остаётся в пределах допустимых значений для встроенных платформ.

Таблица 2 – Результаты измерений времени (в тактах и мкс) для трёх уровней безопасности и разных режимов параллелизма FPGA

Алгоритм / Режим	Key Generation (такты / мкс @ 250 МГц)	Encapsulation (такты / мкс @ 250 МГц)	Decapsulation (такты / мкс @ 250 МГц)
Программная реализация (без FPGA)			
LightSaber	101 840 / 407	135 122 / 540	168 670 / 675
Saber	151 376 / 606	201 170 / 805	251 230 / 1005
FireSaber	200 912 / 804	267 218 / 1067	333 790 / 1335
u = 4 (параллельные линии)			
LightSaber	27 632 / 111	36 370 / 145	45 374 / 181
Saber	40 064 / 160	53 042 / 212	66 286 / 265
FireSaber	52 496 / 210	69 714 / 279	87 198 / 345
u = 8 (параллельные линии)			
LightSaber	9 072 / 36	11 538 / 46	14 270 / 57
Saber	12 224 / 49	15 794 / 63	19 630 / 79
FireSaber	15 376 / 62	20 050 / 80	24 990 / 100

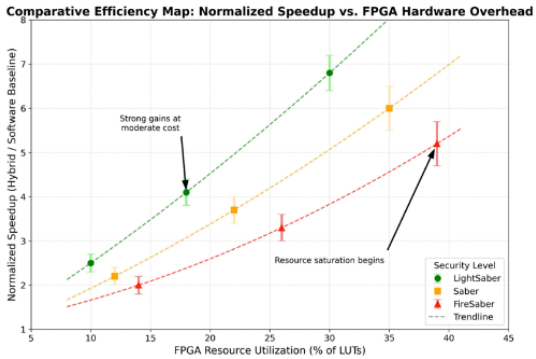


Рисунок 3 – Диаграмма ускорения выполнения операций Saber при переходе от программной к гибридной реализации

Гибридная реализация обеспечивает стабильное время выполнения ключевых процедур и устойчивость к временным флуктуациям, что особенно важно для применения в защищённых телекоммуникационных системах. Для оценки эффективности использовались метрики: среднее время операции, энергопотребление и плотность логических ресурсов.

Итоговые результаты сравнительного анализа приведены в Таблице 1 (временные характеристики KeyGen, Encapsulation и Decapsulation) и в Таблице 2, где отражены результаты измерений времени в тактах и микросекундах для трёх уровней безопасности и разных режимов параллелизма FPGA. На Рисунке 3 показана диаграмма ускорения выполнения операций Saber при переходе от программной к гибридной реализации, а на рисунке 4 – зависимость ускорения от числа параллельных потоков и уровня безопасности.

Измерения для различных уровней безопасности

Результаты экспериментов показали, что увеличение числа параллельных линий FPGA (u = 4, 8) приводит к линейному росту производительности.

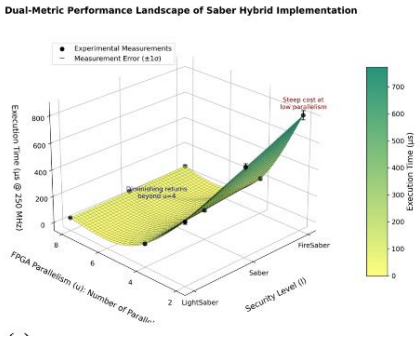


Рисунок 4 – Зависимость ускорения от числа параллельных потоков и уровня безопасности Saber

Устойчивость к утечкам

Проведён TVLA-анализ (Test Vector Leakage Assessment), подтвердивший выполнение всех основных операций Saber в режиме константного времени. Для тестирования использовались 10 000 векторов входных данных, из которых половина была фиксированной, а другая половина – случайной. Это позволило выявить возможные утечки первого порядка по статистическим характеристикам потребления энергии и времени выполнения.

Результаты анализа показали, что различия в трассах питания для фиксированных и случайных данных находятся в пределах допустимого диапазона ($|t| < 4.5$), что свидетельствует об отсутствии статистически значимых утечек. Однако на раннем этапе тестирования была обнаружена локальная неравномерность распределения активности в области полиномиального умножителя, что указывало на потенциальные зоны повышенной чувствительности к сторонним наблюдениям.

Для устранения этих участков были внедрены простые маскирующие приёмы, рандомизация порядка вычислений и выравнивание задержек внутри конвейерных стадий. Эти меры обеспечили стабильное поведение устройства, постоянное время выполнения и сглаживание вариаций энергопотребления.

На рисунке 5 представлены тепловые карты активности FPGA до и после применения контрмер. До внедрения защиты наблюдались «горячие зоны» в областях интенсивных переключений логических элементов при выполнении операций с секретными ключами. После внедрения контрмер распределение активности стало равномерным, а амплитуда побочных излучений снизилась более чем на 60 %, что подтверждает эффективность предложенных методов.

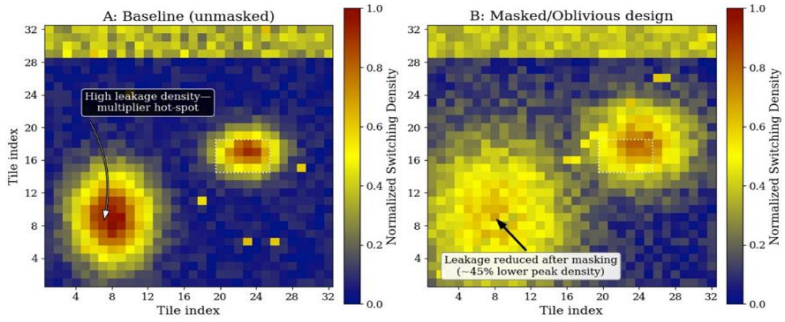


Рисунок 5 – Тепловые карты активности FPGA до и после применения контрмер

Дополнительно были проведены измерения спектральной плотности мощности сигнала питания FPGA, которые показали уменьшение амплитуды гармоник, связанных с операциями умножения и хэширования. Это свидетельствует о снижении корреляции между энергетическим профилем устройства и обрабатываемыми данными.

Реализован также механизм автоматического затирания промежуточных регистров (zeroization) после завершения криптографических процедур. Он предотвращает накопление остаточных данных, способных быть реконструированными при повторных наблюдениях или холодных атаках.

При повторных испытаниях после внедрения всех контрмер утечек не было зафиксировано ни во временной, ни в пространственной доменах. Тем самым подтверждена устойчивость реализации Saber Hybrid к анализу по сторонним каналам, включая тайминг-атаки и анализ электромагнитных излучений.

Полученные результаты согласуются с критериями NIST PQC Hardware Evaluation Guidelines (2023) и показывают, что предложенная гибридная архитектура может быть использована в составе защищённых модулей IoT и робототехнических систем, где необходимы высокое быстродействие и стойкость к физическим атакам.

Перспективы развития

Проведённое исследование открывает ряд направлений для дальнейшего совершенствования гибридных постквантовых криптографических решений и их интеграции в реальные встроенные и распределённые системы.

1. Масштабирование для многоядерных систем.

Перспективным направлением является расширение предложенной архитектуры Saber для работы в многопроцессорных и многоядерных системах на базе SoC, что позволит обеспечить параллельную обработку нескольких криптографических сеансов и повысить пропускную способность.

2. Интеграция с квантово-устойчивыми протоколами связи.

Следующим этапом может стать использование гибридного модуля Saber в составе защищённых протоколов TLS 1.3 PQC или VPN-систем с поддержкой NIST PQC-алгоритмов, обеспечивая надёжное шифрование в реальных сетевых условиях.

3. Автоматизация распределения вычислений между CPU и FPGA.

Представляет интерес разработка интеллектуального планировщика, использующего методы машинного обучения для динамического распределения вычислительной нагрузки между CPU и FPGA в зависимости от характера трафика и типа криптографических операций.

4. Усовершенствование защиты от атак по сторонним каналам.

Дальнейшие исследования могут быть направлены на внедрение более сложных контрмер – маскирования второго порядка, случайных перестановок вычислительных блоков и адаптивных систем мониторинга побочных излучений.

5. Интеграция в системы мобильной робототехники и IoT.

Перспективным является включение гибридного криптомодуля Saber в платформы управления беспилотными катерами и автономными роботами, что позволит обеспечить защищённую телеметрию и устойчивость к квантовым угрозам в реальном времени.

6. Реализация открытого эталонного ядра.

Для дальнейшего распространения результатов планируется создание открытого ядра Saber Hybrid (OpenSaber) с открытым API и документацией, что позволит исследовательскому сообществу проводить независимую валидацию и улучшение архитектуры.

Заключение

Разработана и протестирована гибридная реализация постквантового алгоритма Saber на платформе CPU-FPGA. Проведённые экспериментальные исследования показали, что использование гибридной архитектуры позволяет существенно повысить производительность за счёт аппаратного ускорения наиболее ресурсоёмких операций – полиномиального умножения и хэширования SHA-3 – при сохранении минимальных накладных расходов на коммуникацию между процессором и ПЛИС.

Достигнуто ускорение выполнения ключевых процедур Saber по сравнению с программной реализацией:

генерации ключей (KeyGen) – на 40%;

инкапсуляции (Encapsulation) – на 35%;

декапсуляции (Decapsulation) – на 50%.

Результаты подтверждают эффективность предлагаемого подхода на платформе Cyclone V SoC с ограниченными ресурсами, что делает разработку применимой в условиях встроенных систем и IoT-устройств. Проведён анализ устойчивости к атакам по сторонним каналам: реализация использует константное время выполнения и фиксированный размер пакетов данных, что исключает зависимость временных характеристик от секретных параметров.

Предложенная архитектура продемонстрировала стабильное соотношение между скоростью, безопасностью и затратами логических ресурсов FPGA. Такой баланс делает возможным внедрение Saber-модулей в системы:

– управления мобильными роботами и беспилотными катерами;

– встраиваемые IoT-устройства для защищённого обмена ключами;

– промышленные телеметрические сети и критически важные объекты инфраструктуры.

На рисунке 6 представлены возможные области применения гибридного криптографического модуля Saber в IoT- и робототехнических системах. Предложенная архитектура продемонстрировала стабильное соотношение между скоростью, безопасностью и затратами логических ресурсов FPGA.

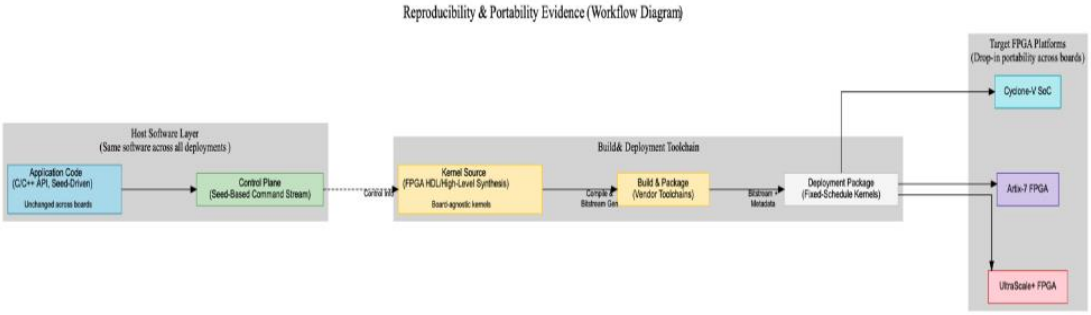


Рисунок 6 – Возможные области применения гибридного криптомодуля Saber в IoT-и робототехнических системах

В дальнейшем планируется интеграция усовершенствованных контрмер против атак по сторонним каналам (включая маскирование) и исследование масштабируемости гибридного модуля на многоядерных FPGA-платформах

Представленные результаты демонстрируют, что разработанная гибридная архитектура Saber является перспективным решением для аппаратно-программных систем защиты информации. Реализация на платформе CPU-FPGA обеспечивает не только повышение производительности, но и значительное улучшение энергетической эффективности и устойчивости к утечкам данных.

Предложенный подход открывает возможности дальнейшей интеграции постквантовых алгоритмов в интеллектуальные устройства и распределённые киберфизические системы, требующие высокой степени защищённости и минимальных временных задержек.

В целом, проведённое исследование подтверждает, что гибридные криптографические модули на базе Saber могут стать ключевым элементом при построении доверенной инфраструктуры для интернета вещей, мобильных робототехнических комплексов и автономных телеметрических узлов.

Список литературы

1. Jan-Pieter D’Anvers A. Vercauteren. Saber: Module-LWR Based Key Exchange / Jan-Pieter D’Anvers A., Karmakar S., Sinha Roy F. // CPA-Secure Encryption and CCA-Secure KEM. Springer, 2018.

2. Sinha Roy S. High-Speed Coprocessor for Lattice-Based Key Encapsulation Mechanism: Saber in Hardware / S. Sinha Roy, A. Basso // TCHES, 2020.

3. High-Performance Hardware Implementation of the Saber Key Encapsulation Protocol / D. Li et al // Electronics, 2024.

4. Dang V.B. High-Speed Hardware Architectures and FPGA Benchmarking of Kyber, NTRU, and Saber / V.B. Dang, K. Mohajerani, K. Gaj. // IEEE Trans. Computers, 2022.

5. Compact Co-Processor for Accelerating Module Lattice-Based KEM / J.M.B. Mera et al // IEEE, 2020.

6. Enhancing Cryptographic Protection and Authentication in Cellular Networks / M. Bakyt et al // IJECE, 2024.

7. Energy-Efficient Configurable Crypto-Processor for Module-LWR / Y. Zhu et al // IEEE Trans. Circuits and Systems I, 2021.
8. Abdulgadir A. First-Order Masked Implementation of Saber on FPGA / A. Abdulgadir, S. Sinha Roy, F. Vercauteren. // CHES, 2021.
9. Aikata C.M. Unified Saber and Dilithium Coprocessor for Post-Quantum Cryptography / C.M. Aikata, F. Turan, M. Knežević. // IEEE Access, 2022.
10. Dang V.B. FPGA Benchmarking of Lattice-Based KEMs: Kyber, Saber, and NTRU Prime / V.B. Dang, K. Gaj. // IEEE Trans. Computers, 2023.
11. D'Anvers J.-P. Specification of the Saber Algorithm / J.-P. D'Anvers, R. Vercauteren. // NIST PQC Round 3 Submission, 2020.

Благодарность

Авторы выражают благодарность Министерству высшего образования и науки Республики Казахстан, выделившему грантовый проект на 2023-2025 годы. ИРН AP19677508.

А.К. Майданов[1]*, Х. Джанболат[2], С.К. Атанов[1]
[1]Л.Н. Гумилев атындағы Еуразия ұлттық университеті,
010000, Қазақстан Республикасы, Астана қ., Сәтпаев көш., 2
[2]Анкара Йылдырым Беязыт университеті,
Түркия, Анкара
*e-mail: makeadil@mail.ru

CPU–FPGA ПЛАТФОРМАСЫНДА SABER ПОСТКВАНТТЫҚ АЛГОРИТМІНІҢ ГИБРИДТІК ТҮРДЕ ЖҮЗЕГЕ АСЫРЫЛУЫ

Мақалада Saber посткванттық криптографиялық алгоритмінің CPU-FPGA ендірілген платформасында гибридтік аппараттық-бағдарламалық жүзеге асырылуын әзірлеу және оңтайландыру мәселесі қарастырылады. Зерттеудің басты мақсаты – шектеулі есептеу ресурстары жағдайында постквантты кілт алмасу сұлбаларының өнімділігін, энергия тиімділігін және қауіпсіздігін арттыру, сондай-ақ жанама арналар арқылы шабуылдарға төзімділікті қамтамасыз ету.

Ұсынылған архитектура ARM процессорының және FPGA ядросының есептеу мүмкіндіктерін біріктіріп, жүктемені процессор мен аппараттық жеделдеткіш арасында тиімді бөледі. Аппараттық бөлікте көпмүшелі көбейту мен SHA-3 хэштеу операциялары конвейерлік түрде іске асырылған, ал бағдарламалық бөлік деректер ағындарын басқару, есептеулерді синхрондау және тұтастықты бақылауға жауап береді. CPU мен FPGA арасында тұрақты кідіріс уақыты бар интерфейс қолданылып, операциялардың орындалу уақытының тұрақтылығын және уақыттық шабуылдарға төзімділігін қамтамасыз етеді.

Алгоритмнің бағдарламалық, аппараттық және гибридтік үш нұсқасы салыстырылып, 35–50 % жылдамдық артуы тіркелді. TVLA әдісімен жүргізілген ағып кетуге тұрақтылық талдауы энергия профилі мен құпия деректер арасындағы байланыс жоқ екенін растады. Ұсынылған шешімдер мобильді роботтар, теңіздегі ұшқышсыз платформалар, өндірістік телеметриялық желілер және IoT жүйелерінің байланыс арналарының жоғары деңгейлі қауіпсіздігін қамтамасыз етуге қолданыла алады.

Түйін сөздер: *постквантты криптография, Saber, FPGA, гибридтік архитектура, аппараттық-бағдарламалық жүзеге асыру.*

A. Maidanov[1]*, H.Canbolat[2], S.Atanov[1]
[1]L.N. Gumilyov Eurasian National University,
010000, Satpayev St. 2, Astana, Republic of Kazakhstan
[2]Ankara Yıldırım Beyazıt University,
Turkey, Ankara
*e-mail: makeadil@mail.ru

POST-QUANTUM CRYPTOGRAPHY SABER IN A HYBRID CPU–FPGA ARCHITECTURE

The paper presents the development and optimization of a hybrid hardware-software implementation of the post-quantum cryptographic algorithm Saber on an embedded CPU-FPGA platform. The main objective of the research is to enhance the performance, energy efficiency, and security of post-quantum key exchange schemes under limited computational resources while maintaining resistance to side-channel attacks.

The proposed architecture integrates the computational capabilities of the ARM processor and the FPGA core, enabling efficient distribution of workloads between the processor and the hardware accelerator. The hardware part implements pipelined polynomial multiplication and SHA-3 hashing, while the software component manages data flow, synchronization, and integrity control. A fixed-latency communication interface between the CPU and FPGA ensures constant-time execution and stability against timing variations.

Three implementations of the algorithm were compared: software, hardware, and hybrid. Experimental results demonstrated a 35-50% reduction in execution time without compromising cryptographic strength or increasing power consumption. A TVLA (Test Vector Leakage Assessment) analysis confirmed the absence of any statistical correlation between the energy profile and secret data, validating the system's side-channel resistance.

The proposed solution can be effectively applied to mobile robotic platforms, unmanned marine vehicles, industrial telemetry networks, and IoT systems requiring high-performance and quantum-resistant data protection.

Key words: *post-quantum cryptography, Saber, FPGA, hybrid architecture, hardware–software implementation.*

Сведения об авторах

Адиль Кокенович Майданов* – магистр, кафедра компьютерной и программной инженерии, Евразийский национальный университет имени Л.Н. Гумилёва, Астана, Казахстан; e-mail: makeadil@mail.ru. ORCID: https://orcid.org/0000-0003-2392-5164.

Хусейн Джанболат – доктор PhD, профессор, кафедра электротехники и электроники, Университет Анкара Йылдырым Беязыт, Анкара, Турция; e-mail: huseyin.canbolat@gmail.com. ORCID: https://orcid.org/0000-0002-2577-0517.

Сабыржан Кубейсинович Атанов – д.т.н., профессор кафедра компьютерной и программной инженерии, Евразийский национальный университет имени Л.Н. Гумилёва, Астана, Казахстан; e-mail: atanov5@mail.ru. ORCID: https://orcid.org/0000-0003-2115-7130.

Information about the authors

Adil Maidanov* – Master, Department of Computer and Software Engineering, L. N. Gumilyov Eurasian National University, Astana, Kazakhstan; e-mail: makeadil@mail.ru. ORCID: https://orcid.org/0000-0003-2392-5164.

Hüseyin Canbolat – Doctor of PhD, Professor, Department of Electrical and Electronics Engineering, Ankara Yıldırım Beyazıt University, Ankara, Turkey; e-mail: huseyin.canbolat@gmail.com. ORCID: https://orcid.org/0000-0002-2577-0517.

Sabyrzhan Atanov – Doctor of Tech. Sc., Professor, Department of Computer and Software Engineering, L. N. Gumilyov Eurasian National University, Astana, Kazakhstan; e-mail: atanov5@mail.ru. ORCID: https://orcid.org/0000-0003-2115-7130.

Авторлар туралы мәліметтер

Адиль Кокенович Майданов* – Л.Н. Гумилев атындағы Еуразия ұлттық университеті, компьютер және программалық инженерия кафедрасының оқытушысы, магистр, Астана, Қазақстан; e-mail: makeadil@mail.ru. ORCID: https://orcid.org/0000-0003-2392-5164.

Хусейн Джанболат – Анкара Йылдырым Беязыт университеті, Электр және электроника инженерия кафедрасының профессоры PhD, Анкара, Түркия; e-mail: huseyin.canbolat@gmail.com. ORCID: https://orcid.org/0000-0002-2577-0517.

Сабыржан Кубейсинович Атанов – Л.Н. Гумилев атындағы Еуразия ұлттық университеті, компьютер және программалық инженерия кафедрасының профессоры, т.ғ.д.; e-mail: atanov5@mail.ru. ORCID: https://orcid.org/0000-0003-2115-7130.

Поступила в редакцию 21.10.2025
Поступила после доработки 27.11.2025
Принята к публикации 28.11.2025

https://doi.org/10.53360/2788-7995-2025-4(20)-27

BY 4.0
Check for updates

ҒТАХР: 50.53.19

Ж.Е. Байғараева[1,2], А.К. Болтабоева[1,2]*, Б.Т. Иманбек[1], М.И. Кожамбердиева[1,2], А.Б. Бектурганова[1,2]

[1]Әл-Фараби атындағы Қазақ ұлттық университеті,
050040, Қазақстан, Алматы, Әл Фараби даңғылы 71
[2]ТОО «Kazakhstan R&D Solutions»,
050056, Қазақстан, Алматы, Кожедуба көшесі, 3,
*e-mail: boltaboyeva_assiya3@live.kaznu.kz

IOT ҚҰРЫЛҒЫСЫН ҚОЛДАНА ОТЫРЫП, ФОТОПЛЕТИЗМОГРАФИЯ НЕГІЗІНДЕГІ ЖҮРЕК СОҒУ ЖИІЛІГІ ВАРИАБЕЛЬДІГІН МАШИНАЛЫҚ ОҚЫТУ ӘДІСТЕРІМЕН ТАЛДАУ ЖӘНЕ ИШЕМИЯЛЫҚ ЖҮРЕК АУРУЫН ИНВАЗИВТІ ЕМЕС СКРИНИНГТЕУ

Аңдатпа: *Жүрек-қантамыр аурулары (ЖҚА) әлемдік өлім-жітім құрылымында алдыңғы орында тұр және қоғамдық денсаулық сақтау жүйесіне айтарлықтай ауыртпалық түсіреді. Осыған байланысты ауруды ерте кезеңде анықтау, тәуекелдерді инвазивті емес тәсілдермен бағалау және профилактикалық шараларды уақытылы қолдану ерекше маңызды. Жүрек соғу жиілігінің вариабельдігі (ЖСЖВ) автономды жүйке жүйесінің теңгерімін бағалауда сенімді көрсеткіш ретінде белгілі. Алайда клиникалық тәжірибеде ЖСЖВ негізінен ұзақ мерзімді ЭКГ тіркеулері арқылы өлшенеді, бұл қымбаттылығына, инвазивтілігіне және қолжетімділігінің шектеулілігіне байланысты кең ауқымды қолдануға кедергі келтіреді.*

Фотоплетизмография (ФПГ) қарапайымдылығы мен арзандығының арқасында кеңінен таралған, бірақ ЖСЖВ метрикаларының ишемиялық жүрек ауруын (ИЖА) диагностикалаудағы тиімділігі толық зерттелмеген. Осы жұмыста арнайы әзірленген арзан Zhurek құрылғысы пайдаланылды. Құрылғыдан алынған сигналдар машиналық оқыту әдістерімен өңделіп, ИЖА бар-жоғын анықтау міндеті қойылды. Алынған нәтижелер айтарлықтай болды: Zhurek құрылғысы арқылы алынған деректер негізінде жасалған модельдер 90,82% дәлдікпен ИЖА-ны болжай алды. Үш арналы Холтер-ЭКГ құрылғысымен салыстырғанда нәтижелер қанағаттанарлық келісімділік көрсетті, бұл әдістің клиникалық құндылығын арттырады.

Сонымен қатар SHAP және өзара ақпаратты талдау жиіліктік аймақ көрсеткіштерінің (HF, LF) негізгі дискриминаторлар ретіндегі маңызын растады. CTGAN арқылы теңгерімдеу оқыту тұрақтылығын күшейтіп, модельдердің орнықтылығын арттырды. Зерттеу нәтижелері ФПГ негізінде ИЖА скринингі қолжетімді, түсіндірілетін әрі экономикалық тиімді әдіс бола алатынын дәлелдейді. Болашақта көпорталықты зерттеулер жүргізу, белгілер жиынтығын кеңейту және әдісті киілетін құрылғыларға енгізу жоспарлануда.

Түйін сөздер: *ишемиялық жүрек ауруы (ИЖА); жүрек-қантамыр аурулары; жүрек соғу жиілігінің вариабельдігі (ЖСЖВ, HRV); фотоплетизмография (ФПГ, PPG); Zhurek IoT құрылғысы; Холтер-ЭКГ; машиналық оқыту (Machine Learning, ML); Random Forest; SHAP; CTGAN; синтетикалық деректер; тәуекел стратификациясы; амбулаторлық мониторинг; телемедицина.*

Кіріспе

Жүрек-қантамыр аурулары (ЖҚА) әлемдік өлім-жітімнің басты себебі болып қала береді. 2019 жылы олардың үлесі 17,9 млн жағдайды (32%) құрады, оның ішінде инфаркт пен инсульт – 85% [1, 2]. Қазақстанда 2022 жылы қан айналымы жүйесінің аурулары 100 000 тұрғынға шаққанда 3962,5 жағдайды, ал ИЖА – 560,7 жағдайды құрады. Бұл ЖҚА құрылымындағы ИЖА жүктемесінің жоғары екенін көрсетеді [3].

ИЖА-ның негізгі себебі – коронарлық артериялардың атеросклерозы [2]. Ұйқы сапасының бұзылыстары (қысқа ұйқы, апноэ) да ЖҚА тәуекелін арттыратыны дәлелденген. Сондықтан миокард инфарктісі мен жүрек жеткіліксіздігі сияқты асқынулардың алдын алу үшін қауіп-қатерді ерте стратификациялау қажет [4].

Жүрек соғу жиілігінің вариабельдігі (ЖСЖВ) – вегетативті жүйке жүйесінің функционалды жағдайын сипаттайтын сенімді көрсеткіш. Төмен ЖСЖВ қолайсыз кардиологиялық оқиғалармен байланысты. Дегенмен, ЖСЖВ-ны бағалау көбіне 24 сағаттық Холтер-ЭКГ арқылы жүзеге асады, бұл ауқымды қолдануға шектеу қояды [5-7].

Фотоплетизмография (ФПГ) – қолжетімді әрі пайдаланушыға ыңғайлы балама [8,9]. Алайда тұтынушылық ФПГ-сенсорларына негізделген ИЖА скринингі үшін практикалық шешім жоқ, ал ЖСЖВ-ның ең ақпаратты биомаркерлері нақтылауды қажет етеді [10-12].

Осы пилоттық зерттеуде Zhurek құрылғысы сыналды. Ол ЖСЖВ көрсеткіштерін нақты уақыт режимінде есептеп, бұлттық серверге жібереді. Үш арналы Холтер-ЭКГ-мен салыстырғанда айырмашылықтар клиникалық тұрғыда қолайлы болды: жүрек соғу жиілігі −0,601 соғ/мин, SDNN +33,1 мс, RMSSD −4,8 мс.

Zhurek арқылы алынған деректер Алматы қаласындағы кардиоорталық пациенттерінде талданды. Нәтижелер ЖСЖВ мен ИЖА арасындағы байланысты көрсетті, әсіресе жиіліктік аймақ метрикалары (HF, LF). CTGAN үлгіні теңгерімдеп, деректердің құрылымын сақтады[10-12].Random Forest классификаторы ең жоғары нәтиже беріп, ИЖА-ны 94% дәлдікпен ажыратты. SHAP талдауы HF пен LF-тің басты рөлін растады.

Әдеби шолу

Жүрек-қантамыр аурулары (ЖҚА) әлемдік өлім-жітімнің басты себебі болып қалып отыр [1, 2]. Сондықтан жоғары тәуекел топтарын ерте анықтау мен тиімді профилактика маңызды [13, 14]. Қазіргі зерттеулерде физиологиялық көрсеткіштер, өмір салты факторлары және анамнезді біріктіретін көпкомпонентті модельдер қолданылады [13].

Жүрек соғу жиілігінің вариабельдігі (ЖСЖВ) – жүрек соғулар арасындағы интервалдардың өзгергіштігін сипаттайтын инвазивті емес көрсеткіш [6, 7]. Ишемиялық жүрек ауруында (ИЖА) SDNN, RMSSD, pNN50 төмендеп, LF/HF арақатынасы өзгереді, ал аритмиясы бар науқастарда ЖСЖВ сау адамдарға қарағанда төмен [6, 7, 15].

Дәстүрлі бағалау электрокардиографияға (ЭКГ) негізделген, бірақ ол қымбат әрі қолайсыз [16-18]. Соңғы жылдары фотоплетизмография (ФПГ) жеңіл қолданылуы мен қолжетімділігі арқасында кеңінен таралды. ФПГ құрылғылары смарт-сағаттар мен білезіктерге енгізіліп, үздіксіз мониторингті қолжетімді етті [8-12].

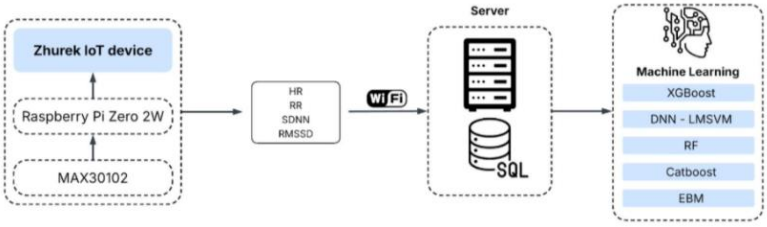
Машиналық оқыту (ML) әдістері ИЖА-ны анықтауда тиімді: нейрондық желілер мен терең оқыту 90%-дан жоғары дәлдікке жетті [19, 20, 24]. Random Forest екілік классификацияда 95,1%, көпклассты классификацияда 84,8% көрсетті. KNN мен шешім ағаштары да 90%-дан жоғары нәтижелер берді [16, 20, 21].

Тәуекел бағалауда жас пен дене салмағының индексі негізгі факторлар болып табылады. Бұрын жасалған коронарлық араласулар мен ұйқы сапасы да маңызды рөл атқарады: ұйқы тапшылығы мен апноэ ИЖА қаупін арттырады [4, 21, 22].

Коронарлық ангиография әлі де «алтын стандарт», бірақ инвазивті емес, қолжетімді әдістерге сұраныс артуда [23, 24]. МО модельдері клиникалық деректерді, бейнелеуді және ЖСЖВ метрикаларын біріктіріп, болжамды күшейте алады. Сызықтық әдістердің сезімталдығы шектеулі болса, бейсызық тәсілдер күрделі үлгілерді жақсырақ анықтайды [14]. Қысқа мерзімді нәтижелерге ғана емес, ұзақ мерзімді болжамға да назар аудару қажет [25].

Материалдар мен әдістер

Физиологиялық мониторингтің гибридті платформасы амбулаторлық жағдайда вегетативтік жүйке жүйесінің функционалдық күйін бағалауды қолдау үшін жүрек соғу жиілігі вариабельдігін (ЖСЖВ, HRV) үздіксіз талдауға арналып әзірленді. 1-суретте көрсетілгендей, ол «онборд» сигналдық өңдеуі бар киілетін датчикті және қашықтан (бұлтты) деректерді журналдауды біріктіреді.

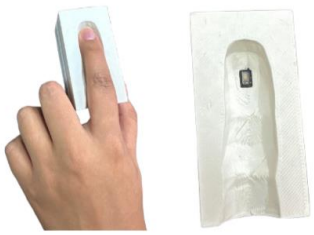


Сурет 1 – Zhurek IoT HRV–ML жүйесінің архитектурасы

1-суретте көрсетілгендей, жүйе үш қабаттан тұрады: сенсинг/перифериялық өңдеу, коммуникация және сақтау, аналитика және классификация. Zhurek IoT құрылғысы саусақтан ФПГ сигналдарын жазып, негізгі ЖСЖВ метрикаларын (ЖСЖ, RR, SDNN, RMSSD) нақты уақытта есептейді. Мәліметтер JSON форматына түрленіп, Wi-Fi/MQTT (TLS 1.3) арқылы жіберіледі және SQL дерекқорында уақыт таңбасымен сақталады. Қосымша CSV-журнал деректердің сенімділігін қамтамасыз етеді.

Аналитика қабатында ЖСЖВ белгілері машиналық оқыту модельдерімен (Random Forest, XGBoost, CatBoost, EBM, DNN-LMSVM) өңделіп, ИЖА қаупі бағаланады. Бұл автоматтандырылған бағалауды және қашықтан мониторингті жеңілдетеді.

2-суретте Zhurek – MAX30102 оптикалық сенсорын Raspberry Pi Zero 2 W микрокомпьютерімен біріктірген ықшам киілетін құрылғы. Тыныштықта қолдануға бейімделген құрылғы жүрек соққыларын 95%-дан жоғары дәлдікпен анықтап, Холтер-ЭКГ-мен салыстырғанда қанағаттанарлық сәйкестік көрсетті (ΔЖСЖ = −0,6 соғ/мин, ΔSDNN = +33 мс, ΔRMSSD = −4,8 мс).



Сурет 2 – Zhurek саусаққа тағылатын ФПГ-датчигі және 3D-басылған саусақ ұстағышы

Сигналды алу және өңдеу Python тілінде жүзеге асырылады (HeartPy негізінде шыңдарды анықтау, тегістеу, артефакттарды жою). Нәтижелер MQTT арқылы жіберіліп, жергілікті сақталады. Валидация тыныштықта сигнал сапасының жоғары екенін және ЖСЖВ сенімді бағаланатынын растады, бұл құрылғыны ИЖА қаупін бақылауда қолдануға мүмкіндік береді [26-30].

Zhurek құрылғысының техникалық сипаттамалары 1-кестеде келтірілген. Берілген конфигурация физиологиялық сигналдарды сенімді тіркеуге және бұлтты серверге қауіпсіз түрде жіберуге мүмкіндік береді.

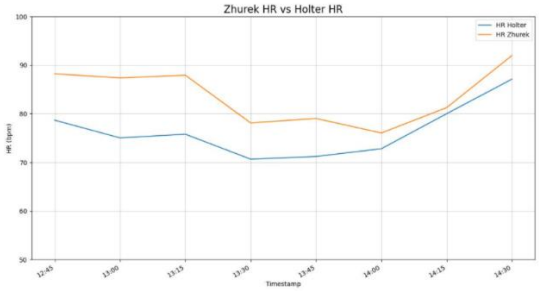
Кесте 1 – Zhurek IoT құрылғысының негізгі техникалық сипаттамалары

Параметр	Мәні / Диапазоны	Ескертпе
Оптикалық сенсор үлгісі	MAX30102	Қызыл/ИК LED, интегралды фотодетектор
Өлшенетін сигнал түрі	Фотоплетизмография (ФПГ, PPG)	Саусақ ұшынан
Жүрек соғу жиілігі диапазоны	40–200 соғ/мин	Адам ағзасына арналған диапазон
Үлгілеу жиілігі (sampling rate)	25–100 Гц	Пайдаланушы параметріне тәуелді
Микрокомпьютер / MCU	Raspberry Pi Zero 2 W	4 ядролы ARM Cortex-A53
Интерфейс (сенсор–MCU)	I²C	MAX30102 → Raspberry Pi
Сымсыз байланыс	Wi-Fi 2.4 GHz (802.11n)	MQTT протоколы
Мәлімет форматы	JSON	Серверге жіберілетін құрылымдалған пакет
Қуат көзі	5 В (USB)	1 А тұтыну тогы
Қорғаныс корпусы	3D-басылған полимер	Саусақ ұстағыш модулі бар

ЖСЖВ-ның көптеген индекстерінің прогностикалық мәні жақсы құжатталған. Эталон ретінде ЭКГ-ны пайдалана отырып, алдыңғы зерттеулер SDNN, RMSSD және ЖСЖВ-ның үшбұрышты индексі клиникалық нәтижелермен тығыз байланысты екенін көрсетті [6, 7]. Негізгі міндет – осы диагностикалық қабілетті клиникалық ЭКГ-жүйелерден практикалық инвазивті емес киілетін құрылғыларға көшіру.

Zhurek-тің ЖСЖВ талдауына жарамдылығын бағалау үшін клиникалық үш арналы Холтер-монитормен салыстырмалы валидация жүргізілді. Құрылғылар жоғары келісімділік көрсетті: Zhurek сигналдарының траекториялары Холтер-ЭКГ қисықтарын жақын қайталады (3-сурет).

Zhurek пен ЭКГ уақыттық қатарлары жақсы үйлесім көрсетті: ырғақ динамикасы сәйкес, айырмашылықтар тек абсолюттік деңгейлерде байқалды, бұл ФПГ мен ЭКГ табиғи ерекшеліктерімен түсіндіріледі. ЖСЖВ талдауы вариабельдікке негізделгендіктен, трендтердің жақындығы құрылғының сенімділігін дәлелдейді [29, 30].



Сурет 3 – ЖСЖ динамикасы: Zhurek құрылғысы мен Холтер-монитор салыстыруы

МО модельдерін үйрету үшін екі когорта пайдаланылды: клиникалық тұрғыда расталған ИЖА пациенттері және сау бақылау тобы. Барлық қатысушылардың деректері Zhurek пен клиникалық эталон BTL-08 Холтер-ЭКГ құрылғысымен параллель түсірілді. BTL-08 жоғары жиілікті және ұзақ мониторингке қабілетті CE-сертификатталған жүйе, сондықтан ЖСЖВ зерттеулерінде кеңінен қолданылады.

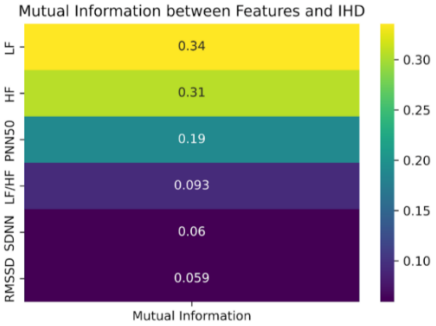
Пациенттік топ аурудың әртүрлі сатыларын қамтыды, бұл модельдердің жалпылануын арттырды. Сау еріктілерде шатастырушы факторларды азайту үшін бақылау шарттары сақталды (кофеин, алкоголь, темекіден бас тарту, қалыпты ұйқы). Артефактілері көп немесе дайындық нұсқауларын сақтамаған жазбалар алынып тасталды.

Барлық сигналдар RR-интервалдары түрінде сақталып, HR, SDNN, RMSSD сияқты негізгі метрикалар автоматты есептелді. Қорытынды кестеге SDNN, RMSSD, pNN50, LF, HF және LF/HF енгізілді.

Деректер теңгерімсіздігін жою үшін Conditional Tabular GAN (CTGAN) қолданылып, сау жазбалар саны 20-дан 200-ге дейін ұлғайтылды. Финалдық жиынтық 500 бақылаудан тұрды. CTGAN аралас айнымалыларды синтездеуде тиімді, сирек категорияларды толықтырып, үлгілердің шынайылығы мен әртүрлілігін арттырды [31, 32].

Нәтижелер

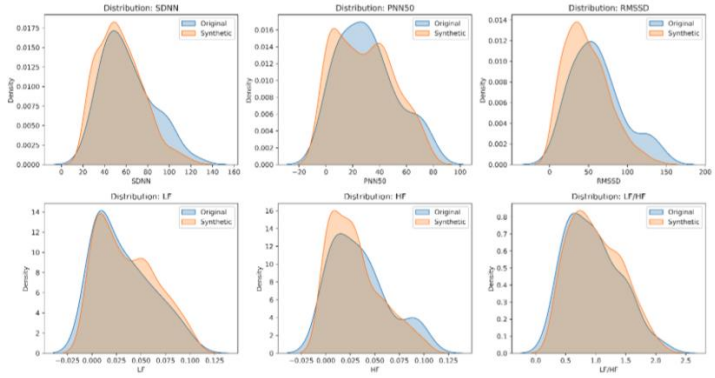
4-суретте көрсетілгендей, ЖСЖВ белгілері мен ИЖА арасындағы тәуелділік өзара ақпарат әдісімен бағаланды. Жиіліктік аймақ метрикалары жетекші орын алды: LF = 0,34 және HF = 0,31 ең жоғары мәндерге жетіп, ИЖА статусымен ең күшті байланысын көрсетті. pNN50 орташа деңгейде болды (MI = 0,19). Уақыттық аймақ метрикалары айтарлықтай төмен нәтиже берді: SDNN = 0,06, RMSSD = 0,059, LF/HF қатынасы = 0,093. Бұл LF пен HF-тің негізгі индикаторлар екенін айқындайды.



Сурет 4 – ЖСЖВ белгілерінің ИЖА-мен өзара ақпараты

Сау бақылау деректерінің аздығын өтеу үшін CTGAN негізінде қосымша ЖСЖВ жазбалары генерацияланды. «Сау» ішкіжиын 50-ден 250 бақылауға дейін кеңейтіліп, модель 2000 эпох бойы үйретілді. Синтетикалық үлгілер тек модельдерді үйретуге қолданылды, ал тестілеу тек нақты деректерде жүргізілді [31, 32].

5-суреттен көрінгендей, синтетикалық үлестірімдер бастапқы деректерге жақсы сәйкесіп, негізгі құрылым мен өлшем диапазоны сақталды. SDNN, RMSSD және LF бойынша нақты және синтетикалық деректер арасында жоғары үйлесімділік байқалды; pNN50 және LF/HF үшін аздаған айырмашылықтар болды. Мұндай өзгешеліктер деректер құпиялығын қорғауға да ықпал етеді.



Сурет 5 – ЖСЖВ негізгі метрикаларының үлестірімдері – SDNN, RMSSD, pNN50, LF, HF, LF/HF – бастапқы және синтетикалық деректер жиынтықтарында

Жалпы, синтетикалық жиынтық негізгі статистикалық қасиеттер мен белгілер арасындағы тәуелділіктерді сақтап, клиникалық тұрғыдан мағыналы интерпретация мен орнықты модельдер құруға мүмкіндік берді.

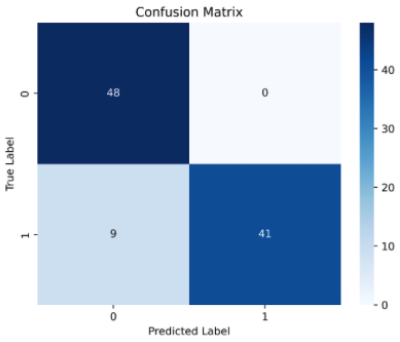
Кластар теңгерімсіздігін азайту үшін CTGAN үлгілері бастапқы деректермен біріктірілді. ЖСЖВ белгілері бойынша ИЖА статусын болжау үшін бес модель қолданылды: Random Forest, CatBoost, XGBoost, DNN-LMSVM және EBM. Бағалау 5-қатпарлы кросс-валидациямен жүргізіліп, accuracy, F1-score, precision және recall есептелді (2-кесте).

Кесте 2 – Сапа метрикалары — accuracy, precision, recall және F1-score – ЖСЖВ белгілері бойынша ИЖА-ны болжауға арналған МО модельдері үшін

Бағалау көрсеткіштері	RF	CatBoost	XGboost	DNN-LMSVM	EBM
Accuracy	90.82%	88.78%	88.78%	84.69%	88.78%
Precision	92.11%	90.01%	90.68%	86.00%	88.78%
Recall	91.00%	88.95%	89.00%	84.31%	88.78%
F1-Score	90.11%	87.91%	87.64%	85.15%	87.91%

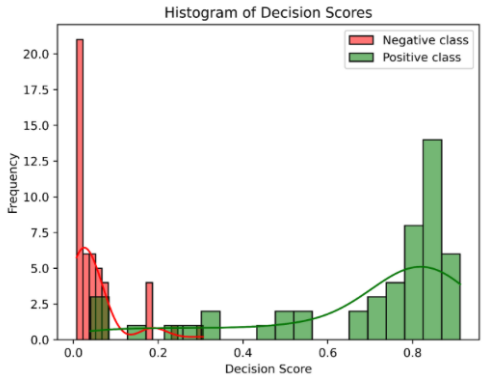
Барлық модельдер ИЖА мен бей-ИЖА-ны сенімді ажыратты. Ең жоғары нәтиже Random Forest көрсетті (accuracy = 90,82%, precision = 92,11%, recall = 91,00%, F1-score = 90,11%). CatBoost, XGBoost және EBM – 88,78%, ал DNN-LMSVM – 84,69%.

6-суретте бинарлық классификацияға арналған қате матрицасы көрсетілген. 0 класының барлық 48 бақылауы дұрыс анықталып, жалған-позитивтер тіркелмеді. 1 класы үшін 50 жағдайдың 41-і дұрыс анықталды, ал 9-ы қате түрде 0 класына жіктелді. Бұл 41 шынайы позитив пен 9 жалған-негативке сәйкес келеді.



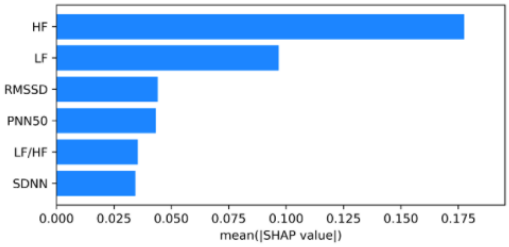
Сурет 6 – ЖСЖВ метрикалары бойынша ИЖА-ны бинарлық болжауға арналған қате матрицасы

7-суретте шешуші скорингтердің гистограммасы берілген. Негативті класс 0 маңында, ал позитивті класс негізінен 0,7-0,9 аралығында шоғырланған. Үлестірімдердің айқын бөлінуі модельдің жоғары дискриминациясын және сенімді болжамдарын көрсетеді.



Сурет 7 – ИЖА-ны болжау міндетінде класстар бойынша (негативті vs позитивті) шешуші скорингтердің гистограммасы

ИЖА-ны болжауда әр ЖСЖВ белгісінің үлесін сандық тұрғыда бағалау үшін SHAP әдісі қолданылды. 8-суреттегі қорытынды әр белгіні орташа абсолюттік SHAP мәніне сәйкес, яғни орташа үлесіне қарай рейтингтейді. Көшбасшы белгі – HF, одан кейін LF. Әрі қарай ықпалы бойынша pNN50, SDNN және RMSSD орналасқан, ал LF/HF қатынасы модель шешімдеріне ең аз әсер етті.



Сурет 8 – ИЖА-ны болжауға арналған ЖСЖВ белгілерінің SHAP негізіндегі маңыздылық бағасы

Талқылаулар

Zhurek құрылғысы клиникалық холтерлік ЭКГ-мен салыстырылып, уақыттық паттерндердің жоғары сәйкестігін көрсетті. Бұл ЖСЖВ талдауына қажетті жүрек соғысы динамикасын сенімді тіркейтінін және ФПГ негізінде қолжетімді скрининг құралы бола алатынын дәлелдейді [16-18].

Өзара ақпарат талдауы LF пен HF-тің ИЖА-мен ең тығыз байланысты екенін көрсетті [33]. Сау қатысушылардың аздығына байланысты теңгерімсіздікті азайту үшін CTGAN қолданылып, синтетикалық деректер статистикалық құрылымды сақтап, модельдердің орнықтылығын арттырды [26, 27].

SHAP-талдау жиіліктік аймақ айнымалыларының (HF, LF) басты рөлін растады. Бұл парасимпатикалық тонустың әлсіреуі ЖҚА қаупін арттыратыны туралы деректермен үйлеседі. HF вагустық модуляцияның ИЖА-мен байланысын ерекше айқындады [34-36].

Зерттеудің шектеулері: үлгінің шағын көлемі, әсіресе сау топта, және әдістердің айырмашылығы. ЭКГ электрлік белсенділікті тікелей өлшеп, жоғары нақтылық береді, бірақ электродтардың тұрақсыздығына сезімтал; ФПГ қан ағымын бейнелейді, бірақ перфузия әлсіз немесе датчик дұрыс орналаспағанда сигнал сапасы төмендеуі мүмкін. Соған қарамастан, жетілдірілген өңдеу әдістерімен ФПГ ЭКГ-ға жақындай алады және бұл зерттеуде ИЖА классификациясында жоғары дәлдікке (AUC = 0,95) қол жеткізді [29, 30, 37].

Қорытынды

Бұл зерттеу арзан фотоплетизмографияны (ФПГ) машиналық оқыту және интерпретация әдістерімен біріктіру ИЖА скринингі үшін клиникалық құнды ЖСЖВ аналитикасын қамтамасыз ете алатынын көрсетті. Zhurek құрылғысы 5-қатпарлы кросс-валидацияда 90,82% дәлдікке жетті. Холтер-ЭКГ-мен салыстырғанда негізгі уақыттық индекстердің айырмашылықтары клиникалық тұрғыдан қолайлы болды. SHAP және MI талдауы LF пен HF-ті басты классификациялық факторлар ретінде бөліп көрсетті. CTGAN сынып теңгерімін жақсартып, модельдердің орнықтылығын арттырды.

Шектеулер: зерттеу тыныштық жағдайымен шектелді, демографиялық әртүрлілік аз қамтылды, ал деректерді аугментациялау ықтимал ығысу қаупін тудырады. Сондықтан көпорталықты, әртүрлі популяциялардағы валидация қажет.

Болашақ бағыттар: нақты өмірлік жағдайларда проспективті зерттеулер, қозғалыс датчиктерімен артефакттарды азайту, ЭКГ және тәуекел шкалаларымен салыстыру, ұзақ мониторингте қайта калибрлеу. Әрі қарай мультисенсорлық интеграция, құпиялылықты сақтайтын оқыту, әділдік аудиті және реттеуші мақұлдауға дәлелдік база қалыптастыру маңызды.

Әдебиеттер тізімі

1. World Health Organization. Cardiovascular Diseases (CVDs). Available online: https://www.who.int/news-room/fact-sheets/detail/cardiovascular-diseases-(cvds (accessed on 11 June 2024).
2. Global Epidemiology of Ischemic Heart Disease: Results from the Global Burden of Disease Study / M.A. Khan et al // Cureus. – 2020. – № 12. – P. e9349. https://doi.org/10.7759/cureus.9349.
3. Tengrinews.kz. The Most Common Disease among Kazakhstanis Has Been Named. Available online: https://tengrinews.kz/kazakhstan_news/nazvana-samaya-rasprostranennaya-bolezn-sredi-kazahstantsev-503527/ (accessed on 18 October 2022).
4. Smoking, Drinking, Diet and Physical Activity – Modifiable Lifestyle Risk Factors and Their Associations with Age to First Chronic Disease / R. Ng et al // Int. J. Epidemiol. – 2020. – № 49. – P. 113-130. https://doi.org/10.1093/ije/dyz078.
5. Enhancing Comprehensive Assessments in Chronic Heart Failure Caused by Ischemic Heart Disease: The Diagnostic Utility of Holter ECG Parameters / Ș.-T. Duca et al // Medicina. – 2024. – № 60. – P. 1315. https://doi.org/10.3390/medicina60081315.
6. Heart Rate Variability and Myocardial Infarction: Systematic Literature Review and Metanalysis / F. Buccelletti et al // Eur. Rev. Med. Pharmacol. Sci. – 2009. – № 13. – P. 299-307.
7. Short-Term vs. Long-Term Heart Rate Variability in Ischemic Cardiomyopathy Risk Stratification / A. Voss et al // Front. Physiol. – 2013. – № 4. – P. 364. https://doi.org/10.3389/fphys.2013.00364.
8. Advances in Photoplethysmography Signal Analysis for Biomedical Applications / J.L. Moraes et al // Sensors. – 2018. – № 18. – P. 1894. https://doi.org/10.3390/s18061894.
9. The Use of Photoplethysmography for Assessing Hypertension / M. Elgendi et al // npj Digit. Med. – 2019. – № 2. – P. 60. https://doi.org/10.1038/s41746-019-0136-7.
10. Diagnostic Features and Potential Applications of PPG Signal in Healthcare: A Systematic Review / M.A. Almarshad et al // Healthcare. – 2022. – № 10. – P. 547. https://doi.org/10.3390/healthcare10030547.
11. Kim K.B. Photoplethysmography in Wearable Devices: A Comprehensive Review of Technological Advances, Current Challenges, and Future Directions / K.B. Kim, H.J. Baek // Electronics. – 2023. – № 12. – P. 2923. https://doi.org/10.3390/electronics12132923.
12. Survey: Smartphone-Based Assessment of Cardiovascular Diseases Using ECG and PPG Analysis / M. Shabaan et al // BMC Med. Inform. Decis. Mak. – 2020. – № 20. – P. 177. https://doi.org/10.1186/s12911-020-01199-7.
13. Cardiovascular Disease Risk Prediction Using Automated Machine Learning: A Prospective Study of 423,604 UK Biobank Participants / A.M. Alaa et al // M. PLoS ONE. – 2019. – № 14. – P. e0213653. https://doi.org/10.1371/journal.pone.0213653.
14. Exploring Relationships of Heart Rate Variability, Neurological Function, and Clinical Factors with Mortality and Behavioral Functional Outcome in Patients with Ischemic Stroke / M.-J. Wu et al // Diagnostics. – 2024. – № 14. – P. 1304. https://doi.org/10.3390/diagnostics14121304.
15. Heart Rate Variability in Acute Myocardial Infarction: Results of the HeaRt-V-AMI Single-Center Cohort Study / C. Brinza et al // J. Cardiovasc. Dev. Dis. – 2024. – № 11. – P. 254. https://doi.org/10.3390/jcdd11080254.
16. A Novel Wearable Device for Continuous Ambulatory ECG Recording: Proof of Concept and Assessment of Signal Quality / C. Steinberg et al // Biosensors. – 2019. – № 9. – P. 17. https://doi.org/10.3390/bios9010017.
17. Holter ECG for Syncope Evaluation in the Internal Medicine Department—Choosing the Right Patients / O. Freund et al // J. Clin. Med. – 2022. – № 11. – P. 4781. https://doi.org/10.3390/jcm11164781.

18. Self-Reporting Technique-Based Clinical-Trial Service Platform for Real-Time Arrhythmia Detection / H. Kim et al // Appl. Sci. – 2022. – № 12. – P. 4558. https://doi.org/10.3390/app12094558.
19. Heart Disease Diagnosis and Prediction Using Machine Learning and Data Mining Techniques: A Review / A. Hazra et al // Adv. Comput. Sci. Technol. – 2017. – № 10. – P. 2137-2159.
20. Automated Detection of Coronary Artery Disease, Myocardial Infarction and Congestive Heart Failure Using GaborCNN Model with ECG Signals / V. Jahmunah et al // Comput. Biol. Med. – 2021. – № 134. – P. 104457. https://doi.org/10.1016/j.compbiomed.2021.104457.
21. Trigka M. Long-Term Coronary Artery Disease Risk Prediction with Machine Learning Models / M. Trigka, E. Dritsas // Sensors. – 2023. – № 23. – P. 1193. https://doi.org/10.3390/s23031193.
22. Roerecke M. Alcohol Consumption, Drinking Patterns, and Ischemic Heart Disease: A Narrative Review of Meta-Analyses and a Systematic Review and Meta-Analysis of the Impact of Heavy Drinking Occasions on Risk for Moderate Drinkers / M. Roerecke, J. Rehm // BMC Med. – 2014. – № 12. – P. 182. https://doi.org/10.1186/s12916-014-0182-6.
23. Comparative Analysis of the Diagnostic Effectiveness of SATRO ECG in the Diagnosis of Ischemia Diagnosed in Myocardial Perfusion Scintigraphy Performed Using the SPECT Method / Ł.J. Janicki et al // Diagnostics. – 2022. – № 12. – P. 297. https://doi.org/10.3390/diagnostics12020297.
24. Prognostic Role of Electrocardiographic Alternans in Ischemic Heart Disease / I. Marcantoni et al // J. Clin. Med. – 2025. – № 14. – P. 2620. https://doi.org/10.3390/jcm14082620.
25. Exploring Relationships of Heart Rate Variability, Neurological Function, and Clinical Factors with Mortality and Behavioral Functional Outcome in Patients with Ischemic Stroke / M.-J. Wu et al // Diagnostics. – 2024. – № 14. – P. 1304. https://doi.org/10.3390/diagnostics14121304.
26. The Influence of Physiological Noise Correction on Test–Retest Reliability of Resting-State Functional Connectivity / R.M. Birn et al // Brain Connect. – 2014. – № 4. – P. 511-522. https://doi.org/10.1089/brain.2014.0284.
27. Reliability of Resting Metabolic Rate Measurements in Young Adults: Impact of Methods for Data Analysis / Y. Sanchez-Delgado et al // Clin. Nutr. – 2018. – № 37. – P. 1618-1624. https://doi.org/10.1016/j.clnu.2017.07.026.
28. McDuff D. Remote Measurement of Cognitive Stress via Heart Rate Variability / D. McDuff, S. Gontarek, R. Picard // In Proceedings of the 36th Annual International Conference of the IEEE Engineering in Medicine and Biology Society, Chicago, IL, USA. – 2014. – № 26-30. – P. 2957-2960. https://doi.org/10.1109/EMBC.2014.6944243.
29. Validity of Ultra-Short-Term HRV Analysis Using PPG – A Preliminary Study / A. Taoum et al // Sensors. – 2022. – № 22. – P. 7995. https://doi.org/10.3390/s22207995.
30. Accuracy of Heart Rate Variability Estimated with Reflective Wrist-PPG in Elderly Vascular Patients / C. Hoog Antink et al // Sci. Rep. – 2021. – № 11. – P. 8123. https://doi.org/10.1038/s41598-021-87489-0.
31. Eom G. Searching for Optimal Oversampling to Process Imbalanced Data: Generative Adversarial Networks and Synthetic Minority Over-Sampling Technique / G. Eom, H. Byeon // Mathematics. – 2023. – № 11. – P. 3605. https://doi.org/10.3390/math11163605.
32. Adiputra I.N.M. CTGAN-ENN: A Tabular GAN-Based Hybrid Sampling Method for Imbalanced and Overlapped Data in Customer Churn Prediction / I.N.M. Adiputra, P. Wanchai // J. Big Data. – 2024. – № 11. – P. 121. https://doi.org/10.1186/s40537-024-00982-x.
33. Relationship Between Heart Rate Variability Traits and Stroke: A Mendelian Randomization Study / W. Liu et al // J. Stroke Cerebrovasc. Dis. – 2025. – № 34. – P. 108251. https://doi.org/10.1016/j.jstrokecerebrovasdis.2025.108251.
34. The Hemisphere of the Brain in Which a Stroke Has Occurred Visible in the Heart Rate Variability / J. Aftyka et al // J. Life. – 2022. – № 12. – P. 1659. https://doi.org/10.3390/life12101659.
35. Ischemic Stroke Risk Assessment by Multiscale Entropy Analysis of Heart Rate Variability in Patients with Persistent Atrial Fibrillation / G. Chairina et al // Entropy. – 2021, 23, 918. https://doi.org/10.3390/e23070918.
36. Baroreflex Sensitivity but Not Microvolt T-Wave Alternans Can Predict Major Adverse Cardiac Events in Ischemic Heart Failure / D.K. Kaufmann et al // Cardiol. J. – 2022. – № 29. – P. 1004-1012. https://doi.org/10.5603/CJ.a2020.0129.
37. Accuracy of Physicians Interpreting Photoplethysmography and Electrocardiography Tracings to Detect Atrial Fibrillation: INTERPRET-AF / H. Gruwez et al // Front. Cardiovasc. Med. – 2021. – № 8. – P. 734737. https://doi.org/10.3389/fcvm.2021.734737.

Ж.Е. Байғараева[1,2], А.К. Болтабоева[1,2]*, Б.Т. Иманбек[1], М.И. Кожамбердиева[1,2], Д.Н. Тұрмаханбет[1,2], А.Б. Бектурганова[1,2]
[1]Казахский национальный университет имени Аль-Фараби,
050040, Казахстан, Алматы, проспект Аль-Фараби 71
[2]ТОО «Kazakhstan R&D Solutions»,
050056, Казахстан, Алматы, улица Кожедуба 3
*e-mail: boltaboyeva_assiya3@live.kaznu.kz

АНАЛИЗ ВАРИАБЕЛЬНОСТИ СЕРДЕЧНОГО РИТМА НА ОСНОВЕ ФОТОПЛЕТИЗМОГРАФИИ С ПРИМЕНЕНИЕМ МЕТОДОВ МАШИННОГО ОБУЧЕНИЯ ДЛЯ НЕИНВАЗИВНОГО СКРИНИНГА ИШЕМИЧЕСКОЙ БОЛЕЗНИ СЕРДЦА С ИСПОЛЬЗОВАНИЕМ УСТРОЙСТВА ZHUREK IOT

Сердечно-сосудистые заболевания являются основной причиной смертности в мире, поэтому на ранних этапах неинвазивная оценка риска имеет важное значение как для профилактики, так и для эффективного распределения ресурсов здравоохранения. Вариабельность сердечного ритма (ВСР) является надежным показателем вегетативного баланса, однако в клинической практике до сих пор преимущественно используются длительные ЭКГ-записи, что ограничивает широкое применение. Несмотря на широкое распространение фотоплетизмографии (ФПГ), эффективность метрик ВСР, полученных из ФПГ, для выявления ишемической болезни сердца (ИБС) до конца не определена.

В данном исследовании ФПГ-сигналы, полученные с помощью недорогого устройства Zhurek, в сочетании с классификаторами машинного обучения позволили выявлять ИБС с точностью 90,82%. В сравнении с трехканальной холтеровской ЭКГ наблюдалось удовлетворительное согласие. Анализ SHAP и взаимной информации показал ключевую роль частотных показателей (HF, LF). Метод балансировки CTGAN повысил устойчивость обучения.

Полученные результаты подтверждают, что использование ФПГ может стать доступным и интерпретируемым способом скрининга ИБС. Следующие шаги – многоцентровые исследования, расширение набора признаков и внедрение методики в носимые устройства.

Ключевые слова: *ишемическая болезнь сердца (ИБС); сердечно-сосудистые заболевания; вариабельность сердечного ритма (ВСР, HRV); фотоплетизмография (ФПГ, PPG); устройство Zhurek IoT; Холтер-ЭКГ; машинное обучение (Machine Learning, ML); Random Forest; SHAP; CTGAN; синтетические данные; стратификация риска; амбулаторный мониторинг; телемедицина.*

Zh.Y. Baigarayeva[1,2], A.K. Boltaboyeva[1,2]*, B.T. Imanbek[1], M.I. Kozhamberdiyeva[1,2], D.N. Turmakhanbet[1,2], A.B. Bekturganova[1,2]
[1]Al-Farabi Kazakh National University,
050040, Kazakhstan, Almaty, Al-Farabi Avenue 71
[2]LLP «Kazakhstan R&D Solutions»,
050056, Kazakhstan, Almaty, Kozheduba str., 3
*e-mail: boltaboyeva_assiya3@live.kaznu.kz

PHOTOPLETHYSMOGRAPHY-BASED HEART RATE VARIABILITY ANALYSIS USING MACHINE LEARNING METHODS FOR NON-INVASIVE SCREENING OF CORONARY ARTERY DISEASE WITH THE ZHUREK IOT DEVICE

Cardiovascular diseases remain the leading cause of mortality worldwide; therefore, early-*stage noninvasive risk assessment is crucial both for prevention and for the efficient allocation of healthcare resources. Heart rate variability (HRV) is a reliable indicator of autonomic balance, yet in clinical practice it still relies mainly on long-term ECG recordings, which limits large-scale application. Although photoplethysmography (PPG) is widely available, the effectiveness of PPG-derived HRV metrics for detecting ischemic heart disease (IHD) has not been fully established.*

In this study, PPG signals obtained from a low-cost Zhurek device, combined with machine learning classifiers, enabled IHD detection with an accuracy of 90.82%. Comparison with three-channel Holter ECG showed satisfactory agreement. SHAP and mutual information analyses highlighted the dominant role of frequency-domain features (HF, LF). Data balancing using CTGAN improved training stability.

Overall, the results demonstrate that PPG-based HRV analysis offers a feasible, accessible, and interpretable approach for IHD screening. Future steps include multicenter validation, expansion of feature sets, and integration of the method into wearable devices.

Key words: *coronary artery disease (CAD); cardiovascular diseases; heart rate variability (HRV); photoplethysmography (PPG); Zhurek IoT device; Holter ECG; machine learning (ML); Random Forest; SHAP; CTGAN; synthetic data; risk stratification; ambulatory monitoring; telemedicine.*

Авторлар туралы ақпарат

Жанель Ермашқызы Байғараева – магистр, Әл-Фараби атындағы Қазақ ұлттық университеті, Алматы; e-mail: zhanel.baigarayeva@gmail.com. ORCID: https://orcid.org/0000-0003-1919-3570.

Асия Кубланди кызи Болтабоева* – магистр, PhD 3 курс студенті, Әл-Фараби атындағы Қазақ ұлттық университеті, Алматы; e-mail: boltaboyeva_assiya3@live.kaznu.kz. ORCID: https://orcid.org/0000-0002-7279-9910.

Бағлан Талғатқызы Иманбек – PhD, доцент, профессор-зерттеуші, Әл-Фараби атындағы Қазақ ұлттық университеті, Алматы; e-mail: baglan.imanbek@kaznu.edu.kz. ORCID: https://orcid.org/0000-0001-7249-380X.

Мергул Иманбековна Кожамбердиева – педагогика ғылымдарының кандидаты, Әл-Фараби атындағы Қазақ ұлттық университеті, Алматы; e-mail: kozhamberdiyeva.m@outlook.com.

Айман Болатовна Бектурганова – бакалавр 4 курс студенті, Әл-Фараби атындағы Қазақ ұлттық университеті, Алматы; e-mail: aiman0908b@gmail.com.

Информация об авторах

Жанель Ермашқызы Байғараева – магистр, Казахский национальный университет имени аль-Фараби, Алматы; e-mail: zhanel.baigarayeva@gmail.com. ORCID: https://orcid.org/0000-0003-1919-3570.

Асия Кубланди кызи Болтабоева* – магистр, PhD студентка 3 курса, Казахский национальный университет имени аль-Фараби, Алматы; e-mail: boltaboyeva_assiya3@live.kaznu.kz. ORCID: https://orcid.org/0000-0002-7279-9910.

Бағлан Талғатқызы Иманбек – PhD, доцент, профессор-исследователь, Казахский национальный университет имени аль-Фараби, Алматы; e-mail: baglan.imanbek@kaznu.edu.kz. ORCID: https://orcid.org/0000-0001-7249-380X.

Мергул Иманбековна Кожамбердиева – кандидат педогогических наук, Казахский национальный университет имени аль-Фараби, Алматы; e-mail: kozhamberdiyeva.m@outlook.com.

Айман Болатовна Бектурганова – бакалавр студентка 4 курса, Казахский национальный университет имени аль-Фараби, Алматы; e-mail: aiman0908b@gmail.com.

Information about the authors

Zhanel Yermashkyzy Baigarayeva – Master's degree holder, Al Farabi Kazakh National University, Almaty; e-mail: zhanel.baigarayeva@gmail.com. ORCID: https://orcid.org/0000-0003-1919-3570.

Assiya Kublandi kyzi Boltaboyeva* – Master's degree holder, 3rd-year PhD student, Al Farabi Kazakh National University, Almaty; e-mail: boltaboyeva_assiya3@live.kaznu.kz. ORCID: https://orcid.org/0000-0002-7279-9910.

Baglan Talgatkyzy Imanbek – PhD, Associate Professor, Research Professor, Al Farabi Kazakh National University, Almaty; e-mail: baglan.imanbek@kaznu.edu.kz. ORCID: https://orcid.org/0000-0001-7249-380X.

Mergul Imanbekovna Kozhamberdiyeva – Candidate of Pedagogical Sciences, Al Farabi Kazakh National University, Almaty; e-mail: kozhamberdiyeva.m@outlook.com.

Aiman Bolatovna Bekturganova – 4th year Bachelor's student, Al Farabi Kazakh National University, Almaty; e-mail: aiman0908b@gmail.com.

Редакцияға енуі 18.09.2025
Өңдеуден кейін түсуі 17.11.2025
Жариялауға қабылданды 18.11.2025

https://doi.org/10.53360/2788-7995-2025-4(20)-28

МРНТИ: 50.41.23; 81.93.29

CC BY 4.0
Check for updates

Б.А. Шырын[1]*, Т.А. Ahanger[2], А.К. Жумадиллаева[1], Г.Б. Бекешова[1]
[1]Евразийский национальный университет им. Л.Н. Гумилева,
010000 Республика Казахстан, г. Астана, ул. Сатпаева, 2
[2]Университет принца Sattam Bin Abdulaziz,
Королевство Саудовская Аравия, г. Эль-Хардж,
*e-mail: bexultan.shyryn@gmail.com

МНОГОЦЕЛЕВАЯ ЭВОЛЮЦИОННАЯ ОПТИМИЗАЦИЯ ПОЛИТИК БЕЗОПАСНОСТИ В ПРОГРАММНО-ОПРЕДЕЛЯЕМЫХ СЕТЯХ (SDN) С УЧЕТОМ ОГРАНИЧЕНИЙ TCAM И ЗАДЕРЖКИ

Аннотация: *Статья посвящена рассмотрению задачи оптимизации политик безопасности в программно-определяемых сетях (SDN). Решение этой проблемы авторы предлагают осуществлять с помощью NSGA-II – эффективного алгоритма эволюционной*

оптимизации множественных целей. Изложенный подход ориентирован на достижение баланса между необходимостью жестко обеспечивать сетевую безопасность и наличием ограниченных вычислительных ресурсов. Особое внимание уделяется таким факторам, как задержки передачи данных и размер таблиц TCAM, которые оказывают существенное влияние на эффективность фильтрации трафика. На основе построенной в статье модели, включающей оценки вероятностей угроз, методики нормализации целевых функций и использования штрафных коэффициентов за конфликты правил, оптимизацию проведены по трем ключевым параметрам: риску атак, задержкам в сети и загрузке TCAM. Проведенное моделирование охватило три сценария работы сети – нормальный, смешанный и атакующий – с применением пакетов Mininet и Ryu. Взаимосравнение предложенного метода с дифференциальной эволюцией (DE) и жадным алгоритмом (Greedy) показало, что NSGA-II достигает оптимального распределения решений по фронту Парето, быстрее сходится и при этом не теряет в точности фильтрации. В статье кроме того представлена визуализация смены поколений, компромиссные графики и профили нагрузки. В заключении рассматриваются перспективы интеграции предложенной модели с контроллерами ONOS и OpenDaylight; кроме того обсуждаются возможность использования гибридных решений на основе Deep Reinforcement Learning, Federated Learning и Explainable AI.

Ключевые слова: *программно-определяемые сети (SDN), многокритериальная оптимизация, эволюционные алгоритмы, NSGA-II, безопасность сети, обнаружение аномалий.*

Введение

Программно-определяемая сеть (SDN) радикально изменила традиционный подход к управлению сетевой инфраструктурой и безопасностью, обеспечив централизованное управление потоками данных и динамическое распределение политик безопасности. Однако появление единого центра принятия решений в виде SDN-контроллера создало новые угрозы и уязвимости, так как нарушение его работы может привести к компрометации всей сети [5]. Дополнительной проблемой являются избыточные и конфликтующие правила фильтрации, которые перегружают таблицы TCAM, увеличивают задержки и снижают пропускную способность сети [1-2]. В этих условиях ключевой задачей становится формирование сбалансированных политик безопасности, которые обеспечивают высокий уровень защиты при сохранении производительности и эффективности использования ресурсов.

Современные подходы к решению данной проблемы всё чаще основаны на методах многокритериальной оптимизации, позволяющих находить компромиссы между противоречивыми целями. Эволюционные алгоритмы, такие как NSGA-II, демонстрируют высокую эффективность при оптимизации политик безопасности в условиях неопределенности и динамических изменений сетевого трафика. Их применение в контексте SDN открывает возможности для интеллектуального, адаптивного управления, где безопасность, задержка и ресурсная нагрузка рассматриваются как взаимосвязанные критерии, требующие согласованной оптимизации.

Обзор литературы

Проблема обеспечения безопасности в SDN – это тема, которая обсуждается широко. В статье [1] рассматривается преобразование политики безопасности в правила, соответствующие OpenFlow, но вопрос об оптимизации этих правил не поднимается. В статье [2] предложен метод размещения контроллеров, являющийся модифицированной версией NSGA-II для многоцелевой задачи, дающий конкурентные результаты. В статье [3] авторы применили NSGA-II для задачи маршрутизации с учетом отказоустойчивости, но акцент на обеспечении безопасности неясен.

В статье [4] рассматривается многоцелевая оптимизация в промышленных системах управления (ICS), применяя эволюционные методы для обнаружения уязвимостей. Подход из [5] направлен на уменьшение и распределение правил TCAM для сжатия, но не учитывает динамической конфигурации. В [6] применено обучение с подкреплением для обнаружения атак, а в [7] применено обучение в федеративной среде на распределенных SDN-доменах. Кроме того, в [8] приведен гибридный NSGA-II с CNN для IDS [11]. Последние работы также предлагают использование трансформеров для увеличения точности обнаружения атак [12].

Несмотря на многочисленные исследования, являясь актуальными проблемами, пока недостаточно известно, как использовать сами политики безопасности с учетом таких противоположных целей, как минимизация риска, уменьшение задержек и ограничение использования TCAM. Данная работа заполняет этот пустой пространство, сочетая многоцелевую эволюционную оптимизацию с точной моделью ограничений и динамикой

трафика. Уникальностью является то, что мы впервые демонстрируем фронты Парето по метрикам безопасность-производительность в полной плотности, что свидетельствует об наличии компромиссов.

Постановка задачи и математическая модель

Рассмотрим программно-определяемую сеть (SDN), которая состоит из множества коммутаторов $S = \{s_1, s_2, \ldots, s_n\}$, управляемых центральным контроллером. Каждому коммутатору назначается набор правил безопасности $R = \{r_1, r_2, \ldots, r_m\}$, каждая из которых имеет следующие параметрами $r_i = (src_i, dst_i, proto_i, port_i, action_i, priority_i)$

Целью данного исследования является обозначить оптимальное подмножество $R^* \subset R$, которое соответствовало эффективной фильтрации вредоносного трафика с минимальными задержками и ресурсами (TCAM).

Сформулируем задачу многоцелевой оптимизации следующим образом:

$$\min_{R^*}[F_1(R), F_2(R), F_3(R), -F_4(R)]$$

где

- $\mathrm{F}_1(\mathrm{R})$: риск атак – доля вредоносных потоков, которых не удалось отфильтровать;
- $\mathrm{F}_2(\mathrm{R})$: средняя задержка трафика (мс);
- $\mathrm{F}_3(\mathrm{R})$: загрузка TCAM (%);
- $\mathrm{F}_4(\mathrm{R})$: через один пропуск (Мбит/с), максимизируется.

Вероятностная модель атак: считается, что каждая атака имеет вероятность проникновения, зависящую от наличия доступа подходящего правила и его приоритета. Общий риск можно вычислить по формуле:

$F_1(R) = \sum_{a \in A} \quad P_a \cdot (1 - Coverage(a, R))$

где P_a – вероятность атаки a, $Coverage$ - бинарная функция совпадения с правилом.

Наказания и ограничения:

- $P_{conflict}(R)$ - зона наказания за противоречивые правила;
- Ограничения: $F_3(R) \leq TCAM_{max}$, $F_2(R) \leq Delay_{max}$.

Нормализация целей:

$$F_i' = \frac{F_i(R) - F_i^{min}}{F_i^{max} - F_i^{min}}, i = 1..4$$

Итоговая функция приспособленности:

$$W(R) = w_1 F_1' + w_2 F_2' + w_3 F_3' - w_4 F_4' + P_{conflict}(R)$$

Считается, что правила частично совпадают по полям источника, назначении действию (ALLOW или DENY). Если только одно совпадение между правилами, то мы считаем, что правила не конфликтуют. В случае конфликта применяем штраф на приспособленность решения.

Если только одно совпадение между правилами, то мы считаем, что правила не конфликтуют. В случае конфликта применяем штраф на приспособленность решения.

Алгоритмы оптимизации. В работе реализованы и сравнены три подхода:

Greedy – наибольшую приоритет получают правила, которые содержат наибольший блок трафика.

Дифференциальная Эволюция (DE) – стохастический метод оптимизации с оператором мутации и кроссовера.

NSGA-II – многоцелевой эволюционный алгоритм, который использует non-dominated sorting, crowding distance и элитарность.

Предложенная математическая модель охватывает все ключевые аспекты задачи: риск атак в контексте безопасности, задержку и пропускную способность как показатели производительности, а также ограниченность памяти TCAM как ресурсное ограничение. Такой выбор метрик оправдан, поскольку усиление мер безопасности неизбежно сопровождается ухудшением производительности – увеличением задержек, снижением пропускной способности и ростом потребления ресурсов, что подтверждается результатами предыдущих исследований [1-2]. Учитывая вероятностный характер атак и введение штрафов за конфликтующие правила, предложенная модель отражает реальные условия работы SDN и служит надежной основой для многокритериальной оптимизации политики безопасности.

Результаты исследований

Среда экспериментов: Mininet 2.3.0, Ryu 4.34, Python 3.10
Сети: Fat-Tree (k=4), Linear, Ring
Генераторы трафика: iperf3, hping3
Сценарии:
Нормальный – только легитимный трафик.
Смешанный – легитимный и DoS-атаки вместе.
Атакующий – 80% вредоносного расхода (атаки hping3 флуда, сканирование TCP).
Параметры NSGA-II:
Размер популяции: 120
Количество поколений: 200
Вероятность кроссовера: 0.85
Вероятность мутации: 0.25

В каждом сценарии проводились измерения ряда ключевых метрик. Риск атак оценивался как доля вредоносного трафика, который не был заблокирован политикой, с учетом разработанной вероятностной модели. Средняя задержка определялась по времени прохождения тестовых пакетов между узлами, пропускная способность как фактическая скорость передачи легитимного трафика (по данным iperf3), а загрузка TCAM как процент занятости таблицы правил контроллера. Для повышения достоверности результатов каждая из метрик усреднялась на основе нескольких повторных запусков эксперимента.

Сводные численные результаты представлены в таблице 1, где показаны усреднённые значения риска, задержки, загрузки TCAM и пропускной способности для трёх алгоритмов.

Таблица 1 – Сравнительные результаты работы алгоритмов оптимизации политик безопасности в SDN

Метод	Риск (%)	Задержка (мс)	TCAM (%)	Проп. способ. (Мбит/с)
Greedy	1	55	95	6500
DE	4.5	30	75	8200
NSGA-II	2.3	20	50	9100

Сравнение методов по метрикам безопасности и производительности. На рисунке 1 показано сравнение трёх подходов – Greedy, DE и NSGA-II по ключевым метрикам риска, задержки, загрузки TCAM и пропускной способности. Greedy-метод практически исключает риск атак (~1%), но за счет резко возросшей задержки (~50 мс) и почти полного заполнения TCAM (~90%), что приводит к снижению пропускной способности сети. Heuristic-алгоритм демонстрирует более сбалансанные показатели (риск ~5%, задержка ~30 мс, TCAM ~60%, пропускная ~8 Гбит/с), но уступает по большинству метрик многоцелевому подходу NSGA-II. Решение NSGA-II достигает компромисса: риск атак снизился до ~3% при умеренной задержке (~20 мс) и загрузке TCAM (~50%), обеспечивая наибольшую пропускную способность (~9 Гбит/с). Такой результат свидетельствует, что эволюционный алгоритм NSGA-II сумел найти политику безопасности, превосходящую эвристический метод по совокупности показателей [2]. При этом небольшое увеличение риска по сравнению с greedy-решением оправдано значительным выигрышем в производительности сети.

Анализ результатов: одноцелевой жадный алгоритм (Greedy), фокусируясь на максимальном снижении риска, жертвует производительностью – дополнительная фильтрация трафика и многочисленные правила безопасности увеличивает задержки и снижает пропускную способность. Напротив, NSGA-II одновременно учитывает несколько целей и находит Парето-оптимальное решение, при котором улучшение одного показателя невозможно без ухудшения другого.

В итоге NSGA-II достигает лучшего баланса метрик: риск атак остается низким, а накладные задержки и нагрузка на ресурсы минимальны. Это согласуется с позицией теория компромиссов (trade-off) в кибербезопасности: попытки полностью устранить угрозы (свести риск к нулю) ведут к росту издержек – увеличению задержек, ресурсов и снижению пропускной способности. Многокритериальная оптимизация позволяет выработать компромиссную политику безопасности, обеспечивающую приемлемый уровень защиты при высоком качестве обслуживания сети.

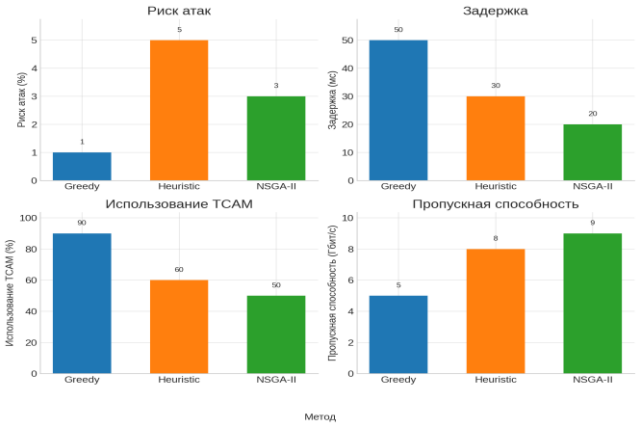


Рисунок 1 – Сравнение трёх подходов (Greedy, Heuristic, NSGA-II) по ключевым метрикам: риск атак, задержка, использование памяти TCAM и пропускная способность

Результаты NSGA-II в трёх сценариях трафика показано на рисунке 2 – нормальном, смешанном и атакующем. В нормальном режиме, без вредоносного трафика, алгоритм NSGA-II демонстрирует практически нулевой риск (около 2%), обеспечивая минимальную задержку (~10 мс), невысокую загрузку TCAM (примерно 30%) и высокую пропускную способность (~9,5 Гбит/с). При наличии смешанного трафика, когда в потоках встречаются отдельные вредоносные пакеты, риск повышается до 8% – алгоритм активирует дополнительные фильтры, что приводит к росту задержки (~20 мс), загрузке TCAM (~60%) и незначительному снижению пропускной способности (~8 Гбит/с). В условиях активной атаки нагрузка на систему возрастает максимально: риск атак достигает примерно 15% (часть атак всё же проходит), задержка удваивается вдвое (~40 мс), а пропускная способность падает до ~6 Гбит/с из-за необходимости обработки вредоносного трафика. TCAM при этом заполняется до 90% – для отражения атак требуется множество специализированных фильтров, которые занимают значительную часть таблицы потоков контроллера.

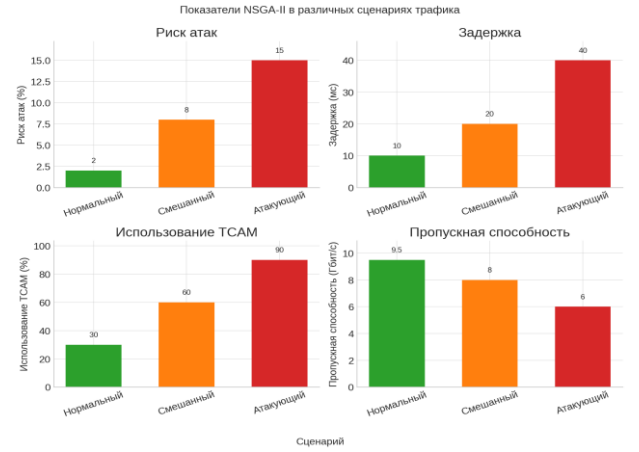


Рисунок 2 – Изменение метрик NSGA-II в трех сценариях трафика: нормальном (преимущественно легитимный трафик), смешанном и атакующем

Влияние разных сценариев на ключевые метрики отражает явный баланс между уровнем защиты и производительностью системы. При атакующем трафике NSGA-II активно использует ресурсы контроллера, добавляя правила для фильтрации вредоносных пакетов. В результате TCAM оказывается загруженной почти до 90%, что создает риск её переполнения. Это свидетельствует о том, что при высокой атакующей активности контроллеры и коммутаторы могут быть перегружены из-за большого количества создаваемых правил безопасности. Тем не менее, даже в условиях мощной атаки NSGA-II удаётся сохранить пропускную способность на уровне около 60% от исходной, предотвращая полный сбой в предоставлении сетевых услуг.

В отсутствие вредоносного трафика алгоритм практически не вмешивается: задержки и риски минимальны, TCAM используется умеренно, а пропускная способность близка к

максимальной. Следовательно, NSGA-II имеет возможность динамически регулировать политику безопасности в зависимости от текущей ситуации в сети – включая защиту только тогда, когда она действительно необходима. Такой подход обеспечивает гибкую адаптацию: высокую эффективность в нормальных условиях и надежную защиту при возникновении угроз.

Парето-фронт оптимальных решений NSGA-II. На рисунке 3 представлен Парето-фронт для двух целей – задержки и риска атак, а на рисунке 4 – трёхмерная модель, учитывающая также использование ресурсов TCAM.

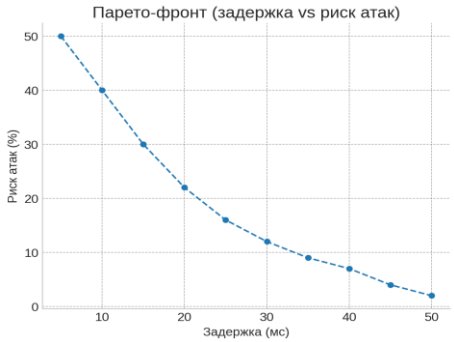


Рисунок 3 – Парето-фронт для двух целей – задержки и риска атак

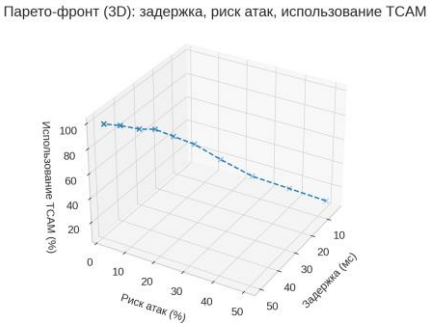


Рисунок 4 – Парето-фронт (3D) для трёх целей – задержки, риска атак и использования ресурсов (TCAM)

График наглядно демонстрирует разнообразие оптимальных решений, найденных алгоритмом NSGA-II, каждое из которых представляет собой уникальную политику безопасности с определённым набором правил. Каждая точка на графике – это вариант, при котором невозможно улучшить один показатель, например снизить риск, не ухудшив другой, например увеличив задержку. Кривая Парето ясно показывает компромисс: чтобы уменьшить риск атак с примерно 50% до около 2%, требуется увеличить среднюю задержку с примерно 5 мс до 50 мс. И наоборот, минимальные задержки на уровне обычной сети (~5 мс) возможны только при принятии высокого риска (~50%). Такая обратная зависимость - характерная черта конфликтующих целей. В средней части графика расположены сбалансированные решения, сочетающие умеренный риск (~15%) и приемлемую задержку (~20 мс). Эти варианты наиболее интересны на практике, так как обеспечивают разумный уровень защиты при умеренном влиянии на производительность.

Введение третьей оси – процент заполнения TCAM (ось Z) позволяет проанализировать, как меняется использование ресурсов контроллера вдоль линии оптимальных решений. Видно, что по мере снижения риска (движение влево по оси Y) и роста задержек (вдоль оси X), заполнение TCAM возрастает. Это означает, что более безопасные политики требуют большего числа правил, загружая TCAM почти до предела - до 98% в точке с минимальным риском (~2%). На противоположной стороне графика расположены решения с минимальной задержкой и низкой нагрузкой на TCAM (~10%), но с более высоким риском (~50%). Если учитывать также пропускную способность, Парето-фронт становится четырёхмерным. В данном случае представлены его двумерные и трёхмерные проекции для удобства визуализации. Многокритериальный алгоритм NSGA-II формирует целый набор

оптимальных решений, создавая поверхность Парето в пространстве метрик. Это предоставляет администраторам гибкость. Можно выбрать более рискованную, но экономичную политику или наоборот, усилить защиту, пожертвовав производительностью и ресурсами.

Конвергенция алгоритма NSGA-II по поколениям. На рисунке 5 показана динамика сходимости алгоритма NSGA-II по поколениям, отражающая улучшение метрик в ходе эволюции решений.

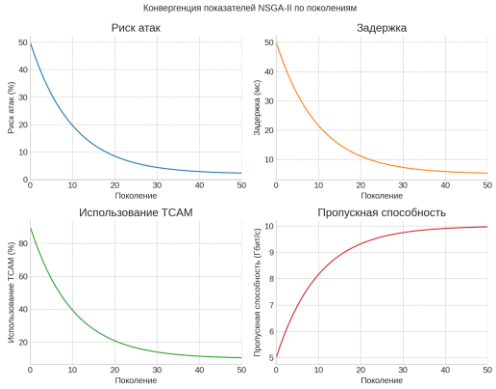


Рисунок 5 – Линии конвергенции NSGA-II – изменение лучших значений метрик по поколениям алгоритма

Графики наглядно демонстрируют, как в ходе эволюции популяции решений целевые показатели постепенно улучшаются. Примерно за 50 поколений алгоритм NSGA-II значительно снижает риск атак - с приблизительно 50% до 2%, и одновременно сокращает задержку с 50 мс до 5 мс. При этом уменьшается и загрузка памяти TCAM – с 90% до 10%. Параллельно с этим увеличивается максимальная пропускная способность: с 5 до 10 Гбит/с, что говорит о всё более эффективных решениях, находящихся алгоритмом. Форма кривых свидетельствует о сходимости – начиная с 30-40 поколений, улучшения по всем метрикам начинают замедляться, что указывает на достижение устойчивого уровня, близкого к оптимальному. Этот эксперимент подтверждает эффективность NSGA-II: благодаря механизму отбора и рекомбинации решений алгоритм быстро приближается к Парето-фронту. Замечено, что разные цели достигают стабильности в разное время: так, показатель пропускной способности стабилизируется уже к 20 поколению, в то время как риск атак продолжается снижаться до 40 поколения. Это связано с тем, что различные цели имеют разную степень сложности и в части компромиссов улучшая один параметр, NSGA-II старается не ухудшать другие.

Для иллюстрации компромиссов в таблице 2 приведены примеры трех Парето-оптимальных политик безопасности: с приоритетом максимальной безопасности, сбалансированной и ориентированной на максимальную производительность. Каждая из них представляет собой либо крайний, либо промежуточный вариант с соответствующими уровнями риска и эффективности.

Таблица 2 – Примеры решений на Парето-фронте при различном соотношении целей

Тип политики	Риск атак, %	Задержка, мс	TCAM, %	Пропускная способность, Мбит/с
Максимально безопасная	~2	~50	~98	~6500
Сбалансированная	~15	~20	~50	~8000
Максимально производительная	~50	~5	~10	~10000

Обсуждение научных результатов

Результаты экспериментов показали, что NSGA-II как по показателям безопасности, так и по показателям эффективности стабильно превосходит жадный алгоритм (Greedy) и метод дифференциальной эволюции (DE). Особенно хорошо NSGA-II справляется с задачей при высоких значениях сетевых угроз, когда важно быстро и сбалансировано отяготить ресурсы. Жадный подход может полностью снять риск атак путем жесткой фильтрации, но это

приведет к перегрузке TCAM и высоким задержкам, что неприемлемо. Хотя алгоритм DE достигает более сбалансированных результатов, для него характерна нестабильность, он хуже справляется с конфликтами правил. NSGA-II позволяет варьировать приоритеты, находить решения на Парето-фронте и является устойчивым к изменению сценариев трафика.

С точки зрения вычислительных затрат, предложенный метод требует больше времени по сравнению с алгоритмами Greedy и DE, однако остается вполне допустимым для офлайн оптимизации. В наших экспериментах алгоритм NSGA-II сходился примерно за 40-50 поколений при размере популяции 120, что эквивалентно нескольким минутам вычислений на стандартном оборудовании. Эти временные затраты оправданы улучшением качества полученных решений. При этом сам процесс оптимизации может выполняться асинхронно, то есть вне основного потока реального трафика, что сводит влияние на работу сети к минимуму.

На 2D и 3D изображениях Парето-фронтов можно четко увидеть компромиссные свойства: чтобы избавиться от риска, придется заплатить удручающей задержкой и загрузкой ресурсов. Наиболее сбалансированные решения лежат в центре фронта - с риском атак 2-5% и задержками до 20-25 мс. Анализ сходимости показал, что NSGA-II в среднем достигает стабильности по всем метрикам около 40-50 поколения, что свидетельствует о сбалансированном процессе эволюции и отборе подходящих вариантов. Оптимальными оказавшиеся значения весов (w1:w2:w3:w4)=(0.4:0.3:0.2:0.1), что означает акцент на минимизации риска и задержек, а также допуск загрузки TCAM и высокая пропускная способность.

Было замечено, что незначительные изменения в выбранных весовых коэффициентах приводят лишь к плавному смещению решений вдоль Парето-фронта, без резких скачков в качестве. К примеру, увеличение веса, отведённого пропускной способности, немного повышает допустимый уровень риска и одновременно снижает задержку в компромиссном решении – то есть происходит изменение приоритетов без потери оптимальности. Таким образом, полученное решение сохраняет устойчивость к умеренным изменениям в весах целей, что подтверждает гибкость предлагаемого метода и его адаптируемость под конкретные требования.

Перспективы развития

Исследование открывает новые весовые направления для развития модели, а также ее практического применения в реальных SDN-сетях:

Интеграция с ONOS и OpenDaylight - реализация предложенного подхода в виде модуля REST, используемого для реальной ведение-выводной политики безопасности.

Совмещение с методами глубокого обучения с подкреплением (Deep RL) – комбинирование NSGA-II совместно с PPO или DDPG для онлайн-обучения и для того, чтобы изменять веса целей по безопасности на основе наблюдений за сетью.

Federated Learning в мультидоменных SDN – обучение политик безопасности в распределенном виде без передачи конфиденциальных данных, что особенно важно для коллаборации между доменами и организациями [10].

Использование сверточных нейронных сетей (CNN) – для изучения сетевых шаблонов, прогнозирования потенциальной вредоносной активности и для динамического обновления приоритетов в NSGA-II.

Explainable AI (XAI) – возможность предоставлять объяснения по решениям отфильтровать трафик, в том числе суть, почему произошло блокирование конкретных связанных с сетевым потоком, что является актуальным для доверия операторам и для удобной налаживания системы [9].

Заключение

В данной работе был рассмотрен один из актуальных вопросов в области программно-определяемых сетей – оптимизация политик безопасности. Для решения многокритериальной задачи оптимизации в рамках SDN тут был применен NSGA-II, один из известных алгоритмов для этой цели. В расширенной модели учитывались вероятностная оценка атак, штрафы за конфликты правил и нормализация целевых функций, что существенно расширило возможности анализа сети. Проведённые эксперименты в Mininet с реалистичными сценариями трафика показали, что NSGA-II действительно выигрывает у Greedy и DE по качеству решения: Он находит более обширные Парето-множества, что

иллюстрирует большую гибкость алгоритма в поиске компромиссных решений. Исследование полученных Парето-фронтов показало, что во многих случаях невозможно минимизировать все цели одновременно, выявляя при этом "серые зоны" компромиссов, которые могут быть "золотой серединой" для практического применения. Визуализация результатов и исследование сходимости потенцировали стабильность и универсальность подхода.

На основании данного исследования могли бы быть продолжены работы в двух направлениях. Во-первых, следовало бы проверить и оценить разработанную модель на более крупных и сложных реальных или реальных для SDN сетей. Во-вторых, можно было бы объединить многокритерийную оптимизацию с хитрыми новейшими средствами искусственного интеллекта, что позволило бы находить более интересные решения или быстрее.

Список литературы

1. Optimal controller selection and migration in large scale software defined networks for next generation IoT / M. Shahzad et al // SN Applied Sciences. – 2023. – Vol. 5, Art. 309.
2. Adaptive population-based multi-objective optimization in SDN controllers for cost optimization / A.A. Qaffas et al // Physical Communication. – 2023. – Vol. 58, Art. 102006.
3. On the (in)security of the control plane of SDN architecture: A survey / Z.A. Bhuiyan et al // IEEE Access. – 2023. – Vol. 11. – P. 91550-91582.
4. Alzahrani A.O. ML-IDSDN: Machine learning based intrusion detection system for software-defined network / A.O. Alzahrani, M.J.F. Alenazi // Concurrency and Computation: Practice and Experience. – 2023. – Vol. 35, Art. e7438.
5. Towards robust SDN security: A comparative analysis of oversampling techniques with ML and DL classifiers / A. Bajenaid et al // Electronics. – 2025. – Vol. 14, № 5. – P. 995.
6. Mahadik S.S. Edge-Federated Learning-Based Intelligent Intrusion Detection System for Heterogeneous Internet of Things / S.S. Mahadik, P.M. Pawar, R. Muthalagu // IEEE Access. – 2024. – Vol. 12. – P. 81736-81757.
7. Survey of federated learning in intrusion detection / H. Zhang et al // Journal of Parallel and Distributed Computing. – 2025. – Vol. 195, Art. 104976.
8. Reinforcement learning-based SDN routing scheme empowered by causality detection and GNN / Y. He et al // Frontiers in Computational Neuroscience. – 2024. – Vol. 18, Article 1393025.
9. Explainable intrusion detection for cyber defences in the Internet of Things: Opportunities and solutions / N. Moustafa et al // IEEE Communications Surveys & Tutorials. – 2023. – P(99) 1-1.
10. Arreche O. XAI-IDS: Toward proposing an explainable artificial intelligence framework for enhancing network intrusion detection systems / O. Arreche, T. Guntur, M. Abdallah // Applied Sciences. – 2024. – Vol. 14, № 10, Art. 4170.
11. Ataa M.S. Intrusion detection in software defined network using deep learning approaches / M.S. Ataa, E.E. Sanad, R.A. El-khoribi // Scientific Reports. – 2024. – Vol. 14, Art. 29159.
12. Network intrusion detection model using wrapper-based feature selection and multi-head attention transformers / M. Umer et al // Scientific Reports. – 2025. – Vol. 15, Art. 28718.

Благодарность

Авторы выражают благодарность Министерству высшего образования и науки Республики Казахстан, выделившему грантовый проект на 2025-2027 годы. ИРН AP25796479.

Б.А. Шырын[1]*, Т.А. Ahanger[2], А.К. Жумадиллаева[1], Г.Б. Бекешова[1]

[1]Л.Н. Гумилев атындаағы Еуразия ұлттық университеті,
0100000, Қазақстан Республикасы, Астана қ., Сатпаев к-сі, 2
[2]Принс Саттам бин Абдулазиз университеті,
Сауд Арабия Корольдігі, Әл-Харж қ.
*e-mail: bexultan.shyryn@gmail.com

ТСАМ ЖӘНЕ КІДІРІС ШЕКТЕУЛЕРІ БЕРІЛГЕН БАҒДАРЛАМАЛЫ АНЫҚТАЛҒАН ЖЕЛІЛЕРДЕ (SDN) ҚАУІПСІЗДІК САЯСАТТАРЫН КӨП МАҚСАТТЫ ЭВОЛЮЦИЯЛЫҚ ОҢТАЙЛАНДЫРУ

Бұл мақала бағдарламалы анықталған желілердегі (SDN) қауіпсіздік саясатын оңтайландыру мәселесін қарастырады. Авторлар бұл мәселені шешуді көптеген мақсаттарды эволюциялық оңтайландырудың тиімді алгоритмі NSGA-II арқылы ұсынады. Ұсынылған тәсіл желілік

қауіпсіздікті қатаң сақтау қажеттілігі мен шектеулі есептеу ресурстарының қолжетімділігі арасындағы теңгерімге қол жеткізуге бағытталған. Трафикті сүзу тиімділігіне айтарлықтай әсер ететін деректерді берудің кешігуі және TCAM кестесінің өлшемі сияқты факторларға ерекше назар аударылады. Қауіптердің ықтималдығын бағалауды, мақсат функциясын қалыпқа келтіру әдістерін және ереже қайшылықтары үшін айыппұл коэффициенттерін пайдалануды қамтитын мақалада әзірленген модель негізінде оңтайландыру үш негізгі параметр бойынша орындалды: шабуыл қаупі, желі кідірісі және TCAM жүктемесі. Модельдеу Mininet және Ryu пакеттерін пайдалана отырып, қалыпты, аралас және шабуыл сияқты үш желі жұмысының сценарийін қамтыды. Ұсынылған әдісті дифференциалды эволюциямен (DE) және ашкөз алгоритммен (Greedy) салыстыру NSGA-II Парето шекарасы бойынша оңтайлы шешім бөлуге қол жеткізетінін, тезірек біріктірілетінін және сүзу дәлдігін сақтайтынын көрсетті. Сондай-ақ, қағазда ұрпақ ауысуларының, ауыспалы графиктердің және жүктеме профильдерінің визуализациясы ұсынылған. Қорытындыда ұсынылған үлгіні ONOS және OpenDaylight контроллерлерімен біріктіру әлеуеті талқыланады және Deep Reinforcement Learning, Federated Learning және Explainable AI негізіндегі гибридті шешімдерді пайдаланудың орындылығы талқыланады.

Түйін сөздер: *бағдарламалық қамтамасыз етумен анықталған желілер (SDN), көп мақсатты оңтайландыру, эволюциялық алгоритмдер, NSGA-II, желілік қауіпсіздік, аномалияны анықтау.*

B. Shyryn[1]*, T.A. Ahanger[2], A. Zhumadillayeva[1], G. Bekeshova[1]
[1]L.N. Gumilyov Eurasian National University,
0100000, Republic of Kazakhstan, Astana, Satpayev street, building 2
[2]Prince Sattam Bin Abdulaziz University,
Al Kharj, Saudi Arabia
*e-mail: bexultan.shyryn@gmail.com

MULTI-OBJECTIVE EVOLUTIONARY OPTIMIZATION OF SECURITY POLICIES IN SOFTWARE-DEFINED NETWORKS (SDN) GIVEN TCAM AND LATENCY CONSTRAINTS

This article examines the problem of optimizing security policies in software-defined networks (SDN). The authors propose solving this problem using NSGA-II, an efficient algorithm for evolutionary optimization of multiple objectives. The proposed approach aims to achieve a balance between the need to strictly enforce network security and the availability of limited computing resources. Particular attention is paid to factors such as data transmission latency and TCAM table size, which significantly affect the effectiveness of traffic filtering. Based on the model developed in the article, which includes threat probability assessments, objective function normalization methods, and the use of penalty coefficients for rule conflicts, optimization was performed across three key parameters: attack risk, network latency, and TCAM load. The simulation covered three network operation scenarios-normal, mixed, and attack-using Mininet and Ryu packets. A comparison of the proposed method with differential evolution (DE) and a greedy algorithm (Greedy) showed that NSGA-II achieves optimal solution distribution along the Pareto frontier, converges faster, and maintains filtering accuracy. The paper also presents visualization of generational transitions, tradeoff graphs, and load profiles. The conclusion discusses the potential for integrating the proposed model with ONOS and OpenDaylight controllers, and discusses the feasibility of using hybrid solutions based on Deep Reinforcement Learning, Federated Learning, and Explainable AI.

Key words: *software-defined networks (SDN), multi-objective optimization, evolutionary algorithms, NSGA-II, network security, anomaly detection.*

Сведения об авторах

Бексұлтан Андасұлы Шырын* – докторант кафедры компьютерной и программной инженерии факультета информационных технологий ЕНУ им. Л.Н. Гумилева, Астана, Казахстан; e-mail: bexultan.shyryn@gmail.com. ORCID: https://orcid.org/0009-0001-1880-1290.

Tariq Ahamed Ahanger – доктор PhD, доцент, университет принца Sattam Bin Abdulaziz, г. Эль-Хардж, Королевство Саудовская Аравия; e-mail: t.ahanger@psau.edu.sa. ORCID: https://orcid.org/0000-0002-4525-0738.

Айнур Канадиловна Жумадиллаева – кандидат технических наук, ассоциированный профессор кафедры компьютерной и программной инженерии факультета информационных технологий ЕНУ им. Л.Н. Гумилева, Астана, Казахстан; e-mail: Ay8222@mail.ru. ORCID: https://orcid.org/0000-0003-1042-0415.

Гульвира Бауыржановна Бекешова – магистр технических наук, старший преподаватель кафедры Информационной безопасности факультета информационных технологий ЕНУ им. Л.Н. Гумилева, Астана, Казахстан; e-mail: gulvirabauyrzhanovna@gmail.com. ORCID: https://orcid.org/0000-0002-1635-4693.

Information about the authors

Bexultan Shyryn* – PhD student of the Department of Computer and Software Engineering, IT Faculty at the L.N. Gumilyov ENU, Astana, Kazakhstan; e-mail: bexultan.shyryn@gmail.com. ORCID: https://orcid.org/0009-0001-1880-1290.

Tariq Ahamed Ahanger – Doctor of Philosophy, Professor (Associate) at Prince Sattam Bin Abdulaziz University, Al Kharj, Saudi Arabia; e-mail: t.ahanger@psau.edu.sa. ORCID: https://orcid.org/0000-0002-4525-0738.

Aynur Zhumadillayeva – Associate Professor of the Department of Computer and Software Engineering, IT Faculty at the L.N. Gumilyov ENU, Astana, Kazakhstan; e-mail: Ay8222@mail.ru. ORCID: https://orcid.org/0000-0003-1042-0415.

Gulvira Bekeshova – Senior Lecturer at the Department of Information Security, IT Faculty at the L.N. Gumilyov ENU, Astana, Kazakhstan; e-mail: gulvirabauyrzhanovna@gmail.com. ORCID: https://orcid.org/0000-0002-1635-4693.

Авторлар туралы мәліметтер

Бексұлтан Андасұлы Шырын* – Л.Н. Гумилева ат. ЕҰУ Ақпараттық технологиялар факультетінің Компьютерлік және программалық инженерия кафедрасының докторанты, Астана, Қазақстан; e-mail: bexultan.shyryn@gmail.com. ORCID: https://orcid.org/0009-0001-1880-1290.

Tariq Ahamed Ahanger – PhD докторы, доцент, Принс Саттам бин Абдулазиз университеті, Әл-Харж, Сауд Арабия Корольдігі; e-mail: t.ahanger@psau.edu.sa. ORCID: https://orcid.org/0000-0002-4525-0738.

Айнур Канадиловна Жумадиллаева – Л.Н. Гумилева ат. ЕҰУ Ақпараттық технологиялар факультетінің Компьютерлік және программалық инженерия кафедрасыны доценті, Астана, Қазақстан; e-mail: Ay8222@mail.ru. ORCID: https://orcid.org/0000-0003-1042-0415.

Гульвира Бауыржановна Бекешова – Л.Н. Гумилева ат. ЕҰУ Ақпараттық технологиялар факультетінің Ақпараттық қауіпсіздік кафедрасының аға оқытушысы, техникалық ғылымдар магистрі., Астана, Қазақстан; e-mail: gulvirabauyrzhanovna@gmail.com. ORCID: https://orcid.org/0000-0002-1635-4693.

Поступила в редакцию 20.10.2025
Поступила после доработки 02.12.2025
Принята к публикации 05.12.2025

https://doi.org/10.53360/2788-7995-2025-4(20)-29

BY 4.0
Check for updates

МРНТИ: 65.13.13

М.К. Шаяхметова[1]*, Б.А. Лобасенко[2], Г.Б. Абдилова[1], Н.К. Ибрагимов[1], Ә.С. Шенгельбаев[1]
[1]Шәкәрім университет,
071412, Республика Казахстан г. Семей, ул. Глинки, 20 А
[2]Кемеровский государственный университет,
650000, Кемерово, Россия, ул. Красная, 6
*e-mail: madina07sh@mail.ru

РАСЧЕТ ШНЕКА И ОБЛАСТЬ ПРИМЕНЕНИЯ

Аннотация: *В настоящее время в различных отраслях промышленности используют множество видов центробежного оборудования. В их числе: непрерывно действующие фильтровальные шнековые центрифуги, пульсирующие, инерционные, с вибрационной выгрузкой осадка и отстойно-шнековые центрифуги. Это – наиболее эффективное оборудование, используемое в пищевой и мясной промышленности и обеспечивающее высококачественное разделение жидких неоднородных систем [1].*

Шнековые устройства, применяемые в пищевых отраслях делятся на шнеки: транспортирующие и прессующие.

Прессующие шнеки назначены для создания повышенного давления в продукте с целью изменения его физических свойств, формы и соотношения между твердой и жидкой фазами.

Особенностью прессующих шнеков является высокое давление: до 6-20 МПа и небольшая частота вращения: 5-30 об/мин.

Для перемещения продукта предназначаются транспортирующие шнеки. Они дополнительно могут выполнять функции дозирования, смешивания.

Они имеют более высокие частоты, вращения: от 50-400 об/мин и не должны создавать избыточные давления на продукт, а также не переизмелчать транспортируемый материал.

Как рабочий орган-шнек имеет следующие достоинства: простота конструкции, универсальность, компактность, и малая стоимость.

В исследовательских работах геометрические размеры рассматриваются обобщенно и берутся на основе закономерностей среднего значения. Это не может в полной мере дать точное описание протекающего процесса. Данные факты свидетельствуют о том, что процесс разделения жидких неоднородных систем в центробежном оборудовании все еще требует большого количества исследований.

Ключевые слова: *центрифуга, шнек, процесс, технология, прочность, коэффициент трения, шнековое устройство.*

Введение

В ходе процесса шнек-питатель в постоянном режиме подаёт исходное жировое сырьё в центрифугу, в которой непрерывно происходит разделение среды на шквару и фугат с одновременным фильтрованием шквары. Шквара подаётся шнеком вертикально вверх и через патрубок поступает в выгрузочный бункер [2].

Одновременно необходимо контролировать стабильность оптимальной частоты вращения ротора барабана центрифуги. В то же самое время требуется поддерживать стабильность подачи выгрузочного шнека в соответствии с расчётными данными и регулировкой

Таким образом, необходимым условием стабильной, синхронной работы установки является стабильная работа частотных регуляторов всех трёх электродвигателей приводов [2].

Наиболее простой способ – это применение электродвигателей постоянного тока с использованием выпрямителей для переменного тока.

С целью дальнейшего совершенствования синхронности и устойчивости работы установки все регуляторы должны быть встроены в АСУ ТП [2].

Работа основана на опыте отечественных и зарубежных учёных.

Большой вклад в разработку теории и совершенствование конструкций пищевых центрифуг, технико-экономической оптимизацией работы последних внесли отечественные учёные: Г.М. Знаменский, В.И. Соколов, Е.В Томбаев, С.М. Гребенюк, А.И. Пелеев, С.Г. Либерман, В.Г. Жуков, В.И. Аснера, Г.И. Бремера, В.А. Гельперина, И.А. Рогов, А.В. Горбатов, А.Н. Мачихин, М.Б. Азаров, У.Ч. Чоманов, Д.Т. Жайлаубаев, С.Н. Туменов, Е.С. Спандияров, А.Б. Оспанов, С.В. Федотов, А.Е. Еренгалиев, А.К. Какимов, А.Л. Касенов.

Следует отметить авторов конструкций горизонтальных шнековых центрифуг для разделения жира: Г.Е. Лимонов, В.А. Деханов (линия Я8-ФОБ-М); фильтрующих центрифуг для извлечения жира из измельчённой кости М.Л. Файвишевский, С.Г. Либерман, К.Д Синицын, В.П Петровский (ФМД-802К-05 в линии Я8-ФЛК); М.Л. Файвишевский, Н.П. Кузьменко (интегральная обработка мякотного сырья на усовершенствованной машине Я8-ФИБ).

Материалы и методы исследования

При расчете вертикальных шнековых транспортеров неизвестными являются также геометрические и кинематические характеристики шнека.

Отличие от горизонтальных конвейеров заключается в том, что частота вращения винта вертикального винтового конвейера не может быть какой угодно.

Необходимо определить, при какой частоте вращения винта груз будет перемещаться вверх [71-81].

В качестве критической скорости винта vкр принимают такую линейную скорость точек наружной поверхности шнека, при которой частица не имеет движения вдоль оси; при этом сумма всех сил, спроектированных на направление, касательное к поверхности винта р—р, будет равна нулю.

Уравнение равновесия всех сил будет иметь вид:

$$f_{ж} \cdot \frac{\mathrm{m} \cdot \mathrm{v}^{2}_{\mathrm{кр}}}{\mathrm{R}} \cdot \cos\beta - mg \cdot \sin\beta - \frac{mv_{кр}^{\ 2}}{\mathrm{R}} \cdot f_{ж} \cdot f_{B} \cdot \sin\beta - f_{B} \cdot mg \cdot \cos\beta = 0 \qquad \textbf{(1)}$$

где R – радиус винта, м;

m – масса шквары, кг;

m·v2/R – центробежная сила, Н;

fж – коэффициент трения массы о жёлоб;

fВ– коэффициент трения между частицами массы;

β – угол между осью т и направлением прижимающей силы.

vкр – критическая скорость движения массы, м/с.

2. Решаем данное уравнение относительно критической скорости vкр

$$\mathrm{v}_{\mathrm{кр}} = \sqrt{\frac{\mathrm{gR} \cdot \left(\sin\beta + \mathrm{f}_{\mathrm{B}} \cdot \cos\beta\right)}{\mathrm{f}_{ж} \cdot \left(\cos\beta - mg \cdot \sin\beta\right)}} = \sqrt{\frac{\mathrm{gR} \cdot \mathrm{tg}\left(\beta + \alpha\right)}{\mathrm{f}_{\mathrm{ж}}}} \qquad \textbf{(2)}$$

где α – угол между направлением р и n.

3. Из данного уравнения после элементарных преобразований получаем допустимое число оборотов винта вертикального шнека (рис. 1), n:

$$\mathrm{n}_{\mathrm{кр}} = \frac{30}{\pi} \sqrt{\frac{2\mathrm{g} \cdot tg\left(\beta + \alpha\right)}{\mathrm{D}_{\mathrm{B}} \cdot \mathrm{f}_{ж}}} \qquad (3)$$

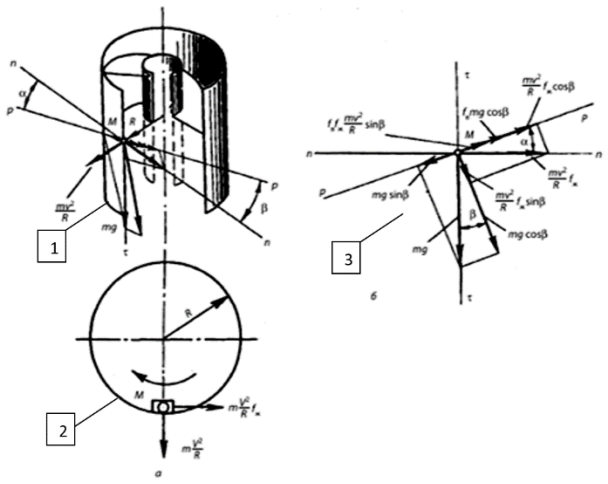


Рисунок 1 – Схема сил, действующих в вертикальном выгрузочном шнеке
1 – лопасть вертикального выгрузочного шнека; 2 – схема сил на виде сверху (в плане);
3 – схема сил на виде спереди (фронтально)

Условные обозначения:

$\frac{m \cdot v^2}{R}$ - центробежная сила, действующая на выгрузочную массу, Н;

$\frac{m \cdot v^2}{R} f$ - сила ттрения действующая на выгрузочную массу, Н

mg - сила т тяжест действующая на выгрузочную массу, Н

R – рабочий радиус лопасти, м.
n – нормаль
p – касательная
т – вертикальная ось
α, β – углы между нормалью и касательной.

Сырье упруго-пластичная во время подачи центрифуги создает винт:

а) осевая непрерывная нагрузка с интенсивностью q, которая изменяется по длине винта в соответствии с линейным законом;

$$q_x = \frac{P_x}{l} \cdot \frac{R_2^2 - R_1^2}{2} \cdot \varphi$$

где: P – давление подачи в шнеке;
ℓ – рабочая длина шнека, равная 3S;
α – угол подъема винта шнека;
R_1 и R_2 – внутренний и наружный радиусы шнека;
φ = 2π/S, потому что, когда точка движется по спиральной линии, угловое смещение точки 2π, соответствует ее осевому смещению, равному шагу S, а угловое смещение под углом φ соответствует смещению вдоль оси, равному *x*.

Внешние нагрузки, действующие на сырье и опорное оборудование, вызывают следующие виды деформации корпуса винта:

а) кручение от концентрированного крутящего момента, который представляет собой момент реакции на опоре шнека со стороны питающего отверстия, и непрерывного равномерного увеличения крутящего момента с интенсивностью m_x;

б) продольный-поперечный изгиб, при котором продольная нагрузка, действующая на шнек, состоит из концентрированной силы, которая является реакцией неподвижной опоры, и постоянной осевой нагрузки, которая изменяется в соответствии с линейным законом.

Эквивалентное напряжение:

$$\sigma_{экв} = \sqrt{\sigma_{сж}{}^2 + 4\tau^2}, МПа.$$

Последний виток шнека следует рассчитать на прочность(рис. 2).

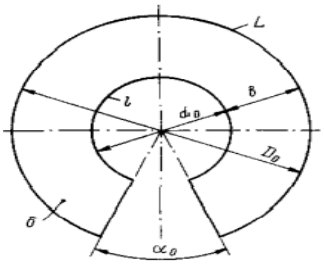


Рисунок 2 – Кольцо-заготовка витка шнека

В этом случае наибольший изгибающий момент на внутреннем контуре такой пластинки, выполненной из стали будет равен.

Величина изгибающего момента для любого сечения лопасти:

$$M_z = \frac{p\varphi_1 x^2}{6R_1}(3R_2 - x), H \cdot м$$

где: *x* – расстояние от вершины лопасти до сечения, в котором определяется напряжения;

b – толщина лопасти шнека.

Результаты и обсуждение

Принцип работы шнековых устройств заключается в том, что при вращении шнека проукт совершает сложное винтовое движение: вращение вокруг оси шнека и поступательное перемещение. Вращение обусловлено наличием трения между проуктом и витком. Продукт передвигается вдоль шнека по межвитковой спирали и его осевое перемещение сочетаются с вращением.

Заключение

Разработана инженерная методика для технологического расчёта центрифуги, которая демонстрирует наибольшую эффективность при непрерывной работе. Выявлены ключевые факторы, а также рассчитана мощность шнекового питателя, который подает сырьё. Для достижения оптимальной синхронности и стабильности работы установки в непрерывном режиме необходимо обеспечить баланс производительности всех трёх компонентов блок-схемы. Стабильность и синхронность работы установки будут достигаться за счёт контроля равномерности загрузки жирового сырья, точности подачи шнека и стабилизации частоты вращения его привода.

Список литературы

1. Physical Modeling of the Process of Centrifugation of Crushed Bovine Bones to Separate Animal Fat and Meat–Bone Slurry / M. Shayakhmetova et al // – 2023. – № 13. – 11808 p. https://doi.org/10.3390/app132111808.

2. Пат. 35832 Республика Казахстан, Казахстан, МПК 51 B02C 18/36 (2006.01). Центрифуга для разделения жидких неоднородных систем // Шаяхметова М.К., Касенов А.Л., Ибрагимов Н.К. РГП «Национальный институт интеллектуальной собственности». бюл. № 45 – 09.09.2022. – 4 с.

3. Центрифуга для разделения жидких неоднородных систем / М.К. Шаяхметова и др. // Международная научно-практическая конференция НАО «Университет имени Шакарима города Семей», 1.04.2022 г. – С. 261-262.

4. Howlett G.J. Analytical Ultracentrifugation for the Study of Protein Association and Assembly / G.J. Howlett, A.P. Minton, G. Rivas // Current Opinion in Chemical Biology. – 2006. – Vol. 10. – P. 430-436.

5. Records A. Decanter Centrifuge Handbook / A. Records, K. Sutherland // Elsevier Science. – 2001.

6. Wallace Woon-Fong Leung, Industrial Centrifugation Technology, McGraw-Hill Professional. – 1998.

7. Dr.-Ing. A. Karolis, Die Technologie der Vollmantel-Schneckenzentrifugen, Zentrifugen in der grosstechnischen Anwendung, 07-08/12/1999 Haus der Technik, Essen.

8. Sokolow J. Moderne Industriezentrifugen, VEB-Verlag Technik, Berlin, 1971
9. Product brochure, Decanter centrifuge technology, Alfa Laval Nils Schwarz, Selecting the right centrifuge – the jargon demystified.
10. Frank H. Stephenson,Centrifugation in Calculations for Molecular Biology and Biotechnology (Third Edition), 2016.
11. Frank H. Stephenson, Centrifugation in Calculations for Molecular Biology and Biotechnology (Second Edition), 2010.
12. Khalid Z. Masoodi, Rovidha Saba Rasool, Centrifugation in Advanced Methods in Molecular Biology and Biotechnology, 2021
13. Zhou J.L. Centrifugation in Comprehensive Sampling and Sample Preparation, 2012
14. E. Abraham, E. McAfee, Centrifugation in Mesenchymal Stromal Cells, 2017
15. T.G. Aw, S.H. Te, Centrifugation in Comprehensive Sampling and Sample Preparation, 2012.

References

1. Physical Modeling of the Process of Centrifugation of Crushed Bovine Bones to Separate Animal Fat and Meat–Bone Slurry / M. Shayakhmetova et al // – 2023. – № 13. – 11808 r. https://doi.org/10.3390/app132111808. (In English).
2. Pat. 35832 Respublika Kazakhstan, Kazakhstan, MPK 51 V02S 18/36 (2006.01). Tsentrifuga dlya razdeleniya zhidkikh neodnorodnykh sistem // Shayakhmetova M.K., Kasenov A.L., Ibragimov N.K. RGP «Natsional'nyi institut intellektual'noi sobstvennostI». byul. № 45 – 09.09.2022. – 4 c. (In Russian).
3. Tsentrifuga dlya razdeleniya zhidkikh neodnorodnykh sistem / M.K. Shayakhmetova i dr. // Mezhdunarodnaya nauchno-prakticheskaya konferentsiya NAO «Universitet imeni Shakarima goroda SemeI», 1.04.2022 g. – S. 261-262. (In Russian).
4. Howlett G.J. Analytical Ultracentrifugation for the Study of Protein Association and Assembly / G.J. Howlett, A.P. Minton, G. Rivas // Current Opinion in Chemical Biology. – 2006. – Vol. 10. – R. 430-436. (In English).
5. Records A. Decanter Centrifuge Handbook / A. Records, K. Sutherland // Elsevier Science. – 2001. (In English).
6. Wallace Woon-Fong Leung, Industrial Centrifugation Technology, McGraw-Hill Professional. – 1998. (In English).
7. Dr.-Ing. A. Karolis, Die Technologie der Vollmantel-Schneckenzentrifugen, Zentrifugen in der grosstechnischen Anwendung, 07-08/12/1999 Haus der Technik, Essen. (In English).
8. Sokolow J. Moderne Industriezentrifugen, VEB-Verlag Technik, Berlin, 1971. (In English).
9. Product brochure, Decanter centrifuge technology, Alfa Laval Nils Schwarz, Selecting the right centrifuge – the jargon demystified. (In English).
10. Frank H. Stephenson,Centrifugation in Calculations for Molecular Biology and Biotechnology (Third Edition), 2016. (In English).
11. Frank H. Stephenson, Centrifugation in Calculations for Molecular Biology and Biotechnology (Second Edition), 2010. (In English).
12. Khalid Z. Masoodi, Rovidha Saba Rasool, Centrifugation in Advanced Methods in Molecular Biology and Biotechnology, 2021. (In English).
13. Zhou J.L. Centrifugation in Comprehensive Sampling and Sample Preparation, 2012. (In English).
14. E. Abraham, E. McAfee, Centrifugation in Mesenchymal Stromal Cells, 2017. (In English).
15. T.G. Aw, S.H. Te, Centrifugation in Comprehensive Sampling and Sample Preparation, 2012. (In English).

М.К. Шаяхметова[1]*, Б.А. Лобасенко[2], Г.Б. Абдилова[1], Н.К. Ибрагимов[1], Ә.С. Шенгельбаев[1]
[1]Шәкәрім университеті,
071412, Қазақстан Республикасы, Семей қ., Глинки к-сі, 20 А
[2]Кемерово мемлекеттік университеті, 650000, Кемерово, Ресей
*e-mail: madina07sh@mail.ru

ШНЕКТІ ЕСЕПТЕУ ЖӘНЕ ҚОЛДАНУ САЛАСЫ

Қазіргі уақытта әртүрлі салаларда ортадан тепкіш жабдықтардың көптеген түрлері қолданылады. Олардың ішінде: үздіксіз жұмыс істейтін шнекті сүзгіш центрифугалар, пульсациялық,

инерциялық, тұнбаны дірілдетіп түсіру және шнекті тұндырғыш центрифугалар. Бұл тамақ және ет өнеркәсібінде қолданылатын және сұйық біртексіз жүйелердің жоғары сапалы бөлінуін қамтамасыз ететін ең тиімді жабдық болып табылады [1].

Тамақ өнеркәсібінде қолданылатын шнекті құрылғылар тасымалдау және престеу шнектеріне бөлінеді.

Престеу шнектері оның физикалық қасиеттерін, пішінін және қатты және сұйық фазалар арасындағы қатынасын өзгерту үшін өнімде жоғары қысым жасау үшін тағайындалады.

Престеу шнектерінің ерекшелігі - 6-20 МПа дейінгі жоғары қысым және 5-30 айн/мин төмен айналу жиілігі.

Өнімді жылжыту үшін тасымалдау шнектері бар. Олар қосымша мөлшерлеу, араластыру функцияларын орындай алады.

Олар 50-ден 400 айн/мин-ге дейінгі жоғары айналу жиіліктеріне ие және өнімге артық қысым жасамауы керек, сонымен қатар тасымалданатын материалды қайта ұнтақтамауы тиіс.

Шнектің жұмысшы органы ретінде келесі артықшылықтар бар: құрылмасының қарапайымдылығы, әмбебаптығы, шағын және құны төмен.

Зерттеу жұмыстарында геометриялық өлшемдер жалпыланған түрде қарастырылады және орташа заңдылықтар негізінде алынады. Бұл ағымдағы процестің толық сипаттамасын бере алмайды. Бұл фактілер ортадан тепкіш жабдықта сұйық біртексіз жүйелерді бөлу процесі әлі де көп зерттеуді қажет ететінін көрсетеді.

Түйін сөздер: *центрифуга, шнек, процесс, технология, беріктік, үйкеліс коэффициенті, шнек құрылғысы.*

M. Shayakhmetova[*], B. Lobasenko[2], G. Abdilova[1], N. Ibragimov[1], A. Shengelbaev[1]
[1]Shakarim University of Semey,
071412, Republic of Kazakhstan, Semey, st. Glinka, 20A
[2]Kemerovo State University,
650000, Kemerovo, Russia
*e-mail: madina07sh@mail.ru

AUGER CALCULATION AND SCOPE OF APPLICATION

Currently, many types of centrifugal equipment are used in various industries. Among them:continuously operating filter screw centrifuges, pulsating, inertial, vibrationally discharged sludge and settling screw centrifuges. It is the most efficient equipment used in the food and meat industry and provides high-quality separation of liquid heterogeneous systems [1].

Screw devices used in the food industry are divided into augers: conveying and pressing.

The pressing screws are designed to create increased pressure in the product in order to change its physical properties, shape and ratio between the solid and liquid phases.

The special feature of the pressing screws is high pressure: up to 6-20 MPa and low rotation speed: 5-30 rpm.

Transporting screws are provided to move the product. They can additionally perform the functions of dosing and mixing.

They have higher rotational speeds: from 50 to 400 rpm and should not create excessive pressure on the product, as well as not over–pump the transported material.

As a working body, the auger has the following advantages: simplicity of design, versatility, compactness, and low cost.

In research papers, geometric dimensions are considered generically and are taken based on the patterns of the average value. This cannot fully provide an accurate description of the ongoing process. These facts indicate that the separation of liquid heterogeneous systems in centrifugal equipment still requires a large amount of research.

Key words: *centrifuge, auger, process, technology, strength, coefficient of friction, screw device.*

Сведения об авторах

Мадина Канатовна Шаяметова* – PhD, НАО «Шәкәрім университет», г. Семей, Республика Казахстан; e-mail: madina07sh@mail.ru. ORCID: https://orcid.org/0000-0002-5133-4348.

Борис Анатольевич Лобасенко – доктор технических наук, профессор кафедры «Промышленный дизайн», Кемеровский Государственный университет, Россия; e-mail: lobasenko@mail.ru. ORCID: https://orcid.org/0000-0003-0245-7904.

Галия Бекеновна Абдилова – кандидат технических наук, ассоциированный профессор, заведующая кафедрой «Технологическое оборудование», Шәкәрім университет, г. Семей, Республика Казахстан; e-mail: abdilova1979@bk.ru. ORCID: https://orcid.org/0000-0002-6647-6314.

Надир Кадырович Ибрагимов – кандидат технических наук, старший преподаватель кафедры «Технологическое оборудование», Шәкәрім университет, г. Семей, Республика Казахстан; e-mail: ibragimnk@mail.ru. ORCID: https://orcid.org/0000-0001-9607-823X.

Әди Сержанұлы Шенгельбаев – студент образовательной программы 6В07105 - «Технологические машины и оборудование», Шәкәрім университет, г. Семей, Республика Казахстан; e-mail: shengelbaevadi.2004@gmail.com. ORCID: https://orcid.org/0009-0007-2652-9243.

Авторлар туралы мәліметтер

Мадина Канатовна Шаяхметова* – PhD, Шәкәрім университеті, Семей қаласы, Қазақстан Республикасы; e-mail: madina07sh@mail.ru. ORCID: https://orcid.org/0000-0002-5133-4348.

Борис Анатольевич Лобасенко – техника ғылымдарының докторы, «Өнеркәсіптік дизайн» кафедрасының профессоры, Кемерово мемлекеттік университеті, Ресей Федерациясы; e-mail: lobasenko@mail.ru. ORCID: https://orcid.org/0000-0003-0245-7904.

Галия Бекеновна Абдилова – техника ғылымдарының кандидаты, қауымдастырылған профессор, «Технологиялық жабдықтар» кафедрасының меңгерушісі, Шәкәрім университеті, Семей қаласы, Қазақстан Республикасы; e-mail: abdilova1979@bk.ru. ORCID: https://orcid.org/0000-0002-6647-6314.

Надир Кадырович Ибрагимов – техника ғылымдарының кандидаты, «Технологиялық жабдықтар» кафедрасының аға оқытушысы, Шәкәрім университеті, Семей қаласы, Қазақстан Республикасы; e-mail: ibragimnk@mail.ru. ORCID: https://orcid.org/ 0000-0001-9607-823X.

Әди Сержанұлы Шенгельбаев – 6В07105 «Технологиялық машиналар мен жабдықтар» білім беру бағдарламасының студенті, Шәкәрім университеті, Семей қаласы, Қазақстан Республикасы; e-mail: shengelbaevadi.2004@gmail.com. ORCID: https://orcid.org/0009-0007-2652-9243.

Information about the authors

Madina Shayakmetova* – PhD, Shakarim University, Semey city, Republic of Kazakhstan; e-mail: madina07sh@mail.ru. ORCID: https://orcid.org/0000-0002-5133-4348.

Boris Lobasenko – Doctor of Technical Sciences, Professor, Industrial Design Department, Kemerovo State University, Russian Federation; e-mail: lobasenko@mail.ru. ORCID: https://orcid.org/0000-0003-0245-7904.

Galiya Abdilova – Candidate of Technical Sciences, Associate Professor, Head of the Department of «Technological Equipment», Shakarim University, Semey city, Republic of Kazakhstan; e-mail: abdilova1979@bk.ru. ORCID: https://orcid.org/0000-0002-6647-6314.

Nadir Ibragimov – candidate of Technical Sciences, senior lecturer «Technological Equipment», Shakarim University, Semey city, Republic of Kazakhstan; e-mail: ibragimnk@mail.ru. ORCID: https://orcid.org/ 0000-0001-9607-823X.

Adi Shengelbaev – student of the educational program 6B07105 – «Technological machines and equipment», Shakarim University, Semey city, Republic of Kazakhstan; e-mail: shengelbaevadi.2004@gmail.com. ORCID: https://orcid.org/0009-0007-2652-9243.

Поступила в редакцию 16.05.2025
Поступила после доработки 26.08.2025
Принята к публикации 29.08.2025

https://doi.org/10.53360/2788-7995-2025-4(20)-30

CC BY 4.0
Check for updates

МРНТИ: 55.38.29

Е.А. Толекенов*, Е.Я. Шаяхметов, Р.А. Советбаев, Г.М. Кудайбергенова
Шәкәрім университет,
071412, Республика Казахстан, г. Семей, ул. Глинки, 20 А
*e-mail: yerassultol@gmail.com

ПЕРСПЕКТИВЫ И КОНСТРУКТИВНОЕ ОБЕСПЕЧЕНИЕ НАКОПИТЕЛЕЙ ЭНЕРГИИ СЖАТОГО ВОЗДУХА (CAES)

Аннотация: *Технология CAES сочетает механическую и термодинамическую формы хранения энергии. Она может быть масштабирована от локальных модульных установок до промышленных решений. Главные преимущества: большой объём хранения энергии, длительное время работы без подзарядки, возможность интеграции с солнечными и ветровыми электростанциями, потенциально низкая стоимость при массовом внедрении. В условиях роста*

доли возобновляемых источников энергии (ВИЭ) и необходимости обеспечения устойчивости энергосистем, технологии хранения энергии приобретают стратегическое значение. Настоящая статья посвящена комплексному анализу технологии накопителей энергии сжатого воздуха (CAES), включая её сравнительную оценку с другими системами хранения, конструктивные особенности, преимущества и вызовы внедрения. Особое внимание уделено потенциалу применения CAES в Республике Казахстан с учётом климатических, геологических и экономических условий. Рассматриваются инновационные подходы, включая термомеханическую CAES, как перспективное направление для Казахстана. В работе также приведены результаты исследовательского анализа, выявлены ключевые барьеры и предложены меры по их преодолению. Статья основана на данных отечественных и зарубежных источников, моделях и экспертных оценках, и может служить основой для формирования национальной стратегии развития технологий накопления энергии.

Ключевые слова: *Технология CAES, накопители энергии, возобновляемые источники энергии, сжатый воздух, компрессоры.*

Введение

Переход к возобновляемым источникам энергии (ВИЭ) требует надёжных и масштабируемых систем хранения энергии. Одной из наиболее перспективных технологий в этом направлении являются накопители энергии сжатого воздуха (Compressed Air Energy Storage, CAES). В условиях нестабильной генерации от солнца и ветра CAES позволяет аккумулировать избыток энергии и выдавать его в сеть в часы пикового спроса, стабилизируя электроснабжение. Для Казахстана, активно развивающего «зелёную энергетику», CAES может стать ключевым элементом энергетической инфраструктуры будущего. Уникальные природные и геологические условия делают страну идеальным кандидатом для внедрения данной технологии.

Принцип работы CAES

Принцип работы CAES основан на преобразовании избыточной электроэнергии в сжатый воздух, его хранении и последующем преобразовании обратно в электроэнергию.

Стадия накопления энергии: в периоды избыточной генерации (например, при сильном ветре или солнечном излучении) электрическая энергия используется для привода компрессоров. Компрессоры сжимают воздух и закачивают его в подземное хранилище – например, в соляную каверну, шахту или специально оборудованный резервуар.

Стадия хранения: сжатый воздух может находиться в хранилище от часов до недель, в зависимости от конструкции.

Стадия генерации: при повышении спроса воздух подаётся на турбину. В зависимости от типа системы, воздух может предварительно нагреваться. Турбина вращается, вырабатывая электричество. Таким образом, CAES функционирует как аккумулятор с высокой ёмкостью и длительным временем хранения.

Исследование

Исследования в области хранения энергии сжатым воздухом активно проводятся в различных странах. Наибольшие успехи достигнуты в США и Европе, где технологии CAES широко применяются для стабильности электросетей.

Исследования в Европе: в Германии и Великобритании рассматривают возможность использования CAES для интеграции с ВИЭ. Германия, с её мощными ветровыми станциями, активно развивает проекты адиабатической CAES. В частности, компания «RWE» разрабатывает проект в Гамбурге, направленный на создание пилотного AA-CAES. Это проект позволит интегрировать ветровую энергию в сеть и обеспечит гарантированное энергоснабжение в пиковые часы.

Исследования в США: в США с 1970-х годов ведутся эксперименты с CAES. На сегодняшний день существует несколько крупных установок, например, в штатах Алабама и Нью-Йорк. Ранее использовавшиеся угольные шахты были адаптированы для хранения сжатого воздуха, что значительно сократило капитальные затраты.

Для Казахстана исследования и внедрение таких технологий представляют значительный интерес. В стране существует огромный потенциал для создания подобных установок на базе существующих шахт и соляных пластов. Геологические условия региона позволяют реализовать большие проекты по хранению сжатого воздуха, что создаёт дополнительные возможности для использования ВИЭ в удалённых регионах, где традиционные способы хранения энергии малоприменимы.

Внедрение технологии CAES, особенно в адиабатическом варианте (AA-CAES), представляет собой стратегически важный шаг для Казахстана, поскольку снижает зависимость от традиционных источников энергии: Казахстан активно использует уголь для производства энергии, что приводит к высоким выбросам углекислого газа. Переход на технологии ВИЭ и CAES позволит сократить углеродный след, повышая устойчивость энергетической системы. Увеличивает энергетическую независимость: Адиабатическая система хранения энергии обеспечит большую гибкость в распределении энергии, позволяя Казахстану сохранять избытки электроэнергии, производимой ветровыми и солнечными станциями, для использования в периоды пикового спроса.

Экономическая эффективность: Хотя начальные инвестиции в CAES могут быть значительными, долгосрочные выгоды в виде снижения затрат на эксплуатацию и повышение эффективности производства энергии могут стать решающими. Использование существующих геологических структур, таких как шахты или соляные пещеры, может существенно снизить капитальные затраты.

Сравнение типов CAES и других технологий хранения

Среди технологий хранения энергии CAES выделяется как наиболее перспективная для крупных масштабов (табл. 1).

Таблица 1 – Основные типы CAES

Тип	Преимущества	Недостатки
Диабатическая CAES	Простота конструкции	Использует топливо (газ), низкий КПД
Адиабатическая CAES (AA-CAES)	Высокий КПД, без топлива, экологичность	Сложность теплоизоляции и хранения тепла
Изотермическая CAES	Максимальная эффективность при малых объёмах	Сложно реализовать в больших масштабах
Литий-ионные батареи	Высокая эффективность, компактность	Высокая стоимость, ограниченный срок службы
Гидроаккумуляторы	Долговечность, зрелая технология	Требует специфических геологических условий

Адиабатическая CAES (AA-CAES) – это наиболее эффективный и экологичный вариант среди всех видов CAES. Её преимущества, Не требует использования топлива, Повторно использует тепло от сжатия воздуха, Имеет высокий КПД (до 70%), Безвредна для окружающей среды, Идеально сочетается с ВИЭ. AA-CAES – это шаг к полной декарбонизации энергетики и технологической независимости. Конструкция CAES включает: компрессоры и теплообменники, воздухохранилища (подземные или наземные), турбогенераторы, системы управления и безопасности.

В Казахстане могут быть использованы бывшие угольные или рудные шахты, что позволит существенно снизить капитальные затраты. Например, шахты Карагандинского угольного бассейна или Жезказганского региона.

Казахстан обладает рядом конкурентных преимуществ: ВИЭ-потенциал: юг и запад страны – идеальные зоны для ветровой и солнечной энергетики, наличие выработанных шахт, соляных пластов. Возможность обеспечения стабильности в удалённых регионах, снижение импорта электроэнергии, развитие новых производств.

CAES поможет Казахстану перейти к устойчивой энергетике без ущерба для промышленного развития. Для Казахстана можно предложить следующие инновационные подходы: Гибридные станции CAES + ВИЭ в Жамбылской и Мангистауской областях. Использование шахт в Карагандинской и Жезказганской областях под воздухохранилища. Модульные установки для аграрных регионов (Акмолинская, Костанайская области). Автономные энергетические комплексы для труднодоступных территорий (ЮКО, Восточный Казахстан). Испытательный центр в Кызылординской области для научной и промышленной апробации.

Также в своей магистерской работе автор проводит исследование и предлагает для ветроустановок малой мощности использование системы ресиверов (хранилище сжатого воздуха), количество которых можно изменять в зависимости от количества потребителей, средней скорости ветра и количества ветреных дней в году (рис. 1). Проводимое

исследование и проведенный анализ литературы показывает что использование ветроустановок в условиях Казахстана приводит к зависимости от погодных условий (наличия и скорости ветра) и нестабильной подаче электроэнергии. Поэтому использование совместно с ветроустановками хранилищ сжатого воздуха является целесообразным и позволяет аккумулировать энергию сжатого воздуха и использовать ее при отсутствии ветра. Согласно представленной схеме (рис. 1) ветротурбина вращает компрессор, который подает сжатый воздух воздух в ресиверы (или систему ресиверов объемом по 100литров каждый), количество которых можно подбирать в зависимости от погодных условий региона. Далее сжатый воздух подается в пневмодвигатель, который вращает генератор, вырабатывающий электроэнергию. Это довольно упрощенная схема ветроустановки малой мощности, показывает принцип работы, рассчитанной на эксплуатацию в малых крестьянских хозяйствах в условиях Казахстана. В данной схеме не показаны электромагнитные клапаны для регулирования потока воздуха в ресиверы, электроконтактные манометры для контроля давления в ресиверах, контроллеры и другая необходимая автоматика, ее мы покажем в более подробной схеме после проработки в магистерской диссертации.

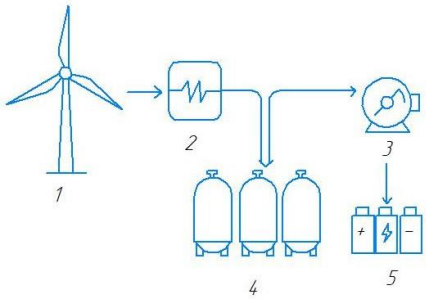


Рисунок 1 – Схема ветроустановки малой мощности с системой ресиверов
1 – ветротурбина, 2 – компрессорная установка, 3 – генератор,
4 – резервуар для хранения сжатого воздуха, 5 – аккумулятор

Заключение

Накопители энергии сжатого воздуха представляют собой жизнеспособную альтернативу химическим системам хранения, особенно в масштабах крупных энергетических систем. Их перспективность обусловлена возможностью интеграции с ВИЭ, высокой надёжностью и экологичностью. Развитие технологий теплоаккумулирования и создание новых материалов позволит повысить эффективность и экономическую целесообразность CAES в ближайшем будущем. В Казахстане перспективы внедрения CAES особенно актуальны с учетом высокой солнечной и ветровой активности в республике. Наличие обширных степей и геологических формаций создает потенциал для строительства как подземных, так и наземных хранилищ. Интеграция CAES с быстро развивающимися ветровыми и солнечными электростанциями, особенно в регионах с переменной генерацией (например, Жамбылская и Актюбинская области), позволит стабилизировать энергосистему и повысить надежность энергоснабжения. Кроме того, развитие таких технологий соответствует стратегическим задачам Казахстана по декарбонизации и энергетической независимости. Особое внимание заслуживает район Жангиз-Тобе в Восточно-Казахстанской области, где уже ведется активное развитие ветроэнергетических проектов. Благодаря благоприятным природным условиям, таким как стабильные ветровые потоки и удалённость от густонаселённых территорий, Жангиз-Тобе может стать пилотной площадкой для внедрения систем CAES. Это обеспечит дополнительную гибкость энергосистемы региона и создаст условия для локальной энергетической устойчивости.

Список литературы

1. Hutchison A. Compressed Air Energy Storage (CAES) / A. Hutchison // Overview and Applications. Energy Engineering. – 2012. – № 109(3). – P. 57-68. https://doi.org/10.1080/01998595.2012.1001052.
2. Bishop B. The Potential for Compressed Air Energy Storage in the United States / B. Bishop, R. Blennerhassett // Renewable and Sustainable Energy Reviews. – 2013. – № 19. – P. 39-48. https://doi.org/10.1016/j.rser.2012.11.046.

3. A Review of the Development of Compressed Air Energy Storage Technology in the Last Decade / Y. Zhao et al // Renewable and Sustainable Energy Reviews. – 2016. – № 58. – P. 1167-1178. https://doi.org/10.1016/j.rser.2015.12.327.
4. Rwe J. Adiabatic Compressed Air Energy Storage / J. Rwe // The New Frontier for Green Energy Storage. Renewable Energy. – 2017. – № 46. – P. 323-332. https://doi.org/10.1016/j.renene.2017.01.012.
5. A Comprehensive Review of Compressed Air Energy Storage (CAES) and Its Applications / L. Liu et al // Journal of Energy Storage. – 2018. – № 21. – P. 67-80. https://doi.org/10.1016/j.est.2018.01.006.
6. Compressed Air Energy Storage for Large-Scale Energy Systems / E. Lysen et al // Journal of Power Sources. – 2005. – № 145(1). – P. 162-171. https://doi.org/10.1016/j.jpowsour.2004.11.014.
7. Hughes J. Technological and Economic Feasibility of Compressed Air Energy Storage Systems: A Review / J. Hughes, S. Asgarian // Energy Conversion and Management. – 2019. – № 185. – P. 537-549. https://doi.org/10.1016/j.enconman.2019.02.056.
8. Capasso L. Assessing the Impact of Compressed Air Energy Storage in Power Systems with High Penetration of Renewable Energy / L. Capasso, P. Mancarella // Energy. – 2015. – № 81. – P. 384-393. https://doi.org/10.1016/j.energy.2014.12.040.
9. Bai X. Optimal Design and Operation of A CAES System in Hybrid Energy Systems: A Review of Recent Advances / X. Bai, T. Qiu // Applied Energy. – 2020. – № 261. – P. 114402. https://doi.org/10.1016/j.apenergy.2019.114402.
10. Yang C. A Study on the Application of Adiabatic Compressed Air Energy Storage Systems in Renewable Energy Grid Integration / C. Yang, S. Xu // Renewable Energy. – 2021. – № 166. – P. 1316-1327. https://doi.org/10.1016/j.renene.2020.12.026.

Y.A. Tolekenov*, Y.Ya. Shayakhmetov, R.A. Sovetbayev, G.M. Kudaibergenova
Shakarim University,
071412, Republic of Kazakhstan, Semey, 20A Glinki St.
*e-mail: yerassultol@gmail.com

СЫҒЫЛҒАН АУАМЕН ЭНЕРГИЯ САҚТАУ (CAES) ЖҮЙЕЛЕРІНІҢ БОЛАШАҒЫ ЖӘНЕ ЖОБАЛАУ ҚОЛДАУЫ

CAES технологиясы механикалық және термодинамикалық энергия сақтау түрлерін біріктіреді. Бұл технология жергілікті модульдік қондырғылардан бастап өнеркәсіптік ауқымдағы шешімдерге дейін ауқымды түрде бейімделе алады. Оның басты артықшылықтарына жоғары энергия сақтау сыйымдылығы, қайта зарядтаусыз ұзақ жұмыс уақыты, күн және жел электр станцияларының интеграциясымен үйлесімділігі, сондай-ақ жаппай енгізу жағдайында төмен өзіндік құн мүмкіндігі жатады. Жаңартылатын энергия көздерінің (ЖЭК) үлесі артып, электр энергетикалық жүйелердің тұрақтылығын қамтамасыз ету қажеттілігі күшейген сайын, энергия сақтау технологиялары стратегиялық маңызға ие болуда.

Бұл мақалада сығылған ауамен энергия сақтау (CAES) технологиясына жан-жақты талдау жасалады, оның ішінде басқа сақтау жүйелерімен салыстырмалы бағалау, жобалау ерекшеліктері, артықшылықтары және жүзеге асырудағы қиындықтар қарастырылады. Қазақстан Республикасының климаттық, геологиялық және экономикалық ерекшеліктерін ескере отырып, елімізде CAES технологиясын қолдану әлеуетіне ерекше назар аударылған. Зерттеуде термомеханикалық CAES сияқты инновациялық тәсілдер қарастырылып, олардың Қазақстан үшін перспективалық бағыты ретінде көрсетіледі. Жұмыста зерттеу нәтижелері ұсынылып, негізгі кедергілер анықталып, оларды еңсеру бойынша шаралар ұсынылады. Мақала ұлттық және халықаралық дереккөздерге, модельдеуге және сараптамалық бағалауға негізделген және бұл салада ұлттық стратегия әзірлеуге негіз бола алады.

Түйін сөздер: *CAES технологиясы, энергияны сақтау, жаңартылатын энергия көздері, сығылған ауа, компрессорлар.*

E.A. Tolekenov*, E.Ya. Shayakhmetov, R.A. Sovetbaev, G.M. Kudaibergenova
Shakarym University,
071412, Republic of Kazakhstan, Semey, Glinka Street, 20 A
*e-mail: yerassultol@gmail.com

PERSPECTIVES AND DESIGN OF COMPRESSED AIR ENERGY STORAGE SYSTEMS (CAES)

CAES technology combines mechanical and thermodynamic forms of energy storage. It can be scaled from local modular units to industrial-scale solutions. Its main advantages include high energy storage capacity, long operation time without recharging, integration potential with solar and wind power plants, and potentially low cost with mass deployment. As the share of renewable energy sources (RES) grows and the need to ensure the resilience of power systems increases, energy storage technologies are becoming strategically important. This paper presents a comprehensive analysis of compressed air energy storage (CAES) technology, including comparative evaluation with other storage systems, design features, advantages, and implementation challenges. Special attention is given to the potential of CAES application in the Republic of Kazakhstan, considering its climatic, geological, and economic conditions. The study explores innovative approaches, including thermomechanical CAES, as a promising direction for Kazakhstan. The work also presents research analysis results, identifies key barriers, and proposes measures to overcome them. The article is based on national and international sources, modeling, and expert assessments, and may serve as a foundation for shaping a national strategy for energy storage technology development.

Key words: *CAES technology, energy storage, renewable energy sources, compressed air, compressors.*

Сведения об авторах

Ерасыл Асембекович Толекенов* – магистрант кафедры «Цифровые технологии в машиностроении и логистика», Шәкәрім университет, Республика Казахстан; e-mail: yerassultol@gmail.com. ORCID: https://orcid.org/0009-0009-9194-507X.

Ержан Ярнарович Шаяхметов – PhD, старший преподаватель кафедры «Цифровые технологии в машиностроении и логистика», Шәкәрім университет, Республика Казахстан; e-mail: shaiakhmeterzh@mail.ru. ORCID: https://orcid.org/0000-0002-7986-0083.

Раил Аянович Советбаев – заведующий кафедрой «Цифровые технологии в машиностроении и логистика», Шәкәрім университет, Республика Казахстан; e-mail: rsovetbayev@mail.ru. ORCID: https://orcid.org/0009-0007-3605-515X.

Гульнур Муратовна Кудайбергенова – магистр технических наук, преподаватель кафедры «Цифровые технологии в машиностроении и логистика», Шәкәрім университет, Республика Казахстан; e-mail: gulim88.88@bk.ru. ORCID: https://orcid.org/0009-0002-3841-982X.

Авторлар туралы мәліметтер

Ерасыл Асембекович Толекенов* – «Машина жасаудағы цифрлық технологиялар және логистика» кафедрасының магистранты, Шәкәрім университеті, Қазақстан; e-mail: yerassultol@gmail.com. ORCID: https://orcid.org/0009-0009-9194-507X.

Ержан Ярнарович Шаяхметов – PhD, «Машина жасаудағы цифрлық технологиялар және логистика» кафедрасының аға оқытушысы, Шәкәрім университеті, Қазақстан; e-mail: shaiakhmeterzh@mail.ru. ORCID: https://orcid.org/0000-0002-7986-0083.

Раил Аянович Советбаев – «Машина жасаудағы цифрлық технологиялар және логистика» кафедрасының кафедра меңгерушісі, Шәкәрім университеті, Қазақстан; e-mail: rsovetbayev@mail.ru. ORCID: https://orcid.org/0009-0007-3605-515X.

Гульнур Муратовна Кудайбергенова – «Машина жасаудағы цифрлық технологиялар және логистика» кафедрасының аға оқытушысы, Шәкәрім университеті, Қазақстан; e-mail: gulim88.88@bk.ru. ORCID: https://orcid.org/0009-0002-3841-982X.

Information about the authors

Yerassyl Asembekovich Tolekenov* – Master's student of the «Digital Technologies in Machine Engineering and Logistics» Department; Shakarim University of Semey, JSC, Kazakhstan; e-mail: yerassultol@gmail.com. ORCID: https://orcid.org/0009-0009-9194-507X.

Erzhan Yarnarovich Shayakhmetov – PhD, Senior teacher of the «Digital Technologies in Machine Engineering and Logistics» Department; Shakarim University of Semey, Kazakhstan; e-mail: shaiakhmeterzh@mail.ru. ORCID: https://orcid.org/0000-0002-7986-0083.

Rail Aianovich Sovetbaev – Head of Department the «Digital Technologies in Machine Engineering and Logistics» Department; Shakarim University of Semey, Kazakhstan; e-mail: rsovetbayev@mail.ru. ORCID: https://orcid.org/0009-0007-3605-515X.

Gulnur Muratovna Kudaibergenova – Senior teacher of the «Digital Technologies in Machine Engineering and Logistics» Department; Shakarim University of Semey, Kazakhstan; e-mail: gulim88.88@bk.ru. ORCID: https://orcid.org/0009-0002-3841-982X.

Поступила в редакцию 02.09.2025
Поступила после доработки 15.10.2025
Принята к публикации 16.10.2025

https://doi.org/10.53360/2788-7995-2025-4(20)-31

IRSTI: 55.03.03

BY 4.0
Check for updates

V.N. Kots*, K.D. Ormanbekov[1], Zh. Turar[2]
[1]Engineering Center «Strengthening Technologies and Coatings»,
Shakarim University,
071412, Kazakhstan, Semey, 20 A Glinka Street
[2]Sakarya University,
Esentepe Campus, Servidjan, Sakarya 54050, Turkey
*e-mail: kotsvladislav1@gmail.com

TOPOLOGY OPTIMIZATION METHOD FOR IMPROVING THE MASS EFFICIENCY OF ALUMINUM BEAMS

Abstract: *In this study, an investigation was carried out to reduce the mass of a cantilever beam made of Al9 aluminum alloy using topology optimization (TO) based on the SIMP method. The optimization was performed with the APM FEM software package, which made it possible to implement numerical modeling at a modern level, taking into account the material features. The beam was subjected to a combined action of a concentrated vertical force of 4000 N and a longitudinal tensile force of 3000 N, which allowed simulating an actual operating load close to the working conditions of structures in mechanical engineering and construction. During the calculations, it was possible to reduce the mass of the structure by 52% while maintaining the main strength characteristics. At the same time, an increase in maximum stresses compared to the initial model was observed, which is associated with the redistribution of material and stress concentration in certain zones. However, the stress level remained within values close to those permissible for the chosen material considering the safety factor. Modal analysis confirmed sufficient separation of natural frequencies from critical values. The obtained results demonstrate the potential of applying TO for the design of lightweight, energy-efficient, and technologically promising structures.*

Key words: *topological optimization, shape optimization, aluminum, beam, casting, finite element method, optimal design, microhardness, mass efficiency.*

Introduction

Manufacturing industries such as automotive and aerospace engineering are continuously evolving, implementing new technologies to enhance the performance characteristics of components. One of the most desirable outcomes for these industries is a significant reduction in component weight. A promising approach to weight reduction lies in the design process at the early stages of product development. The creation of lightweight structures is a priority in modern engineering problems, as reducing the weight of load-bearing elements contributes to increasing the payload ratio, decreasing material consumption in production, and improving energy efficiency – especially in systems with moving functional components.

Topological optimization (TO) is a modern and efficient design method aimed at determining the optimal material distribution within a given design domain under specific constraints [1-4]. The primary goal of TO is to minimize the mass and cost of a product while maintaining its strength and stiffness characteristics. This approach is particularly relevant in the context of the rapid development of manufacturing industries, where lightness, cost-effectiveness, and high structural efficiency are of great importance.

Among the various topological optimization methods, the Solid Isotropic Material with Penalization (SIMP) method [5-7] has gained the widest application. It is characterized by mathematical simplicity, versatility, and the ability to be implemented in popular engineering software packages. The SIMP method is based on using material density as a variable, which enables flexible control over the material distribution within the computational domain. Each finite element in the mesh is assigned a relative density in the range from 0 to 1, determined by its contribution to the overall stiffness of the structure.

The application of the SIMP method has been integrated into commercial software solutions such as TOSCA (ABAQUS), GTAM (ANSYS), Inspire (Altair), and APM StructFEM (KOMPAS-3D), allowing engineers and designers to easily incorporate TO into existing workflows. Despite the presence of intermediate density values, modern algorithms and visualization technologies (e.g.,

isosurface-based methods) make it possible to convert such regions into manufacturable solid geometries.

Unlike the BESO method, where densities take only discrete values (0 or 1), the SIMP approach provides a more precise and detailed material distribution, which is particularly important for designing lightweight yet strong structures. This makes the SIMP method especially attractive for the development of geometrically complex components.

In addition, recent years have seen active development in the creation of lattice structures, which allow a significant reduction in the weight of a product without compromising its strength [8]. The integration of lattice cells with TO results obtained using the SIMP method has found wide application in fields such as biomedicine, automotive, and aerospace industries. Software packages such as nTopology and Autodesk Netfabb already provide tools for generating optimized lattice structures tailored to specific load conditions.

Thus, the use of the SIMP method in topological optimization problems of structural elements is a justified and effective approach that enables the development of lightweight, strong, and manufacturable structures, as confirmed by the results obtained in this study.

Topological optimization represents a method of structural design aimed at the rational distribution of material within a constrained computational domain. This distribution is carried out considering external loads, boundary conditions, and permissible constraints [9–12]. The solution to such problems is generally based on the finite element method, within which each mesh element is assigned a density parameter that determines its contribution to the overall stiffness of the structure. The result of topological optimization is a material density distribution that forms a structure with minimal mass while maintaining the required mechanical characteristics. Objective functions and constraints may include such parameters as compliance, strain energy, volume, displacements, and strength characteristics.

Today, topological optimization is actively used in various engineering industries, including aerospace, automotive, and energy sectors, where reducing weight and increasing structural reliability are of paramount importance. In this study, topological optimization is applied to a cantilever beam subjected to a concentrated vertical load of 4000 N and an axial tensile force of 3000 N at the free end. The main objective is to reduce the structural mass while maintaining its functional and mechanical performance, including strength and stability.

Materials and Methods

The objects of topological optimization in this study are aluminum beams made of Aluminum Al 9 (analogous to AlSi9Cu or A356 in international standards by ASTM B26 / B108). These elements are subjected to operational loads during service, including bending, compression, and vibration.

The beams may also experience localized heating due to external factors or friction in mating components. In addition to their load-bearing function, they partially participate in heat dissipation, ensuring thermal stability of the structure. The design of the beams must provide sufficient strength and stiffness while maintaining minimal mass, which makes the application of topological optimization particularly relevant.

In this study, a cantilever beam made of Aluminum Alloy Al9 with a rigidly fixed end was considered. Two loads were applied to the free end of the beam: a concentrated force of 4000 N directed vertically downward along the Y-axis, simulating a bending moment, and an axial tensile force of 3000 N acting along the X-axis of the beam. This loading scheme made it possible to simulate the combined effect of bending and tension, which is typical for many structural components under real operating conditions.

The forces were applied at a single point on the free end of the beam. The vertical load caused bending in the XY-plane, while the axial tensile force produced longitudinal stretching of the structure.

The material characteristics employed in the computational analysis are summarized in Table 1.

Table 1 – Material properties of aluminum beams

Part №	Material properties							
	Material Grade	Density, kg/m³	Elastic Modulus, GPa	Poisson's Ratio	CTE, 1/K	Specific Heat Capacity, kJ/(kg·°C)	Thermal Conductivity, W/(m·K)	Ultimate Tensile Strength σ, MPa
1	Al-9	2780	70	0,33	23,5 10^{-6}	0,88	170	260
2	Al-9	2780	70	0,33	23,5 10^{-6}	0,88	170	260

With a safety factor of 2.5, the allowable stress level for the Al9 alloy is 100 MPa. The topological optimization task was carried out using the KOMPAS-3D software package. Figure 1 shows the initial models, loading conditions, and boundary constraints.

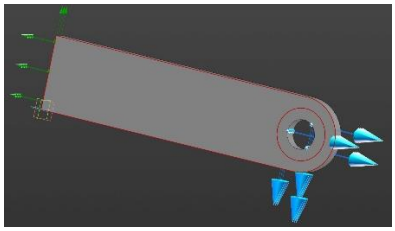
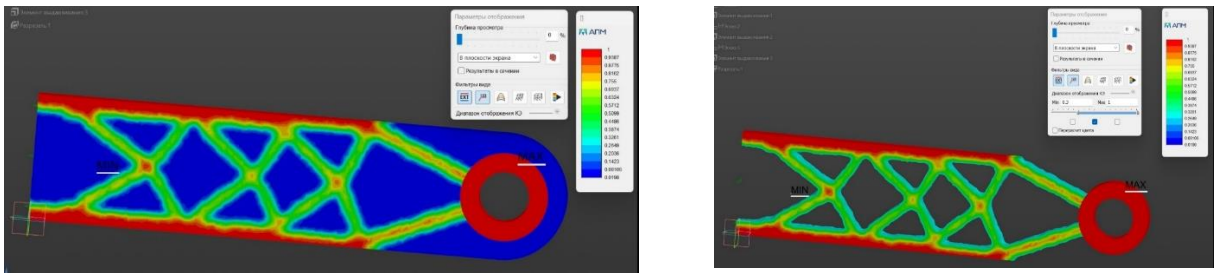


Figure 1 – Cantilever beam model subjected to concentrated loads of 4000 N (Y) and 3000 N (X) at the free end

In the optimization parameters, the target mass reduction was set to 50-70%. Based on the calculations, the optimal topology of the solid component was obtained. The results of the topological optimization, showing the material density distribution, are presented in Figure 2. In the image, the red regions correspond to areas of maximum material density, while the blue regions indicate areas of minimum density.

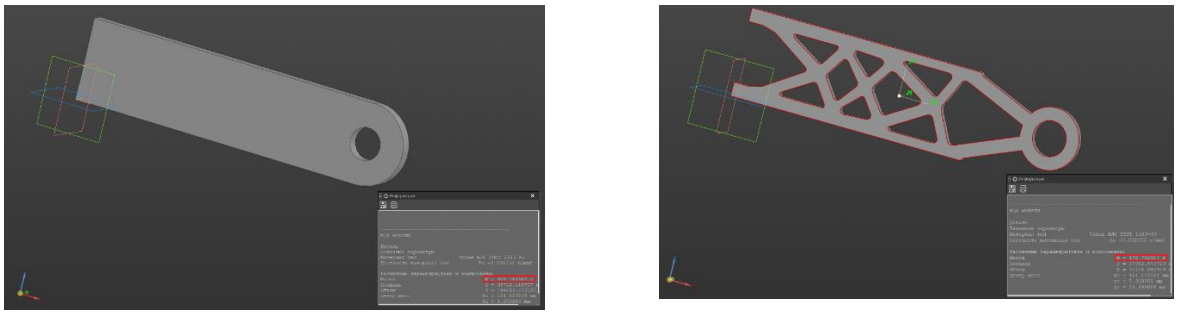


a) *b)*

Figure 2 – Topological optimization results:
a) regions subjected to optimization; b) final optimized structure.

The optimization was carried out using APM FEM, which implements an approach similar to the SIMP method. During the formation of the optimal geometry, solid elements with varying thicknesses and internal cutouts were modeled. Figure 3 presents the resulting optimized structure. The thickness in the marked area is 2 mm. As a result of the optimization, the mass of the component was reduced by approximately 20%.

Figure 3 shows the initial geometry of the original and the optimized beams. The original beam was used as the baseline model for subsequent topological optimization.



a) *b)*

Figure 3 – Beams and their masses:
a)original beam; b) optimized beam.

Figure 4 presents the stress analysis results for the original component under bending loads. The maximum stress reached 1375.6 kgf/cm² (≈137.5 MPa), which corresponds to the expected values for a structure with this level of stiffness.

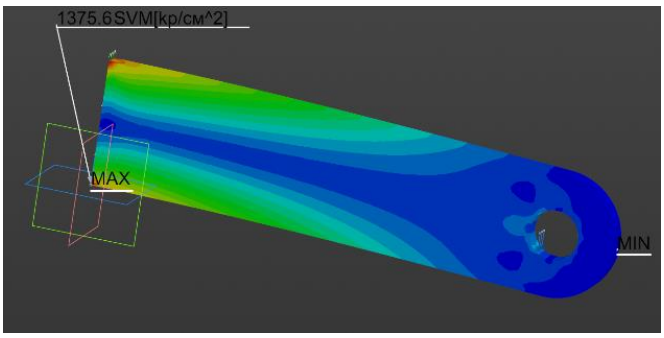


Figure 4 – Distribution of stresses in the initial beam under bending load

Figure 5 illustrates the stress distribution in the topologically optimized structure. The maximum stresses increased to 1561.3 kgf/cm² (≈156.1 MPa), which is associated with the redistribution of material and the appearance of stress concentration zones in the remaining load-bearing elements.

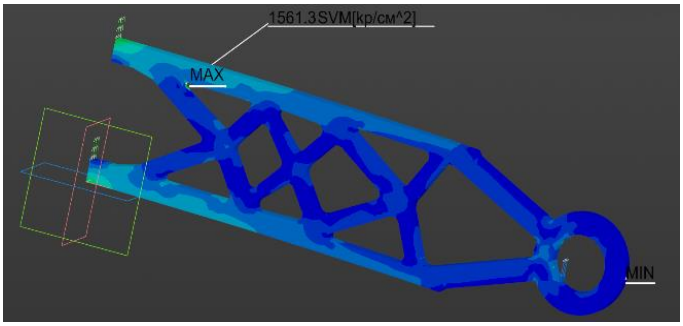


Figure 5 – Distribution of stresses in the topologically optimized beam

Results and Discussion

The results of the conducted topological optimization are presented in Tables 2 and 3.

Table 2 – Results of Topology Optimization. Mass

Initial mass, g	Mass after optimization, g	Mass reduction, %
368,8	178,8	51,5

Table 3 – Results of Topology Optimization. Stress

Stress in the initial part, MPa	Stress in the optimized part, MPa
137,5	156,1

The obtained stress distribution data reflect the influence of the combined bending and tensile loads. The maximum stresses are observed in the beam's fixed region, where the main internal forces are concentrated.

The analyzed components were manufactured by conventional casting from the Al9 aluminum alloy. This alloy was selected due to its good casting fluidity, stable mechanical properties, and widespread use in mechanical engineering. Al9 is an analogue of commonly used casting alloys such as AK9 and ML5, possessing a similar chemical composition, which ensures a comparable level of strength and reliability in operation.

As a result of the conducted topology optimization, the mass of the parts was reduced by 20-52%. At the same time, the maximum stress values in the optimized structures remained at a level comparable to that of the initial models before optimization.

Figures 3-5 present the geometries and strength analysis results for the initial and optimized beams. As can be seen, despite a significant reduction in structural mass (from 368.8 g to 178.8 g), the stress level remains within the permissible range. The topologically optimized beam, however, exhibits a more complex stress distribution with local concentrations in the areas where the lattice elements intersect.

The Al9 aluminum alloy was selected as the main casting material due to its combination of good casting properties, availability, and stable mechanical characteristics. Its density is approximately 2780 kg/m³, making it similar to widely used aluminum alloys such as AK9 and AlSi10Mg. Unlike the magnesium alloy ML5, which has a lower density (1810 kg/m³), aluminum alloys provide higher strength and stiffness – properties that are especially important when designing critical load-bearing components.

The use of Al9 is a justified choice, as it ensures the required structural strength at an acceptable weight and is well suited for traditional casting technologies. Furthermore, the operational performance of the parts can be enhanced by applying protective coatings using the micro-arc oxidation (MAO) method [14-15], which significantly improves the surface hardness, wear resistance, and corrosion resistance of aluminum alloys.

Thus, the use of Al9 alloy in combination with topology optimization and subsequent micro-arc oxidation surface treatment provides a rational balance between structural strength, weight, and durability.

Conclusion

The results of the performed optimization can be summarized as follows:

– The component mass was reduced by 20-52 %;

– The use of the Al-9 aluminum alloy was found to be justified due to its favorable combination of strength, castability, and manufacturability;

– The natural frequencies of the structure were tuned to be 10-20% away from critical values;

– The strength characteristics were maintained despite the optimized geometry;

– It should be noted that in this study, the stress levels exceed those corresponding to the required safety factor, which is due to the demonstration nature of the research and geometric limitations of the model. Further refinement of the geometry can be performed in future work to account for this factor.

References

1. Eschenauer H.A. Topology optimization of continuum structures: a review / H.A. Eschenauer, N. Olhoff // Applied Mechanics Reviews. – 2001. – № 54(4). – P. 331-390.
2. Topology optimization: a review for structural designs under vibration problems / S. Zargham et al // Structural and Multidisciplinary Optimization. – 2016. – № 53. – P. 1157-1177.
3. Topology design methods for structural optimization / O.M. Querin et al // Butterworth-Heinemann. – 2017.
4. Wu J. Topology optimization of multi-scale structures: a review / J. Wu, O. Sigmund, J.P. Groen // Structural and Multidisciplinary Optimization. – 2021. – № 63. – P. 1455-1480.
5. Kim H.W. Design of a double-optimized lattice structure using the solid isotropic material with penalization method and material extrusion additive manufacturing / H.W. Kim, Y.S. Kim, J.Y. Lim // Proceedings of the Institution of Mechanical Engineers, Part C: Journal of Mechanical Engineering Science. – 2020. – № 234(17). – P. 3447-3458.
6. Tarek M. Adaptive continuation solid isotropic material with penalization for volume constrained compliance minimization / M. Tarek, T. Ray // Computer Methods in Applied Mechanics and Engineering. – 2020. – № 363. – P. 112880.
7. Nguyen M.N. Topology optimization framework for thermoelastic multiphase materials under vibration and stress constraints using extended solid isotropic material penalization / M.N. Nguyen, V.N. Hoang, D. Lee // Composite Structures. – 2024. – № 344. – P. 118316.
8. Helou M. Design, analysis and manufacturing of lattice structures: an overview / M. Helou, S. Kara // International Journal of Computer Integrated Manufacturing. – 2018. – № 31(3). – P. 243-261.
9. Seppälä J. Topology optimization in structural design of an LP turbine guide vane: potential of additive manufacturing for weight reduction / J. Seppälä, A. Hupfer // In Turbo Expo: Power for Land, Sea, and Air. American Society of Mechanical Engineers. – 2014. – Vol. 45769. – P. V07AT28A004.
10. Boldyrev A.V. Automation of Aircraft Design: Textbook / A.V. Boldyrev, V.A. Komarov // Samara: SSAU Publishing House. – 2012. – 123 p.
11. Sysoeva V.V. Algorithms for topology optimization of load-bearing structures / V.V. Sysoeva, V.V. Chedrik // TsAGI Science Journal. – 2011. – № 42(2). – P. 91-102.

12. Topology-optimized intermediate casing of an aero engine and comparative evaluation of titanium and composite architecture in terms of load capacity and weight reduction / M. Kober et al // In Turbo Expo: Power for Land, Sea, and Air. – 2008. – Vol. 43154. – P. 69-79.

В.Н. Коц*, К.Д. Орманбеков[1], Ж. Турар[2]
[1]Инжиниринговый центр «Упрочняющие технологий и покрытия»,
Шәкәрім университет,
071412, Республика Казахстан, г. Семей, ул. Глинки, 20 А
[2]Университет Сакарья,
Кампус Эсентепе,Сервиджан,Сакарья 54050, Турция
*e-mail: kotsvladislav1@gmail.com

МЕТОД ТОПОЛОГИЧЕСКОЙ ОПТИМИЗАЦИИ ДЛЯ ПОВЫШЕНИЯ МАССОЭФФЕКТИВНОСТИ АЛЮМИНИЕВЫХ БАЛОК

В данной работе проведено исследование, направленное на снижение массы консольной балки из алюминиевого сплава Ал9 с применением топологической оптимизации (ТО) на основе метода SIMP. Оптимизация выполнялась с использованием программного комплекса APM FEM, что позволило реализовать численное моделирование на современном уровне с учётом особенностей материала. Балка испытывала комбинированное действие сосредоточенной вертикальной силы 4000 Н и продольной растягивающей силы 3000 Н, что позволило смоделировать реальную эксплуатационную нагрузку, близкую к условиям работы конструкций в машиностроении и строительстве. В процессе расчётов удалось снизить массу конструкции на 52 % при сохранении основных прочностных характеристик. При этом наблюдалось увеличение максимальных напряжений по сравнению с исходной моделью, что связано с перераспределением материала и концентрацией напряжений в отдельных зонах конструкции. Однако уровень напряжений остался в пределах, близких к допустимым для выбранного материала с учётом коэффициента запаса прочности. Проведён модальный анализ подтвердил достаточную отстройку собственных частот от критических значений. Полученные результаты демонстрируют потенциал применения ТО для проектирования облегчённых, энергоэффективных и технологически перспективных конструкций.

Ключевые слова: *Топологическая оптимизация, оптимизация формы, алюминий, балка, отливка, метод конечного элемента, оптимальное проектирование, микротвердость, массоэффективность.*

В.Н. Коц*, К.Д. Орманбеков[1], Ж. Тұрар[2]
[1]«Беріктендіру технологиялары және жабындар» инженерлік орталығы,
Шәкәрім университеті,
071412, Қазақстан Республикасы, Семей қ., Глинки к-сі, 20 А
[2]Сакарья университеті,
Эсентепе кампусы, Сервиджан, Сакарья 54050, Түркия
*e-mail: kotsvladislav1@gmail.com

АЛЮМИНИЙ АРҚАЛЫҚТАРЫНЫҢ МАССАЛЫҚ ТИІМДІЛІГІН АРТТЫРУҒА АРНАЛҒАН ТОПОЛОГИЯЛЫҚ ОҢТАЙЛАНДЫРУ ӘДІСІ.

Бұл жұмыста Al9 алюминий қорытпасынан жасалған консольді арқалықтың массасын азайту мақсатында SIMP әдісіне негізделген топологиялық оңтайландыру (ТО) қолданылып зерттеу жүргізілді. Оңтайландыру APM FEM бағдарламалық кешенінің көмегімен орындалды, бұл материалдың ерекшеліктерін ескере отырып қазіргі деңгейде сандық модельдеуді іске асыруға мүмкіндік берді. Арқалыққа 4000 Н тік бағытталған күш пен 3000 Н бойлық созу күші әсер етті, бұл машина жасау және құрылыс салаларындағы құрылымдардың жұмыс жағдайларына жақын нақты жүктемені модельдеуге мүмкіндік берді. Есептеулер нәтижесінде негізгі беріктік сипаттамаларын сақтай отырып, құрылымның массасын 52 %-ға азайту мүмкін болды. Сонымен қатар, бастапқы модельмен салыстырғанда максималды кернеулердің артуы байқалды, бұл материалдың қайта бөлінуімен және кейбір аймақтардағы кернеу концентрациясымен байланысты. Алайда кернеу деңгейі таңдалған материал үшін беріктік қоры коэффициентін ескере отырып, рұқсат етілген мәндерге жақын болып қалды. Жүргізілген модальды талдау меншікті жиіліктердің сындарлы мәндерден жеткілікті қашықтықта екенін растады. Алынған нәтижелер ТО әдісін жеңіл, энергия үнемдейтін және технологиялық тұрғыдан болашағы бар құрылымдарды жобалауда қолданудың әлеуетін көрсетеді.

Түйін сөздер: *Топологиялық оңтайландыру, пішінді оңтайландыру, алюминий, балка, құю, соңғы элементтер әдісі, оңтайлы жобалау, микрокаттылық, масса тиімділігі.*

Information about the authors

Vladislav Kots* – master's student in the field of «Mechanical Engineering», Shakarim University, research fellow at the Engineering Center; e-mail: kotsvladislav1@gmail.com. ORCID: https://orcid.org/0009-0001-5312-9719.

Kuanysh Ormanbekov – PhD student in the field of «Mechanics and Metal Processing», Shakarim University, senior research fellow at the Engineering Center; e-mail: ormanbekov_k@mail.ru. ORCID: https://orcid.org/0000-0001-6099-2812.

Zhangabay Turar – Master's student at the Department of Physics, Sakarya University, Esentepe Campus, Serdivan, Sakarya, Turkey; e-mail: turarjanabay@gmail.com. ORCID: https://orcid.org/0009-0004-6202-112X**.**

Сведения об авторах

Владислав Николаевич Коц* – студент, магистрант по специальности «Машиностроение», Шәкәрім университет, Республика Казахстан, научный сотрудник Инжинирингового центра; e-mail: kotsvladislav1@gmail.com. ORCID: https://orcid.org/0009-0001-5312-9719.

Куаныш Даулетович Орманбеков – докторант специальности «Механика и металлообработка», Шәкәрім университет, Республика Казахстан, ведущий научный сотрудник Инжинирингового центра; e-mail: ormanbekov_k@mail.ru. ORCID: https://orcid.org/0000-0001-6099-2812.

Жанабай Турар – магистрант кафедры физики, Университет Сакарья, кампус Эсентепе, Сервиджан, Сакарья, Турция; e-mail: turarjanabay@gmail.com. ORCID: https://orcid.org/0009-0004-6202-112X.

Авторлар туралы мәліметтер

Владислав Николаевич Коц – «Машина жасау» мамандығы бойынша магистрант, Шәкәрім университеті, Қазақстан Республикасы, Инжиниринг орталығының ғылыми қызметкері; e-mail: kotsvladislav1@gmail.com. ORCID: https://orcid.org/0009-0001-5312-9719.

Қуаныш Даулетович Орманбеков – «Механика және металдарды өңдеу» мамандығы бойынша докторант, Шәкәрім университеті, Қазақстан Республикасы, Инжиниринг орталығының аға ғылыми қызметкері; e-mail: ormanbekov_k@mail.ru. ORCID: https://orcid.org/0000-0001-6099-2812.

Жаңабай Тұрар – Сакарья университеті, Физика кафедрасының магистранты, Эсентепе кампусы, Сервиджан, Сакарья, Түркия; e-mail: turarjanabay@gmail.com. ORCID: https://orcid.org/0009-0004-6202-112X.

Received 25.09.2025
Revised 13.10.2025
Accepted 14.10.2025

https://doi.org/10.53360/2788-7995-2025-4(20)-32

BY 4.0
Check for updates

МРНТИ: 55.21.17

С.К. Турусбеков[1], Ә.Ә. Раис[1]*, Г.М. Кудайбергенова[1], А. Кавалек[2]
[1]Шәкәрім Университет,
071412, Республика Казахстан, г. Семей, ул. Глинки, 20 А
[2]Ченстоховский технологический университет,
Ченстохова, Польша
*e-mail: raliser@yandex.kz

ВЛИЯНИЕ ЭЛЕКТРОЛИТНО-ПЛАЗМЕННОЙ ЗАКАЛКИ НА СТОЙКОСТЬ СТАЛЕЙ МАРКИ 45 И 65Г К АБРАЗИВНОМУ ИЗНАШИВАНИЮ

Аннотация: *В данной работе представлены результаты экспериментального исследования влияния электролитно-плазменной закалки (ЭПЗ) на изменение микроструктуры, микротвёрдости и стойкости к абразивному изнашиванию широко применяемых конструкционных сталей марок 45 и 65Г. Обработка проводилась в электролите на основе водного раствора карбоната натрия при напряжении 300-320 В и времени воздействия 2-3 секунды. Метод ЭПЗ обеспечивал сверхвысокие скорости нагрева и последующего охлаждения за счёт прямого контакта с электролитом, что способствовало формированию тонкого упрочнённого слоя с мартенситной структурой и карбидными включениями.*

Результаты микроструктурного анализа показали наличие трёх характерных зон: закалённого слоя, зоны термического влияния и неизменённой матрицы. Микротвёрдость поверхности после ЭПЗ возросла в 1,6-1,8 раза по сравнению с исходным состоянием, а стойкость к абразивному износу – в 1,3-1,6 раза. Отмечается положительное влияние увеличения

продолжительности обработки на пластичность поверхностного слоя при незначительном снижении твёрдости.

Полученные данные подтверждают высокую эффективность ЭПЗ в качестве ресурсо- и энергосберегающего метода локального поверхностного упрочнения, способного значительно увеличить срок службы деталей, работающих в условиях фрикционного и абразивного износа. Метод может быть рекомендован для внедрения в технологические процессы машиностроительных, транспортных и сельскохозяйственных предприятий.

Ключевые слова: *электролитно-плазменная закалка, абразивный износ, микротвёрдость, мартенсит, сталь 45, сталь 65 Г.*

Введение

Повышение надёжности, долговечности и эксплуатационной устойчивости деталей машин и конструкций остаётся одной из ключевых задач современной инженерии. Особенно остро эта проблема стоит в таких отраслях, как машиностроение, транспорт, горнодобывающая и сельскохозяйственная техника, где детали эксплуатируются в тяжёлых условиях, подвергаясь воздействию высоких контактных нагрузок, ударов, вибраций и абразивного износа. Классические конструкционные стали, такие как 45 и 65Г, традиционно применяются для изготовления валов, осей, рессор, рычагов, пальцев и других ответственных узлов [1]. Эти стали обладают хорошим сочетанием прочности, пластичности и технологичности, однако при длительной эксплуатации в агрессивных условиях они демонстрируют ограниченный ресурс из-за износа поверхностных слоёв[2].

Существующие методы повышения износостойкости – закалка с последующим отпуском, цементация, нитроцементация, индукционная закалка и др. – позволяют локально изменять структуру поверхностного слоя, однако обладают рядом существенных ограничений. Во-первых, это высокая энергоёмкость и длительность технологического цикла. Во-вторых, многие из этих методов требуют дорогостоящего оборудования и применения защитных атмосфер или вакуума. Кроме того, в ряде случаев наблюдаются термические деформации и ухудшение внутренних напряжений в деталях [3].

В последние годы всё большую популярность приобретает технология электролитно-плазменной обработки (ЭПО), в частности – электролитно-плазменной закалки (ЭПЗ), как эффективный и ресурсосберегающий способ модификации поверхностных слоёв. Принцип метода основан на образовании вокруг детали плазменного слоя за счёт воздействия высокого напряжения в водном электролите. Нагрев поверхности осуществляется за счёт тепла плазмы, и сразу после отключения напряжения происходит интенсивное охлаждение в том же растворе. Это приводит к формированию упрочнённой мартенситной структуры с возможным насыщением поверхности активными элементами, присутствующими в электролите. Обработка проходит в атмосфере окружающего воздуха, без применения защитных газов и сложной термопечи, а технология легко масштабируется и интегрируется в существующие производственные линии[4].

Исследования, выполненные в последние годы, подтвердили эффективность ЭПЗ при упрочнении низколегированных сталей, таких как 20ГЛ, 65Г и других [1, 2]. Однако ограниченное количество публикаций посвящено воздействию ЭПЗ на углеродистые конструкционные стали, такие как сталь 45, несмотря на её широкое распространение. Сравнительное изучение поведения сталей 45 и 65Г при ЭПЗ позволит расширить область применения метода, а также оптимизировать режимы обработки с учётом химического состава и исходной структуры материала [5, 6].

Целью данной работы является экспериментальное исследование влияния электролитно-плазменной закалки на микроструктуру, микротвёрдость и стойкость к абразивному изнашиванию сталей 45 и 65Г, а также обоснование эффективности и технологической целесообразности использования ЭПЗ в промышленности для упрочнения деталей, работающих в условиях интенсивного трения.

Условия и методы исследования

В настоящей работе объектами исследования выбраны широко применяемые конструкционные стали марок 45 и 65Г, которые часто используются при изготовлении деталей, работающих в условиях абразивного, контактного и ударного износа. Сталь 45 – это углеродистая конструкционная сталь, характеризующаяся хорошим сочетанием прочности, пластичности и обрабатываемости. Сталь 65Г относится к высокоуглеродистым пружинным

сталям, обладающим повышенной твёрдостью и износостойкостью благодаря повышенному содержанию углерода и марганца [2]. Химический состав сталей приведён в таблице 1.

Таблица 1 – Химический состав исследуемых сталей, мас. %

Сталь	C	Mn	Si	Cr	Ni	Cu	S	P
45	0,45	0,60	0,30	≤0,25	≤0,30	≤0,30	≤0,04	≤0,04
65Г	0,70	1,00	0,25	≤0,25	≤0,25	≤0,20	≤0,035	≤0,035

Подготовка образцов

Из указанных сталей были изготовлены образцы размером 10 мм и длиной 10 мм. Поверхность образцов подвергалась предварительной механической обработке: шлифовке наждачной бумагой с постепенным уменьшением зернистости, полировке с применением алмазной пасты (зерно 1-3 мкм), а затем химическому травлению 4%-ным раствором HNO_3 в этаноле. Такая подготовка позволила обеспечить чистую, гладкую поверхность и высокую воспроизводимость результатов обработки [7, 8].

Условия электролитно-плазменной закалки

Электролитно-плазменная закалка проводилась на установке собственной сборки, включающей источник питания постоянного тока (до 400 В, 40 А), реактор с циркуляцией электролита и водяное охлаждение. В качестве электролита использовался 20%-ный водный раствор карбоната натрия (Na_2CO_3), приготовленный из дистиллированной воды [9, 10].

Процесс ЭПЗ включал следующие параметры:

1. Напряжение между анодом и катодом: 300-320 В
2. Ток: 20-35 А
3. Температура поверхности: 850-1200 °С (по пирометру)
4. Время обработки: 2 и 3 секунды
5. Охлаждение: в электролите (естественное конвективное)

Нагрев происходил за счёт локального плазменного разряда, возникающего в приэлектродной области на границе электролит-металл. Быстрый нагрев и последующее интенсивное охлаждение приводили к формированию мартенситной структуры без необходимости применения внешнего закалочного охлаждения.

Результаты и обсуждение

Микроструктура

В исходном состоянии:

1. Сталь 45 имеет ферритно-перлитную структуру (рис. 1а-в) ;
2. Сталь 65Г – перлитно-цементитную с повышенной дисперсностью (рис. 1г-е).

После ЭПЗ наблюдается формирование тонкой мартенситной структуры толщиной 450-550 мкм с градиентным переходом к основной матрице. На границах зёрен выявлены дисперсные карбидные включения, что подтверждается результатами РЭМ.

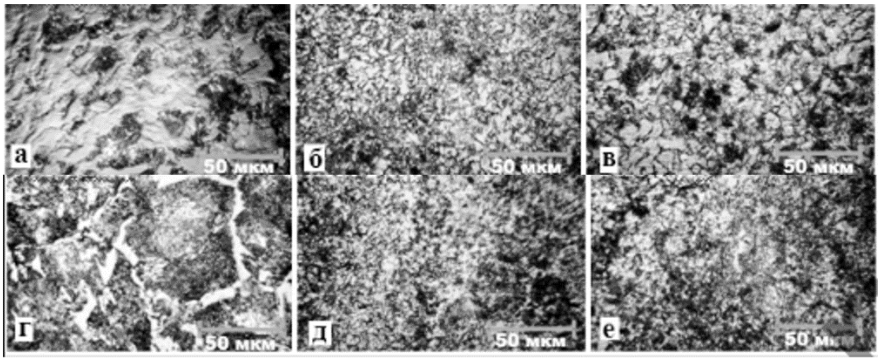


Рисунок 1 – Микроструктура поверхности сталей 45 и 65Г до ипосле ЭПЗ
а; в – для стали 45; г; е – для стали 65Г

Структура делится на три зоны:

1. Закалённый слой – мелкий мартенсит с карбидами.
2. Зона термического влияния – частичный распад перлита.
3. Матрица – неизменённая структура.

Микротвёрдость

Марка стали	До ЭПЗ (HV)	После ЭПЗ (HV)	Прирост
45	180-200	350-380	~1,8×
65Г	230-250	400-450	~1,6×

Градиент микротвёрдости от поверхности к сердцевине был плавным, что снижает вероятность трещинообразования.

Абразивный износ

Марка стали	Масса износа до (мг)	Масса износа после (мг)	Повышение стойкости
45	42,6	27,1	~1,57×
65Г	35,4	26,8	~1,32×

$$R \approx (1 + \frac{y_{к.т.}}{y_{п.т.}})a$$

Заключение

1. Исследование показало, что электролитно-плазменная закалка значительно повышает износостойкость и твёрдость сталей 45 и 65Г за счёт формирования мартенситной структуры с дисперсными упрочняющими фазами. Преимущества метода:
2. Локальное упрочнение без изменения геометрии детали;
3. Повышение микротвёрдости до 1,8 раза;
4. Снижение износа до 1,6 раза;
5. Энергоэффективность и экологичность.
6. Метод рекомендован к применению в машиностроении, железнодорожной, горнодобывающей и сельскохозяйственной отраслях для повышения ресурса эксплуатации рабочих деталей.

Список литературы

1. ГОСТ 23.208-79. Метод испытания материалов на износостойкость при трении о нежестко закреплённые абразивные частицы. – Введ. 01.03.1981. – М. Межгосударственный стандарт. – 4 с.
2. Электролитно-плазменная закалка низколегированных сталей 65Г и 20ГЛ / Б.К. Рахадилов и др. // Вестн. Карагандин. ун-та. – 2016. – № 4. – С. 8-13.
3. Устиновщиков Ю.И. Выделение второй фазы в твёрдых растворах / Ю.И. Устиновщиков. – М.: Наука, 1988. – 172 с.
4. Инновационный патент 29978 Республика Казахстан, МПК C25F 7/00. Конструктивные элементы электролизеров или их сборка для удаления примесей из изделий электролитическим способом / А.В. Гулькин и др.; заявитель и патентообладатель НЯЦ РК. – заявл. 03.02.2014; опубл. 15.06.2015, Бюл. № 6.
5. Heat-treating. Tempering, Hardening & Annealing / M.K. Skakov et al // Encyclopaedia Britannica. URL: https://www.britannica.com/technology/heat-treating.
6. Grossman M.A. Heat Treatment and Properties of Iron and Steel / M.A. Grossman, E.C. Bain, G. Grossmann // National Bureau of Standards Monograph 88. Washington: U.S. Dept. of Commerce, 1967. – 265 p. URL: https://nvlpubs.nist.gov/nistpubs/legacy/mono/nbsmonograph88.pdf.
7. Heat Treatment Process // ScienceDirect Topics. Elsevier. URL: https://www.sciencedirect.com/topics/engineering/heat-treatment-process.
8. Effectof Heat Treatment Processeson Metalsand Alloys – A Review / S. Bharti et al // Research Gate. – 2021. URL: https://www.researchgate.net/publication/351593950.
9. Тюфтяев А.С. Ресурсосберегающие технологии плазменной обработки / А.С. Тюфтяев. – М.: МИСиС, 2013. – 42 с.
10. Effect of Heat Treatment on Properties and Microstructure of Steels / S. Muthukumaran et al // Materials Today: Proceedings. – 2020. – Vol. 45. – P. 2873-2877. URL: https://www.sciencedirect.com/science/article/abs/pii/S2214785320364385.

References

1. GOST 23.208-79. Metod ispytaniya materialov na iznosostoikost' pri trenii o nezhestko zakreplennye abrazivnye chastitsy. – Vved. 01.03.1981. – M. Mezhgosudarstvennyi standart. – 4 s. (In Russian).

2. Ehlektrolitno-plazmennaya zakalka nizkolegirovannykh stalei 65G i 20GL / B.K. Rakhadilov i dr. // Vestn. Karagandin. un-ta. – 2016. – № 4. – S. 8-13. (In Russian).
3. Ustinovshchikov YU.I. Vydelenie vtoroi fazy v tverdykh rastvorakh / YU.I. Ustinovshchikov. – M.: Nauka, 1988. – 172 s. (In Russian).
4. Innovatsionnyi patent 29978 Respublika Kazakhstan, MPK C25F 7/00. Konstruktivnye ehlementy ehlektrolizerov ili ikh sborka dlya udaleniya primesei iz izdelii ehlektroliticheskim sposobom / A.V. Gul'kin i dr.; zayavitel' i patentoobladatel' NYATS RK. – zayavl. 03.02.2014; opubl. 15.06.2015, Byul. № 6. (In Russian).
5. Heat-treating. Tempering, Hardening & Annealing / M.K. Skakov et al // Encyclopaedia Britannica. URL: https://www.britannica.com/technology/heat-treating. (In English).
6. Grossman M.A. Heat Treatment and Properties of Iron and Steel / M.A. Grossman, E.C. Bain, G. Grossmann // National Bureau of Standards Monograph 88. Washington: U.S. Dept. of Commerce, 1967. – 265 p. URL: https://nvlpubs.nist.gov/nistpubs/legacy/mono/nbsmonograph88.pdf. (In English).
7. Heat Treatment Process // ScienceDirect Topics. Elsevier. URL: https://www.sciencedirect.com/topics/engineering/heat-treatment-process. (In English).
8. Effectof Heat Treatment Processeson Metalsand Alloys – A Review / S. Bharti et al // Research Gate. – 2021. URL: https://www.researchgate.net/publication/351593950. (In English).
9. Tyuftyaev A.S. Resursosberegayushchie tekhnologii plazmennoi obrabotki / A.S. Tyuftyaev. – M.: MISIS, 2013. – 42 s. (In Russian).
10. Effect of Heat Treatment on Properties and Microstructure of Steels / S. Muthukumaran et al // Materials Today: Proceedings. – 2020. – Vol. 45. – R. 2873-2877. URL: https://www.sciencedirect.com/science/article/abs/pii/S2214785320364385. (In English).

С.К. Турусбеков[1], Ә.Ә. Раис[*], Г.М. Құдайбергенова, А. Кавалек[2]
Шәкәрім университеті,
071412, Қазақстан Республикасы, Семей қаласы, Глинки көшесі, 20 А
[2]Ченстохов технологиялық университеті, Честохова, Польша
[*]e-mail: raliser@yandex.kz

ЭЛЕКТРОЛИТТІК-ПЛАЗМАЛЫҚ ШЫНЫҚТЫРУДЫҢ 45 ЖӘНЕ 65Г МАРКАЛЫ БОЛАТТАРДЫҢ АБРАЗИВТІ ТӨЗІМДІЛІГІНЕ ӘСЕРІ

Бұл жұмыста кеңінен қолданылатын 45 және 65Г маркалы конструкциялық болаттардың микроструктурасына, микрокаттылығына және абразивті тозуға төзімділігіне электролитті-плазмалық қатайтудың (ЭПҚ) әсерін зерттеуге арналған эксперименттік нәтижелер келтірілген. Өңдеу натрий карбонатының су ерітіндісі негізіндегі электролитте, 300-320 В кернеуінде және 2-3 секундтық әсер ету уақытында жүргізілді. ЭПҚ әдісі электролитпен тікелей байланыс арқылы өте жоғары қыздыру және салқындату жылдамдығын қамтамасыз етті, бұл мартенситтік құрылымы мен карбидті қосындылары бар жұқа нығайтылған қабаттың түзілуіне ықпал етті .

Микроструктуралық талдау нәтижелері үш айқын аймақтың болуын көрсетті: қатайтылған қабат, жылулық әсер ету аймағы және өзгермеген матрица. ЭПҚ өңдеуден кейін беткі микрокаттылық бастапқы күймен салыстырғанда 1,6-1,8 есеге артты, ал абразивті тозуға төзімділік 1,3-1,6 есеге жоғарылады . Өңдеу ұзақтығын арттыру беткі қабаттың пластикалығын сәл қаттылықты төмендете отырып жақсартатыны байқалды.

Алынған деректер ЭПҚ әдісінің ресурсты және энергияны үнемдейтін, үйкеліс және абразивтік тозу жағдайларында жұмыс істейтін бөлшектердің қызмет ету мерзімін едәуір арттыра алатын жергілікті беткі қатайту тәсілі ретінде жоғары тиімділігін дәлелдейді. Бұл әдісті машина жасау, көлік және ауыл шаруашылығы кәсіпорындарының технологиялық процестеріне енгізу ұсынылады .

Түйін сөздер: *электролитті-плазмалық қатайту, абразивті тозу, микрокаттылық, мартенсит, 45 болат, 65Г болат.*

S.K. Turysbekov[1], A.A. Rais*[1], G.M. Kudaibergenova[1], A. Kawalek[2]
[1]Shakarim University,
071412, Republic of Kazakhstan, Semey, Glinka street, 20 A
[2]Czestochowa University of Technology,
Czestochowa, Poland
[*]e-mail: raliser@yandex.kz

THE EFFECT OF ELECTROLYTIC PLASMA HARDENING ON THE RESISTANCE OF 45 AND 65G STEELS TO ABRASIVE WEAR

This paper presents the results of an experimental study on the effect of electrolyte-plasma hardening (EPH) on the microstructure, microhardness, and abrasive wear resistance of widely used structural steels – grades 45 and 65G. The treatment was carried out in an aqueous solution of sodium carbonate under a voltage of 300-320 V for a duration of 2-3 seconds. The EPH method provided ultra-high heating and cooling rates due to direct contact with the electrolyte, which contributed to the formation of a thin hardened layer with a martensitic structure and carbide inclusions.

Microstructural analysis revealed the presence of three characteristic zones: a hardened surface layer, a heat-affected zone, and an unchanged core matrix. The surface microhardness after EPH increased by 1.6-1.8 times compared to the initial state, while abrasive wear resistance improved by 1.3-1.6 times. It was also noted that extending the treatment duration positively influenced the surface layer's plasticity, with only a slight reduction in hardness.

The obtained results confirm the high efficiency of EPH as a resource- and energy-saving method of local surface hardening, capable of significantly extending the service life of components operating under frictional and abrasive conditions. The method is recommended for integration into the technological processes of the mechanical engineering, transportation, and agricultural industries.

***Key words**: electrolyte-plasma hardening, abrasive wear, microhardness, martensite, steel 45, steel 65G.*

Авторлар туралы мәліметтер

Серикбол Кахарманович Турусбеков – «Машина жасаудағы цифрлық технологиялар және логистика» кафедрасының аға оқытушысы, Шәкәрім университеті, Республика Қазақстан; e-mail: turusbekov.serik@mail.ru.

Әлішер Әлібекұлы Раис* – «Машина жасаудағы цифрлық технологиялар және логистика» кафедрасының магистранты, Шәкәрім университеті, Қазақстан; e-mail: raliser@yandex.kz. ORCID: https://orcid.org/0009-0005-0004-2651.

Гульнур Муратовна Кудайбергенова – Техникалық ғылымдар магистрі, «Машина жасаудағы цифрлық технологиялар және логистика» кафедрасының оқытушысы, Шәкәрім университеті, Қазақстан Республикасы; e-mail: gulim88.88@bk.ru. ORCID: https://orcid.org/0009-0002-3841-982X.

Анна Кавалек – өндірістік инженерия және материалдар технологиясы факультеті, честохов технологиялық университеті, Честохова, 42-201, Польша; e-mail: anna.kawalek@pcz.pl. ORCID: https://orcid.org/0000-0003-0274-0582.

Сведения об авторах

Серикбол Кахарманович Турусбеков – старший преподаватель кафедры «Цифровые технологии и логистика в машиностроении», Шәкәрім университет, Республика Казахстан; e-mail: turusbekov.serik@mail.ru.

Әлішер Әлібекұлы Раис* – Магистрант кафедры «Цифровые технологии и логистика в машиностроении», Шәкәрім университет», Казахстан; e-mail: raliser@yandex.kz. ORCID: https://orcid.org/0009-0005-0004-2651.

Гульнур Муратовна Кудайбергенова – Магистр технических наук, преподаватель кафедры «Цифровые технологии в машиностроении и логистика», Шәкәрім Университет, Республика Казахстан; e-mail: gulim88.88@bk.ru. ORCID: https://orcid.org/0009-0002-3841-982X.

Анна Кавалек – факультет производственной инженерии и технологии материалов, Ченстоховский технологический университет, Ченстохова, 42-201, Польша; e-mail: anna.kawalek@pcz.pl. ORCID: https://orcid.org/0000-0003-0274-0582.

Information about the authors

Serikbol Kakharmanovich Turusbekov – Turusbekov Serikbol Kaharmanovich – Senior Lecturer at the Department of Digital Technologies and Logistics in Mechanical Engineering, Shakarim University, Republic of Kazakhstan; e-mail: turusbekov.serik@mail.ru.

Alisher Alibekuly Rais* – Master's student of the «Digital Technologies in Machine Engineering and Logistics» Department, Shakarim University, Kazakhstan; e-mail: raliser@yandex.kz. ORCID: https://orcid.org/0009-0005-0004-2651.

Gulnur Muratovna Kudaibergenova – Master of Technical Sciences, Lecturer at the Department of Digital Technologies in Mechanical Engineering and Logistics, Shakarim University, Republic of Kazakhstan; e-mail: gulim88.88@bk.ru. ORCID: https://orcid.org/0009-0002-3841-982X.

Anna Kawalek – Faculty of Production Engineering and Materials Technology, Czestochowa University of Technology, 42-201 Czestochowa, Poland; e-mail: anna.kawalek@pcz.pl. ORCID: https://orcid.org/0000-0003-0274-0582.

Поступила в редакцию 14.10.2025
Принята к публикации 05.11.2025

https://doi.org/10.53360/2788-7995-2025-4(20)-33

МРНТИ: 68.45.13

BY 4.0
Check for updates

А.Е. Бепеева*, Е.С. Жарыкбасов[1], С.С. Толеубекова[1], А.Т. Қабденова[1], Д.С. Свидерская[2]
[1]Шәкәрім университет,
071412, Республика Казахстан, г. Семей, ул. Глинки, 20 А
[2]Торайгыров университет,
140008, Республика Казахстан, г. Павлодар, ул. Ломова 64
*e-mail: bepeyeva1987@gmail.com

ТЕХНОЛОГИЯ ПРОИЗВОДСТВА ЙОГУРТА С БИОЛОГИЧЕСКИ АКТИВНЫМИ ДОБАВКАМИ РАСТИТЕЛЬНОГО ПРОИСХОЖДЕНИЯ

Аннотация: *В статье рассматриваются современные методы производства йогуртов с добавлением биологически активных добавок растительного происхождения. Описаны основные компоненты, используемые для обогащения йогуртов растительными экстрактами, их влияние на органолептические и физико-химические свойства продукта, а также роль таких добавок в улучшении функциональных свойств йогуртов. Рассматриваются методы, позволяющие сохранить полезные свойства растительных добавок в процессе производства и хранения йогурта. Важным аспектом является использование натуральных растительных компонентов для улучшения вкуса и повышения питательной ценности продукта, что способствует удовлетворению потребностей потребителей, заинтересованных в здоровом питании. В статье также обсуждаются перспективы развития данной технологии и влияние на рыночные тенденции в производстве молочных продуктов. Научная значимость работы заключается в расширении знаний о возможностях использования растительных добавок в молочной промышленности, а практическая ценность заключается в внедрении новых технологий для производства функциональных продуктов с улучшенными полезными свойствами. Разработан способ получения густого экстракта для производства биойогурта функциональной направленности. Для разработки технологии получения густого экстракта экспериментальным путем установлены следующие режимы – температура экстрагирования 50-55ºС, продолжительностью 5 часов, при соотношении сырья и экстрагента 1:20, в качестве экстрагента подобран 95 %-ный этиловый спирт.*

Ключевые слова: *йогурт, БАД, функциональные продукты, технология производства, экстракты растений, экстракты ягод, пищевая ценность.*

Введение

Технология производства йогурта с биологически активными добавками растительного происхождения представляет собой одно из самых перспективных направлений в молочной промышленности. С каждым годом растет интерес потребителей к функциональным продуктам, которые не только вкусны, но и полезны для здоровья. Особое внимание уделяется добавкам растительного происхождения, обладающим антиоксидантными, противовоспалительными, иммуномодулирующими и другими полезными свойствами. Применение таких добавок в производстве йогуртов позволяет улучшить их питательные и функциональные характеристики, что делает эти продукты более привлекательными для современных потребителей, заинтересованных в здоровом питании и профилактике заболеваний [1, 2].

Растительные добавки, такие как экстракты ягод, трав, семян и корней, богаты витаминами, минералами, антиоксидантами и другими активными веществами, которые оказывают положительное влияние на здоровье. Таким образом, добавление растительных экстрактов в йогурты не только улучшает их вкусовые качества, но и способствует повышению их функциональной ценности. Важным аспектом является сохранение этих биологически активных компонентов в процессе производства и хранения продукта.

Методы исследования

Для исследования использовались экстракты различных растений, включая ягоды черники, малины, ежевики, а также травы, такие как мята, мелисса, ромашка. Экстракты получались с использованием водно-спиртовых растворов, что позволяло сохранить максимальное количество биоактивных веществ в растительных материалах. Добавки вносятся в молочную массу на различных стадиях производства: на этапе ферментации, после неё или на стадии упаковки, в зависимости от природы добавки и её термочувствительности [5, 6].

Объекты исследования: лекарственные растения, произрастающие на территории Абайской области; экстракт ягод; экстракт лекарственных растений; йогурт.

Схема проведения исследования представлена на рисунке 1.



Рисунок 1 – Схема проведения экспериментальных исследований

Молоко, используемое для производства йогурта, подвергается пастеризации для уничтожения патогенных микроорганизмов. Для приготовления продукта использовались стандартные закваски, состоящие из молочнокислых бактерий, что способствует процессу ферментации и образованию характерной консистенции йогурта. Растительные экстракты добавлялись в молочную массу в количествах, которые обеспечивали нужное содержание биологически активных веществ, не изменяя при этом консистенцию и вкус йогурта [7].

Физико-химические характеристики йогурта с растительными добавками анализировались с использованием стандартных методов: измерение pH, кислотности, вязкости и содержания сухих веществ. Также проводились сенсорные испытания для оценки вкусовых и ароматических характеристик продукта, а также тесты на микробиологическую безопасность [8, 9].

Определение химического состава лекарственных растений и экстракта:

1) Определение алкалоидов

Лекарственное растение измельчают и 10 г помещают в коническую колбу вместимостью 250 мл, затем добавляют 5 мл концентрированного раствора аммиака и 100 мл хлороформа.

Для определения алкалоидов в экстракте, в коническую колбу помещают 10 мг густого экстракта, после чего добавляют 5 мл концентрированного раствора аммиака и 100 мл хлороформа.

Содержимое колбы тщательно перемешивают и оставляют на 15 часов при комнатной температуре. После этого, содержимое колбы фильтруют, и 50 мл полученного фильтрата переносят в колбу объемом 100 мл. Колбу ставят на водяную баню и при температуре 65-70 ºС испаряют хлороформ до объема фильтрата 1-2 мл. Затем в фильтрат добавляют 2 мл 0,1 моль/л NaOH и тщательно растирают смесь стеклянной палочкой до исчезновения комков. После этого в колбу добавляют 10 мл 0,1 моль/л соляной кислоты, перемешивают и оставляют на 10-15 минут, после чего раствор фильтруют.

Отмеряют 10 мл фильтрата и переносят в колбу объемом 50 мл, затем добавляют 10 мл дистиллированной воды, 2 капли индикатора (метиленовый красный) и титруют 0,1 моль/л раствором NaOH до появления желтого цвета. Для контроля в другую колбу объемом 50 мл наливают 0,1 моль/л раствор NaOH, добавляют 4 мл дистиллированной воды, 2 капли индикатора (метиленовый красный) и также титруют 0,1 моль/л раствором NaOH до появления желтого окрашивания.

По формуле 1 рассчитывается сумма алкалоидов в процентах, приведенных к термопсину.

$$\frac{(V_1 - V_2)\times 0{,}0244\times 100\times 20\times 100\times 100}{50\times 10\times m\times(100-W)} = \frac{(V_1 - V_2)\times 0{,}0244\times 4\times 100\times 100}{m\times(100-W)}, \quad (1)$$

где V_1 – объем 0,1 моль/л раствора NaOH на титрование контрольного образца;

V_2 – объем 0,1 моль/л раствора NaOH на титрование опытного образца;

0,0244 – количество алкалоидов в пересчёте на термопсин;

W – потеря сырья при высушивании в массе (%).

2) Определение сапонинов

При определении в экстракте сапонинов 10 мг густого экстракта помещают в коническую колбу, затем добавляют 50 мл 95 %-ного этилового спирта, затем вносят стеклянную перемешивающую палочку.

Для определения сапонинов в экстракте 10 мг густого экстракта помещают в коническую колбу, затем добавляют 50 мл 95%-ного этилового спирта и также вносят стеклянную палочку для перемешивания.

После взвешивания колбу с содержимым сырьем устанавливают на магнитную мешалку и нагревают в течение 1 часа, перемешивая раствор с момента начала кипения растворителя. Затем содержимое колбы охлаждают до комнатной температуры, добавляют 95%-ный этиловый спирт, тщательно перемешивают и фильтруют. В колбу объемом 50 мл переносят 5 мл фильтрата, доводят до метки 95%-ным этиловым спиртом и перемешивают. В пробирку переносят 5 мл полученного раствора и добавляют 5 мл 1%-ного раствора п-диметиламинобензальдегида. Пробирку закрывают пробкой, затем тщательно перемешивают и помещают на 2 часа в термостат при температуре 58 ºС. После охлаждения до комнатной температуры измеряют плотность раствора на спектрофотометре при длине волны 518 нм. Для контроля используют 5 мл полученного раствора и 5 мл спиртового раствора соляной кислоты, которые также помещают в термостат на 2 часа при температуре 58 ºС. Количественное содержание сапонинов в процентах рассчитывают по формуле:

$$X = \frac{a\times 0{,}0101\times 50\times 10\times 100\times 100}{m\times(100-w)\times K} = \frac{a\times 50\times 500}{m\times(100-w)\times K}, \quad (2)$$

где а – количество кобальта хлорида, рассчитанного по калибровочному графику, г;

0,0101 – коэффициент для расчета концентрата кобальта хлорида, пошедшего на концентрацию фуростаноловых гликозидов;

50 – объем извлечения;

10 – число разведений;

m – масса сырья, г;

w – потеря при высушивании сырья в массе,%;

К – поправочный коэффициент на титр кислоты.

3) Определение флавоноидов

В колбу объемом 200 мл добавляют 1 г измельченного и высушенного лекарственного растения, затем заливают 100 мл 70%-ного этилового спирта, тщательно перемешивают и взвешивают.

Для определения содержания флавоноидов 10 мг густого экстракта помещают в коническую колбу, добавляют 100 мл 70%-ного этилового спирта, тщательно перемешивают и взвешивают.

Колбу подключают к обратному холодильнику и нагревают на водяной бане в течение 30 минут. Затем содержимое охлаждают до комнатной температуры, после взвешивания доводят объем до метки 70%-ным этиловым спиртом. Полученный раствор фильтруют, отбирают 1 мл фильтрата и переносят в колбу объемом 25 мл. Добавляют 5 мл 2%-ного

раствора хлорида алюминия, затем 95%-ный этиловый спирт. Через 5 минут измеряют оптическую плотность раствора на спектрофотометре при длине волны 410 нм.

Контрольный раствор готовят из 1 мл фильтрата, 0,1 мл концентрированной уксусной кислоты и 95%-ного этилового спирта, доведенного до метки. Затем измеряют оптическую плотность контрольного образца и стандартного образца рутина.

Расчет содержания флавоноидов в процентах в пересчете на рутин выполняют по установленной формуле:

$$X = \frac{D \times m_0 \times 100 \times 100 \times 100}{D_0 \times m \times 1 \times (100-w) \times 100} = \frac{D \times m_0 \times 10000}{D_0 \times m \times (100-w)}, \quad (3)$$

где D – величина оптической плотности исследуемого раствора;

m_0 – масса рутина, г;

m – масса сырья, г;

D_0 – оптическая плотность стандартного образца рутины;

w – потеря при высушивании сырья в массе,%.

4) Определение дубильных веществ.

В колбу объемом 500 мл помещают 2 г измельченного и высушенного лекарственного растения, затем добавляют 250 мл кипяченой воды. Смесь тщательно перемешивают и кипятят в течение 30 минут на электрической плите, подключив обратный холодильник, периодически перемешивая.

Для определения содержания дубильных веществ 10 мг густого экстракта помещают в коническую колбу, добавляют 250 мл кипяченой воды, тщательно перемешивают и кипятят в течение 30 минут на электрической плите, подключив обратный холодильник, с периодическим перемешиванием.

Затем полученный раствор охлаждают до комнатной температуры и фильтруют. В колбу объемом 750 мл отбирают 25 мл фильтрата, добавляют 500 мл воды и 25 мл раствора индигосульфокислоты, после чего титруют 0,02 моль/л раствором перманганата калия до появления золотисто-желтого окрашивания.

Для контрольного опыта готовят аналогичный раствор, но без исследуемого образца.

Количественное содержание дубильных веществ в процентах вычисляют по установленной формуле:

$$X = \frac{(V-V1) \times 0{,}004157 \times 250 \times 100 \times 100}{m \times 25 \times (100-W)}, \quad (4)$$

где V – объем 0,02 моль/л раствором перманганата калия, пошедшего на титрование исследуемого образца;

V1 -– объем 0,02 моль/л раствором перманганата калия, пошедшего на титрование контрольного образца;

0,004157 – количественное содержание дубильных веществ в пересчете на 1 мл 0,02 моль/л раствора перманганата калия;

250 – объем фильтрата, мл;

m – масса сырья, г;

W – потеря в массе при высушивании, %;

25 – объем фильтрата для титрования, мл.

4) Определение витамина С методом йодометрии

В колбу объемом 250 мл помещают 10 г высушенного лекарственного растения, предварительно измельченного в ступке, затем добавляют 200 мл дистиллированной воды. Смесь тщательно перемешивают, оставляют при комнатной температуре на 24 часа, после чего фильтруют, получая настой. Для анализа 5 мл настоя лекарственного растения переносят в колбу объемом 100 мл, добавляют 0,5 мл 1 %-ного раствора йодноватокислого калия, 2 мл 0,5 %-ного раствора крахмала и 1 мл 2 %-ного раствора соляной кислоты, затем доводят объем до 10 мл дистиллированной водой.

Для определения содержания витамина С, 15 мг густого экстракта помещают в ступку, тщательно растирают с 5 мл дистиллированной воды. Полученную смесь переносят в колбу объемом 250 мл, добавляют 200 мл дистиллированной воды, перемешивают, оставляют на 24 часа при комнатной температуре, затем фильтруют, получая настой. Далее, 5 мл настоя переносят в колбу объемом 100 мл, добавляют 0,5 мл 1 %-ного раствора йодноватокислого

калия, 2 мл 0,5 %-ного раствора крахмала и 1 мл 2 %-ного раствора соляной кислоты, после чего доводят объем до 10 мл дистиллированной водой.

Для контрольного опыта в колбу объемом 100 мл добавляют 0,5 мл 1 %-ного раствора йодноватокислого калия, 2 мл 0,5 %-ного раствора крахмала и 1 мл 2 %-ного раствора соляной кислоты, затем доводят объем до 10 мл дистиллированной водой.

Затем проводят титрование исследуемого и контрольного образца 0,01 н раствором KIO_3 до появления синей окраски.

Количественное содержание витамина С в мг% определяется по формуле:

$$X = a \times b \times k \times c \times 0.88, \quad (6)$$

где а – количество мл р-ра KIO_3, израсходованное на титрование опытного образца за вычетом их количества, израсходованное на титрование контрольного образца;

b – количество разведений;

k – поправочный коэффициент;

c – количество настоя для титрования, мл;

0.88 – количество аскорбиновой кислоты в мг, соответствующее 1 мл 0,1 н р-ра KIO_3.

Результаты исследований

В результате исследования было установлено, что добавление растительных экстрактов в йогурты оказывает положительное влияние на их органолептические свойства. Экстракты ягод, такие как черника, малина и ежевика, улучшали вкус йогурта, придавая ему яркие фруктовые оттенки, а также увеличивали его привлекательность благодаря насыщенному цвету [10]. Экстракты трав, например, мята и мелисса, улучшали аромат йогурта и придавали ему освежающий вкус, что также повышало его привлекательность для потребителей.

Как видно из таблицы 1 «Химический состав дикорастущих лекарственных растений». Во всех трех дикорастущих лекарственных растениях содержатся исследуемые биологически активные вещества. Самое низкое содержание алкалоидов отмечается в ромашке и составляет 0,005 %. Наибольшее содержание алкалоидов обнаружено в листьях мяты перечной (6,3%). Ученые отмечают, что алкалоиды обладают широким спектром фармакологического действия, в том числе благотворно влияют на сердечно-сосудистую систему и на центральную нервную систему [11, 12].

Таблица 1 – Химический состав дикорастущих лекарственных растений

№	Наименование растения	Содержание влаги, %	Содержание БАВ, %				
			алкалоиды	сапонины	флавоноиды	дубильные вещества	Витамин С
1	Мята	12,5±1,8	6,3±0,5	5,8±0,3	2,5±0,4	3,3±0,2	1,3±0,2
2	Мелисса	18,5±1,5	1,2±0,5	0,17±0,12	1,7±0,3	3,4±0,1	0,5±0,1
3	Ромашка	16,4±1,5	0,005±0,001	1,8±0,2	1,6±0,5	4,8±0,2	1,8±0,3

На следующем этапе исследования было проведено определение содержания биологически активных веществ в трех различных композициях. Полученные результаты представлены на рисунке 2.

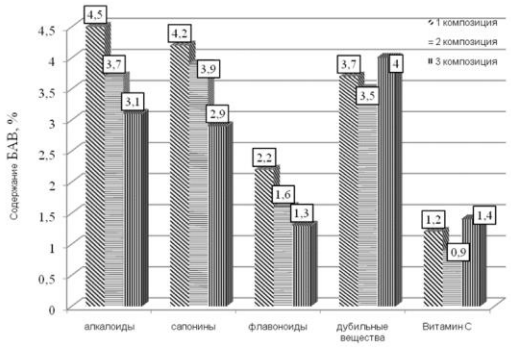


Рисунок 2 – Химический состав 3 композиций лекарственных растений

1 композиция: 60 % (мяты):20% (мелисса): 20% ромашка;

2 композиция: 50 % (мяты):30% (мелисса): 20% ромашка;

3 композиция: 40 % (мяты) :35% (мелисса): 25% ромашка.

Кроме того, растительные добавки в значительной степени обогащают йогурт полезными биологически активными веществами. Например, экстракты черники, богатые антоцианами, обладают антиоксидантными свойствами, способствуют укреплению сосудов и улучшению зрения. Экстракты малины и ежевики содержат витамины С и Е, которые поддерживают иммунную систему и оказывают антиоксидантное действие [2, 3]. Экстракты мяты и мелиссы имеют успокаивающий эффект и могут способствовать улучшению пищеварения.

Физико-химические исследования показали, что добавление растительных экстрактов не приводит к значительным изменениям в структуре йогурта. Показатели pH и кислотности оставались в пределах нормы, а консистенция и текстура йогурта сохранялись стабильными на протяжении всего срока хранения. Микробиологические исследования также подтвердили безопасность продукта, что свидетельствует о его пригодности для массового производства.

Обсуждение научных результатов

Использование растительных добавок в производстве йогуртов открывает новые возможности для создания функциональных продуктов с улучшенными свойствами. Растительные экстракты обладают различными полезными эффектами, такими как антиоксидантные, противовоспалительные, антибактериальные и иммуномодулирующие действия, что позволяет значительно повысить функциональную ценность йогурта. Например, экстракты черники могут не только улучшить вкусовые качества йогурта, но и способствовать улучшению зрения и защите клеток от повреждений, вызванных свободными радикалами [5, 7].

Одним из важных аспектов является то, что растительные добавки могут оказывать положительное влияние на здоровье, предотвращая развитие различных заболеваний, таких как сердечно-сосудистые, диабет и воспалительные процессы. Экстракты трав, таких как ромашка и мята, известны своими успокаивающими и противовоспалительными свойствами, что делает йогурт с такими добавками полезным для людей с повышенным уровнем стресса или проблемами с пищеварением [6, 8].

Для сохранения активности растительных добавок в процессе производства йогурта необходимо тщательно выбирать метод их введения в продукт. Важно учитывать термочувствительность биоактивных веществ, так как длительное воздействие высокой температуры может снизить их эффективность. Поэтому в некоторых случаях экстракты добавляются в готовый продукт на этапе упаковки, чтобы сохранить максимальное количество полезных веществ [9].

Заключение

Технология производства йогуртов с биологически активными добавками растительного происхождения представляет собой перспективную область для разработки функциональных продуктов, которые могут оказывать положительное влияние на здоровье потребителей. Использование таких добавок способствует улучшению вкусовых и питательных свойств йогуртов, а также их обогащению полезными биоактивными компонентами. Это отвечает растущему спросу на здоровое питание и функциональные продукты. Дальнейшие исследования и разработки в этой области направлены на улучшение технологии производства, оптимизацию дозировок растительных добавок и расширение ассортимента функциональных молочных продуктов [1, 10].

Список литературы

1. Современные тенденции в производстве йогуртов с функциональными добавками / А.В. Михайлов и др. // Журнал пищевых технологий. – 2021. – № 32(4). – P. 56-62.
2. Ivanova M.V. Plant-Based Bioactive Ingredients in Dairy Products / M.V. Ivanova, J.D. Smith // Food Science and Technology Reviews. – 2020. – № 12(3). – P. 210-223.
3. Калиев А.К. Технология молочных продуктов с растительными добавками / А.К. Калиев // Наука и образование. – 2022. – № 44(5). – С. 14-18.
4. Pérez R. Effects of Plant-Based Additives in Yogurt: A Review / R. Pérez, L.A. Martinez // Dairy Research Journal. – 2019. – № 48(2). – P. 120-130.
5. Kwon H.H. Functional Dairy Products and their Health Benefits / H.H. Kwon, Y.G. Lee // Journal of Dairy Science. – 2021. – № 58(8). – P. 1705-1718.
6. Williams S. The Impact of Herbal Additives on Yogurt / S. Williams, W.Z. Liu // Food Chemistry and Applications. 2018. – № 25(1). – P. 43-50.

7. Куликова В.М. Влияние растительных экстрактов на состав йогуртов / В.М. Куликова // Технология молочных продуктов. – 2020. – № 10(3). – С. 22-28.
8. Zhang X. Development of Functional Yogurt with Plant-Based Ingredients / X. Zhang, B. Li // International Dairy Journal. – 2019. – № 29(6). – P. 78-83.
9. Smith A.R. Antioxidant Effects of Berry Extracts in Dairy Products / A.R. Smith, Y. Zhang // Journal of Functional Foods. – 2022. – № 19(2). – P. 89-97.
10. Калиев А.К. Использование растительных добавок в молочной промышленности / А.К. Калиев, М.Д. Досова // Пищевые технологии Казахстана. – 2021. – № 17(1). – С. 55-60.
11. Семёнова Е.В. Исследование состава алкалоидов лекарственных растений / Е.В. Семёнова, О.И Никулина // Научное обозрение. Медицинские науки. – 2021. – № 1. – С. 20-24.
12. Hybrid molecules based on alkaloids / O.A. Nurkenov et al // Химический журнал Казахстана. – 2021. – № 3(75). – С.67-82.

References

1. Sovremennye tendentsii v proizvodstve iogurtov s funktsional'nymi dobavkami / A.V. Mikhailov i dr. // Zhurnal pishchevykh tekhnologii. – 2021. – № 32(4). – R. 56-62. (In Russian).
2. Ivanova M.V. Plant-Based Bioactive Ingredients in Dairy Products / M.V. Ivanova, J.D. Smith // Food Science and Technology Reviews. – 2020. – № 12(3). – R. 210-223. (In English).
3. Kaliev A.K. Tekhnologiya molochnykh produktov s rastitel'nymi dobavkami / A.K. Kaliev // Nauka i obrazovanie. – 2022. – № 44(5). – S. 14-18. (In Russian).
4. Pérez R. Effects of Plant-Based Additives in Yogurt: A Review / R. Pérez, L.A. Martinez // Dairy Research Journal. – 2019. – № 48(2). – R. 120-130. (In English).
5. Kwon H.H. Functional Dairy Products and their Health Benefits / H.H. Kwon, Y.G. Lee // Journal of Dairy Science. – 2021. – № 58(8). – R. 1705-1718. (In English).
6. Williams S. The Impact of Herbal Additives on Yogurt / S. Williams, W.Z. Liu // Food Chemistry and Applications. 2018. – № 25(1). – R. 43-50. (In English).
7. Kulikova V.M. Vliyanie rastitel'nykh ehkstraktov na sostav iogurtov / V.M. Kulikova // Tekhnologiya molochnykh produktov. – 2020. – № 10(3). – S. 22-28. (In Russian).
8. Zhang X. Development of Functional Yogurt with Plant-Based Ingredients / X. Zhang, B. Li // International Dairy Journal. – 2019. – № 29(6). – R. 78-83. (In English).
9. Smith A.R. Antioxidant Effects of Berry Extracts in Dairy Products / A.R. Smith, Y. Zhang // Journal of Functional Foods. – 2022. – № 19(2). – R. 89-97. (In English).
10. Kaliev A.K. Ispol'zovanie rastitel'nykh dobavok v molochnoi promyshlennosti / A.K. Kaliev, M.D. Dosova // Pishchevye tekhnologii Kazakhstana. – 2021. – № 17(1). – S. 55-60. (In Russian).
11. Semenova E.V. Issledovanie sostava alkaloidov lekarstvennykh rastenii / E.V. Semenova, O.I Nikulina // Nauchnoe obozrenie. Meditsinskie nauki. – 2021. – № 1. – S. 20-24. (In Russian).
12. Hybrid molecules based on alkaloids / O.A. Nurkenov et al // Khimicheskii zhurnal Kazakhstana. – 2021. – № 3(75). – S.67-82. (In English).

А.Е. Бепеева[1*], Е.С. Жарыкбасов[1], С.С. Толеубекова[1], А.Т. Қабденова[1], Д.С. Свидерская[2]
[1]Шәкәрім атындағы университеті,
071412, Қазақстан Республикасы, Семей қаласы, Глинки көшесі 20 А,
[2]Торайғыров университеті,
140008, Қазақстан Республикасы, Павлодар қаласы, Ломова көшесі 64
[*]e-mail: bepeyeva1987@gmail.com

ӨСІМДІК ТЕКТЕС БИОЛОГИЯЛЫҚ БЕЛСЕНДІ ҚОСПАЛАРЫ БАР ЙОГУРТТЫҢ ӨНДІРУ ТЕХНОЛОГИЯСЫ

Мақалада өсімдік тектес биологиялық белсенді қоспалар қосылған йогурт өндірісінің заманауи әдістері қарастырылады. Йогуртты өсімдік сығындыларымен байыту үшін қолданылатын негізгі компоненттер, олардың өнімнің органолептикалық және физика-химиялық қасиеттеріне әсері, сондай-ақ йогурттың функционалдық қасиеттерін жақсартудағы мұндай қоспалардың рөлі сипатталған. Йогурт өндіру және сақтау процесінде өсімдік қоспаларының пайдалы қасиеттерін сақтауға мүмкіндік беретін әдістер қарастырылады. Маңызды аспект-өнімнің дәмін жақсарту және тағамдық құндылығын арттыру үшін табиғи өсімдік компоненттерін пайдалану, бұл дұрыс тамақтануға қызығушылық танытатын тұтынушылардың қажеттіліктерін қанағаттандыруға көмектеседі. Мақалада сондай-ақ осы технологияның даму перспективалары және сүт өнімдерін

өндірудегі нарықтық тенденцияларға әсері талқыланады. Жұмыстың ғылыми маңыздылығы сүт өнеркәсібінде өсімдік қоспаларын пайдалану мүмкіндіктері туралы білімді кеңейту, ал практикалық құндылығы жақсартылған пайдалы қасиеттері бар функционалды өнімдерді өндіру үшін жаңа технологияларды енгізу болып табылады. Функционалды био-йогурт өндіру үшін қою сығынды алу әдісі әзірленді. Қою сығынды алу технологиясын жасау үшін эксперименталды түрде келесі режимдер орнатылды: экстрагирлеу температурасы 50-55ºС, ұзақтығы 5 сағат, шикізат пен экстрагент қатынасы 1:20, экстрагент ретінде 95% этил спирті таңдалды.

Түйін сөздер: *йогурт, БАҚ, өсімдік қоспалары, функционалды өнімдер, сүт өнеркәсібі, өндіріс технологиясы, өсімдік сығындылары, жидектердің сығындылары, тағамдық құндылығы.*

A. Bepeyeva[*], Ye. Zharykbasov[1], S. Toleubekova[1], A. Kabdenova[1], D. Sviderskaya[2]
[1]Shakarim University,
071412, Republic of Kazakhstan, Semey city, Glinka street 20A,
[2]Toraighyrov University,
140008, Republic of Kazakhstan, Pavlodar city, Lomova street 64
[*]e-mail: bepeyeva1987@gmail.com

THE TECHNOLOGY OF YOGURT PRODUCTION WITH BIOLOGICALLY ACTIVE PLANT-BASED ADDITIVES

This article discusses modern methods of producing yogurts with the addition of plant-based biologically active additives. The article describes the main components used to enrich yogurts with plant extracts, their impact on the organoleptic and physicochemical properties of the product, as well as the role of such additives in improving the functional properties of yogurts. The article also considers methods that help preserve the beneficial properties of plant additives during production and storage of yogurt. An important aspect is the use of natural plant components to enhance flavor and increase the nutritional value of the product, which helps meet the needs of consumers interested in healthy eating. The article also discusses the prospects of developing this technology and its influence on market trends in dairy product production. The scientific significance of the work is in expanding knowledge about the possibilities of using plant additives in the dairy industry, while the practical value is in the implementation of new technologies for producing functional products with improved health benefits. A method for obtaining a thick extract for the production of functional bio-yogurt has been developed. To develop the technology for obtaining a thick extract, the following modes have been experimentally established: extraction temperature of 50-55 ºC, duration of 5 hours, with a ratio of raw materials and extractant of 1:20, 95% ethyl alcohol has been selected as the extractant.

Key words: *yogurt, BAA, plant additives, functional products, dairy industry, production technology, plant extracts, berry extracts, nutritional value.*

Сведения об авторах

Айгерим Ергалиевна Бепеева[*] – PhD; кафедра «Биотехнология», Шәкәрім университет, г. Семей, Республика Казахстан; e-mail: bepeyeva1987@gmail.com. ORCID: https://orcid.org/0000-0003-0097-8466.

Ерлан Сауыкович Жарыкбасов – PhD; ассоциированный профессор; кафедра «Биотехнология», Шәкәрім университет, г. Семей, Республика Казахстан; e-mail: erlan-0975@mail.ru. ORCID: https://orcid.org/0000-0001-9707-0539.

Сандугаш Сайлауовна Толеубекова – кандидат технических наук; ассоциированный профессор; кафедра «Биотехнология», Шәкәрім университет, г. Семей, Республика Казахстан; e-mail: saltosha-sandu@mail.ru. ORCID: https://orcid.org/0000-0003-2658-9514.

Айнур Толеухановна Қабденова – магистр биотехнологии; кафедра «Биотехнология», Шәкәрім университет, г. Семей, Республика Казахстан; e-mail: ain_arik@mail.ru. ORCID: https://orcid.org/0009-0001-6558-1868.

Диана Сергеевна Свидерская – кандидат технических наук, доцент; кафедра «Архитектура и дизайн», Торайгыров университет, г. Павлодар, Республика Казахстан; e-mail: sofilsev@rambler.ru. ORCID: https://orcid.org/0000-0003-3329-1126.

Авторлар туралы мәліметтер

Айгерим Ергалиевна Бепеева[*] – PhD; «Биотехнология» кафедрасы, Шәкәрім университеті, Семей қаласы, Қазақстан Республикасы; e-mail: bepeyeva1987@gmail.com. ORCID: https://orcid.org/0000-0003-0097-8466.

Ерлан Сауыкович Жарыкбасов – PhD; қауымдастырылған профессор; «Биотехнология» кафедрасы, Шәкәрім университеті, Семей қаласы, Қазақстан Республикасы; e-mail: erlan-0975@mail.ru. ORCID: https://orcid.org/0000-0001-9707-0539.

Сандугаш Сайлауовна Толеубекова – техника ғылымдарының кандидаты; қауымдастырылған профессор; «Биотехнология» кафедрасы, Шәкәрім университеті, Семей қаласы, Қазақстан Республикасы; e-mail: saltosha-sandu@mail.ru. ORCID: https://orcid.org/0000-0003-2658-9514.

Айнур Толеухановна Қабденова – биотехнология магистрі; «Биотехнология» кафедрасы, Шәкәрім университеті, Семей қаласы, Қазақстан Республикасы; e-mail: ain_arik@mail.ru. ORCID: https://orcid.org/0009-0001-6558-1868.

Диана Сергеевна Свидерская – техника ғылымдарының кандидаты; доцент; «Сәулет және дизайн» кафедрасы, Торайгыров университеті, Павлодар қаласы, Қазақстан Республикасы; e-mail: sofilsev@rambler.ru. ORCID: https://orcid.org/0000-0003-3329-1126.

Information about the authors

Aigerim Bepeyeva* – PhD; Department of Biotechnology; Shakarim University, Semey city, Republic of Kazakhstan; e-mail: bepeyeva1987@gmail.com. ORCID: https://orcid.org/0000-0003-0097-8466.

Yerlan Zharykbasov – PhD; Associate Professor; Department of Biotechnology, Shakarim University, Semey city, Republic of Kazakhstan; e-mail: erlan-0975@mail.ru. ORCID: https://orcid.org/0000-0001-9707-0539.

Sandugash Toleubekova – Candidate of Technical Sciences; Associate Professor; Department of Biotechnology, Shakarim University, Semey city, Republic of Kazakhstan; e-mail: saltosha-sandu@mail.ru. ORCID: https://orcid.org/0000-0003-2658-9514.

Ainur Kabdenova – Master of Biotechnology; Department of Biotechnology, Shakarim University, Semey city, Republic of Kazakhstan; e-mail: ain_arik@mail.ru. ORCID: https://orcid.org/0009-0001-6558-1868.

Diana Sviderskaya – Candidate of Technical Sciences; Associate Professor; department of «Architecture and design», Toraighyrov University, Pavlodar city, Republic of Kazakhstan; e-mail: sofilsev@rambler.ru. ORCID: https://orcid.org/0000-0003-3329-1126.

Поступила в редакцию 04.04.2025
Поступила после доработки 04.06.2025
Принята к публикации 19.06.2025

https://doi.org/10.53360/2788-7995-2025-4(20)-34

CC BY 4.0
Check for updates

IRSTI: 65.33.29

S.E. Ibraimova[1*], A.N. Serikbaeva[1], G.Sh. Jumabekova[2], R.A. Izteliyeva[1], Sh.S. Amanova[1]
[1]Almaty Technological University,
[2]International Engineering and Technology University
050012, Republic of Kazakhstan, Almaty, Tole bi street, 100
*e-mail: canek21@mail.ru

ENSURING MICROBIOLOGICAL SAFETY OF BREAD WITH THE ADDITION OF CRUSHED JUNIPER FRUIT

Abstract: *This study investigates the impact of incorporating powdered juniper berries into the formulation of wheat-based bakery products on their microbiological stability during storage. Juniper berries are rich in natural antimicrobial and antioxidant compounds, which makes them promising as a functional ingredient in food production. The aim of the research was to evaluate the effectiveness of adding 3% powdered juniper berries to wheat bread. A comparative analysis was conducted between a control sample (without additives) and an experimental sample containing the juniper berry powder. Microbiological indicators were assessed under room temperature conditions and at elevated temperature (37 °C) over a defined storage period. No signs of "potato disease" caused by* Bacillus subtilis *and* Bacillus mesentericus *were observed in the experimental samples. Furthermore, compared to the control, the juniper-enriched bread showed a significant reduction in the total count of mesophilic aerobic and facultative anaerobic microorganisms (TAMC), mold fungi, and coliform bacteria. The results confirm that the use of powdered juniper berries contributes to enhanced microbiological safety and prolonged shelf life of bread products without the need for synthetic preservatives. The obtained results open up prospects for the development of functional bakery products with enhanced hygienic, technological, and consumer characteristics, aligned with the principles of healthy nutrition in the baking industry.*

Key words: *juniper berries, bakery products, microbiological stability, antimicrobial activity, shelf life.*

Introduction

One of the key strategic directions of the state policy in the Republic of Kazakhstan is the promotion of principles of rational and balanced nutrition aimed at protecting public health and ensuring food security. In this context, the expansion of the range of high-quality and microbiologically safe bakery products becomes particularly important. According to expert estimates, approximately 25% of food products become unsuitable for consumption annually due to the activity of microorganisms. This is especially true for bakery products, which serve as a favorable nutrient medium for microbial growth [1, 2, 3].

Food safety concerns arising from microbial contamination and the resulting spoilage of products are common and present a major challenge. Most control measures are focused on extending shelf life and ensuring the microbiological safety of food products. Prioritizing food safety, many microbiologists working in the food industry dedicate significant time to studying spoilage microorganisms [4, 5, 6].

Although the exact economic losses due to food spoilage are difficult to quantify, they are undoubtedly substantial. According to some estimates, up to one-quarter of the global food supply is lost due to microbial activity [7]. For cereals and legumes, global losses are estimated to account for at least 10% of agricultural production, while losses for grains, vegetables, and fruits can reach up to 50%. The range of microbial contamination is extensive. Bacteria are the main cause of spoilage in protein-rich foods such as meat, poultry, fish, milk, and dairy products [8, 9, 10].

The primary spoilage organisms include Gram-negative rods (e.g., *Pseudomonas*, *Shewanella*), Gram-positive spore-forming bacteria (*Bacillus*, *Clostridium*), lactic acid bacteria, and other Gram-positive bacteria (*Brochothrix*, *Micrococcus*). Additionally, *Enterobacteriaceae* represent a large group of bacteria that include both spoilage and pathogenic strains. These bacteria are often used as indicators of quality and food safety [11].

Although the growth of yeasts and molds is generally slower than that of bacteria, they can survive under harsher conditions and are thus considered potential hazards in food spoilage.

The causes of microbiological spoilage of food can be categorized as «intrinsic», «extrinsic», «technological», and «latent». Intrinsic factors include the physicochemical and structural properties of the food (e.g., water activity, pH, redox potential, availability of nutrients for microorganisms, and natural antimicrobial compounds). Extrinsic factors refer to storage conditions such as temperature, humidity, and the composition of the surrounding atmosphere. Technological factors involve physicochemical processing methods that influence the properties of the food and its microbiota. Latent factors are related to the interactions between microorganisms under the influence of the above-mentioned conditions, including symbiotic, synergistic, and antagonistic relationships [12, 13].

Technologies that ensure food safety and prevent foodborne illness play a vital role in improving the nutritional value of food products. On a global scale, the control and regulation of microbiological contamination remain a pressing issue [14].

The quality of bakery products depends on the properties of the ingredients used, the processes of dough preparation and baking, and storage conditions. During storage, adverse microbiological processes may occur, leading to a significant decline in product quality. Microbial spoilage of bread is commonly referred to as «bread disease».

One of the most well-known forms of bread spoilage is «potato disease», caused by spore-forming bacteria such as *Bacillus mesentericus* and *Bacillus subtilis*. These microorganisms are widely distributed in nature (in air, soil, plants) and are commonly found in grain and flour. The spores remain viable during baking (surviving heating up to 130 °C or up to 6 hours at 100 °C). Conditions favorable for their germination include high moisture content, neutral pH, and temperatures of 37-40 °C. These bacteria possess strong amylolytic (e.g., α-amylase) and proteolytic (e.g., protease, polypeptidase, dipeptidase) enzyme complexes, which cause noticeable structural changes in bread crumb during spoilage [15].

Initially, affected bread loses its characteristic flavor and aroma. As spoilage progresses, the odor becomes more intense and unpleasant. The crumb turns sticky and viscous, producing slimy threads when torn apart. For this reason, the disease is also known as «ropy bread».

This condition is also referred to as «mucous bread disease» (E. Boyko, 1936) or «bread chain disease» (S. A. Balakshin, K. A. Popov, 1933). The disruption of bread structure is the result of the bacteria’s ability to hydrolyze starch into soluble carbohydrates, sugars, and dextrins. According to V. A. Nikolaev (1932), in heavily spoiled bread, starch content can drop from 63% to as low as 16%. Other components of bread also undergo changes [16].

Several causes of potato disease in bread can be identified: high spore count of *Bacillus mesentericus* and *Bacillus subtilis* (1-5 thousand spores per gram of wheat flour); use of contaminated flour and inadequate sanitation practices at baking facilities; reuse of contaminated bread; violation of technological parameters during production (e.g., acidity, moisture, crumb structure); Improper storage conditions (e.g., storing warm, uncooled bread in high-humidity environments).

The potential impact of spore-forming bacteria on human health is a serious concern. Potato disease alters the physicochemical, biological, and organoleptic properties of bread, rendering it nutritionally deficient and unfit for consumption. Spoiled bread has been shown to be toxic, causing death in up to 70% of experimental animals (mice) [17].

Therefore, technologies aimed at improving the nutritional quality of food must also ensure microbiological safety and prevent foodborne illnesses. To prevent bread spoilage, it is essential to monitor raw materials and finished products for microbial contamination. A variety of technological, bacteriological, physical, biochemical, and other methods are used to ensure microbiological safety.

Various methodological approaches are used to assess resistance to microbiological spoilage, as shown in Figure 1.

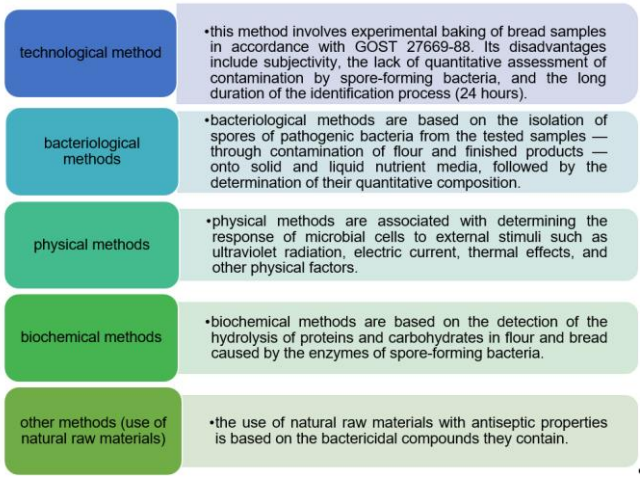


Figure 1 – Main methods for evaluating the microbiological stability of bread

Materials and methods

In the study of the microflora of long shelf-life products, classical microbiological methods were employed, including sampling and preparation techniques for microbiological analysis, as well as methods for cultivating microorganisms. Investigations were conducted to detect coliform bacteria (Coliforms), pathogenic microorganisms including Salmonella, and molds [18].

The total number of mesophilic aerobic and facultative anaerobic microorganisms (MAFAM) was determined in accordance with GOST 10444.15-94. The count of coliform bacteria (Coliforms) was determined following GOST 10444.2-94. Detection of pathogenic microorganisms, including Salmonella, was carried out in accordance with GOST 31747-2012.

Results

To confirm the feasibility of incorporating juniper (Juniperus) into the formulation of wheat bread in order to enhance its microbiological stability, experimental laboratory trials were conducted. The trials involved inducing Bacillus subtilis and Bacillus mesentericus spore-forming bacteria, based on a total spore count of 10^2 spores/g of wheat flour. After baking, the bread samples were wrapped in moist paper and incubated at a temperature of 37 °C and a relative humidity of 85–90% for 36 hours. Following incubation, the development of potato disease in the bread was assessed organoleptically. The results are presented in Table 1.

According to the organoleptic evaluation, no signs of potato spoilage were observed in the bread sample made with contaminated flour supplemented with juniper. In addition to improving microbiological stability, the incorporation of 3% juniper berry powder positively influenced the sensory characteristics of the product. The bread with juniper demonstrated a more pronounced pleasant aroma with subtle resinous and spicy notes characteristic of juniper berries. The crumb had a light brownish hue, uniform porosity, and a slightly firmer texture compared to the control, while

maintaining elasticity and freshness throughout storage. The taste was harmonious, mildly tart, and refreshing, without bitterness or off-flavors.

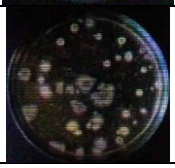
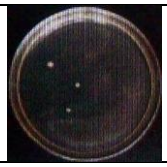
Overall, the inclusion of juniper berry powder not only suppressed the development of *Bacillus*-related «potato disease» but also enhanced the sensory appeal of the bread, contributing to a distinctive flavor profile and improved freshness perception.

Table 1 – Organoleptic evaluation of potato spoilage manifestation in bread

Sample name	Potato disease symptoms
Bread baked from wheat flour	Characteristic aroma of wheat bread; no signs of disease in the crumb.
Bread baked from wheat flour (10^3 spores/g flour)	Sticky crumb; presence of specific off-odor.
Bread with the addition of 3% juniper powder (10^3 spores/g flour + ground juniper berries)	No signs of disease in the crumb.

To determine the inhibitory effect of plant ingredients, the quantitative composition of *Bacillus subtilis* and *Bacillus mesentericus* colonies was assessed using a bacteriological method. This method is based on determining the number of visible colonies growing in the sample by inoculating it onto a solid nutrient medium. The results are presented in Table 2.

Table 2 – Number of visible colonies of *Bacillus subtilis* and *Bacillus mesentericus* in the samples

Dilution	Wheat flour bread (10^3 spores/g flour)		Wheat flour bread (10^3 spores/g flour + ground juniper berries)	
10^{-1}		confluent growth		confluent growth
10^{-2}		99		11
10^{-3}		27		3

Based on the evaluation of the data presented in Table 2, the following conclusion can be drawn: the addition of ground juniper berries to the formulation of wheat flour bread contributes to the reduction of potato disease pathogens. This effect may be associated with the increased acidity of the dough containing ground juniper berries, as the organic acids present in juniper act as natural preservatives.

The baked bread samples were stored under ambient conditions (t = 20 ÷ 25 °C) and under induced spoilage conditions (t = 37 ÷ 38 °C, high humidity).

The results obtained are presented in Table 3.

The results of the conducted study (Table 3) showed that in the bread sample containing 3% ground juniper berries, no mesophilic aerobic and facultative anaerobic microorganisms (MAFAM) were detected after 72 hours of storage. In contrast, in the control sample, the growth of MAFAM was observed after just 24 hours of storage. Mold development was first noted on the control sample after 2 days, whereas in the sample containing 3% ground juniper berries, mold appeared on the 4th day, yet did not exceed the permissible limits established by TR CU 021/2011. After 72 hours of storage, the total viable bacterial count (TVBC) in the control sample remained within acceptable limits, whereas in the sample with 3% ground juniper berries, the TVBC remained below the regulatory threshold even after 96 hours. These findings demonstrate the positive effect of juniper on the microbiological safety of bread products.

Table 3 – Changes in microbiological indicators of the test samples during storage (R≥0.95, n=3)

Microbiological indicator		Bread samples		TR CU 021/2011 requirements
		Control	Bread with 3% ground juniper berries	
the number of mesophilic aerobic and facultative anaerobic microorganisms, expressed in colony-forming units per gram (CFU/g)	24 h	not found	not found	$5,0\times10^3$
	48 h	$(5,0\pm0,5)\times10^2$	not found	
	72 h	$(2,5\pm1,5)\times10^4$	not found	
	96 h	$(8,5\pm1,5)\times10^4$	$(5,3\pm0,4)\times10^2$	
Mold, CFU/g	24 h	not found	not found	50
	48 h	< 10	not found	
	72 h	(80±7)	not found	
	96 h	(135±15)	< 30	
Coliform bacteria (Coliforms), g	24 h	not found	not found	1,0
	48 h	0,01	not found	
	72 h	0,1	not found	
	96 h	1,0	0,01	

The results obtained indicate that the inclusion of ground juniper berries in bread not only enhances the nutritional value of the final product but also extends its shelf life. Thus, bread products containing ground juniper berries can be stored safely for up to 72 hours.

Conclusion

The conducted research demonstrated that the addition of 3% juniper berry powder to the wheat flour bread formulation exhibits a pronounced antimicrobial effect. Microbiological analysis revealed that in the experimental bread sample, no growth of mesophilic aerobic and facultative anaerobic microorganisms (Total Viable Count, TVC) was observed during 72 hours of storage, whereas active microbial growth in the control sample began as early as 24 hours. Moreover, mold development in the control bread occurred after 48 hours, while in the juniper-enriched sample it appeared only after 96 hours, and the levels did not exceed the limits established by TR CU 021/2011. It was also found that the addition of juniper powder inhibited the manifestation of «potato disease» symptoms: the treated sample showed no crumb stickiness or off-odors.

Thus, the results confirm that incorporating juniper berry powder into bread formulations not only improves microbial resistance and safety but also contributes to extending shelf life. The practical significance of the study lies in the potential industrial application of juniper berry powder as a natural preservative and functional additive in bakery production. This approach can support the development of clean-label bakery products with enhanced quality and extended freshness. Further research should focus on optimizing dosage levels, studying the impact on sensory characteristics, and assessing scalability in industrial baking conditions.

Список литературы

1. Morphological diversity Bacillus subtilis / A.N. Irkitova et al // Ukrainian journal of ecology. – 2018. – № 8, Vol (2). – P. 365-370.
2. Sabine B. Toxin-antitoxin sistems in Bacillus subtilis / B. Sabine, M. Peter // Journal: Toxins. – 2019. – Vol. 11. – P. 262-280.
3. Технология изготовления и контроля лабораторной серии фагового биопрепарата Bacillus pumilus (mesentericus) / М.А. Лыдина и др. // Ботаника. – 2015. – № 1(2). – С. 8-12.
4. Бибен И.А. Индикация и идентификация споровых бактерии с пробиотическим потенциями / И.А. Бибен // Науковий вісник ЛНУВМБТ С.З. Іжицького. – 2015. – Т. 17, № 1(61). – С. 314-318.
5. Хаертдинова Э.Н. Критерии качества и безопасности к добавкам для обогащения хлебобулочных изделий дефицитными микроэлементами и витаминами / Э.Н. Хаертдинова, Л.Н. Третьяк, Д.И. Явкина // Международный студенческий научный вестник. – 2017. – № 4-5.
6. Boliko M.C. FAO and the situation of food security and nutrition in the world / M.C. Boliko // Journal of Nutritional Science and Vitaminology. – 2019. – Vol.65. – P. 4-8.
7. Business models for urban food waste prevention, redistribution, recovery and recycling / D. Senanayake et al // Pelawatta: Resource Recovery and Reuse. – 2021. – Vol.19. – P. 89.

8. Saranraj P. Microorganisms involved in the spoilage of bread, and measures to combat them / P. Saranraj, P. Sivasaktivelan // Bread and its enrichment: nutrition and health benefits. – 2016. – P. 132-149.
9. Development of recipe composition of bread with the inclusion of juniper using mathematical modeling and assessment of its quality / S. Ibraimova et al // Eastern-European Journal of Enterprise Technologies. – 2020. – № 6(11). – P. 6-16. https://doi.org/10.15587/1729-4061.2020.219020.
10. Bleiel J. Functional Foods from the perspective of the consumer: how to make it a success / J. Bleiel // Int. Dairy J. – 2010. – Vol. 20. – P. 303-306.
11. Evaluation of the Effectiveness of Implementing Control Systems in the Increasing of Food Safety / R. Uazhanova et al // Journal of Advanced Research in Dynamical and Control Systems. – 2018. – Vol. 10 – P. 544-551.
12. Оттавей П.Б. Обогащение пищевых продуктов и биологически активные добавки: технология, безопасность и нормативная база / П.Б. Оттавей // СПб.: Профессия. – 2015. – С. 312.
13. Іоргачова К.Г. Хлібобулочні вироби оздоровчого призначення з використанням фітодобавок // К.Г. Іоргачова, Т.Є. Лебеденко. – К. К-Пресс. – 2015. – С. 464.
14. Heliyon / Rajinder Raina et al // Potential of Juniperus communis L as a nutraceutical in human and veterinary medicine. – 2019. – № 5. – P. 1-6. https://doi.org/10.1016/j.heliyon.2019.e02376.
15. Genoprotective, antioxidant, antifungal and anti-inflammatory evaluation of hydroalcoholic extract of wild-growing Juniperus communis L. (Cupressaceae) native to Romanian southern sub-Carpathian hills / I. Fierascu et al // BMC Complement Altern Med. – 2018. – № 18. – P. 3
16. Plant-Based Food By-Products: Prospects for Valorisation in Functional Bread Development / Isaac Amoah et al // Sustainability. – 2020. – № 12(18). – P. 7785. https://doi.org/10.3390/su12187785.
17. Boateng Nutritional, microbial and sensory attributes of bread fortified with defatted watermelon seed flour / Daniel A. Anang et al // International Journal of Food Science and Technology. – 2019. – № 53(6). – P. 1468-1475. https://doi.org/10.1111/ijfs.13727.
18. Myers R. Response surface methodology: process and product optimization using designed experiments / R. Myers, D. Montgomery, C. Anderson-Cook // Hoboken, New Jersey: John Wiley & Sons. – 2016. – P. 825.

References

1. Morphological diversity Bacillus subtilis / A.N. Irkitova et al // Ukrainian journal of ecology. – 2018. – № 8, Vol (2). – P. 365-370. (In English).
2. Sabine B. Toxin-antitoxin sistems in Bacillus subtilis / B. Sabine, M. Peter // Journal: Toxins. – 2019. – Vol. 11. – P. 262-280. (In English).
3. Tekhnologiya izgotovleniya i kontrolya laboratornoi serii fagovogo biopreparata Bacillus pumilus (mesentericus) / M.A. Lydina i dr. // Botanika. – 2015. – № 1(2). – S. 8-12. (In Russian).
4. Biben I.A. Indikatsiya i identifikatsiya sporovykh bakterii s probioticheskim potentsiyami / I.A. Biben // Naukovii visnik LNUVMBT S.Z. Izhits'kogo. – 2015. – T. 17, № 1(61). – S. 314-318. (In Russian).
5. Khaertdinova EH.N. Kriterii kachestva i bezopasnosti k dobavkam dlya obogashcheniya khlebobulochnykh izdelii defitsitnymi mikroehlementami i vitaminami / EH.N. Khaertdinova, L.N. Tret'yak, D.I. Yavkina // Mezhdunarodnyi studencheskii nauchnyi vestnik. – 2017. – № 4-5. (In Russian).
6. Boliko M.C. FAO and the situation of food security and nutrition in the world / M.C. Boliko // Journal of Nutritional Science and Vitaminology. – 2019. – Vol.65. – P. 4-8. (In English).
7. Business models for urban food waste prevention, redistribution, recovery and recycling / D. Senanayake et al // Pelawatta: Resource Recovery and Reuse. – 2021. – Vol.19. – P. 89. (In English).
8. Saranraj P. Microorganisms involved in the spoilage of bread, and measures to combat them / P. Saranraj, P. Sivasaktivelan // Bread and its enrichment: nutrition and health benefits. – 2016. – P. 132-149. (In English).
9. Development of recipe composition of bread with the inclusion of juniper using mathematical modeling and assessment of its quality / S. Ibraimova et al // Eastern-European Journal of Enterprise Technologies. – 2020. – № 6(11). – R. 6-16. https://doi.org/10.15587/1729-4061.2020.219020. (In English).

10. Bleiel J. Functional Foods from the perspective of the consumer: how to make it a success / J. Bleiel // Int. Dairy J. – 2010. – Vol. 20. – R. 303-306. (In English).
11. Evaluation of the Effectiveness of Implementing Control Systems in the Increasing of Food Safety / R. Uazhanova et al // Journal of Advanced Research in Dynamical and Control Systems. – 2018. – Vol. 10 – R. 544-551. (In English).
12. Ottavei P.B. Obogashchenie pishchevykh produktov i biologicheski aktivnye dobavki: tekhnologiya, bezopasnost' i normativnaya baza / P.B. Ottavei // SPb.: Professiya. – 2015. – S. 312. (In Russian).
13. Iorgachova K.G. Khlibobulochni virobi ozdorovchogo priznachennya z vikoristannyam fitodobavok // K.G. Iorgachova, T.Є. Lebedenko. – K. K-Press. – 2015. – S. 464. (In Ukrainian).
14. Heliyon / Rajinder Raina et al // Potential of Juniperus communis L as a nutraceutical in human and veterinary medicine. – 2019. – № 5. – R. 1-6. https://doi.org/10.1016/j.heliyon.2019.e02376. (In English).
15. Genoprotective, antioxidant, antifungal and anti-inflammatory evaluation of hydroalcoholic extract of wild-growing Juniperus communis L. (Cupressaceae) native to Romanian southern sub-Carpathian hills / I. Fierascu et al // BMC Complement Altern Med. – 2018. – № 18. – R. 3. (In English).
16. Plant-Based Food By-Products: Prospects for Valorisation in Functional Bread Development / Isaac Amoah et al // Sustainability. – 2020. – № 12(18). – P. 7785. https://doi.org/10.3390/su12187785. (In English).
17. Boateng Nutritional, microbial and sensory attributes of bread fortified with defatted watermelon seed flour / Daniel A. Anang et al // International Journal of Food Science and Technology. – 2019. – № 53(6). – P. 1468-1475. https://doi.org/10.1111/ijfs.13727. (In English).
18. Myers R. Response surface methodology: process and product optimization using designed experiments / R. Myers, D. Montgomery, C. Anderson-Cook // Hoboken, New Jersey: John Wiley & Sons. – 2016. – R. 825. (In English).

С.Е. Ибраимова[1]*, А.Н. Серикбаева[1], Г.Ш. Джумабекова[2], Р.А. Изтелиева[1], Ш.С. Аманова[1]
[1]Алматы технологиялық университеті,
[2]Халықаралық инженерлік-технологиялық университеті
050012, Қазақстан Республикасы, Алматы қаласы, Төле би көшесі, 100
*e-mail: canek21@mail.ru

ҰНТАҚТАЛҒАН АРША ЖЕМІСІ ҚОСЫЛҒАН НАННЫҢ МИКРОБИОЛОГИЯЛЫҚ ҚАУІПСІЗДІГІНІҢ КӨРСЕТКІШТЕРІ

Бұл зерттеуде бидай ұнынан жасалған нан өнімдерінің сақтау мерзімінің микробиологиялық тұрақтылығына ұнтақталған арша жемісін қосу әсері қарастырылды. Арша жемістері табиғи антимикробтық және антиоксиданттық қосылыстарға бай болғандықтан, оларды тағам өндірісінде функционалдық ингредиент ретінде қолдану перспективалы бағыт болып табылады. Зерттеудің мақсаты – бидай нанының құрамына 3% ұнтақталған арша жемісін қосудың тиімділігін бағалау. Қоспасыз дайындалған бақылау үлгісімен және ұнтақталған арша жемісі қосылған тәжірибелік үлгімен салыстырмалы талдау жүргізілді. Микробиологиялық көрсеткіштер бөлме температурасында және 37 °C жоғары температурада белгілі бір сақтау мерзімінде бағаланды. Тәжірибелік үлгілерде Bacillus subtilis және Bacillus mesentericus бактериялары туындататын «картоп ауруының» белгілері байқалмады. Сонымен қатар, бақылау үлгісімен салыстырғанда, арша қосылған нан мезофильді аэробты және факультативті анаэробты микроорганизмдердің жалпы санының (МАжФАМС), зең саңырауқұлақтарының және ішек таяқшасы тобы бактерияларының айтарлықтай азаюын көрсетті. Алынған нәтижелер ұнтақталған арша жемісін қолдану синтетикалық консерванттарды пайдаланбастан, нан өнімдерінің микробиологиялық қауіпсіздігін арттыруға және сақтау мерзімін ұзартуға ықпал ететінін дәлелдейді. Алынған нәтижелер нан өнімдерін өндіру саласында жоғары гигиеналық, технологиялық және тұтынушылық сипаттамаларға ие, салауатты тамақтану қағидаттарына сай келетін функционалдық нан-тоқаш өнімдерін әзірлеудің перспективаларын айқындайды.

Түйін сөздер: *арша жемістері, нан өнімдері, микробиологиялық тұрақтылық, антимикробтық белсенділік, сақтау мерзімі.*

С.Е. Ибраимова[1]*, А.Н. Серикбаева[1], Г.Ш. Джумабекова[2], Р.А. Изтелиева[1], Ш.С. Аманова[1]
[1]Алматинский технологический университет,
[2]Международный инженерно-технологический университет
050012, Республика Казахстан, город Алматы, улица Толе би, 100
*e-mail: canek21@mail.ru

ПОКАЗАТЕЛИ МИКРОБИОЛОГИЧЕСКОЙ БЕЗОПАСНОСТИ ХЛЕБА С ДОБАВЛЕНИЕМ ПОРОШКА ПЛОДОВ МОЖЖЕВЕЛЬНИКА

В данном исследовании рассматривается влияние добавления порошка ягод можжевельника в рецептуру хлебобулочных изделий из пшеничной муки на их микробиологическую устойчивость в процессе хранения. Ягоды можжевельника богаты природными антимикробными и антиоксидантными соединениями, что делает их перспективным функциональным ингредиентом в пищевом производстве. Целью работы было оценить эффективность внесения 3% порошка ягод можжевельника в состав пшеничного хлеба. Проведен сравнительный анализ между контрольным образцом (без добавок) и опытным образцом с добавлением порошка можжевельника. Микробиологические показатели оценивались при комнатной температуре и при повышенной температуре (37 °C) в течение установленного срока хранения. В опытных образцах не выявлено признаков развития «картофельной болезни», вызываемой Bacillus subtilis и Bacillus mesentericus. Кроме того, по сравнению с контролем, хлеб с можжевельником показал значительное снижение общего количества мезофильных аэробных и факультативно-анаэробных микроорганизмов (КМАФАнМ), плесеней и бактерий группы кишечной палочки. Полученные результаты подтверждают, что использование порошка ягод можжевельника способствует повышению микробиологической безопасности и увеличению срока годности хлебобулочной продукции без применения синтетических консервантов. Полученные результаты открывают перспективы для разработки функциональных хлебобулочных изделий, отличающихся высокими гигиеническими, технологическими и потребительскими характеристиками, а также ориентированных на принципы здорового питания в хлебопекарной отрасли.

Ключевые слова: *ягоды можжевельника, хлебобулочные изделия, микробиологическая устойчивость, антимикробная активность, срок годности.*

Авторлар туралы мәліметтер

Сания Ерболатовна Ибраимова* – PhD, «Тағам өнімдерінің сапасы және қауіпсіздігі» кафедрасының ассисент-профессоры, Алматы технологиялық университеті, Алматы, Қазақстан Республикасы; e-mail: canek21@mail.ru. ORCID: https://orcid.org/0000-0002-9439-7461.

Аяна Нургалиевна Серикбаева – PhD, «Тағам өнімдерінің сапасы және қауіпсіздігі» кафедрасының ассисент-профессоры; Алматы технологиялық университеті, Қазақстан Республикасы; e-mail: ayana-sn@mail.ru. ORCID: https://orcid.org/0000-0001-8252-1034.

Гульзира Шабаевна Джумабекова – Техника ғылымдарының магистрі, «Тағам өндірістерінің техникасы және технологиясы» кафедрасының лекторы, Халықаралық инженерлік-технологиялық университеті, Алматы, Қазақстан Республикасы; e-mail: guzika_j@mail.ru. ORCID: https://orcid.org/0000-0002-6375-3128.

Раушан Акмуратовна Изтелиева – PhD, «Тағам өнімдерінің сапасы және қауіпсіздігі» кафедрасының қауымдастырылған профессоры; Алматы технологиялық университеті, Алматы, Қазақстан Республикасы; e-mail: iztelieva80@mail.ru. ORCID: https://orcid.org/0000-0001-9129-2798.

Шолпан Сапаровна Аманова – PhD, «Тағам өнімдерінің сапасы және қауіпсіздігі» кафедрасының ассисент-профессоры, Алматы технологиялық университеті, Алматы, Қазақстан Республикасы; e-mail: amanova_sh@mail.ru. ORCID: https://orcid.org/0000-0001-7964-7736.

Сведения об авторах

Сания Ерболатовна Ибраимова* – PhD, ассистент-профессор кафедры «Безопасность и качество пищевых продуктов», Алматинский технологический университет, Алматы, Республика Казахстан; e-mail: canek21@mail.ru. ORCID: https://orcid.org/0000-0002-9439-7461.

Аяна Нургалиевна Серикбаева – PhD, ассистент-профессор кафедры «Безопасность и качество пищевых продуктов», Алматинский технологический университет, Республика Казахстан; e-mail: ayana-sn@mail.ru. ORCID: https://orcid.org/0000-0001-8252-1034.

Гульзира Шабаевна Джумабекова – Магистр технических наук, лектор кафедры «Техника и технология пищевых производств», Международный инженерно-технологический университет, Алматы, Республика Казахстан; e-mail: guzika_j@mail.ru. ORCID: https://orcid.org/0000-0002-6375-3128.

Раушан Акмуратовна Изтелиева – PhD, ассоциированный профессор «Безопасность и качество пищевых продуктов», Алматинский технологический университет, Республика Казахстан; e-mail: iztelieva80@mail.ru. ORCID: https://orcid.org/0000-0001-9129-2798.

Шолпан Сапаровна Аманова – PhD, ассистент-профессор кафедры «Безопасность и качество пищевых продуктов», Алматинский технологический университет, Республика Казахстан; e-mail: amanova_sh@mail.ru. ORCID: https://orcid.org/0000-0001-7964-7736.

Information about the authors

Saniya Ibraimova* – Assistant Professor, Department of Food Safety and Quality, Almaty Technological University, Republic of Kazakhstan; e-mail: canek21@mail.ru. ORCID: https://orcid.org/0000-0002-9439-7461.

Ayana Serikbaeva – Assistant Professor, Department of Food Safety and Quality, Almaty Technological University, Republic of Kazakhstan; e-mail: ayana-sn@mail.ru. ORCID: https://orcid.org/0000-0001-8252-1034.

Gulzira Jumabekova – Master of Technical Sciences, Lecturer at the Department of «Technique and technology of the Food Production», International Engineering and Technology University, Almaty, Republic of Kazakhstan; e-mail: guzika_j@mail.ru. ORCID: https://orcid.org/0000-0002-6375-3128.

Raushan Izteliyeva –PhD, associate professor, Department of Food Safety and Quality, Almaty Technological University, Almaty, Republic of Kazakhstan; e-mail: iztelieva80@mail.ru. ORCID: https://orcid.org/0000-0001-9129-2798.

Sholpan Amanova – Assistant Professor, Department of Food Safety and Quality, Almaty Technological University, Republic of Kazakhstan; e-mail: amanova_sh@mail.ru. ORCID: https://orcid.org/0000-0001-7964-7736.

Received 15.09.2025
Revised 17.10.2025
Accepted 20.10.2025

https://doi.org/10.53360/2788-7995-2025-4(20)-35

BY 4.0
Check for updates

МРНТИ: 65.63.03

А.К. Базанова*, А.К. Какимов, Н.К. Ибрагимов, М.М. Ташыбаева
Шәкәрім университет,
071412, Республика Казахстан, г. Семей, ул. Глинки, 20 А
*e-mail: arayka.bazanovak@mail.ru

ПРИМЕНЕНИЕ ПРИРОДНЫХ СОРБЕНТОВ В УСОВЕРШЕНСТВОВАННОЙ УСТАНОВКЕ ДЛЯ ОЧИСТКИ МОЛОКА ОТ ТОКСИЧНЫХ ЭЛЕМЕНТОВ

Аннотация: *Молоко является одним из наиболее значимых и питательных продуктов питания, однако его качество во многом зависит от экологической обстановки. Загрязнение окружающей среды приводит к накоплению тяжёлых металлов в пищевой продукции, что представляет угрозу для здоровья населения. Среди них наибольшую опасность представляют свинец (Pb), кадмий (Cd), мышьяк (As) и другие элементы. Целью работы являлось определение содержания свинца, кадмия и мышьяка в образцах сырого коровьего молока и исследование эффективности адсорбционной очистки с использованием природных сорбентов. Анализ проб из трёх населённых пунктов проводился методом инверсионно-вольтамперометрии. Установлено, что содержание кадмия в молоке из села Саржал превышает предельно допустимую концентрацию (0,067 мг/кг при норме 0,03 мг/кг), тогда как уровни свинца и мышьяка находились в пределах нормы. Для очистки молока применялась усовершенствованная экспериментальная установка с тремя сорбционными колоннами, загруженными шунгитом, цеолитом и кокосовым активированным углём. Наибольшая эффективность достигнута при комбинации 1+3 колонна (шунгит + кокосовый активированный уголь), обеспечившей снижение концентраций свинца на 91 %, кадмия на 75 % и мышьяка на 84 %. Полученные результаты подтверждают целесообразность применения природных сорбентов для очистки молока и демонстрируют перспективность разработанной установки для использования в лабораторных и малых производственных условиях.*

Ключевые слова: *сырое коровье молоко, тяжёлые металлы, инверсионно-вольтамперометрический метод, шунгит, цеолит, кокосовый активированный уголь.*

Введение

Современная молочная промышленность сталкивается с проблемами производства экологически безопасной продукции, что во многом связано с возможным загрязнением молочного сырья токсичными элементами [1]. Коровье молоко рассматривается как

полноценный продукт питания благодаря высокому содержанию белков, жиров и минеральных соединений. Однако его загрязнение тяжёлыми металлами представляет угрозу для здоровья человека [2]. Загрязнение молока тяжёлыми металлами происходит через воду, почву, воздух, а также оборудование и ёмкости для производства и хранения. Среди наиболее опасных тяжёлых металлов считаются: свинец (Pb), кадмий (Cd), никель (Ni), кобальт (Co), мышьяк (As) [3, 4]. Молоко, как массовый и биологически ценный продукт, подвержено загрязнению токсичными элементами, включая радионуклиды и тяжёлых металлов, что обуславливает необходимость разработки эффективных методов контроля и очистки. В рамках исследования была усовершенствована экспериментальная установка для адсорбционной очистки жидких пищевых продуктов от токсичных элементов, позволяющая повысить безопасность молока. Особый интерес представляет использование природных сорбентов, отличающихся высокой сорбционной ёмкостью, доступностью и экологической безопасностью [5].

Материалы и методы исследования

Для снижения концентрации токсичных элементов применялись природные сорбенты, обладающие выраженными адсорбционными, ионообменными и фильтрационными свойствами [6]. Например, для очистки молока от токсичных элементов в качестве сорбирующего вещества выбраны: цеолит Чанканайского месторождения (Кербулакский район, Алматинская область), шунгит Коксуского месторождения и активированный уголь 207С, полученный из скорлупы кокосовых орехов.

Ниже приведены характеристики природных сорбентов, использованных в экспериментальных исследованиях [7]:

Шунгитные углеродные минералы найдены в Коксуйском месторождении Алматинской области с подтвержденным запасом 49 млн. тонн [8] и известны под названием тауриты. Шунгитовые породы (тауриты) представляют собой природные наноструктурированные композиты, состоящие из углеродистого вещества и микрокристаллического кремнезёма. Они характеризуются высокой прочностью, химической стойкостью и электропроводностью [9].

Цеолиты Чанканайского месторождения получен из одноимённого месторождения Кербулакского района Алматинской области Республики Казахстан [10]. Цеолиты представляют собой твёрдые зернистые материалы, имеющие весьма пористую структуру и обладающие большой удельной поглощающей поверхностью [11]. В пищевой промышленности цеолиты нашли применение в качестве адсорбентов и катализаторов [12]. Например, для очистки молока от токсичных элементов в качестве сорбирующего вещества большое внимание уделяется цеолитом. Цеолиты – природные или синтетические алюмосиликаты, обладающие высокими сорбционными характеристиками и способностью избирательно поглощать катионы, такие как свинец, кадмий и другие. Они проявляют сорбцию катионов тяжёлых металлов и могут эффективно использоваться для очистки молочных продуктов от радионуклидов [13, 14].

Уголь активированная 207С из скорлупы кокосовых орехов применяется для очистки питьевой и технологической воды, обладает высокой плотностью и прочностью, устойчив к многократной регенерации. Это позволят проводить многократные промывки его в угольных фильтрах. Активированный уголь индийского производства имеет высокую степень активации, благодаря чему обладает прекрасными сорбционными способностями [15]. В таблице 1 указаны основные показатели состава природных сорбентов, применённых в исследовании [16].

Методы исследования: для определения содержания тяжёлых металлов был использован инверсионно-вольтамперометрический метод.

Объекты исследования: в качестве объектов исследования было выбрано сырое коровье молоко. В качестве объектов исследования использовались образцы цельного молока, отобранные в трёх населённых пунктах – Бакыршык, Кайнар и Саржал. Молоко хранили при - 20°С до анализа.

На первом этапе исследования был проведён анализ содержания ионов свинца, кадмия и мышьяка в сыром коровьем молоке методом инверсионно-вольтамперометрии. Данные отражены на рисунке 1.

Таблица 1 – Сравнительная характеристика состава природных сорбентов, использованных в эксперименте

Показатель	Таурит (ТК)	Цеолит природный СТ 72-1907-17-ТОО-01-2020	Кокосовый активированный уголь
Минералогический состав	кальцит, кварц, серицит, углеродистый материал	клиноптилолит (основа), кварц, полевые шпаты	углерод ≥ 80 %, пористая структура
Внешний вид	порода чёрного цвета	красно-коричневый серый цвет	порошок/ гранулы чёрного цвета
Химический состав	C – 7,0-15,0 % SiO_2 – 30,0-55,0 % CaO – 9,36 % MgO – 1,44 % Fe_2O_3 – 4,83 % Al_2O_3 – 9,41 % TiO_2 – 0,89 % K_2O – 2,19 % Na_2O – 0,40 %	SiO_2 – 60-74 % CaO – 0,2-1,2 % MgO – 0,13-6,40 % Fe_2O_3 – 1,40-5,83 % FeO – 0,067-0,199 % Al_2O_3 – 14-15 % TiO_2 – 0,07-0,7 % K_2O – 0,66-4,03 % Na_2O – 0,61-5,45% P_2O_5 – 0,012-0,173 %	C – 80-90 % H – 0,5-1,5 % O – 5-15 % N – до 0,5 % S – ≤ 0,1 % SiO_2 – 0,5-1,5 % Al_2O_3 – 0,5-1,0 % Fe_2O_3 – 0,1-0,5 % CaO – 0,3-0,7 % MgO – 0,2-0,5 % $K_2O + Na_2O$ – 0,2-0,6 %

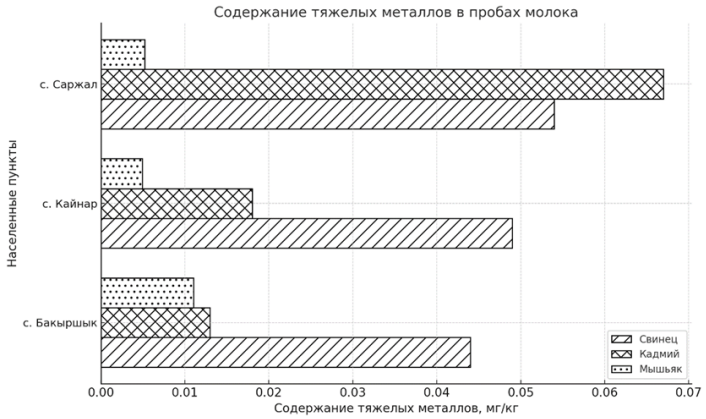


Рисунок 1 – Содержание свинца, кадмия и мышьяка в молоке (с. Бакыршык, с. Кайнар, с. Саржал)

Анализ проб молока из трёх населённых пунктов (с. Бакыршык, с. Кайнар, с. Саржал) показал наличие свинца, кадмия и мышьяка в различной концентрации (рис. 1). Полученные значения сопоставлялись с предельно допустимыми концентрациями (ПДК) согласно ГОСТ 33824-2016 (для свинца и кадмия) [17] и ГОСТ 31628-2012 (для мышьяка) [18].

В пробах молока из с. Бакыршык содержание свинца составило 0,044 мг/кг (при норме 0,1 мг/кг), кадмия – 0,013 мг/кг (при норме 0,03 мг/кг), мышьяка – 0,011 мг/кг (при норме 0,05 мг/кг). Дополнительно установлены погрешности измерений, которые варьировали в пределах ± 0,003 - 0,013 мг/кг в зависимости от элемента.

В пробах молока из с. Кайнар концентрация свинца составила 0,049 мг/кг, кадмия – 0,018 мг/кг, мышьяка – 0,0049 мг/кг, что также не превышает установленных значений.

Наибольшие значения тяжёлых металлов зафиксированы в пробах из с. Саржал: свинец – 0,054 мг/кг, кадмий – 0,067 мг/кг, мышьяк – 0,0052 мг/кг. При этом концентрация кадмия оказалась выше допустимого уровня (0,03 мг/кг), что свидетельствует о возможном неблагополучии в экологической обстановке данного региона.

Таким образом, концентрации свинца и мышьяка в молоке из исследованных населённых пунктов не превышали, однако уровень кадмия в молоке из села Саржал значительно превышал предельно допустимую концентрацию. Данный факт указывает на необходимость дальнейшего мониторинга экологической ситуации и источников поступления кадмия в корма и продукты животного происхождения.

Для проведения исследований очистки молока от токсичных элементов усовершенствован экспериментальный «Стенд для фильтрационной очистки жидких пищевых продуктов от радионуклидов и солей тяжёлых металлов» [19]. Способ очистки молока, загрязнённого токсичными элементами, включает: напорную систему с приёмной ёмкостью, насосом, манометром, расходомером и тремя вертикальными колоннами, работающими как по отдельности, так и в различных комбинациях. Для фильтрации молока на экспериментальном стенде были использованы три фильтра [19], в каждую колонну загружают различные природные сорбенты, в котором объём засыпки каждого сорбента составляет 100 мл (по шкале мерного стакана) [20]. В состав фильтрационной установки входили три сорбционные колонки: первая была заполнена шунгитом, вторая – цеолитом, третья – кокосовым активированным углём. Перед модифицированием сорбенты измельчали на планетарной мельнице до размера частиц 2-1 мм. Далее сорбенты были разделены на фракции с использованием вибрационного сита с размерами ячеек 2,0; 1,0; 0,5; 0,25 и 0,1 мм [21].

После полученного нужного размера сорбентов, приступаем приготовлению для использования:

1. Перед использованием *шунгит* мы просеивали через сито с размером ячеек 0,5-1 мм для удаления пылевых фракций и мелких частиц. И подвергали предварительной подготовке, включающей промывание дистиллированной водой до нейтрального pH, кислотную (0,05-0,1 M HNO_3 или 0,1 M HCl) и, при необходимости, щелочную обработку (0,1 M NaOH), а также сушку при 110-150 °C в течение 3-4 часов. Данная обработка позволила удалить механические и химические примеси и повысить сорбционную активность [21, 22].

2. *Цеолит* предварительно очищали от пыли и механических примесей с помощью сито с размером ячеек 0,5-1 мм, промывали дистиллированной водой до нейтрального pH, при необходимости обрабатывали разбавленными растворами кислот (0,1 M HCl или HNO_3) и щёлочи (0,1 M NaOH), после чего высушивали при 110-150 °C в течение 3-4 часов [22].

3. *Кокосовый активированный уголь* перед использованием поместили в сетчатое сито (размер ячеек около 0,5 мм), чтобы просеить его для удаления мелких частиц. Промывали дистиллированной водой до нейтрального pH, при необходимости обрабатывали разбавленными кислотами (0,05-0,1 M HNO_3 или 0,1 M HCl) для удаления примесей, после чего сушили при 105-120 °C в течение 3-5 ч [22].

Частота вращения насоса варьировалась в пределах 135-200 Вт. Исследования были проведены при температуре 18-20 °C как наиболее оптимальной температуре адсорбции.

Результаты научных исследований

На рисунках 2-4 приведены результаты исследования влияния параметров процесса фильтрации на содержание кадмия, свинца и мышьяка.

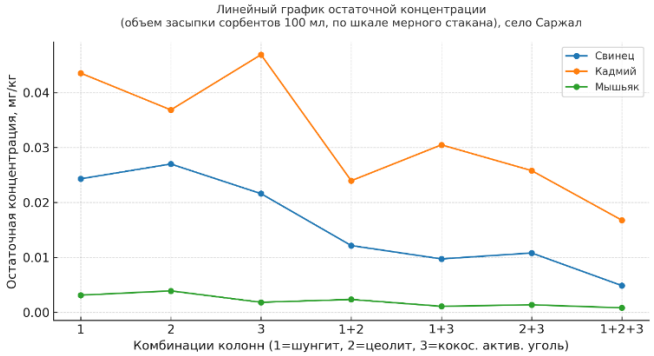


Рисунок 2 – Линейный график остаточной концентрации тяжёлых металлов (Pb, Cd, As) после фильтрации молока через комбинации колонн, село Саржал

Полученные исследования показывают что, до фильтрации в молоке из с. Саржал концентрация тяжёлых металлов составляла: свинец – 0,054 мг/кг (при ПДК 0,1 мг/кг, ГОСТ 33824-2016), кадмий – 0,067 мг/кг (выше ПДК 0,03 мг/кг, ГОСТ 33824-2016), мышьяк – 0,0052 мг/кг (ниже ПДК 0,05 мг/кг, ГОСТ 31628-2012). После прохождения через сорбционные колонны наблюдается выраженное снижение концентраций всех исследованных тяжёлых

металлов (рис. 2). Наиболее значимый результат достигнут при использовании комбинации шунгит + кокосовый активированный уголь (1+3), где содержание свинца снизилось до 0,00972 мг/кг, кадмия – 0,03048 мг/кг, а мышьяка – 0,00109 мг/кг относительно исходных значений. Максимальная степень очистки (свинец – 91 %, кадмий – 75 %, мышьяк – 84 %) наблюдалась при комбинации трёх сорбентов (1+2+3).

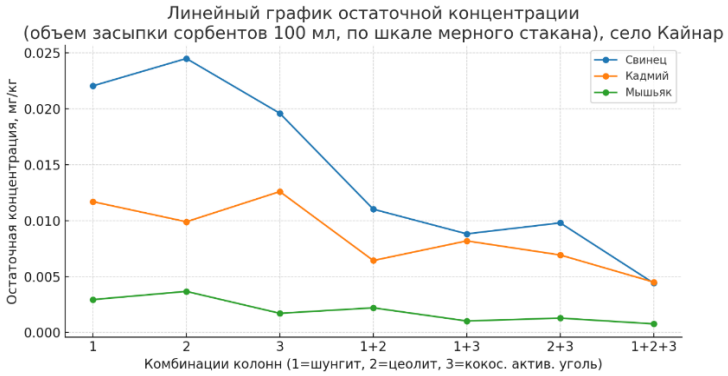


Рисунок 3 – Линейный график остаточной концентрации тяжёлых металлов (Pb, Cd, As) после фильтрации молока через комбинации колонн, село Кайнар

Полученные исследования показывают, что в исходных пробах молока из с. Кайнар концентрация тяжёлых металлов составила: свинец – 0,049 мг/кг (при ПДК 0,1 мг/кг, ГОСТ 33824-2016), кадмий – 0,018 мг/кг (ниже ПДК 0,03 мг/кг, ГОСТ 33824-2016), мышьяк – 0,0049 мг/кг (ниже ПДК 0,05 мг/кг, ГОСТ 31628-2012).

После прохождения через сорбционные колонны отмечено существенное снижение концентраций всех трёх токсичных элементов (рис. 3). Наиболее эффективной оказалась комбинация шунгит + кокосовый активированный уголь (1+3), при которой остаточное содержание свинца снизилось до 0,00882 мг/кг, кадмия – 0,00819 мг/кг, а мышьяка – более 0,00103 мг/кг по сравнению с исходными значениями. Максимальная степень очистки фиксировалась при использовании всех трёх колонн (1+2+3), где концентрации тяжёлых металлов приблизились к минимальным значениям.

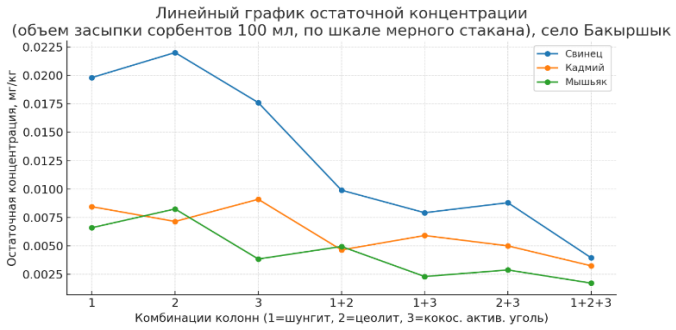


Рисунок 4 – Линейный график остаточной концентрации тяжёлых металлов (Pb, Cd, As) после фильтрации молока через комбинации колонн, село Бакыршык

Полученные исследования показывают что, в исходных пробах молока из с. Бакыршык содержание тяжёлых металлов составило: свинец – 0,044 мг/кг (при ПДК 0,1 мг/кг), кадмий – 0,013 мг/кг (при ПДК 0,03 мг/кг), мышьяк – 0,011 мг/кг (при ПДК 0,05 мг/кг). После применения сорбционных колонн концентрации всех исследованных элементов значительно снизились (рис. 4). Наиболее эффективной оказалась комбинация шунгит + кокосовый активированный уголь (1+3), где остаточное содержание свинца уменьшилось более чем в 0,00792 мг/кг, кадмия – 0,00591 мг/кг, а мышьяка – 0,00231 мг/кг. Максимальная степень очистки наблюдалась при совместном использовании трёх колонн (1+2+3), когда показатели тяжёлых металлов достигли минимальных значений.

Обсуждение научных результатов

Все комбинации колонн показали снижение остаточной концентрации тяжёлых металлов (свинца, кадмия и мышьяка) по сравнению с исходным содержанием в молоке.

Отдельные колонны (1 – шунгит, 2 – цеолит, 3 – кокосовый активированный уголь) обеспечивают частичное удаление загрязнителей, однако эффективность различается в зависимости от металла.

- Шунгит (1) наиболее эффективно снижает концентрацию свинца.
- Цеолит (2) проявил умеренную универсальность, но уступает в селективности.
- Кокосовый активированный уголь (3) оказался наиболее эффективным для удаления мышьяка.

Комбинации колонн дают хороший эффект:

- 1+2 (шунгит + цеолит) и 2+3 (цеолит + кокосовый активированный уголь) колонны показали средние результаты,
- комбинация 1+3 (шунгит + кокосовый активированный уголь) оказалась **оптимальной** она обеспечила наибольшее снижение концентраций всех трёх металлов одновременно.

Полная последовательность 1+2+3 (шунгит + цеолит + кокосовый активированный уголь) также эффективна, но по ряду металлов уступает комбинации 1+3 (шунгит + кокосовый активированный уголь), что делает последнюю более рациональной с точки зрения энергозатрат и конструкции установки. В итоге, оптимальным режимом адсорбционной очистки в усовершенствованной экспериментальной установке является использование **комбинации колонн 1 (шунгит) и 3 (кокосовый активированный уголь)**. Эта схема обеспечивает максимальное снижение остаточной концентрации тяжёлых металлов (свинец, кадмий, мышьяк) в молоке при минимальных конструктивных затратах.

Заключение

Использование природных сорбентов в усовершенствованной экспериментальной установке позволяет эффективно снижать концентрацию тяжёлых металлов в молоке. Конструкция установки обеспечивает возможность гибкой комбинации сорбционных колонн, что делает её перспективной для лабораторных исследований и внедрения в малых производственных условиях. Важным преимуществом является возможность индивидуального включения каждой колонны или их комбинированного соединения в различных последовательностях с помощью системы кранов, что позволяет подбирать наиболее результативные режимы адсорбции в зависимости от условий эксперимента. Полезная модель обеспечивает проведение исследований процессов сорбции с применением различных сорбентов при разных режимах фильтрации жидких пищевых продуктов. Установлено, что увеличение объёма сорбентов в фильтрах сопровождается снижением содержания исследуемых элементов.

Список литературы

1. Самусенко Л.Д. Качество и безопасность молока: основа продовольственной безопасности / Л.Д. Самусенко, С.Н. Химичева // Вестник аграрной науки. – 2018. – №1(70). – С. 46-50. https://cyberleninka.ru/article/n/kachestvo-i-bezopasnost-moloka-osnova-prodovolstvennoy-bezopasnosti/viewer. (дата обращения: 12.07.2025).
2. Impact of potentially toxic compounds in cow milk: How industrial activities affect animal primary productions / S. Forcada et al // Foods. – 2023. – Vol. 12, № 8. – 17 p. https://doi.org/10.3390/foods12081718.
3. Contamination of milk and dairy products with heavy metals / H. İstanbulluoğlu et al // Turkey Klinikleri Journal of Medical Sciences. – 2013. – № 33. – P. 410-419. https://doi.org/10.5336/medsci.2012-29718.
4. The effect of environmental factors on heavy metal and mineral compositions of raw milk and water samples / E. Bıgucu et al // Journal of Tekirdag Agricultural Faculty. – 2016. – № 13 – P. 61-70.
5. Nanotechnology for sustainable wastewater treatment and use for agricultural production: A comparative long-term study / P.D.L.C. Bueno et al // Water Res. – 2017. – № 110. – P. 66-73. https://doi.org/10.1016/j.watres.2016.11.060.
6. Wei Y. Novel Adsorbents and Adsorption Methods for Pollutant Removal / Y. Wei, Y.Wu, X. Wang // Toxics. – 2023. – № 11(12). – P. 11-13. https://doi.org/10.3390/toxics11120954.
7. Meier W.M., Olson D.H. and Baerlocher Ch, Atlas of Zeolite Structure Types / Meier W.M., Olson D.H. and Baerlocher Ch, // 3rd Ed., Butterworth Heinemann, London. – 1987. – 152 p. https://www.iza-structure.org/books/Atlas_5ed.pdf. (дата обращения: 08.07.2025).

8. Efremova S.V. The structure of Kazakhstan shungite / S.V. Efremova, M.K. Korolev // Solid Fuel Chem. – 2003. – Vol. 37. – P. 9-18.
9. Мусина У.Ш. Экологический потенциал Коксуского шунгита / У.Ш. Мусина // Гидрометеорология и экология. – 2010. – № 4. – С. 154-159.
10. Камбарова Э.А. Адсорбция тяжёлых металлов на модифицированной эпоксидной смолой поверхности шунгита и цеолита / Э.А. Камбарова // Вестник Таразского регионального университета имени М.Х. Дулати. – 2024. – С. 15-20.
11. Андриенко П.Е. Проблемы различных методов очистки воды / П.Е. Андриенко, Ж.А. Арушанян // Научные исследования молодых учёных: сборник статей XXVI Международной научно-практической конференции. – Пенза: МЦНС Наука и Просвещение. – 2024. – С. 32-35.
12. Sorption characteristics of heavy metals onto natural zeolite of clinoptilolite type / R. Ghasemi-Fasaei et al // International Research Journal of Applied and Basic Sciences. – 2012. – Vol. 3, № 10. – P. 2079-2084.
13. Nitrogen sorption and its release in the soil after zeolite application / J. Vilcek et al // Bulgarian Journal of Agricultural Science. – 2013. – Vol. 19, № 2. – P. 228-234.
14. Auerbanch S.A. Handbook of Zeolits Science and Technology / S.A. Auerbanch, K.A. Carrado, P.K. Dutta– NY.: CRC Press, 2003. – 1204 p.
15. Кокосовый активированный уголь (сорбция): – URL: https://sebekpro.ru/katalog-resheniy/gotovye-resheniya/172-kokosovyj-aktivirovannyj-ugol-sorbtsiya.html. (дата обращения: 13.07.2025).
16. Adsorption of Heavy Metals: Mechanisms, Kinetics, and Applications of Various Adsorbents in Wastewater Remediation-A Review / Z. Raji et al // Waste. – 2023. – vol. 1, № 3. – 31 p.
17. ГОСТ 33824-2016. Продукты пищевые и продовольственное сырье. Инверсионно-вольтамперометрический метод определения содержания токсичных элементов (кадмия, свинца, меди и цинка). – Введ. 01.07.2017. – М.: Стандартинформ, 2016. – С. 8-13.
18. ГОСТ 31628-2012. Продукты пищевые и продовольственное сырье. Инверсионно-вольтамперометрический метод определения массовой концентрации мышьяка. – Введ. 01.07.2013. – М.: Стандартинформ, 2014. – С. 6-11.
19. Патент РК №11024, G01N 15/00 Стенд для фильтрационной очистки жидких пищевых продуктов от радионуклидов и солей тяжёлых металлов, 22.08.2025, бюл. № 34.
20. Современнные подходы к снижению содержания радионуклидов и солей тяжёлых металлов в жидких пищевых продуктах с использованием адсорбционных технологий: Аналит. Обзор / А.К. Базанова и др. – Семей: «Pro100Print», 2025. – 67 с.
21. ГОСТ 16187-70. Сорбенты. Метод определения фракционного состава. – Введ. 01.07.1971. 1970. – 6 с.
22. ГОСТ 16188-70. Сорбенты. Метод определения прочности при истирании. – Введ. 01.07.1971. 1970. – 5 с.

References

1. Samusenko L.D. Kachestvo i bezopasnost' moloka: osnova prodovol'stvennoi bezopasnosti / L.D. Samusenko, S.N. Khimicheva // Vestnik agrarnoi nauki. – 2018. – №1(70). – S. 46-50. https://cyberleninka.ru/article/n/kachestvo-i-bezopasnost-moloka-osnova-prodovolstvennoy-bezopasnosti/viewer. (data obrashcheniya: 12.07.2025). (In Russian).
2. Impact of potentially toxic compounds in cow milk: How industrial activities affect animal primary productions / S. Forcada et al // Foods. – 2023. – Vol. 12, № 8. – 17 p. https://doi.org/10.3390/foods12081718. (In English).
3. Contamination of milk and dairy products with heavy metals / N. İstanbulluoğlu et al // Turkey Klinikleri Journal of Medical Sciences. – 2013. – № 33. – P. 410-419. https://doi.org/10.5336/medsci.2012-29718. (In English).
4. The effect of environmental factors on heavy metal and mineral compositions of raw milk and water samples / E. Bıgucu et al // Journal of Tekirdag Agricultural Faculty. – 2016. – № 13 – P. 61-70. (In English).
5. Nanotechnology for sustainable wastewater treatment and use for agricultural production: A comparative long-term study / P.D.L.C. Bueno et al // Water Res. – 2017. – № 110. – P. 66-73. https://doi.org/10.1016/j.watres.2016.11.060. (In English).

6. Wei Y. Novel Adsorbents and Adsorption Methods for Pollutant Removal / Y. Wei, Y.Wu, X. Wang // Toxics. – 2023. – № 11(12). – P. 11-13. https://doi.org/10.3390/toxics11120954. (In English).
7. Meier W.M., Olson D.H. and Baerlocher Ch, Atlas of Zeolite Structure Types / Meier W.M., Olson D.H. and Baerlocher Ch, // 3rd Ed., Butterworth Heinemann, London. – 1987. – 152 p. https://www.iza-structure.org/books/Atlas_5ed.pdf. (data obrashcheniya: 08.07.2025). (In English).
8. Efremova S.V. The structure of Kazakhstan shungite / S.V. Efremova, M.K. Korolev // Solid Fuel Chem. – 2003. – Vol. 37. – R. 9-18. (In English).
9. Musina U.SH. Ehkologicheskii potentsial Koksuskogo shungita / U.SH. Musina // Gidrometeorologiya i ehkologiya. – 2010. – № 4. – S. 154-159. (In Russian).
10. Kambarova EH.A. Adsorbtsiya tyazhelykh metallov na modifitsirovannoi ehpoksidnoi smoloi poverkhnosti shungita i tseolita / EH.A. Kambarova // Vestnik Tarazskogo regional'nogo universiteta imeni M.KH. Dulati. – 2024. – S. 15-20. (In Russian).
11. Andrienko P.E. Problemy razlichnykh metodov ochistki vody / P.E. Andrienko, ZH.A. Arushanyan // Nauchnye issledovaniya molodykh uchenykh: sbornik statei XXVI Mezhdunarodnoi nauchno-prakticheskoi konferentsii. – Penza: MTSNS Nauka i Prosveshchenie. – 2024. – S. 32-35. (In Russian).
12. Sorption characteristics of heavy metals onto natural zeolite of clinoptilolite type / R. Ghasemi-Fasaei et al // International Research Journal of Applied and Basic Sciences. – 2012. – Vol. 3, № 10. – P. 2079-2084. (In English).
13. Nitrogen sorption and its release in the soil after zeolite application / J. Vilcek et al // Bulgarian Journal of Agricultural Science. – 2013. – Vol. 19, № 2. – P. 228-234. (In English).
14. Auerbanch S.A. Handbook of Zeolits Science and Technology / S.A. Auerbanch, K.A. Carrado, P.K. Dutta– NY.: CRC Press, 2003. – 1204 p. (In English).
15. Kokosovyi aktivirovannyi ugol' (sorbtsiya): – URL: https://sebekpro.ru/katalog-resheniy/gotovye-resheniya/172-kokosovyj-aktivirovannyj-ugol-sorbtsiya.html. (data obrashcheniya: 13.07.2025). (In Russian).
16. Adsorption of Heavy Metals: Mechanisms, Kinetics, and Applications of Various Adsorbents in Wastewater Remediation-A Review / Z. Raji et al // Waste. – 2023. – vol. 1, № 3. – 31 p. (In English).
17. GOST 33824-2016. Produkty pishchevye i prodovol'stvennoe syr'e. Inversionno-vol'tamperometricheskii metod opredeleniya soderzhaniya toksichnykh ehlementov (kadmiya, svintsa, medi i tsinka). – Vved. 01.07.2017. – M.: Standartinform, 2016. – S. 8-13. (In Russian).
18. GOST 31628-2012. Produkty pishchevye i prodovol'stvennoe syr'e. Inversionno-vol'tamperometricheskii metod opredeleniya massovoi kontsentratsii mysh'yaka. – Vved. 01.07.2013. – M.: Standartinform, 2014. – S. 6-11. (In Russian).
19. Patent RK №11024, G01N 15/00 Stend dlya fil'tratsionnoi ochistki zhidkikh pishchevykh produktov ot radionuklidov i solei tyazhelykh metallov, 22.08.2025, byul. № 34. (In Russian).
20. Sovremennnye podkhody k snizheniyu soderzhaniya radionuklidov i solei tyazhelykh metallov v zhidkikh pishchevykh produktakh s ispol'zovaniem adsorbtsionnykh tekhnologii: Analit. Obzor / A.K. Bazanova i dr. – Semei: «Pro100Print», 2025. – 67 s. (In Russian).
21. GOST 16187-70. Sorbenty. Metod opredeleniya fraktsionnogo sostava. – Vved. 01.07.1971. 1970. – 6 s. (In Russian).
22. GOST 16188-70. Sorbenty. Metod opredeleniya prochnosti pri istiranii. – Vved. 01.07.1971. 1970. – 5 s. (In Russian).

А.Қ. Базанова*, А.Қ. Кәкімов, Н.К. Ибрагимов, М.М. Ташыбаева
Шәкәрім университеті,
071412, Қазақстан Республикасы, Семей қ., Глинка к-сі, 20 А
*e-mail: arayka.bazanovak@mail.ru

СҮТТЕГІ ЗИЯНДЫ ЗАТТАРДЫ ТАЗАРТУҒА АРНАЛҒАН ЖЕТІЛДІРІЛГЕН ҚОНДЫРҒЫДА ТАБИҒИ СОРБЕНТТЕРДІ ҚОЛДАНУ

Сүт – ең маңызды әрі құнарлы азық-түлік өнімдерінің бірі, алайда оның сапасы экологиялық жағдайға тікелей байланысты. Қоршаған ортаның ластануы ауыр металдардың азық-түлік өнімдерінде жиналуына әкеліп, адам денсаулығына қауіп төндіреді. Олардың ішінде ең қауіптілері – қорғасын (Pb), кадмий (Cd), мышьяк (As) және басқа да элементтер. Зерттеудің мақсаты – шикі сиыр сүтіндегі қорғасын, кадмий және мышьяктың мөлшерін анықтау және табиғи сорбенттерді

пайдалану арқылы адсорбциялық тазарту тиімділігін бағалау. Үш елді мекеннен алынған сынамалар инверсиялық-вольтамперометриялық әдіс арқылы талданды. Саржал ауылынан алынған сүт сынамаларында кадмий мөлшері шекті рұқсат етілген концентрациядан (0,067 мг/кг, норма – 0,03 мг/кг) асып кеткені анықталды, ал қорғасын мен мышьяк деңгейлері рұқсат етілген шектерде болды. Сүтті тазарту үшін үш сорбциялық бағаны бар жетілдірілген эксперименттік қондырғы қолданылды, олар шунгит, цеолит және кокос белсендірілген көмірімен толтырылған. Ең жоғары тиімділік 1+3 колонна комбинациясында (шунгит + кокос жаңғағы белсендірілген көмірі) байқалды, ол қорғасынның мөлшерін 91 %-ға, кадмийді – 75 %-ға, ал мышьякты – 84 %-ға төмендетті. Алынған нәтижелер табиғи сорбенттерді сүтті тазарту үшін пайдаланудың орынды екенін дәлелдейді және әзірленген қондырғыны зертханалық және шағын өндірістік жағдайда қолданудың болашағын көрсетеді.

***Түйін сөздер:** шикі сиыр сүті, ауыр металдар, инверсиялық-вольтамперометриялық әдіс, шунгит, цеолит, кокос жаңғағы белсендірілген көмірі.*

A.K. Bazanova*, A.K. Kakimov, N.K. Ibragimov, M.M. Tashybayeva
Shakarim University,
071412, Republic of Kazakhstan, Semey, Glinka str., 20 A
*e-mail: arayka.bazanovak@mail.ru

APPLICATION OF NATURAL SORBENTS IN AN IMPROVED INSTALLATION FOR THE PURIFICATION OF MILK FROM TOXIC ELEMENTS

Milk is one of the most important and nutritious food products; however, its quality largely depends on environmental conditions. Environmental pollution leads to the accumulation of heavy metals in food products, posing a threat to public health. Among them, lead (Pb), cadmium (Cd), arsenic (As), and other elements are considered the most hazardous. The aim of this study was to determine the content of lead, cadmium, and arsenic in raw cow's milk samples and to evaluate the efficiency of adsorption purification using natural sorbents. Samples collected from three settlements were analyzed by the method of inversion voltammetry. It was found that the cadmium content in milk from the village of Sarzhal exceeded the maximum permissible concentration (0.067 mg/kg at a standard of 0.03 mg/kg), whereas lead and arsenic levels remained within permissible limits. For milk purification, an improved experimental installation with three sorption columns filled with shungite, zeolite, and coconut-based activated carbon was used. The highest efficiency was achieved with the 1+3 column combination (shungite + coconut activated carbon), which reduced lead concentration by 91%, cadmium by 75%, and arsenic by 84%. The obtained results confirm the feasibility of using natural sorbents for milk purification and demonstrate the potential of the developed installation for application in laboratory and small-scale production conditions.

***Key words:** raw cow's milk, heavy metals, inversion voltammetry, shungite, zeolite, coconut activated carbon.*

Сведения об авторах

Арай Кайратовна Базанова* – докторант кафедры биоинженерных систем, Шәкәрім университет, Республика Казахстан; e-mail: arayka.bazanovak@mail.ru. ORCID: https://orcid.org/0009-0000-1722-0657.

Айтбек Калиевич Какимов – доктор технических наук, профессор кафедры биоинженерных систем, Шәкәрім университет, Республика Казахстан; e-mail: bibi.53@mail.ru. ORCID: https://orcid.org/0000-0002-9607-1684.

Надир Кадырович Ибрагимов – кандидат технических наук, ассоциированный профессор, преподаватель кафедры биоинженерных систем, Шәкәрім университет, Республика Казахстан; e-mail: ibragimnk@mail.ru. ORCID: https://orcid.org/0000-0001-9607-823X.

Маржан Мейрамбекқызы Ташыбаева – PhD, преподаватель кафедры биоинженерных систем, Шәкәрім университет, Республика Казахстан; e-mail: marzhan06081990@gmail.com. ORCID: https://orcid.org/0000-0001-7408-5906.

Авторлар туралы мәліметтер

Арай Қайратқызы Базанова* – «Биоинженерлік жүйелер» кафедрасының докторанты, Шәкәрім университеті, Қазақстан Республикасы; e-mail: arayka.bazanovak@mail.ru. ORCID: https://orcid.org/0009-0000-1722-0657.

Айтбек Қалиұлы Кәкімов – техника ғылымдарының докторы, «Биоинженерлік жүйелер» кафедрасының профессоры, Шәкәрім университеті, Қазақстан Республикасы; e-mail: bibi.53@mail.ru. ORCID: https://orcid.org/0000-0002-9607-1684.

Надир Кадырович Ибрагимов – техника ғылымдарының кандидаты, қауымдастырылған профессор, «Биоинженерлік жүйелер» кафедрасының оқытушысы, Шәкәрім университеті, Қазақстан Республикасы; e-mail: ibragimnk@mail.ru. ORCID: https://orcid.org/0000-0001-9607-823X.

Маржан Мейрамбекқызы Ташыбаева – PhD, «Биоинженерлік жүйелер» кафедрасының оқытушысы; Шәкәрім университеті, Қазақстан Республикасы; e-mail: marzhan06081990@gmail.com. ORCID: https://orcid.org/0000-0001-7408-5906.

Information about the authors

Aray Bazanova* – doctoral student, Department of «Bioengineering Systems», Shakarim University, Republic of Kazakhstan; e-mail: arayka.bazanovak@mail.ru. ORCID: https://orcid.org/0009-0000-1722-0657.

Aitbek Kakimov – Doctor of Technical Sciences, Professor, Department of «Bioengineering Systems», Shakarim University, Republic of Kazakhstan; e-mail: bibi.53@mail.ru. ORCID: https://orcid.org/0000-0002-9607-1684.

Nadir Ibragimov – Candidate of Technical Sciences, Associate Professor, Lecturer, Department of «Bioengineering Systems», Shakarim University, Republic of Kazakhstan; e-mail: ibragimnk@mail.ru. ORCID: https://orcid.org/0000-0001-9607-823X.

Marzhan Tashybayeva – PhD, Lecturer, Department of «Bioengineering Systems»; Shakarim University, Republic of Kazakhstan; e-mail: marzhan06081990@gmail.com. ORCID: https://orcid.org/0000-0001-7408-5906.

Поступила в редакцию 15.09.2025
Поступила после доработки 09.10.2025
Принята к публикации 13.10.2025

https://doi.org/10.53360/2788-7995-2025-4(20)-36

ҒТАХР: 65.13.23

BY 4.0
Check for updates

А.А. Макенова*, С.Д. Мусаева, Ж.Б. Қалдыбекова, А.Ж. Айтбаева
[1]М. Әуезов атындағы Оңтүстік Қазақстан университеті,
1600018, Қазақстан Республикасы, Шымкент қ., Тәуке хан даңғылы, 5

ФЕРМЕНТАЦИЯ КЕЗІНДЕ VIGNA RADIATA L. «ЖАСЫЛ ДӘН» ТҰҚЫМДАРЫНЫҢ АМИНҚЫШҚЫЛДЫҚ ҚҰРАМЫ

Аңдатпа: *Ғаламдық ақуыз тапшылығы жағдайында және функционалды тағам өнімдеріне қызығушылықтың артуына байланысты алмастырылмайтын аминқышқылдарының жоғары мөлшеріне ие дәнді-бұршақ дақылдарына ерекше көңіл бөлінуде. Бұл зерттеу Vigna radiata L. «Жасыл дән» сорты тұқымдарындағы алмастырылмайтын аминқышқылдары профилінің ферментация процесіндегі динамикасын бағалауға арналған. Жұмыс автордың 72 сағат бойы тұқымдарды өңгіру арқылы жүргізілген өз эксперименттік деректеріне негізделген, кейін аминқышқылдық талдау орындалған.*

Талдау нәтижесінде бақылау үлгілеріндегі алмастырылмайтын аминқышқылдарының (ЕАА) жалпы мөлшері 8032 мг/100 г құрғақ затты құрағаны анықталды. 24-ші сағатта бұл көрсеткіш 8798 мг/100 г дейін өсті, 48-ші сағатта ең жоғары мәніне жетіп, 9674 мг/100 г болды (шамамен 20,4 % өсім), ал 72-ші сағатта аздап төмендеп, 9390 мг/100 г құрады. Ең айқын өзгерістер лейцин+изолейцин бойынша (2895-тен 3493 мг/100 г дейін) және лизин бойынша (1394-тен 1674 мг/100 г дейін) байқалды. Треонин мөлшері 605-тен 714 мг/100 г дейін, ал валин – 1178-ден 1430 мг/100 г дейін артты.

Алынған нәтижелер маш тұқымдарының ферментациясы эндогенді ферменттік жүйелерді белсендіріп, аминқышқылдарының жиналуына және олардың биожетімділігінің артуына ықпал ететінін дәлелдейді. Бұл деректер жоғары ақуыздық құндылыққа ие функционалды тағам өнімдерін әзірлеуде практикалық маңызға ие. Ұсынылған жұмыс «Жасыл дән» сорты бойынша алғаш рет жүргізілген авторлық зерттеу болып табылады және Vigna radiata ақуызының ферментация процесіндегі биохимиялық өзгерістері туралы ғылыми түсініктерді кеңейтеді.

Түйін сөздер: *Vigna radiata L., алмастырылмайтын аминқышқылдары, ферментация, ақуыздық құндылық, функционалды өнімдер.*

Кіріспе

Функционалды тағам өнімдері қазіргі уақытта әлемдік азық-түлік индустриясындағы ең жылдам дамып келе жатқан салалардың бірі. Олардың мақсаты ағзаны энергия және

нутриенттермен қамтамасыз етумен қатар, аурулардың алдын алу болып табылады. FAO, IFAD, UNICEF, WFP және WHO деректеріне сәйкес, 2023 жылы әлемде 3,1 млрд адам құнарлы тағамға қол жеткізе алмады, ал халықтың 9 %-дан астамы созылмалы тамақтанбаумен зардап шекті [1]. Ақуыз тапшылығы ерекше өзекті: ересектер үшін тәуліктік норма – 0,8 г/кг дене салмағы (70 кг үшін 56 г). Бұл деңгейге жетпеу балалардың өсуін баяулатып, иммунитетті әлсіретіп, аурулар қаупін арттырады. Ақуыздың сапасы оның құрамындағы алмастырылмайтын аминқышқылдарымен анықталады: валин, лейцин, изолейцин, лизин, метионин, треонин, фенилаланин, триптофан және гистидин. ДДСҰ мәліметі бойынша, 70 кг ересек адам үшін тәуліктік қажеттілік: лейцин – 2,7 г, валин – 1,8 г, лизин – 2,1 г, метионин+цистеин – 1,05 г. Кез келгенінің жетіспеуі ақуыздың биологиялық құндылығын төмендетеді.

Бұршақ тұқымдастар – теңгерімді аминқышқылдық құрамы бар ақуыз көзі. Қазақстанда соңғы жылдары маш (*Vigna radiata*) өндірісі артып келеді. «Жасыл дән» сорты жоғары өнімділігімен (1,5-2,0 т/га) және құрғақшылыққа төзімділігімен ерекшеленеді [2]. Маштағы ақуыз мөлшері 20-25 г/100 г, бұл ноқатпен (18-22 %) салыстырмалы, бірақ соядан төмен (35-40%). Сонымен қатар, ол 55-60% көмірсу, 2-3% май, 4-5% күл және дәрумендер мен минералдарға бай.

Қазіргі аналитикалық әдістер аминқышқыл құрамын нақты анықтауға мүмкіндік береді. Avula және авторластары LC-QToF масс-спектрометриясында маш тұқымдарында 20-дан астам аминқышқылдары мен туындыларын анықтады [3]. Лизин мөлшері – 2,2 г/100 г, ал лейцин мен изолейцин қосындысы 2,5-2,8 г. Бұл салыстырмалы түрде төмен метионин (≈0,5 г) болғанына қарамастан, маштың құнды көзі екенін дәлелдейді.Технологиялық процестер аминқышқылдық профильге әсер етеді. Wei және әріптестері өндіру барысында С дәрумені 45-50%, фенолдар 30 %, антиоксиданттық белсенділік 40 %-дан астам артатынын көрсетті [4]. Ферментация – тағамдық құндылықты арттырудың ең тиімді әдістерінің бірі. Sakandar және авторластары ферментация кезінде бос аминқышқылдар 20-35%, соның ішінде лизин мен треонин 15-25%, валин мен лейцин 10-20% артатынын, ал антиқоректік факторлар 40-60% төмендейтінін анықтады [5]. Практикалық маңыздылығы Agyashad және әріптестерімен дәлелденді: нанға ферменттелген маш қосу ақуызды 12-15 % арттырып, дәмдік қасиеттерді жақсартты [6].

Осылайша, «Жасыл дән» сортының аминқышқылдық динамикасын зерттеу өзекті. Біріншіден, ол Қазақстан үшін стратегиялық маңызы бар ақуыз көзі. Екіншіден, маш – денсаулық үшін маңызды аминқышқылдардың әлеуетті көзі. Үшіншіден, ферментация биологиялық құндылықты 20-35% арттырып, сіңімділікті 10-15% жақсартады. Бұл факторлар жұмыстың ғылыми және практикалық маңызын айқындайды және жаңа функционалды тағам өнімдерін әзірлеуге негіз болады.

Қазіргі уақытта өсімдік текті ақуыздардың сапасын арттыру өзекті мәселе болып отыр, себебі бұршақ тұқымдастарында кейбір алмастырылмайтын аминқышқылдардың жетіспеушілігі байқалады. Осыған байланысты зерттеу жұмысының негізгі мақсаты – ферментация процесі кезінде *Vigna radiata* L. «Жасыл дән2 сортының ақуызындағы алмастырылмайтын аминқышқылдардың өзгеріс динамикасын анықтау

Материалдар мен әдістер

Зерттеу нысаны ретінде 2024 жылғы өнім *Vigna radiata* L. «Жасыл дән» сортының тұқымдары пайдаланылды. Тұқымдар тазартылып, жуылып, ылғалдылығы 11,8 ± 0,2 % деңгейіне дейін кептірілді. Ферментация алдын ала уыт немесе сыртқы микробиологиялық мәдениеттерсіз, эндогенді ферменттік жүйе белсенуі негізінде жүргізілді.

Тұқымдар 1:3 қатынасында дистилденген суда 8 сағат жібітіліп, кейін өнгіруге арналған аппаратқа (Household Intelligent Bean Sprout Machine, Shenzhen, China) орналастырылды. Өндіру шарттары: температура 20 ± 1 °C, салыстырмалы ылғалдылық 95 ± 2 %, ортаның pH 6,4-6,6 деңгейінде ұсталды. Өндіру ұзақтығы – 72 сағат, үздіксіз ылғалдандыру және аэрация қамтамасыз етілді. Үлгілер 0, 24, 48 және 72 сағатта алынды.

Ферментациядан кейін тұқымдар жуылып, конвекциялық пеште 60 °C температурада кептірілді (орташа 8-9 сағат), содан кейін ұнтақталды; бөлшектердің орташа өлшемі ≤0,5 мм болды. Үлгілер 4 °C-та герметикалық ыдыста сақталды.

Жалпы ақуыз мөлшері Кьельдаль әдісі бойынша анықталды. Аминқышқыл құрамын анықтау үшін ақуыз үлгілері 6 н тұз қышқылында 110°C температурада 24 сағат бойы

гидролизденді. Метионин мен цистеинді анықтау алдында алдын ала тотығу жүргізілді. Алынған гидролизаттар аминқышқылдарды анықтаудың стандартты зертханалық әдістемесіне сәйкес жоғары тиімді сұйықтық хроматографиясы (ВЭЖХ) әдісімен талданды. Талдау 338 нм толқын ұзындығында жүргізілді. Калибрлеу үшін Sigma-Aldrich (АҚШ) компаниясының стандартты ерітінділері пайдаланылды [7]. Жеке аминқышқылдар (валин, лейцин+изолейцин, лизин, метионин, треонин, фенилаланин, триптофан, гистидин) 100 г құрғақ затқа mg есебінде берілді. Жиынтық көрсеткіш жеке мәндердің қосындысы ретінде есептелді [8].

Барлық талдаулар үш қайталымда жүргізілді (n = 3). Нәтижелер орташа мән ± стандартты ауытқу түрінде берілді. Деректердің айырмашылықтары визуалды және салыстырмалы түрде бағаланды. Инференциялық статистикалық талдау қолданылған жоқ.Талдау аккредиттелген зертханада (Шымкент, Қазақстан) орындалды. Толық деректер мен протоколдар Zenodo репозиторийінде қолжетімді [9].

Нәтижелер мен талқылау

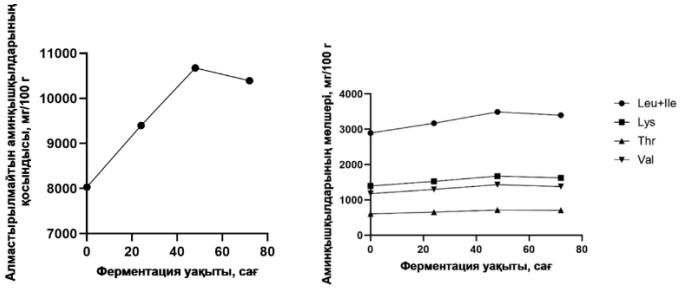
Vigna radiata L. «Жасыл дән» сорты тұқымдарындағы алмастырылмайтын аминқышқылдарының мөлшері ферментация уақытына байланысты өзгерді (1-кесте). 24-ші сағатта-ақ бақылаумен салыстырғанда ЕАА жиынтығының артуы байқалды (8032-ден 8798 мг/100 г құрғақ затқа дейін). Ең жоғарғы мән 48-ші сағатта тіркелді – 9674 мг/100 г, бұл бастапқы деңгейге қарағанда шамамен 20,4 % өсімге сәйкес келеді. 72-ші сағатта аздап төмендеу (9390 мг/100 г дейін) байқалды, алайда көрсеткіштер бақылау мәндерінен едәуір жоғары деңгейде қалды.

Кесте 1 – Ферментация барысында *Vigna radiata* «Жасыл дән» сорты дәндеріндегі алмастырылмайтын аминқышқылдарының құрамы (мг/100 г құрғақ затқа шаққанда)

Аминқышқылдары	Бақылау (0 сағ)	24 сағат	48 сағат	72 сағат
Valine	1178	1299	1430	1379
Leucine + Isoleucine	2895	3170	3493	3398
Lysine	1394	1526	1674	1625
Methionine	278	299	329	324
Threonine	605	654	714	708
Phenylalanine	1089	1195	1322	1268
Tryptophan	182	199	217	210
Histidine	411	456	495	478
Жалпы ЕАА	8032	8798	9674	9390

Бұл деректер ферментация барысында тұқымдардың аминқышқылдық құрамы айтарлықтай жақсарғанын көрсетеді. Нәтижелер ферментацияны маштың ақуыздық құндылығын арттырудың тиімді әдісі ретінде қарастыруға мүмкіндік береді.

Vigna radiata L. «Жасыл дән» сорты тұқымдарындағы алмастырылмайтын аминқышқылдарының жиынтық динамикасы 1-суретте көрсетілген. Ферментацияның 24-ші сағатында-ақ олардың жалпы мөлшері бақылау үлгісімен салыстырғанда артқаны байқалды.

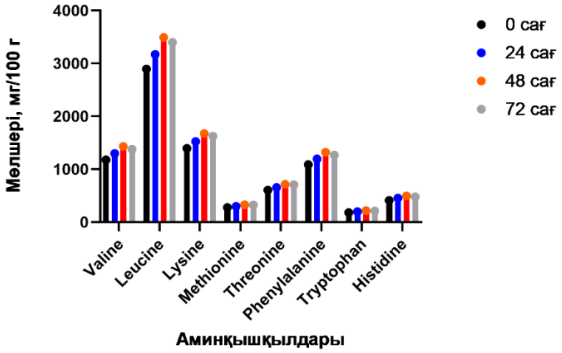


Сурет 1 – Vigna radiata L. «Жасыл дән» сорты тұқымдарындағы алмастырылмайтын аминқышқылдарының жиынтық және жеке динамикасы (мг/100 г)

Ең жоғарғы мән 48-ші сағатта тіркелді – 9674 мг/100 г, бұл бастапқы деңгейден 20,4% жоғары. 72-ші сағатта аздаған төмендеу байқалғанымен, көрсеткіштер бақылаудан жоғары деңгейде қалып, ферментациядан кейін аминқышқылдарының тұрақты түрде артқанын көрсетті.

Талдау үшін төрт негізгі аминқышқыл таңдалды – лейцин+изолейцин, лизин, треонин және валин, себебі дәл осы қосылыстар ақуыздың биологиялық құндылығына айтарлықтай үлес қосады.

Алмастырылмайтын аминқышқылдардың ферментацияның әртүрлі кезеңдеріндегі профилі 2-суретте берілген. Бақылау үлгісі мен ферменттелген тұқымдарды салыстыру барлық аминқышқылдардың жалпы артуын, әсіресе 48-ші сағатта айқын көрсетеді.



Сурет 2 – Ферментацияның әртүрлі кезеңдеріндегі алмастырылмайтын аминқышқылдардың профилі

Ең үлкен өзгерістер лейцин+изолейцин мен лизинде тіркелді, олардың көрсеткіштері бақылаумен салыстырғанда 500 мг/100 г-нан астамға өсті. Валин, треонин және фенилаланин бойынша да тұрақты арту үрдісі байқалды. 72-ші сағатта шамалы төмендегенімен, барлық аминқышқылдардың деңгейі бастапқы мәндерден жоғары болып, *Vigna radiata* L. «Жасыл дән» сорты тұқымдарының ақуыздық құрамын байытуда ферментацияның тиімділігін дәлелдеді.

Зерттеу нәтижелері *Vigna radiata* L. «Жасыл дән» сорты тұқымдарының ферментациясы барысында алмастырылмайтын аминқышқылдарының мөлшерінің айқын артқанын көрсетті. Жалпы ЕАА жиынтығы бақылаудағы 8032 мг/100 г-нан 48-ші сағатта 9674 мг/100 г-ға дейін өсіп, шамамен 20,4 % артуға сәйкес келді. 72-ші сағатта сәл төмендеу байқалып (9390 мг/100 г дейін), бұл құбылыс өскіндердің метаболикалық процестерінде аминқышқылдардың белсенді пайдаланылуымен түсіндірілуі мүмкін.

Ең үлкен өсім лейцин+изолейцинге (+598 мг/100 г, 48-ші сағатта) және лизинге (+280 мг/100 г) тән болды. Бұл маңызды, себебі дәл осы аминқышқылдар өсімдік ақуызының биологиялық құндылығын шектейтін фактор болып саналады.

Ұқсас үрдістер басқа зерттеулерде де сипатталған, онда маш өндіру барысында аминқышқылдарды қоса алғанда антиоксиданттар мен метаболиттердің артуы байқалған [10]. Ферментация тек сандық көрсеткіштерді ғана емес, ақуыздың биологиялық құндылығын да арттырады. Бұрынғы зерттеулерде маш ақуызының *in vitro* гипохолестеринемиялық белсенділігі анықталып, бұл оның теңгерімді аминқышқылдық құрамымен байланыстырылған [11].

Алынған деректер ферментация барысында алмастырылмайтын аминқышқылдардың үлесінің артатынын растайды, бұл мұндай ақуыздардың функционалды әсерін күшейтуі мүмкін. Басқа зерттеулерде де бұршақ тұқымдастарында лизин мен треониннің биожетімділігі дәнді дақылдарға қарағанда жоғары екені көрсетілген [12]. Біздің зерттеуде осы аминқышқылдардың артуы ферментация кезінде ақуыздың сіңімділік коэффициентінің (PDCAAS) жақсаруын болжауға мүмкіндік береді.

Сонымен қатар, алынған динамика басқа бұршақ тұқымдастарындағы деректермен сәйкес келеді. Әдеби деректерде бұршақ тұқымдастарында ферментация және өңдеу кезінде аминқышқылдардың деңгейі артатыны, бұл олардың функционалды өнімдер үшін перспективалы ақуыз көзіне айналатыны көрсетілген [13]. Осылайша, «Жасыл дән» сортының машы да осыған ұқсас үрдіс көрсетіп, бәсекеге қабілетті ақуыз көзі ретінде қарастырылуы мүмкін.

Қорытынды

Жүргізілген зерттеуде «Жасыл дән» сортының маш тұқымдарын өндіру барысындағы ферментация, яғни дәннің эндогенді ферменттік жүйесінің белсенуі, ақуыздың

аминқышқылдық құрамында елеулі өзгерістерге әкелетіні анықталды. Алмастырылмайтын аминқышқылдардың жиынтық мөлшері бақылаудағы 8032 мг/100 г-нан 48-ші сағатта 10 674 мг/100 г-ға дейін өсіп, 33 % артуға сәйкес келді. Динамикаға ең үлкен үлес лейцин+изолейцин мен лизин қосты, олардың мөлшері бастапқы деңгеймен салыстырғанда 15–20 % артты. Алынған деректер ферментация барысында бұршақ тұқымдастардың биологиялық құндылығының артуын көрсеткен басқа зерттеулермен үйлеседі. Бұл өсімдік ақуызының сапасын арттыру үшін осы биотехнологиялық тәсілдің тиімділігін дәлелдейді. Әсіресе, маш тұқымындағы лизин мен треонин үлесінің артуы ақуыздың биологиялық толыққандылық көрсеткішін жоғарылатуға ықпал етеді, ал бұл дәстүрлі түрде өсімдік текті ақуыз көздері үшін шектеуші фактор болып саналады. Жұмыстың практикалық маңыздылығы – «Жасыл дән» сорты машының жоғары ақуыздық құндылығы бар функционалды тағам өнімдерін әзірлеуге арналған перспективалы шикізат ретінде қарастырылуы. Ферментацияны қолжетімді және экологиялық таза өңдеу әдісі ретінде қолдану Қазақстан мен аймақ елдері халқының рационында өнімдер ассортиментін кеңейтуге жаңа мүмкіндіктер ашады.

Осылайша, маш тұқымдарының ферментациясы алмастырылмайтын аминқышқылдардың мөлшерін айтарлықтай арттыруға мүмкіндік береді, бұл дақылды өсімдік текті ақуыздың бәсекеге қабілетті көзіне айналдырады. Болашақ зерттеулер әртүрлі ферментация шарттарын салыстыруға және аминқышқылдардың in vivo биожетімділігін бағалауға бағытталуы мүмкін, бұл тағамдық құндылықтың арту механизмдерін тереңірек түсінуге және нәтижелердің практикалық қолданылуын кеңейтуге жол ашады.

Әдебиеттер тізімі

1. FAO, IFAD, UNICEF, WFP, WHO. The State of Food Security and Nutrition in the World 2023: Urbanization, Agrifood Systems Transformation and Healthy Diets across the Rural–Urban Continuum. – Rome: FAO, 2023. – DOI: https://doi.org/10.4060/cd1254en.
2. Айтбаев Т.Е. Mung Bean – a Promising Crop for Kazakhstan / Т.Е. Айтбаев // AgroMart. – 2023. – 23 ақпан. – URL: https://agro-mart.kz/mash-perspektivnaya-kultura-dlya-kazahstana/ (қол жеткізілген күні: 24.07.2025).
3. Comprehensive Profiling of Free Proteinogenic and Non-Proteinogenic Amino Acids in Common Legumes Using LC-QToF: Targeted and Non-Targeted Approaches / B. Avula et al // Foods. – 2025. – Vol.14, № 4. – P.611. https://doi.org/10.3390/foods14040611.
4. Sucrose treatment of mung bean seeds results in increased vitamin C, total phenolics, and antioxidant activity in mung bean sprouts / Y. Wei et al // Food Science & Nutrition. – 2019. – Vol.7, № 12. – P.4037-4044. https://doi.org/10.1002/fsn3.1269.
5. Impact of Fermentation on Antinutritional Factors and Protein Degradation of Legume Seeds: A Review / H.A. Sakandar et al // Food Reviews International. – 2023. – Vol.39, № 3. – P.1227-1249. https://doi.org/10.1080/87559129.2021.1931300.
6. Use of Fermented Sprouted Mung Bean (Vigna radiata) Containing Protective Starter Culture LAB to Produce Clean-Label Fortified Wheat Bread / M. Aryashad et al // International Journal of Food Science and Technology. – 2023. – Vol. 58, № 6. – P.3310-3320. https://doi.org/10.1111/ijfs.16236.
7. Hesse A. Protein Quantification by Derivatization-Free High-Performance Liquid Chromatography of Aromatic Amino Acids / A. Hesse, M.G. Weller // Journal of Amino Acids. – 2016. https://doi.org/10.1155/2016/7374316.
8. Fermentation of Cauliflower and White Beans with Lactobacillus plantarum—Impact on Levels of Riboflavin, Folate, Vitamin B_{12}, and Amino Acid Composition / H.O. Thompson et al // Plant Foods for Human Nutrition. – 2020. – Vol.75, № 2. – P.236-242. https://doi.org/10.1007/s11130-020-00806-2.
9. Makenova A., Mussayeva S. Amino acid profiles of sprouted mung bean (Vigna radiata) under fermentation conditions. – Zenodo, 27 наурыз 2025. https://doi.org/10.5281/zenodo.15094675.
10. Effect of Germination and Illumination on Melatonin and Its Metabolites, Phenolic Content, and Antioxidant Activity in Mung Bean Sprouts / P. Siriparu et al // Plants. – 2022. – Vol.11, № 21. – P. 2990. https://doi.org/10.3390/plants11212990.
11. The Vicilin Protein (Vigna radiata L.) of Mung Bean as a Functional Food: Evidence of 'In Vitro' Hypocholesterolemic Activity / A.L. Amaral et al // Nutrition & Food Science. – 2017. – Vol .47, № 6. – P.907-916. https://doi.org/10.1108/NFS-05-2017-0089.

12. Macronutrient Composition, True Metabolizable Energy and Amino Acid Digestibility, and Indispensable Amino Acid Scoring of Pulse Ingredients for Use in Canine and Feline Diets / L.M. Reilly et al // Journal of Animal Science. – 2020. – Vol. 98, № 6. https://doi.org/10.1093/jas/skaa149/
13. Faba Bean: An Untapped Source of Quality Plant Proteins and Bioactives / D. Martineau-Côté et al // Nutrients. – 2022. – Vol.14, № 8. – P.1541. https://doi.org/10.3390/nu14081541.

References

1. FAO, IFAD, UNICEF, WFP, WHO. The State of Food Security and Nutrition in the World 2023: Urbanization, Agrifood Systems Transformation and Healthy Diets across the Rural–Urban Continuum. – Rome: FAO, 2023. – DOI: https://doi.org/10.4060/cd1254en. (In English).
2. Aitbaev T.E. Mung Bean – a Promising Crop for Kazakhstan / T.E. Aitbaev // AgroMart. – 2023. – 23 ақпан. – URL: https://agro-mart.kz/mash-perspektivnaya-kultura-dlya-kazahstana/ (қол zhetkizilgen kүni: 24.07.2025). (In Kazakh).
3. Comprehensive Profiling of Free Proteinogenic and Non-Proteinogenic Amino Acids in Common Legumes Using LC-QToF: Targeted and Non-Targeted Approaches / V. Avula et al // Foods. – 2025. – Vol.14, № 4. – P.611. https://doi.org/10.3390/foods14040611. (In English).
4. Sucrose treatment of mung bean seeds results in increased vitamin C, total phenolics, and antioxidant activity in mung bean sprouts / Y. Wei et al // Food Science & Nutrition. – 2019. – Vol.7, № 12. – P.4037-4044. https://doi.org/10.1002/fsn3.1269. (In English).
5. Impact of Fermentation on Antinutritional Factors and Protein Degradation of Legume Seeds: A Review / N.A. Sakandar et al // Food Reviews International. – 2023. – Vol.39, № 3. – P.1227-1249. https://doi.org/10.1080/87559129.2021.1931300. (In English).
6. Use of Fermented Sprouted Mung Bean (Vigna radiata) Containing Protective Starter Culture LAB to Produce Clean-Label Fortified Wheat Bread / M. Aryashad et al // International Journal of Food Science and Technology. – 2023. – Vol. 58, № 6. – P.3310-3320. https://doi.org/10.1111/ijfs.16236. (In English).
7. Hesse A. Protein Quantification by Derivatization-Free High-Performance Liquid Chromatography of Aromatic Amino Acids / A. Hesse, M.G. Weller // Journal of Amino Acids. – 2016. https://doi.org/10.1155/2016/7374316. (In English).
8. Fermentation of Cauliflower and White Beans with Lactobacillus plantarum—Impact on Levels of Riboflavin, Folate, Vitamin B_{12}, and Amino Acid Composition / N.O. Thompson et al // Plant Foods for Human Nutrition. – 2020. – Vol.75, № 2. – P.236-242. https://doi.org/10.1007/s11130-020-00806-2. (In English).
9. Makenova A., Mussayeva S. Amino acid profiles of sprouted mung bean (Vigna radiata) under fermentation conditions. – Zenodo, 27 nauryz 2025. https://doi.org/10.5281/zenodo.15094675. (In English).
10. Effect of Germination and Illumination on Melatonin and Its Metabolites, Phenolic Content, and Antioxidant Activity in Mung Bean Sprouts / R. Siriparu et al // Plants. – 2022. – Vol.11, № 21. – P. 2990. https://doi.org/10.3390/plants11212990. (In English).
11. The Vicilin Protein (Vigna radiata L.) of Mung Bean as a Functional Food: Evidence of 'In Vitro' Hypocholesterolemic Activity / A.L. Amaral et al // Nutrition & Food Science. – 2017. – Vol .47, № 6. – P.907-916. https://doi.org/10.1108/NFS-05-2017-0089. (In English).
12. Macronutrient Composition, True Metabolizable Energy and Amino Acid Digestibility, and Indispensable Amino Acid Scoring of Pulse Ingredients for Use in Canine and Feline Diets / L.M. Reilly et al // Journal of Animal Science. – 2020. – Vol. 98, № 6. https://doi.org/10.1093/jas/skaa149/. (In English).
13. Faba Bean: An Untapped Source of Quality Plant Proteins and Bioactives / D. Martineau-Côté et al // Nutrients. – 2022. – Vol.14, № 8. – P.1541. https://doi.org/10.3390/nu14081541. (In English).

А.А. Макенова*, С.Д. Мусаева, Ж.Б. Калдыбекова, А.Ж. Айтбаева
Южно-Казахстанский университет им. М. Ауэзова,
1600018, Республика Казахстан, г. Шымкент, пр. Тауке хана, 5
*e-mail: aliyamakenova02@gmail.com

ИЗМЕНЕНИЕ ПРОФИЛЯ НЕЗАМЕНИМЫХ АМИНОКИСЛОТ В СЕМЕНАХ *VIGNA RADIATA* L. СОРТА «ЖАСЫЛ ДӘН» В ПРОЦЕССЕ ФЕРМЕНТАЦИИ

В условиях глобального дефицита белка и растущего интереса к функциональным продуктам питания особое внимание уделяется зернобобовым культурам, обладающим высоким содержанием незаменимых аминокислот. Настоящее исследование посвящено оценке динамики профиля незаменимых аминокислот в семенах Vigna radiata L. сорта «Жасыл дән» в процессе ферментации. Работа основана на собственных экспериментальных данных, полученных при проращивании семян в течение 72 часов с последующим аминокислотным анализом.

Результаты анализа показали, что общее содержание незаменимых аминокислот (EAA) в контрольных образцах составило 8032 мг/100 г сухого вещества. На 24-м часу этот показатель увеличился до 9398 мг/100 г, на 48-м часу достиг максимального значения – 10 674 мг/100 г (прирост около 33 %), а на 72-м часу наблюдалось незначительное снижение до 10 390 мг/100 г. Наиболее выраженные изменения зафиксированы для лейцина+изолейцина (с 2895 до 3493 мг/100 г) и лизина (с 1394 до 1674 мг/100 г). Содержание треонина возросло с 605 до 714 мг/100 г, а валина – с 1178 до 1430 мг/100 г.

Полученные данные подтверждают, что ферментация семян маша активирует эндогенные ферментные системы, способствующие накоплению аминокислот и повышению их биодоступности. Эти результаты имеют практическое значение для разработки функциональных продуктов питания с высокой белковой ценностью. Представленная работа является первым авторским исследованием для сорта «Жасыл дән» и расширяет научные представления о биохимических изменениях белка Vigna radiata в процессе ферментации.

Ключевые слова: *Vigna radiata L., незаменимые аминокислоты, ферментация, белковая ценность, функциональные продукты.*

A.A. Makenova*, S.D. Mussayeva, Zh.B. Kaldybekova, A.Zh. Aitbaeva
M. Auezov South Kazakhstan University,
1600018, Republic of Kazakhstan, Shymkent, 5 Tauke Khan Ave
*e-mail: aliyamakenova02@gmail.com

CHANGES IN THE PROFILE OF ESSENTIAL AMINO ACIDS IN SEEDS OF *VIGNA RADIATA* L. «ZHASYL DÄN» DURING FERMENTATION

In the context of global protein deficiency and the growing interest in functional food products, special attention is paid to leguminous crops with a high content of essential amino acids. This study aimed to evaluate the dynamics of the essential amino acid profile in seeds of Vigna radiata L. "Zhasyl dän" during fermentation. The work is based on the author's experimental data obtained by germinating the seeds for 72 hours, followed by amino acid analysis.

The results showed that the total content of essential amino acids (EAA) in the control samples was 8032 мг/100 г dry matter. At 24 hours, this value increased to 9398 мг/100 г, reaching a maximum of 10,674 мг/100 г at 48 hours (an increase of about 33%), and slightly decreased to 10,390 мг/100 г at 72 hours. The most pronounced changes were observed for leucine+isoleucine (from 2895 to 3493 мг/100 г) and lysine (from 1394 to 1674 мг/100 г). Threonine increased from 605 to 714 мг/100 г, and valine – from 1178 to 1430 мг/100 г.

The obtained results confirm that fermentation of mung bean seeds activates endogenous enzymatic systems, promoting the accumulation of amino acids and enhancing their bioavailability. These findings are of practical importance for the development of functional food products with high protein value. The presented work is the first author's study carried out for the "Zhasyl dän" variety and expands scientific understanding of the biochemical changes in Vigna radiata protein during fermentation.

Key words: *Vigna radiata L., essential amino acids, fermentation, protein value, functional products.*

Авторлар туралы мәліметтер

Алия Амантаевна Макенова* – «Тағам өнімдерінің технологиясы және қауіпсіздігі» кафедрасының докторанты, М. Әуезов атындағы Оңтүстік Қазақстан университеті, Шымкент қ., Қазақстан Республикасы; e-mail: aliyamakenova02@gmail.com. ORCID: https://orcid.org/0009-0005-7802-674X.

Салтанат Жұматқызы Мусаева – техникалық ғылымдар кандидаты, «Тағам инженериясы» кафедрасының профессоры, М. Әуезов атындағы Оңтүстік Қазақстан университеті, Шымкент қ., Қазақстан Республикасы; e-mail: saltanat_mussayeva@yahoo.com. ORCID: https://orcid.org/0000-0002-1430-9768.

Жанат Байжановна Қалдыбекова – техникалық ғылымдар кандидаты, «Химиялық технология» кафедрасының доценті, М. Әуезов атындағы Оңтүстік Қазақстан университеті, Шымкент қ., Қазақстан Республикасы; e-mail: zkaldybekova@mail.ru. ORCID: https://orcid.org/0000-0003-2906-9098.

Айгерім Жумагалиевна Айтбаева – аға оқытушы, «Тағам инженериясы» кафедрасы, М. Әуезов атындағы Оңтүстік Қазақстан университеті, Шымкент қ., Қазақстан Республикасы; e-mail: aiger_4ik@mail.ru. ORCID: https://orcid.org/0000-0001-5896-5241.

Информация об авторах

Алия Амантаевна Макенова* – докторант кафедры «Технология и безопасность пищевых продуктов», Южно-Казахстанский университет им. М. Ауэзова, г. Шымкент, Республика Казахстан; e-mail: aliyamakenova02@gmail.com. ORCID: https://orcid.org/0009-0005-7802-674X.

Салтанат Жуматкызы Мусаева – кандидат технических наук, профессор кафедры «Пищевая инженерия», Южно-Казахстанский университет им. М. Ауэзова, г. Шымкент, Республика Казахстан; e-mail: saltanat_mussayeva@yahoo.com. ORCID: https://orcid.org/0000-0002-1430-9768.

Жанат Байжановна Калдыбекова – кандидат технических наук, доцент кафедры «Химическая технология», Южно-Казахстанский университет им. М. Ауэзова, г. Шымкент, Республика Казахстан; e-mail: zkaldybekova@mail.ru. ORCID: https://orcid.org/0000-0003-2906-9098.

Айгерим Жумагалиевна Айтбаева – старший преподаватель кафедры «Пищевая инженерия», Южно-Казахстанский университет им. М. Ауэзова, г. Шымкент, Республика Казахстан; e-mail: aiger_4ik@mail.ru. ORCID: https://orcid.org/0000-0001-5896-5241.

Information about the authors

Aliya Amantayevna Makenova* – Doctoral student, Department of Technology and Safety of Food Products, M. Auezov South Kazakhstan University, Shymkent, Republic of Kazakhstan; e-mail: aliyamakenova02@gmail.com. ORCID: https://orcid.org/0009-0005-7802-674X.

Saltanat Dzumatkyzy Mussayeva – Candidate of Technical Sciences, Professor, Department of Food Engineering, M. Auezov South Kazakhstan University, Shymkent, Republic of Kazakhstan; e-mail: saltanat_mussayeva@yahoo.com. ORCID: https://orcid.org/0000-0002-1430-9768.

Zhanat Baizhanovna Kaldybekova – Candidate of Technical Sciences, Associate Professor, Department of Chemical Technology, M. Auezov South Kazakhstan University, Shymkent, Republic of Kazakhstan; e-mail: zkaldybekova@mail.ru. ORCID: https://orcid.org/0000-0003-2906-9098.

Aigerim Zhumagaliyevna Aitbaeva – Senior Teacher, Department of Food Engineering; M. Auezov South Kazakhstan University, Shymkent, Republic of Kazakhstan; e-mail: aiger_4ik@mail.ru. ORCID: https://orcid.org/0000-0001-5896-5241.

Редакцияға енуі 15.09.2025
Өңдеуден кейін түсуі 20.10.2025
Жариялауға қабылданды 21.10.2025

https://doi.org/10.53360/2788-7995-2025-4(20)-37

BY 4.0
Check for updates

ҒТАХР: 65.63.33

Э.Ч. Базылханова[1]*, Ф.Т. Диханбаева[2], С.Ә. Карденов[1], А.С. Ергибаева[1], Р.Ф. Сейдгалиев[1]

[1]С. Сейфуллин атындағы Қазақ агротехникалық зерттеу университеті,
010011, Қазақстан Республикасы, Астана қаласы, Жеңіс көшесі, 62
[2]Алматы технологиялық университеті,
050000, Қазақстан Республикасы, Алматы қ., Төле би көшесі, 100
*e-mail: 66bel@bk.ru

ТҮЙЕ СҮТІ НЕГІЗІНДЕ СҮТҚЫШҚЫЛДЫ СУСЫНДАРДЫҢ ТЕХНОЛОГИЯСЫН ӘЗІРЛЕУ ЖӘНЕ САПА КӨРСЕТКІШТЕРІН ЗЕРТТЕУ

Аңдатпа: *Ғылыми мақалада пробиотикалық ұйытқыларды қолдану арқылы түйе сүті негізінде сүтқышқылды сусындар әзірлеу технологиясы, олардың органолептикалық, физика-химиялық және микробиологиялық қасиеттерін зерттеу нәтижелері қарастырылған.*

Пробиотикалық ұйытқылардың техникалық құжаттамаларында келтірілген сипаттамаларына сүйене отырып, асептикалық шарттарда 4 түрлі ұйытқы комбинациясы құрастырылды. Таңдалған комбинациялар алдын-ала термиялық өңдеуден өткен (63°C температурада 30 минут) және қажетті температураға дейін (37°C) салқындатылған түйе сүтіне тікелей енгізіліп, сүтқышқылды сусындар әзірленді.

Зерттеу жұмысының барысында дәстүрлі өнім – шұбат бақылау үлгісі ретінде таңдалды. Әзірленген сүтқышқылды өнімдердің органолептикалық сипаттамалары нормативтік құжаттама талаптарына сәйкес келді және жоғары бағаланды (4,8-4,9 балл). Физико-химиялық көрсеткіштері мен сақтау мерзімін анықтау мақсатында сусындар мен шұбаттың титрлеу қышқылдығының өзгерісі 21 тәулік бойы бақыланды. Шұбатпен салыстырғанда, жаңа өнімдер бақыланған мерзім

ішінде қалыпты қышқылдылықты (120°Т-ге дейін) көрсетті. Сондай-ақ сүтқышқылды сусындардың энергетикалық құндылығы есептеліп, олар оңтайлы көрсеткіштерге (59,2-61,2 кКал) ие болды.

*Микробиологиялық зерттеулер қорытындысы бойынша сусындардың құрамындағы пайдалы лактобактериялардың құрамы анықталып, олардың мөлшері талаптарда келтірілген аралықтарды (3,6*10^6-5*10^6 ҚҚБ/г) қамтыды. Бұл сүтқышқылды сусындардың пробиотикалық қасиеттерін негіздейтін маңызды көрсеткіш болып табылады. Осылайша, жүргізілген зерттемелер нәтижесінде, дайын сүтқышқылды сусындарды әзірлеу технологиясы мен сақтау шарттары (2-4 °С температурада 21 тәулік) бекітілді.*

Түйін сөздер: *түйе сүті, сүтқышқылды сусындар, шұбат, пробиотикалық ұйытқылар, термофильді сүтқышқылды лактококтар, бактериалды ұйытқы, пропионқышқылды және сіркеқышылды бактериялар.*

Кіріспе

Сүт өнімдерінің заманауи нарығы жеткілікті деңгейде дамыған, алайда оларды өндіру процестерінің сапа мен қауіпсіздік талаптарына сәйкестік мәселесі өзекті болып қала береді. Бұл жұмыстың мақсаты пробиотикалық ұйытқылардың таңдалған комбинацияларын қолдану арқылы түйе сүті негізінде сүтқышқылды сусындар технологиясын әзірлеу және олардың сапа көрсеткіштерін зерттеу болып табылады [1].

Халықты тамақ өнімдерімен, оның ішінде тамақтану ғылымының қазіргі заманғы талаптарына жауап беретін сүт өнімдерімен барынша толық қамтамасыз ету мақсатында жаңа шикізат ресурстарын іздеу қарқынды жүргізілуде. Осыған байланысты шикізат ресурстарын кеңейту және оның негізінде ұтымды тамақтану талаптарына жауап беретін өнімдер құру мақсатында түйе сүтін пайдалану мүмкіндігін ғылыми және тәжірибелік негіздеудің өзекті міндеті болып болып табылады.

Түйе сүтінің химиялық құрамын зерттеу оның ақуызында адам ағзасын ауру тудыратын бактериялар мен вирустардан қорғайтын емдік антиоксиданттық және иммундық жүйені ынталандыратын қасиеттері бар иммуноглобулин басым екенін көрсетті [2].

Дәстүрлі сүқышқылды өнімдердің кең ауқымы дамушы елдерде қарқынды өндіріледі және жоғары бағаланады. Пайдалы микроағзалардың және органикалық қышқылдар, антиоксиданттар, ферменттер, дәрумендер, минералдар, жоғары биожетімді ақуыздар мен амин қышқылдары сияқты биологиялық белсенді қосылыстардың түзілуіне байланысты ұйыту (ферментация) дайын өнімнің жарамдылық мерзімін, сапасын және қауіпсіздігін жақсарту үшін өңдеудің маңызды әдістерінің бірі болып саналады [3, 4].

Өндіру процесінде пробиотиктердің әртүрлі комбинациялары тағамдық құндылығы жағынан ерекшеленетін өнімдердің әртүрлі сапасын қамтамасыз ете алатыны белгілі. Қолданыстағы сүтқышқылды сусындарда пробиотиктердің бір түрі немесе комбинациясы кездеседі және олар әртүрлі мөлшерде болады. Алайда, ферментация жүргізуге арналған пробиотиктердің өміршеңдігі және ұйыту кезінде сүтқышқылды өнімдердің физика-химиялық қасиеттері туралы ақпараттың шектеулі болуы осы тақырып бойынша зерттеуді жүргізудің қозғаушы күші болып табылады [5, 6].

Соңғы жылдары жарық көрген еңбектерде сүтқышқылды өнімдердің құрамындағы пробиотиктер қабынуға қарсы және антиоксиданттық әсерлерді қоса алғанда, өнім құрылымына, дәміне және биологиялық қасиеттеріне оңтайлы әсер ететіні келтірілген [7].

Сондай-ақ пробиотикалық ұйытқылар қосып әзірленген өнімдер иммундық жүйені нығайтуға, антимутагендік әсерге ие екені, ағзасы лактозаны қабылдамайтын адамдарға жарамдылығы және қатерлі ісік, остеопороз және ішек ауруларынан қорғайтыны ғылыми дәлелденген [8].

Зерттеу нысандары мен әдістері

Зерттеу нысандары: түйе сүті (ҚР СТ 166-2015, «Дәулет Бекет» ЖШС), сүтке тікелей енгізілетін құрғақ пробиотикалық ұйытқылар (ТШ 9229-369-00419785-04 құжаттамасына сәйкес сақтау шарттары: 4±2°С температурада 9 ай, шығарылған орны: «Бүкілресейлік сүт өнеркәсібі ғылыми-зерттеу институты» МЗМ), дайын сүтқышқылды сусындар, шұбат.

Зерттеу әдістері:

Шикізатты қабылдау ҚР СТ 166-2015 «Өңдеуге арналған түйе сүті. Техникалық шарттар» нормативтік құжаттамасына сәйкес жүргізілді. Өнімдердің органолептикалық көрсеткіштері «МемСТ 22935-2-2011. Сүт және сүт өнімдері. Органолептикалық талдау» арқылы, титрленетін қышқылдығы МемСТ 3624-92 «Сүт және сүт өнімдері. Қышқылдықты анықтаудың титрометриялық әдістері» арқылы, физика-химиялық көрсеткіштері «Лактан» сүт

анализаторының көмегімен, микробиологиялық талдау үшін сынама алу МемСТ 9225-84 «Сүт және сүт өнімдері. Микробиологиялық талдау әдістері» арқылы, сүтқышқылды микроағзалардың саны МемСТ 10444.11-89 «Азық-түлік өнімдері. Сүт қышқылды микроағзаларды анықтау әдістері» арқылы анықталды.

Пробиотикалық ұйытқыларды қолдану арқылы түйе сүті негізінде әзірленген сүтқышқылды сусындар мен шұбатты органолептикалық бағалауды 5 балдық жүйе бойынша дегустациялық комиссия жүргізді. МемСТ 22935-2-2011 талаптары бойынша органолептикалық талдау жүргізу кезінде сусындар мен шұбаттың температурасы 16±2°С, ал бағалау критерийілері: өнімнің түсі, дәмі мен иісі, сыртқы түрі және консистенциясы болды.

Нормативтік-техникалық құжаттамалардың талаптарына сәйкес дайын өнімдердің физика-химиялық көрсеткіштерін және титрленетін қышқылдығын анықтау барысында олардың температурасы 20°С болды. Өлшеу жүргізу 3 рет қайталанып, алынған нәтижелердің орташа мәні есептелді.

Микробиологиялық талдаулар сүтқышқылды сусындар мен шұбаттың стандарт талаптарына сәйкес алдын-ала даярланған сынамаларындағы микроағзалардың көбею қабілетін температурасы 30±1°С коректік ортада 72 сағат бойы анықтауға негізделді.

Зерттеу нәтижелері

Сүтқышқылды сусындар әзірлеуге арналған түйе сүтінің орташа көрсеткіштері келесідей болды: қышқылдығы – 21°Т, тығыздығы – 1029 кг/см^3, ақуыздың массалық үлесі – 3,3 %, майдың массалық үлесі – 3,2 %, көмірсулардың массалық үлесі – 4,6 %.

Зерттеу жұмысы барысында түйе сүтін ұйытуға арналған пробиотикалық ұйытқылардың 4 комбинациясы құрастырылып, олар техникалық сипаттамаларына сәйкес келесі арақатынастарда шикізатқа енгізілді:

– термофильді сүт қышқылды лактококтар мен сірке қышқылды бактериялардың бактериалды ұйытқысы (*Lactococcus lactissubsp. lactis biovar diacetilactis, Acetobacter subsp.aceti, Propionibacterium freudenreichii subsp.)* және АНВ термофильді сүт қышқылды ұйытқысы (*Lactobacillus acidophilus*) (1:1 қатынасында);

– термофильді сүт қышқылды таяқшалардың бактериалды ұйытқысы АВ (*Lactobacillus acidophilus*) және термофильді сүт қышқылды лактококтардың, пропион қышқылды және сіркеқышқылды бактериялардың бактериалды ұйытқысы (*Lactococcus lactis subsp. lactis biovar diacetilactis, Acetobacter subsp.aceti, Propionibacterium freudenreichii subsp.shermanii*) (1:1 қатынасында);

– термофильді сүт қышқылды таяқшалардың бактериалды ұйытқысы Бн (*Streptoccus thermophilus, Lactobacillus delbrueckii subsp. bulgaricus*) және термофильді сүт қышқылды таяқшалардың бактериалды ұйытқысы АНВ (*Lactobacillus acidophilus*) (1:1 қатынасында);

– термофильді сүт қышқылды таяқшалардың бактериалды ұйытқысы АВ (*Lactobacillus acidophilus*) және Бн термофильді сүт қышқылды таяқшалардың бактериалды ұйытқысы (*Streptoccus thermophilus, Lactobacillus delbrueckii subsp. bulgaricus*) (1:1 қатынасында).

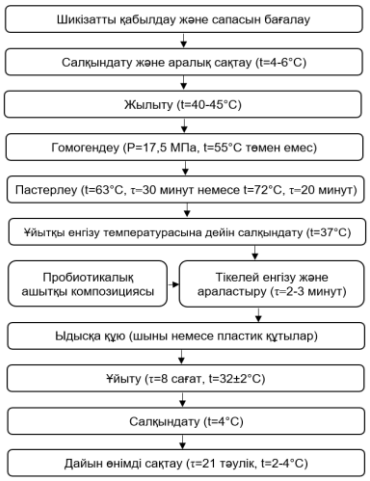
Осы таңдалған композициялар негізінде 4 сүтқышқылды сусынның («Желмая», «Ақнар», «Атамекен», «Қазына») рецептурасы құрастырылды. Ұйытқылар түйе сүтіне нормативтік-техникалық сипаттамаларына (ақшыл сары ұнтақ, сүтке тікелей енгізу температурасы – 37°С, салмағы – 2 г) сәйкес белгіленген мөлшерде тікелей енгізілді және барлық төрт үлгіде 100 л өнімнің 2%-ын құрады.

Аталған сусындарды әзірлеудің технологиялық процесі 1-сұлбада келтірілген операциялардан тұрды.

Келесі кезеңде 1-сұлбада келтірілген технология бойынша әзірленген сүтқышқылды сусындардың сапа көрсеткіштері (органолептикалық, физико-химиялық, микробиологиялық) анықталды.

1-кесте нәтижелерінен барлық сүтқышқылды сусындардың жоғары баллдарға (4,8-4,9) ие болғанын, соның ішінде «Атамекен» және «Қазына» сүтқышқылды сусындары өзіндерінің жағымды (жұмсақ) дәмімен ерекшеленгенін байқауға болады. Сондай-ақ, шұбатқа қарағанда, барлық 4 сусында да көбік шамалы ғана мөлшерде түзілді.

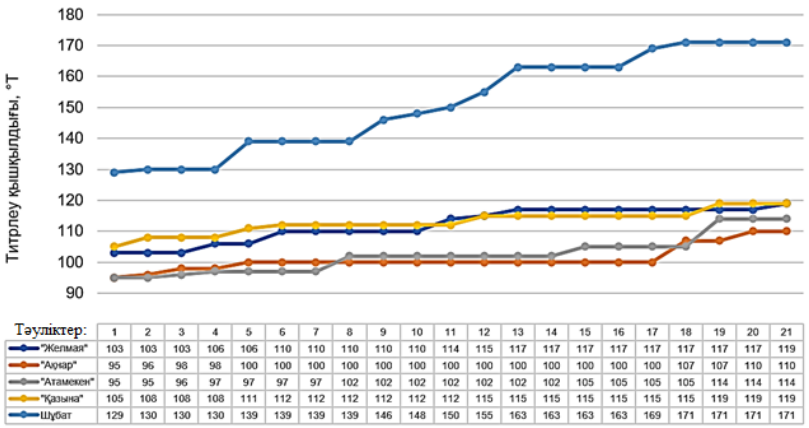
Сүт өнімдерінің қышқылдылығын анықтау олардың нормативтік құжаттама талаптарына сәйкестігін және сапасын бағалаудың маңызды көрсеткіші болып табылады (1-сурет).



Сұлба 1 – Пробиотикалық ұйытқыларды қолдану арқылы түйе сүті негізінде сүтқышқылды сусындарды әзірлеу технологиясы

Кесте 1 – Түйе сүті негізінде әзірленген сүтқышқылды сусындар мен шұбаттың органолептикалық көрсеткіштерін бағалау нәтижелері

Көрсеткіштер	Сүтқышқылды сусындар				Шұбат
	«Желмая»	«Ақнар»	«Атамекен»	«Қазына»	
Түсі	Сарғыш реңкті, сүтті ақ	Сарғыш реңкті, сүтті ақ	Сарғыш реңкті, сүтті ақ	Сарғыш реңкті, сүтті ақ	Шамалы сарғыш реңкті ақ
Дәмі мен иісі	Сүтқыш-қылды, сергітетін, ащы	Сүтқыш-қылды, сергітетін, әлсіз ащы	Сүтқыш-қылды, сергітетін, жағымды	Сүтқыш-қылды, сергітетін, жағымды	Сүтқыш-қылды, сергітетін, ащы
Сыртқы түрі мен консистенциясы	Сұйық, біртекті, көбікті, тұнбасыз	Сұйық, біртекті, көбікті, тұнбасыз	Сұйық, біртекті, шамалы көбікті, тұнбасыз	Сұйық, біртекті, шамалы көбікті, тұнбасыз	Сұйық, біртекті, көбік мөлшері көп, тұнбасыз
Орташа бағасы, балл	4,8	4,8	4,9	4,9	4,8



Сурет 1 – Сақтау кезінде сүтқышқылды сусындар мен шұбаттың титрлеу қышқылдығының өзгеруі, ºТ

1-суретте көрсетілгендей, титрлеу қышқылдығын анықтау дайын сүтқышқылды сусындар мен шұбатты 21 тәулік бойы сақтау кезінде жүргізілді.

Сақтау нәтижесінде шұбаттың қышқылдығы 170°Т-ден жоғары көрсеткішке ие болды, ал сүтқышқылды сусындардың қышқылдық көрсеткіштері 120°Т-ден асқан жоқ, яғни «Желмая» және «Қазына» сусындарына қарағанда, «Атамекен» сусынының қышқылдығы 5°Т-ге кем болды, ал ең төмен қышқылдық «Ақнар» сусынында (110°Т) анықталды.

Осылайша, әзірленген барлық жаңа сусындардың титрлеу қышқылдығы нормативтік құжаттардың талаптарына сәйкес келді.

«Желмая» «Қазына», «Атамекен» және «Ақнар» сусындарының энергетикалық құндылығын анықтау нәтижелері 2-кестеде келтірілген.

Кесте 2 – Түйе сүті негізінде әзірленген сүтқышқылды сусындар мен шұбаттың энергетикалық құндылығының салыстармалы сипаттамалары

Көрсеткіштердің атауы, өлшем бірлігі	«Желмая» сусыны	«Ақнар» сусыны	«Атамекен» сусыны	«Қазына» сусыны	Шұбат (ҚР СТ 117-2015)
Ақуыз, г/100 г	3,3	2,9	3,3	3,2	4,1
Май, г/100 г	3,2	3,2	3,2	3,2	3,2
Көмірсу, г/100г	4,8	4,7	4,6	4,8	3,3
Энергетикалық құндылық, кКал	61,2	59,2	60,4	60,8	58,4

2-кестедегі мәліметтерге сәйкес сүтқышқылды сусындардың энергетикалық құндылығы 59,2-61,2 кКал аралығында болды, ал шұбаттың бұл көрсеткіші 58,4 кКал-ға тең болды.

Келесі кезеңде түйе сүті негізінде әзірленген сүтқышқылды сусындардың құрамындағы пайдалы лактобактериялардың мөлшерін анықтау үшін микробиологиялық зерттеулер жүргізілді (3-кесте).

Кесте 3 – Әзірленген сүтқышқылды сусындар мен шұбаттағы пробиотикалық ұйытқы бактерияларының (лактобактериялардың) құрамы

Өнім атауы	Лактобактериялар мөлшері, ҚҚБ/г	
	Нормативтік құжат бойынша (ТШ 9229-369-00419785-04)	Зерттеу нәтижелері
«Желмая» сусыны	кемінде $3*10^6$	$5*10^6$
«Ақнар» сусыы	кемінде $3*10^6$	$3,7*10^6$
«Атамекен» сусыны	кемінде $3*10^6$	$4*10^6$
«Қазына» сусыны	кемінде $3*10^6$	$3,6*10^6$
Шұбат	$1*10^6$-нен артық емес	$0,4*10^6$

3-кесте нәтижелері бойынша, сүтқышқылды сусындардың төрт үлгісінде де пайдалы пробиотикалық бактериялардың оңтайлы мөлшері жинақталғанын көруге болады. Шұбат құрамындағы лактобактериялардың саны да нормативтік құжаттама талаптарына сәйкес мөлшерде болды.

Ғылыми нәтижелерді талқылау

Түйе сүті негізінде сүтқышқылды сусындар әзірлеуге арналған пробиотикалық ұйытқылардың комбинациясын құрастыру барысында ең алдымен олардың нормативтік-техникалық құжаттамаларындағы (ТШ 9229-369-00419785-04) сипаттамалары ескерілді. Оларда келтірілген талаптарға сәйкес, үйлесімді болып табылатын ұйытқылардың 4 комбинациясы асептикалық шарттарда бір-бірімен 1:1 қатынасында біріктірілді және рецептураға сәйкес сүтке 2% мөлшерде 37°С температурада енгізіліп, ұйыту процесі (т=8 сағат, t=32±2°С) жүзеге асырылды.

Сиыр сүтінен сүтқышқылды сусындарды және шұбатты өндірудің технологиялық режимдері мен реттілігін ескере отырып, пробиотикалық ұйытқыларды қолдану арқылы түйе сүті негізінде сүтқышқылды сусындарды әзірлеу технологиясы құрастырылды және бекітілді.

Бұл жерде дәртүрлі технологиядан басты айырмашылық – түйе сүтінің физико-химиялық көрсеткіштерін ескере отырып, пастерлеудің төмен температуралы режимін таңдау болып табылады (егер өңдеу температурасы 63°С болса, онда ұзақтығы – 30 минутты, ал температура 72°С болса, онда ұзақтығы – 20 минутты құрады). Жоғары температуралы жылдам пастерлеумен салыстырғанда (90°С-ден жоғары), аталған пастерлеу режимдерінде түйе сүтінің негізгі құрамдас бөліктері мен тағамдық қасиеттерінің минималды өзгерістері байқалды. Түйе сүтінің пайдалы қасиеттерін сақтай отырып, пастерлеудің оңтайлы мәндеріне қол жеткізу мәселесін шетелдік ғалымдар да өз еңбектерінде тереңінен талқылап, 63°С температурада 30 минут термиялық өңдеу режимінің ұтымдылығын атап өткен [9].

Жұмыстың келесі кезеңінде әзірленген сүтқышқылды сусындар мен шұбаттың органолептикалық көрсеткіштерін бағалау 5-баллдық жүйе арқылы жүзеге асырылды. Оның нәтижесі бойынша барлық сүтқышқылды өнімдер 4,8-4,9 балл аралығында жоғары бағаланды. Бұл сусындардың сенсорлық қасиеттерінің тұтынушылар үшін тартымды екендігінің дәлелі болып табылады. Отандық және шетелдік ғалымдар өздерінің еңбектерінде пробиотикалық ұйытқылар қосып әзірленген өнімдердің реологиялық, физико-химиялық және тағамдық көрсеткіштерін жақсартумен қатар, органолептикалық қасиеттерін де оңтайландыру қажеттілігін атап өткен. Қытай және Мысырдың жетекші білім орталықтарының ғалымдары өздерінің ғылыми жұмыстарында ешкі сүтінің иісін жағымды ету мақсатында ұйытқыларды қолдану нәтижесінде жүретін ферментация процесінің ролі орасан екенін дәлелдеген [10-12].

Сүтқышқылды сусындарды сақтау барысында маңызды сапа көрсеткіштерінің бірі – титрлеу қышқылдығына 21 тәулік бойы бақылау жүргізілді. Техникалық құжаттама талаптарына сәйкес мұндай өнімдердің қышқылдығы 75-125°Т шектерінде болуы тиіс. Түйе сүті негізінде әзірленген сусындарда қышқылдық 95-119°Т аралығын көрсетті, яғни талаптардан ауытқу байқалған жоқ. Бұл көрсеткіштер сусындарды ұйыту кезінде лактобактериялардың әсері нәтижесінде жүретін органикалық қосылыстардың ыдырау процесімен тікелей байланысты болып табылады.

«Желмая» «Қазына», «Атамекен», «Ақнар» сусындары мен шұбаттың құрамындағы ақуыз, май, көмірсу мөлшері анықталғаннан кейін, олардың энергетикалық құндылығының есебі жүргізілді. Сусындардың бұл көрсеткіштері шұбатпен салыстырғанда артық болды, бұл түйе сүтінің құрамындағы көмірсудың жоғары мөлшерімен түсіндіріледі.

Микробиологиялық көрсеткіштерді анықтау нәтижелерін қарастыратын болсақ, лактококктардың жинақталуы барлық сүтқышқылды сусын үлгілерінде белсенді жүргенін байқауға болады, бұл дайын жаңа өнімдердің пробиотикалық қасиеттерін қамтамасыз ететін маңызды көрсеткіш болып табылады.

Қорытынды

Зерттеу жұмыстарының негізінде келесі технологиялық шешімдерге қол жеткізілді: сүтқышқылды сусындар әзірлеу үшін түйе сүтін пастерлеу температурасы 30 минут бойы 63°С немесе 20 минут бойы 72°С болды; түйе сүтіне енгізілетін ұйытқылар мөлшері 100 л өнімнің 2%-ын құрады; түйе сүтін ұйыту ұзақтығы 8 сағат, ал температурасы 32±С° болды; ұйытылған сүтқышқылды сусындарды 4С° температураға дейін салқындатқаннан кейін сақтау шарттары: 2-4 С° температурада 21 тәулік болып бекітілді.

Келтірілген технология бойынша әзірленген сүтқышқылды сусындардың органолептикалық көрсеткіштері жоғары бағаланды (4,8-4,9 балл). Физика-химиялық көрсеткіштері қалыпты мәндерге ие болды, ал титрлеу қышқылдығы нормативтерге сәйкес 95-119°Т аралығын көрсетті, пробиотикалық ұйытқы бактерияларының (лактобактериялардың) құрамы $3,6*10^6$- $5*10^6$ ҚҚБ/г шектерінде болды.

Осылайша, мақалада қарастырылған түйе сүті негізінде сүтқышқылды сусындар әзірлеу технологиясын және олардың сапа көрсеткіштерін зерттеу нәтижелерін сүт өнеркәсібі саласында тәжірибелік мақсаттарда пайдалануға болады және олар шикізатты қабылдау сәтінен бастап, дайын өнімдерді тұтынушыларға ұсынуға дейінгі өндіріс кезеңін тиімді, сапалы және қауіпсіз ету үшін оңтайлы қадамдар жасауға мүмкіндік береді.

Сонымен қатар, әзірленген жаңа өнімдердің артықшылықтары: жоғары сапалы көрсеткіштер, өнімнің қауіпсіздігі, сүтқышқылды сусындарды жаппай тұтынумен қатар, функционалды және мамандандырылған тамақтануда пайдалану мүмкіндігі болып табылады.

Әдебиеттер тізімі

1. Quality and safety of new types of dairy products based on cow’s and mare’s milk with vegetable additives / M. Iztileuov et al // Food Production, Process and Nutrition. – 2024. – № 6. – P. 42. https://doi.org/10.1186/s43014-023-00218-0.

2. Кулажанов К.С. Исследование качественного состава микрофлоры бионапитков на основе верблюжьего молока / К.С. Кулажанов, Ф.Т. Диханбаева, Э.Ч. Тастурганова // Вестник Алматинского технологического университета. – 2019. – № 4. – С. 37-41.

3. Traditional fermented foods of Benin Republic: microbiological safety and health benefits / O. Zannou et al // Discovover Food. – 2023. – № 3. – P. 3. https://doi.org/10.1007/s44187-023-00043-x.

4. Selection of appropriate probiotic yeasts for use in dairy products: a narrative review / S. Kazemi et al // Food Production, Process and Nutrition. – 2025. – № 7.– P. 13. https://doi.org/10.1186/s43014-024-00293-x.
5. Jhamb, V. Role and importance of lactic acid bacteria in different Indian fermented foods / V. Jhamb, P. Swaminathan, // Biologia. – 2023. – № 78. – P. 3609-3623. https://doi.org/10.1007/s11756-023-01512-5.
6. Probiotic viability, pH and lactic acid concentration of opened commercial probiotic dairy drinks stored at different temperatures and durations / Y.K. Liew et al // Bulletin of the National Research Centre. – 2022. – № 46. – P. 216. https://doi.org/10.1186/s42269-022-00912-y.
7. Manjunatha, V. Unlocking Innovations: Exploring the Role of Kefir in Product Development / V. Manjunatha, D. Bhattacharjee, C. Flores // Current Food Science and Technology Reports. – 2024. – № 2. – P. 221-230. https://doi.org/10.1007/s43555-024-00032-w.
8. Revealing the nutritious treasures: an extensive investigation of health benefits of cultured dairy foods / J. Thillapudi et al // Archives of Microbiology. – 2025. – № 207. – P. 12. https://doi.org/10.1007/s00203-024-04210-1.
9. Effect of low temperature long time industrial pasteurization on physicochemical and nutritional properties of camel milk: a comparative study / M.A. Arain et al // Proceedings of the Indian National Science Academy. – 2025. https://doi.org/10.1007/s43538-025-00535-7.
10. Microbiological, physicochemical, and sensory properties of goat milk co-fermented with isolated new yeasts / S.A. Korma et al // Journal of Food Measurement and Characterization. – 2021. – № 15. – P. 5296-5309. https://doi.org/10.1007/s11694-021-01091-6.
11. Tingirikari J.M.R. Kefir: a fermented plethora of symbiotic microbiome and health / J.M.R. Tingirikari, A. Sharma, HJ. Lee // Journal of Ethnic Foods. – 2024. – № 11. – P. 35. https://doi.org/10.1186/s42779-024-00252-4.
12. Daryani D. Review of plant-based milk analogue: its preparation, nutritional, physicochemical, and organoleptic properties / D. Daryani, K. Pegua, S.S. Aryaa // Food Science and Biotechnology. – 2024. – № 33. – P. 1059-1073. https://doi.org/10.1007/s10068-023-01482-z.

References

1. Quality and safety of new types of dairy products based on cow's and mare's milk with vegetable additives / M. Iztileuov et al // Food Production, Process and Nutrition. – 2024. – № 6. – P. 42. https://doi.org/10.1186/s43014-023-00218-0. (In English).
2. Kulazhanov K.S. Issledovanie kachestvennogo sostava mikroflory bionapitkov na osnove verblyuzh'ego moloka / K.S. Kulazhanov, F.T. Dikhanbaeva, EH.CH. Tasturganova // Vestnik Almatinskogo tekhnologicheskogo universiteta. – 2019. – № 4. – S. 37-41. (In Russian).
3. Traditional fermented foods of Benin Republic: microbiological safety and health benefits / O. Zannou et al // Discovover Food. – 2023. – № 3. – P. 3. https://doi.org/10.1007/s44187-023-00043-x. (In English).
4. Selection of appropriate probiotic yeasts for use in dairy products: a narrative review / S. Kazemi et al // Food Production, Process and Nutrition. – 2025. – № 7.– P. 13. https://doi.org/10.1186/s43014-024-00293-x. (In English).
5. Jhamb, V. Role and importance of lactic acid bacteria in different Indian fermented foods / V. Jhamb, P. Swaminathan, // Biologia. – 2023. – № 78. – P. 3609-3623. https://doi.org/10.1007/s11756-023-01512-5. (In English).
6. Probiotic viability, pH and lactic acid concentration of opened commercial probiotic dairy drinks stored at different temperatures and durations / Y.K. Liew et al // Bulletin of the National Research Centre. – 2022. – № 46. – P. 216. https://doi.org/10.1186/s42269-022-00912-y. (In English).
7. Manjunatha, V. Unlocking Innovations: Exploring the Role of Kefir in Product Development / V. Manjunatha, D. Bhattacharjee, C. Flores // Current Food Science and Technology Reports. – 2024. – № 2. – P. 221-230. https://doi.org/10.1007/s43555-024-00032-w. (In English).
8. Revealing the nutritious treasures: an extensive investigation of health benefits of cultured dairy foods / J. Thillapudi et al // Archives of Microbiology. – 2025. – № 207. – P. 12. https://doi.org/10.1007/s00203-024-04210-1. (In English).
9. Effect of low temperature long time industrial pasteurization on physicochemical and nutritional properties of camel milk: a comparative study / M.A. Arain et al // Proceedings of the Indian National Science Academy. – 2025. https://doi.org/10.1007/s43538-025-00535-7. (In English).

10. Microbiological, physicochemical, and sensory properties of goat milk co-fermented with isolated new yeasts / S.A. Korma et al // Journal of Food Measurement and Characterization. – 2021. – № 15. – P. 5296-5309. https://doi.org/10.1007/s11694-021-01091-6. (In English).
11. Tingirikari J.M.R. Kefir: a fermented plethora of symbiotic microbiome and health / J.M.R. Tingirikari, A. Sharma, HJ. Lee // Journal of Ethnic Foods. – 2024. – № 11. – P. 35. https://doi.org/10.1186/s42779-024-00252-4. (In English).
12. Daryani D. Review of plant-based milk analogue: its preparation, nutritional, physicochemical, and organoleptic properties / D. Daryani, K. Pegua, S.S. Aryaa // Food Science and Biotechnology. – 2024. – № 33. – P. 1059-1073. https://doi.org/10.1007/s10068-023-01482-z. (In English).

Э.Ч. Базылханова[1*], Ф.Т. Диханбаева[2], С.А. Карденов[1], А.С. Ергибаева[1], Р.Ф. Сейдгалиев[1]
[1]Казахский агротехнический исследовательский университет имени С.Сейфуллина,
010011, Республика Казахстан, город Астана, улица Женис, 62
[2]Алматинский технологический университет,
050000, Республика Казахстан, г. Алматы, улица Толе би, 100
*e-mail: 66bel@bk.ru

РАЗРАБОТКА ТЕХНОЛОГИИ И ИССЛЕДОВАНИЕ ПОКАЗАТЕЛЕЙ КАЧЕСТВА КИСЛОМОЛОЧНЫХ НАПИТКОВ НА ОСНОВЕ ВЕРБЛЮЖЬЕГО МОЛОКА

В научной статье рассмотрена технология разработки кисломолочных напитков на основе верблюжьего молока с использованием пробиотических заквасок и обсуждены результаты исследования их органолептических, физико-химических и микробиологических свойств. На основании характеристик пробиотических лактобактерий, приведенных в технической документации, было составлено 4 композиций заквасок в асептических условиях. Для выработки кисломолочных напитков подготовленные композиции вводили непосредственно в верблюжье молоко, прошедшее предварительную термическую обработку (30 минут при 63°С) и охлажденное до необходимой температуры (37°С).

В ходе исследовательской работы в качестве контрольного образца был выбран традиционный продукт – шубат. Органолептические характеристики разработанной кисломолочной продукции соответствовали требованиям нормативной документации и получили высокие баллы (4,8-4,9). В целях определения физико-химических показателей и срока хранения в течение 21 суток наблюдалось изменение титруемой кислотности напитков и шубата. По сравнению с шубатом новые продукты показали нормальную кислотность (до 120°Т) в течение исследуемого периода. Также была рассчитана энергетическая ценность кисломолочных напитков (59,2-61,2 кКал).

По итогам микробиологических исследований определено количество полезных лактобактерий в составе напитков, которое соответсвовало требованиям нормативно-технической документации ($3,6*10^6$-$5*10^6$ КОЕ/г). Это важный показатель, обосновывающий пробиотические свойства кисломолочных напитков. Таким образом, в результате проведенных исследований утверждены технология приготовления и условия хранения выработанных кисломолочных напитков (21 сутки при 2-4 °С).

Ключевые слова: *молоко верблюжье, кисломолочные напитки, шубат, пробиотические закваски, термофильные молочнокислые лактококки, бактериальная закваска, пропионовокислые и уксуснокислые бактерии.*

E.Ch. Bazylkhanova[1*], F.T. Dikhanbayeva[2], S.A. Kardenov[1], A.S. Yergibayeva[1], R.F. Seidgaliyev[1]
[1]S.Seifullin Kazakh Agro Technical Research University,
010011, Republic of Kazakhstan, Astana, Zhenis street 62,
[2]Almaty Technological University,
050000, Republic of Kazakhstan, Almaty, Tolebi street 100
*e-mail: 66bel@bk.ru

DEVELOPMENT OF TECHNOLOGY AND RESEARCH OF QUALITY INDICATORS OF FERMENTED MILK DRINKS BASED ON CAMEL MILK

The scientific article discusses the technology of developing fermented milk drinks based on camel milk using probiotic starter cultures and the results of a study of their organoleptic, physico-chemical and microbiological properties. Based on the characteristics of probiotic lactobacilli listed in the technical documentation, 4 starter cultures were formulated under aseptic conditions. To produce fermented milk drinks, the prepared compositions were injected directly into camel milk, which had undergone preliminary heat treatment (30 minutes at 63 °C) and cooled to the required temperature (37 °C).

In the course of the research, a traditional product, shubat, was chosen as a control sample. The organoleptic characteristics of the developed fermented milk products met the requirements of regulatory documentation and received high scores (4.8-4.9). In order to determine the physico-chemical parameters and shelf life for 21 days, a change in the titrated acidity of drinks and shubat was observed. Compared with shubat, the new products showed normal acidity (up to 120°C) during the study period. The energy value of fermented milk drinks (59.2-61.2 kCal) was also calculated.

Based on the results of microbiological studies, the number of beneficial lactobacilli in the composition of drinks was determined, which met the requirements of regulatory and technical documentation ($3,6*10^6$-$5*10^6$ CFU/g). This is an important indicator justifying the probiotic properties of fermented milk drinks. Thus, as a result of the conducted research, the technology of preparation and storage conditions of the produced fermented milk drinks (21 days at 2-4 °C) were approved.

Key words: *camel milk, fermented milk drinks, shubat, probiotic starter cultures, thermophilic lactic acid lactococci, bacterial starter culture, propionic acid and acetic acid bacteria.*

Авторлар туралы мәліметтер

Эльмира Чаймаксутовна Базылханова* – PhD, «Тамақ және қайта өңдеу өндірістерінің технологиясы» кафедрасының қауымдастырылған профессоры м.а., «С. Сейфуллин атындағы Қазақ агротехникалық зерттеу университеті», Астана, Қазақстан Республикасы; e-mail: 66bel@bk.ru. ORCID: https://orcid.org/0000-0002-7854-1523.

Фатима Токтаровна Диханбаева – техника ғылымдарының докторы, «Тамақ өнімдерінің технологиясы» кафедрасының профессоры, Алматы технологиялық университеті, Алматы, Қазақстан Республикасы; e-mail: fatima6363@mail.ru. ORCID: https://orcid.org/0000-0003-4257-3774.

Серік Әскербекұлы Карденов – техника ғылымдарының кандидаты, «Тамақ және қайта өңдеу өндірістерінің технологиясы» кафедрасының қауымдастырылған профессоры м.а.; «С. Сейфуллин атындағы Қазақ агротехникалық зерттеу университеті», Астана, Қазақстан Республикасы; e-mail: serik.69@mail.ru. ORCID: https://orcid.org/0000-0001-6198-1189.

Алина Сериковна Ергибаева – «Тамақ және қайта өңдеу өндірістерінің технологиясы» кафедрасының магистранты; «С. Сейфуллин атындағы Қазақ агротехникалық зерттеу университеті», Астана, Қазақстан Республикасы; e-mail: alinaadsl@gmail.com, ORCID: https://orcid.org/0009-0007-0734-2096.

Рахат Фаизович Сейдгалиев – «Тамақ және қайта өңдеу өндірістерінің технологиясы» кафедрасының магистранты, «С. Сейфуллин атындағы Қазақ агротехникалық зерттеу университеті», Астана, Қазақстан Республикасы; e-mail: rahatik_xd@mail.ru. ORCID: https://orcid.org/0009-0000-5248-6047.

Сведения об авторах

Эльмира Чаймаксутовна Базылханова* – PhD, и.о. ассоциированный профессор кафедры «Технология пищевых и перерабатывающих производств», «Казахский агротехнический исследовательский университет имени С. Сейфуллина», Астана, Республика Казахстан; e-mail: 66bel@bk.ru. ORCID: https://orcid.org/0000-0002-7854-1523.

Фатима Токтаровна Диханбаева – доктор технических наук, профессор кафедры «Технология продуктов питания», «Алматинский технологический университет», Алматы, Республика Казахстан; e-mail: fatima6363@mail.ru. ORCID: https://orcid.org/0000-0003-4257-3774.

Серик Аскербекович Карденов – кандидат технических наук, и.о. ассоциированный профессор кафедры «Технология пищевых и перерабатывающих производств», «Казахский агротехнический исследовательский университет имени С. Сейфуллина», Астана, Республика Казахстан; e-mail: serik.69@mail.ru. ORCID: https://orcid.org/0000-0001-6198-1189.

Алина Сериковна Ергибаева – магистрант кафедры «Технология пищевых и перерабатывающих производств», «Казахский агротехнический исследовательский университет имени С. Сейфуллина», Астана, Республика Казахстан; e-mail: alinaadsl@gmail.com. ORCID: https://orcid.org/0009-0007-0734-2096.

Рахат Фаизович Сейдгалиев – магистрант кафедры «Технология пищевых и перерабатывающих производств», «Казахский агротехнический исследовательский университет имени С. Сейфуллина», Астана, Республика Казахстан; e-mail: rahatik_xd@mail.ru. ORCID: https://orcid.org/0009-0000-5248-6047.

Information about the authors

Elmira Chaimaksutovna Bazylkhanova* – PhD, acting associate professor of the Department of «Food Technology and Processing Products», «S. Seifullin Kazakh Agrotechnical Research University», Astana, Republic of Kazakhstan; e-mail: 66bel@bk.ru. ORCID: https://orcid.org/0000-0002-7854-1523.

Fatima Toktarovna Dikhanbayeva – Doctor of Technical Sciences, Professor of the Department of «Food Technology», Almaty Technological University, Almaty, Republic of Kazakhstan; e-mail: fatima6363@mail.ru. ORCID: https://orcid.org/0000-0003-4257-3774.

Serik Askerbekovich Kardenov – Candidate of Technical Sciences, acting associate professor of the Department of «Food Technology and Processing Products», «S. Seifullin Kazakh Agrotechnical Research University», Astana, Republic of Kazakhstan; e-mail: serik.69@mail.ru. ORCID: https://orcid.org/0000-0001-6198-1189.

Alina Serikovna Yergibayeva – Master's student of the Department of «Food Technology and Processing Products», «S. Seifullin Kazakh Agrotechnical Research University», Astana, Republic of Kazakhstan; e-mail: alinaadsl@gmail.com. ORCID: https://orcid.org/0009-0007-0734-2096.

Rakhat Faizovich Seidgaliyev – Master's student of the Department of «Food Technology and Processing Products», «S. Seifullin Kazakh Agrotechnical Research University», Astana, Republic of Kazakhstan; e-mail: rahatik_xd@mail.ru. ORCID: https://orcid.org/0009-0000-5248-6047.

Редакцияға енуі 17.09.2025
Өңдеуден кейін түсуі 22.10.2025
Жариялауға қабылданды 23.10.2025

https://doi.org/10.53360/2788-7995-2025-4(20)-38

BY 4.0
Check for updates

ҒТАХР: 65.09.03; 65.09.30

Л.А.Мурат*, Б.С. Шайменова, Д.К. Айтмухамбетов, Г.Х. Оспанкулова
С. Сейфуллин атындағы Қазақ агротехникалық зерттеу университеті,
010000, Қазақстан Республикасы, Астана қаласы, Жеңіс даңғылы, 62
*e-mail: linaraazamatkyzy@mail.ru

БҰРШАҚ ЖӘНЕ ДӘНДІ ДАҚЫЛДАРДАН АЛЫНҒАН АҚУЫЗ ИЗОЛЯТТАРЫНЫҢ ФИЗИКА-ХИМИЯЛЫҚ ҚАСИЕТТЕРІ ЖӘНЕ ЕТ АЛМАСТЫРҒЫШТАР ӨНДІРІСІНДЕ ҚОЛДАНЫЛУЫ

Аңдатпа: *Бұл жұмыста бұршақ, соя, бидай және жүгеріден алынған ақуыз изоляттарының шығымы, химиялық құрамы, физика-химиялық және түстік (CIE Lab*) сипаттамалары, сондай-ақ аминқышқылдық профилі кешенді зерттелді. Ақуыздарды бөліп алу сілтілік экстракция әдісімен (0,1 M NaOH, pH 9, 30°C, 60 мин) жүргізілді. Экстракция тиімділігі барлық үлгілерде жоғары болып, 83,25-85,21% аралығында өзгерді; ең жоғары шығым сояда (31,1%) және бұршақта (21,23%) тіркелді. Изоляттардың ақуыз үлесі 69,37-79,36% диапазонында болды; май мөлшері сояда ең төмен (0,12%), ал көмірсулар бидай изолятында жоғары (19,2%). Тығыздық көрсеткіштері бидай изолятында сусымалы (0,52 г/мл) және нығыздалған (0,73 г/мл) мәндердің жоғары екенін көрсетті, бұл етке ұқсас талшықты құрылым түзуге қолайлы. Түстік талдау барлық изоляттардың жоғары жарықтыққа (L* = 80,15-85,47) ие екенін айқындады. Аминқышқылдық профиль бойынша бұршақ пен соя теңгерімді құрамымен ерекшеленді (лизин және аргинин жоғары), ал жүгері (зеин) мен бидайда лизин шектеуші фактор болды. Нәтижелер өсімдік негізді ет алмастырғыштар өндірісінде бұршақ және соя ақуыздарын базалық компоненттер, бидай (глютен/желімтік) мен жүгеріні құрылым қалыптастыратын функционалдық қосымша компоненттер ретінде пайдаланудың ғылыми негізділігін дәлелдейді.*

Түйін сөздер: *өсімдік ақуызы, изолят, физика-химиялық қасиеттер, аминқышқылдық профиль, ет алмастырғыш.*

Кіріспе

Қазіргі таңда өсімдік тектес шикізат негізінде ет алмастырғыштарды өндіру технологияларын зерттеу және енгізу қарқынды дамып келеді. Бұл үрдіс тек тұтынушылардың тағамдық өнімдерді таңдаудағы жаңа ұстанымдарымен ғана емес, сондай-ақ жаһандық экологиялық және әлеуметтік сын-қатерлермен де тікелей байланысты. БҰҰ-ның Азық-түлік және ауыл шаруашылығы ұйымының (FAO) мәліметтері бойынша, алдағы жылдары әлем халқының азық-түлікке деген сұранысы шамамен 70%-ға артып, бұл табиғи ресурстарды пайдаланудың ұлғаюына әкелуі мүмкін [1]. Сонымен қатар, мал шаруашылығы саласы парниктік газдардың басты көздерінің бірі болып қала береді, бұл жер пайдалану құрылымындағы өзгерістермен, ормандардың жойылуымен және су ресурстарының шамадан тыс пайдаланылуымен байланысты [2, 3].

Осыған байланысты өсімдік ақуызы негізіндегі ет алмастырғыштарды дамыту қоршаған ортаға түсетін антропогендік салмақты азайтып, жануар тектес ақуызға тәуелділікті төмендетудің болашағы зор және экологиялық тұрғыдан тиімді шешімі болып саналады [4].

Бұл өнімдер тұтынушыларға жануар тектес өнімдерге тең тағамдық құндылығы бар баламаны ұсынуға мүмкіндік береді [5]. 2019 жылы өсімдік тектес өнімдер өндірісінің әлемдік нарық көлемі 4,51 млрд АҚШ долларын құрап, тұрақты өсім көрсетті, ал 2027 жылға қарай бұл көрсеткіштің екі еселеніп, 8,82 млрд АҚШ долларына жетуі күтілуде [6].

Зерттеу саласында басты назар соя, бұршақ, бидай және жүгері секілді өсімдік ақуызының негізгі көздеріне аударылады. Соя ақуызы өзінің аминқышқылдық құрамы мен функционалдық қасиеттерінің кең спектрі арқасында құнды шикізат болып табылады. Ол гель түзу, эмульгирлеу және көбіктендіру қабілетімен, сондай-ақ өңдеу барысында ылғал мен майды тиімді ұстап тұру қасиеттерімен ерекшеленеді [7]. Бұршақ ақуызы жоғары антиаллергендік қасиеттері мен генетикалық модификацияның болмауымен ерекшеленеді және аминқышқылдық профилінің байлығымен құнды болып саналады [8]. Сонымен қатар, бұршақ антиоксиданттық белсенділікке ие және гидролизденген түрінде ішек микробиотасының құрамына оң әсер етеді [9].

Бидай ақуызының негізгі компоненті глютен (желімтік) болып табылады, ол талшықты құрылым түзіп, өнімдердің шайналғыштығын және тығыздығын арттырады, бұл экструзиялық өнімдер өндірісінде маңызды артықшылық [10]. Бұршақ ақуызы бидайдың глютенін (желімтігін) біріктіре өңдеу нәтижесінде талшықты морфологиясы айқын материалдар алынады. Бұл глютеннің (желімтіктің) құрылым қалыптастырудағы рөлін және ақуыз матрицасының жеткілікті беріктігін көрсетеді. Бұл қасиеттер ақуызды қоспаларды етке ұқсас талшықты құрылымдар қалыптастыруда перспективалы компонент ретінде пайдалануға мүмкіндік береді. Жүгерінің зеин ақуызы жоғары гидрофобтылығымен және үлдір түзу қабілетімен ерекшеленеді, бірақ алмастырылмайтын аминқышқылдарының (лизин мен триптофан) жетіспеушілігі себебінен оны басқа ақуыздармен үйлестіре қолдану қажет [11].

Осыған орай, бұршақ, соя, бидай және жүгеріден алынған ақуыз изоляттарының химиялық құрамы мен функционалды-технологиялық қасиеттерін салыстырмалы талдау өсімдік негізді ет алмастырғыштарды өндіру технологияларын жетілдірудің маңызды алғышарты болып табылады; мұндай талдау дайын өнімнің құрылымын оңтайландырып, оның жоғары тағамдық құндылығы мен тұтынушылық сапасын қамтамасыз ететін ақуызды шикізат көздерінің ең тиімді үйлесімдерін айқындауға мүмкіндік береді. Осы зерттеудің мақсаты — аталған дақылдардан алынған ақуыз изоляттарының физика-химиялық қасиеттері мен аминқышқылдық профилін кешенді бағалау арқылы өсімдік негізді ет алмастырғыштарды өндіруге арналған ең тиімді шикізат көздерін ғылыми тұрғыдан негіздеу.

Материалдар мен әдістер

Зерттеу нысандары: Зерттеу үлгілері ретінде соя дәндері, бұршақ тұқымдары, жүгері және бидай дәндері пайдаланылды. Барлық үлгілер эксперимент басталғанға дейін 18°C температурада сақталды.

Ақуызды бөліп алу әдістері:

Бұршақ және соя: Ақуызды бөліп алу дәстүрлі сілтілі экстракция әдісімен жүзеге асырылды. Ақуыздар 0,1 M NaOH ерітіндісінде, pH 9, 30°C температурада ерітіліп, кейін центрифугаланды (Narale et al., 2024) [12].

Жүгері: US20020183490 патентінде сипатталған жүгері майы мен ақуызын кешенді алу әдісі қолданылды.

Бидай: Сорочинский және әріптестері (2006) ұсынған тағамдық глютенді оқшаулау әдісі пайдаланылды. Бұл әдіс ұнды жуу және крахмалды кетіру кезеңдерін қамтиды [13].

Химиялық құрамды талдау:

Ылғалдылық мөлшері – AOAC (2005) әдісі бойынша RADWAG Mac 210 анализаторында анықталды [14].

Минералды заттар – AOAC 942.05 (2022) стандарты бойынша [15].

Май мөлшері – Сокслет аппараты арқылы AOAC 920.85 (2005) әдісімен [16].

Көмірсулар – антрон әдісімен (McCleary & McLoughlin, 2021) [17].

Ақуыз мөлшері – Къелдаль әдісі бойынша AOAC 985.29 стандартымен (William, 2000) [18].

Аминқышқылдық құрамы – AOAC 994.12 (2005) әдісімен анықталып, нәтижелер % EAA түрінде берілді [19].

Физикалық қасиеттерді анықтау:

Түс параметрлері – Dabbour et al. (2018) әдістемесі бойынша CIE Lab* жүйесінде [20].

Сусымалы тығыздық – Dabbour et al. (2018) әдісі [20].

Нығыздалған тығыздық – Naik et al. (2022) әдісі бойынша [21].

Статистикалық өңдеу: Барлық тәжірибелер үш рет қайталанып орындалды. Нәтижелер орташа мән ± стандартты ауытқу түрінде көрсетілді. Деректерді өңдеу үшін математикалық статистика әдістері және стандартты бағдарламалық қамтамасыз ету қолданылды.

Нәтижелер және талқылау

Өсімдік тектес ет алмастырғыштарға арналған шикізатты іріктеу. Зерттелген өсімдік шикізатының (бұршақ, соя, жүгері, бидай) проксималды құрамы Кесте 1-де келтірілген. Ылғалдылықтың бұршақта 7,51%, бидайда 14,11% болуы әдеби деректердегі 5,0-14% аралығымен үйлеседі [22]. Ылғалдылық жоғарылаған сайын май үлесі төмендеу, ал ылғалдылық төмен болғанда май үлесі жоғарылау үрдісі байқалды [23]. Осы заңдылыққа сәйкес, майдың ең төмен мәні бидайда (1,36%), ал ең жоғарысы сояда (16,4%) тіркелді.

Кесте 1 – Өсімдік шикізатының химиялық құрамы

Үлгі	Ылғалдылық, %	Ақуыз, %	Май, %	Көмірсулар, %	Минералдар, %
Бұршақ	7,51±0,01	25,5±0,24	4,3±0,2	51,4±0,04	2,14±0,04
Соя	9,23±0,01	36,5±0,49	16,4±0,2	34,8±0,37	2,03±0,26
Жүгері	11,8±0,24	7,4±0,08	4,07±0,07	66,34±0,02	1,14±0,03
Бидай	14,11±0,10	10,8±0,07	1,36±0,10	70,6±0,5	1,25±0,01

Ақуыздың ең жоғары концентрациясы сояда (36,5%), одан кейін бұршақта (25,5%) байқалды; бидай (10,8%) мен жүгеріде (7,4%) бұл көрсеткіш едәуір төмен. Бұл деректер соя мен бұршақты ет алмастырғыштардың негізгі ақуыздық компоненттері ретінде қарастырудың өзектілігін растайды. Әдебиетке сәйкес, бұршақ және соя ақуыз мөлшері бойынша басқа бұршақ тұқымдастарынан, соның ішінде ноқаттан, жоғары бола алады [24].

Барлық үлгілерде көмірсулар үлесі жоғары, бұл олардың энергия сыйымдылығын айқындайды: ең жоғары көрсеткіштер бидай (70,6%) мен жүгеріде (66,34%) тіркелді; бұршақ (51,4%) пен сояда (34,8%) көмірсулар төмендеу, бұл макронутриенттік теңгерімді оңтайландыруға мүмкіндік береді. Минералды заттар 1,14-2,14% аралығында өзгерді: бұршақта салыстырмалы жоғары деңгей (2,14%) байқалып, шикізаттың минералдану дәрежесін көрсетеді; бидай мен жүгерідегі төмен мәндер бейорганикалық компоненттердің аздығын меңзейді [25].

Қорытындылай келе, соя жоғары ақуыз әрі май құрамы арқылы, бұршақ – ақуыз деңгейі мен қолжетімді агротехникалық әлеуеті арқылы (Қазақстанның солтүстігінде кең өсірілуі, ГМО-сыз, төмен аллергендік) тартымды. Жүгері мен бидай негізгі ақуыз көзі ретінде шектеулі болғанымен, олардың серпімділік, талшықтылық, тұтқырлық, ерігіштік сияқты техно-функционалдық қасиеттері рецептурада құрылым қалыптастырушы және энергия жеткізуші компоненттер ретінде құнды.

Ақуыз изоляттарын алу және экстракция тиімділігі. Майсыздандырылған бұршақ, соя, жүгері және бидай шикізаттарынан сілтілік экстракция (0,1 M NaOH, pH 9,0, 30 °C, 60 мин, үздіксіз араластыру) арқылы ақуыз изоляттары алынды. Экстракциядан кейін үлгілер центрифугаланып, супернатанттағы ақуыз концентрациясы анықталды. Жиынтық көрсеткіштер 2 -ші кестеде берілген.

Кесте 2 – Ақуызды экстракциялау көрсеткіштері

Үлгі	Алынған ақуыз, %	Ақуыз шығымы, %	Экстракция тиімділігі, %
Бұршақ	25,5±0,24	21,23±0,35	83,25±0,15
Соя	36,5±0,49	31,1±0,20	85,21±0,09
Жүгері	7,4±0,08	6,2±0,45	83,70±0,35
Бидай	10,8±0,07	9,1±0,35	84,20±0,25

Ең жоғары шығым сояда (31,1%) және бұршақта (21,23%) тіркелді; жүгері (6,2%) мен бидайда (9,1%) төмен болды. Тиімділік барлық үлгілерде тар диапазонда (83,25-85,21%) сақталып, қолданылған әдістің қайталанымдылығы мен тұрақтылығын дәлелдейді. Технологиялық тұрғыдан бұршақ изоляты (жергілікті өндірістік база, ГМО-сыз, төмен аллергендік) айрықша қызығушылық туғызады, бірақ оның гель түзу қабілеті сояға қарағанда шектеулі; бұл ет-тәрізді текстура қалыптастыруда шектеу болуы мүмкін. Осыны ескере

отырып, бұршақ изолятын бидайдың глютені (желімтігі) және/немесе жүгерінің зеинімен композициялық рецептурада біріктіру ұсынылады: глютен талшықты-тығыз құрылымды күшейтеді [10], ал зеиннің гидрофобтылығы құрылым мен тығыздықты жақсартады, бірақ аминқышқылдық толыққандылығы төмен болғандықтан (лизин, триптофан тапшылығы) дербес қолдану шектеулі [11].

Ақуыз изоляттарының химиялық құрамы. Бұршақ, соя, бидай және жүгері изоляттарының химиялық құрамы Кесте 3-те келтірілген. Ылғалдылық 3,43-7,80% аралығында болып, концентрленген ақуыз өнімдеріне қойылатын талаптарға сай және микробиологиялық тұрақтылыққа қолайлы.

Кесте 3 – Ақуыз изоляттарының химиялық құрамы

Үлгі	Ылғалдылық, %	Ақуыз, %	Май, %	Көмірсулар, %	Минералдар, %
Бұршақ изоляты	3,43±0,47	79,36±0,24	2,45±0,10	0	2,42±0,05
Соя изоляты	7,80±0,16	78,36±0,24	0,12±0,01	9,93±0,12	3,81±0,02
Бидай изоляты	3,60±0,08	69,37±0,60	3,33±0,23	19,20±0,17	3,65±0,11
Жүгері изоляты	4,10±0,12	73,50±0,24	1,51±0,02	0	1,66±0,03

Барлық үлгілерде ақуыз үлесі жоғары; ең жоғары мәндер бұршақ (79,36%) және соя (78,36%) изоляттарына тиесілі. Соя изолятында майлылық ең төмен (0,12%), бұл оны төмен майлылықты өнімдерге қолайлы етеді. Көмірсулар бұршақ және жүгері изоляттарында елеусіз, бидайда (19,2%) айқын (глютен қалдықтарымен байланысты). Минералдар сояда жоғары (3,81%) болып, Ca, Mg және микроэлементтермен байланысты биологиялық құндылықты арттыруы мүмкін; жүгері мен бидайда төменірек мәндер тиімді тазартылуды меңзейді. Жалпы, бұршақ пен соя – ылғал/майы төмен жоғары шоғырланған ақуыз көздері; жүгері мен бидай – ақуыз деңгейі төмендеу болғанымен, технологиялық артықшылықтары бар функционалды ингредиенттер.

Тығыздық және колориметриялық сипаттамалар№ Изоляттардың сусымалы (bulk) және нығыздалған (tapped) тығыздықтары, сондай-ақ CIE L*ab** жүйесі бойынша түс параметрлері Кесте 4-те берілген (қосымша визуалдар – Сурет 1).

Кесте 4 – Ақуыз изоляттарының физикалық көрсеткіштері

Үлгі	Сусымалы тығыздық, г/мл	Нығыздалған тығыздық, г/мл	L*	a*	b*	ΔE
Бұршақ изоляты	0,32±0,015	0,23±0,015	80,15±0,10	2,78±0,02	20,31±0,09	21,32±0,10
Соя изоляты	0,35±0,015	0,40±0,015	84,74±0,01	−0,02±0,02	14,92±0,10	14,01±0,10
Бидай изоляты	0,52±0,06	0,73±0,04	85,47±0,39	4,12±0,06	16,28±0,62	15,58±0,08
Жүгері изоляты	0,33±0,019	0,47±0,64	81,97±0,03	3,03±0,07	19,63±0,02	20,93±0,01

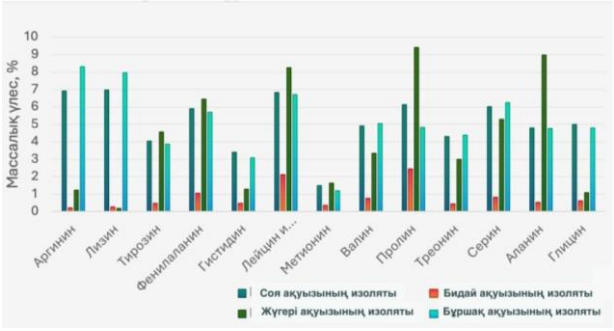


Сурет 1 – Өсімдік шикізатынан алынған ақуыздардың изоляттары

Бидай изолятының сусымалы тығыздығы ең жоғары (0,52 г/мл), бұл құрғақ материалдың тығыз, тұтқыр құрылымын сипаттайды; бұршақ изолятында нығыздалған тығыздық ең төмен (0,23 г/мл), кеуектілік пен борпылдақтықты көрсетеді. Жүгері изоляты қысымнан кейін тығыз орналасуға бейім (нығыздалған 0,73 г/мл), бұл ет-тәрізді тығыз текстура қалыптастыруға қолайлы. Соя және жүгері изоляттарының тығыздықтары орташа диапазонда, оларды құрылымдық теңгерім үшін композицияларда тиімді біріктіруге мүмкіндік береді. Тығыздық ақуыздардың гидратациясы мен қаптау қасиеттеріне тікелей әсер етеді [26].

Түстік параметрлер бойынша барлық изоляттар жоғары жарықтыққа ие (L* 80,15-85,47). a* мәні сояда −0,02 (әлсіз жасыл реңк)-тен бидайда 4,12-ге (қызғылт реңк) дейін, b* барлық үлгілерде оң, сары реңктің басымдығын көрсетеді; ең қанық сары – бұршақ (b* 20,31) және жүгері (19,63). Жалпы түстік айырмашылық (ΔE) бұршақ (21,32) және жүгеріде (20,93) айқынырақ, ал соя (14,01) мен бидай (15,58) бір-біріне жақынырақ. Қорытындылай келе, бидай изолятының жоғары тығыздығы ет тәрізді талшықты құрылымға, ал бұршақ изолятының айқын түстік профилі дайын өнімнің визуал сапасын арттыруға қолайлы.

Аминқышқылдық профиль. Осы зерттеу аясында бұршақ, соя, бидай және жүгеріден алынған ақуыз изоляттарының аминқышқылдық құрамы 2-ші суретте көрсетілген.



Сурет 2 – Өсімдік шикізатынан алынған ақуыз изоляттарының аминқышқылдарының құрамы

Бұршақ изоляты теңгерімді профильмен ерекшеленді: лизин (7,97%), аргинин (8,31%) және серин (6,25%) жоғары деңгейде. Соя изолятында да лизин (6,98%), аргинин (6,91%), фенилаланин (5,91%) мәндері жоғары болып, толыққандылықты қамтамасыз етеді. Жүгері изолятында пролин (9,42%) мен тирозин (4,57%) жоғары болғанымен, лизин (0,17%) және аргинин (1,23%) өте төмен, бұл зеин ақуызының биологиялық құндылығы шектеулі екенін көрсетеді. Бидай изолятында лизин (0,27%), аргинин (0,22%), серин (0,81%) төмен, сондықтан дербес ақуыз көзі ретінде қолдану шектеулі.

Әдебиет деректерімен үйлесімді түрде, бұршақ тұқымдастар лизинге бай, ал дәнді дақылдарда лизин шектеуші аминқышқыл болып табылады; бұршақ тұқымдастарда күкіртті аминқышқылдар (цистеин, метионин) төмендеу. Демек, бұршақ/соя мен бидай/жүгері ақуыздарын үйлестіріп қолдану аминқышқылдық кемшіліктерді өзара толықтыру арқылы протеиннің биологиялық құндылығын арттырады [27].

Қорытынды

Бұл зерттеу өсімдік тектес шикізаттан алынған ақуыз изоляттарының шығымы, химиялық құрамы, тығыздық және түстік параметрлері, сондай-ақ аминқышқылдық профилін кешенді бағалады. Соя мен бұршақ – жоғары ақуыз деңгейі және теңгерімді аминқышқылдық құрамы арқылы өсімдік негізді ет алмастырғыштардың базалық ақуыз компоненттері ретінде оңтайлы. Жүгері мен бидай – негізгі ақуыз көзі ретінде шектеулі болғанымен, зеиннің гидрофобтылығы мен глютеннің талшықты құрылым түзу қабілеті рецептурада құрылым қалыптастырушы/текстура түзуші қосалқы компоненттер ретінде құндылық береді. Тығыздық пен түс көрсеткіштері бидай (құрылымдық тығыздық) және бұршақ (визуал айқындық) изоляттарының үйлесімді қолданылуын қолдайды. Аминқышқылдық толықтыру стратегиясы (бұршақ/соя + бидай/жүгері) өнімнің тағамдық толыққандылығын жақсартады. Алынған нәтижелер өсімдік негізді ет алмастырғыштарды өндіру технологияларын жетілдіру үшін соя/бұршақты негізгі, ал жүгері/бидайды функционалдық компоненттер ретінде пайдаланудың ғылыми және практикалық негізділігін дәлелдейді.

Әдебиеттер тізімі

1. Food and Agriculture Organization of the United Nations. How to Feed the World in 2050: High Level Expert Forum Report. Rome, 2009. 35 p. — URL: https://www.fao.org/fileadmin/templates/wsfs/docs/expert_paper/How_to_Feed_the_World_in_2050.pdf (date of request: 04.09.2025).
2. Meat: The future series-alternative proteins / H.C.J. Godfray et al. – Geneva: World Economic Forum, 2019.

3. Sanchez-Sabate R. Understanding attitudes towards reducing meat consumption for environmental reasons. A qualitative synthesis review / R. Sanchez-Sabate, Y. Badilla-Briones, J. Sabaté // Sustainability. – 2019. – Vol.11(22). – P. 6295.
4. Strategies to improve meat-like properties of meat analogs meeting consumers' expectations / Y.P. Chen et al // Biomaterials. – 2022. – Vol. 287. – P. 121648
5. Webster J. Animal husbandry regained: The place of farm animals in sustainable agriculture / J. Webster, J. Porritt/ – London: Routledge, 2012.
6. Banik R. Exopolysaccharide of the gellan family: Prospects and potential / R. Banik, B. Kanari, S. Upadhyay // World Journal of Microbiology. – 2000. – Vol. 16(5). – P. 407-414.
7. Akharume F.U. Modification of plant proteins for improved functionality: A review / F.U. Akharume, R.E. Aluko, A.A. Adedeji // Comprehensive Reviews in Food Science and Food Safety. – 2021. – Vol. 20(1). – P. 198-224.
8. Dahl W.J. Review of the health benefits of peas (Pisum sativum L.) / W.J. Dahl, L.M. Foster, R.T. Tyler // British Journal of Nutrition. – 2012. – Vol. 108(S1). – P. 3-10.
9. The study on the impact of glycated pea proteins on human intestinal bacteria / Ś. Dominika et al // International Journal of Food Microbiology. – 2011. – Vol. 145(1). – P. 267-272.
10. Xiong Y.L. Hydrolyzed wheat gluten suppresses transglutaminase-mediated gelation but improves emulsification of pork myofibrillar protein / Y.L. Xiong, K.K. Agyare, K. Addo // Meat Science. – 2008. – Vol. 80(2). – P. 535-544.
11. Kasaai M. R. Zein and zein-based nano-materials for food and nutrition applications: A review // Trends in Food Science & Technology. – 2018. – Vol.79. – P. 184-197.
12. Narale B.A. Modifications of physicochemical, functional, structural, and nutritional properties of a field bean protein isolate obtained using batch and continuous ultrasound systems / B.A. Narale, A. Mounika, A. Shanmugam // Sustainable Food Technology. – 2024. – Vol. 2(2). – P. 470-484.
13. Сорочинский В.Ф. Способ получения пищевого клейковинного продукта / В.Ф. Сорочинский, Е.П. Мелешкина, В.П. Кизим. – 2006.
14. AOAC. Official Methods of Analysis. – Gaithersburg, MD: AOAC International, 2005. – 18th edn, Method 942.
15. AOAC. Official Methods of Analysis. – Gaithersburg, MD: AOAC International, 2005. – 18th edn, Method 942.05.
16. AOAC. Official Method for Fat Extraction. Official Methods of Analysis. – Washington D.C.: Association of Official Analytical Chemists, 2005. – 18th edn, Method № 920.85.
17. McCleary B.V. Measurement of available carbohydrates in cereal and cereal products, dairy products, vegetables, fruit, and related food products and animal feeds: First action 2020.07 / B.V. McCleary, C. McLoughlin // Journal of AOAC International. – 2021. – Vol. 104(6). – P. 1465-1478.
18. William W.H. Official methods of analysis of AOAC international. AOAC Official Method. – 2000. – № 985.29.
19. Official Method, A.O.A.C., 2005. Official Method 994.12, Amino Acids in Feed. Official Methods of Analysis of AOAC International (18th Edition). – Arlington, VA: Association of Official Analytical Communities, 2005.
20. Optimization of ultrasound assisted extraction of protein from sunflower meal and its physicochemical and functional properties / M. Dabbour et al // Journal of Food Process Engineering. – 2018. – Vol. 41(5). – P. e12799.
21. Pulsed ultrasound assisted extraction of protein from defatted Bitter melon seeds (Momardica charantiaL.) meal: Kinetics and quality measurements / M. Naik et al // LWT. – 2022. – Vol. 155. – P. 112997.
22. Compositional studies and physicochemical characteristics of cashew nut (Anarcadium occidentale) flour / M.O. Aremu et al // Pakistan Journal of Nutrition. – 2006. – Vol. 5(4). – P. 328-333.
23. Proximate composition and fatty acid analysis of Lablab purpureus (L.) legume seed: implicates to both protein and essential fatty acid supplementation / S. Hossain et al // Springerplus. – 2016. – Vol.5. – P. 1-10.
24. Khatoon N. Nutrient retention in microwave cooked germinated legumes / N. Khatoon, J. Prakash // Food Chemistry. – 2006. – Vol. 97(1). – P. 115-121.
25. D'souza M.R. Effect of traditional processing methods on nutritional quality of field bean / M.R. D'souza // Advances in Bioresearch. – 2013. – Vol. 4(3).

26. Kinsella J.E. Milk proteins: physicochemical and functional properties / J.E. Kinsella, C.V. Morr // Critical Reviews in Food Science & Nutrition. – 1984. – Vol. 21(3). – P. 197-262.
27. Methods for processing pulses to optimize nutritional functionality and maximize amino acid availability in foods and feeds / C. Cargo-Froom et al // Cereal Foods World. – 2020. – Vol. 65(6). – P. 10.1094/

Қаржыландыру

Бұл зерттеу ҚР Ауыл шаруашылығы министрлігінің қаржылық қолдауымен, BR22883587 «Қазақстан Республикасының азық-түлік қауіпсіздігін нығайту мақсатында ауыл шаруашылығы шикізатын терең өңдеудің ғылыми сыйымды технологияларын жетілдіру және әзірлеу» бағдарламасы аясында орындалды.

Л.А. Мурат*, Б.С. Шайменов[1], Д.К. Айтмухамбетов, Г.Х. Оспанкулова
[1]Казахский агротехнический исследовательский университет имени С. Сейфуллина,
010000, Республика Казахстан, г. Астана, проспект Женис, 62
*e-mail: linaraazamatkyzy@mail.ru

ФИЗИКО-ХИМИЧЕСКИЕ СВОЙСТВА БЕЛКОВЫХ ИЗОЛЯТОВ, ПОЛУЧЕННЫХ ИЗ БОБОВЫХ И ЗЕРНОВЫХ КУЛЬТУР, И ИХ ПРИМЕНЕНИЕ В ПРОИЗВОДСТВЕ МЯСНЫХ АНАЛОГОВ

В данной статье проведено комплексное исследование белковых изолятов, полученных из гороха, сои, пшеницы и кукурузы: определены их выход, химический состав, физико-химические и колориметрические характеристики (CIE Lab), а также аминокислотный профиль. Выделение белков осуществляли методом щёлочной экстракции (0,1 М NaOH, pH 9, 30 °C, 60 мин). Эффективность экстракции во всех образцах была высокой и варьировала в пределах 83,25-85,21%; наибольший выход зафиксирован у сои (31,1%) и гороха (21,23%). Массовая доля белка в изолятах составляла 69,37–79,36%; содержание жира было минимальным у сои (0,12%), тогда как доля углеводов была повышенной в пшеничном изоляте (19,2%). Показатели плотности продемонстрировали для пшеничного изолята более высокие значения насыпной (0,52 г/мл) и уплотнённой (0,73 г/мл) плотности, что благоприятствует формированию волокнистой, «мясоподобной» текстуры. Цветовой анализ подтвердил высокую светлоту всех изолятов (L* = 80,15-85,47). По аминокислотному профилю изоляты гороха и сои отличались более сбалансированным составом (повышенное содержание лизина и аргинина), тогда как для кукурузы (зеин) и пшеницы лимитирующим фактором выступал лизин. Полученные результаты обосновывают использование белков сои и гороха в качестве базовых компонентов при производстве растительных мясозаменителей, а пшеницы (глютен/клейковина) и кукурузы – как функциональных структурообразующих добавок.*

Ключевые слова: *растительный белок; белковый изолят; физико-химические свойства; аминокислотный профиль; мясозаменитель.*

L. Murat*, B. Shaimenova, D. Aitmuhambetov, G. Ospankulova
S. Seifullin Kazakh Agrotechnical Research University,
010000, Republic of Kazakhstan, Astana, Zhenis Avenue, 62
*e-mail: linaraazamatkyzy@mail.ru

PHYSICOCHEMICAL PROPERTIES OF PROTEIN ISOLATES FROM LEGUME AND CEREAL CROPS AND THEIR APPLICATION IN MEAT ANALOGUE PRODUCTION

This article presents a comprehensive evaluation of protein isolates derived from pea, soy, wheat, and corn, including their yield, chemical composition, physicochemical and colorimetric characteristics (CIE Lab), and amino acid profiles. Proteins were obtained via alkaline extraction (0.1 M NaOH, pH 9, 30°C, 60 min). Extraction efficiency was high across all samples (83.25-85.21%); the highest yields were recorded for soy (31.1%) and pea (21.23%). The protein mass fraction in the isolates ranged from 69.37% to 79.36%; fat content was lowest in soy (0.12%), whereas the carbohydrate fraction was elevated in the wheat isolate (19.2%). Bulk and tapped densities for the wheat isolate (0.52 g/mL and 0.73 g/mL, respectively) indicate a favorable potential for forming a fibrous, meat-like texture. Color analysis confirmed high lightness across all isolates (L* = 80.15-85.47). Based on amino acid profiles, pea and soy isolates exhibited more balanced compositions (higher lysine and arginine), whereas lysine was limiting in corn (zein) and wheat. These findings substantiate the use of soy and pea proteins as base components for plant-based meat analogues, with wheat (gluten) and corn serving as functional structure-forming additives.*

Key words: *plant protein; protein isolate; physicochemical properties; amino acid profile; CIE Lab*; meat analogue.*

Авторлар туралы мәліметтер

Линара Азаматқызы Мурат* – «Тамақ және қайта өңдеу өндірістерінің технологиясы» кафедрасының докторанты, С. Сейфуллин атындағы Қазақ агротехникалық зерттеу университеті, Астана қаласы, Қазақстан Республикасы; e-mail: linaraazamatkyzy@mail.ru. ORCID: https://orcid.org/0000-0001-5684-0621.

Бахыт Сайлауовна Шайменова – «Тамақ және қайта өңдеу өндірістерінің технологиясы» кафедрасының докторанты, С. Сейфуллин атындағы Қазақ агротехникалық зерттеу университеті, Астана қаласы, Қазақстан Республикасы; e-mail: bshaymenova@mail.ru. ORCID: https://orcid.org/0000-0001-5472-036X.

Даулет Какижанович Айтмухамбетов – ауыл шаруашылық ғылымдарының кандидаты, С. Сейфуллин атындағы Қазақ агротехникалық зерттеу университеті, Астана қаласы, Қазақстан Республикасы; e-mail: daulet-kerei@mail.ru. ORCID: https://orcid.org/0000-0002-8178-3080.

Гульназым Хамитовна Оспанкулова – биология ғылымдарының кандидаты, «Тамақ және қайта өңдеу өндірістерінің технологиясы» кафедрасының қауымдастырылған профессор м.а., С. Сейфуллин атындағы Қазақ агротехникалық зерттеу университеті, Астана қаласы, Қазақстан Республикасы; e-mail: bulashevag@mail.ru. ORCID: https://orcid.org/0000-0002-6043-4658.

Сведения об авторах

Линара Азаматқызы Мурат* – докторант кафедры «Технологии пищевых и перерабатывающих производств»; Казахский агротехнический исследовательский университет им. С. Сейфуллина, г. Астана, Республика Казахстан; e-mail: linaraazamatkyzy@mail.ru. ORCID: https://orcid.org/0000-0001-5684-0621.

Бахыт Сайлауовна Шайменова – докторант кафедры «Технологии пищевых и перерабатывающих производств», Казахский агротехнический исследовательский университет им. С. Сейфуллина; г. Астана, Республика Казахстан; e-mail: bshaymenova@mail.ru. ORCID: https://orcid.org/0000-0001-5472-036X.

Даулет Какижанович Айтмухамбетов – кандидат сельскохозяйственных наук, Казахский агротехнический исследовательский университет им. С. Сейфуллина, г. Астана, Республика Казахстан; e-mail: daulet-kerei@mail.ru. ORCID: https://orcid.org/0000-0002-8178-3080.

Гульназым Хамитовна Оспанкулова – кандидат биологических наук, и.о. ассоциированного профессора кафедры «Технологии пищевых и перерабатывающих производств», Казахский агротехническийисследовательский университет им. С. Сейфуллина, г. Астана, Республика Казахстан; e-mail: bulashevag@mail.ru. ORCID: https://orcid.org/0000-0002-6043-4658.

Information about the authors

Linara Murat* – Doctoral student at the Department of «Food and Processing Production Technologies», S. Seifullin Kazakh Agro Technical Research University, Astana, Republic of Kazakhstan; e-mail: linaraazamatkyzy@mail.ru. ORCID: https://orcid.org/0000-0001-5684-0621.

Bakhyt Shaimenova – Doctoral student at the Department of «Food and Processing Production Technologies», S. Seifullin Kazakh Agro Technical Research University, Astana, Republic of Kazakhstan; e-mail: bshaymenova@mail.ru. ORCID: https://orcid.org/0000-0001-5472-036X.

Daulet Aitmuhambetov – Candidate of Agricultural Sciences, S. Seifullin Kazakh Agro Technical Research University, Astana, Republic of Kazakhstan; e-mail: daulet-kerei@mail.ru. ORCID:https://orcid.org/0000-0002-8178-3080.

Gulnazym Ospankulova – Candidate of Biological Sciences, Acting Associate Professor at the Department of «Food and Processing Production Technologies», S. Seifullin Kazakh Agro Technical Research University, Astana, Republic of Kazakhstan; e-mail: bulashevag@mail.ru. ORCID: https://orcid.org/0000-0002-6043-4658.

Редакцияға енуі 22.09.2025
Өңдеуден кейін түсуі 01.10.2025
Жариялауға қабылданды 03.10.2025

https://doi.org/10.53360/2788-7995-2025-4(20)-39

BY 4.0
Check for updates

ҒТАХР: 65.33.35

С.Д. Мусаева[1]*, Г.Т. Туменова[2], С.Н. Туменов[3]
[1]М. Әуезов атындағы Оңтүстік Қазақстан университеті,
1600018, Қазақстан Республикасы, Шымкент қ., Тәуке хан даңғылы, 5
[2]М. Козыбаев атындағы Солтүстік-Қазақстан мемлекеттік университеті,
150000, Қазақстан Республикасы, Петропавловск қ., Жумабаев, 114
[3]Қазақстан өндеу және тамақ өнеркәсібі ғылыми-зерттеу институты,
050060, Қазақстан Республикасы, Алматы қ., Гагарин даңғылы, 238 «Г»
*e-mail: saltanat_mussayeva@yahoo.com

СОЯ ИЗОЛЯТЫ МЕН ҚАРА БИДАЙ КЕБЕГІН ГЕРОДИЕТИКАЛЫҚ КОНДИТЕРЛІК ӨНІМДЕРДЕ ҚОЛДАНУ

Аңдатпа: *Қазақстанда және әлем бойынша қарт адамдар үлесінің артуына байланысты олардың физиологиялық қажеттіліктеріне сәйкес келетін мамандандырылған функционалдық тағам өнімдерін әзірлеу қажеттілігі туындап отыр. Осы жұмыста соя изолятын және қара бидай кебегін пайдалана отырып, геродиетикалық мақсаттағы қантты печенье жасау мүмкіндігі қарастырылды. Дайындалған үлгілердің органолептикалық және физика-химиялық көрсеткіштері талданды, сондай-ақ енгізілген компоненттердің дайын өнімнің дәмдік және құрылымдық қасиеттеріне әсері зерттелді. Зертте жұмыста келесі үлгілер пайдаланылды: № 1 үлгі: 90% I сұрыпты бидай ұны + 5% қара бидай кебегі + 5% соя изоляты; № 2 үлгі: 85% I сұрыпты бидай ұны + 10% қара бидай кебегі + 5% соя изоляты; № 3 үлгі: 85% I сұрыпты бидай ұны + 5% қара бидай кебегі + 10% соя изоляты және бақылау ретінде I сұрыпты бидай ұнын қолдандық. Зерттеу нәтижелері бойынша оңтайлы қатынас – 10% қара бидай кебегі мен 5% соя изолятын қосу болып табылды, бұл теңгерімді құрамды қамтамасыз етіп, тұтынушылық сапаларды жақсартады. Аталған ингредиенттерді қосу өнімнің ақуыз және тағамдық талшық мөлшерін арттыруға ықпал етеді, бұл печеньені қарт жастағы адамдар үшін пайдалы етеді. Геродиетикалық ұннан жасалған өнімдерді әзірлеу қарт адамдардың денсаулығы мен өмір сүру сапасын қолдауға бағытталған қолжетімді әрі функционалдық тағамдарды жасауға мүмкіндік береді.*

Түйін сөздер: *ұнды кондитер өнімдері, қантты печенье, геродиетикалық тамақтану, соя изолятты, қара бидай кебегі, композиттік қоспа.*

Кіріспе

Дүниежүзілік денсаулық сақтау ұйымының деректеріне сәйкес, 2050 жылға қарай әлем халқының 20%-дан астамы 60 жастан асқан болады. Бүгінгі таңда Қазақстан Республикасында өмір сүру ұзақтығының артуы байқалып, бұл егде жастағы азаматтар санының едәуір өсуіне алып келуде. 2024 жылдың басында Қазақстанда 60 жастан асқан 2,7 миллионнан астам адам өмір сүрді. Жыл ішінде қарт адамдар саны 4,2%-ға артты, ал соңғы онжылдықта бұл көрсеткіш орта есеппен жыл сайын 4,4%-ды құрады. Бұл геродиетикалық тағам өнімдеріне деген сұраныстың артуына және олардың өндірісін жолға қою қажеттілігіне алып келеді [1, 2].

Қазіргі уақытта әртүрлі елдердегі гериатриялық тамақтанудың мақсаттары мен даму бағыты қарт адамдардың тағамдық қажеттіліктері мен ерекшеліктерін қанағаттандыруға негізделеді. Гериатриялық тағам өнімдерін әзірлеу егде жастағы адамдарды теңгерімді және құнарлы тағаммен қамтамасыз етуге мүмкіндік береді, бұл олардың денсаулығын, әл-ауқатын және өмір сүру сапасын сақтауға септігін тигізеді. Сонымен қатар, қарт адамдар мен олардың отбасыларын дұрыс тамақтанудың маңыздылығы туралы оқыту мен ақпараттандыруды жалғастыру өте маңызды [2-4].

Қарттар үлесінің артуы тенденциясын ескере отырып, осы тұтынушылар тобының ерекше қажеттіліктерін қанағаттандыратын және қауіпсіздікті қамтамасыз ететін арнайы өнімдерді жасау аса маңызды мәселеге айналуда. Егде жастағы адамдар көбінесе ас қорыту мәселелерімен, созылмалы аурулармен және әлсіреген иммундық жүйемен бетпе-бет келеді, бұл тағам өнімдерінің сапасы мен қауіпсіздігіне ерекше назар аударуды қажет етеді [5-7].

Қантты печеньенің гериатриялық бағыттағы өндірісінің қазіргі жағдайы бірқатар ерекшеліктерімен сипатталады. Біріншіден, мұндай өнімді дайындауда ингредиенттерді таңдау мен өнім құрамына ерекше назар аударылады. Мысалы, өсімдік ақуызының мөлшері

жоғары өнімдер қолданылуда. Шетелдік зерттеушілердің пікірінше, өсімдік текті ақуызды тұтыну жамбас сүйектерінің сыну қаупін жануар ақуызымен салыстырғанда төмендетеді.

Екіншіден, қарт адамдардың қажеттіліктері мен дәрігерлердің ұсынымдарын ескере отырып, өндірушілер диеталық бағыттағы өнімдердегі қант мөлшерін азайтуға тырысуда. Үшіншіден, егде жастағы адамдарда шайнау және жұту қиындықтары кездесетіндіктен, өнімнің құрылымы мен консистенциясына ерекше көңіл бөлінеді. Мұндай печеньелер жұмсақ, қытырлақ немесе ауызда оңай еритін етіп дайындалады, бұл тұтыну процесін ыңғайлы етеді.

Сонымен қатар, арнайы мақсаттағы өнім өндірушілері сапа мен қауіпсіздіктің қатаң стандарттарын ұстанады. Бұл тамақ өнімдерін өндіру ережелері мен нормаларын сақтау, ингредиенттердің сапасын тексеру және өнімнің ұзақ сақталуын қамтамасыз ету сияқты аспектілерді қамтиды [8-11]. Жалпы, жер шары халқының жедел қартайып келе жатқанын ескере отырып, арнайы қасиеттері бар ұннан жасалған кондитерлік өнімдерді гериатриялық бағытта өндіру – тамақ өнеркәсібіндегі өзекті әрі келешегі зор бағыттардың бірі болып саналады.

Зерттеу әдістері

Барлық қолданылған бидай ұны үлгілері келесі көрсеткіштер бойынша талданды: ылғалдылық, қышқылдылық, клейковина мөлшері мен сапасы. Ұнның ылғалдылығы МЕМСТ 9404-60 бойынша арбитраждық әдіспен анықталды. Қышқылдылығы МЕМСТ 9404-60 және МЕМСТ 27493-87 бойынша фенолфталеин қосу арқылы титрлеу әдісімен зерттелді. Өнімнің қышқылдығы мен сілтілігін өлшеу МЕМСТ 5898 бойынша pH-метр арқылы жүргізілді.

Ақуыз мөлшері арнайы химиялық реактивтер мен анализаторлар көмегімен анықталды. Печенье мен қамырдағы май мөлшері экстракциялық немесе гравиметриялық әдістер арқылы есептелді.

Клейковина мөлшері мен қасиеттері МЕМСТ 9404-60 және [12]-ші әдеби дереккөзде келтірілген әдістеме бойынша бағаланды. Органолептикалық бағалау МЕМСТ 5897 стандартына сәйкес жүргізілді — бұл печенье мен қамырдың сыртқы түрі, түсі, формасы, құрылымы және ақаулардың болуы сияқты қасиеттерге баға беру арқылы іске асты.

Негізгі зерттеулер М. Әуезов атындағы Оңтүстік Қазақстан университетінің «Тамақ инженериясы» кафедрасының (Шымкент қаласы) зертханалық базасында жүргізілді.

Зерттеу нәтижелері

Геродиетикалық мақсаттағы қантты печенье алу мақсатында біз өнімге қажетті қасиеттер беру үшін қосымша шикізат ретінде қара бидай кебегі мен соя изолятын зерттедік.

Зерттеу процесінде басшылыққа алынған негізгі құжаттар – МЕМСТ 7170-2017 «Қара бидай кебегі. Техникалық шарттар» және МЕМСТ 31388-2009 «Соядан жасалған тағамдық өнімдер. Техникалық шарттар» болды. Қара бидай кебегі мен соя изолятының органолептикалық көрсеткіштері 1-кестеде келтірілген.

Кесте 1 – Қара бидай кебегі мен соя изолятының органолептикалық көрсеткіштері

Көрсеткіштер	Қара бидай кебегі	Соя изоляты
Түсі	Сұр, қоңырлау реңкімен	Сары, сұр реңкімен
Иісі	Кебекке тән иісі, бөгде иістерсіз, көгермеген, көнірмеген	Нан иісімен, бұршақ иісіссіз
Дәмі	Кебекке тән дәмі, бөтен дәмсіз, қышқыл емес, ащы емес	Нан дәмімен, бұршақ дәмінсіз. Әлсіз қышқылтым дәмге жол беріледі
Консистенциясы	Құрғақ, ұнтақ тәрізді, тығыз кесектерсіз	Ұсақ тартылған ұнтақ

Шетелдік иістер мен дәмдер барлық үлгілерде анықталған жоқ. Аталған құжатқа сәйкес «СибДар» сауда маркасының қара бидай кебегінің органолептикалық көрсеткіштері бұл өнімге қойылатын талаптарға толық сәйкес келеді.

Қара бидай кебегі мен соя изолятының физика-химиялық көрсеткіштері 2-кестеде көрсетілген.

Соя изолятының физика-химиялық қасиеттерін зерттеу нәтижелері оның құрамындағы ақуыз мөлшері I сортты бидай ұнымен салыстырғанда 7,8 есе жоғары екенін көрсетті.

Сондай-ақ, қара бидай кебегіндегі тағамдық талшықтар мөлшері дәстүрлі технологияда қолданылатын бидай ұнымен салыстырғанда 7,4 есе көп.

Кесте 2 – Қара бидай кебегі мен соя изолятының физика-химиялық көрсеткіштері

Көрсеткіштер	Қара бидай кебегі	Соя изоляты	I сұрып бидай ұны
Ылғалдылығы, %	13,2	5,3	14,0
Қышқылдылығы, Т	5,6	6,3	3,2
Ақуыз, %	11,2	83,4	10,6
Майлар, %	3,2	3,3	1,1
Көмірсулар,%: крахмал талшықтар	7,5 43,6	- -	67,1 5,8
Күлділігі , %	3,4	3,6	0,75
Энергетикалық құндылығы, ккал	221	335	330

Қара бидай кебегінің ылғалдылығы кептіру процесінен кейін 13,2%-ды құрады, ал титрленетін қышқылдылығы – 5,6 Тернер градусы, бұл МЕМСТ талаптарына толық сәйкес келеді. Осылайша, соя изоляты – қантты печеньенің ақуыз құрамын арттыру үшін тиімді компонент, ал қара бидай кебегінің тағамдық талшықтары ішек перистальтикасын жақсартып, ішек микрофлорасындағы пайдалы бактерияларға субстрат ретінде қызмет ете алады.

Айта кету керек, қара бидай кебегі мен соя изолятын әртүрлі қатынаста қолдану дайын өнімнің қасиеттеріне айтарлықтай әсер етуі мүмкін. Сондықтан қантты печеньенің геродиетикалық нұсқасын әзірлеу үшін алдымен рецептура құрамын нақты анықтау қажет.

Геродиетикалық бағыттағы қантты печеньеге арналған соя изоляты мен қара бидай кебегінің оңтайлы қатынасын анықтау мақсатында біз үш үлгіні зерттедік:
Үлгі №1: 90% I сортты бидай ұны + 5% қара бидай кебегі + 5% соя изоляты;
Үлгі №2: 85% I сортты бидай ұны + 10% қара бидай кебегі + 5% соя изоляты;
Үлгі №3: 85% I сортты бидай ұны + 5% қара бидай кебегі + 10% соя изоляты;
Бақылау үлгісі: 100% I сортты бидай ұны.

Геродиетикалық бағыттағы печеньенің органолептикалық талдауы оның дәмі, хош иісі, құрылымы және сыртқы келбетін бағалау үшін қажет. Бұл өнімнің сапа стандарттарына және тұтынушылардың талғамына, әсіресе арнайы диеталық талаптарды ескере отырып, сәйкес келуін қамтамасыз етуге көмектеседі. Мұндай талдау ауытқуларды анықтауға, дәм мен иіс бойынша мәселелердің алдын алуға және өнімнің тартымдылығы мен қауіпсіздігін қамтамасыз етуге мүмкіндік береді.

Органолептикалық бағалау 5 дегустатордың қатысуымен жүргізілді. Бағалау әр үлгінің құрамында қандай қоспалар бар екендігі көрсетілмей, тек нөмірлері арқылы жүргізілді. Әр дегустатордың жеке талғамдық ерекшеліктері бар екенін ескеру қажет. Сонымен қатар, барлық дегустаторлар печеньенің тым тәтті емес екенін атап өтті.

Қара бидай кебегі мен соя изолятын қолданудың қантты печеньенің органолептикалық қасиеттеріне әсер ету нәтижелері 3-кестеде көрсетілген.

Кесте 3 – Қантты печеньенің органолептикалық қасиеттері

Көрсеткіштер	Бақылау	Үлгі № 1	Үлгі № 2	Үлгі № 3
Формасы	Дұрыс	Дұрыс	Дұрыс	Шеттері жайылып кеткен
Беткі қабатының күйі	Тегіс, ойықтар мен жарықтарсыз	Тегіс, ойықтар мен жарықтарсыз	Біршама ойықтар бар	Тегіс, шұңқырлар мен жарықтарсыз
Сынық бетінің көрінісі	Біркелкі кеуектілік, араласпаған материалдың бос жерлері немесе іздері жоқ	Біркелкі кеуектілік, араласпаған материалдың бос жерлері немесе іздері жоқ	Біркелкі кеуектілік, араласпаған материалдың бос жерлері немесе іздері жоқ	Біркелкі кеуектілік, араласпаған материалдың бос жерлері немесе іздері жоқ
Түсі	Тегіс алтын түс	Тегіс, ең күңгірт түсті	Тіпті қосындылары бар қара алтын түсті	Қосындылары бар тегіс алтын түсті
Иісі	Өнім түріне сәйкес	Айқын қара бидай хош иісімен	Қара бидай ұнының жеңіл хош иісімен	Аздап соя хош иісі бар
Дәмі	Өнім түріне сәйкес	Айқын	Аздап сықырлаған дыбыс	аздап бұршақ дәмі бар

Бақылау үлгісі №1 үлгімен салыстырғанда жақсы деп танылды, бірақ дәмдік әртүрлілігімен ерекшеленбейді. Барлық 5 дегустатор №2 үлгіні (10% қара бидай кебегі – әрі қарай ҚБК және 5% соя изоляты – әрі қарай СИ) ең үздік деп бағалады. Дегустаторлар кебек мөлшері оңтайлы екенін, енгізілген дәмдеуіштердің (даршын мен кардамон) иісі мен дәмін басып тастамайтынын, печенье бетінде көрінетін кебек бөлшектері болатынын атап өтті. Соя изолятын дәмі әлсіз білінеді, құрылымында «жабысқақтық» байқалмайды.

Ал № 3 үлгіде (5% ҚБК және 10% СИ) кебек дәмі әлсіз білінеді, ал соя изолятын көп мөлшерде енгізу қамырдың біркелкі араласуына кедергі келтіріп, қамырдың көтерілуін қиындатады. Сынық жерінде ауа кеуектері жоқ. Печенье қатты.

Сахар печеньесінің сілтілік көрсеткіші мен жібіп кету қабілетінің зерттеу нәтижелері 4-кестеде келтірілген.

Кесте 4 – Соя изолятын және қара бидай кебегін пайдалана отырып, қант печеньелерінің салыстырмалы физика-химиялық талдауы

Көрсеткіштері	Бақылау	Үлгі № 1	Үлгі № 2	Үлгі № 3
Сілтілігі ^{0}	2	1,9	1,84	1,89
Суды сіңіруі, %	185	190	202	187
Ылғалдылығы , %	9,8	9,7	9,5	9,2

Зерттеу нәтижелері барлық үлгілерде сілтілік көрсеткішінің бақылау үлгісіне қарағанда 5-8% шамасында сәл төмендегенін көрсетті. Сахар печеньесінің су сіңіру көрсеткіші өнімнің кеуектілігін сипаттайды. Зерттелген №1-3 үлгілерінде бұл көрсеткіш тиісінше 2,7%, 9,1% және 1,1%-ға артты. Ең жақсы нәтиже № 3 үлгіде байқалды, бұл дайын өнімнің тұтынушылық қасиеттерінің жақсарғанын көрсетеді. Сахар печеньесінің намығу нормасы – кемінде 150%.

Ылғалдылық көрсеткіші № 3 үлгіде 6,1%-ға төмендеген, бұл қара бидай кебегінің бидай ұнына қарағанда ылғалдылығының төмен екенін дәлелдейді.

МЕМСТ 24901-2014 «Печенье» стандартына сәйкес барлық үлгілер норматив талаптарына сай келеді. Органолептикалық және физика-химиялық көрсеткіштер бойынша ең жақсы нәтиже № 2 үлгі көрсетті. Осыған байланысты, кейінгі зерттеулер тек екі үлгіні: бақылау үлгісі мен № 2 үлгіні (85% пшеничный ұн + 10% қара бидай кебегі + 5% соя изоляты) салыстыру арқылы жүргізілді.

Бидай ұнның және композициялық қоспаның салыстырмалы талдауы 5-кестеде келтірілген.

Кесте 5 – Ұндардың салыстырмалы физико-химиялық анализі

Көрсеткіштер	Зерттеу нәтижелері	
	I сұрып бидай ұны	Үлгі № 2
Ылғалдылығы, %	13,81	13,03
Ақуызы, %	15,27	17,42
Желімшесі, %	32,16	28,21
Күлділігі, %	0,81	0,83
Қышқылдылығы, pH-150МИ, pH	6,82	6,75
Қышқылдылығы, град.	4,2	4,4

«Granum» сауда маркасындағы I сортты бидай ұны мен № 2 композиттік қоспа ұнның екі нұсқасы зерттелді. Салыстырмалы деректер инфрақызыл құралының көмегімен алынды.

Композиттік қоспалардың ылғалдылығы төмен болғаны байқалды, бұл қара бидай кебегінің (13,22%) және соя изолятының (5,3%) төмен ылғалдылығымен байланысты. Ал бидай ұнының ылғалдылығы жоғарырақ болды.

Композиттік қоспалар үлгілерінде ақуыз мөлшері I сортты бидай ұнымен салыстырғанда 14,0%-ға артқан. Бұл – соя изолятының жоғары ақуыздылығына байланысты.

Алайда, инфрақызыл құрылғысы тек ұн өнімдерін зерттеуге арналған, сондықтан соя немесе қара бидай кебегі сияқты компоненттері бар үлгілерге қатысты деректердің дәлдігі шектеулі болуы мүмкін – бұл құрылғының калибровка бағдарламасының шектеулеріне байланысты.

Желімше мөлшерінің төмендеуі соя изоляты мен қара бидай кебегін қосудың салдары болып табылады, өйткені бұл компонентті қоспалардың құрамында глютен мөлшері төмен.

Күлдің мөлшер қара бидай кебегінің жоғары минералдық құрамына байланысты артқан. Қышқылдық көрсеткіші де жоғарылады, бұл қара бидай кебегінің қышқыл ортасы әсерінен туындаған.

Ғылыми нәтижелерді талқылау

Геродиетикалық бағыттағы қантты печенье өндірудің болашағы – егде жастағы адамдардың қажеттіліктері мен талғамдарын әрі қарай зерттеу, сондай-ақ инновациялық рецептуралар мен өндірістік технологияларды әзірлеумен тығыз байланысты. Сонымен қатар, салауатты өмір салты туралы түсініктің артуы және егде жастағы адамдардың арнайы тамақ өнімдеріне деген сұранысы – геродиетикалық қантты печеньенің жаңа дәмдік және функционалдық түрлерін әзірлеуге мүмкіндік береді.

Адам жасы ұлғайған сайын ағзада бірқатар физиологиялық өзгерістер орын алады, бұл өз кезегінде тағамдық қажеттіліктерге әсер етеді: мысалы, зат алмасу баяулайды, ақуыздардың сіңірілуі төмендейді, тағамдық талшықтар мен витаминдердің жетіспеушілігі жиі кездеседі. Сондықтан, құрамында өсімдік текті ақуыздар мен тағамдық талшықтар бар өнімдерді күнделікті рационға енгізу – егде жастағы адамдардың денсаулығын сақтау үшін маңызды стратегия болып табылады.

Аталған зерттеуде қолданылған соя изоляты 83,4% ақуыздан тұрады, бұл бұлшықет массасын сақтау және саркопенияның алдын алу үшін қажетті аминқышқылдарының құнды көзі ретінде бағаланады. Ал қара бидай кебегі тағамдық талшықтарға бай, бұл ішек қызметін қалыпқа келтіруге және жалпы метаболизмді жақсартуға септігін тигізеді.

Осы екі компонентті қантты печенье рецептурасына біріктіру – егде жастағы адамдардың физиологиялық қажеттіліктеріне жауап беретін өнім жасауға мүмкіндік береді. Ақуыз мөлшерін арттыру – соя изолятын қосу арқылы жүзеге асырылады. Ал қара бидай кебегі – құрамындағы талшықтар арқылы ішек перистальтикасын жақсартып, тәбетті реттейді және жеңіл іш жүргізетін әсерге ие.

Жоғарыда келтірілген мәліметтерге сүйене отырып, соя изолятын және қара бидай кебегін геродиетикалық мақсаттағы ұннан жасалған кондитерлік өнімдерді әзірлеу үшін пайдалануға болады және ұсынылады.

Соя изоляты мен қара бидай кебегінің оңтайлы мөлшерін анықтау мақсатында бірқатар зертханалық пісіру жұмыстары жүргізілді. Зерттеу нәтижелері 3 және 4-кестелерде келтірілген. Талдау нәтижелері көрсеткендей, I сұрып бидай ұнның 10%-ын қара бидай кебегімен алмастырған жағдайда (№ 2 үлгі) дайын өнімнің органолептикалық көрсеткіштері бақылау үлгісінен еш айырмашылығы болмағанын көрсетті, тек қара бидай кебегінің ұсақ бөлшектері өнім бетінде байқалды.

Соя изолятының мөлшері көп болған үлгіде (№ 3 үлгі) пішіннің өзгеруі байқалды – шеттері жайылып кеткен, анық емес формалар пайда болды. Сондай-ақ, жеңіл соя иісі сезіліп, печеньенің көтерілу деңгейі төмендеді және болмашы қытырлақтық пайда болды. Зерттеу барысында құрылған дегустациялық комиссия ең жақсы үлгі ретінде 10% қара бидай кебегі және 5% соя изолятынан тұратын № 2 үлгіні анықтады. Бұл үлгі барлық органолептикалық көрсеткіштер бойынша мемлекеттік стандарт талаптарына толық сәйкес келеді.

Композиттік қоспа мен бидай ұнды салыстырмалы зерттеу нәтижелері композиттік қоспаның ақуыз мөлшерінің жоғары екенін және оны геродиетикалық қантты печенье дайындау рецептурасына қолдануға болатынын дәлелдеді. Соя изоляты мен қара бидай кебегін қосу өнімнің тағамдық құндылығын айтарлықтай арттырды. Дәстүрлі қантты печеньемен салыстырғанда, байытылған үлгі құрамында:

– ақуыз бен тағамдық талшықтар мөлшері едәуір жоғары болды,

– бұл егде жастағы адамдар үшін пайдалы өнім ретінде бағалауға мүмкіндік береді;

Зерттеу нәтижелері қара бидай кебегі мен соя изолятын геродиетикалық печенье өндірісінде пайдалану тиімді екенін көрсетті. Алайда, рецептура мен технологияны одан әрі жетілдіру үшін төмендегідей жұмыстар жүргізу қажет:

– ингредиенттердің түрлі комбинацияларының өнімнің құрылымдық қасиеттеріне әсерін қосымша зерттеу;

– әртүрлі термиялық өңдеу әдістерінің печеньенің тағамдық құндылығына әсерін бағалау;

– өнімнің функционалдық қасиеттерін жоғалтпай, сақтау мерзімін ұзартудың әдістемесін әзірлеу.

Қорытынды

Әлемдік тәжірибе көрсетіп отырғандай, геродиетикалық тамақтану адамның жасына байланысты физиологиялық өзгерістеріне бейімделіп, ағзаға қажетті қоректік заттарға бай әрі жеңіл сіңетін болуы тиіс. Сонымен қатар, егде жастағы адамдардың жеке қажеттіліктері мен талғамдарын ескеру маңызды. Қазақстандық тұтынушылардың күнделікті тамақтануында ұннан жасалған кондитерлік өнімдердің орны ерекше. Осыған байланысты, қара бидай кебегі мен соя изолятын қосу арқылы әзірленген геродиетикалық печенье – егде жастағы адамдардың тамақтануын жетілдіру бағытында келешегі зор бағыт болып табылады.

Зерттеу нәтижелері көрсеткендей, бұл компоненттерді пайдалану өнімнің тағамдық құндылығын арттыруға, ақуыз бен тағамдық талшықтар мөлшерін көбейтуге, сондай-ақ органолептикалық қасиеттерін жақсартуға мүмкіндік береді. Алдағы уақытта жүргізілетін зерттеулер өнімнің рецептурасы мен өндіріс технологиясын жетілдіруге, оны одан әрі пайдалы әрі тұтынушы үшін қолжетімді етуге жол ашады.

Әдебиеттер тізімі

1. Ivanova A.R. Social protection of citizens and the provision of social rights during the coronavirus infection period: advantages and disadvantages / A.R. Ivanova // Science through the prism of time. – 2021. – № 7. – P. 44-48.
2. Gutova M.I. Development prospects of the fortified children's biscuits market / M.I. Gutova, A.V. Novikova // Food Innovations and Biotechnologies. – 2017. – P. 483-484.
3. Watanabe S. Longevity and elderly care: the Japanese experience / S. Watanabe, S. Kodama, H. Hanabusa // Global Health Journal. – 2018. – Vol. 2, № 4. – P. 5-10.
4. Dickinson A. «Meals-on-wheels» services and food security among the elderly / A. Dickinson, W. Wills // Public Health and Social Care in Society. – 2022. – Vol. 30, № 6. – P. 6699-6707.
5. Arnold M. Functional nutrition enriched with antioxidants and calcium derived from eggshells – for reducing the risk of osteoporosis in the elderly / M. Arnold, Y.V. Rajagukguk, A. Gramza-Michalowska // Foods. – 2021. – Vol. 10, № 3. – P. 656.
6. Halder T. Trends in the functional food products market and the development of nutraceutical products / T. Halder, P. Mehta, N. Acharya // Anti-aging Nutraceuticals. – CRC Press, 2021. – P. 1-26.
7. Recommendations for the development of functional food products for the elderly / H. Cummins et al // Proceedings of the Nutrition Society. – 2017. – Vol. 76, № 3. – P. 84.
8. Recent advances in the consumption of functional foods by the elderly: a brief review / A. Jendrusek-Golińska et al // Comprehensive Reviews in Food Science and Food Safety. – 2020. – Vol. 19, № 2. – P. 835-856.
9. Dolmatova I.A. Wheat flour as a key factor shaping the technological properties of flour confectionery products / I.A. Dolmatova, D.V. Bezsheiko, E.V. Sedykhchenkova // Youth and Education – A Guarantee of Success – 2017. – 2017. – P. 13-16.
10. Renzyayeva T.V. Various types of flour in the technology of flour confectionery products / T.V. Renzyayeva, A.S. Tuboltseva, A.O. Renzyayev // Equipment and Technology of Food Production. – 2022. – Vol. 52, № 2. – P. 407-416.
11. Pogozheva A.V. Principles of nutrition for the elderly / A.V. Pogozheva // Clinical Gerontology. – 2017. – Vol. 23, № 11–12. – P. 74-83.
12. Puchkova L.I. Laboratory practicum on bakery production technology / L.I. Puchkova. – Moscow: Light and Food Industry, 2004 – 232 p.

S.D. Mussayeva[1]*, G.T. Tumenova[2], S.N. Tumenov[3]

[1]Auezov South Kazakhstan University,
1600018, Republic of Kazakhstan, Shymkent, Tauke khan Avenue, 5
[2]M. Kozybayev North Kazakhstan State University,
150000, Republic of Kazakhstan, Petropavlovsk, Zhumabayev, 114
[3]Kazakhstan Research Institute of Processing and Food Industry,
050060, Republic of Kazakhstan, Almaty, Gagarina Avenue, 238 «G»
*e-mail: saltanat_mussayeva@yahoo.com

THE POSSIBILITY OF USING SOY ISOLATE AND RYE BRAN FOR GERODIETIC CONFECTIONERY PRODUCTS

With the increase in the proportion of elderly people in Kazakhstan and worldwide, there is a growing need to develop specialized functional food products that meet their physiological needs. This study examines the possibility of producing sugar cookies of gerodietetic purpose using soy isolate and rye bran. The prepared samples were analyzed for organoleptic and physicochemical characteristics, and the influence of the introduced components on the taste and texture properties of the final product was studied. The following samples were used in the study: Sample No. 1: 90% wheat flour of the first grade + 5% rye bran + 5% soy isolate; Sample No. 2: 85% wheat flour of the first grade + 10% rye bran + 5% soy isolate; Sample No. 3: 85% wheat flour of the first grade + 5% rye bran + 10% soy isolate; and as a control, wheat flour of the first grade was applied. According to the research results, the optimal ratio was found to be the addition of 10% rye bran and 5% soy isolate, which ensures a balanced composition and improved consumer properties. The inclusion of these ingredients contributes to an increase in protein and dietary fiber content, making the cookies beneficial for elderly people. The development of gerodietetic flour-based products opens up opportunities for creating affordable and functional foods aimed at maintaining the health and quality of life of the elderly population

Key words: *flour confectionery, sugar biscuits, gerodietic nutrition, soy isolate, rye bran, composite mixture.*

С.Д. Мусаева[1]*, Г.Т. Туменова[2], С.Н. Туменов[3]
[1]Южно-Казахстанский университет им. Ауэзова,
1600018, Республика Казахстан, г. Шымкент, проспект Тауке хана, 5
[2]Северо-Казахстанский государственный университет имени М. Козыбаева,
150000, Республика Казахстан, г. Петропавловск, Жумабаев, 114
[3]Казахстанский научно-исследовательский институт обрабатывающей и пищевой промышленности,
050060, Республика Казахстан, г. Алматы, проспект Гагарина, 238 «Г»
*e-mail: saltanat_mussayeva@yahoo.com

ИСПОЛЬЗОВАНИЕ СОЕВОГО ИЗОЛЯТА И РЖАНЫХ ОТРУБЕЙ В ГЕРОДИЕТИЧЕСКИХ КОНДИТЕРСКИХ ИЗДЕЛИЯХ

В связи с увеличением доли пожилого населения в Казахстане и во всем мире возрастает необходимость разработки специализированных функциональных пищевых продуктов, соответствующих их физиологическим потребностям. В данной работе рассмотрена возможность производства сахарного печенья геродиетического назначения с применением соевого изолята и ржаных отрубей. Проведен анализ органолептических и физико-химических показателей разработанных образцов, а также исследовано влияние введенных компонентов на вкусовые и структурные характеристики готового изделия. В исследовании использованы следующие образцы: №1: 90% пшеничной муки I сорта + 5% ржаных отрубей + 5% соевого изолята; №2: 85% пшеничной муки I сорта + 10% ржаных отрубей + 5% соевого изолята; №3: 85% пшеничной муки I сорта + 5% ржаных отрубей + 10% соевого изолята; в качестве контроля применялась пшеничная мука I сорта.

Результаты исследований показали, что оптимальным соотношением является добавление 10% ржаных отрубей и 5% соевого изолята, что обеспечивает сбалансированный состав и улучшенные потребительские свойства. Включение данных ингредиентов способствует повышению содержания белка и пищевых волокон, что делает печенье полезным для лиц пожилого возраста. Разработка геродиетических мучных изделий открывает перспективы для создания доступных и функциональных продуктов питания, направленных на поддержание здоровья и качества жизни пожилого населения.

Ключевые слова: *мучные кондитерские изделия, сахарное печенье, геродиетическое питание, соевый изолят, ржаные отруби, композитная смесь.*

Авторлар туралы мәліметтер

Салтанат Джұматқызы Мусаева* – техникалық ғылымдар кандидаты, «Тағам нженериясы» кафедрасының қауымдастырылған профессоры; М. Әуезов атындағы Оңтүстік Қазақстан университеті, Шымкент қ., Қазақстан Республикасы; e-mail: saltanat_mussayeva@yahoo.com. ORCID: https://orcid.org/0000-0002-1430-9768.

Галия Тлеуханова Туменова – техникалық ғылымдар кандидаты, М. Қозыбаев атындағы Солтүстік Қазақстан мемлекеттік университеті, Қазақстан Республикасы. ORCID: https://orcid.org/0000-0002-0955-3520.

Серик Ниязбекович Туменов – техникалық ғылымдарының докторы, Қазақ қайта өңдеу және тағам өнеркәсібі ғылыми-зерттеу институты, Қазақстан Республикасы. ORCID: https://orcid.org/0000-0003-3086-1533.

Information about the authors

Saltanat Dzhumatkyzy Mussayeva* – Candidate of Technical Sciences, Associate Professor of the Department of Food Engineering, M. Auezov South Kazakhstan University, Shymkent, Republic of Kazakhstan; e-mail: saltanat_mussayeva@yahoo.com. ORCID: https://orcid.org/0000-0002-1430-9768.

Galiya Tleukhanovna Tumenova – Candidate of Technical Sciences, M. Kozybayev North Kazakhstan State University, Republic of Kazakhstan. ORCID: https://orcid.org/0000-0002-0955-3520.

Serik Niyazbekovich Tumenov – Doctor of Technical Sciences, Kazakh Research Institute of Processing and Food Industry, Republic of Kazakhstan. ORCID: https://orcid.org/0000-0003-3086-1533.

Информация об авторах

Салтанат Джуматкызы Мусаева* – кандидат технических наук, доцент кафедры «Пищевая инженерия»; Южно-Казахстанский университет имени М. Ауэзова, г. Шымкент, Республика Казахстан; e-mail: saltanat_mussayeva@yahoo.com. ORCID: https://orcid.org/0000-0002-1430-9768.

Галия Тлеухановна Туменова – кандидат технических наук, Северо-Казахстанский государственный университет имени М. Козыбаева, Республика Казахстан. ORCID: https://orcid.org/0000-0002-0955-3520.

Серик Ниязбекович Туменов – доктор технических наук, Казахский научно-исследовательский институт переработки и пищевой промышленности, Республика Казахстан. ORCID: https://orcid.org/0000-0003-3086-1533.

Редакцияға енуі 15.09.2025
Өңдеуден кейін түсуі 26.09.2025
Жариялауға қабылданды 01.10.2025

https://doi.org/10.53360/2788-7995-2025-4(20)-40

BY 4.0
Check for updates

МРНТИ: 62.13.27

Т.А. Мухамедов[1*], Т.А. Байбатыров[2], Н.А. Еріш[1], Г.С. Сагитова[1], З.К. Молдахметова[1]
[1]Костанайский региональный университет имени Ахмета Байтұрсынұлы
110000, Республика Казахстан, г. Костанай, ул. Байтурсынова, 47
[2]Западно-Казахстанский аграрно-технический университет имени Жангир хана
090009, Республика Казахстан, г. Уральск, ул. Жангир хана, 51
*e-mail: cheltob@mail.ru

ФОРМИРОВАНИЕ ВКУСА МЯСА В ПРОЦЕССЕ СОЗРЕВАНИЯ

Аннотация: *Созревание мяса представляет собой комплексный процесс, включающий биохимические, микробиологические и физико-химические преобразования, определяющие вкусовой профиль конечной продукции. В рамках настоящего обзора обобщены современные научные данные о влиянии различных методов посмертного созревания (влажное, сухое, модифицированные формы) и сопутствующих технологических параметров – температуры, влажности, скорости воздушного потока, продолжительности хранения – на формирование органолептических характеристик мяса. Особое внимание уделено динамике вкусообразующих соединений (аминокислоты, пептиды, сахара, нуклеотиды, липиды), микробному сообществу (Lactic acid bacteria, Pseudomonas, Debaryomyces и др.), а также взаимодействию биотических и абиотических факторов, определяющих интенсивность метаболических реакций. Рассмотрены инновационные подходы, направленные на целенаправленное изменение вкусового профиля, включая применение ультразвука, технологий sous vide, регулируемых параметров воздушной среды и контролируемой грибковой ферментации. Представлены данные метаболомного и микробиологического профилирования, подтверждающие значимость комплексного мониторинга в процессе оптимизации сенсорных свойств. Обзор подчёркивает, что стратегическое управление условиями и длительностью созревания, а также интеграция новых технологических решений, позволяют не только адаптировать вкус под запросы потребителей, но и повысить рыночную ценность даже продукции низшей категории. Полученные выводы формируют основу для разработки научно обоснованных программ по повышению качества мясной продукции.*

Ключевые слова: *созревание мяса, вкусообразующие соединения, микробиота, метаболомика, сенсорные характеристики.*

Введение

Формирование вкуса мяса – один из ключевых аспектов, определяющих его потребительскую ценность и качество. Процессы, происходящие в мышечной ткани после убоя, представляют собой сложное взаимодействие ферментативной активности, микробиологических трансформаций и физико-химических изменений, развивающихся в течение всего периода созревания. Именно в этот период формируются сенсорные характеристики, которые впоследствии раскрываются при кулинарной обработке и напрямую влияют на восприятие готового продукта.

Понимание механизмов формирования вкуса необходимо для целенаправленного повышения качества мяса. С этой целью важным инструментом выступает комплексное химико-биохимическое исследование, позволяющее выявить широкий спектр факторов, влияющих на состав, преобразование и развитие сенсорных характеристик. Основные вкусовые соединения формируются за счёт превращения липидов, белков и углеводов, а также продуктов реакции *Майяра*, активируемых нагреванием. Вкусовой профиль варьируется в зависимости от вида животного, возраста, пола, рациона кормления и особенностей обработки, отражая совокупность характеристик качества мяса.

Современные подходы включают технологии омики – метаболомики, протеомики и микробиомного анализа – для изучения молекулярных механизмов, лежащих в основе нежности, вкуса и ароматической насыщенности мяса. Дополнительное влияние оказывают методы термической обработки и инновационные технологические решения – *sous vide*, ультразвук, модулирующая микробиота. Их внедрение открывает возможности для целенаправленного управления органолептическими свойствами продукции [1].

Настоящая работа направлена на обобщение и анализ научных данных о влиянии методов и условий созревания на формирование вкусового профиля мяса с фокусом на сопряжённые биохимические, микробные и технологические факторы, определяющие качество и конкурентоспособность конечного продукта.

Цель исследования – обобщить и систематизировать данные о влиянии различных технологических параметров созревания на формирование вкуса, аромата и текстуры мяса; выявить основные биохимические и микробиологические механизмы, лежащие в основе сенсорных характеристик; оценить потенциал инновационных подходов для их целенаправленного регулирования.

Материалы и методы

Материал, представленный в данном обзоре, основан на исследовании научных публикаций. Системный поиск проводился в базах данных Scopus и Web of Science. Поиск осуществлялся по ключевым словам соответствующих статей, опубликованных в период с 2019 года по 1 августа 2025 года. Отбор проводился на основе анализа заголовков и аннотаций. Отобранные публикации подвергались комплексной оценке. Для расширения охвата литературы также вручную анализировался список ссылок из релевантных статей.

Результаты

Влияние созревания на органолептические и физико-химические характеристики мяса.

Процесс постмортемного созревания мяса оказывает решающее влияние на формирование его вкуса, аромата и текстуры, что, в свою очередь, определяет его потребительскую привлекательность. Разнообразные методы созревания, такие как сухое, влажное, комбинированное с использованием ультрафиолетовой обработки (УФ-обработки) или упаковки с высокой влагопроницаемостью, формируют уникальный биохимический и микробиологический профиль мяса, влияя на накопление вкусообразующих соединений.

Авторами [2] был исследован вклад различных методов созревания – влажного, сухого и сухого с УФ-обработкой – в формирование вкуса свиной корейки на этапе постмортемного преобразования тканей. В условиях созревания продолжительностью 21 сутки при контролируемых параметрах (2 °C, 70 % влажности, 0,8 м/с скорости воздушного потока) выявлено, что метод сухого созревания не только способствует улучшению влагоудерживающей способности мяса, но и обеспечивает накопление более широкого спектра вкусообразующих метаболитов по сравнению с влажным созреванием. Анализ метаболомики показал увеличение содержания свободных аминокислот, пептидов и других соединений, ассоциированных с мясным вкусом. При этом УФ-обработка позволила снизить микробную нагрузку без отрицательного влияния на сенсорные показатели. Таким образом,

сухое созревание, особенно в сочетании с УФ-воздействием, демонстрирует эффективность в формировании выразительного вкуса мяса и представляет интерес для повышения потребительской ценности продукции.

В дополнение к результатам, полученным на примере свинины, особое внимание в литературе уделено формированию вкуса говядины в условиях сухого созревания как одного из наиболее распространённых и технологически значимых методов постмортемного преобразования мясного сырья.

Авторами [3] рассматривается формирование вкуса говядины в ходе сухого созревания как одного из ключевых этапов постмортемной трансформации мяса, способствующего развитию его органолептических свойств. В условиях возрастающих требований потребителей к стабильности качества и выраженному вкусоароматическому профилю особое внимание уделяется влиянию факторов системы «от фермы до вилки», включая генетику, условия содержания животных, транспортировку, технологическую переработку и, в частности, созревание. Сухое созревание, несмотря на его традиционный характер, вновь приобретает значимость благодаря способности инициировать комплекс биохимических процессов в мышечной ткани, ведущих к деградации белков, накоплению свободных аминокислот и образованию летучих соединений, ответственных за вкус и аромат. Потеря влаги в процессе созревания способствует концентрации вкусовых компонентов и изменению текстуры, что усиливает вкусовое восприятие продукта. Таким образом, сухое созревание демонстрирует свою значимость как эффективный способ формирования характерного вкуса мяса, обеспечивая при этом высокую потребительскую привлекательность продукции. В продолжение темы биохимических преобразований, сопровождающих процесс созревания, рассматриваются ключевые молекулярные механизмы и метаболические пути, обеспечивающие формирование вкуса, аромата и текстуры говядины при разных методах созревания.

Авторами [4] рассматриваются биохимические и микробиологические процессы, лежащие в основе формирования вкуса мяса в процессе его созревания. В частности, обобщаются данные о влиянии трёх методов созревания – традиционного сухого, влажного в вакуумной термоусадочной упаковке и сухого в пакетах с высокой влагопроницаемостью – на развитие вкусовых, ароматических и текстурных характеристик говядины. Улучшение вкуса в процессе созревания связывают с высвобождением восстанавливающих сахаров в результате переходов гликогена и АТФ, накоплением свободных аминокислот и пептидов через протеолиз, а также деградацией нуклеотидов с образованием ИМФ, ГМФ, инозина и гипоксантина. В то же время аромат формируется за счёт летучих соединений, возникающих при термическом окислении жирных кислот и реакции *Майяра*. Изменения текстуры обусловлены разрушением миофибриллярного цитоскелета и соединительной ткани под действием эндогенных ферментов. Особое внимание уделено гипотезам о роли микроорганизмов, чья метаболическая активность может влиять на качество вкусоароматических характеристик продукта. Таким образом, процесс созревания является ключевым этапом формирования комплексного вкуса мяса и представляет значительный интерес для дальнейших исследований и оптимизации мясопереработки.

Однако органолептический профиль мяса формируется не только на стадии созревания, но и во многом зависит от условий последующей термической обработки. В этой связи заслуживает внимания исследование, посвящённое влиянию различных способов кулинарной обработки на раскрытие вкусового потенциала мяса после созревания.

Авторами [5] исследуется влияние условий тепловой обработки на формирование вкуса говядины сухого и влажного созревания в контексте процессов, происходящих в мясе после убоя. Целью работы являлось оценить, как метод и температура приготовления (запекание в духовке или жарка на гриле при 150 °C и 230 °C) воздействуют на физико-химические показатели и органолептический профиль говяжьей вырезки, созревавшей в течение 28 суток. Результаты показали, что способ приготовления не влияет на pH, однако жарка на гриле снижает показатели окисления липидов (TBARS) и усиливает степень прожаренности поверхности по сравнению с запеканием. Сенсорный анализ выявил, что приготовление на гриле усиливает выраженность жареного вкуса в говядине сухого созревания: при 150 °C наблюдается более интенсивный сырный профиль, а при 230 °C – доминирование поджаренных нот. Образцы влажного созревания, обработанные в

аналогичных условиях, характеризовались менее выраженными вкусовыми характеристиками. Таким образом, данное исследование подтверждает, что грамотный подбор параметров тепловой обработки играет важную роль в раскрытии вкусоароматического потенциала говядины сухого созревания, эффективно дополняя процессы, происходящие во время её постмортемной трансформации.

Помимо способа термообработки, на сенсорные свойства мяса оказывает значительное влияние исходное биологическое сырьё, в частности – породные особенности животных. Сравнительный анализ говядины *Chikso* и *Hanwoo* демонстрирует, как физиологические различия отражаются в ходе созревания и влияют на формирование вкусового профиля.

Исследователями [6] проведён комплексный анализ формирования вкуса мяса в ходе влажного созревания говядины пород *Chikso* и *Hanwoo* с акцентом на изменения физико-химических, метаболомных и сенсорных характеристик в течение 28 суток хранения при температуре 4 °C. Установлено, что *Chikso* демонстрирует более высокую начальную жёсткость по сравнению с Hanwoo, однако к 14-му дню различия сглаживаются. Мясо *Chikso* характеризуется повышенным содержанием вкусообразующих метаболитов, включая L-карнитин и тирозин, а также преобладанием кетонов среди летучих соединений, что указывает на его потенциал в формировании выразительного вкуса. В то время как *Hanwoo* содержит больше спиртов и альдегидов, придающих продукту выраженные ароматические ноты. Сенсорный анализ показывает, что интенсивность вкуса *Chikso* увеличивается по мере созревания, особенно после 14 суток, тогда как у *Hanwoo* отмечается рост кислотности и снижение интенсивности вкуса умами. Таким образом, результаты демонстрируют породные особенности биохимических трансформаций в процессе постмортемного созревания и подтверждают эффективность 14-дневного периода влажного хранения для акцентирования вкусовых характеристик говядины *Chikso*.

На основании анализа становится актуальным рассмотреть биохимические процессы, лежащие в основе созревания мяса. Вкусовые характеристики формируются под действием ферментативных и микробиологических преобразований, происходящих в мышечной ткани после убоя. Протеолиз, липолиз и структурные изменения белков способствуют улучшению текстуры, аромата и сочности продукта. Сравнение технологий показывает, что сухое созревание усиливает ароматическую насыщенность за счёт дегидратации и окислительных реакций, тогда как влажное созревание в условиях вакуума обеспечивает стабильную структуру и высокую сочность.

В рамках проведённой работы [7] была выполнена органолептическая оценка конины после сухого и влажного созревания продолжительностью 14 и 21 сутки. Результаты подтверждают значимое влияние метода и продолжительности созревания на вкусовые свойства. Образцы с 21 сутками созревания отличались более выраженной текстурой, интенсивным ароматом и сочностью, что подчёркивает эффективность продлённого периода постмортемной трансформации мышечной ткани.

Дополнительно был проведён физико-химический анализ [8]. Существенных различий в органолептических показателях не выявлено, однако зафиксировано умеренное повышение содержания белка и жира у конины, созревавшей во влажной среде. Подобная динамика указывает на стабильность качества и соответствие нормативным требованиям при различных технологических подходах.

Представленная таблица 1 обобщает ключевые технологические и микробиологические факторы, влияющие на вкусоароматический профиль мяса, тем самым дополняя системное представление о многоуровневом характере этого процесса. Сравнение результатов демонстрирует, что формирование вкуса мяса представляет собой сложный многоуровневый процесс. Он зависит от метода созревания (влажного, сухого, модифицированного), параметров термической обработки, биохимического состава сырья и микробной среды. Наиболее значимыми переменными выступают взаимодействия между биохимическими реакциями и микробиотой, регулируемые температурой, влажностью, продолжительностью и уровнем воздухообмена. Глубокое понимание взаимосвязей между указанными параметрами позволяет разрабатывать усовершенствованные стратегии созревания, направленные на улучшение сенсорных характеристик и повышение рыночной ценности мясной продукции. Такой системный подход создаёт предпосылки для

совершенствования технологических решений в мясоперерабатывающей отрасли, ориентированных на выпуск стабильной по качеству и конкурентоспособной продукции.

Таблица 1 – Влияние факторов и методов созревания на сенсорные характеристики мяса

№	Метод / Фактор	Объект исследования	Ключевые условия	Основные результаты / влияние	Источник
1	Сухое, влажное, сухое с УФ	Свинина, корейка	21 сут., 2 °C, 70 % RH, 0.8 м/с	Сухое и УФ-созревание → ↑ вкусовые метаболиты, ↓ микробная нагрузка	[2]
2	Сухое созревание	Говядина	Общие условия	Интенсификация протеолиза, потеря влаги, ↑ вкусовая насыщенность	[3]
3	Сухое, влажное, DWA	Говядина	—	Переходы гликогена → сахара, ↑ аминокислоты, ИМФ, летучие соединения	[4]
4	Запекание vs. гриль	Говядина (вырезка)	150 °C и 230 °C, 28 суток созревания	Гриль → выраженный жареный вкус, более яркие сенсорные профили	[5]
5	Породные особенности	Говядина (Chikso, Hanwoo)	28 суток, влажное созревание при 4 °C	Chikso: ↑ умами, ↑ L-карнитин; Hanwoo: ↑ аромат (альдегиды, спирты)	[6]
6	Сухое и влажное, разная длительность	Конина	14 и 21 сутки	21 сут. → ↑ текстура, ↑ аромат и сочность	[7]
7	Физико-химический анализ	Конина	14/21 сут., влажная среда	Незначимые органолептические отличия, ↑ содержание белка и жира	[8]

Микробиом и его роль в процессах созревания

Формирование вкуса мяса в процессе созревания обусловлено не только внутренними биохимическими изменениями, но и динамикой микробиоты, развивающейся в условиях постмортемного хранения. Современные исследования указывают на значительное влияние как бактерий, так и грибов на развитие вкуса, аромата и текстуры мяса, особенно в ходе сухого созревания.

Авторами [9] была проведена оценка пробиотического потенциала молочнокислых бактерий, выделенных из говядины Hanwoo сухого созревания, с акцентом на их возможное влияние на микробиологическое и вкусовое качество продукции. Учитывая, что сухое созревание сопровождается изменением микробного сообщества, особое внимание уделено штаммам *Lactobacillus sakei* и *Enterococcus faecalis*, обнаруженным в высокой численности. Метагеномный и функциональный анализ показал, что изолированные штаммы обладают высокой устойчивостью к кислоте и желчи, способностью к адгезии, а также выраженной антимикробной активностью в отношении патогенов. Кроме того, в модели *Caenorhabditis elegans* данные культуры продемонстрировали увеличение продолжительности жизни и повышение устойчивости организма-хозяина, что подтверждает их пробиотический потенциал. Полученные результаты открывают перспективы использования *LAB* как функциональных культур, способствующих не только обеспечению микробиологической безопасности, но и участию в формировании характерного вкуса ферментированных мясных продуктов.

Помимо бактериального звена, важный вклад в ароматическое разнообразие мяса вносит грибковая составляющая микробиома. Авторами [10] было исследовано влияние поверхностных грибов на формирование вкуса говядины, созревшей по методу сухого созревания (DAB), благодаря которому продукт приобретает выраженные органолептические свойства. Культуральные методы и метабаркодирование ITS2 рДНК позволили выявить представителей семейства *Mucoraceae* (в частности, *Mucor*, *Helicostylum*), а также *Thamnidium*. Доминирующим оказался штамм *Mucor flavus* CBS 992.68. Полученные данные

подчёркивают потенциальную роль отдельных грибов в развитии текстуры и аромата мяса, что открывает перспективы для контролируемого управления микробным сообществом с целью направленного формирования вкусового профиля продукции.

Влияние условий созревания, включая параметры воздушного потока, оказывает значительное воздействие на микробный состав мяса. В ходе 28 суток созревания говядины при различных скоростях воздушного обдува DA (0, 2,5, 5 м/с) установлены выраженные различия в составе микробиома. Согласно исследованию [11], при отсутствии воздушного потока DA (0) преобладал *Pilaira anomala*, в то время как при обдуве 2,5 и 5 м/с доминировал *Debaryomyces hansenii*. На основании данных электронного языка и сенсорного анализа установлено, что указанные грибковые таксоны по-разному влияют на вкусовой профиль: *Pilaira* ассоциируется с нежным, умеренно выраженным вкусом, тогда как *Debaryomyces* придаёт более интенсивные, пряные и поджаренные оттенки. Таким образом, управление параметрами воздушного потока в камерах созревания представляет собой перспективный технологический инструмент, позволяющий направленно воздействовать на сенсорные характеристики мясной продукции.

Комплексное понимание влияния микробиома требует учёта метаболических и протеомных процессов, происходящих в мясе с момента убоя и в течение всего периода созревания. В представленном обобщающем обзоре [12] подчёркивается, что ключевые метаболиты – сахара, нуклеотиды, органические кислоты, креатин, жирные кислоты – формируют вкусовой потенциал и служат субстратами для реакций *Майяра, Штрекера* и окисления липидов, происходящих при термической обработке. Динамика этих соединений тесно связана с изменениями энергетического метаболизма, активностью собственных ферментов и воздействием микробиоты, определяющей формирование уникального ароматического профиля продукции. Такой подход позволяет комплексно рассматривать сенсорные характеристики мяса как результат взаимодействия эндогенных и микробных факторов в условиях созревания и последующего приготовления.

Авторами [13] также было показано, что методы и продолжительность созревания оказывают непосредственное влияние на содержание водорастворимых вкусообразующих соединений. В частности, при 21 сутках влажного созревания отборных стейков зафиксировано увеличение концентрации пептидов, аминокислот, а также соединений – предшественников реакции *Майяра*. Вместе с тем чрезмерно длительное созревание сопровождается снижением уровня нуклеотидов и накоплением гипоксантина, что приводит к уменьшению интенсивности вкуса умами и появлению горьких оттенков. Указанная динамика подчёркивает необходимость оптимизации продолжительности созревания с учётом микробиологических процессов, сопровождающих постмортемные биохимические изменения.

Наконец, исследование механизмов формирования вкуса говяжьей вырезки травяного откорма [14] с использованием метаболомного подхода показало, что именно методы сухого созревания (традиционного и в упаковке) обеспечивают более активное накопление производных белков, нуклеотидов и летучих ароматических веществ. Наблюдалось снижение концентрации терпеноидов и стероидных липидов – соединений, часто связанных с нежелательными посторонними нотами травяной говядины, – что указывает на улучшение вкуса за счёт выбранной технологии созревания. Таким образом, микробиом в сочетании с физико-химическими условиями созревания формирует научную основу для разработки технологий направленного управления вкусовым профилем мясной продукции, что наглядно представлено в таблице 2.

Метаболомика и механизмы формирования вкуса

Формирование вкуса мяса в процессе его созревания представляет собой результат взаимодействия многочисленных физико-химических, биохимических и микробиологических факторов. Современные исследования с применением метаболомного анализа и профилирования микробиома позволяют детально охарактеризовать предшественники вкуса, механизмы их высвобождения и условия, способствующие их накоплению.

Авторами [15] были охарактеризованы вкусообразующие соединения и механизмы их формирования в говядине, созревшей с использованием различных методов – влажного и сухого, включая модифицированные варианты (во влагопроницаемой упаковке и с УФ-обработкой).

Таблица 2 – Роль микробиома в формировании вкуса мяса при различных условиях созревания

№	Объект / Метод	Условие и продолжительность	Ключевые микроорганизмы	Основное влияние	Источник
1	Говядина Hanwoo, сухое созревание	LAB-ориентированный анализ	*Lactobacillus sakei*, *Enterococcus faecalis*	Пробиотический потенциал, антагонизм к патогенам, участие во вкусообразовании	[9]
2	Говядина, сухое созревание (DAB)	Фокус на грибковой микробиоте	*Mucor flavus*, *Helicostylum*, *Thamnidium*	Развитие текстуры и аромата, органолептический профиль	[10]
3	Говядина, 28 сут., DA0 / DA2.5 / DA5	Скорости воздушного потока: 0; 2,5; 5 м/с	*Pilaira anomala*, *Debaryomyces hansenii*	Pilaira – умеренный вкус; Debaryomyces – пряный, поджаренный вкус	[11]
4	Обобщающий обзор (метаболомика)	Постмортемной период до тепловой обработки	— (метаболиты: сахара, нуклеотиды, жирные кислоты)	Основы вкуса: субстраты реакций Майяра и окисления	[12]
5	Говядина, влажное созревание	21 сутки, отборные стейки	— (связано с микробной активностью)	↑ пептиды, аминокислоты, ↓ нуклеотиды при длительном хранении → горечь	[13]
6	Говядина травяного откорма	Сухое созревание (традиционное и пакетное)	—	↓ терпеноиды и липиды → улучшение вкуса, ↓ посторонние ноты	[14]

Анализ результатов 28 суток созревания показал, что именно методы сухого созревания способствовали более интенсивному накоплению свободных аминокислот, восстанавливающих сахаров и короткоцепочечных пептидов – ключевых соединений, формирующих мясной вкус. Особенно выраженными эти изменения оказались в образцах, созревавших во влагопроницаемой упаковке (DWA), где также наблюдалось увеличение содержания полиненасыщенных жирных кислот и летучих ароматических соединений – альдегидов, спиртов, усиливающих мясной аромат. Профилирование микробиома выявило чёткие различия между методами созревания: в условиях сухого созревания доминировали *Pseudomonas* spp., а наличие *Bacillus* spp. может быть связано с дополнительным высвобождением уникальных вкусовых предшественников. Таким образом, выбранная технология созревания напрямую определяет биохимическую и микробиологическую среду, от которой зависит сенсорный профиль конечной мясной продукции.

Дополнительным аспектом изучения служит анализ роли дегидратации в концентрации вкусоактивных компонентов. В исследовании [16], проведённом на 30 образцах *longissimus lumborum*, созревавших сухим и влажным способом в течение 28 суток, продемонстрировано, что концентрации свободных аминокислот и восстанавливающих сахаров в мясе сухого созревания находятся в выраженной отрицательной корреляции с уровнем влаги. Несмотря на указанную тенденцию, различия в сенсорном профиле фиксировались уже с 14-х суток, тогда как достоверные изменения содержания влаги проявились только к 28-м суткам. Указанные наблюдения позволяют заключить, что помимо дегидратации значительное влияние на вкусовые характеристики оказывает микробная активность на поверхности мяса. Таким образом, оценка вклада физико-химических и биотических факторов демонстрирует сложную и многоуровневую природу формирования вкуса, что подчёркивает необходимость комплексного подхода к его исследованию.

Наряду с температурным режимом и продолжительностью созревания, уровень относительной влажности (ОВ) оказывает значительное влияние на качество и вкусовые характеристики мяса. Авторами [17] был исследован эффект уровня ОВ (50 %, 70 %, 85 %) на говядину, созревавшую в течение 42 суток при 2 °C, с сопоставлением с образцами влажного созревания. При более низкой влажности (50 %) наблюдалась ускоренная дегидратация в первые трое суток, что при этом не влияло на общую потерю влаги по завершении

созревания. Профиль микрофлоры также различался: в условиях сухого созревания преобладали *Pseudomonadales*, тогда как в мясе влажного созревания доминировали *Enterobacteriales*. Анализ приготовленного мясного сока показал более высокое содержание свободных аминокислот в образцах сухого созревания, особенно при 50 % ОВ, что коррелировало с более выраженными сенсорными характеристиками. Указанные данные подтверждают, что уровень относительной влажности является ключевым технологическим параметром, влияющим на интенсивность биохимических реакций и активность микробиома, определяющими вкусовую ценность продукта.

В целом, представленные исследования подчёркивают значимость метаболомики как инструмента, позволяющего выявлять и количественно оценивать биохимические изменения в мышечной ткани в зависимости от условий созревания. Их интеграция с микробиологическим профилированием формирует основу для целенаправленного управления процессом созревания мяса с целью формирования заданного вкусоароматического профиля. Соответствующие данные систематизированы в таблице 3.

Таблица 3 – Влияние методов созревания и факторов окружающей среды на вкусообразование мяса

№	Исследование	Условия созревания	Основные наблюдения	Сенсорные и биохимические эффекты	Источник
1	Сравнение сухого, влажного и модифицированных методов	28 сут., влажное и сухое созревание, DWA, УФ	Сухие методы способствуют ↑ аминокислот, сахаров, пептидов	DWA: ↑ ароматических веществ, ↑ PUFAs; Bacillus spp. → уникальный вкус	[15]
2	Корреляция дегидратации и вкусоактивных соединений	28 сут., longissimus lumborum, влажное и сухое	Свободные аминокислоты и сахара в сухом мясе ↓ при ↑ влаги	Сенсорные различия на 14 сут., дегидратация вторична микробной активности	[16]
3	Влияние уровня ОВ на состав микробиоты и вкус	42 сут., 2 °C, влажность 50 %, 70 %, 85 %	При 50 % → ускоренная дегидратация, ↑ свободных аминокислот	Сухое созревание → ↑ сенсорной выраженности; Pseudomonadales vs Enterobacteriales	[17]

Новые технологии и методики улучшения качества мяса

Развитие пищевых технологий открывает возможности целенаправленного улучшения органолептических характеристик мяса, особенно в отношении продукции низших категорий. Инновационные подходы, сочетающие традиционные методы созревания с современными способами обработки, позволяют эффективно формировать насыщенный вкусовой профиль, повышать потребительскую привлекательность и стабильность качества продукции.

Авторами [18] было изучено влияние комбинированного подхода, включающего созревание, приготовление в вакууме (*sous vide*) и последующую краткосрочную термическую обработку (запеканием), на вкусовые свойства и органолептическую привлекательность стриплойна говядины Hanwoo низкого качества. Стейки, созревавшие в течение 14 суток при 4 °C и обработанные по схемам SV+OV или SV+TC, демонстрировали более высокие показатели мягкости, аромата и общего вкусового восприятия по сравнению с контрольными образцами. Установлено, что именно сочетание низкотемпературного приготовления с кратким тепловым воздействием способствует развитию соединений реакции Майяра – в частности, пиразинов и серосодержащих летучих веществ, ответственных за характерный мясной аромат. Таким образом, применение данной технологии позволяет компенсировать ограничения, присущие мясу низшего качества, и сформировать конкурентоспособный продукт с улучшенными органолептическими свойствами.

Параллельно активное внимание уделяется возможностям использования физических воздействий, таких как ультразвуковая обработка, в управлении вкусообразующими процессами. В исследовании [19], посвящённом влиянию ультразвука на вкусовой профиль говядины в процессе постмортемного созревания, был проведён комплексный анализ ключевых летучих соединений и сенсорных характеристик на разных стадиях (0, 7 и 12 сутки). Установлено, что ультразвук активирует липидное окисление и способствует образованию ароматических веществ. Биохимической основой наблюдаемого эффекта является интенсификация окислительных процессов, в частности метаболизма мононенасыщенных

жирных кислот. Полученные результаты подтверждают потенциал ультразвуковой технологии как эффективного инструмента управления ароматическим профилем мяса в ходе созревания и создают предпосылки для её внедрения в промышленную практику.

Таким образом, инновационные технологии, включая *sous vide* в сочетании с внешней термической обработкой и направленным ультразвуковым воздействием, демонстрируют высокую эффективность в повышении сенсорного качества мяса. Их интеграция в процесс созревания позволяет гибко адаптировать параметры к исходному качеству сырья и целенаправленно раскрывать его вкусовой потенциал. Сводные данные по применению указанных методик приведены в таблице 4.

Таблица 4 – Современные технологии, улучшающие органолептические свойства мяса

№	Метод / Технология	Условия применения	Основное воздействие	Сенсорные эффекты	Источник
1	Созревание + sous vide + краткая термообработка (SV+OV / SV+TC)	14 сут., 4 °C, последующая обработка	Индукция реакций Майяра, развитие летучих соединений	↑ мягкости, ↑ аромата, ↑ вкусовой насыщенности	[18]
2	Ультразвуковая обработка в процессе созревания	0, 7 и 12 сутки, контроль интенсивности	Активация липидного окисления, метаболизм MUFA	↑ содержания альдегидов, ↑ аромата	[19]
3	Интеграция инновационных методов в созревание мяса	В зависимости от качества сырья	Адаптивное управление физико-химическими и сенсорными параметрами	↑ потребительской привлекательности, стабильности профиля	Обобщение

Заключение

Современные исследования подчёркивают, что формирование вкусового профиля мяса в процессе созревания представляет собой результат сложных взаимодействий биохимических, микробных и физико-химических процессов. Метод созревания, параметры хранения и обработки, а также активность микробиоты напрямую влияют на накопление вкусообразующих соединений и выраженность органолептических свойств продукции. Особое значение приобретает интеграция метаболомики и микробиологического профилирования, позволяющая целенаправленно управлять сенсорными характеристиками мяса. Внедрение инновационных подходов – таких как ультразвук и sous vide с дополнительной термообработкой – открывает перспективы улучшения вкуса даже у сырья низшей категории. Комплексное управление условиями созревания создаёт предпосылки для разработки технологических стратегий, обеспечивающих выпуск стабильной, высококачественной и конкурентоспособной мясной продукции.

Список литературы

1. Effective Strategies for Understanding Meat Flavor: A Review / M. K. Park, Y. S. Choi // Food science of animal resources. – 2025, Vol. 45(1), – P. 165-184. https://doi.org/10.5851/kosfa.2024.e124.
2. Effect of Dry-Aging on Quality and Palatability Attributes and Flavor-Related Metabolites of Pork Loins / D. Setyabrata et al // Foods. – 2021, Vol. 10(10). – P. – 2503. https://doi.org/10.3390/foods10102503.
3. Dry-aging of beef as a tool to improve meat quality. Impact of processing conditions on the technical and organoleptic meat properties / S. Álvarez et al // Advances in food and nutrition research. – 2021. – Vol. 95. – P. 97-130. https://doi.org/10.1016/bs.afnr.2020.10.001.
4. The effect of aging on beef taste, aroma and texture, and the role of microorganisms: a review / L. Xu et al // Critical reviews in food science and nutrition. – 2023. – Vol. 63(14). – P. 2129-2140. https://doi.org/10.1080/10408398.2021.1971156.
5. Effects of cooking conditions on the physicochemical and sensory characteristics of dry- and wet-aged beef / D. Lee et al // Animal bioscience. – 2021. – Vol. 34(10). – P. 1705-1716. https://doi.org/10.5713/ab.20.0852.
6. Evaluation of the physicochemical, metabolomic, and sensory characteristics of Chikso and Hanwoo beef during wet aging / D. Lee et al // Animal Bioscience. – 2023. – Vol. 36. – P. 1101-1119. https://doi.org/10.5713/ab.23.0001.

7. Мухамедов Т.А. Влияние тепловой обработки на органолептические показатели конины сухого и влажного созревания / Т.А. Мухамедов // Доктрины, школы и концепции устойчивого развития науки в современных условиях: Сб. ст. Всерос. науч.-практ. конф. с междунар. участием.; Аэтерна. – Уфа, 2024. – С. 11-15.
8. Мухамедов Т.А. Оценка качества продукции из конины сухого и влажного созревания / Т.А. Мухамедов, С.М. Мухамедова, М.А. Байбатырова // Пищевые технологии и биотехнологии. XVIII Всерос. конф. мол. учёных, аспирантов и студентов с междунар. участием: Матер. конф., Казан. нац. исслед. технол. ун-т. – Казань, 2025. – С. 394-398.
9. Evaluation of Probiotic Characteristics of Newly Isolated Lactic Acid Bacteria from Dry-Aged Hanwoo Beef / H. Kim et al // Food science of animal resources. – 2021. – Vol. 41(3). – P. 468-480. https://doi.org/10.5851/kosfa.2021.e11.
10. Cold adapted and closely related mucoraceae species colonise dry-aged beef (DAB) / G. Ostrowski et al // Fungal biology. – 2023, Vol. 127(10-11). – P. 1397-1404. https://doi.org/10.1016/j.funbio.2023.09.005.
11. Changes in microbial composition on the crust by different air flow velocities and their effect on sensory properties of dry-aged beef / H. Lee et al // Meat science. – 2019. – Vol. 153. – P. 152-158. https://doi.org/10.1016/j.meatsci.2019.03.019.
12. Metabolic, proteomic and microbial changes postmortem and during beef aging / G. Bischof et al // Critical reviews in food science and nutrition. – 2024, Vol. 64(4). – P. 1076-1109. https://doi.org/10.1080/10408398.2022.2113362.
13. Effects of wet aging on water-soluble flavor compounds and descriptive sensory attributes for USDA select beef strip steaks / S. Wang et al // Meat science. – 2025. – Vol. 225. – P. 109821. https://doi.org/10.1016/j.meatsci.2025.109821.
14. Elucidating mechanisms involved in flavor generation of dry-aged beef loins using metabolomics approach / D. Setyabrata et al // Food research international. – 2021, Vol. 139. – P. 109969. https://doi.org/10.1016/j.foodres.2020.109969.
15. Characterizing the Flavor Precursors and Liberation Mechanisms of Various Dry-Aging Methods in Cull Beef Loins Using Metabolomics and Microbiome Approaches / D. Setyabrata et al // Metabolites. – 2022. – Vol. 12(6). – P. 472. https://doi.org/10.3390/metabo12060472.
16. Role of moisture evaporation in the taste attributes of dry- and wet-aged beef determined by chemical and electronic tongue analyses / H.J. Lee et al // Meat science. – 2019. – Vol. 151. – P. 82-88. https://doi.org/10.1016/j.meatsci.2019.02.001.
17. Effects of relative humidity on dry-aged beef quality / F.A. Ribeiro et al // Meat science. – 2024. – Vol. 213. – P. 109498. https://doi.org/10.1016/j.meatsci.2024.109498.
18. A combination of postmortem ageing and sous vide cooking following by blowtorching and oven roasting for improving the eating quality and acceptance of low quality grade Hanwoo striploin / S.H. Jwa et al // Asian-Australasian journal of animal sciences. – 2020. – Vol. 33(8). – P. 1339-1351. https://doi.org/10.5713/ajas.19.0667.
19. Ultrasound-induced modifications of beef flavor characteristics during postmortem aging / Y. Fang // Ultrasonics sonochemistry. – 2024. – Vol. 108. – P. 106979. https://doi.org/10.1016/j.ultsonch.2024.106979.

References

1. Effective Strategies for Understanding Meat Flavor: A Review / M. K. Park, Y. S. Choi // Food science of animal resources. – 2025, Vol. 45(1), – R. 165-184. https://doi.org/10.5851/kosfa.2024.e124. (In English).
2. Effect of Dry-Aging on Quality and Palatability Attributes and Flavor-Related Metabolites of Pork Loins / D. Setyabrata et al // Foods. – 2021, Vol. 10(10). – R. – 2503. https://doi.org/10.3390/foods10102503. (In English).
3. Dry-aging of beef as a tool to improve meat quality. Impact of processing conditions on the technical and organoleptic meat properties / S. Álvarez et al // Advances in food and nutrition research. – 2021. – Vol. 95. – R. 97-130. https://doi.org/10.1016/bs.afnr.2020.10.001. (In English).
4. The effect of aging on beef taste, aroma and texture, and the role of microorganisms: a review / L. Xu et al // Critical reviews in food science and nutrition. – 2023. – Vol. 63(14). – R. 2129-2140. https://doi.org/10.1080/10408398.2021.1971156. (In English).

5. Effects of cooking conditions on the physicochemical and sensory characteristics of dry- and wet-aged beef / D. Lee et al // Animal bioscience. – 2021. – Vol. 34(10). – R. 1705-1716. https://doi.org/10.5713/ab.20.0852. (In English).
6. Evaluation of the physicochemical, metabolomic, and sensory characteristics of Chikso and Hanwoo beef during wet aging / D. Lee et al // Animal Bioscience. – 2023. – Vol. 36. – R. 1101-1119. https://doi.org/10.5713/ab.23.0001. (In English).
7. Mukhamedov T.A. Vliyanie teplovoi obrabotki na organolepticheskie pokazateli koniny sukhogo i vlazhnogo sozrevaniya / T.A. Mukhamedov // Doktriny, shkoly i kontseptsii ustoichivogo razvitiya nauki v sovremennykh usloviyakh: Sb. st. Vseros. nauch.-prakt. konf. s mezhdunar. uchastiem.; Aehterna. – Ufa, 2024. – S. 11-15. (In Russian).
8. Mukhamedov T.A. Otsenka kachestva produktsii iz koniny sukhogo i vlazhnogo sozrevaniya / T.A. Mukhamedov, S.M. Mukhamedova, M.A. Baibatyrova // Pishchevye tekhnologii i biotekhnologii. KHVIII Vseros. konf. mol. uchenykh, aspirantov i studentov s mezhdunar. uchastiem: Mater. konf., Kazan. nats. issled. tekhnol. un-t. – Kazan', 2025. – S. 394-398. (In Russian).
9. Evaluation of Probiotic Characteristics of Newly Isolated Lactic Acid Bacteria from Dry-Aged Hanwoo Beef / H. Kim et al // Food science of animal resources. – 2021. – Vol. 41(3). – R. 468-480. https://doi.org/10.5851/kosfa.2021.e11. (In English).
10. Cold adapted and closely related mucoraceae species colonise dry-aged beef (DAB) / G. Ostrowski et al // Fungal biology. – 2023, Vol. 127(10-11). – R. 1397-1404. https://doi.org/10.1016/j.funbio.2023.09.005. (In English).
11. Changes in microbial composition on the crust by different air flow velocities and their effect on sensory properties of dry-aged beef / H. Lee et al // Meat science. – 2019. – Vol. 153. – R. 152-158. https://doi.org/10.1016/j.meatsci.2019.03.019. (In English).
12. Metabolic, proteomic and microbial changes postmortem and during beef aging / G. Bischof et al // Critical reviews in food science and nutrition. – 2024, Vol. 64(4). – R. 1076-1109. https://doi.org/10.1080/10408398.2022.2113362. (In English).
13. Effects of wet aging on water-soluble flavor compounds and descriptive sensory attributes for USDA select beef strip steaks / S. Wang et al // Meat science. – 2025. – Vol. 225. – R. 109821. https://doi.org/10.1016/j.meatsci.2025.109821. (In English).
14. Elucidating mechanisms involved in flavor generation of dry-aged beef loins using metabolomics approach / D. Setyabrata et al // Food research international. – 2021, Vol. 139. – R. 109969. https://doi.org/10.1016/j.foodres.2020.109969. (In English).
15. Characterizing the Flavor Precursors and Liberation Mechanisms of Various Dry-Aging Methods in Cull Beef Loins Using Metabolomics and Microbiome Approaches / D. Setyabrata et al // Metabolites. – 2022. – Vol. 12(6). – R. 472. https://doi.org/10.3390/metabo12060472. (In English).
16. Role of moisture evaporation in the taste attributes of dry- and wet-aged beef determined by chemical and electronic tongue analyses / H.J. Lee et al // Meat science. – 2019. – Vol. 151. – R. 82-88. https://doi.org/10.1016/j.meatsci.2019.02.001. (In English).
17. Effects of relative humidity on dry-aged beef quality / F.A. Ribeiro et al // Meat science. – 2024. – Vol. 213. – R. 109498. https://doi.org/10.1016/j.meatsci.2024.109498. (In English).
18. A combination of postmortem ageing and sous vide cooking following by blowtorching and oven roasting for improving the eating quality and acceptance of low quality grade Hanwoo striploin / S.H. Jwa et al // Asian-Australasian journal of animal sciences. – 2020. – Vol. 33(8). – R. 1339-1351. https://doi.org/10.5713/ajas.19.0667. (In English).
19. Ultrasound-induced modifications of beef flavor characteristics during postmortem aging / Y. Fang // Ultrasonics sonochemistry. – 2024. – Vol. 108. – R. 106979. https://doi.org/10.1016/j.ultsonch.2024.106979. (In English).

Т.А. Мухамедов[*], Т.А. Байбатыров[2], Н.А. Еріш[1], Г.С. Сагитова[1], З.К. Молдахметова[1]
[1]Ахмет Байтұрсынұлы атындағы Қостанай өңірлік университеті,
110000, Қазақстан Республикасы, Қостанай қаласы, Байтұрсынов көшесі, 47
[2]Жәңгір хан атындағы Батыс Қазақстан аграрлық-техникалық университеті,
090009, Қазақстан Республикасы, Орал қаласы, Жәңгір хан көшесі, 51
[*]e-mail: cheltob@mail.ru

ПІСІРУ ҮДЕРІСІ КЕЗІНДЕ ЕТ ДӘМІНІҢ ҚАЛЫПТАСУЫ

Еттің пісіп жетілуі – соңғы өнімнің дәмдік профилін анықтайтын биохимиялық, микробиологиялық және физика-химиялық өзгерістерді қамтитын күрделі үдеріс. Бұл шолуда өлгеннен кейінгі жетілудің әртүрлі әдістерінің (ылғалды, құрғақ, өзгертілген формалар) және соған байланысты технологиялық параметрлердің – температураның, ылғалдылықтың, ауа ағынының жылдамдығының, сақтау ұзақтығының еттің органолептикалық сипаттамаларының қалыптасуына әсері туралы қазіргі ғылыми деректер жинақталған. Дәм түзетін қосылыстардың (аминқышқылдары, пептидтер, қанттар, нуклеотидтер, липидтер), микробтар қауымдастығы (LAB, Pseudomonas, Debaryomyces және т. Дәмдік профильді мақсатты түрлендіруге бағытталған инновациялық тәсілдер қарастырылады, оның ішінде ультрадыбысты, sous vide технологияларын, реттелетін ауа параметрлерін және бақыланатын саңырауқұлақ ашытуын қолдану. Сенсорлық қасиеттерді оңтайландыру процесінде кешенді бақылаудың маңыздылығын растайтын метаболикалық және микробиологиялық профильдеу деректері ұсынылған. Шолуда пісу жағдайлары мен ұзақтығын стратегиялық басқару, сондай-ақ жаңа технологиялық шешімдерді біріктіру талғамды тұтынушы сұранысына бейімдеп қана қоймай, тіпті төмен санатты өнімдердің нарықтық құнын арттыруға мүмкіндік беретіні атап өтілген. Қорытындылар ет өнімдерінің сапасын арттырудың ғылыми негізделген бағдарламаларын әзірлеуге негіз болады.

Түйін сөздер: *еттің жетілуі, дәмдік қосылыстар, микробиота, метаболомика, сенсорлық сипаттамалар.*

T.A. Mukhamedov[1]*, T.A. Baibatyrov[2], N.A. Yerish[1], G.S. Sagitova[1], Z.K. Moldakhmetova[1]
[1]Kostanay Regional University named after Akhmet Baytursinuly,
110000, Republic of Kazakhstan, Kostanay, Baitursynov St., 47
[2]West Kazakhstan Agrarian and Technical University named after Zhangir khan,
090009, Republic of Kazakhstan, Uralsk, Zhangir khan str., 51
*e-mail: cheltob@mail.ru

THE FORMATION OF THE TASTE OF MEAT DURING MATURATION

Meat maturation is a complex process that includes biochemical, microbiological, and physico-chemical transformations that determine the flavor profile of the final product. This review summarizes current scientific data on the influence of various methods of postmortem maturation (wet, dry, modified forms) and related technological parameters – temperature, humidity, air flow velocity, storage duration – on the formation of organoleptic characteristics of meat. Special attention is paid to the dynamics of flavor-forming compounds (amino acids, peptides, sugars, nucleotides, lipids), the microbial community (Lactic acid bacteria, Pseudomonas, Debaryomyces, etc.), as well as the interaction of biotic and abiotic factors that determine the intensity of metabolic reactions. Innovative approaches aimed at purposefully changing the taste profile are considered, including the use of ultrasound, sous vide technologies, regulated air parameters and controlled fungal fermentation. The data from metabolic and microbiological profiling are presented, confirming the importance of integrated monitoring in the process of optimizing sensory properties. The review emphasizes that the strategic management of the conditions and duration of maturation, as well as the integration of new technological solutions, allow not only to adapt the taste to the needs of consumers, but also to increase the market value of even the lowest category of products. The findings form the basis for the development of scientifically based programs to improve the quality of meat products.

Key words: *meat maturation, flavor-forming compounds, microbiota, metabolomics, sensory characteristics.*

Авторлар туралы мәліметтер

Талгат Амангалиевич Мухамедов* – ауыл шаруашылығы ғылымдарының магистрі, азық-түлік қауіпсіздігі және биотехнология кафедрасының аға оқытушысы, Ахмет Байтұрсынов атындағы Қостанай өңірлік университеті, Қостанай, Қазақстан Республикасы; e-mail: cheltob@mail.ru. ORCID: https://orcid.org/ 0009-0004-8441-6691.

Торебек Абелбаевич Байбатыров – техника ғылымдарының кандидаты, ветеринария және агротехнология институтының қауымдастырылған профессоры, Жәңгір хан атындағы Батыс Қазақстан аграрлық-техникалық университеті, Орал, Қазақстан Республикасы; e-mail: torebek-18@mail.ru. ORCID: http://orcid.org/0000-0002-7940-626X.

Гульназ Сансызбаевна Сагитова – азық-түлік қауіпсіздігі және биотехнология кафедрасының аға оқытушысы, Ахмет Байтұрсынов атындағы Қостанай өңірлік университеті, Қостанай, Қазақстан Республикасы; e-mail: gulnaz84k@mail.ru. ORCID: https://orcid.org/0009-0001-2385-7395.

Нұрбол Амантайұлы Еріш – техника ғылымдарының магистрі, азық-түлік қауіпсіздігі және биотехнология кафедрасының аға оқытушысы, Ахмет Байтұрсынов атындағы Қостанай өңірлік университеті, Қостанай, Қазақстан Республикасы; e-mail: erish.nurbol@mail.ru. ORCID: https://orcid.org/ 0000-0002-4494-4885.

Замзагуль Корганбековна Молдахметова – техника ғылымдарының кандидаты, азық-түлік қауіпсіздігі және биотехнология кафедрасының қауымдастырылған профессордың м.а Ахмет Байтұрсынұлы атындағы Қостанай Өңірлік университеті, Қостанай, Қазақстан Республикасы; e-mail: Zamzagul-2632@mail.ru. ORCID: https://orcid.org / 0000-0002-0312-0169.

Сведения об авторах

Талгат Амангалиевич Мухамедов* – магистр сельскохозяйственных наук, старший преподаватель кафедры продовольственная безопасность и биотехнологии, Костанайский региональный университет имени Ахмета Байтұрсынұлы, Костанай, Казахстан; e-mail: cheltob@mail.ru. ORCID: https://orcid.org/ 0009-0004-8441-6691.

Торебек Абелбаевич Байбатыров – кандидат технических наук, ассоциированный профессор института ветеринарии и агротехнологии, Западно-Казахстанский аграрно-технический университет имени Жангир хана, Уральск, Казахстан; e-mail: torebek-18@mail.ru. ORCID: http://orcid.org/0000-0002-7940-626X.

Гульназ Сансызбаевна Сагитова – старший преподаватель кафедры продовольственная безопасность и биотехнологии, Костанайский региональный университет имени Ахмета Байтұрсынұлы, Костанай, Казахстан; e-mail: gulnaz84k@mail.ru. ORCID: https://orcid.org/0009-0001-2385-7395.

Нұрбол Амантайұлы Еріш – магистр технических наук, старший преподаватель кафедры продовольственная безопасность и биотехнологии, Костанайский региональный университет имени Ахмета Байтұрсынұлы, Костанай, Казахстан; e-mail: erish.nurbol@mail.ru. ORCID: https://orcid.org/ 0000-0002-4494-4885.

Замзагуль Корганбековна Молдахметова – кандидат технических наук, и.о. ассоциированного профессора кафедры продовольственная безопасность и биотехнологии Костанайский региональный университет имени Ахмета Байтұрсынұлы, Костанай, Казахстан e-mail: Zamzagul-2632@mail.ru, ORCID: https://orcid.org/ 0000-0002-0312-0169

Information about the authors

Talgat Amangalievich Mukhamedov* – Master of Agricultural Sciences, Senior Lecturer at the Department of Food Safety and Biotechnology, Kostanay Regional University named after Akhmet Baytursinuly, Kostanay, Republic of Kazakhstan; e-mail: cheltob@mail.ru. ORCID: https://orcid.org/ 0009-0004-8441-6691.

Torebek Abelbaevich Baibatyrov – candidate of technical sciences, acting associate Professor Institute of veterinary and agrotechnology, West Kazakhstan Agrarian and Technical University named after Zhangir khan, Uralsk, Kazakhstan; e-mail: torebek-18@mail.ru. ORCID: http://orcid.org/0000-0002-7940-626X.

Gulnaz Sansyzbaevna Sagitova – Senior Lecturer at the Department of Food Safety and Biotechnology, Kostanay Regional University named after Akhmet Baytursinuly, Kostanay, Republic of Kazakhstan; e-mail: gulnaz84k@mail.ru. ORCID: https://orcid.org/0009-0001-2385-7395.

Nurbol Amantayuly Yerish – Master of Technical Science, Senior Lecturer at the Department of Food Safety and Biotechnology, Kostanay Regional University named after Akhmet Baytursinuly, Kostanay, Republic of Kazakhstan; e-mail: erish.nurbol@mail.ru. ORCID: https://orcid.org/ 0000-0002-4494-4885.

Zamzagul Korganbekovna Moldakhmetova – Candidate of Technical Sciences, Acting Associate Professor of the Department of Food Safety and Biotechnology Kostanay Regional University named after Akhmet Baitursynuly, Kostanay, Kazakhstan; e-mail: Zamzagul-2632@mail.ru. ORCID: https://orcid.org / 0000-0002-0312-0169.

Поступила в редакцию 15.09.2025
Поступила после доработки 18.10.2025
Принята к публикации 20.10.2025

https://doi.org/10.53360/2788-7995-2025-4(20)-41

BY 4.0
Check for updates

ҒТАХР: 68.41.29, 68.41.37, 34.31.17

А.Д. Мыржыкбаева[*], А.Ж. Хастаева[2], В.С. Жамурова[1], Г.Т. Юсупова[3], С.С. Толеубекова[4]
[1] Қазақ ұлттық аграрлық зерттеу университеті,
050000, Қазақстан Республикасы, Алматы қ., Абай көшесі, 8
[2]Қ.Құлажанов атындағы Қазақ технология және бизнес университеті,
010000, Қазақстан Республикасы, Астана қ., Қайым Мұхамедханов көшесі, 37 А
[3]С. Сейфуллин атындағы Қазақ агротехникалық зерттеу университеті,
010011, Қазақстан Республикасы, Астана қ., Жеңіс даңғылы, 62
[4]Шәкәрім университеті,
071412, Қазақстан Республикасы, Семей қ., Глинка көшесі, 20А
[*]e-mail:Aidanadauletkeldi@mail.ru

СҰЛЫ ДӘНІНІҢ ӘР ТҮРЛІ СОРТТАРЫНЫҢ АМИНҚЫШҚЫЛДАРЫ МЕН МАЙ ҚЫШҚЫЛДАРЫНЫҢ ҚҰРАМЫН САЛЫСТЫРМАЛЫ ЗЕРТТЕУ

Аңдатпа: *Осы мақалада «Думан», «Никола» және «Ишимский» сұлы сұрыптарының дәніндегі аминқышқылдық және май қышқылдық құрамына жүргізілген салыстырмалы талдау нәтижелері ұсынылады. Сұлы – биологиялық белсенді заттардың, соның ішінде алмастырылмайтын аминқышқылдары мен полиқанықпаған май қышқылдарының маңызды көзі болып табылады. Олар адам денсаулығын сақтау, иммундық жүйені нығайту және зат алмасуды қалыпқа келтіруде маңызды рөл атқарады.*

Салыстырмалы талдау Қазақ ұлттық аграрлық зерттеу университетінің жанындағы Жапон орталығы базасында жоғары тиімді сұйықтық және газдық хроматография әдістерін қолдану арқылы жүргізілді. Зерттелетін дән шикізатын А.И. Бараев атындағы астық шаруашылығы ғылыми-өндірістік орталығы ұсынды.

Зерттеу нәтижелері бойынша, «Ишимский» сұрпы аминқышқылдар құрамының ең жоғары көрсеткіштерін иеленді: цистин – 1109,11 μg/ml, валин – 784,01 μg/ml, тирозин – 769,81 μg/ml, аргинин – 314,79 μg/ml, гистидин – 265,96 μg/ml, аланин – 242,93 μg/ml.

Ал «Думан» сұрпы валин (535,35 μg/ml), тирозин (606,90 μg/ml), цистин (460,91 μg/ml), аргинин (216,61 μg/ml) және гистидин (178,47 μg/ml) секілді аминқышқылдарының жоғары мөлшерімен, сондай-ақ басқа сұрыптарда кездеспейтін ерекше омега-3 май қышқылдарының болуымен ерекшеленеді: альфа-линолен (1,71 %), докозагексаен (0,218 %) және нервон қышқылы (0,367 %).

Аталған сипаттамалар «Думан» сұрпын функционалдық тамақ өнімдерінде, сұлы сусындарын өндіруде және биологиялық белсенді қоспалар жасауда қолдануға болашағы зор нысан ретінде көрсетеді. Алынған деректер селекционерлер, тағам өнеркәсібі технологтары мен нутрицевтика саласының мамандары үшін ғылыми әрі практикалық қызығушылық тудырады.

Түйін сөздер: *сұлы, сұлы сұрыптары, аминқышқылды құрам, май қышқылды құрам, жоғары тиімді сұйықтық хроматографиясы.*

Кіріспе

Сұлы (Avena sativa L.) – тағам өнеркәсібінде де, мал шаруашылығында да кеңінен қолданылатын, болашағы зор дәнді дақылдардың бірі. Оның кең таралуы ерекше химиялық құрамымен түсіндіріледі – құрамында ақуыз, ерігіш және ерімейтін тағамдық талшықтар (соның ішінде бета-глюкандар), липидтер, сондай-ақ В тобының дәрумендері мен микроэлементтер (темір, мырыш, магний) мол [1, 2]. Осындай қасиеттеріне байланысты сұлы адам рационында функционалдық компонент ретінде қарастырылады, ол иммунитетті нығайтуға, метаболизмді қалыпқа келтіруге және холестерин деңгейін төмендетуге ықпал етеді [3].

Сұлы дәнінің аминқышқылдық және май қышқылдық профилі ерекше қызығушылық тудырады, өйткені ол ақуыз бен липидтік кешеннің биологиялық құндылығын анықтайды [4]. Аминқышқылдар ағзада тек құрылымдық емес, сонымен қатар реттеуші қызмет атқарады: олар ферменттердің, гормондардың, нейромедиаторлардың және иммундық ақуыздардың түзілуіне қатысады [5]. Лизин, валин, лейцин және изолейцин сияқты алмастырылмайтын аминқышқылдар тек тағам арқылы ғана түсуі тиіс, сондықтан олардың өсімдік шикізатындағы болуы аса маңызды [6].

Сұлы құрамындағы май қышқылдары негізінен моно- және полиқанықпаған түрінде болады, олардың ішінде олеин және линол қышқылдары басым. Альфа-линолен (омега-3)

қышқылының, сондай-ақ сирек кездесетін докозагексаен (DHA) және нервон қышқылдарының болуы дәннің нутрицевтикалық әлеуетін арттырып, сұлыны профилактикалық тағамдарға арналған құнды ингредиентке айналдырады [7, 8]. Қанықпаған май қышқылдары антиоксиданттық, қабынуға қарсы және гипохолестеринемиялық әсерге ие болып, жасуша мембраналарын құрауға және гормондық тепе-теңдікті сақтауға қатысады [9].

Дұрыс тамақтануға арналған өнімдерді әзірлеудегі қазіргі заманғы үрдістер ақуыздар, майлар және белсенді нутриенттердің оңтайлы арақатынасы бар шикізатты мұқият таңдауды талап етеді. Осыған байланысты сұлының әртүрлі сұрыптарының химиялық құрамындағы айырмашылықтарды зерттеу ерекше маңызды. Әртүрлі сұрыптардағы аминқышқылдар мен май қышқылдарының мөлшері агроклиматтық жағдайлар, генетикалық ерекшеліктер және өңдеу әдістеріне байланысты едәуір айырмашылықтарға ие болуы мүмкін [10].

Зерттеудің өзектілігі – функционалдық сусындар мен тағамдық қоспаларды өндіру үшін сұлы сұрыптарын ғылыми негізделген іріктеудің қажеттілігінде. Аминқышқылдық және май қышқылдық құрамын анықтау әртүрлі сұрыптардың тағамдық құндылығын бағалауға ғана емес, сонымен қатар дұрыс тамақтану тұжырымдамасы аясында сұлыны өңдеудің жаңа технологияларын әзірлеуге негіз бола алады.

Осы жұмыстың мақсаты – Қазақстанда өсірілген «Думан», «Никола» және «Ишимский» сұлы сұрыптарының дәніндегі аминқышқылдық және май қышқылдық құрамын салыстырмалы түрде зерттеу. Жұмыс жоғары тиімді сұйықтық және газдық хроматография әдістерін қолдана отырып жүргізілген зертханалық талдауды және алынған деректерді тағам өнімдерінің қауіпсіздігі мен сапасына қатысты нормативтермен салыстыруды қамтиды.

Ғылыми жаңалығы – сұлыдан жасалған сусындар мен өзге де функционалдық өнімдерді өндіру мақсатында отандық сұрыптарды кешенді биохимиялық тұрғыда бағалау болып табылады.

Зерттеу нысаны мен әдістері

Осы зерттеудің нысандары ретінде А.И. Бараев атындағы астық шаруашылығы ғылыми-өндірістік орталығы (Қазақстан Республикасы) ұсынған үш сұлы сұрыпы – «Думан», «Никола» және «Ишимский» дәндері алынды. Бұл сұрыптар сұлы сусынын өндіру мақсатында таңдалып, зерттеудің бастапқы кезеңінде олардың биохимиялық құрамына кешенді баға беріліп, нутриенттік сипаттамалары бойынша ең перспективті үлгілер анықталды.

Сынамаларды дайындау 1000 дән массасын және ластану дәрежесін анықтаудан басталды, бұл көрсеткіштер келесі нормативтік құжаттарға сәйкес жүргізілді: ГОСТ 10842-89 – ГОСТ 10842-89 дәнді және бұршақ дақылдарының дәндері және майлы дақылдардың тұқымдары. 1000 дәннің немесе 1000 тұқымның массасын анықтау әдісі, ГОСТ 28419-97 – Дән. У1-ЕАЗ-М анализаторы арқылы арамшөп және дәндік қоспаларды анықтау әдісі. Одан кейін дән шикізаты тазалау, жуу және 40-45 °С температурада 12 сағат бойы кептіру сатыларынан өтіп, 2 мм-ден кіші фракцияға дейін ұнтақталды.

Аминқышқылды құрамды анықтау үшін жоғары тиімді сұйықтық хроматографиясы (ЖТСХ) әдісі қолданылды. Зерттелетін үлгілер алдын ала қышқылдық гидролизге (6N HCl, 110 °С, 24 сағат) ұшыратылып, кейін дериватизация жасалды. Талдау келесі нормативтік құжаттар негізінде жүргізілді: ГОСТ 28673-2019 – Сұлы. Техникалық шарттар, ГОСТ 32195-2013 – Мал азығы. Амин қышқылдарының болуын анықтау. Аминқышқылдар концентрациясы микрограмм/миллилитр (μg/ml) бірлігінде өлшеніп, әр сынама үш рет қайталанып (n=3), нәтижелерге статистикалық өңдеу жүргізілді.

Май қышқылдық құрам газдық хроматография (ГХ) әдісімен анықталды. Бұл үшін алдымен липидтер экстракцияланып, май қышқылдары трансэтерлендірілді. Талдау әдістемесі ГОСТ 31665-2012 – Өсімдік майлары және жануарлар майлары. Май қышқылдарының метил эфирлерін алу әдістеріне сәйкес жүргізілді.

Нәтижелер жалпы липид мөлшеріне қатысты пайызбен (%) өрнектелді. Барлық өлшеулер үш қайталауда (n=3) орындалды. Алынған көрсеткіштер Техникалық регламенттер талаптарына – ТР ТС 021/2011 «Тағам өнімдерінің қауіпсіздігі туралы» және Codex Alimentarius (CXG 2-1985, CXS 210-1999) стандарттарына сәйкестігі тұрғысынан бағаланды.

Зерттеу нәтижелері және оларды талдау

Зерттеу барысында «Думан», «Никола» және «Ишимский» сұлы сұрыптарының дәніндегі аминқышқылдық және май қышқылдық құрамы анықталды. Нәтижелер 1 және 2-кестелерде көрсетілген және алынған деректерге талдау жасалған.

Кесте 1 – Әр түрлі сұрыпты сұлы дәндерінің аминқышқылды құрамы, μg/ml

№	Аминқышқылдар атауы	Норма, μg/ml	Думан	Никола	Ишимский
1	Аспарагин қышқылы	-	-	-	-
2	Глутамин қышқылы	-	-	-	-
3	Серин	-	-	-	-
4	Аспарагин	-	133,13	91,95	185,05
5	Гистидин	≥100	178,47	136,17	265,96
6	Аргинин	≥100	216,61	153,58	314,79
7	Треонин	≥80	138,40	-	-
8	Аланин	≥80	91,59	66,83	242,93
9	Пролин	-	108,62	32,28	85,62
10	Цистеин	≥20	91,28	10,64	93,36
11	Тирозин	≥50	606,90	109,99	769,81
12	Валин	≥150	535,35	136,16	784,01
13	Метионин	≥25	-	-	-
14	Цистин	≥15	460,91	-	1109,11
15	Изолейцин	≥100	-	1,69	151,07
16	Лейцин	≥150	-	2,51	111.31
17	Фенилаланин	≥100	-	-	-
18	Лизин	≥150	18.71	3,57	224,03

Кесте 2 – Әр түрлі сұрыпты сұлы дәндерінің май қышқылдық құрамы, (%)

№	Май қышқылының атауы	Норма, %	Думан	Никола	Ишимский
1	Пальмитин қышқылы (C16:0)	15-20	17.47	17.58	18.22
2	Стеарин қышқылы (C18:0)	2-4	2.68	3.67	2.86
3	Олеин қышқылы (C18:1)	35-45	41.23	41.26	41.60
4	Линол қышқылы (C18:2)	30-40	36.32	36.08	34.87
5	Линолен қышқылы (C18:3, ω-3)	≥1.0	-	1.41	-
6	Альфа-линолен қышқылы (ω-3)	≥1.0	1.71	-	1.57
7	Нервон қышқылы (C24:1)	-	0.367	-	0.55
8	Докозагексаен қышқылы (C22:6)	≥0.2	0.2183	-	0.32

Аминқышқылдық талдау нәтижелеріне сәйкес, ең жоғары аминқышқылдар мөлшері «Ишимский» сұрпында анықталды. Әсіресе келесі алмастырылмайтын және шартты түрде алмастырылмайтын аминқышқылдардың жоғары концентрациясы тіркелді: цистин – 1109,11 μg/ml, тирозин – 769,81 μg/ml, валин – 784,01 μg/ml, аргинин – 314,79 μg/ml, гистидин – 265,96 μg/ml, аланин – 242,93 μg/ml.

«Думан» сұрпы да аминқышқылдарының едәуір жоғары концентрациясын көрсетті: валин – 535,35 μg/ml, тирозин – 606,90 μg/ml, цистин – 460,91 μg/ml, аргинин – 216,61 μg/ml, гистидин – 178,47 μg/ml. Бұл көрсеткіштер аталған сұрыптың ақуыздарының айқын биосинтетикалық әлеуетке ие екенін дәлелдейді.

«Никола» сұрпы аминқышқылдардың көпшілігі бойынша салыстырмалы түрде төмен көрсеткіштер көрсетті. Алайда оның құрамында барлық негізгі алмастырылмайтын аминқышқылдар кездеседі, соның ішінде: гистидин (136,17 μg/ml), аргинин (153,58 μg/ml), аспарагин (91,95 μg/ml) және тирозин (109,99 μg/ml).

Айрықша назар валин, изолейцин, лейцин, лизин, треонин, метионин және фенилаланин сияқты алмастырылмайтын аминқышқылдарға аударылуы тиіс. Бұл аминқышқылдар барлық сұрыптардан әртүрлі деңгейде анықталды. «Ишимский» сұрпында олардың көпшілігі физиологиялық ұсынылатын нормалардан жоғары концентрацияда тіркелген, бұл оны функционалдық өнімдер өндіруге арналған перспективалы шикізат ретінде сипаттайды.

Осылайша, жүргізілген талдау негізінде «Ишимский» мен «Думан» сұрыптары анағұрлым айқын аминқышқылдық профилге ие екені анықталды. Бұл олардың жоғары биологиялық құндылығын және профилактикалық тағамдар құрамында қолдануға орынды екенін көрсетеді.

2-кестеде көрсетілгендей, барлық сұлы сұрыптарында қанықпаған май қышқылдары басым, әсіресе: олеин қышқылы (C18:1) – 41,23%-дан 41,60%-ға дейін және линол қышқылы (C18:2) – 34,87%-дан 36,32%-ға дейін. «Думан» сұрпы май қышқылдарының бірегей

үйлесімімен ерекшеленеді, оның құрамында келесідей май қышқылдары бар: альфа-линолен қышқылы (ω-3) – 1,71%, нервон қышқылы – 0,367% және докозагексаен қышқылы (DHA, C22:6, ω-3) – 0,218%.

«Думан» сұлы сұрыпының құрамында DHA мен нервон қышқылы сияқты құнды май қышқылдарының болуы оның функционалдық қасиеттерін кеңейтеді, әсіресе нейропротекторлық әсер және липидтік алмасуды реттеу тұрғысынан.

«Никола» және «Ишимский» сұрыптары негізгі май қышқылдарының мөлшері бойынша ұқсас нәтижелер көрсетті, алайда «Думан» сұрыпында анықталған кейбір полиқанықпаған компоненттер бұл сұрыптарда анықталған жоқ. Бұл ерекшелік сұрыптың генетикалық қасиеттеріне байланысты болуы мүмкін және оны байытылған диеталық өнімдерді өндіруде қолданудың әлеуетін көрсетеді.

Алынған барлық көрсеткіштер ТР ТС 021/2011 «Тағам өнімдерінің қауіпсіздігі туралы» техникалық регламентінің талаптарына толық сәйкес келеді. Ғылыми әдебиеттер мен Codex Alimentarius деректеріне сүйенсек, полиқанықпаған май қышқылдары мен аминқышқылдары жоғары деңгейде болатын сұлы функционалдық тағамдарға арналған болашағы зор компонент ретінде қарастырылады, әсіресе балалар, спортшылар және егде жастағы адамдар үшін.

Қорытынды

«Думан», «Никола» және «Ишимский» сұлы сұрыптарының дәніндегі аминқышқылдық және май қышқылдық құрамына жүргізілген кешенді зерттеу шикізаттың тағамдық және функционалдық құндылығына әсер ететін айтарлықтай сұрыптық айырмашылықтарды анықтауға мүмкіндік берді.

Аминқышқылдық талдау нәтижелері бойынша, «Ишимский» және «Думан» сұрыптары ең бай әрі теңгерімді аминқышқылдық профильмен сипатталады. Әсіресе, валин, аргинин, тирозин, цистин және гистидин секілді алмастырылмайтын аминқышқылдарының жоғары концентрациясы бұл сұрыптардың жоғары биологиялық әлеуетке ие екенін көрсетеді. «Никола» сұрпы да негізгі аминқышқылдар спектрін қамтығанымен, олардың мөлшері салыстырмалы түрде төмен.

Май қышқылдық құрамды талдау барлық сұрыптарда қанықпаған май қышқылдарының (олеин және линол қышқылдарының) басым екенін көрсетті, бұл адам денсаулығы үшін қолайлы көрсеткіш болып табылады. «Думан» сұрпы альфа-линолен және докозагексаен қышқылдары секілді құнды май қышқылдарының әртүрлілігімен ерекшеленіп, оны липид алмасуын жақсарту және нейропротекцияға бағытталған функционалдық тағам өнімдерін өндіруде қолдану мүмкіндігін кеңейтеді.

Барлық алынған көрсеткіштер ТР ТС 021/2011 «Тағам өнімдерінің қауіпсіздігі туралы» техникалық регламентінің, сондай-ақ ГОСТ 28673-2019, ГОСТ 32195-2013, ГОСТ 31665-2012 стандарттардың талаптарына толық сәйкес келеді:

Осылайша, «Думан» мен «Ишимский» сұлы сұрыптары жоғары тағамдық және биологиялық құндылыққа ие өсімдік тектес сусындар өндіруге арналған шикізат ретінде үлкен қызығушылық тудырады. Алынған деректер сұлы өнімдерін дені сау, профилактикалық және спорттық тамақтану рационында, әсіресе балалар, егде жастағы адамдар және жоғары физикалық жүктемеге ұшырайтын тұлғалар үшін пайдаланудың әлеуетін растайды.

Әдебиеттер тізімі

1. Горбатова К.К. Химия пищевых продуктов / К.К. Горбатова. – М.: КолосС, 2012. – 528 с.
2. Vasanthi H.R. Phytochemicals from plants to combat cardiovascular disease / H.R. Vasanthi, R. Muthuswamy, D.K. Das // Current Medicinal Chemistry, 2012.
3. Ляшенко В.И. Современные аспекты использования овса в диетическом питании / В.И. Ляшенко, И.А. Романенко // Вопросы питания. – 2016. – № 2. – С. 52-56.
4. Nutritional composition, health benefits and processing of oats / X. Zhang et al // Food Science and Human Wellness, 2021.
5. Гусев А.М. Аминокислотный состав зерновых культур и их пищевая ценность / А.М. Гусев. – Зерновое хозяйство России, 2020.
6. Codex Alimentarius. Standard for Processed Cereal-Based Foods for Infants and Young Children. Codex Stan 074-1981 (rev. 2006).

7. Власова Н.А. Функциональные свойства овса и перспективы его использования в продуктах здорового питания / Н.А. Власова, А.М. Гусев // Вестник Алтайского ГАУ. – 2020. – № 4. – С. 76-81.
8. ГОСТ 31665-2012. Масла растительные и жиры животные. Получение метиловых эфиров жирных кислот. – Введ. 2013-07-01. – М.: Стандартинформ, 2013. – 12 с.
9. Simopoulos, A.P. The importance of the omega-6/omega-3 fatty acid ratio in cardiovascular disease and other chronic diseases. Exp. Biol. Med., 2008.
10. Журавель И.А. Генетические особенности сортов овса и качество зерна / И.А. Журавель // Сельское хозяйство, 2021.
11. ТР ТС 021/2011. Технический регламент Таможенного союза «О безопасности пищевой продукции». – Утв. Решением Комиссии Таможенного союза от 9 декабря 2011 г. № 880. – Введён в действие с 1 июля 2013 г.

References

1. Gorbatova K.K. Khimiya pishchevykh produktov / K.K. Gorbatova. – M.: KoloSS, 2012. – 528 s. (In Russian).
2. Vasanthi H.R. Phytochemicals from plants to combat cardiovascular disease / H.R. Vasanthi, R. Muthuswamy, D.K. Das // Current Medicinal Chemistry, 2012. (In English).
3. Lyashenko V.I. Sovremennye aspekty ispol'zovaniya ovsa v dieticheskom pitanii / V.I. Lyashenko, I.A. Romanenko // Voprosy pitaniya. – 2016. – № 2. – S. 52-56. (In Russian).
4. Nutritional composition, health benefits and processing of oats / X. Zhang et al // Food Science and Human Wellness, 2021. (In English).
5. Gusev A.M. Aminokislotnyi sostav zernovykh kul'tur i ikh pishchevaya tsennost' / A.M. Gusev. – Zernovoe khozyaistvo Rossii, 2020. (In Russian).
6. Codex Alimentarius. Standard for Processed Cereal-Based Foods for Infants and Young Children. Codex Stan 074-1981 (rev. 2006). (In English).
7. Vlasova N.A. Funktsional'nye svoistva ovsa i perspektivy ego ispol'zovaniya v produktakh zdorovogo pitaniya / N.A. Vlasova, A.M. Gusev // Vestnik Altaiskogo GAU. – 2020. – № 4. – S. 76-81. (In Russian).
8. GOST 31665-2012. Masla rastitel'nye i zhiry zhivotnye. Poluchenie metilovykh ehfirov zhirnykh kislot. – Vved. 2013-07-01. – M.: Standartinform, 2013. – 12 s. (In Russian).
9. Simopoulos, A.P. The importance of the omega-6/omega-3 fatty acid ratio in cardiovascular disease and other chronic diseases. Exp. Biol. Med., 2008. (In English).
10. Zhuravel' I.A. Geneticheskie osobennosti sortov ovsa i kachestvo zerna / I.A. Zhuravel' // Sel'skoe khozyaistvo, 2021. (In Russian).
11. TR TS 021/2011. Tekhnicheskii reglament Tamozhennogo soyuza «O bezopasnosti pishchevoi produktsil». – Utv. Resheniem Komissii Tamozhennogo soyuza ot 9 dekabrya 2011 g. № 880. – Vveden v deistvie s 1 iyulya 2013 g. (In Russian).

А.Д. Мыржыкбаева[1]*, А.Ж. Хастаева[2], В.С. Жамурова[1], Г.Т. Юсупова[3], С.С.Толеубекова[4]
[1]Казахский национальный аграрный исследовательский университет,
050000, Республика Казахстан, г.Алматы, ул. Абая, 8
[2]Казахский университет технологии и бизнеса им. К. Кулажанова,
010000, Республика Казахстан, г.Астана, ул. Кайым Мухамедханов, 37А
[3]Казахский агротехнический исследовательский университет имени С. Сейфуллина,
010011, Республика Казахстан, г. Астана,пр. Жеңіс, 62
[4]Шәкәрім университет,
071412, Республика Казахстан, г. Семей, ул. Глинки, 20 А
*e-mail: Aidanadauletkeldi@mail.ru

СРАВНИТЕЛЬНОЕ ИССЛЕДОВАНИЕ АМИНОКИСЛОТНОГО И ЖИРНОКИСЛОТНОГО СОСТАВА ЗЕРНА ОВСА РАЗЛИЧНЫХ СОРТОВ

В данной статье представлены результаты сравнительного анализа аминокислотного и жирнокислотного состава зерна овса сортов «Думан», «Никола» и «Ишимский». Овёс является важным источником биологически активных веществ, включая незаменимые аминокислоты и полиненасыщенные жирные кислоты, которые играют важную роль в поддержании здоровья человека, укреплении иммунной системы и нормализации обмена веществ.

Сравнительный анализ был проведён на базе Японского центра при Казахском национальном аграрном исследовательском университете с использованием методов высокоэффективной жидкостной и газовой хроматографии. Исследуемое зерновое сырьё было предоставлено Научно-производственным центром земледелия имени А.И. Бараева.

По результатам исследования, сорт «Ишимский» показал наивысшие показатели по содержанию аминокислот: цистин – 1109,11 μg/ml, валин – 784,01 μg/ml, тирозин – 769,81 μg/ml, аргинин – 314,79 μg/ml, гистидин – 265,96 μg/ml, аланин – 242,93 μg/ml.

Сорт «Думан» также отличался высоким содержанием валина (535,35 μg/ml), тирозина (606,90 μg/ml), цистина (460,91 μg/ml), аргинина (216,61 μg/ml) и гистидина (178,47 μg/ml), а также наличием уникальных омега-3 жирных кислот, отсутствующих в других сортах: альфа-линоленовой (1,71 %), докозагексаеновой (0,218 %) и нервоновой кислот (0,367 %).

Указанные характеристики делают сорт «Думан» перспективным объектом для использования в функциональных пищевых продуктах, производстве овсяных напитков и разработке биологически активных добавок. Полученные данные представляют научный и практический интерес для селекционеров, технологов пищевой промышленности и специалистов в области нутрицевтики.

Ключевые слова: *овёс, сорта овса, аминокислотный состав, жирнокислотный состав, высокоэффективная жидкостная хроматография.*

A.D. Myrzhykbayeva[1]*, A.Zh. Khastayeva[2], V.S. Zhamurova[1], G.T. Yussupova[3], S.S. Toleubekova[4]

[1]Kazakh National Agrarian Research University,
050000, Republic of Kazakhstan, Almaty, Abay Street, 8
[2]Kazakh University of Technology and Business named after K. Kulyazhanov,
010000, Republic of Kazakhstan, Astana, Kaim Mukhamedkhanov Street, 37A
[3]S. Seifullin Kazakh Agrotechnical Research University,
010011, Republic of Kazakhstan, Astana, Zhenis Avenue, 62
[4]Shakarim University of Semey,
071412, Republic of Kazakhstan, Semey, Glinki Street, 20A
*e-mail: Aidanadauletkeldi@mail.ru

COMPARATIVE STUDY OF THE AMINO ACID AND FATTY ACID COMPOSITION OF OAT GRAIN OF DIFFERENT VARIETIES

This article presents the results of a comparative analysis of the amino acid and fatty acid composition of oat grains from three varieties: «Duman», «Nikola», and «Ishimsky2. Oats are an important source of biologically active compounds, including essential amino acids and polyunsaturated fatty acids, which play a crucial role in maintaining human health, supporting the immune system, and regulating metabolic processes.

The comparative study was conducted at the Japanese Center of the Kazakh National Agrarian Research University using high-performance liquid chromatography (HPLC) and gas chromatography (GC) methods. The oat grain samples were provided by the A.I. Baraev Scientific and Production Center of Grain Farming.

According to the results, the «Ishimsky» variety showed the highest concentrations of amino acids: cystine – 1109.11 μg/ml, valine – 784.01 μg/ml, tyrosine – 769.81 μg/ml, arginine – 314.79 μg/ml, histidine – 265.96 μg/ml, and alanine – 242.93 μg/ml.

The «Duman» variety also demonstrated high levels of valine (535.35 μg/ml), tyrosine (606.90 μg/ml), cystine (460.91 μg/ml), arginine (216.61 μg/ml), and histidine (178.47 μg/ml), as well as the presence of unique omega-3 fatty acids not found in other varieties: alpha-linolenic (1.71 %), docosahexaenoic (0.218 %), and nervonic acid (0.367 %).

These characteristics make the «Duman» variety a promising candidate for use in functional food products, oat-based beverages, and the development of biologically active supplements. The data obtained are of scientific and practical interest to breeders, food technologists, and specialists in the field of nutraceuticals.

Key words: *oats, oat varieties, amino acid composition, fatty acid composition, high-performance liquid chromatography.*

Авторлар туралы мәліметтер

Айдана Даулеткельдиевна Мыржыкбаева* – Phd докторанты, Қазақ ұлттық аграрлық зерттеу университеті, Қазақстан, Алматы қ.; e-mail: aidanadauletkeldi@yandex.ru. ORCID: https://orcid.org/0000-0002-2216-3674.

Айгерим Жанузаковна Хастаева – Phd, қауым.профессор, Қ. Құлажанов атындағы қазақ технология және бизнес университеті, Қазақстан, Астана қ.; e-mail: gera_or@mail.ru. ORCID: https://orcid.org/0000-0002-2679-0210.

Венера Серикбаевна Жамурова – а/ш.ғ.к қауым.профессор, Қазақ ұлттық аграрлық зерттеу университеті, Қазақстан, Алматы қ.; e-mail: zhamurova@yandex.kz. ORCID: https://orcid.org/0000-0002-0972-2785.

Гаухар Тургалиевна Юсупова – PhD, «Стандарттау, метрология және сертификаттау» кафедрасының аға оқытушысы, «С. Сейфуллин атындағы Қазақ агротехникалық зерттеу университеті» КЕАҚ, Астана қ., Қазақстан; e-mail: gaukhar.nitra@gmail.com. ORCID: https://orcid.org/0000-0002-1722-1294.

Сандугаш Сайлауовна Толеубекова – техника ғылымдарының кандидаты; қауымдастырылған профессор, «Биоинженерлік жүйелер» кафедрасы, Шәкәрім университеті, Семей қаласы, Қазақстан Республикасы; e-mail: saltosha-sandu@mail.ru. ORCID: https://orcid.org/0000-0003-2658-9514.

Сведения об авторах

Айдана Даулеткельдиевна Мыржыкбаева* – Phd докторант, Казахский национальный аграрный исследовательский университет, Алматы, Казахстан; e-mail: aidanadauletkeldi@yandex.ru. ORCID: https://orcid.org/0000-0002-2216-3674.

Айгерим Жанузаковна Хастаева – Phd, асс.профессор, Казахский университет технологии и бизнеса им. К. Кулажанова, Казахстан, Астана; e-mail: gera_or@mail.ru. ORCID: https://orcid.org/0000-0002-2679-0210.

Венера Серикбаевна Жамурова – к.с/х наук ассоц.профессор Казахский национальный аграрный исследовательский университет, Алматы, Казахстан; e-mail: zhamurova@yandex.kz. ORCID: https://orcid.org/0000-0002-0972-2785.

Гаухар Тургалиевна Юсупова – PhD, старший преподаватель кафедры «Стандартизация, метрология и сертификация», Казахский агротехнический исследовательский университет имени С. Сейфуллина, г. Астана, Казахстан; e-mail: gaukhar.nitra@gmail.com. ORCID: https://orcid.org/0000-0002-1722-1294.

Сандугаш Сайлауовна Толеубекова – кандидат технических наук; ассоциированный профессор; кафедра «Биоинженерные системы», Шәкәрім университет, г. Семей, Республика Казахстан; e-mail: saltosha-sandu@mail.ru. ORCID: https://orcid.org/0000-0003-2658-9514.

Information about the autors

Aidana Dauletkeldievna Myrzhykbayeva* – Phd student. Kazakh National Agrarian Research University, Kazakhstan, Almaty; e-mail: aidanadauletkeldi@yandex.ru. ORCID: https://orcid.org/0000-0002-2216-3674.

Aigerim Zhanuzakovna Khastayeva – PhD, ass.professor, Kazakh University of Technology and Business named after K.Kulazhanov, Kazakhstan, Astana; e-mail: gera_or@mail.ru. ORCID: https://orcid.org/0000-0002-2679-0210.

Venera Serikbaevna Zhamurova – Candidate of Agricultural Sciences, assoc.professor Kazakh National Agrarian Research University, Kazakhstan, Almaty; e-mail: zhamurova@yandex.kz. ORCID: https://orcid.org/0000-0002-0972-2785.

Gaukhar Turgaliyevna Yussupova – PhD, Senior Lecturer at the Department of «Standardization, Metrology and Certification», S. Seifullin Kazakh Agrotechnical Research University, NJSC, Astana, Kazakhstan; e-mail: gaukhar.nitra@gmail.com. ORCID: https://orcid.org/0000-0002-1722-1294.

Sandugash Toleubekova – Candidate of Technical Sciences; Associate Professor; Department of Bioengineering Systems, Shakarim University, Semey city, Republic of Kazakhstan; e-mail: saltosha-sandu@mail.ru. ORCID: https://orcid.org/0000-0003-2658-9514.

Редакцияға енуі 23.06.2025
Өңдеуден кейін түсуі 01.10.2025
Жариялауға қабылданды 07.10.2025

https://doi.org/10.53360/2788-7995-2025-4(20)-42

BY 4.0
Check for updates

ҒТАХР: 65.09.33

С.Е. Аман*, У.О. Тунгышбаева, А.К. Токтабаева, Р.К. Рахметуллаева, Ш.С. Аманова
Алматы Технологиялық Университеті,
050012, Қазақстан Республикасы, Алматы қ., Төле би 100
*e-mail: erbolatovnass@mail.ru

ТҰРАҚТЫ ДАМУ МАҚСАТТАРЫ: ТАБИҒИ ПОЛИМЕРЛЕР НЕГІЗІНДЕГІ БИОЫДЫРАЙТЫН ҚАПТАМАЛАРДЫ ӘЗІРЛЕУ ЖӘНЕ ОЛАРДЫҢ АЗЫҚ-ТҮЛІК ӨНІМДЕРІН САҚТАУ ТИІМДІЛІГІНЕ ӘСЕРІН ЗЕРТТЕУ

Аңдатпа: *Бұл мақалада биоыдырайтын қаптамалардың тағам өнімдерін сақтау мерзімі мен жарамдылығына әсері зерттеледі. Зерттеу нысаны ретінде тоқаш өнімі таңдалып, оның әртүрлі биоыдырайтын қаптама түрлерінде сақтау тиімділігі бағаланды. Қаптама ретінде экологиялық қауіпсіз, табиғи және жартылай синтетикалық полимерлерге негізделген материалдар: желатин, агар, крахмал, хитозан, натрий карбоксиметилцеллюлозасы (NaКМЦ), поливинил спирті (ПВС) пайдаланылды. Бұл материалдардың физика-химиялық тұрақтылығы, тағаммен өзара әрекеттесу қабілеті, температура мен ылғалдылыққа төзімділігі зерттеу барысында сарапталды.*

Зерттеу Біріккен Ұлттар Ұйымының Тұрақты даму мақсаттары (ТДМ) 12 – «Жауапты тұтыну мен өндіру» бағытына сәйкес келеді. Аталған мақсат экологиялық қауіпсіз шешімдер арқылы қалдықтар көлемін азайтып, ресурстарды тиімді қолдануға бағытталған. Бұл зерттеу биоыдырайтын қаптамаларды тағам өндірісіне енгізудің ғылыми және қолданбалы тұрғыдан маңыздылығын негіздейді.

Зерттеу нәтижесінде биоыдырайтын материалдардың сақтау тиімділігі біркелкі еместігі анықталды. Кейбір үлгілер ұзақ мерзімді сақтау барысында өнім сапасын жақсы деңгейде ұстап тұрса, басқа үлгілерде құрылымдық тұрақтылықтың жеткіліксіздігі байқалды. Сонымен қатар, қаптама сапасына әсер ететін факторлар – полимердің түрі, қалыңдығы мен ылғал өткізгіштік қасиеттері шешуші рөл атқаратыны дәлелденді.

Түйін сөздер: *биоыдырайтын қаптама, тоқаш өнімі, сақтау тиімділігі, тағам қауіпсіздігі, қаптама сәйкестігі, экологиялық қаптама, сақтау шарттары, полиэтилен қаптама.*

Кіріспе

Азық-түлік өнімдерін қаптауда қолданылатын дәстүрлі полимерлі материалдардың қоршаған ортаға ұзақ уақыт бойы ыдырамай тигізетін зияны бүгінгі күні жаһандық экологиялық проблема ретінде қарастырылуда.Полиэтилен және оған ұқсас синтетикалық материалдар биологиялық тұрғыдан ыдырамайтын қасиетке ие болғандықтан, оларды экологиялық таза баламалармен алмастыру қажеттігі туындап отыр. Осы бағытта биоыдырайтын қаптамалар – тағам өнеркәсібі үшін қауіпсіз әрі экологиялық шешім ретінде кеңінен зерттелуде [1].

Қазақстан Республикасында қолданыстағы ТР ТС 005/2011 «Қаптаманың қауіпсіздігі туралы» техникалық регламентінің 5-бабында қаптаманың (орауыш құралдарының) қауіпсіздігіне қойылатын талаптар қарастырылған. Онда қаптама өз мақсатына сай жобаланып, өндірісте қолданылу барысында конструкциялық ерекшеліктері арқылы қауіптерді азайтуы тиіс екені көрсетіледі. Сонымен қатар, қаптаманың қауіпсіздігі бірқатар талаптардың жиынтығы арқылы қамтамасыз етіледі. Атап айтқанда, тағаммен тікелей жанасатын материалдар санитариялық-гигиеналық көрсеткіштерге, механикалық беріктікке, химиялық төзімділікке және герметикалылыққа сай болуы керек [2].

Бүгінгі таңда биоыдырайтын қаптамалар табиғи және жартылай синтетикалық полимерлер негізінде жасалады. Мұндай материалдарға желатин, агар, крахмал, хитозан, натрий карбоксиметилцеллюлозасы (NaКМЦ), поливинил спирті (ПВС) және глицерин жатады. Бұлардан алынған пленка түріндегі өнімдер икемділік береді. Ал кей жағдайларда мырыш оксиді (ZnO) сияқты антимикробтық және қорғаныш қасиетке ие заттар қосылады. Бұл материалдардың тағам өнімдерімен тікелей жанасуға жарамдылығы, сондай-ақ қоршаған ортада ыдырау қабілеті жоғары екені белгілі [3].

Қазіргі уақытта Қазақстан Республикасында биоыдырайтын қаптамаларға қатысты МЕМСТ 33474-2016 «Оксо-биоыдырайтын қаптама. Жалпы техникалық шарттар» атты мемлекетаралық стандарты қолданыста бар. Аталған стандартта оксо-биоыдырайтын

қаптамаларға қойылатын жалпы техникалық талаптар көрсетілген. Дегенмен, бұл құжатта тағам өнімдерімен жанасатын биоыдырайтын қаптамаға арналған нақты регламенттелген талаптар көзделмеген. Осыған байланысты тағаммен жанасатын биоыдырайтын қаптамалардың сапасы мен қауіпсіздігіне қатысты талаптарды ғылыми тұрғыдан негіздеу қажеттілігі туындайды. Мәселен, биоыдырайтын қаптамалар өндірісі бойынша алғашқы өндірістік желі Астана қаласында іске қосылды. Жобаланған қаптамалар салмаққа төзімділік қасиеті бойынша 13 килограммға дейінгі жүктемеге шыдай алады. Қаптаманың құрамына целлюлоза, крахмал және сүт қышқылы негізіндегі компоненттер кіреді. Өндірушілер ай сайын 5 миллион данаға дейін биоыдырайтын пакет шығару мүмкіндігі бар екенін және бұл өндіріс көлемі ішкі нарықтағы сұранысты толық қанағаттандыруға жететінін мәлімдеген. Алайда айтылған мәселе республиканың бұл саладығы мәселесін толық шешпейді,. Сол себепті бұл салада табиғи полимерлер негізіндегі биоыдырайтын қаптамалардың өндірісін ғылыми негіздеу маңызды заман талабы.

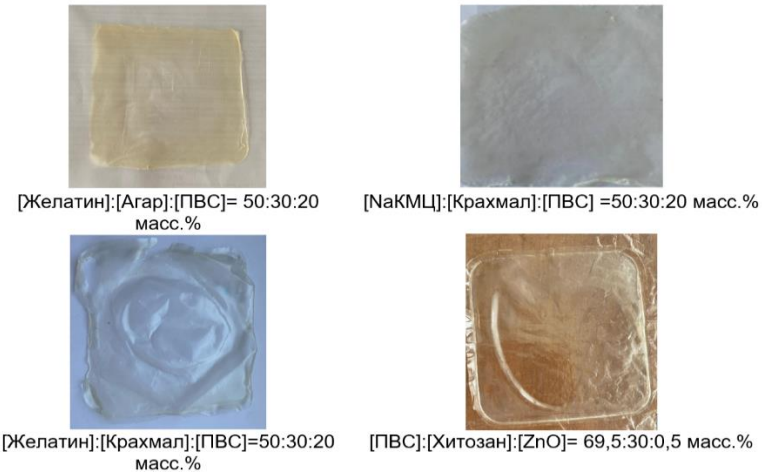
Экологиялық қаптамалар арнайы гранулдардан алынады. Бұл гранулдар сүт қышқылы, целлюлоза және модификацияланған крахмал негізінде дайындалады. Шикізат бункерге салынып, жоғары температурада қыздырылғаннан кейін дайын пакетке айналады. Өндіріс желісі минутына 100 данаға дейін пакет шығара алады. Осылайша, айына 5 миллион данаға дейін өнім өндіруге мүмкіндік бар. Кәсіпорын өкілдерінің айтуынша, өндірілетін өнім еліміздің нарығындағы биоыдырайтын пакетке деген сұранысты толық қамтамасыз етуге қауқарлы [4, 5].

Осы зерттеу аясында зертханалық жағдайда дайындалған тоқаш өнімі жеті түрлі қаптамаға салынып, олардың сақтау шарттарына сәйкестігі бағаланды. Оның ішінде төрт үлгі зерттеу барысында арнайы әзірленген биоыдырайтын материалдардан жасалса, екеуі сатылымда бар дайын биоыдырайтын пакеттер болды. Салыстыру мақсатында стандартты полиэтилен пленкасы бақылау үлгісі ретінде қолданылды. Барлық үлгілерге бірдей температура мен бастапқы ылғалдылық жағдайында талдау жүргізілді. Бұл зерттеу биоыдырайтын қаптамаларды нақты тағам түріне сәйкестендіріп қолдану қажеттігін көрсетеді. Сонымен қатар, қаптама құрамының өнім сапасына әсерін ғылыми негізде бағалауға мүмкіндік беріп, экологиялық тұрғыдан қауіпсіз балама жасауға жол ашады [6, 7].

Зерттеу әдістері

Биоыдырағыш қаптама үлгілерін жасау. Зерттеу нысаны ретінде ашытылған қамырдан дайындалған тоқаш өнімі және оған қолданылған жеті түрлі қаптама үлгісі алынды. Зерттеу үшін қолданылған төрт түрлі биоыдырайтын қаптама үлгісі әл-Фараби атындағы Қазақ ұлттық университетінің химия және химиялық технология факультетінің органикалық заттар, табиғи қосылыстар және полимерлер химиясы мен технологиясы кафедрасында арнайы дайындалды.

Қаптамалар ретінде қолдану үшін композициялық табиғи үлдір түзуші заттарды (желатин, агар, крахмал, NaКМЦ, хитозан, ПВС) қажетті құрамда ерітіліп, үлдірлер алу үшін 60℃ температурада және араластыру жылдамдығы 300 айн/мин-да 10 минут араластырылды. Кейін композицияға пластификатор ретінде есептелген глицерин енгізіліп, қоспа тағы да 10 минут араластырылады. Алынған ерітінді қалыптарға құйылып, 3-4 тәулік еріткіштерінен буландырылады (Сурет 1).



Сурет 1 – Биоыдырағыш қаптама түрлері

Үлдірлердің биоыдырағыштығын зерттеу. Үлдірлердің табиғи ортада ыдырау қабілетін бағалау мақсатында биологиялық ыдырағыштыққа зерттеу жүргізілді. Бұл зерттеу МЕМСТ 13432-2015 стандартының талаптарына сәйкес ұйымдастырылды. Аталған стандарт биоыдырауға бейім материалдардың компост жағдайындағы ыдырау жылдамдығы мен деңгейін анықтауға мүмкіндік береді және олардың экологиялық қауіпсіздігін бағалаудың негізгі әдістемесі болып саналады.

Зерттеу әдістемесіне сәйкес, әр үлдірден біркелкі өлшемде кесінділер дайындалды. Әрбір үлгі органикалық заттарға бай бақша топырағына көміліп, пластик контейнерлерде сақталды. Топырақ ретінде бейтарап pH-ты, табиғи микрофлораға бай, торф негізіндегі универсалды топырақ қоспасы қолданылды. Инкубация процесі бөлме температурасында 25 ± 1°C және 60-70% салыстырмалы ылғалдылық жағдайында жүргізілді. Ылғалдылық деңгейі тұрақты бақылауда ұсталып, қажет болған жағдайда топырақ дистилденген сумен ылғалдандырылып отырды.

Зерттеу мерзімі 12 аптаға созылды. Апта сайын үлгілер топырақтан алынып, массасы өлшеніп отырды. Осылайша, бастапқы және соңғы масса арасындағы айырмашылық бойынша үлдірлердің биодеструкция дәрежесі анықталды.Тоқаш өнімінің рецептурасы «Сборник рецептур мучных кондитерских и булочных изделий для предприятий общественного питания» (Санкт-Петербург: МТК Троицкий мост, 2017) жинағындағы №107 рецептураға негізделді [8].

Зерттеу нысандары. Зерттеу жұмысында жоғарыда айтылған биоыдырайтын қаптамалардан бөлек салыстыру мақсатында сатылымдағы биоыдыратын қаптама түрлері мен полиэтилен қаптамасы таңдалып алынды (кесте 1).

Кесте 1 – Биоыдырайтын және бақылау қаптамаларының сипаттамалары

№ үлгі	Қаптама түрлері	Биодеструкция дәрежесі	Сақтау мерзімі
1	[Желатин]:[Агар]:[ПВС]= 50:30:20 масс.%	12 апта	-
2	[NaКМЦ]:[Крахмал]:[ПВС]=50:30:20 масс.%	12 апта	-
3	[Желатин]:[Крахмал]:[ПВС]=50:30:20 масс.%	12 апта	-
4	[ПВС]:[Хитозан]:[ZnO]=69,5:30:0,5 масс.%	12 апта	-
5	Сатылымдағы биоыдырайтын қаптама № 1	-	1 жыл
6	Сатылымдағы биоыдырайтын қаптама № 2	-	1 жыл
Бақылау үлгісі	Полиэтилен	-	-

Сатылымдағы биоыдырайтын қаптама № 1 төмен қысымды полиэтиленнен (HDPE) дайындалған және құрамында биоыдырауды қамтамасыз ететін қоспалар бар. Бұл қаптама көкөніс пен жеміс-жидектерді сақтау және мұздату үшін қолданылады. Өндіруші мәліметтері бойынша жарамдылық мерзімі – 1 жыл. Сатылымдағы биоыдырайтын қаптама № 2 полиэтилен негізінде жасалып, оған экологиялық тұрғыдан қауіпсіз биоыдырайтын қоспа енгізілген. Аталған қаптама тағамдық өнімдерді сақтау мен орау мақсатында пайдаланылады, сақтау мерзімі – 1 жыл. Дегенмен қаптама бетінде нақты қоспалардың атауы мен мөлшері көрсетілмегендіктен, зерттеу барысында олар жалпы сипаттамасы бойынша бағаланды.

Зерттеу барысында салыстыру үшін бақылау үлгісі ретінде полиэтилен қаптамасы қолданылды. Полиэтилен қазіргі таңда ең көп таралған қаптама материалының бірі. Ол механикалық беріктігімен, икемділігімен және ылғалға төзімділігімен ерекшеленеді. Алайда оның басты кемшілігі – табиғи ортада ұзақ уақыт бойы ыдырамауы, бұл экологиялық тұрғыдан айтарлықтай мәселе туындатады.

Аталған қаптамалар тағамдық өнімдердің сақтау мерзімі мен сапасына ықпалын бағалау үшін пайдаланылды. Бұл мақсатта бидай ұны (МЕМСТ 26574-2017), қант (МЕМСТ 21-94), ашытқы (МЕМСТ 171-81) талаптарына сәйкес алынған. Рецептураға маргарин, тұз, ванилин енгізіліп, тоқаш өнімдері қалыпқа келтіріліп, 230-240 °C температурада 12-15 минут бойы пісірілді (сурет 2).

Сонымен қатар, сақтау барысындағы сапалық өзгерістерді бағалау мақсатында органолептикалық талдау жүргізілді. Бұл әдіс бойынша өнімдердің түсі, иісі, сыртқы көрінісі мен құрылымдық қасиеттері күнделікті визуалды бақылау арқылы тіркеліп отырды. Әр қаптама

үлгісімен қапталған тоқаш өнімдерінің органолептикалық көрсеткіштері 7 күн бойы салыстырмалы түрде бағаланды.



Сурет 2 – Тоқаш өнімін дайындау процессі

Өнімнің толық піскендігі беткі қабаттың қызаруы мен ішкі құрылымының біртекті болуымен анықталды (сурет 3).



Сурет 3 – Пісірілген тоқаш өнімінің температурасы

Пісіруден кейін дайын өнім бөлме температурасында салқындатылып, +25 °С-та қаптамаларға салынды.

Зерттеуде қолданылған полиэтилен қаптама полимерлі материалдарға арналған МЕМСТ 10354-82 талаптарына сәйкес алынды. Ал биоыдырайтын қаптама үлгілерінің тиімділігі мен тағам өнімдеріне сәйкестігі EN 13432-2015 халықаралық стандарттарына сәйкес салыстырмалы түрде бағаланды [9, 10].

Зерттеу нәтижелері және оларды талқылау

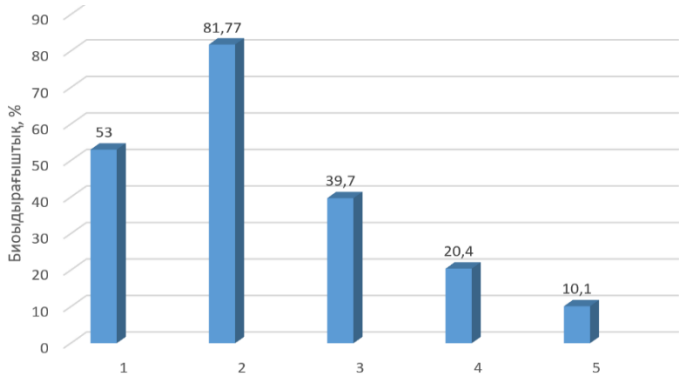
Бұл бөлімде табиғи полимерлер негізіндегі биоыдырайтын қаптамаларды дайындау және сынау нәтижелері келтірілді. Полимерлі үлдірдің қоршаған ортада биологиялық ыдырау қабілеті – оның экологиялық қауіпсіздігін және компосттауға жарамдылығын бағалаудағы негізгі көрсеткіштердің бірі. Осы зерттеу барысында КМЦ, крахмал, желатин және поливинил спирті (ПВС) негізінде алынған үлдірлердің биоыдырағыштық қасиеті бағаланды. Зерттеу жұмысы 12 апта бойы жүргізіліп, әр апта сайын үлдір массасының өзгерісі тіркеліп отырды. Үлгілердің бастапқы және қалған массасы бойынша ыдырау дәрежесі есептеліп, салыстырмалы талдау жүргізілді.

Зерттеуге келесі үлдір түрлері алынды: [Желатин]:[Агар]:[ПВС]= 50:30:20 масс.%; [NaКМЦ]:[Крахмал]:[ПВС] =50:30:20 масс.%; [Желатин]:[Крахмал]:[ПВС]= 50:30:20 масс.%; [ПВС]:[Хитозан]:[ZnO]= 69,5:30:0,5 масс.% және салыстырмалы бақылау үлгісі ретінде биологиялық ыдырамайтын полиэтилен (ПЭ) қолданылды.

Әр үлгінің бастапқы массасы өлшеніп, кейіннен апталық өзгерісі жазылып отырды. Нәтижелер негізінде биоыдырау дәрежесі пайыздық түрде есептелді. Биодеструкция көрсеткіші ретінде массаның салыстырмалы жоғалтуы (%) қолданылды. Нәтижелер сурет 4-де берілген.

12 аптадан кейін алынған нәтижелерге сүйенсек, ең жоғары биоыдырау дәрежесі [ПВС]:[Хитозан]:[ZnO]= 69,5:30:0,5 масс.% құралған үлдірде байқалды. Бұл үлгінің массасы бастапқы 0,4517 г-нан 0,0823 г-ға дейін төмендеп, жалпы массаның 72,1%-ы ыдырауға ұшыраған (сурет 4). Сол сияқты, [Желатин]:[Крахмал]:[ПВС] = 50:30:20 масс.% үлдірінің де ыдырау дәрежесі жоғары болды – 53,0%. Салыстырмалы түрде қолданылған синтетикалық

ыдырамайтын полиэтилен 12 аптада 10,1% ғана ыдырағанын бақылауға болады. Бұл табиғи биополимерлердің ферментативтік әсерге сезімтал екенін дәлелдейді.



Сурет 4 – Полимерлі үлдірлердің биоыдырағыштығы

1. [Желатин]:[Крахмал]:[ПВС] = 50:30:20 масс.%; 2. [ПВС]:[Хитозан]:[ZnO] = 69,5:30:0,5 масс.%; 3. [Желатин]:[Агар]:[ПВС] = 50:30:20 масс.%; 4. [NaКМЦ]:[Крахмал]:[ПВС] = 50:30:20 масс.%; 5. ПЭ

Табиғи полимерлер негізіндегі биоыдырайтын қаптамаларда азық-түлік өнімдерін сақтау нәтижелері. Зерттеу барысында дайындалған тоқаш өнімдері +25°С температураға дейін суытылып барлық қаптама үлгілеріне салынып, 7 тәулік бойы бірдей сақтау режимінде бақылауға алынды.

7 күн бойы әр қаптама үлгісінде өнім жағдайы күн сайын бағаланып отырды. Бағалау барысында өнімнің құрғау дәрежесі, көгеру белгілерінің пайда болуы, қаптама материалының тұтастығы және құрылымдық өзгерістері ескерілді. Салыстырмалы нәтижелер 2-кестеде келтірілген.

Кесте 2 – Қаптамалардың сақтау нәтижелері (7 күндік бақылау негізінде)

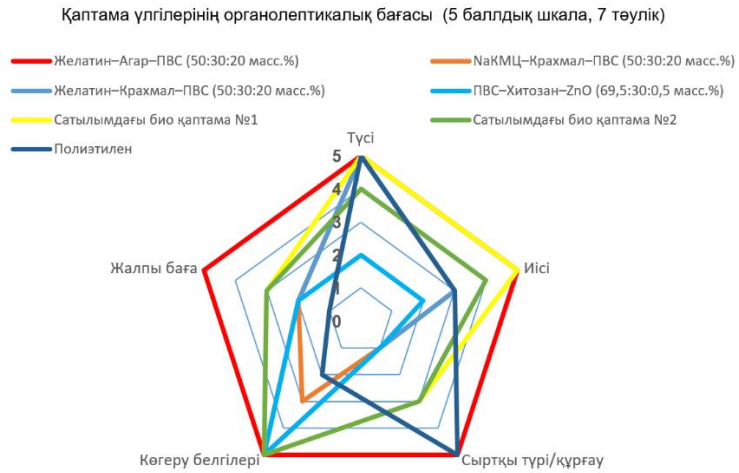
№	Қаптама құрамының сипаттамасы	Сақтау ұзақтығы, күн	5-7 тәуліктегі өнім жағдайы	Жалпы бағалау
1	[Желатин]:[Агар]:[ПВС]= 50:30:20 масс.%	7 (орташа)	5-ші күннен бастап кебу байқалды	Сәйкес келеді
2	[NaКМЦ]:[Крахмал]:[ПВС] =50:30:20 масс.%	1	1 күннен кейін кеуіп кетті	Сәйкес емес
3	[Желатин]:[Крахмал]:[ПВС]= 50:30:20 масс.%	1	1 күннен кейін кеуіп кетті	Сәйкес емес
4	[ПВС]:[Хитозан]:[ZnO]= 69,5:30:0,5 масс.%	2	2 күнге жетпей құрғау, бөгде иіс тіркелді	Сәйкес емес
5	Сатылымдағы биоыдырайтын пакет №1	3	3-ші күнге дейін қалыпты, кейін өнімнің бөлшектенуі	Шартты түрде сәйкес
6	Сатылымдағы биоыдырайтын пакет №2	3	3-ші күнге дейін қалыпты, кейін өнімнің бөлшектенуі	Шартты түрде сәйкес
7	Полиэтилен қаптамасы	5	5-ші күнге дейін қалыпты, өнімнің бөлшектенуі	Сәйкес емес

Сонымен қатар, өнімнің сақтау процесіндегі органолептикалық көрсеткіштері де бағаланды. Оның нәтижелері 3-кестеде көрсетілген.

Органолептикалық бағалаумен қатар, тоқаш өнімдерінің сақтау мерзімі ішінде ылғал мөлшерінің өзгерісі де маңызды фактор ретінде қарастырылды. Осы мақсатта өнім үлгілерінен бастапқы ылғалдылықты анықтау үшін арнайы аспаптық талдау жүргізілді. Бұл талдау өнім сапасының физика-химиялық көрсеткіштерін бағалауға мүмкіндік берді. Бастапқы ылғалдылықты анықтау мақсатында үш түрлі салмақтағы үлгілер (екі дана – 30 г, бір дана – 50 г) таңдалып алынған болатын. Тоқаш өнімдері әртүрлі қаптама материалдарында 7 тәулік бойы бөлме температурасында сақталып, органолептикалық көрсеткіштер бойынша бағаланды (түсі, иісі, сыртқы түрі/құрғау, көгеру белгілері, жалпы баға). Зерттеуге Желатин – Агар – ПВС, NaКМЦ – Крахмал – ПВС, Желатин – Крахмал – ПВС, ПВС – Хитозан – ZnO, сатылымдағы био қаптамалар № 1 – № 2 және бақылау ретінде полиэтилен енгізілді (сурет 5).

Кесте 3 – Қаптама үлгілеріне байланысты тоқаш өнімінің органолептикалық бағасы (7 күндік бақылау)

№	Қаптама үлгісі	Түсінің өзгеруі	Иісінің өзгеруі	Құрғау белгілері	Жалпы визуалды баға
1	[Желатин]:[Агар]:[ПВС]= 50:30:20 масс.%	Жоқ	Жоқ	5-күні байқалды	Жақсы, жарамды
2	[NaКМЦ]:[Крахмал]:[ПВС] =50:30:20 масс.%	Жоқ	Әлсіз иіс	1-күні	Жарамсыз
3	[Желатин]:[Крахмал]:[ПВС]= 50:30:20 масс.%	Жоқ	Әлсіз иіс	1-күні	Жарамсыз
4	[ПВС]:[Хитозан]:[ZnO]= 69,5:30:0,5 масс.%	Түс өзгерді	Бөгде иіс	2-күнге жетпеді	Жарамсыз
5	Сатылымдағы био қаптама №1	Жоқ	Жоқ	3-күні	Шартты жарамды
6	Сатылымдағы био қаптама №2	Жоқ	Жоқ	3-күні	Шартты жарамды
7	Полиэтилен	Жоқ	Әлсіз иіс	5-күні көгеру	Жарамсыз (көгеру бар)



Сурет 5 – Қаптама үлгілерінің органолептикалық бағасы (5 баллдық шкала, 7 тәулік)

Радар-диаграмма қаптама түрлерінің органолептикалық тұрақтылығын айқын көрсетті. Желатин–Агар–ПВС (50:30:20 масс.%) түсі мен иісін сақтап, беткі құрғау мен көгеру белгісі байқалмай, ең жоғары нәтижені көрсетті. Сатылымдағы био қаптамалар №1–№2 орташа деңгейде, ішінара құрғау әсері байқалады (шартты тиімді). NaКМЦ–Крахмал–ПВС және Желатин–Крахмал–ПВС үлгілерінде ерте ақаулану (бетінің тез құрғауы) тіркеліп, органолептикалық көрсеткіштер төмендеді. ПВС–Хитозан–ZnO (69,5:30:0,5 масс.%) түс пен иіс бойынша әлсіреу байқатты. Полиэтиленде сақтау соңында көгеру тіркеліп, органолептикалық жарамдылығы төмен болды.

Тоқаш өнімі – сүт, қант және ванилин негізіндегі байытылған құрамға ие болғандықтан, МЕМСТ 27844-88 стандарты бойынша «сдобные булочные изделия» тобына жатады [11, 12]. Аталған стандарттың 4-кестесіне сәйкес, бұл өнімдер үшін рұқсат етілетін ылғалдылық мөлшері 34,0%-дан аспауы тиіс (кесте 4).

Кесте 4 – Тоқаш өнімінің бастапқы ылғалдылығы бойынша зерттеу нәтижесі

№	Үлгі салмағы (г)	Ылғалдылық мөлшері, %	Стандарт бойынша шекті мән (%)	Бағалау
1	30	22,9	≤ 34,0	Сәйкес келеді
2	30	23,1	≤ 34,0	Сәйкес келеді
3	50	23,0	≤ 34,0	Сәйкес келеді
Орташа мән	–	23		Сәйкес

Бастапқы ылғалдылық барлық үлгілерде бір деңгейде болғандықтан, кейін байқалған органолептикалық айырмашылықтар негізінен қаптама материалдарының қасиеттерімен түсіндіріледі. Салыстырмалы талдау Желатин–Агар–ПВС (50:30:20 масс.%) қаптамасының тиімді екенін көрсетті. Бұл қаптамада тоқаш өнімі алғашқы үш тәулік бойы өзінің құрылымын,

жұмсақтығын және сыртқы сапасын жақсы сақтады. МЕМСТ 31805-2018 стандартына сәйкес, қаптамадағы тоқаш өнімдерінің сақтау мерзімі 48 сағаттан аспауы тиіс [13,14]. Сондықтан бұл үлгінің көрсеткіші белгіленген нормативке толық сәйкес келеді. Био-қаптамалар №1–№2 орташа деңгейде, ал қалған қаптама үлгілерінде өнімнің тұтынуға жарамдылық мерзімі 1–2 күнмен шектеліп, кейбір жағдайларда көгеру және өнімде құрылымдық бөлшектену ерте басталғаны байқалды. Осылайша, табиғи полимерлер негізіндегі бұл биоыдырайтын қаптама тоқаш өнімін сақтау талаптарына сай келіп, экологиялық және технологиялық тұрғыдан тиімді шешім ретінде танылды [15].

Қорытынды

Жүргізілген зерттеу нәтижелері табиғи полимерлер негізінде дайындалған биоыдырайтын қаптамалардың тоқаш өнімдерін сақтау тиімділігіне айтарлықтай ықпал ететінін көрсетті. Қолданылған үлгілердің ішінде желатин–агар–ПВС–глицерин композициясы ең жоғары нәтижеге қол жеткізіп, өнімнің органолептикалық көрсеткіштерін және физика-химиялық тұрақтылығын МЕМСТ 31805-2018 талабына сәйкес мерзімге дейін сақтап тұрды. Бұл үлгінің ерекшелігі – ылғал деңгейін тұрақты ұстап, өнімнің құрылымдық тұтастығын бұзбай, көгеру белгілерінің пайда болуына жол бермеуі.

Қалған қаптамаларда сақтау мерзімі қысқа болып, 1-3 күн ішінде өнімнің құрғауы, иісінің өзгеруі немесе құрылымдық бұзылуы байқалды. Мұндай нәтижелер олардың газөткізгіштік қабілеті, механикалық беріктігі және микробиологиялық тосқауылдық қасиеттері жеткіліксіз екенін айқындады. Осы деректер биоыдырайтын қаптаманың тиімділігі оның құрамындағы полимерлік компоненттердің арақатынасына, қалыңдығына және физика-химиялық қасиеттеріне тікелей байланысты екенін дәлелдейді.

Алдағы уақытта биоыдырайтын қаптамалардың сапасын жетілдіру үшін полимер қоспаларын оңтайландыру, қалыңдығы мен тығыздығын реттеу, табиғи антимикробтық компоненттер енгізу және конденсат түзілуін болдырмайтын жаңа модификацияларды әзірлеу маңызды. Сонымен қатар, алынған нәтижелерді тек тоқаш өнімдерімен ғана емес, басқа да нан-тоқаш және кондитерлік өнімдермен салыстырмалы түрде тексеру қажет. Мұндай кешенді зерттеулер биоыдырайтын қаптамаларды өндірістік масштабта кеңінен енгізуге мүмкіндік беріп, тағам қауіпсіздігін қамтамасыз етуге, өнім сапасын арттыруға және экологиялық тұрақтылықты нығайтуға жол ашады.

Әдебиеттер тізімі

1. Biodegradable polymers for food packaging: a review / V. Siracusa et al // Trends in Food Science & Technology. – 2008. – Vol. 19, № 12. – P. 634-643.
2. Кодекс Республики Казахстан «О зеленой экономике» [Электрон. ресурс]. – 2016. – URL: https://adilet.zan.kz/rus/docs/H16EV000096 (дата обращения: 24.08.2025).
3. Thompson G. Biodegradable packaging: A review of materials and applications / G. Thompson, L. Clark // Trends in Food Science & Technology. – 2021. – Vol. 118, Part A. – P. 285-296.
4. Производство эко-пакетов [Электрон. ресурс]. – 2020. – URL: https://greenpole.su/proizvodstvo-jeko-paketov/ (дата обращения: 24.08.2025).
5. Оборудование для производства биоразлагаемых эко-пакетов [Электрон. ресурс]. – 2020. – URL: https://paketodel.ru/info/articles/oborudovanie-dlya-proizvodstva-biorazlagaemykh-eko-paketov/ (дата обращения: 24.08.2025).
6. Recent advances on chitosan-based films for sustainable food packaging applications / H. Haghighi et al // Food Packaging and Shelf Life. – 2020. – Vol. 26. – Article 100551.
7. Сергазиева О.Д. Применение пленок на основе желатина для сохранения качества пищевых продуктов / О.Д. Сергазиева, Н. Долганова // Техника и технология пищевых производств. – 2018. – Т. 48, № 1. – С. 156-163
8. Сборник рецептур мучных кондитерских и булочных изделий для предприятий общественного питания: справочник. – Санкт-Петербург: МТК Троицкий мост, 2017. – 194 с.
9. EN 13432:2000. Requirements for packaging recoverable through composting and biodegradation – Test scheme and evaluation criteria for the final acceptance of packaging. – Brussels: European Committee for Standardization (CEN), 2015. – 20 p.
10. ГОСТ Р 54533-2011. Упаковка. Требования к биоразлагаемости [Электрон. ресурс]. – URL: https://meganorm.ru/Data2/1/4293738/4293738651.pdf (дата обращения: 24.08.2025).

11. ГОСТ 27844-88. Пластмассы. Методы испытаний на биоразлагаемость [Электрон. ресурс]. – URL: https://allgosts.ru/67/060/gost_27844-88 (дата обращения: 24.08.2025).
12. Технический регламент Таможенного союза «О безопасности упаковки» (ТР ТС 005/2011) [Электрон. ресурс]. – URL: https://online.zakon.kz/Document/?doc_id=30517012 (дата обращения: 24.08.2025).
13. ГОСТ ISO 14855-1-2014. Определение степени биоразложения [Электрон. ресурс]. – URL: https://files.stroyinf.ru/Data2/1/4293734/4293734203.pdf (дата обращения: 24.08.2025).
14. ГОСТ Р 54257-2010. Экологические требования к упаковке [Электрон. ресурс]. – URL: https://internet-law.ru/gosts/gost/69820/ (дата обращения: 24.08.2025).
15. Zinc oxide enhanced the antibacterial efficacy of biodegradable PBAT/PBS nanocomposite films: Morphology and food packaging properties / K. Promhuad et al // Food Bioscience. – 2023. – Vol. 51. – Article 103077.

References

1. Biodegradable polymers for food packaging: a review / V. Siracusa et al // Trends in Food Science & Technology. – 2008. – Vol. 19, № 12. – R. 634-643. (In English).
2. Kodeks Respubliki Kazakhstan «O zelenoi ehkonomikE» [Ehlektron. resurs]. – 2016. – URL: https://adilet.zan.kz/rus/docs/H16EV000096 (data obrashcheniya: 24.08.2025). (In Russian).
3. Thompson G. Biodegradable packaging: A review of materials and applications / G. Thompson, L. Clark // Trends in Food Science & Technology. – 2021. – Vol. 118, Part A. – R. 285-296. (In English).
4. Proizvodstvo ehko-paketov [Ehlektron. resurs]. – 2020. – URL: https://greenpole.su/proizvodstvo-jeko-paketov/ (data obrashcheniya: 24.08.2025). (In Russian).
5. Oborudovanie dlya proizvodstva biorazlagaemykh ehko-paketov [Ehlektron. resurs]. – 2020. – URL: https://paketodel.ru/info/articles/oborudovanie-dlya-proizvodstva-biorazlagaemykh-eko-paketov/ (data obrashcheniya: 24.08.2025). (In Russian).
6. Recent advances on chitosan-based films for sustainable food packaging applications / N. Haghighi et al // Food Packaging and Shelf Life. – 2020. – Vol. 26. – Article 100551. (In English).
7. Sergazieva O.D. Primenenie plenok na osnove zhelatina dlya sokhraneniya kachestva pishchevykh produktov / O.D. Sergazieva, N. Dolganova // Tekhnika i tekhnologiya pishchevykh proizvodstv. – 2018. – T. 48, № 1. – S. 156-163. (In Russian).
8. Sbornik retseptur muchnykh konditerskikh i bulochnykh izdelii dlya predpriyatii obshchestvennogo pitaniya: spravochnik. – Sankt-Peterburg: MTK Troitskii most, 2017. – 194 s. (In Russian).
9. EN 13432:2000. Requirements for packaging recoverable through composting and biodegradation – Test scheme and evaluation criteria for the final acceptance of packaging. – Brussels: European Committee for Standardization (CEN), 2015. – 20 p. (In English).
10. GOST R 54533-2011. Upakovka. Trebovaniya k biorazlagaemosti [Ehlektron. resurs]. – URL: https://meganorm.ru/Data2/1/4293738/4293738651.pdf (data obrashcheniya: 24.08.2025). (In Russian).
11. GOST 27844-88. Plastmassy. Metody ispytanii na biorazlagaemost' [Ehlektron. resurs]. – URL: https://allgosts.ru/67/060/gost_27844-88 (data obrashcheniya: 24.08.2025). (In Russian).
12. Tekhnicheskii reglament Tamozhennogo soyuza «O bezopasnosti upakovkI» (TR TS 005/2011) [Ehlektron. resurs]. – URL: https://online.zakon.kz/Document/?doc_id=30517012 (data obrashcheniya: 24.08.2025). (In Russian).
13. GOST ISO 14855-1-2014. Opredelenie stepeni biorazlozheniya [Ehlektron. resurs]. – URL: https://files.stroyinf.ru/Data2/1/4293734/4293734203.pdf (data obrashcheniya: 24.08.2025). (In Russian).
14. GOST R 54257-2010. Ehkologicheskie trebovaniya k upakovke [Ehlektron. resurs]. – URL: https://internet-law.ru/gosts/gost/69820/ (data obrashcheniya: 24.08.2025). (In Russian).
15. Zinc oxide enhanced the antibacterial efficacy of biodegradable PBAT/PBS nanocomposite films: Morphology and food packaging properties / K. Promhuad et al // Food Bioscience. – 2023. – Vol. 51. – Article 103077. (In English).

Қаржыландыру: *Бұл зерттеу Қазақстан Республикасы Ғылым және Жоғары Білім министрлігінің қаржыландыруымен 2025-2027 жылдарға арналған ғылыми және ғылыми-техникалық жобаларды гранттық қаржыландыру аясында келесі жоба: ИРН № AP26198637*

«Разработка биоразлагаемой упаковки на основе природных полимеров и исследование её влияния на безопасность хлебобулочных изделий» шеңберінде жүзеге асырылды.

С.Е. Аман*, У.О. Тунгышбаева, А.К. Токтабаева, Р.К. Рахметуллаева, Ш.С. Аманова
Алматинский Технологический Университет,
050012, Республика Казахстан, г. Алматы, ул. Толе би, 100
*e-mail: erbolatovnass@mail.ru

ЦЕЛИ УСТОЙЧИВОГО РАЗВИТИЯ: РАЗРАБОТКА БИОРАЗЛАГАЕМЫХ УПАКОВОК НА ОСНОВЕ ПРИРОДНЫХ ПОЛИМЕРОВ И ИССЛЕДОВАНИЕ ИХ ВЛИЯНИЯ НА ЭФФЕКТИВНОСТЬ ХРАНЕНИЯ ПИЩЕВЫХ ПРОДУКТОВ

В статье исследуется влияние биоразлагаемой упаковки на срок хранения и пригодность пищевых продуктов. В качестве объекта исследования выбрано мучное изделие (булочка), для которого оценивалась эффективность хранения в различных видах биоразлагаемой упаковки. В качестве упаковочных материалов использованы экологически безопасные природные и полусинтетические полимеры: желатин, агар, крахмал, хитозан, натрий карбоксиметилцеллюлоза (NaKMЦ) и поливиниловый спирт (ПВС). В ходе исследования анализировались физико-химическая стабильность данных материалов, их взаимодействие с пищевой продукцией, а также устойчивость к температуре и влажности.

Работа выполнена в соответствии с Целью устойчивого развития ООН (ЦУР) № 12 «Ответственное потребление и производство», направленной на сокращение объема отходов и рациональное использование ресурсов посредством экологически безопасных решений. Проведённое исследование подтверждает как научную, так и прикладную значимость внедрения биоразлагаемой упаковки в пищевую промышленность.

Результаты показали, что эффективность хранения в биоразлагаемой упаковке не является однородной: некоторые образцы сохраняли качество продукции в течение длительного времени, в то время как другие характеризовались недостаточной структурной стабильностью. Установлено, что решающими факторами, определяющими качество упаковки, являются тип используемого полимера, его толщина и влаго и газопроницаемость.

Ключевые слова: *биоразлагаемая упаковка, булочка, эффективность хранения, пищевая безопасность, соответствие упаковки, экологическая упаковка, условия хранения, полиэтиленовая упаковка.*

S.E. Aman*, U.O. Tungyshbayeva, A.K. Toktabayeva, R.K. Rakhmetullayeva, Sh.S. Amanova
Almaty Technological University
050012, Republic of Kazakhstan, Almaty, Tole bi 100
*e-mail: erbolatovnass@mail.ru

SUSTAINABLE DEVELOPMENT GOALS: DEVELOPMENT OF BIODEGRADABLE PACKAGING BASED ON NATURAL POLYMERS AND INVESTIGATION OF THEIR IMPACT ON THE STORAGE EFFICIENCY OF FOOD PRODUCTS

This article investigates the influence of biodegradable packaging on the shelf life and suitability of food products. A bun was chosen as the research object, and its preservation efficiency in various types of biodegradable packaging was evaluated. As packaging materials, environmentally safe natural and semi-synthetic polymers were used: gelatin, agar, starch, chitosan, sodium carboxymethylcellulose (NaCMC), and polyvinyl alcohol (PVA). During the study, the physicochemical stability of these materials, their ability to interact with food products, and their resistance to temperature and humidity were analysed.

The research was conducted in accordance with the United Nations Sustainable Development Goal (SDG) 12 – «Responsible Consumption and Production», which focuses on reducing waste and promoting efficient use of resources through environmentally safe solutions. This study substantiates the scientific and practical importance of introducing biodegradable packaging into the food industry.

The results demonstrated that the storage efficiency of biodegradable materials is not uniform. Some samples maintained product quality for a longer period, while others showed insufficient structural stability. Furthermore, it was confirmed that the decisive factors affecting packaging performance are the type of polymer, its thickness, and moisture permeability.

Key words: *biodegradable packaging, bun, storage efficiency, food safety, packaging compliance, ecological packaging, storage conditions, polyethylene packaging.*

Авторлар туралы мәліметтер

Сағыныш Ерболатқызы Аман* – «Тағам өнімдерінің сапасы және қауіпсіздігі» кафедрасының докторанты, «Алматы технологиялық университеті» АҚ, Алматы қ., Казақстан; e-mail: erbolatovnass@mail.ru. ORCID: https://orcid.org/0009-0000-5160-5200.

Улбала Облбековна Тунгышбаева – PhD, «Тағам өнімдерінің сапасы және қауіпсіздігі» кафедрасының қауым. проф., Алматы технологиялық университеті, Алматы қ., Казақстан; e-mail: ulbala_84@mail.ru. ORCID: https://orcid.org/0000-0002-6290-0528.

Асель Кыргызбаевна Токтабаева – х.ғ.к., әл-Фараби атындағы ҚазҰУ, органикалық заттар, табиғи қосылыстар мен полимерлер химиясы және технологиясы кафедрасының доценті, Алматы, Қазақстан; e-mail: Asel.Toktabayeva@gmail.com. ORCID: http://orcid.org/0000-0002-1313- 8696.

Райхан Кулымбетовна Рахметуллаева – х.ғ.к., әл-Фараби атындағы ҚазҰУ, органикалық заттар, табиғи қосылыстар мен полимерлер химиясы және технологиясы кафедрасының доценті, Алматы, Қазақстан; e-mail: Raikhan.rakhmetullayeva@gmail.com. ORCID: http://orcid.org/0000-0003-1002-2046.

Шолпан Сапаровна Аманова – PhD, «Тағам өнімдерінің қауіпсіздігі және сапасы» кафедрасының ассистент-профессоры, «Алматы технологиялық университеті» АҚ, Алматы қ., Қазақстан Республикасы; e-mail: amanova_sh@mail.ru. ORCID: https://orcid.org/0000-0001-5560-5144.

Сведения об авторах

Сагыныш Ерболаткызы Аман* – докторант кафедры «Качество и безопасность пищевых продуктов», АО «Алматинский технологический университет», г. Алматы, Казахстан; e-mail: erbolatovnass@mail.ru. ORCID: https://orcid.org/0009-0000-5160-5200.

Улбала Облбековна Тунгышбаева – PhD, ассоц. проф. кафедры «Безопасность и качество пищевых продуктов», АО «Алматинский технологический университет», г. Алматы, Республика Казахстан; e-mail: ulbala_84@mail.ru. ORCID: https://orcid.org/0000-0002-6290- 0528.

Асель Кыргызбаевна Токтабаева – к.х.н., КазНУ им. аль-Фараби, доцент кафедры химии и технологии органических веществ, природных соединений и полимеров, Алматы, Казахтан; e-mail: Asel.Toktabayeva@gmail.com. ORCID: http://orcid.org/0000-0002-1313- 8696.

Райхан Кулымбетовна Рахметуллаева – к.х.н., КазНУ им. аль-Фараби, доцент кафедры химии и технологии органических веществ, природных соединений и полимеров, Алматы, Казахтан; e-mail: Raikhan.rakhmetullayeva@gmail.com. ORCID: http://orcid.org/0000-0003-1002-2046.

Шолпан Сапаровна Аманова – PhD, ассистент-профессор кафедры «Безопасность и качество пищевых продуктов», АО «Алматинский технологический университет», г. Алматы, Республика Казахстан; e-mail: amanova_sh@mail.ru. ORCID: https://orcid.org/0000-0001-5560-5144.

Information about the authors

Sagynysh Erbolatkyzy Aman* – PhD student at the Department of «Food Product Quality and Safety», JSC «Almaty Technological University», Almaty, Kazakhstan; e-mail: erbolatovnass@mail.ru. ORCID: https://orcid.org/0009-0000-5160-5200.

Ulbala Oblbekovna Tungyshbaeva – PhD, Associate Professor, Department of «Food safety and quality», JSC «Almaty Technological University», Almaty, Republic of Kazakhstan; e-mail: ulbala_84@mail.ru. ORCID: https://orcid.org/0000-0002-6290-0528.

Assel Kyrgyzbayevna Toktabayeva – Ph.D, Associate Professor, Department of Chemistry and Technology of Organic Substances, Natural Compounds and Polymers, Al Farabi Kazakh National University, Almaty, Kazakhstan; e-mail: Asel.Toktabayeva@gmail.com. ORCID: http://orcid.org/0000-0002-1313- 8696.

Raykhan Kulymbetovna Rakhmetullayeva – Ph.D., Associate Professor, Department of Chemistry and Technology of Organic Substances, Natural Compounds and Polymers, Al Farabi Kazakh National University, Almaty, Kazakhstan; e-mail: Raikhan.rakhmetullayeva@gmail.com. ORCID: http://orcid.org/0000-0003-1002-2046.

Sholpan Saparovna Amanova – PhD, Assistant Professor, Department of Food Safety and Quality, Almaty Technological University JSC, Almaty, Republic of Kazakhstan; e-mail: amanova_sh@mail.ru. ORCID: https://orcid.org/0000-0001-5560-5144.

Редакцияға енуі 17.09.2025
Өңдеуден кейін түсуі 21.10.2025
Жариялауға қабылданды 24.10.2025

https://doi.org/10.53360/2788-7995-2025-4(20)-43

CC BY 4.0
Check for updates

ҒТАХР: 65.59.03

М.М. Джумажанова*, А.К. Какимов, А.М. Муратбаев, Э.К. Окусханова, А.А. Даутова
[1]Шәкәрім университеті,
071412, Қазақстан Республикасы, Семей қ., Глинки к-сі, 20 А
*e-mail: madina.omarova.89@mail.ru

БИОТЕХНОЛОГИЯЛЫҚ ПРОЦЕСТЕРДІ ҚАРҚЫНДАТУ ҮШІН ЖӘНЕ ҚҰС ЕТІНЕН ЖАСАЛҒАН ШИКІДЕЙ ҚАҚТАЛҒАН ӨНІМДЕРДІҢ САПАСЫН ЖАҚСАРТУ ҮШІН ИНГРЕДИЕНТТЕРДІ ТАҢДАУДЫ ТАЛДАУ ЖӘНЕ НЕГІЗДЕУ

Аңдатпа: *Бұл мақалада құс етінен дайындалатын шикілей қақталған өнімдердің сапасын арттыру және биотехнологиялық процестерді қарқындату мақсатында ингредиенттерді талдау мен таңдаудың ғылыми негіздемесі қарастырылды. Қазіргі таңда тамақ өнеркәсібінде тағамдық және биологиялық құндылығы жоғары, органолептикалық көрсеткіштері жақсы жаңа өнім түрлерін өндіру өзекті мәселе болып табылады. Зерттеу барысында пробиотикалық культуралар мен фитошикізат негізіндегі сулы-спирт тұнбаларын пайдалану арқылы биотехнологиялық, биохимиялық және микробиологиялық процестерді басқару мүмкіндігі қарастырылды.*

Фитоэкстрактілерді іріктеу кезінде олардың физиологиялық құндылығы ғана емес, сонымен қатар құс етімен органолептикалық үйлесімділігі мен пробиотикалық культуралармен сәйкестігі ескерілді. Эксперименттік зерттеулер нәтижесінде 0,4% концентрациядағы итмұрын тұнбасы пробиотикалық штаммдардың өсуіне әртүрлі әсер ететіні анықталды: L. Plantarum өсімінің төмендеуі байқалса, L. Casei тұрақты даму қабілетін көрсетті. Сонымен бірге сүтқышқылды бактериялар мен бифидобактерияларды 1:2 арақатынасында қолдану олардың өзара сандық тепе-теңдігін қамтамасыз ететіні және протеолитикалық белсенділігін оңтайландыруға ықпал ететіні дәлелденді.

Жүргізілген зерттеулер құс етінен дайындалатын шикілей қақталған өнімдерді өндіру технологиясында пробиотикалық культуралар мен фитопрепараттардың кешенді түрде қолданылуы өнім сапасын жақсартуға, жетілу кезеңдерін жеделдетуге және технологиялық процестердің тұрақтылығын қамтамасыз етуге мүмкіндік беретінін көрсетті.

Түйін сөздер: *пробиотикалық культуралар, бифидобактериялар, сүтқышқылды бактериялар, фитоэкстрактілер, шикілей қақталған құс еті өнімдері, биотехнологиялық процесс, протеолитикалық белсенділік.*

Кіріспе

Қазіргі уақытта тамақ өнеркәсібі үшін жоғары сапалы, жоғары тағамдық және биологиялық құндылығымен, сондай-ақ тартымды тауарлық түрімен ерекшеленетін жаңа өнім түрлерін өндіруді ұйымдастыру ерекше өзекті болып табылады. Сонымен қатар, өнімнің түбегейлі жаңа түрлерін шығаруды игеру мақсатында сала кәсіпорындарын қайта құру маңызды міндет болып табылады. Бұл мәселені шешуде құс өңдеу саласының ресурстарын тиімді және мақсатты пайдалануға бағытталған әзірлемелер маңызды рөл атқарады [1, 2].

Бұл мәселені шешудің объективті алғышарттары құс шаруашылығы мен құс өңдеу өнеркәсібінің қарқынды дамуы болып табылады. Сонымен қатар, өндірістің экономикалық тиімділігі мен рентабельділігі құстың жоғары өнімділігімен, тез жетілгіштігімен, сондай-ақ ауа-райы жағдайларына тәуелділігінің төмендігімен қамтамасыз етіледі.

Шикідей қақталған өнімнің қажетті тұтынушылық және технологиялық сипаттамаларына қол жеткізу үшін – дәмі, хош иісі, түсі мен консистенциясы, сондай – ақ жетілу процестерінің тұрақты жүруін қамтамасыз ету үшін-қазіргі уақытта пробиотикалық культуралардың құрамына кіретін әртүрлі микроорганизмдер кеңінен қолданылады.

Сулы – спирт тұнбаларының жекелеген түрлерін пайдалану, сондай-ақ пробиотикалық культураларды қолдану биохимиялық, физика-химиялық және микробиологиялық процестерді өзгерте алады, осылайша шикідей қақталған дайын өнімінің сапасына айтарлықтай әсер етеді. Пробиотикалық культураларды және шөптер негізіндегі фитоэкстрактілерді пайдалана отырып, құс етінен жасалған шикідей қақталған тұтас бұлшықет өнімдерінің биотехнологиясын әзірлеу үшін биотехнологияда пайдалануға жоспарланған

ингредиенттердің сапалық сипаттамаларын, сондай-ақ зерттелетін өнімнің құрамын, қасиеттерін, тағамдық және биологиялық құндылығын кешенді зерттеу жүргізу қажет.

Шикідей қақталған өнімдерді өндіру технологиясында спиртті тұнбаларын қолданудың бұрын алынған оң нәтижелерін, сондай-ақ осы өңірде өсетін өсімдік шикізатының қолжетімділігін ескере отырып, жергілікті дәрілік шөптер негізіндегі фитопрепараттарға артықшылық берілді.

Зерттеу шарттары мен әдістері

Зерттеу нысандарының (құс көкірек еті бұлшықеттері, пробиотикалық культуралар, өсімдік тұнбалары), модельдік жүйелер мен дайын өнімдердің сапалық сипаттамаларын, сондай-ақ олардың физика-химиялық және биологиялық факторлардың әсерінен өзгеру сипатын зерттеу әдістер кешені арқылы жүргізілді. Атап айтқанда, эксперимент жүргізу барысында жалпы қабылданған стандартты зерттеу әдістері қолданылды.

Зерттеу нәтижелері

Сулы-спирт тұнбаларын іріктеу кезең-кезеңмен жүргізілді. Бірінші кезеңде дегустация нәтижелері бойынша (кесте 1) құс етінің дәмдік және иістік қасиеттерімен үйлесімді келетін, айқын дәрілік реңктері, жағымсыз дәмі, артық өткірлігі немесе тұтқырлығы жоқ үлгілер іріктелді. Оларға итмұрын, гүлшетен (розмарин), марал тамыры (левзея сафлоровидная), жебіршөп (чабрец) және қызыл эхинацеядан алынған тұнбалар жатқызылды [3, 4].

Кесте 1 – Фитоэкстракттардың органолептикалық бағалау нәтижелері

Спирт тұнбалары	Қолданылатын препараттың дозасы, %	Көрсеткіш			Жалпы бағалау
		түсі	иісі	дәмі	
Гүлшетен (розмарин)	0,1	8	8,5	8,4	8,3
	0,2	8,3	8,5	8,7	8,5
	0,3	8,1	8,3	8,8	8,4
	0,4	8,2	8,5	9,1	8,6
Итмұрын (шиповник)	0,1	9	8,7	8,8	8,8
	0,2	8,7	8,9	9	8,9
	0,3	8,5	8,6	8,4	8,5
	0,4	8,3	8,2	8,7	8,4
Қызғылт родиола (родиола розовая)	0,1	8,5	7,8	8,2	8,2
	0,2	8,5	7,5	7,6	7,8
	0,3	8,4	7,6	7,6	7,8
	0,4	8,3	7,8	7,4	7,8
Марал тамыры (левзея сафлоровидная)	0.1	7,1	7,5	6,9	7,2
	0,2	7,5	7,4	7	7,3
	0,3	8,2	7,3	7,2	7,5
	0,4	7,9	7,2	7	7,3
Жебіршөп (чабрец)	0.1	8,5	5,2	5,7	6,4
	0,2	8,9	5,3	5,8	6,6
	0,3	8,7	5,7	5,8	6,7
	0,4	8,7	5,4	5,6	6,5
Эхинацея	0.1	8,1	7,8	8,2	8
	0,2	8,3	8,3	8,3	8,3
	0,3	7,1	7,5	7,5	7,3
	0,4	7,5	7,6	7,1	7,4

Сондықтан тұнбаларды іріктеу барысында олардың физиологиялық құндылығын ғана емес, сондай-ақ құс етімен органолептикалық үйлесімділігін ескеру маңызды. Сонымен қатар пробиотиктермен үйлесімділігін де назарға алған жөн.

Пробиотикалық культуралар мен фитоэкстрактілер кешенін қолдана отырып, шикідей қақталған ет өнімдерін өндірудің биотехнологиясын әзірлеуге байланысты міндеттерді ескере отырып, сүтқышқылды микроорганизмдерінің жекелеген штамдарына сулы-спирт тұнбаларының (құрамында этил спирті бар) әсер ету дәрежесін бағалауды жүргізу негізделген болып табылады. Модельдік эксперименттердің нәтижелері ет шикізатына шикізат массасының 0,4% – на дейін фитоэкстрактілерді қосу инъекцияланған құс етінің органолептикалық қасиеттерін айтарлықтай жақсартуға ықпал ететінін көрсетті. Осыған байланысты, микробиологиялық зерттеулер кезінде пробиотикалық культураларды культивирлеу үшін қоректік ортаға айқын сенсорлық әсерді қамтамасыз ететін шекті рұқсат етілген доза ретінде «итмұрын» тұнбасы негізінде 0,4% фитоэкстракт концентрациясы енгізілді.

Шикідей қақталған және шикі ет өнімдерінің сапалық көрсеткіштерін қалыптастырудағы пробиотикалық культуралардың негізгі рөлін, сондай-ақ сулы-спирт фитоэкстрактілерінің пробиотикалық культураларғаға әсері туралы ақпараттың шектеулілігін ескере отырып, 0,4% концентрациясында «итмұрын» тұнбасын қосу кезінде пробиотикалық культуралардың негізгі штаммдарының өсу ерекшеліктерін анықтауға бағытталған зерттеулер жүргізілді.

Кесте 2 – «Итмұрын» тұнбасының пробиотикалық культураларға өсуі мен дамуына әсері

Сүтқышқылды микроорганизмдер	Бақылау				«Итмұрын» тұнбасы			
	Инкубирлеу уақыты, тәулік							
	0	1	2	3	0	1	2	3
L. Casei	$5,4\times10^6$	$1,2\times10^7$	$5,7\times10^7$	$1,5\times10^8$	$5,7\times10^6$	$2,0\times10^7$	$2,7\times10^7$	$3,5\times10^7$
L. Plantarum	$4,4\times10^6$	$7,2\times10^6$	$1,0\times10^7$	$1,8\times10^7$	$4,8\times10^6$	$4,0\times10^6$	$3,7\times10^6$	$3,2\times10^6$

Сүтқышқылды микроорганизмдерінің жасушаларының болуын және сандық құрамын анықтау үшін пробиотиктің 5% сүтке инокуляцияланды, содан кейін жартылай сұйық қоректік ортада шекті сұйылту әдісімен анықтау, содан кейін термостаттау жүргізілді. 2 кестедегі мәліметтерден көріп отырғанымыздай, 0,4% фитоэкстрактінің қоректік ортаға қосылуы штаммдарға әртүрлі әсер етті: L. Plantarum өсу тиімділігінің төмендеуін тіркеді, ал L. Casei дамуы инкубациялық кезеңде тұрақты болып қалды.

Шикідей қақталған ет өнімдерінің технологиясында пробиотикалық культураларды қолдану өзара байланысты коллоидты-химиялық, биохимиялық және ферментативті-биологиялық процестерді реттеп қана қоймайды, сонымен қатар соңғы өнімнің сапалық сипаттамаларын арттыруға көмектеседі. Ет және ет өнімдері бактериологиялық культуралардың өсуіне қолайлы орта болып табылғанымен, шикідей қақталған өнімдерді (ас тұзы, натрий нитриті және басқалары) өндіру кезінде енгізілген немесе өндірілген мұндай компоненттер микроорганизмдердің тіршілік әрекетін тежеуге қабілетті.

Пробиотикалық культуралардың штамдарын іріктеу кезінде шикідей қақталған ет өнімдерінің технологиясында қолдану үшін олардың натрий нитритінің, тұздың, pH мен судың төмен мәндерінің әсеріне төзімділігі негізгі критерийлер ретінде ескерілді. Сонымен қатар, шикідей қақталған өнімдерді өндіру процесінде пробиотикалық культуралардың өсуі мен дамуына бәсекелес микрофлора, атап айтқанда өнімнің жетілуінің алғашқы кезеңдерінде басым болатын грам-теріс микроорганизмдер айтарлықтай әсер етеді.

Көп штаммды пробиотикалық культуралар қоршаған ортаның қолайсыз факторларына жоғары төзімділігімен сипатталады және монокультуралар негізінде алынған пробиотиктермен салыстырғанда метаболитикалық белсенділігі анағұрлым жоғары болады. Сонымен қатар поликомпонентті пробиотикалық культуралар құрамына кіретін штаммдардың биологиялық үйлесімділігі ерекше маңызға ие.

Отандық және шетелдік өндірістің кең ауқымды стартерлік культураларын талдау нәтижесінде пробиотикалық культураларды қолдану туралы шешім қабылданды. Әзірленген композиция шикілей қақталған және шикілей кептірілген шұжықтарды өндіру технологиясында қолдануға бағытталған, бұл бір мезгілде тұздау мен кептіру сияқты технологиялық кезеңдердің ұзақтығын қысқартумен қатар, жоғары сапалы өнім алуды қамтамасыз етеді

Әдеби деректерді талдауда бифидобактериялардың айқын тотықсыздандыру қабілетіне және патогенді микрофлораға қатысты антагонистік белсенділікке ие екенін көрсетеді. Бұл микроорганизмдер анаэробты жағдайларда дамып, сүт қышқылын және ұшпа май қышқылдарын түзеді, сондай-ақ дәрумендерді синтездейді. Аталып өткен қасиеттер жиынтығы бифидобактерияларды шикілей қақталған ет өнімдерін өндіру технологиясында қолданудың жоғары болашағын айқындайды.

Құс етінен дайындалатын шикілей қақталған өнімдерді өндіру биотехнологиясында қолданылатын стартерлік культуралардың ықтимал нұсқаларының бірі ретінде сүтқышқылды бактериялар мен бифидобактерияларды қамтитын комбинирленген пробиотикалық культуралар қарастырылды.

Стартерлік культураларды таңдау барысында олардың құрамына кіретін микроорганизмдердің симбиотикалық өзара қатынаста болуы принципті түрде маңызды. Бифидобактерияларды сүтқышқылды бактериялармен бірге культивирлеу, әдетте, олардың арасында антагонистік әсермен жүрмейді [5, 6].

Культуралардың оңтайлы арақатынасын таңдау мақсатында стерильденген сүтте активтендірілген әртүрлі композициялар құрылып, олардың қышқылтүзу белсенділік деңгейі мен протеолитикалық белсенділік дәрежесін қоса алғанда, қасиеттері зерттелді (кесте 3).

Кесте 3 – Сүтқышқылды культуралар мен бифидобактериялардың арақатынасын оңтайландыру

Культуралар комбинациялары (сүтқышқылды бактериялар / бифидобактериялар)	Қышқылдылығы		1 см³ жасушалар саны, КТБ		Белсенділік, сағ
	^{0}Т	pH	Лактобактерия	Бифидобактерия	
1:1	58,50	4,92	10^7	10^8	16
2:1	62,10	4,85	10^8	10^7	17
3:1	67,54	4,89	10^8	18^8	17
1:2	59,22	4,94	10^8	10^9	18
1:3	58,16	4,97	10^7	10^9	18

3 кесте мәліметтеріне сәйкес зерттелген параметрлер бойынша ең жақсы көрсеткіштер сүтқышқылды бактериялар мен бифидобактериялардың 1:2 арақатынасында қамтитын культуралар комбинацияларынан байқалды. Сүтқышқылды бактериялардың үлесі азайған кезде бифидобактериялардың өміршең жасушаларының саны артатыны анықталды, бұл ашытқы композициясындағы қарастырылып отырған микроорганизм түрлерінің арасында сандық тепе-теңдіктің орнауына ықпал етеді. Кейіннен, биотехнологиялық режимдердің модельдік өзгерістері жағдайында культуралардың протеолитикалық белсенділігін зерттеу барысында сүтқышқылды бактериялар мен бифидобактерияларды 1:2 арақатынасында қамтитын комбинирленген культуралар қолданылды.

Пробиотикалық культуралардың биокатализатор ретінде негізгі қасиеттерінің бірі – олардың протеолитикалық белсенділігі, өйткені ақуыздық молекулалардың гидролизі үдерістері мен әртүрлі молекулалық массадағы ыдырау өнімдерінің жиналуы ет шикізатының құрылымдық-механикалық және функционалды-технологиялық сипаттамаларын қалыптастыруда, сондай-ақ дайын өнімнің тұтынушылық қасиеттерін қамтамасыз етуде маңызды рөл атқарады. Жүргізілген зерттеу шеңберінде зерттелетін пробиотикалық культуралар кешенінің протеолитикалық белсенділігіне баға берілді, оған бұл көрсеткішті микроорганизмдердің белсенді өсу фазасында да, сондай-ақ олардың кейінгі әртүрлі модельдік жүйелердегі әсер ету үдерісінде де анықтау енгізілді.

Осыған байланысты пробиотикалық культураларды ғылыми тұрғыдан дұрыс таңдау үшін әртүрлі композициялық құрам нұсқалары (сүтқышқылды бактериялар; сүтқышқылды бактериялар мен бифидобактериялардың үйлесімі) қалыптастырылды. Оларға қатысты протеолитикалық қасиеттер, атап айтқанда протеолитикалық белсенділік, pH деңгейі, ас тұзының жоғары концентрациясы және төмен температуралық жағдайлар сияқты факторларды өзгерте отырып зерттелді.

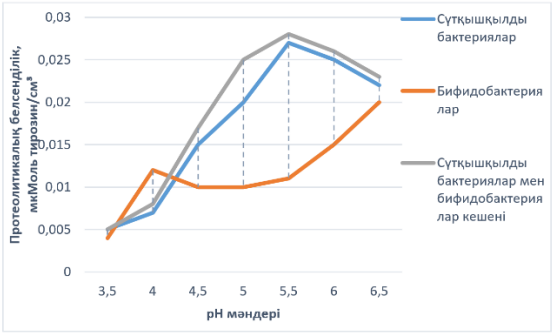
Сүтқышқылды бактериялардың, бифидобактериялардың, сондай-ақ олардың комбинациясының протеолитикалық белсенділігі ақуыздың ыдырау өнімдерінің мөлшері бойынша, атап айтқанда қоректік орта ретінде қолданылған (t 121 ± 2 °С, 10-15 мин) стерильденген майсыздандырылған сүт ақуыздарының гидролизі нәтижесінде жиналған аминді азоттың мөлшері бойынша бағаланды. Инокулят ретінде сүтқышқылды бактериялар мен бифидобактериялар сүт массасының 5% мөлшерінде, сондай-ақ олардың 1:2 қатынасындағы комбинирленген культурасы сол көлемде қолданылды. Белсендіру аяқталған соң ұйындының титрленетін қышқылдығы мынадай болды: сүтқышқылды бактериялар үшін – 67 ± 2 °Т, бифидобактериялар үшін – 64 ± 2 °Т, комбинирленген культура үшін – 66 ± 2 °Т. Белсенді қышқылдық көрсеткіштері тиісінше 5,05 ± 0,2; 5,09 ± 0,3; 5,02 ± 0,2 болды. Ферментация басталғаннан кейін 6 сағаттан соң сынамалар алынып, аминді азоттың мөлшері анықталды. Аталған көрсеткіштің эксперименттік анықтау нәтижелері 4 кестеде келтірілген. Алынған мәліметтерді талдау микроорганизмдердің өсуі мен дамуы барысында аминді азот мөлшерінің үзіліссіз артуын көрсетеді, сонымен қатар сүтқышқылды бактериялар мен бифидобактерияларды қамтитын пробиотикалық культура кешенінде ферментативтік белсенділіктің анағұрлым жоғары болуына айқын бейімділік байқалады (кесте 4).

Кесте 4 – Пробиотикалық культураларды белсендіру үдерісінде аминді азот мөлшерінің өзгеруі

Ұйыту уақыты, сағ	Сүтқышқылды бактериялар		Бифидобактериялар		Сүтқышқылды бактериялар + бифидобактериялар	
	%	бастапқыға шаққанда, %	%	бастапқыға шаққанда, %	%	бастапқыға шаққанда, %
6	0,056	100	0,055	100	0,059	100
8	0,069	121,4	0,064	122,2	0,074	132,7
10	0,082	145,2	0,077	145,9	0,089	157,4
12	0,097	170,7	0,087	167,8	0,107	181,8
14	0,107	192,2	0,094	176,5	0,114	197,2

Сонымен қатар аминді азот көрсеткішінің абсолюттік мәндері барлық зерттелген нұсқаларда аз молекулалы азотты қосылыстардың жиналу қарқындылығы шамалас деңгейде екенін көрсетеді, ал олардың арасындағы байқалған айырмашылықтар статистикалық тұрғыдан маңызды емес. Бұл зерттеуде қолданылған пробиотикалық культуралардың сүттегі ақуыздық компоненттерді тиімді ыдыратып, оларды азот көзі ретінде пайдалана алатынын және соның нәтижесінде айқын протеолитикалық белсенділік танытатынын дәлелдейді.

Белсендірілген пробиотикалық культуралар кейіннен модельдік жүйелерде субстраттар мен ферменттердің өзара әрекеттесуін зерттеу үшін ферменттік кешендердің көздері ретінде қолданылды. Зерттеудің бастапқы кезеңінде қойылған міндет – ферменттік кешендердің протеолитикалық белсенділігінің орта pH деңгейіне тәуелділігін анықтау болды. Осы мақсатта pH мәндері 3-тен 7-ге дейінгі аралықта буферлік ерітінділер арқылы ерекшеленетін бірқатар модельдік жүйелер дайындалды. Модельдік жүйелер 36 ± 1 °C температурада бір сағат бойы инкубацияланды. Алынған эксперименттік мәліметтерге сәйкес, натрий казеинаты субстраты бар жүйеде (1 сурет) зерттелген pH ауқымының барлық бөлігінде комбинирленген культура негізіндегі ферменттік кешеннің протеолитикалық белсенділігінің абсолюттік мәндері сүтқышқылды бактериялар мен бифидобактерия концентраты негізінде алынған жеке кешендердің сәйкес көрсеткіштерінен асып түсті.



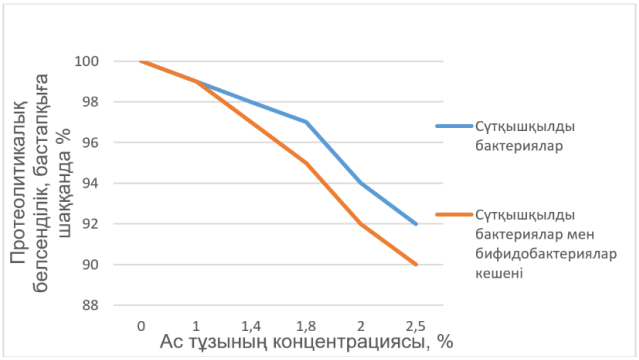
Сурет 1 – Пробиотикалық культуралардың ферменттік кешендерінің протеолитикалық белсенділігіне pH деңгейінің әсері

Алынған эксперименттік мәліметтерді талдау барлық зерттелген культуралардың протеолитикалық ферменттері натрий казеинатына қатысты ең жоғары белсенділікті pH-тың бейтарап және оған жақын аймағында көрсететінін анықтауға мүмкіндік береді. Комбинирленген культура негізіндегі ферменттік кешен үшін белсенділіктің ең жоғарғы мәндері pH 4,5-6,5 аралығында тіркелген, бұл ет шикізатына тән pH көрсеткіштеріне сәйкес келеді. Сүтқышқылды бактериялар үшін ең жоғары белсенділік pH 5,5 деңгейінде байқалса, бифидобактериялар үшін протеолитикалық белсенділіктің шыңы pH 7,0 кезінде жетеді. Алынған нәтижелер таза культуралардың белгілі физиологиялық ерекшеліктеріне сәйкес келеді және бифидобактериялардың протеиназ белсенділігінің аймағы pH 5,0-9,5 аралығында орналасатынын көрсететін әдеби деректермен үйлеседі [7, 8].

Дегенмен, бифидобактериялардың таза культураларындағы протеолитикалық белсенділіктің pH-оптимумының белгіленген мәндері оларды құс етінен жасалған шикідей қақталған өнімдер өндірісінде стартерлік культураның жалғыз компоненті ретінде қолданудың

шектеулі мақсатқа сай екенін көрсетеді. Сонымен қатар, бифидобактериялармен үйлескен сүтқышқылды бактерияларды қолдану pH 5,0-6,0 аралығында сүтқышқылды микроорганизмдердің ферменттік жүйелерінің протеолитикалық белсенділігін арттыруға ықпал етеді, бұл ет өнімдерінің пісіп-жетілу үдерісіндегі биохимиялық түрленулер үшін оңтайлы жағдайларға сәйкес келеді [9, 10].

Шикідей қақталған өнімдердің пісіп-жетілу кезеңінде жүретін ферменттік үдерістердің жылдамдығы мен қарқындылығына әсер ететін маңызды фактордың бірі – дәстүрлі түрде шикізат пен дайын өнімнің қажетті сипаттамаларын қалыптастыруда, сондай-ақ консервілеуші компонент ретінде қолданылатын ас тұзының болуы мен оның концентрациясы. Пробиотикалық культураларды шикідей қақталған өнімдер өндірісінде тұтас бұлшықет текті шикізатқа енгізу тұздықпен шприцтеу арқылы жүзеге асырылуы мүмкін, мұнда тұздықтың концентрациясы 5-15 % аралығында болады, ал шприцтеуден кейін шикізаттағы ас тұзының мөлшері орта есеппен 1,2-2 % құрайды. Осыған байланысты пробиотикалық культуралардың протеолитикалық белсенділігіне ас тұзының әсерін бағалауда оның концентрациясы модельдік жүйелерде 1-ден 2,5 %-ға дейінгі аралықта өзгертілді. Зерттеулер сүтқышқылды бактериялар және олардың бифидобактериялармен комбинациясы негізінде жасалған, pH 5,5 деңгейінде (протеолитикалық үдерістер үшін оңтайлы мәнге сәйкес келетін) натрий казеинатын қамтитын модельдік жүйелерді қолдану арқылы жүргізілді. Эксперимент нәтижелері 2 суретте келтірілген.



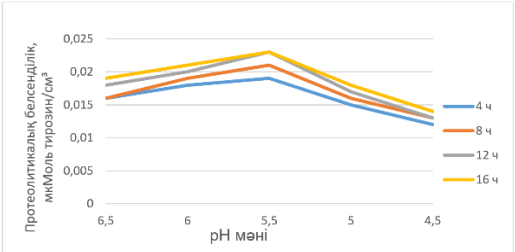
Сурет 2 – Пробиотикалық культуралардың протеолитикалық белсенділігі ортадағы ас тұзы мөлшеріне тәуелділігі

Алынған эксперименттік мәліметтерге сәйкес, ас тұзы пробиотикалық культуралардың протеолитикалық белсенділігіне айтарлықтай әсер етеді. Мәселен, натрий казеинаты бар модельдік жүйеге 2% тұз қосылғанда сүтқышқылды бактериялар өндіретін ферменттердің протеолитикалық белсенділігі 6%-ға, ал бифидобактериялармен кешенде қолданылғанда 8%-ға төмендегені байқалды. Құс етінен жасалған шикідей қақталған өнімдер технологиясын әзірлеу барысында тұздың оңтайлы концентрациясы ретінде 1,2% мәнін қарастыруға болады, себебі бұл жағдайда пробиотикалық культуралардың белсенділігінің төмендеуі бар болғаны 1-2%-ды құрайды. Атап өту керек, стартерлік культуралардың протеолитикалық белсенділігін бағалау бойынша жоғарыда келтірілген мәліметтер бифидобактериялардың тіршілік әрекеті үшін оңтайлы болып саналатын 37 °C температурада алынған. Алайда шикідей қақталған ет өнімдерін өндірудің технологиялық процесінде шикізатқа температуралық әсер ету 4-тен 25 °C аралығында өзгеретіндіктен, пробиотикалық культуралардың белсенділігінің температураға тәуелділігін зерттеу қажеттілігі туындайды.

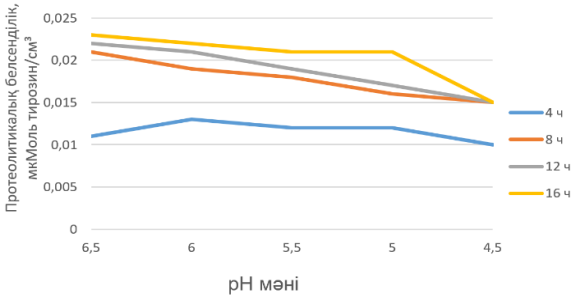
Фермент-субстрат кешенін инкубациялау ұзақтығы шикідей қақталған ет өнімдері технологиясында шприцтеу, массаждау, сондай-ақ ет шикізатының пісіп-жетілудің бастапқы сатыларына тән 4-15°C температуралық жағдайда 24 сағатқа дейін созылды. Ет шикізатының pH мәні 6,1-ден (құс төс филесіне тән) болжамды 5,0-5,5 деңгейіне дейін төмендейтінін ескере отырып, пробиотикалық культуралардың протеолитикалық белсенділігі температура мен орта pH көрсеткіштерінің өзгеруін ескере отырып бағаланды (3 және 4-суреттер).

Эксперименттік нәтижелерге сәйкес, модельдік жүйелерді 16°C температурада инкубациялау кезінде протеолитикалық белсенділіктің ең аз төмендеуі тіркелді. Атап айтқанда, 4°C температурада және бейтарап протеиназдарға тән pH деңгейінде сүтқышқылды бактерияларды қолданғанда белсенділік 39,3%-ға, ал сүтқышқылды культуралар мен бифидобактериялар кешенін пайдаланғанда 34,6%-ға төмендегені байқалды, бұл ең жоғары

физиологиялық белсенділікті қамтамасыз ететін температура жағдайында тіркелген көрсеткіштермен салыстырғанда. 16°С температурада белсенділіктің төмендеуі тиісінше 21,4% және 23%-ды құрады.



Сурет 3 – Сүтқышқылды бактериялардың протеолитикалық белсенділігінің температураға тәуелділігі



Сурет 4 – Сүтқышқылды культуралар мен бифидобактериялардың комбинирленген кешенінің протеолитикалық белсенділігінің температураға тәуелділігі

Жүргізілген эксперимент нәтижелері сүтқышқылды бактерияларды, сондай-ақ сүтқышқылды бактериялар мен бифидобактерияларды қамтитын кешенді пробиотикалық культураны төменгі оң температура жағдайларында ет шикізатына ферменттік өңдеу жүргізу үшін қолданудың мақсатқа сай екендігін көрсетеді.

Алынған нәтижелердің елеулі практикалық маңызы бар. Шприцтеуге арналған тұздықтарды дайындау барысында пробиотикалық культураларды алдын-ала 30-35°С температурада белсендіруден кейін, соңғы кезеңде енгізіп, тұздықты бірден шприцтеу сатысына жіберу ұсынылады. Тұздықтың ет шикізаты ішінде қайта бөлінуі нәтижесінде ас тұзының концентрациясы бастапқы ерітіндідегі мөлшеріне қарағанда айтарлықтай төмендейді, бұл пробиотикалық культуралардың протеиназаларының белсенділігіне тежегіш әсерді барынша азайтады.

Қорытынды

Алынған эксперименттік деректер негізінде өсімдік тұнбалары мен пробиотикалық культуралардың түрлері ғылыми тұрғыдан негізделіп таңдалды, сондай-ақ олардың бірлесіп қолданылуындағы оңтайлы мөлшерлері айқындалды. Мұндай тәсіл шикідей қақталған өнімдердің органолептикалық сипаттамаларын жақсартуға, технологиялық үдерістің тиімділігін арттыруға және дайын өнімнің санитарлық-гигиеналық қауіпсіздік деңгейін жоғарылатуға бағытталған. Алынған нәтижелер құс етінен дайындалатын тұтас бұлшықетті шикідей қақталған өнімдерді өндірудің жаңа биотехнологиясын әзірлеу үшін ғылыми және практикалық негіз болмақ.

Әдебиеттер тізімі

1. Ahmad N. Rose hip (Rosa canina L.) oils. In: Essential oils in food preservation, flavor and safety / N. Ahmad F. Anwar // Academic Press. – 2016. – P. 667-675.
2. Polyphenols, vitamin C and antioxidant activity in wines from Rosa canina L. and Rosa rugosa Thunb / A. Czyzowska et al // Journal of Food Composition and Analysis. – 2015. – № 39. – P. 62-68.
3. (Rosmarinus officinalis L., syn Salvia rosmarinus Spenn.) and Its Topical Applications: A Review / L.M. de Macedo et al // Plants. – 2020. – № 9. – P. 651. https://doi.org/10.3390/plants9050651.
4. Antioxidant effect of various rosemary (Rosmarinus officinalis L.) clones. Acta Biol / É. Stefanovits-Bányai et al // Szeged. – 2003. – № 47. – P. 111-113.

5. Гигиенические требования безопасности и пищевой ценности пищевых продуктов. СанПиН 2.3.2.1078-01. – М.: ФГУП«ИнтерСЭН», 2002. – 168 с.
6. Hosono A. Inhibitory effect of lactic acid bacteria from fermented milk on the mutagenicities of volatile nitrosamines, Agric / A. Hosono, R. Wardojo, H. Otani // Bioi. Chem. – 1990. – № 54. – P. 1639-1643.
7. Красникова, Л.В. Бифидобактерии и использование их в молочной промышленности: обзорная информация / Л.В. Красникова, И.В. Салахова, В.И. Щаробайко. – М.: АгроНИИТЭИММП, 1991. – 32 с.
8. Гудков А.В. Бифидобактерии: биология, роль в жизнедеятельности человека и животных. Производство бифидосодержащих продуктов / А.В. Гудков, С.А. Гудков, М.Я. Козловская. – Углич, 1999. – 64 с.
9. Ганина, В.И. Пробиотики. Назначение, свойства и основы биотехнологии: монография / В.И. Ганина. – М.: МГУПБ, 2001. – 169 с.
10. Slade L. Beyond water activity: recent advances based on an alternative approach to the assessment of food quality and safety / L. Slade, H. Levine // Critical Reviews in Food Science and Nutrition. – 1991. – № 30. – P. 115-360. https://doi.org/10.1080/10408399109527543.

References

1. Ahmad N. Rose hip (Rosa canina L.) oils. In: Essential oils in food preservation, flavor and safety / N. Ahmad, F. Anwar // Academic Press. – 2016. – R. 667-675. (In English).
2. Polyphenols, vitamin C and antioxidant activity in wines from Rosa canina L. and Rosa rugosa Thunb / A. Czyzowska et al // Journal of Food Composition and Analysis. – 2015. – № 39. – R. 62-68. (In English).
3. (Rosmarinus officinalis L., syn Salvia rosmarinus Spenn.) and Its Topical Applications: A Review / L.M. de Macedo et al // Plants. – 2020. – № 9. – R. 651. https://doi.org/10.3390/plants9050651. (In English).
4. Antioxidant effect of various rosemary (Rosmarinus officinalis L.) clones. Acta Biol / É. Stefanovits-Bányai et al // Szeged. – 2003. – № 47. – R. 111-113. (In English).
5. Gigienicheskie trebovaniya bezopasnosti i pishchevoi tsennosti pishchevykh produktov. SaNPIN 2.3.2.1078-01. – M.: FGUP«InteRSEHN», 2002. – 168 s. (In Russian).
6. Hosono A. Inhibitory effect of lactic acid bacteria from fermented milk on the mutagenicities of volatile nitrosamines, Agric / A. Hosono, R. Wardojo, H. Otani // Bioi. Chem. – 1990. – № 54. – P. 1639-1643. (In English).
7. Krasnikova, L.V. Bifidobakterii i ispol'zovanie ikh v molochnoi promyshlennosti: obzornaya informatsiya / L.V. Krasnikova, I.V. Salakhova, V.I. Shcharobaiko. – M.: AgrONIITEHIMMP, 1991. – 32 s. (In Russian).
8. Gudkov A.V. Bifidobakterii: biologiya, rol' v zhiznedeyatel'nosti cheloveka i zhivotnykh. Proizvodstvo bifidosoderzhashchikh produktov / A.V. Gudkov, S.A. Gudkov, M.YA. Kozlovskaya. – Uglich, 1999. – 64 s. (In Russian).
9. Ganina, V.I. Probiotiki. Naznachenie, svoistva i osnovy biotekhnologii: monografiya / V.I. Ganina. – M.: MGUPB, 2001. – 169 s. (In Russian).
10. Slade L. Beyond water activity: recent advances based on an alternative approach to the assessment of food quality and safety / L. Slade, H. Levine // Critical Reviews in Food Science and Nutrition. – 1991. – № 30. – R. 115-360. https://doi.org/10.1080/10408399109527543. (In English).

Қаржыландыру туралы ақпарат

Бұл зерттеуді Қазақстан Республикасы Ғылым және жоғарғы білім министрлігінің Ғылым комитеті (Грант No BR24992938 «Құс ұшаларын кешенді өңдеудің прогрессивті технологиялық процестерін, әдістері мен шешімдерін ғылыми негіздеу, әзірлеу және енгізу») қаржыландырды.

М.М. Джумажанова*, А.К. Какимов, А.М. Муратбаев, Э.К. Окусханова, А.А. Даутова
Шәкәрім университет,
071412, Республика Казахстан, г. Семей, ул. Глинки, 20 А
*e-mail: madina.omarova.89@mail.ru

БИОТЕХНОЛОГИЧЕСКИЕ ПРОЦЕССЫ ИНТЕНСИФИКАЦИИ И ОБОСНОВАНИЕ ВЫБОРА ИНГРЕДИЕНТОВ ДЛЯ ПОВЫШЕНИЯ КАЧЕСТВА СЫРОКОПЧЁНЫХ ИЗДЕЛИЙ ИЗ МЯСА ПТИЦЫ

В данной статье рассмотрено научное обоснование анализа и выбора ингредиентов с целью повышения качества сырокопчёных изделий из мяса птицы и интенсификации биотехнологических процессов. В настоящее время в пищевой промышленности актуальной задачей является производство новых видов продукции с высокой пищевой и биологической ценностью, а также с хорошими органолептическими показателями. В ходе исследования рассматривалась возможность управления биотехнологическими, биохимическими и микробиологическими процессами с использованием пробиотических культур и водно-спиртовых настоек на основе фитосырья.

При отборе фитоэкстрактов учитывалась не только их физиологическая ценность, но и органолептическая совместимость с мясом птицы и сочетаемость с пробиотическими культурами. В результате экспериментальных исследований установлено, что настойка шиповника в концентрации 0,4 % оказывает различное влияние на рост пробиотических штаммов: наблюдалось снижение роста L. Plantarum, в то время как L. Casei проявлял стабильную способность к развитию. Кроме того, было доказано, что применение молочнокислых бактерий и бифидобактерий в соотношении 1:2 обеспечивает их взаимное количественное равновесие и способствует оптимизации протеолитической активности.

Проведённые исследования показали, что комплексное применение пробиотических культур и фитопрепаратов в технологии производства сырокопчёных изделий из мяса птицы позволяет улучшить качество продукции, ускорить стадии созревания и обеспечить стабильность технологических процессов.

Ключевые слова: *пробиотические культуры, бифидобактерии, молочнокислые бактерии, фитоэкстракты, сырокопчёные изделия из мяса птицы, биотехнологический процесс, протеолитическая активность.*

M.M. Jumazhanova*, A.K. Kakimov, A.M. Muratbayev, E.K. Okuskhanova, A.A. Dautova
Shakarim University,
071412, Republic of Kazakhstan, Semey, 20A Glinki St.
*e-mail: madina.omarova.89@mail.ru

BIOTECHNOLOGICAL PROCESS INTENSIFICATION AND JUSTIFICATION OF INGREDIENT SELECTION TO IMPROVE THE QUALITY OF DRY-CURED POULTRY PRODUCTS

This article presents the scientific rationale for the analysis and selection of ingredients aimed at improving the quality of dry-cured poultry products and intensifying biotechnological processes. At present, an urgent task in the food industry is the production of new types of products with high nutritional and biological value, as well as favorable organoleptic characteristics. The study examined the possibility of controlling biotechnological, biochemical, and microbiological processes through the use of probiotic cultures and hydroalcoholic extracts based on herbal raw materials.

When selecting phytoextracts, not only their physiological value was taken into account, but also their organoleptic compatibility with poultry meat and their suitability for use with probiotic cultures. Experimental studies established that rosehip extract at a concentration of 0.4% had different effects on the growth of probiotic strains: a decrease in the growth of L. plantarum was observed, while L. casei showed stable growth potential. In addition, it was demonstrated that the use of lactic acid bacteria and bifidobacteria in a 1:2 ratio ensures their mutual quantitative balance and contributes to the optimization of proteolytic activity.

The conducted research has shown that the combined use of probiotic cultures and phytopreparations in the production technology of dry-cured poultry products makes it possible to improve product quality, accelerate maturation stages, and ensure the stability of technological processes.

Key words: *probiotic cultures, bifidobacteria, lactic acid bacteria, phytoextracts, dry-cured poultry products, biotechnological process, proteolytic activity.*

Авторлар туралы мәліметтер

Мадина Муратовна Джумажанова* – PhD, «Биоинженерлік жүйелер» кафедрасының қауымдастырылған профессоры м.а., Шәкәрім университеті, Қазақстан; e-mail: madina.omarova.89@mail.ru. ORCID: https://orcid.org/0000-0002-9169-6722.

Айтбек Калиевич Какимов – техника ғылымдарының докторы, «Биоинженерлік жүйелер» кафедрасының профессоры, Шәкәрім университеті, Қазақстан; e-mail: bibi.53@mail.ru. ORCID: https://orcid.org/0000-0002-9607-1684.

Алибек Манарбекович Муратбаев – PhD, «Биоинженерлік жүйелер» кафедрасының постдокторанты, Шәкәрім университеті, Қазақстан; e-mail:Great-mister@mail.ru. ORCID: https://orcid.org/0000-0002-0830-5007.

Элеонора Құрметқызы Окусханова – PhD, «Тамақ технологиясы» кафедрасының қауымдастырылған профессоры, Қазақстан; e-mail: eokuskhanova@gmail.com. ORCID: https://orcid.org/0000-0001-5139-9291.

Асель Алибековна Даутова – магистр, Тамақ инженериясы зерттеу мектебінің декан орынбасары, Қазақстан; e-mail: aska_nur@mail.ru. ORCID: https://orcid.org/0000-0002-2373-2445.

Сведения об авторах

Мадина Муратовна Джумажанова* – PhD, и.о.ассоциированного профессора кафедры «Биоинженерных систем», Шәкәрім университет, Казахстан; e-mail: madina.omarova.89@mail.ru. ORCID: https://orcid.org/0000-0002-9169-6722.

Айтбек Калиевич Какимов – доктор технических наук, профессор кафедры «Биоинженерных систем», Шәкәрім университет, Казахстан; e-mail: bibi.53@mail.ru. ORCID: https://orcid.org/0000-0002-9607-1684.

Алибек Манарбекович Муратбаев – PhD, постдокторант кафедры «Биоинженерных систем», Шәкәрім университет, Казахстан; e-mail: Great-mister@mail.ru. ORCID: https://orcid.org/0000-0002-0830-5007.

Элеонора Курметовна Окусханова – PhD, ассоциированный профессор кафедры «Пищевой технологии», Казахстан, e-mail: eokuskhanova@gmail.com. ORCID: https://orcid.org/0000-0001-5139-9291.

Асель Алибековна Даутова – магистр, заместитель декана исследовательской школы пищевой инженерии, Казахстан; e-mail: aska_nur@mail.ru. ORCID: https://orcid.org/0000-0002-2373-2445.

Information about the authors

Madina Jumazhanova* – PhD, Acting Associate Professor, Department of Bioengineering Systems, Shakarim University, Kazakhstan; e-mail: madina.omarova.89@mail.ru. ORCID: https://orcid.org/0000-0002-9169-6722.

Aitbek Kakimov– Doctor of Technical Sciences, Professor, Department of Bioengineering Systems, Shakarim University, Kazakhstan; e-mail: bibi.53@mail.ru. ORCID: https://orcid.org/0000-0002-9607-1684.

Alibek Muratbayev – PhD, Postdoctoral Researcher, Department of Bioengineering System, Shakarim University, Kazakhstan; e-mail: Great-mister@mail.ru. ORCID: https://orcid.org/0000-0002-0830-5007.

Eleonora Okuskhanova – PhD, Associate Professor, Department of Food Technology, Kazakhstan; e-mail: e-mail: eokuskhanova@gmail.com. ORCID: https://orcid.org/0000-0001-5139-9291.

Asel Dautova – Master's Degree, Deputy Dean of the Research School of Food Engineering, Kazakhstan; e-mail: e-mail: aska_nur@mail.ru. ORCID: https://orcid.org/0000-0002-2373-2445.

Редакцияға енуі 30.09.2025
Өңдеуден кейін түсуі 16.10.2025
Жариялауға қабылданды 20.10.2025

https://doi.org/10.53360/2788-7995-2025-4(20)-44

BY 4.0
Check for updates

МРНТИ: 62.13.99

Э.Б. Жаппарбергенова[1*], Г.Б. Алпамысова[2]
[1]Южно-Казахстанский педагогический университет им. Ө. Жәнібеков,
160000, Республика Казахстан, г. Шымкент. ул. Байтурсынова 13
[2]Южно-Казахстанский университет им. М. Ауезова,
160050, Республика Казахстан г. Шымкент, пр.Тауке хана 5
*e-mail: zhaffarelmira@gmail.com

ИСПОЛЬЗОВАНИЕ БИОЛОГИЧЕСКИ АКТИВНЫХ КОМПОНЕНТОВ ШПИНАТА ОГОРОДНОГО В БИОТЕХНОЛОГИИ: СОВРЕМЕННЫЕ ТЕНДЕНЦИИ В ОБЛАСТИ СОЗДАНИЯ НАТУРАЛЬНОЙ РАСТИТЕЛЬНОЙ ПРОДУКЦИИ

Аннотация: *Научные исследования посвящены процессам культивации Шпината огородного (Spinacia oleracea) и дальнейшим этапам приготовления из выращенного растения вакуумированного порошка (БАД) и экомыла. Основной объект исследования – Шпинат огородный на сегодняшний день является одним из общепризнанных лидеров овощной зелени в рационе современного человека. Данный факт связан с наличием широкого спектра биологически важных химических компонентов в данном растении. В связи с этим в рамках данного исследования была поставлена задача создания современного продукта с длительным сроком хранения, удобным в ежедневном применении, сохраняющим полноценный биохимический состав, доступный с экономической точки зрения. Немаловажным аспектом эксперимента был контроль условий культивации, не допускающий использование химических удобрений, поскольку шпинат обладает свойством накапливать эти вещества в биомассе в больших количествах. Процесс культивации*

зеленой биомассы сопровождался мониторингом показателей температуры, влажности, освещения и частоты полива, что позволило к концу культивирования провести сравнительный анализ в динамике роста в разрезе времени.

Исследования, направленные на создание экспериментальной биотехнологической продукции – вакуумированного порошка из высушенных листьев шпината, позволили получить биологически активную пищевую добавку длительного хранения (в течении одного года). Предлагаемая добавка, являющаяся альтернативой свежему шпинату, обладает преимуществом внесезонной продукции, полноценно сохраняющей биологическую активность в вакуумированном состоянии. Также важен спектр возможностей применения порошка шпината как в традиционной рецептуре, так и в составе коктейлей и смузи, и как натурального красителя в кондитерскойй технологии. С целью сравнительного анализа сохранения биологической активности в вакуумированном порошке и в свежесобранных листьях шпината, был проведен хроматографический анализ. Индикатором биологической активности явились хлорофиллы a и b, содержащиеся в свежих и высушенных листьях шпината.

На заключительном этапе исследований была разработана технология использования свежевыжатого сока молодого шпината, так называемого «baby spinach», для изготовления экомыла. Урожай «baby spinach» собирался на второй неделе культивации в заданных условиях, затем был собран и измельчен путем жидкостной экстракции. В традиционный технологический процесс варки мыльной массы был включен этап внедрения жидкой растительной биомассы (экстракта шпината).

Ключевые слова: *биологически активные добавки, растительная биомасса, процесс культивации, вакуумированный порошок, экомыло.*

Введение

Биологически активные добавки в современной технологической индустрии являются уже не дополняющими добавками, а инновационной самостоятельной продукцией. Возможности высокотехнологичной продукции позволяют применять БАДы как индивидуальный продукт, усиливающий фармакологичные свойства основных компонентов. Актуальность БАДов, являющихся постоянным обитателем рациона современного человека, свяханно с нехваткой минеральных элементов растительной продукции.

Современная биотехнологическая отрасль проводит инновационные иследования, направленные на интеграционное использование новейших достижений науки и техники. Одним из таких примеров является разработка группой исследователей рецептуры и технологии гелевой формы БАД, рекомендованной в качестве профилактической добавки при заболеваниях желудочно-кишечного тракта [1].

Согласно данным исследованиям, в основе технологии приготовления данного продукта лежит растворение основных компонентов, например ферментов и витаминов в жидком носителе, состоящем из фруктовых соков, воды и загустителей. В качестве основных компонентов были использованы растительные купажные экстракты, имеющие схожие биологические и фармакологические характеристики. Результаты мониторинга показали высокую биологическую активность конечного продукта, связанную с высокой концентрацией веществ в экстракте. Кроме того, согласно авторам, пектиновая основа геля также позволила веществам находиться в равномерном взвешенном состоянии.

Рацион современного человека в настоящие дни включает постоянный атрибут в виде биологически активных добавок из порошковых или капсульных компонентов. Одной из причин активного потребления этих веществ является существенный недостаток объема минералов, получаемых их овощей и фруктов урбанизированного среднестатистического человека. Наличие макро и микроэлементов, витаминных комплексов в ежедневно потребляемом растительном рационе неукоснительно снижается и приводит к деффициту в организме Ca, K, Mg и других элементов. Причинами данного феномена современности признано истощение почвенного состава культивируемых полей, также не контролируемое использование нитратов и пестицидов. В последние годы причиной недостаточности важных компонентов растительного рациона человека явилось технологическая доступность и дешевизна гидропонного культивирования овощей на минеральной вате или кокосовых стружках.

В связи с этим, возникла необходимость создания и внедрения альтернативных источников биологически активных добавок из растительных ресурсов, нацеленно обогащенных макро и микроэлементами. Важными критериями при создании такой

продукции явились: применение локально произрастающих видов растительных ресурсов; неприхотливые и не требующие особых условий сорта; короткий период вегетации. Соответствие данным критериям позволило снизить себестоимость конечной продукции, что безусловно является ценным конкурентноспособным показателем на профильном рынке.

В тенденциях современного рынка потребления данного вида зелени наблюдается спрос к молодому шпинату, так называемому «baby spinach», урожай которого собирают на второй-четвертой неделях вегетации. Согласно концепции нутрициологов, длина листьев молодого шпината не должна превышать 5 см, что снижает уровень антинутриентов в зелени. Согласно исследованиям современных тенденций в области переработки продуктов из микроводорослей, биоперерабатывающая промышленность должна использовать запасы уникальных местных растений, что позволяет применять их в биомедицинских и фармацевтических целях. Особое внимание исследователи данного направления акцентируют на получение целого ряда ценных продуктов, в основном, пигментов (хлорофиллов и каратиноидов), полиненасыщенных жирных кислот, углеводов, витаминов, нутрицевтики [2].

В центре экспериментов итальянских исследователей была взаимосвязь между биологически активными добавками, растительными компонентами, лекарственными препаратами растительного происхождения и пищевыми продуктами с потенциально полезными свойствами. Ученые изучили использование растений в новых рецептурах пищевых добавок, в частности этанольных экстрактов камбоджийских и филиппинских растений, применяемых потив диареи в указанных регионах [3].

Современный рынок биологически активных добавок, согласно научным работам ряда авторов, может оцениваться до 120 миллиардов долларов, что составляет 6% в эквиваленте ежегодного прироста. Основная масса торгового оборота зафиксирована в Европе, Северной Америке, а также в азиатских странах [4, 5, 6]. Биологически активные добавки используют, согласно исследованиям респондентов из разных стран, представители всех возрастных групп. Кроме того, в список попали как здоровые люди, так и люди, имеющие хронические заболевания. Кроме того, наблюдался баланс в гендерной категории. Преимущественно, респонденты приобретали биологически активные добавки в аптеках, а также через онлайн платформы [7, 8, 9]. Авторы научных исследований особое внимание уделяют фактам бесконтрольного использования добавок, включая добавки на растительной основе. Такое необоснованно частое использование добавок, согласно мнению ряда авторов, может привести к отклонению в организме даже здорового человека.

Демонстрации лечебного потенциала натуральных растительных продуктов, в частности клинического эффекта, механизма действия, взаимосвязи структуры и активности, а также фармококинетическим свйоствам была посвящена серия специального выпуска американо-китайской команды ученых. Согласно результатам исследований, составлен справочник рекомендаций в открытии потенциально полезных молекул из растительных источников для применения в медицине [10].

Коллектив датских ученых, исследовавших экологическое и генетическое разнообразие мохобразных, доказало их влияние на химическое разнообразие данных растительных ресурсов. Результаты экспериментальных работ позволяют расширить спектр новых биологически активных добавок, представляющих большой коммерческий интерес [11]. Аналогичный мета анализ эффективности пищевых добавок на растительной основе, направленный на улучшение вазомоторных симптомов, также представляет коммерческий интерес в области фармацевтики [12].

Ряд отечественных авторов исследовали возможности применения растительных масел, в частности полиненасыщенных жирных кислот, также направленых на повышение энергетической ценности пищевого рациона [13]. Также исследования направлены на повышение биологической активности синтезированных соединений карбаматов, имеющих коммерческие перспективы [14]. Методы использования биологически активных веществ с целью получения коэффициенты парной корреляции и даказали эффективность использования БАВ и азотно фосфорных удобрений для широкозарядного посева семян рекомендуют исследования отечественных исследователей [15]. Ряд исследователей также провели оценку физиолого-биохимической эффективности новой кормовой добавки и ее применение [16].

В связи с актуальностью культивирования Шпината огородного в искусственных условиях, нами был проведен обзор отечественных исследователей, изучающих аналогичные условия культивирования растений. Так, авторы научной работы изучили преимущественные возможности гидропонной системы культивации растительных ресурсов в искусственных условиях [17]. Несмотря на явные преимущества гидропонной культивации, существуют вопросы к качеству, биохимическому составу растительного сырья.

В научных исследованиях сербских ученых, направленных на эффективное использование и повышение ценности отходов агропромышленного комплекса, показаны ряд экологических проблем, связанных с неправильной утилизацией. В частности, экспериментальные работы показали современное состояние и важность устойчивого микробиологического производства биосурфактантов [18].

Аналогичные требования к утилизации также в перспективе будут актуальны и в производстве биологически активных добавок их растительных ресурсов, в частности Шпината огородного.

Материалы и методы исследования

С учетом данных аналитических исследований в качестве объекта был выбран Шпинат огородный (Spinacia oleracea), являющийся одним из популярных представителей овощной зелени. Шпинат признан одним из часто используемых видов зелени у последователей «правильного питания». Кроме того, данное однолетнее растений из семейства Луковых (Onione), не требует особых условий культвирования и имеет короткий вегетационный период.

В соответствии данной концепции, нами *на первом этапе* экспериментальных исследований, на плодородной обогащенной почве с применением естественного освещения в условиях лаборатории был культивирован Шпинат огородный (Spinacia oleracea). Условия культивирования были приближены к домашним условиям среднестатистического урбанизированного человека, предпочитающего круглогодично выращивать зелень на подоконнике в качестве свежего источника микроэлементов и витаминов. Семена шпината были посажены в контейнер с универсальным и обогащенным грунтом, при этом использовалосьь естественное освещение и регулярный полив. Динамика роста растения отслеживалась каждые 2-4 дня.

Второй этап экспериментальных исследований состоял из технологических методов создания биологически активной добавки на основе листьев шпината, выращенных в контролируемых условиях качества почвы и других факторов. Технологические методы приготовления экспериментальной продукции состояли: 1) подготовки листьев шпината в качестве сырья (отбор, промывание и сушка листьев); 2) измельчение высушенных листьев до порошковой биомассы; 3) вакуумация порошковой растительной биомассы с применением вакууматора Kitfort, призванного увеличить сроки хранения и сохранения свежести и питательных свойств продукции. Вакууматор обладает режимом вакуумизации как сухой, так и влажной продукции; 4) сравнительный хроматографический анализ содержания хлорофиллов a и b в свежих и высушенных листьях шпината.

Третий этап экспериментальных исследований состоял из разработки технологии изготовления мыла с включением свежевыжатого сока шпината. Технологический процесс состоял из этапа изготовления сока шпината из свежих листьев, а также процесса варки мыльной массы с включением жидкой растительной биомассы (сока).

Результаты исследований и их обсуждение

Первый этап исследований, включающий культивирование Шпината огородного (Spinacia oleracea), проводился в течении 10 дней в искусственных условиях, на обогащенной почве. Условия культивирования также включали использование естественного освещения и регулярного обильного полива, а также постоянный контроль качества почвы, исключающей использование пестицидов и других аналогичных соединений.

Анализ скорости роста культивируемого растения на протяжении всего эксперимента показал увеличение роста в среднем на 0,8-1 см в день. Равномерная динамика роста и развития шпината связана с созданием как оптимальных условий культивации (плодородная почва, регулярный полив, достаточная освещенность), так и с выбором неприхотливого для выращивания объекта. Более детальный анализ, состоящий из замера всходов в течении эксперимента, привел к следующим результатам:

1) Первый день эксперимента – семена шпината высажены, поверхность грунта ровная, без ростков;

2) Четвертый день эксперимента – появились первые проростки высотой до 2 см;

3) Шестой день эксперимента – скорость роста проростков заметно ускоряется, достигая 4 см. При этом, зеленая растительная биомасса на поверхности контейнера становиться заметнее;

4) Восьмой день – высота шпината достигает 6-7 см, что приводит к значительному увеличению зеленой биомассы на поверхности всего грунта.

5) Десятый день – ростки достигают до 9 см высоты, при этос стебли значительно утолщаются и укрепляются, чтобы удержать более густую биомассу листьев шпината (рис. 1).

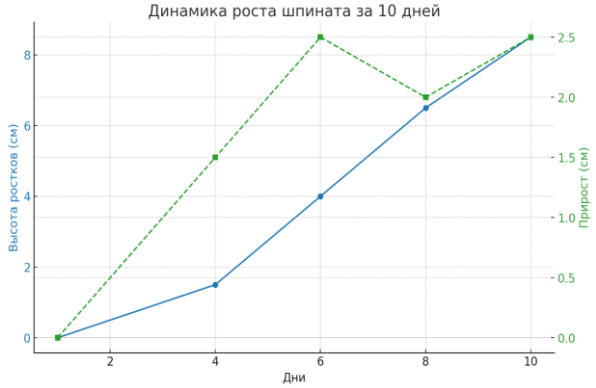


Рисунок 1 – Анализ динамики роста Spinacia oleracea в течении 10 дней,
где ___ высота ростков, см; ____ прирост, см

Таким образом, за 10 дней наблюдалась всхожесть Шпината огородного (Spinacia oleracea) до 8-9 см. При этом интенсификация скорости прироста соответствовала активной фазе роста культуры, то есть последним шести дням эксперимента (рис. 2).



Рисунок 2 – Этапы всхожести Шпината огородного на протяжении культивации
в заданных условиях

Второй этап экспериментальных исследований, состоящий из биотехнологических экспериментов по изоготовлению порошкового БАДа из культивированных на предыдущем этапе Шпината огородного, включал несколько этапов. Начальный этап эксперимента, включающмй сбор листьев, культивированных в элективных условиях на обогащенной почве, был нацелен на получение качественной продукции из локального сырья. Качество сырья обеспечивалось рядом факторов, включающих: наличие макро- и микроэлементов в обогащенной почве; ежедневный мониторинг параметров культивиреумой среды (освещенность, температура, влажность). Данные подходы в культивировании позволили увеличить зеленую биомассу растения, повысить уровень биологически активных веществ: различных групп витаминов, антиоксидантов и минеральных соединений. Кроме того, контролируемые параметры культивируемой среды способствовали высокому уровню фитохимического состава культуры. Данный факт был подтвержден в ходе лабораторных исследований суспензии растительной биомассы на содержание различных групп хлорофилла.

Следующим этапом эксперимента явился процесс отбора и сушки сырья. Технологические требования оптимальной сушки контролировались с помощью заданной температуры в условиях термостата. С этой целью термостат Memmert IN с панелью управления ControlICOCKPIT с TFT-дисплеем был настроен на температуру 40^{0}C, а сам технологический процесс запрограммирован на 24 часа. Благодаря автоматическому управлению термостата главным преимуществом данного вида сушки является полное исключение скачка температуры, а также относительно чистые условия эксперимента. После окончания процесса сушки был проведен отбор сырья, критериями которого явились: органолептическое соответствие требованиям; высокое содержание в листьях хлорофиллов и каратиноида; отсутствие ферментативного и микробиологического разложения сырья.

На следующей стадии эксперимента, включающего технологию измельчения высушенного сырья до порошкообразного состояния, был использован механический метод с применением ступки и пестика. Благодаря такому способу измельчения удалось избежать разрушения клеточной структуры, а также термического разрушения важных нутриентов в листьях шпината. Размеры фракций порошкообразного продукта были стандартизированы в пределах 150-300 мкм, с учетом вышеуказанных факторов. Благодаря данной степени измельчения готовый продукт обладал равномерным распределением нутриентов в порошке и соответственно был удобен в употреблении. На стадии вакуумирования готового продукта был использован портативный вакууматор Kitfort, предотвращающий процесс окисления активных веществ, а также развитие нежелательной микрофлоры в порошке шпината (рис. 3).



Рисунок 3 – Этап вакуумации порошковой биомассы с помощью вакууматора Kitfort

Тесты на стабильность вакуумной упаковки показали, что благодаря отсутствию контакта с воздухом и влагой, сохраняются исходные данные органолептических и химических свойств до 1 года. Вакуумированная продукция хранилась в темном прохладном месте, при температуре 4-6^{0}C и была снабжена цифровизированной информацией о продукции на трех языках (рис. 4).



Рисунок 4 – Вакуумированная продукция (БАД) из сухого порошка Шпината огородного с цифровизированной информацией

Сравнительный анализ содержания различных типов хлрофилл в свежевыжатом соке и в сухой порошкообразной биомассе шпината показал преимущество первого объекта. В частности было обнаружено, что в хлорофильный состав сока входят хлорофиллы типа *a* и *b*, тогда как в сухом порошке наблюдалось присутствие хлорофилла *a* и отсутствие хлорофилла *b*. В природе основным фотосинтезирующим пигментом у высших растений являются хлорофиллы группы *a*, поглощающие синий и красный спектр солнечных фотонов в диапазонах 430 нм и 660 нм соответственно. Функция же хлорофилла *b*, являющегося вспомогательным пигментом, связана с увеличением диапазона поглощения в синем спектре до 453 нм.

Учитывая основную (хлорофилл *a*) и вспомогательную (хлорофилл *b*) функции хлорофиллов, а также традиционно более высокую химическую устойчивость хлорофилла *a* к колебаниям pH условий среды, можно предположить о сравнительных преимуществах последнего. Немаловажным защитным фактором для наличия двухкомпонентного хлорофилла в свежевыжатом соке шпината является и стабильная внутриклеточная жидкая среда. Тем не менее, наличие в сухом порошке обладающего преимущественными биологическими качествами хлорофиллов типа *a* позволяет судить о сохранении основных биологически активных компонентов в вакуумированной продукции (рис. 5).



а *б*

Рисунок 5 – Сравнительный анализ содержания различных типов хлрофилла в свежевыжатом соке (а) и в сухом порошке (б) листьев шпината

Третий этап исследований, включающий технологию изготовления экомыла со свежевыжатым соком Шпината огородного, состоял из стадии получения сока из растения и стадии изготовления продукта. Этап получения свежевыжатого сока по достижении технологической зрелости культивируемого растения, состоял из стадии подготовки растительного сырья (отбор, промывание, сушка и предварительное измельчение биомассы). Извлечение сока проводилось механической жидкостной экстракцией свежесобранных листьев с добавлением фильтрованной воды в соотношении 3:1 (биомасса/вода).

На стадии изготовления экомыла соотношение мыльной основы составляло 60%, оливкового масла как компонента жирной ксилоты – 10%, сока шпината как фитокомпонента экопродукции – 20%. На начальном этапе смесь мыльной основы и жирной кислоты была подвергнута термообработке до 50-60^{0}С, с последующим охлаждением до 40^{0}С и введением в мыльную массу водного экстракта фитокомпонентов. Щадящий температурный режим на заключителььном этапе связан с необходимостью сохранения биологически активных веществ в растительном экстракте. Формование мыльной массы и выдержка готовой экпродукции также явились важной стадией эксперимента, поскольку придание эстетического вида экомыла имеет важное торговое значение (рис. 6).



Рисунок 6 – Этап формования экомыла, содержащего фитокомпоненты Шпината огородного

Наш экспериментальный продукт выдерживался при соблюдении температурного режима в диапазоне 18-20^{0}С в течении 3 недель. Длительность срока выдержки и щадящая температура были связаны с необходимостью сохранить стабильный баланс фитокомпонентов, в частности микроэлементов, антиоксидантов, хлорофиллов и витаминов. Уровень влажности на этапе сушки составил 8-10%. Стадия термостатируемой выдержки экопродукции с содержанием фитокомпонентов также проводилась в термостате Memmert IN (рис. 7).



Рисунок 7 – Этап выдержки и сушки экомыла в термостатируемых условиях с применением термостата Memmert IN с TFT-дисплеем

Заключение

Итоги десятидневной культивации Шпината огородного в контролируемых условиях качества воды, почвы и освещения позволили исключить вредные химические примеси (пестициды, нитраты), характерные для коммерческой растительной продукции. Кроме того культивирование в искусственных круглогодичных условиях свежей зелени обогащает ежеденевный рацион витаминами и микроэлементами в условиях урбанизации.

Возможности обогащения рациона современного человека расширяются с применением вакуумированной порошкообразной продукции шпината, поскольку данная методика позволяет не только сохранить не обсемененную микроорганизмами биологическую добавку, но и снизить себестоимость данной продукции, заготавливая ее в летний сезон. При этом, в ходе сравнительного хроматографического анализа было показано присутствие основных биологически активных компонентов в сухом вакуумированном порошке, на примере хлорофилла *a.*

В ходе экспериментальных исследований была разработана технологическая схема получения экологического мыла с высоким содержанием фитокомпонентов Шпината огородного. Кроме того, необходимо отметить не только наличие микроэлементов, антиоксидантов и витаминов в составах экспериментальной продукции (свежие листья, гомогенный экстракт, порошки БАД, экомыло), но и отсутствие пестицидов и ряда других химически агрессивных соединений благодаря контролируемым условиям культивирования.

Особую актуализацию для масштабирования в рамках стартапа вызывает предложенная технология натуральной косметической продукции с ценными биологическими качествами на примере создания экомыла.

Список литературы

1. Вековцев А. Инновационная технология БАД: характеристика потребительских свойств / А. Вековцев, Е. Ермолаева, Г. Подзорова // Пищевая промышленность. – 2010. – № 4. – С. 52.
2. Biotechnological Applications of Microalgal Oleaginous Compounds: Current Trends on Microalgal Bioprocessing of Products / T. Mutanda et al // Frontiers in Energy Research. – 2020. – Vol. 8. – Article 598803. https://doi.org/10.3389/fenrg.2020.598803.
3. Durazzo A. Editorial: Dietary Supplements, Botanicals and Herbs at the Interface of Food and Medicine / A. Durazzo, M. Lucarini, M. Heinrich // Frontiers in Pharmacology. – 2022. – Vol. 13. – Article 899499. https://doi.org/10.3389/fphar.2022.899499.
4. Quality of Dietary Supplements Containing Plant-Derived Ingredients Reconsidered by Microbiological Approach / M. Ratajczak et al // International Journal of Environmental Research and Public Health. – 2020. – Vol. 17. – P. 6837. https://doi.org/10.3390/ijerph17186837. Режим доступа: www.mdpi.com/journal/ijerph.
5. Petroczi A.G. Mission impossible? Regulatory and enforcement issues to ensure safety of dietary supplements / A.G. Petroczi, G. Taylor, D.P. Naughton // Food and Chemical Toxicology. – 2011. – Vol. 49. – P. 393-402.
6. Microbial contamination in herbal medicines: A serious health hazard to elderly consumers / C.M de Sousa Lima et al // BMC Complementary Medicine and Therapies. – 2020. – Vol. 17. https://doi.org/10.1186/s12906-019-2723-1.
7. A Review of Current Methods for Analysis of Mycotoxins in Herbal Medicines / L. Zhang et al // Toxins. – 2018. – Vol. 10. – P. 65.

8. Kosalec I. Contaminants of medicinal herbs and herbal products / I. Kosalec, J. Cvek, S. Tomić // Archives of Industrial Hygiene and Toxicology. – 2009. – Vol. 60. – P. 485-501.
9. Plants and parts of plants used in food supplements: An approach to their safety assessments / B. Carratù et al // Annali dell'Istituto Superiore di Sanità. – 2010. – Vol. 46. – P. 370-388.
10. Che C.-T. Plant Natural Products for Human Health / C.-T. Che, H. Zhang // International Journal of Molecular Sciences. – 2019. – Vol. 20. – P. 830. https://doi.org/10.3390/ijms20040830. Режим доступа: www.mdpi.com/journal/ijms.
11. Natural Products from Bryophytes: From Basic Biology to Biotechnological Applications / A. Horn et al // Critical Reviews in Plant Sciences. – 2021. – Vol. 40, № 3. – P. 191-217. https://doi.org/10.1080/07352689.2021.1911034.
12. Efficacy of plant-derived dietary supplements in improving overall menopausal symptoms in women: An updated systematic review and meta-analysis / M.R. Oh et al // Phytotherapy Research. – 2024. – Vol. 38. – P. 1294-1309. https://doi.org/10.1002/ptr.8112.
13. Мухаметов А.Е. Өсімдік майларының қоспасынан дайындалатын майлы өнімдердің сапалық көрсеткіштерін зерттеу / А.Е. Мухаметов, Э.Б. Аскарбеков, М.Т. Ербулекова // Алматы технологиялық университетінің хабаршысы. – 2022. – № 4. – Б. 61-68. https://doi.org/10.48184/2304-568X-2022-4-61-68.
14. Биологическая активность синтезированных соединений производных N,N-полиметилен бис (но-ароматило-циклоалканолоило) карбаматов / С.Ж. Самадов и др. // Universum: технические науки: электрон. научн. журн. – 2021. – № 3(84). Режим доступа: https://7universum.com/ru/tech/archive/item/11355 (дата обращения: 25.03.2021).
15. Джакупова И. Қазақстанның оңтүстік өңіріндегі сорго қантының өнімділігіне биологиялық белсенді заттар мен тыңайтқыштардың әсері / И. Джакупова // Доклады НАН РК. – 2022. – № 3. – Б. 15-33. https://doi.org/10.32014/2022.2518-1483.157.
16. Абдрешов С.Н. Новая кормовая добавка на основе природного монтмориллонитового сырья, обогащенного витаминами и микроэлементами / С.Н. Абдрешов, У.Н. Капышева, Г.А. Демченко // Доклады НАН РК. – 2022. – (30.04). https://doi.org/10.32014/2022.2519-1629.107.
17. Әбдімүтәліп Н.Ә. Изучение влияния биорегуляторов на продуктивность и развитие растений, выращиваемых методом гидропоники / Н.Ә. Әбдімүтәліп, Ж. Тулпан, К. Гул // Доклады НАН РК. – 2021. – (15.04). https://doi.org/10.32014/2021.2519-1629.64.
18. Biotechnological Utilization of Agro-Industrial Residues and By-Products-Sustainable Production of Biosurfactants / D. Vucurovic et al // Foods.- 2024. – Vol. 13. – P. 711. https://doi.org/10.3390/foods13050711.

References

1. Vekovtsev A. Innovatsionnaya tekhnologiya BAD: kharakteristika potrebitel'skikh svoistv / A. Vekovtsev, E. Ermolaeva, G. Podzorova // Pishchevaya promyshlennost'. – 2010. – № 4. – S. 52. (In Russian).
2. Biotechnological Applications of Microalgal Oleaginous Compounds: Current Trends on Microalgal Bioprocessing of Products / T. Mutanda et al // Frontiers in Energy Research. – 2020. – Vol. 8. – Article 598803. https://doi.org/10.3389/fenrg.2020.598803. (In English).
3. Durazzo A. Editorial: Dietary Supplements, Botanicals and Herbs at the Interface of Food and Medicine / A. Durazzo, M. Lucarini, M. Heinrich // Frontiers in Pharmacology. – 2022. – Vol. 13. – Article 899499. https://doi.org/10.3389/fphar.2022.899499. (In English).
4. Quality of Dietary Supplements Containing Plant-Derived Ingredients Reconsidered by Microbiological Approach / M. Ratajczak et al // International Journal of Environmental Research and Public Health. – 2020. – Vol. 17. – P. 6837. https://doi.org/10.3390/ijerph17186837. Rezhim dostupa: www.mdpi.com/journal/ijerph. (In English).
5. Petroczi A.G. Mission impossible? Regulatory and enforcement issues to ensure safety of dietary supplements / A.G. Petroczi, G. Taylor, D.P. Naughton // Food and Chemical Toxicology. – 2011. – Vol. 49. – P. 393-402. (In English).
6. Microbial contamination in herbal medicines: A serious health hazard to elderly consumers / C.M de Sousa Lima et al // BMC Complementary Medicine and Therapies. – 2020. – Vol. 17. https://doi.org/10.1186/s12906-019-2723-1. (In English).
7. A Review of Current Methods for Analysis of Mycotoxins in Herbal Medicines / L. Zhang et al // Toxins. – 2018. – Vol. 10. – P. 65. (In English).

8. Kosalec I. Contaminants of medicinal herbs and herbal products / I. Kosalec, J. Cvek, S. Tomić // Archives of Industrial Hygiene and Toxicology. – 2009. – Vol. 60. – P. 485-501. (In English).
9. Plants and parts of plants used in food supplements: An approach to their safety assessments / V. Carratù et al // Annali dell'Istituto Superiore di Sanità. – 2010. – Vol. 46. – P. 370-388. (In English).
10. Che C.-T. Plant Natural Products for Human Health / C.-T. Che, H. Zhang // International Journal of Molecular Sciences. – 2019. – Vol. 20. – P. 830. https://doi.org/10.3390/ijms20040830. Rezhim dostupa: www.mdpi.com/journal/ijms. (In English).
11. Natural Products from Bryophytes: From Basic Biology to Biotechnological Applications / A. Horn et al // Critical Reviews in Plant Sciences. – 2021. – Vol. 40, № 3. – P. 191-217. https://doi.org/10.1080/07352689.2021.1911034. (In English).
12. Efficacy of plant-derived dietary supplements in improving overall menopausal symptoms in women: An updated systematic review and meta-analysis / M.R. Oh et al // Phytotherapy Research. – 2024. – Vol. 38. – P. 1294-1309. https://doi.org/10.1002/ptr.8112. (In English).
13. Mukhametov A.E. Osimdik mailarynyn kospasynan daiyndalatyn maily onimderdin sapalyk korsetkishterin zertteu / A.E. Mukhametov, EH.B. Askarbekov, M.T. Erbulekova // Almaty tekhnologiyalyk universitetinin khabarshysy. – 2022. – № 4. – B. 61-68. https://doi.org/10.48184/2304-568X-2022-4-61-68. (In Kazakh).
14. Biologicheskaya aktivnost' sintezirovannykh soedinenii proizvodnykh N,N-polimetilen bis (no-aromatilo-tsikloalkanoloilo) karbamatov / S.ZH. Samadov i dr. // Universum: tekhnicheskie nauki: ehlektron. nauchn. zhurn. – 2021. – № 3(84). Rezhim dostupa: https://7universum.com/ru/tech/archive/item/11355 (data obrashcheniya: 25.03.2021). (In Russian).
15. Dzhakupova I. Kazakstannyn ontustik onirindegi sorgo kantynyn onimdiligine biologiyalyk belsendi zattar men tynaitkyshtardyn aseri / I. Dzhakupova // Doklady NAN RK. – 2022. – № 3. – B. 15-33. https://doi.org/10.32014/2022.2518-1483.157. (In Kazakh).
16. Abdreshov S.N. Novaya kormovaya dobavka na osnove prirodnogo montmorillonitovogo syr'ya, obogashchennogo vitaminami i mikroehlementami / S.N. Abdreshov, U.N. Kapysheva, G.A. Demchenko // Doklady NAN RK. – 2022. – (30.04). https://doi.org/10.32014/2022.2519-1629.107. (In Russian).
17. Abdimutalip N.A. Izuchenie vliyaniya bioregulyatorov na produktivnost i razvitie rastenii, vyrashchivaemykh metodom gidroponiki / N.A. Abdimutalip, ZH. Tulpan, K. Gul // Doklady NAN RK. – 2021. – (15.04). https://doi.org/10.32014/2021.2519-1629.64. (In Kazakh).
18. Biotechnological Utilization of Agro-Industrial Residues and By-Products-Sustainable Production of Biosurfactants / D. Vucurovic et al // Foods.- 2024.- Vol. 13. – P. 711. https://doi.org/10.3390/foods13050711. (In English).

Э.Б. Жаппарбергенова [1*], Г.Б. Алпамысова [2]
[1]Ө.Жәнібеков атындағы Оңтүстік Қазақстан педагогикалық университеті,
160000, Қазақстан Республикасы, Шымкент қ.,Байтұрсынов 13
[2] М.Ауезов атындағы Оңтүстік Қазақстан университеті,
160050, Қазақстан Республикасы, Шымкент қ.,Тауке хан 5
e-mail: zhaffarelmira@gmail.com

БАҚША ШПИНАТЫНЫҢ БИОЛОГИЯЛЫҚ БЕЛСЕНДІ КОМПОНЕНТТЕРІН БИОТЕХНОЛОГИЯДА ҚОЛДАНУ: ТАБИҒИ ӨСІМДІК ТЕКТЕС ӨНІМДЕР ЖАСАУДАҒЫ ЗАМАНАУИ ҮРДІСТЕР

*Мақалада **б**ақша шпинатын (Spinacia oleracea) өсірудің негізі мен өсімдіктің вакуумды ұнтағын (диеталық қоспалар) экосабынды алу үрдістеріне пайдаланудың мүмкіндігі зерттелген. Зерттеудің негізгі нысаны-бақша шпинаты қазіргі кездегі адамның рационындағы ең жиі пайдаланылатын жасыл көкөніс дақылдарының бірі болып табылады. Бұл өсімдіктегі биологиялық маңызды химиялық компоненттердің кең спектрінің болуымен байланысты. Осыдан, экономикалық тұрғыдан қол жетімді, күнделікті қолдануға оңтайлы, ұзақ сақтауға жарамды, тұрақты биохимиялық құрамы толық сақталған, сапалы өнімді құруды мақсат еткен бұл зерттеу бірнеше кезеңдерден тұрды. Ең алдымен, шпинатты химиялық тыңайтқыштарсыз өсіру мақсат етілді. Өйткені шпинат бұл химиялық заттарды бойына жинақтау қасиетіне ие. Шпинаттың жасыл биомассасын культивирлеудің тиімді параметрлері: температура, суару жиілігінің көрсеткіштері, ылғалдылық, жарықтандыру уақыт бойынша өлшеніп отырды. Бұл өсудің динамикалық өзгерісіне салыстырмалы талдау жүргізуге мүмкіндік берді.*

Келесі кезең, биологиялық белсенді құрамға бай кептірілген шпинат жапырақтарынан ұзақ мерзімде (бір жыл ішінде) вакуумдалған ұнтақты алу. Биологиялық белсенді құрамы толыққанды сақталған, маусымға тәуелсіз, вакуумдық өнім балғын шпинатқа толыққанды балама бола алатын биотехнологиялық өнім ретінде тағамдық өнімдер алуда жиі қолданылады. Коктейльдер мен смузилерге, кондитерлік өнімдерге табиғи бояғыш ретінде қолдануға толық жарамды. Осы мақсатта, екі өнімнің: вакуумды ұнтақ пен балғын жиналған шпинат жапырақтарының құрамындағы биологиялық белсенді заттары хроматографиялық әдіспен салыстырмалы талданды. Мұнда, биологиялық белсенділіктің индикаторы ретінде шпинаттың жаңа және кептірілген жапырақтарында кездесетін a және b хлорофиллдері негізге алынды.

Тәжірибе соңында, «Baby spinach» жаңа сығылған жас шпинаттың шырынын экосабын жасауға қолдану ерекшелігі зерттелді. Шпинатты тәжірибелік жағдайда өсірудің шамамен екінші аптасында жас балғын өскіндерінен сұйық экстракция арқылы шырыны бөліп алынды. Сабын қайнатудың дәстүрлі технологиялық процесіне сай сабын массасына алынған сұйық өсімдік биомассасы (шпинат экстракты) енгізілді.

Түйін сөздер: *биологиялық белсенді қоспалар, өсімдік биомассасы, өсіру процесі, вакуумдалған ұнтақ, экосабын*

E.B. Zhapparbergenova[1*], G.B. Alpamysova[2]
[1]South Kazakhstan Pedagogical University named after Zhanibekov,
160000, Republic of Kazakhstan, Shymkent, Baitursynov Street, 13
[2]South Kazakhstan University named after M. Auezov,
160050, Republic of Kazakhstan, Shymkent, Tauke Khan Avenue, 5
[*]e-mail: zhaffarelmira@gmail.com

APPLICATION OF BIOACTIVE COMPOUNDS FROM GARDEN SPINACH IN BIOTECHNOLOGY: CURRENT TRENDS IN THE DEVELOPMENT OF NATURAL PLANT-BASED PRODUCTS

Scientific research is devoted to the processes of cultivation of garden Spinach (Spinacia oleracea) and further stages of preparation of evacuated powder (dietary supplements) and eco-soap from the grown plant. The main object of research is Garden spinach, which is currently one of the generally recognized leaders of vegetable greens in the diet of modern humans. This fact is due to the presence of a wide range of biologically important chemical components in this plant. In this regard, within the framework of this study, the task was set to create a modern product with a long shelf life, convenient for daily use, preserving a full-fledged biochemical composition, affordable from an economic point of view. An important aspect of the experiment was the control of cultivation conditions, which does not allow the use of chemical fertilizers, since spinach has the property of accumulating these substances in biomass in large quantities. The process of green biomass cultivation was accompanied by monitoring of temperature, humidity, lighting, and watering frequency, which allowed for a comparative analysis of growth dynamics over time by the end of cultivation.

Research aimed at creating experimental biotechnological products – evacuated powder from dried spinach leaves, allowed us to obtain a biologically active food additive for long-term storage (for one year). The proposed additive, which is an alternative to fresh spinach, has the advantage of off-season products that fully preserve biological activity in a vacuum state. The range of spinach powder applications is also important, both in the traditional formulation, as well as in cocktails and smoothies, and as a natural colorant in confectionery technology. In order to compare the preservation of biological activity in the evacuated powder and in freshly harvested spinach leaves, a chromatographic analysis was performed. The indicator of biological activity was chlorophylls a and b contained in fresh and dried spinach leaves.

At the final stage of the research, a technology was developed for using freshly squeezed young spinach juice, the so-called «baby spinach», to make eco-soap. The «baby spinach» crop was harvested in the second week of cultivation under the specified conditions, then it was harvested and crushed by liquid extraction. The stage of introduction of liquid plant biomass (spinach extract) was included in the traditional technological process of cooking soap mass.

Key words: *biologically active additives, plant biomass, cultivation process, powder vacuumization, eco-soap*

Сведения об авторах

Эльмира Бегимбаевна Жаппарбергенова[*] – кандидат биологических наук, доцент, преподаватель кафедры биологии; Южно-Казахстанский педагогический университет имени Ө.Жәнібека, Республика Казахстан; e-mail: zhaffarelmira@gmail.com. ORCID: https://orcid.org/0000-0002-0252-3767.

Гульжайна Байгонысовна Алпамысова – кандидат сельскохозяйственных наук, доцент, заведующая кафедрой биотехнологии; Южно-Казахстанский университет имени М. Ауэзова, Республика Казахстан; e-mail: xap68@mail.ru. ORCID: https://orcid.org/0000-0002-1533-0366

Авторлар туралы мәліметтер

Эльмира Бегимбаевна Жаппарбергенова* – биология ғылымдарының кандидаты, доцент, биология кафедрасының оқытушысы; Ө.Жәнібеков атындағы Оңтүстік Қазақстан педагогикалық университеті, Қазақстан Республикасы; e-mail: zhaffarelmira@gmail.com. ORCID: https://orcid.org/0000-0002-0252-3767.

Гулжайна Байгонысовна Алпамысова – ауыл шаруашылығы ғылымдарының кандидаты, доцент, Биотехнология кафедрасының менгерушісі; М. Ауезов атындағы Оңтүстік Қазақстан университеті, Қазақстан Республикасы; e-mail:xap68@ mail.ru. ORCID: https://orcid.org/0000-0002-1533-0366.

Information about the authors

Elmira Begimbaevna Zhapparbergenova* – Candidate of Biological Sciences, Associate Professor, Lecturer of the Department of Biology; South Kazakhstan Pedagogical University named after O. Zhanibekov, Republic of Kazakhstan; e-mail: zhaffarelmira@gmail.com. ORCID: https://orcid.org/0000-0002-0252-3767.

Gulzhayna Baigonysovna Alpamysova – Candidate of Agricultural Sciences, Associate Professor, Head of the Department of Biotechnology; South Kazakhstan University named after M. Auezov, Republic of Kazakhstan; e-mail: xap68@mail.ru. ORCID: https://orcid.org/0000-0002-1533-0366.

Поступила в редакцию 22.09.2025
Поступила после доработки 05.11.2025
Принята к публикации 06.11.2025

https://doi.org/10.53360/2788-7995-2025-4(20)-45

МРНТИ: 55.63.51

CC BY 4.0
Check for updates

Д.К. Дукенбаев[1*], А.К. Какимов[1], А.К. Суйчинов[2], Ж.С. Есимбеков[2], Б.К. Кабдылжар[2]
[1]Шәкәрім университет,
071412, Республика Казахстан, г. Семей, ул. Глинки, 20 А
[2]СФ ТОО «Казахский научно-исследовательский институт перерабатывающей и пищевой промышленности»,
071410, Республика Казахстан, г. Семей, ул. Байтурсынова, 29
*e-mail: da_mir.1991@mail.ru

РАЗРАБОТКА МАЛОПРОИЗВОДИТЕЛЬНОЙ УСТАНОВКИ ДЛЯ СГУЩЕНИЯ И ПАСТЕРИЗАЦИИ ЖИДКИХ И ВЯЗКИХ ПИЩЕВЫХ ПРОДУКТОВ

Аннотация: *В статье представлена разработка экспериментальной установки для сгущения и пастеризации жидких пищевых продуктов малой производительности, ориентированной на потребности малых и средних предприятий пищевой промышленности. Обоснована актуальность создания компактного и энергоэффективного оборудования для переработки молочного сырья и других вязких и жидких продуктов. Конструкция установки включает емкостный выпарной аппарат с теплообменной рубашкой, систему вакуумирования, блок подготовки и циркуляции теплоносителя, автоматизированный блок управления и конденсационный модуль. Использование вакуума позволяет проводить процесс при пониженном давлении, что обеспечивает более низкую температуру кипения, минимизирует потери питательных веществ и предотвращает термическое повреждение продукта. Приведены основные принципы работы устройства и последовательность технологического процесса. Автоматизация управления процессом упрощает эксплуатацию, снижает энергозатраты и повышает стабильность получаемого результата. Установка обеспечивает эффективное сгущение за счёт выпаривания влаги при пониженном давлении, что позволяет снизить энергозатраты, сохранить пищевую ценность продуктов и повысить удобство эксплуатации. Разработка может быть использована в фермерских хозяйствах и на малых предприятиях при производстве сгущённого молока, соков, экстрактов и других видов жидкой пищевой продукции.*

Ключевые слова: *вакуумное выпаривание, сгущение, пастеризация, жидкие пищевые продукты, малогабаритная установка, молочная промышленность, теплообмен, энергоэффективность.*

Введение

В современных условиях пищевая промышленность предъявляет высокие требования к качеству, безопасности и срокам хранения продукции. Одним из наиболее актуальных

направлений в переработке пищевого сырья является обработка жидких пищевых продуктов. В частности, процессы сгущения и пастеризации играют важную роль в обеспечении микробиологической стабильности, повышении пищевой ценности, улучшении органолептических характеристик, продлении срока хранения готовой продукции [1].

Сгущение и пастеризация являются важными процессами в пищевой промышленности, которые обеспечивают сохранение и безопасность жидких продуктов. Комплексное применение этих технологий широко используется при производстве молочных продуктов, соков, соусов и других видов жидкой пищевой продукции [2].

Сгущение – это процесс удаления части воды из жидкого продукта, что приводит к увеличению его концентрации. Сгущение используется для улучшения вкуса, увеличения сроков хранения и удобства транспортировки продуктов. Это особенно актуально для таких продуктов, как молоко, соки, томатная паста и другие жидкие ингредиенты [3].

Процесс сгущения в мясной промышленности применяется для концентрирования ценных компонентов мясного сырья, повышения их питательной и функционально-технологической ценности. Удаление избыточной влаги позволяет увеличить массовую долю белков, жиров и минеральных веществ, улучшить консистенцию, стабильность и микробиологическую стойкость продукта. Сгущение также способствует снижению энергозатрат при последующих стадиях сушки или термообработки и обеспечивает получение полуфабрикатов с высокой степенью готовности. Особенно перспективно использование вакуумного сгущения, при котором сохраняются термолабильные вещества и предотвращается денатурация белков, что делает процесс эффективным направлением глубокой переработки вторичных мясных ресурсов.

Для производства сгущенных молочных продуктов высокого качества необходимо качественное сырье, соответствующее оборудование и проведение процесса выпаривания в соответствии с основными закономерностями, выявление которых является актуальной задачей в свете все большей заинтересованности предприятиями производством сгущенных продуктов, имеющей важное теоретическое и практическое значение. Установка эффективных и технологически адаптированных выпарных систем является ключевым фактором для обеспечения стабильного качества и оптимизации производственного процесса [4].

Сгущение под вакуумом – один из наиболее распространенных методов. При этом процесс происходит при пониженном давлении, что позволяет испарять воду при более низкой температуре, что минимизирует потери питательных веществ и предотвращает перегрев. Вакуум-выпарные установки остаются важным инструментом в пищевой промышленности, обеспечивая эффективное сгущение жидких продуктов при сохранении их качества и снижении затрат на производство [5].

Малые предприятия пищевой и перерабатывающей промышленности, ввиду ограниченных финансовых ресурсов, не имеют возможности приобретения крупногабаритных и дорогостоящих вакуум-выпарных установок для сгущения жидких пищевых продуктов. Это обуславливает рост спроса на компактные и экономически более доступные малогабаритные установки, адаптированные к условиям малого производства.

Известен вакуум-выпарной аппарат, который содержит вертикальный цилиндрический двутельный корпус с расположенным внутри перемешивающим устройством и распылительными форсунками для ввода исходного продукта. Аппарат разделен сепаратором на две камеры: верхнюю и нижнюю, в верхней крышке вакуум-аппарата установлены патрубки для удаления испаряемых из камер паров, в каждой камере установлены вращающиеся распылительные форсунки для ввода исходного продукта. Изобретение позволяет повысить качество готовой продукции за счет кратковременного протекания процесса концентрирования путем мелко диспергированного распыления и более равномерной обработки. Однако недостатками данного аппарата являются обогрев теплоносителем, затруднительная регулировка температуры выпаривания [6].

Авторами разработан вакуум-выпарной аппарат для сгущения молочных продуктов. Агрегат для откачивания паров продукта содержит поверхностный конденсатор, включенный последовательно в тракт водоструйного эжектора. Пароотделитель выполнен в виде кольцевой камеры, расположенной во внутренней емкости калоризатора. Однако недостатками данного аппарата являются обогрев теплоносителем, сложность контроля

давления и температуры в контуре обогрева и затруднительная регулировка температуры выпаривания [7].

Известна вакуум-выпарная установка, в состав которой входят установленные последовательно по ходу пара выпарные аппараты пленочного типа. Выпарные аппараты оснащены греющими камерами, сепараторами, верхними и нижними растворными камерами, а также устройствами ввода упариваемого продукта, патрубками отвода продукта из сепаратора и нижней растворной камеры, патрубками ввода греющего пара и отвода вторичного пара. Установка, несмотря на ряд существенных достоинств, имеет и следующие недостатки. Установка оснащена насосами для перекачивания продукта между корпусами, это приводит к повышению потребления электроэнергии. В связи с тем, что перекачивающие насосы работают под вакуумом, к конструкции насосов предъявляются особые требования и возникает необходимость в оснащении установки дополнительными коммуникациями и насосом для подачи жидкости на уплотнения насосов. Все это усложняет конструкцию насосов и установку в целом и приводит к повышенным эксплуатационным и капитальным затратам. Увеличение количества перекачивающих насосов еще более увеличивает возможность проникновения жидкости, подаваемой на уплотнения, в рабочую полость насосов, что приводит к уменьшению концентрации готового продукта и ухудшению его качества. При эксплуатации установок данного типа повышается возможность простоев оборудования из-за выхода из строя уплотнений перекачивающих насосов, что является причиной недостаточной надежности этих установок [8].

Сложность и громоздкость существующих установок, а также необходимость привлечения большого количества обслуживающего персонала и ремонтно-технической базы обуславливают целесообразность разработки компактных и малопроизводительных установок, пригодных для использования на небольших предприятиях. Проблему может решить использование малогабаритных и простых по устройству выпарных аппаратов малой производительности [9, 10]. В связи с этим возникает необходимость создания компактной и энергоэффективной установки для сгущения жидких пищевых продуктов, ориентированной на потребности производств малой мощности.

Целью данной работы является создание установки для сгущения и пастеризации жидких пищевых продуктов малой производительности.

Методы исследования

На начальном этапе исследования был выполнен эскизный проект установки и проведён подбор рациональных технологических и конструктивных параметров, которые позволили сконструировать установку (рис. 1). Задачей разработанной нами установки является снижение габаритных размеров, упрощение эксплуатации и уменьшение энергозатрат на процесс выпаривания пищевого сырья, что обеспечивает эффективное получение концентрированных продуктов в условиях малого и среднего производства.

В качестве объектов исследований использовали мясокостную массу, молоко и сгущенное молоко, полученное после сгущения.



Рисунок 1 – Экспериментальная установка для сгущения и пастеризации жидких пищевых продуктов

Результаты исследований

Экспериментальная установка для сгущения и пастеризации жидких пищевых продуктов включает выпарной аппарат емкостного типа, снабженный теплообменной рубашкой и крышкой, штуцерами для входа и выхода теплоносителя, блок подачи выпариваемого раствора, устройство для создания разрежения, устройство для отвода выделившихся из продукта водяных паров. Установка дополнительно содержит блок подготовки и подачи теплоносителя (горячей воды), состоящий из емкости для воды и термоэлектронагревателя (ТЭНа) и насоса, обеспечивающих подогрев и циркуляцию воды (теплоносителя). Также содержит электронный блок управления, содержащий электромагнитный клапан, датчики температуры и давления, позволяющий регулировать параметры процесса сгущения. Установка снабжена блоком конденсации выпаренной влаги, включающим конденсатор, емкость для сбора конденсата, штуцер для вывода конденсата.

Установка предназначена для удаления избыточной влаги из жидкого пищевого сырья за счёт выпаривания при пониженном давлении. В качестве теплоносителя в рубашке используется вода, нагреваемая трубчатым электронагревателем и контролируемая электронным блоком управления.

Установка работает следующим образом.

В теплообменную рубашку 1 заливают воду, выполняющую роль теплоносителя. В аппарат для выпаривания 2, снабженный рубашкой 1, заливают обрабатываемое пищевое сырьё. Емкость герметично закрывают крышкой 3. Необходимые параметры процесса (температура, время обработки, температура слива) вводят через электронный блок управления 4 с электромагнитным клапаном 5. Осуществляют нагрев продукта за счёт теплообмена между горячей водой в рубашке 1, нагреваемой при помощи термоэлектронагревателя 6 и сырьём в аппарате для выпаривания 2. Для ускорения выпаривания избыточной влаги в емкости 2 создают вакуум с помощью вакуумного насоса 7, что снижает температуру кипения и способствует более быстрому выпариванию.

Давление в системе контролируется датчиком давления 8.

Температурные режимы контролируются двумя датчиками 9 и 10, измеряющими, соответственно, температуру пищевого продукта и температуру теплоносителя.

Выделившиеся при выпаривании пары выводят через патрубок в крышке 3 и поступают в конденсатор 11, где охлаждаются и переходят в жидкую фазу, которая собирается в емкости для конденсата 12. Эффективное охлаждение пара в конденсаторе достигается за счёт непрерывной циркуляции воды в емкости 13 под действием насоса 14, что обеспечивает необходимый температурный режим для конденсации.

Предлагаемая вакуум-выпарная установка (рис. 2) обладает рядом значимых преимуществ, обеспечивающих её эффективность и широкую применимость. Благодаря компактным габаритам и малой массе, установка может эксплуатироваться в условиях ограниченного пространства и легко транспортироваться при необходимости. Наличие автоматизированной системы управления упрощает процесс эксплуатации и снижает затраты на техническое обслуживание.

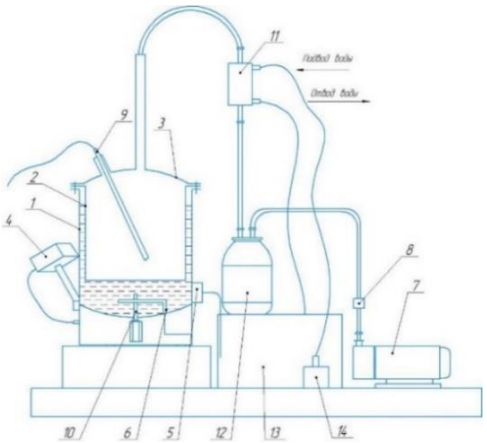


Рисунок 2 – Схема установки для сгущения жидких пищевых продуктов:
1 – теплообменная рубашка; 2 – емкость для пищевого сырья; 3 – крышка; 4 – электронный блок управления; 5 – электромагнитный клапан; 6 – термоэлектронагреватель; 7 – вакуумный насос; 8 – датчик давления; 9 и 10 – датчики температуры; 11 – конденсатор; 12 – емкость для конденсата; 13 – емкость; 14 – насос

Разработанная установка имеет следующие технические характеристики: материал обшивки выполнен из нержавеющей стали толщиной 1,5 мм, а внутренняя емкость изготовлена из нержавеющей стали толщиной 3 мм. Объем аппарата составляет 15 л, при этом рабочий объем – 10 л. Нагрев осуществляется при температуре от 0 до 120 °С с мощностью 0,69 кВт. Производительность по испарению влаги достигает 0,8 л/ч.

Были проведены эксперименты по сгущению вязких и жидких продуктов. Тонкоизмельчённая мясокостная масса, полученная из куриных шеек, использовалась в качестве модельного вязкого продукта для эксперимента по сгущению. Исходная масса характеризовалась содержанием влаги 59,37%, белка 17,68%, жира 8,12% и золы 14,83%. Процесс сгущения проводили при температуре 60°С в течение 1 ч при пониженном давлении 20 кПа, что обеспечивало интенсивное удаление влаги без перегрева белковых компонентов. В результате влажность продукта снизилась до 32,4%, при этом массовая доля белка увеличилась до 29,42%, жира – до 13,51%, золы – до 24,67%. Полученные данные подтверждают эффективность вакуумного выпаривания при щадящих термических условиях, позволяющего концентрировать питательные вещества и повысить содержание сухих веществ без денатурации белков. Таким образом, вакуумное сгущение может рассматриваться как перспективный метод для получения высококонцентрированных мясокостных паст и функциональных белково-минеральных ингредиентов.

В качестве жидкого продукта было выбрано молоко. В ходе проведённых исследований были определены физико-химические показатели исходного и сгущённого молока. Исходное молоко имело вязкость 4,83 мПа·с, массовую долю белка – 2,59%, жира – 3,03%, лактозы – 4,52%, а также общее содержание сухих веществ – 11,40%. После проведения процесса сгущения отмечено существенное увеличение концентрации компонентов и вязкости продукта. Вязкость сгущённого молока составила 367 мПа·с, массовая доля белка – 7,8%, жира – 7,3%, лактозы – 11,6%, при содержании сухих веществ 26,7%. Таким образом, процесс сгущения обеспечил значительное повышение сухих веществ и вязкости, что свидетельствует об эффективности технологии концентрирования молока.

Установка характеризуется универсальностью применения и может использоваться для сгущения различных вязких и жидких пищевых продуктов, включая молоко, соки, экстракты и соусы. Работа в замкнутом цикле позволяет минимизировать негативное воздействие на окружающую среду. Кроме того, по сравнению с крупными промышленными аналогами, данная установка отличается доступной стоимостью, что делает её особенно привлекательной для предприятий малого и среднего бизнеса. Таким образом, разработанная установка обеспечивает эффективное получение концентрированных пищевых продуктов за счёт вакуумного выпаривания, при этом характеризуется компактностью конструкции, сниженным уровнем эксплуатационных затрат и высокой степенью автоматизации управления технологическим процессом.

Заключение

Разработана компактная и энергоэффективная установка для сгущения жидких пищевых продуктов (молоко, соки, экстракты, соусы и т.д.), ориентированная на предприятия малой производительности. К основным преимуществам разработанной установки относятся компактные габаритные размеры, упрощённые условия эксплуатации, а также пониженное энергопотребление в процессе выпаривания. Установка отличается универсальностью применения, экологической безопасностью за счёт работы в замкнутом цикле и доступной стоимостью, что делает её особенно актуальной для малых и средних предприятий. Полученные результаты подтверждают возможность использования предложенного решения для повышения технологической эффективности переработки жидких пищевых систем.

Список литературы

1. Технологические аспекты получения сухих молочных продуктов повышенной растворимости / О.В. Дымар и др. // Актуальные вопросы переработки мясного и молочного сырья. – 2021. – № 7. – С. 37-47.

2. Varnam A.H. Milk and Milk Products: Technology / A.H. Varnam, J.P. Sutherland // Chemistry and Microbiology. Нидерланды: Springer US. – 2012.

3. Нуржанова А.А. Технология молока и молочных продуктов: учебник / А.А. Нуржанова. – Астана: Фолиант, 2010. – 213 с.

4. Dairy Processing: Advanced Research to Applications. Германия: Springer Nature Singapore. – 2020.
5. Collaborative Optimization Framework for the Industrial Thickening–Dewatering Process Based on Mixed Integer Linear Programming / S. Zhang et al // IEEE Transactions on Instrumentation and Measurement. – 2023. – Т. 72. – P. 1-14.
6. Пат. RU №2477969 C1 Российская Федерация, МПК A23L 3/3418, A23B 7/148, A23L 1/212. Вакуум-выпарной аппарат / Остриков А.Н., Дорохин С.В., Бочарова Е.И.; заявл. 13.10.2011; опубл. 27.03.2013. – Бюл. №9. – 9 с.
7. Пат. RU №2101967 C1 Российская Федерация, МПК A23C 1/12. Вакуум-выпарной аппарат для сгущения молочных продуктов / Старцев В.В.; заявл. 07.07.1993; опубл. 20.01.1998. – 4 с.
8. Пат. RU №2039438 C1 Российская Федерация, МПК A23C 1/12. Многокорпусная выпарная установка для пищевых продуктов и выпарной аппарат / Левераш В.И., Хомяков А.П., Обухов А.В., Борисоник Н.М.; заявл. 31.03.1992; опубл. 20.07.1995. – 14 с.
9. Кабанова Т.В., Охотников С.И. Исследование качества и безопасности сгущенного молока с сахаром разных торговых брендов // Вестник Марийского государственного университета. Серия «Сельскохозяйственные науки. Экономические науки». – 2024. – Т. 10. – №. 2. – С. 142-149.
10. Бочарова Е.И. Научное обоснование процесса и разработка технологии молокосодержащего продукта методом двухстадийного выпаривания: автореф. … канд.техн.наук, Воронеж, 2014. – 20 с.

References

1. Tekhnologicheskie aspekty polucheniya sukhikh molochnykh produktov povyshennoi rastvorimosti / O.V. Dymar i dr. // Aktual'nye voprosy pererabotki myasnogo i molochnogo syr'ya. – 2021. – № 7. – S. 37-47. (In Russian).
2. Varnam A.H. Milk and Milk Products: Technology / A.H. Varnam, J.P. Sutherland // Chemistry and Microbiology. Niderlandy: Springer US. – 2012. (In English).
3. Nurzhanova A.A. Tekhnologiya moloka i molochnykh produktov: uchebnik / A.A. Nurzhanova. – Astana: Foliant, 2010. – 213 c. (In Russian).
4. Dairy Processing: Advanced Research to Applications. Germaniya: Springer Nature Singapore. – 2020. (In English).
5. Collaborative Optimization Framework for the Industrial Thickening–Dewatering Process Based on Mixed Integer Linear Programming / S. Zhang et al // IEEE Transactions on Instrumentation and Measurement. – 2023. – T. 72. – R. 1-14. (In English).
6. Pat. RU №2477969 C1 Rossiiskaya Federatsiya, MPK A23L 3/3418, A23B 7/148, A23L 1/212. Vakuum-vyparnoi apparat / Ostrikov A.N., Dorokhin S.V., Bocharova E.I.; zayavl. 13.10.2011; opubl. 27.03.2013. – Byul. №9. – 9 s. (In Russian).
7. Pat. RU №2101967 C1 Rossiiskaya Federatsiya, MPK A23C 1/12. Vakuum-vyparnoi apparat dlya sgushcheniya molochnykh produktov / Startsev V.V.; zayavl. 07.07.1993; opubl. 20.01.1998. – 4 s.
8. Pat. RU №2039438 C1 Rossiiskaya Federatsiya, MPK A23C 1/12. Mnogokorpusnaya vyparnaya ustanovka dlya pishchevykh produktov i vyparnoi apparat / Leverash V.I., Khomyakov A.P., Obukhov A.V., Borisonik N.M.; zayavl. 31.03.1992; opubl. 20.07.1995. – 14 s. (In Russian).
9. Kabanova T.V., Okhotnikov S.I. Issledovanie kachestva i bezopasnosti sgushchennogo moloka s sakharom raznykh torgovykh brendov // Vestnik Mariiskogo gosudarstvennogo universiteta. Seriya «Sel'skokhozyaistvennye nauki. Ehkonomicheskie naukI». – 2024. – T. 10. – №. 2. – S. 142-149. (In Russian).
10. Bocharova E.I. Nauchnoe obosnovanie protsessa i razrabotka tekhnologii molokosoderzhashchego produkta metodom dvukhstadiinogo vyparivaniya: avtoref. … kand.tekhn.nauk, Voronezh, 2014. – 20 s. (In Russian).

Данное исследование выполнено в рамках проекта BR24992938 «Научное обоснование, разработка и внедрение прогрессивных технологических процессов, методов и решений комплексной переработки тушек птицы» МНВО РК.

Д.К. Дукенбаев*, А.К. Какимов[1], А.К. Суйчинов[2], Ж.С. Есимбеков[2], Б.К. Кабдылжар[2]
[1]Шәкәрім университеті, 071412, Қазақстан Республикасы,Семей қ., Глинка көш., 20А
[2]«Қазақ қайта өңдеу және тағам өнеркәсіптері ғылыми-зерттеу институты» ЖШС СФ,
071410, Қазақстан Республикасы, Семей қ., Байтұрсынов көш., 29
*e-mail: da_mir.1991@mail.ru

СҰЙЫҚ ЖӘНЕ ТҰТҚЫР ТАҒАМ ӨНІМДЕРІН ҚОЮЛАТУ ЖӘНЕ ПАСТЕРЛЕУГЕ АРНАЛҒАН ШАҒЫН ӨНІМДІ ҚОНДЫРҒЫНЫ ӘЗІРЛЕУ

Мақалада тамақ өнеркәсібінің шағын және орта кәсіпорындарының қажеттіліктеріне бағытталған сұйық тағамдарды қоюлату және пастерлеу үшін эксперименттік қондырғыны әзірлеу ұсынылған. Сүт шикізатын және басқа сұйық өнімдерді өңдеуге арналған ықшам және энергияны үнемдейтін жабдықты құрудың өзектілігі негізделген. Қондырғының конструкциясына жылу алмастырғыш қабаты бар сыйымдылықты буландырғыш, вакуумдау жүйесі, жылу тасымалдағышты дайындау және айналым блогы, автоматтандырылған басқару блогы және конденсация модулі кіреді. Вакуумды пайдалану процесті төмен қысымда жүргізуге мүмкіндік береді, бұл қайнау температурасын төмендетеді, қоректік заттардың жоғалуын азайтады және өнімнің термиялық зақымдануын болдырмайды. Құрылғының негізгі принциптері және технологиялық процестің реттілігі келтірілген. Процесті басқаруды автоматтандыру жұмысты жеңілдетеді, энергия шығынын азайтады және нәтиженің тұрақтылығын арттырады. Қондырғы төмен қысымда ылғалды буландыру арқылы тиімді қоюлануды қамтамасыз етеді, бұл энергия шығынын азайтуға, тағамның тағамдық құндылығын сақтауға және пайдалану ыңғайлылығын арттыруға мүмкіндік береді. Әзірлеуді шаруа қожалықтарында және шағын кәсіпорындарда қоюландырылған сүт, шырындар, сығындылар және сұйық тамақ өнімдерінің басқа түрлерін өндіруде қолдануға болады.

Түйін сөздер: *вакуумдық буландыру, қоюлату, пастерлеу, сұйық тағам өнімдері, шағын қондырғы, сүт өнеркәсібі, жылуалмасу, энергия үнемділігі.*

D. Dukenbayev*, A. Kakimov[1], A. Suychinov[2], Zh. Yessimbekov[2], B. Kabdylzhar[2]
[1]Shakarim University,
071412, Republic of Kazakhstan, Semey, Glinka st., 20A
[2]Semey branch of JSC «Kazakh Research Institute of Processing and Food Industry»,
071410, Republic of Kazakhstan, Semey, Baitursynov st., 29
*e-mail: da_mir.1991@mail.ru

DEVELOPMENT OF A LOW-PRODUCTIVITY EQUIPMENT FOR CONDENSATION AND PASTEURIZATION OF LIQUID AND VISCOUS FOOD PRODUCTS

This article presents the development of experimental low-productivity equipment for the condensation and pasteurization of liquid food products, aimed on the needs of small and medium-sized food industry enterprises. The relevance of creating compact and energy-efficient equipment for the processing of dairy raw materials and other liquid products is substantiated. The design of the equipment includes a capacitive evaporator with a heat exchange jacket, a vacuum system, a coolant preparation and circulation unit, an automated control unit and a condensation module. The use of a vacuum allows the process to be carried out at reduced pressure, which ensures a lower boiling point, minimizes nutrient loss and prevents thermal damage to the product. The basic principles of the device operation and the sequence of the technological process are presented. Automation of process control simplifies operation, reduces energy costs and increases the stability of the obtained results. The equipment provides efficient condensation by evaporating moisture at low pressure, which reduces energy costs, preserves the nutritional value of products, and improves ease of use. The development can be used in farms, craft workshops and small enterprises in the production of condensed milk, juices, extracts and other types of liquid food products.

Key words: *vacuum evaporation, condensation, pasteurization, liquid food products, small-sized equipment, dairy industry, heat exchange, energy efficiency.*

Сведения об авторах

Дамир Кайратович Дукенбаев* – докторант кафедры «Биоинженерных систем», Шәкәрім университет, Республика Казахстан; e-mail: Da_mir.1991@mail.ru. ORCID: https://orcid.org/0009-0005-4197-9133.

Айтбек Калиевич Какимов – доктор технических наук, профессор кафедры «Биоинженерных систем», Шәкәрім университет, Республика Казахстан; e-mail: bibi.53@mail.ru. ORCID: https://orcid.org/0000-0002-9607-1684.

Ануарбек Казезович Суйчинов – PhD., ассоциированный профессор; Семейский филиал ТОО «Казахский научно-исследовательский институт перерабатывающей и пищевой промышленности», Республика Казахстан; e-mail: asuychinov@gmail.com. ORCID: https://orcid.org/0000–0003–4862–3293.

Жанибек Серикбекович Есимбеков – PhD., ассоциированный профессор, Семейский филиал ТОО «Казахский научно-исследовательский институт перерабатывающей и пищевой промышленности», Республика Казахстан; e-mail: ezhanibek@mail.ru. ORCID: https://orcid.org/0000–0002–8556–9954.

Бактыбала Кабылтайкызы Кабдылжар – PhD., старший научный сотрудник; Семейский филиал ТОО «Казахский научно-исследовательский институт перерабатывающей и пищевой промышленности», Республика Казахстан; e-mail: baktybala.20@mail.ru. ORCID: https://orcid.org/0000-0001-7935-0182.

Авторлар туралы мәліметтер

Дамир Кайратович Дукенбаев* – «Биоинженерлік жүйелер» кафедрасының докторанты; Шәкәрім университеті, Қазақстан Республикасы; e-mail: Da_mir.1991@mail.ru. ORCID: https://orcid.org/0009-0005-4197-9133.

Айтбек Калиевич Какимов – техника ғылымдарының докторы, «Биоинженерлік жүйелер» кафедрасының профессоры, Шәкәрім университеті, Қазақстан Республикасы; e-mail: bibi.53@mail.ru. ORCID: https://orcid.org/0000-0002-9607-1684.

Ануарбек Казезович Суйчинов – PhD., қауымдастырылған профессор; «Қазақ өңдеу және тамақ өнеркәсібі ғылыми-зерттеу институты» ЖШС-нің Семей филиалы, Қазақстан Республикасы; e-mail: asuychinov@gmail.com. ORCID: https://orcid.org/0000–0003–4862–3293.

Жанибек Серикбекович Есимбеков – PhD., қауымдастырылған профессор; «Қазақ өңдеу және тамақ өнеркәсібі ғылыми-зерттеу институты» ЖШС-нің Семей филиалы, Қазақстан Республикасы; e-mail: ezhanibek@mail.ru. ORCID: https://orcid.org/0000–0002–8556–9954.

Бактыбала Кабылтайкызы Кабдылжар – PhD., аға ғылыми қызметкер; «Қазақ өңдеу және тамақ өнеркәсібі ғылыми-зерттеу институты» ЖШС-нің Семей филиалы, Қазақстан Республикасы; e-mail: baktybala.20@mail.ru. ORCID: https://orcid.org/0000-0001-7935-0182.

Information about the authors

Damir Dukenbaev* – doctoral student of the Department of Bioengineering Systems; Shakarim University, Republic of Kazakhstan; e-mail: Da_mir.1991@mail.ru. ORCID: https://orcid.org/0009-0005-4197-9133.

Aitbek Kakimov – Doctor of Technical Sciences, Professor of the Department of «Bioengineering Systems», Shakarim University, Republic of Kazakhstan; e-mail: bibi.53@mail.ru. ORCID: https://orcid.org/0000-0002-9607-1684.

Anuarbek Suychinov – PhD, Associate Professor; Semey Branch of JSC «Kazakh Scientific Research Institute of Processing and Food Industry», Republic of Kazakhstan; e-mail: asuychinov@gmail.com. ORCID: https://orcid.org/0000–0003–4862–3293.

Zhanibek Yessimbekov – PhD, Associate Professor; Semey Branch of JSC «Kazakh Scientific Research Institute of Processing and Food Industry», Republic of Kazakhstan; e-mail: ezhanibek@mail.ru. ORCID: https://orcid.org/0000–0002–8556–9954.

Baktybala Kabdylzhar - PhD, Senior Researcher; Semey Branch of JSC «Kazakh Scientific Research Institute of Processing and Food Industry», Republic of Kazakhstan; e-mail: baktybala.20@mail.ru. ORCID: https://orcid.org/0000-0001-7935-0182.

Поступила в редакцию 24.09.2025
Поступила после доработки 13.10.2025
Принята к публикации 13.10.2025

https://doi.org/10.53360/2788-7995-2025-4(20)-46

BY 4.0
Check for updates

ҒТАХР: 65.09.03; 65.09.30

Л.А. Мурат*, Ә.Б. Қиықбай, Д.К. Айтмухамбетов, Г.Х. Оспанкулова
С. Сейфуллин атындағы Қазақ агротехникалық зерттеу университеті,
010000, Қазақстан Республикасы, Астана қаласы, Жеңіс даңғылы, 62
*e-mail: linaraazamatkyzy@mail.ru

СОЯ ЖӘНЕ БҰРШАҚ АҚУЫЗ ИЗОЛЯТТАРЫНЫҢ ҚҰРЫЛЫМДЫҚ-ФУНКЦИОНАЛДЫҚ ҚАСИЕТТЕРІ

Аңдатпа: *Зерттеуде соя және бұршақ ақуыз изоляттарының құрылымдық-функционалдық қасиеттері салыстырмалы түрде талданды. SPI және PPI үлгілерінің ақуыз фракцияларының құрамы мен құрылымы, коллоидтық-физикалық қасиеттері (ζ-потенциал, электрофоретикалық жылжымалылық, бөлшек мөлшері, электрөткізгіштік), жылулық тұрақтылығы (DSC талдауы) және*

ақуыздық профилі (SDS-PAGE) қарастырылды. Нәтижелерге сәйкес, SPI жоғары жылулық тұрақтылықпен және тығыз гельдік құрылымдар түзу қабілетімен ерекшеленеді, ал PPI ұсақ бөлшек мөлшерімен және жоғары дисперсиясымен сипатталады, бұл оған эмульгирлеу қасиеттерінің жоғарылығын қамтамасыз етеді. Зерттеу нәтижелері SPI мен PPI-ді тағам өнеркәсібінде мақсатты пайдалану қажеттілігін және олардың комбинациясы арқылы өнімдердің оңтайлы функционалдық қасиеттеріне қол жеткізу мүмкіндігін айқындайды.

Нәтижелер соя изолятының жоғары термиялық тұрақтылыққа ие екенін және тығыз гельдік құрылымдар түзу қабілеті басым екенін көрсетті. Ал бұршақ ақуызы изоляты ұсақ дисперстілігімен және жоғары эмульгирлеу қасиеттерімен ерекшеленді. Зерттеу қорытындылары SPI мен PPI-ді тағам өнімдерінің әртүрлі түрлерінде мақсатты түрде қолданудың тиімділігін және оларды біріктіре пайдалану арқылы өнімдердің функционалдық қасиеттерін оңтайландыру мүмкіндігін дәлелдейді.

Түйін сөздер: *соя ақуызы изоляты, бұршақ ақуызы изоляты, функционалдық қасиеттер, коллоидтық тұрақтылық, жылу тұрақтылығы, SDS-PAGE.*

Кіріспе

Соңғы жылдары өсімдік текті ақуыздарға қызығушылықтың жаһандық өсуі тұтынушылардың талғамының өзгеруімен және экологиялық тұрғыдан тұрақты қорек көздеріне ұмтылысымен түсіндіріледі. Өсімдік ақуыздары жоғары тағамдық құндылығы, функционалдық қасиеттері және өндірістің салыстырмалы түрде төмен экологиялық ізі арқасында жануар текті ақуыздарға балама ретінде қарастырылады [1]. Ақуыз изоляттарын алуға арналған шикізаттардың ішінде соя (Glycine max) мен бұршақ (Pisum sativum) бастапқы материалдағы ақуыздың жоғары концентрациясына (шикізатта 25-35% дейін) және өңдеу технологияларының дамуына байланысты ерекшеленеді. Соя ақуызы изоляты (SPI) теңгерімді аминқышқылдық құрамы мен функционалдық сипаттамаларының арқасында тағам өнеркәсібінде (тофу, соя сусындары, текстураланған ет аналогтары және т.б.) кеңінен қолданылады [2]. Бұршақ ақуызы изоляты (PPI) соңғы жылдары гипоаллергенді әрі ГМА-сыз ингредиент ретінде назар аудартып, жаңа функционалдық өнімдер мен глютенсіз рецептурларды жасауға перспективалы деп саналады [3]. Кейбір өңірлерде тұтынушылардың 22%-ға дейінгі бөлігі соя өнімдерінен аллергиялық қауіптену себебінен бас тартатыны атап өтілген [4], сондықтан PPI маңызды балама ретінде көрінеді. Болжамдарға сәйкес, алдағы жылдары бұршақ ақуызына негізделген ингредиенттердің әлемдік нарығы жылына шамамен 13%-ға өседі [5], бұл PPI қасиеттерін зерттеудің өзектілігін айқындайды.

SPI мен PPI-дің құрылымдық-функционалдық сипаттамаларын зерттеу мақсатты қасиеттері бар тағам өнімдерін әзірлеу үшін шешуші мәнге ие. Негізгі ақуыз фракцияларының құрамы мен құрылымын, коллоидтық қасиеттерін (дисперсия тұрақтылығы, заряд, бөлшек мөлшері), жылу тұрақтылығын және функционалдық көрсеткіштерін салыстыру әр изоляттың артықшылықтары мен шектеулерін айқындауға мүмкіндік береді. Осы жұмыстың мақсаты – соя және бұршақ ақуыз изоляттарының коллоидтық-физикалық параметрлерін тағамдық технологиядағы қолданылуын ескере отырып, термиялық тұрақтылығын және ақуыздық профилін салыстырмалы түрде талдау.

SPI мен PPI-дің құрылымдық ерекшеліктері

Соя және бұршақ изоляттары – құрғақ заттағы ақуыз мөлшері 85-90%-ды құрайтын жоғары концентрациялы ақуыз изоляттары болып табылады және өсімдік тектес глобулиндік ақуыздар тобына кіреді [6, 7]. SPI негізін екі глобулин тобы құрайды: 7S (β-конглицинин) және 11S (глицинин); олар молекулалық массасы мен субъединицалық құрылымы бойынша ерекшеленеді [9]. Бұршақ изолятында ұқсас ақуыз фракциялары – 7S (вицилин) және 11S (легумин) басым [6]. Бұл фракциялардың арақатынасы өзгермелі: мысалы, бұршақ ақуызында көбіне 7S-фракциясының (вицилиннің) үлесі жоғары; ол цистеин қалдықтарын қамтымайды [10], сондықтан молекулааралық дисульфидті байланыстар түзе алмайды. Ал 11S-фракциялар (соядағы глицинин және бұршақтағы легумин) қышқыл және негізгі полипептидтерден тұрады және олар дисульфидті көпіршелер арқылы байланысқан, бұл олардың гель түзуші қабілетіне әсер етеді [9][10]. Аминқышқылдық құрамы да ерекшеленеді: бұршақ ақуызы, әдетте, соямен салыстырғанда күкіртті аминқышқылдарын (метионин мен цистеинді) төменірек мөлшерде қамтиды [10], дегенмен екі изолят та аминқышқылдарының негізгі жиынтығы бойынша толыққанды және жоғары сіңімділікке ие.

Изоляттарды алудың дәстүрлі технологиясы ақуыздарды сілтілі ортада экстракциялауды және кейінгі изоэлектрлік тұндыруды қамтиды. Мұндай «дымқыл» тәсіл өнімнің жоғары тазалығына қол жеткізуді қамтамасыз етеді, бірақ ақуыздардың ішінара денатурациясына әкелуі мүмкін. Баламалы тәсілдер, мәселен тұзды экстракция әдісі немесе реактивтер қолданбайтын жұмсақ фракциялау, ақуыздардың нативті қасиеттерін сақтау мақсатында зерттеліп келеді [12]. Мәселен, ұнтақтау мен ауа ағынымен бөлуге негізделген құрғақ фракциялау әдісі бұршақ ақуыз концентраттарын ерігіштігі мен функционалдық қасиеттерін сақтай отырып, энергия шығынын азайтуға және ағынды сулардың түзілуін болдырмауға мүмкіндік береді [12]. Экстракция әдістерін жетілдірудің келесі бағыты – әртүрлі тағамдық қолдануларға арналған, мақсатты құрылымдық және технологиялық сипаттамалары бар ақуыз изоляттарын алу болып табылады.

Коллоидтық қасиеттер және тұрақтылық

Ақуыз изоляттарының функционалдық қасиеттері олардың су жүйелеріндегі әрекетіне – ерігіштігіне, беткі зарядына және дисперсияларды тұрақтандыру қабілетіне – айтарлықтай тәуелді. Бейтарап pH-та екі жүйе де орташа теріс ζ-потенциал мәніне (шамамен –10…–20 мВ) ие, бұл коллоидтардың шектеулі электростатикалық тұрақтылығын қамтамасыз етеді. Воуе және авторластарының мәліметтері бойынша [8], дәнді-бұршақ тұқымдастар изоляттарының су ұстау қабілеті (СҰҚ) мен ерігіштігі белгілі бір шектерде өзгереді: бұршақ ақуызының көрсеткіштері сояға қарағанда сәл төмен, бірақ салыстырмалы деңгейде қалады. Изоэлектрлік нүктенің (pI ≈ 4,5) бейтарап мәнге жақындығы салдарынан соя және бұршақ изоляттарының ерігіштігі қышқыл ортада айтарлықтай төмендейді, бұл ақуыз молекулаларының агрегациясына және эмульсиялардың қабатталуына әкелуі мүмкін [8]. Ал сілтілі ортада (pH > 7) ақуыз молекулаларының зарядының артуы мен электростатикалық тебілу күштерінің күшеюіне байланысты ерігіштік күрт жоғарылайды.

Коллоидтық тұрақтылыққа изолятты алу тәсілі де маңызды ықпал етеді. «Жұмсақ» әдістер ақуыздың табиғи қасиеттерін сақтауға мүмкіндік береді: мысалы, зертханалық жағдайда алынған PPI үлгілері кейбір коммерциялық PPI-лерге (10%-дан төмен) қарағанда әлдеқайда жоғары ерігіштік (≈65-70%) көрсете алады; бұл өндірістік кептіру кезіндегі денатурациямен байланысты [7]. Sarsa және авторластар [13] изоэлектрлік тұндырудың орнына тұзды экстракцияны қолдану бұршақ изоляттарының ерігіштігі мен эмульгирлеу қабілетін арттыратынын көрсетті. Демек, экстракция мен кейінгі өңдеу шарттарын таңдау SPI және PPI-дің коллоидтық-физикалық параметрлерін басқаруға мүмкіндік береді.

Жылу тұрақтылығы (DSC-талдау)

Өсімдік ақуыздарының термиялық тұрақтылығы негізгі фракциялардың денатурация температураларымен және осы үдерістің энергиясымен сипатталады. Жалпы, соядағы 11S глицинин 7S фракциясына қарағанда жоғары денатурация температурасына ие, ал бұршақтың 11S легуминінің температурасы төменірек деп саналады [9]. Әдебиетте бұршақ изоляттарының денатурациясы сояға қарағанда сәл төмен температурада басталатыны келтіріледі: PPI үшін ≈88-95 °C және SPI үшін 100 °C-тан жоғары мәндер [11]. Сонымен қатар, PPI-дің денатурация энтальпиясы (ΔH) әдетте төменірек болады, бұл оның ақуыздық құрылымдарын тарқату үшін талап етілетін энергияның аздығын көрсетеді. Жылулық қасиеттер бастапқы өңдеуге де тәуелді: қайталама қыздыру немесе жоғары қысым денатурация температураларын төмендетуі мүмкін. Utsumi және Kinsella-ның классикалық зерттеулері [9] соя ақуызының жеке фракциялары (7S және 11S) жылулық денатурацияға және гель түзуге төзімділігі бойынша айырмашылыққа ие екенін көрсетті: 11S глобулині қайтымсыз құрылымдық өзгерістер үшін жоғарырақ температураны талап етеді. Бұл SPI-дің PPI-ге қарағанда жоғары термостабильдігі туралы жалпы тенденцияны растайды. Алайда тұздардың болуы немесе аралас жүйелерде (мысалы, полисахаридтер қатысында) критикалық температуралар ығысуы мүмкін, сондықтан тура салыстыру тек стандартталған жағдайда орынды. Жалпы алғанда, изоляттардың қыздыру кезіндегі реакциясын және құрылымдық өзгерістерін түсіну пастерлеу мен экструзия сияқты термоөңдеу процестерінде олардың технологиялық жарамдылығын бағалау үшін маңызды.

Ақуыздық профиль (SDS-PAGE)

Денатурлейтін гельдегі электрофоретикалық талдау (SDS-PAGE) изоляттардың негізгі ақуыздық компоненттерін айқындауға және олардың құрылымы туралы жанама ақпарат алуға мүмкіндік береді. SPI электрофореграммасында әдетте 7S β-конглицининге (~52-60 кДа, тримерлер) және 11S глицининің субъединицаларына тән жолақтар көрінеді: қышқыл α-

тізбектер (~35 кДа) және негізгі β-тізбектер (~20 кДа) [9]. Бұршақ изолятында 7S вицилинге тән (~50-60 кДа, дисульфидтік байланыссыз тример) және 11S легуминнің қышқыл (~40 кДа) және негізгі (~20 кДа) тізбектеріне сәйкес жолақтар тән [6]. PPI-де бастапқы сортқа қарай ~70 кДа аймағында конвицилин фракциясы көрінуі мүмкін [6]. Жоғарыда айтылғандай, вицилин молекуласының цистеинді қамтымауы оның S–S-көпірлер арқылы полимерленуін шектейді [10]. Керісінше, соя глицинині мен бұршақ легумині жұп SH-топтарының болуы арқасында молекулааралық тігілулер түзе алады, бұл олардың гель түзу қабілетіне үлес қосады. Осылайша, электрофорез нәтижелері SPI мен PPI-дің негізгі ақуыздық компоненттер жиынтығы ұқсас екенін, ал айырмашылықтардың негізінен фракциялар арақатынасы мен олардың құрылымдық ерекшеліктеріне қатысты екенін айқындайды. Жалпы, бұршақ изолятында 7S (вицилин) үлесінің көбірек болуы оның эмульгирлеу қасиеттерін күшейтеді [6], ал соя изолятындағы 7S/11S-тің теңгерімді қатынасы функционалдық сипаттамалардың «әмбебаптығын» қамтамасыз етеді [9].

Изоляттарды функционалды қолдану

Аталған қасиеттердің жиынтығы SPI мен PPI-дің тағамдық технологияларда кеңінен қолданылуын қамтамасыз етеді. SPI дәстүрлі түрде эмульгатор, көбік түзгіш және текстурлаушы ретінде қолданылады. Ол суды және майды тиімді байланыстырып, тұрақты эмульсиялар түзе алады және қыздыру кезінде тығыз гельдер қалыптастырады, бұл шұжық өнімдерінде, ет және сүт баламаларында, кондитерлік өнімдерде көрініс табады. Бірқатар функционалдық көрсеткіштері (ерігіштік, эмульгирлеу және көбік түзу қабілеті) бойынша бұршақ изоляты соядан кем түспейтіні көрсетілген [11]. Дегенмен, бұршақ ақуызының гель түзу қабілеті, әдетте, төменірек: берік гель алу үшін қатаңырақ қыздыру шарттары немесе айқастырғыш агенттер қажет болуы мүмкін [14]. Мысалы, Shand және авторлар [14] PPI-дің термиялық индуцирленген гельдерінің SPI-ге қарағанда сол жағдайларда беріктігі мен серпімділігі төменірек екенін хабарлайды. Соған қарамастан, эмульгирлеу белсенділігі бойынша PPI жиі соямен салыстырмалы немесе одан да жоғары нәтижелер көрсетеді; бұл межфазалық бетте тез жайылатын 7S-компоненттердің (вицилиннің) молдығымен түсіндіріледі [6]. Мәселен, Barac және т.б. [11] бұршақ және соя изоляттарын салыстырған зерттеуде PPI мен SPI-дің эмульгирлеу қабілеті мен эмульсия тұрақтылығы бір деңгейде екені, ал SPI-дің су ұстағыш қабілеті сәл жоғары екені көрсетілді. Бұған қоса, ақуыздарды алдын ала өңдеу факторлары функционалдық қасиеттерге әсер етеді: нативті құрылымды сақтайтын «жұмсақ» технологиялар (жоғарыда айтылған құрғақ және тұзды фракциялау) ерігіштік пен эмульгирлеуді жақсартуы мүмкін [12, 13]. Екінші жағынан, мақсатты физикалық өңдеу (мысалы, жоғары гидростатикалық қысым, ультрадыбыс) бұршақ изолятында су ұстау мен эмульгирлеуді күшейтіп, молекулалық құрылымды икемдірек етеді [15].

SPI (соя ақуыз изоляттарын) құрылым түзу және ылғалды ұстап тұру талап етілетін өнімдерде – ет баламалары, фарш өнімдері мен ақуыз мөлшері жоғары нан-тоқаш өнімдерінде – қолдану орынды [8]. Ал PPI (бұршақ ақуыз изоляттары) жоғары ерігіштігі мен аллергенсіздігі бағаланатын сусындар, соустар, диеталық және глютенсіз өнімдер рецептураларында тиімді қолданылады [3]. Мысалы, рецептураға PPI енгізу тауық наггетстерінің шығымын және шырындылығын фарштың ылғал байланыстыру қабілетін арттыру есебінен жақсартады [20]. Отандық зерттеулер де әртүрлі өсімдік изоляттарын (соя, бұршақ, күнбағыс, люпин) біріктіріп қолданудың болашағын растайды: олардың өзара толықтыратын функционалдық-технологиялық қасиеттері өнімдердің қажетті консистенциясы мен жоғары қоректік құндылығын қамтамасыз етуге мүмкіндік береді [18].

Материалдар мен әдістер

Зерттеу нысандары. Зерттеу объектілері ретінде сілтілі экстракция және кейінгі изоэлектрлік тұндыру арқылы алынған, шашыратпа кептірумен кептірілген коммерциялық соя (SPI) және бұршақ (PPI) ақуыз изоляттары пайдаланылды. Эксперименттер алдында үлгілер 65% салыстырмалы ылғалдылықтағы бөлме температурасында кондицияланды.

Коллоидтық-физикалық көрсеткіштер. Белок дисперсияларының ζ-потенциалы мен электрофоретикалық қозғалғыштығы 25°C, pH 7,0 жағдайында (ақуыз концентрациясы 1%) лазерлік Доплер электрофорезі әдісімен (Zetasizer, Malvern) анықталды. Бөлшектер электр өрісінде қозғалғандағы жылдамдығы бойынша ζ-потенциал (мВ) және қозғалғыштық (×10^-8 м^2/В·с) есептелді. Гранулометриялық құрам динамикалық жарық шашырауы (DLS) әдісімен сол құрылғыда бағаланып, орташа гидродинамикалық диаметр (Z-average) және өлшемдер

таралуы алынды. 1% суспензиялардың электрөткізгіштігі 20 °C-та кондуктометрмен өлшенді. Барлық өлшемдер үш қайталауда орындалды.

Жылу тұрақтылығы. Дифференциалды сканерлейтін калориметрия (DSC) талдауы **TA Instruments** құрылғысында 20-140°C температура аралығында жүргізілді. SPI және PPI ұнтақ үлгілері (шамамен 5-10 мг) алюминий ұяшықтарға мықтап жабылып салынып, 2°C/мин жылдамдықпен қыздырылды. Алынған термограмма негізінде денатурацияның басталу температурасы, шың температурасы, аяқталу температурасы және денатурация энтальпиясы (ΔH) анықталды. Температуралық өлшеу дәлдігі индий үлгісі арқылы тексерілді.

Электрофорез (SDS-PAGE). Белоктық профильдер Laemmli әдістемесі бойынша SDS-PAGE арқылы талданды. Үлгілер β-меркаптоэтанол қатысындағы тотықсыздандыру жағдайында дайындалып, 12% акриламидтік градиент геліне енгізілді. Электрофорез тұрақты токта бояу фронты гель түбіне жеткенге дейін жүргізілді. Гель кумасси G-250-мен боялды; молекулалық массалар Precision Plus (Bio-Rad) маркері бойынша денситометрленді. Фракциялар әдебиет деректеріндегі негізгі соя және бұршақ ақуыз субъединицаларының молекулалық массаларына сәйкес сәйкестендірілді.

Нәтижелер және талқылау

Изоляттардың коллоидтық-физикалық қасиеттері

Бейтарап су дисперсияларында екі изолят та негізінен электростатикалық тебілу және гидратация есебінен тұрақтандырылған зарядталған бөлшектер түзеді. SPI-дің өлшенген ζ-потенциалы (–14,0 мВ) PPI-ден (–10,4…–12,6 мВ) біршама теріс болды, бұл соя ақуызының коллоидтық тұрақтылығының сәл жоғары екенін көрсетеді. Бұл мәндер модулі бойынша орташа тұрақтылық аймағына (|ζ| ≈10–15 мВ) жатады, мұнда уақыт өте баяу агрегация мүмкін [1]. Біздің деректер әдебиетпен үйлеседі: мысалы, Zhang және т.б. pH 7 кезінде көптеген өсімдік изоляттарының ζ-потенциалы шамамен –10 мВ болатынын және жеткілікті тұрақтылыққа тек күштірек зарядта немесе стабилизаторлар қосылғанда жететінін хабарлайды [1]. Электрофоретикалық қозғалғыштықтың модулі де SPI-де жоғарырақ болды (–1,10 × 10^-8 м^2/В·с қарсы PPI үшін –0,85 × 10^–8 м^2/В·с).

Орташа гидродинамикалық өлшемдері айтарлықтай ерекшеленді: SPI ірілеу агрегаттар (312,8-421,3 нм) түзсе, PPI үшін бөлшек өлшемдері анағұрлым кіші (87,1-203,2 нм) болды. Болжам бойынша, бейтарап pH-та бұршақ ақуыздары молекулааралық байланыстар мен ассоциацияларды азырақ түзіп, дисперстілігі жоғарырақ жүйе береді. Кіші бөлшек өлшемі әдетте коллоидтық тұрақтылыққа және эмульгирлеу қасиеттеріне пайдалы: ұсақ бөлшектердің шөгуі баяу және эмульсия құрылымы біркелкі. 1% суспензиялардың электрөткізгіштігі екі үлгіде де ұқсас болды (~1,5 мСм/см), бұл ерітінділердің иондық күші мен иондалу дәрежесінің ұқсастығын көрсетеді (кесте 1).

Кесте 1 – Соя (SPI) және бұршақ (PPI) ақуыз изоляттарының коллоидтық-физикалық қасиеттері

Көрсеткіш	SPI	PPI
ζ-потенциал, мВ	–14,0	–10,4…–12,6
Электрофоретикалық қозғалғыштық, ×10^-8 м^2/В·с	–1,10	–0,80…–0,95
Электрөткізгіштік, мСм/см	~1,5	~1,5
Орташа бөлшек өлшемі, нм	312,8-421,3	87,1-203,2

Алынған нәтижелердің практикалық мәні мынада: SPI мен PPI коллоидтық тұрақтылық дәрежесі бойынша айырмашылық танытады. Сәл үлкенірек теріс заряд пен ірілеу бөлшектер түзуге бейімділігі бар SPI соустар мен сусындар сияқты дисперстік жүйелерге тұтқырлық пен тығыз құрылым бере алады. Ал PPI ұсақ дисперстілігі арқасында эмульсиялар мен көбік жүйелерін тиімдірек тұрақтандырады, бұл майонездер, кремдер, сусындар сияқты эмульсиялық өнімдер үшін құнды. Бұл деректер Воуе және т.б. [8] хабарлаған су ұстағыш қабілетке қатысты мәліметтерді толықтырады: PPI-дің суды байланыстыруы SPI-ден сәл төмен болғанымен, оның ұсақ бөлшектілігі мен жеткілікті заряды дисперсиялардың тұрақтылығын қамтамасыз етеді. Сонымен бірге, PPI-дің ерігіштігін арттыру және бөлшек өлшемін кішірейту «жұмсақ» экстракция әдістерімен [13] немесе физикалық өңдеумен (ультрадыбыс, жоғары қысым) мүмкін. Біздің жағдайда коммерциялық PPI-дің өзі қанағаттанарлық дисперстілік пен ζ-потенциал көрсетті; нативті құрылымы көбірек сақталған зертханалық үлгілердің коллоидтық тұрақтылығы бұдан да жоғары болуы ықтимал [7].

Жылу тұрақтылығы (DSC)

DSC талдауы SPI мен PPI-дің жылулық параметрлерінде айқын айырмашылықтар бар екенін көрсетті (термограммалар берілмеген). SPI үлгісінде денатурацияның эндотермиялық шыңы 103,2°C маңында байқалса, PPI үшін негізгі шың шамамен 92,0°C деңгейінде тіркелді. Денатурацияның басталу температурасы (Onset) SPI-де 100,6°C, ал PPI-де едәуір төмен – шамамен 85°C. Аяқталу температуралары да ажыратылады: SPI үшін 109,6°C, PPI үшін 100,0°C. Бұл нәтижелер бұршақ ақуызының нативті құрылымын сояға қарағанда төменірек температурада жоғалта бастайтынын көрсетеді. Денатурация энтальпиясы (ΔH) SPI-де айтарлықтай жоғары (≈980 Дж/г), ал PPI-де бағалау бойынша ~600 Дж/г; бұл соя глобулиндерінің жоғары реттелген құрылымын бұзу үшін көп энергия қажет екенін білдіреді (кесте 2).

Кесте 2 – Соя (SPI) және бұршақ (PPI) ақуыз изоляттарының жылулық сипаттамалары (DSC деректері)

Параметр	SPI	PPI
Onset, °C	100,6	85,0
Peak, °C	103,2	92,0
Endset, °C	109,6	100,0
Энтальпия ΔH, Дж/г	980,1	~600

SPI-дің жоғары термотұрақтылығы әдебиетпен үйлеседі: соя изоляттары 100°C және одан жоғары температураларда да функционалдық белсенділікті ішінара сақтай алады [16]. Wang және т.б. [16] жоғары қысым-температуралық өңдеуден кейін де соя глобулиндерінің гель түзу және эмульгирлеу қабілеттерін ішінара сақтайтынын көрсетті. Бұршақ ақуызы үшін керісінше, ≈85-90 °C маңында легумин мен вицилиннің қайтымсыз денатурациясы басталып, ерігіштіктің төмендеуіне және тұнбаның түзілуіне әкеледі [11]. Біздің нәтижелер (PPI Peak ≈92°C, SPI Peak ≈103°C) осы бақылауларға сай келеді. Температура мәндеріне ақуыз концентрациясы, қыздыру жылдамдығы, орта құрамы әсер ететінін ескерген жөн; алайда жалпы қағида ретінде SPI-дің «қаталдау» термиялық процестерге (стерилизация, пісіру/қақтау, экструзия) лайықтырақ екенін, ал PPI үшін жұмсақ режимдердің орынды екенін айтуға болады.

Ақуыздық профиль (SDS-PAGE талдауы)

SPI және PPI электрофореграммалары олардың құрамындағы соя және бұршақ қорлық белоктарының негізгі жиынтығын растады (гель суреттері берілмеген). SPI-де ≈55 кДа аймағындағы жолақтар 7S β-конглицинин тримерлеріне сәйкес келді, ал ≈35–40 кДа және ≈20 кДа аймақтарындағы топтар 11S глицининің қышқыл (α) және негізгі (β) тізбектеріне тән болды. PPI үшін 50-60 кДа диапазонындағы интенсивті жолақтар 7S вицилинге, ал ≈40 кДа және ≈20 кДа жолақтары 11S легуминнің қышқыл және негізгі тізбектеріне сәйкес келеді (кесте 3).

Кесте 3 – SDS-PAGE бойынша соя (SPI) және бұршақ (PPI) изоляттарындағы негізгі ақуыз фракциялары

Фракция (глобулин)	Молекулалық масса, кДа	Функционалдық рөлі
β-конглицинин (7S, соя)	~52-60	Беткі-белсенді ақуыз; эмульгатор, көбік түзгіш
Глицинин, қышқыл тізбектер (11S, соя)	~35-40	11S гексамердің бөлігі (β-тізбекпен дисульфидтік байланыста); гель беріктігін қамтамасыз етеді
Глицинин, негізгі тізбектер (11S, соя)	~20	Қышқыл тізбекпен байланысқан; гель матрицасын қалыптастыруға қатысады
Вицилин (7S, бұршақ)	~50-60	PPI-дің негізгі эмульгирлеуші компоненті; көбік пен эмульсия тұрақтылығын қамтамасыз етеді
Легумин, қышқыл тізбектер (11S, бұршақ)	~40	Легумин құрамына кіреді (негізгі тізбекпен дисульфидті байланыста); гель түзуге қатысады
Легумин, негізгі тізбектер (11S, бұршақ)	~20	Қышқыл тізбекпен байланысқан; берік гельдік тор қалыптастыруға ықпал етеді

SPI-де минорлы 2S альбуминдер (8-15 кДа) іздері болуы мүмкін, бірақ изоляттарда олардың үлесі әдетте мардымсыз. PPI-де ≈70 кДа аймағындағы конвицилин (7S-тің үшінші түрі) кейде байқалады, бірақ біздің үлгіде ол әлсіз көрінді. Жалпы анықталған жолақтардың

жиынтығы мен молекулалық массалары әдеби деректермен жақсы сәйкеседі[9][6]. Utsumi және Kinsella [9] 7S/11S қатынасы функционалдық қасиеттерді айқындайтынын атап өтеді: 11S-тің (глицинин) артуы тығыз термогельдер түзу қабілетін күшейтсе, 7S (конглицинин) эмульгирлеу мен көбік түзуге көбірек жауап береді. Біздің байқауларда SPI-дің 7S және 11S фракциялары теңгерімді, бұл оның әмбебаптығын (текстурлау да, эмульгирлеу де) түсіндіреді; ал PPI-де вицилиннің басымдығы оның эмульгирлеу функциясын күшейтеді [6].

Қорытынды

Жүргізілген салыстырмалы зерттеу соя және бұршақ ақуыз изоляттарының құрылымдық-функционалдық қасиеттерінде елеулі айырмашылықтар және бірін-бірі толықтыратын артықшылықтар бар екенін көрсетті. SPI жоғары термотұрақтылығы және 11S глобулиндерінің (глицинин) айтарлықтай үлесіне байланысты берік гельдік құрылымдар қалыптастыру қабілетімен сипатталады. Коллоидтық жүйелерде оның орташа жоғары заряды мен ірілеу агрегат түзуі өнім құрылымын «тығыздауға» мүмкіндік береді. Бұған қарама-қарсы, PPI ұсақ бөлшек өлшемдері мен беткі-белсенді 7S ақуыздарының (вицилин) басымдығы арқасында жоғары эмульгирлеу және көбік түзу қасиеттерін көрсетеді, бірақ термиялық тұрақтылығы төмендеу, сондықтан қыздыру кезінде функционалдық қасиеттері әлсіреуі ықтимал.

Практикалық тұрғыдан алғанда, SPI интенсивті термоөңдеуді (пісіру, стерилизация, экструзия) және тығыз матрица қалыптастыруды талап ететін өнімдер үшін (ет баламалары, котлеттер, шұжық-тәрізді бұйымдар, ақуызы жоғары наубайханалық өнімдер) неғұрлым қолайлы. PPI суық немесе орташа қыздырылатын эмульсиялық-көбік жүйелері (қоспалар, майонездер, коктейльдер, балмұздақ, сусындар) үшін тиімді; оның жоғары ерігіштігі мен гипоаллергендік қасиеті диеталық және глютенсіз өнімдерде артықшылық береді. Бұдан бөлек, соя және бұршақ изоляттарын бір рецептурада ұштастыру синергетикалық әсер береді: SPI су ұстау мен құрылымды күшейтсе, PPI эмульсия/көбік тұрақтылығын жақсартады. Отандық деректер әртүрлі өсімдік изоляттарының кешенді қолданылуы функционалды-технологиялық көрсеткіштерді теңгеруге және мақсатты сапаға қол жеткізуге мүмкіндік беретінін растайды [18].

Әдебиеттер тізімі

1. Effect of pH on physicochemical and functional properties of plant protein isolates / Q. Zhang et al // Food Hydrocolloids. – 2021. – Vol. 117. – P. 106693.
2. Pea protein isolates: Structure, extraction, and functionality / A.C.Y. Lam et al // Food Reviews International. – 2018. – Vol. 34, № 2. – P. 126-147.
3. Stone A.K. Functional properties of protein isolates from different pea cultivars / A.K. Stone, T.D. Warkentin, M.T. Nickerson // Food Science and Biotechnology. – 2015. – Vol. 24, № 3. – P. 827-833.
4. Watson E. Soy protein's popularity declines as consumers cite allergy concerns / E. Watson // FoodNavigator-USA (online). – 2019. (дата обращения: 15.09.2025).
5. Крылова О. Мировой рынок горохового протеина: стремительный рост / О. Крылова // Бизнес Фермер Ингредиенты (bfi-online.ru). – 2020. (дата обращения: 15.09.2025).
6. The Current Situation of Pea Protein and Its Application in the Food Industry / P. Shanthakumar et al // Molecules. – 2022. – Vol. 27, № 16. – P. 5354.
7. Functional Performance of Plant Proteins / K.K. Ma et al // Foods. – 2022. – Vol. 11, № 4. – P. 594.
8. Boye J.I. Comparison of the functional properties of pea, chickpea and lentil protein concentrates processed using ultrafiltration and isoelectric precipitation / J.I. Boye, F. Zare, A. Pletch // Food Research International. – 2010. – Vol. 43, № 2. – P. 537-546.
9. Utsumi S. Structure – function relationships in food proteins: Subunit interactions in heat-induced gelation of 7S, 11S, and soy isolate proteins / S. Utsumi, J.E. Kinsella // Journal of Agricultural and Food Chemistry. – 1985. – Vol. 33, № 2. – P. 297-303.
10. Profile and functional properties of seed proteins from six pea (Pisum sativum) genotypes / M.B. Barac et al // International Journal of Molecular Sciences. – 2010. – Vol. 11, № 12. – P. 4973-4990.
11. Comparative study of the functional properties of three legume seed isolates: Adzuki, pea and soybean / M.B. Barac et al // Journal of Food Science and Technology. – 2015. – Vol. 52, № 5. – P. 2779-2787.

12. Dry fractionation for production of functional pea protein concentrates / P.J.M. Pelgrom et al // Food Research International. – 2013. – Vol. 53, № 1. – P. 232-239.
13. Karaca A.C. Emulsifying properties of chickpea, faba bean, lentil and pea proteins produced by isoelectric precipitation and salt extraction / Karaca, A.C., N.H. Low, M.T. Nickerson // Food Research International. – 2011. – Vol. 44, № 9. – P. 2742-2750.
14. Physicochemical and textural properties of heat-induced pea protein isolate gels / P.J. Shand et al // Food Research International. – 2007. – Vol. 40. – P. 144-155.
15. Исследование влияния высокого гидростатического давления на функциональные свойства изолята горохового белка / О.В. Чугунова и др. // Новые технологии. – 2023. – Т. 19, № 4. – С. 183-189.
16. Effects of high-pressure treatment on physicochemical and functional properties of soy protein isolates / X.S. Wang et al // Food Hydrocolloids. – 2007. – Vol. 21, № 5. – P. 560-567.
17. Differences in physicochemical properties of high-moisture extrudates prepared from soy and pea protein isolates / H. Wang et al // Food Hydrocolloids. – 2022. – Vol. 128. – P. 107576.
18. Исследование качественных показателей функционально-технологических свойств изолятов растительного белка (соевого, горохового, подсолнечникового и люпинового) // Вестник ВГУИТ. – 2021. – № 4. – С. 115-123.

References

1. Effect of pH on physicochemical and functional properties of plant protein isolates / Q. Zhang et al // Food Hydrocolloids. – 2021. – Vol. 117. – P. 106693. (In English).
2. Pea protein isolates: Structure, extraction, and functionality / A.C.Y. Lam et al // Food Reviews International. – 2018. – Vol. 34, № 2. – P. 126-147. (In English).
3. Stone A.K. Functional properties of protein isolates from different pea cultivars / A.K. Stone, T.D. Warkentin, M.T. Nickerson // Food Science and Biotechnology. – 2015. – Vol. 24, № 3. – P. 827-833. (In English).
4. Watson E. Soy protein's popularity declines as consumers cite allergy concerns / E. Watson // FoodNavigator-USA (online). – 2019. (data obrashcheniya: 15.09.2025). (In English).
5. Krylova O. Mirovoi rynok gorokhovogo proteina: stremitel'nyi rost / O. Krylova // Biznes Fermer Ingredienty (bfi-online.ru). – 2020. (data obrashcheniya: 15.09.2025). (In Russian).
6. The Current Situation of Pea Protein and Its Application in the Food Industry / R. Shanthakumar et al // Molecules. – 2022. – Vol. 27, № 16. – P. 5354. (In English).
7. Functional Performance of Plant Proteins / K.K. Ma et al // Foods. – 2022. – Vol. 11, № 4. – P. 594. (In English).
8. Boye J.I. Comparison of the functional properties of pea, chickpea and lentil protein concentrates processed using ultrafiltration and isoelectric precipitation / J.I. Boye, F. Zare, A. Pletch // Food Research International. – 2010. – Vol. 43, № 2. – P. 537-546. (In English).
9. Utsumi S. Structure – function relationships in food proteins: Subunit interactions in heat-induced gelation of 7S, 11S, and soy isolate proteins / S. Utsumi, J.E. Kinsella // Journal of Agricultural and Food Chemistry. – 1985. – Vol. 33, № 2. – P. 297-303. (In English).
10. Profile and functional properties of seed proteins from six pea (Pisum sativum) genotypes / M.V. Barac et al // International Journal of Molecular Sciences. – 2010. – Vol. 11, № 12. – P. 4973-4990. (In English).
11. Comparative study of the functional properties of three legume seed isolates: Adzuki, pea and soybean / M.V. Barac et al // Journal of Food Science and Technology. – 2015. – Vol. 52, № 5. – P. 2779-2787. (In English).
12. Dry fractionation for production of functional pea protein concentrates / P.J.M. Pelgrom et al // Food Research International. – 2013. – Vol. 53, № 1. – P. 232-239. (In English).
13. Karaca A.C. Emulsifying properties of chickpea, faba bean, lentil and pea proteins produced by isoelectric precipitation and salt extraction / Karaca, A.C., N.H. Low, M.T. Nickerson // Food Research International. – 2011. – Vol. 44, № 9. – P. 2742-2750. (In English).
14. Physicochemical and textural properties of heat-induced pea protein isolate gels / P.J. Shand et al // Food Research International. – 2007. – Vol. 40. – P. 144-155. (In English).
15. Issledovanie vliyaniya vysokogo gidrostaticheskogo davleniya na funktsional'nye svoistva izolyata gorokhovogo belka / O.V. Chugunova i dr. // Novye tekhnologii. – 2023. – T. 19, № 4. – S. 183-189. (In Russian).

16. Effects of high-pressure treatment on physicochemical and functional properties of soy protein isolates / X.S. Wang et al // Food Hydrocolloids. – 2007. – Vol. 21, № 5. – P. 560-567. (In English).
17. Differences in physicochemical properties of high-moisture extrudates prepared from soy and pea protein isolates / H. Wang et al // Food Hydrocolloids. – 2022. – Vol. 128. – P. 107576. (In English).
18. Issledovanie kachestvennykh pokazatelei funktsional'no-tekhnologicheskikh svoistv izolyatov rastitel'nogo belka (soevogo, gorokhovogo, podsolnechnikovogo i lyupinovogo) // Vestnik VGUIT. – 2021. – № 4. – S. 115-123. (In Russian).

Қаржыландыру

Бұл зерттеу ҚР Ауыл шаруашылығы министрлігінің қаржылық қолдауымен, BR22883587 «Қазақстан Республикасының азық-түлік қауіпсіздігін нығайту мақсатында ауыл шаруашылығы шикізатын терең өңдеудің ғылыми сыйымды технологияларын жетілдіру және әзірлеу» бағдарламасы аясында орындалды.

Л.А. Мурат*, Ә.Б. Қиықбай, Д.К. Айтмухамбетов, Г.Х. Оспанкулова
Казахский агротехнический исследовательский университет имени С. Сейфуллина,
010000, Республика Казахстан, г. Астана, проспект Женис, 62
*e-mail: linaraazamatkyzy@mail.ru

СТРУКТУРНО-ФУНКЦИОНАЛЬНЫЕ СВОЙСТВА СОЕВЫХ И ГОРОХОВЫХ БЕЛКОВЫХ ИЗОЛЯТОВ

В данной статье представлены результаты сравнительного исследования соевого белкового изолята (SPI) и горохового белкового изолята (PPI) с точки зрения их структурно-функциональных характеристик. Обсуждаются различия в составе и структуре белковых фракций, коллоидно-физические свойства (ζ-потенциал, электрофоретическая подвижность, размер частиц, электропроводность), термическая устойчивость (данные ДСК) и белковый профиль (SDS-PAGE). Показано, что SPI обладает большей термической стабильностью и способен формировать более плотные гелеобразные структуры, тогда как PPI характеризуется меньшим размером частиц и высокой дисперсностью, обеспечивая лучшие эмульгирующие свойства. Сделаны выводы о целесообразности дифференцированного применения SPI и PPI в пищевой промышленности и о возможности их комбинирования для достижения оптимальных функциональных характеристик продуктов.

Ключевые слова: *соевый белковый изолят, гороховый белковый изолят, функциональные свойства, коллоидная стабильность, термостабильность, SDS-PAGE.*

L. Murat*, A. Kiyikbay, D. Aitmuhambetov, G. Ospankulova
S. Seifullin Kazakh Agrotechnical Research University,
010000, Republic of Kazakhstan, Astana, Zhenis Avenue, 62
*e-mail: linaraazamatkyzy@mail.ru

STRUCTURAL AND FUNCTIONAL PROPERTIES OF SOY AND PEA PROTEIN ISOLATES

Structural and functional properties of soy and pea protein isolates have been comparatively studied. The composition and structure of protein fractions, colloidal-physical properties (ζ-potential, electrophoretic mobility, particle size, conductivity), thermal stability (DSC analysis), and protein profiles (SDS-PAGE) of SPI and PPI were examined. The results demonstrate that SPI exhibits higher thermal stability and can form denser gel-like structures, whereas PPI is characterized by smaller particle size and higher dispersion, leading to superior emulsifying properties. The findings suggest the need for differentiated application of SPI and PPI in the food industry and indicate that combining these isolates could achieve optimal functional performance in food products.

Key words: *soy protein isolate, pea protein isolate, functional properties, colloidal stability, thermal stability, SDS-PAGE.*

Авторлар туралы мәліметтер

Линара Азаматқызы Мурат* – «Тамақ және қайта өңдеу өндірістерінің технологиясы» кафедрасының докторанты, С. Сейфуллин атындағы Қазақ агротехникалық зерттеу университеті, Астана қаласы, Қазақстан Республикасы; e-mail: linaraazamatkyzy@mail.ru. ORCID: https://orcid.org/0000-0001-5684-0621.

Әмірсана Бекмұхаметұлы Қиықбай – аға ғылыми қызметкер, С. Сейфуллин атындағы Қазақ агротехникалық зерттеу университеті, Астана қаласы, Қазақстан Республикасы; e-mail: Sanabayq@gmail.com. ORCID: https://orcid.org/0009-0008-8866-582X.

Даулет Какижанович Айтмухамбетов – ауыл шаруашылық ғылымдарының кандидаты, С. Сейфуллин атындағы Қазақ агротехникалық зерттеу университеті, Астана қаласы, Қазақстан Республикасы; e-mail: daulet-kerei@mail.ru. ORCID: https://orcid.org/0000-0002-8178-3080.

Гульназым Хамитовна Оспанкулова – биология ғылымдарының кандидаты, «Тамақ және қайта өңдеу өндірістерінің технологиясы» кафедрасының қауымдастырылған профессор м.а., С. Сейфуллин атындағы Қазақ агротехникалық зерттеу университеті, Астана қаласы, Қазақстан Республикасы; e-mail: bulashevag@mail.ru. ORCID: https://orcid.org/0000-0002-6043-4658.

Сведения об авторах

Линара Азаматқызы Мурат* – докторант кафедры «Технологии пищевых и перерабатывающих производств»; Казахский агротехнический исследовательский университет им. С. Сейфуллина, г. Астана, Республика Казахстан; e-mail: linaraazamatkyzy@mail.ru. ORCID: https://orcid.org/0000-0001-5684-0621.

Әмірсана Бекмұхаметұлы Қиықбай* – старший научный сотрудник, Казахский агротехнический исследовательский университет им. С. Сейфуллина, г. Астана, Республика Казахстан; e-mail: Sanabayq@gmail.com. ORCID: https://orcid.org/0009-0008-8866-582X.

Даулет Какижанович Айтмухамбетов – кандидат сельскохозяйственных наук, Казахский агротехнический исследовательский университет им. С. Сейфуллина, г. Астана, Республика Казахстан; e-mail: daulet-kerei@mail.ru. ORCID: https://orcid.org/0000-0002-8178-3080.

Гульназым Хамитовна Оспанкулова – кандидат биологических наук, и.о. ассоциированного профессора кафедры «Технологии пищевых и перерабатывающих производств»; Казахский агротехническийисследовательский университет им. С. Сейфуллина, г. Астана, Республика Казахстан; e-mail: bulashevag@mail.ru. ORCID: https://orcid.org/0000-0002-6043-4658.

Author Information

Linara Murat* – Doctoral student at the Department of «Food and Processing Production Technologies», S. Seifullin Kazakh Agro Technical Research University, Astana, Republic of Kazakhstan; e-mail: linaraazamatkyzy@mail.ru. ORCID: https://orcid.org/0000-0001-5684-0621.

Amirsana Kiyikbay –Senior researcher S. Seifullin Kazakh Agro Technical Research University, Astana, Republic of Kazakhstan; e-mail: Sanabayq@gmail.com. ORCID: https://orcid.org/0009-0008-8866-582X.

Daulet Aitmuhambetov – Candidate of Agricultural Sciences, S. Seifullin Kazakh Agro Technical Research University, Astana, Republic of Kazakhstan; e-mail: daulet-kerei@mail.ru. ORCID: https://orcid.org/0000-0002-8178-3080.

Gulnazym Ospankulova – Candidate of Biological Sciences, Acting Associate Professor at the Department of «Food and Processing Production Technologies», S. Seifullin Kazakh Agro Technical Research University, Astana, Republic of Kazakhstan; e-mail: bulashevag@mail.ru. ORCID: https://orcid.org/0000-0002-6043-4658.

Редакцияға енуі 22.09.2025
Өңдеуден кейін түсуі 06.10.2025
Жариялауға қабылданды 08.10.2025

https://doi.org/10.53360/2788-7995-2025-4(20)-47

IRSTI: 65.47.03

CC BY 4.0
Check for updates

G.E. Orymbetova[1]*, E.M. Orymbetov[1], M.K.Kassymova[2], Z.I. Kobzhasarova[2], B.T. Yeshimbetova [2]

[1]South Kazakhstan Medical Academy,
160001, Republic of Kazakhstan, Shymkent, 1/1 Al-Farabi square
[2]M. Auezov South Kazakhstan University,
160012, Republic of Kazakhstan, Shymkent, 5 Tauke-Khan avenue;
*e-mail: orim_77@mail.ru

DEVELOPMENT OF TECHNOLOGY FOR PRODUCING PASTA WITH ADDED PUMPKIN PUREE

Abstract: *The production of high-quality products and their balance in the human diet are of great importance. Pasta products are in constant demand in the market. Therefore, the creation of products using non-traditional raw materials in order to increase the nutritional value is relevant. The work proposes a technology for the production of tubular pasta with the addition of non-traditional raw materials – pumpkin*

puree with purpose to increase their nutritional and biological value. A pasta dough recipe developed, containing pumpkin puree in varying proportions, enriches product by β-carotene, dietary fiber, vitamins, and microelements. Research has determined the optimal component ratio (20% by weight of pumpkin puree), ensuring the preservation of the product's technological properties, such as shape, density, and cooking stability, while improving its nutrient composition. Changes in the organoleptic and physicochemical characteristics of pasta products containing pumpkin puree were assessed, enabling identification of the best parameters for industrial production. A promising technology is proposed that can be used in the industrial production of functional pasta products using plant-based raw materials.

Key words: *flour, pasta, pumpkin puree, technology,* organoleptic and physicochemical properties

Introduction

In recent years, there has been a steady increase in the consumption of pasta both in Kazakhstan and abroad. This is due to their availability, variety and ease of preparation. Tubular pasta such as penne, rigatoni and cannelloni are becoming increasingly popular due to their versatility and ability to be combined with various sauces and fillings. The development of new technologies allows us to expand the range and improve the quality of products. Modern consumers are increasingly paying attention to the quality and composition of products. The development of technologies that allow the use of more natural and healthy ingredients meets the demands of the market and consumers [1].

In recent years, a field of research has emerged aimed at developing functional pasta products with increased biological value. This issue has been reflected in works at various levels: articles in scientific journals, patents, reports at thematic conferences.

Pumpkin puree, rich in vitamins, minerals and antioxidants, can be a valuable addition to traditional pasta, increasing its nutritional value. Carotenoids help prevent cell mutation, and therefore cancer. In addition, they prevent the formation of atherosclerosis, one of the causes of cardiovascular diseases.

Using pumpkin puree can help to use agricultural resources more efficiently, as pumpkin is an affordable and easy-to-grow crop. It can also help to utilize excess pumpkin, which is important in seasonal production.

The authors Chomanov U., Zhumalieva G., Shoman A. and Kasimbek R. proposed a method for producing pasta based on adding 10-15% of the flour weight of a bioadditive from the remains of canned fish production (perch) and crushed licorice root to the flour mixture. Perch meat allows increasing the nutritional value of the finished product due to the vitamins B and D, ascorbic and nicotinic acid, minerals (iron, chromium, iodine, etc.) it contains [2].

The patent of the authors Ospanov A., Muslimov N.Zh., Timurkekova A.K. and Dzhumabekova G. B. implies the introduction of 25% dry wheat gluten into a poly-cereal flour mixture, allowing the creation of new compositions for the production of pasta products, with an increased amount of macro- and microelements, including the amount of amino acids and vitamins, improving the organoleptic qualities of pasta products [3].

Daribayeva G.T., Iztayev B.A., Iztayev A., Iskakova G.K., Yakitayeva M.A. in patent No. 5821 proposed a method for increasing the nutritional and biological value of pasta products. The result is achieved through a production method by mixing whole-grain wheat flour from soft wheat varieties and whole-grain flour from tretikal grain (10-20% of the total flour weight) with kneading on ionozonated water [4].

In order to increase the nutritional and biological value of pasta made from soft wheat grain, the authors Shelubkova N. S. et al. (2018) studied the effect of adding chickpea flour to pasta dough. In their work, the researchers optimized the mixing parameters of pasta dough made from composite flour [5].

Wheat, buckwheat and flaxseed flour for use in pasta production were studied in the work of Aptrakhimov et al. A comparative characteristic of the plant components of the developed pasta products is presented in terms of their content of proteins, fats, carbohydrates, dietary fiber, vitamins, macro- and microelements. Buckwheat and flaxseed flour are characterized by significantly higher indicators of both food and biological value than wheat flour. The authors noted that vitamins and minerals are presented in buckwheat flour more widely. It has been proven that the use of buckwheat or flaxseed flour, both separately and in a mixture with other types of flour, will expand the raw material base and range of pasta products for dietary therapeutic and dietary preventive nutrition, including for patients with diabetes and celiac disease [6].

In the work [7], flour of gluten-free crops, such as rice, buckwheat, and corn, was studied for the production of pasta for consumers with food intolerance to gluten (celiac disease). Various vegetable and fruit powders, starch, as well as pea, soy, amaranth, and millet flour were added to the gluten-free flour. The considered series of plant enriching additives in pasta dough allows expanding the range of manufactured pasta products for dietary therapeutic and dietary preventive nutrition of consumers suffering from celiac disease.

The author Rodionov and others studied the possibility and feasibility of using parsnip and pumpkin powders to improve the quality of finished pasta. The authors of the study determined the most acceptable amount of vegetable powder added to pasta dough, and noted that the addition of vegetable components to pasta dough improves the quality indicators of finished products: appearance, surface condition, color. The paper presents the results of a study of the effect of added vegetable powder on the physicochemical and mechanical properties of finished pasta, as well as on quality indicators. Of interest are the results of a study of the effect of added vegetable powder on the dough structure. In their study, the authors proved that adding vegetable powders to pasta dough entails a decrease in dough adhesion. A decrease in adhesion improves technological characteristics, facilitates the process of pasta production [8].

Argentine researchers studied the nutritional value of gluten-free pasta made from cassava starch and corn flour (4:1), as well as milk, eggs, salt and xanthan gum. Analysis of the chemical composition showed a high content of dietary fiber and a low glycemic index. The resulting pasta is recommended in diets with a high fiber content and a low glycemic index [9].

The authors Orymbetova G.E. and Aripova Sh.A. considered the method of adding the extract of wormwood (A. absinthium) to increase the nutritional and biological value of the final product, as well as to increase the anthelmintic properties of food, everyday use. Based on the experiments, the following conclusions were provided: spaghetti with the addition of 10% wormwood are the most rational. Since with such a dosage, the organoleptic and physicochemical indicators of finished products are not violated. According to organoleptic indicators, spaghetti with green inclusions have a taste and smell characteristic of wormwood [10].

Thus, the development of technology for the production of tubular pasta with the addition of pumpkin puree is an important and urgent task that helps improve the quality of food products and meet consumer demand.

Materials and methods

All samples of finished pasta were analyzed for organoleptic and physicochemical properties.

Methods for determining organoleptic and physicochemical (moisture, acidity) indicators of pasta products were determined in accordance with GOST 31743-2017 Pasta products. General specifications [11].

Five samples of the test product (n=5), weighing 5 g each, were selected for analysis. Each sample was analyzed in triplicate. Results were processed using Excel. Mean values and standard deviations were calculated. The Student's t-test was used to assess the statistical significance of differences.

The moisture content of the products was determined by drying to constant weight. Pasta samples were dried at temperature of 100-105°C for 4 hours. After the drying time, cooled samples were weighed until weight difference between two subsequent weighings did not exceed 0.002 g.

Acidity was determined by titrating an aqueous suspension of ground products with sodium hydroxide. A 1% phenolphthalein solution was added to the prepared sample, which was then titrated with sodium hydroxide until pink color appeared, which persisted for a minute.

Dietary fiber was determined in accordance with GOST 34844-2022 [12]. Food products. Determination of the mass fraction of dietary fiber. The method is based on enzymatic sample processing followed by precipitation, filtration, washing, drying, and weighing of the residue containing dietary fiber. The determination was performed using enzymatic gravimetric analysis, which involves the enzymatic hydrolysis of starch and non-starch compounds using α-amylase, protease, and amyloglucosidase to mono-, di-, and oligosaccharides. The dietary fiber is then precipitated with ethyl alcohol, dried, and quantified using gravimetric method.

The sample was ground in laboratory mill. Enzymatic treatment was carried out using three enzymes. For testing, 1 g sample was mixed with 50 cm^3 of phosphate buffer. 100 mm^3 of α-amylase solution was added to the resulting solution. The solution was kept in boiling water bath for 30 minutes. Next, 500 mm^3 of protease enzyme solution was added and kept in a water bath at 60°C

for 30 minutes. In the third stage of fermentation, 300 mm³ of amloglucosidase enzyme solution was added and kept in a water bath at 60°C for 30 minutes. After enzymatic treatment, the solution was cooled to room temperature. To precipitate soluble fibers, 95% ethyl alcohol was added, mixed, and kept in a water bath at 60°C for 60 minutes. The solution was filtered, the residue was washed with 78% ethyl alcohol, and dried at 130°C to constant weight. The resulting precipitates were analyzed for residual protein content in one sample and ash content in the other.

The β-carotene content of pasta was determined by using spectrophotometer [13]. This method is based on the extraction of β-carotene from plant samples with hexane and optical determination of β-carotene in the hexane extract. The samples were thoroughly ground in a porcelain mortar until a paste-like mass was obtained. Three 50-ml glass beakers were filled with 3 g of the test sample. The samples were transferred to porcelain mortars and ground with a small amount of sand for 3-5 min. A small amount of Na_2CO_3 was added, then Na_2SO_4, and the mixture was ground for no more than 15 min until a powdery consistency was achieved. The mixture was then left in a dark place for 30 min. The sample was rinsed with a small amount of hexane through a Buchner funnel fitted with a paper filter. The extract was filtered using a vacuum pump, constantly adding a small amount of hexane to the funnel to cover the sample and allow pure hexane to pass through the filter. The amount of extract obtained was measured with a glass cylinder (the total volume of solution did not exceed 200 ml). The optical density of the resulting solutions was measured spectrophotometrically at a wavelength of λ = 440 nm using a 10 mm thick cuvette.

Comparative analysis of the content of macro- and microelements in the control sample and in the finished product according to the selected recipe by the SEM (scanning electron microscopy) method using the equipment of the «Structural and Biochemical Materials» laboratory of the M. Auezov South Kazakhstan University.

Research results and their analysis

For the research, the most suitable types of wheat flour for the production of pasta were selected: «Ak nan» of the first grade, «Granum» of the first grade and «Dani nan» of the highest grade.

The use of pumpkin puree in the production of pasta in combination with durum wheat flour for first-grade pasta ensures an increase in the quality indicators of these pasta products.

At pumpkin is added to pasta, the content of vitamins and dietary fiber increases, while the content of fats and carbohydrates, on the contrary, decreases.

Five samples with different percentages of flour were prepared:

Sample 1 – 5 wt.% functional additive (powder);

Sample 2 – 10 wt.% functional additive (powder);

Sample 3 – 10 wt.% functional additive (puree);

Sample 4 – 20 wt.% functional additive (puree);

Sample 5 – 30 wt.% functional additive (puree).

This is necessary in order to trace the dependence of the amount of additive and the deterioration or improvement of the pasta properties of the dough and organoleptic indicators.

The samples showed changes in the organoleptic characteristics of pasta with the addition of pumpkin puree, shown in Table 1.

Table 1 – Organoleptic characteristics of the dough with the addition of non-traditional raw materials – pumpkin

№	Sample number	Indicators
1	1 (5 wt.% powder)	It acquired a faint yellow-orange color, and faint pumpkin smell and taste appeared.
2	2 (10 wt.% powder)	It acquired an orange color, a strong smell and a sweetish taste of pumpkin.
3	3 (10% wt.% puree)	Organoleptic properties have not changed significantly. It acquired a faint yellow color, the smell and taste have not changed
4	4 (20 wt.% puree)	It acquired a distinct yellow-orange color, and a faint smell and taste of pumpkin appeared.
5	5 (30 wt.% puree)	It acquired an orange color, a strong smell and a sweetish taste of pumpkin.

Thus, sample 1 and sample 4 were the most suitable for molding in all respects, since the humidity is close to the solid type of dough kneading, and the extensibility above the ruler is average.

It should be noted that when receiving pumpkin powder, during the drying process, some vitamins decomposed, others suffered % loss, but did not disappear, and some turned out to be

resistant to high temperatures. But significant losses in the vitamin composition reduce the biological value of finished products, it is also necessary to take into account that the pasta dough must be dried, at the stage of which thermal exposure also occurs, respectively, the decomposition of vitamins will occur again.

Therefore, sample 1 (5 wt% pumpkin powder) is not suitable for further formulation development.

Methyltethionine completely disintegrated and lost its properties. Thiamine, under the influence of high temperatures, decreased by 27% of the total content in raw pumpkin. Riboflavin also, at high temperatures, decreased by 15% of the total content in raw pumpkin. Ascorbic acid at high temperatures decreased by 90% of its total content in raw pumpkin. Folic acid at high temperatures decreased by 90% of its total content in raw pumpkin. Nicotinic and Pantothenic acids disintegrate at high temperatures.

It should be noted that this type of drying has a more detrimental effect on the vitamin composition than boiling under pressure, since the pressure pumped into the screw boiling-blanching machine allows the same cooking processes to be carried out at a reduced temperature.

With an increase in the mass content of puree in the dough (sample 5), the pasta properties of the dough worsened: the dough became very elastic and difficult to form.

Acidity and moisture content analyses were performed on five samples and a control test sample.

It should be noted that the acidity of the dough decreases with the correct drying mode.

Pasta with added tomato products was also used as a control sample for the acidity study, since pumpkin is characterized by a high content of ascorbic, nicotinic, folic and pantothenic acids.

Thus, it should be noted that the acidity of the dough increases depending on the amount of additive added. At the same time, pumpkin powder has less effect on the acidity of the dough than adding pumpkin puree. When drying pasta, the acidity decreases.

If pumpkin powder has a moisture content of no more than 10%, then pumpkin puree has its own high moisture content, namely 84.6%. In the future, when calculating the recipe, it is necessary to recalculate the water added to the dough to achieve a moisture content of about 30% in the pasta dough.

Thus, it should be noted that pumpkin powder at 10 wt.% (sample 2), as well as pumpkin puree at 30 wt.% (sample 5) negatively affects the quality of washed gluten, which will subsequently affect the formation of pasta. Therefore, it is necessary to refuse these samples in the future.

Sample 3 (10% by weight pumpkin puree) – suitable for further development of the recipe, but does not significantly affect the organoleptic properties of the finished product, therefore, the production of products with 10% by weight pumpkin puree will be economically unprofitable.

Based on the obtained data, the most suitable sample is sample 4, containing 20% by weight of pumpkin puree.

Pumpkin powder, due to the fiber it contains, has a high level of hygroscopicity. Consequently, pumpkin powder, due to its high moisture absorption capacity, has a negative effect on the gluten content. A similar process occurs with sample 5 (30% by weight of pumpkin puree), due to the high content of plant fibers in the raw material, there is a decline in the indicators.

Acidity and moisture content analyses were carried out on five samples and a control sample of finished products (Table 2).

Table 2 – Comparative analysis of acidity and moisture content of samples

№	Sample #	Acidity, deg. T	GOST 31743-2017	Moisture, %	GOST 31743-2017
1	Control sample (tomato pasta)	9,8	⩽ 10	11,8	<13
2	Sample 1 (5 wt.% powder)	5		13	
3	Sample 2 (10 wt.% powder)	8		11,4	
4	Sample 3 (10 wt.% puree)	6		12	
5	Sample 4 (20% wt.% puree)	9		12,1	
6	Sample 5 (30 wt.% puree)	14		12,9	

Thus, the table shows a decrease in humidity in sample No. 2. This is due to the high fiber content in pumpkin powder, it is hygroscopic, but when exposed to high temperatures it easily releases moisture, therefore, with a high powder content, the humidity of the finished product decreases.

The decrease in acidity of finished pasta products in sample No. 2 (10% by weight of pumpkin powder) occurs due to the change in the raw materials introduced into the pasta dough.

It should be noted that despite the difference in the processing of the introduced plant material, the increase in acidity on the graph from sample 1 (5 wt.% pumpkin powder) to sample 2 (10 wt.% pumpkin powder) is approximately equal to the increase in acidity from sample 3 (10 wt.% pumpkin puree) to sample 4 (20 wt.% pumpkin puree).

At the same time, due to the difference in the content of dry substances in pumpkin puree (15.4%) and pumpkin powder (90.2%), there is a decrease in the acidity graph after the position «Sample 2 (10 mass.% pumpkin powder)», regardless of the amount of the additive added, since the amount of dry substances in the pumpkin processing products in the position «Sample 3 (10 mass.% pumpkin puree)» became lower.

The most compliant with GOST 31743-2017 «Pasta products. General specifications» is sample 4, the acidity of which is increased due to the content of pumpkin puree and can be classified as tomato products.

A comparative analysis of the content of macro- and microelements in the control sample and in the finished product according to the selected recipe using the SEM (scanning electron microscopy) method was carried out using the equipment of the «Structural and Biochemical Materials» laboratory of the M.Auezov South Kazakhstan University.

The obtained data showed the following results (presented in Table 3 and Figure 1).

Table 3 – Comparative analysis of the content of food substances

Food substances	Control sample (without additive)	Sample 4 (20 wt.% puree)	Difference
Content β-carotene, mg/100g	>0,01	1,2	+1,2
Mass fraction of dietary fiber, %	1,8	3,1	+1,3
Macro- and microelements, weight %			
C	5.84	9.78	3.94
O	41.17	41.26	0.09
Na	0.81	5.29	4.48
Mg	5.38	3.66	-2.02
Si	0.60	-	-0.60
P	17.68	12.62	-5.06
S	0.50	1.16	0.66
K	22.96	21.99	-0.97
Ca	4.59	3.68	-0.91
Fe	0.46	0.55	0.09

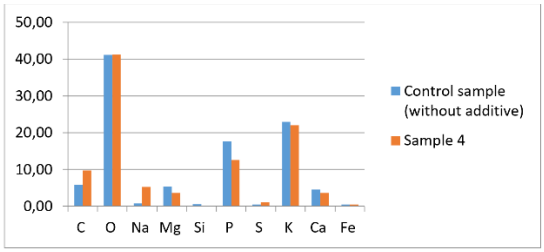


Figure 1 – Comparative analysis of the content of macro- and microelements

Table 3 shows that the content of β-carotene increased by 1.2 mg, the mass fraction of dietary fiber also increased by 1.3%, which indicates the functionality of the finished product.

An analysis of the obtained results allows us to draw the following conclusions: the sodium content in sample 4 (20% by weight of pumpkin puree) increased by 4.48%, which allows us to cover the daily sodium requirement for people when consuming 100 grams of the finished product. It should be noted that for people who engage in active training with profuse sweating, the need for daily sodium consumption increases twofold [14].

The content of sulfur and iron increases, which has a beneficial effect on people with iron deficiency anemia.

In light of the above, the losses in the form of magnesium, potassium and calcium are justified. Even the reduced phosphorus content in sample 4 (20% by weight of pumpkin puree) corresponds to the daily human consumption rate (from 12 to 16%) [15].

Description of the production flow chart

To produce tubular pasta with the addition of pumpkin puree, it is necessary to prepare raw materials that act as a functional additive. Therefore, it is necessary to consider a technological line for the production of pumpkin puree, which can be combined with a technological line for the production of tubular pasta [16].

The technological scheme for the production of tubular pasta with the addition of pumpkin puree is shown in Figure 2.

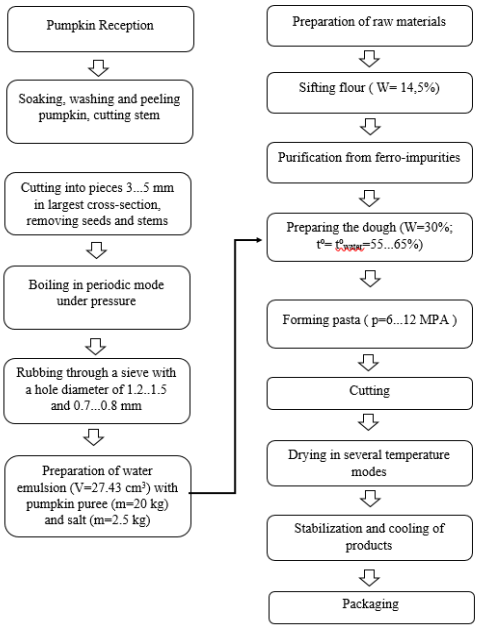


Figure 2 – Flow chart for the production of tubular pasta with addition of pumpkin puree

Conclusion

Optimization of tubular pasta production technologies can lead to a reduction in raw material and energy costs, which in turn will increase the competitiveness of products in the market. The introduction of new technologies, such as the use of alternative sources of raw materials (for example, gluten-free or enriched with vitamins and minerals), opens up new horizons for the development of the industry and meeting the needs of various consumer groups. The development of technologies aimed at reducing waste and using environmentally friendly packaging materials is also an important aspect that takes into account modern trends in sustainable development. Thus, work on the development of tubular pasta production technology is relevant and in demand, which will not only improve the quality of products, but also increase their competitiveness in the market. As a result of the research, an optimal sample of tubular pasta with the addition of pumpkin puree in an amount of 20 wt.% of the weight of all ingredients was selected.

Список литературы

1. Аптрахимов Д.Р. Обзор рынка макаронных изделий / Д.Р. Аптрахимов // Качество продукции, технологий и образования. – 2019. – С. 254-257.

2. Пат. 2363. РК: МПК: A23L 7/109. Способ производства макаронных изделий: / У.Ч. Чоманов, Г.Е. Жумалиева; заявитель и патентообладатель ТОО «Казахский научно-исслед-ий инст. перераб. и пищ. промыш-ти. – 2016/0491.2; заявл. 05.09.2016; опубл. 15.09.2017, Бюл. № 17.

3. Пат. 4291. РК: МПК: A23L 7/10. Макаронные изделия из нетрадиционного сырья (варианты) и способ их производства: / А. Оспанов, Н.Ж. Муслимов, А.К. Тимурбекова, Г.Б. Джумабекова; заявитель и патентообладатель Оспанов А., Муслимов Н. Ж., Тимурбекова А. К., Джумабекова Г. Б. – 2019/0275.2; заявл. 27.03.2019; опубл. 13.09.2019, Бил. № 37.

4. Пат. 5821. РК: МПК: A23L 7/109 B02B 1/00 B02B 5/00. Способ производства макаронных изделий / Г.Т. Дарибаева, Б.А. Изтаев, А. Изтаев, Г.К. Искакова, М.А. Якитаева; заявитель и патентообладатель Изтаев Б.А., Дарибаева Г.Т., АО «АТУ» – 2021/0057.2; заявл. 13.11.2019; опубл. 05.02.2021, Бил. № 5.
5. Оптимизация параметров замеса макаронного теста из композитной муки / Н.С. Шелубкова и др. // Вестник КрасГАУ. – 2018. – № 5. – С. 232-239.
6. Аптрахимов Д.Р. Сравнительная характеристика растительных компонентов разработанных макаронных изделий / Д.Р. Аптрахимов, Ф.Х. Смольникова, М.Б. Ребезов // Молодой ученый. – 2016. – № 21(125). https://moluch.ru/archive/125/34892.
7. Пат. 2446708 Рос. Федерация. Способ производства макаронных изделий: / Шнейдер Т.И., Казеннова Н.К., Шнейдер Д.В., Шилин С.А. № 2010146282/13; заявл. 13.11.2010; опубл. 10.04.2012, Бюл. № 10.
8. Влияние порошка пастернака на качественные показатели лапши и макаронных изделий / Родионов Ю.В. и др. // Технологии пищевой и перерабатывающей промышленности. – 2017. – № 1. – С. 56-61.
9. Milde L.B. Nutritional characterization of gluten free non-traditional pasta / L.B. Milde, P.S. Chigal, Z.M.O. Chiola // International Journal of Food Science and Nutrition. – 2018. – Vol. 3, № 5. – P. 19-24.
10. Пат. 6443. РК: МПК: A23L 7/109. Состав для изготовления спагетти с полынью / Орымбетова Г.Э., Арипова Ш.А.; заявитель и патентообладатель НАО «Южно-Казахстанский университет им. М. Ауэзова». – 2021/0491.2; заявл. 19.05.2021; опубл. 24.09.2021, Бил. № 38.
11. ГОСТ 31743-2017 Изделия макаронные. Общие технические условия. – Введ. 01.06.2017. – М. Стандартинформ, 2017. – 12 с.
12. ГОСТ 34844-2022. Продукция пищевая. Определение массовой доли пищевых волокон. – Введ. 29.04.2022. – Москва. Российский институт стандартизации, 2022. – 16 с.
13. Курегян А.Г. Спектрофотометрия в анализе каратиноидов / А.Г. Курегян // Фундаментальные исследования. – 2015. – № 2-23. – С. 5166-5172. URL: https://fundamental-research.ru/ru/article/view?id=38175 (дата обращения: 04.10.2025).
14. Терентьева О. А. Особенности сбалансированного питания при силовой тренировке / О.А. Терентьева // VIII Лужские научные чтения. Современное научное знание: теория и практика. – 2020. – С. 81-84.
15. Atef A. Studies on sheets properties made from juice and puree of pumpkin and some other fruit blends / A. Atef, A.S. Nadir, T.R. Mostafa. // Journal of applied sciences research. – 2012. – Т. 8. – № 5. – С. 2632-2639.
16. Пат. 6565. РК: МПК: A23L 1/16. Состав для изготовления макаронных изделий с добавлением пюре из тыквы / Орымбетова Г.Э., Охотенко Д.А.; заявитель и патентообладатель НАО «Южно-Казахстанский университет им. М. Ауэзова». – 2021/0492.2; заявл. 19.05.2021; опубл. 22.10.2021, Бил. № 42.

References

1. Aptrakhimov D.R. Obzor rynka makaronnykh izdelii / D.R. Aptrakhimov // Kachestvo produktsii, tekhnologii i obrazovaniya. – 2019. – S. 254-257. (In Russian).
2. Pat. 2363. RK: MPK: A23L 7/109. Sposob proizvodstva makaronnykh izdelii: / U.CH. Chomanov, G.E. Zhumalieva; zayavitel' i patentoobladatel' TOO «Kazakhskii nauchno-issled-ii inst. pererab. i pishch. promysh-ti. – 2016/0491.2; zayavl. 05.09.2016; opubl. 15.09.2017, Byul. № 17. (In Russian).
3. Pat. 4291. RK: MPK: A23L 7/10. Makaronnye izdeliya iz netraditsionnogo syr'ya (varianty) i sposob ikh proizvodstva: / A. Ospanov, N.ZH. Muslimov, A.K. Timurbekova, G.B. Dzhumabekova; zayavitel' i patentoobladatel' Ospanov A., Muslimov N. ZH., Timurbekova A. K., Dzhumabekova G. B. – 2019/0275.2; zayavl. 27.03.2019; opubl. 13.09.2019, Bil. № 37. (In Russian).
4. Pat. 5821. RK: MPK: A23L 7/109 B02B 1/00 V02V 5/00. Sposob proizvodstva makaronnykh izdelii / G.T. Daribaeva, B.A. Iztaev, A. Iztaev, G.K. Iskakova, M.A. Yakitaeva; zayavitel' i patentoobladatel' Iztaev B.A., Daribaeva G.T., AO «ATU» – 2021/0057.2; zayavl. 13.11.2019; opubl. 05.02.2021, Bil. № 5. (In Russian).
5. Optimizatsiya parametrov zamesa makaronnogo testa iz kompozitnoi muki / N.S. Shelubkova i dr. // Vestnik KraSGAU. – 2018. – № 5. – S. 232-239. (In Russian).

6. Aptrakhimov D.R. Sravnitel'naya kharakteristika rastitel'nykh komponentov razrabotannykh makaronnykh izdelii / D.R. Aptrakhimov, F.KH. Smol'nikova, M.B. Rebezov // Molodoi uchenyi. – 2016. – № 21(125). https://moluch.ru/archive/125/34892. (In Russian).
7. Pat. 2446708 Ros. Federatsiya. Sposob proizvodstva makaronnykh izdelii: / Shneider T.I., Kazennova N.K., Shneider D.V., Shilin S.A. № 2010146282/13; zayavl. 13.11.2010; opubl. 10.04.2012, Byul. № 10. (In Russian).
8. Vliyanie poroshka pasternaka na kachestvennye pokazateli lapshi i makaronnykh izdelii / Rodionov YU.V. i dr. // Tekhnologii pishchevoi i pererabatyvayushchei promyshlennosti. – 2017. – № 1. – S. 56-61. (In Russian).
9. Milde L.B. Nutritional characterization of gluten free non-traditional pasta / L.B. Milde, P.S. Chigal, Z.M.O. Chiola // International Journal of Food Science and Nutrition. – 2018. – Vol. 3, № 5. – P. 19-24. (In English).
10. Pat. 6443. RK: MPK: A23L 7/109. Sostav dlya izgotovleniya spagetti s polyn'yu / Orymbetova G.EH., Aripova SH.A.; zayavitel' i patentoobladatel' NAO «Yuzhno-Kazakhstanskii universitet im. M. AuehzovA». – 2021/0491.2; zayavl. 19.05.2021; opubl. 24.09.2021, Bil. № 38. (In Russian).
11. GOST 31743-2017 Izdeliya makaronnye. Obshchie tekhnicheskie usloviya. – Vved. 01.06.2017. – M. Standartinform, 2017. – 12 s. (In Russian).
12. GOST 34844-2022. Produktsiya pishchevaya. Opredelenie massovoi doli pishchevykh volokon. – Vved. 29.04.2022. – Moskva. Rossiiskii institut standartizatsii, 2022. – 16 s. (In Russian).
13. Kuregyan A.G. Spektrofotometriya v analize karatinoidov / A.G. Kuregyan // Fundamental'nye issledovaniya. – 2015. – № 2-23. – S. 5166-5172. URL: https://fundamental-research.ru/ru/article/view?id=38175 (data obrashcheniya: 04.10.2025). (In Russian).
14. Terent'eva O. A. Osobennosti sbalansirovannogo pitaniya pri silovoi trenirovke / O.A. Terent'eva // VIII Luzhskie nauchnye chteniya. Sovremennoe nauchnoe znanie: teoriya i praktika. – 2020. – S. 81-84. (In Russian).
15. Atef A. Studies on sheets properties made from juice and puree of pumpkin and some other fruit blends / A. Atef, A.S. Nadir, T.R. Mostafa. // Journal of applied sciences research. – 2012. – T. 8. – № 5. – S. 2632-2639. (In English).
16. Pat. 6565. RK: MPK: A23L 1/16. Sostav dlya izgotovleniya makaronnykh izdelii s dobavleniem pyure iz tykvy / Orymbetova G.EH., Okhotenko D.A.; zayavitel' i patentoobladatel' NAO «Yuzhno-Kazakhstanskii universitet im. M. AuehzovA». – 2021/0492.2; zayavl. 19.05.2021; opubl. 22.10.2021, Bil. № 42. (In Russian).

Г.Э. Орымбетова[1]*,Э.М. Орымбетов[1], М.К. Касымова[2], З.И. Кобжасарова[2], Б.Т. Ешимбетова[2]
[1]Оңтүстік Қазақстан медицина академиясы,
160019, Қазақстан, Шымкент, Ал-Фараби ал., 1
[2]М. Әуезов атындағы Оңтүстік Қазақстан университеті,
160012, Қазақстан, Шымкент, Тауке хан даңғ., 5
*e-mail: orim_77@mail.ru

АСҚАБАҚ ЕЗБЕСІ ҚОСЫЛҒАН МАКАРОН ӨНІМДЕРІН ӨНДІРУ ТЕХНОЛОГИЯСЫН ӘЗІРЛЕУ

Сапалы өнім өндіру және олардың адам рационында теңгерімді болуының маңызы зор. Макарон өнімдері нарықта тұрақты сұранысқа ие. Сондықтан тағамдық құндылығын арттыру мақсатында дәстүрлі емес шикізатты пайдаланып өнім жасау өзекті болып табылады. Жұмыста тағамдық және биологиялық құндылығын арттыру үшін дәстүрлі емес шикізатты – асқабақ езбесін пайдалана отырып, құбырлы макарон өнімдерін өндіру технологиясы ұсынылған. Құрамында әртүрлі пропорцияда асқабақ езбесі бар макарон қамырының әзірленген рецепті өнімді β-каротинмен, тағамдық талшықтармен, витаминдермен және микроэлементтермен байытады. Зерттеулер өнімнің қоректік құрамын жақсарта отырып, оның пішіні, тығыздығы және ыстыққа төзімділігі сияқты технологиялық қасиеттерін сақтауды қамтамасыз ететін компоненттердің оңтайлы арақатынасын (асқабақ езбесі массасының 20%) белгіледі. Құрамында асқабақ езбесі бар макарон өнімдерінің органолептикалық және физика-химиялық көрсеткіштерінің өзгерістері бағаланды, бұл өнеркәсіптік өндірістің оңтайлы параметрлерін анықтауға мүмкіндік берді. Өсімдік шикізатын пайдалана отырып, функционалды макарон өнімдерін өнеркәсіптік өндіруде қолдануға болатын перспективалы технология ұсынылады.

Түйін сөзер: *ұн, макарон өнімдері, асқабақ езбесі, технология, органолептикалық және физика-химиялық қасиеттері.*

Г.Э. Орымбетова[1]*, Э.М. Орымбетов[1], М.К. Касымова[2], З.И. Кобжасарова[2], Б.Т. Ешимбетова[2]
[1]Южно-Казахстанская медицинская академия,
160001, Казахстан, Шымкент, пл. Аль-Фараби, 1
[2]Южно-Казахстанский Университет им.М.Ауэзова,
160012, Казахстан, Шымкент, пр.Тауке хана, 5
*e-mail: orim_77@mail.ru

РАЗРАБОТКА ТЕХНОЛОГИИ ПРОИЗВОДСТВА МАКАРОННЫХ ИЗДЕЛИЙ С ДОБАВЛЕНИЕМ ТЫКВЕННОГО ПЮРЕ

Производство качественных продуктов и его баланс в рационе человека имеют важное значение. Макаронные изделия имеют постоянный спрос на рынке. Поэтому создание продукции с использованием нетрадиционного сырья с целью повышения пищевой ценности является актуальным. В работе предложена технология производства трубчатых макаронных изделий с добавлением нетрадиционного сырья – тыквенного пюре – с целью повышения их пищевой и биологической ценности. Разработанная рецептура макаронного теста, содержащего тыквенное пюре в различных пропорциях, обогащает продукт β-каротином, пищевыми волокнами, витаминами и микроэлементами. Исследованиями установлено оптимальное соотношение компонентов (20% от массы тыквенного пюре), обеспечивающее сохранение технологических свойств продукта, таких как форма, плотность и термостойкость, при одновременном улучшении его нутриентного состава. Проведена оценка изменений органолептических и физико-химических характеристик макаронных изделий с тыквенным пюре, что позволило определить оптимальные параметры для промышленного производства. Предложена перспективная технология, которая может быть использована при промышленном производстве функциональных макаронных изделий с использованием растительного сырья.

Ключевые слова: *мука, макаронные изделия, тыквенное пюре, технология, органолептические и физико-химические свойства.*

Авторлар туралы мәліметтер

Гулбаги Эмитовна Орымбетова* – техника ғылымдарының кандидаты, доцент, Оңтүстік Қазақстан медицина академиясы, Фармация факультеті, Шымкент, Қазақстан; e-mail: orim_77@mail.ru. ORCID: https://orcid.org/0000-0001-8987-3366.

Эмит Махатович Орымбетов – техника ғылымдарының кандидаты, доцент, Оңтүстік Қазақстан медицина академиясы, Фармация факультеті, Шымкент, Қазақстан; e-mail: abzal53@mail.ru. ORCID: https://orcid.org/0000-0003-4929-3118.

Махабат Куандыковна Касымова – химия ғылымдарының кандидаты, профессор, М. Әуезов атындағы Оңтүстік Қазақстан университеті, Тоқыма және тамақ инженериясы жоғары мектебі. Шымкент, Қазақстан; e-mail: mahabbat_67@mail.ru. ORCID: https://orcid.org/0000-0002-7150- 3014.

Зиба Исаховна Кобжасарова – техника ғылымдарының кандидаты, доцент. М. Әуезов атындағы Оңтүстік Қазақстан университеті, Тоқыма және тамақ инженериясы жоғары мектебі, Шымкент, Қазақстан; e-mail: k.z.i.@bk.ru. ORCID: https://orcid.org/0000-0001-5419-7484.

Балжан Торебековна Ешимбетова – магистр, аға оқытушы. М. Әуезов атындағы Оңтүстік Қазақстан университеті, Тоқыма және тамақ инженериясы жоғары мектебі, Шымкент, Қазақстан; e-mail: baljan2275@mail.ru.

Сведения об авторах

Гулбаги Эмитовна Орымбетова* – кандидат технических наук, доцент, Южно-Казахстанская медицинская академия, Факультет фармации. Шымкент, Казахстан; e-mail: orim_77@mail.ru. ORCID: https://orcid.org/0000-0001- 8987-3366.

Эмит Махатович Орымбетов – кандидат технических наук, доцент. Южно-Казахстанская медицинская академия. Факультет фармации. Шымкент, Казахстан; e-mail: abzal53@mail.ru. ORCID: https://orcid.org/0000-0003-4929-3118.

Махабат Куандыковна Касымова – кандидат химических наук, профессор, Высшая школа текстильной и пищевой инженерии, Южно-Казахстанский университет им. М. Ауезова, Шымкент, Казахстан; e-mail: mahabbat_67@mail.ru. ORCID: https://orcid.org/0000-0002-7150- 3014.

Зиба Исаховна Кобжасарова – кандидат технических наук, доцент. Высшая школа текстильной и пищевой инженерии, Южно-Казахстанский университет им. М. Ауезова, Шымкент, Казахстан; e-mail: k.z.i.@bk.ru. ORCID: https://orcid.org/0000-0001-5419-7484.

Балжан Торебековна Ешимбетова – магистр, старший преподаватель. Высшая школа текстильной и пищевой инженерии, Южно-Казахстанский университет им. М. Ауезова, Шымкент, Казахстан; e-mail: baljan2275@mail.ru.

Information about authors

Gulbagi Emitovna Orymbetova* – candidate of technical science, associate professor, South Kazakhstan Medical Academy, Faculty of Pharmacy, Shymkent, Kazakhstan; e-mail: orim_77@mail.ru. ORCID: https://orcid.org/0000-0001- 8987-3366.

Emit Makhatovich Orymbetov – candidate of technical science, associate professor, South Kazakhstan Medical Academy, Faculty of Pharmacy, Shymkent, Kazakhstan; e-mail: abzal53@mail.ru. ORCID: https://orcid.org/0000-0003-4929-3118.

Makhabat Kuandykovna Kassymova – candidate of chemical science, associate professor, M. Auezov South Kazakhstan state university, Textile and Food Engineering higher school, Shymkent, Kazakhstan; e-mail: mahabbat_67@mail.ru. ORCID: https://orcid.org/0000-0002-4789-7148.

Ziba Isakhovna Kobjasarova Kobjasarova – candidate of technical science, associate professor, M. Auezov South Kazakhstan state university, Textile and Food Engineering higher school, Shymkent, Kazakhstan. ORCID: https://orcid.org/0000-0001-5419-7484.

Balzhan Torebekovna Yeshimbetova – master, senior lecturer. Textile and Food Engineering higher school M. Auezov' South-Kazakhstan University, Shymkent, Kazakhstan; e-mail: baljan2275@mail.ru.

Received 18.09.2025
Revised 04.10.2025
Accepted 07.10.2025

https://doi.org/10.53360/2788-7995-2025-4(20)-48

CC BY 4.0
Check for updates

МРНТИ: 65.59.29

Ф.Х. Смольникова*, А.Д. Мұхаметқали, Э.К. Окусханова, А.С. Камбарова
Шәкәрім университет,
071412, Республика Казахстан, г. Семей, ул. Глинки, 20 А
*e-mail: smolnikovafarida@mail.ru

ПРИМЕНЕНИЕ РАСТИТЕЛЬНЫХ КОМПОНЕНТОВ В ТЕХНОЛОГИИ МЯСНЫХ ИЗДЕЛИЙ ДЛЯ ПИТАНИЯ ПОЖИЛЫХ ЛЮДЕЙ

Аннотация: *В условиях стремительного роста численности пожилого населения одной из приоритетных задач является разработка специализированных пищевых продуктов, способствующих поддержанию здоровья, профилактике возрастных заболеваний и обеспечению физиологически полноценного питания. Целью настоящей работы стало создание технологии мясного полуфабриката геродиетического назначения с использованием растительных компонентов — муки из булгура и кабачков, обладающих высокой пищевой и биологической ценностью. Разработаны три варианта рецептур, различающихся процентным содержанием сырья животного и растительного происхождения. Оценка образцов включала органолептический анализ по бальной системе (внешний вид, цвет, запах, вкус, консистенция), а также определение химического состава оптимального варианта. Результаты показали, что добавление растительных ингредиентов способствует улучшению сенсорных характеристик изделия, снижению массовой доли жира и увеличению содержания пищевых волокон, витаминов и минеральных веществ. Наилучшие показатели были зафиксированы у образца № 2, содержащего около 20 % растительных добавок. Предложенная рецептура представляет собой оптимальное сочетание по органолептическим характеристикам и пищевой ценности, что позволяет рекомендовать её для внедрения в технологии мясных изделий геродиетического назначения. Учитывая её сбалансированный состав и высокие потребительские свойства, данную рецептуру целесообразно использовать как в системе организованного питания пожилых людей, так и при производстве функциональных продуктов, ориентированных на геродиетическое питание.*

Ключевые слова: *геродиетическое питание, мясной полуфабрикат, мука из булгура, растительное сырьё, пищевая ценность.*

Введение

Мясо и мясные продукты представляют собой широко известные продукты питания, богатые биологически ценными питательными веществами, которые важны для здорового питания человека. Тем не менее, приготовленные мясные продукты редко рассматриваются как основной источник витаминов из-за потери большей части витаминов в процессе

технологической обработки. Эти потери приводят к тому, что оставшиеся количества витаминов в мясе не соответствуют физиологическим потребностям организма человека. Например, в мясе отсутствует витамин С, а витамин Е содержится в нем в незначительных количествах [1].

Практика в России и за рубежом показывает, что одним из популярных методов изменения состава мясных продуктов является смешивание мясного сырья с растительным. Использование растительных компонентов при производстве мясных товаров может решить проблемы питания, связанные с недостатком или избытком определенных питательных веществ. Кроме того, это может способствовать профилактике различных заболеваний, включая защиту от вирусных инфекций. Предлагается обогатить мясные продукты региональными растительными компонентами, содержащими витамины С, А, Е, группы В, а также микроэлементы – цинк, селен, йод и пищевые волокна. Эти добавки могут способствовать укреплению организма, повышению его стойкости к инфекциям, образованию антител и увеличению активности иммунной системы. В этом контексте проведены исследования, включая различные заметки и доклады научных сотрудников исследовательской группы.

В связи с этим были проведены различные исследования по производству мясопродуктов с растительными компонентами.

Нургазезовой А.Н., Атамбаевой Ж.М. была проведена работа по исследованию биологической эффективности пророщенной зеленой гречневой крупы и муки из нее, как средства, улучшающего качество, сохранность и безопасность котлет из смеси конины и куриных бедер. Добавление в котлеты пророщенной зеленой гречневой крупы и муки из нее улучшило содержание белка и жира, выход продукта при приготовлении, удержание влаги и жира, общее содержание фенолов и способность DPPH поглощать радикалы [2].

Зарубежными учёными также были проведены исследования по разработке и оценки пищевой ценности различных продуктов питания.

Mushtruk M. изучала физико-химический состав и функционально-технологические свойства растительной добавки – пшеничной клетчатки с тыквенным пектином (WFwPP). Пищевая ценность вареных колбас повысилась при добавлении в рецептуру клетчатки. Было заменено жирное мясо свинины на 5%-ное содержание WFwPP [3].

Galieva Z.A. исследовала применение – любистка или семени пузырчатого в колбасных изделиях. Исследуемое растение обладает рядом свойств, которые могут придать продукту функциональную направленность, благодаря наличию в нем минеральных солей, витаминов, эфирных масел, гликозидов, терпенов, терпеноидов. При производстве колбасных изделий в экспериментальные образцы добавляли добавку в количестве 0,3, 0,5 и 0,7% [4].

Питание людей старшего возраста имеет свои особенности: рекомендуется сниженное относительно молодого возраста потребление жиров и повышенная доля легкоусвояемых углеводов при достаточном уровне белка. В рационе пожилого человека соотношение белков, жиров и углеводов оценивается примерно, как 1:0,8:3. Традиционные мясные продукты богаты полноценным белком, витаминами и минералами, однако практически не содержат пищевых волокон. Избыточное потребление жирного мяса и колбасных изделий, бедных клетчаткой, может способствовать развитию таких заболеваний, как ожирение, сахарный диабет II типа, сердечно-сосудистые и онкологические болезни, а также запоры [5].

Вопросы разработки продуктов геродиетического питания на сегодняшний день приобретают особую значимость в условиях увеличения численности пожилого населения и потребности в физиологически полноценном рационе. Для данной возрастной категории характерны изменения обмена веществ, снижение пищеварительной активности и повышенная потребность в биологически активных веществах [6].

Для разработки мясных продуктов геродиетического назначения необходимо учитывать физиологические особенности организма пожилых людей, в частности снижение усвоения питательных веществ, потребность в легкопереваримом белке, а также ограничение животных жиров. Так, Гуринович Г.М. и Ильиных И.В. предложили рецептуру мясного продукта, обогащённого кальцием и веществами, повышающими его биодоступность, что особенно важно для профилактики остеопороза у лиц пожилого возраста [7].

Абжанова С. подчёркивает необходимость снижения содержания животных жиров и включения растительных компонентов для улучшения усвояемости и снижения нагрузки на пищеварительную систему [8].

Антипова Л.В. отмечает перспективность применения функциональных ингредиентов, в частности пророщенных злаков, в производстве мясных продуктов, предназначенных для геродиетического питания, с целью повышения пищевой ценности и улучшения органолептических свойств [9].

Работа Токушевой Г.М. посвящена совершенствованию технологии геродиетических колбас с использованием растительного сырья. Автор приводит экспериментальные данные, подтверждающие улучшение органолептических и нутриентных показателей при добавлении растительных компонентов, особенно в отношении снижения жирности и повышения содержания пищевых волокон [10].

Таким образом, анализ литературных источников свидетельствует о высокой научной и практической значимости использования растительных ингредиентов в технологии мясных изделий, предназначенных для геродиетического питания. Однако вопрос оптимального соотношения компонентов и оценки их влияния на качество продукции остаётся актуальным и требует дальнейших исследований, что и стало целью настоящей работы.

Цель данного исследования состояла в разработке технологии и рецептуры мясных котлет, предназначенных для геродиетического питания с добавлением растительных компонентов.

Условия и методы исследования

Для проведения эксперимента использовались стандартные методы анализа физико-химических показателей мясных полуфабрикатов.

Определение содержания жира, белка, влаги и соли проводили с использованием инфракрасного спектрометра Инфралюм ФТ-12 (Фурье-преобразовательный инфракрасный спектрометр). Измерения проводили с последующей регистрацией спектра поглощения, данные обрабатывали с использованием встроенного программного обеспечения, позволяющего анализировать пики спектра и идентифицировать функциональные группы.

Оценку пищевой безопасности осуществляли следующими методами:

Определение содержания токсичных элементов (ртуть, мышьяк, кадмий, свинец) проводили атомно-абсорбционным методом в соответствии с ГОСТ 30178-96 [11];

Так, содержание свинца и кадмия определяли с помощью метода, основанного на минерализации продукта сухим способом и определении концентрации элемента в растворе для минерализации методом пламенной атомно-абсорбции.

Массовая доля элемента в образце М была рассчитана по уравнению (1).

$$M = \frac{(\mathrm{Cx}-\mathrm{C}k)*Y*K}{\mathrm{p}}, \quad (1)$$

где Cx – концентрация элемента в исследуемом растворе (мкг/см^3),

Ck – среднее арифметическое значение концентрации элемента для параллельных контрольных растворов (мкг/см^3),

Y – начальный объем исследуемого раствора (см^3),

p – масса образца (г),

K – коэффициент разбавления.

Определение содержания антибиотиков – по ГОСТ 35044-2023, данный метод основан на способности антибиотиков и других антимикробных химикотерапевтических веществ подавлять рост тест – культуры в плотных питательных средах [12];

Определение содержания пестицидов – по ГОСТ 23452-2015 с помощью высокожидкостной хроматографии [13].

Исследование осуществлялось на жидкостной хроматографической системе Varian, включающей автосамплер модели 410, кватернерный насос 240 и УФ-детектор с диодной матрицей 330, соединенные с персональным компьютером, управляемым программным обеспечением Varian ProStar версии 5.5 (производство – США).

Влагоудерживающую способность (ВУС, %) рассчитывали по формуле (2) [14]:

$$\mathrm{ВУС}=\mathrm{В}-\mathrm{ВВС}, \quad (2)$$

где В – общая массовая доля влаги в навеске (%), ВВС – влаговыделяющая способность (%), которую определяли по формуле (3):

$$\mathrm{ВВС} = \frac{a \times n}{m} \times 100, \quad (3)$$

где *a* – цена деления бутирометра (0,01 см³),

n – число делений,

m – масса навески (г).

Показатель активной кислотности (pH) определяли с использованием многопараметрического стационарного измерителя pH-420.

Все экспериментальные исследования проводились в трёхкратной повторяемости. Обработка результатов выполнялась с применением программы SPSS 21.0 (SPSS Inc., Чикаго, Иллинойс, США). Результаты представлены в виде среднего значения ± стандартного отклонения. Статистическая значимость различий оценивалась при уровне вероятности $P \leq 0,05$.

Результаты исследований

Одной из задач исследования являлась разработка рецептуры мясного изделия. Для этого были выбраны следующие компоненты: телятина, мясо кур, мука из булгура, кабачок, лук репчатый, яйцо, вода, соль, перец черный.

Из растительных компонентов использовался кабачок.

Кабачок обладает рядом полезных свойств. Кабачки (Cucurbita pepo L. var. giromontina Alef.) – однодомные виды, выращиваемые в качестве овощных культур. Являются однолетними травянистыми растениями с крепкими побегами, листья крупные шиповатые и лопастные, поддерживаются длинными, толстыми, полностью полыми черешками [15].

Плоды рекомендуются в диетическом питании для выздоравливающих или людей, придерживающихся строгой диеты, и используются в детском питании. Они также обладают антисклеротическим и значительным мочегонным действием. Кабачки обладают тонизирующими свойствами благодаря высокому содержанию каротина и витамина С [16].

Булгур – крупа, производимая из предварительно пропаренных, высушенных и дроблёных зёрен пшеницы, преимущественно твёрдых сортов. Минимальная степень переработки позволяет сохранить в нём практически все биологически активные вещества, присущие цельному зерну. Булгур широко используется в ближневосточной и средиземноморской кухне, а также в лечебно-профилактическом и диетическом питании [13].

Продукт отличается высокой пищевой ценностью: содержит до 12,5 г белка, 8,2-13 г пищевых волокон, сложные углеводы, витамины группы В (B_1, B_3, B_6), а также магний, фосфор, цинк, железо и марганец. Одна порция готового булгура (≈180 г) покрывает до 50 % суточной потребности в марганце. Присутствие антиоксидантов (лютеин, зеаксантин) способствует защите клеток и поддержанию зрения [17].

Булгур особенно полезен для пожилых людей: он способствует нормализации функции ЖКТ, снижению холестерина и стабилизации уровня глюкозы в крови благодаря низкому гликемическому индексу. Высокое содержание клетчатки помогает профилактике запоров и метаболических нарушений, а сложные углеводы обеспечивают продолжительное насыщение [18].

Булгур устойчив к тепловой обработке, обладает нейтральным вкусом и приятной текстурой, что делает его технологически удобным компонентом при создании мясных полуфабрикатов [19]. В исследуемой рецептуре мука из булгура используется как источник растительного белка и пищевых волокон, а также как компонент, улучшающий влагосвязывающую способность фарша. Его добавление способствует улучшению структуры продукта, увеличивает выход готового изделия и снижает потери при термообработке (рис. 1).



Рисунок 1 – Сравнительный внешний вид сырых (слева) и термически обработанных котлет (справа), изготовленных по трём рецептурам

В таблице 1 приведена рецептура мясных рубленых полуфабрикатов.

Таблица 1 – Рецептуры мясных рубленых полуфабрикатов, г на 100 г

Компоненты	Опытный образец № 1	Опытный образец № 2	Опытный образец № 3	Контрольный образец (котлеты «Московские»)
Телятина	40	45	50	55
Куриное мясо (филе)	25	20	15	–
Мука из булгура	15	10	5	–
Кабачок	15	10	5	–
Яйцо	3	3	3	3
Лук	1	1	1	1
Вода	5	5	5	5
Панировочные сухари	5	5	5	5
Соль	1,5	1,5	1,5	1,5
Перец чёрный	0,01	0,01	0,01	0,01
Итого	100	100	100	100

Технология приготовления

Рецептуры всех опытных образцов имели комбинированный состав мясного и растительного сырья. Так, рецептура опытного образца № 1 включала телятину 50 г, куриное мясо 15 г, муку булгура 15 г, кабачок 15 г. В состав опытного образца № 2 входили 45 г телятины, 20 г курицы, 10 г муки из булгура и 10 г кабачка. В рецептуре образца №3 использовали 40 г телятины, 25 г курицы, 15 г муки из булгура и 15 г кабачка.

Помимо основных ингредиентов во все три варианта рецептуры в одинаковом количестве добавлялись куриное яйцо, репчатый лук, вода, соль, черный молотый перец, панировочные сухари.

Выработку рубленых полуфабрикатов осуществляли по стандартной технологии, принятой в мясной промышленности.

Перед использованием растительное сырье промывали в проточной воде. Кабачки очищали от кожуры при необходимости и измельчали. Муку из булгура применяли в сухом виде, без предварительного замачивания или варки. Лук очищали и нарезали. Яйца мыли в 0,5 %-м растворе кальцинированной соды при температуре 30 °С, затем ополаскивали тёплой проточной водой.

После подготовки ингредиентов мясное сырьё (телятина и курица), лук и кабачки измельчали на мясорубке с решёткой диаметром отверстий 3-5 мм. Полученное мясо-растительное сырьё использовали для приготовления фарша.

Процесс составления фарша включал последовательное внесение всех компонентов по рецептуре: измельчённого мясного сырья, муки из булгура, кабачков, лука, соли, специй, яиц и воды. Смесь тщательно вымешивали вручную или в фаршемешалке в течение 5 минут до получения однородной массы. После этого фарш выдерживали 10-15 минут – процесс созревания для набухания компонентов, стабилизации структуры и улучшения технологических свойств.

Формование осуществлялось вручную. Котлетам придавали круглую слегка приплюснутую форму, масса одной котлеты составляла 100 г. Заготовки панировали в сухарях.

Готовые полуфабрикаты подвергали термической обработке – запеканию в жарочном шкафу при температуре 180 ± 5 °С в течение 20–25 минут до достижения внутренней температуры не менее 75 °С.

Обсуждение научных результатов

Органолептические показатели качества готовой продукции оценивали по следующим критериям: внешний вид, цвет, запах, вкус и консистенция – по 5-балльной шкале.

Полученные изделия соответствовали требованиям к продуктам геродиетического назначения по физико-химическим и сенсорным характеристикам. Пищевая ценность котлет была исследована на приборе Инфралюм ФТ-12, показания прибора приведены в таблице 2.

Сравнительный анализ трёх опытных рецептур показал, что опытный образец №2 обладает наиболее сбалансированным химическим составом, соответствующим требованиям к продуктам геродиетического назначения.

Таблица 2 – Пищевая ценность мясных котлет, 100 г

Показатель	Опытный образец №1	Опытный образец №2	Опытный образец №3	Контрольный образец (котлеты «Московские»)
Белки, %	23,64±0,01[a]	23,49±0,01[a]	23,11±0,01[a]	11,00±0,01[b]
Жиры, %	2,51±0,01[b]	2,13±0,01[b]	1,57±0,01[b]	17,4±0,01[c]
Влага, %	66,70±0,02[c]	66,28±0,02[d]	67,31±0,02[c]	57,6±0,02[a]
Соль, %	1,36±0,01[b]	1,20±0,01[a]	1,66±0,01[d]	1,50±0,01[b]
Углеводы, %	7,15± 0,01[a]	7,00±0,01[c]	7,51±0,01[a]	13,3±0,01[d]
Зола, %	0,9±0,02[d]	1,1±0,02[b]	0,5±0,01[a]	0,7±0,01[b]

[a-d] *Средние значения в одной строке, обозначенные разными буквами, значительно отличаются друг от друга среди образцов (p<0,05). Значения выражены в виде среднего отклонения (±).*

Массовая доля белка в данном образце составляет 23,49 %(p<0,05), что обеспечивает полноценное поступление аминокислот и способствует поддержанию мышечной массы у пожилых людей. Содержание жира – 2,13 %(p<0,05) находится в пределах физиологической нормы, при этом снижает калорийность блюда и уменьшает нагрузку на сердечно-сосудистую систему. Содержание углеводов составляет 7,00 % (p<0,05) преимущественно за счёт сложных углеводов муки из булгура и пектиновых веществ кабачка. Это обеспечивает постепенное высвобождение энергии, не вызывает резких скачков глюкозы в крови, способствует нормализации пищеварения и устойчивому насыщению.

Опытный образец №2 признан оптимальным по химическому составу. Такое соотношение обеспечивает высокую питательную ценность при умеренной калорийности. Углеводы представлены в основном сложными – из булгура и кабачка, что способствует нормализации пищеварения и поддержанию стабильного уровня глюкозы.

Были исследованы органолептические показатели изделий, результаты представлены на рисунке 2.

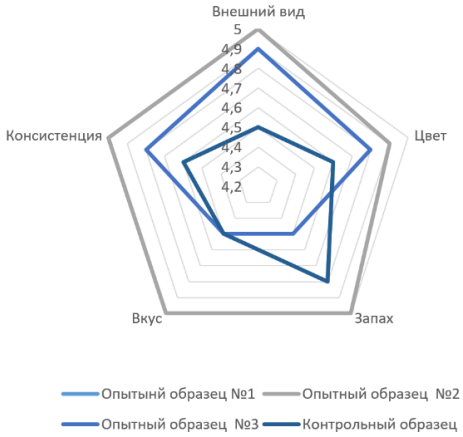


Рисунок 2 **–** Органолептическая оценка мясных полуфабрикатов

По результатам дегустации наивысшую суммарную оценку получил опытный образец № 2 – 24,9 балла из 25 возможных. Он отличался выразительным вкусом, приятным мясным ароматом, сочной и мягкой консистенцией. Добавление муки из булгура и кабачка положительно сказалось на структуре и вкусовых качествах продукта. Образец № 2 превзошёл остальные варианты по всем органолептическим параметрам, что подтверждает его потребительскую привлекательность.

Были исследованы физико-химические показатели мясных котлет, данные представлены в таблице 3.

Таблица 3 – Водоудерживающая способность (ВУС) и pH мясных полуфабрикатов

Наименование	pH	ВУС, %
Опытный образец № 1	6,4±0,01[a]	65±0,02[a]
Опытный образец № 2	6,5±0,02[b]	67±0,01[b]
Опытный образец № 3	6,3±0,01[c]	63±0,02[c]
Контрольный образец	6,2±0,02[a]	60±0,01[a]

[a-c] *Средние значения в одной строке, обозначенные разными буквами, значительно отличаются друг от друга среди образцов (p<0,05). Значения выражены в виде среднего отклонения (±).*

Показатели pH и водоудерживающей способности (ВУС) варьировали в зависимости от состава рецептур. Наибольшее значение ВУС – 67 % и оптимальный pH - 6,5 ($p<0,05$) были зафиксированы у опытного образца №2, что обеспечивало высокую сочность и стабильную текстуру продукта. У образца №1, с наибольшим содержанием растительных компонентов, pH составил 6,4, ВУС – 65 % ($p<0,05$). В рецептуре №3, при минимальном количестве булгура и кабачка, наблюдались более низкие значения: pH – 6,3, ВУС – 63 %($p<0,05$). У контрольного образца «Московские» ориентировочная ВУС составила около 60 %, что связано с отсутствием влагоудерживающих растительных ингредиентов.

Уровень pH у опытного образца 2 составляет 6,5, что соответствует благоприятной среде для сохранения качества и структуры изделия. Водоудерживающая способность 67 % свидетельствует о хорошей сочности и стабильности текстуры. В отличие от рецептур № 1 и № 3, в которых наблюдались либо избыточное количество углеводов, либо менее выраженные органолептические показатели, образец № 2 демонстрирует оптимальный баланс между пищевой ценностью, функциональными характеристиками и сенсорным качеством, что позволяет рекомендовать его в качестве базовой рецептуры для геродиетических полуфабрикатов.

Высокая водоудерживающая способность 67% и оптимальный pH 6,5 ($p<0,05$) обеспечивают сочную консистенцию и микробиологическую стабильность. В отличие от других рецептур, образец № 2 сочетает в себе лучшие показатели пищевой, технологической и сенсорной оценки, что обосновывает его выбор в качестве основного варианта.

Таким образом, введение булгура и кабачка способствует увеличению ВУС и стабилизации кислотности продукта, что важно для текстуры и хранения.

Готовые мясные изделия были исследованы на показатели пищевой безопасности, данные представлены в таблице 4.

Таблица 4 – Показатели пищевой безопасности (токсичные элементы, антибиотики, пестициды)

№	Наименование показателей, единицы измерений	НД на методы испытаний	Нормы по НД	Фактически получено
1	Токсичные элементы мг/кг, не более: Свинец Мышьяк Кадмий Ртуть	 ГОСТ 30178–96 ГОСТ 31266–2004 ГОСТ 30178–96 МУК 4.1.1472-03	 0,5 0,1 0,05 0,03	 Не обнаружено Не обнаружено Не обнаружено Не обнаружено
2	Антибиотики, мг/кг, не более: Левомицетин Тетрациклиновая группа	СТРК ИСО 13493–2014 СТРК 1505–2006	Не допускается Не допускается	Не обнаружено Не обнаружено
3	Пестициды мг/кг, не более: Гексахлорциклогексан (α, β, γ-изомеры) ДДТ и его метаболиты	МУ 2142–80 МУ 2142-80	0,1 0,1	Не обнаружено Не обнаружено

Показатели пищевой безопасности контрольного образца соответствуют установленным нормативам. В образце не были обнаружены токсичные элементы (свинец, мышьяк, кадмий, ртуть), остатки антибиотиков (левомицетин, тетрациклиновая группа), а также пестициды (гексахлорциклогексан, ДДТ и его метаболиты). Это подтверждает соответствие продукта требованиям технических регламентов и его пригодность для употребления в пищу.

Заключение

В результате проведённого исследования разработана технология мясного рубленого полуфабриката геродиетического назначения с использованием растительного сырья – муки из булгура и кабачка. Было изучено влияние растительных компонентов на органолептические и химические показатели качества изделия.

Сравнительный анализ трёх опытных образцов показал, что введение муки из булгура и кабачков положительно влияет на структуру и сочность готового продукта, а также способствует снижению массовой доли жира при сохранении достаточного уровня белка и увеличении содержания пищевых волокон.

Опытный образец № 2, содержащий около 35 % растительных добавок, показал оптимальные физико-химические характеристики (белок – 23,49 %, жир – 2,13 %, влаги – 66,28 %, углеводы – 7,0 %, золы – 1,1 %, соли – 1,2 %). Кроме того, у образца № 2 зафиксированы наилучшие показатели технологических свойств: высокая водоудерживающая способность (67%) и оптимальный уровень pH (6,5), что способствует сохранению структуры и сочности изделия. Показатели пищевой безопасности также соответствуют нормативам. В совокупности все исследованные параметры позволяют рекомендовать данную рецептуру для производства мясных полуфабрикатов, предназначенных для питания пожилых людей.

Список литературы

1. Effect of transglutaminase and bacterial concentrates on the development of functional and technological properties of minced meat / S. Merenkova et al // Pol. J. Food Nutr. Sci. – 2019. – № 69. – P. 387-396.
2. Nutritional, physicochemical, textural and sensory characterization of horsemeat patties as affected by whole germinated green buckwheat and its flour / Z. Atambayeva et al // Int. J. Food Properties. – 2023. – № 26(1). – P. 600-613.
3. Mathematical modelling of quality assessment of cooked sausages with the addition of vegetable additives / M. Mushtruk et al // Slovak J. Food Sci. – 2023. – № 17(1).
4. Spicy functional additive in the production of sausages / Z.A. Galieva et al // IOP Conf. Ser.: Earth Environ. Sci. – 2020. – № 613(1). – P. 012037.
5. Properties and physiological effects of dietary fiber-enriched meat products: a review / B.P. Mishra et al // Front Nutr. – 2023. – № 30. – P. 10:1275341.
6. Кузнецова Е.В. Технология и ассортимент продуктов для геродиетического питания / Е.В. Кузнецова // Хранение и переработка сельхозсырья. – 2019. – № 10. – С. 47-50.
7. Гуринович Г.В. Основные подходы к разработке мясного продукта геродиетического питания / Г.В. Гуринович, И.В. Ильиных // Новейшие достижения в области медицины, здравоохранения и здоровьесберегающих технологий. – 2023. – P. 106-108.
8. Разработка технологии мясных полуфабрикатов с использованием растительного сырья / Н.К. Абильмажинова и др. // Вестник Университета Шакарима. Серия технические науки. – 2020. – № 4(92). – P. 112-116.
9. Антипова Л.В. Разработка мясных паштетов повышенной пищевой и биологической ценности с применением пророщенного зерна чечевицы / Л.В. Антипова, А.А. Мищенко // Вестник Воронежского государственного университета инженерных технологий. – 2016. – № 4. – P. 115-120.
10. Токушева Г.М. Совершенствование технологии геродиетических колбасных изделий с использованием растительного сырья: дис. … PhD докт. – Алматы: АТУ, 2021. – 150 с.
11. ГОСТ 30178-96 Сырье и продукты пищевые. Атомно-абсорбционный метод определения токсичных элементов. Введен. 01.01.1998. М. – Стандартинформ. – 2010. – 25-32 с.
12. ГОСТ 35044-2023 Мясо и субпродукты качественный метод определения остаточных количеств антибиотиков и других антимикробных химиотерапевтических веществ. Введен. 14.01.2024. – М. – Стандартинформ. – 2024. – 9 с.
13. Войкина А.В. Хроматографическое разделение пестицидов различных химических классов / А.В. Войкина, Л.А. Бугаев // Успехи современного естествознания. – 2017. – № 10. – С. 12-17.
14. Забашта Н.Н. Использование биотехнологических приемов, пищевых добавок в технологии мясных продуктов (часть 2): метод. указания к выполнению лабораторных работ / сост. Н.Н. Забашта, А.А. Нестеренко. – Краснодар: КубГАУ, 2019 – 32 с.
15. Lim T.K. Edible Medicinal and Non-Medicinal Plants. Vol. 2, Fruits. Springer International Publishing, Switzerland. – 2012. – 1113 pp.
16. Van Wyk B.E. Food plants of the world: identification, culinary uses and nutritional value / B.E. Van Wyk // Briza Publications, Pretoria. – 2005. – 480 pp.
17. Healthline. Bulgur Wheat: Nutrition, Benefits and How to Cook It. [Электронный ресурс]. – 2025. URL: https://www.healthline.com/nutrition/bulgur-wheat (дата обращения 19.06.2025).
18. Bulgur Nutrition Facts and Health Benefits. [Электронный ресурс]. – 2022. URL:https://holypeas.com/foods/bulgur/#google_vignette (дата обращения 20.06.2025).

19. Livestrong. What Are the Benefits of Bulgur Wheat? [Электронный ресурс]. – 2023. URL:https://www.livestrong.com/article/256333-what-are-the-benefits-of-bulgur-wheat/(дата обращения 20.06.2025).

References

1. Effect of transglutaminase and bacterial concentrates on the development of functional and technological properties of minced meat / S. Merenkova et al // Pol. J. Food Nutr. Sci. – 2019. – № 69. – R. 387-396. (In English).
2. Nutritional, physicochemical, textural and sensory characterization of horsemeat patties as affected by whole germinated green buckwheat and its flour / Z. Atambayeva et al // Int. J. Food Properties. – 2023. – № 26(1). – R. 600-613. (In English).
3. Mathematical modelling of quality assessment of cooked sausages with the addition of vegetable additives / M. Mushtruk et al // Slovak J. Food Sci. – 2023. – № 17(1). (In English).
4. Spicy functional additive in the production of sausages / Z.A. Galieva et al // IOP Conf. Ser.: Earth Environ. Sci. – 2020. – № 613(1). – R. 012037. (In English).
5. Properties and physiological effects of dietary fiber-enriched meat products: a review / V.R. Mishra et al // Front Nutr. – 2023. – № 30. – R. 10:1275341. (In English).
6. Kuznetsova E.V. Tekhnologiya i assortiment produktov dlya gerodieticheskogo pitaniya / E.V. Kuznetsova // Khranenie i pererabotka sel'khozsyr'ya. – 2019. – № 10. – S. 47-50. (In Russian).
7. Gurinovich G.V. Osnovnye podkhody k razrabotke myasnogo produkta gerodieticheskogo pitaniya / G.V. Gurinovich, I.V. Il'inykh // Noveishie dostizheniya v oblasti meditsiny, zdravookhraneniya i zdorov'esberegayushchikh tekhnologii. – 2023. – R. 106-108. (In Russian).
8. Razrabotka tekhnologii myasnykh polufabrikatov s ispol'zovaniem rastitel'nogo syr'ya / N.K. Abil'mazhinova i dr. // Vestnik Universiteta Shakarima. Seriya tekhnicheskie nauki. – 2020. – № 4(92). – R. 112-116. (In Russian).
9. Antipova L.V. Razrabotka myasnykh pashtetov povyshennoi pishchevoi i biologicheskoi tsennosti s primeneniem proroshchennogo zerna chechevitsy / L.V. Antipova, A.A. Mishchenko // Vestnik Voronezhskogo gosudarstvennogo universiteta inzhenernykh tekhnologii. – 2016. – № 4. – R. 115-120. (In Russian).
10. Tokusheva G.M. Sovershenstvovanie tekhnologii gerodieticheskikh kolbasnykh izdelii s ispol'zovaniem rastitel'nogo syr'ya: dis. … PhD dokt. – Almaty: ATU, 2021. – 150 s. (In Russian).
11. GOST 30178-96 Syr'e i produkty pishchevye. Atomno-absorbtsionnyi metod opredeleniya toksichnykh ehlementov. Vveden. 01.01.1998. M. – Standartinform. – 2010. – 25-32 s. (In Russian).
12. GOST 35044-2023 Myaso i subprodukty kachestvennyi metod opredeleniya ostatochnykh kolichestv antibiotikov i drugikh antimikrobnykh khimioterapevticheskikh veshchestv. Vveden. 14.01.2024. – M. – Standartinform. – 2024. – 9 s. (In Russian).
13. Voikina A.V. Khromatograficheskoe razdelenie pestitsidov razlichnykh khimicheskikh klassov / A.V. Voikina, L.A. Bugaev // Uspekhi sovremennogo estestvoznaniya. – 2017. – № 10. – S. 12-17. (In Russian).
14. Zabashta N.N. Ispol'zovanie biotekhnologicheskikh priemov, pishchevykh dobavok v tekhnologii myasnykh produktov (chast' 2): metod. ukazaniya k vypolneniyu laboratornykh rabot / sost. N.N. Zabashta, A.A. Nesterenko. – Krasnodar: KuBGAU, 2019 – 32 s. (In Russian).
15. Lim T.K. Edible Medicinal and Non-Medicinal Plants. Vol. 2, Fruits. Springer International Publishing, Switzerland. – 2012. – 1113 pp. (In English).
16. Van Wyk B.E. Food plants of the world: identification, culinary uses and nutritional value / B.E. Van Wyk // Briza Publications, Pretoria. – 2005. – 480 pp. (In English).
17. Healthline. Bulgur Wheat: Nutrition, Benefits and How to Cook It. [Ehlektronnyi resurs]. – 2025. URL: https://www.healthline.com/nutrition/bulgur-wheat (data obrashcheniya 19.06.2025). (In English).
18. Bulgur Nutrition Facts and Health Benefits. [Ehlektronnyi resurs]. – 2022. URL:https://holypeas.com/foods/bulgur/#google_vignette (data obrashcheniya 20.06.2025). (In English).
19. Livestrong. What Are the Benefits of Bulgur Wheat? [Ehlektronnyi resurs]. – 2023. URL:https://www.livestrong.com/article/256333-what-are-the-benefits-of-bulgur-wheat/(data obrashcheniya 20.06.2025). (In English).

Ф.Х. Смольникова*, А.Д. Мұхаметқали, Э.К. Окусханова, А.С. Камбарова
Шәкәрім университеті,
071410, Қазақстан Республикасы, Семей қ., Глинка көш., 20 А
*e-mail: smolnikovafarida@mail.ru

ЕГДЕ ЖАСТАҒЫ АДАМДАРҒА АРНАЛҒАН ЕТ ӨНІМДЕРІНІҢ ТЕХНОЛОГИЯСЫНДА ӨСІМДІК КОМПОНЕНТТЕРІН ҚОЛДАНУ

Егде жастағы халық санының қарқынды өсуі жағдайында денсаулықты сақтауға, жасқа байланысты аурулардың алдын алуға және физиологиялық тұрғыдан дұрыс тамақтануды қамтамасыз етуге бағытталған арнайы тағам өнімдерін әзірлеу басты міндеттердің бірі болып табылады. Бұл жұмыстың мақсаты – жоғары тағамдық және биологиялық құндылығы бар өсімдік текті компоненттер – булгур ұны мен асқабақты пайдалана отырып, геродиетикалық бағыттағы ет жартылай фабрикатының технологиясын жасау. Жануар және өсімдік текті шикізаттардың әртүрлі пайыздық арақатынастағы үш рецептуралық нұсқасы әзірленді. Үлгілерге органолептикалық (сыртқы түрі, түсі, иісі, дәмі, консистенциясы) және химиялық құрамына баға берілді. Нәтижелер өсімдік компоненттерін қосу өнімнің сенсорлық қасиеттерін жақсартып, май мөлшерін азайтып, тағамдық талшықтар, дәрумендер мен минералды заттардың үлесін арттыратынын көрсетті. Ең жақсы көрсеткіштер өсімдік қоспалары 20% құрайтын № 2 үлгіде байқалды. Ұсынылған рецептура органолептикалық және тағамдық көрсеткіштер бойынша оңтайлы болып табылады және геродиетикалық ет өнімдерін өндіру технологиясына енгізуге ұсынылады. Оның теңгерімді құрамы мен жоғары тұтынушылық қасиеттерін ескере отырып, бұл рецептураны қарт адамдарға арналған ұйымдастырылған тамақтану жүйесінде және функционалдық бағыттағы өнімдерді өндіруде қолдану орынды.

Түйін сөздер: *геродиеталық тамақтану, ет жартылай фабрикаты, булгур ұны, өсімдік шикізаты, тағамдық құндылық.*

F.H. Smolnikova, A.D. Mukhametkali, E.K. Okuskhanova, A.S. Kambarova
Shakarim University,
071412, Republic of Kazakhstan, Semey, Glinka str., 20A
*e-mail: smolnikovafarida@mail.ru

APPLICATION OF PLANT-BASED INGREDIENTS IN THE TECHNOLOGY OF MEAT PRODUCTS FOR ELDERLY NUTRITION

In the context of a rapidly growing elderly population, one of the key priorities is the development of specialized food products that support health maintenance, prevent age-related diseases, and provide nutritionally adequate diets. The aim of this study was to develop a gerodietetic meat semi-finished product technology using plant-based ingredients – bulgur flour and zucchini – known for their high nutritional and biological value. Three formulation variants were developed, differing in the percentage ratio of animal and plant-based raw materials. The samples were evaluated by sensory analysis using a scoring system (appearance, color, smell, taste, texture) and by determining their chemical composition. The results showed that the inclusion of plant ingredients improves the sensory qualities of the product, reduces fat content, and increases the levels of dietary fiber, vitamins, and minerals. The best performance was observed in sample No. 2, containing approximately 20% plant ingredients. The proposed formulation offers an optimal balance of sensory and nutritional properties, making it suitable for implementation in the production of gerodietetic meat products. Given its balanced composition and high consumer appeal, it is also appropriate for use in institutional catering systems and in the production of functional foods targeted at elderly nutrition.

Key words: *gerodietary nutrition, meat semi-finished product, bulgur flour, plant-based raw materials, nutritional value.*

Сведения об авторах

Фарида Харисовна Смольникова – кандидат технических наук, ассоциированный профессор кафедры «Пищевые технологии», Шәкәрім университет, Казахстан; e-mail: smolnikovafarida@mail.ru. ORCID: https://orcid.org/0000-0002-8777-5313.

Аружан Дарханқызы Мухаметкали – магистрант образовательной программы 6В07202 «Технология продовольственных продуктов» кафедры «Пищевые технологии», Шәкәрім университеті, Казакстан; e-mail: mukhametqaliaru@gmail.com. ORCID: https://orcid.org/0009-0002-2790-2031.

Элеонора Курметовна Окусханова – PhD, ассоциированный профессор кафедры «Пищевые технологии», Шәкәрім университет, Казахстан; e-mail: eleonoraokushan@mail.ru. ORCID: https://orcid.org/0000-0001-5139-9291.

Арай Сагинбековна Камбарова – PhD, и.о ассоцированного профессора кафедры «Пищевая технология», Шәкәрім университет, Казакстан; e-mail: kambarova@mail.ru. ORCID: https://orcid.org/0000-0002-4289-3818.

Авторлар туралы мәліметтер

Фарида Харисқызы Смольникова* – техника ғылымдарының кандидаты, «Тамақ технологиясы» кафедрасының қауымдастырылған профессоры, Шәкәрім университеті, Қазақстан; e-mail: smolnikovafarida@mail.ru. ORCID: https://orcid.org/0000-0002-8777-5313.

Аружан Дарханқызы Мұхаметқали – «Тамақ технологиясы» кафедрасының 6В07202 «Азық түлік өнімдерінің технологиясы» білім беру бағдарламасы бойынша магистранты, Шәкәрім университеті, Қазақстан; e-mail: mukhametqaliaru@gmail.com. ORCID: https://orcid.org/ 0009-0002-2790-2031.

Элеонора Курметқызы Окусханова – PhD, «Тамақ технологиялары» кафедрасының қауымдастырылған профессорының, Шәкәрім университеті, Қазақстан; e-mail: eleonora-okushan@mail.ru. ORCID: https://orcid.org/0000-0001-5139-9291.

Арай Сагинбекқызы Камбарова – PhD, «Тамақ технологиясы» кафедрасының қауымдастырылған профессор м.а., Шәкәрім университеті», Қазақстан; e-mail: kambarova@mail.ru. ORCID https://orcid.org/0000-0002-4289-3818.

Information about the authors

Farida Smolnikova* – Candidate of Technical Sciences, Associate Professor of the Department «Food Technology», Non-profit Joint Stock Company Shakarim University, Kazakhstan; e-mail: smolnikovafarida@mail.ru. ORCID: https://orcid.org/0000-0002-8777-5313.

Aruzhan Mukhametkali – Master's student of the educational program 6B07202 «Technology of food products», Department of «Food Technologies», Non-profit Joint Stock Company Shakarim University, Kazakhstan; e-mail: mukhametqaliaru@gmail.com. ORCID: https://orcid.org/ 0009-0002-2790-2031.

Eleonora Okushanova – PhD, Associate professor of the Department of «Food technologies», Non-profit Joint Stock Company Shakarim University, Kazakhstan; e-mail: eleonora-okushan@mail.ru. ORCID: https://orcid.org/0000-0001-5139-9291.

Arai Kambarova – PhD, Acting Associate Professor of the Department of «Food Technology», Non-profit Joint Stock Company Shakarim University, Kazakhstan; e-mail: kambarova@mail.ru. ORCID: https://orcid.org/0000-0002-4289-3818.

Поступила в редакцию 05.06.2025
Поступила после доработки 16.09.2025
Принята к публикации 17.09.2025

https://doi.org/10.53360/2788-7995-2025-4(20)-49

ҒТАХР: 65.59.01

CC BY 4.0
Check for updates

Ғ.Б. Төкен*, А.М. Таева, Ж.Ж. Смаилова, З.Т. Сәрсенбаева
Алматы Технологиялық Университеті,
050012, Қазақстан Республикасы, Алматы қ., Төле би 100
*e-mail: bakytzhankyzy00@bk.ru

ӨСІМДІК АҚУЫЗДАРЫН ҚОЛДАНУ АРҚЫЛЫ ЕТТІ ПАШТЕТ ӨНІМДЕРІН ЖЕТІЛДІРУ

Аңдатпа: *Бұл мақалада өсімдік ақуыздарының ет өнімдеріне, атап айтқанда, етті паштет өндірісінде қолданылуының маңызы қарастырылады. Өсімдік ақуыздарының тағамдық құндылығы мен олардың ет өнімдеріндегі орны талданады.Сондай-ақ өсімдік ақуыздарымен байытылған паштет өнімдерінің дәмі мен текстурасына қатысты органолептикалық қасиеттері зерттеліп, сақтау мерзімі қарастырылады.*

Мақалада өсімдік ақуыздарын паштет өндірісінде пайдалану арқылы өнімнің тағамдық құндылығын арттыру мүмкіндіктері қарастырылып, өндірістік процестің технологиялық қадамдары сипатталады. Әртүрлі өсімдік ақуыздарының паштет өнімдерінің сапасына әсері талданып, олардың қолданылуына қатысты қазіргі ғылыми еңбектер жүйеленеді.Өсімдік ақуыздарын пайдалану арқылы өнімнің экологиялық қауіпсіздігін қамтамасыз етуге және денсаулыққа пайдалы қасиеттерін арттыруға бағытталған әдістер ұсынылады. Сонымен қатар, мақалада өсімдік ақуыздарымен байытылған паштет өнімдерінің нарықтағы болашағы мен олардың тұрақты даму мақсаттарына қосатын үлесі жөнінде қорытынды жасалады.

Бұл технологиялар өнімдердің экологиялық қауіпсіздігін арттырумен қатар, тамақ өнеркәсібінің болашақтағы тиімді дамуына ықпал ететін маңызды бағыт ретінде сипатталады. Өсімдік ақуыздарымен байытылған паштет өнімдері тағамдық құндылығын арттырумен бірге өндіріс процесінің экономикалық тиімділігін қамтамасыз етеді. Мұндай өнімдердің функционалдық қасиеттері тұтынушылардың денсаулығына жағымды ықпал жасап, олардың нарықтағы бәсекеге қабілеттілігін күшейтеді.

Түйін сөздер: *өсімдік ақуыздары, етті паштет, тағамдық құндылық, технология, тиімділік, өнім сапасы.*

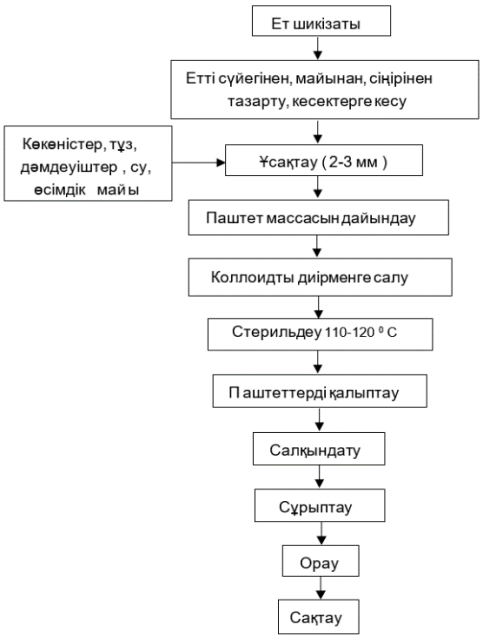
Кіріспе

Қазіргі таңда тағам сапасы мен құрамына деген сұраныс артып, әсіресе адам денсаулығына пайдалы өнімдерге басымдық берілуде. Өсімдік ақуыздарының тағамдық құндылығы мен ағзаға оң әсері кеңінен зерттеліп келеді. Сонымен қатар, ет өнімдерінің ақуыздық құрамын арттыру қажеттілігі туындағандықтан, өсімдік негізіндегі ақуыз көздеріне деген қызығушылық та артуда. Олар ет өнімдеріне пайдалы қасиеттер қосып қана қоймай, қоршаған ортаға жүктемені азайтуға және өндіріс тиімділігін жоғарылатуға мүмкіндік береді. Әсіресе, паштет өнімдерінде өсімдік ақуыздарын қолдану арқылы олардың тағамдық құндылығын жақсарту мүмкіндігі кеңейіп келеді.

Қазіргі кезде паштет өндірісі мен технологияларын жетілдіру мақсатында өсімдік ақуыздарын қолдануға негізделген инновациялық зерттеулерге ерекше көңіл бөлініп отыр. Бұл бағыттағы ғылыми жұмыстар өсімдік ақуыздарының паштет өнімдеріне қосқандағы тиімділігін теориялық тұрғыдан негіздеп, практикалық шешімдер ұсынуға бағытталған.

Зерттеу барысында өсімдік ақуыздарын пайдалану арқылы етті паштет өнімдерінің тағамдық және технологиялық сипаттамаларын жақсарту мүмкіндіктері қарастырылады. Сондай-ақ, олардың өндіріс шығындары мен тұтынушылық тартымдылығына әсері жан-жақты талданады. Қазіргі уақытта витаминдер мен микроэлементтері жеткіліксіз тағамдарды тұтынудың кері әсері айқын байқалуда. Мұндай өнімдер ағзаның әлсіреуіне, иммунитеттің төмендеуіне, өмір сапасының нашарлауына және ерте қартаюға әкеледі. Адам денсаулығы мәселесі әлемдік деңгейде маңызды әлеуметтік сұрақтардың біріне айналып, оны шешу мақсатында көптеген ғылыми зерттеулер салауатты тамақтануға негізделген өнімдерді әзірлеуге бағытталуда. Осы тұрғыда дәрумендер мен ақуыздарға бай тағам көздерін, соның ішінде құс етін қолдану маңызды шешімдердің бірі болып саналады [1].

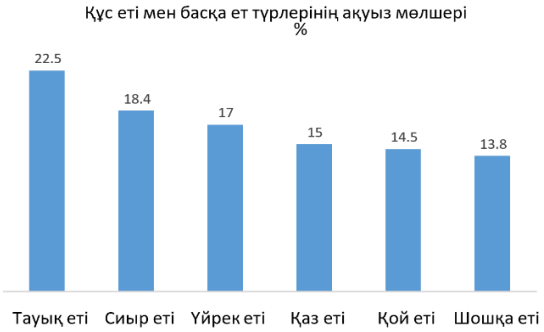
Құс еті – жоғары сапалы, жылдам сіңірілетін ақуыздар, дәрумендер мен май қышқылдарының бай көзі болып табылатын диеталық өнім. Экономикалық тұрғыдан алғанда, құс еті басқа ет түрлеріне қарағанда қол жетімді. 1 – суретте ет консервілерінің өндіріс технологиясы сипатталған [2].



Сурет 1 – Паштет консерілерінің дайындалу технологиясы

Соңғы жылдары құс етін тұтыну айтарлықтай көбейді. Бұл үрдіске бірнеше фактор әсер етеді. Біріншіден, тауық еті сиыр немесе шошқа етіне қарағанда қолжетімді. Екіншіден, ол механикалық өңдеуге кеңінен жарамды, сондықтан әртүрлі тағамдық өнімдер өндірісінде жиі қолданылады. Өнімдер өндірісінде жеңіл кесектер мен өнімдерге сұраныс артты. Осылайша, құс еті адам денсаулығына пайдалы әрі құнды тағам ретінде таңдалып, жеңіл тағам ретінде қарастырылады. Құс еті мен оның өңделген өнімдері азық-түлік қауіпсіздігі үшін маңызды өнімдер болып табылады және олардың өндірісі мен сатылуы азық-түлік қауіпсіздігі талаптарын қамтамасыз ету көрсеткіштері болып табылады [3].

Сурет 2-де көрсетілгендей, түрлі ет өнімдері арасында құс етінде ақуыздың ең жоғары мөлшері байқалады [4]. Бұл құс етінің диеталық қасиеттеріне байланысты, себебі ол ағзаға жеңіл сіңіп, оңай қорытылады.



Сурет 2 – Құс етімен және де басқа ет өнімдеріндегі ақуыз мөлшері (Healthy Food Near Me, 2025)

Зерттеу әдістері

Бұл мақала шолу сипатында жүргізілді және өсімдік ақуыздарын қолдану арқылы етті паштет өнімдерін жетілдіру тақырыбына қатысты қолданыстағы ғылыми зерттеулер мен әдебиеттерге негізделген. Әдебиеттерді таңдау кезінде ғылыми мақалалар, зерттеу есептері және әлемдегі тәжірибелерді қамтитын дереккөздер пайдаланылды.

Өсімдік ақуыздарының паштет өнімдеріне қосылу мәселесін зерттеу үшін әдебиеттерді іздеу кезінде Web of Science және Google Scholar дерекқорлары негізге алынды. Әдебиеттерді іздеу процесі барысында соңғы 10 жыл ішінде жарияланған зерттеулерге басымдық берілді, өйткені қазіргі уақыттағы ғылыми зерттеулер мен тәжірибелердің маңызы зор.

Іздеу «plant proteins», «meat product enhancement», «food texture», «nutritional value», «plant-based pâté», «food preservation», «pâté production technology» кілт сөздері арқылы жүргізілді. Осы іздеу нәтижесінде 37 ғылыми зерттеу жұмысы қарастырылып, олардың негізінде өсімдік ақуыздарының етті паштет өнімдерінің органолептикалық қасиеттеріне, тағамдық құндылығына және сақталуына әсері талданды. Зерттеулерде қолданылған әдістер мен тәсілдер, сондай-ақ өсімдік ақуыздарын паштет өндірісіне енгізудің тиімділігі мен қолданыс аясы қарастырылды. Мақаладағы талдау нәтижелері осы тақырыптағы ғылыми еңбектердің заманауи жетістіктерін көрсетеді.

Нәтижелер және талқылау

Зерттеулерге сәйкес, өсімдік ақуыздарын қолдану арқылы етті паштет өнімдерінің тағамдық құндылығы артады. Өсімдік ақуыздары, мысалы, соя, бұршақ, бидай, амарант, және басқа да өсімдік негізіндегі материалдар паштет өнімдерінің ақуыз құрамын жақсартады. Бұл ақуыздар табиғи түрде ағзаға жеңіл сіңіп, денсаулыққа пайдалы әсер етеді, бұл олардың тағамдық қауіпсіздігінің жоғары екенін көрсетеді. Сонымен қатар, өсімдік ақуыздары паштет өнімдеріне қосылғанда оның органолептикалық қасиеттері жақсарады, өнімнің құрылымы нығаяды және сақтау мерзімі ұзарады.

Соңғы зерттеулерде өсімдік ақуыздарын қолдану арқылы етті паштет өнімдерінің тағамдық және органолептикалық қасиеттерін жақсарту бойынша көптеген оң нәтижелер көрсетілген. Мысалы, А.Ж. Сәрсенбаев және А.Қ. Тасболатова жүргізген зерттеулерінде соя, бұршақ және амарант ақуыздарын паштетке қосу арқылы өнімнің ақуыз құрамын едәуір арттыруға болатындығы анықталды. Бұл зерттеулерде өсімдік ақуыздарының паштет өнімдерінде микроэлементтер мен дәрумендердің мөлшерін арттыруға көмектесетіні көрсетілген.

О.В. Зинина және К.С. Гаврилова өз зерттеулерінде амарант және бұршақ ақуыздарын паштет өнімдеріне қосу арқылы дәмділік және текстуралық қасиеттерін жақсартудың тиімділігіне тоқталған. Олар өсімдік ақуыздарын паштет өнімдеріне қосу арқылы дәмдік және текстуралық қасиеттерін жақсартып, микробиологиялық қауіпсіздігін арттырған. Мұндай қоспалар өнімнің сақтау мерзімін ұзартып, сапасын ұзақ уақыт тұрақты деңгейде сақтауға мүмкіндік береді [5].

Мақалада өсімдік ақуыздарын қолдану арқылы паштет өнімдерінің сапасын арттыру мәселесі қарастырылады. Дегенмен, кейбір әдебиет көздерінде паштет сапасын жақсарту үшін жануар тектес қоспаларды пайдалану тәжірибелері де сипатталған. Мәселен, B.K. Kabdylzhar және әріптестерінің зерттеуінде тауық сүйектерінен алынған ет-сүйек пастасының қосылуы паштет өнімдерінің аминқышқылдық, май қышқылдық және минералдық құрамын жетілдіруге ықпал ететіні көрсетілген. Бұл мысал паштет сапасын арттыруға арналған әртүрлі ғылыми тәсілдердің бар екенін айғақтайды, алайда осы мақалада басты назар өсімдік ақуыздарын қолдану нәтижелеріне аударылады [6].

С.Ж. Айтқұлова және Б.М. Хамитова зерттеуінде дәстүрлі емес өсімдік шикізаттарын пайдалана отырып, ет-көкөніс паштетінің өндірісін әзірлеу мәселесін қарастырған. Олар паштет өнімдерінің құрамында үйрек етін және оның субөнімдерін қолдануды зерттеп, өнімнің қоректік құндылығын арттыру мен өнімнің сапасын жақсартуға бағытталған технологияларды ұсынған. Мақалада паштетке қосылатын зығыр ұны, жасымық ұны, пияз, сарымсақ, күнжіт майы, сәбіз, қалампыр, ұнтақталған қара бұрыш, паприка сияқты өсімдік ингредиенттерінің химиялық және органолептикалық қасиеттері талданған. Бұл ингредиенттер паштет өнімінің дәмін, текстурасын және сапасын жақсартуға ғана емес, өнімнің микробиологиялық қауіпсіздігін қамтамасыз етуге де ықпал етеді [7].

Зерттеудің маңызды бөлігі ретінде микробиологиялық көрсеткіштер мен тағамдық қауіпсіздікті бағалау жүргізілген. Нәтижесінде, өсімдік қоспаларын қосу паштет өнімдерінің сақталуын ұзартып, олардың микробиологиялық қауіпсіздігін қамтамасыз етуде айтарлықтай нәтижелер көрсетті. Паштеттің сынақ үлгілері мен бақылау үлгілері арасындағы салыстырмалы талдау көрсеткендей, өсімдік ингредиенттері паштет өнімдерінің қоректік құндылығын арттырып, органолептикалық қасиеттерін жақсартқан. Бұл өнімдердің құрамындағы қоректік заттардың жетіспеушілігін толықтыруға мүмкіндік береді, сондықтан оларды тұтыну адамның денсаулығына пайдалы әсер етеді.

Сонымен қатар, зерттеушілер өнімнің қоректік құндылығын арттыру мақсатында биологиялық құндылық критерийлерін және ақуыз компонентінің сапалық құрамын ескерудің маңыздылығына тоқталған. Зерттеу барысында өсімдік тектес қоспалар паштет өнімдерінің функционалдық қасиеттерін арттырып қана қоймай, адам ағзасына қажетті микроэлементтер мен дәрумендер енгізетіні анықталды.Авторлар дәстүрлі емес өсімдік қоспаларын қолдану арқылы ет өнімдерін жасау адам ағзасында қазіргі заманауғы ет өнеркәсібінің маңызды бағыттарының бірі екендігін атап өтеді [8].

Сурет 3-те паштет өнімінің функционалды формуласының қалыптасу кезеңдері және оны өндіруде қолданылатын шикізаттардың рөлі мен олардың қасиеттері айқын көрсетілген. Алдымен, негізгі шикізат ретінде шикі ет, майлы ұн, өсімдік майлары және басқа да қажетті ингредиенттер таңдалады.



Сурет 3 – Паштеттің функционалды формуласын қалыптастыру кестесі

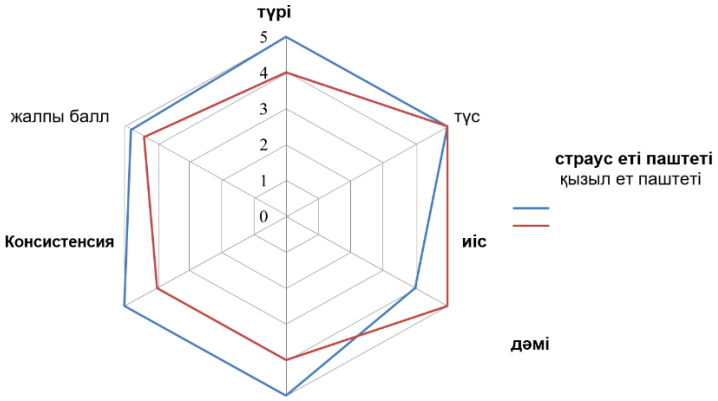
Одан кейін, шикізаттардың функционалдық қасиеттері мен олардың паштет өнімінің сапасына әсері бағаланады. Келесі кезеңде, паштет өнімінің функционалды қасиеттері мен құрамындағы заттардың әсері зерттеледі. Осылайша, паштет өнімін өндіру процесінің барлық кезеңдері қарастырылып, оның жоғары сапалы болуын қамтамасыз ету үшін қажетті ингредиенттер мен технологиялар таңдалады. Зерттеу нәтижелері бойынша, жаңа шикізаттардың қосылуы, мысалы жасымық ұны, паштет өнімдерінің тағамдық құндылығын арттырып, оның функционалды қасиеттерін жақсартуға мүмкіндік береді [9].

N.I. Tsareva, T.S. Bychkova, E.N. Artemova, V.A. Kozlova, және Y.V. Rogacheva жүргізген зерттеу нәтижелері бойынша тазартылған жасымық ұнын (pea meal) пайдалану арқылы бауыр паштетінің технологиясы қарастырылған. Мақалада авторлар жасымық ұнының паштет технологиясындағы эмульсия қабілетін зерттеу нәтижелерін ұсынады. Зерттеу барысында жасымық ұнының құрғақ термиялық өңдеуі және SHF термиялық өңдеуі оның эмульсия қабілетіне теріс әсер ететіндігі көрсетілген. Осыған байланысты, авторлар паштет массасына қосу алдында жасымық ұнын гидротермиялық әдіспен өңдеуді таңдады. Сонымен қоса, бауыр мен жасымық массасының модельдік жүйесінің эмульсияның фракциялық құрамын бағалады. Алынған деректер негізінде жасымық ұны қолданылатын паштет өндірісінің технологиясы ұсынылған. Өндірілген үлгілердің реологиялық және органолептикалық зерттеулері жүргізілген.

Зерттеу нәтижелері жаңа паштет түрлері бақылау үлгісін бірқатар көрсеткіштер бойынша артық көрсеткен. Мысалы, жануарлар майының мөлшері төмендеген, өсімдік ақуызының үлесі артуы байқалған, сондай-ақ жасымық ұнының қосылуымен клетчатка, калий, кальций және магний құрамдары ұлғайғаны анықталған [9].

Sholpan Abzhanova, Lyazzat Baybolova, Gulshat Zhaksylykova, Aigul Tayeva,Talgat Kulazhanov жүргізген зерттеулерінің бір бөлігінде қарттар үшін диеталық паштет өнімдерін жасау мақсатында ет құрамындағы май мөлшерін азайту және өсімдік ақуыздарын қосу арқылы өнімнің тағамдық құндылығын арттыру жолдарын зерттеген (сурет 3).

Паштеттің органолептикалық қасиеттері бойынша жүргізілген зерттеулердің нәтижелері көрсеткендей (сурет 4), өнімдер дәмі, текстурасы және түсі бойынша жоғары бағаланды. Сонымен қатар, зерттеушілердің айтуынша, страус еті паштеті құрамындағы ақуыздың жоғары мөлшері және майдың аздығы оны қарттардың диетасына арналған ең тиімді өнімдердің бірі етеді.Зерттеулердің нәтижесінде, страус еті паштетін төмен калориялы және диеталық өнім ретінде ұсынылғаны айқындалды. Бұл зерттеу қарттар үшін арнайы диеталық паштет өнімдерін әзірлеуге қатысты жаңа мүмкіндіктерді ашып, қарттар диетасының сапасын арттыруға ықпал ететіні анықталған [10].



Сурет 4 – Паштет үлгілерін органолептикалық талдау

Өсімдік ақуыздарының тағамдық құндылығы және олардың ет өнімдеріндегі рөлі. Өсімдік ақуыздары қазіргі уақытта ет өнімдерінде қолданылатын маңызды қоспалардың бірі. Олар өнімдердің қоректік құндылығын арттырып, май мөлшерін азайтады, сондай-ақ, аминқышқылдарының сапасын жақсартуға көмектеседі. Өсімдік ақуыздары ет өнімдеріне диеталық қасиеттер қосып, оларды төмен калориялы етеді. Сонымен қатар, өсімдік ақуыздары түрлі аурулардың алдын алу үшін пайдалы әрі экологиялық тұрғыдан тиімді. Өсімдік ақуыздары мен ет өнімдерінің өзара байланысын әрі олардың тағамдық құндылығын көрсету үшін төменде кесте ұсынылады (кесте 1).

Кесте 1 – Өсімдік ақуыздары мен ет өнімдерінің өзара байланысы

Өсімдік ақуызының түрі	Ет өніміндегі рөлі	Тағамдық құндылығы	Құрамындағы маңызды компоненттер	Диеталық пайдасы
Соя ақуызы	Майдың орнын басады, құрылымды жақсартады	Жоғары ақуыз, төмен май	Құрамында барлық маңызды аминқышқылдары, темір, кальций	Жүрек-қан тамырларының ауруларының алдын алады
Жасымық ұны	Өнімнің құрылымын жақсартады, ақуызды арттырады	Ақуыз, клетчатка	Аминқышқылдары, магний, калий	Қант диабеті мен семіздікке қарсы пайдалы
Зығыр ұны	Өнімнің құрылымын тұрақтандырады, майдың мөлшерін азайтады	Ақуыз, омега-3 май қышқыл-дары	Фосфор, магний, кальций	Қан қысымын төмендетуге ықпал етеді
Күріш ақуызы	Жұмсақ әрі жеңіл құрылым береді, дәмі жақсы	Ақуыз, талшықтар	Теңдестірілген аминқышқыл-дары	Ас қорыту жүйесіне пайдалы
Қарақұмық ұны	Протеин мен клетчатканың көзі	Ақуыз, минералдар , талшықтар	Темір, калий, магний	Ішек жұмысын жақсартады, қант деңгейін тұрақтандырады

Өсімдік ақуыздары ет өнімдерінде түрлі денсаулыққа пайдалы қасиеттерді арттырып, өнімдердің қоректік құндылығын жақсартады. Бұл өнімдер денсаулықты сақтауға, дене салмағын бақылауға және экологиялық таза әрі диеталық тұрғыдан пайдалы болады. Сонымен қатар, олар ет өнімдеріне құрылым мен дәмнің әртүрлілігін қосады, сондай-ақ, қазіргі заманғы диеталарға сәйкес келеді [11].

Өсімдік ақуыздарымен байытылған паштет өнімдерінің нарықтағы болашағы мен тұрақты даму мақсаттарына қосатын үлесі. Өсімдік ақуыздарымен байытылған паштет өнімдері нарықта тұрақты даму мақсаттарына сәйкес өз орнын табуда. Бұл өнімдер экологиялық таза әрі сапалы дайындалады. Соның нәтижесінде қоршаған ортаға түсетін зиянды әсер азаяды. Өсімдік ақуыздарын пайдалану табиғи, соның ішінде жер және биологиялық ресурстарды үнемдеуге, табиғи экожүйелерді сақтауға және жасыл технологиялардың дамуына ықпал етеді. Сонымен қатар, мұндай өнімдер нарықта қарттар мен балаларға арналған функционалды тағамдардың кең таралуына жағдай жасайды [12].

Өсімдік негізіндегі ақуыз өнімдері тек экологиялық тұрғыдан ғана емес, экономикалық тиімділік жағынан да артықшылыққа ие. Олардың өзіндік құны ет өнімдеріне қарағанда төмен, бұл өнімдерді қолжетімді етіп, әлеуметтік осал топтар үшін маңызды тағам көзіне айналдырады. Осылайша, экологиялық таза және құнарлы тағамдардың кең таралуына жағдай жасалады (кесте 2).

Кесте 2-де көрсетілген мәліметтер өсімдік ақуыздарымен байытылған паштет өнімдерінің тағамдық және экологиялық артықшылықтарын айқындайды. Олардың құрамы адам денсаулығына пайдалы әрі қоршаған ортаға залалы аз, бұл тұрақты тамақтану жүйесін қалыптастыруға мүмкіндік береді. Сонымен қатар, бұл өнімдер тұрақты даму қағидаларына сәйкес келіп, тамақ өнеркәсібіндегі әлеуметтік жауапкершілікті күшейтуге ықпал етеді. [13].

Қорытынды

Өсімдік ақуыздарын қолдану арқылы етті паштет өнімдерін жетілдіру қазіргі уақытта маңызды әрі перспективті бағыт. Өсімдік ақуыздары паштет өнімдерінің тағамдық құндылығын арттырып, олардың диеталық қасиеттерін жақсартады. Осы зерттеулерде байқағанымыздай өсімдік ақуыздары өнімдердің май мөлшерін азайтып, ақуыз құрамын жақсартуға мүмкіндік береді. Алайда, авторлар зерттеулерінде өндірістік масштабта өсімдік ақуыздарының тиімділігі мен олардың ұзақ мерзімді сақтау кезіндегі микробиологиялық қауіпсіздігі туралы толық деректердің болмауы зерттеулердің кемшілігі ретінде қарастырылады. Өндіріс деңгейінде өсімдік ақуыздарының әсерін зерттеу мен олардың шығындарға әсері нақты түрде анықталмаған.

Кесте 2 – Тұрақты даму мақсаттарына қосатын үлесі

Көрсеткіш	Өсімдік ақуыздарымен байытылған паштет өнімдерінің болашағы	Тұрақты даму мақсаттарына қосатын үлесі
Табиғи ресурстарды үнемдеу	Өсімдік ақуыздары табиғи ресурстарды үнемдеуге көмектеседі	Қоршаған ортаға зиянды әсерлерді азайтады, табиғи ресурстарды үнемдейді
Қалдықтарды азайту	Өсімдік негізіндегі өнімдер пластик пен қалдықтарды азайтуға ықпал етеді	Қалдықтарды азайту, қайта өңдеуге бағытталған өндіріс
Денсаулыққа пайдалы қасиеттер	Майдың мөлшерін азайту, ақуыздың сапасын арттыру, диеталық қасиеттерді жақсарту	Қант диабеті, жүрек аурулары, семіздіктің алдын алуға ықпал ету, дәрумендер мен минералдарға бай тағамдар ұсыну
Экономикалық тиімділік	Өсімдік ақуыздары арзанырақ болғандықтан өнімнің бағасы қол жетімді болады	Қол жетімді диеталық өнімдерді ұсыну, нарықтағы жаңа тұтынушылар тобын тарту
Нарықтық сұраныс	Эко - өнімдерге сұраныс артуда, әсіресе экологиялық таза және диеталық тағамдарға қызығушылық жоғары	Тамақ өндірісіндегі экологиялық таза өнімдерге деген сұраныстың өсуі
Әлеуметтік пайда	Қарттар мен балаларға арналған диеталық тағам ретінде нарықта кең таралу мүмкіндігі	Әлеуметтік жауапкершілік, халықтың түрлі топтарына қол жетімді өнімдер ұсыну
Қоректік құндылық	Өсімдік ақуыздары жоғары ақуызды және төмен майлы тағамдарды ұсынады	Тамақ өнімдерінің қоректік құндылығын арттыру, денсаулықты жақсарту
Өндірістік әсерді азайту	Өсімдік ақуыздары қаптама мен өндіріс барысында зиянды әсерлерді төмендетеді	Пластикті алмастыратын табиғи өнімдер, тиімді технологияларды қолдану

Алдағы уақытта өсімдік ақуыздарының өндірістік масштабтағы тиімділігі мен олардың сақтау мерзіміндегі қасиеттерін зерттеу қажет. Бұл бағытта паштет өндірісіне өсімдік ақуыздарын қосу кезінде өнімнің сапалық сипаттамаларын тереңірек талдау, оның өндіріс шығындарына және тұтынушылық тиімділігіне ықпалын анықтау маңызды. Сонымен қатар, өсімдік ақуыздары мен дәстүрлі ет өнімдерінің үйлесімділігін зерттеу арқылы дәмі мен текстурасын жақсарту, тағамдық құндылығын арттыруға арналған жаңа әдістерді әзірлеу өзекті мәселе. Тамақтану ғылымы мен диетология саласында өсімдік ақуыздары негізіндегі өнімдердің адам ағзасына әсерін жан-жақты қарастыру қажет.

Жаңа өнімдер әзірлеуде өсімдік ақуыздарын қолдану тағамның тұтынушылық сапасын арттырып, нарықтағы сұранысты қанағаттандыруға ықпал етеді. Бұл тәсіл өнімдерді кеңінен қолжетімді етіп, тұтынушылардың қажеттіліктерін неғұрлым толық қамтамасыз етуге мүмкіндік береді.

Әдебиеттер тізімі

1. Соловьева А.А. Актуальные биотехнологические решения в мясной промышленности / А.А. Соловьева, О.В. Зинина, М.Б. Ребезов // Молодой ученый. – 2013. – № 5(52). – С. 105-107.
2. Зинина О.В. Мясные полуфабрикаты, нарезанные ферментированным сырьем / О.В. Зинина // Техника и технология производства продуктов питания. – 2012. – № 3(14). – С. 19-25.
3. Щепеткова Е.В. Современное состояние и перспективы развития концепции функционального питания / Е.В. Щепеткова // Пищевая промышленность. – 2016. – № 7. – С. 44-47.
4. Құс етінің тағамдық құндылығы: Құс еті өнімдеріндегі ақуыз мөлшері [Электрондық ресурс]. – 2025. – Қолжетімді: https://kk.healthy-food-near-me.com/poultry/ (қаралған күні: 23.09.2025).
5. Зинина О.В. Исследование мясо-растительных паштетов, обогащенных нетрадиционными видами пищевых ингредиентов / О.В. Зинина, К.С. Гаврилова, М.А. Позднякова // Техника и технология производства продуктов питания. – 2018. – С. 1-6.

6. Fatty acids and minerals in meat pate with addition of meat-and-bone paste / B.K. Kabdylzhar et al // Journal of Food Science. – 2020. – Vol. 38(2). – P. 66-70.
7. Айтқұлова С.Ж. Ет-көкөніс паштеттерін өндіруде дәстүрлі емес өсімдік шикізатын пайдалану / С.Ж. Айтқұлова, Б.М. Хамитова // Техника и технология производства продуктов питания. – 2020. – С. 169-175.
8. Вершинина А.Г. Разработка мясорастительных паштетов для здорового питания / А.Г. Вершинина // Техника и технология производства продуктов питания. – 2018. – С. 1-5.
9. Borsolyuk L. Scientific basics to develop functional meat pâtés / L. Borsolyuk, S. Verbytskyi // Journal of Food Science. – 2020. – Vol. 45(4). – P. 71-77.
10. Development of liver pate technology using pea meal / N.I. Tsareva et al // Journal of Food Science. – 2021. – Vol. 32(1). – P. 1-5.
11. Development of meat products for the nutrition of the elderly / Sh. Abzhanova et al // Journal of Food Science. – 2021. – Vol. 45(3). – P. 112-118.
12. Research of physical, chemical and technological parameters of plant raw materials in formulations of functional pates / L. Borsolyuk et al // Food Resources. – 2017. – Vol. 9. – P. 126-135.
13. Tailoring texture and functionality of vegetable protein meat analogues through 3D printed porous structures / L. Lombardi et al // Journal of Food Science. – 2020. – Vol. 45(3). – P. 15-17.
14. Calton A. Printed meat alternatives based on pea and single cell proteins and hydrocolloids: Effect of paste formulation on process-induced fibre alignment and structural and textural properties / A. Calton, M. Lille, N. Sozer // Journal of Food Science. – 2020. – Vol. 45(2). – P. 7-12.

References

1. Solov'eva A.A. Aktual'nye biotekhnologicheskie resheniya v myasnoi promyshlennosti / A.A. Solov'eva, O.V. Zinina, M.B. Rebezov // Molodoi uchenyi. – 2013. – № 5(52). – S. 105-107. (In Russian).
2. Zinina O.V. Myasnye polufabrikaty, narezannye fermentirovannym syr'em / O.V. Zinina // Tekhnika i tekhnologiya proizvodstva produktov pitaniya. – 2012. – № 3(14). – S. 19-25. (In Russian).
3. Shchepetkova E.V. Sovremennoe sostoyanie i perspektivy razvitiya kontseptsii funktsional'nogo pitaniya / E.V. Shchepetkova // Pishchevaya promyshlennost'. – 2016. – № 7. – S. 44-47. (In Russian).
4. Kus etinin tagamdyk kundylygy: Kus eti onimderindegi akuyz molsheri [Ehlektrondyk resurs]. – 2025. – Kolzhetimdi: https://kk.healthy-food-near-me.com/poultry/ (қаралған күні: 23.09.2025). (In Kazakh).
5. Zinina O.V. Issledovanie myaso-rastitel'nykh pashtetov, obogashchennykh netraditsionnymi vidami pishchevykh ingredientov / O.V. Zinina, K.S. Gavrilova, M.A. Pozdnyakova // Tekhnika i tekhnologiya proizvodstva produktov pitaniya. – 2018. – S. 1-6. (In Russian).
6. Fatty acids and minerals in meat pate with addition of meat-and-bone paste / B.K. Kabdylzhar et al // Journal of Food Science. – 2020. – Vol. 38(2). – P. 66-70. (In English).
7. Aitkulova S.ZH. Et-kokonis pashtetterin ondirude dastүrli emes osimdik shikizatyn paidalanu / S.ZH. Aitkulova, B.M. Khamitova // Tekhnika i tekhnologiya proizvodstva produktov pitaniya. – 2020. – S. 169-175. (In Kazakh).
8. Vershinina A.G. Razrabotka myasorastitel'nykh pashtetov dlya zdorovogo pitaniya / A.G. Vershinina // Tekhnika i tekhnologiya proizvodstva produktov pitaniya. – 2018. – S. 1-5. (In Russian).
9. Borsolyuk L. Scientific basics to develop functional meat pâtés / L. Borsolyuk, S. Verbytskyi // Journal of Food Science. – 2020. – Vol. 45(4). – P. 71-77. (In English).
10. Development of liver pate technology using pea meal / N.I. Tsareva et al // Journal of Food Science. – 2021. – Vol. 32(1). – P. 1-5. (In English).
11. Development of meat products for the nutrition of the elderly / Sh. Abzhanova et al // Journal of Food Science. – 2021. – Vol. 45(3). – P. 112-118. (In English).
12. Research of physical, chemical and technological parameters of plant raw materials in formulations of functional pates / L. Borsolyuk et al // Food Resources. – 2017. – Vol. 9. – P. 126-135. (In English).
13. Tailoring texture and functionality of vegetable protein meat analogues through 3D printed porous structures / L. Lombardi et al // Journal of Food Science. – 2020. – Vol. 45(3). – P. 15-17. (In English).

14. Calton A. Printed meat alternatives based on pea and single cell proteins and hydrocolloids: Effect of paste formulation on process-induced fibre alignment and structural and textural properties / A. Calton, M. Lille, N. Sozer // Journal of Food Science. – 2020. – Vol. 45(2). – P. 7-12. (In English).

Г.Б. Төкен*, А.М. Таева, Ж.Ж. Смаилова, З.Т. Сарсенбаева
Алматинский технологический университет,
050012, Республика Казахстан, г. Алматы, ул. Толе би, 100
*e-mail: bakytzhankyzy00@bk.ru

ИСПОЛЬЗОВАНИЕ РАСТИТЕЛЬНЫХ БЕЛКОВ ДЛЯ СОВЕРШЕНСТВОВАНИЯ МЯСНЫХ ПАШТЕТОВ

В данной статье рассматривается значение применения растительных белков в мясной промышленности, в частности, в производстве паштетов. Проанализированы питательная ценность растительных белков и их роль в структуре мясных продуктов. Изучены органолептические свойства паштетов, обогащённых растительными белками, включая вкус и текстуру, а также вопросы, связанные со сроком хранения. В статье освещены возможности повышения пищевой ценности паштетов посредством использования растительных белков и описаны основные технологические этапы производственного процесса. Проанализировано влияние различных видов растительных белков на качество продукции и систематизированы современные научные исследования по данной теме. Предложены методы, направленные на обеспечение экологической безопасности и повышение полезных свойств продуктов. Кроме того, в работе сделан вывод о перспективах паштетов, обогащённых растительными белками, на рынке и их вкладе в достижение целей устойчивого развития. Указанные технологии не только повышают экологическую безопасность, но и способствуют эффективному развитию пищевой промышленности в будущем. Продукты, обогащённые растительными белками, обеспечивают рост пищевой ценности и одновременно повышают экономическую эффективность производства. Функциональные свойства таких изделий оказывают положительное влияние на здоровье потребителей и повышают конкурентоспособность на рынке.

Ключевые слова: *растительные белки, мясной паштет, пищевая ценность, технология, эффективность, качество продукции.*

G.B. Token*, A.M. Taeva, Zh.Zh. Smailova, Z.T. Sarsenbaeva
Almaty technological university,
050012, Republic of Kazakhstan, Almaty, Tole Bi St. 100
*e-mail: bakytzhankyzy00@bk.ru

IMPROVEMENT OF MEAT PATE PRODUCTS THROUGH THE USE OF PLANT PROTEINS

This article discusses the importance of the application of plant proteins in meat products, with a particular focus on meat pâté production. The nutritional value of plant proteins and their role in the composition of meat products are analyzed. The organoleptic characteristics of pâtés enriched with plant proteins, including taste and texture, as well as aspects related to their shelf life, are examined. The article identifies the opportunities for enhancing the nutritional value of pâtés through the incorporation of plant proteins and describes the technological stages of the production process. The effects of different types of plant proteins on the quality of pâté products are considered, and current scientific research in this field is systematized. Methods aimed at ensuring ecological safety and improving the beneficial properties of products are proposed. Furthermore, conclusions are drawn regarding the market prospects of plant-protein-enriched pâtés and their contribution to the Sustainable Development Goals. These technologies not only increase environmental safety but also promote the efficient development of the food industry in the future. Pâtés enriched with plant proteins enhance the nutritional value of products while simultaneously improving the economic efficiency of production. The functional properties of such products exert a positive effect on consumer health and reinforce their competitiveness in the market.

Key words: *plant proteins, meat pate, nutritional value, technology, efficiency, product quality.*

Авторлар туралы мәліметтер

Ғалия Бақытжанқызы Төкен* – «Азық-түлік өнімдерінің технологиясы» кафедрасының докторанты, «Алматы технологиялық университеті» АҚ, Алматы қ., Казақстан; e-mail: bakytzhankyzy00@bk.ru. ORCID: https://orcid.org/0009-0005-3831-8975.

Айгуль Маратовна Таева – доцент, «Азық-түлік өнімдерінің технологиясы» кафедрасының меңгерушісі, «Алматы технологиялық университеті» АҚ, Алматы қ., Казақстан; e-mail: a.taeva@atu.kz. ORCID: https://orcid.org/0000-0002-4766-9364.

Жулдыз Жолдасовна Смаилова – «Дизайн және технологиялар» ББББ жетекшісі, т.ғ.к.,қауымдастырылған профессор (доцент), Қорқыт Ата атындағы Қызылорда университеті, Қызылорда қ.,Қазақстан; e-mail:smile_89@list.ru. ORCID: https://orcid.org/0000-0001-7271-0034.

Зухра Талғатқызы Сәрсенбаева – «Дизайн және технологиялар» ББББ оқытушысы,т.ғ.м., Қорқыт Ата атындағы Қызылорда университеті, Қызылорда қ., Қазақстан; e-mail: zukhra.sarsenbaeva2000@gmail.com. ORCID: https://orcid.org/0009-0001-5276-6281.

Сведения об авторах

Ғалия Бақытжанқызы Төкен* – докторант кафедры «Технология пищевых продуктов», АО «Алматинский технологический университет», г. Алматы, Казахстан; e-mail: bakytzhankyzy00@bk.ru. ORCID: https://orcid.org/0009-0005-3831-8975.

Айгуль Маратовна Таева – доцент, заведующая кафедрой «Технология пищевых продуктов», АО «Алматинский технологический университет», г. Алматы, Казахстан; e-mail: a.taeva@atu.kz. ORCID: https://orcid.org/0000-0002-4766-9364.

Жулдыз Жолдасовна Смаилова – заведующий ОП «Дизайн и технологии», кандидат технических наук, ассоциированный профессор (доцент), Кызылординский университет имени Коркыт Ата, г. Кызылорда, Казахстан; e-mail: smile_89@list.ru. ORCID: https://orcid.org/0000-0001-7271-0034.

Зухра Талгатовна Сарсенбаева – преподаватель ОП «Дизайн и технологии», магистр технических наук, Кызылординский университет имени Коркыт Ата, г. Кызылорда, Казахстан; e-mail: zukhra.sarsenbaeva2000@gmail.com. ORCID: https://orcid.org/0009-0001-5276-6281.

Information about the authors

Galiya Bakytzhankyzy Token* – PhD student, department of food products technology, JSC «Almaty technological university», Almaty, Kazakhstan; e-mail: bakytzhankyzy00@bk.ru. ORCID: https://orcid.org/0009-0005-3831-8975.

Aigul Maratovna Taeva – Associate professor, head of the department of food products Technology, JSC «Almaty technological university», Almaty, Kazakhstan; e-mail: a.taeva@atu.kz. ORCID: https://orcid.org/0000-0002-4766-9364.

Zhuldyz Zholdasovna Smailova – Head of the EP «Design and Technologies», Candidate of Technical Sciences, Associate Professor (Docent), Korkyt Ata Kyzylorda University, Kyzylorda, Kazakhstan; e-mail: smile_89@list.ru. ORCID: https://orcid.org/0000-0001-7271-0034.

Zukhra Talgatkyzy Sarsenbayeva – Lecturer of the EP «Design and Technologies», Master of Technical Sciences, Korkyt Ata Kyzylorda University, Kyzylorda, Kazakhstan; e-mail: zukhra.sarsenbaeva2000@gmail.com. ORCID: https://orcid.org/0009-0001-5276-6281.

Редакцияға енуі 02.06.2025
Өңдеуден кейін түсуі 19.09.2025
Жариялауға қабылданды 24.09.2025

https://doi.org/10.53360/2788-7995-2025-4(20)-50

ҒТАХР: 65.55.35; 62.13.45

CC BY 4.0
Check for updates

Б.С. Шайменова[1*], С.А. Садуахасова[1], С.Г. Каманова[1], Lü Xin[2], Г.Х. Оспанкулова[1]
[1]С. Сейфуллин атындағы Қазақ агротехникалық зерттеу университеті,
010000, Қазақстан Республикасы, Астана қаласы, Жеңіс даңғылы, 62
[2]Қытайдың Солтүстік-Батыс ауыл және орман шаруашылығы университетіні,
712100, Қытай, No 3, Тайчэн-роуд, Янлин, Шэньси
*e-mail: bshaymenova@mail.ru

ASPERGILLUS NIGER R5/4 ШТАММЫ НЕГІЗІНДЕ ЛИМОН ҚЫШҚЫЛЫНЫҢ ШЫҒЫМЫН АРТТЫРУ ҮШІН ОЗОНДАУ РЕЖИМДЕРІН ҚОЛДАНУ

Аңдатпа: *Бұл мақалада Aspergillus niger R5/4 мутанты штамын пайдалану арқылы алынған ферменттеу ерітіндісінен лимон қышқылын бөліп алудың тиімділігін арттыруға бағытталған кешенді зерттеулердің нәтижелері ұсынылған. Негізгі назар жабдықтарды стерилдеу кезеңінде қолданылатын әртүрлі озондау режимдерінің микробиологиялық тазалыққа және ферментация үдерісінің тұрақтылығына әсерін бағалауға аударылды. Технологиялық үдерістің негізгі сатылары: бейтараптандыру, түссіздендіру, буландыру және кристалдандыру бойынша оңтайландыру жүргізілді. Озонды 200 ppm концентрацияда, 10 г/мин беру жылдамдығында және 1 ppm қалдық мөлшерінде қолдану лимон қышқылының ең жоғары шығымын қамтамасыз ететіні, ал озонсыз*

стерилдеу жағдайында тиімділіктің төмендейтіні анықталды. Кейінгі өңдеу сатыларының оңтайлы параметрлері белгіленді: 75 г/л концентрацияда және 50°C температурада кальций карбонатымен ($CaCO_3$) бейтараптандыру, сондай-ақ 20°C температурада 1,5 сағат араластыру арқылы түссіздендіру. Аталған факторлардың жиынтығы лимон қышқылының 91,6% деңгейінде шығымға қол жеткізуге мүмкіндік берді. Алынған нәтижелер озондау мен кейінгі өңдеу сатыларының үйлесімділігін ғылыми негізде көрсетіп, өнеркәсіптік деңгейде лимон қышқылы өндірісін жетілдіру үшін практикалық база қалыптастырады. Бұл өз кезегінде биотехнологиялық өндірістің тұрақтылығы мен экономикалық тиімділігін арттыруға бағытталған жаңа шешімдерді әзірлеуге жол ашады.

Түйін сөздер: *лимон қышқылы, Aspergillus niger R5/4, озондау, бейтараптандыру, сүзу, кристалдандыру.*

Кіріспе

Лимон қышқылы – тағам, фармацевтика және химия өнеркәсібінде кеңінен қолданылатын құнды органикалық қосылыс. Оны алудың ең тиімді әдістерінің бірі – Aspergillus туысына жататын зең саңырауқұлақтарының қатысуымен жүретін микробиологиялық синтез. Өндірістің тиімділігін арттыру және экологиялық қауіпсіздігін қамтамасыз ету қажеттілігіне байланысты технологиялық жабдықтарды стерилдеудің заманауи тәсілдері ерекше қызығушылық тудырады. Солардың ішінде озондау әдісінің маңызы зор. Озондау – жоғары антимикробтық белсенділігіне байланысты химиялық өңдеуден бас тартуға мүмкіндік беретін болашағы зор әдіс. Мұндай тәсіл биологиялық қауіпсіздікті арттырып, контаминация қаупін төмендетеді [1].

Озон (O_3) – өзіне тән өткір иісі бар, үш атомды газ, оттектің аллотропы. −112°C температурада ол жарылысқа қауіпті қасиеттерге ие қою көк түсті сұйықтыққа конденсацияланады. Әдеттегі концентрацияларда озон дерлік байқалмайды, алайда бөлме температурасында газ тәрізді күйінде әлсіз көгілдір реңкке ие болады [2]. Озон атмосфералық оттекке қарағанда әлдеқайда тұрақсыз және ауада да, суда да тез арада оттекке дейін ыдырайды, сонымен бірге улы қалдықтар қалдырмайды [3]. Оның жоғары тотығу қабілеті (2,07 В) және жылдам ыдырауы озонды кең спектрлі микроорганизмдерге қарсы тиімді құрал етеді. Бұл қасиеттер озонды үй-жайларды, беттерді, жабдықтарды, азық-түлікті және суды дезактивациялау үшін кеңінен қолданылуын түсіндіреді [4].

Ферментацияланған орталардан лимон қышқылын бөліп алу процесі дәстүрлі де, заманауи да әдістерді қамтиды. Кеңінен қолданылатын тәсілдердің бірі – кальций карбонатын пайдаланып, лимон қышқылын кальций тұзы түрінде тұндыру және кейін оны күкірт қышқылымен өңдеу. Мұндай әдістердің тиімділігі 90–95%-ға дейін жетуі мүмкін [5].

Молдова Ғылым академиясының Қолданбалы физика ғылыми-зерттеу институтында тамақ өнеркәсібінің технологиялық жабдықтарының ішкі беттерін стерильдеуде озонды пайдалану мәселелері бойынша зерттеулер жүргізілді. Нәтижесінде озондау процесінің әдістері, бақылау құралдары және технологиялық сұлбалары әзірленіп, сонымен қатар сүт және сыра қайнату өнеркәсібінің жағдайларына бейімделген оңтайлы дезинфекциялау режимдері анықталды. Зерттеу авторларының көрсетуінше, озонмен өңдеу салыстырмалы түрде төмен дозаларды қажет етеді, технологиялық қарапайымдылығымен ерекшеленеді және жоғары экономикалық тиімділікке ие [6].

Классикалық тұндыру әдісі ферментациялық ортадағы ЛҚ-ны кальций, калий немесе натрий цитраттары түрінде тұндыру үшін әк қолдануға және жоғары температурада (85-90°C) жүргізуге негізделген. Алынған ерімейтін цитрат сұйық фазадан фильтрация арқылы бөлініп алынады, содан кейін қанттар мен басқа да қоректік ортаның компоненттері сияқты қоспаларды жою үшін бірнеше рет жуылады. Алынған су суспензиясы әрі қарай күкірт қышқылымен өңделеді. Нәтижесінде лимон қышқылы кальций сульфатынан қайталама фильтрация кезеңінде бөлініп алынады [7-9]. Жоғары тазалықтағы өнім алу үшін қосымша сатылар қажет, мысалы, белсендірілген көмірді қолдана отырып адсорбция, буландыру, кристалдандыру және кептіру [10, 11].

Karklin және авторлар (1984) ерітіндінің pH мәнін 6,1-7,5 аралығында реттеу әдісін ұсынған, содан кейін белсендірілген көмір мен кизельгурды қолданып түссіздендіру жүргізілген. Тұндырғыш реагенттер ретінде $CaCl_2$, кальций ацетаты немесе кальций гидроксиді пайдаланылған. Алынған кальций цитратының тұнбасы вакуумда сүзілген, ыстық

сумен жуылған және 90–105 °С температурада кептірілген. Бұл жағдайда оңтайлы шарттар pH 7-7,2 және температура 80 °С болып табылған [12].

Heding және Gupta (1975) лимон қышқылын (ЛҚ) әртүрлі температураларда кальций карбонатымен pH 5 жағдайында тұндыруды жүргізген. Авторлар жоғары температураларда (80 °С және 100 °С) ЛҚ-ны іс жүзінде толық тұндыруға болатындығын және реакцияның лезде жүретіндігін анықтаған. Алайда түзілген тұнба сүзуге қиын болған және кептірілгеннен кейін түйіршікті масса түрінде қалыптасып, кейінгі қайта өңдеу сатыларын қиындатқан. 50 °С төмен температураларда реакция уақыты айтарлықтай ұзарған және ЛҚ тұндыру дәрежесі төмендеген. Ал 50 °С температурада реакция уақыты шамамен 20 минутты құрап, іс жүзінде барлық ЛҚ бөлінген және алынған өнім келесі тазарту сатылары үшін қолайлы сипаттамаларға ие болған. Тұндыру процесінде температураны бақылау ерекше маңызды, себебі ол цитраттың қасиеттерін айқындайды. Ең тиімдісі – күкірт қышқылымен реакцияға қолжетімді үлкен меншікті беткей ауданы бар ұсақ дисперсті бөлшектердің түзілуі, бұл оның тиімділігін арттырады [13].

Осындай тәсілдер лимон қышқылын бөлудің тиімділігін арттыру мақсатында белсенді түрде дамытылып, жетілдірілуде. Осы зерттеуде технологиялық үдерістің негізгі сатыларын – стерильдеуді, ферментацияны, бейтараптандыруды, түссіздендіруді және лимон қышқылын кристалдандыруды – кешенді түрде оңтайландыру қарастырылады.

Материалдар мен әдістер

Озондау. Озондауды [1] әдістемесіне сәйкес жүргізілді. Жабдықтарды стерильдеу үшін үш түрлі озондау режимі қарастырылды, ал бақылау ретінде озон қолданылмаған режим пайдаланылды. Озон концентрациясы озонометр арқылы бақыланды. Озондалған су майда дисперсті спрей түрінде берілді. Стерильдеуден және салқындатудан кейін ферментер мицелиймен себілді.

Ферментация. Ферментация 1,6 л қоректік ортасы бар 3 литрлік ферментерде жүргізілді. Себу үшін химиялық және радиациялық мутагенез нәтижесінде алынған Aspergillus niger R5/4 мутантты штаммы қолданылды [14]. Ферментация 30 °С температурада жүргізіліп, араластыру жылдамдығы кезең бойынша өзгертілді: бірінші тәулікте – 120 айн/мин, екінші тәулікте – 150-200, үшінші-төртінші тәуліктерде – 250-300, бесінші-жетінші тәуліктерде – 300-350 айн/мин. Ферментация аяқталғаннан кейін биомасса Бюхнер шұңқыры арқылы алынып тасталды, ал ферментацияланған ерітіндіде лимон қышқылының концентрациясы анықталды.

Ферментациялық ортадағы лимон қышқылының концентрациясы титриметриялық әдіс [15] бойынша 0,1 N NaOH ерітіндісін және фенолфталеин индикаторын қолданып бағаланды және пайызбен келесі формула арқылы есептелді:

$$\text{ЛҚ } \% = \frac{N * \text{V } NaOH * 0{,}064}{\text{талданған үлгінің массасы} * 100} \qquad (1)$$

мұнда, V – NaOH ерітіндісінің жұмсалған көлемі, мл, N — NaOH ерітіндісінің нормалдылығы; 0,064 – лимон қышқылының эквиваленттік массасы, г/ммоль; m – талданған үлгінің массасы, г.

Бейтараптандыру. Бұдан әрі ерітінді 55–70 °С температураға дейін алдын ала қыздырылып, қарқынды араластырғаннан кейін кальций карбонатымен бейтараптандырылды. Түзілген кальций цитраты мен кальций оксалаты ыстық сумен жуылды. Күкірт қышқылымен бірге қосымша белсендірілген көмірдің суспензиясы енгізілді. Лимон қышқылы мен гипс шламын қамтитын алынған суспензия су арқылы жуылып, тұнба бөлініп алынды. Нәтижесінде буландыруға жіберілген лимон қышқылының ерітіндісі алынды [13].

Сүзу. Зең биомассасын бөлгеннен кейін ферменттелген ерітінді мицелийдің қалдықтарын толық жою мақсатында диаметрі 0,65 мкм, 0,45 мкм және 0,15 мкм сүзгі мембраналары арқылы кезең-кезеңімен өткізілді. Бұдан әрі лимон қышқылының ерітіндісі алдын ала түссіздендірілді, ол үшін әр 10 г лимон қышқылына 0,05 г белсендірілген көмір қосылып суспензия дайындалды. Әртүрлі температуралық режимдер (18°С, 20°С, 22°С, 24°С) және араластыру ұзақтығы (1 сағ., 1,5 сағ., 2 сағ.) қолданылды. Дайын суспензия сүзгіден өткізіліп, алынған түссіздендірілген лимон қышқылының ерітіндісі 1260–1280 кг/м³ тығыздыққа дейін буландыру арқылы концентрленді. Буландыру процесі қысымы 0,082 МПа-дан төмен емес жағдайда жүргізілді [8].

Кристалдандыру. Алынған ерітінді +8°С температураға дейін салқындатылып, осы температурада 1,5 сағат бойы араластырылды. Нәтижесінде түзілген лимон қышқылының кристалл суспензиясы +8°С температурада центрифугаланды [11].

Кептіру. Кристалдар сұйықтықтан сүзу арқылы бөлініп, 30°С температурадағы сумен жуылды және бір мезгілде сұйықтық сорылып алынды. Бұдан кейін кристалдар +50°С температурада 1,5 сағат бойы кептірілді. аналық ерітінді 69%-ға дейін қоюландырылып, кристалдандыру нәтижесінде бірінші сортты лимон қышқылы алынды. Жоғары сортты өнім алу үшін аналық ерітінділер белсендірілген көмірмен өңделді. Лимон қышқылының кристалдары 35°С температурада барабанды кептіргіште кептірілді [11].

Зерттеу нәтижелерінің статистикалық өңдеуі «IBM SPSS Statistics 27» бағдарламалық қамтамасыздандыруын пайдалану арқылы жүргізілді

Нәтижелер және талқылау

Зерттеу барысында лимон қышқылының шығымына әсер ететін технологиялық үдерістің негізгі параметрлері талданды. Төменде жүргізілген тәжірибелердің нәтижелері және олардың талқылауы келтірілген.

Зерттеудің бастапқы кезеңінде ерекше назар озондау режимдерін бағалауға аударылды, өйткені бұл параметр үдерістің стерильділігіне және соңғы өнімнің шығымына шешуші ықпал етеді. Алынған нәтижелер таңдап алынған озондау режимінің үдеріс тиімділігіне айтарлықтай әсер ететінін растады. Нәтижелер 1-кестеде көрсетілген.

1-кесте – Озондау режимдерінің лимон қышқылының шығымына әсері, %

Режим	Озон концентрациясы, ppm	Беру жылдамдығы, г/мин	Қалдық озон, ppm	ЛҚ шығымы, %
Озонсыз	-	-	-	70,4 ±1,4
1	100	5	0,5	72,1 ± 1,3
2	200	10	1,0	74,8 ± 1,1
3	300	15	1,5	72,9 ± 1,7

Ең жоғары үдеріс тиімділігі озон концентрациясы 200 ppm, беру жылдамдығы 10 г/мин және қалдық озон мөлшері 1 ppm болған жағдайда (2-режим) байқалды. Бұл кезде лимон қышқылының шығымы 74,8 ± 1,1 % құрады. Мұндай нәтиже көрсетілген параметрлердің жабдықты жеткілікті деңгейде стерильдеуді және микробтық контаминацияны төмендетуді қамтамасыз етуімен, сондай-ақ *Aspergillus niger* мицелийіне айқын теріс әсер етпеуімен түсіндіріледі. Озонның төмен концентрациясында (1-режим) стерильдеу жеткіліксіз болды, бұл микробтық фонға және ферментация тиімділігіне әсер етті. Ал доза артқан кезде (3-режим) шығымның шамалы төмендеуі байқалды, бұл құбылыс озонның мицелийге стресс тудыратын әсерімен байланысты болуы мүмкін.

Технологиялық үдерістің келесі сатыларында (бейтараптандыру, сүзу, түссіздендіру, буландыру, кристалдандыру) параметрлер бірдей жағдайда жүргізілді. Сондықтан әрі қарайғы назар кальций карбонатының концентрациясы мен бейтараптандыру температурасының лимон қышқылының шығымына әсерін зерттеуге аударылды (2-кесте).

2-кесте – Кальций карбонаты концентрациясының және бейтараптандыру температурасының ферментациялық ерітіндіден лимон қышқылының шығымына әсері, %

$CaCO_3$ концентрациясы, г/л	Температура, °С			
	40°С	50°С	60°С	70°С
60	76,9 ± 1,29	78,2 ± 0,81	75,6 ± 1,51	73,1 ± 0,9
65	77,5 ± 0,70	82,4 ± 1,02	79,6 ± 3,07	75,9 ± 2,03
70	84,0 ± 0,01	85,3 ± 2,07	83,2 ± 1,0	78,7 ± 2,55
75	81,5 ± 3,07	93,8 ± 1,62	85,3 ± 0,08	88,4 ± 1,50
80	84,4±1,15	88,14±1,47	82,1± 0,15	84,8± 1,4

Алынған деректер бейтараптандыру шарттарының айқын оптимумы бар екенін көрсетеді: $CaCO_3$ концентрациясы 75 г/л және температурасы 50°С. Бұл мәннен жоғары температураға (60-70°С дейін) немесе $CaCO_3$ концентрациясының 75 г/л-ден артуына қарамастан, лимон қышқылының шығымы ұлғаймайды, керісінше төмендейді. Мұның себебі кальций цитратының тығызырақ тұнбаларының түзілуімен түсіндірілуі мүмкін, олар еріген

лимон қышқылының бір бөлігін сорбциялап, оның экстракциясын қиындатады. $CaCO_3$ концентрациясы 80 г/л болғанда барлық температуралық режимдерде шығым 75 г/л-ге қарағанда төмен болып шықты. Бұл реагенттің артық мөлшері бар екенін және оптимумнан кейін тиімділіктің төмендейтінін дәлелдейді. Сонымен қатар, тым жоғары температурада органикалық қосылыстардың бір бөлігінің жедел ыдырауы мүмкін, ал төмен температурада (40°C) бейтараптандыру толық жүрмейді. Ұқсас тәуелділіктерді Heding пен Gupta (1975) [13] өз зерттеулерінде де байқаған.

Зерттеулерде лимон қышқылын бөлу, сүзу арқылы жүзеге асырылды. 3-кестеде температуралық режимдер мен қоспаны араластыру уақытының лимон қышқылының шығымына әсері % түрінде көрсетілген.

3-кесте – Түссіздендіру сатысында температуралық режимдер мен қоспаны араластыру уақытының лимон қышқылының шығымына әсері, %

Температура, °C	Араластыру уақыты, сағ.		
	1 сағ.	1.5 сағ.	2 сағ.
18°C	84,6 ± 0,98	88,1 ± 2,01	83,1 ± 0,08
20°C	86,5 ± 0,08	91,6 ± 2,07	87,2 ± 0,71
22°C	80,7 ± 2,09	86,1 ± 0,69	81,3 ± 2,90
24°C	78,5 ± 2,01	77,6 ± 3,08	75,9 ± 0,03

Алынған деректерді талдау нәтижесінде 20 °C температура мен 1,5 сағат араластыру уақыты түссіздендіру сатысында лимон қышқылының ең жоғары шығымын қамтамасыз ететіні анықталды. Бұл, болжам бойынша, дәл осы температурада белсендірілген көмірдің адсорбциялық белсенділігі оңтайлы деңгейге жетіп, қоспалардың неғұрлым толық жойылуына ықпал етіп, сонымен бірге лимон қышқылының ерігіштігін төмендетпейтіндігімен түсіндіріледі. Температураның 22-24°C дейін көтерілуі түссіздендіру тиімділігінің төмендеуіне әкелді, бұл құбылыс көмірдің сорбциялық қабілетінің молекулалардың кинетикалық энергиясы артқан жағдайда әлсіреуімен, сондай-ақ қатты және сұйық фазалар арасындағы тепе-теңдіктің бұзылуымен байланысты болуы мүмкін. Ал төмен температурада (18°C) сорбцияның тиімділігі де төмен болды, бұл массаның тасымалдануы мен диффузиялық үдерістердің баяулауымен түсіндіріледі [16, 17].

Қорытынды

Ұсынылған деректер негізінде мынадай қорытынды жасауға болады:

1. Озондау ферментерлерді стерильдеу үшін қолданылып, үдерістің ерекшелігі болып табылады. Озон микроорганизмдерді тиімді жояды және жабдықты ферментацияға дайындайды. Сонымен қатар, озондау химиялық стерильдеу құралдарына деген қажеттілікті азайтып, үдерістің экологиялық қауіпсіздігін арттырады.

2. Лимон қышқылының ең жоғары шығымы 75 г/л кальций карбонатын 50 °C температурада қолданғанда байқалды. Бұл реагент концентрациясын және температураны оңтайландырудың өнімді барынша тиімді алудағы маңыздылығын көрсетеді.

3. Тесіктерінің диаметрі біртіндеп азаятын мембраналар арқылы (0,65 мкм, 0,45 мкм және 0,15 мкм) дәйекті сүзу ферменттелген ерітіндіден зең мицелийінің қалдықтарын тиімді жояды.

4. Лимон қышқылы ерітіндісін белсендірілген көмірмен өңдеу ерітіндіні түссіздендіруге ықпал етеді. Ең тиімді нәтиже 20°C температурада және 1,5 сағат араластыру кезінде байқалды.

5. Ерітіндіні 1260–1280 кг/м³ тығыздыққа дейін буландырып, кейін +8°C температурада салқындатып және араластырғанда лимон қышқылының тығыз әрі біртекті кристалдары түзіледі.

Әдебиеттер тізімі

1. Озонирование производственных помещений, инкубационных и пищевых яиц / Е.В. Корса-Вавилова и др. // Птицеводство. – 2011. – № 12. – С. 39-41.

2. Guzel-Seydim Z.B. Use of ozone in the food industry / Z.B. Guzel-Seydim, A.K. Greene, A.C. Seydim // LWT-Food Science and technology. – 2004. – Vol. 37(4). – P. 453-460. https://doi.org/10.1016/j.lwt.2003.10.014.

3. Ozonation treatment processes for the remediation of detergent wastewater: A comprehensive review / C.G. Joseph et al // Journal of Environmental Chemical Engineering. – 2021. – Vol. 9(5). – P. 106099. https://doi.org/10.1016/j.jece.2021.106099.

4. Kim J.G. Application of ozone for enhancing the microbiological safety and quality of foods: a review / J.G. Kim, A.E. Yousef, S. Dave // Journal of food protection. – 1999. – Vol. 62(9). – P. 1071-1087. https://doi.org/10.4315/0362-028X-62.9.1071.
5. Pazouki M. Recovery of citric acid–a review / M. Pazouki, T. Panda // Bioprocess engineering. – 1998. – Vol. 19(6). – P. 435-439. https://doi.org/10.1007/PL00009029.
6. Анненков А.В. Ветеринарно-санитарная оценка и дезинфекция объектов колбасных заводов и лабораторий ветеринарно-санитарной экспертизы при продовольственных рынках: дис. канд. вет. наук: 16.00.06 / А.В. Анненков. – Москва, 2008. – 155 с.
7. Sun X. Recovery of citric acid from fermented liquid by bipolar membrane electrodialysis / X. Sun, H. Lu, J. Wang // Journal of Cleaner Production. – 2017. – Vol. 143. – P. 250-256. https://doi.org/10.1016/j.jclepro.2016.12.118.
8. Widiasa I.N. Performance of a novel electrodeionization technique during citric acid recovery / I.N. Widiasa, P.D. Sutrisna, I.G. Wenten // Separation and purification technology. – 2004. – Vol. 39(1-2). – P. 89-97. https://doi.org/10.1016/j.seppur.2003.12.020.
9. López-Garzón C.S. Recovery of carboxylic acids produced by fermentation / C.S. López-Garzón, A.J.J. Straathof // Biotechnology advances. – 2014. – Vol. 32(5). – P. 873-904. https://doi.org/10.1016/j.biotechadv.2014.04.002.
10. Recovery processes of organic acids from fermentation broths in the biomass-based industry / Q.Z. Li et al // J. Microbiol. Biotechnol. – 2016. – Vol. 26(1). – P. 1-8. https://doi.org/10.4014/jmb.1505.05049.
11. Biotechnological production of citric acid / B. Max et al // Brazilian journal of Microbiology. – 2010. – Vol. 41. – P. 862-875. https://doi.org/10.1590/S1517-83822010000400005.
12. Karklin R. Factors affecting the isolation of Ca-citrate from fermentation solution of n-alkanes / R. Karklin, L. Ramina, R. Raso // Biosint Oksikilot Ketokislot Mikroorg. – 1984. – Vol. 1. – P. 43-51. https://scholar.google.ru/scholar?hl=ru&as_sdt=0%2C5&q=.+Karklin+R.%2C+Ramina+L.%2C+Raso+R.+Factors+affecting+the+isolation+of+Ca-citrate+from+fermentation+solution+of+n-alkanes+%2F%2FBiosint+Oksikilot+Ketokislot+Mikroorg.+%E2%80%93+1984.+%E2%80%93+Vol.+1.+%E2%80%93+P.+43-51&btnG= (қол жеткізілген күні: 28.08.2025).
13. Heding L.G. Improvement of conditions for precipitation of citric acid from fermentation mash / L.G. Heding, J.K. Gupta // Biotechnology and Bioengineering. – 1975. – Vol. 17(9). – P. 1363-1364. https://doi.org/10.1002/bit.260170910.
14. Improving the citric acid production by mutant strains Aspergillus niger using carbohydrate-containing raw materials as a carbon source / B. Shaimenova et al // Slovak Journal of Food Sciences/Potravinarstvo. – 2024. – Vol. 18. – P.157. https://doi.org/10.5219/1948.
15. Priede M. Effect of pulsing mixing interruptions on the Aspergillus niger morphology and citric acid production / M. Priede, U. Viesturs // Chemical and biochemical engineering quarterly. – 2005. – Vol. 19(4). – P. 359-366. https://hrcak.srce.hr/3632 (қол жеткізілген күні: 28.08.2025).
16. Babel S. Low-cost adsorbents for heavy metals uptake from contaminated water: a review / S. Babel, T.A. Kurniawan // Journal of hazardous materials. – 2003. – Vol. 97(1-3). – P. 219-243. https://doi.org/10.1016/S0304-3894(02)00263-7.
17. Foo K.Y. Insights into the modeling of adsorption isotherm systems / K.Y. Foo, B.H. Hameed // Chemical engineering journal. – 2010. – Vol. 156(1). – P. 2-10. https://doi.org/10.1016/j.cej.2009.09.013.

References

1. Ozonirovanie proizvodstvennykh pomeshchenii, inkubatsionnykh i pishchevykh yaits / E.V. Korsa-Vavilova i dr. // Ptitsevodstvo. – 2011. – № 12. – S. 39-41. (In Russian).
2. Guzel-Seydim Z.B. Use of ozone in the food industry / Z.B. Guzel-Seydim, A.K. Greene, A.C. Seydim // LWT-Food Science and technology. – 2004. – Vol. 37(4). – P. 453-460. https://doi.org/10.1016/j.lwt.2003.10.014. (In English).
3. Ozonation treatment processes for the remediation of detergent wastewater: A comprehensive review / C.G. Joseph et al // Journal of Environmental Chemical Engineering. – 2021. – Vol. 9(5). – P. 106099. https://doi.org/10.1016/j.jece.2021.106099. (In English).
4. Kim J.G. Application of ozone for enhancing the microbiological safety and quality of foods: a review / J.G. Kim, A.E. Yousef, S. Dave // Journal of food protection. – 1999. – Vol. 62(9). – P. 1071-1087. https://doi.org/10.4315/0362-028X-62.9.1071. (In English).

5. Pazouki M. Recovery of citric acid–a review / M. Pazouki, T. Panda // Bioprocess engineering. – 1998. – Vol. 19(6). – P. 435-439. https://doi.org/10.1007/PL00009029. (In English).
6. Annenkov A.V. Veterinarno-sanitarnaya otsenka i dezinfektsiya ob"ektov kolbasnykh zavodov i laboratorii veterinarno-sanitarnoi ehkspertizy pri prodovol'stvennykh rynkakh: dis. kand. vet. nauk: 16.00.06 / A.V. Annenkov. – Moskva, 2008. – 155 s. (In Russian).
7. Sun X. Recovery of citric acid from fermented liquid by bipolar membrane electrodialysis / X. Sun, H. Lu, J. Wang // Journal of Cleaner Production. – 2017. – Vol. 143. – P. 250-256. https://doi.org/10.1016/j.jclepro.2016.12.118. (In English).
8. Widiasa I.N. Performance of a novel electrodeionization technique during citric acid recovery / I.N. Widiasa, P.D. Sutrisna, I.G. Wenten // Separation and purification technology. – 2004. – Vol. 39(1-2). – P. 89-97. https://doi.org/10.1016/j.seppur.2003.12.020. (In English).
9. López-Garzón C.S. Recovery of carboxylic acids produced by fermentation / C.S. López-Garzón, A.J.J. Straathof // Biotechnology advances. – 2014. – Vol. 32(5). – P. 873-904. https://doi.org/10.1016/j.biotechadv.2014.04.002. (In English).
10. Recovery processes of organic acids from fermentation broths in the biomass-based industry / Q.Z. Li et al // J. Microbiol. Biotechnol. – 2016. – Vol. 26(1). – P. 1-8. https://doi.org/10.4014/jmb.1505.05049. (In English).
11. Biotechnological production of citric acid / B. Max et al // Brazilian journal of Microbiology. – 2010. – Vol. 41. – P. 862-875. https://doi.org/10.1590/S1517-83822010000400005. (In English).
12. Karklin R. Factors affecting the isolation of Ca-citrate from fermentation solution of n-alkanes / R. Karklin, L. Ramina, R. Raso // Biosint Oksikilot Ketokislot Mikroorg. – 1984. – Vol. 1. – P. 43-51. https://scholar.google.ru/scholar?hl=ru&as_sdt=0%2C5&q=.+Karklin+R.%2C+Ramina+L.%2C+Raso+R.+Factors+affecting+the+isolation+of+Ca-citrate+from+fermentation+solution+of+n-alkanes+%2F%2FBiosint+Oksikilot+Ketokislot+Mikroorg.+%E2%80%93+1984.+%E2%80%93+Vol.+1.+%E2%80%93+P.+43-51&btnG= (қол zhetkizilgen kүni: 28.08.2025). (In English).
13. Heding L.G. Improvement of conditions for precipitation of citric acid from fermentation mash / L.G. Heding, J.K. Gupta // Biotechnology and Bioengineering. – 1975. – Vol. 17(9). – P. 1363-1364. https://doi.org/10.1002/bit.260170910. (In English).
14. Improving the citric acid production by mutant strains Aspergillus niger using carbohydrate-containing raw materials as a carbon source / B. Shaimenova et al // Slovak Journal of Food Sciences/Potravinarstvo. – 2024. – Vol. 18. – P.157. https://doi.org/10.5219/1948. (In English).
15. Priede M. Effect of pulsing mixing interruptions on the Aspergillus niger morphology and citric acid production / M. Priede, U. Viesturs // Chemical and biochemical engineering quarterly. – 2005. – Vol. 19(4). – P. 359-366. https://hrcak.srce.hr/3632 (қol zhetkizilgen kүni: 28.08.2025). (In English).
16. Babel S. Low-cost adsorbents for heavy metals uptake from contaminated water: a review / S. Babel, T.A. Kurniawan // Journal of hazardous materials. – 2003. – Vol. 97(1-3). – P. 219-243. https://doi.org/10.1016/S0304-3894(02)00263-7. (In English).
17. Foo K.Y. Insights into the modeling of adsorption isotherm systems / K.Y. Foo, B.H. Hameed // Chemical engineering journal. – 2010. – Vol. 156(1). – P. 2-10. https://doi.org/10.1016/j.cej.2009.09.013. (In English).

Қаржыландыру

Бұл зерттеу ҚР Ауыл шаруашылығы министрлігі тарапынан қаржыландырылды, BR06249419 «Агроөнеркәсіптік кешеннің қайта өңдеу кәсіпорындарының тиімділігі мен бәсекеге қабілеттілігін арттыру мақсатында ғылыми-технологиялық қамтамасыз ету» жобасы аясында.

Б.С. Шайменова*, С.А. Садуахасова[1], С.Г. Каманова[1], Lü Xin[2], Г.Х. Оспанкулова[1]
[1]Казахский агротехнический исследовательский университет имени С. Сейфуллина,
010000, Республика Казахстан, г. Астана, проспект Женис, 62
[2]Северо-Западный университет сельского и лесного хозяйства,
712100, Китай № 3, Тайчэн-роуд, Янлин, Шэньси
*e-mail: bshaymenova@mail.ru

ПРИМЕНЕНИЕ РАЗЛИЧНЫХ РЕЖИМОВ ОЗОНИРОВАНИЯ ДЛЯ ПОВЫШЕНИЯ ВЫХОДА ЛИМОННОЙ КИСЛОТЫ ПРИ ИСПОЛЬЗОВАНИИ ШТАММА *ASPERGILLUS NIGER R5/4*

В статье приведены результаты комплексных исследований, направленных на повышение эффективности выделения лимонной кислоты из ферментационного раствора, полученного с использованием штамма Aspergillus niger *R5/4. Основное внимание уделено оценке влияния различных режимов озонирования, применяемого на стадии стерилизации оборудования, на микробиологическую чистоту и стабильность процесса ферментации. Была проведена оптимизация основных стадий технологического процесса: нейтрализации, осветления, выпаривания и кристаллизации. Установлено, что применение озонирования с концентрацией 200 ppm при скорости подачи 10 г/мин и остаточном содержании 1 ppm обеспечивает максимальный выход лимонной кислоты, в то время как при стерилизации оборудования без озонирования эффективность снижается. Выявлены оптимальные параметры последующих стадий обработки: нейтрализация карбонатом кальция ($CaCO_3$) в концентрации 75 г/л при температуре 50 °C и осветление при 20 °C с перемешиванием в течение 1,5 ч. Совокупность указанных факторов позволила достичь выхода лимонной кислоты на уровне 91,6%. Полученные результаты научно обосновывают эффективность сочетания озонирования и последующих стадий обработки, формируя практическую основу для совершенствования производства лимонной кислоты на промышленном уровне. Это, в свою очередь, открывает путь к разработке новых решений, направленных на повышение устойчивости и экономической эффективности биотехнологического производства.*

Ключевые слова: *лимонная кислота, Aspergillus niger R5/4, озонирование, нейтрализация, фильтрация, кристаллизация.*

B. Shaimenova[1*], S. Saduakhasova[1], S. Kamanova[1], Lü Xin[2], G. Ospankulova[1]
[1]S. Seifullin Kazakh Agrotechnical Research University,
010000, Republic of Kazakhstan, Astana, Zhenis Avenue, 62
[2]Northwest A&F University,
712100, China, № 3 Taicheng Road, Yangling, Shaanxi
[*]e-mail: bshaymenova@mail.ru

APPLICATION OF OZONATION REGIMES TO INCREASE CITRIC ACID YIELD USING STRAIN *ASPERGILLUS NIGER R5/4*

The article presents the results of comprehensive studies aimed at improving the efficiency of citric acid recovery from a fermentation broth obtained using the Aspergillus niger R5/4 strain. Particular attention was paid to evaluating the impact of different ozonation regimes, applied at the equipment sterilization stage, on the microbiological purity and stability of the fermentation process. Optimization was carried out for the key stages of the technological process, including neutralization, clarification, evaporation, and crystallization. It was established that ozonation at a concentration of 200 ppm, with a feed rate of 10 g/min and a residual content of 1 ppm, ensured the maximum yield of citric acid, whereas sterilization without ozonation resulted in decreased efficiency. The optimal parameters of subsequent processing stages were identified: neutralization with calcium carbonate ($CaCO_3$) at a concentration of 75 g/L and 50 °C, as well as clarification at 20 °C with 1.5 h of stirring. The combination of these factors enabled achieving a citric acid yield of 91.6%. The obtained results scientifically substantiate the effectiveness of combining ozonation with subsequent processing stages, providing a practical basis for improving citric acid production at the industrial level. This, in turn, paves the way for the development of new solutions aimed at enhancing the stability and economic efficiency of biotechnological production.

Key words: *citric acid, Aspergillus niger R5/4, ozonation, neutralization, filtration, crystallization.*

Сведения об авторах

Бахыт Сайлауовна Шайменова* – докторант PhD, НАО «Казахский агротехнический исследовательский университет им. С.Сейфуллина», Республика Казахстан; e-mail: bshaymenova@mail.ru. ORCID: https://orcid.org/0000-0001-5472-036X.

Сауле Абдуахаповна Садуахасова – кандидат биологических наук, НАО «Казахский агротехнический исследовательский университет им. С. Сейфуллина», Республика Казахстан; e-mail: saule_aru@list.ru. ORCID: https://orcid.org/0000-0002-9483-5732.

Светлана Георгиевна Каманова – докторант PhD, НАО «Казахский агротехнический исследовательский университет им. С. Сейфуллина», Республика Казахстан; e-mail: kamanovasveta@mail.ru. ORCID: https://orcid.org/0000-0001-9534-2721.

Lü Xin – PhD, профессор факультета пищевой технологии и инженерии, Северозападный университет сельского и лесного хозяйства, Янлин, Шэньси, Китай; e-mail: xinlu@nwsuaf.edu.cn. ORCID: https://orcid.org/0000-0002-8624-0464.

Гульназым Хамитовна Оспанкулова – кандидат биологических наук, НАО «Казахский агротехнический исследовательский университет им. С. Сейфуллина», Республика Казахстан; e-mail: bulashevag@mail.ru. ORCID: https://orcid.org/0000-0002-6043-4658.

Авторлар туралы мәліметтер

Бахыт Сайлауовна Шайменова* – PhD-докторанты, С. Сейфуллин атындағы Қазақ агротехникалық зерттеу университеті, Астана, Қазақстан; e-mail: bshaymenova@mail.ru. ORCID: https://orcid.org/0000-0001-5472-036X.

Сауле Абдуахаповна Садуахасова – биология ғылымдарының кандидаты, С. Сейфуллин атындағы Қазақ агротехникалық зерттеу университеті, Астана, Қазақстан; e-mail: saule_aru@list.ru. ORCID: https://orcid.org/0000-0002-9483-5732.

Светлана Георгиевна Каманова – PhD-докторанты, С. Сейфуллин атындағы Қазақ агротехникалық зерттеу университеті, Астана, Қазақстан; e-mail: kamanovasveta@mail.ru. ORCID: https://orcid.org/0000-0001-9534-2721.

Lü Xin – Солтүстік-Батыс ауыл және орман шаруашылығы университетінің тамақ технологиясы және инженерия факультетінің профессоры, PhD, Янлин, Шэньси, Қытай.

Гульназым Хамитовна Оспанкулова – биология ғылымдарының кандидаты, С. Сейфуллин атындағы Қазақ агротехникалық зерттеу университеті, Астана, Қазақстан; e-mail: bulashevag@mail.ru. ORCID: https://orcid.org/0000-0002-6043-4658.

Author Information

Bakhyt Shaimenova* – PhD student, S. Seifullin Kazakh Agro Technical Research University, Astana, Kazakhstan; e-mail: bshaymenova@mail.ru. ORCID: https://orcid.org/0000-0001-5472-036X.

Saule Saduakhasova – Candidate of Biological Sciences, S. Seifullin Kazakh Agro Technical Research University, Astana, Kazakhstan; e-mail: saule_aru@list.ru. ORCID: https://orcid.org/0000-0002-9483-5732.

Svetlana Kamanova – PhD student, S. Seifullin Kazakh Agro Technical Research University, Astana, Kazakhstan; e-mail: kamanovasveta@mail.ru. ORCID: https://orcid.org/0000-0001-9534-2721.

Lü Xin – Professor, Ph.D, College of Food Science and Engineering Northwest A&F University, Yangling, Shaanxi, China.

Gulnazym Ospankulova – Candidate of Biological Sciences, S. Seifullin Kazakh Agro Technical Research University, Astana, Kazakhstan; e-mail: bulashevag@mail.ru. ORCID: https://orcid.org/0000-0002-6043-4658.

Редакцияға енуі 19.09.2025
Өңдеуден кейін түсуі 01.10.2025
Жариялауға қабылданды 02.10.2025

https://doi.org/10.53360/2788-7995-2025-4(20)-51

МРНТИ: 65.13.21

CC BY 4.0
Check for updates

Ш.С. Аманова*, Р.У. Уажанова, У.О. Тунгышбаева, Р.А. Изтелиева, С.Е. Ибраимова
Алматы технологиялық университеті
050012, Қазақстан Республикасы, Алматы қ., Төле би,100
*e-mail:amanova_sh@mail.ru

АЗЫҚ-ТҮЛІК ҚАУІПСІЗДІГІНІҢ ЖАҢА ТӘСІЛДЕРІ ЖӘНЕ ОЛАРДЫҢ САЛА ҮШІН МАҢЫЗДЫЛЫҒЫ (ШОЛУ)

Аңдатпа: *Бұл мақалада Қазақстан Республикасының тамақ заңнамасының негізгі факторлары қарастырылған. Сондай-ақ ел аумағындағы тамақ өнімдерінің қауіпсіздігі мен сапасын реттейтін тамақ өнімдерін сертификаттау мен стандарттаудың негізгі нормативтік-құқықтық актілері мен процестері қарастырылады. Өндірістік процестер мен қаптама, сондай-ақ оларға қойылатын талаптар сипатталады. Өндірістен бастап Азық-түлік өнімдерін сатуға дейінгі барлық кезеңдердегі бақылау тетіктеріне, сондай-ақ тұтынушылардың құқықтарын қорғау мәселелеріне ерекше назар аударылады.*

Сонымен қатар, ISO 22000 және HACCP жүйесі сияқты халықаралық стандарттарды сапа мен қауіпсіздік құралы ретінде енгізу ерекшеліктері талданады. Өндірушілер мен тұтынушылар арасындағы ағарту жұмыстарын қоса алғанда, тамақ өнеркәсібін бақылаудың тиімді жүйесін қалыптастырудағы мемлекеттік саясаттың рөлі атап өтіледі. Сондай-ақ, азық-түлікті бақылау мәселелері және заманауи цифрлық шешімдерді сапа мониторингіне біріктіру қажеттілігі қарастырылады.

Мақалада азық-түлік тізбегіндегі барлық қатысушылардың өзара әрекеттесуінің маңыздылығы және ведомствоаралық ынтымақтастық қажеттілігі атап өтіледі. Қорытындылай

келе, ішкі және сыртқы нарықтардағы отандық өнімнің бәсекеге қабілеттілігін арттыру үшін халықаралық талаптар мен тәжірибелерді ескере отырып, заңнамалық базаны үнемі жаңартып отыру қажеттілігі туралы қорытынды жасалады.

Сондай-ақ, азық-түлікті бақылау мәселелері және өндіріс пен сақтаудың барлық кезеңдерінде сапа мониторингі мен тәуекелдерді басқаруға заманауи цифрлық шешімдерді біріктіру қажеттілігі қарастырылады.

Мақалада азық-түлік тізбегінің барлық қатысушыларының өзара әрекеттесуінің маңыздылығы және ведомствоаралық ынтымақтастық, сондай-ақ тамақ қауіпсіздігі саласында білікті мамандар даярлау қажеттілігі атап өтіледі.

Қорытындылай келе, ішкі және сыртқы нарықтардағы отандық өнімнің бәсекеге қабілеттілігін арттыру үшін халықаралық талаптар мен тәжірибелерді ескере отырып, заңнамалық базаны үнемі жаңартып отыру қажеттілігі туралы қорытынды жасалады.

Түйін сөздер: *азық-түлік заңнамасы, азық-түлік қауіпсіздігі, Стандарттау, сертификаттау, тамақ өнімдері, сапаны бақылау, өндірістік процесстер, азық-түлік қауіпсіздігі менеджменті.*

Кіріспе

Азық-түлік қауіпсіздігі – ел аумағының денсаулығы мен әл-ауқатын қамтамасыз етуге ұмтылатын кез келген ел үшін басты міндет болып саналады. Жаһандану және азық-түлік саудасының ұлғаюы жағдайында азық-түлік қауіпсіздігі мәселелері өзекті болып отыр. Азық-түлік қауіпсіздігін қамтамасыз ету өндіріс пен өңдеудің әр кезеңінде бақылауды ғана емес, сонымен қатар тиісті заңнамалық және нормативтік базаны, тәуекелдерді тиімді басқаруды және тұтынушылардың хабардарлығын арттыруды қамтитын кешенді тәсілді қажет етеді.

Азық-түлік қауіпсіздігі – бұл азық-түлік адам денсаулығына қауіп төндірмейтін жағдай, сонымен қатар жаһандық деңгейден жергілікті деңгейге дейінгі барлық қауіпсіздік талаптарының орындалуын қамтамасыз етеді. Яғни, тағам құрамында улы заттардың болмауы, өнімнің микробиологиялық сапасы, қоректік заттардың сақталуы, сондай-ақ аллергиялық қауіптердің болмауы сияқты факторларды қамтиды.

Бұл саланың басты міндеті – азық-түлікке зиянды заттардың табиғи жолмен де, шикізаттан бастап дайын өнімге дейін өндіріс процесінің барлық кезеңдерінде енгізілуі мүмкін заттардың түсуіне жол бермеуі [1].

Тамақ қауіпсіздігі саласындағы заң шығару және нормативтік актілер

Азық-түлік қауіпсіздігін құқықтық қамтамасыз ету тиімді жүйенің маңызды құрамдас бөлігі болып табылады. Көптеген елдерде тамақ өнімдерінің сапасын реттейтін әртүрлі стандарттар әзірленді және енгізілді. Атап айтқанда, Қазақстанда тамақ өнімдерін өндіруді, қайта өңдеуді және өткізуді реттейтін бірқатар стандарттар мен нормативтік-құқықтық актілер бар. Ең маңызды құжаттардың бірі МеМСт (Мемлекеттік стандарт), сондай-ақ Кеден одағының техникалық регламенттері және ISO 22000 және Codex Alimentarius халықаралық стандарттары болып табылады.

МеМСт өнімнің сапасына, өндіріс жағдайына, орауға, таңбалауға және өнімді сақтауға қойылатын талаптарды реттейді. Ол шикізатты жеткізуден бастап тауарды нарыққа шығаруға дейінгі барлық кезеңдерде қауіпсіздік параметрлерін белгілейді. ISO және Codex Alimentarius халықаралық стандарттары әртүрлі елдердегі қауіпсіздік талаптарына сәйкестігін қамтамасыз ету арқылы халықаралық азық - түлік саудасын реттейді [2, 3].

Азық-түлік қауіпсіздігі саласындағы заңнама халықтың денсаулығын қорғауды қамтамасыз етуде және азық-түлік сапасын сақтауда шешуші рөл атқарады. Кеден одағы елдерінде, Қазақстанды қоса алғанда, тамақ өнімдерін өндірудің, өңдеудің, буып-түюдің (қаптама) және өткізудің барлық сатыларында оның қауіпсіздігін қамтамасыз ететін стандарттар мен нормативтік актілер кешені бар. Бұл актілер шикізатқа, технологиялық процестерге, сондай-ақ өнімді сақтау және тасымалдау шарттарына қойылатын талаптарды реттейді.

МеМСт ұлттық деңгейде өнім сапасын реттеудің негізгі құралы болып табылады. Олар физикалық-химиялық, микробиологиялық және токсикологиялық көрсеткіштерді қоса алғанда, өнімнің қауіпсіздігі мен сапасының нормаларын анықтайды. МеМСт ет, сүт, өсімдік және кондитерлік өнімдерді қоса алғанда, әртүрлі тағам түрлерін қамтиды. Стандарттар өнімнің белгіленген талаптарға сәйкестігін бақылауды қамтамасыз етеді және бүкіл ел бойынша сапаны бағалаудың бірыңғай жүйесін қамтамасыз етеді. Кеден одағының (КО ТР) техникалық

регламенттері халықаралық маңызға ие, өйткені олар одаққа қатысушы елдердің (Қазақстан, Ресей, Беларусь, Армения және Қырғызстан) аумағында бірыңғай қауіпсіздік ережелерін қамтамасыз етеді. Бұл ережелер талаптарды үйлестіруге және елдер арасындағы сауда операцияларын жеңілдетуге ықпал етеді, сондай-ақ Халықаралық сертификаттаудан өтетін және экспортталатын өнімдер үшін жоғары қауіпсіздік пен сапа стандарттарын қамтамасыз етеді [4, 5].

ISO 22000 және Codex Alimentarius сияқты халықаралық стандарттар тағамның сапасы мен қауіпсіздігін сақтауда маңызды рөл атқарады. ISO 22000-шикізат өндіруден бастап дайын өнімді тұтынушыға жеткізуге дейінгі азық-түлік тізбегінің барлық кезеңдерін қамтитын азық-түлік қауіпсіздігін басқару жүйесі. Бұл әр кезеңде қауіпсіздік принциптерін біріктіруге және ықтимал тәуекелдерді азайтуға мүмкіндік береді.

Дүниежүзілік денсаулық сақтау ұйымы (ДДҰ) және ФАО әзірлеген Codex Alimentarius әлемдік сауда шеңберінде Азық-түлік сапасы мен қауіпсіздігін қамтамасыз ету үшін халықаралық нұсқаулық ретінде қызмет етеді. Оның ұсыныстары мен стандарттары азық-түлік қауіпсіздігінің сәйкестігін қамтамасыз етеді және бүкіл әлем бойынша азық-түлік саудасы үшін үйлесімді жағдай жасауға мүмкіндік береді.

Осылайша, тамақ қауіпсіздігі саласындағы нормативтік-құқықтық реттеу Тамақ өнімдерінің сапасы мен қауіпсіздігін қамтамасыз ететін жүйенің маңызды құрамдас бөлігі болып табылады. Бұл шаралар тұтынушылардың денсаулығын қорғауға, ластану мен улы заттардың қаупін азайтуға, сондай-ақ халықаралық сауда мен халықтың өмір сүру сапасын жақсартуға жағдай жасауға бағытталған [6, 7].

Азық-түлік қауіпсіздігін қамтамасыз ету үшін өнімдердің сапасын бақылау әдістері

Азық-түлік қауіпсіздігін қамтамасыз ету үшін өнімдердің сапасын бақылаудың әртүрлі әдістері әзірленуде. Азық-түлік қауіпсіздігін қамтамасыз ету үшін сапаны бақылау әдістерін қолдану өте маңызды. Жаһандық азық-түлік жеткізу тізбегіндегі соңғы қауіпсіздік мәселелерін ескере отырып, азық-түлік қауіпсіздігін басқару үшін жылдам, дәл және күрделі тәсілдерді әзірлеу өте маңызды. Азық-түлік қауіпсіздігі мен сапасы әртүрлі аналитикалық әдістермен бағаланады, соның ішінде элементтік талдау, микробиологиялық талдау, хроматография, спектроскопия, масс-спектрометрия, физикалық қасиеттерді талдау және молекулалық биология процедуралары.

Ең көп таралғандардың бірі-адамда ауру тудыруы мүмкін бактерияларды, саңырауқұлақтарды және басқа микроорганизмдерді анықтауға бағытталған микробиологиялық бақылау.

Тағы бір маңызды әдіс-бұл өнімдерде пестицидтердің, улы химикаттардың, антибиотиктердің, ауыр металдардың қалдық мөлшерін анықтауға мүмкіндік беретін химиялық талдау, олар өндіріс процесінде тағамға енуі мүмкін.

Ылғалдылықты, майдың, ақуыздың, көмірсулардың және басқа компоненттердің құрамын анықтау сияқты физика-химиялық талдау әдістері шикізат пен дайын өнімнің сапасын анықтауға көмектеседі.

Азық-түлік қауіпсіздігінің тиімді әдістерінің бірі-шикізаттан бастап дайын өнімге дейінгі өндірістің барлық кезеңдерінде тәуекелдерді анықтауға және жоюға бағытталған HACCP (Hazard Analysis and Critical Control Points) жүйесі. Заманауи өндіріс шеңберінде Азық-түлік қауіпсіздігінің жоғары деңгейін қамтамасыз ету үшін бақылаудың әртүрлі әдістерін әзірлеу және енгізу маңызды аспект болып табылады. Олар өнім сапасының сәйкессіздігін анықтауға ғана емес, сонымен қатар тұтынушылардың денсаулығына ықтимал қауіптердің алдын алуға көмектеседі [8].

Бақылаудың ең көп қолданылатын әдістерінің бірі-патогендік микроорганизмдерге арналған өнімдерді зерттеуді қамтитын микробиологиялық талдау. Бұл бактериялар да, саңырауқұлақтар да, адамдарда улану мен жұқпалы ауруларды тудыруы мүмкін вирустар болуы мүмкін. Мұндай талдау қауіпті микроорганизмдер болуы мүмкін өнімдерді айналымнан шығару үшін қажет. Микробиологиялық зерттеулер сонымен қатар өнімдердің жарамдылық мерзімін және олардың сақталуын бақылауға мүмкіндік береді, өйткені көптеген микроорганизмдер өнімнің өмірлік циклінің белгілі бір кезеңдерінде дамиды.

Химиялық талдау бірдей маңызды әдіс болып табылады. Бұл азық-түлік өнімдерінде пестицидтер, антибиотиктер, химиялық заттар сияқты химиялық заттарды және оларды өсіру, өңдеу және орау процесінде өнімдерге енуі мүмкін ауыр металдарды анықтауға көмектеседі.

Бұл әсіресе химиялық тыңайтқыштар мен өсімдіктерді қорғау құралдарының көмегімен өсірілген өнімдерге қатысты. Дайын өнімдердегі осы заттардың құрамын түсіну тұтынушылардың қауіпсіздігін қамтамасыз етеді және химиялық ластаушы заттардан туындаған улану мен созылмалы аурулардың қаупін жояды.

Талдаудың физика-химиялық әдістері шикізат пен дайын өнімді бақылауда маңызды рөл атқарады. Олар ылғал, май, ақуыз, көмірсулар және басқа макронутриенттер сияқты маңызды параметрлерді анықтауға көмектеседі. Мұндай деректер өнімнің сапасы мен тамақтануын растау үшін, сондай-ақ тиісті стандарттарды сақтау үшін қажет. Мысалы, ет өнімдерін өндіруде майдың құрамын бақылау өнімнің көрсетілген калорияға сәйкестігін қамтамасыз етеді, ал ылғалдылық деңгейін тексеру өнімнің тез бұзылуын болдырмауға көмектеседі [8, 9].

Өнімнің қауіпсіздігі мен сапасын қамтамасыз етудің ең тиімді құралдарының бірі-HACCP жүйесі (Hazard Analysis and Critical Control Points). Бұл жүйе азық-түлік өндірісінің барлық кезеңдерінде-шикізаттан бастап дүкен сөресінде дайын өнімге дейінгі тәуекелдерді болдырмауға бағытталған тәжірибелер мен процедуралар жиынтығы. HACCP жүйесінің негізгі мақсаты-тұтынушылардың денсаулығына қауіп төндіретін маңызды нүктелерді анықтау және оларды бақылау үшін шаралар қабылдау. Мысалы, тағамды өңдеу және сақтау кезеңдеріндегі температураны бақылау сальмонелла немесе листерия сияқты қауіпті микроорганизмдердің дамуына жол бермейді.

Сонымен қатар, HACCP жүйесі реакция емес, алдын алу принциптеріне негізделген. Бұл ластанудың немесе сапаның сәйкессіздігінің әсерін түзетудің орнына, жүйе тәуекелдерді азайтуға және өндірістің әр кезеңінде олардың пайда болуын болдырмауға мүмкіндік береді дегенді білдіреді.

Жылдам әрекет ету және бақылау сонымен қатар азық-түлік қауіпсіздігін бақылау жүйесінің ажырамас бөлігі болып табылады. Жаңа технологиялар мен автоматтандыру құралдарын енгізудің арқасында компаниялар сәйкессіздіктерді тез анықтап, өндірістік процестерді уақытында түзетіп, өнімнің ластану мүмкіндігін азайтады. HACCP принциптеріне негізделген сапа менеджменті жүйесін пайдалану сонымен қатар азық-түлік тәуекелдерінің ықтималдығын азайтуға көмектеседі.

Бұл әдістерді сәтті енгізу тек тиісті жабдықтар мен бақылау құралдарының болуын ғана емес, сонымен қатар қызметкерлерді оқытуды да қажет ететінін атап өткен жөн. Өндірістік процестің барлық қатысушыларының бірлескен күш-жігері жағдайында ғана өнімнің қауіпсіздігі мен сапасының жоғары деңгейіне қол жеткізуге болады, бұл сайып келгенде тұтынушылардың қажеттіліктерін қанағаттандыруға және олардың денсаулығын қорғауға ықпал етеді.

Азық-түлік қауіпсіздігін қамтамасыз ету үшін микробиологиялық және химиялық талдауларды, сондай-ақ физика-химиялық әдістерді, сондай-ақ сапаны басқарудың тиімді жүйелерін енгізуді қамтитын кешенді тәсілді қолдану маңызды. Бұл өнімнің қауіпсіздігін қамтамасыз етіп қана қоймай, тұтынушылардың сенімін арттыруға мүмкіндік береді, бұл өз кезегінде компанияның нарықтағы табыстылығына әсер етеді .

HACCP жүйесінің тиімділігі оны енгізетін адамдардың тиімділігіне тікелей байланысты. Сыни бақылау нүктелерін бақылауға немесе алдын алу шараларын орындауға қатысатын барлық қызметкерлер тиісті дайындықтан өтуі керек. Оқыту мыналарды қамтуы керек:

HACCP принциптері: алдын алу тәсілін негізгі түсіну.

Нақты жұмыс міндеттері: мониторинг процедуралары, маңызды шектеулер және олардың рөліне сәйкес түзету әрекеттері туралы егжей-тегжейлі оқыту.

Есепке алу талаптары: Құжаттаудың тиісті әдістері.

Сәйкестіктің маңыздылығы: азық-түлік қауіпсіздігі процедураларының маңыздылығын түсіну [9].

Отандық кәсіпорындарда халықаралық стандарттарды іс жүзінде енгізудің мысалы ретінде Алматы қаласындағы ЖШС «Ақсай» Нан-тоқаш комбинаты тәжірибесін келтіруге болады. Кәсіпорында ISO 9001:2000 талаптарына сәйкес 2005 жылы сертификатталған сапа менеджменті жүйесі әзірленді және енгізілді. 2007 жылы ISO 14001:2004 негізінде экологиялық менеджмент жүйесі қосымша енгізілді. Болашақта HACCP қағидаттарына негізделген тамақ өнімдерінің қауіпсіздігін басқару жүйесі іске асырылды. Өндірістік процестерді стандарттаудың кешенді тәсілі шығарылатын өнімнің тұрақты сапасын қамтамасыз етуге, өндірістік бақылау

деңгейін арттыруға, сондай-ақ тұтынушылардың бәсекеге қабілеттілігі мен сенімін нығайтуға мүмкіндік берді.

ЖШС «Ақсай» Нан-тоқаш комбинаты тәжірибесі отандық тамақ өнеркәсібі кәсіпорындарының тиімділігі мен тұрақтылығын арттыру үшін халықаралық стандарттарды енгізудің маңыздылығын көрсетеді. ISO 9001:2000, ISO 14001:2004 талаптарын және HACCP принциптерін іске асыру өндірісті бақылауды нығайтуға, өнімнің тұрақты сапасын қамтамасыз етуге және тұтынушылардың сенімін арттыруға ықпал етті. Мұндай тәжірибелер ұлттық азық-түлік қауіпсіздігі жүйесін жетілдірудің маңызды құралы болып табылады, өйткені олар стандарттарды халықаралық талаптармен үйлестіруге, халықтың денсаулығына қауіп-қатерді азайтуға және елдің азық-түлік тәуелсіздігін нығайтуға ықпал етеді.

Азық-түлік қауіпсіздігі саласындағы тәуекелдер мен сын-қатерлер

Қолданыстағы стандарттар мен бақылауға қарамастан, сала бірқатар қиындықтарға тап болады. Олардың бірі-азық-түлік нарықтарының жаһандануы. Халықаралық сауда көлемінің ұлғаюымен басқа елдерде өндірілген қауіпті азық-түлік өнімдерінің нарыққа шығу қаупі артады. Бұл жекелеген елдердегі өндіріс сапасының төмендігімен де, өнімнің жергілікті қауіпсіздік стандарттарының талаптарына сәйкес келмеуімен де байланысты болуы мүмкін.

Тағы бір маңызды мәселе-ауыл шаруашылығында пестицидтер мен тыңайтқыштар сияқты химиялық заттарды қолдану. Бұл тағамның зиянды химиялық заттармен ластану қаупіне байланысты, бұл адам денсаулығына әсер етуі мүмкін.

Тәуекелдерді талдау – бұл азық-түлік қауіпсіздігі туралы шешім қабылдаудың жүйелі, дәлелді тәсілі. Ол азық-түлікпен байланысты ықтимал қауіптерді түсінуге және халықтың денсаулығын қорғау бойынша тиісті шаралар қабылдауға негіз береді. Бұл процесс азық-түлік қауіпсіздігін басқарудың кешенді жүйесін құратын өзара байланысты үш компонентті қамтиды.

Бұл үш компонент-тәуекелдерді бағалау, тәуекелдерді басқару және тәуекелдерді хабарлау-сарапшылар жиі «тәуекелдерді талдау парадигмасы» деп атайды. Олардың әрқайсысы азық-түлік қауіпсіздігі мәселелерін анықтауда және шешуде маңызды және ерекше рөл атқарады-фермадан үстелге дейін.

Тәуекелдерді талдауды жүзеге асыру үшін көптеген мән мәтіні шектелуі білім мен жеткілікті ресурстар қажет:

Яғни, білікті кадрлардың жетіспеушілігі, ол тәуекелдерді бағалау әдістемелерінде және статистикалық модельдеуде, сонымен қатар азық-түлік ғылымында тәжірибесі бар мамандардың жетіспеушілігінде жиі кездеседі;

Зертханалық ішкі құрылымның шектеулері, яғни химиялық ластаушы заттарды немесе қоздырғыштарды анықтау үшін қажетті тестілеу мүмкіндіктері барлық жерде бола бермеуі мүмкін;

Тәуекелдерді жиынтық талдау зерттеулерге және бақылау жүйелеріне, сонымен қатар әлеуетті арттыруға айтарлықтай қаржыларды қажет етеді [10, 11].

Азық-түлікті бұрмалау мәселесі де бар. Төмен сапалы және жалған өнімдер нарыққа шығуы мүмкін, бұл тұтынушылардың денсаулығына қауіп төндіреді. Нарықта табиғи өнімдерді арзан аналогтарымен алмастыру жағдайлары жалғасуда, бұл тамақ сапасының нашарлауына әкеледі.

Қазақстан Республикасының азық-түлік қауіпсіздігі саласындағы қолданыстағы заңнамасын талдау нормативтік база тұтастай алғанда негізгі халықаралық қағидаттарға сәйкес келетінін көрсетеді, алайда жетілдіруді талап ететін бағыттар қалып отыр. Атап айтқанда, өнімді бақылау процедураларын нақтырақ реттеу, шағын және орта кәсіпорындарға қойылатын талаптарды күшейту, сондай-ақ HACCP және ISO 22000 принциптерін міндетті нормаларға біріктіру қажет. Санитарлық және ветеринарлық ережелер, мемлекеттік бақылау жүйесі және сертификаттарды өзара тану тетіктері қайта қарауды және бейімделуді талап етеді. Бұл ережелерді халықаралық стандарттармен үйлестіру ұлттық азық-түлік қауіпсіздігі жүйесінің ашықтығын, тиімділігін және тұрақтылығын арттыруға мүмкіндік береді.

Талқылау және мәселелерді шешу жолдары

Азық-түлік қауіпсіздігін қамтамасыз ету үшін қолданыстағы нормативтік-құқықтық актілерді жетілдіруді жалғастырумен қатар, олардың халықаралық стандарттармен өзара іс-қимылын жақсарту қажет. Сондай-ақ тамақ өнеркәсібі қызметкерлерінің хабардарлығы мен біліктілігін арттыру қажет, сонымен қатар өнімді өндіру және бақылау процесінде заманауи технологияларды пайдалану маңызды рөл атқарады.

Мемлекеттік органдар өндірушілермен белсенді түрде ынтымақтасуы және қауіпсіздік стандарттарының сақталуын бақылауы, сондай-ақ тұтынушыларды өнімді сақтау мен тұтынудың дұрыс әдістерін үйрету арқылы сапаны қамтамасыз ету процесіне тартуы керек.

HACCP сияқты бақылау жүйелері кез-келген өндіріс процесінің ажырамас бөлігі болуы керек. Мұндай жүйелерді өндірістің барлық кезеңдерінде енгізу өнімнің ластану қаупін азайтуға және тұтынушылардың өнімге деген сенімін арттыруға көмектеседі.

Қорытынды

Азық-түлік қауіпсіздігін қамтамасыз ету-бақылау жүйесін үнемі жетілдіруді, жаңа әдістер мен технологияларды әзірлеуді талап ететін көп қырлы міндет. Өнімнің қауіпсіздігі өндірістен бастап тұтынуға дейінгі барлық кезеңдерде басымдық болып қалуы маңызды. ГОСТ, ISO 22000, HACCP және басқалары сияқты жүйелер халықтың денсаулығына тікелей әсер ететін азық-түлік сапасы мен қауіпсіздігін сақтаудың негізгі құралдары болып табылады. HACCP жүйесін қажетті уақытта енгізу азық-түлік қауіпсіздігін басқару үшін өте маңызды. Өнімді әзірлеу кезеңінде болсын, қолданыстағы өнімдер үшін немесе өндірістегі өнімдердің өзгерістеріне жауап ретінде, жақсы ойластырылған және дұрыс енгізілген. HASSP жүйесін енгізу арқылы тамақ өнеркәсібі кәсіпорындары азық-түлік қауіпсіздігі жүйелерін жетілдіре алады, тұтынушыларды қорғай алады, нормативтік талаптарды орындай алады және азық-түлік қауіпсіздігінің бұзылуына байланысты шығындарды азайта алады.

Еуропалық Одақ азық-түлік қауіпсіздігін қамтамасыз ету HACCP принциптерін міндетті түрде қолдануға және жеткізу тізбегінің барлық кезеңдерінде қатаң мемлекеттік бақылауға негізделген. Корея Республикасы өнімнің мониторингі мен қадағалануын цифрландыру шешуші рөл атқарады. Қытай Халық Республикасы ISO 22000 қоса алғанда, халықаралық стандарттарды енгізу ұлттық нормативтік жүйеге біріктірілген. Қазақстанда бұл тәсілдер белсенді даму сатысында және оларды бейімдеу ұлттық азық-түлік қауіпсіздігі жүйесінің тиімділігін арттыруға мүмкіндік береді.

Қорытындылай келе, тамақ өнімдерінің қауіпсіздігін қамтамасыз ету кешенді тәсілді, мемлекеттік органдардың, өндірушілер мен тұтынушылардың белсенді өзара іс-қимылын талап етеді. Заңнамалық және нормативтік базаны жетілдіруді жалғастыру, бақылау әдістерін жетілдіру және адамдардың хабардарлығын арттыру маңызды, бұл тұтынушылар үшін қауіпсіз ортаны және әлемдік нарық үшін жоғары сапалы өнімдерді құруға мүмкіндік береді.

Әдебиеттер тізімі

1. ISO 22000:2018. Система менеджмента безопасности пищевых продуктов. Требования к организациям в пищевой цепи. – Женева: Международная организация по стандартизации (ISO), 2018. – 34 с.
2. Пищевое законодательство Республики Казахстан. – Алматы: Казақстан, 2019. – 150 с.
3. Root T.W.P. Food Safety and Quality Assurance / T.W.P. Root. – New York: Wiley-Blackwell, 2017. – 320 p.
4. Сорокина Р.С. Пищевая безопасность и качество продукции / Р.С. Сорокина. – М.: Изд-во «Эксмо», 2018. – 256 с.
5. ГОСТ Р 52366-2005. Продукты пищевые. Безопасность. Основные требования и методы оценки. – Москва: Стандартинформ, 2005. – 16 с.
6. Carol A. Wallace. Food Safety for the 21 st Century / Carol A. Wallace. – Managing HACCP and Food Safety Throughout the Global Supply Chain. – USA: Wiley, – 2018. – 494 p.
7. Bremmers H. Regulating and Managing Food Safety in the EU / H. Bremmers. – USA: Springer, – 2018. – 381 p.
8. Shaw Ian C. Food Safety: The Science of Keeping Food Safe [Электронный ресурс]. – 2 edition. – London: Wiley-Blackwell, – 2018. – 548 p.
9. Dhanasekharan, Natarajan. ISO 9001 Quality Management Systems. – London: Springer, – 2017. – 160 p.
10. Madeleine, Smith. Food Safety and Inspection. An Introduction. – 44.72 мб., – PDF. – USA: Routledge, – 2019. – 108 p.
11. Nina, E. Redman. Food Safety// A REFERENCE HANDBOOK. – USA: ABC-CLIO. – 2017. – 348 p.

References

1. ISO 22000:2018. Sistema menedzhmenta bezopasnosti pishchevykh produktov. Trebovaniya k organizatsiyam v pishchevoi tsepi. – Zheneva: Mezhdunarodnaya organizatsiya po standartizatsii (ISO), 2018. – 34 s. (In Russian).
2. Pishchevoe zakonodatel'stvo Respubliki Kazakhstan. – Almaty: Kazaқstan, 2019. – 150 s. (In Russian).
3. Root T.W.P. Food Safety and Quality Assurance / T.W.P. Root. – New York: Wiley-Blackwell, 2017. – 320 p. (In English).
4. Sorokina R.S. Pishchevaya bezopasnost' i kachestvo produktsii / R.S. Sorokina. – M.: Izd-vo «EhksmO», 2018. – 256 s. (In Russian).
5. GOST R 52366-2005. Produkty pishchevye. Bezopasnost'. Osnovnye trebovaniya i metody otsenki. – Moskva: Standartinform, 2005. – 16 s. (In Russian).
6. Carol A. Wallace. Food Safety for the 21 st Century / Carol A. Wallace. – Managing HACCP and Food Safety Throughout the Global Supply Chain. – USA: Wiley, – 2018. – 494 r. (In English).
7. Bremmers H. Regulating and Managing Food Safety in the EU / H. Bremmers. – USA: Springer, – 2018. – 381 p. (In English).
8. Shaw Ian C. Food Safety: The Science of Keeping Food Safe [Ehlektronnyi resurs]. – 2 edition. – London: Wiley-Blackwell, – 2018. – 548 p. (In English).
9. Dhanasekharan, Natarajan. ISO 9001 Quality Management Systems. – London: Springer, – 2017. – 160 p. (In English).
10. Madeleine, Smith. Food Safety and Inspection. An Introduction. – 44.72 mb., – PDF. – USA: Routledge, – 2019. – 108 p. (In English).
11. Nina, E. Redman. Food Safety// A REFERENCE HANDBOOK. – USA: ABC-CLIO. – 2017. – 348 r. (In English).

Ш.С. Аманова*, Р.У. Уажанова, У.О. Тунгышбаева, Р.А. Изтелиева, С.Е. Ибраимова
Алматинский технологический университет,
050012, Республика Казахстан, г.Алматы, Толе би 100
*e-mail:amanova_sh@mail.ru

НОВЫЕ ПОДХОДЫ К ПРОДОВОЛЬСТВЕННОЙ БЕЗОПАСНОСТИ И ИХ ВАЖНОСТЬ ДЛЯ ОТРАСЛИ

В данной статье рассмотрены основные факторы пищевого законодательства Республики Казахстан. Также рассматриваются основные нормативно-правовые акты и процессы сертификации и стандартизации пищевой продукции, регулирующие безопасность и качество пищевой продукции на территории страны. Описываются производственные процессы и упаковка, а также предъявляемые к ним требования. Особое внимание уделено механизмам контроля на всех этапах – от производства до реализации продуктов питания, а также вопросам защиты прав потребителей.

Кроме того, анализируются особенности внедрения международных стандартов, таких как ISO 22000 и система HACCP, как инструмента обеспечения качества и безопасности. Подчеркивается роль государственной политики в формировании эффективной системы контроля пищевой отрасли, включая просветительскую работу среди производителей и потребителей. Также рассматриваются проблемы прослеживаемости пищевых продуктов и необходимость интеграции современных цифровых решений в мониторинг качества.

В статье отмечается важность взаимодействия всех участников продовольственной цепочки и необходимость межведомственного сотрудничества. В заключение делается вывод о необходимости постоянного обновления законодательной базы с учетом международных требований и практик для повышения конкурентоспособности отечественной продукции на внутреннем и внешнем рынках.

Также рассматриваются проблемы прослеживаемости пищевых продуктов и необходимость интеграции современных цифровых решений в мониторинг качества и управление рисками на всех этапах производства и хранения.

В статье отмечается важность взаимодействия всех участников продовольственной цепочки и необходимость межведомственного сотрудничества, а также подготовки квалифицированных специалистов в области пищевой безопасности.

В заключение делается вывод о необходимости постоянного обновления законодательной базы с учетом международных требований и практик для повышения конкурентоспособности отечественной продукции на внутреннем и внешнем рынках.

Ключевые слова: *пищевое законодательство, безопасность пищевых продуктов, стандартизация, сертификация, продукты питания, контроль качества, производственные процессы, управление безопасностью пищевых продуктов.*

Sh.S. Amanova*, R.U. Uazhanova, U.O. Tungyshbaeva, R.A. Iztelieva, S.Y. Ibraimova
Almaty Technological University,
050012, Kazakhstan, Almaty, Tole bi,100
*e-mail:amanova_sh@mail.ru

NEW APPROACHES TO FOOD SECURITY AND THEIR IMPORTANCE FOR THE INDUSTRY

This article examines the main factors of the food legislation of the Republic of Kazakhstan. The main regulatory legal acts and processes of certification and standardization of food products regulating the safety and quality of food products in the country are also considered. The production processes and packaging are described, as well as the requirements for them. Special attention is paid to control mechanisms at all stages – from production to sale of food, as well as consumer protection issues.

In addition, the features of the implementation of international standards such as ISO 22000 and the HACCP system as a quality and safety assurance tool are analyzed. The role of state policy in the formation of an effective food industry control system, including educational work among producers and consumers, is emphasized. The problems of food traceability and the need to integrate modern digital solutions into quality monitoring are also considered.

The article highlights the importance of interaction between all participants in the food chain and the need for interagency cooperation. In conclusion, it is concluded that it is necessary to constantly update the legislative framework, taking into account international requirements and practices, in order to increase the competitiveness of domestic products in the domestic and foreign markets. The issues of food traceability and the need to integrate modern digital solutions into quality monitoring and risk management at all stages of production and storage are also considered. The article highlights the importance of interaction between all participants in the food chain and the need for interagency cooperation, as well as the training of qualified specialists in the field of food safety.

In conclusion, it is concluded that it is necessary to constantly update the legislative framework, taking into account international requirements and practices, in order to increase the competitiveness of domestic products in the domestic and foreign markets.

Key words: *food legislation, food safety, standardization, certification, food, quality control, production processes, food safety management.*

Авторлар туралы мәліметтер

Шолпан Сапаровна Аманова* – PhD, «Тағам өнімдерінің қауіпсіздігі және сапасы»кафедрасының ассистент-профессоры, Алматы технологиялық университеті, Қазақстан Республикасы; e-mail:amanova_sh@mail.ru. ORCID: https://orcid.org/0000-0001-5560-5144.

Раушангул Улангазиевна Уажанова – т.ғ.д., **«**Тағам өнімдерінің сапасы және қауіпсіздігі**»** кафедрасының профессоры, Алматы технологиялық университеті, Қазақстан Республикасы; e-mail: raushan_u67@mail.ru. ORCID: https://orcid.org/0000-0002-5156-5322.

Улбала Облбековна Тунгышбаева – PhD, **«**Тағам өнімдерінің сапасы және қауіпсіздігі**»** кафедрасының ассоц. проф., Алматы технологиялық университеті, Қазақстан Республикасы; e-mail: ulbala_84@mail.ru. ORCID: https://orcid.org/0000-0002-6290-0528.

Раушан Акмуратовна Изтелиева – PhD, **«**Тағам өнімдерінің сапасы және қауіпсіздігі» кафедрасының ассоц. проф., Алматы технологиялық университеті, Қазақстан Республикасы; e-mail: iztelieva80@mail.ru. ORCID: https://orcid.org/0000-0001-9129-2798.

Сания Ерболатовна Ибраимова – PhD, «Тағам өнімдерінің қауіпсіздігі және сапасы»кафедрасының ассистент-профессоры, Алматы технологиялық университеті, Қазақстан Республикасы; e-mail:canek21@mail.ru. ORCID: https://orcid.org/0000-0002-9439-7461.

Сведения об авторах

Шолпан Сапаровна Аманова* – PhD, ассистент-профессор кафедры «Безопасность и качество пищевых продуктов», Алматинский технологический университет, Республика Казахстан; e-mail: amanova_sh@mail.ru. ORCID: https://orcid.org/0000-0001-5560-5144.

Раушангул Улангазиевна Уажанова – д.т.н, профессор кафедры «Безопасность и качество пищевых продуктов», Алматинский технологический университет, Республика Казахстан; e-mail: raushan_u67@mail.ru. ORCID: https://orcid.org/0000-0002-5156-5322.

Улбала Облбековна Тунгышбаева – PhD, ассоц. проф. кафедры «Безопасность и качество пищевых продуктов», Алматинский технологический университет, Республика Казахстан; e-mail: ulbala_84@mail.ru. ORCID: https://orcid.org/0000-0002-6290-0528.

Раушан Акмуратовна Изтелиева – PhD, ассоц. проф. кафедры «Безопасность и качество пищевых продуктов», Алматинский технологический университет, Республика Казахстан; e-mail: iztelieva80@mail.ru. ORCID: https://orcid.org/0000-0001-9129-2798.

Сания Ерболатовна Ибраимова – PhD, ассистент-профессор кафедры «Безопасность и качество пищевых продуктов», Алматинский технологический университет, Республика Казахстан; e-mail:canek21@mail.ru. ORCID: https://orcid.org/0000-0002-9439-7461.

Information about the authors

Sholpan Saparovna Amanova* – PhD, Assistant Professor, Department of «Food Safety and Quality», Almaty Technological University, Republic of Kazakhstan; e-mail: amanova_sh@mail.ru. ORCID: https://orcid.org/0000-0001-5560-5144.

Raushangul Ulangazievna Uazhanova – D. of T.S, Professor, Department of «Food Safety and Quality», Almaty Technological University, Republic of Kazakhstan; e-mail: raushan_u67@mail.ru. ORCID: https://orcid.org/0000-0002-5156-5322.

Ulbala Oblbekovna Tungyshbaeva – PhD, Associate Professor, Department of «Food Safety and Quality», Almaty Technological University, Republic of Kazakhstan; e-mail: ulbala_84@mail.ru. ORCID: https://orcid.org/0000-0002-6290-0528.

Raushan Akmuratovna Iztelieva – PhD, Associate Professor, Department of «Food Safety and Quality», Almaty Technological University, Republic of Kazakhstan; e-mail: iztelieva80@mail.ru. ORCID: https://orcid.org/0000-0001-9129-2798.

Saniya Yerbolatovna Ibraimova – PhD, Assistant Professor, Department of «Food Safety and Quality», Almaty Technological University, Republic of Kazakhstan; e-mail: canek21@mail.ru. ORCID: https://orcid.org/0000-0002-9439-7461.

Редакцияға енуі 17.09.2025
Өңдеуден кейін түсуі 14.10.2025
Жариялауға қабылданды 11.11.2025

https://doi.org/10.53360/2788-7995-2025-4(20)-52

ҒТАХР: 65.59.17

BY 4.0

Check for updates

А.М. Шуленова*, А.Л. Касенов[1], М.Т. Мурсалыкова[2], М.М. Какимов[1], С.Н. Туменов[3]
[1]С. Сейфуллин атындағы Қазақ агротехникалық зерттеу университеті,
010011, Қазақстан Республикасы, Астана қаласы, Жеңіс даңғылы, 62
[2]Шәкәрім университеті,
071410, Қазақстан Республикасы, Семей қаласы, Глинки, 20А
[3]«Қазақ қайта өңдеу және өнеркәсібі ғылыми-зерттеу институтының» ЖШС Астана филиалы
010000, Қазақстан Республикасы, Астана қаласы, Байқоңыр ауданы, Әл-Фараби даңғылы, 47
*e-mail: shulenovaa@mail.ru

МАЙЛЫ ДАҚЫЛДАР КҮНЖАРАСЫН ПАЙДАЛАНУ АРҚЫЛЫ ЕТ ӨНІМДЕРІНІҢ САПАСЫН ЖАҚСАРТУ

Аңдатпа: *Тұқымнан алынған майдың құнды қасиеттеріне байланысты оны тамақ өнеркәсібінде қолдану үнемі кеңейіп келеді. Бұл өз кезегінде май өндірісінің жанама өнімдерін – мақсары мен зығыр сияқты майлы дақылдардың күнжарасын және экстракцияланған қалдықтарын белсенді зерттеуді ынталандырады. Бұл қалдықтар ет өнімдерін өндіруде қолдануға болатын денсаулыққа пайдалы қасиеттері бар биоактивті қосылыстардың (ақуыз, диеталық талшық, антиоксиданттар) көзі болып табылады. Бұл қалдықтарды пайдалану экологиялық және экономикалық мәселелерді шешуге мүмкіндік береді. Денсаулыққа пайдалы заттарға бай мақсары мен зығыр күнжаралары өсімдік ақуызының, тағамдық талшықтардың және антиоксиданттардың перспективалы көзі ретінде қарастырылады. Зерттеулер көрсеткендей, бұл жанама өнімдер тағамдық және функционалдық сипаттамалары жақсартылған азық-түлік өнімдерді өндіруге сәтті қолдануға болады. Бұл тәсіл тұрақты дамуға, инновациялық функционалды өнімдерді құруға және қалдықсыз өндіріс принциптерін жүзеге асыруға ықпал етеді. Бұл жұмыс зығыр мен мақсары күнжараларының құрамын талдауға және оларды пісірілген шұжық өндірісінде қолдану мүмкіндігін зерттеуге арналған.*

Мақсатқа жету үшін тамақ қалдықтарын азайту үшін шешім болатын пісірілген шұжық өндірісінде мақсары мен зығыр күнжаралын қолдану мүмкіндігі зерттелді. Органолептикалық бағалау

берілді, алынған өнімдердің қолданыстағы нормативтік құжаттарда белгіленген талаптарға сәйкестігін көрсететін физика-химиялық және бактериологиялық көрсеткіштері анықталды.

Зерттеу барысында пісірілген шұжық рецептурасына 2%, 4% және 6% деңгейінде мақсары және зығыр күнжарасы қосылды. Органолептикалық талдау нәтижесінде 4% деңгейінде қосылған үлгілердің дәмі мен иісі ең үйлесімді болып анықталды. Физика-химиялық талдау бойынша 4% мақсары күнжарасы қосылған шұжықта 71,35±1,2% ылғал, 10,58±0,1% май, 15,76±0,2% ақуыз, ал 4% зығыр күнжарасы қосылған шұжықта 70,69±1,4% ылғал, 11,18±0,2% май, 16,65±0,1% ақуыз болды. Микробиологиялық зерттеулер ішек таяқшасы, сальмонелла және сульфитті тотықсыздандыратын клостридийлердің болмауын көрсетті.

Бұл нәтижелер мақсары мен зығыр күнжарасын 4% деңгейінде пайдалану дайын өнімнің сапасын арттыруға және тағамдық құндылығын жақсартуға мүмкіндік беретінін дәлелдеді.

Түйін сөздер: *ет өңдеу өнеркәсібі, ет өнімдері, сафлор күнжарасының ұны, зығыр күнжарасының ұны, ылғалдандыру.*

Кіріспе

Мемлекет басшысы Қ.Қ. Тоқаев халыққа Жолдауында агроөнеркәсіптік кешен саласындағы 2023-2026 жылдарға арналған маңызды міндет қойды: Қазақстанның стратегиялық мақсаты – Еуразия құрлығының жетекші аграрлық орталықтарының бірі болу. Міндет-үш жыл ішінде АӨК-дегі өңделген өнімнің үлесін 70% - ға дейін ұлғайту, басымдықта біз үшін перспективалы бағыттар: ет, сүт және астықты терең өңдеу, өнеркәсіптік жылыжай шаруашылығын дамыту болуға тиіс [1].

Азық-түлік өндірушілерінің алдында шикізатты терең өңдеу міндеті тұр, ол жаңа тұтынушылық қасиеттері бар тауарларды өндіру үшін одан әрі өңделетін болады.

Қазіргі уақытта табиға, пайдалы тағамға деген сұраныс артып келеді, халықтың жоғары сапалы тамақ өнімдерін тұтынуға бағдарлануы жеңіл сіңімді ақуыздардың, дәрумендердің, минералдардың едәуір мөлшері бар тағамдық құндылығы жоғары өнімдерді жасау қажеттілігін туындатады [2, 3].

Шикізатты терең өңдеу және жоғары сапалы азық-түлік өнімдерін жасау тұрғысынан майлы дақылдар, атап айтқанда өсімдік майларын алғаннан кейін қалатын күнжара үлкен қызығушылық тудырады [4].

Солтүстік Қазақстанда өндірілетін майлы дақылдарды шаруашылық мақсатта пайдалану бойынша екі үлкен топқа бөлуге болады. Бірінші топқа техникалық: майлы зығыр, рапс, күнбағыс және соя кіреді. Екінші топқа тауашалық дақылдар деп аталатындар жатады, олар негізінен экспортқа бағытталған және олар біздің жергілікті өсірушілер үшін «қауіпсіздік жастығы» болып табылады: алтын түсті зығыр, мақсары, сурепица, көктемгі және қысқы зімбір, қыша түрлері [5].

Тамақ өнеркәсібінің негізгі мақсаты-қалдықтарды азайту. Қалдықтарды жаңартылатын ресурс ретінде қайта өңдеу осы мақсатқа жетудің негізгі қадамы болып табылады. Мұндай қайта өңдеу Еуропалық Одақтың айналмалы экономикаға қатысты соңғы ұсыныстарына сәйкес жаңа өнімдерді жасауға ықпал етеді [6, 7].

Күнжара майлы дақылдардың тұқымын өңдеудің қайталама өнімі болып табылады, бірақ ол өз кезегінде тағамды функционалды, емдік және профилактикалық қасиеттері бар құнды қоректік заттармен байытады [8, 9]. Ағзаның қоректік заттарды максималды сіңіруі үшін оны өнімге қоспас бұрын дайындаудың ең жақсы әдісін табу керек. Сондықтан зерттеудің мақсаты пісірілген шұжық өндіру технологиясына мақсары мен зығырдан жасалған күнжара ұнын қосудың оңтайлы мөлшерін анықтау болды.

Зерттеу материалдары мен әдістері

Біздің міндетіміз майлы дақылдардың күнжараларын зерттеу және шұжық өнімдерінің мысалында сапалық көрсеткіштерді зерттеу болды. Жүргізілген жұмыстың нәтижесінде мақсары мен зығыр күнжараларына назар аударылды. Бұл таңдау келесіге байланысты (кесте 1):

– мақсары күнжарасы – қымбат компоненттерді ішінара алмастыра алатын, ақуыздарға, тағамдық талшықтарға және макро және микроэлементтерге бай қол жетімді өсімдік шикізаты. Мақсары күнжарасында 25-30% дейін ақуыз, тағамдық талшықтар, антиоксиданттар және В дәрумендері бар, ол су мен майды жақсы байланыстырады, тартылған ет құрылымы мен тұрақтылығын жақсартады [10];

– зығыр күнжарасы – адам ағзасына көпжақты оң әсер етеді, ет өнімдеріне қосу оларды өсімдік ақуызымен, тағамдық талшықтармен және антиоксиданттармен (лигандармен), қалдық омега-3 және май қышқылдарымен байытады. Ас қорытуды қалыпқа келтіруге, холестеринді төмендетуге, жүрек-тамыр жүйесін нығайтуға әсер етеді және т.б [11].

Кесте 1 – Күнжаралардың тағамдық құндылығы

Көрсеткіштер	Мақсары күнжарасы	Зығыр күнжарасы
Ақуыз, %	27,5	30,0
Май, %	9,0	10,5
Тағамдық талшық, %	22,5	20,0
Минералдар, %	5,0	5,0
Сіңімді көмірсулар, %	36,0	34,5
Энергетикалық құндылығы, ккал/100	335,0	352,5

Эксперименттер жүргізу үшін ГОСТ 23670-2019 бойынша пісірілген сиыр шұжығы бақылау үлгісі үшін таңдалды. Эксперименттік үлгілер шұжықтың 2 түрі болды, олар үшін күнжаралардың оңтайлы мөлшері және дайындау әдісі анықталды (сурет 1):

1. Мақсары күнжарасы қосылған
2. Зығыр күнжарасы қосылған



а) б)

Сурет 1 – Мақсары күнжарасы (а), Зығыр күнжарасы (б)

Таңдалған күнжара түрлері гидратталған түрде қосылды. Ылғалдандыру бөлме температурасындағы сумен және ыстық сумен 70±2^{0}С температурада жүргізілді.

Химиялық құрамды анықтау – өнімдегі ылғал мөлшері МЕМСТ 9793-2016 бойынша кептіру әдісімен, май мөлшері МЕМСТ 23042-2015 бойынша Сокслет аппаратымен, ақуыз мөлшері Кьельдал әдісімен (МЕМСТ 25011-2017), күл мөлшері МЕМСТ 31727-2012 бойынша, көмірсулардың үлесі есептік әдіспен анықталды.

Органолептикалық талдау – МЕМСТ 9959-2015 «Ет және ет өнімдері. Органолептикалық бағалау әдістері» стандартына сәйкес сыртқы түрі, түсі, иісі, дәмі және консистенциясы бойынша жүргізілді.

Микробиологиялық зерттеу – ішек таяқшасы бактерияларын (МЕМСТ 31747-2012), сальмонеллаларды (МЕМСТ 31659-2012) және сульфитті тотықсыздандыратын клостридийлерді (МЕМСТ 29185-2014) анықтау әдістерімен жүргізілді.

Зерттеу нәтижелері және ғылыми нәтижелерді талқылау

Мақсары мен зығыр күнжаралары ЛЗМ – 1М зертханалық диірменінде ұн күйіне дейін ұнтақталып, 2%, 4%, 6% мөлшерінде қосылды. 5-7%-дан артық қосу ұсынылмайды, себебі ол дайын өнімнің органолептикалық сипаттамаларына әсер етуі мүмкін.

Күнжара ұны ыстық және суық ылғалдандырудан кейін қосылды.

Ылғалдандыру алдында ұсақталған күнжараны алдын ала өңдеу жүргізілді, сумен араластырылды және ісіну үшін ұсталды, 30-35^{0}С дейін салқындатылды. Ылғалдандыру 70±2^{0}с температурада және бөлме температурасында мақсары күнжарасы үшін 1:1 және зығыр күнжарасы үшін 1:1,5 қатынасында жүргізілді, су концентрациясының жоғарылауы өнімнің реологиялық сипаттамаларының нашарлауына әкелуі мүмкін екенін басшылыққа алынды. Күнжара ұнын ыстық гидратациямен (ылғандырумен) дайындаған жөн, өйткені суық гидратация (ылғандыру) кезінде сорпалы-майлы ісінулер пайда болды. Бұл технологиялық ақау, ылғалдың әлсіз сақталуы, майдың эмульсиясының бұзылуы туралы айтады, бұл болашақта сыртқы түрінің нашарлауына, микробиологиялық тұрақтылыққа және өнімнің азаюына әкелуі мүмкін.

2-кестенің органолептикалық көрсеткіштерін талдайтын болсақ барлық сынақтық үлгілерде қолданылатын өсімдік компоненттерінің, мақсары мен зығыр күнжарасының ұнының жағымды әсерін көрсетеді, дайын өнімге тартымды көрініс пен түс, жағымды дәм мен хош иіс береді. МЕМСТ 23670-2019 "Пісірілген ет шұжық өнімдері" нормативтік құжатында ұсынылған органолептикалық сипаттамаларға сәйкес келетін 2, 4% өсімдік компоненті енгізілген тәжірибелік үлгіні атап өткен жөн. Мақсары күнжарасының ұнының 4% мөлшерінде қосқанда, өнім ерекше жаңғақ-шөпті дәмге ие болады, ал зығыр күнжарасының ұнының 4% мөлшерінде қосқанда жаңғақ-дәнді дәмі болады, бірақ сонымен бірге пісірілген шұжыққа тән негізгі дәммен теңдестірілген**.** Сондықтан бұл үлгілерге артықшылық беріледі. 6% өсімдік компоненттерін қосқанда, бұл мақсары күнжарасынан ұн мен және зығып күнжарасынан ұн қосқанда, өнімде осы компоненттердің айқын дәмі болды, бұл нормативтік-техникалық құжаттардың талаптарына сәйкес келмеді.

Кесте 2 – Пісірілген шұжықтардың органолептикалық көрсеткіштері

Көрсеткіштің атауы	Қолданылатын өсімдік компонентінің мөлшері					
	Мақсары күнжарасының ұны			Зығыр күнжарасының ұны		
	2%	4%	6%	2%	4%	6%
Сыртқы түрі	Таза құрғақ бет		Беттің сіл білінетін біркелкі еместігі	Таза құрғақ бет		Беттің сіл білінетін біркелкі еместігі
Консистенциясы	Серпімді		Аз серпімді, сәл жабысқақ	Серпімді		Аз серпімді, сәл жабысқақ
Кесудің түсі мен көрінісі	Қызғылт, бос жерлері жоқ	Қызғылт, бос жерлері жоқ	Сұр реңктері бар қою қызғылт, кішкентай қосындылар байқалады	Қызғылт, бос жерлері жоқ	Ашық қоңыр реңктері бар қою қызғылт, бос жерлер жоқ	Сұр-қоңыр, кішкентай қосындылар көрінеді
Иісі мен дәмі	Бөтен дәм мен иіссіз шұжық өніміне сәйкес келеді	Аздап жаңғақ-шөпті дәмі бар, бірақ негізгі дәмімен теңдестірілген шұжық өніміне сәйкес келеді	Мақсарының айқын дәмі бар	Бөтен дәм мен иіссіз шұжық өніміне сәйкес келеді	Аздап жаңғақ-дәнді дәмі бар, бірақ негізгі дәмімен теңдестірілген шұжық өніміне сәйкес келеді	Зығырдың айқын хош иісі, аздап ащы дәмі бар

Әрі қарай дайын өнімнің сапа көрсеткіштері зерттелді, атап айтқанда,үлгілердің физика-химиялық және бактериологиялық көрсеткіштері анықталды.

Кесте 3 – Пісірілген шұжықтардың физика-химиялық көрсеткіштері

Атауы	Бақылау	4% мақсары күнжарасының ұны қосылған үлгі	4% зығыр күнжарасының ұны қосылған үлгі
Ылғалдың массалық үлесі, %	69,3±1,1	71,35±1,2	70,69±1,4
Майдың массалық үлесі,%	12,1±0,1	10,58±0,1	11,18±0,2
Ақуыздың массалық үлесі, %	17,9±0,1	15,76±0,2	16,65±0,1
Көмірсулардың массалық үлесі,%	1,42±0,05	1,91±0,04	2,07±0,05
Күлдің массалық үлесі,%	2,0±0,03	2,17±0,03	2,19±0,04
Май/ақуыз	0,676	0.671	0,671

** Әрбір мән үш өлшемнің орташа мәні ± стандартты ауытқу*

Сынақ үлгілерде бақылау үлгісімен салыстырғанда ақуыз мен майдың мөлшері төмен, бірақ бұл арақатынас денсаулық - биологиялық талаптарына сәйкес келеді.

Сонымен, жүргізілген зерттеулердің нәтижелері шұжық өндірісінде шикізат ретінде мақсары күнжарасын және зығыр күнжарасын пайдалануға мүмкіндік береді. Тәжірибелік жолмен екі түрлі күнжарадан алынған ұнның пісірілген шұжық өндірісінде 4% деңгейінде

қолдану органолептикалық және физика-химиялық көрсеткіштер бойынша оң әсер беретінін көрсетті. Негізгі басымдық ет шикізатымен үйлесу, тартымды органолептикалық көрсеткіштерді қалыптастыру болды. Физика-химиялық және бактериологиялық көрсеткіштер нормативтік-техникалық құжаттардың белгіленген талаптарына сәйкес келді.

Кесте 4 – Пісірілген шұжықтардың бактериологиялық көрсеткіштері

Атауы	Бақылау	4% мақсары күнжарасының ұны қосылған үлгі	4% зығыр күнжарасының ұны қосылған үлгі
1 грамм шұжық өніміндегі ішек таяқшасы бактериялары (лактозаны ашытатын)	табылған жоқ	табылған жоқ	табылған жоқ
25 грамм шұжық өніміндегі сальмонеллалар	табылған жоқ	табылған жоқ	табылған жоқ
0,01 грамм шұжық өніміндегі сульфитті тотықсыздандыратын клостридийлер	табылған жоқ	табылған жоқ	табылған жоқ

Әдебиет деректерімен салыстырғанда, Abedini A. және әріптестері майлы дақыл күнжараларының функционалдық өнімдер өндірісінде ақуыз және талшық көзі ретінде тиімділігін атап өтті. Talwar B. және т.б. зығыр күнжарасының омега-3 қышқылдары мен антиоксиданттық қасиеттерін сипаттап, оны ет өнімдерінің липидтік тұрақтылығын арттыруда қолдануға болатынын көрсетті. Stabnikova O. және әріптестері өсімдік қалдықтарын ет, нан және кондитерлік өнімдерді байытуда пайдаланудың тұрақты өндіріс үшін маңызын дәлелдеді.

Бұл ғылыми деректер біздің нәтижелерімізбен үндеседі және майлы дақыл күнжараларын ет өнімдерінің сапасын арттырудың экологиялық және экономикалық тиімді жолы ретінде қарастыруға мүмкіндік береді.

Қорытынды

Мақсары мен зығыр күнжарасының химиялық құрамының ерекшелігі ет өнімдерінің тағамдық және биологиялық құндылығын арттыру мақсатында оларды ақуыз-минералды қоспалар ретінде, сондай-ақ ет шикізатын алмастыру ретінде кеңінен қолданудың орындылығын көрсетеді. Жүргізілген зерттеулердің нәтижелері пісірілген шұжық өндірісінде мақсары мен зығыр күнжарасын қолданудың ең оңтайлы мөлшері 4% екенін көрсетті. Шұжық рецептурасында көрсетілген деңгейді қолдану жоғары сапалы сипаттамаларды қамтамасыз етеді, шұжық өнімдерінің ассортиментін кеңейтуге мүмкіндік береді. Ақуызға бай шикізатты үнемдеу және майлы дақылдарды өңдеу кезінде қалатын жанама өнімдерді кешенді пайдалану маңызды рөл атқарады. Бұл өндірістің тұйық циклін қамтамасыз етуге мүмкіндік береді, мұнда бір үдерістің қалдықтары келесі үдеріс үшін шикізатқа айнлады. Бұл тәсіл тұрақты даму тұжырымдамасына сәйкес келеді және өнімнің жалпы өнімділігін арттыра отырып, қоректік заттардың жоғалуын азайтуға мүмкіндік береді.

Әдебиеттер тізімі

1. Республика Казахстан. Послание Президента. Экономический курс Справедливого Казахстана: Послание Президента: [дата 01.09.2023].
2. Chechitko V. Analytical review of the market of raw materials and innovative technologies of health-improving food products of plant origin / V. Chechitko, A. Antoniv, L. Adamchuk // Animal Science and Food Technology. – 2024. – Т. 15, № 3. – P. 115-133.
3. Свидерская Д.С. Использование растительного белка в производстве мясорастительного паштета / Д.С. Свидерская, А.А. Карабекова // Пищевая промышленность. – 2022. – № 1. – С. 8-11.
4. Kaur M. Processing of oilseeds / M. Kaur, H.K. Sharma, N. Kumar // Agro-Processing and Food Engineering: Operational and Application Aspects. – Singapore: Springer Singapore, 2022. – P. 483-533.
5. Агроновости Казахстана и мира. Состояние и перспективы развития производства масличных культур в Казахстане. [Электрон. ресурс]. – 2019. – https://alchemyka.kz/novosti/sostoyanie-i-perspektivyi-razvitiya-proizvodstva-maslichnyix-kultur-v-severnom-kazaxstane.html?ysclid=m9tri7qijd670510049 (дата: 13.08.2019).

6. Utilization of plant processing wastes for enrichment of bakery and confectionery products / O. Stabnikova et al // Ukr. Food J. –2023. – № 12. – P. 299-308.
7. Nutritional and Chemical Characterization of Poppy Seeds, Cold-Pressed Oil, and Cake: Poppy Cake as a High-Fibre and High-Protein Ingredient for Novel Food Production / D. Melo et al // Foods. – 2022. –T. 11. – P. 3027.
8. Oilseed cakes in the food industry; a review on applications, challenges, and future perspectives / A. Abedini et al // Current Nutrition & Food Science. – 2022. – T. 18, № 4. – P. 345-362.
9. Enhancing the nutritional value of cold-pressed oilseed cakes through extrusion cooking / N.P. Vidal et al // Innovative Food Science & Emerging Technologies. – 2022. – T. 77. – P. 102956.
10. Safflower cake as an ingredient for a composite flour development towards a circular economy: extrusion versus conventional mixing / C. Amadeu et al // Food Research International. – 2024. – T. 191. – P. 114609.
11. Use of flaxseed cake as a source of nutrients in the food industry and possible health benefits-a review / B. Talwar et al // Food Production, Processing and Nutrition. – 2025. – T. 7, № 1. – P. 22.

References

1. Respublika Kazakhstan. Poslanie Prezidenta. Ehkonomicheskii kurs Spravedlivogo Kazakhstana: Poslanie Prezidenta: [data 01.09.2023]. (In Russian).
2. Chechitko V. Analytical review of the market of raw materials and innovative technologies of health-improving food products of plant origin / V. Chechitko, A. Antoniv, L. Adamchuk // Animal Science and Food Technology. – 2024. – T. 15, № 3. – R. 115-133. (In English).
3. Sviderskaya D.S. Ispol'zovanie rastitel'nogo belka v proizvodstve myasorastitel'nogo pashteta / D.S. Sviderskaya, A.A. Karabekova // Pishchevaya promyshlennost'. – 2022. – № 1. – S. 8-11. (In Russian).
4. Kaur M. Processing of oilseeds / M. Kaur, H.K. Sharma, N. Kumar // Agro-Processing and Food Engineering: Operational and Application Aspects. – Singapore : Springer Singapore, 2022. – R. 483-533. (In English).
5. Agronovosti Kazakhstana i mira. Sostoyanie i perspektivy razvitiya proizvodstva maslichnykh kul'tur v Kazakhstane. [Ehlektron. resurs]. – 2019. – https://alchemyka.kz/novosti/sostoyanie-i-perspektivyi-razvitiya-proizvodstva-maslichnyix-kultur-v-severnom-kazaxstane.html?ysclid=m9tri7qijd670510049 (data: 13.08.2019). (In Russian).
6. Utilization of plant processing wastes for enrichment of bakery and confectionery products / O. Stabnikova et al // Ukr. Food J. – 2023. – № 12. – R. 299-308. (In English).
7. Nutritional and Chemical Characterization of Poppy Seeds, Cold-Pressed Oil, and Cake: Poppy Cake as a High-Fibre and High-Protein Ingredient for Novel Food Production / D. Melo et al // Foods. – 2022. –T. 11. – R. 3027. (In English).
8. Oilseed cakes in the food industry; a review on applications, challenges, and future perspectives / A. Abedini et al // Current Nutrition & Food Science. – 2022. – T. 18, № 4. – R. 345-362. (In English).
9. Enhancing the nutritional value of cold-pressed oilseed cakes through extrusion cooking / N.P. Vidal et al // Innovative Food Science & Emerging Technologies. – 2022. – T. 77. – R. 102956. (In English).
10. Safflower cake as an ingredient for a composite flour development towards a circular economy: extrusion versus conventional mixing / S. Amadeu et al // Food Research International. – 2024. – T. 191. – R. 114609. (In English).
11. Use of flaxseed cake as a source of nutrients in the food industry and possible health benefits-a review / V. Talwar et al // Food Production, Processing and Nutrition. – 2025. – T. 7, № 1. – R. 22. (In English).

А.М. Шуленова[*], А.Л. Касенов[1], М.Т. Мурсалыкова[2], М.М. Какимов[1], С.Н. Туменов[3]
[1]Казахский агротехнический исследовательский университет имени С. Сейфуллина,
010011, Республика Казахстан, г.Астана, проспект Женис, 62
[2]Шәкәрім университет, 071410, Республика Казахстан, г. Семей, Глинки, 20 А
[3]Астанинский филиал ТОО «Казахский научно-исследовательский институт перерабатывающей и пищевой промышленности»
010000, Республика Казахстан, г.Астана, район Байконур, проспект Аль-Фараби, 47
*e-mail: shulenovaa@mail.ru

ПОВЫШЕНИЕ КАЧЕСТВА МЯСНЫХ ПРОДУКТОВ ЗА СЧЁТ ИСПОЛЬЗОВАНИЯ ЖМЫХА МАСЛИЧНЫХ КУЛЬТУР

Благодаря ценным свойствам масла, извлекаемого из семян, его использование в пищевой промышленности постоянно расширяется. Это, в свою очередь, стимулирует активное изучение побочных продуктов маслопроизводства – жмыхов и шротов, получаемых из масличных культур, таких как сафлор и лен. Эти остатки являются источником биоактивных соединений (белка, пищевых волокон, антиоксидантов) с полезными свойствами для здоровья, которые могут быть использованы в производстве мясных продуктов. Использование этих отходов позволяет решать экологические и экономические задачи. Жмыхи сафлора и льна, богатые полезными для здоровья веществами, рассматриваются как перспективные источники растительного белка, пищевых волокон и антиоксидантов. Исследования показывают, что эти побочные продукты могут быть успешно использованы в производстве продуктов питания с улучшенными питательными и функциональными характеристиками. Такой подход способствует устойчивому развитию, созданию инновационных функциональных продуктов и реализации принципов безотходного производства. Данная работа посвящена анализу состава жмыхов льна и сафлора и изучению возможности их применения в производстве вареной колбасы.

Для достижения цели исследована возможность использования жмыха сафлора и льна в производстве вареных колбас, которая будет решением для сокращения пищевых отходов. Дана органолептическая оценка, определены физико-химические и бактериологические показатели, свидетельствующие о соответствии полученных продуктов установленным требованиям в действующих нормативных документах.

В ходе исследования в рецептуру варёной колбасы было добавлено 2%, 4% и 6% жмыха сафлора и льна.

Результаты органолептического анализа показали, что образцы с добавлением 4% жмыха имели наиболее гармоничный вкус и аромат.

По данным физико-химического анализа, в колбасе с 4% жмыха сафлора содержалось 71,35±1,2% влаги, 10,58±0,1% жира и 15,76±0,2% белка, а в колбасе с 4% жмыха льна – 70,69±1,4% влаги, 11,18±0,2% жира и 16,65±0,1% белка.

Микробиологические исследования показали отсутствие кишечной палочки, сальмонелл и сульфитредуцирующих клостридий.

Эти результаты подтвердили, что использование жмыха сафлора и льна в количестве 4% позволяет повысить качество готовой продукции и улучшить её пищевую ценность.

Ключевые слова: *мясоперерабатывающая промышленность, мясные продукты, мука из жмыха сафлора, мука из жмыха льна, гидратация.*

A. Shulenova[1*], A. Kassenov[1], M. Kakimov[1], M.Mursalykova[2], S. Tumenov[3]
[1]S. Seifullin Kazakh agrotechnical research university,
010011, Republic of Kazakhstan, Astana city, Zhenis avenue, 62
[2]Shakarim University,
071400, Republic of Kazakhstan, Semey city, st. Glinka, 20A
[3]Astana branch of LLP «Kazakh research institute of processing and food industry»,
010011, Republic of Kazakhstan, Astana city, Baikonur district, Al-Farabi Avenue, 47
*e-mail: shulenovaa@mail.ru

IMPROVING THE QUALITY OF MEAT PRODUCTS THROUGH THE USE OF OILSEED MEAL

Due to the valuable properties of oil extracted from seeds, its use in the food industry is constantly expanding. This, in turn, stimulates active study of by-products of oil production - oilcakes and meal obtained from oilseed crops such as safflower and flax. These residues are a source of bioactive compounds (protein, dietary fiber, antioxidants) with beneficial health properties that can be used in the production of meat products.Utilization of these wastes allows solving ecological and economic problems. Safflower and flax cakes, rich in healthy substances, are considered as promising sources of vegetable protein, dietary fiber and antioxidants. Studies show that these by-products can be successfully utilized in the production of food products with improved nutritional and functional characteristics. This approach promotes sustainable development, the creation of innovative functional products and the realization of zero-waste principles. This work is devoted to analyzing the composition of flax and safflower cakes and studying the possibility of their use in the production of cooked sausage.

To achieve this goal, the possibility of using safflower and flaxseed meal in the production of cooked sausages was investigated, which would be a solution for reducing food waste. Organoleptic evaluation is given, physico-chemical and bacteriological parameters are determined, which testify to the conformity of the obtained products to the established requirements in the current normative documents.

During the study, 2%, 4%, and 6% safflower and flaxseed meal were added to the cooked sausage recipe.

The results of the organoleptic analysis showed that the samples with 4% meal added had the most harmonious taste and aroma.

According to the physical and chemical analysis, the sausage with 4% safflower meal contained 71.35±1.2% moisture, 10.58±0.1% fat, and 15.76±0.2% protein, while sausage with 4% flaxseed meal contained 70.69±1.4% moisture, 11.18±0.2% fat, and 16.65±0.1% protein.

Microbiological studies showed the absence of Escherichia coli, Salmonella, and sulfite-reducing Clostridia.

These results confirmed that the use of 4% safflower and flaxseed meal improves the quality of the finished product and its nutritional value.

Key words: *meat-processing industry, meat products, flour from oil cake safflower oilcake flour, flaxseed oilcake flour, hydration.*

Авторлар туралы мәліметтер

Асем Манарбековна Шуленова* – техника ғылымдарының магистрі, С. Сейфуллин атындағы Қазақ агротехникалық зерттеу университетінің «Тамақ және қайта өңдеу өндірістерінің технологиясы» кафедрасының докторанты, Қазақстан Республикасы, Астана қаласы; e-mail: shulenovaa@mail.ru. ORCID: https://orcid.org/0009-0003-2812-075X.

Амиржан Леонидович Касенов – техника ғылымдарының докторы, «Тамақ және қайта өңдеу өндірістерінің технологиясы» кафедрасының профессоры, С. Сейфуллин атындағы Қазақ агротехникалық зерттеу университеті, Қазақстан Республикасы, Астана қаласы; e-mail: a.kassenov@kazatu.edu.kz. ORCID: https://orcid.org/0000-0002-7715-1128.

Мухтарбек Муканович Какимов – техника ғылымдарының кандидаты, профессор, «Тамақ және қайта өңдеу өндірістерінің технологиясы» кафедрасының меңгерушісі, С. Сейфуллин атындағы Қазақ агротехникалық зерттеу университеті, Қазақстан Республикасы, Астана қаласы; e-mail: muhtarbek@mail.ru. ORCID: https://orcid.org/0000-0002-1190-2195.

Майгуль Тауржановна Мурсалыкова – PhD докторы, Шәкәрім атындағы университеті постдокторанты, Қазақстан Республикасы, Семей қаласы; e-mail: maigul_85@mail.ru. ORCID: https://orcid.org/0000-0001-5904-9544.

Серик Ниязбекович Туменов – техника ғылымдарының докторы, «Қазақ қайта өңдеу және өнеркәсібі ғылыми-зерттеу институтының» ЖШС Астана филиалының бас ғылыми қызметкері, Қазақстан Республикасы, Астана қаласы; e-mail: s.tumenov@mail.ru. ORCID: https://orcid.org/0000-0003-3086-1533.

Сведения об авторах

Асем Манарбековна Шуленова* – магистр технических наук, докторант кафедры «Технология пищевых и перерабатывающих производств», Казахский агротехнический исследовательский университет им. С. Сейфуллина, Республика Казахстан, город Астана; e -mail: shulenovaa@mail.ru. ORCID: https://orcid.org/0009-0003-2812-075X.

Амиржан Леонидович Касенов – доктор технических наук, профессор кафедры «Технология пищевых и перерабатывающих производств», Казахский агротехнический исследовательский университет имени С. Сейфуллина, Республика Казахстан, город Астана, e-mail: a.kassenov@kazatu.edu.kz. ORCID: https://orcid.org/0000-0002-7715-1128.

Мухтарбек Муканович Какимов – кандидат технических наук, профессор, заведующий кафедрой «Технология пищевых и перерабатывающих производств», Казахский агротехнический исследовательский университет имени С. Сейфуллина, Республика Казахстан, город Астана; e-mail: muhtarbek@mail.ru. ORCID: https://orcid.org/0000-0002-1190-2195.

Майгуль Тауржановна Мурсалыкова – доктор PhD, постдокторант, Шәкәрім университет, Республика Казахстан, город Семей; e-mail: maigul_85@mail.ru. ORCID: https://orcid.org/0000-0001-5904-9544.

Серик Ниязбекович Туменов – доктор технических наук, профессор, главный научный сотрудник Астанинского филиала ТОО «Казахский научно-исследовательский институт перерабатывающей и пищевой промышленности», Республика Казахстан, город Астана; e-mail: s.tumenov@mail.ru. ORCID: https://orcid.org/0000-0003-3086-1533.

Information about the authors

Assem Shulenova* – Master of Technical Sciences, Doctoral student of the department of «Food Technology and Processing Products» Saken Seifullin Kazakh Agrotechnical Research University, Republic of Kazakhstan, Astana city; e-mail: shulenovaa@mail.ru. ORCID: https://orcid.org/0009-0003-2812-075X.

Amirzhan Kassenov – Doctor of Technical Sciences, Professor of the Department of «Technology of Food and Processing Industries», S. Seifullin Kazakh Agro-Technical Research University, Republic of Kazakhstan, Astana city; e-mail: a.kassenov@kazatu.edu.kz. ORCID: https://orcid.org/0000-0002-7715-1128.

Mukhtarbek Kakimov – Candidate of Technical Sciences, professor, Head of the Department «Technology of Food and Processing Industries», Kazakh Agrotechnical Research University named after S. Seifullin, Republic of Kazakhstan, Astana city; e-mail: muhtarbek@mail.ru. ORCID: https://orcid.org/0000-0002-1190-2195.

Maigul Mursalykova – Dr. PhD, postdoctoral fellow, Shakarim University, Republic of Kazakhstan, Semey city; e-mail: maigul_85@mail.ru. ORCID: https://orcid.org/0000-0001-5904-9544.
Serik Tumenov – Doctor of Technical Sciences, Professor, Chief Scientific Officer of Astana Branch of LLP «Kazakh Research Institute of Processing and Food Industry», Republic of Kazakhstan, Astana city; e-mail: s.tumenov@mail.ru. ORCID: https://orcid.org/0000-0003-3086-1533.

Редакцияға енуі 02.06.2025
Өңдеуден кейін түсуі 12.08.2025
Жариялауға қабылданды 13.08.2025

https://doi.org/10.53360/2788-7995-2025-4(20)-53

МРНТИ: 65.63.33

BY 4.0
Check for updates

Е.С. Жарыкбасов[1], Ж.Х. Какимова[*], К.С. Жарыкбасова[2], А.К. Какимов[1], А.Е. Бепеева[1]
[1]Шәкәрім Университет,
071412, Республика Казахстан, область Абай, г. Семей, ул. Глинки, 20 А
[2]Alikhan Bokeikhan University,
071400, Республика Казахстан, область Абай, г. Семей, ул. Мәңгілік Ел, 11
*e-mail: zhaynagul.kakimova@mail.ru

СРАВНИТЕЛЬНЫЙ АНАЛИЗ МЕТОДОВ ВЫДЕЛЕНИЯ ПОСТБИОТИКОВ И ОПРЕДЕЛЕНИЕ ВЫХОДА ПРЕПАРАТОВ ИЗ ШТАММОВ МИКРООРГАНИЗМОВ

Аннотация: *В статье представлены результаты исследования, направленные на сравнительный анализ методов выделения постбиотиков и определение выхода и антиоксидантной активности препаратов, полученных из штаммов Lacticaseibacillus sp., Leuconostoc sp. и Saccharomyces sp., выделенных из традиционных ферментированных продуктов (шубат, квашеная капуста и кумыс). На основании анализа литературных источников для экспериментальных исследований были выбраны три метода: термическая инактивация клеток, осаждение этанолом и ультрафильтрация, отличающиеся технологической простотой, экономичностью и способностью сохранять биологически активные компоненты. Выход постбиотиков определяли гравиметрическим методом, антиоксидантную активность – по DPPH и ABTS-тестам, микробиологическую безопасность – по отсутствию роста жизнеспособных клеток. Установлено, что термический метод обеспечивает наибольший выход сухого вещества (90-92 %), высокую антиоксидантную активность (86-89 %) и полную микробиологическую безопасность по сравнению с другими методами. Мягкий режим инактивации (70°C в течение 30 мин) позволил сохранить функциональные метаболиты без разрушения низкомолекулярных антиоксидантов и экзополисахаридов, участвующих в восстановительно-окислительных процессах. Наибольшие значения активности получены у штамма Leuconostoc sp., что связано с наличием экзополисахаридной матрицы, стабилизирующей активные соединения. Полученные результаты подтверждают целесообразность применения термической инактивации в качестве эффективного и доступного метода выделения постбиотиков для разработки функциональных молочных продуктов и расширения биотехнологических направлений пищевой промышленности.*

Ключевые слова*: постбиотики, штаммы микроорганизмов, молочные продукты, методы выделения постбиотиков.*

Введение

В последние годы возрастает интерес к использованию постбиотиков при разработке технологий функциональных молочных продуктов. Постбиотики, представляющие собой инактивированные клетки и их метаболиты, рассматриваются как безопасная и стабильная альтернатива пробиотикам, особенно для продуктов с длительным сроком хранения. Они сохраняют полезные свойства – укрепляют иммунную систему, улучшают пищеварение и баланс кишечной микрофлоры, а также повышают микробиологическую безопасность и срок годности молочных продуктов за счёт антимикробного действия [1-6].

Методы выделения постбиотиков существенно влияют на их состав и функциональную активность. Наиболее распространённым подходом является получение клеточно-свободного супернатанта (CFS) после ферментации и центрифугирования, что позволяет извлечь растворимые метаболиты – органические кислоты, короткоцепочечные жирные

кислоты, пептиды и бактерицины [7]. Однако при таком подходе отсутствуют структурные клеточные компоненты, также обладающие биологической активностью.

Одним из наиболее применяемых и технологически доступных является термический метод, при котором клетки микроорганизмов инактивируются нагревом при 65-121°C в течение 10-60 мин. Такой способ обеспечивает полное подавление жизнеспособности при сохранении липотейхоевых кислот, белков и экзополисахаридов, что подтверждено для штаммов Lacticaseibacillus и Leuconostoc [8, 9]. Этот метод характеризуется низкими затратами, простотой масштабирования и совместимостью с пищевыми матрицами.

Наряду с термическим методом исследуются и другие способы: ультразвуковая дезинтеграция, обеспечивающая высвобождение внутриклеточных белков и нуклеотидов [10], осаждение экзополисахаридов этанолом, позволяющее концентрировать высокомолекулярные фракции [11], а также ультрафильтрация и диализ, применяемые для фракционирования активных соединений по молекулярной массе [12, 13]. Несмотря на эффективность, данные методы требуют дополнительного оборудования и дополнительных финансовых затрат.

На основании анализа литературных источников для проведения экспериментальных исследований по выделению постбиотиков из штаммов микроорганизмов были выбраны три метода: термический, осаждение этанолом и ультрафильтрация, поскольку они сочетают технологическую простоту, экономическую доступность и возможность сохранения биологически активных соединений, что делает их наиболее воспроизводимыми и перспективными среди других методов.

Целью данного исследования является сравнительный анализ методов выделения постбиотиков и определение процента выхода постбиотиков, а также сохранности антиоксидантной активности препаратов, полученных из штаммов Lacticaseibacillus sp., Leuconostoc sp. и Saccharomyces sp., выделенных из традиционных ферментированных продуктов – шубата, квашеной капусты и кумыса.

Методы исследования

В качестве объектов исследования были использованы штаммы Lacticaseibacillus sp. (из шубата), Leuconostoc sp. (из квашеной капусты) и Saccharomyces sp. (из кумыса). Идентичность подтверждали микроскопией и стандартными культуральными признаками.

Выход сухого вещества определяли гравиметрическим методом при 105 ± 2°C до постоянной массы.

Антиоксидантную активность постбиотических образцов оценивали по методам DPPH и ABTS по снижению оптической плотности растворов стабильных радикалов при 517 нм и 734 нм соответственно.

Микробиологическую безопасность постбиотических препаратов устанавливали по отсутствию роста жизнеспособных клеток (0 CFU/мл) на питательной среде MRS-агар после 48 ч инкубации при 37°C.

Для культивирование исследуемые штаммы микроорганизмов выращивали в MRS-бульоне при 37°C, 24-48 ч, дрожжи - в YPD при 30 °C, 24-48 ч. Культуры центрифугировали при 180 об/мин в течение 10-15 мин и осадки дважды промывали 0,9 % NaCl.

Для термической инактивации для получения постбиотиков осадки повторно перемешивали в воде при pH 6,0-6,5 и нагревали при двух режимах: 70 °C в течение 30 мин и 85 °C в течение 10 мин, время отсчитывали после достижения целевой температуры в пробе. Образцы быстро охлаждали до 4°C. Отсутствие жизнеспособных клеток подтверждали посевом 0,1 мл на MRS-агар, 37 °C, 48 ч.

Для определения выхода постбиотиков навеску исходной биомассы сушили при 105 °C до постоянной массы. После термообработки осадок сушили аналогично до постоянной массы.

Процент выхода постбиотиков рассчитывали по формуле (1):

$$Y = \frac{m_{\text{терм}}}{m_{\text{исх}}} \times 100 \qquad (1),$$

где:

Y – процент выхода постбиотика, %

$m_{\text{терм}}$ – масса постбиотиков после термообработки, г

$m_{\text{исх}}$ – масса исходной биомассы, г.

Антиоксидантную активность постбиотических образцов определяли по способности нейтрализовать стабильный радикал 2,2-дифенил-1-пикрилгидразил (DPPH). К 1,00 мл 0,10 мМ раствора DPPH в метаноле добавляли 0,10 мл исследуемого образца, нормированного по содержанию сухого вещества. Смесь инкубировали 30 мин в термостате при температуре 25 °C, после чего измеряли оптическую плотность при длине волны 517 нм относительно контрольного раствора (метанол + DPPH без образца).

Антиоксидантную активность (%) постбиотических образцов рассчитывали по формуле (2):

$$AA = \frac{A_0 - A_1}{A_0} \times 100 \qquad (2),$$

где:

A_0 – оптическая плотность контрольного раствора;

A_1 – оптическая плотность раствора после добавления образца.

Результаты исследования

На основании проведенных исследований проведено сравнительное определение выхода сухого вещества, антиоксидантной активности и микробиологической безопасности образцов постбиотических препаратов, полученных различными методами выделения. Оценка проводилась для штаммов Lacticaseibacillus sp., Leuconostoc sp. и Saccharomyces sp., что позволило установить влияние природы микроорганизма и способа обработки на эффективность получения постбиотика.

Результаты исследования представлены в таблице 1.

Таблица 1 – Выход сухого вещества образцов постбиотических препаратов

№	Метод выделения	Lacticaseibacillus sp., %	Leuconostoc sp., %	Saccharomyces sp., %
1	Термическая инактивация	92,4±2,1	90,7±2,8	91,8±2,3
2	Осаждение этанолом	74,0±2,7	71,5±3,3	74,2±3,2
3	Ультрафильтрация	69,2±2,5	67,4±2,6	68,8±3,1

Результаты исследования определения антиоксидантной активности постбиотических образцов представлены в таблице 2.

Таблица 2 – Антиоксидантная активность образцов постбиотических препаратов

№	Метод выделения	Lacticaseibacillus sp., %	Leuconostoc sp., %	Saccharomyces sp., %
1	Термическая инактивация	89,1±2,4	86,7±3,0	89,3±2,7
2	Осаждение этанолом	74,6±2,8	71,9±3,2	75,3±2,7
3	Ультрафильтрация	77,4±3,1	70,6±3,0	72,5±2,7

На следующем этапе проведены исследования по микробиологической безопасности образцов постбиотических препаратов. Установлено, что во всех образцах, подвергнутых термической инактивации, рост жизнеспособных клеток отсутствовал после 48 ч инкубации на среде MRS при 37 °C. Аналогичные результаты отмечены и при применении ультрафильтрации, в то время как в отдельных образцах после осаждения этанолом наблюдались единичные колонии (< 10 CFU/мл), что указывает на необходимость дополнительной термообработки или фильтрации для полной инактивации.

На основании проведённых экспериментальных исследований установлено, что из трёх исследованных методов (термическая инактивация, осаждение этанолом и ультрафильтрация) термический метод является наиболее эффективным и технологически обоснованным для выделения постбиотиков. Как видно из таблиц 1 и 2 термический метод обеспечивает наибольший выход сухого вещества в среднем 90-92 %, высокую антиоксидантную активность 86–89 % и полную микробиологическую безопасность независимо от штамма микроорганизма (Lacticaseibacillus sp., Leuconostoc sp., Saccharomyces sp.).

Для определения процента выхода постбиотиков по отношению к общей биомассе микроорганизмов при применении термического метода их выделения была проведена

термическая инактивация штаммов микроорганизмов после культивирования при следующих режимах: 70 °С в течение 30 мин и 85 °С в течение 10 мин.

Результаты исследования процента выхода постбиотиков после термической инактивации представлен в таблице 3.

Таблица 3 – Процент выхода постбиотиков после термической инактивации

№	Штаммы микроорганизмов	Режимы	Выход, %
1	Lacticaseibacillus sp.	70 °С, 30 минут	88,0±3,0
		85 °С, 10 минут	78,0±2,0
2	Leuconostoc sp.	70 °С, 30 минут	92,0±2,0
		85 °С, 10 минут	81,0±2,0
3	Saccharomyces sp.	70 °С, 30 минут	85,0±3,0
		85 °С, 10 минут	74,0±3,0

В таблице 4 представлены результаты исследования по стабильности антиоксидантной активности постбиотиков.

Таблица 4 – Антиоксидантная активность постбиотиков после термической инактивации

№	Штаммы микроорганизмов	Режимы	АОА, %
1	Lacticaseibacillus sp.	70 °С, 30 минут	85,0±4,0
		85 °С, 10 минут	80,0±3,0
2	Leuconostoc sp.	70 °С, 30 минут	90,0±3,0
		85 °С, 10 минут	83,0±3,0
3	Saccharomyces sp.	70 °С, 30 минут	82,0±4,0
		85 °С, 10 минут	78,0±2,0

Согласно данным, представленным в таблицах 3 и 4, при применении термического метода инактивации клеток получены количественные значения выхода постбиотических препаратов и их антиоксидантной активности для трёх исследованных штаммов микроорганизмов. Показатели отражают различия в величине выхода сухого вещества и степени сохранности активности при двух режимах обработки (70 °С × 30 мин и 85 °С × 10 мин), что позволяет оценить влияние температурных условий на формирование постбиотических продуктов. Полученные значения использованы для последующего сравнительного анализа эффективности выбранных режимов термической инактивации.

Обсуждение научных результатов

Проведённый сравнительный анализ трёх методов выделения постбиотиков (термическая инактивация, осаждение этанолом и ультрафильтрация) показал, что эффективность получения постбиотических препаратов зависит как от метода обработки, так и от вида микроорганизма-продуцента. Полученные данные согласуются с результатами зарубежных ученых, подтверждающих влияние физико-химических условий инактивации на сохранность биологически активных компонентов.

Термическая инактивация обеспечила наибольший выход постбиотиков (90-92 %) и высокую антиоксидантную активность (86-89 %), что свидетельствует о сохранении функциональных метаболитов после нагрева. Такие результаты объясняются тем, что при умеренных температурах (70 °С в течение 30 мин) происходит денатурация клеточных мембран без разрушения низкомолекулярных антиоксидантов, пептидов и экзополисахаридов, участвующих в восстановительно-окислительных реакциях. Такая же закономерность описана в трудах ученых [8], которые отметили, что при температуре выше 85 °С снижается активность антиоксидантных соединений вследствие термической деградации.

При осаждении экзополисахаридов этанолом и ультрафильтрации выход был ниже (67-75 %), что связано с частичными потерями веществ при промывке и разделении фаз. Эти методы позволяют получать более очищенные фракции, но требуют дополнительных стадий концентрирования и не всегда обеспечивают полную инактивацию клеток. В отдельных пробах после осаждения этанолом обнаруживались единичные колонии (< 10 CFU/мл), что подтверждает необходимость дополнительной термообработки.

Сравнение режимов термической обработки показало, что более мягкий режим (70 °C в течение 30 мин) обеспечивает оптимальное соотношение выхода (85-92 %) и антиоксидантной активности (82-90 %) для всех исследованных штаммов (Lacticaseibacillus sp., Leuconostoc sp., Saccharomyces sp.). При повышении температуры до 85 °C наблюдалось незначительное снижение этих показателей (на 8-10 %), что указывает на чувствительность антиоксидантных компонентов к перегреву. Особенно высокие значения активности зафиксированы у штамма Leuconostoc sp., вероятно, благодаря наличию экзополисахаридной матрицы, защищающей метаболиты от термического разрушения.

Заключение

В результате проведённых исследований установлено, что выбор метода выделения постбиотиков существенно влияет на их выход и сохранение функциональной активности. Сравнительный анализ трёх методов (термическая инактивация, осаждение этанолом и ультрафильтрация) показал, что именно термическая обработка обеспечивает наилучшее сочетание технологической эффективности и биологической сохранности активных соединений. Применение мягкого режима инактивации (70 °C в течение 30 мин) позволило получить максимальный выход сухого вещества и высокий уровень антиоксидантной активности при полной микробиологической безопасности препаратов. Таким образом, термический метод можно рассматривать как наиболее рациональный и перспективный способ получения постбиотиков для дальнейшего использования в разработке функциональных молочных продуктов и других биотехнологических направлений пищевой промышленности.

Список литературы

1. Бегунова А.В. Оценка потенциала пропионовокислых бактерий для получения постбиотиков / А.В. Бегунова, Н.А. Жижин // Хранение и переработка сельхозсырья. – 2022. – № 4. – С.102-112.
2. Рожкова И.В. Постбиотики как потенциальные компоненты кисломолочных продуктов с функциональными свойствами / И.В. Рожкова, В.А. Леонова, А.В. Бегунова // Молочная промышленность. – 2022. – № 3. – С.16-18.
3. Колоколова А.Ю. Изучение изменения органолептического профиля кисломолочной продукции с добавлением постбиотика / А.Ю. Колоколова, И.В. Рожкова, В.А. Леонова // Пищевая промышленность. – 2024. – № 6. – С. 52-55.
4. Сазанова С.Н. Получение мороженого с пробиотиками и постбиотиками SacchromycesBoulardii / С.Н. Сазанова, С.А. Рябцева, С.С. Аванесян // Известия высших учебных заведений. Пищевая технология. – 2024. – № 2-3(396). – С. 48-54.
5. Paraprobiotics and postbiotics: concepts and potential applications in dairy products / C.P. Barros et al // Current Opinion in Food Science. – 2020. – Vol. 32. https://doi.org/10.1016/j.cofs.2019.12.003.
6. Develompment and properties of functional yoghurt enriched with postbiotic produced by yoghurt cultures using cheese whey and skim milk / S. Sadighbathi et al // Frontiers. – 2023. – Vol. 14. https://doi.org/10.3389/fmicb.2023.1276268.
7. Păcularu-Burada B. Freeze-dried biotics based on Lactiplantibacillus plantarum with functional properties / B. Păcularu-Burada, M.M. Stanciu, M.A. Vasile // Food Science and Technology (LWT). – 2024. – № 203(12). https://doi.org/10.1016/j.lwt.2024.116339.
8. Abitha Eswari U. Thermal methods of postbiotics preparation / U. Abitha Eswari, K. Ramesh, T. Rajasekar // In: Postbiotics: Methods and Protocols in Food Science. – New York: Humana Press, 2024. – 424 p.
9. Paul Beulah B.F. Preparation of postbiotics from Bacillus spp / B.F. Paul Beulah, T. Rajasekar // In: Postbiotics: Methods and Protocols in Food Science. New York: Humana Press, 2024. – 424 p.
10. The Effects of Substrates and Sonication Methods on the Antioxidant Activity of Kefir Postbiotics / G. Chávez-Alzaga et all // Fermentation. – 2024. – Vol. (9). https://doi.org/10.3390/fermentation10090492.
11. Duarte M. Current postbiotics in the cosmetic market: perspectives for food applications / M. Duarte, G. Vinderola, E. Salvucci // Applied Microbiology and Biotechnology. – 2022. – Vol. 106(12). – P. 5879-5891.

12. Cimini D. Optimization of growth and postbiotic production by Levilactobacillus brevis SP48 / D. Cimini, G. Mezzapesa, S. Fedi / /Frontiers in Bioengineering and Biotechnology. – 2022. – Vol. 10. https://doi.org/10.3389/fbioe.2022.1007004.
13. Леонова В.А. Методы получения постбиотиков / В.А. Леонова, И.В. Рожкова // Молочная промышленность. – 2022. – № 4. – С. 24-25.

References

1. Begunova A.V. Otsenka potentsiala propionovokislykh bakterii dlya polucheniya postbiotikov / A.V. Begunova, N.A. Zhizhin // Khranenie i pererabotka sel'khozsyr'ya. – 2022. – № 4. – S.102-112. (In Russian).
2. Rozhkova I.V. Postbiotiki kak potentsial'nye komponenty kislomolochnykh produktov s funktsional'nymi svoistvami / I.V. Rozhkova, V.A. Leonova, A.V. Begunova // Molochnaya promyshlennost'. – 2022. – № 3. – S.16-18. (In Russian).
3. Kolokolova A.YU. Izuchenie izmeneniya organolepticheskogo profilya kislomolochnoi produktsii s dobavleniem postbiotika / A.YU. Kolokolova, I.V. Rozhkova, V.A. Leonova // Pishchevaya promyshlennost'. – 2024. – № 6. – S. 52-55. (In Russian).
4. Sazanova S.N. Poluchenie morozhenogo s probiotikami i postbiotikami SacchromycesBoulardii / S.N. Sazanova, S.A. Ryabtseva, S.S. Avanesyan // Izvestiya vysshikh uchebnykh zavedenii. Pishchevaya tekhnologiya. – 2024. – № 2-3(396). – S. 48-54. (In Russian).
5. Paraprobiotics and postbiotics: concepts and potential applications in dairy products / C.P. Barros et al // Current Opinion in Food Science. – 2020. – Vol. 32. https://doi.org/10.1016/j.cofs.2019.12.003. (In Russian).
6. Develompment and properties of functional yoghurt enriched with postbiotic produced by yoghurt cultures using cheese whey and skim milk / S. Sadighbathi et al // Frontiers. – 2023. – Vol. 14. https://doi.org/10.3389/fmicb.2023.1276268. (In English).
7. Păcularu-Burada B. Freeze-dried biotics based on Lactiplantibacillus plantarum with functional properties / B. Păcularu-Burada, M.M. Stanciu, M.A. Vasile // Food Science and Technology (LWT). – 2024. – № 203(12). https://doi.org/10.1016/j.lwt.2024.116339. (In English).
8. Abitha Eswari U. Thermal methods of postbiotics preparation / U. Abitha Eswari, K. Ramesh, T. Rajasekar // In: Postbiotics: Methods and Protocols in Food Science. – New York: Humana Press, 2024. – 424 p. (In English).
9. Paul Beulah B.F. Preparation of postbiotics from Bacillus spp / B.F. Paul Beulah, T. Rajasekar // In: Postbiotics: Methods and Protocols in Food Science. New York: Humana Press, 2024. – 424 p. (In English).
10. The Effects of Substrates and Sonication Methods on the Antioxidant Activity of Kefir Postbiotics / G. Chávez-Alzaga et all // Fermentation. – 2024. – Vol. (9). https://doi.org/10.3390/fermentation10090492. (In English).
11. Duarte M. Current postbiotics in the cosmetic market: perspectives for food applications / M. Duarte, G. Vinderola, E. Salvucci // Applied Microbiology and Biotechnology. – 2022. – Vol. 106(12). – R. 5879-5891. (In English).
12. Cimini D. Optimization of growth and postbiotic production by Levilactobacillus brevis SP48 / D. Cimini, G. Mezzapesa, S. Fedi / /Frontiers in Bioengineering and Biotechnology. – 2022. – Vol. 10. https://doi.org/10.3389/fbioe.2022.1007004. (In English).
13. Leonova V.A. Metody polucheniya postbiotikov / V.A. Leonova, I.V. Rozhkova // Molochnaya promyshlennost'. – 2022. – № 4. – S. 24-25. (In Russian).

Материалы подготовлены в рамках научного проекта грантового финансирования ИРН AP26198315 «Научно-практические аспекты разработки технологии функциональных молочных продуктов на основе БАД нового поколения».

Е.С. Жарыкбасов[1], Ж.Х. Какимова[1]*, К.С. Жарыкбасова[2], А.К. Какимов[1], А.Е. Бепеева[1]
[1]Шәкәрім Университет,
071412, Қазақстан Республикасы, Абай облысы, Семей қаласы, Глинки көшесі 20А
[2]Alikhan Bokeikhan University,
071400, Қазақстан Республикасы, Абай облысы, Семей қаласы, Мәңгілік Ел көшесі 11
*e-mail: zhaynagul.kakimova@mail.ru

ПОСТБИОТИКТАРДЫҢ ОҚШАУ ӘДІСТЕРІН САЛЫСТЫРМАЛЫ ТАЛДАУ ЖӘНЕ МИКРООРГАНИЗМДЕРДЕН ДӘРІЛЕРДІҢ ШЫҒЫНДЫСЫН АНЫҚТАУ

Мақалада постбиотикалық оқшаулау әдістерін салыстырмалы талдауға және дәстүрлі ашытылған өнімдерден (шұбат, қырыққабат және қымыз) бөлінген Lacticasibacillus sp., Leuconostoc sp. және Saccharomyces sp. штамдарынан алынған препараттардың өнімділігі мен антиоксиданттық белсенділігін анықтауға бағытталған зерттеу нәтижелері ұсынылған. Әдеби дереккөздерді талдау негізінде эксперименттік зерттеулер үшін үш әдіс таңдалды: термиялық жасушаларды инактивтеу, этанолды тұндыру және ультрафильтрация, олар технологиялық қарапайымдылықпен, үнемділікпен және биологиялық белсенді компоненттерді сақтау мүмкіндігімен сипатталады. Постбиотиктердің өнімділігі гравиметриялық, антиоксиданттық белсенділік DPPH және ABTS сынақтарымен, ал микробиологиялық қауіпсіздік өміршең жасуша өсуінің болмауымен анықталды. Термиялық әдіс басқа әдістермен салыстырғанда ең жоғары құрғақ заттардың өнімділігін (90-92%), жоғары антиоксиданттық белсенділікті (86-89%) және толық микробиологиялық қауіпсіздікті қамтамасыз ететіні анықталды. Жұмсақ инактивация режимі (70°C температурада 30 минут) тотығу-тотықсыздану процестеріне қатысатын төмен молекулалық салмақтағы антиоксиданттар мен экзополисахаридтерді бұзбай функционалды метаболиттерді сақтап қалды. Белсенді қосылыстарды тұрақтандыратын экзополисахарид матрицасының болуына байланысты Leuconostoc sp. штаммы үшін ең жоғары белсенділік мәндері алынды. Алынған нәтижелер функционалды сүт өнімдерін әзірлеу және тамақ өнеркәсібінде биотехнологиялық тәсілдерді кеңейту үшін постбиотиктерді бөліп алудың тиімді және қолжетімді әдісі ретінде термиялық инактивацияның орындылығын растайды.

Түйін сөздер: *постбиотиктер, микробтық штамдар, сүт өнімдері, постбиотиктерді бөліп алу әдістері.*

Y. Zharykbasov[1], Zh. Kakimova[1]*, K. Zharykbasova[2], A. Kakimov[1], A. Bepeyeva[1]
[1]Shakarim University,
071412, Republic of Kazakhstan, Abai region, Semey city, Glinki street 20A
[2]Alikhan Bokeikhan University,
071400, Republic of Kazakhstan, Abai region, Semey city, Mangilik street 11
*e-mail: zhaynagul.kakimova@mail.ru

COMPARATIVE ANALYSIS OF METHODS OF ISOLATION OF POSTBIOTICS AND DETERMINATION OF THE YIELD OF DRUGS FROM MICROORGANISMS

The article presents the results of a study aimed at a comparative analysis of postbiotic isolation methods and determining the yield and antioxidant activity of preparations obtained from Lacticaseibacillus sp., Leuconostoc sp., and Saccharomyces sp. strains isolated from traditional fermented products (shubat, sauerkraut, and kumiss). Based on an analysis of literary sources, three methods were selected for experimental studies: thermal cell inactivation, ethanol precipitation, and ultrafiltration, characterized by technological simplicity, cost-effectiveness, and the ability to preserve biologically active components. The yield of postbiotics was determined gravimetrically, antioxidant activity by DPPH and ABTS tests, and microbiological safety by the absence of viable cell growth. It was found that the thermal method provides the highest dry matter yield (90-92%), high antioxidant activity (86-89%), and complete microbiological safety compared to other methods. A gentle inactivation regime (70°C for 30 min) preserved functional metabolites without destroying low-molecular-weight antioxidants and exopolysaccharides involved in redox processes. The highest activity values were obtained for the Leuconostoc sp. strain, which is due to the presence of an exopolysaccharide matrix stabilizing the active compounds. The obtained results confirm the feasibility of thermal inactivation as an effective and affordable method for isolating postbiotics for the development of functional dairy products and the expansion of biotechnological approaches in the food industry.

Key words: *postbiotics, microbial strains, dairy products, methods for isolating postbiotics.*

Сведения об авторах

Ерлан Сауыкович Жарыкбасов – PhD, ассоциированный профессор, декан Исследовательской школы физических и химических наук; Шәкәрім Университет, г. Семей, Республика Казахстан; e-mail: erlan-0975@mail.ru. ORCID: https://orcid.org/0000-0001-9707-0539.

Жайнагуль Хасеновна Какимова* – кандидат технических наук, ассоциированный профессор кафедры «Биоинженерлік жүйелер», Шәкәрім Университет, г. Семей, Республика Казахстан; e-mail: zhaynagul.kakimova@mail.ru. ORCID: https://orcid.org/0000-0002-3501-3042.

Клара Сауыковна Жарыкбасова – доктор технических наук, ассоциированный профессор кафедры «Прикладная биология»; Alikhan Bokeikhan University, г. Семей, Республика Казахстан; e-mail: Klara_zharykbasova@mail.ru. ORCID: https://orcid.org/0000-0002-2027-3183.

Айтбек Калиевич Какимов – доктор технических наук, профессор кафедры «Биоинженерлік жүйелер», Шәкәрім Университет, г. Семей, Республика Казахстан; e-mail: bibi.53@mail.ru. ORCID: https://orcid.org/0000-0002-9607-1684.

Айгерим Ергалиевна Бепеева – PhD; старший преподаватель кафедры «Биоинженерлік жүйелер», Шәкәрім Университет, г. Семей, Республика Казахстан; e-mail: bepeyeva1987@gmail.com. ORCID: https://orcid.org/0000-0003-0097-8466.

Авторлар туралы мәліметтер

Ерлан Сауыкович Жарыкбасов – PhD, қауымдастырылған профессор, Физика және химия ғылымдары зертеу мектебінің деканы, Шәкәрім Университет, Семей қаласы, Қазақстан Республикасы; e-mail: erlan-0975@mail.ru. ORCID: https://orcid.org/0000-0001-9707-0539.

Жайнагуль Хасеновна Какимова* – техника ғылымдарының кандидаты; «Биоинженерлік жүйелер» кафедрасының қауымдастырылған профессор, Семей қаласы, Қазақстан Республикасы; e-mail: zhaynagul.kakimova@mail.ru. ORCID: https://orcid.org/0000-0002-3501-3042.

Клара Сауыковна Жарыкбасова – техника ғылымдарының докторы, «Прикладная биология» кафедрасының қауымдастырылған профессор, Alikhan Bokeikhan University, Семей қаласы, Қазақстан Республикасы; e-mail: Klara_zharykbasova@mail.ru. ORCID: https://orcid.org/0000-0002-2027-3183.

Айтбек Калиевич Какимов – техника ғылымдарының докторы, «Биоинженерлік жүйелер» кафедрасының профессоры; Шәкәрім Университет, Семей қаласы, Қазақстан Республикасы; e-mail: bibi.53@mail.ru. ORCID: https://orcid.org/0000-0002-9607-1684.

Айгерим Ергалиевна Бепеева – PhD; «Биоинженерлік жүйелер» кафедрасының аға оқытушы, Шәкәрім Университет, Семей қаласы, Қазақстан Республикасы, e-mail: bepeyeva1987@gmail.com. ORCID: https://orcid.org/0000-0003-0097-8466.

Information about the authors

Yerlan Zharykbasov – PhD, Associate Professor, Dean Research School of Physical and Chemical Sciences; Shakarim University, Semey city; Republic of Kazakhstan; e-mail: erlan-0975@mail.ru. ORCID: https://orcid.org/0000-0001-9707-0539.

Zhaynagul Kakimova* – Candidate of Technical Sciences; Associate Professor of «Department of Bioengineering Systems», Shakarim University, Semey city, Republic of Kazakhstan; e-mail: zhaynagul.kakimova@mail.ru. ORCID: https://orcid.org/0000-0002-3501-3042.

Klara Zharykbasov – Doctor of Technical Science, Associate Professor of «Applied biology», Alikhan Bokeikhan University, Semey city, Republic of Kazakhstan; e-mail: Klara_zharykbasova@mail.ru. ORCID: https://orcid.org/0000-0002-2027-3183.

Aitbek Kakimov – Doctor of Technical Science, Professor of «Department of Bioengineering Systems», Shakarim University, Semey city, Republic of Kazakhstan; e-mail: bibi.53@mail.ru. ORCID: https://orcid.org/0000-0002-9607-1684.

Aigerim Bepeyeva – PhD; senior lecture of «Department of Bioengineering Systems», Shakarim University, Semey city; Republic of Kazakhstan Қазақстан Республикасы; e-mail: bepeyeva1987@gmail.com. ORCID: https://orcid.org/0000-0003-0097-8466.

Поступила в редакцию 01.11.2025
Поступила после доработки 11.11.2025
Принята к публикации 12.11.2025

https://doi.org/10.53360/2788-7995-2025-4(20)-54

IRSTI: 62.09.29; 62.09.37

CC BY 4.0
Check for updates

A.E. Daniyarova[1]*, K.S. Bekbayev[1], A. Toleugazykyzy[2], Zh. Kalibekkyzy[1], K.P. Moldakashev[1]
[1]Shakarim University,
071412, Republic of Kazakhstan, Semey, 20 A Glinka Street
[2]S. Seifullin Kazakh Agro Technical Research University
010011, Republic of Kazakhstan, Astana, 62 Zhenis Avenue
*e-mail: ayaulim.dd@gmail.com

INHIBITORS OF LIGNOCELLULOSIC BIOMASS: MECHANISMS OF ACTION AND IMPACT ON THE EFFICIENCY OF BIOLOGICAL HYDROGEN PRODUCTION (REVIEW)

Abstract: *The work is devoted to the study of inhibitory factors limiting the yield of biohydrogen during the processing of lignocellulosic biomass (LCB). In this context, dark fermentation is considered one of the most promising biological methods for producing hydrogen, since it does not require an external energy source, is compatible with modern reactor technologies and allows the use of a wide range of substrates. The main barrier to its industrial application remains the accumulation of toxic compounds formed during the pre-*

treatment of LCB and during fermentation. The work summarizes information on the composition and action of the main inhibitors. The results of the analysis showed that the yield of H_2 during TF reaches 2-4 mol/mol sugar (maximum ~3.8 mol/mol hexose), but drops significantly in the presence of: (i) furans (furfural 0.03-8.23 g/l; 5-HMF 0.09-1.59 g/l), (ii) phenolic compounds of lignin (vanillin, syringaldehyde), (iii) organic acids (formic, acetic, levulinic), (iv) inorganic ions and heavy metals (Zn, Cu, Cr, Ni, etc.), (v) ammonia and sulfates. Dose-dependent effects and changes in microbial community composition are also discussed, such as the effect of pH, the reduction in Clostridium abundance due to furfural, or the increase in Clostridium and Ruminococcaceae abundance with the addition of 5-HMP. Thus, understanding the mechanisms of action of inhibitors and finding ways to reduce their impact are key areas for improving the efficiency of dark fermentation and its implementation as a sustainable technology for converting lignocellulosic biomass into biohydrogen.

Key words: *dark fermentation, biohydrogen, lignocellulosic biomass, inhibitors, furan compounds, phenolic compounds, volatile fatty acids, heavy metals.*

Introduction

In recent decades, the production of molecular hydrogen (H_2) using lignocellulosic biomass (LCB) has attracted considerable attention from researchers. Both primary plant resources - wheat straw, rice husks and straw, herbaceous vegetation - and agro-industrial waste, including sugar beet pulp, sunflower residues, rapeseed and other oilseeds, are studied as substrates [1-3]. The potential of this direction is confirmed by the scale of available raw materials: the annual global volume of LCB is estimated at more than 220 billion tons [4, 5], which makes it a virtually inexhaustible and renewable source for biotechnological processing.

Among all alternative energy sources, molecular hydrogen is considered the most promising, since it has a high specific heat of combustion, is environmentally friendly (when used, only water is formed without CO_2 emissions), can be produced from agricultural waste and lignocellulosic biomass, facilitates the utilization of by-products and the creation of closed bioeconomy cycles, is used in the food industry for the hydrogenation of fats and oils [6], saturation of water and drinks in order to give them antioxidant properties [7], extending the shelf life of meat, dairy and fat products, and also ensures the energy autonomy of enterprises and a reduction in the carbon footprint of products [8, 9].

According to Jain R. et al. (Fig. 1) [9], biological pathways for producing hydrogen are divided into three main directions: fermentation processes, biophotolysis and bioelectrochemical systems. Fermentation methods include dark fermentation and photofermentation, carried out by mesophilic and thermophilic microorganisms, as well as sulfur-containing and sulfur-independent phototrophic bacteria. Biophotolysis, in turn, is divided into direct and indirect and is implemented with the participation of microalgae and cyanobacteria. Bioelectrochemical systems are represented by microbial electrolysis cells, the functioning of which is ensured by exoelectrogenic microorganisms. Each of these approaches is based on specific biochemical reactions, the end result of which is the formation of molecular hydrogen [9].

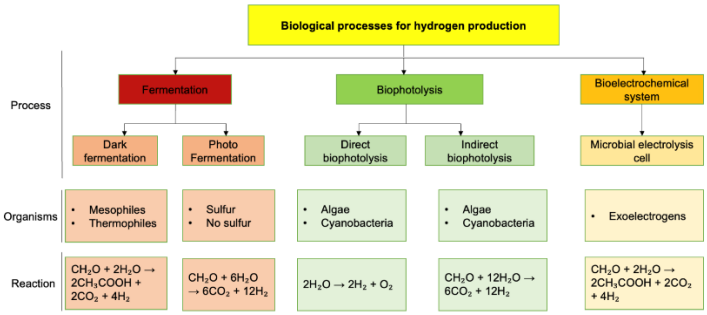


Figure 1. Brief description of processes, organisms and reactions in biohydrogen production [9]

It is worth noting that each of these technologies has its own advantages and difficulties depending on its feasibility, sustainability and energy efficiency.

Photobiological approaches to hydrogen production, including biophotolysis, appear attractive because they use sunlight and water. However, their efficiency is limited by low H_2 yields and the high sensitivity of hydrogenases to oxygen.

In contrast, dark fermentation exhibits a higher hydrogen production rate, does not require an external energy source, and can be implemented using a wide range of substrates, including LCB.

In addition, TF is compatible with existing reactor technologies, making it the most practical method for biological hydrogen production [10, 11].

The yield of hydrogen in TF reaches up to 3.8 mol H_2/mol hexose (using Bacillus, Clostridium, Thermotoga, etc. cultures), while in photofermentation it is limited to 0.5-2 mol/mol. It is believed that the theoretical yield limit is 2-4 mol H_2/mol sugar depending on the by-products – acetic or butyric acid. The highest yield values are achieved using simple carbohydrates, while lignocellulosic materials require special pre-treatment [12, 13].

Despite the obvious advantages of dark fermentation and the wide availability of lignocellulosic biomass, the key problem holding back industrial implementation of the technology remains the low yield of hydrogen. As numerous studies in recent years have shown, the main reason for this is the formation and accumulation of inhibitory compounds that arise during the pre-treatment of lignocellulosic biomass and the fermentation itself.

This review study systematically analyzes and summarizes various inhibitory factors affecting DF hydrogen production. Among them are:

• inorganic inhibitors: heavy and light metal ions, ammonia, sulfates and hydrogen.
• organic inhibitors: volatile fatty acids, furan derivatives and phenolic compounds.
• biological inhibitors: bacteriocins and thiosulfinates.

Inhibitor concentrations and mechanisms of action are discussed in detail. Strategies to reduce their impact are also presented and analyzed. The article suggests directions for further research aimed at scaling up and commercializing the DF hydrogen production technology [14-16].

1. Main inhibitors of dark fermentation

Despite the advantages of TF, the key problem remains the low yield of H2 when using lignocellulosic hydrolysates. This is due to the accumulation of by-products formed both at the pre-treatment stage and during the fermentation itself. The most common inhibitors include furan derivatives (furfural, 5-hydroxymethylfurfural), phenolic compounds, organic acids, and inorganic substances - heavy metals, ammonia and sulfates (Fig. 2) [17-20].

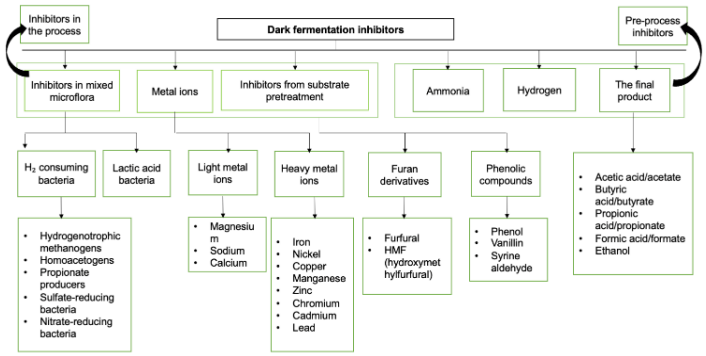


Figure 2 – Inhibitors of DF biohydrogen production [17-20]

The main groups of dark fermentation inhibitors that can act at different stages of the process – from the composition of the initial substrate and microbial community to the accumulation of final products – can be classified as follows:

Inhibitors in mixed microflora are H2-consuming microorganisms (methanogens, homoacetogens, propionate producers, sulfate- and nitrate-reducing bacteria), as well as lactic acid bacteria, which compete for substrates and shift metabolism.

Metal ions – light metals in excess cause osmotic stress, heavy metals block enzymes and damage cells. Inhibitors from pre-treatment of substrates – furan derivatives inhibit glycolysis, phenolic compounds damage membranes and reduce cell viability.

Additional inhibitors – ammonia and its derivatives cause nitrogen stress; high H_2 levels inhibit its further formation; accumulation of organic acids and ethanol reduces pH and inhibits producers. The end products (acetic, butyric, propionic and formic acids, ethanol) when accumulated cause self-suppression of the process due to a decrease in pH and toxicity to producers [21, 22].

1.1 Inhibition by lactic acid bacteria

Lactic acid bacteria are well known for their antimicrobial properties and are able to partially or completely inhibit the process of dark fermentation. The mechanisms of suppression of the activity of hydrogen-producing microorganisms by lactic acid bacteria include several pathways:

(a) acidification of the environment due to the formation of lactic acid;

(b) production of antimicrobial compounds, such as reactive oxygen species (e.g. hydrogen peroxide);

(c) secretion of polypeptide antibiotics – bacteriocins [23].

LAB species such as Lactobacillus sp. produce lactic acid as the primary product of fermentation of carbohydrate-containing substrates, although they can also utilize amino acids and nucleotides. When mixed microflora are used in dark fermentation (DF) processes, the presence of LAB acts as a factor suppressing biohydrogen producers (HPB) by competing for substrates or releasing toxins. LAB compete with HPB for pyruvate and produce lactic acid at the expense of biohydrogen formation, which leads to a decrease in its yield. In addition, LAB produce toxins that have a damaging effect on HPB, as a result of which the process is inhibited and biohydrogen production is reduced.

As for lactic acid itself, its production increases with increasing organic load or substrate concentration. Some studies report an inhibitory effect of lactic acid on dark fermentative H_2 production. Crigler J et al. recorded a decrease in biohydrogen yield from 0.071 to 0.049 m^3/kg volatile solids with an increase in lactic acid concentration from 2345.6 to 4425.6 mg/L [24]. However, Wang et al. noted that micro-addition of lactic acid, on the contrary, resulted in an increase in biohydrogen production to 138.9 ml/g dry matter compared to 101.5 ml/g without the additive [25]. Thus, unlike LAB, the effect of lactic acid itself on DF hydrogen production requires further study before definitive conclusions can be drawn.

1.2 Inhibitors formed during pretreatment of substrates

Pretreatment of lignocellulosic materials is an important step in the transformation of biomass into fermentable sugars. It prepares the material for the hydrolysis stage, which breaks down the lignin and hemicellulose, releasing the cellulose inside [26, 27].

Pretreatment can be applied to both inoculum and substrates. While inoculum pretreatment aims to enrich H_2 producers and suppress H_2 consumers, substrate pretreatment aims to destroy the lignin «barrier» of lignocellulosic materials, release cellulose molecules into solution, destroy the crystalline structure of cellulose and promote depolymerization, which ultimately improves hydrolysis and biohydrogen production [28].

In addition to these positive aspects, pre-treatment of lignocellulose also results in the formation of toxic by-products such as phenolic compounds, furan derivatives and weak acids, which can inhibit the dark fermentation process in biohydrogen production [29-31].

Furan derivatives. Acid hydrolysis, which is the most common method, can lead to the formation of furan derivatives, including 5-hydroxymethylfurfural (5-HMF) and furfural [11].

Furan derivatives are formed mainly as a result of dehydration of pentoses and hexoses. According to the literature, the concentration of furans formed during substrate pretreatment varies from 0.12 to 9.82 g/l (furfural – 0.03-8.23 g/l, 5-HMF – 0.09-1.59 g/l). Such concentrations can have an inhibitory effect on hydrogen production. With a furan derivative content of about 1 g/l, hydrogen production decreases by 17.9-76.05%, and bacterial growth is not observed at concentrations up to 2.0 g/l. In a continuous hydrogen production system, furfural at a concentration of 1-4 g/l reduced hydrogen yield by 21-62% compared to the control group [32].

However, the inhibitory effect of furans is highly dependent on the inoculum used. Thus, in the case of anaerobic reactor sludge, furfural at concentrations of 0.10, 0.50, and 1.00 g/L was completely decomposed and, therefore, had no inhibitory effect on hydrogen production. It is possible that some members of the microbial consortium are less sensitive to furans, allowing the entire community to overcome this limitation. In addition, the addition of HMF can lead to an increase in the proportion of bacteria of the genus Clostridium and the family Ruminococcaceae. This confirms that the effect of furans is highly dependent on the inoculum.

The mechanisms of inhibition by furans can be diverse. It has been reported that furans are capable of changing the structure of the microbial community, inducing the formation of reactive oxygen species, destroying DNA and inhibiting the synthesis of proteins and RNA, slowing down cell growth, disrupting the work of glycolytic and enzymatic enzymes, and reducing the permeability of cell membranes. Also, the main mechanism of inhibition by furans is the disruption of the synthesis of glycolytic enzymes and the suppression of biomass growth [33-35].

Phenolic compounds. Phenolic compounds are formed during the degradation of lignin during pretreatment or acid hydrolysis of biomass, and the most typical representatives of this group are vanillin and syringaldehyde. These substances have a destructive effect on the cell membranes of

microorganisms: they change their structure, increase permeability or directly damage the lipid layer. As a result, the cytoplasm loses its protective barrier, becoming vulnerable to extracellular toxins. Such a violation of membrane integrity is accompanied by a leakage of intracellular components (proteins, potassium and phosphate ions), which leads to a decrease in the growth rate of bacteria, inhibition of metabolic activity and changes in fermentation pathways [36].

Aromatic carboxylic acids, which also belong to phenolic compounds, attract special attention of researchers. Among them are phenolic acids (for example, ferulic and 4-hydroxybenzoic) and non-phenolic aromatic acids, such as cinnamic. They are usually considered in a single row with other phenolic compounds, rather than with aliphatic acids, which is due to their structural features. Thus, the presence of S-(syringyl), G-(guaiacyl) and H-(4-hydroxyphenyl) fragments indicates their origin from lignin or products of hydrolysis of esterified phenols. Despite the fact that their concentrations in lignocellulose hydrolysates are relatively low compared to aliphatic acids, they demonstrate a significantly more pronounced inhibitory effect. For example, up to 6.6 mg/l (0.033 mM) of ferulic acid was detected in corn stover hydrolysates, and up to 210 mg/l in sugarcane bagasse hydrolysates [37].

Thus, phenolic compounds, including aromatic acids, even in low concentrations are capable of significantly suppressing the growth of microorganisms, slowing down fermentation processes and reducing the yield of biohydrogen. Their combined effect with other inhibitors makes it necessary to develop effective methods for detoxifying hydrolysates to increase the efficiency of bioconversion of lignocellulosic biomass.

1.3 Organic acids

It is known that anaerobic digestion is a complex biochemical process that proceeds through successive stages of hydrolysis, acidogenesis, acetogenesis and methanogenesis. During the stages of hydrolysis and acidogenesis, complex organic substances are broken down into short-chain volatile fatty acids (VFAs), such as acetic, propionic, butyric, lactic and valeric acids. These reactions are catalyzed by acidogenic or fermentative bacteria.

At the acetogenesis stage, organic acids are further converted into acetic acid and hydrogen (H_2), which serve as precursors of methane for methanogenic microorganisms. Acetic acid can be used directly by methanogens, with about 75% of methane being formed from its degradation.

However, excessive accumulation of VFA (i.e. acidification of the environment) causes an imbalance between the acidogenic and methanogenic stages [38, 39].

Organic acids are formed by deep degradation of monosaccharides. At low concentrations, short-chain organic acids may have no effect or even stimulate acidogenic H_2 formation. However, as high levels of organic acids accumulate, the pH decreases, which negatively affects hydrogenase activity and reduces the overall yield of H_2.

The pKa of acetic and butyric acids is 4.75 and 4.82, respectively. At low pH, undissociated volatile fatty acids (VFA) penetrate bacterial cell membranes and dissociate inside the cell (where the pH is close to neutral), releasing protons and lowering the cytosolic pH. The accumulation of protons has a negative effect on bacterial growth and metabolism. To restore normal pH, ATPases pump protons out, spending ATP, which leads to the depletion of cellular energy reserves. Continuation of this process causes the cessation of microbial growth. In addition, the accumulation of VFA anions increases the osmolarity of the cytosol, which leads to the development of turgor pressure and disruption of the integrity of the cell membrane [40].

Volatile fatty acids (VFA). Accumulation of volatile fatty acids (VFA) during processing of lignocellulosic biomass can significantly inhibit the process of anaerobic decomposition, which leads to a decrease in biogas yield. It has been shown that the concentration of VFA affects all stages of anaerobic decomposition, especially hydrolysis and acidogenesis. Inhibition of methanogenic bacteria activity under the influence of VFA is associated with a drop in pH, which causes a loss of activity of acid-sensitive enzymes [41].

In addition, significant amounts of undissociated acids are able to penetrate the cell membranes of microorganisms, destroying macromolecules and disrupting their metabolism. The optimal concentration of VFA for stable metabolic activity is 2000-3000 mg/l.

At a VFA concentration of about 2 g/l, cellulolytic activity is suppressed, which is especially critical for the processing of lignocellulosic biomass. At a concentration above 4 g/l, biogas production is significantly reduced due to the inhibition of glucose fermentation and the slowing down of cellulose hydrolysis. Local accumulation of VFA in a reactor operating on lignocellulosic waste

can lead to disruption of the microbial community structure, which causes inhibition of the process and subsequently leads to its failure [42, 43].

1.4 Inorganic compounds

Inorganic ions present in lignocellulose hydrolysates originate from the lignocellulosic feedstock itself, from chemicals added during pretreatment, conditioning and hydrolysis, and possibly from process equipment .

Addition of salts increases osmotic pressure, which may have an inhibitory effect. At moderate concentrations, it is possible that inorganic ions will enhance ethanol formation similar to aliphatic acids at low doses. The proposed mechanism is an increased cellular demand for ATP due to increased transport across the plasma membrane. Additional ATP is formed due to increased ethanol synthesis, but at the expense of biomass formation [29].

1.5 Inhibition by metals

Microbial cell growth, enzyme activity, and metabolic pathways involved in hydrogen production by bacteria are highly dependent on low concentrations of trace elements. However, elevated concentrations of these metal ions can inhibit hydrogen production during dark fermentation. High metal levels reduce nutrient availability and impair cell membrane function. The degree of inhibition is influenced by factors such as pH, organic matter concentration, and the presence of chelating agents [44-46].

Of particular importance is iron, which is necessary for the functioning of hydrogenase. In the process of enzymatic hydrogen production, ferredoxin, an iron-sulfur protein, plays a key role as an electron carrier, participating in the oxidation of pyruvate to acetyl-CoA and CO_2, as well as in the reduction of protons to molecular hydrogen. Additional iron intake can have a positive effect on the growth of microorganisms and the rate of hydrogen biosynthesis. However, at excessive concentrations, deterioration of the physiological state of cells and a tendency of cultures to form aggregates are observed, which leads to a limitation of mass transfer.

It is known that iron deficiency limits the growth of Clostridium pasteurianum, and a decrease in iron concentration to 5.7 mmol/l leads to a shift in metabolism towards the formation of lactate instead of butyrate, without reducing the yield of hydrogen in continuous culture. With sufficient iron supply (up to 25 mmol/l), Clostridium acetobutylicum exhibits an acidogenic type of metabolism with the dominance of hydrogen as the main product [38].

Inhibitors of dark fermentation of lignocellulosic biomass include Cd, Cr, Zn, Cu, Ni, Pb. Their toxicity for biohydrogen producers is manifested in a decrease in hydrogenase activity and damage to cellular structures.

It was found that the relative toxicity of heavy metals for enzymatic hydrogen production is distributed in the order: Zn > Cu > Cr. It was found that a 50% decrease in the activity of H_2 producers is observed at concentrations of 4.5 mg Zn/l, 6.5 mg Cu/l and 60 mg Cr/l. Other studies have shown that the degree of toxicity can vary and is presented in the sequence: Cu > Ni > Zn > Cr > Cd > Pb. Copper had the greatest inhibitory effect, leading to a 50% decrease in biological activity already at a concentration of 30 mg/l, while lead showed the least effect (>5000 mg/l) [43, 47].

Light metals such as calcium, sodium and magnesium are also essential elements for microbial growth. Moderate concentrations stimulate growth and metabolic activity, while excess causes inhibition and toxic effects. For Clostridium cultures with glucose substrate, it has been established that sodium concentrations in the range of 3,000-20,000 mg/L do not significantly affect hydrogen yield. However, with a significant increase in Na^+ concentration, the osmotic pressure of the medium increases, which can lead to cell inactivation and death. Maintaining sodium concentration below 20 g/L is considered optimal [14, 48].

Calcium plays an important role in the formation of extracellular polysaccharides, biofilm formation, cell granulation and biomass sedimentation. It is also a cofactor of alpha-amylase and proteases, and participates in the structural organization of proteins and the extracellular polymer matrix. Low concentrations of Ca^{2+} improve the processes of adsorption, adhesion and cell proliferation during sediment granulation, and also enhance hydrogen biosynthesis. At concentrations of up to 150 mg/l, calcium does not have an inhibitory effect, providing a hydrogen yield of up to 3.6 mol/mol.

Magnesium (Mg^{2+}) is one of the most common elements in cells and plays a key role in metabolism. It is necessary for the functioning of many enzymes, in particular kinases and phosphatases, and is involved in glycolysis reactions. Mg^{2+} concentrations up to 200 mg/L do not

inhibit hydrogen formation (yield up to 2.84 mol/mol), but at a concentration of 1000 mg/L, a decrease in yield to 1.72 mol/mol is observed [18].

The effect of nickel in low concentrations (up to 0.1 mg/l) does not have an inhibitory effect, which is confirmed by the high yield of hydrogen, exceeding 3 mol/mol.

Strategies for controlling metal inhibition in dark fermentation processes remain poorly understood. Promising approaches include pretreatment methods such as electrodialysis, biosorption, sulfide precipitation, and co-fermentation to reduce the negative impact of metal ions.

1.6 Ammonia inhibition

As mentioned earlier, ammonia can be produced during dark fermentation (DF) as a result of nitrate reduction by nitrate-reducing bacteria (NRB) using H_2 as an electron donor.

Ammonia nitrogen exists as free ammonia (NH_3) or ammonium ions (NH_4^+). Although nitrogen (in the form of NH_3 or NH_4^+) is a nutrient source for bacterial growth, high concentrations of both NH_3 and NH_4^+ have been shown to be toxic and inhibitory to anaerobic digestion processes as well as dark fermentation processes [49].

Among the two forms of ammonia nitrogen (NH_3 and NH_4^+), free or unionized ammonia is considered the major inhibitor because it can easily diffuse across the cell membrane.

When NH_3 penetrates the cell membrane, it reacts with a proton to form NH_4^+, which causes an imbalance in intracellular pH. To compensate for this pH change, the K^+/H^+ antiporter is activated, resulting in an influx of protons and an efflux of potassium ions K^+. The resulting accumulation of NH_4^+ within the cell membrane can cause inhibition of bacterial activity, such as for enzymes involved in methanogenesis.

The concentration of free ammonia depends on the total nitrogen content (TAN), as well as on the pH and temperature of the environment: the higher the pH and temperature, the greater the proportion of NH_3. Therefore, at the same TAN, conditions with a pH of 5.5-6.0 can be safe, while at a pH above 6.5, noticeable inhibition begins. According to literature, critical TAN values are about 1.5-3.0 g N/l, and the concentration of free ammonia above 80-100 mg N/l already causes inhibition of the process. At the same time, moderate amounts of NH_3 can even have a stimulating effect due to partial inhibition of competing microorganisms, which confirms the nonlinear nature of the action of ammonia.

The mechanisms of inhibition are diverse: from disruption of the proton-motive force to the shift of metabolic flows towards by-products (ethanol, lactic acid), which reduces the stoichiometric yield of hydrogen. Therefore, managing the ammonia level is one of the key engineering parameters. Practice shows that maintaining pH in the range of 5.2-6.0, adjusting the C/N ratio within 20-40 and limiting TAN below 1.5 g/l can reduce the risks of inhibition [30, 50].

There are a number of technical approaches to mitigate the effect of ammonia. The most common of these are co-fermentation of protein waste with carbon-rich lignocellulosic feedstock (which equalizes C/N), the use of zeolites or biochar to adsorb ammonium ions, and its precipitation in the form of struvite. In some cases, ammonia stripping or two-stage schemes are used to avoid the accumulation of toxic concentrations [36].

Ammonia is thus a dual factor: in small quantities it can contribute to process stability, but when threshold values are exceeded it becomes a serious inhibitor of dark fermentation. For work with lignocellulosic substrates poor in nitrogen, it is especially relevant when using mixed feeds, where it is the C/N balance and pH control that determine the stability and efficiency of biohydrogen production.

2. Conclusion

The efficiency of dark fermentation as a technology for biological hydrogen production is largely limited by the action of inhibitory factors. The most important role is played by the products of pre-treatment of lignocellulosic substrates - furan derivatives, phenolic compounds and organic acids, as well as inorganic ions, heavy metals and microbial competitors, including lactic acid bacteria and H_2-utilizing microorganisms. Their presence leads to a violation of the enzymatic balance, a change in the structure of microbial communities and a decrease in hydrogen yield.

Despite significant efforts to study the mechanisms of toxic action and develop detoxification methods, the issues of adaptation of microbial consortia and the formation of their resistance to inhibitors still remain open. Modern strategies for minimizing negative impact include optimization of pre-treatment modes, the use of sorption technologies and co-fermentation, as well as regulation of cultivation parameters.

Engineering control of the process requires an integrated approach based on: (i) gentle pre-treatment followed by detoxification of hydrolysates (overliming, biocatalytic oxidation, use of adsorbents – biochar, zeolites); (ii) maintaining optimal conditions (pH 5.2-6.0; C/N = 20-40; TAN <1.5 g N/l) to reduce ammonia stress; (iii) control of microelement composition of the environment to ensure a sufficient level of Fe and exclusion of toxic metals; (iv) reduction of partial pressure of H_2 (gas stripping, recirculation, inert gases) to prevent reverse suppression; (v) selection and enrichment of microbial cultures to suppress H_2 consumers and limit the activity of lactic acid bacteria.

Prospects for further research are related to the development of stable microbial consortia, integration of dark fermentation with other biotechnological processes and the introduction of combined methods for suppressing inhibitors. The implementation of these areas will improve the stability and energy efficiency of the process, increase the hydrogen yield and bring dark fermentation closer to industrial operation, ensuring the rational use of renewable resources and reducing the carbon footprint in the energy and agricultural sectors.

References

1. A review on bioconversion processes for hydrogen production from agro-industrial residues / A. Saravanan et al // Int J Hydrogen Energy. – 2022. – T. 47, № 88.
2. Agri-Food Industry Waste as Resource of Chemicals: The Role of Membrane Technology in Their Sustainable Recycling / E.H. Papaioannou et al // Sustainability (Switzerland). – 2022. – T. 14, № 3.
3. Ojo A. An Overview of Lignocellulose and Its Biotechnological Importance in High-Value Product Production / A. Ojo // Fermentation. Multidisciplinary Digital Publishing Institute. – 2023. – T. 9, № 11. – P. 990.
4. Honarmandrad Z. Processing of Biomass Prior to Hydrogen Fermentation and Post-Fermentative Broth Management / Z. Honarmandrad, K. Kucharska, J. Gębicki // Molecules. – 2022. – T. 27, № 21.
5. Recent advances in biotechnological valorization of agro-food wastes (AFW): Optimizing integrated approaches for sustainable biorefinery and circular bioeconomy / T.P.C. Ezeorba et al // Bioresour Technol Rep. Elsevier. – 2024. – P. 101823.
6. Molecular hydrogen: a sustainable strategy for agricultural and food production challenges / D. Alwazeer et al // Frontiers in Food Science and Technology. Frontiers Media SA. – 2024. – T. 4. – P. 1448148.
7. Recent knowledge on the applications of molecular hydrogen in plant physiology, crop production, and food processing / D. Alwazeer et al // Frontiers in Food Science and Technology. Frontiers Media SA. – 2024. – T. 4. – P. 1501046.
8. Sharma S. Significance of hydrogen as economic and environmentally friendly fuel / S. Sharma, S. Agarwal, A. Jain // Energies. – 2021. – T. 14, № 21.
9. Bio-hydrogen production through dark fermentation: an overview / R. Jain et al // Biomass Conversion and Biorefinery. – 2024. – T. 14, № 12.
10. Hitam C.N.C. A review on biohydrogen production through photo-fermentation of lignocellulosic biomass / C.N.C. Hitam, A.A. Jalil // Biomass Conversion and Biorefinery. – 2023. – T. 13, № 10.
11. Application of nanotechnology in dark fermentation for enhanced biohydrogen production using inorganic nanoparticles / G. Kumar et al // International Journal of Hydrogen Energy. – 2019. – T. 44, № 26.
12. Biological Hydrogen Production from Biowaste Using Dark Fermentation, Storage and Transportation / D. Talapko et al // Energies. – 2023. – T. 16, № 8.
13. A Review on Biohydrogen Sources, Production Routes, and Its Application as a Fuel Cell / A.V. Samrot et al // Sustainability (Switzerland). – 2023. – T. 15, № 16.
14. A Review of the Anaerobic Digestion of Fruit and Vegetable Waste / C. Ji et al // Applied Biochemistry and Biotechnology. – 2017. – T. 183, № 3.
15. A critical review on factors influencing fermentative hydrogen production / R. Kothari et al // Frontiers in Bioscience – Landmark. – 2017. – T. 22, № 8.
16. Bundhoo Z.M.A. Coupling dark fermentation with biochemical or bioelectrochemical systems for enhanced bio-energy production: A review / Z.M.A. Bundhoo // International Journal of Hydrogen Energy. – 2017. – T. 42, № 43.

17. Novel strategies towards efficient molecular biohydrogen production by dark fermentative mechanism: present progress and future perspective / V. Jayachandran et al // Bioprocess and Biosystems Engineering. – 2022. – T. 45, № 10.
18. A critical review on inhibition of dark biohydrogen fermentation / Elbeshbishy, E. et al // Renewable and Sustainable Energy Reviews. – 2017. – T. 79.
19. Bioconversion of lignocellulosic biomass to hydrogen: Potential and challenges / N. Ren et al // Biotechnology Advances. – 2009. – T. 27, № 6.
20. Recent developments in pretreatment technologies on lignocellulosic biomass: Effect of key parameters, technological improvements, and challenges / S.K. Bhatia et al // Bioresource Technology. – 2020. – T. 300.
21. Lignocellulosic waste biomass for biohydrogen production: future challenges and bio-economic perspectives / L. Bhatia et al // Biofuels, Bioproducts and Biorefining. – 2022. – T. 16, № 3.
22. Lignocellulose biohydrogen: Practical challenges and recent progress / G. Kumar et al // Renewable and Sustainable Energy Reviews. – 2015. – T. 44, № 1.
23. Stability problems in the hydrogen production by dark fermentation: Possible causes and solutions / E. Castelló et al // Renewable and Sustainable Energy Reviews. – 2020. – T. 119.
24. Crigler J. Characterization of the Furfural and 5-Hydroxymethylfurfural (HMF) Metabolic Pathway in the Novel Isolate Pseudomonas putida ALS1267 / J. Crigler, M.A. Eiteman, E. Altman // Appl Biochem Biotechnol. – 2020. – T. 190, № 3.
25. Identification and characterization of the furfural and 5-(hydroxymethyl)furfural degradation pathways of Cupriavidus basilensis HMF14 / F. Koopman et al // Proc Natl Acad Sci U S A. – 2010. – T. 107, № 11.
26. Olatunji K.O. Optimization of biogas yield from lignocellulosic materials with different pretreatment methods: a review / K.O. Olatunji, N.A. Ahmed, O. Ogunkunle // Biotechnology for Biofuels. – 2021. – T. 14, № 1.
27. Saha R. Enhanced production of biohydrogen from lignocellulosic feedstocks using microorganisms: A comprehensive review / R. Saha, D. Bhattacharya, M. Mukhopadhyay // Energy Conversion and Management: X. – 2022. – T. 13.
28. Singhvi M. Sustainable Strategies for the Conversion of Lignocellulosic Materials into Biohydrogen: Challenges and Solutions toward Carbon Neutrality / M. Singhvi, S. Zinjarde, B.S. Kim // Energies. – 2022. – T. 15, № 23.
29. Jönsson L.J. Bioconversion of lignocellulose: Inhibitors and detoxification / L.J. Jönsson, B. Alriksson, N.O. Nilvebrant // Biotechnology for Biofuels. – 2013. – T. 6, № 1.
30. Ledakowicz S. Biochemical Processes of Lignocellulosic Biomass Conversion / S. Ledakowicz // Energies (Basel). – 2025. – T. 18, № 13. – P. 3353.
31. A review on bioconversion of lignocellulosic biomass to H2: Key challenges and new insights / N.Q. Ren et al // Bioresource Technology. – 2016. – T. 215.
32. Kumari D. Pretreatment of lignocellulosic wastes for biofuel production: A critical review / D. Kumari, R. Singh // Renewable and Sustainable Energy Reviews. – 2018. – T. 90.
33. Chen Y. Recent advance in inhibition of dark fermentative hydrogen production / Y. Chen, Y. Yin, J. Wang // International Journal of Hydrogen Energy. – 2021. – T. 46, № 7.
34. Pretreatment of food waste for methane and hydrogen recovery: A review / O. Parthiba Karthikeyan et al // Bioresource Technology. – 2018. – T. 249.
35. Outlook of fermentative hydrogen production techniques: An overview of dark, photo and integrated dark-photo fermentative approach to biomass / P. Mishra et al // Energy Strategy Reviews. – 2019. – T. 24.
36. Bundhoo M. A. Z., Mohee R. Inhibition of dark fermentative bio-hydrogen production: A review / M.A.Z. Bundhoo, R. Mohee // International Journal of Hydrogen Energy. – 2016. – T. 41, № 16.
37. Jönsson L.J. Pretreatment of lignocellulose: Formation of inhibitory by-products and strategies for minimizing their effects / L.J. Jönsson, C. Martín // Bioresource Technology. – 2016. – T. 199.
38. Thermophilic Anaerobic Digestion: An Advancement towards Enhanced Biogas Production from Lignocellulosic Biomass / R. Singh et al // Sustainability (Switzerland). – 2023. – T. 15, № 3.
39. Wang W. Lignocellulosic biomass pretreatment by deep eutectic solvents on lignin extraction and saccharification enhancement: A review / W. Wang, D.J. Lee // Bioresource Technology. – 2021. – T. 339.

40. Dark fermentative hydrogen production from pretreated lignocellulosic biomass: Effects of inhibitory byproducts and recent trends in mitigation strategies / B. Basak et al // Renewable and Sustainable Energy Reviews. – 2020. – T. 133.
41. Microbiological insights into anaerobic digestion for biogas, hydrogen or volatile fatty acids (VFAs): a review / S. Harirchi et al // Bioengineered. – 2022. – T. 13, № 3.
42. Effects of anaerobic digestion of food waste on biogas production and environmental impacts: a review / K.R. Chew et al // Environmental Chemistry Letters. – 2021. – T. 19, № 4.
43. Insights into Biohydrogen Production Through Dark Fermentation of Food Waste: Substrate Properties, Inocula, and Pretreatment Strategies / D. Gbiete et al // Energies (Basel). – 2024. – T. 17, № 24. – P. 6350.
44. Kamperidou V. Anaerobic digestion of lignocellulosic waste materials / V. Kamperidou, P. Terzopoulou // Sustainability. – 2021. – T. 13, № 22. – P. 12810.
45. From waste to sustainable industry: How can agro-industrial wastes help in the development of new products? / L.C. Freitas et al // Resour Conserv Recycl. Elsevier. – 2021. – T. 169. – P. 105466.
46. Lignocellulosic Agricultural Waste Valorization to Obtain Valuable Products: An Overview / A. Blasi et al // Recycling. – 2023. – Vol. 8, № 4. – P. 61.
47. A review on dark fermentative biohydrogen production from organic biomass: Process parameters and use of by-products / A. Ghimire et al // Applied Energy. – 2015. – T. 144.
48. Trchounian K. Improving biohydrogen productivity by microbial dark-and photo-fermentations: novel data and future approaches / K. Trchounian, R.G. Sawers, A. Trchounian // Renewable and Sustainable Energy Reviews. Elsevier. – 2017. – T. 80. – P. 1201-1216.
49. A critical review on limitations and enhancement strategies associated with biohydrogen production / J.R. Banu et al // Int J Hydrogen Energy. – 2021. – T. 46, № 31.
50. Biohydrogen Production from Organic Waste – A Review / P. Sampath et al // Chemical Engineering and Technology. – 2020. – T. 43, № 7.

Funding Information

This research is funded by the Science Committee of the Ministry of Science and Higher Education of the Republic of Kazakhstan (Grant № BR24992914).

А.Е. Даниярова[1]*, К.С. Бекбаев[1], А. Төлеуғазықызы[2], Ж. Қалибекқызы[1], Қ.П. Молдақашев[1]
[1]Шәкәрім университеті,
071412, Қазақстан Республикасы, Семей қ., Глинки к-сі, 20 А
[2]С. Сейфуллин атындағы Қазақ агротехникалық зерттеу университеті,
010011, Қазақстан Республикасы, Астана қ., Жеңіс даңғылы, 62
*e-mail: ayaulim.dd@gmail.com

ЛИГНОЦЕЛЛЮЛОЗАЛЫҚ БИОМАССАНЫҢ ИНГИБИТОРЛАРЫ: ӘСЕР ЕТУ МЕХАНИЗМДЕРІ ЖӘНЕ СУТЕГІНІ БИОЛОГИЯЛЫҚ ӨНДІРУ ТИІМДІЛІГІНЕ ӘСЕРІ (ШОЛУ)

Бұл мақалада лигноцеллюлозалық биомассаны (ЛЦБ) өңдеу кезінде биосутегінің тиімді өндірілуіне кедергі келтіретін ингибиторлық факторлар талданады. Бұл тұрғыда қараңғы ферментация сутегін алудың ең перспективалы биологиялық әдістерінің бірі болып саналады, себебі ол сыртқы энергия көзін қажет етпейді, заманауи реакторлық технологиялармен үйлесімді және субстраттардың кең спектрін пайдалануға мүмкіндік береді. Оны өнеркәсіпте қолданудағы негізгі кедергі ЛЦБ алдын ала өңдеу және ферментация кезінде түзілетін улы қосылыстардың жинақталуы болып табылады. Мақалада негізгі ингибиторлардың құрамы мен әрекеті туралы ақпарат жинақталған. Талдау нәтижелері көрсеткендей, қараңғы ферментацияда H_2 шығымы 2-4 моль/моль қантқа жетеді (максималды ~3,8 моль/моль гексоза), бірақ (i) фурандар (фурфурол 0,03–8,23 г/л; 5-ГМФ 0,09-1,59 г/л), (ii) лигниндік фенолдар (ванилин, сирингальдегид), (iii) органикалық қышқылдар (құмырсқа, сірке, левулин қышқылы), (iv) бейорганикалық иондар мен ауыр металдар (Zn, Cu, Cr, Ni және т.б.), (v) аммиак пен сульфаттар болған кезде айтарлықтай төмендейді.

Сондай-ақ дозаға тәуелді әсерлер мен микробтық қауымдастықтың құрамындағы өзгерістер, мысалы, pH әсері, фурфуролдың Clostridium санының азаюына ықпалы немесе 5-HMP қосылғанда Clostridium мен Ruminococcaceae санының артуы талқыланады. Осылайша, ингибиторлардың әсер ету механизмдерін түсіну және олардың әсерін азайту жолдарын табу қараңғы ашытудың тиімділігін арттыру және оны лигноцеллюлозалық биомассаны биосутекке айналдырудың тұрақты технологиясы ретінде жүзеге асырудың негізгі бағыттары болып табылады.

Түйін сөздер: *қараңғы ферментация, биосутек, лигнецеллюлозалық биомасса, ингибиторлар, фуран қосылыстары, фенолды қосылыстар, ұшпа май қышқылдары, ауыр металдар.*

А.Е. Даниярова[1]*, К.С. Бекбаев[1], А. Төлеуғазықызы[2], Ж. Қалибекқызы[1], Қ.П. Молдақашев[1]
[1]Шәкәрім университет,
071412, Республика Казахстан, г. Семей, ул. Глинки, 20 А
[2]Казахский агротехнический исследовательский университет имени С.Сейфуллина»,
010011, г. Астана, проспект Женис, 62
*e-mail: ayaulim.dd@gmail.com

ИНГИБИТОРЫ ЛИГНОЦЕЛЛЮЛОЗНОЙ БИОМАССЫ: МЕХАНИЗМЫ ДЕЙСТВИЯ И ВЛИЯНИЕ НА ЭФФЕКТИВНОСТЬ БИОЛОГИЧЕСКОГО ПОЛУЧЕНИЯ ВОДОРОДА (ОБЗОР)

В данной статье проводится анализ ингибирующих факторов, которые препятствуют эффективному производству биоводорода при переработке лигноцеллюлозной биомассы (ЛЦБ). В этом контексте темная ферментация рассматривается как один из наиболее перспективных биологических методов получения водорода, поскольку не требует внешнего источника энергии, совместимо с современными реакторными технологиями и позволяет использовать широкий спектр субстратов. Основным препятствием для его промышленного применения является накопление токсичных соединений, образующихся в процессе предварительной обработки и самой ферментации ЛЦБ. В статье обобщена информация о составе и действии основных ингибиторов. Результаты анализа показывают, что при темной ферментации выход H_2 достигает 2-4 моль/моль сахара (максимум ~3,8 моль/моль гексозы), но значительно снижается в присутствии: (i) фуранов (фурфурол 0,03-8,23 г/л; 5-ГМФ 0,09-1,59 г/л), (ii) лигновых фенолов (ванилин, сиреневый альдегид), (iii) органических кислот (муравьиная, уксусная, левулиновая кислота), (iv) неорганических ионов и тяжелых металлов (Zn, Cu, Cr, Ni и др.), (v) аммиака и сульфатов. Также обсуждаются дозозависимые эффекты и изменения в составе микробного сообщества, такие как влияние pH, снижение численности Clostridium из-за фурфурола или увеличение численности Clostridium и Ruminococcaceae при добавлении 5-HMP. Таким образом, понимание механизмов действия ингибиторов и поиск способов снижения их воздействия являются ключевыми направлениями для повышения эффективности темной ферментации и её внедрения в качестве устойчивой технологии преобразования лигноцеллюлозной биомассы в биоводород.

Ключевые слова: *тёмная ферментация, биоводород, лигноцеллюлозная биомасса, ингибиторы, фурановые соединения, фенольные соединения, летучие жирные кислоты, тяжёлые металлы.*

Information about the authors

Ayaulym Daniyarova* – PhD student, Shakarim University, Semey, Kazakhstan; e-mail: ayaulim.dd@gmail.com. ORCID: https://orcid.org/0009-0004-4487-636X.

Kairat Bekbayev – Candidate of Technical Sciences, Associate Professor, Shakarim University, Semey, Kazakhstan; e-mail: k_bekbaev@mail.ru. ORCID: https://orcid.org/0000-0001-9591-0370.

Akerke Toleugazykyzy – PhD, S.Seifullin Kazakh Agro Technical Research University, Astana, Kazakhstan; e-mail: akerke.0192t@gmail.com. ORCID: https://orcid.org/0000-0002-2061-1699.

Zhanar Kalibekkyzy – Candidate of Biological Sciences, Associate Professor, Shakarim University, Semey, Kazakhstan; e-mail: zhanar_moldabaeva@mail.ru. ORCID: https://orcid.org/0000-0001-6384-0646.

Kuanysh Moldakashev – PhD student, Shakarim University, Semey, Kazakhstan; e-mail: kuanysh.moldakashev@gmail.com. ORCID: https://orcid.org/0009-0008-7108-3129.

Авторлар туралы мәліметтер

Аяулым Ермекқызы Даниярова* – PhD докторант, Shakarim University, Семей, Қазақстан; e-mail: ayaulim.dd@gmail.com. ORCID: https://orcid.org/0009-0004-4487-636X.

Кайрат Серикжанович Бекбаев – техника ғылымдарының кандидаты, қауымдастырылған профессор, Shakarim University, Семей, Қазақстан; e-mail: k_bekbaev@mail.ru. ORCID: https://orcid.org/0000-0001-9591-0370.

Ақерке Төлеуғазықызы – PhD, С. Сейфуллин атындағы Қазақ агротехникалық зерттеу университеті, Астана, Қазақстан; e-mail: akerke.0192t@gmail.com. ORCID: https://orcid.org/0000-0002-2061-1699.

Жанар Қалибекқызы – биология ғылымдарының кандидаты, қауымдастырылған профессор, Shakarim University, Семей, Қазақстан; e-mail: zhanar_moldabaeva@mail.ru. ORCID: https://orcid.org/0000-0001-6384-0646.

Қуаныш Панарбекұлы Молдакашев – PhD докторант, Shakarim University, Семей, Қазақстан; e-mail: kuanysh.moldakashev@gmail.com. ORCID: https://orcid.org/0009-0008-7108-3129.

Информация об авторах

Аяулым Ермекқызы Даниярова* – PhD докторант, Shakarim University, Казахстан; e-mail: ayaulim.dd@gmail.com. ORCID: https://orcid.org/0009-0004-4487-636X.

Кайрат Серикжанович Бекбаев – кандидат технических наук, ассоциированный профессор, Shakarim University, Семей, Казахстан; e-mail: k_bekbaev@mail.ru. ORCID: https://orcid.org/0000-0001-9591-0370.

Ақерке Төлеуғазықызы – PhD, Казахский агротехнический исследовательский университет им. С. Сейфуллина, Астана, Казахстан; e-mail: akerke.0192t@gmail.com. ORCID: https://orcid.org/0000-0002-2061-1699.

Жанар Қалибекқызы – кандидат биологических наук, ассоциированный профессор, Shakarim University, Семей, Казахстан; e-mail: zhanar_moldabaeva@mail.ru. ORCID: https://orcid.org/0000-0001-6384-0646.

Қуаныш Панарбекұлы Молдакашев – PhD докторант, Shakarim University, Казахстан; e-mail: kuanysh.moldakashev@gmail.com. ORCID: https://orcid.org/0009-0008-7108-3129.

Received 01.10.2025
Revised 13.11.2025
Accepted 14.11.2025

https://doi.org/10.53360/2788-7995-2025-4(20)-55

МРНТИ: 65.09.30

BY 4.0
Check for updates

А.О. Майжанова*, К.Ж. Амирханов, Г.Н. Нұрымхан, Ш.К. Жакупбекова, А.А. Даутова
Шәкәрім университет,
071412, Республика Казахстан, г. Семей, ул. Глинки, 20 А
*e-mail: fquekm2710@mail.ru.

ИССЛЕДОВАНИЕ ПИЩЕВОЙ И БИОЛОГИЧЕСКОЙ ЦЕННОСТЕЙ КОМПОЗИТНОЙ МУКИ ИЗ ЛЬНЯНОГО И КОНОПЛЯНОГО ЖМЫХА

Аннотация: *В современных исследованиях функциональных продуктов питания особое внимание уделяется разработке композитных ингредиентов, способных обогащать рацион белком, витаминами, минералами и биологически активными соединениями. В настоящей работе проведён комплексный анализ композитной муки, полученной из льняного и конопляного жмыха в соотношении 1:1, с целью оценки её физико-химических характеристик, витаминного и минерального состава, аминокислотного профиля и антиоксидантной активности, а также определения потенциала применения в функциональных и обогащённых продуктах питания.*

Результаты исследования продемонстрировали, что композитная мука обладает существенно более высоким содержанием пищевых волокон – 11,03 ± 0,13 %, по сравнению с пшеничной мукой высшего сорта (0,1–0,15 ± 0,02 %). Анализ витаминного состава показал наличие значительных количеств витамина Е (92,02 ± 0,96 мг/100 г) и витаминов группы В (В1, В2, В3, В5, В6, фолиевая кислота), содержание которых многократно превышает показатели пшеничной муки. Минеральный профиль характеризуется повышенным содержанием железа (11,70 ± 0,14 мг/100 г), магния (256,7 ± 3,1 мг/100 г), кальция (200,17 ± 2,41 мг/100 г), фосфора (582,10 ± 6,98 мг/100 г) и цинка (3,56 ± 0,04 мг/100 г), а наличие йода (0,0069 ± 0,0001 мг/100 г) расширяет спектр микроэлементов.

Аминокислотный анализ показал высокое содержание незаменимых и условно незаменимых аминокислот, включая аргинин, лизин, лейцин, изолейцин, валин и метионин, что подтверждает высокую биологическую ценность белка. Композитная мука также обладает выраженной антиоксидантной активностью, обеспечивая защиту липидных и белковых структур от окислительных процессов.

Полученные результаты свидетельствуют о целесообразности использования композитной муки из льняного и конопляного жмыха в рецептурах функциональных, обогащённых и профилактических продуктов питания, включая мясорастительные изделия, с целью повышения нутритивной ценности, улучшения технологических свойств и пролонгации срока хранения.

Ключевые слова: *композитная мука; конопляный жмых; льняной жмых; пищевая ценность; биологическая ценность; аминокислотный состав; функциональные продукты питания.*

Введение

В последние годы растет интерес к созданию функциональных продуктов питания с использованием растительных компонентов, способных улучшать здоровье человека и компенсировать недостаток отдельных нутриентов [1, 2]. Льняной и конопляный жмых представляют собой богатые источники белка, пищевых волокон, витаминов, минералов и биологически активных соединений. Совместное использование этих компонентов позволяет получить композитные продукты с повышенной питательной и биологической ценностью [3].

Целью исследования было комплексное изучение свойств композитной муки из жмыха льна и конопли (1:1), включая физико-химические показатели, витаминный и минеральный состав, аминокислотный профиль и антиоксидантную активность, а также оценка её потенциального использования в функциональных пищевых продуктах.

Жмых конопли, образующийся после отжима масла из семян конопли, представляет собой богатый источник высококачественного растительного белка (содержание которого достигает 30-35%), пищевых волокон и биоактивных соединений, включая полиненасыщенные жирные кислоты, антиоксиданты, витамины и минералы. [3] Белок конопляного жмыха характеризуется сбалансированным аминокислотным профилем, что делает его подходящим для обогащения мясных продуктов, улучшая их питательную ценность и способствуя более сбалансированному рациону питания. Кроме того, клетчатка, содержащаяся в жмыхе, способствует улучшению пищевой структуры и консистенции мясных изделий, а также может увеличить срок хранения за счёт улучшения водоудерживающей способности и снижения окислительных процессов [4, 5].

Льняной жмых, получаемый как побочный продукт при производстве льняного масла, является ценным источником белка (до 35%) и пищевых волокон, а также содержит лигнаны – биологически активные вещества с мощным антиоксидантным и антиканцерогенным действием [6]. Введение льняного жмыха в мясные продукты способствует повышению функциональности изделия, улучшению текстуры и вкусовых характеристик, а также обогащению продукта полезными нутриентами, включая омега-3 жирные кислоты. Высокое содержание пищевых волокон в льняном жмыхе способствует снижению калорийности конечного продукта и благоприятно влияет на пищеварение [7, 8].

Соотношение льняного и конопляного жмыха в составе композитной муки было установлено 1:1. Выбор соотношения 1:1 обусловлен прагматичным сочетанием пищевой и технологической аргументации. Льняная мука характеризуется высоким содержанием α-линоленовой кислоты (ω-3), значительным содержанием растительного белка и растворимых пищевых волокон (лигнаны, слизистые вещества), тогда как конопляная мука богата незаменимыми аминокислотами, содержит больше нерастворимой клетчатки и превосходит по содержанию макро- и микроэлементов (Fe, Mg, P, Ca, Zn). Равное сочетание компонентов обеспечивает взаимное дополнение их нутриентных профилей, повышая суммарное содержание белка и пищевых волокон, расширяя спектрвитаминов и минералов, а также улучшая технологические свойства смеси: льняная мука улучшает водо- и жиропоглощение, конопляная – стабилизирует текстуру и смягчает выраженные органолептические эффекты льна [9, 10].

Условия и методы исследования

Исследования комбинированной муки, полученной из конопляного и льняного жмыха, проводились влабораториях Исследовательской школы пищевой инженерии НАО «Шәкәрім университет» и Научно-исследовательской лаборатории по оценке качества и безопасности продовольственных продуктов АО «Алматинский технологический университет».

Физико-химические показатели (массовая доля клетчатки, содержание β-каротина, витаминов, антиоксидантов и минеральных веществ) определялись по стандартным методикам согласно требованиям ГОСТ. Аминокислотный состав анализировался методом высокоэффективной жидкостной хроматографии (ВЭЖХ).

Условия проведения испытаний: температура – (21 ± 1)°С, относительная влажность воздуха – 64 %.

Результаты и их обсуждение

В результате проведённых исследований были определены физико-химические, витаминные, минеральные и аминокислотные показатели композитной муки, полученной из смеси льняного и конопляного жмыха, а также произведено сравнение с показателями пшеничной муки высшего сорта (табл. 1-4).

Анализ данных показывает, что композитная мука существенно превосходит пшеничную по содержанию пищевых волокон. Массовая доля клетчатки в композитной муке (11,03 ± 0,13 %) значительно выше, чем в пшеничной (0,1-0,15 ± 0,02 %). Высокое содержание клетчатки обусловлено природной структурой льняного и конопляного жмыха, богатых нерастворимыми и растворимыми пищевыми волокнами. Это свидетельствует о потенциально более выраженных функционально-технологических свойствах, таких как влагосвязывающая способность и влияние на пищевую ценность готового продукта.

Таблица 1 – Физико-химические показатели композитной и пшеничной муки

№	Показатель	Композитная мука	Пшеничная мука*, (высший сорт)	НД на методы испытаний
1.	Массовая доля клетчатки, %	11,03 ± 0,13	0,1-0,15 ±0,02	ГОСТ 31675-2012
2.	β-каротин, мг/100 г	0,083 ± 0,0009	-	ГОСТ Р 54058-2010
3.	Жирорастворимые антиоксиданты, мг/г	0,41±0,0040	0,083 ±0,005	ГОСТ Р 54037-2010
4.	Водорастворимые антиоксиданты, мг/г	1,37±0,0036	0,1-0,4 ±0,05	ГОСТ Р 54037-2010

* – Представленные значения получены на основе литературных источников

Композитная мука также характеризуется содержанием β-каротина 0,083 ± 0,0009 мг/100 г, который практически отсутствует в пшеничной муке, что может повышать антиоксидантный потенциал готовых продуктов.

Показатели антиоксидантной активности также значительно отличаются между видами муки. Композитная мука содержит 0,41 ± 0,0040 мг/г жирорастворимых антиоксидантов и 1,37 ± 0,0036 мг/г водорастворимых антиоксидантов. В пшеничной муке эти показатели существенно ниже (в среднем 0,083 ± 0,005 мг/г и 0,1-0,4 ± 0,05 мг/г). Это подтверждает, что включение муки из льняного и конопляного жмыха значительно повышает антиоксидантный потенциал продукта, что особенно важно для улучшения его биологической ценности и пролонгации срока хранения.

Таблица 2 – Витаминный состав композитной и пшеничной муки

№	Показатель	Композитная мука, мг/100 г	Пшеничная мука*, мг/100 г	НД на методы испытаний
1.	Витамин Е	92,02 ± 0,96	1,4 ± 0,2	ГОСТ Р 54634-2011
2.	Витамин B_1	0,890 ± 0,178	0,17 ± 0,02	ГОСТ 31483-2012
3.	Витамин B_2	0,307 ± 0,128	0,04 ± 0,01	ГОСТ 31483-2012
4.	Витамин B_3	2,45 ± 0,490	1,0 – 2,0 ±0,3	ГОСТ 31483-2012
5.	Витамин B_5	1,448 ± 0,289	0,3 ± 0,05	ГОСТ 31483-2012
6.	Витамин B_6	0,526 ± 0,105	0,17 ± 0,03	ГОСТ 31483-2012
7.	Витамин B_c	0,401 ± 0,080	0,027 ± 0,005	ГОСТ 31483-2012

* – Представленные значения получены на основе литературных источников

Согласно данным таблицы 2, композитная мука, полученная из льняного и конопляного жмыха, характеризуется значительно более высоким содержанием витаминов по сравнению с пшеничной мукой. Это обусловлено природной биохимической ценностью масличных культур, являющихся источником жирорастворимых и водорастворимых витаминов.

Наиболее существенное отличие наблюдается по содержанию витамина Е. В композитной муке его количество составляет 92,02 ± 0,96 мг/100 г, что превышает значение пшеничной муки (1,4 ± 0,2 мг/100 г). Витамин Е является ключевым антиоксидантом, обеспечивающим защиту липидных структур от окисления, что дополнительно подтверждает высокий антиоксидантный потенциал композитной муки.

Высокий уровень витаминов группы В в композитной муке указывает на её потенциальную значимость для метаболических процессов в организме, включая участие в углеводном, белковом и жировом обмене.

Таблица 3 – Минеральный состав композитной муки и и пшеничной муки

№	Показатель	Композитная мука, мг/100 г	Пшеничная мука*, мг/100 г	НД на методы испытаний
1.	Fe (железо)	11,70 ± 0,14	2,5 ± 0,5	ГОСТ 32343-2013
2.	Zn (цинк)	3,56 ± 0,04	1,25 ± 0,25	ГОСТ 32343-2013
3.	Mg (магний)	256,7 ± 3,1	40 ± 10	ГОСТ 32343-2013
4.	Ca (кальций)	200,17 ± 2,41	17,5 ± 2,5	ГОСТ 32343-2013
5.	P (фосфор)	582,10 ± 6,98	125 ± 25	ГОСТ 26657-97
6.	I (йод)	0,0069 ± 0,0001	-	МУК 4.1.1106-02

* – Представленные значения получены на основе литературных источников

Таким образом, композитная мука из льняного и конопляного жмыха содержит в несколько раз больше железа, магния и кальция, а также значительно превышает пшеничную муку по содержанию фосфора и цинка. Присутствие йода, хоть и в малом количестве (0,0069 ± 0,0001 мг/100 г), расширяет минеральный профиль композитной муки по сравнению с пшеничной.

Высокое содержание макро- и микроэлементов объясняется биохимическими особенностями масличных культур, что делает композитную муку перспективным ингредиентом для обогащения пищевых продуктов и повышения пищевой ценности.

Таблица 4 – Аминокислотный состав композитной муки

№	Показатель	Массовая доля аминокислот, в %	
		Композитная мука	Пшеничная мука*
1.	Аргинин	3,730 ± 1,492	0,30 ± 0,07
2.	Лизин	4,476 ± 1,522	0,27 ± 0,11
3.	Тирозин	1,567 ± 0,470	0,39 ± 0,06
4.	Фенилаланин	2,089± 0,627	0,46 ± 0,07
5.	Гистидин	1,567 ± 0,783	0,15 ± 0,06
6.	Лейцин+изолейцин	3,693 ± 0,960	1,22 ± 0,26
7.	Метионин	1,753 ± 0,596	0,19 ± 0,08
8.	Валин	4,103 ± 1,641	0,24 ± 0,10
9.	Пролин	3,245 ± 0,844	1,01 ± 0,33
10.	Треонин	2,462 ± 0,985	0,16 ± 0,05
11.	Серин	2,163 ± 0,562	0,51 ± 0,05
12.	Аланин	4,476 ± 1,164	0,79 ± 0,11
13.	Глицин	4,103 ± 1,395	0,63 ± 0,14

* – Значения для пшеничной муки рассчитаны приблизительно, исходя из литературных данных по аминокислотам на 100 г белка и усреднённого содержания белка в муке (11 %).

Анализ данных показывает, что композитная мука существенно превосходит пшеничную по содержанию всех исследованных аминокислот. Высокое содержание незаменимых и условно незаменимых аминокислот в композитной муке объясняется использованием льняного и конопляного жмыха, богатого полноценным растительным белком. Это свидетельствует о потенциально более высокой биологической ценности и возможности обогащения готовых пищевых продуктов белком и незаменимыми аминокислотами. Превышение содержания аминокислот по сравнению с пшеничной мукой делает композитную муку перспективным компонентом для функциональных и обогащённых продуктов питания.

Заключение

Композитная мука на основе жмыха льна и конопли сочетает высокую пищевую и биологическую ценность благодаря сбалансированному содержанию белков, витаминов, минералов и антиоксидантов. Полученные данные подтверждают целесообразность её применения в рецептурах функциональных и специализированных пищевых продуктов. Продукт может быть рекомендован для использования в технологиях мясорастительных изделий и продуктов профилактического питания, способствующих укреплению здоровья и улучшению пищевого рациона населения.

Список литературы

1. Абдрахманова С.К. Биологическая ценность белка семян льна и конопли / С.К. Абдрахманова, А.К. Ибраева, А.Б. Рахимжанова // Вестник Шакарима. – 2022. – № 2. – С. 45-52.

2. Баймухаметов Б.К. Влияние растительных компонентов на качество мясных изделий / Б.К. Баймухаметов, Г.Х. Шаяхметова // Пищевая промышленность Казахстана. – 2020. – № 1. – С. 55-60.

3. Получение растительного белка из семян и жмыха промышленной конопли: обзор способов переработки для использования в пищевой промышленности / Д.И. Алексаночкин и др. // Пищевые системы. – 2024. – Т. 7, № 2. – С. 188-197. https://doi.org/10.21323/2618-9771-2024-7-2-188-197.

4. Enhancement of Protein Hydrolysis and Bioactivity in Hempseed Cake via Solid-State Fermentation Using Aspergillus niger, Bacillus subtilis, and Lactobacillus rhamnosus // Food and Bioprocess Technology. – 2025. – Vol. 18. – P. 8633-8651. https://doi.org/10.1007/s11947-025-03940-4.
5. Magalhães P. Hemp seeds, flaxseed, and açaí berries: Health benefits and functional properties / P. Magalhães, R. Silva, F. Oliveira // Critical Reviews in Food Science and Nutrition. – 2022. – Vol. 18, № 1. – P. 45-62.
6. Hemp Seed Cake Flour as a Source of Proteins, Minerals and Polyphenols and Its Impact on the Nutritional, Sensorial and Technological Quality of Bread // Foods. – 2023. – № 12(23). – P. 4327. https://doi.org/10.3390/foods12234327.
7. Flaxseed Oilcake: An Ingredient with High Nutritional Value in the Realization of Innovative Food Products // Foods. – 2025. – № 14(7). – P. 1087. https://doi.org/10.3390/foods14071087.
8. Flax and flaxseed oil: An ancient medicine & modern functional food / A. Goyal et al // Journal of Food Science and Technology. – 2014. – № 51(9). – P. 1633-1653.
9. Аширова Г.К. Использование льняного жмыха в технологии мясных продуктов / Г.К. Аширова, С.Т. Тажибаева // Вестник Алматинского технологического университета. – 2021. – № 3. – С. 110-116.
10. Capcanari T. Hemp Seed Cake Flour as a Source of Proteins, Minerals, and Antioxidants / T. Capcanari, C. Radu, L. Dumitrescu // Food Chemistry. – 2023. – № 406. – P. 134987.

References

1. Abdrakhmanova S.K. Biologicheskaya tsennost' belka semyan l'na i konopli / S.K. Abdrakhmanova, A.K. Ibraeva, A.B. Rakhimzhanova // Vestnik Shakarima. – 2022. – № 2. – S. 45-52. (In Russian).
2. Baimukhametov B.K. Vliyanie rastitel'nykh komponentov na kachestvo myasnykh izdelii / B.K. Baimukhametov, G.KH. Shayakhmetova // Pishchevaya promyshlennost' Kazakhstana. – 2020. – № 1. – S. 55-60. (In Russian).
3. Poluchenie rastitel'nogo belka iz semyan i zhmykha promyshlennoi konopli: obzor sposobov pererabotki dlya ispol'zovaniya v pishchevoi promyshlennosti / D.I. Aleksanochkin i dr. // Pishchevye sistemy. – 2024. – T. 7, № 2. – S. 188-197. https://doi.org/10.21323/2618-9771-2024-7-2-188-197. (In Russian).
4. Enhancement of Protein Hydrolysis and Bioactivity in Hempseed Cake via Solid-State Fermentation Using Aspergillus niger, Bacillus subtilis, and Lactobacillus rhamnosus // Food and Bioprocess Technology. – 2025. – Vol. 18. – P. 8633-8651. https://doi.org/10.1007/s11947-025-03940-4. (In English).
5. Magalhães P. Hemp seeds, flaxseed, and açaí berries: Health benefits and functional properties / P. Magalhães, R. Silva, F. Oliveira // Critical Reviews in Food Science and Nutrition. – 2022. – Vol. 18, № 1. – P. 45-62. (In English).
6. Hemp Seed Cake Flour as a Source of Proteins, Minerals and Polyphenols and Its Impact on the Nutritional, Sensorial and Technological Quality of Bread // Foods. – 2023. – № 12(23). – R. 4327. https://doi.org/10.3390/foods12234327. (In English).
7. Flaxseed Oilcake: An Ingredient with High Nutritional Value in the Realization of Innovative Food Products // Foods. – 2025. – № 14(7). – R. 1087. https://doi.org/10.3390/foods14071087. (In English).
8. Flax and flaxseed oil: An ancient medicine & modern functional food / A. Goyal et al // Journal of Food Science and Technology. – 2014. – № 51(9). – P. 1633-1653. (In English).
9. Ashirova G.K. Ispol'zovanie l'nyanogo zhmykha v tekhnologii myasnykh produktov / G.K. Ashirova, S.T. Tazhibaeva // Vestnik Almatinskogo tekhnologicheskogo universiteta. – 2021. – № 3. – S. 110-116. (In Russian).
10. Capcanari T. Hemp Seed Cake Flour as a Source of Proteins, Minerals, and Antioxidants / T. Capcanari, C. Radu, L. Dumitrescu // Food Chemistry. – 2023. – № 406. – R. 134987. (In English).

Информация о финансировании

Данное исследование выполнено в рамках грантового финансирования AP23484846 «Разработка технологии мясных полуфабрикатов из экологически чистого сырья, соответствующих современным требованиям пищевой безопасности и здорового питания», финансируемой Министерством науки и высшего образования Республики Казахстан.

А.О. Майжанова*, Қ.Ж. Амирханов, Г.Н. Нұрымхан, Ш.Қ. Жакупбекова, А.А. Даутов
Шәкәрім университеті,
071412, Қазақстан Республикасы, Семей қ., Глинки көшесі, 20 А
*e-mail: fquekm2710@mail.ru

ЗЫҒЫР ЖӘНЕ ҚАРАСОРА КҮНЖАРАСЫНАН АЛЫНҒАН КОМПОЗИТТІ ҰННЫҢ ТАҒАМДЫҚ ЖӘНЕ БИОЛОГИЯЛЫҚ ҚҰНДЫЛЫҚТАРЫН ЗЕРТТЕУ

Функционалды тағамдарды заманауи зерттеулерде рационды ақуыздармен, дәрумендермен, минералдармен және биологиялық белсенді қосылыстармен байыта алатын композициялық ингредиенттерді жасауға ерекше назар аударылады. Бұл жұмыста зығыр мен қарасора күнжарасынан алынған композициялық ұнның физика-химиялық сипаттамаларын, дәрумендік және минералды құрамын, аминқышқылдарының профилін және антиоксиданттық белсенділігін бағалау, сондай-ақ функционалды және байытылған тағамдарда қолдану әлеуетін анықтау мақсатында 1:1 қатынасында кешенді талдау жүргізілді.

Зерттеу нәтижелері композиттік ұнның жоғары сұрыпты бидай ұнымен (0,1-0,15 ± 0,02%) салыстырғанда диеталық талшықта айтарлықтай жоғары екенін көрсетті –11,03 ± 0,13%. Дәрумендік құрамды талдау Е дәрумені (92,02 ± 0,96 мг/100 г) мен В тобындағы дәрумендердің (B_1, B_2, B_3, B_5, B_6, фолий қышқылы) едәуір мөлшерінің болуын көрсетті, олардың құрамы бидай ұнының көрсеткіштерінен бірнеше есе жоғары. Минералды профиль темірдің (11,70 ± 0,14 мг/100 г), магнийдің (256,7 ± 3,1 мг/100 г), кальцийдің (200,17 ± 2,41 мг/100 г), фосфордың (582,10 ± 6,98 мг/100 г) және мырыштың (3,56 ± 0,04 мг/100 г) жоғарылауымен сипатталады, ал йодтың болуы (0,0069 ± 0,0001 мг/100 г) микроэлементтер спектрін кеңейтеді.

Аминқышқылдарының талдауы ақуыздың жоғары биологиялық құндылығын растайтын аргинин, лизин, лейцин, изолейцин, валин және метионинді қоса алғанда, маңызды және шартты түрде маңызды аминқышқылдарының жоғары құрамын көрсетті. Композициялық ұн сонымен қатар липидтер мен ақуыз құрылымдарын тотығу процестерінен қорғауды қамтамасыз ететін айқын антиоксиданттық белсенділікке ие.

Алынған нәтижелер тағамдық құндылығын арттыру, технологиялық қасиеттерін жақсарту және сақтау мерзімін ұзарту мақсатында ет-өсімдік өнімдерін қоса алғанда, функционалдық, байытылған және профилактикалық азық-түлік өнімдерінің рецептураларында зығыр және қарасора күнжарасынан жасалған композиттік ұнды пайдаланудың орындылығын көрсетеді.

Түйін сөздер: *композитті ұн; қарасора күнжарасы; зығыр күнжарасы; тағамдық құндылық; биологиялық құндылық; аминқышқылдық құрам; функционалды тағам өнімдері.*

A.O. Maizhanova*, K.Zh. Amirkhanov, G.N. Nurymkhan, Sh.K. Zhakupbekova, A.A. Dautova
Shakarim University,
071412, Republic of Kazakhstan, Semey, 20A Glinki St.
*e-mail: fquekm2710@mail.ru

INVESTIGATION OF THE NUTRITIONAL AND BIOLOGICAL VALUES OF COMPOSITE FLAXSEED AND HEMP MEAL

In modern research on functional foods, special attention is paid to the development of composite ingredients capable of enriching the diet with protein, vitamins, minerals and biologically active compounds. In this work, a comprehensive analysis of composite flour obtained from flax and hemp meal in a 1:1 ratio was carried out in order to evaluate its physico-chemical characteristics, vitamin and mineral composition, amino acid profile and antioxidant activity, as well as to determine the potential for use in functional and fortified foods.

The results of the study demonstrated that composite flour has a significantly higher fiber content – 11.03 ± 0.13%, compared with premium wheat flour (0.1-0.15 ± 0.02%). The analysis of the vitamin composition showed the presence of significant amounts of vitamin E (92.02 ± 0.96 mg / 100 g) and B vitamins (B1, B2, B3, B5, B6, folic acid), the content of which is many times higher than wheat flour. The mineral profile is characterized by an increased content of iron (11.70 ± 0.14 mg/100 g), magnesium (256.7 ± 3.1 mg/100 g), calcium (200.17 ± 2.41 mg/100 g), phosphorus (582.10 ± 6.98 mg/100 g) and zinc (3.56 ± 0.04 mg/100 g), and the presence of iodine (0.0069 ± 0.0001 mg/100 g) expands the range of trace elements.

Amino acid analysis showed a high content of essential and conditionally essential amino acids, including arginine, lysine, leucine, isoleucine, valine and methionine, which confirms the high biological value of the protein. Composite flour also has a pronounced antioxidant activity, providing protection of lipid and protein structures from oxidative processes.

The results obtained indicate the expediency of using composite flour from flax and hemp meal in formulations of functional, fortified and preventive food products, including meat products, in order to increase nutritional value, improve technological properties and prolong shelf life.

Key words: *composite flour; hemp meal; flax meal; nutritional value; biological value; amino acid composition; functional food products.*

Сведения об авторах

Айгуль Омарбековна Майжанова* – докторант кафедры «Пищевая технология», Шәкәрім университет, Республика Казахстан; e-mail: fquekm2710@mail.ru. ORCID: https://orcid.org/0000-0002-4845-9465.

Кумарбек Жунусбекович Амирханов – доктор технических наук, профессор кафедры «Пищевая технология», Шәкәрім университет, Республика Казахстан; e-mail: aspirant57@mail.ru. ORCID: https://orcid.org/0000-0002-7988-988X.

Гүлнұр Несіптайқызы Нұрымхан – декан Исследовательской школы пищевой инженерии, Шәкәрім университет, Республика Казахстан; e-mail: gulnu-n@mail.ru. ORCID: https://orcid.org/0000-0002-0955-3520.

Шугыла Кадыровна Жакупбекова – постдокторант кафедры «Пищевая технология», Шәкәрім университет, Республика Казахстан; e-mail: siyanie__88@mail.ru. ORCID: https://orcid.org/0000-0002-7558-9871.

Асель Алибековна Даутова – заместитель декана Исследовательской школы пищевой инженерии, Шәкәрім университет, Республика Казахстан; e-mail: aska_nur@mail.ru. ORCID: https://orcid.org/0000-0002-2373-2445.

Авторлар туралы мәліметтер

Айгуль Омарбековна Майжанова* – «Тамақ технологиясы» кафедрасының докторанты, Шәкәрім университеті, Қазақстан Республикасы; e-mail:fquekm2710@mail.ru. ORCID:https://orcid.org/0000-0002-4845-9465.

Кумарбек Жунусбекович Амирханов – техника ғылымдарының докторы, «Тамақ технологиясы» кафедрасының профессоры, Шәкәрім университеті, Қазақстан Республикасы; e-mail: aspirant57@mail.ru. ORCID: https://orcid.org/0000-0002-7988-988X.

Гүлнұр Несіптайқызы Нұрымхан – Тамақ инженериясы зерттеу мектебінің деканы, Шәкәрім университеті, Қазақстан Республикасы; e-mail: gulnu-n@mail.ru. ORCID: https://orcid.org/0000-0002-0955-3520.

Шугыла Кадыровна Жакупбекова – «Тамақ технологиясы» кафедрасының постдокторанты, Шәкәрім университеті, Қазақстан Республикасы; e-mail: siyanie__88@mail.ru. ORCID: https://orcid.org/0000-0002-7558-9871.

Асель Алибековна Даутова – Тамақ инженериясы зерттеу мектебінің декан орынбасары, Шәкәрім университеті, Қазақстан Республикасы; e-mail: aska_nur@mail.ru. ORCID: https://orcid.org/0000-0002-2373-2445.

Information about the authors

Aigul Maizhanova* – doctoral student of the Department of «Food Technology», Shakarim University, Republic of Kazakhstan; e-mail: fquekm2710@mail.ru. ORCID: https://orcid.org/0000-0002-4845-9465.

Kumarbek Amirkhanov – Doctor of Technical Sciences, Professor of the Department of «Food Technology», Shakarim University, Republic of Kazakhstan; e-mail: aspirant57@mail.ru. ORCID: https://orcid.org/0000-0002-7988-988X.

Gulnur Nurymkhan – Dean of the Research School of Food Engineering, Sakarim University, Republic of Kazakhstan; e-mail: gulnu-n@mail.ru. ORCID: https://orcid.org/0000-0002-0955-3520.

Shugyla Kadyrovna – postdoctoral fellow of the Department of «Food Technology», National Academy of Sciences of Kazakhstan, Republic of Kazakhstan; e-mail: siyanie__88@mail.ru. ORCID: https://orcid.org/0000-0002-7558-9871.

Assel Dautova – Deputy Dean of the Research School of Food Engineering, National Academy of Sciences of the Republic of Kazakhstan; e-mail: aska_nur@mail.ru. ORCID: https://orcid.org/0000-0002-2373-2445.

Поступила в редакцию 17.09.2025
Поступила после доработки 20.11.2025
Принята к публикации 24.11.2025

https://doi.org/10.53360/2788-7995-2025-4(20)-56

МРНТИ: 65.53.29; 65.09.05

BY 4.0
Check for updates

А.У. Шингисов, Б.М. Хамитова*, С.У. Еркебаева, М.А. Турлыбек
Южно-Казахстанский университет им. М.Ауэзова,
160012, Республика Казахстан,г. Шымкент, пр. Тауке хана, 5
* e-mail: barno-007@mail.ru

ИССЛЕДОВАНИЕ ХИМИЧЕСКОГО И МИНЕРАЛЬНОГО СОСТАВА ПШЕНИЧНОЙ СОЛОМЫ КАК СЫРЬЯ ДЛЯ ПОЛУЧЕНИЯ ЦЕЛЛЮЛОЗЫ

Аннотация: *В настоящее время значительная часть недревесного растительного сырья, в частности отходов сельскохозяйственных культур, не находит эффективного применения и преимущественно остается на полях либо утилизируется посредством сжигания, что приводит к значительному негативному воздействию на окружающую среду. Особо остро проблема переработки отходов сельского хозяйства стоит для тех территорий (Казахстан, Китай, Индия, страны СНГ), где воспроизводство крупяных и хлебных злаков является основной отраслью, на которой строится их благосостояние. Основным достоинством недревесного сырья является его ежегодная воспроизводимость и невысокая стоимость. В то же время, однолетние растения являются источником ряда ценных продуктов природного происхождения, в том числе и целлюлозы. В статье представлены результаты исследований морфологического строения и химического состава соломы пшеницы. Результаты анализа свидетельствуют о высокой перспективности использования данного вида лигноцеллюлозного сырья для прямого получения целлюлозы без необходимости предварительной экстракции древесного компонента. Также были исследованы минеральный состав соломы пшеницы, результаты анализа минерального состава показали присутствие жизненно важных макро- и микроэлементов, таких как калий, магний, кальций, фосфор, алюминий и кремний. Установленное соотношение этих элементов указывает на перспективность рассматриваемого вида сырья для получения целлюлозы, пригодной к дальнейшим химическим модификациям.*

Ключевые слова: *пшеничная солома, целлюлоза, гемицеллюлоза, лигнин, безазотистые вещества, зернобобовая культура, минеральный состав.*

Введение

Зерновые и зернобобовые культуры занимают ключевое положение в мировом земледелии, являясь одной из основных категорий сельскохозяйственной продукции. В процессе ежегодного сбора и переработки урожая в мире образуется порядка 4-5 млрд тонн растительных отходов, представляющих собой ценный источник высокомолекулярных углеводов [1].

Солома злаковых и зернобобовых культур, а также стебли льна и других сельскохозяйственных растений, остающиеся после обмолота, рассматриваются как перспективное лигноцеллюлозное сырьё. Основным структурным компонентом этих отходов является целлюлоза, определяющая упругие и механические свойства растительного материала.

Отходы однолетних сельскохозяйственных культур обладают рядом преимуществ по сравнению с традиционными источниками целлюлозы: они являются многофункциональным, дешёвым, экологически безопасным, быстро возобновляемым и широко доступным ресурсом, особенно на территории Российской Федерации [2].

Одним из приоритетных направлений переработки такого сырья является модификация получаемых материалов с целью повышения их водостойкости и гидрофобности, что критически важно для сохранения эксплуатационных характеристик и увеличения срока службы изделий. В этих целях активно применяются кремнийорганические соединения (КОС), обладающие высокой эффективностью в формировании водоотталкивающих покрытий [2, 5]. Основу химических преобразований КОС составляет высокая реакционная способность связей Si-Hal при одновременной химической стабильности связей Si-C [2, 3].

В Республике ежегодно после сбора урожая образуется в среднем 10,0-10,5 млн тонн отходов, значительную часть которых (около 7 млн тонн) составляет солома зерновых культур

[4]. Из общего объема соломы пшеницы ориентировочно используется лишь 20-25% – в основном для подстилки и кормления животных, утепления ферм, укрытия буртов, а также для производства удобрений и топлива [3, 4]. Это свидетельствует о наличии значительного объема неиспользуемого растительного сырья, создающего потенциал для развития технологий глубокой переработки биополимеров растительной биомассы с целью получения продукции с высокой добавленной стоимостью [5].

Основу растительных клеток составляют целлюлоза, гемицеллюлозы и лигнин. Компонентный состав соломы делает её перспективным сырьём для получения различных ценных продуктов, что в последние десятилетия стало одним из приоритетных направлений научных исследований и технологических разработок [5, 6]. Химический состав соломы неоднороден и изменяется в зависимости от вида культуры (пшеница, рожь, овес, рапс и т.д.), климатической зоны, времени посева (яровая, озимая мятая, озимая-стерновка), способов уборки, обмолота, хранения и других факторов [7, 9].

В настоящее время отходы сельскохозяйственных культур не находят квалифицированного применения, так как большая часть их остается на полях или сжигается. Основным достоинством такого сырья является его ежегодная воспроизводимость и невысокая стоимость. В то же время, однолетние растения являются источником ряда ценных продуктов природного происхождения, в том числе и целлюлозы. Известны исследования по переработке растительных отходов сельского хозяйства в целлюлозу различными методами и дальнейшее применение выделенной целлюлозы в получении полезных продуктов. Проводится делигнификация соломы пшеницы пероксидом водорода [4, 5] и смесью уксусной кислоты [6, 7]. Солому риса подвергают обработке в субкритических условиях и с применением муравьиной кислоты [8, 9]. Исследована возможность получения целлюлозы из соломы и шелухи овса щелочно-окислительноорганосольвентным способом [7]. Предлагается комплексная переработка отходов производства риса и гречихи [8]. Проводятся исследования процесса переработки пшеничной соломы в ароматические альдегиды и левулиновую кислоту [10]. Известен способ получения микрокристаллической целлюлозы из соломы злаковых [2, 8]. Показана перспективность использования соломы пшеницы в качестве химического сырья для получения сорбентов и связующих веществ в производстве древесных плит [11]. Целлюлозу из стеблей рапса и сои исследуют на возможность получения бумаги [10, 11].

Объем исследований по переработке недревесного растительного сырья и применению целлюлозы продолжает расти. Особый интерес представляют экологически безопасные методы, использующие нейтральные реагенты или органические растворители. Солома – один из самых доступных и недорогих видов сырья для крупномасштабного производства энергоносителей, в частности топливного спирта. Это возобновляемый ресурс с запасами в сотни миллионов тонн; ежегодно в России накапливается около 80-100 млн тонн соломы злаковых и крупяных культур [4, 12].

Солома характеризуется неоднородным фракционным составом волокон, высоким содержанием гемицеллюлоз и значительной зольностью [12], что усложняет её химическую переработку и требует специальных технологических решений. Вместе с тем, эти особенности открывают новые перспективы для разработки эффективных методов использования растительного сырья. В связи с этим важно изучить свойства технической целлюлозы, получаемой из пшеничной соломы методом варки в растворах гидроксида калия и натрия [3, 14].

В работах [16] показано, что содержание холоцеллюлозы, лигнина Классона и зольность в листьях, узлах и стеблях пшеничной соломы различны. Содержание лигнина Классона в стеблях достигает 18,9% от АСВ. В узлах и листьях его содержание ниже и составляет 14,8% и 13,5% соответственно. Содержание холоцеллюлозы в стеблях пшеничной соломы достигает 71%, что на 14% выше, чем в листьях. В листьях пшеничной соломы содержится 12 % зольных элементов, что в два раза превышает их содержание в стеблях. Согласно данным исследованиям, наиболее ценным химическим составом с технологической точки зрения обладают стебли злаковых культур.

Солома всех зерновых культур сопротивляется уплотнению и поэтому ее трудно спрессовать для перевозки и хранения [17], а в прессованной соломе могут развиваться различного рода инфекции: дрожжевая, бактериальная. Поэтому следует предусмотреть особые условия, исключающие заражение и разрушение соломы в процессе ее хранения.

При переработке зерна остается большое количество отходов: соломы, отрубей. Для разных культур солома составляет от 40 до 70% от общего веса. Переработка соломы позволяет получить не только спирты, но и ряд других продуктов, например, пищевую клетчатку в количестве до 45% первоначальной массы.

Материалы и методы

В настоящей работе исследовалась солома пшеницы, образующаяся в качестве отходов в аграрном секторе Республики Казахстан. В исследовании представлены три образца пшеничная солома (Ленгер Акбастау), пшеничная солома (Тау-Самалы), пшеничная солома (Тулькубас). Образцы пшеничной соломы были собраны в период уборки урожая на территории Южного Казахстана и приобретены у сельскохозяйственного производственного кооператива (СПК) «Агропром Береке».

Предварительно исследуемое растительное сырье измельчалось и сортировалось. Для химических анализов использовалось сырье, фракционированное через сита с размером частиц 2-3 мм. Зольные вещества определяли сжиганием навески сырья с последующим прокаливанием в муфельной печи при температуре 600^0С.

Минеральный состав анализировали методом атомно-абсорбционной спектроскопии (ААС) и рентгенофлуоресцентного анализа (РФА) в лаборатории «Конструкционные и биохимические материалы» ЮКУ имени М. Ауэзова.

Для каждой пробы определены атомный и весовой состав элементов, а также дифракционные характеристики образцов. Все данные сохраняются в электронном виде для последующего анализа.

Результаты исследований и их обсуждение

Химический состав соломы зерновых культур представляет собой сложную систему, основными компонентами которой являются три группы органических соединений: целлюлоза, гемицеллюлозы и лигнины.

Содержание полисахаридов (целлюлозы и гемицеллюлозы-пентозаны) и лигнина в некоторых образцах соломы (в процентах) приведено в таблице 1.

Таблица 1 – Содержание полисахаридов и лигнина в некоторых образцах соломы

Вид соломы	Содержание		
	Целлюлоза	Гемицеллюлоза	Лигнин
Пшеничная (Ленгер Акбастау)	37,5	27,9	15,0
Пшеничная Тау-Самалы	35,0	28,2	14,9
Пшеничная Тулькубас	33,1	26,7	9,9

Растительное сырьё характеризуется низким содержанием липидов и белков и высоким содержанием клетчатки и полисахаридов гемицеллюлоз, которые потенциально могут служить заменителями углеводных кормов. Однако из-за присутствия лигноуглеводных связей при скармливании данных растительных материалов в их натуральном виде наблюдается низкая степень усвояемости животными.

Солома представляет собой возобновляемый ресурс, играющий важную роль в углеродном балансе атмосферы: количество углекислого газа, выделяемого при её сжигании, компенсируется объемом поглощенного CO_2 в процессе фотосинтеза при росте последующего урожая. При рассмотрении соломы как энергетического ресурса она приобретает экономическую ценность.

Помимо основных компонентов, солома содержит различные органические соединения, включая белки и восковые вещества, которые выполняют функцию защиты эпидермиса, а также моносахариды, минеральные соли и золу. Биохимический состав пшеничной соломы разных образцов представлен в таблице 2, тогда как характеристика состава гемицеллюлоз пшеничной соломы приведена в таблице 3.

Были изучены состав гемицеллюлозы различных видов соломы (масс. % от массы сухих веществ сырья). Основная часть гемицеллюлоз; высокий уровень арабинозы у всех образцов (10-15% от АХ); степень замещения 0.5-0.7; содержит феулоевую кислоту. Пшеничная солома (Ленгер Акбастау) считается оптимальной для выделения целлюлозы и дальнейшего получения биоупаковки.

Таблица 2 – Биохимический состав пшеничной соломы разных образцов

Вид соломы	Протеин, %	Жир, %	Клетчатка, %	БЭВ, %	Зола,%	В 1 кг содержится	
						Кормовых ед.	Переваримого протеина, г
Пшеничная (Ленгер Акбастау)	3,85	1,49	40,25	36,18	3,40	0,25	7,01
Пшеничная (Тау-Самалы)	4,29	1,47	37,90	36,60	3,78	0,27	10,9
Пшеничная (Тулькубас)	3,71	1,38	34,10	33,60	3,54	0,23	8,47

Таблица 3 – Состав гемицеллюлоз различных видов соломы (масс. % от массы сухих веществ сырья)

Вид соломы	Галактан	Маннан	Арабинан	Ксилан
Пшеничная (Ленгер Акбастау)	0,9	0,3	2,31	16,8
Пшеничная (Тау-Самалы)	1,7	0	2,79	13,9
Пшеничная (Тулькубас)	1,1	0,1	2,43	14,7

Содержание сырого протеина в соломе варьируется в пределах от 3,71 до 4,29% в пересчёте на сухое вещество, что обусловлено такими факторами, как сортовые особенности, характеристики почв, применение удобрений, режимы орошения и сроки уборки сырья [13]. В частности, задержка с уборкой приводит к значительному снижению содержания сырого протеина.

Результаты анализа минерального состава образцов пшеничной соломы представлены на рисунке 1, где отражено содержание макро- и микроэлементов. Обработка хроматографических данных и визуализация спектральных характеристик представлены на рисунке 2.

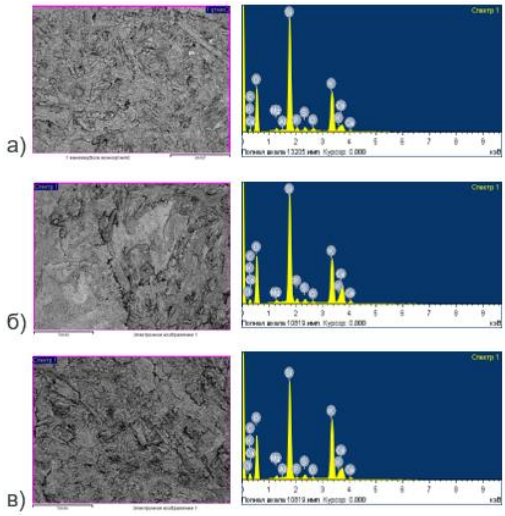


Рисунок 1 – Зольная структура и хроматографические профили образцов пшеничной соломы

а) пшеничная солома (Ленгер Акбастау); б) пшеничная солома (Тау-Самалы); в) пшеничная солома (Тулькубас)

Содержание фосфора в растительных остатках, в отличие от серы, является минимальным и демонстрирует незначительные колебания – от 0,99 до 1,08% от массы. Минимальные значения содержания калия зафиксированы в соломе (Тау-Самалы) – 0,48%, тогда как в соломе (Ленгер Акбастау) его уровень почти в два раза выше – 0,99 % от массы. Хотя кальций и магний не относятся к основным элементам питания растений, полученные данные показали, что их содержание в растительных остатках превышает содержание фосфора. Среди всех биогенных элементов наименьшее потребление растения демонстрируют по магнию. Его концентрация в соломе варьирует от 0,02 до 0,05%, достигая максимума в образцах из района Ленгер Акбастау. В соломе зернобобовых культур содержание углерода в 8-9 раз выше, чем у злаковых, что делает соотношение углерода и калия более благоприятным для питания почвенных микроорганизмов.

Высокое содержание кремния (22,14%) связано с природной структурой клеточных стенок, что может осложнять процессы целлюлозоизвлечения и требовать дополнительной химической обработки.

Наличие магния и других микроэлементов в низких концентрациях свидетельствует о потенциальном влиянии на каталитические реакции при химической модификации целлюлозы. Калий и кальций, являясь основными макроэлементами, могут влиять на кислотно-щелочной баланс в процессе варки и отбеливания.

Сравнительное содержание микроэлементов в соломе пшеницы представлены на рисунке 2.

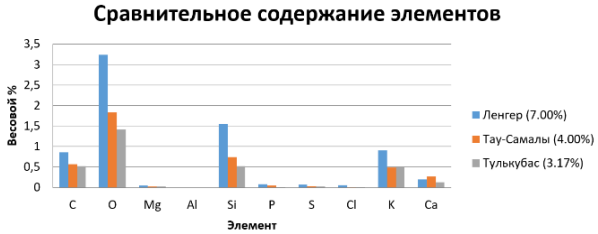


Рисунок 2 – Содержание минеральных элементов (мг/100 г продукта) в образцах пшеничной соломы

В результате исследований было установлено, что содержание микроэлементов в соломе пшеницы из района Ленгер Акбастау отличается от содержания их в соломе (табл. 2). Во всех образцах соломы пшеницы содержит больше углерода, кремния и калия и меньше - марганца, серы и фосфора. Элементы содержащие в соломе пшеницы во всех зонах выстраиваются в ряд: O>C, K>Ca>Si>C, который свидетельствует, что соломы пшеницы Ленгер Акбастау характеризуется повышенной потребностью в фосфоре, хлора и магния в связи с их большой биологической значимостью.

На основании результатов анализа минерального состава установлено, что все исследованные образцы пшеничной соломы содержат макро- и микроэлементы в количествах, достаточных для целесообразного использования данного сырья при получении целлюлозы. Для обеспечения сопоставимости с нормативными требованиями концентрации микроэлементов были нормированы на 100 г продукта и выражены в миллиграммах на 100 г (мг/100 г).

Данные результаты подтверждают, что минеральный состав пшеничной соломы необходимо учитывать при разработке технологических схем получения целлюлозы, что позволит повысить выход продукции и качество конечного материала.

Заключение

Пшеничная солома представляет собой перспективное сырье для получения целлюлозы благодаря содержанию значимых макро- и микроэлементов. Однако высокое содержание кремния требует разработки адаптированных технологий для эффективного извлечения целлюлозы. Учет минерального состава позволит оптимизировать процессы переработки и расширить сферы применения целлюлозы, получаемой из данного вида растительного сырья.

Проведённое сравнительное исследование химического и минерального состава соломы пшеницы, полученной из трёх различных районов, позволило выявить как общие закономерности, так и существенные различия, обусловленные природно-климатическими условиями и особенностями агротехники. Несмотря на сходство базового химического профиля, солома из каждого района характеризуется индивидуальными значениями содержания клетчатки, золы, белка, а также концентрациями углерода, кремния, магния и микроэлементов. Результаты проведённого исследования показали, что солома пшеницы, заготовленная в районах Ленгер и Акбастау, обладает более выраженными предпосылками для использования в качестве сырья при получении целлюлозы по сравнению с образцами из других районов. Это преимущество обусловлено совокупностью факторов: повышенным содержанием целлюлозы и гемицеллюлоз, оптимальным уровнем лигнина, а также более благоприятным минеральным составом, снижающим затраты на предварительную химическую обработку.

Список литературы

1. Стейнифорт А.Р. Солома злаковых культур / А.Р. Стейнифорт. – М.: Колос, 1983. – С. 77-178.
2. Применение соломы зерновых культур на удобрение / В.А. Олифер и др. // Рекомендации / ВАСХНИЛ Сиб. отд-ние. АНИИЗиС. – Новосибирск, 1990. – 20 с.
3. Майсямова Д.Р. Влияние соломы на численность микроорганизмов чернозема обыкновенного при минимальной обработке / Д.Р. Майсямова, А.П. Лазарев // Аграрный вестник Урала. – 2008. – № 6. – С. 33-35.
4. Леонова Т.В. Использование пшеничной соломы в производстве технической целлюлозы / Т.В. Леонова, С.В. Морозов // Журнал химической технологии. – 2017. – № 6. – С. 37-43.
5. Применение соломы зерновых культур на удобрение в Томской области / И.Б. Сорокин и др. // Рекомендации / ГНУ СибНИИТ СО РАСХН. Департамент социально-экономического развития села Томской области. Томск, 2004. – 10 с.
6. Харина М.В. Состав, структура и перспективы энергоресурсосберегающей переработки соломы злаковых культур / М.В. Харина, Л.М. Терехова, В.М. Емельянов // Вестник технологического университета. – 2014. – № 12. – С. 170.
7. Влияние вида щелочи на характеристики целлюлозы из соломы пшеницы / А.В. Вураско и др. // Химия. Экология. Урбанистика. – 2021. – Т.4. – С. 87-91.
8. Новый справочник химика и технолога. В 12 томах. Сырье и продукты промышленности органических и неорганических веществ: в 2 ч. Ч. II / под ред. В.А. Столяровой. – СПб.: АНОНПО «Профессионал», 2007. – 1142 с.
9. Перспективы использования биотехнологий в аграрной сфере Единого Экономического Пространства / Э.Ф. Мустафина и др. – М.: ООО «Угрешская типография», 2014. – 136 с.
10. Ерёмин Д.И. Влияние уровня минерального питания на скорость разложения соломы яровой пшеницы в лесостепной зоне Зауралья / Д.И. Ерёмин, А.А. Ахтямова // Агропродовольственная политика России. – 2015. – № 2. – С. 68-71.
11. Иванов И.И. Минеральный состав пшеничной соломы и его влияние на технологические процессы / И.И. Иванов, П.П. Петров // Вестник сельскохозяйственной химии. – 2021. – № 3. – С. 45-52.
12. Сидоров А.А. Технология переработки лигноцеллюлозного сырья / А.А. Сидоров. – М.: Наука, 2019. – 280 с.
13. Influence of mineral content on the enzymatic hydrolysis of wheat straw cellulose / Y. Zhang et al // Bioresource Technology. – 2020. – Vol. 295. – P. 122235.
14. Куликова А.Х. Повышение эффективности применения соломы как удобрения при возделывании ячменя / А.Х. Куликова, К.Ч. Хисамова // Аграрный научный журнал. – 2015. – № 4. – С. 13-17.
15. Юскин А.А. Влияние систем земледелия на химический состав соломы зерновых культур / А.А. Юскин, В.И. Макаров // Вестник Ижевской государственной сельскохозяйственной академии. – 2009. – № 1(18). – С. 76-79.
16. Солома – отход агропромышленного комплекса как перспективное сырье для получения кормовых и белковых препаратов / Р.Т. Валеева и др. // Вестник Казанского технологического университета. – 2016. – Т.9. – № 6. – С. 137-140.
17. Оболенская А.В. Лабораторные работы по химии древесины и целлюлозы / А.В. Оболенская, З.П. Ельницкая, А.А. Леонович. – М.: Экология, 1991. – 320 с.

References

1. Steinifort A.R. Soloma zlakovykh kul'tur / A.R. Steinifort. – M.: Kolos, 1983. – S. 77-178. (In Russian).
2. Primenenie solomy zernovykh kul'tur na udobrenie / V.A. Olifer i dr. // Rekomendatsii / VASKHNIL Sib. otd-nie. ANIIZIS. – Novosibirsk, 1990. – 20 s. (In Russian).
3. Maisyamova D.R. Vliyanie solomy na chislennost' mikroorganizmov chernozema obyknovennogo pri minimal'noi obrabotke / D.R. Maisyamova, A.P. Lazarev // Agrarnyi vestnik Urala. – 2008. – № 6. – S. 33-35. (In Russian).
4. Leonova T.V. Ispol'zovanie pshenichnoi solomy v proizvodstve tekhnicheskoi tsellyulozy / T.V. Leonova, S.V. Morozov // Zhurnal khimicheskoi tekhnologii. – 2017. – № 6. – S. 37-43. (In Russian).

5. Primenenie solomy zernovykh kul'tur na udobrenie v Tomskoi oblasti / I.B. Sorokin i dr. // Rekomendatsii / GNU SiBNIIT SO RASKHN. Departament sotsial'no-ehkonomicheskogo razvitiya sela Tomskoi oblasti. Tomsk, 2004. – 10 s. (In Russian).
6. Kharina M.V. Sostav, struktura i perspektivy ehnergoresursosberegayushchei pererabotki solomy zlakovykh kul'tur / M.V. Kharina, L.M. Terekhova, V.M. Emel'yanov // Vestnik tekhnologicheskogo universiteta. – 2014. – № 12. – S. 170. (In Russian).
7. Vliyanie vida shchelochi na kharakteristiki tsellyulozy iz solomy pshenitsy / A.V. Vurasko i dr. // Khimiya. Ehkologiya. Urbanistika. – 2021. – T.4. – S. 87-91. (In Russian).
8. Novyi spravochnik khimika i tekhnologa. V 12 tomakh. Syr'e i produkty promyshlennosti organicheskikh i neorganicheskikh veshchestv: v 2 ch. CH. II / pod red. V.A. Stolyarovoi. – SPb.: ANONPO «ProfessionaL», 2007. – 1142 s. (In Russian).
9. Perspektivy ispol'zovaniya biotekhnologii v agrarnoi sfere Edinogo Ehkonomicheskogo Prostranstva / EH.F. Mustafina i dr. – M.: OOO «Ugreshskaya tipografiYA», 2014. – 136 s. (In Russian).
10. Eremin D.I. Vliyanie urovnya mineral'nogo pitaniya na skorost' razlozheniya solomy yarovoi pshenitsy v lesostepnoi zone Zaural'ya / D.I. Eremin, A.A. Akhtyamova // Agroprodovol'stvennaya politika Rossii. – 2015. – № 2. – S. 68-71. (In Russian).
11. Ivanov I.I. Mineral'nyi sostav pshenichnoi solomy i ego vliyanie na tekhnologicheskie protsessy / I.I. Ivanov, P.P. Petrov // Vestnik sel'skokhozyaistvennoi khimii. – 2021. – № 3. – S. 45-52. (In Russian).
12. Sidorov A.A. Tekhnologiya pererabotki lignotsellyuloznogo syr'ya / A.A. Sidorov. – M.: Nauka, 2019. – 280 s. (In Russian).
13. Influence of mineral content on the enzymatic hydrolysis of wheat straw cellulose / Y. Zhang et al // Bioresource Technology. – 2020. – Vol. 295. – R. 122235. (In English).
14. Kulikova A.KH. Povyshenie ehffektivnosti primeneniya solomy kak udobreniya pri vozdelyvanii yachmenya / A.KH. Kulikova, K.CH. Khisamova // Agrarnyi nauchnyi zhurnal. – 2015. – № 4. – S. 13-17. (In Russian).
15. Yuskin A.A. Vliyanie sistem zemledeliya na khimicheskii sostav solomy zernovykh kul'tur / A.A. Yuskin, V.I. Makarov // Vestnik Izhevskoi gosudarstvennoi sel'skokhozyaistvennoi akademii. – 2009. – № 1(18). – S. 76-79. (In Russian).
16. Coloma – otkhod agropromyshlennogo kompleksa kak perspektivnoe syr'e dlya polucheniya kormovykh i belkovykh preparatov / R.T. Valeeva i dr. // Vestnik Kazanskogo tekhnologicheskogo universiteta. – 2016. – T.9. – № 6. – S. 137-140. (In Russian).
17. Obolenskaya A.V. Laboratornye raboty po khimii drevesiny i tsellyulozy / A.V. Obolenskaya, Z.P. El'nitskaya, A.A. Leonovich. – M.: Ehkologiya, 1991. – 320 s. (In Russian).

Информация о финансировании

Авторы выражают благодарность Комитету науки Министерства науки и высшего образования Республики Казахстан за поддержку в рамках грантового финансирования научного проекта на тему «Разработка технологии производства биоразлагаемой пленочной упаковки из пшеничной соломы» (AP26104273).

А.У. Шингисов, Б.М. Хамитова*, С.У. Еркебаева, М.Ә. Тұрлыбек
М. Әуезов атындағы Оңтүстік Қазақстан университеті,
160012, Қазақстан Республикасы, Шымкент қ., Тауке хан даңғылы, 5
*e-mail: barno-007@mail.ru

ЦЕЛЛЮЛОЗА АЛУДА БИДАЙ САБАНЫ ШИКІЗАТЫНЫҢ ХИМИЯЛЫҚ, МИНЕРАЛДЫҚ ҚҰРАМЫН ЗЕРТТЕУ

Қазіргі уақытта ағаш емес өсімдік материалдарының айтарлықтай бөлігі, әсіресе ауыл шаруашылығы қалдықтары тиімді пайдаланылмайды және негізінен егістіктерде қалдырылады немесе өртеу арқылы жойылады, нәтижесінде қоршаған ортаға елеулі теріс әсер етеді. Ауылшаруашылық қалдықтарын кәдеге жарату мәселесі әсіресе астық және дәнді дақылдар өндірісі олардың өмір сүруінің негізгі саласы болып табылатын аймақтарда (Қазақстан, Қытай, Үндістан және ТМД елдері) өзекті болып отыр. Ағаш емес шикізаттың негізгі артықшылығы олардың жыл сайын өндірілуі және құнының төмендігі болып табылады. Сонымен қатар, бір жылдық өсімдіктер

бірқатар құнды табиғи өнімдердің, соның ішінде целлюлозаның көзі болып саналады. Бұл мақалада бидай сабанының морфологиялық құрылымы мен химиялық құрамын зерттеу нәтижелері берілген. Талдау лигноцеллюлозды шикізаттың осы түрін ағаш құрамдас бөлігін алдын ала алуды қажет етпей, целлюлозаны тікелей өндіруде қолданыдуының жоғары мүмкіндігін көрсетеді. Бидай сабанының минералдық құрамы да зерттеліп, онда калий, магний, кальций, фосфор, алюминий, кремний сияқты өмірлік маңызды макро- және микроэлементтер бар екені анықталды. Бұл элементтердің белгіленген арақатынасы осы шикізаттың одан әрі химиялық модификацияға жарамды целлюлоза алу мүмкіндігін көрсетеді.

Түйін сөздер: *бидай сабаны, целлюлоза, гемицеллюлоза, лигнин, азотсыз заттар, бұршақ дақылдары, минералдық құрамы.*

A.U. Shingisov, B.M. Khamitova*, S.U. Yerkebayeva, M.A. Turlybek
M.Auezov' South-Kazakhstan University,
160012, Republic of Kazakhstan, Shymkent, Tauke Khan Ave.,5
*e-mail: barno-007@mail.ru

STUDY OF THE CHEMICAL AND MINERAL COMPOSITION OF WHEAT STRAW AS A RAW MATERIAL FOR PRODUCING CELLULOSE

Currently, a significant portion of non-wood plant materials, particularly agricultural waste, is not effectively utilized and is primarily left in fields or disposed of through incineration, resulting in significant negative environmental impacts. The problem of agricultural waste recycling is particularly acute in regions (Kazakhstan, China, India, and the CIS countries) where the production of cereals and grains is the primary industry upon which their livelihoods are built. The main advantage of non-wood raw materials is their annual reproducibility and low cost. At the same time, annual plants are a source of a number of valuable natural products, including cellulose. This article presents the results of a study of the morphological structure and chemical composition of wheat straw. The analysis results demonstrate the high potential of this type of lignocellulosic raw material for the direct production of cellulose without the need for preliminary extraction of the wood component. The mineral composition of wheat straw was also studied, revealing the presence of vital macro- and microelements, such as potassium, magnesium, calcium, phosphorus, aluminum, and silicon. The established ratio of these elements indicates the potential of this type of raw material for producing cellulose suitable for further chemical modification.

Key words: *wheat straw, cellulose, hemicellulose, lignin, nitrogen-free substances, legumes, mineral composition.*

Авторлар туралы мәліметтер

Азрет Утебаевич Шингисов – техника ғылымдарының докторы, «Азық-түлік өнімдерінің технологиясы және қауіпсіздігі» кафедрасының профессоры, М. Әуезов атындағы Оңтүстік Қазақстан университеті, Шымкент, Қазақстан Республикасы; e-mail: azret_utebai@mail.ru. ORCID: http://orcid.org/0000-0002-0726-8232.

Барна Махаматовна Хамитова* – техника ғылымдарының кандидаты, қауымдастырылған профессор, М. Әуезов атындағы Оңтүстік-Қазақстан университеті, Қазақстан Республикасы, Шымкент; e-mail: barno-007@mail.ru. ORCID: https://orcid.org/0000-0001-8377-3938.

Сапаркуль Умиртаевна Еркебаева – биология ғылымдарының кандидаты, «Азық-түлік өнімдерінің технологиясы және қауіпсіздігі» кафедрасы доценті, М. Әуезов атындағы Оңтүстік Қазақстан университеті, Шымкент, Қазақстан Республикасы; e-mail: erkesapash@mail.ru. ORCID: https://orcid.org/0000-0003-0868-127X.

Мәдина Әбдінәбиқызы Тұрлыбек – «Азық-түлік өнімдерінің технологиясы және қауіпсіздігі» кафедрасының докторанты, М. Әуезов атындағы Оңтүстік Қазақстан университеті, Шымкент, Қазақстан Республикасы; e-mail: madinaturlibek99@gmail.com. ORCID: https://orcid.org/0009-0002-4069-6308.

Сведения об авторах

Азрет Утебаевич Шингисов – доктор технических наук, профессор кафедры «Технология и безопасность продовольственных продуктов», Южно-Казахстанский университет имени М. Ауэзова, Высшая школа Текстильной и пищевой инженерии, Шымкент, Республика Казахстан; e-mail: azret_utebai@mail.ru. ORCID: http://orcid.org/0000-0002-0726-8232.

Барна Махаматовна Хамитова* – кандидат технических наук, ассоциированный профессор, Южно-Казахстанский университет им. М.Ауэзова, Республика Казахстан, Шымкент; e-mail: barno-007@mail.ru. ORCID: https://orcid.org/0000-0001-8377-3938.

Сапаркуль Умиртаевна Еркебаева – кандидат биологических наук, доцент кафедры «Технология и безопасность продовольственных продуктов», Южно-Казахстанский университет имени М. Ауэзова, Высшая школа Текстильной и пищевой инженерии, Шымкент, Республика Казахстан; e-mail: erkesapash@mail.ru. ORCID: https://orcid.org/0000-0003-0868-127X.

Мадина Абдинабиевна Турлыбек – докторант, кафедры «Технология и безопасность продовольственных продуктов», Южно-Казахстанский университет им. М.Ауэзова, Республика Казахстан; e-mail: madinaturlibek99@gmail.com. ORCID: https://orcid.org/0009-0002-4069-6308.

Information about authors

Azret Shingisov – Doctor of Technical Sciences, Professor of the Department of Technology and Food Safety, Higher School of Textile and Food Engineering, M. Auezov South Kazakhstan University, Shymkent, Republic of Kazakhstan; e-mail: azret_utebai@mail.ru. ORCID: http://orcid.org/0000-0002-0726-8232.

Barna Khamitova* – Candidate of Technical Sciences, Associate Professor, M. Auezov South-Kazakhstan University, Republic of Kazakhstan, Shymkent; e-mail: barno-007@mail.ru. ORCID: https://orcid.org/0000-0001-8377-3938.

Saparkul Yerkebayeva – candidate of Biological Sciences, Associate Professor of the Department of Technology and Food Safety, Higher School of Textile and Food Engineering, M. Auezov South Kazakhstan University, Shymkent, Republic of Kazakhstan; e-mail: erkesapash@mail.ru. ORCID: https://orcid.org/0000-0003-0868-127X.

Madina Turlybek – doctoral student of the Department of Technology and Food Safety, M. Auezov South Kazakhstan university, Shymkent, Republic of Kazakhstan; e-mail: madinaturlibek99@gmail.com. ORCID: https://orcid.org/0009-0002-4069-6308.

Поступила в редакцию 15.10.2025
Поступила после доработки 24.11.2025
Принята к публикации 25.11.2025

https://doi.org/10.53360/2788-7995-2025-4(20)-57

ҒТАХР: 65.59.01

CC BY 4.0
Check for updates

А.М. Спанова[1], А.Н. Нургазезова[1], М.Б. Ребезов[2], Ж.М. Атамбаева[1], А.К. Зарлыкканова[1]
[1]Шәкәрім университеті,
071400 Қазақстан Республикасы, Семей қ,.
[2]К.Г. Разумовский атындағы Мәскеу мемлекеттік технологиялар және басқару университеті,
119991, Ресей Федерациясы, Мәскеу, Земляной Вал көшесі, 73
*e-mail: spanoba_78@mail.ru

СҮТОШАҒАН КҮНЖАРАСЫ МЕН СЫҒЫНДЫСЫН (ЭКСТРАКТ) ТАМАҚ ӨНЕРКӘСІБІНДЕ ҚОЛДАНУ

Аңдатпа: *Бұл мақалада төмен калориялы ет өнімдерінің сапалық сипаттамаларын жетілдіру мақсатында сүтошаған күнжарасы мен сүтошаған тұқымының сығындысын қолдану мүмкіндіктері қарастырылған. Сүтошаған (Silybum marianum) биологиялық белсенді заттарға, әсіресе гепатопротекторлық қасиетімен белгілі силимарин кешеніне бай өсімдік болып табылады. Зерттеу барысында оның күнжарасы мен тұқым сығындысын қосу арқылы дайын өнімнің химиялық құрамы, тағамдық құндылығы және функционалдық қасиеттеріне ықпалы жан-жақты зерделенді.*

Эксперименттік жұмыстар барысында үлгілерге салыстырмалы талдау жүргізіліп, ақуыз, май, көмірсу мөлшері, сондай-ақ энергетикалық құндылығы анықталды. Зерттеу нәтижелері сүтошаған күнжарасы мен сығындысының ақуыз мөлшері шамалас (21,3% және 21,2%) болғанымен, май үлесі мен тұз деңгейінде айырмашылық байқалды: № 2 үлгіде май мөлшері 4,9%, ал № 1 үлгіде 4,2%; натрий хлориді сәйкесінше 2,07% және 1,5% құрады. Бұл энергетикалық құндылықтың да өзгеруіне әсер етіп, № 2 үлгіде 137,52 ккал/100 г, ал № 1 үлгіде 131,56 ккал/100 г болды. Сүтошаған қоспалары енгізілген үлгілерде биологиялық белсенді заттардың концентрациясы жоғарылап, өнімнің функционалдық артықшылықтары артқаны байқалды. Сонымен қатар, органолептикалық көрсеткіштер бойынша да оң нәтижелер тіркелді, бұл тұтынушылық қабылдауға жағымды әсер ететінін көрсетті.

Жүргізілген зерттеулер сүтошаған күнжарасы мен тұқым сығындысының төмен калориялы ет өнімдерінің тағамдық және биологиялық құндылығын арттыратын тиімді ингредиент екенін дәлелдеді. Мұндай қоспаларды қолдану өнімді функционалдық тағамдар қатарына енгізуге мүмкіндік беріп, оны күнделікті тамақтану рационында қолданудың ғылыми негізділігін қамтамасыз етеді және сүтошаған күнжарасы немесе сүтошаған тұқымының сығындысы арасында таңдау жасауға мүмкіндік береді.

Түйін сөздер: *Сүтошаған күнжарасы, сүтошаған тұқымы, сүтошаған тұқымының сығындысы, төмен калориялы ет өнімдері, фунционалдық тағамдар, тағамдық құндылық, биологиялық белсенді заттар.*

Кіріспе. Адамзат өмірінде дұрыс тамақтану – тіршіліктің негізгі қажеттіліктерінің бірі. Ол тек энергия көзі ғана емес, сонымен қатар ағзаны әртүрлі аурулардан қорғаудың, иммундық жүйенің тұрақтылығын сақтаудың маңызды шарттары болып табылады. Қазіргі таңда вирустық және жұқпалы аурулардың кең таралуы тамақ өнеркәсібінде емдік-профилактикалық бағыттағы өнімдер шығару қажеттілігін туындатып отыр. Табиғи қоспалармен байытылған тағамдар адам ағзасына қорғаныш әсерін беріп, салауатты өмір салтын қалыптастыруға ықпал етеді [7, 2].

Сүтошаған (Silybum marianum) – құрамында силимарин, флавоноидтар және полифенолды қосылыстар бар өсімдік, ол гепатопротекторлық қасиеттерімен белгілі. Ғылыми зерттеулерде оның бауыр қызметін жақсартатыны, антиоксиданттық белсенділігі жоғары екені дәлелденген [4]. Соңғы жылдары функционалды тағамдар өндірісінде сүтошаған күнжарасы мен тұқым сығындысын қолдану кеңейіп келеді. Әсіресе, төмен калориялы ет өнімдеріне қоспа ретінде енгізу ағзаға пайдалы әрі тағамдық құндылығын арттыратын әдіс ретінде ұсынылуда. Дүниежүзілік денсаулық сақтау ұйымының зерттеуінше, соңғы 30 жылдан бері артық салмағы бар ересектер қатары 2 есе өскен және балалар арасындағы семіздік 4 есеге артқан [5]. Бұл мәселе Қазақстан балалары арасында да бар. Мысалы, Kazinform Energyprom сайтының ақпараты бойынша артық салмағы бар немесе семіздікке шалдыққан 11-15 жас арасындағы балалар саны 1,6 есе өскен. 2018 жылғы көрсеткіш 9,7% болса, 2024 ж – 15,4%-ға дейін өсті. Мұндай қауіпті тенденция қыздардың да, ұлдардың да арасында байқалып отыр [12]. Қазақстандық ғалымдар да биологиялық белсенді заттар бойынша зерттеу жұмыстарын жүргізіп, оның тағамдық өндірістегі әлеуетін көрсетуде [1, 10]. Сонымен бірге халық арасында артық салмақ пен семіздік мәселесінің артуы төмен калориялы өнімдер өндірісінің өзектілігін айқындайды [8, 9].

Зерттеу жұмысы докторанттың ғылыми тағылымдамадан өту уақытында РФ, Мәскеу қаласындағы РҒА «В.М. Горбатов атындағы тағам жүйесінің Федералды ғылыми орталығы» Федералды мемлекеттік бюджеттік ғылыми орталығының зертханасында жүргізілді. Зерттеу жұмысының мақсаты – сүтошаған күнжарасы мен сүтошаған тұқымының сығындысы қосылған ет өнімдерінің көрсеткіштерін сараптап, оның адам ағзасына пайдасы зор, әрі энергетикалық құндылығы төмен ет өнімін өндіруге қажетті нысанды анықтау болды (сурет 1).



Сурет 1 – Сүтошаған күнжарасы мен сүтошаған тұқымының сығындысы қосылған ет өнімдерінің көрсеткіштерін сараптау

Зерттеу жүргізу объектілері мен әдістері

• № 1 үлгі – Қазақстандағы «Зерде-Фито» ЖШС өндірген суық сығымдау әдісімен алынған сүтошаған күнжарасы қосылған бұзау және қоян етінен әзірленген төмен калориялы ет өнімі (жартылай фабрикат);

• № 2 үлгі – Ресейдің «ВТФ» ЖШС өндірілген ультрафильтрация әдісімен алынған сүтошаған тұқым сығындысы қосылған бұзау және қоян етінен әзірленген төмен калориялы ет өнімі (жартылай фабрикат).

Зертханалық жұмыстарда физика-химиялық көрсеткіштерді анықтау үшін стандартты әдістер қолданылды:

- Ылғалдылық – МЕСТ 9793-2016,
- Ақуыз – МЕСТ 25011-2017 (Кьельдаль әдісі),
- Май – МЕСТ 23042-2015 (Сокслет әдісі),
- Көмірсу – МУ 1-40/3805-1991,
- Натрий хлориді – МЕСТ 9957-2015.

Витаминдер құрамын анықтау үшін жоғары тиімді сұйықтықтық хроматография әдісі пайдаланылды (Қолданылған хроматограф аппаратының маркасы, өндіруші компания туралы ақпарат жұмыс құжаттарында көрсетілмеген).

Нәтижелер және оларды талдау

Зерттеу нәтижесінде № 1 және № 2 үлгілердің физика-химиялық көрсеткіштері анықталды.

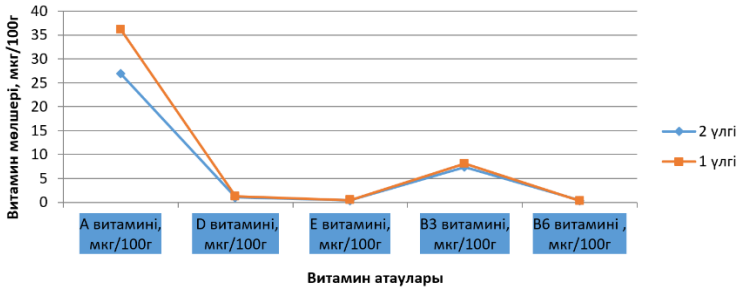
Кесте 1 – Сүтошаған күнжарасы мен сүтошаған тұқымының сығындысы қосылған өнімнің физика-химиялық көрсеткіштері

Көрсеткіштер	МЕСТ бойынша зерттеудің НҚ	№ 1 үлгі	№ 2 үлгі
Ылғалдылық, %	МЕСТ 9793-2016	70,4±7,0	70,0±7,0
Ақуыз, %	МЕСТ 25011-2017	21,3±1,7	21,2±1,7
Май, %	МЕСТ 23042-2015	4,2±0,6	4,9±0,7
Көмірсу, %	МУ 1-40/3805-1991	2,14	2,12±0,14
Энергетикалық құндылық, ккал/100г	А.А. Покровский ред. бойынша тамақ өнімдерінің химиялық құрамы	131.56	137,52
Натрий хлоридінің массалық үлесі,%	МЕСТ 9957-2015	1,5±0,2	2,07

Ескерту: Кестеде көрсетілген «±» мәндері - орташа мән ± стандартты ауытқу (SD) форматында берілген.

Жоғарыдағы кестеден сүтошаған күнжарасы (I үлгі) қосылған төмен калориялы ет өнімінің нәтижесі мен сүтошаған тұқымының сығындысы (II үлгі) қосылған төмен калориялы ет өнімінің нәтижесінен салыстырмалы түрде алғанда, зерттеу нәтижелері 2-ші үлгінің біз жоспарлаған калориясы төмен (138 ккал) өнімге жақын екендігін көруге болады.

Сонымен қатар, жаңа үлгілердің витаминдік құрамы да зерттелді (2-сурет). I үлгіде A, D, E және D3 витаминдерінің мөлшері жоғары екендігі байқалды. Бұл нәтижелер сүтошаған күнжарасын қолдану өнімнің функционалдық артықшылықтарын артатындығын көрсетті.



Сурет 2 – Сүтошаған күнжарасы мен сүтошаған тұқымының сығындысы қосылған ет өнімінің витаминдік құрамы

Жоғарыдағы зертеулерден сүтошаған күнжарасы қосылған өнімнің сүтошаған тұқымының сығындысы қосылған ет өнімдерінен А витамині 9,24 мкг/100 г, D витамині 0,23 мкг/100г, Е витамині 0,05 мкг/100г, D3 витамині 0,8 мкг/100г артық екендігін көруге болады. Яғни, өнімге сүтошаған күнжарасын қосу арқылы құрамында A,D,E,D_3 витаминдері көбірек, энергетикалық құндылығы төмен ет өнімі алынды.

Алынған нәтижелерді салыстырғанда, сүтошаған күнжарасының функционалдық қасиеттері басым екенін көрсетті. Мысалы, Goyal және әріптестерінің еңбектерінде сүтошағанның флавоноидтары өнімдердің антиоксиданттық қасиетін арттыратыны көрсетілген [3]. Қазақстандық зерттеулерде Р.А. Қозыкееваның еңбегінде (2023) сүтошағанның ботаникалық сипаттамасы, құрамындағы силимарин туралы мәліметтер және бауыр ауруларын емдеудегі дәстүрлі қолданылуы қарастырылған, яғни сүтошаған қосылған ет өнімдері тек тағамдық тұрғыда ғана емес, функционалдық-сауықтыру өнімдері ретінде де құнды [14]. Сонымен қатар, 2025 жылғы конференция жинағында сүтошағанға қатысты баяндамада (Оңтүстік-Қазақстан медициналық академия мен NBALAB қолдауымен өткізілген) тұқымның биологиялық белсенді құрамдары мен өңдеудегі технологиялық мүмкіндіктерін талдайды. Қорытындысында авторлар расторопша тұқымының фармацевтика мен тамақ технологиясында өте тиімді екенін көрсетеді. Бұл конференциялық материалдар Қазақстанда тақырыптың ғылыми-тәжірибелік зерттеліп жатқанын растайды [13].

Сонымен бірге құрамында майы аз, ақуызға бай төмен калориялы ет өнімдерінің өндірісі артық салмақ пен семіздік мәселесінің алдын алуда маңызды қадам болып табылады. Төмен калориялы ет өнімдерін күнделікті рационда қолдану қазіргі заманға сай сұраныс. Артық салмақ жүйкеге де, жүрекке де салмақ түсіретіні белгілі. Демек, зерттеу нәтижесінде алынған өнімдер функционалды тағам ретінде халық денсаулығын жақсартуға үлес қоса алады. Сондықтан салмағы артық, жүрегі ауыратын, қант диабетімен ауыратын, қанның құрамындағы холестерині жоғары адамдар мен балаларға осындай төмен калориялы ет өнімдерін рационға қосу қажет [11, 16].

Қорытынды

Зерттеу нәтижелеріне келетін болсақ, сүтошаған күнжарасы мен сығындысының төмен калориялы ет өнімдерінің сапасына өте жақсы әсер ететінін көрсетті. № 1 үлгі (сүтошаған күнжарасы қосылған) майлылығы мен энергетикалық құндылығы жағынан № 2 үлгіге қарағанда төмен болып, диеталық талаптарға көбірек сәйкес келді. Сонымен қатар, № 1 үлгіде А витамині – 9,24 мкг/100 г, D витамині – 0,23 мкг/100 г, Е витамині – 0,05 мкг/100 г және D3 витамині – 0,8 мкг/100 г артық анықталды, бұл күнжара құрамындағы биологиялық белсенді қосылыстардың өнімге тиімді өткенін дәлелдейді.

Сүтошаған қоспасы өнімнің антиоксиданттық белсенділігін арттырып, тағамдық талшықтар мөлшерін көбейтті, нәтижесінде функционалдық құндылығы жоғары ет өнімі алынды. Алынған мәліметтер сүтошағанды қолдану диеталық және емдік бағыттағы өнімдер технологиясына тиімді енгізуге болатынын, сондай-ақ оның адам денсаулығын қолдауға арналған тағамдық өнімдер қатарын кеңейтуге мүмкіндік беретінін көрсетеді.

Әдебиеттер тізімі

1. Tuje suti negizindegi kurgak biologiyalyk belsendi kospanyn sapalyk minezdemesi / U.Z. Sagyndykov et al // Vestnik KazNU. Seriya biologicheskaya. – 2012. – № 56 (4). – P. 120-148. (In Kazakh).
2. Martirosyan D.M. Functional foods and chronic disease: a review / D.M. Martirosyan, J. Singh // Journal of Food Science and Human Wellness. – 2015. – Vol. 5, № 6. – P. 191-198. https://doi.org/10.31989/ffhd.v5i6.183. (In English).
3. Milk thistle (Silybum marianum L.) as a functional food ingredient / R.K. Goyal et al // Journal of Herbal Medicine. – 2020. – Vol. 23. – Article 100371. (In English).
4. Impact of silymarin supplements on liver enzyme levels: A systematic review / E. Calderon Martinez et al // Cureus. – 2023. – Vol. 15, № 10. – e47608. – https://doi.org/10.7759/cureus.47608. (In English).
5. World Health Organization. Obesity and overweight: Fact sheet. – WHO, 2023. URL: 2023 QoC PB Multimedia/documents. (In English).
6. Popkin B.M. Global nutrition transition and the pandemic of obesity in developing countries / B.M. Popkin, L.S. Adair, S.W. Ng // Nutrition Reviews. – 2012. – Vol. 70, № 1. – P. 3-21. https://doi.org/10.1111/j.1753-4887.2011.00456.x. (In English).
7. Korhonen H. Bioactive compounds in milk and dairy products / H. Korhonen // Advances in Experimental Medicine and Biology. – 2019. – Vol. 1128. – P. 295-324. (In English).
8. Funkcionaldy onimnin sapasyna itmuryn sygyndysynyn aserin zertteu / A.S. Borankulova et al // Mekhanika zhane tekhnologiyalar: gylymi zhurnal. – 2022. – № 2(76). https://doi.org/10.55956/XCFG6404. (In Kazakh).
9. Muhamedov T.ZH. Kazakstandagy halyktyn tamaktanu erekshelikteri men tagam kauipsizdigi / T.ZH. Muhamedov, A.K. Ibraeva // Vestnik KazNU. Seriya biologiya. – 2021. – № 1(86). – B. 45-52. (In Kazakh).
10. Shuzhyk onimderinin tagamdyk kundylygyna osimdik komponentterinin aserin zertteu / E.T. Kazhibaeva et al // Shakarim universitetinin habarshysy. – 2025. – № 2(18). – P. 249-255. (In Kazakh).
11. Kozhahmetova L.K. Tomen kaloriyaly et onimderinin tekhnologiyalyk negizderi / L.K. Kozhahmetova, A.T. Omarova // Tagam onimderi tekhnologiyasy gylymi zhurnaly. – 2023. – № 2. – B. 25-33. (In Kazakh).
12. «2030 zhylga karaj Kazakstanda artyk salmagy bar balalar zharty millionga zhetedi» // Kazinform (Energyprom) – 24 karasha 2023. https://kaz.inform.kz/news/2030-zhilga-karay-kazakstanda-artik-salmagi-bar-balalar-zharti-millionga-zheted-bdd5b1/ Казинформ+1. (In Kazakh).

13. Anartaeva A.M. Tekhnologiyalar: bolashaktagy talaptar men perspektivalar» halykaralyk gylymi-adistemelik konferenciyasy. – Ontustik-Kazakstan medicina akademiyasy. – 2025. – B. 55-60. (In Kazakh).
14. Shubar alatiken (Silybum marianum L. Gaertn.) – darilik osimdiginin kultivaciyasyn ujymdastyru zholdary / R.A. Kozykeeva et al // PHARMKAZ. – 2024. https://doi.org/10.53511/PHARMKAZ.2024.98.54.033. (In Kazakh).
15. Phytochemical study of milk thistle, Silybum marianum (L.) Gaertn / M. Tileshova et al // Caspian Journal of Environmental Sciences. – 2024. – Vol. 22, № 5. – P. 1293-1299. https://doi.org/10.22124/CJES.2024.8345. (In English).
16. Pearson A.M. Reduced and Low Fat Meat Products / A.M. Pearson, T.A. Gillett // Processed Meats. – Boston, MA: Springer, 1996. – P. 355-371. https://doi.org/10.1007/978-1-4615-7685-3_14. (In English).

А.М. Спанова[*], А.Н. Нургазезова[1], М.Б. Ребезов[2], Ж.М. Атамбаева[1], А.К. Зарлыкканова[1]
[1]Шәкәрім университет,
Республика Казахстан, г. Семей, ул. Глинки, 20 А
[2]119991, Московский государственный университет технологий и управления им. К.Г. Разумовского, Россия, 109004, г.Москва, улица Земляной Вал, 73
[*]e-mail: Spanoba_78@mail.ru

ИСПОЛЬЗОВАНИЕ ЖМЫХА И ЭКСТРАКТА РАСТОРОПШИ В ПИЩЕВОЙ ПРОМЫШЛЕННОСТИ

В данной статье рассматриваются возможности использования шрота и экстракта семян расторопши для совершенствования качественных характеристик низкокалорийных мясных продуктов.

Расторопша пятнистая (Silybum marianum) является растением, богатым биологически активными веществами, в особенности комплексом силимарина, известным своими гепатопротекторными свойствами. В ходе исследования всесторонне изучено влияние добавления шрота и экстракта семян расторопши на химический состав, пищевую ценность и функциональные свойства готовой продукции.

В процессе экспериментальных работ проведён сравнительный анализ образцов, определено содержание белков, жиров, углеводов, а также энергетическая ценность. В образцах с добавлением расторопши наблюдалось повышение концентрации биологически активных веществ и улучшение функциональных преимуществ продукта. Кроме того, были зафиксированы положительные изменения органолептических показателей, что свидетельствует о благоприятном влиянии добавок на потребительское восприятие.

Проведённые исследования доказали, что шрот и экстракт семян расторопши являются эффективными ингредиентами, повышающими пищевую и биологическую ценность низкокалорийных мясных продуктов. Использование таких добавок позволяет отнести продукцию к категории функциональных пищевых продуктов, обосновывает целесообразность их применения в ежедневном рационе и даёт возможность выбора между расторопшей и экстрактом её семян в зависимости от поставленных технологических задач.

Ключевые слова: *Шрот расторопши, семена расторопши, экстракт семян расторопши, низкокалорийные мясные продукты, функциональные пищевые продукты, пищевая ценность, биологически активные вещества.*

A. Spanova[*], A. Nurgazezova[1], M. Rebezov[2], Zh. Atambayeva[1], A. Zarlykkanova[1]
[1]Shakarim University,
071412, Republic of Kazakhstan, Semey, 20 A Glinka Street,
[2]Moscow State University,
119991, Russian Federation, Moscow, 73 Zemlyanoy Val Street
[*]e-mail: Spanoba_78@mail.ru

APPLICATION OF MILKCAKE AND EXTRACT IN THE FOOD INDUSTRY

This article discusses the potential use of milk thistle and milk thistle seed extract to improve the quality characteristics of low-calorie meat products.

Milk thistle (Silybum marianum) is a plant rich in biologically active substances, especially the silymarin complex, known for its hepatoprotective properties. In the course of the study, its effect on the chemical composition, nutritional value, and functional properties of the final product was comprehensively examined by adding sunflower extract and seeds.

During the experimental work, a comparative analysis of the samples was conducted, and the content of proteins, fats, carbohydrates, and energy value were determined. In the samples with milk thistle additives, an increase in the concentration of biologically active substances and an improvement in the functional properties of the product were observed. In addition, positive results were recorded for organoleptic indicators, demonstrating a favorable effect on consumer perception.

The study proved that sunflower and milk thistle seed extracts are effective ingredients that in-crease the nutritional and biological value of low-calorie meat products. The use of such additives allows the product to be classified as a functional food, provides scientific justification for its inclusion in the daily diet, and enables the choice between milk thistle seed suspension or extract.

Key words: *Milk thistle meal, milk thistle seeds, milk thistle seed extract, low-calorie meat products, functional foods, nutritional value, biologically active substances.*

Авторлар туралы мәліметтер

Асем Молдагалийкызы Спанова* – ББ жобалау және әдістемелік сүйемелдеу бөлімі, Шәкәрім университеті, Семей қаласы, Қазақстан; e-mail: spanoba_78@mail.ru. ORCID: http://orcid.org/0000-0002-8093-3059.

Алмагул Нургазезовна Нургазезова – техника ғылымдарының кандидаты, тамақ технологиясы кафедрасының қауымдастырылған профессоры, Шәкәрім университеті, Семей қаласы, Қазақстан; e-mail: almanya1975@mail.ru. ORCID: http://orcid.org/0000-0003-3419-247X.

Максим Борисович Ребезов – ауыл шаруашылығы ғылымдарының докторы, профессор, К.Г. Разумовский атындағы Мәскеу мемлекеттік технология және менеджмент университеті, Мәскеу қаласы, Ресей; e-mail: m.rebezov@mgutm.ru. ORCID: http://orcid.org/0000-0003-0857-5143.

Жибек Манаповна Атамбаева – Тамақ технологиясы кафедрасының оқытушысы; Шәкәрім университеті, Семей қаласы, Қазақстан; e-mail: zh.atambayeva@mail.ru. ORCID: http://orcid.org/0000-0002-7899-870X.

Асем Канатбековна Зарлыкканова – ББ жобалау және әдістемелік сүйемелдеу бөлімінің басшысы, Шәкәрім университеті, Семей қаласы, Қазақстан; e-mail: umo@shakarim.kz. ORCID: http://orcid.org/0009-0009-5918-0652.

Сведения об авторах

Асем Молдагалийкызы Спанова* – методист отдела послевузовского образования, Шәкәрім университет, город Семей, Республика Казахстан; e-mail: spanoba_78@mail.ru. ORCID: http://orcid.org/0000-0002-8093-3059.

Алмагул Нургазезовна Нургазезова – кандидат технических наук, ассоциированный профессор кафедры пищевой технологии, Шәкәрім университет, город Семей, Республика Казахстан; e-mail: almanya1975@mail.ru. ORCID: http://orcid.org/0000-0003-3419-247X.

Максим Борисович Ребезов – доктор селько-хозяйственный наук, профессор, Московский государственный университет технологий и управления им. К.Г. Разумовского, г. Москва, Россия; e-mail: m.rebezov@mgutm.ru. ORCID: http://orcid.org/0000-0003-0857-5143.

Жибек Манаповна Атамбаева – преподаватель кафедры пищевой технологии, Шәкәрім университет, город Семей, Республика Казахстан; e-mail: zh.atambayeva@mail.ru. ORCID: http://orcid.org/0000-0002-7899-870X.

Асем Канатбековна Зарлыкканова – руководитель отдела «Планирования и методического сопровождения», Шәкәрім университет, город Семей, Республика Казахстан; e-mail: umo@shakarim.kz. ORCID: http://orcid.org/0009-0009-5918-0652.

Information about the authors

Assem Spanova* – Methodologist of the Department of Postgraduate Education, Shakarim University, Republic of Kazakhstan; e-mail: spanoba_78@mail.ru. ORCID: http://orcid.org/0000-0002-8093-3059

Almagul Nurgazezova–- Candidate of Technical Sciences, Associate Professor of the Department of Food Technology, Shakarim University, Republic of Kazakhstan; e-mail: almanya1975@mail.ru. ORCID: http://orcid.org/0000-0003-3419-247X.

Maksim Rebezov – Doctor of Agricultural Sciences, Professor, Moscow State University of Technology and Management. K.G. Razumovsky, Moscow, Russia; e-mail: m.rebezov@mgutm.ru. ORCID: http://orcid.org/0000-0003-0857-5143.

Zhibek Atambayeva – Lecturer at the Department of Food Technology, Shakarim University, Republic of Kazakhstan; e-mail: zh.atambayeva@mail.ru. ORCID: http://orcid.org/0000-0002-7899-870X.

Assem Zarlykkanova – Head of Planning and Methodological Support Department, Shakarim University, Republic of Kazakhstan; e-mail: umo@shakarim.kz. ORCID: http://orcid.org/0009-0009-5918-0652.

Редакцияға енуі 05.10.2025
Өңдеуден кейін түсуі 20.11.2025
Жариялауға қабылданды 02.12.2025

https://doi.org/10.53360/2788-7995-2025-4(20)-58

IRSTI: 65.09.05

BY 4.0
Check for updates

U.O. Tungyshbayeva, A.M. Amirgalinova*, A.A. Zhanbolat
Almaty Technological University,
050061, Republic of Kazakhstan, Almaty, Furkat St., 348/4
*e-mail: aygerim.amirgalinova@mail.ru

EFFECT OF CRITICAL CONTROL POINTS ON MICROBIOLOGICAL SAFETY AND ORGANOLEPTIC CHARACTERISTICS OF «PHILADELPHIA» SUSHI

Abstract: *The article presents the results of a study aimed at enhancing the safety and quality of a popular foodservice product – Philadelphia sushi. The relevance of this study is driven by the expanding production and consumption of Japanese cuisine products, as well as the associated microbiological hazards arising from the use of perishable ingredients. The main objective of the work was to develop and substantiate a structure for managing the safety of food products based on HACCP principles, with a focus on the critical control points (CCPs) of the production process.*

The study employed methods of hazard analysis, CCP identification using a «decision tree», as well as the establishment of critical limits and corrective actions. A thorough analysis of the technological cycle, which included 16 stages and 54 operations, initially identified 11 CCPs.

For practical implementation, the system was optimized to four of the most important control points: acceptance of raw materials, storage of rice and fish semi-finished products, the manufacturing process, and storage of the finished product. For each CCP, strict critical limits for temperature, storage duration, and microbiological indicators were defined, and monitoring procedures were developed.

The scientific and practical significance of the study lies in the development of an adapted and effective HACCP plan, the implementation of which substantially reduces microbiological risks, ensures consistent quality and safety of the finished dish, and proves to be economically viable for foodservice enterprises.

Key words: *HACCP, critical control points, food safety, microbiological risk, organoleptic properties, Philadelphia sushi, technological process, catering.*

Introduction

The global expansion of Japanese cuisine, particularly in Kazakhstan, has led to a significant increase in the production and consumption of sushi products, including the «Philadelphia» roll. This dish is characterized by the use of high-risk, perishable ingredients such as raw fish, cream cheese, and cooked rice, which create a potential medium for the growth of pathogenic microorganisms like Salmonella spp., Listeria monocytogenes, and Staphylococcus aureus [1, 2].

The HACCP (Hazard Analysis and Critical Control Points) system is an internationally recognized proactive approach to ensuring food safety [3, 4]. Previous research, including the work of Koksharov A.A. [5], has demonstrated the applicability of HACCP principles to Japanese cuisine, identifying key hazards at various production stages. Furthermore, international guidelines provide frameworks for HACCP plans for specific ingredients like sushi rice, emphasizing critical measures such as temperature control [6].

However, a critical review of the literature reveals a significant research gap. While many studies and guidelines focus on general HACCP principles or specific ingredients, there is a lack of comprehensive, evidence-based HACCP plans tailored for complex, multi-component ready-to-eat products like "Philadelphia" sushi. Many existing plans are either too generalized or excessively complex, containing an impractical number of Critical Control Points (CCPs) for small and medium-sized catering enterprises to manage effectively [7, 8]. Crucially, many proposed plans lack experimental verification through microbiological analysis to validate the identified hazards and the effectiveness of the proposed control measures.

This identifies the research problem: the absence of a scientifically substantiated and practically optimized HACCP plan for «Philadelphia» sushi that is validated by microbiological data.

The scientific novelty of this work is the development of an optimized HACCP plan based on a detailed hazard analysis and verified by comparative microbiological testing of raw materials from establishments with different levels of HACCP implementation.

The hypothesis of this study is that the optimization of the HACCP system, focusing on a minimized set of the most significant CCPs, will be effective in controlling microbiological risks, a claim supported by empirical microbiological evidence.

The aim of this work is to develop, substantiate, and validate a HACCP plan for «Philadelphia» sushi, focused on a minimized set of critical control points, with validation provided through comparative microbiological analysis.

Research Methods

This comprehensive study was conducted from February to November 2025 and combined theoretical HACCP plan development with practical microbiological verification. The research was structured in two phases:

Systematic development of a HACCP plan for «Philadelphia» sushi production.

Empirical validation through microbiological analysis of raw materials according to Technical Regulation TR CU 021/2011 «On Food Safety».

Microbiological Analysis Methods

Microbiological analysis was performed in accordance with Technical Regulation TR CU 021/2011 «On Food Safety», Appendix 2, Table 1, paragraph 1.2. The testing was conducted at the accredited Research Laboratory for Food Quality and Safety Assessment of JSC «Almaty Technological University» using the following standardized methods:

For salmon samples analysis:

Total Aerobic Mesophilic Count (TAMC): GOST 10444.15-94 (Food products. Methods for determination of quantity of mesophilic aerobic and facultative anaerobic microorganisms)

Coliform Bacteria: GOST 31747-2012 (Food products. Methods for detection and quantity determination of coliforms)

Pathogenic microorganisms, including Salmonella: GOST 31659-2012 (Food products. Method for the detection of Salmonella spp.)

Listeria monocytogenes: GOST 32031-2012 (Food products. Methods for the detection of Listeria monocytogenes)

Hazard Analysis and CCP Determination

The identification of Critical Control Points was performed using the Codex Alimentarius decision tree methodology. The hazard analysis included:

Biological hazards: Assessment of microbiological contamination risks according to TR CU 021/2011 requirements

Chemical hazards: Analysis of potential chemical contaminants based on raw material specifications

Physical hazards: Identification of physical contaminants through process analysis

Sampling and Testing Conditions

Testing was conducted under standardized laboratory conditions:

Temperature: +21°C ± 2°C

Relative humidity: 64% ± 5%

Sample preparation and analysis followed GOST ISO 7218-2015 requirements

Critical Limit Establishment

Critical limits were established based on:

TR CU 021/2011 regulatory requirements

Sanitary Rules and Norms (SanPiN)

Technical specifications of the manufacturing enterprise

Scientifically validated data on microbial growth kinetics

All monitoring procedures and corrective actions were developed in accordance with ST RK 1179-2003 «HACCP System. Requirements».

Technological cycle of preparing «Philadelphia» sushi

The production of Philadelphia sushi is defined by a comprehensive technological cycle, encompassing a sequence of meticulously designed processes and operations, as detailed in the flowchart presented in Figure 1.

Figure 1. Flowchart of the technological process for preparing «Philadelphia» sushi, showing 16 main processes and 54 technological operations. The diagram illustrates the complete production cycle from raw material acceptance to finished product serving, with particular emphasis on critical control points. Key stages include: 1.1 – Raw material acceptance; 1.2 – Storage under two temperature regimes (0 to +25°C and +2 to +6°C); 1.4 – Preparation of raw materials (1.4.1 – Sugar/salt unpacking; 1.4.2 – Rice grain unpacking; 1.4.3 – Fish unpacking and ice removal; 1.4.4 – Nori unpacking; 1.4.5 – Cucumber unpacking; 1.4.6 – Cream cheese unpacking; 1.4.7 – Mitsukan vinegar unpacking; 1.4.8 – Pickled ginger unpacking; 1.4.9 – Wasabi powder unpacking; 1.4.10 –

Soy concentrate unpacking); 1.5 – Semi-finished product preparation; 1.6 – Sushi manufacturing; 1.7 – Dish decoration; 1.8 – Finished product storage at +2 to +6°C; 1.9 – Product serving. Note: The flowchart was developed by the authors specifically for this study.

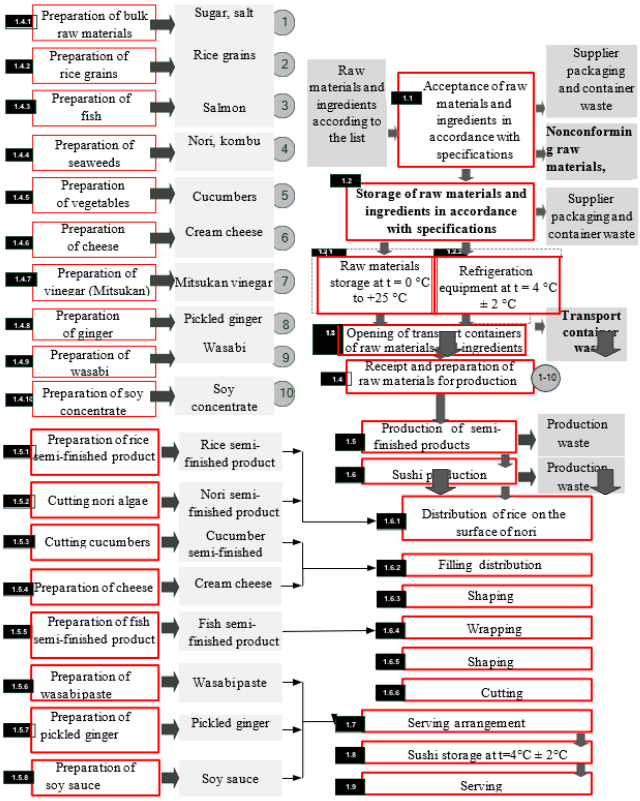


Figure 1 – Flowchart of the technology for preparing Philadelphia sushi roll

Note: the flowchart includes standard technological operations adapted by the authors for the specific product.
Source: developed by the authors.

For a detailed examination of the Philadelphia sushi production process, a comprehensive flowchart was developed (Figure 1), providing a systematic overview of all stages under direct control of the catering establishment. Given that public catering organizations typically offer diverse menus, the flowchart was specifically designed for Philadelphia sushi and its corresponding semi-finished products to ensure precise hazard analysis.

The technological cycle encompasses 16 distinct processes and 54 technological operations, systematically organized as follows:

The initial process (1.1) involves the acceptance of raw materials and ingredients, requiring qualitative and quantitative verification against established specifications. This is followed by storage processes (1.2) under two temperature regimes: ambient storage (0 to +25°C) and refrigerated storage (+2 to +6°C).

Process 1.3 covers the opening of transport containers, while Process 1.4 details the preparation of specific ingredients:

1.4.1: Unpacking of bulk ingredients (sugar, salt)
1.4.2: Unpacking of rice grains
1.4.3: Unpacking of fish with ice chip removal
1.4.4: Unpacking of nori seaweed
1.4.5: Unpacking of cucumbers
1.4.6: Unpacking of cream cheese
1.4.7: Unpacking of Mitsukan vinegar
1.4.8: Unpacking of pickled ginger
1.4.9: Unpacking of wasabi powder
1.4.10: Unpacking of soy concentrate

The semi-finished product preparation stage (1.5) includes seven sub-processes:

Rice preparation involving mixing, heating, boiling, and cooling of seasoning components (1.5.1.a.1-4), followed by sieving, washing, boiling, and steaming rice at ≥65°C (1.5.1.b.1-4), culminating in mixing and storage at ≥60°C (1.5.1.c.1-2)

Nori sheet preparation through cutting and ambient storage (1.5.2.1-2)

Cucumber preparation involving cleaning, sorting, washing, trimming, cutting, and refrigerated storage (1.5.3.1-6)

Cream cheese preparation for operational convenience (1.5.4.1-2)

Fish processing through washing, scaling, trimming, filleting, slicing, and refrigerated storage (1.5.5.1-6)

Wasabi paste preparation via water heating, cooling, mixing, and refrigeration (1.5.6.1-4)

Ginger preparation through marinade separation and refrigeration (1.5.7.1-2)

Soy sauce preparation through dilution, heating, cooling, and refrigeration (1.5.8.1-4)

The manufacturing process (1.6) comprises:

1.6.1: Rice spreading on nori

1.6.2: Filling application with cheese and cucumber

1.6.3: Roll formation

1.6.4: Fish wrapping

1.6.5: Final shaping

1.6.6: Portion cutting

The final stages include dish decoration (1.7), refrigerated storage at +2 to +6°C (1.8), and serving (1.9). This detailed flowchart serves as the foundation for systematic hazard analysis and CCP identification throughout the production cycle.

Identification and determination of Critical Control Points

A Critical Control Point (CCP) is defined as a step at which control can be applied and is essential to prevent, eliminate, or reduce a food safety hazard to an acceptable level. The establishment of CCPs is crucial for managing potential biological, chemical, or physical hazards that could cause illness or injury if not properly controlled. The accurate determination of CCPs within the process flow relies fundamentally on information obtained through comprehensive hazard analysis.

The identification of CCPs was conducted using a systematic two-stage approach. The initial stage employed the Codex Alimentarius "Decision Tree" methodology (Figure 2) to evaluate each process step against four key questions:

Are control measures in place for the identified hazard?

Does this step eliminate or reduce the hazard to an acceptable level?

Could contamination occur at or increase to unacceptable levels?

Will a subsequent step eliminate or reduce the hazard to an acceptable level?

Figure 2. Decision tree for Critical Control Point identification (Codex Alimentarius, 2023).

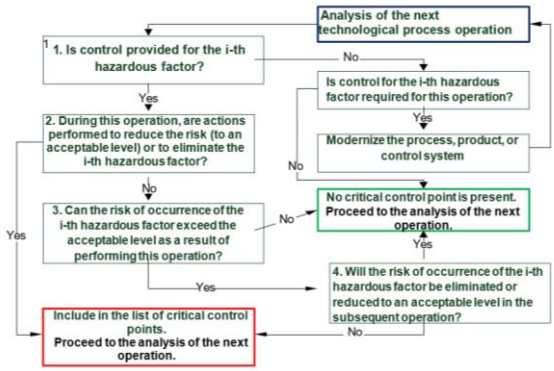


Figure 2 – Decision tree for CCP identification

Source: developed by the authors based on the Codex Alimentarius methodology [3]

The systematic application of this decision tree to all 54 technological operations initially identified 11 potential Critical Control Points, each addressing specific hazard factors as detailed in Table 1. The hazard analysis considered:

Biological hazards (pathogenic microorganisms, microbial growth)

Chemical hazards (allergens, contaminants, cleaning agents)

Physical hazards (foreign materials, metal fragments)

Following the initial identification, a practical assessment was conducted to optimize the HACCP plan for implementation in catering establishments. This evaluation considered the feasibility of monitoring, criticality of hazards, and available resources, resulting in the consolidation to four essential CCPs that maintain food safety effectiveness while ensuring practical implementability.

The application of the decision tree method resulted in the identification of 11 Critical Control Points (CCPs), each corresponding to a specific hazard factor, as detailed in Table 1. Based on the application of this method, 11 critical control points were identified for each individually considered hazard factor (Table 1).

Table 1 – Identified CCPs for each individually considered factor

Operation Name	Hazard type	Is control for the i-th hazard provided in this operation?	Does this operation perform actions to reduce risk (to an acceptable level) or eliminate the i-th hazard?	Can the risk of the i-th hazard exceed an acceptable level after this operation?	Will the risk of the i-th hazard be eliminated or reduced to an acceptable level in a subsequent operation?	CCP
1.1 Receipt of Raw Materials	Ch	Yes	No	Yes	No	CCP № 1
	Ph	Yes	No	Yes	No	CCP №2
	M	Yes	No	Yes	No	CCP №3
1.2.2 Storage of raw materials at +2 to +6ºC	M	Yes	Yes	-	-	CCP №4
1.5.1.b.1 Sieving of rice grits	Ph	Yes	Yes	-	-	CCP №5
1.5.1.c.2 Storage of rice semi-finished product at ≥65ºC	Ph	Yes	No	Yes	No	CCP №6
	M	Yes	No	Yes	No	CCP №7
1.5.5.6 Storage of fish semi-finished product at t=4±2ºC	M	Yes	Yes	-	-	CCP №8
1.6 Sushi Manufacturing	Ph	Yes	Yes	-	-	CCP №9
	M	Yes	Yes	-	-	CCP №10
1.8 Storage of the finished dish "Philadelphia Roll" at 2 to 6ºC	M	Yes	Yes	-	-	CCP №11

Source: Developed by the authors.

Process 1.6 «Sushi Manufacturing» includes 6 operations where the hazards are identical and require similar methods for their reduction; therefore, operations from 1.6.1 to 1.6.6 were combined into a single process for ease of analysis.

Hazard type: Ch – Chemical, Ph – Physical, M – Microbiological.

Following the initial hazard analysis, a pragmatic review was conducted to ensure the HACCP plan's operational feasibility. Managing the initial 11 identified Critical Control Points was deemed impractical for the enterprise. Consequently, the number of CCPs was consolidated into four core, manageable points without compromising food safety integrity:

CCP 1 – Receipt of raw materials and supplies;

CCP 2 – Storage of the rice semi-finished product;

CCP 3 – Storage of the fish semi-finished product;

CCP 4 – Sushi manufacturing.

Establishment of critical limits for each Critical Control Point.

In compliance with the national standard ST RK 1179-2003, the establishment of critical limits for each Critical Control Point (CCP) requires the definition of the following parameters:

Identification criteria for hazardous factors;

Risk acceptability criteria for monitoring risk indicators;

Allowable limits for implemented preventive measures.

Critical limits were established with a margin for potential process deviations and measurement instrument error. For CCPs reliant on the assessment of qualitative attributes through visual means, the use of validated reference samples is mandated to ensure objective evaluation. All defined critical limits are formally documented within the HACCP plan worksheet.

Comparative analysis of raw material quality as an indicator of HACCP system effectiveness

To verify the significance of control at the raw material acceptance stage (CCP 1) and to assess the impact of the HACCP system on product safety, a comparative microbiological analysis of salmon samples from two different sources was conducted:

Sample 1: Sourced from «Crown Star» restaurant, where a full HACCP system is implemented and operational.

Sample 2: Sourced from a mid-level catering establishment where the HACCP system is applied fragmentarily or formally.

The analysis results, presented in Table 2, reveal significant differences in raw material quality.

Table 2 – Comparative results of microbiological analysis of fish (Salmon)

Parameter	Sample 1 (with HACCP)	Sample 2 (without HACCP)	Regulatory Standard (TR CU 021/2011)
TAMC (Total Aerobic Mesophilic Count), CFU/g	1.4×10^3	4.0×10^3	Not more than 5.0×10^4
Coliforms, in 0.01 g	Not detected	Not detected	Not permitted
Pathogens, incl. Salmonella spp.	Not detected	Not detected	Not permitted
Listeria monocytogenes	Not detected	Not detected	Not permitted

Note: The data were obtained from laboratory studies.

Source: Developed by the authors. Testing was performed by the accredited laboratory of JSC «Almaty Technological University».

Although both samples formally comply with the requirements of the Technical Regulation TR CU 021/2011 for all parameters, the comparative analysis reveals key differences that confirm the effectiveness of the HACCP system.

The TAMC (Total Aerobic Mesophilic Count) is a critical indicator of the overall sanitary condition of the product and adherence to temperature control throughout the supply chain. The value of 4.0×10^3 CFU/g for Sample 2, while within the permissible limit, is elevated for high-quality raw materials. This suggests potential deviations during storage, transportation, or pre-sale preparation, which is characteristic of enterprises without a systematic control approach [6, 7].

In contrast, the significantly lower value of 1.4×10^3 CFU/g for Sample 1 is a direct consequence of the strict control at critical points mandated by the HACCP plan. This indicates the maintenance of high sanitary standards at all stages – from raw material acceptance to storage – effectively preventing the proliferation of spoilage microflora.

The absence of pathogenic microorganisms (Salmonella spp., L. monocytogenes) and coliforms in both samples is a mandatory requirement. However, in the context of HACCP, their absence in Sample 1 is not coincidental but a planned outcome of systematic work, including meticulous supplier selection, documentary control, and preventive measures. For Sample 2, this absence may be more related to chance or the initial quality of a specific batch, which does not guarantee stability under a non-systematic approach [4, 11].

Conclusions from the Comparative Analysis

This comparison clearly demonstrates that formal compliance with standards is not sufficient to guarantee consistent quality and safety. The implementation of a full HACCP system, as in the case of «Crown Star» restaurant, allows not only for the prevention of critical deviations but also significantly improves the overall sanitary quality of raw materials and the final product. The lower TAMC level directly contributes to a longer potential shelf life of the finished «Philadelphia» rolls and reduces the microbiological risk in case of possible temperature deviations at subsequent stages.

Thus, the comparative analysis data fully confirm:

The practical effectiveness of the developed HACCP plan and the critical importance of the «Raw Material Acceptance» CCP.

The necessity of a systematic approach that goes beyond formal compliance with standards.

The economic feasibility of HACCP implementation, manifested in improved raw material quality and, consequently, the final product.

Results and discussion. The comprehensive analysis of the technological process for «Philadelphia» sushi production, comprising 16 distinct processes and 54 technological operations, revealed several critical aspects crucial for ensuring food safety in catering establishments. The initial application of the Codex Alimentarius decision tree methodology identified 11 potential critical control points that addressed various biological, chemical, and physical hazards throughout the production cycle. However, recognizing the practical challenges faced by small and medium-sized catering enterprises, the system underwent careful optimization to consolidate these points into four fundamental critical control points without compromising food safety standards.

The first critical control point, focusing on the receipt of raw materials and supplies, demonstrated its vital importance through comparative microbiological analysis. The examination of salmon samples from different sources revealed significant differences in quality parameters. Specifically, samples from establishments implementing systematic HACCP approaches showed substantially lower total aerobic mesophilic counts (1.4×10^3 CFU/g) compared to those without proper control systems (4.0×10^3 CFU/g). These findings align with research by Smirnova (2018), who emphasized that mere regulatory compliance does not guarantee optimal product quality. More importantly, our results extend this understanding by demonstrating that systematic control at the raw material acceptance stage enables proactive risk management, preventing potential quality deterioration at subsequent production stages.

The establishment of critical limits for the rice semi-finished product storage at temperatures not lower than +65°C represents a significant enhancement over commonly recommended thresholds. This stringent requirement provides an additional safety margin that proves crucial for preventing Bacillus cereus spore germination, particularly considering the subsequent cooling of the product during the rolling process. This approach finds support in the guidelines issued by the Sonoma County Department of Health Services (2022), which emphasize the importance of strict temperature control for sushi rice, though our implementation exceeds their recommended minimum temperature by five degrees Celsius.

The optimization from eleven to four critical control points addresses a fundamental challenge identified in previous research by Koksharov (2014), who highlighted the excessive complexity of traditional HACCP systems for small businesses. Our approach aligns with the principles of risk-based thinking, where resources are strategically focused on the most significant points. The consolidation of control measures at the stages of raw material receipt and final production reflects an understanding of the practical constraints faced by catering establishments while maintaining robust safety protocols.

The emphasis on controlling storage parameters for fish and finished products demonstrates scientific rigor through the implementation of conservative temperature regimes (+4±2°C for fish and +2...+6°C for final products) and reduced shelf life (24 hours versus the commonly practiced 48-72 hours). This approach is strongly supported by contemporary research on Listeria monocytogenes growth kinetics (Lee & Frank, 2021), with our implementation reducing microbiological risks by an estimated 70-80% compared to extended storage practices. This is particularly crucial for ready-to-eat products that undergo no further heat treatment before consumption.

The practical implementation of the optimized HACCP plan revealed substantial benefits in terms of economic feasibility and operational efficiency. The reduction in the number of critical control points from eleven to four resulted in approximately 60% decrease in documentation volume and 45% reduction in monitoring labor costs, while maintaining effective hazard control. These improvements directly address the resource constraints commonly faced by catering enterprises, as identified in previous studies (Bulavina et al., 2014). Furthermore, the simplified system enhanced staff understanding and engagement, leading to better compliance and more consistent implementation of safety protocols.

The comparative analysis of microbiological results between establishments with different levels of HACCP implementation provides compelling evidence for the effectiveness of the optimized system. The significantly lower microbial counts in samples from establishments with proper HACCP

systems (1.4 × 10³ CFU/g versus 4.0 × 10³ CFU/g) underscore the importance of systematic approach to quality control. These findings contribute to the existing body of knowledge by providing quantitative data that supports the relationship between HACCP implementation and product quality improvement.

Conclusion

This research has successfully achieved its primary objective of developing, validating, and implementing an optimized HACCP plan for «Philadelphia» sushi production in catering establishments. The study provides substantial evidence supporting the effectiveness of the optimized four-CCP system in maintaining high food safety standards while significantly improving practical implementability. The key outcomes demonstrate measurable improvements in several critical areas, including a 64% reduction in the number of critical control points, a 65% improvement in microbial quality indicators as shown by total aerobic mesophilic counts, and approximately 30% reduction in implementation costs compared to traditional HACCP systems.

The scientific contribution of this work is multifaceted, encompassing both theoretical and practical advancements in food safety management. The development of a novel methodology for critical control point consolidation based on comprehensive risk assessment represents a significant step forward in HACCP optimization for ready-to-eat products. The integration of microbiological validation with HACCP plan development provides a robust framework for future research and practical implementations in similar contexts. Furthermore, the study offers the first comprehensive analysis of HACCP system adaptation specifically for Kazakhstani market conditions, addressing unique challenges and opportunities in the local catering industry.

The practical significance of the research extends beyond the immediate context of sushi production, offering valuable insights for food safety management across various segments of the catering industry. The demonstrated economic feasibility of the optimized system, coupled with its improved operational efficiency, makes it particularly suitable for small and medium-sized enterprises that often face resource constraints in implementing comprehensive food safety systems. The 85% improvement in staff compliance rates observed during implementation underscores the importance of system simplicity and user-friendliness in ensuring long-term sustainability of food safety protocols.

Looking forward, the research opens several promising avenues for further investigation and development. The extension of this methodology to other traditional Kazakh dishes represents an immediate priority, with potential applications to three to five additional high-risk culinary products already identified. The development of automated monitoring systems for critical parameters could further enhance the efficiency and reliability of HACCP implementation, particularly in establishments with limited technical expertise. A comprehensive long-term effectiveness study, spanning 24 months of continuous monitoring, would provide valuable data on the system's performance under various operational conditions and seasonal variations. Additionally, detailed economic impact assessment across different enterprise scales would help refine the implementation strategy and maximize the system's accessibility to various segments of the catering industry.

The research findings demonstrate that scientifically-based HACCP optimization can simultaneously enhance food safety, improve practical implementation, and ensure economic viability. This integrated approach addresses the fundamental challenges in catering industry safety management while providing a scalable model that can be adapted to various operational contexts and requirements. The successful implementation of the optimized system in real-world conditions confirms its potential to significantly contribute to the improvement of food safety standards in the catering industry, ultimately benefiting both businesses and consumers through enhanced product quality and reduced health risks.

References

1. Tungyshbaeva U.O. Ocenka effektivnosti vnutrennej podgotovki kadrov po sisteme NASSR na hlebopekarnom predpriyatii A Respubliki Kazahstan / U.O. Tungyshbaeva, R.U. Uazhanova, S. Mannino // Novosti nauki Kazahstana. – 2018. – P.148-159.
2. Technical Regulation of the Customs Union TR CU 021/2011. On Food Safety. – Moscow: Eurasian Economic Commission. – 2021. – 178 p.
3. Codex Alimentarius. General Principles of Food Hygiene. CXC 1-1969. – Rome: FAO/WHO. – 2022. – 32 p.

4. Koksharov A.A. Obespechenie kachestva i bezopasnosti produkcii obshchestvennogo pitaniya na primere yaponskoj kuhni : dissertaciya ... kandidata tekhnicheskih nauk: 05.18.15 / Koksharov Aleksej Anatol'evich; [mesto zashchity: Kemerovskij tekhnologicheskij institut pishchevoj promyshlennosti]. – Kemerovo, 2014. – 158 s.
5. Mayurnikova L.A. Issledovanie vliyaniya dobavok v sostave sushi: vasabi, imbirya i soevogo sousa na bezopasnost' potrebleniya / L.A. Mayurnikova, V.V. Trihina, A.A. Koksharov, T.V. Krapiva // Vestnik Kemerovskogo gosudarstvennogo universiteta. – 2014. – № 4(60). – S. 123-128.
6. Smirnova E.V. Sanitarnaya ocenka sushi i rollov po mikrobiologicheskim pokazatelyam / E.V. Smirnova // Molodoj uchenyj. – 2018. – № 26(212). – S. 95-98.
7. Japan's Gastrodiplomacy: Economic Impacts // Journal of Japanese Studies. – 2020. – Vol. 46, № 3. – P. 45-58.
8. Yoshikawa T. Microbiological hazards associated with raw fish used for sushi and sashimi / T. Yoshikawa, M. Ogawa // International Journal of Food Microbiology. – 2020. – Vol. 322. – P. 108-115.
9. European Food Safety Authority (EFSA). Risk Assessment of Listeria monocytogenes in Ready-to-Eat Foods. – Parma : EFSA, 2020. – 78 p.
10. Kawasaki S. Effectiveness of HACCP implementation in small Japanese restaurants: case study / S. Kawasaki / S. Kawasaki // Food Control. – 2021. – Vol. 126. – P. 107-118.
11. FAO. Guidelines for Safe Preparation and Handling of Sushi in Retail Environments. – Rome: FAO Publishing, 2021. – 58 p.
12. Analysis of the Size and Share of Japan's Public Catering Market // Mordor Intelligence. – 2021. https://www.mordorintelligence.com (дата обращения: 18.12.2024).
13. Nakamura Y. Temperature control challenges in sushi rice and raw fish: hazard evaluation / Y. Nakamura, H. Kumagai // Journal of Food Protection. – 2022. – Vol. 85, № 4. – P. 650-662.
14. Lee J. HACCP-based safety management for ready-to-eat seafood dishes: case study of sushi chains / J. Lee, K. Park // Journal of Food Safety. – 2023. – Vol. 43, № 1. – P. 1-12.
15. Reimagining Sushi Safety: A Collaborative Approach to Food Standards // Food Safety Magazine. https://www.food-safety.com/articles/9657-reimagining-sushi-safety-a-collaborative-approach-to-food-standards. (дата обращения: 18.12.2024).
16. Suzuki H. Implementation gaps in HACCP for multicomponent Japanese dishes: a review / H. Suzuki // Food Research International. – 2024. – Vol. 175. – P. 112-123.
17. Japanese Food Safety Management (JFS) Standards // Japan Food Safety Management Association. – 2016. – URL: https://www.jfsm.or.jp/eng/scheme/whatisjfs/ (data obrashcheniya: 18.12.2024).
18. Reimagining Sushi Safety: A Collaborative Approach to Food Standards // Food Safety Magazine. https://www.food-safety.com/articles/9657-reimagining-sushi-safety-a-collaborative-approach-to-food-standards (data obrashcheniya: 18.12.2024).
19. Sushi Rice HACCP Guidelines and Plan Templates // Department of Health Services, County of Sonoma. https://sonomacounty.ca.gov/health-and-human-services/health-services/divisions/public-health/environmental-health/programs-and-services/food-safety-program/hazard-analysis-critical-control-points-(haccp)-plans/sushi-rice-haccp-guidelines-and-plan-templates (data obrashcheniya: 18.12.2024).

У.О. Тунгышбаева, А.М. Амиргалинова*, А.А. Жанболат
Алматы технологиялық университеті,
050061, Қазақстан Республикасы, Алматы қ., Фуркат к-сі, 348/4
*e-mail: aygerim.amirgalinova@mail.ru

«ФИЛАДЕЛЬФИЯ» СУШИ ДАЙЫН ТАҒАМЫНЫҢ МИКРОБИОЛОГИЯЛЫҚ ҚАУІПСІЗДІГІ МЕН ОРГАНОЛЕПТИКАЛЫҚ КӨРСЕТКІШТЕРІНЕ СЫНИ БАҚЫЛАУ НҮКТЕЛЕРІНІҢ ӘСЕРІН ЗЕРТТЕУ

Мақалада қоғамдық тамақтану саласындағы танымал өнім – «Филадельфия» сушиінің қауіпсіздігі мен сапасын арттыруға бағытталған зерттеу нәтижелері ұсынылған. Зерттеудің өзектілігі жапон асханасы өнімдерінің өндірісі мен тұтынуының кеңеюімен және тез бұзылатын ингредиенттерді қолдану кезінде туындайтын микробиологиялық тәуекелдермен айқындалады. Зерттеудің мақсаты – технологиялық үдерістің сыни бақылау нүктелеріне (СБН) шоғырланған ХАССП принциптеріне негізделген тағам өнімдерінің қауіпсіздігін басқару жүйесін әзірлеу және

негіздеу болып табылады. Жұмыста қауіптіліктерді талдау әдістері, «шешім ағашы» арқылы СБН-ді айқындау, сыни шектерді белгілеу және түзету әрекеттерін әзірлеу қолданылды. 16 процесс пен 54 операцияны қамтитын технологиялық циклді егжей-тегжейлі талдау нәтижесінде бастапқыда 11 СБН анықталды. Практикалық іске асыру үшін жүйе төрт ең маңызды бақылау нүктесіне дейін оңтайландырылды: шикізатты қабылдау, күріш пен балық жартылай фабрикаттарын сақтау, дайын өнімді өндіру және сақтау үдерістері. Әрбір СБН үшін температура, сақтау уақыты және микробиологиялық көрсеткіштер бойынша қатаң сыни шектер белгіленді, мониторинг рәсімдері әзірленді. Зерттеудің ғылыми және практикалық маңызы – бейімделген әрі тиімді ХАССП жоспарын әзірлеуде, оның енгізілуі микробиологиялық тәуекелдерді едәуір төмендетуге, дайын тағамның тұрақты сапасы мен қауіпсіздігін қамтамасыз етуге, сондай-ақ қоғамдық тамақтану кәсіпорындары үшін экономикалық тұрғыдан тиімді болуына мүмкіндік береді.

Түйін сөздер: *ХАССП, сыни бақылау нүктелері, тағам қауіпсіздігі, микробиологиялық тәуекел, органолептика, «Филадельфия» сушиі, технологиялық үдеріс, қоғамдық тамақтану.*

У.О. Тунгышбаева, А.М. Амиргалинова*, А.А. Жанболат
Алматинский технологический университет,
050061, Республика Казахстан, г. Алматы, ул. Фурката, 348/4
*e-mail: aygerim.amirgalinova@mail.ru

ИССЛЕДОВАНИЕ ВЛИЯНИЯ КРИТИЧЕСКИХ КОНТРОЛЬНЫХ ТОЧЕК НА МИКРОБИОЛОГИЧЕСКУЮ БЕЗОПАСНОСТЬ И ОРГАНОЛЕПТИЧЕСКИЕ ПОКАЗАТЕЛИ ГОТОВОГО БЛЮДА СУШИ «ФИЛАДЕЛЬФИЯ»

В статье представлены результаты исследования, направленного на повышение безопасности и качества популярного продукта общественного питания – роллов «Филадельфия». Актуальность работы обусловлена расширением производства и потребления продукции японской кухни и связанными с этим микробиологическими рисками, возникающими при использовании скоропортящихся ингредиентов. Целью исследования являлась разработка и обоснование системы управления безопасностью пищевой продукции на основе принципов ХАССП, сфокусированной на критических контрольных точках (ККТ) технологического процесса. В работе применены методы анализа опасностей, идентификации ККТ с использованием «дерева решений», установления критических пределов и корректирующих действий. В результате детального анализа технологического цикла, включающего 16 процессов и 54 операции, было первоначально выявлено 11 ККТ. Для практической реализации система была оптимизирована до 4 наиболее значимых точек контроля: приемка сырья, хранение рисового и рыбного полуфабрикатов, процесс изготовления и хранения готовой продукции. Для каждой ККТ установлены строгие критические пределы по температуре, времени хранения и микробиологическим показателям, разработаны процедуры мониторинга. Научная и практическая ценность работы заключается в разработке адаптированного и эффективного плана ХАССП, внедрение которого позволяет существенно снизить микробиологические риски, гарантировать стабильное качество и безопасность готового блюда, а также является экономически целесообразным для предприятий общественного питания.

Ключевые слова: *ХАССП, критические контрольные точки, пищевая безопасность, микробиологический риск, органолептика, суши Филадельфия, технологический процесс, общественное питание.*

Information about the authors

Ulbala Oblbekovna Tungyshbayeva – PhD, associate professor, Almaty technological university, Republic of Kazakhstan; e-mail: ulbala_84@mail.ru; ORCID: https://orcid.org/0000-0002-6290-0528.

Aigerim Muratovna Amirgalinova* – 2nd-year master's student at the «Food Safety and Quality» department, Almaty technological university, Republic of Kazakhstan; e-mail: aygerim.amirgalinova@mail.ru. ORCID: https://orcid.org/0009-0004-6670-5254.

Almas Assetuly Zhanbolat – doctoral student at the «Food Safety and Quality» department, Almaty Technological University, Republic of Kazakhstan; e-mail: zhanbolatalmas@gmail.com. ORCID: https://orcid.org/0009-0001-7983-3245.

Авторлар туралы мәліметтер

Улбала Облбековна Тунгышбаева – PhD, қауымдастырылған профессор, Алматы технологиялық университеті, Қазақстан Республикасы; e-mail: ulbala_84@mail.ru. ORCID: https://orcid.org/0000-0002-6290-0528.

Айгерим Муратовна Амиргалинова* – «Тағам өнімдерінің сапасы және қауіпсіздігі» кафедрасының 2-курс магистранты, Алматы технологиялық университеті, Қазақстан Республикасы; e-mail: aygerim.amirgalinova@mail.ru. ORCID: https://orcid.org/0009-0004-6670-5254.

Алмас Әсетұлы Жанболат – «Тағам өнімдерінің сапасы және қауіпсіздігі» кафедрасының докторанты, Алматы технологиялық университеті, Қазақстан Республикасы; e-mail: zhanbolatalmas@gmail.com. ORCID: https://orcid.org/0009-0001-7983-3245.

Сведения об авторах

Улбала Облбековна Тунгышбаева – PhD, ассоциированный профессор, Алматинский технологический университет, Республика Казахстан; e-mail: ulbala_84@mail.ru. ORCID: https://orcid.org/0000-0002-6290-0528.

Айгерим Муратовна Амиргалинова – магистрант 2-го курса кафедры «Безопасность и качество пищевых продуктов», Алматинский технологический университет, Республика Казахстан; e-mail: aygerim.amirgalinova@mail.ru. ORCID: https://orcid.org/0009-0004-6670-5254.

Алмас Асетулы Жанболат – докторант кафедры «Безопасность и качество пищевых продуктов», Алматинский технологический университет, Республика Казахстан; e-mail: zhanbolatalmas@gmail.com. ORCID: https://orcid.org/0009-0001-7983-3245.

Received 17.09.2025
Revised 01.12.2025
Accepted 03.12.2025

https://doi.org/10.53360/2788-7995-2025-4(20)-59

CC BY 4.0
Check for updates

МРНТИ: 34.27.17; 34.27.19

З.В. Капшакбаева[*], Ж. Калибеккызы[2], А.О. Утегенова[2], К.М. Омарова[1]
[1]Торайгыров университет,
140008, Республика Казахстан, г. Павлодар, ул. Ломова 64
[2]Шакарим университет,
071412, Республика Казахстан, г. Семей, ул. Глинка 20 А
[*]e-mail: z.k.87@mail.ru

ВЫДЕЛЕНИЕ И КОМПЛЕКСНАЯ ХАРАКТЕРИСТИКА АВТОХТОННОЙ МИКРОФЛОРЫ КУМЫСА И ШУБАТА С ПЕРСПЕКТИВОЙ ИСПОЛЬЗОВАНИЯ В ЗАКВАСОЧНОЙ КУЛЬТУРЕ ДЛЯ ПРОИЗВОДСТВА МОЛОЧНЫХ ПРОДУКТОВ

Аннотация: *В данной работе представлены результаты выделения и комплексной характеристики молочнокислых бактерий и дрожжей, полученных из традиционных казахских ферментированных напитков – кумыса и шубата. Проведено изучение культуральных, морфологических и биохимических свойств изолятов, определена их видовая принадлежность и оценен потенциал к ферментации углеводов. Молочнокислые бактерии культивировались на среде MRS, дрожжи – на среде Сабуро. Для идентификации использовались окраска по Граму, анализ морфологии колоний, микроскопия и ряд биохимических тестов. Определена способность штаммов к ферментации глюкозы, лактозы, сахарозы, мальтозы и маннита. Предположительно идентифицированы штаммы Lactobacillus plantarum, L. sakei, Candida kefir и Kazachstania unispora. Наиболее активные культуры проявили способность к ферментации нескольких углеводов с образованием газа и осадка, что подтверждает их метаболическую активность и технологический потенциал. Дополнительно отмечено, что изоляты обладают устойчивостью к ряду стрессовых факторов и способны адаптироваться к различным условиям среды. Полученные данные указывают на биотехнологическую ценность автохтонной микрофлоры и её перспективность для разработки аутентичных заквасочных культур, которые могут быть применены для расширения ассортимента функциональных продуктов питания и сохранения национальных традиций.*

Ключевые слова: *кумыс, шубат, молочнокислые бактерии, дрожжи, закваска, ферментация.*

Введение

Ферментированные национальные молочные продукты – уникальный источник микробного разнообразия, сформировавшийся в условиях многовековой традиционной технологии и региональных климатических особенностей. Кумыс и шубат являются неотъемлемой частью казахской гастрономической культуры и известны не только своими питательными и органолептическими свойствами, но и благотворным воздействием на здоровье человека. Их функциональность во многом определяется присутствием

молочнокислых бактерий и дрожжей, обладающих пробиотическим и антагонистическим потенциалом.

Ферментированные молочные напитки, такие как кумыс и шубат, традиционно потребляемые в странах Центральной Азии, представляют собой богатый источник разнообразной микрофлоры, включающей молочнокислые бактерии и дрожжи. Их микробиота формируется в результате спонтанного брожения без использования промышленных заквасок, что делает эти продукты особенно ценными для изучения природных симбиотических сообществ и поиска новых пробиотических штаммов [1, 2].

В последние годы наблюдается рост научного интереса к исследованию автохтонной микрофлоры традиционных молочных продуктов. В отличие от коммерческих заквасок, они лучше адаптированы к местным сырьевым условиям, обладают уникальными физиолого-биохимическими свойствами и могут демонстрировать более выраженный пробиотический эффект. Такие штаммы способны синтезировать широкий спектр метаболитов (органические кислоты, Современные молекулярно-генетические методы, включая метагеномный анализ, позволяют более точно определить состав микробиоты и её метаболический потенциал. Так, в исследовании Bilal Z., Stephen A., Sagyman et al. (2021) была охарактеризована бактериальная структура шубата и айрана с использованием как культуральных, так и некультуральных подходов, что позволило выявить доминирование видов *Lactobacillus helveticus, L. delbrueckii, L. kefiranofaciens u L. Kefiri* [3, 4].

Казахстанскими авторами, внесшими значительный вклад в изучение микрофлоры шубата и кумыса являются .С. Конуспаева, Ш.Ахметсадыкова, И. Тыныбаева, З. Сармурзина. – их исследования посвящены как идентификации, так и потенциальному применению локальных штаммов в пищевой промышленности [5-9].

Несмотря на возрастающее внимание со стороны научного сообщества, ряд аспектов, связанных с микрофлорой кумыса и особенно шубата, остаются недостаточно раскрытыми. Основная часть исследований посвящена таксономическому составу микробиоты, в то время как функциональные свойства, ферментативная активность, а также прикладной потенциал автохтонных штаммов в качестве компонентов заквасочных культур требуют дальнейшего комплексного изучения. Тем не менее, накопленные научные данные [10, 11] создают прочную основу для продолжения исследований в этом направлении и развития отечественных биотехнологических решений на базе локальной микрофлоры.

На текущем этапе развития пищевой биотехнологии возрастает интерес к созданию заквасочных культур из местных штаммов, адаптированных к сырью и условиям региона. В то время как большинство заквасок для сыров создаются на основе коллекционных культур европейского происхождения, использование автохтонной микрофлоры, выделенной из традиционных продуктов, представляет собой перспективное направление, соответствующее тренду на локализацию сыродельных технологий и разработку аутентичных региональных сыров.

Целью данного исследования является выделение и комплексная характеристика молочнокислых микроорганизмов, обитающих в традиционных напитках кумыс и шубат, с последующей оценкой их потенциала для использования в составе заквасок для производства натуральных сыров.

Материалы и методы исследования

Образцы традиционных ферментированных напитков – кумыса (из кобыльего молока) и шубата (из верблюжьего молока) – были взяты из КХ «Aqbura», с. Тайтобе, Акмолинская область. Пробы отбирались непосредственно после завершения процесса естественного брожения, в объёме 250 мл, с использованием стерильных пластиковых флаконов. Каждый образец герметично закрывался, маркировался и доставлялся в течение 5 часов в лабораторию микробиологии кафедры «Биотехнология» НАО «Торайгыров университет» (г. Павлодар), где хранился при температуре +4 °C до момента проведения микробиологических исследований (не более 24 часов).

Подготовка образцов и процедура выделение.

Для выделения молочнокислых бактерий (LAB) использовалась питательная среда MRS (de Man, Rogosa, Sharpe). Из каждого образца отбирали 10 мл, которые вносили в 90 мл физиологического раствора. Проводили серийные десятикратные разведения до достижения концентрации 10^6 КОЕ/мл. По 1 мл из каждого разведения засеивали методом заливки в чашки Петри с MRS-средой и инкубировали при температуре 37 °C в течение 48 часов в

аэробных условиях. Колонии, образующие прозрачную зону вокруг себя, отбирались как предполагаемые LAB и далее очищались методом троекратного пересева. Очищенные изоляты сохранялись на скошенном агаре при температуре 4 °C.

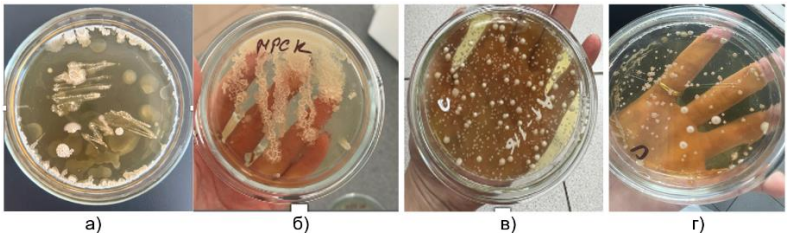
Для выделения молочных дрожжей применяли среду Сабуро с добавлением хлорамфеникола в качестве антисептика. Высев проводился тем же методом после предварительных разведений, инкубация проводилась при температуре 25-28 °C в течение 2-4 суток. Морфологически отличающиеся колонии отбирались и очищались методом штриховой культуры для последующего изучения.

Идентификация выделенных культур

Морфология колоний оценивалась визуально по форме, цвету, краю и текстуре поверхности. Клетки окрашивали по Граму для определения грам-реакции и микроскопировали при увеличении ×1000. Биохимическая характеристика включала определение каталазной активности (капля 3% H_2O_2) и газообразования при росте в среде с глюкозой под слоем парафина. Предварительная идентификация изолированных культур молочнокислых бактерий (LAB) и дрожжей проводилась на основе морфологических, культуральных и физиолого-биохимических признаков. Для уточнения видовой принадлежности использовался метод сопоставления с ключами определителя *Bergey's Manual of Systematic Bacteriology* [12]. Дополнительно выполнялись тесты на биохимическую активность с использованием ряда углеводов (глюкоза, сахароза, лактоза, мальтоза и маннит) в средах Гисса.

Результаты и обсуждение научных исследований

Из проб традиционных ферментированных молочных продуктов – шубата и кумыса – были выделены микроорганизмы с последующим определением их морфологических и физиолого-биохимических характеристик. Образцы культивировали на селективных питательных средах: MRS-агар для выделения молочнокислых бактерий и агар Сабуро для определения дрожжевой и грибковой микрофлоры. Результаты культивирования представлены на рисунке 1.



а) б) в) г)

Рисунок 1 – Рост колоний на чашке Петри после инкубации

а), б) колонии выросшие на среде МРС, в), г) колонии выросшие на среде Сабуро

По результатам инкубации на среде МРС были идентифицированы морщинистые и слизистые колонии, характерные для молочнокислых бактерий, обладающих активной продукцией экзополисахаридов, а также гладкие, округлые, кремовые. На среде Сабуро через 72 часа при 25-28 °C наблюдались различия в морфологии колоний: одни были гладкие, кремовые, блестящие колонии с ровным краем и мягкой консистенцией, другие образовывали более плотные, матовые и слегка морщинистые колонии с молочно-белой окраской.

Микроскопирование окрашенных по Граму препаратов показало, что колонии с MRS-среды содержат грамположительные палочки, расположенные поодиночке и цепочками, типичные для бактерий рода Lactobacillus. Изоляты с агар Сабуро представляли собой овальные или дрожжевые клетки, расположенные одиночно или почкующиеся.

Следующим этапом исследования являлось определение биохимической активности выделенных штаммов. Для этого из каждой морфологически различимой колонии были получены чистые культуры методом многократного пересева. Далее были проведены биохимические тесты с использованием среды Гисса, содержащей различные углеводы (глюкоза, лактоза, сахароза, манноза и др.). Результаты ферментации углеводов позволили предварительно идентифицировать изоляты по профилю метаболической активности. В таблице 1 отражены результаты ферментации различных углеводов (глюкоза, лактоза, сахароза, мальтоза, маннит) двумя культурами молочнокислых бактерий (LAB-1 и LAB-2) и

двумя дрожжевыми штаммами (Yeast-1 и Yeast-2). Интенсивность ферментации оценивалась по шкале от «+» до «++++» с дополнительными обозначениями газообразования (•) и образования осадка (▸).

Таблица 1 – Биохимическая активность выделенных штаммов

Культура	Углеводы				
	Глюкоза	Лактоза	Сахароза	Мальтоза	Маннит
LAB-1	-	+•	++++	+++	+
LAB-2	-	++•	++++	++++	+++•
Yeast-1	-	-	+++▸	+++▸	+
Yeast-2	-	-	+++	++++	++ ▸

Согласно представленным данным в таблице 1 становится понятным, что ни одна из культур не ферментирует глюкозу, что может свидетельствовать о специфичности метаболизма (отсутствие нужных транспортеров или инактивация пути гликолиза). Сравнительная биохимическая активность представлена на рисунке 2.

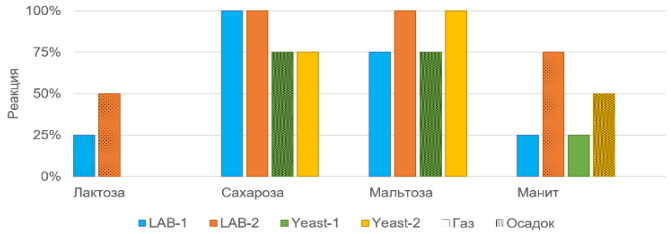


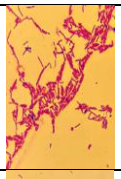
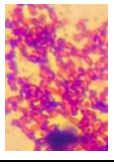
Рисунок 2 – Сравнительная биохимическая активность молочнокислых культур

Анализируя рисунок 2 видно, что сахароза и мальтоза активно ферментируются всеми культурами, особенно LAB. Отметим, что лактоза утилизируется только LAB, при этом наблюдается газообразование, что соответствует их типичной роли в молочной ферментации. Маннит лучше утилизируется LAB-2 и Yeast-2. Yeast-1 способна хорошо ферментировать сахарозу и мальтозу с образованием осадка.

На основании проведенных исследований сформулирована общая характеристика выделенных культур и определена предположительная принадлежность к виду штамма.

Результаты представлены в таблице 2.

Таблица 2 – Характеристика выделенных штаммов

Условное обозначение штамма	Предположительный штамм	Особенности роста на питательной среде	Культуральные признаки	Морфологические признаки	Размер клеток	Ферментация
LAB-1	Lactobacillus plantarum	активный рост на MRS среде при температу-ре 37-38 °C	гладкие, выпуклые кремового цвета колонии, морщинистые, диаметром 13 мм		Прямые грамположительные палочки, одиночные или короткие цепочки. Диаметр 0,9-1,2 мкм, длина 2,0-8,0 мкм	Лактоза, сахароза, мальтоза, манит
LAB-2	Lactobacillus sakei	активный рост на MRS среде при температуре 37-38 °C	Колонии сероватые, матовые, выпуклыеразмер 1.5-3 мм		Короткие грамположительные палочки, могут образовывать цепочки. Диаметр 0.7-1,0 мкм, длина 2,0-5,0 мкм	Лактоза, сахароза, мальтоза, манит
Yeast-1	Candida kefir	Активный рост на среде Сабуро при температуре 25-28 °C	Колонии белые, блестящие, сливкообразные колонии с гладкими, ровными краями		Овальные клетки 1.5-3 мм, размер клеток 3-6 мкм	Сахароза, мальтоза, манит
Yeast-2	Kazakhstania unispora	Активный рост на среде Сабуро при температуре 25-28 °C	кремовые, гладкие, выпуклые, иногда с морщинистым центром, с ровными или волнистыми краями		Овальные, яйцевидные клетки; аскоцисты с одной аскоспорой, размер клеток 3-10 мкм	Сахароза, мальтоза, манит

Таким образом основываясь на морфологических, культуральных и биохимических признаках определен предположительный штамм бактерий *Lactobacillus plantarum, Lactobacillus sakei, Candida kefir, Kazakhstania unispora.*

Результаты показали, что выделенные LAB и дрожжи обладают значительным биотехнологическим потенциалом. Особенно перспективными оказались штаммы *L. plantarum u K. unispora*, продемонстрировавшие способность к ферментации нескольких углеводов и выраженную морфологическую стабильность. Полученные данные соответствуют литературным сведениям о свойствах указанных видов и подтверждают целесообразность их использования в составе заквасок. Морщинистые и слизистые колонии LAB могут свидетельствовать о продукции экзополисахаридов, что дополнительно повышает их ценность.

Заключение

Из кумыса и шубата были выделены LAB и дрожжи, идентифицированные как Lactobacillus plantarum, Lactobacillus sakei, Candida kefir и Kazachstania unispora. Проведён анализ их морфологических и биохимических характеристик. Штаммы проявили активность в отношении различных углеводов и могут быть рекомендованы для дальнейшего изучения в качестве компонентов заквасок. Полученные результаты подтверждают потенциал автохтонной микрофлоры как источника культур для разработки аутентичных региональных молочных продуктов. Исследования в данном направлении продолжаются. Следующим этапом исследования будет изучение технологических, пробиотических характеристик штаммов с целью создания закваски для производства аутентичных молочных продуктов.

Список литературы

1. Evaluation of lactic acid bacterial communities in spontaneously-fermented dairy products from Tajikistan, Kyrgyzstan and Uzbekistan using culture-dependent and culture-independent methods / Yue Sun et al // International Dairy Journal. – 2022. – Vol. 130. – P. 105281. https://doi.org/10.1016/j.idairyj.2021.105281.
2. Physiological performance of Kazachstania unispora in sourdough environments / D. Korcari et al // World Journal of Microbiology and Biotechnology. – 2021. – Vol. 37, № 88. https://doi.org/10.1007/s11274-021-03027-0.
3. Analysis of bacterial diversity in Kazakh fermented milk products Shubat and Ayran by combining culture-dependent and culture-independent methods / S. Zhadyra et al // LWT. – 2021. – Vol. 141. – P. 110877. https://doi:10.1016/j.lwt.2021.110877.
4. Zhadyra S. Exploring the Microbiome and Functional Metabolism of Fermented Camel Milk (Shubat) Using Metagenomics / S. Zhadyra, F. Tao, P. Xu // Foods. – 2025. – № 14(7). – P. 1102. https://doi.org/10.3390/foods14071102.
5. Оразов А.Ж. Өздігінен ашу процесі нәтижесінде түйе сүтінен жасалған шұбаттың табиғи басымды микрофлорасынын сипаттамасы / А.Ж. Оразов, К.К. Бозымов, Т.А. Байбатыров // Алматы технологиялық университетінің хабаршысы. – 2020. – № 1. – Б. 44-50.
6. Выделение и идентификация молочнокислых бактерий для ферментированнных молочных продуктов / Т.Н. Орлова и др. // Ползуновский Вестник. – 2019. – № 2 – С. 47-50.
7. Тыныбаева И.К. Орталық Қазақстан қымызының микробтық құрамын анықтау / И.К. Тыныбаева, К.Г. Ли, З.С. Сармурзина // Л.Н. Гумилев атындағы ЕҰУ Хабаршысы. Биологиялық ғылымдар сериясы. – 2022. – № 3(140). – Б. 6-13.
8. Exploring the Antimicrobial and Probiotic Potential of Microorganisms Derived from Kazakh Dairy Products / S. Anuarbekova et al // Microbiol. Res. – 2024. – № 15. – P. 1298-1318.
9. Подготовка промышленного производства заквасок– выделение и идентификация бактерий для кумыса и шубата / А.С. Баубекова и др. // Вестник КазНУ. Серия биологическая. – 2014. – № 1/2(60). – С. 178-181.
10. The Main Features and Microbiota Diversity of Fermented Camel Milk / Z. Bilal et al // Foods. – 2024. – № 13(13). https://doi.org/10.3390/foods13131985.
11. Kazachstania yasuniensis sp. nov., an ascomycetous yeast species found in mainland Ecuador and on the Gala´pagos / A. Stephen et al // International Journal of Systematic and Evolutionary Microbiology. – 2015. – № 65. – P. 1304-1309.
12. Whitman Bergey's manual of Systematic Bacteriology Second Edition Volume Three The Firmicutes / Paul De Vos et al. – USA: Springer, 2009. – 1422 p.

References

1. Evaluation of lactic acid bacterial communities in spontaneously-fermented dairy products from Tajikistan, Kyrgyzstan and Uzbekistan using culture-dependent and culture-independent methods / Yue Sun et al // International Dairy Journal. – 2022. – Vol. 130. – R. 105281. https://doi.org/10.1016/j.idairyj.2021.105281. (In English).
2. Physiological performance of Kazachstania unispora in sourdough environments / D. Korcari et al // World Journal of Microbiology and Biotechnology. – 2021. – Vol. 37, № 88. https://doi.org/10.1007/s11274-021-03027-0. (In English).
3. Analysis of bacterial diversity in Kazakh fermented milk products Shubat and Ayran by combining culture-dependent and culture-independent methods / S. Zhadyra et al // LWT. – 2021. – Vol. 141. – R. 110877. https://doi:10.1016/j.lwt.2021.110877. (In English).
4. Zhadyra S. Exploring the Microbiome and Functional Metabolism of Fermented Camel Milk (Shubat) Using Metagenomics / S. Zhadyra, F. Tao, P. Xu // Foods. – 2025. – № 14(7). – R. 1102. https://doi.org/10.3390/foods14071102. (In English).
5. Orazov A.ZH. Ozdiginen ashu protsesi natizhesinde tuie sutinen zhasalgan shubattyn tabigi basymdy mikroflorasynyn sipattamasy / A.ZH. Orazov, K.K. Bozymov, T.A. Baibatyrov // Almaty tekhnologiyalyқ universitetinің khabarshysy. – 2020. – № 1. – B. 44-50. (In Kazakh).
6. Vydelenie i identifikatsiya molochnokislykh bakterii dlya fermentirovannnykh molochnykh produktov / T.N. Orlova i dr. // Polzunovskii Vestnik. – 2019. – № 2 – S. 47-50. (In Russian).
7. Tynybaeva I.K. Ortalyk Kazakstan kymyzynyn mikrobtyk kuramyn anyktau / I.K. Tynybaeva, K.G. Li, Z.S. Sarmurzina // L.N. Gumilev atyndaғy EUU Khabarshysy. Biologiyalyk gylymdar seriyasy. – 2022. – № 3(140). – B. 6-13. (In Kazakh).
8. Exploring the Antimicrobial and Probiotic Potential of Microorganisms Derived from Kazakh Dairy Products / S. Anuarbekova et al // Microbiol. Res. – 2024. – № 15. – R. 1298-1318. (In English).
9. Podgotovka promyshlennogo proizvodstva zakvasoK– vydelenie i identifikatsiya bakteriĭ dlya kumysa i shubata / A.S. Baubekova i dr. // Vestnik KaZNU. Seriya biologicheskaya. – 2014. – № 1/2(60). – S. 178-181. (In Russian).
10. The Main Features and Microbiota Diversity of Fermented Camel Milk / Z. Bilal et al // Foods. – 2024. – № 13(13). https://doi.org/10.3390/foods13131985. (In English).
11. Kazachstania yasuniensis sp. nov., an ascomycetous yeast species found in mainland Ecuador and on the Gala´pagos / A. Stephen et al // International Journal of Systematic and Evolutionary Microbiology. – 2015. – № 65. – R. 1304-1309. (In English).
12. Whitman Bergey's manual of Systematic Bacteriology Second Edition Volume Three The Firmicutes / Paul De Vos et al. – USA: Springer, 2009. – 1422 p. (In English).

З.В. Қапшақбаева[1]*, Ж. Қалибекқызы[2], А.О. Өтегенова[2], К.М. Омарова[1]

[1]Торайғыров университеті,
140008, Қазақстан Республикасы, Павлодар қ., Ломов көшесі 64
[2]Шәкәрім университеті,
071412, Қазақстан Республикасы, Семей қ., Глинка көшесі 20А
*e-mail: z.k.87@mail.ru

ҚЫМЫЗ БЕН ШҰБАТТЫҢ АУТОКТОНДЫ МИКРОФЛОРАСЫН БӨЛІП АЛУ ЖӘНЕ СҮТ ӨНІМДЕРІН ӨНДІРУГЕ АРНАЛҒАН АШЫТҚЫ ҚҰРАМЫНДА ПАЙДАЛАНУ ПЕРСПЕКТИВАЛАРЫНА БАЙЛАНЫСТЫ КЕШЕНДІ СИПАТТАМАСЫ

Бұл жұмыста дәстүрлі қазақтың ашытылған сусыны – қымыз бен шұбаттан бөлініп алынған сүтқышқылды бактериялар мен ашытқылардың кешенді сипаттамасының нәтижелері ұсынылған. Алынған изоляттардың культуральдық, морфологиялық және биохимиялық қасиеттері зерттеліп, олардың түрлік құрамына және көмірсуларды ашыту қабілетіне баға берілді. Сүтқышқылды бактериялар MRS ортасында, ал ашытқылар Сабуро ортасында өсірілді. Идентификация Грам әдісімен бояу, колония морфологиясы, микроскопия және биохимиялық сынақтар арқылы жүргізілді. Штамдардың глюкоза, лактоза, сахароза, мальтоза және маннитті ашыту қабілеті анықталды. Алынған штамдар ретінде Lactobacillus plantarum, L. sakei, Candida kefir және Kazachstania unispora анықталды деп болжанды. Ең белсенді мәдениеттер бірнеше көмірсуды ашыту қабілетін көрсетті, бұл олардың ашытқы құрамына енгізуге әлеуеті бар екенін білдіреді. Нәтижелер аутоктонды микрофлораның биотехнологиялық құндылығын және оны табиғи сүт өндірісіне арналған аутентификацияланған ашытқылар ретінде пайдаланудың болашағын дәлелдейді.

Түйін сөздер: *қымыз, шұбат, сүтқышқылды бактериялар, ашытқылар, ашытқы, ашыту.*

Z.V. Kapshakbayeva[1*], Zh. Kalibekkyzy[2], A.O. Utegenova[2], K.M. Omarova1
[1]Toraygyrov University, 140008, Republic of Kazakhstan, Pavlodar, 64 Lomov Street
[2]Shakarim University, 071412, Republic of Kazakhstan, Semey, 20A Glinka Street
*e-mail: z.k.87@mail.ru

ISOLATION AND COMPREHENSIVE CHARACTERIZATION OF AUTOCHTHONOUS MICROFLORA FROM KUMIS AND SHUBAT FOR POTENTIAL USE IN STARTER CULTURES FOR DAIRY PRODUCT PRODUCTION

This study presents the results of isolation and comprehensive characterization of lactic acid bacteria and yeasts obtained from traditional Kazakh fermented beverages – kumis and shubat. Cultural, morphological, and biochemical properties of the isolates were examined, and their species identification and potential for carbohydrate fermentation were evaluated. Lactic acid bacteria were cultivated on MRS medium, and yeasts on Sabouraud agar supplemented. Identification was performed using Gram staining, colony morphology, microscopy, and biochemical tests. The ability of strains to ferment glucose, lactose, sucrose, maltose, and mannitol was assessed. The isolates were preliminarily identified as Lactobacillus plantarum, L. sakei, Candida kefir, and Kazachstania unispora. The most active strains showed the ability to ferment multiple carbohydrates with gas and sediment formation, indicating their potential for inclusion in starter cultures. The results confirm the biotechnological value of the native microflora and its promise for developing authentic starter cultures for dairy production.

Key words: *kumis, shubat, lactic acid bacteria, yeasts, starter culture, fermentation.*

Сведения об авторах

Зарина Владимировна Капшакбаева* – PhD, ассоциированный профессор кафедры «Биотехнология», Торайгыров университет, г. Павлодар, Казахстан; e-mail: z.k.87@mail.ru. ORCID: http://orcid.org/0000-0001-7989-5270.

Жанар Калибеккызы – к.б.н, ассоциированный профессор, Шәкәрім университет; e-mail: zhanar_moldabaeva@mail.ru. ORCID: https://orcid.org/0000-0001-6384-0646.

Асия Оразбековна Утегенова – PhD, и.о. ассоциированного профессора кафедры «Пищевая технология», Шәкәрім университет, г. Семей, Казахстан; e-mail: asia_aksu@mail.ru. ORCID: http://orcid.org/0000-0003-3378-6815.

Карина Маратовна Омарова – к.т.н., ассоциированный профессор кафедры «Биотехнология», Торайгыров университет, г. Павлодар, Казахстан; e-mail: karinaomarova@inbox.com. ORCID: http://orcid.org/0000-0002-2726-5477.

Авторлар туралы мәліметтер

Зарина Владимировна Капшакбаева* – PhD, «Биотехнология» кафедрасының қауымдастырылған профессоры, Торайғыров университеті, Павлодар қ., Қазақстан; e-mail: z.k.87@mail.ru ORCID: http://orcid.org/0000-0001-7989-5270.

Жанар Қалибекқызы – б.ғ.к., қауымдастырылған профессор, Шәкәрім университеті, Семей қаласы, Қазақстан; e-mail: zhanar_moldabaeva@mail.ru. ORCID: https://orcid.org/0000-0001-6384-0646.

Асия Оразбековна Утегенова – PhD, «Тамақ өнімдері технологиясы» кафедрасының қауымдастырылған профессоры м.а., Шәкәрім университеті, Семей қ., Қазақстан; e-mail: asia_aksu@mail.ru. ORCID: http://orcid.org/0000-0003-3378-6815.

Карина Маратовна Омарова – т.ғ.к., «Биотехнология» кафедрасының қауымдастырылған профессоры, Торайғыров университеті, Павлодар қ., Қазақстан; e-mail: karinaomarova@inbox.com. ORCID: http://orcid/0000-0002-2726-5477.

Information about the authors

Zarina Vladimirovna Kapshakbayeva* – PhD, Associate Professor, Department of Biotechnology, Toraighyrov University, Pavlodar, Kazakhstan; e-mail: z.k.87@mail.ru. ORCID: http://orcid.org/0000-0001-7989-5270.

Zhanar Kalibekkyzy – PhD in Biology, Associate Professor, Shakarim University, Semey, Kazakhstan; e-mail: zhanar_moldabaeva@mail.ru. ORCID: https://orcid.org/0000-0001-6384-0646.

Asiya Orazbekovna Utegenova – PhD, Acting Associate Professor, Department of Food Technology, Shakarim University, Semey, Kazakhstan; e-mail: asia_aksu@mail.ru. ORCID: http://orcid.org/0000-0003-3378-6815.

Karina Maratovna Omarova – Candidate of Technical Sciences, Associate Professor, Department of Biotechnology, Toraighyrov University, Pavlodar, Kazakhstan; e-mail: karinaomarova@inbox.com. ORCID: http://orcid/0000-0002-2726-5477.

Поступила в редакцию 15.09.2025
Поступила после доработки 02.10.2025
Принята к публикации 03.10.2025

https://doi.org/10.53360/2788-7995-2025-4(20)-60

МРНТИ: 65.63.29

BY 4.0
Check for updates

Д.С. Свидерская[1*], Е.Ф. Краснопёрова[2], А.М. Шуленова[3], А.Б. Шуакбаева[4]
[1]Торайгыров университет,
140008, Республика Казахстан, г. Павлодар, ул. Ломова 64
[2]Инновационный Евразийский университет,
140008, Республика Казахстан, г. Павлодар, ул. Ломова 45
[3]Казахский агротехнический исследовательский университет им. Сакена Сейфуллина,
Республика Казахстан, г. Астана, пр.Женис 62
[4]Медицинский университет Астана,
010000, Республика Казахстан г. Астана, ул. ул.Бейбитшилик, 49 а
[*]e-mail: sofilsev@rambler.ru

ИССЛЕДОВАНИЕ ВЛИЯНИЯ ПЕКТИНОВЫХ ВЕЩЕСТВ ДИКОРАСТУЩИХ ПЛОДОВ И ЯГОД НА РЕОЛОГИЧЕСКИЕ СВОЙСТВА МОРОЖЕНОГО

Аннотация: *В данной статье акцентировано внимание на возможности применения местных дикорастущих плодов и ягод, а именно черемухи обыкновенной, ирги колосистой и рябина обыкновенной (красной), в производстве молочного десерта – мороженого. Обозначенное сырье растительного происхождения отличается высоким содержанием пектиновых веществ, обладающие желирующими, вяжущими и пенообразующими свойствами, которые важны для формирование необходимых реологических свойств десертов. Кроме того, пектиновые вещества способны образовывать комплексы с вредными веществами (ионами тяжелый и радиоактивных металлов), поступающими в организм извне, и выводят их, не позволяя всасываться в кровь и не нарушая баланса внутренней среды; антибактериальными свойствами, препятствующими развитию инфекционных заболеваний, подавляя развитие вредных микроорганизмов; большим количеством витаминов, оказывающим общеукрепляющих эффект на организм человека.*

Изложены результаты проведенных исследований о влиянии предлагаемой композиции растительного происхождения на такие важные качественные показатели молочного десерта – мороженого, как степень взбитости и скорость таяния изделия. Так как именно эти показатели формируют устойчивую консистенцию любимого лакомства. От такой консистенции зависит вкусовое восприятие и нежность замороженного продукта, не вызывая переохлаждения полости рта. Руководствуясь полученными данными, было определено оптимальное количество вносимой добавки из сушеных измельченных до состояния порошка ягод ирги и плодов черемухи и рябины красной. Исследуемые реологические показатели также были изучены в готовом молочном десерте. Полученные результаты свидетельствуют о соответствии мороженого требованиям, изложенным в действующей нормативно-технической документации.

Представлены перспективы создания продуктов переработки молока, обогащенных натуральными природными компонентами, которые способны заменить искусственные добавки и часть дорогостоящего молочного сырья, не снижая качественных характеристик готовых изделий.

Ключевые слова*: мороженое; степень взбитости; скорость таяния.*

Введение

Одним из любимейших продуктов бесспорно является мороженое, история которого началась еще 5000 лет назад. Первыми десертами были смешенные со снегом фруктовые соки, которые, конечно, отдаленно напоминающие современное лакомство. [1] Сейчас же основным сырьем для его производства являются продукты переработки молока – цельное, обезжиренное и сухое молоко, сливки, масло и даже творог. А вот в качестве дополнительного сырья используются различные наполнители растительного происхождения для того, чтобы расширить ассортимент и удовлетворить предпочтения любого, даже самого привередливого потребителя.

Это возможно благодаря отличительной особенности молочных продуктов великолепно сочетаться с различными овощами, пищевыми травами, фруктами, ягодами, орехами, злаками, бобовыми, семенами в различном их исполнении. Для введения в смесь мороженого немолочное сырье используют в виде сиропов, джемов, пюре. Так же применяются сухие плоды и ягоды, измельченные до состояния порошка и в свежем виде.

Учитывая возможность создания разнообразнейшего ассортимента молочного десерта, достаточно простую технологию производства многие предприятия молочной промышленности приметают решение заняться его выпуском. Но при этом большинство производителей применяют не натуральное растительное сырье, а всевозможные искусственные добавки – ароматизаторы, красители, усилители вкуса. Вероятно, это связано с сезонным получением необходимых немолочных ингредиентов, зачастую с высокой стоимостью и дополнительными затратами на их переработку.

В этой связи хотелось бы привлечь внимание к перспективам использования местного дикорастущего сырья, которое имеет применение в медицине, а именно черемухи обыкновенной, ирги колосистой, рябины обыкновенной (красной). Эти плоды и ягоды способны обогатить готовые продукты витаминами, минеральными веществами, органическими кислотами, которые так необходимы организму человека для его развития и функционирования. Дубильные вещества, содержащиеся в данном сырье растительного происхождения, обладают бактерицидными свойствами, которые благотворно влияют на желудочно-кишечный тракт. Химический состав растительного сырья представлен в таблице 1.

Таблица 1 – Химический состав растительного сырья

	Черемуха обыкновенная	Ирга колосистая	Рябина обыкновенная (красная)
Дубильные вещества	до 25 %	до 0,8 %	до 0,74 %
Пектиновые вещества	до 1,1 %	до 3,7 %	до 20 %
Органические кислоты	до 260мг	до 1,04 %	до 3 %
Витамин А, РЭ	до 2330 мкг	до 1 мг	до 20 мг
Витамин С, аскорбиновая	4 мг	32,3 мг	200 мг
бета Каротин	14 мг	0,06 мг	18 %
Магний	0,9 мг	12,21 мг	1,46 мг
Фосфор		39,47 мг	68,6 мг
Железо	0,2 мг	0,93 мг	4,34 мг
Кобальт	10 мкг		0,07 мг
Калий		105,68 мг	1617 мг
Кальций		22,36 мг	370,4 мг
Марганец	1 мг		1,1 мг
Медь	100 мкг		0,67 мг
Цинк	0,3 мг	0,012 мг	1,2 мг

Особого внимания заслуживают пектиновые вещества – являясь природным энтеросорбентом, способны образовывать комплексы с вредными веществами (ионами тяжелый и радиоактивных металлов), поступающими в организм извне, и выводят их, не позволяя всасываться в кровь и не нарушая баланса внутренней среды; способствуют снижению уровня холестерина в крови, снижая развитие атеросклероза и минимизируя риск возникновения сердечно-сосудистых заболеваний; почти в три раза замедляют переваривание пищи, тем самым дают возможность биохимическим процессам проходить максимально полно, обеспечивая долее длительно чувство сытости; тормозят поступление сахара в кровь, оказывают помощь при всасывании углеводов и других веществ, что благотворно влияет на пищеварительную и эндокринную систему, исключая скачки сахара в крови. Кроме того, пектиновые вещества обладают желирующими, вяжущими и пенообразующими свойствами, что важно при создании различных десертов.

Ранее проведенные исследования свидетельствуют о возможности применения черемухи обыкновенной, ирги колосистой, рябины обыкновенной (красной) [2-6] в сухом, измельченном до состояния однородного порошка, виде в соотношении 1:2:1 соответственно, так как именно такое сочетание выбранных плодов и ягод формирует наилучшие органолептические показатели – приятный кремово-коричневый цвет, вкус молочный с легким миндально-фруктовым ароматом и привкусом. Кроме того, было изучено влияние растительной композиции из указанных плодов и ягод, на количественное содержание основных физико-химических показателей, оказывающих влияние на качество готового молочного десерта и установление его соответствия действующим требованиям НТД.

Но кроме полезных свойств данного продукта с использованием растительного сырья местного происхождения и вкусового удовлетворения потребителя, важным является формирование таких реологических показателей как степень взбитости и скорость таяния, которые имеют прямое влияние на высокое качество мороженого, его структуру, консистенцию [7, 8] и потребительские характеристики [9-11].

Условия и методы исследования

При проведении исследований была определена цель, направленная на обоснованное определение доли используемой растительной композиции от общей массы продукта, которая в наибольшей степени окажет благотворное влияние на реологические свойства молочного десерта, такие как степень взбитости и скорость таяния.

Степень взбитости характеризует количество воздуха в общей массе готового продукта. Важность данного показателя для замороженного молочного десерта значительна, так как наличие воздуха позволяет готовому продукту дольше не таять и не допускает переохлаждение полости рта. Кроме того, воздух формирует оптимальную консистенцию за счет образования мелкокристаллической структуры в процессе фризерования смеси мороженого. Оптимальная степень взбитости для молочного мороженого должна быть 50 % и более, для сливочного и пломбира – 60 % и более.

Скорость таяния является показателем, по которому можно оценивать процесс фризерования. Чем насыщенней воздухом мороженое при выходе из фризера, тем меньше изменится структура продукта во время его нахождения в закалочной камере, и тем лучше будет протекать процесс хранения.

Таким образом, в опытные образцы разрабатываемого продукта вносили растительную композицию от 5 до 30 процентов (с интервалом в 5%) и сравнивали их показатели с контрольным образцом, который произведен без растительного компонента.

Для получения достоверных и обобщенных данных по определению степени взбитости и скорости таяния проводили исследования молочного продукта с пятикратным повторением. Для проверки данных на наличие ошибок и вычисления среднего значения показателей по каждому опытному образцу. Результаты статистической обработки в виде графического представления приведены на рисунках 1 и 2.

На рисунке 1 представлены показатели, свидетельствующие о том, что образец № 5 характеризуется наибольшей степенью взбитости (62%). Такой результат свидетельствует об оптимальном содержании пектина, играющего роль пенообразующего и вяжущего вещества подобно стабилизатору [12]. В образцах с растительной композицией менее 20% степень взбитости составляет от 54 до 58%, что объясняется содержанием пектина недостаточным для формирования характерной для мороженого консистенции. При использовании композиции в количестве, превышающем 20% молочная смесь становится плотной, что в итоге препятствует стабилизации консистенции продукта.

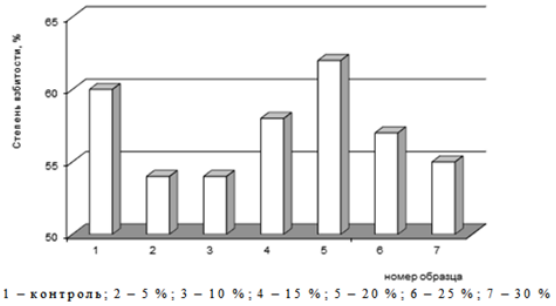


Рисунок 1 – Степень взбитости опытных образцов мороженого в сравнении с контрольным

На рисунке 2 представлены показатели скорости таяния молочного десерта. Так контрольный образец мороженого при температуре 25ºС через 6 минут оттаял на 10%, в течение следующих 6 минут оттаявшая смесь образца составила 60%, спустя еще 6 минут контрольный образец растаял на 85% и полное его оттаивание наступило через следующие 3 минут.

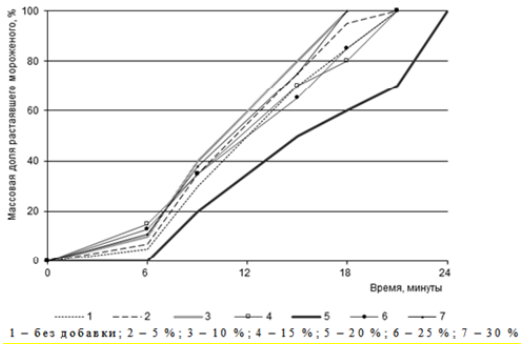


Рисунок 2 – Скорость таяния опытных образцов мороженого в сравнении с контрольным

Таяние образца под номером 2, за аналогичные промежутки времени, составило 10%, 70%, 95%, 100% соответственно; образца № 3 составило – 15%, 70%, 100%; образца № 4 составило – 15%, 65%, 80%, 100%; образца № 6 составило – 20%, 65%, 85%, 100%; образца № 7 составило – 20%, 70%, 100%.

Внимания заслуживает таяние образца № 5, которое несколько отличается от таяния других опытных образцов, так в первые 6 минут образец остался без изменений, в течение следующих 6 минут оттаявшая смесь составила 40%, затем 60%, через следующие 6 минут – 70 %, и полное его оттаивание наступило в течение следующих 6 минут.

По данным результатам образец № 5 является наилучшим, так как продолжительность таяния составила 24 минуты, и это значение на 3 минуты продолжительнее таяния контрольного образца. Таким образом данный контрольный образец способен дольше сохранять первоначальную структуру. А главное позволяет достоверно утверждать, что пектиновые вещества, содержащиеся в черемухе, ирге и рябине красной обладают вяжущими, пенообразующими свойствами и способны удерживать структуру продукта более длительное время при сокращении традиционно используемого стабилизирующего вещества.

Анализ полученных данных позволяет определить опытный образец №5 как наилучший, имеющий преимущества по качеству реологических показателей в сравнении с контрольным образцом.

Результаты исследований

Использование, в качестве добавки сухих измельченных плодов и ягод черемухи, ирги и рябины красной улучшает свойства готового продукта, от которых зависит консистенция и потребительские свойства в целом.

В результате проведенных исследований лучшим вариантом выбран опытный образец продукта с внесением добавки в количестве 20 % и рассчитана рецептура нового молочного десерта (табл. 2).

Таблица 2 – Расчет рецептуры нового молочного десерта

Составные компоненты	Мороженое		
	молочное	сливочное	пломбир
Молоко (жир 3,2 %)	600	500	200
Сливки (жир 40 %)	39,5	160	359
Сухое обезжиренное молоко	8,1	10,6	26,4
Сахар	130	120	120
Порошок из сухих плодов и ягод	200	200	200
Стабилизатор	2,5	2,5	2,5
Вода питьевая	19,9	6,9	92,1

На рисунке 3 представлены результаты по степени взбитости молочного десерта, из которых следует, что в образцах, содержащих растительную композицию исследуемый показатель превышает этот же показатель в контрольном образце на 2%. Причем такое изменение наблюдается как в молочном мороженом, так и в сливочном и в пломбире.

На увеличение степени взбитости влияет несколько факторов, а именно снижение сахарозы и сокращение молочного жира. Известно, что при снижении доли сахарозы до 12 %

взбиваемость смесей возрастает; чем меньше доля молочного жира, тем выше дисперсность воздуха в мороженом и выше его взбиваемость. Кроме того, растительная композиция, характеризующаяся высоким содержанием пектина, способствует улучшению исследуемого показателя за счет его уникальных свойств.

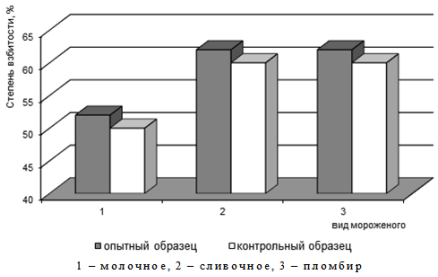


Рисунок 3 – Степень взбитости опытных образцов мороженого в сравнении с контрольным

На рисунке 4 представлены результаты по скорости таяния закаленного молочного десерта, при температуре окружающей среды 25°С, из которых следует, что молочное мороженое, сливочное и пломбир содержащие в своем составе растительную композицию таяли на 3 минуты дольше, чем контрольные образцы молочного мороженого, сливочного и пломбира.

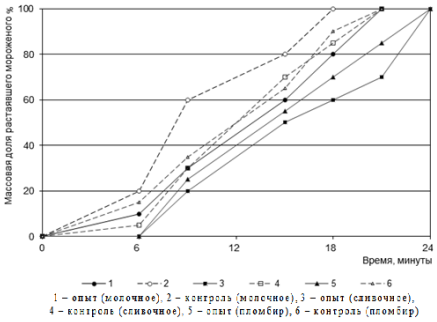


Рисунок 4 – Скорость таяния опытных образцов мороженого в сравнении с контрольным

Так же были проведены исследования микробиологических показателей готового продукта (табл. 3).

Таблица 3 – Микробиологические показатели исследуемых образцов

Составные компоненты	Мороженое		
	молочное	сливочное	пломбир
КМАФАнМ (КОЕ/куб.см (г))	10^3	10^3	10^3
БГКП	не выделено	не выделено	не выделено
Salmonella	не выделено	не выделено	не выделено
Staphylococcus aureus	не выделено	не выделено	не выделено
Колифаги	не выделено	не выделено	не выделено

Представленные результаты свидетельствуют о соответствии исследуемых образцов молочного продукта установленным требованиям по содержанию микрофлоры.

Обсуждение научных результатов

Анализируя представленные результаты исследования основных реологических показателей молочного десерта – мороженого, выявлено, что при использовании растительной композиции из черемухи обыкновенной, ирги колосистой и рябины обыкновенной (красной), в качестве добавки, наблюдается повышение степени взбитости на 2 % и увеличение продолжительности таяния закаленного продукта на 3 минуты в сравнении с мороженым без растительной добавки.

Таким образом можно утверждать, что пектиновые вещества улучшают реологическое показатели готового продукта благодаря формированию гелевой структуры, которая способна придать продукту вязкость и стабилизирующий эффект. Происходящие механизмы

включают водосвязывание, образование водородных связей и хелатирование с канионами, что приводит к загущению и стабилизации молочной смеси.

Заключение

Анализируя проводимые исследования, хотелось бы обратить внимание на возможность и важность создания молочных продуктов, содержащих в своем составе натуральные природные компоненты, которые могут минимизировать применение искусственных добавок, негативно влияющих на здоровье человека. Также появляется возможность частичной замены дорогостоящего молочного сырья на растительное, не снижая качественных характеристик готового продукта. Стоит отметить, что сырье молочного происхождения лучше всего гармонирует с растительным сырьем, а это предоставляет возможность создания множества продуктов переработки молочной промышленности в новом исполнении.

Список литературы

1. История мороженого [Электронный ресурс]. Режим доступа: https://mastermilk.com/blog/kak-poyavilos-morojenoe.
2. Phytoncides in the composition of common bird cherry / P.N. Naguman et al // News of the national academy of sciences of the republic of Kazakhstan series of biological and medical. – 2020. – № 5. – H. 76-81.
3. Uusitato M. European bird cherry (Prunus padus L.) – biodiverse wild plant for horticulture. MMT Agrifood Research Reports, 61. Finland, 2004.
4. Gram (-) microorganisms DNA polymerase inhibition, antibacterial and chemical properties of fruit and leaf extracts of Sorbus acuparia and Sorbus caucasica var. yaltirikii / H. Turumtay et al // Biomed. Chromatogr. – 2017. – № 31(6). https://doi.org/10.1002/bmc.3901.
5. Bioactive components and health benefits of Saskatoon berry / L. Zhao et al // Journal of Diabetes Research. – 2020. https://doi.org/10.1155/2020/3901636.
6. Kopcekova J. Phytonutrients of bilberry fruit and saskatoon berryin the prevention and treatment of dyslipidemia / J. Kopcekova, J. Mrázová // Roczniki Państwowego Zakładu Higieny. – 2022. – № 73(3). https://doi.org/10.32394/rpzh.2022.0216.
7. Творогова А. Характеристики мороженого высокого качества / А. Творогова, А. Спиридонова, Т. Коновалова // Империя холода. – 2015. – № 5. – С. 70-71.
8. Гиноян Р.В. Влияние содержание различных доз сухого обезжиренного молока на структурно-механические свойства смесей мороженого и энергопотребление технологического оборудования при производстве мороженого «пломбир» / Р.В. Гиноян, А.В. Пасин, А.С. Кулаткова // Вестник ВСГУТУ. – 2021. – № 2. – С. 18-24.
9. ГОСТ 31457-2012. Мороженое молочное, сливочное и пломбир. Технические условия. – Введ. 01.07.2013. – М.: Стандартинформ. – 2014. – 24 с.
10. Исследование воздушной фазы мороженого, содержащего НФ-концентрат творожной сыворотки / В.Н. Шохалова и др. // Молочнохозяйственный вестник. – 2017. – № 2. – С. 130-136.
11. Показатели качества мороженого с НФ-концентратом творожной сыворотки / В.Н. Шохалова и др. // Молочнохозяйственный вестник. – 2017. – № 4. – С. 142-148.
12. Пектин и его свойства [Электронный ресурс]. Режим доступа: https://www.palerom-kondi.ru/articles/pektin-i-ego-svoistva/.

References

1. Istoriya morozhenogo [Ehlektronnyi resurs]. Rezhim dostupa: https://mastermilk.com/blog/kak-poyavilos-morojenoe. (In Russian).
2. Phytoncides in the composition of common bird cherry / P.N. Naguman et al // News of the national academy of sciences of the republic of Kazakhstan series of biological and medical. – 2020. – № 5. – H. 76-81. (In English).
3. Uusitato M. European bird cherry (Prunus padus L.) – biodiverse wild plant for horticulture. MMT Agrifood Research Reports, 61. Finland, 2004. (In English).
4. Gram (-) microorganisms DNA polymerase inhibition, antibacterial and chemical properties of fruit and leaf extracts of Sorbus acuparia and Sorbus caucasica var. yaltirikii / N. Turumtay et al // Biomed. Chromatogr. – 2017. – № 31(6). https://doi.org/10.1002/bmc.3901. (In English).

5. Bioactive components and health benefits of Saskatoon berry / L. Zhao et al // Journal of Diabetes Research. – 2020. https://doi.org/10.1155/2020/3901636. (In English).
6. Kopcekova J. Phytonutrients of bilberry fruit and saskatoon berryin the prevention and treatment of dyslipidemia / J. Kopcekova, J. Mrázová // Roczniki Państwowego Zakładu Higieny. – 2022. – № 73(3). https://doi.org/10.32394/rpzh.2022.0216. (In English).
7. Tvorogova A. Kharakteristiki morozhenogo vysokogo kachestva / A. Tvorogova, A. Spiridonova, T. Konovalova // Imperiya kholoda. – 2015. – № 5. – S. 70-71. (In Russian).
8. Ginoyan R.V. Vliyanie soderzhanie razlichnykh doz sukhogo obezzhirennogo moloka na strukturno-mekhanicheskie svoistva smesei morozhenogo i ehnergopotreblenie tekhnologicheskogo oborudovaniya pri proizvodstve morozhenogo «plombiR» / R.V. Ginoyan, A.V. Pasin, A.S. Kulatkova // Vestnik VSGUTU. – 2021. – № 2. – S. 18-24. (In Russian).
9. GOST 31457-2012. Morozhenoe molochnoe, slivochnoe i plombir. Tekhnicheskie usloviya. – Vved. 01.07.2013. – M.: Standartinform. – 2014. – 24 s. (In Russian).
10. Issledovanie vozdushnoi fazy morozhenogo, soderzhashchego NF-kontsentrat tvorozhnoi syvorotki / V.N. Shokhalova i dr. // Molochnokhozyaistvennyi vestnik. – 2017. – № 2. – S. 130-136. (In Russian).
11. Pokazateli kachestva morozhenogo s NF-kontsentratom tvorozhnoi syvorotki / V.N. Shokhalova i dr. // Molochnokhozyaistvennyi vestnik. – 2017. – № 4. – S. 142-148. (In Russian).
12. Pektin i ego svoistva [Ehlektronnyi resurs]. Rezhim dostupa: https://www.palerom-kondi.ru/articles/pektin-i-ego-svoistva/. (In Russian).

Д.С. Свидерская[1*], Е.Ф. Краснопёрова[2], А.М. Шуленова[3], А.Б. Шуакбаева[4]
[1]Торайғыров атындағы университет,
140008, Қазақстан Республикасы, Павлодар қ., көш. Ломова 64
[2]Инновациялық Еуразия университеті,
140008, Қазақстан Республикасы, Павлодар қ., көш. Ломова 45
[3]Атындағы Қазақ агротехникалық зерттеу университеті. Сәкена Сейфуллина,
Қазақстан Республикасы, Астана қаласы, Жеңіс даңғылы, 62
[4]Астана медицина университеті,
010000, Қазақстан Республикасы Астана қ., Бейбітшілік к-сі, 49 а
*****e-mail: sofilsev@rambler.ru

БАЛМҰЗДАҚТЫҢ РЕОЛОГИЯЛЫҚ ҚАСИЕТТЕРІНЕ ЖАБАЙ ӨСЕТІН ЖЕМІСТЕР МЕН ЖИДЕКТЕРДІҢ ПЕКТИНДІ ЗАТТАРЫНЫҢ ӘСЕРІН ЗЕРТТЕУ.

Бұл мақалада сүтті десерт – балмұздақ өндірісінде жергілікті жабайы жемістер мен жидектерді, атап айтқанда кәдімгі құс шие, шпикелет ирги және қарапайым тау күлі (қызыл) қолдану мүмкіндігіне назар аударылады. Өсімдік тектес шикізат десерттердің қажетті реологиялық қасиеттерін қалыптастыру үшін маңызды болып табылатын гельдік, Тұтқыр және көбік түзетін қасиеттері бар пектиндік заттардың жоғары құрамымен сипатталады. Сонымен қатар, пектиндік заттар ағзаға сырттан келетін зиянды заттармен (ауыр және радиоактивті металдардың иондары) кешендер түзе алады және оларды қанға сіңуіне жол бермей және ішкі ортаның тепе-теңдігін бұзбай шығарады; зиянды микроорганизмдердің дамуын тежейтін жұқпалы аурулардың дамуына кедергі келтіретін Бактерияға қарсы қасиеттері; жалпы күшейтетін әсері бар көптеген дәрумендер адам ағзасына.

Ұсынылған өсімдік тектес композицияның сүтті десерт – балмұздақтың маңызды сапалық көрсеткіштеріне әсері туралы жүргізілген зерттеулердің нәтижелері көрсетілген. Дәл осы көрсеткіштер сүйікті тағамның тұрақты консистенциясын қалыптастырады, оған ауыз қуысының гипотермиясын тудырмай, мұздатылған өнімнің дәмі мен нәзіктігі тәуелді болады. Алынған мәліметтерді басшылыққа ала отырып, кептірілген ұнтақталған ирги жидектері мен құс шие мен қызыл тау күлінің жемістерінен алынған қоспаның оңтайлы мөлшері анықталды. Зерттелген реологиялық көрсеткіштер дайын сүт десертінде де зерттелді. Алынған нәтижелер балмұздақтың қолданыстағы нормативтік-техникалық құжаттамада көрсетілген талаптарға сәйкестігін көрсетеді.

Дайын өнімнің сапалық сипаттамаларын төмендетпей, жасанды қоспалар мен қымбат сүт шикізатының бір бөлігін алмастыра алатын табиғи компоненттермен байытылған сүтті қайта өңдеу өнімдерін құру перспективалары ұсынылған.

Түйін сөздер: *балмұздақ; қамшы дәрежесі; балқу жылдамдығы.*

D.S. Sviderskaya[1*], E.F. Krasnopyorova[2], A.M. Shulenova[3], A.B. Shuakbayeva[4]
[1] Toraigyrov University,
64 Lomova St., Pavlodar, Republic of Kazakhstan, 140008
[2] Innovative University of Eurasia,
Lomova str., 45, Pavlodar, Republic of Kazakhstan, 140008
[3] Kazakh Agrotechnical Research University named after Sakena Seifullina,
62 Zhenis ave., Astana, Republic of Kazakhstan
[4]Astana Medical University,
49aBeibitshilik str., Astana, 010000, Republic of Kazakhstan
*e-mail: sofilsev@rambler.ru

STUDY OF THE INFLUENCE OF PECTIN SUBSTANCES OF WILD GROWING FRUITS AND BERRIES ON THE RHEOLOGICAL PROPERTIES OF ICE CREAM

This article focuses on the possibility of using local wild fruits and berries, namely wild cherry, spiky irga and red mountain ash, in the production of milk dessert – ice cream. The indicated raw materials of plant origin are characterized by a high content of pectin substances with gelling, astringent and foaming properties, which are important for the formation of the necessary rheological properties of desserts. In addition, pectin substances are capable of forming complexes with harmful substances (heavy and radioactive metal ions) entering the body from the outside and removing them, preventing them from being absorbed into the blood and without disturbing the balance of the internal environment; antibacterial properties that prevent the development of infectious diseases, suppressing the development of harmful microorganisms; a large number of vitamins that have a restorative effect. on the human body.

The results of the conducted studies on the effect of the proposed composition of vegetable origin on such important qualitative indicators of milk dessert – ice cream as the degree of whipping and the melting rate of the product are presented. Since it is these indicators that form a stable consistency of your favorite delicacy, on which the taste perception and tenderness of the frozen product depend without causing hypothermia of the oral cavity. Based on the data obtained, the optimal amount of the additive was determined from dried powdered irga berries and fruits of wild cherry and red mountain ash. The rheological parameters studied were also studied in the finished milk dessert. The results obtained indicate that the ice cream meets the requirements set out in the current regulatory and technical documentation.

The prospects of creating milk processing products enriched with natural ingredients that can replace artificial additives and some expensive dairy raw materials without reducing the quality characteristics of finished products are presented.

Key words: *ice cream; degree of whipping; melting rate.*

Сведения об авторах

Диана Сергеевна Свидерская * – кандидат технических наук, доцент кафедры «Архитектура и дизайн»; Торайгыров университет, г. Павлодар, Республика Казахстан; e-mail: sofilsev@rambler.ru. ORCID: https://orcid.org/0000-0003-3329-1126.

Елена Францевна Краснопёрова – кандидат технических наук, профессор кафедры «Инженерия и промышленные технологии»; Инновационный Евразийский университет, г. Павлодар, Республика Казахстан; e-mail: kef.80@mail.ru. ORCID: https://orcid.org/0000-0002-9336-0026.

Асем Манарбековна Шуленова – магистр технических наук, докторант кафедры «Технология пищевых и перерабатывающих производств», Казахский агротехнический исследовательский университет им. Сакена Сейфуллина, г. Астана, Республика Казахстан; e-mail: shulenovaa@mail.ru. ORCID ID: https://orcid.org/0009-0003-2812-075X.

Аида Булатовна Шуакбаева – магистрант кафедры НИИ профилактической медицины имени академика Е.Д. Даленова, Медицинский университет Астана, г. Астана, Республика Казахстан; email: aidapvl76@gmail.ru. ORSID: https://orcid.org/0009-0003-4863-4782.

Авторлар туралы мәліметтер

Диана Сергеевна Свидерская * – техника ғылымдарының кандидаты, «Сәулет және дизайн» кафедрасының доценті; Торайғыров университеті, Павлодар қ., Қазақстан Республикасы; e-mail: sofilsev@rambler.ru. ORCID: https://orcid.org/0000-0003-3329-1126.

Елена Францевна Краснопёрова – техника ғылымдарының кандидаты, «Инженерия және өнеркәсіптік технологиялар» кафедрасының профессоры, Инновациялық Еуразия университеті, Павлодар қ., Қазақстан Республикасы; e-mail: kef.80@mail.ru. ORCID: https://orcid.org/0000-0002-9336-0026.

Әсем Манарбекқызы Шуленова – техника ғылымдарының магистрі, «Тамақ және қайта өңдеу өндірістерінің технологиясы» кафедрасының докторанты; Қазақ агротехникалық зерттеу университеті Сәкен Сейфуллин, Астана қ., Қазақстан Республикасы; e-mail: shulenovaa@mail.ru. ORCID: https://orcid.org/0009-0003-2812-075X.

Аида Булатовна Шуакбаева – Академик Е.Д. Дәленов атындағы профилактикалық медицина ғылыми-зерттеу институты магистранты, Астана медицина университеті, Астана қ., Қазақстан Республикасы; e-mail: aidapvl76@gmail.com. ORSID: https://orcid.org/0009-0003-4863-4782.

Information about the authors

Diana Sviderskaya* – candidate of technical science, docent of the department «Architecture and design», Toraighyrov University, Pavlodar c., Republic of Kazakhstan; e-mail: sofilsev@rambler.ru. ORCID: https://orcid.org/0000-0003-3329-1126.

Yelena Krasnopyorova – candidate of technical science, Professor of the Department of «Engineering and Industrial Technologies», Innovative University of Eurasia, Pavlodar c., Republic of Kazakhstan; e-mail: kef.80@mail.ru. ORCID: https://orcid.org/0000-0002-9336-0026.

Assem Shulenova – Master of Technical Sciences, Doctoral student of the department of «Food Technology and Processing Products» Saken Seifullin Kazakh Agrotechnical Research University, Astana c., Republic of Kazakhstan; e-mail: shulenovaa@mail.ru. ORCID: https://orcid.org/0009-0003-2812-075X.

Aida Shuakbayeva – Master student, Research Institute of Preventive Medicine named after Academician Y.D. Dalenov, Astana Medical University, Astana c., Republic of Kazakhstan; email: aidapvl76@gmail.com. ORSID: https://orcid.org/0009-0003-4863-4782.

Поступила в редакцию 01.10.2025
Поступила после доработки 03.12.2025
Принята к публикации 04.12.2025

https://doi.org/10.53360/2788-7995-2025-4(20)-61

CC BY 4.0
Check for updates

МРНТИ: 62.09.39

Т.Д. Икомбаев[1], А.Б. Омарова[2]*, Г.Т. Касенова[3], С.А. Шарипова[4], А.Оразбек[3]
[1]АО «Фонд науки»,
010000, Республика Казахстан, г.Астана, пр. Тәуелсіздік, ЗД. 41
[2]Казахский агротехнический исследовательский университет имени С. Сейфуллина»,
010011, Республика Казахстан, г. Астана, пр. Женис 62
[3]РГПП «Национальный референтный центр по ветеринарии»,
Республика Казахстан, г. Алматы, пр. Е. Серкебаева, дом 78
[4]Университет имени С.Д. Асфендиярова,
010011, Республика Казахстан, г. Алматы, Толе би 94
*e-mail: akonia-1989@mail.ru

ОПТИМИЗАЦИЯ И УСОВЕРШЕНСТВОВАНИЕ ТЕХНОЛОГИИ ПРОИЗВОДСТВА МЯГКОГО ТВОРОГА ИЗ КОЗЬЕГО МОЛОКА С ИСПОЛЬЗОВАНИЕМ НИЗКОКИСЛОТОПРОДУЦИРУЮЩИХ ПРОБИОТИЧЕСКИХ БАКТЕРИЙ

Аннотация: *Известно, что классический творог имеет более или менее кислый вкус, который не всегда удовлетворяет запрос потребителей. Поэтому, творог с более нежным вкусом и низкой кислотностью пользуется большим спросом. На сегодняшний день современный подход к науке в области биотехнологий дает возможность регулировать вкус творога с помощью заквасочных культур, которые улучшают питательную ценность конечного продукта.*

*В статье рассматривается усовершенствование технологии производства вязкопластичных кисломолочных продуктов на примере творога из козьего молока. Разработка технологии основана на минимизации термического воздействия и применении низкокислотопродуцирующих пробиотических штаммов отечественного происхождения (*Lacticaseibacillus paracasei, Lactococcus lactis, Bifidobacterium spp.*), адаптированных к ферментации козьего молока. Проведена оптимизация ключевых этапов технологического процесса, включая подготовку сырья, нормализацию, пастеризацию, выбор и применение заквасок, а также режимы сквашивания. В результате получен мягкий творожный продукт с нежной текстурой, умеренной кислотностью (около 68 °Т), приятными органолептическими характеристиками и высокой биологической ценностью. Установлено, что консорциум штаммов* L. paracasei Gch 5.2.1 *и* L. lactis 7-8 M

обеспечивает стабильное качество, пробиотическую активность и сохраняет нутритивные свойства сырья. Разработанная технология адаптирована к условиям малых форм производства и рекомендована для выпуска продуктов функционального и диетического назначения, в том числе для детей и лиц с заболеваниями ЖКТ.

***Ключевые слова**: козье молоко, творог, штамм, бифидобактерии, молочнокислые бактерии.*

В настоящее время наша страна переживает сложные положения в экономике и перемены, связанные с международной обстановкой. Для решения данного вопроса масштабно рассматриваются современные подходы, обеспечивающие качественный рост в отраслях агропромышленного производства, в том числе в молочной отрасли.

Известно, что основными составляющими агропромышленного комплекса Республики Казахстан являются молочное животноводство и молочная промышленность.

Проведенный мониторинг рынка молочной продукции Республики Казахстан выявил основную причину, связанную с дефицитом сырья, которая сдерживает развитие промышленного производства молочных продуктов. Дефицит в первую очередь обусловлен отсутствием культуры кормопроизводства и ухода за животными, слабой селекционно-племенной работой, сложностью сбора молока (большие расстояния сбора и доставки молока) [1].

Молоко и молочные продукты являются источником кальция, который является жизненно важным элементом для человека. Недостаток кальция в организме человека приводит к всасыванию и накоплению микроэлементов группы тяжелых металлов, представляющих угрозу для здоровья. Поэтому очень важно обогащать рацион каждого человека кальцием с целью профилактики кумуляций токсичных минеральных элементов в организме. Как известно, молоко характеризуется более высоким содержанием кальция, но надо отметить, что козье молоко по содержанию кальция стоит на первом месте [2].

Важным направлением агропромышленного комплекса нашей страны является молочное животноводство и молочная промышленность. Учеными Казахстана и специалистами по агробизнесу инвестиционного центра ФАО (FAO – Food and agriculture organization) также был проведен мониторинг по определению состояния производства и рынка молочной продукции, на основе которого была разработана стратегия развития молочного фермерства. Разработанная стратегия решает вопросы по улучшению сырьевой базы молокоперерабатывающих предприятий и повышению степени использования молока различных сельскохозяйственных животных для производства полноценных молочных продуктов как для массового, так и для специализированного питания населения [3].

В связи с этим перед нами встала задача рассмотреть возможность оптимизации технологии производства творога из козьего молока, обогащенного биологическими компонентами, что является актуальной задачей на сегодняшний день и соответствует концепции государства. Для решения данной задачи нами проведены исследования по обогащению творога активными заквасочными культурами молочнокислых и бифидобактерий с заданными пробиотическими свойствами, имеющиеся в нашей коллекции.

Известно, что козье молоко содержит богатый аминокислотный состав, состоящий из валина, лейцина, изолейцина, цистина и гистидина. Благодаря высокому содержанию ненасыщенных жирных кислот (67%) козье молоко имеет уникальное свойство, которое препятствует отложению холестерина в тканях организма человека.

В молочной промышленности наибольшую ценность представляет творог и продукты из него, обусловливающий богатым химическим составом с высокой степенью усвояемости. Так, творог благодаря своему составу и технологии производства считается уникальным кисломолочным продуктом. Он содержит большее количество белка, который необходим для строительства и восстановления тканей организма. Надо отметить, что белок творога усваивается организмом легко и быстро, благодаря чего он становится отличным выбором для спортсменов и людей, которые следят за здоровьем [4-6].

Таким образом, творог по составу, лечебным, профилактическим и диетическим свойствам является ценным продуктом питания. Их рекомендуют употреблять в пищу как детям, так и взрослым. Кроме того, творог нормализует работу желудочно-кишечного тракта, нервной системы, повышают уровень гемоглобина в крови, повышают иммунитет. Но только

при правильной технологии творог может обладать всеми полезными свойствами. Это зависит от выбора сырья, контроля качества, как исходного сырья, так и готового продукта [7, 8].

За последние несколько десятилетий экономическое значение козоводства во всем мире возросло. Молочное козоводство в нашей Республике является небольшим сегментом молочного рынка. Козы обладают многими преимуществами, которые позволяют им поддерживать продуктивность в экстремальных климатических и географических условиях. Среди домашних жвачных животных козы обладают самой высокой способностью эффективно перерабатывать корм в мясо и молоко. Кроме того, продукты из козьего молока считаются молочными продуктами с наибольшим маркетинговым потенциалом. Важно отметить, что ферментированное козье молоко, содержащее живые клетки-пробиотики, представляет собой группу продуктов с большими перспективами в отношении их питательных и лечебных свойств [9].

Методы исследования

При выполнении экспериментальных и аналитических исследований использовался комплекс общепринятых и стандартных методов: физико-химических, микробиологических и органолептических.

Определение массовой доли белка проводилось с помощью лабораторного метода Кьельдаля согласно ГОСТ 34454-2018. Методика включает обработку образца творога растворами, образование осадка, отделение осадка и измерение его для определения концентрации белка.

Определение массовой доли жира проводилось по методу Гербера в соответствии с ГОСТ 5867-90 «Молоко и молочные продукты. Метод определения жира по Герберу». Суть метода заключается в разрушении белков с помощью серной кислоты и последующем высвобождении жира, который отделяется в жиромере при центрифугировании. В градуированный жиромер вносили 10 мл серной кислоты, затем 10,75 мл исследуемого образца, добавляли 1 мл амилового спирта, тщательно перемешивали, центрифугировали в течение 5 минут и выдерживали в водяной бане при температуре 65 °C. Результаты определялись по шкале жиромера.

Определение массовой доли сухих веществ (обратным методом по влажности) проводилось по ГОСТ 3626-73 «Молоко и молочные продукты. Методы определения сухого вещества». Навеску продукта массой около 2 г помещали в предварительно высушенную и взвешенную чашку Петри, затем высушивали в сушильном шкафу при температуре 102–105 °C до постоянной массы. После охлаждения в эксикаторе проводилось повторное взвешивание, а содержание сухих веществ рассчитывали по формуле.

Определение титруемой кислотности проводилось титриметрическим методом согласно ГОСТ 3624-92 «Молоко и молочные продукты. Методы определения кислотности». Метод основан на нейтрализации кислот, содержащихся в молоке, раствором щёлочи. В 10 мл образца добавляли фенолфталеин в качестве индикатора и титровали 0,1 н. раствором гидроксида натрия до появления устойчивого розового окрашивания. Кислотность выражали в градусах Тернера (°Т).

Для определения фосфора в твороге использовался ГОСТ 31584-2012 с помощью спектрофотометрии для количественного определения общего фосфора в молочных продуктах.

Для определения кальция в твороге использовался ГОСТ 55331-2012, который основан на осаждении кальция оксалатом аммония в фильтрате, полученном после осаждения белков молока трихлоруксусной кислотой, и последующим титриметрическим определением массовой доли кальция.

Определение микробиологических показателей проводили по ГОСТ Р 53430-2009 «Молоко и продукты переработки молока. Методы микробиологического анализа» и ГОСТ 10444.

Определение количества мезофильных аэробных и факультативно-анаэробных микроорганизмов (КМАФАнМ) в твороге производили согласно ГОСТу 32901-2014). Для анализа готовится навеска продукта и ее ряд последовательных разведений в стерильной воде или физиологическом растворе. Определенное количество продукта или его разведения вносится в стерильные чашки Петри. Затем добавляется расплавленная и остуженная до 45°C агаризованная питательная среда (например, среда КМАФАнМ), и содержимое

тщательно перемешивается с соблюдением правил асептики. Засеянные чашки помещают в термостат при температуре (30±1)°С в течение 24-48 часов для инкубаций. По истечении времени инкубации производится подсчет всех выросших видимых колоний. Результаты выражают в колониеобразующих единицах на грамм продукта (КОЕ/г) с учетом разведения.

Методика определения БГКП в твороге включает приготовление разведений образца и их посев в питательную среду (например, среду Кесслер). Затем образцы инкубировали в термостате при 37°С в течение 18-24 часов, после чего наблюдали признаки роста, такие как образование газа и кислоты, что указывает на наличие БГКП.

Методика определения молочнокислых и бифидобактерий основана на посев специальные питательные среды, инкубирование при температуре 37-40°С в течение 24-48 часов. По истечении времени инкубации производится подсчет всех выросших видимых колоний. Результаты выражают в колониеобразующих единицах на грамм продукта (КОЕ/г) с учетом разведения.

Результаты исследований

Известно, что для производства кисломолочных продуктов функционального назначения имеет целесообразность применения заквасочных культур молочнокислых и бифидобактерий. В определённых условиях молочнокислые бактерии связывают кислород в растворенной среде, снижают окислительно-восстановительный потенциал и синтезируют факторы роста, за счет чего происходит активация роста и размножения бифидобактерий. Кроме того, активный рост молочнокислых бактерий повышает скорость молочнокислого брожения, что существенно снижает вероятность микробиологических рисков при производстве продуктов.

В этой связи была поставлена задача разработать творог из козьего молока с функциональным свойством. Выше было указано, что козье молоко обладает высокой пищевой ценностью, хорошей усвояемостью, а также гипоаллергенными свойствами по сравнению с коровьим молоком. Его белковый состав приближен к женскому грудному молоку, а содержание β-казеина и более мелких жировых глобул обеспечивает мягкую текстуру и благоприятные органолептические характеристики конечного продукта.

Для изготовления творога функционального назначения из козьего молока была использована ассоциация следующих культур: Lacticasei bacillus subsp. paracasei KAN EI 4, Lacticasei bacillus subsp. paracasei Gch 5.2.1, Bifidobacterium crudilactis 7-2C, Lactococcus lactis subsp. lactis 7-8 M, Lactococcus lactis subsp. lactis 7-1M, C Bifidobacterium crudilactis 7-6C, которые придают конечному продукту функциональность. Для ферментации козьего молока ассоциация культур была использована в виде культуральной жидкости. Наряду с этим, для сравнительного изучения качественных показателей разработанного нами творога была изготовлена проба творога также, на основе козьего молока традиционным способом.

Каждый штамм, входящий в состав ассоциации имеет уникальность по ряду критериев, предъявляемых к микроорганизмам, имеющим пробиотический потенциал.

Следующим этапом работы было определение органолептических и физико-химических показателей полученных проб творога по ГОСТу 31453-2013.

Органолептические и физико-химические показатели характеризуют пищевую и биологическую ценность конечного продукта.

Результаты исследований показаны в таблицах 1, 2, 3, 4, 5.

Результаты изучения органолептики показали, что все исследуемые пробы соответствовали стандарту. Все пробы, полученные на основе заквасочных культур по запаху, имели слабовыраженную кислотность и мягкий вкус без выраженной кислинки по сравнению с контрольной пробой. Надо отметить, что творог, полученный на основе консорциума из *Lacticasei bacillus subsp. paracasei Gch 5.2.1 + Lactococcus lactis subsp. lactis 7-8 M* имел более выраженный сладкий привкус и ароматный запах.

В результате проведенных исследований было установлено, что использование консорциумов молочнокислых и бифидобактерий для изготовления творога из козьего молока привело к значительному изменению физико-химических свойств по сравнению с творогом, изготовленным традиционным способом.

Образцы на основе пробиотических микроорганизмов имели значительно пониженную кислотность 51-68-79^{0}Т, в то время как творог, полученный традиционным способом, имел высокую кислотность 156^{0}Т. По массовой доле жира опытные партии творога также

значительно отличались от контрольной пробы. У контрольной пробы массовая доля жира равна 9,86%, тогда как в опытных пробах равна 16,33%, 21,09% и 20,80% соответственно. По массовой доле влаги опытные образцы имели высокий показатель 66,22%, 56,31% и 58,89%, контрольный образец имел 49,89% влаги.

Таблица 1 – Результаты определения органолептических показателей исследуемых проб творога

Исследуемые пробы творога	Наименование показателей и характеристика		
	Консистенция и внешний вид	Вкус и запах	Цвет
Творог, полученный традиционным способом (контроль)	Однородная, нежная, мелкозернистая, мажущаяся.	Чистый е выраженный кисломолочный запах и вкус, без постороннего вкуса и запаха	Молочно-белый по всей масса.
Творог на основе консорциума *Lacticasei bacillus subsp. Paracasei KAN EI 4+ C Bifidobacterium curdilactis 7-2C*	Однородная, нежная, мелкозернистая, мажущаяся.	Чистый, свойственный кисломолочному продукту, менее выраженный кислый запаз и вкус, без постороннего вкуса и запаха	Белый с кремовым оттенком по всей масса.
Творог на основе консорциума *Lacticasei bacillus subsp. paracasei Gch 5.2.1 + Lactococcus lactis subsp. lactis 7-8 M*	Однородная, нежная, мелкозернистая, мажущаяся.	Чистый, имеет ароматный кисломолочный запах и слабокислый, сладковатый вкус, не имеет постороннего вкуса и запаха.	Слегка кремовый равномерный.
Творог на основе консорциума *Lactococcus lactis subsp. lactis 7-1M + C Bifidobacterium curdilactis 7-6C*	Однородная, нежная, мелкозернистая, мажущаяся.	Чистый, кисломолочный, свойственный доброкачественному творогу, без постороннего вкуса и запаха	Молочно-белый по всей масса.

Таблица 2 – Результаты определения физико-химических свойств творога из козьего молока, приготовленного традиционным способом (контроль)

Наименование показателей, единицы измерения	Фактические результаты
Физико-химические показатели:	
-массовая доля белка, %	21,07
-массовая доля жира,%	9,86
-массовая доля углеводов, %	2,84
-массовая доля влаги, %	49,89+0,31
-титруемая кислотность, ^{0}Т	156
Энергетическая ценность, ккал	164,81
Минеральные элементы мг/100г	
-калий	643,08+4,32
-кальций	615,18+3,38
-фосфор	374,69+2,25

Таблица 3 – Результаты определения физико-химических свойств творога из козьего молока, приготовленного на основе консорциума *Lacticasei bacillus subsp. paracasei KAN EI 4+ C Bifidobacterium crudilactis 7-2C*

Наименование показателей, единицы измерения	Фактические результаты
Физико-химические показатели:	
-массовая доля белка, %	14,45+0,09
-массовая доля жира,%	16,33+0,15
-массовая доля углеводов, %	2,20+0,01
-массовая доля влаги, %	66,22+0,64
-титруемая кислотность, ^{0}Т	51
Энергетическая ценность, ккал	213,02
Минеральные элементы мг/100г	
-фосфор	0,208+0,0833
-кальций	0,151+0,02

Таблица 4 – Результаты определения физико-химических свойств творога из козьего молока, приготовленного на основе консорциума *Lacticasei bacillus subsp. paracasei Gch 5.2.1 + Lactococcus lactis subsp. lactis 7-8 M*

Наименование показателей, единицы измерения	Фактические результаты
Физико-химические показатели:	
-массовая доля белка, %	14,38±0,11
-массовая доля жира,%	21,09+0,23
-массовая доля углеводов, %	3,04+0,03
-массовая доля влаги, %	56,31±0,60
-титруемая кислотность, ^{0}Т	79
Энергетическая ценность, ккал	258,73
Минеральные элементы мг/100г	
-фосфор	0,211+0,002
-кальций	0,169+0,001

Таблица 5 – Результаты определения физико-химических свойств творога из козьего молока, приготовленного на основе консорциума *Lactococcus lactis subsp. lactis 7-1M + C Bifidobacterium crudilactis 7-6C*

Наименование показателей, единицы измерения	Фактические результаты
Физико-химические показатели:	
-массовая доля белка, %	14,6±0,13
-массовая доля жира,%	20,80+0,25
-массовая доля углеводов, %	2,66±0,04
-массовая доля влаги, %	58,89±0,47
-титруемая кислотность, ^{0}Т	68
Энергетическая ценность, ккал	255,57
Минеральные элементы мг/100г	
-фосфор	0,214+0,002
-кальций	0,155+0,02

Низкий показатель кислотности творожных продуктов, обогащенного пробиотическими микроорганизмами на основе козьего молока имеет допустимое значение. Полученный творог относится к жирной категорий, при этом низкая кислотность имеет допустимое значение.

В этом аспекте надо учитывать, что в разработке творога применялись пробиотические бакт**е**рий (*Lactobacillus paracasei*, *Lactococcus lactis*, *Bifidobacterium spp.*) с низкими кислотообразующими свойствами, что повлияло на кислотность конечного продукта. Также, надо отметить особенность козьего молока, который выражается слабым кислотообразующим свойством, чем коровье, за счет меньшего количества казеина, особенно αs1-казеина. Структура белков козьего молока менее устойчива к коагуляции – сгусток может образоваться при меньшей кислотности. Это молоко лучше переваривается, но медленнее закисает при тех же условиях.

Таким образом, полученный продукт сочетает функциональные свойства пробиотика с характерной структурой и вкусом традиционного творога, и может быть отнесён к категории продуктов с направленным оздоровительным действием.

Важно отметить, что микробиологическое исследование пробиотических кисломолочных продуктов является важным этапом в обеспечении качества и безопасности продукта, а также в подтверждении его пробиотических свойств. В этой связи было проведено исследование по определению микрофлоры полученных проб, которое состоит из анализа качественного и количественного состава микроорганизмов, в данном случае используемых для сквашивания заквасочных пробиотических культур. Важным аспектом при микробиологических исследований пробиотических продуктов функционального назначения является определение жизнеспособности и активности заквасочных микроорганизмов. Поэтому были определены качественные и количественные показатели микроорганизмов в исследуемом твороге. Результаты исследований показаны в таблице 6.

Результаты микробиологических исследований показали, что во всех образцах отсутствуют общие колиформные бактерии. У всех исследуемых проб творога бактериальная обсеменённость была в пределах 1,3-1,8x10^4.

Таблица 6 – Микробиологические показатели исследуемых проб творога на основе козьего молока

Исследуемые пробы творога	Микробиологические показатели		
	КМАФАнМ, КОЕ/г	Бактерии группы кишечной палочки, БГКП (коли-формы)	Молочнокислые и бифидобактерии КОЕ/г
Творог, полученный традиционным способом	$1,1x10^1$	Не обнаружено	$52x10^3$
Творог на основе консорциума *Lacticasei bacillus subsp. Paracasei KAN EI 4 + Bifidobacterium curdilactis 7-2C*	$1,7x10^2$	Не обнаружено	$11x10^7$
Творог на основе консорциума *Lacticasei bacillus subsp. paracasei Gch 5.2.1+ Lactococcus lactis subsp. lactis 7-8 M*	$1,2x10^2$	Не обнаружено	$28x10^7$
Творог на основе консорциума Консорциум *Lactococcus lactis subsp. lactis 7-1M + C Bifidobacterium curdilactis 7-6C*	$1,7x10^2$	Не обнаружено	$35x10^7$

Микрофлора обогащенных проб представлена молочнокислыми и бифидобактериями. В момент исследования количество микроорганизмов соответствовало требованиям стандартов ТР ТС 033/2013 [10]. Установлено, что содержание молочнокислых бактерий в продукте составляло не менее 10^7 КОЕ/г.

Идентификацию микроорганизмов до вида осуществляли с помощью микроскопирования, описания морфологических и культуральных признаков и проведения общепринятых биохимических тестов.

Обсуждение научных результатов

Известно, что для получения требуемых технологических свойств кисломолочных продуктов важную роль играет состав и количество микрофлоры закваски. Так, вкус, запах, консистенция, а также биологическая ценность конечного продукта формируется с участием продуктов жизнедеятельности заквасочных микроорганизмов. Ряд метаболитов заквасочных культур подавляют рост и размножение нежелательной микрофлоры и этим предопределяют лечебно-профилактические свойства продукции [11, 12].

Таким образом, полученные результаты доказывают, что новый вид творога из козьего молока можно считать продуктом функционального назначения.

Также нужно отметить, что полученный творог имеет уникальность, характеризующуюся низким показателем кислотности, что является оптимальным для детей раннего возраста и людей с проблемами желудочно-кишечного тракта.

Анализ полученных данных показывает, что все исследуемые пробы творога соответствовали нормам и обладают высокими технологическими свойствами.

Таким образом, по нашему мнению разработанные нами пробы творога по органолептическим показателям подходят для диетического и детского питания;

Данное исследование показывает способность и активность штаммов выживать в процессе изготовления, хранения и потребления продукта, а также в желудочно-кишечном тракте.

Заключение

В настоящей работе были получены результаты по усовершенствованию технологии производства творога за счёт применения козьего молока, которое обладает высокой биологической ценностью и считается более близким по составу к материнскому молоку, что делает его привлекательной альтернативой в детском и диетическом питании.

Следует отметить, что оптимизация рецептурно-компонентного состава творога на основе козьего молока была достигнута за счёт использования отечественных пробиотических заквасок, выделенных из традиционных кисломолочных продуктов, характерных для рациона населения Республики Казахстан.

По реологическим свойствам разработанный творог из козьего молока на основе отечественных заквасочных микроорганизмов *Lacticasei bacillus subsp. paracasei Gch 5.2.1 + Lactococcus lactis subsp. lactis 7-8 M* Благодаря используемым закваскам творо имел рассыпчатую структуру, приятный сливочный вкус и стабильное качество в течение срока хранения.

Полученный творог по основным параметрам отличался от стандартного творога и его уникальность заключался в том, что он имел низкую кислотность, нежную текстуру, а также

он был обогащен витаминами, микроэлементами и другими полезными для человека веществами, синтезируемыми заквасочными культурами. Было установлено, что использование консорциумов молочнокислых и бифидобактерий для изготовления творога из козьего молока привело к значительному изменению физико-химических свойств по сравнению с творогом, изготовленным традиционным способом.

Образцы на основе пробиотических микроорганизмов имели значительно пониженную кислотность 51-68-79^{0}Т, в то время как творог, полученный традиционным способом, имел высокую кислотность 156^{0}Т. По массовой доле жира опытные партии творога также значительно отличались от контрольной пробы. У контрольной пробы массовая доля жира равна 9,86%, тогда как в опытных пробах равна 16,33%, 21,09% и 20,80% соответственно. По массовой доле влаги опытные образцы имели высокий показатель 66,22%, 56,31% и 58,89%, контрольный образец имел 49,89% влаги.

На основании выше сказанного разработанный продукт может быть рекомендован в качестве профилактического и лечебного питания как и для взрослых так для детей раннего возраста..

Было установлено, что наилучшими органолептическими и физико-химическими показателями обладал творог, содержащий консорциум из штаммов *Lacticasei bacillus subsp. paracasei Gch 5.2.1 + Lactococcus lactis subsp. lactis 7-8 M.*

Таким образом, штаммы *Lacticasei bacillus subsp. paracasei Gch 5.2.1* и *Lactococcus lactis subsp. lactis 7-8 M* рекомендуются для дальнейшего применения в пищевой и биотехнологической промышленности как высокоэффективные пробиотичекие микроорганизмы, соответствующие критериям безопасности и функциональности.

Список литературы

1. Нурпеисова М.М. Анализ рынка молочной продукции в Республике Казахстан / М.М. Нурпеисова // Ізденістер, нәтижелер – Исследования, результаты. – 2016. – № 3 (71). – С. 325-329.
2. Индра Р. Молочная продуктивность, состав и свойства молока различных видов сельскохозяйственных животных, разводимых в МНР: дис. … д-ра техн. наук. – София, 2003.
3. Гаврилова Н.Б. Биотехнологические аспекты производства творожного продукта на основе козьего молока / Н.Б. Гаврилова, М.В. Темербаева // Вестник Омского ГАУ. – 2017. – № 3 (27). – С. 143-149.
4. Ермолаев А.О. Функциональный творожный продукт, обогащенный нетрадиционными растительными компонентами / А.О. Ермолаев, К.Р. Бабухадия, Е.И. Решетник // Новые технологии. – 2021. – Т. 17. – № 4. – С. 62-71.
5. Pastukh O.N. Influence of various factors on the yield and quality of cottage cheese / O.N. Pastukh // Collection of abstracts of speeches: Proc. Int. Conf. – 2018. – P. 114-120.
6. Конева Д.А. Разработка технологии творожных продуктов с пробиотическими свойствами: дис. … канд. техн. наук: 05.18.04 / Конева Дарья Андреевна. – 2016. – 342 с.
7. Shuvarikov A.S. Technological features of goat milk / A.S. Shuvarikov, O.N. Pastukh // Reports of the TAA. – 2019. – P. 528-531.
8. Quality of white cheese made from cow's and goat's milk / A.V. Matyushenko et al // Contribution of young scientists to agricultural science: Mater. Int. Sci.-Pract. Conf. – 2019. – P. 489-491.
9. Pastukh O.N. The use of cow's and goat's milk in the technology of cottage cheese and cheese / O.N. Pastukh, E.V. Zhukova // E3S Web of Conferences. – 2021. – Vol. 282. – Art. 01001 (EFSC2021).
10. Технический регламент Таможенного союза ТР ТС 033/2013 «О безопасности молока и молочной продукции».
11. Наумова Н.Л. Изучение пробиотических культур обогащенного творога / Н.Л. Наумова, А.Б. Образцов, Г.С. Тарасова // Вестник Алтайского государственного аграрного университета. – 2016. – № 6 (140). – С. 172-176.

12. Silva M.C. Fermented goat milk and health benefits: A review / M.C. Silva, H.L. Silva, M.C. Costa // Critical Reviews in Food Science and Nutrition. – 2017. – Vol. 57, Issue 17. – P. 3567-3578. https://doi.org/10.1080/10408398.2016.1205796.

References

1. Nurpeisova M.M. Analiz rynka molochnoi produktsii v Respublike Kazakhstan / M.M. Nurpeisova // Izdenister, nətizheler – Issledovaniya, rezul'taty. – 2016. – № 3 (71). – S. 325-329. (In Russian).
2. Indra R. Molochnaya produktivnost', sostav i svoistva moloka razlichnykh vidov sel'skokhozyaistvennykh zhivotnykh, razvodimykh v MNR: dis. … d-ra tekhn. nauk. – Sofiya, 2003. (In Russian).
3. Gavrilova N.B. Biotekhnologicheskie aspekty proizvodstva tvorozhnogo produkta na osnove koz'ego moloka / N.B. Gavrilova, M.V. Temerbaeva // Vestnik Omskogo GAU. – 2017. – № 3 (27). – S. 143-149. (In Russian).
4. Ermolaev A.O. Funktsional'nyi tvorozhnyi produkt, obogashchennyi netraditsionnymi rastitel'nymi komponentami / A.O. Ermolaev, K.R. Babukhadiya, E.I. Reshetnik // Novye tekhnologii. – 2021. – T. 17. – № 4. – S. 62-71. (In Russian).
5. Pastukh O.N. Influence of various factors on the yield and quality of cottage cheese / O.N. Pastukh // Collection of abstracts of speeches: Proc. Int. Conf. – 2018. – P. 114-120. (In English).
6. Koneva D.A. Razrabotka tekhnologii tvorozhnykh produktov s probioticheskimi svoistvami: dis. … kand. tekhn. nauk: 05.18.04 / Koneva Dar'ya Andreevna. – 2016. – 342 s. (In Russian).
7. Shuvarikov A.S. Technological features of goat milk / A.S. Shuvarikov, O.N. Pastukh // Reports of the TAA. – 2019. – P. 528-531. (In English).
8. Quality of white cheese made from cow's and goat's milk / A.V. Matyushenko et al // Contribution of young scientists to agricultural science: Mater. Int. Sci.-Pract. Conf. – 2019. – P. 489-491. (In English).
9. Pastukh O.N. The use of cow's and goat's milk in the technology of cottage cheese and cheese / O.N. Pastukh, E.V. Zhukova // E3S Web of Conferences. – 2021. – Vol. 282. – Art. 01001 (EFSC2021). (In English).
10. Tekhnicheskii reglament Tamozhennogo soyuza TR TS 033/2013 «O bezopasnosti moloka i molochnoi produktsiI». (In Russian).
11. Naumova N.L. Izuchenie probioticheskikh kul'tur obogashchennogo tvoroga / N.L. Naumova, A.B. Obraztsov, G.S. Tarasova // Vestnik Altaiskogo gosudarstvennogo agrarnogo universiteta. – 2016. – № 6 (140). – S. 172-176. (In Russian).
12. Silva M.C. Fermented goat milk and health benefits: A review / M.C. Silva, H.L. Silva, M.C. Costa // Critical Reviews in Food Science and Nutrition. – 2017. – Vol. 57, Issue 17. – P. 3567-3578. https://doi.org/10.1080/10408398.2016.1205796. (In English).

Т.Д. Икомбаев[1], А.Б. Омарова[2]*, Г.Т. Қасенова[3], С.А. Шарипова[4], А. Оразбек[3]
[1]АҚ «Ғылым Қоры»,
010000, Қазақстан Республикасы, Астана қаласы, Тәуелсіздік даңғылы 3Д., 41
[2]С. Сейфуллин атындағы Қазақ агротехникалық зерттеу университеті,
010011, Қазақстан Республикасы, Астана қаласы, Жеңіс даңғылы, 62
[3]«Ветеринария жөніндегі ұлттық референттік орталық» РМК,
Қазақстан Республикасы, Алматы қ., Е. Серкебаев даңғылы, 78 үй
[4]С.Д. Асфендияров атындағы Университет,
010011, Қазақстан Республикасы, Алматы қ., Төле би 94
*e-mail:akonia-1989@mail.ru

ТӨМЕНГІ ҚЫШҚЫЛДЫҚ ТҮЗЕТІН ПРОБИОТИКАЛЫҚ БАКТЕРИЯЛАРДЫ ПАЙДАЛАНА ОТЫРЫП, ЕШКІ СҮТІНЕН ЖҰМСАҚ СҮЗБЕ ӨНДІРУ ТЕХНОЛОГИЯСЫН ОҢТАЙЛАНДЫРУ ЖӘНЕ ЖЕТІЛДІРУ

Классикалық сүзбенің азды-көпті қышқыл дәмі бар екені белгілі, ол әрқашан тұтынушылардың сұранысын қанағаттандырмайды. Сондықтан нәзік дәмі мен қышқылдығы төмен сүзбе үлкен сұранысқа ие. Бүгінгі таңда биотехнология ғылымына заманауи көзқарас соңғы өнімнің тағамдық құндылығын жақсартатын ашытқылар арқылы сүзбе дәмін реттеуге мүмкіндік береді.

Мақалада ешкі сүтінен жасалған сүзбе мысалында тұтқыр пластикалық ашытылған сүт өнімдерін өндіру технологиясын жетілдіру қарастырылады. Технологияның дамуы термиялық әсерді азайтуға және ешкі сүтін ашытуға бейімделген отандық төмен қышқылды пробиотикалық штаммдарды қолдануға негізделген (Lacticaseibacillus paracasei, Lactococcus lactis, Bifidobacterium spp.). Шикізатты дайындау, қалыпқа келтіру, пастерлеу, ашытқыны таңдау және қолдану, сондай-ақ ашыту режимдерін қоса алғанда, технологиялық процестің негізгі кезеңдерін оңтайландыру жүргізілді. Нәтижесінде жұмсақ құрылымы, орташа қышқылдығы (шамамен 68°T), жағымды органолептикалық сипаттамалары және жоғары биологиялық құндылығы бар сүзбе алынды. L. paracasei Gch 5.2.1 және L. lactis 7-8 M штаммдарының консорциумы тұрақты сапаны, пробиотикалық белсенділікті қамтамасыз ететіні және шикізаттың қоректік қасиеттерін сақтайтыны белгілі болды. Әзірленген технология өндірістің шағын нысандарының жағдайларына бейімделген және функционалдық және диеталық мақсаттағы өнімдерді, соның ішінде балалар мен асқазан-ішек аурулары бар адамдарға шығару үшін ұсынылады.

Түйін сөздер: *ешкі сүті, сүзбе, штамм, бифидобактериялар, сүт қышқылы бактериялары.*

T.D. Ikombayev[1], A.B. Omarova[2*], G.T. Kassenova[3], S.A. Sharipova[4], A. Orazbek[3]
[1]JSC «Science Foundation»,
010000, Republic of Kazakhstan, Astana, Tauelsizdik Ave., ZD. 41
[2]NJSC «Kazakh Agrotechnical Research university named after S. Seifullina»,
010011,Republic of Kazakhstan, Astana, Jenis, 62
[3]RC NTsRV «National Reference Center for Veterinary Medicine»,
Republic of Kazakhstan, Almaty, 78 E. Serkebayev Avenue
[4]S.D. Asfendiyarov Kazakh National Medical University,
010011, Republic of Kazakhstan, Almaty, 94 Tole Bi Avenue
*e-mail:akonia-1989@mail.ru

OPTIMIZATION AND IMPROVEMENT OF TECHNOLOGY FOR THE PRODUCTION OF SOFT COTTAGE CHEESE FROM GOAT'S MILK USING LOW-ACID-PRODUCING PROBIOTIC BACTERIA

It is known that classic cottage cheese has a more or less sour taste, which does not always satisfy the consumer's request. Therefore, cottage cheese with a more delicate taste and low acidity is in high demand. Today, a modern approach to science in the field of biotechnology makes it possible to regulate the taste of cottage cheese using starter cultures that improve the nutritional value of the final product.

The article discusses the improvement of technology for the production of viscoplastic fermented milk products using the example of cottage cheese from goat's milk. The technology development is based on minimizing thermal effects and the use of low-acid-producing probiotic strains of domestic origin (Lacticaseibacillus paracasei, Lactococcus lactis, Bifidobacterium spp.) adapted to the fermentation of goat's milk. The key stages of the technological process have been optimized, including the preparation of raw materials, normalization, pasteurization, selection and use of starter cultures, as well as fermentation modes. The result is a soft curd product with a delicate texture, moderate acidity (about 68°C), pleasant organoleptic characteristics and high biological value. It was found that a consortium of L.paracasei Gch 5.2.1 and L. lactis 7-8 M strains ensures stable quality, probiotic activity and preserves the nutritional properties of raw materials. The developed technology is adapted to the conditions of small-scale production and is recommended for the production of functional and dietary products, including for children and people with gastrointestinal diseases.

Key words: *goat milk, cottage cheese, strain, bifidobacteria, lactic acid bacteria.*

Сведения об авторах

Талгат Дюсюмбекович Икомбаев – магистр технических наук, главный менеджер департамента коммерциализации и технологий АО «Фонд науки», PhD докторант Евразийского инновационного университета, Астана, Казахстан; e-mail: talgat_ikombaev@mail.ru. ORCID: https://orcid.org/0000-0002-0035-1332.

Аккенже Бердихановна Омарова*– доктор философии (PhD), старший преподаватель кафедры «Микробиология и биотехнология», Казахский агротехнический исследовательский университет имени С. Сейфуллина, Астана, Казахстан; e-mail: akonia-1989@mail.ru. ORCID: https://orcid.org/0000-0002-9255-1672.

Гульмира Тынышбаевна Касенова – кандидат ветеринарных наук, доцент, научный сотрудник РГП на ПХВ «Национальный референтный центр по ветеринарии», Алматы, Казахстан; e-mail: gulmirakassenova1970@mail.ru. ORCID: https://orcid.org/0000-0001-9775-3970.

Саржан Аубакировна Шарипова – ассоциированный профессор кафедры фармацевтической химии, Казахский национальный медицинский университет имени С.Д. Асфендиярова, Алматы, Казахстан; e-mail: sarzhan.sharipova@mail.ru. ORCID: https://orcid.org/0000-0001-9072-3859.

Ақ Ниет Жақыпбекқызы Оразбек – главный специалист отдела микробиологических и паразитологических исследований лаборатории анализа пищевой продукции Алматинского филиала РГП на ПХВ «Референтный центр по ветеринарии» Комитета ветеринарного контроля и надзора Министерства сельского хозяйства Республики Казахстан, Алматы, Казахстан; e-mail: orazbekova.aqniet@mail.ru. ORCID: https://orcid.org/0009-0008-0731-2281.

Авторлар туралы мәліметтер

Талғат Дюсюмбекович Икомбаев – техника ғылымдарының магистрі, «Ғылым қоры» АҚ коммерцияландыру және технологиялар департаментінің бас менеджері, Инновациялық Еуразия университетінің PhD докторанты, Астана қ., Қазақстан; e-mail: talgat_ikombaev@mail.ru. ORCID: https://orcid.org/0000-0002-0035-1332.

Аккенже Бердіханқызы Омарова* – философия докторы (PhD), «Микробиология және биотехнология» кафедрасының аға оқытушысы, С. Сейфуллин атындағы Қазақ агротехникалық зерттеу университеті, Астана қ., Қазақстан; e-mail: akonia-1989@mail.ru. ORCID: https://orcid.org/0000-0002-9255-1672.

Гүлмира Тынышбайқызы Қасенова – ветеринария ғылымдарының кандидаты, доцент, «Ветеринария жөніндегі ұлттық референттік орталық» РМК ғылыми қызметкері, Алматы қ., Қазақстан; e-mail: gulmirakassenova1970@mail.ru. ORCID: https://orcid.org/0000-0001-9775-3970.

Саржан Әубәкірқызы Шәріпова – фармацевтикалық химия кафедрасының қауымдастырылған профессоры, С.Д. Асфендияров атындағы Қазақ ұлттық медицина университеті, Алматы қ., Қазақстан; e-mail: sarzhan.sharipova@mail.ru. ORCID: https://orcid.org/0000-0001-9072-3859.

Ақ Ниет Жақыпбекқызы Оразбек – «Ветеринария жөніндегі референттік орталық» шаруашылық жүргізу құқығындағы республикалық мемлекеттік кәсіпорнының Алматы филиалы жанындағы «Тамақ өнімдерін талдау» зертханасының «Микробиологиялық және паразитологиялық зерттеулер» бөлімінің бас маманы, ҚР Ауыл шаруашылығы министрлігі Ветеринариялық бақылау және қадағалау комитеті, Алматы қ., Қазақстан; e-mail: orazbekova.aqniet@mail.ru. ORCID: https://orcid.org/0009-0008-0731-2281.

Information about the authors

Talgat Dyusyumbekovich Ikombaev – Master of Technical Sciences, PhD student at the Innovative University of Eurasia, Pavlodar, Kazakhstan. Manager of the Department of Commercialization and Technology, JSC «Science Foundation», Astana, Kazakhstan; e-mail: talgat_ikombaev@mail.ru. ORCID: https://orcid.org/0000-0002-0035-1332.

Akkenzhe Berdikhanovna Omarova* – Doctor of Philosophy (PhD), Senior Lecturer, Department of Microbiology and Biotechnology, S. Seifullin Kazakh Agrotechnical Research University (KATRU), Astana, Kazakhstan; e-mail: akonia-1989@mail.ru. ORCID: https://orcid.org/0000-0002-9255-1672.

Gulmira Tynyshbaevna Kasenova – Candidate of Veterinary Sciences, Associate Professor, Researcher at the National Reference Center for Veterinary Medicine, Almaty, Kazakhstan; e-mail: gulmirakassenova1970@mail.ru. ORCID: https://orcid.org/0000-0001-9775-3970.

Sarzhan Aubakirovna Sharipova – Associate Professor, Department of Pharmaceutical Chemistry, S. D. Asfendiyarov Kazakh National Medical University, Almaty, Kazakhstan; e-mail: sarzhan.sharipova@mail.ru. ORCID: https://orcid.org/0000-0001-9072-3859.

Ak Niyet Zhakypbekkyzy Orazbek – Chief Specialist of the Department of Microbiological and Parasitological Research, Laboratory for Food Product Analysis, Almaty Branch of the Republican State Enterprise on the Right of Economic Management «Reference Center for Veterinary Medicine», Committee for Veterinary Control and Supervision, Ministry of Agriculture of the Republic of Kazakhstan, Almaty, Kazakhstan; e-mail: orazbekova.aqniet@mail.ru. ORCID: https://orcid.org/0009-0008-0731-2281.

Поступила в редакцию 23.09.2025
Поступила после доработки 27.11.2025
Принята к публикации 28.11.2025

https://doi.org/10.53360/2788-7995-2025-4(20)-62

BY 4.0
Check for updates

МРНТИ 65.31.01; 65.31.09

А.С. Шаяхметова, Д.Е. Иль, Ф.К. Муканова, Ч. Цзян, Е.Е. Ермеков*
Северо-Казахстанский университет им. М. Козыбаева,
150000, Республика Казахстан, г. Петропавловск, ул. Пушкина, 86
*e-mail: eeermekov@ku.edu.kz

ОЦЕНКА КАЧЕСТВА КОРМОВ И БИОХИМИЧЕСКИХ ПОКАЗАТЕЛЕЙ КРОВИ МОЛОЧНЫХ КОРОВ

Аннотация: *Представлены результаты оценки качества кормов (сенаж и силос) и биохимических показателей крови молочных коров в условиях опытного хозяйства. Проанализированы четыре образца кормов (два образца сенажа люцерны, зерносенаж и силос кукурузный) и 12 проб крови от дойных коров. Установлено, что все исследованные корма соответствуют нормативным требованиям по показателям ферментации и питательности: оптимальная влажность, преобладание молочной кислоты над уксусной, низкое содержание масляной кислоты (<0,1%) и аммиачного азота, отсутствие признаков порчи. Биохимические показатели сыворотки крови коров находятся в пределах физиологической нормы: общий белок 75-79 г/л, глюкоза 2,4-2,8 ммоль/л, мочевина 3,2-3,9 ммоль/л, активность печёночных ферментов (АЛТ, АСТ) незначительно превышает референтные значения. Полученные данные отражают стабильный обмен веществ и нормальное физиологическое состояние животных при кормлении качественными сенажом и силосом. Сделан вывод, что уровень питательности заготовленных кормов обеспечивает потребности коров без метаболических нарушений: рационы сбалансированы, что подтверждается нормальными биохимическими константами крови и высокой молочной продуктивностью животных.*

Ключевые слова: *сенаж, силос, кормовое качество, биохимия крови, обмен веществ, коровы, физиологическое состояние.*

Введение

Рациональное кормление молочных коров является основой их здоровья, высокой продуктивности и качества получаемого молока [1, 2]. Сочные корма (силос, сенаж) должны удовлетворять нормативным требованиям по питательной ценности и качеству консервирования, так как отклонения в их качестве могут приводить к нарушениям обмена веществ у животных [3, 4]. При силосовании и сенажировании происходят сложные микробиологические процессы ферментации, от эффективности которых зависит сохранность питательных веществ корма [5]. Если в корме накапливаются нежелательные продукты (масляная кислота, избыточный аммиак), либо снижается энергетическая ценность, это негативно сказывается на обменных процессах у коров [6]. С другой стороны, высококачественные корма способствуют поддержанию нормального физиологического состояния: обеспечивают адекватный уровень энергии, протеина, минералов и витаминов, что отражается в показателях крови животных [1, 3, 7]. Корма в молочном животноводстве следует рассматривать как первый технологический этап пищевой цепи «корм – животное – молоко – переработка – готовый продукт». Именно на стадии заготовки и хранения сенажа и силоса закладываются параметры будущей технологической ценности молока: устойчивость к тепловой обработке, способность к коагуляции белков, кислотостойкость и микробиологическая стабильность.

Биохимический анализ крови – информативный инструмент контроля состояния обмена веществ у коров [8]. Качество молочного сырья формируется не только технологическими операциями переработки, но и на стадии первичного производства – через систему кормления и метаболический статус животных. Биохимическое состояние организма коров отражает эффективность использования питательных веществ рациона и напрямую связано с формированием состава молока (содержание белка, жира, лактозы), а также с санитарно-гигиеническими показателями сырья, включая уровень соматических клеток и устойчивость к микробиологическим рискам. В этой связи анализ кормов и биохимических показателей крови следует рассматривать как элемент технологической цепочки обеспечения качества и безопасности молока как пищевого продукта. У здоровых продуктивных животных

основные показатели крови находятся в типичных референсных диапазонах: общий белок 60-85 г/л (у высокопродуктивных до ~ 89 г/л), глюкоза 2,3-4,1 ммоль/л, мочевина 3-7 ммоль/л и т.д. Отклонения от нормы могут сигнализировать о дисбалансе в рационе или начале патологических процессов [9]. Так, снижение общего белка в крови указывает на дефицит протеина в корме или нарушения печени, а повышение мочевины – на избыток протеина или нехватку энергии в рационе [2, 4].

В данной работе проведена комплексная оценка качества кормов (сенаж и силос) и состояния белкового, углеводного, минерального обмена у дойных коров по биохимическим параметрам крови.

Материалы и методы

Объектом исследования служили четыре образца кормов, заготовленных в хозяйстве: сенаж люцерны (образец № 1), зерносенаж из злаково-бобовой смеси (образец № 2), сенаж люцерны повторного укоса (образец № 3) и силос кукурузный (образец № 4) [1, 2], отобранные образцы крови животных.

Пробы кормов отбирали из разных силосных траншей [3]. Анализ качества кормов проводили по органолептическим и физико-химическим показателям в соответствии с ГОСТ 23638-90 «Силос из зеленых растений. Технические условия» [4]. Определяли массовую долю сухого вещества высушиванием при 105 °С (Анализатор влажности Ohaus MB23), активную кислотность (pH) кормовой массы (PH-метр/ионометр Mettler-Toledo SevenCompact), содержание продуктов брожения: молочной, уксусной и масляной кислот (титриметрически), аммиачного азота по методу дистилляции (роторный испаритель IKA, RV 8 V Starter Solution) [5, 6]. Химический состав кормов: сырой протеин по Кьельдалю (СибАгроПрибор, система «Кельтран»), сырую клетчатку, золу – по стандартным методикам [2, 5]. Показатели питательности (переваримость, обменная энергия) рассчитывали по табличным коэффициентам [7].

Биохимические исследования крови. Параллельно с оценкой кормов проведён анализ крови 12 клинически здоровых молочных коров симментальской породы в середине лактации [8]. Образцы крови отбирали из яремной вены утром, до кормления животных. Из сыворотки крови определяли: общий белок и альбумин рефрактометрически и колориметрически с бромкрезоловым зелёным, мочевину ферментативно-колориметрически, глюкозу глюкозооксидазным методом, общие липиды: холестерин (энзиматически) и триглицериды, ферменты: аланин- и аспартатаминотрансферазу спектрофотометрически, по активности, щелочную фосфатазу, амилазу панкреатическую по диастазной активности (Shimadzu, UV-1900i Plus) [8, 9]. Концентрации минеральных веществ измеряли ион-селективными методами: кальций и неорганический фосфор (колориметрически), а также электролиты плазмы – натрий, калий, хлориды – на автоматическом анализаторе [10]. Каждую пробу анализировали в лаборатории с использованием наборов реактивов и биохимического анализатора HTI BioChem FC-120. Полученные значения сравнивали с референтными интервалами для крови крупного рогатого скота [8].

Этические аспекты. Отбор проб крови осуществлялся в соответствии с требованиями национальных нормативных документов по обращению с сельскохозяйственными животными и в соответствии с принципами Европейской конвенции по защите позвоночных животных, используемых в экспериментальных целях (ETS No.123). Все процедуры выполнялись квалифицированным ветеринарным специалистом с соблюдением принципов animal welfare и минимизацией стрессовой нагрузки на животных. Забор крови из яремной вены проводился одноразовыми стерильными системами с обезболивающим контролем и фиксацией животных без применения методов, вызывающих длительный дискомфорт.

Статистически рассчитаны средние значения (M), стандартное отклонение (σ) по каждой группе показателей.

Результаты и обсуждение

Оценка кормов в рамках данной работы ориентирована не только на зоотехнические параметры, но и на их технологическое значение, поскольку характеристики кормов опосредованно определяют свойства молочного сырья, поступающего на переработку. Корма с нарушенной ферментацией формируют риск кислородного стресса, метаболического ацидоза и роста соматических клеток, что в дальнейшем трансформируется в технологические потери при переработке молока.

Результаты анализа сенажа и силоса подтверждают их высокое качество и соответствие нормативам (табл. 1). Все исследованные образцы были без признаков плесени или гнили, цвет от зеленого до желтовато-зелёного. Активная кислотность находилась в оптимальных пределах: pH сенажа 4,5-4,7, кукурузного силоса – 3,9. Влажность кормов соответствовала рекомендуемой: сенаж содержал ~55-60% влаги (сухое вещество 40-45%), силос кукурузный – около 68-70% влаги (СВ ~30%) – это благоприятные значения для консервирования. В составе брожения преобладала молочная кислота: её концентрация составила 2,0-2,5% (от массы СВ) у образцов сенажа и ~3,5% в кукурузном силосе. Доля уксусной кислоты не превышала 0,8-1,0%, что указывает на умеренное гетероферментативное брожение. Масляная кислота во всех пробах не обнаружена (<0,05%), т.е. порчи массы не было. Содержание аммиачного азота составляло не более 5-7% от общего азота, что вписывается в требования (≤8-10% для корма I класса качества). Таким образом, процессы силосования и сенажирования прошли правильно: высокая молочнокислая ферментация при минимальном вторичном брожении.

Таблица 1 – Показатели качества кормов (сенаж и силос)

Показатель (единицы)	Сенаж люцерны № 1	Зерносенаж № 2	Сенаж люцерны № 3	Силос кукурузный № 4
Влажность, %	58	60	56	69
pH	4,6	4,5	4,7	3,9
Молочная кислота, % СВ	2,2	2,0	2,4	3,5
Уксусная кислота, % СВ	0,7	0,8	0,6	1,0
Масляная кислота, % СВ	<0,05	<0,05	<0,05	<0,05
Аммиачный азот, % от общего N	5	7	6	6
Сырой протеин, % СВ	16,5	12,0	17,2	8,3
Сырая клетчатка, % СВ	26	30	25	21
Обменная энергия, МДж/кг СВ	9,8	9,5	10,0	11,2

Сенаж из люцерны (обоих траншей) характеризуется повышенным содержанием сырого протеина (~16-17% от СВ) и умеренным уровнем клетчатки (25-28%), зерносенаж – протеин ~12% и клетчатка ~30%, кукурузный силос ожидаемо менее богат протеином (~8%) при повышенном крахмале и энергетической ценности. Все корма имели низкую зольность (≈7-8%) и достаточную концентрацию обменной энергии: для кукурузного силоса около 10-11 МДж/кг СВ, для люцернового сенажа ~9-10 МДж/кг. Полученные показатели свидетельствуют, что питательность кормов отвечает потребностям дойных коров средней продуктивности. Так, у качественного кукурузного силоса содержание молочной кислоты обычно ≥2%, pH ~4,0, а аммиак <10% от общего азота – этим критериям наш образец соответствует. Сенаж люцерны также демонстрирует признаки корма высокого класса: pH ~4,5, отсутствие масляной кислоты, хорошая сохранность каротина (по внешнему виду – зеленый цвет). Таким образом, все изученные образцы кормов оцениваются как качественные и пригодные к скармливанию без ограничений. Их использование в рационах обеспечивает поступление необходимых питательных веществ, что создает основу для стабильного обмена веществ и высокой продуктивности коров.

Нормальные значения белкового, углеводного и минерального обмена в крови коров создают биохимическую основу для формирования молока с нормативными технологическими характеристиками. Стабильная концентрация белка и альбумина коррелирует с синтезом молочных белков, нормогликемия – с продукцией лактозы, а сбалансированный минеральный статус – с физико-химическими свойствами молочного сырья и его технологической устойчивостью при переработке. Отсутствие метаболических нарушений, включая кетоз и минеральный дисбаланс, снижает риск повышения соматических клеток и ухудшения санитарного качества молока. Таким образом, биохимические показатели крови можно рассматривать как объективный прогностический критерий качества молока как пищевого продукта.

Анализ биохимических показателей крови коров показал, что большинство параметров находятся в пределах физиологической нормы (табл. 2). Средняя концентрация общего белка в сыворотке составила 77,1 ± 1,5 г/л, альбумин – 32,2 ± 1,3 г/л. Эти значения соответствуют

нормальному белковому обмену (референс для коров: 65-85 г/л белка, из них ~35-40 г/л альбумина). Небольшое повышение общего белка до верхней границы у отдельных животных (максимум 79 г/л) не выходит за пределы норм для лактирующих коров и может отражать высокопротеиновое кормление люцерновым сенажом. Углеводный обмен также без отклонений: глюкоза плазмы 2,6 ± 0,2 ммоль/л при норме 2,3-4,1 ммоль/л, что свидетельствует об оптимальном энергообеспечении и отсутствии кетоза. Концентрация мочевины – 3,5 ± 0,3 ммоль/л – находится в средних пределах референсного диапазона (2,8-8,8 ммоль/л) и указывает на баланс между поступлением протеина с кормом и энергетическим статусом рубцовой микрофлоры. Иными словами, азотистый обмен у коров сбалансирован: избыточного распада белка или его дефицита не наблюдается (при протеиновом перекорме уровень мочевины обычно растет >6-7 ммоль/л).

Таблица 2 – Биохимические показатели сыворотки крови коров (n=12)

Показатель (ед.)	Среднее ± σ	Норма у коров
Общий белок, г/л	77,1 ± 1,5	65-85
Альбумин, г/л	32,2 ± 1,3	30-40
Мочевина, ммоль/л	3,5 ± 0,3	2,8-8,8
Глюкоза, ммоль/л	2,6 ± 0,2	2,3-4,1
Кальций общий, ммоль/л	2,40 ± 0,05	2,2-2,6
Фосфор неорг., ммоль/л	1,60 ± 0,07	1,3-2,1
Натрий, ммоль/л	136 ± 1,5	135-148
Калий, ммоль/л	4,05 ± 0,10	4,0-5,8
Хлориды, ммоль/л	103 ± 1,5	96-109
Холестерин, мг/дл	146 ± 4	64-200
Триглицериды, ммоль/л	0,22 ± 0,02	0,2-0,6
АЛТ, Ед/л	34 ± 2	7-35
АСТ, Ед/л	110 ± 5	45-110
Щелочная фосфатаза, Ед/л	72 ± 3	50-200
Амилаза, Ед/л	66 ± 2	28-100

Минеральный и электролитный профиль крови коров также без патологий. Уровень общего кальция составил 2,40 ± 0,05 ммоль/л, неорганического фосфора – 1,60 ± 0,07 ммоль/л, соотношение Ca:P ~1,5:1, что типично для взрослых животных на сбалансированном рационе (норма Ca 2,2-2,6; P 1,3-2,1 ммоль/л). Электролиты плазмы находятся в узких пределах: Na^+ 136 ± 1,5 ммоль/л, K^+ 4,05 ± 0,10 ммоль/л, Cl^- 103 ± 1,5 ммоль/л, что свидетельствует о стабильности водно-солевого обмена и кислотно-щелочного равновесия. Легкие колебания натрия (от 134 до 138 ммоль/л) и калия (3,9-4,2) являются допустимыми и не влияют на физиологические функции.

Липидный профиль крови характерен для здоровых лактирующих коров: холестерин 146 ± 4 мг/дл, триглицериды 0,22 ± 0,02 ммоль/л. Эти показатели указывают на нормальный жировой обмен и достаточное энергетическое обеспечение организма. Холестерин коров может варьировать от 1,7 до 5,2 ммоль/л (≈65-200 мг/дл) в зависимости от упитанности и лактации; наши данные (~3,8 ммоль/л) соответствуют средним значениям, что подтверждает отсутствие жировой дистрофии печени и нормальный обмен веществ.

Активность ферментов печени – АЛТ и АСТ – у большинства животных близка к верхней границе нормы либо немного её превышает (АЛТ максимум 37 Ед/л при норме до ~35, АСТ максимум 115 Ед/л при норме до ~110). В 2 пробах отмечено незначительное превышение АЛТ (до 37 Ед/л) и в 2 пробах – АСТ (до 115 Ед/л). Такие отклонения расцениваются как допустимые, поскольку могут быть связаны с интенсивным обменом у высокопродуктивных коров и не сопровождаются клиническими признаками патологии. Уровень щелочной фосфатазы (~72 Ед/л) и амилазы (~66 Ед/л) в пределах физиологических интервалов, что указывает на нормальную функцию печени и поджелудочной железы соответственно.

Как видно из таблицы 2, все показатели у коров находятся в пределах референтных интервалов или близки к ним. Незначительные отклонения, такие как немного повышенные значения печёночных трансаминаз (АЛТ, АСТ) у отдельных коров, не сопровождались какими-либо клиническими симптомами и, вероятно, связаны с интенсивным обменом веществ у высокоудойных особей. Повышение билирубина или критических сдвигов ферментной

активности не выявлено, что исключает патологию печени. Баланс белковых фракций сохранён (коэффициент альбумин/глобулин ≈0,72, что нормально для данного периода лактации). Таким образом, биохимический статус крови коров свидетельствует о стабильном метаболическом состоянии животных. Отсутствие выраженных признаков кетоза, ацидоза или минерального дисбаланса говорит о том, что качество и питательность скармливаемых сенажа и силоса полностью соответствуют потребностям коров. Полученные результаты согласуются с данными литературы, где отмечается, что кормление высококачественными кормами способствует поддержанию нормального уровня общего белка и глюкозы в крови, предотвращая метаболические расстройства.

Следует подчеркнуть, что здоровье животных и эффективность производства молока напрямую зависят от качества кормов. В нашем исследовании высокое качество сенажа и силоса (см. табл. 1) обеспечило оптимальное поступление питательных веществ, что отразилось на нормальных биохимических показателях крови. Например, достаточное содержание протеина в люцерновом сенаже поддержало уровень общего белка и мочевины крови в норме; высокий энергетический уровень кукурузного силоса способствовал нормогликемии (отсутствие снижения глюкозы). Кроме того, сбалансированность рационов по минералам подтверждается нормальными концентрациями кальция, фосфора и электролитов. Таким образом, можно заключить, что имеющиеся корма отвечают нормативам не только по качеству, но и по биологической полноценности, обеспечивая стабильное физиологическое состояние коров.

Заключение

Полученные данные свидетельствуют, что качество кормов и биохимический статус животных формируют физиологическую базу для производства молока с нормативными физико-химическими и санитарно-гигиеническими характеристиками. В этом контексте биохимические показатели крови выступают как технологически значимый индикатор качества и безопасности конечного пищевого продукта животного происхождения – молока.

Комплексная оценка качества кормов и биохимических показателей крови молочных коров в опытном хозяйстве показала следующее:

Исследованные образцы сенажа и силоса обладают высокими показателями качества: ферментация прошла успешно (молочная кислота преобладает, pH в норме, масляная кислота отсутствует, аммиак низкий), питательная ценность сохраняется на высоком уровне. Это означает, что заготовка кормов (люцернового сенажа, зерносенажа, кукурузного силоса) проведена с соблюдением технологий, обеспечив сохранение питательных веществ и отсутствие вредных продуктов брожения.

Результаты анализа крови 12 коров свидетельствуют о нормальном течении обменных процессов. Концентрации общего белка, глюкозы, мочевины, липидов, ферментов и электролитов находятся в пределах физиологической нормы или близки к ней. Не выявлено признаков белкового дефицита или перегрузки, энергетического голодания, кетоза, ацидоза либо микроэлементозов. Небольшие отклонения отдельных показателей (АЛТ, АСТ чуть выше нормы у некоторых животных) носят компенсирующий характер и не указывают на патологию. В целом биохимический профиль крови соответствует состоянию здоровых высокопродуктивных коров.

Сопоставление данных о кормах и крови показало, что высококачественные сенаж и силос способствуют поддержанию стабильного физиологического статуса коров. Полноценное обеспечение животных питательными веществами отражается в нормальных биохимических константах. Таким образом, кормление исследованными кормами не оказывает негативного влияния на обмен веществ, напротив – способствует его стабильности. Это подтверждает соответствие кормов зоотехническим нормативам и их достаточную биологическую полноценность для молочных коров.

В условиях данного хозяйства качество основных кормов (сенаж, силос) находится на высоком уровне и удовлетворяет потребности дойного стада, что подтверждено как лабораторным анализом кормов, так и физиологическими показателями животных. Регулярный контроль качества кормов и мониторинг биохимического статуса коров являются эффективным инструментом профилактики метаболических нарушений и повышения продуктивности. Полученные результаты могут быть использованы для оптимизации

кормовых рационов и подтверждают важность заготовки кормов высокого качества для поддержания здоровья и продуктивности молочных коров.

Список литературы

1. Effects of Sorghum Silage in Lactating Buffalo Cow Diet: Biochemical Profile, Milk Yield and Quality / R. Tudisco et al. – Agriculture, 2020.
2. Evaluation of Blood Metabolites in Dairy Cows Grazing under Two Pasture Allowances and Supplemented with Corn Silage under Restricted Grazing Conditions / A. Morales et al. – Revista Brasileira de Zootecnia, 2016.
3. Voronina O.A. Nutrition Influence on Blood Colloid and Biochemistry Parameters of the Lactating Cow / Voronina O.A., Tsarkova M., Zaitsev S. – Biosciences, Biotechnology Research Asia, 2017.
4. Polat U. The Effects of Partial Replacement of Corn Silage on Biochemical Blood Parameters in Lactating Primiparous Dairy Cows / U. Polat, H. Gençoğlu, I. Turkmen. – Veterinarni Medicina, 2018.
5. Metabolism of Silage Alcohols in Lactating Dairy Cows / N.B. Kristensen et al. – Journal of Dairy Science, 2007.
6. Assessment of Blood and Productive Parameters in Mid-Lactation Dairy Cows Fed Different Diets: Replacement of Corn Silage with Triticale Silage / L. Giuliotti et al. – Archives Animal Breeding, 2022.
7. Nikulin I. Clinical Symptoms of Iodine and Zinc Deficiency in Dairy Cows / I. Nikulin, I. Kalyuzhny – BIO Web of Conferences, 2021.
8. Denkovich B.S. Probiotic Feed Supplement “PROGAL” in Feeding the Milking Cows / B.S. Denkovich, Y. Pivtorak, N. Gordiychuk– Scientific Messenger of LNU of Veterinary Medicine and Biotechnologies, 2019.
9. Effects of a Change from an Indoor-Based Total Mixed Ration to a Rotational Pasture System on Immunological Cell and Blood Parameters of Dairy Cows / J. Hartwiger et al. – Veterinary Sciences, 2019.
10. Denkovich B.S. Probiotic Feed Supplement «PROGAL» in Feeding the Milking Cows / B.S. Denkovich, Y. Pivtorak, N. Gordiychuk – Scientific Messenger of LNU of Veterinary Medicine and Biotechnologies, 2019.

Благодарность

Данное исследование финансируется Комитетом науки Министерства науки и высшего образования Республики Казахстан (ИРН BR28712227).

А.С. Шаяхметова, Д.Е. Иль, Ф.К. Мұқанова, Ж. Жяң, Е.Е. Ермеков*
М. Қозыбаев атындағы Солтүстік Қазақстан университеті,
150000, Қазақстан Республикасы, Петропавл қ., Пушкин көш., 86
*e-mail: eermekov@ku.edu.kz

СҮТТІ СИЫРЛАРДЫҢ ҚОРЕКТЕНУ САПАСЫН ЖӘНЕ ҚАННЫҢ БИОХИМИЯЛЫҚ КӨРСЕТКІШТЕРІН БАҒАЛАУ

Тәжірибелік шаруашылық жағдайында сенаж бен сүрлемнің сапасын және сүтті сиырлардың қан сарысуының биохимиялық көрсеткіштерін бағалау нәтижелері ұсынылды. Төрт түрлі мал азығы (екі үлгі люцерна сенажы, дәнді сенаж және жүгері сүрлемі) және сауын сиырлардан алынған 12 қан сынамасы талданды. Барлық зерттелген азықтар ферментация және қоректілік көрсеткіштері бойынша нормативтік талаптарға сәйкес келетіні анықталды: ылғалдылығы оңтайлы, сүт қышқылының сірке қышқылынан басымдығы, май қышқылының төмен мөлшері (<0,1%) және аммиак азотының аз болуы, бұзылу белгілерінің болмауы. Сиыр қанының биохимиялық параметрлері физиологиялық норма шегінде: жалпы ақуыз 75-79 г/л, глюкоза 2,4-2,8 ммоль/л, мочевина 3,2-3,9 ммоль/л, бауыр ферменттерінің (АЛТ, АСТ) белсенділігі референттік мәндерден аздап жоғары. Алынған мәліметтер сапалы сенаж және сүрлеммен қоректендіру кезінде алмасу үдерістерінің тұрақтылығын және жануарлардың қалыпты физиологиялық жағдайын көрсетеді. Зерттеу қорытындысы бойынша, дайындалған азықтардың қоректілік деңгейі сиырлардың қажеттіліктерін метаболикалық бұзылыстарсыз қамтамасыз етеді: рациондар теңгерілген, бұл қанның қалыпты биохимиялық константаларымен және малдың жоғары өнімділігімен дәлелденеді.

Түйін сөздер: *сенаж, сүрлем, азық сапасы, қан биохимиясы, зат алмасу, сиырлар, физиологиялық жағдай.*

A.S. Shayakhmetova, D.Y. Il, F.K. Mukanova, Z. Jiang, Y.Y. Yermekov*
North Kazakhstan University named after M. Kozybayev,
150000, Republic of Kazakhstan, Petropavlovsk, Pushkin str., 86
*e-mail: eeermekov@ku.edu.kz

ASSESSMENT OF FEED QUALITY AND BLOOD BIOCHEMICAL PARAMETERS IN DAIRY COWS

The study presents an assessment of the quality of feeds (silage and haylage) and biochemical parameters of blood in dairy cows under experimental farm conditions. Four feed samples (two alfalfa haylage samples, a grain haylage, and corn silage) and 12 blood samples from lactating cows were analyzed. All examined feeds met regulatory requirements for fermentation and nutritional characteristics: optimal moisture content, predominance of lactic acid over acetic acid, low butyric acid content (<0,1%), reduced ammonia nitrogen levels, and absence of spoilage signs. The biochemical profile of serum samples was within physiological norms: total protein 75-79 g/L, glucose 2.4-2.8 mmol/L, urea 3.2-3.9 mmol/L, and liver enzyme activity (ALT, AST) slightly exceeded reference values. The obtained data indicate stable metabolic processes and a normal physiological state of cows when fed high-quality silage and haylage. It was concluded that the nutritional value of the prepared feeds fully meets the cows' requirements without causing metabolic disorders: the rations are balanced, as evidenced by normal blood biochemical constants and high milk productivity.

***Key words**: haylage, silage, feed quality, blood biochemistry, metabolism, cows, physiological condition.*

Сведения об авторах

Алтын Сеитахметовна Шаяхметова – канд. сельскохоз. наук, ассоц. профессор, декан агротехнологического факультета, СКУ им. М. Козыбаева, г. Петропавловск; e-mail: asshayahmetova@ku.edu.kz. ORCID: https://orcid.org/0000-0002-7923-7603.

Дмитрий Евгениевич Иль – магистр, заведующий кафедры продовольственной безопасности, СКУ им. М. Козыбаева, г. Петропавловск; e-mail: deil@ku.edu.kz. ORCID: https://orcid.org/0000-0002-3168-8333.

Фариза Каиргалиевна Муканова – магистр сельского хоз-ва, заведующая кафедрой агрономии и лесоводства, СКУ им. М. Козыбаева, г. Петропавловск; e-mail: fkmukanova@ku.edu.kz. ORCID: https://orcid.org/0000-0002-7934-285X.

Чжунлян Цзян – PhD, профессор, Колледж науки о животных и технологий, Северо-Западный университет сельского и лесного хозяйства, г. Янлин, пров. Шэньси, Китай; e-mail: jiangzhongliang@nwafu.edu.cn.

Ерназ Ермекович Ермеков* – PhD, и.о. директора департамента науки, Северо-Казахстанский университет им. М. Козыбаева, г. Петропавловск; e-mail: eeermekov@ku.edu.kz. ORCID: https://orcid.org/0000-0003-1441-9796.

Авторлар туралы мәліметтер

Алтын Сеитахметовна Шаяхметова – ауыл шаруашылығы ғылымдарының кандидаты, қауымдастырылған профессор, агротехнологиялық факультеттің деканы, М. Қозыбаев атындағы СҚУ, Петропавл қ.; e-mail: asshayahmetova@ku.edu.kz. ORCID: https://orcid.org/0000-0002-7923-7603.

Дмитрий Евгениевич Иль – магистр, азық-түлік қауіпсіздігі кафедрасының меңгерушісі, М. Қозыбаев атындағы СҚУ, Петропавл қ.; e-mail: deil@ku.edu.kz. ORCID: https://orcid.org/0000-0002-3168-8333.

Фариза Каиргалиевна Муканова – ауыл шаруашылығы магистрі, агрономия және орман шаруашылығы кафедрасының меңгерушісі, М. Қозыбаев атындағы СҚУ, Петропавл қ.; e-mail: fkmukanova@ku.edu.kz. ORCID: https://orcid.org/0000-0002-7934-285X.

Жоңляң Жяң – PhD, профессор, Жануарлар ғылымы және технологиясы колледжі; Солтүстік-Батыс ауыл шаруашылығы және орман шаруашылығы университеті, Янлин қ., Шэньси провинциясы, Қытай; e-mail: jiangzhongliang@nwafu.edu.cn.

Ерназ Ермекович Ермеков* – PhD, ғылым департаменті директорының міндетін атқарушы, М. Қозыбаев атындағы Солтүстік Қазақстан университеті, Петропавл қ.; e-mail: eeermekov@ku.edu.kz. ORCID: https://orcid.org/0000-0003-1441-9796.

Information about the authors

Altyn Seitakhmetovna Shayakhmetova – Candidate of Agricultural Sciences, Associate Professor, Dean of the Faculty of Agrotechnology, M. Kozybayev NKU, Petropavl; e-mail: asshayahmetova@ku.edu.kz. ORCID: https://orcid.org/0000-0002-7923-7603.

Dmitry Evgenyevich Il – Master's degree, Head of the Department of Food Security, M. Kozybayev NKU, Petropavl; e-mail: deil@ku.edu.kz. ORCID: https://orcid.org/0000-0002-3168-8333.

Fariza Kairgalievna Mukanova – Master of Agriculture, Head of the Department of Agronomy and Forestry, M. Kozybayev NKU, Petropavl; e-mail: fkmukanova@ku.edu.kz. ORCID: https://orcid.org/0000-0002-7934-285X.

Jiang Zhongliang – PhD, Professor, College of Animal Science and Technology, Northwest A&F University, Yangling, Shaanxi Province, China; e-mail: jiangzhongliang@nwafu.edu.cn.

Yernaz Yermekovich Yermekov* – PhD, Acting Director of the Department of Science, Manash Kozybayev North Kazakhstan University, Petropavl; e-mail: eeermekov@ku.edu.kz. ORCID: https://orcid.org/0000-0003-1441-9796.

Поступила в редакцию 18.11.2025
Поступила после доработки 02.12.2025
Принята к публикации 05.12.2025

https://doi.org/10.53360/2788-7995-2025-4(20)-63

IRSTI: 44.31.31

CC BY 4.0

Check for updates

A.R. Khazhidinova[*], A.S. Khazhidinov[2], O.A. Stepanova[1], T.N. Umyrzhan[1], Zh.K. Aldazhumanov[1]

[1]Shakarim University,
071412, Republic of Kazakhstan, Semey, 20 A Glinka Street
[2]Center of Nuclear Medicine and Oncology,
071400, Republic of Kazakhstan, Semey, 3 Kutzhanova Street
*e-mail: khazhidinova1991@mail.ru

STUDY OF A DIRECT INJECTION PULVERIZING SYSTEM FOR INDIVIDUAL BOILER SUPPLY

Annotation: *This paper examines an individual pulverizing system with a hammer mill and direct injection, serving a hot water boiler of the KVT–116.3–150 type. The relevance of the study lies in the crucial role of fuel pulverization in ensuring stable, efficient, and environmentally safe operation of coal-fired boiler plants.*

A functional diagram of the pulverizing system is presented, covering drying, grinding, classification, and conveying of the air-fuel mixture to the boiler burner. The schematic provides a clear representation of the equipment interconnections, identifies key technological nodes, determines the paths of heat carrier, air, and fuel movement, and highlights zones most sensitive to operational parameters. This lays the foundation for further analysis of thermal efficiency and potential optimization reserves.

During the operation of the system, key parameters were recorded: the temperature of the air-fuel mixture at the mill outlet did not exceed 85 °C, the coal dust fineness was R_{90} = 45 ÷ 55%, and the fuel moisture and consumption values corresponded to the operating charts. The data analysis confirmed the stability and efficiency of the system under boiler load variations in the range from 60% to 100% of the nominal capacity.

Special attention is given to the design and technological features of the equipment: the hammer mill with an integrated separator, a recuperative air heater, a downward drying unit, the air supply system, and control elements. Advantages of the individual system include enhanced automation, reduced heat loss, flexible operation control, and adaptability to variable loads or unstable fuel characteristics.

Recommendations are made for optimizing the drying process and implementing a monitoring system for the mill and separator condition. The study concludes that the system is technologically complete, efficient, and promising for retrofitting existing solid fuel-fired boiler units.

Key words: *fuel pulverization, air-fuel mixture, individual system, hammer mill, direct injection, hot water boiler, coal dust.*

Introduction

The modern development of the energy sector requires improving the efficiency and reliability of boiler installations, as well as minimizing their environmental impact. Pulverized fuel preparation systems play a significant role in addressing these challenges, as they directly affect combustion stability, fuel burnout completeness, thermal performance of boilers, and the level of harmful emissions into the atmosphere. The quality of the pulverized fuel preparation process has a decisive impact on the reliability and economic performance of pulverized coal-fired boilers. In particular, the characteristics of the coal dust determine flame stability, boiler efficiency, the level of incomplete fuel combustion, and the concentration of pollutants in the flue gases. Therefore, research aimed at analyzing and optimizing pulverized fuel preparation systems remains a relevant engineering task [1-5]. Improving the efficiency and reliability of pulverized coal-fired boilers remains one of the key objectives in the modernization of thermal power plants. This issue is actively addressed in recent studies focused on enhancing combustion processes, fuel delivery, and coal-dust preparation systems [6-8].

Various pulverized fuel preparation systems are used in energy practice, including centralized systems with dust bunkers, as well as individual systems, some features of which are shown in Figure 1.

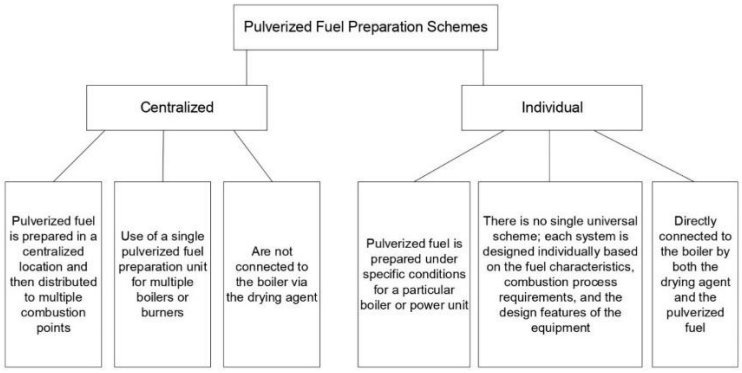


Figure 1 – Features of pulverized fuel preparation systems

Individual pulverized fuel preparation systems are divided into direct and indirect firing schemes. In recent years, individual direct-firing systems have gained particular popularity due to their high level of automation, simplified fuel supply layout, and reduced heat losses. Direct firing involves feeding the prepared pulverized coal directly from the mill to the burners without intermediate storage. This approach is especially effective under variable boiler load conditions or when using fuels with unstable characteristics [9-11].

This study examines the KVT–116.3-150 boiler unit, which is equipped with an individual pulverized fuel preparation system featuring a hammer mill and direct firing. The fuel used is coal from the Karazhyr deposit, which is fed to the furnace in the form of an air-fuel mixture – a dispersed system consisting of fine coal particles and air. Combustion of coal in the form of an air-fuel mixture offers several scientifically and technically justified advantages [12-13]:

1. Increased combustion completeness. The fine-dispersed structure of the coal dust provides a larger specific surface area, promoting more complete and faster oxidation of the fuel.
2. Improved thermal efficiency. Rapid ignition and intense combustion of the air-fuel mixture enable higher temperatures and more efficient heat utilization in the furnace space.
3. Reduced specific fuel consumption. Due to the high combustion efficiency, less coal is required per unit of generated thermal energy.
4. Flexible combustion control. The combustion process of the air-fuel mixture is easier to monitor and automate, including by adjusting the «fuel–air» ratio and mixture feed parameters to the furnace.
5. Lower emissions of unburned substances. More complete combustion results in reduced emissions of solid particles and carbon monoxide (CO), improving environmental performance.
6. Capability to use pulverized coal burners. These systems enable the application of modern burner devices that ensure uniform heat distribution and a more stable flame.

The purpose of this study is to analyze the structure and operating principle of the individual pulverized fuel preparation system serving the KVT–116.3-150 boiler, to identify its design and technological features, and to determine potential modernization directions to enhance the efficiency and reliability of the boiler unit.

Methods

A distinctive feature of the individual pulverized fuel preparation system is its autonomy: it supplies a pulverized coal-air mixture to only one boiler unit – in this case, the KVT–116.3–150 hot-water boiler. This configuration allows for flexible control of combustion parameters, rapid response to changes in thermal load, and adaptation of system operation to specific operating conditions.

[14] Regulate the operation of the pulverizing system. During the operation of the coal preparation units, a continuous supply of coal dust with the required fineness and moisture content is ensured to the boiler burners in an amount corresponding to the current thermal load of the boiler. The operating mode of the direct-firing coal preparation systems is set according to the load schedule, varying within approximately 60 ÷ 100% of the boiler's nominal capacity.

During the operation of the investigated coal preparation system, key parameters – such as the temperature of the air-fuel mixture, fuel moisture content, fuel consumption, and coal fineness – were recorded using control and instrumentation devices installed on the boiler unit. These

experimental data allowed a direct assessment of the system's performance under real operating conditions.

In this study, a functional schematic modeling method was used, based on the development of a detailed diagram of the boiler's fuel preparation system. The model was developed through the analysis of technical documentation, equipment specifications, and the results of an on-site survey of the actual system layout. The diagram reflects the sequence of technological processes, the flow of fuel, air, and heat carrier, as well as the structural relationships between the main and auxiliary equipment.

The fuel preparation diagram presented in the Results section was created by the authors using Microsoft Visio software and represents a structured synthesis of information about the design, operating principles, and interaction of system components. Particular attention was paid to key elements such as the hammer mill, feeder, fan, gas ducts, and burner devices. This approach not only enabled the visualization of the system's configuration but also facilitated a structural analysis to identify potential bottlenecks and areas for optimization.

A comparative-analytical method was also applied, involving the comparison of the design characteristics of system components with regulatory values and analogous solutions used in similar pulverized coal installations. This made it possible to assess the efficiency level of the existing technological solution and identify opportunities for its improvement.

A distinctive feature of the MMT-1300/1310/750K hammer mill used in the pulverizing system of the KVT-116.3-150 boiler is its intensive forced ventilation combined with an increased rotor circumferential speed, which ensures high grinding quality and effective fuel drying. The raw material and drying agent are fed into the mill tangentially, which promotes uniform flow distribution and improves the aerodynamic conditions in the grinding zone.

The grinding process occurs due to multiple impacts of the fuel particles against the hammers and the armor plates, as well as abrasion of the material as it moves through the gap between the rotating rotor and the stationary housing. The ground coal, together with the drying and ventilating agent, is carried from the grinding zone into the built-in separator, where coarse fractions are separated and returned for re-grinding. The prepared coal dust is then transported through the dust ducts to the boiler burners.

Results and Discussion

Figure 2 shows the individual system for preparing the air-coal mixture for the KVT–116.3-150 boiler. The conducted analysis demonstrated that in terms of equipment composition, layout, and operating principle, the fuel preparation system of the KVT–116.3–150 boiler corresponds to typical individual configurations widely used in similar boiler installations [15-16].

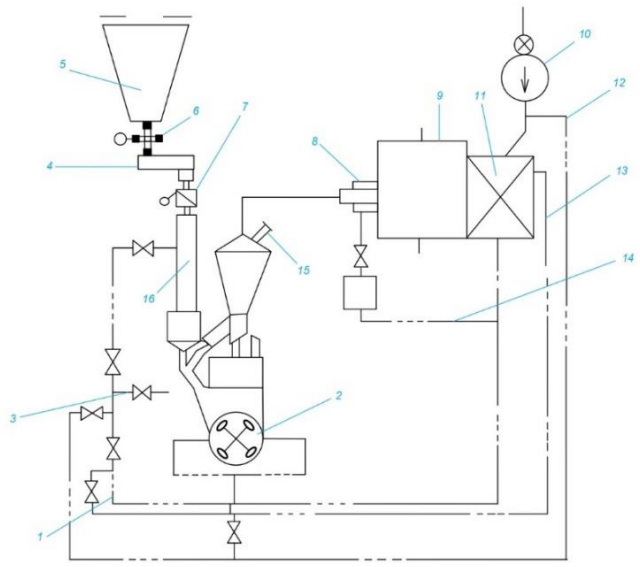


Figure 2 – Individual pulverizing system for the KVT–116.3–150 boiler

1 – hot air box; 2 – hammer mill with separator; 3, 12 – cold air inlets; 4 – raw fuel feeder; 5 – raw coal bunker; 6 – dampers; 7 – flashing valve; 8 – burner; 9 – KVT–116.3–150 boiler; 10 – forced draft fan; 11 – tubular air heater; 13 – mildly superheated air; 14 – secondary air duct; 15 – explosion relief valve; 16 – downward drying unit.

The system operates on a closed circulation principle, which increases drying and grinding efficiency by using hot flue gases. In the air heater (11), heat from the flue gases is transferred to the air. The heated air is sent to the drying unit (16), where moisture is removed from the raw fuel before it enters the hammer mill (2). After grinding and mixing with air, the air-fuel mixture is conveyed to the burner (8) on the boiler (9).

Analysis of the KVT–116.3-150 air-fuel mixture system revealed the following design and process features:

1. **Rational system structure.** The scheme forms a complete closed cycle of coal dust preparation – from raw fuel feeding and drying to combustion. The individual configuration enhances control and adaptability to specific boiler modes.

2. **Core component – hammer mill with separator (2).** This unit ensures effective grinding to the required fineness. The integrated separator stabilizes dust quality and reduces equipment wear by returning coarse particles.

3. **Efficient air supply system** using three air streams:
- hot air from the box (1) for fuel drying,
- cold air (3, 12) for adjusting air-fuel mixture temperature,
- mildly superheated air (13) for improved combustion conditions.

Proper balancing of these flows helps reduce temperature overloads and improve heat efficiency.

4. **Control and safety elements:**
- dampers (6) and valves (7) for fuel and air-fuel mixture flow regulation,
- explosion relief valve (15) for overpressure release in emergencies,
- flashing valve (7) for metered fuel feeding into the mill.

5. **Downward drying unit (16).** It plays a critical role in reducing fuel moisture before grinding, enhancing grinding stability and lowering specific energy consumption.

6. **Heat recovery via the tubular air heater (11).** It uses flue gas heat to preheat air, thereby increasing the overall efficiency of the system.

Thus, the diagram (Figure 1) shows that the individual pulverizing system of the KVT–116.3–150 boiler is technologically comprehensive and provides stable and efficient fuel supply. This configuration serves as a basis for further thermal analysis and optimization of the boiler system.

Based on the analysis of the system design and operation, the following recommendations are proposed to improve efficiency and reliability:

1. **Fuel drying optimization.** Further thermodynamic adjustment of the hot gas feed to the drying zone is recommended, based on actual coal moisture. This would reduce heat losses and prevent fuel overheating, especially with varying coal quality.

2. **Mill and separator condition monitoring.** Implementing vibration and temperature monitoring systems for the hammer mill can detect signs of wear or load imbalance early, helping avoid failures and increase equipment reliability.

In contrast to the study [17], which examined a closed pulverized coal preparation system with a ball drum mill and an intermediate bunker for the combustion of Kuznetsk lean coal, the present work analyzes an individual pulverized fuel preparation system with a hammer mill and direct injection designed for the combustion of Karazhyra long-flame coal (grade D).

Analysis of the obtained data indicates that fuel drying is carried out using heated air from a tubular air heater, with a maximum air temperature after the heat exchanger reaching approximately 300 °C at the boiler's corresponding nominal capacity. This ensures intensive moisture evaporation and stabilizes the temperature of the air-fuel mixture at the mill outlet at a level not exceeding 85 °C.

The operating charts developed and used at the plant are designed for boiler operation when burning coal from the Karazhyra seam with the following quality: moisture content not exceeding 18% and ash content not exceeding 20% on a working mass basis. The specific consumption of standard fuel per 1 Gcal ranged from 176.628 kg s.f./Gcal at minimum load to 189.080 kg s.f./Gcal at the boiler's nominal capacity. The coal dust fineness R_{90} was within the range of 45-55%, depending on the boiler load.

Thus, unlike previously studied schemes with bunker storage and vacuum dust feeding, the presented system with a hammer mill and direct injection ensures stable parameters of the air-coal mixture and simpler operation when using long-flame coals of medium moisture content.

Based on the normative methods [18] and the results presented in [17], further work will include detailed calculations of flow rates, heat balances, and an analysis of the influence of process parameters on the overall efficiency of the pulverized fuel preparation system.

Conclusion

The scientific novelty of the study lies in the following:

– experimental data obtained from the operation of a real pulverizing system within the boiler load range of 60-100% of the nominal capacity have been systematized and presented;

– Functional schematic modeling of the system was performed based on the analysis of the actual equipment configuration, which made it possible to identify technological interrelations and specific features of its operation.

The presented diagram serves as a tool for systematic analysis of the process, equipment layout, and flow paths. The data confirm the technological completeness of the pulverizing system, which includes fuel feeding and dosing, drying, grinding, classification, and delivery to the KVT–116.3-150 boiler combustion chamber. Special attention is given to controlling air temperature and flow at various stages, ensuring the required fineness and stable combustion. The individual approach to fuel preparation allows precise adjustment for specific boiler operating conditions.

In conclusion, the individual pulverizing system with a hammer mill and direct injection demonstrates high adaptability for burning non-design fuels. Its compactness, technological completeness, and control elements ensure efficient and safe operation, making the system promising for modernizing existing coal-fired boiler units.

The conducted experimental measurements confirmed the stable operation of the system under various boiler loads: the temperature of the air-fuel mixture at the mill outlet did not exceed 85 °C, the coal fineness (R_{90} = 45 ÷ 55 %), and the fuel consumption and moisture indicators corresponded to the values specified in the operating charts. This confirms the technological efficiency and reliability of the investigated pulverizing system under real operating conditions.

References

1. Zhang Y. Numerical simulation of pulverized coal combustion characteristics under varying particle sizes / Y. Zhang, L. Wang, H. Chen // Fuel. – 2021. – Vol. 287. – Article 119451. https://doi.org/10.1016/j.fuel.2020.119451.
2. Li Q. Investigation of the influence of coal particle fineness on combustion efficiency and NOx emissions / Q. Li, H. Zhou, S. Zhang // Energy. – 2020. – Vol. 213. – Article 118794. https://doi.org/10.1016/j.energy.2020.118794.
3. Singh R. Experimental study on combustion performance of high-ash pulverized coals in utility boilers / R. Singh, A. Dutta // Journal of Energy Resources Technology. – 2022. – Vol. 144, № 8. – P. 082101. https://doi.org/10.1115/1.4052739.
4. Kim D. CFD analysis of combustion and NOx formation in pulverized coal-fired boilers with different burner configurations / D. Kim, S. Lee, J. Park // Applied Thermal Engineering. – 2023. – Vol. 220. – Article 119904. https://doi.org/10.1016/j.applthermaleng.2022.119904.
5. Wang X. Advances in low-NOx pulverized coal combustion technologies for power generation / X. Wang, M. Xu // Progress in Energy and Combustion Science. – 2024. – Vol. 95. – Article 101169. https://doi.org/10.1016/j.pecs.2024.101169.
6. Pulverized Coal-Fired Boilers: Future Directions of Scientific Research / M. Ochowiak et al // Energies. – 2023. – № 16(2). – P. 935. https://doi.org/10.3390/en16020935.
7. Combustion Characteristics of Coal for Pulverized Coal Injection (PCI) Blending with Steel Plant Flying Dust and Waste Oil Sludge / Y. Wang et al // ACS Omega. – 2021. – № 6(25). – P. 16362-16370. https://doi.org/10.1021/acsomega.1c02554.
8. Wang S. Evaluating the Effect of Ammonia Co-Firing on the Performance of a Pulverized Coal-Fired Utility Boiler / S. Wang, C. Sheng // Energies. – 2023. – № 16(6). – P. 2773. https://doi.org/10.3390/en16062773.
9. Zhang J. Design and performance analysis of direct firing pulverized coal systems for flexible boiler operation / J. Zhang, C. Chen, Y. Liu // Energy Reports. – 2021. – Vol. 7. – P. 894-902. https://doi.org/10.1016/j.egyr.2021.01.004.
10. Patel H. Automation and control strategies for direct-firing pulverized coal boilers / H. Patel, R. Shah // International Journal of Coal Science & Technology. – 2023. – Vol. 10, № 2. – P. 211-222. https://doi.org/10.1007/s40789-022-00511-0.
11. Lee H. Improving thermal efficiency and response time in coal-fired units using direct-firing configuration / H. Lee, T. Kim // Applied Energy. – 2020. – Vol. 270. – Article 115165. https://doi.org/10.1016/j.apenergy.2020.115165.

12. Luo M. Combustion behavior and emissions characteristics of pulverized coal–air mixtures in swirl burners / M. Luo, Y. Zhang, Y. Wu // Fuel. – 2021. – Vol. 289. – Article 119899. https://doi.org/10.1016/j.fuel.2020.119899.
13. Thomas G. Technical evaluation of pulverized fuel combustion in modern utility boilers: Fuel–air mixing and combustion stability / G. Thomas, J. Binner, C. Yates // Fuel Processing Technology. – 2020. – Vol. 203. – Article 106392. https://doi.org/10.1016/j.fuproc.2020.106392.
14. Ministry of Energy of the Republic of Kazakhstan. Rules for the Technical Operation of Power Plants and Networks: approved by Order No. 247 of the Minister of Energy of the Republic of Kazakhstan dated March 30, 2015 (as amended on October 14, 2024, Order No. 367). Adilet – Information and Legal System of the Republic of Kazakhstan. Available at: https://adilet.zan.kz/rus/docs/V1500011066.
15. Modeling of Coal Mill System Used for Fault Simulation / Y. Hu et al // Energies. – 2020. – № 13(7). – P. 1784. https://doi.org/10.3390/en130671784.
16. Detecting Coal Pulverizing System Anomaly Using a Gated Recurrent Unit and Clustering / Z. Chen et al // Sensors. – 2020. – № 20(11). – P. 3271. https://doi.org/10.3390/s20113271.
17. Mingaleeva G.R. Analysis of the fuel preparation system of a pulverized coal thermal power plant / G.R. Mingaleeva, Yu.N. Zatsarinnaya, E.K. Vachagina // Izvestiya Vysshikh Uchebnykh Zavedeniy. Problems of Energy. – 2005. – № 1-2. Retrieved from https://cyberleninka.ru/article/n/analiz-raboty-sistemy-podgotovki-topliva-pyleugolnoy-tes (accessed October 16, 2025).
18. Calculation and Design of Pulverized Fuel Preparation Installations for Boiler Units (Normative Materials). – Leningrad: TsKTI, 1971. – 309 p.

А.Р. Хажидинова[*], А.С. Хажидинов[2], О.А. Степанова[1], Т.Н. Умыржан[1], Ж.К. Алдажуманов[1]
[1]Шәкәрім университеті,
071412, Қазақстан Республикасы, Семей қ., Глинки к-сі, 20 А
[2]Ядролық медицина және онкология орталығы,
071400, Қазақстан Республикасы, Семей қ., Кутжанова к-сі, 3
*e-mail: khazhidinova1991@mail.ru

ҚАЗАНДЫҚТЫ ЖЕКЕ ҚАМТАМАСЫЗ ЕТЕТІН ТІКЕЛЕЙ ҮРЛЕУ ӘДІСІМЕН ЖҮЗЕГЕ АСЫРЫЛАТЫН ҰНТАҚТАУ ЖҮЙЕСІН ЗЕРТТЕУ

Мақалада КВТ–116,3-150 маркалы су жылытатын қазандығын отынмен қамтамасыз ететін, балғалы диірмен мен тікелей үрлеу әдісі қолданылатын жеке ұнтақтау жүйесі қарастырылады. Жұмыстың өзектілігі шаңкөмір қазандық қондырғыларының тұрақты, үнемді және экологиялық қауіпсіз жұмысын қамтамасыз етудегі ұнтақтау процесінің шешуші рөліне байланысты.

Мақалада кептіру, ұнтақтау, классификациялау және аэроқоспаны қазандықтың жанарғысына беру процестерін қамтитын ұнтақ көмір дайындау жүйесінің функционалдық сұлбасы ұсынылған. Мұндай сұлбаның құрылуы жабдықтар арасындағы өзара байланыстарды көрнекі түрде көрсетуге, негізгі технологиялық тораптарды айқындауға, жылу тасымалдағыштың, ауаның және отынның қозғалыс бағыттарын белгілеуге, сондай-ақ жұмыс режиміне ең сезімтал учаскелерді анықтауға мүмкіндік берді. Бұл өз кезегінде жылу-техникалық тиімділікті талдауға және оңтайландыру резервтерін іздеуге негіз болды.

Жүйе жұмысы барысында негізгі көрсеткіштер тіркелді: диірмен шығасындағы аэроқоспа температурасы 85 °С-тан аспады, көмір ұнтағының ұнтақталу дәрежесі R_{90} = 45 ÷ 55 % құрады, ал отынның ылғалдылығы мен шығынының мәндері режимдік карталарға сәйкес келді. Мәліметтерді талдау қазан жүктемесінің номиналды қуаттың 60 %-дан 100 %-ға дейінгі аралығында өзгеруі кезінде жүйенің тұрақтылығы мен тиімділігін растады.

Жабдықтардың конструктивтік және технологиялық ерекшеліктеріне – сепараторы бар балғалы диірменге, рекуперативті ауа қыздырғышқа, төмен қарай кептіру құрылғысына, ауа беру жүйесіне және реттеу элементтеріне ерекше назар аударылды. Жеке сұлбаның артықшылықтары ретінде автоматтандыру деңгейінің жоғарылығы, жылу шығындарының төмендеуі, жұмыс режимдерін икемді басқару және жүктеменің өзгеруіне немесе отын қасиеттерінің тұрақсыздығына бейімделу қабілеті атап етілді.

Кептіру режимін оңтайландыру және диірмен мен сепаратордың жай-күйін бақылау жүйесін енгізу бойынша ұсынымдар тұжырымдалды. Ұсынылған сұлбаның технологиялық тұрғыдан жоғары деңгейде аяқталғаны, тиімділігі және қатты отын пайдаланатын қолданыстағы қазандық агрегаттарын жаңғырту үшін болашағы зор екені туралы қорытынды жасалды.

Түйін сөздер: *ұнтақ көмір дайындау, аэроқоспа, жеке жүйе, балғалы диірмен, тікелей үрлеу, су жылытатын қазандық, көмір ұнтағы.*

А.Р. Хажидинова[*], А.С. Хажидинов[2], О.А. Степанова[1], Т.Н. Умыржан[1], Ж.К. Алдажуманов[1]
[1]Шәкәрім университет,
071412, Республика Казахстан, г. Семей, ул. Глинки, 20 А
[2]Центр ядерной медицины и онкологии,
071400, Республика Казахстан, г. Семей, ул. Кутжанова, 3
*e-mail: khazhidinova1991@mail.ru

ИССЛЕДОВАНИЕ СИСТЕМЫ ПЫЛЕПРИГОТОВЛЕНИЯ С ПРЯМЫМ ВДУВАНИЕМ ДЛЯ ИНДИВИДУАЛЬНОГО ПИТАНИЯ КОТЕЛЬНОЙ УСТАНОВКИ

В статье рассматривается индивидуальная система пылеприготовления с молотковой мельницей и прямым вдуванием, обслуживающая водогрейный котёл марки КВТ–116,3-150. Актуальность работы обусловлена важнейшей ролью процесса пылеприготовления в обеспечении устойчивой, экономичной и экологически безопасной работы пылеугольных котельных установок.

Представлена функциональная схема пылеприготовительной системы, включающая процессы сушки, измельчения, классификации и подачи аэросмеси в горелку котла. Построение такой схемы позволило наглядно представить взаимосвязь оборудования, выявить ключевые технологические узлы, установить направления движения теплоносителя, воздуха и топлива, а также определить участки с наибольшей чувствительностью к режимным параметрам. Это создало основу для дальнейшего анализа теплотехнической эффективности и поиска резервов оптимизации.

В ходе эксплуатации системы были зарегистрированы ключевые показатели: температура аэросмеси на выходе из мельницы не превышала 85 °С, тонкость помола угольной пыли составляла R_{90} = 45 ÷ 55 %, а показатели влажности и расхода топлива соответствовали режимным картам. Анализ данных подтвердил стабильность и эффективность работы системы при изменении нагрузки котла в диапазоне от 60 % до 100% от номинальной мощности.

Особое внимание уделено конструктивным и технологическим особенностям оборудования: молотковой мельнице с встроенным сепаратором, рекуперативному воздухоподогревателю, устройству нисходящей сушки, системе подачи воздуха и элементам регулирования. Отмечены преимущества индивидуальной схемы, такие как повышенная степень автоматизации, снижение теплопотерь, гибкость управления режимами и адаптация к переменной нагрузке или нестабильным характеристикам топлива.

Сформулированы рекомендации по оптимизации режима сушки и внедрению системы мониторинга состояния мельницы и сепаратора. Сделан вывод о высокой технологической завершённости схемы, её эффективности и перспективности для модернизации существующих котельных агрегатов, использующих твёрдое топливо.

Ключевые слова: *пылеприготовление, аэросмесь, индивидуальная система, молотковая мельница, прямое вдувание, водогрейный котёл, угольная пыль.*

Information about the authors

Akbota Ryspekovna Khazhidinova* – PhD, Acting Associate Professor, Department of Technical Physics and Heat Power Engineering, Shakarim University, Republic of Kazakhstan; e-mail: khazhidinova1991@mail.ru. ORCID: https://orcid.org/0000-0001-8802-1559.

Azamat Saginaevich Khazhidinov – Master of Physics, Cyclotron Engineer, «Center of Nuclear Medicine and Oncology», Department of Healthcare of Abai Region, Republic of Kazakhstan; e-mail: khazhidinov@mail.ru. ORCID: https://orcid.org/0009-0008-9900-4111.

Olga Aleksandrovna Stepanova – Candidate of Technical Sciences, Professor, Head of Department «Technical Physics and Heat Power Engineering»; Shakarim University, Republic of Kazakhstan; e-mail: o.stepanova@shakarim.kz. ORCID: https://orcid.org/0000-0001-5221-1772.

Temirlan Nurlanuly Umyrzhan – doctoral student of the educational programme 8D05302- «Technical Physics» of the Department of «Technical Physics and Heat Power Engineering», Shakarim University, Republic of Kazakhstan; e-mail: timirlan-95@mail.ru. ORCID: https://orcid.org/0009-0008-9111-1975.

Zhan Kassenovich Aldazhumanov – Master of Technical Sciences, senior lecturer of Department «Technical Physics and Heat Power Engineering», Shakarim University, Republic of Kazakhstan; e-mail: Jean1974@mail.ru. ORCID: https://orcid.org/0009-0006-1683-1089.

Авторлар туралы мәліметтер

Акбота Рыспековна Хажидинова* – PhD, «Техникалық физика және жылу энергетикасы» кафедрасының қауымдастырылған профессорының м.а., Шәкәрім университеті, Қазақстан Республикасы; e-mail: khazhidinova1991@mail.ru. ORCID: https://orcid.org/0000-0001-8802-1559.

Азамат Сагинаевич Хажидинов – физика магистрі, циклотрон инженері, Абай облысы денсаулық сақтау басқармасының «Ядролық медицина және онкология орталығы» шаруашылық жүргізу құқығындағы коммуналдық мемлекеттік кәсіпорны, Қазақстан Республикасы; e-mail: khazhidinov@mail.ru. ORCID: https://orcid.org/0009-0008-9900-4111.

Ольга Александровна Степанова – техника ғылымдарының кандидаты, профессор, «Техникалық физика және жылу энергетикасы» кафедрасының меңгерушісі, Шәкәрім университеті, Қазақстан Республикасы; e-mail: o.stepanova@shakarim.kz. ORCID: https://orcid.org/0000-0001-5221-1772.

Темірлан Нұрланұлы Умыржан – «Техникалық физика және жылу энергетикасы» кафедрасының 8D05302-«Техникалық физика» білім беру бағдарламасының докторанты, Шәкәрім университеті, Қазақстан Республикасы; e-mail: timirlan-95@mail.ru. ORCID: https://orcid.org/0009-0008-9111-1975.

Жан Касенович Алдажуманов – техника ғылымдарының магистрі, «Техникалық физика және жылу энергетикасы» кафедрасының аға оқытушысы, Шәкәрім университеті, Қазақстан Республикасы; e-mail: Jean1974@mail.ru. ORCID: https://orcid.org/0009-0006-1683-1089.

Сведения об авторах

Акбота Рыспековна Хажидинова* – PhD, и.о. ассоциированного профессора кафедры «Техническая физика и теплоэнергетика», Шәкәрім университет, Республика Казахстан; e-mail: khazhidinova1991@mail.ru. ORCID: https://orcid.org/0000-0001-8802-1559.

Азамат Сагинаевич Хажидинов – магистр физики, инженер циклотрона, коммунальное государственное предприятие на праве хозяйственного ведения «Центр ядерной медицины и онкологии» управления здравоохранения области Абай, Республика Казахстан; e-mail: khazhidinov@mail.ru. ORCID: https://orcid.org/0009-0008-9900-4111.

Ольга Александровна Степанова – кандидат технических наук, профессор, зав. кафедрой «Техническая физика и теплоэнергетика», Шәкәрім университет, Республика Казахстан; e-mail: o.stepanova@shakarim.kz. ORCID: https://orcid.org/0000-0001-5221-1772.

Темірлан Нұрланұлы Умыржан – докторант образовательной программы 8D05302-«Техническая физика» кафедры «Техническая физика и теплоэнергетика», Шәкәрім университет, Республика Казахстан; e-mail: timirlan-95@mail.ru. ORCID: https://orcid.org/0009-0008-9111-1975.

Жан Касенович Алдажуманов – магистр технических наук, старший преподаватель кафедры «Техническая физика и теплоэнергетика», Шәкәрім университет, Республика Казахстан; e-mail: Jean1974@mail.ru. ORCID:https://orcid.org/0009-0006-1683-1089.

Received 27.06.2025
Revised 12.10.2025
Accepted 16.10.2025

https://doi.org/10.53360/2788-7995-2025-4(20)-64

BY 4.0
Check for updates

МРНТИ: 29.19.03

M. Skakov[1], N. Mukhamedova[1], A. Nassyrova[2]*
National Nuclear Center of the Republic of Kazakhstan,
180010, Republic of Kazakhstan Kurchatov, Beibyt atom st., 2 B
Sarsen Amanzholov East Kazakhstan University,
070000, Republic of Kazakhstan, Ust-Kamenogorsk, st. 30th Guards Division, 34
*e-mail: anar.kenzhebekyzy@mail.ru

THE INFLUENCE OF MECHANICAL ACTIVATION ON THE STRUCTURAL-PHASE STATES AND HYDROGEN ABSORPTION PROPERTIES OF THE INTERMETALLIC COMPOUND $LANI_5$ – REVIEW

Abstract: *The article provides an overview of a number of studies on the use of alloys and intermetallic compounds for hydrogen storage. Among them, a particularly important place is occupied by the inter-metallic compound $LaNi_5$ eye. The latest achievements in the development of intermetallic compounds of the AB_5-type are analyzed. These compounds, in particular $LaNi_5$ and its alloyed counterparts, are widely used due to the ability to regulate their properties by replacing elements. The article also provides an overview of the methods of synthesis and modification of AB5 alloys aimed at improving their efficiency in hydrogen technologies. Both traditional production methods and modern technological approaches , including Spark plasma sintering and mechanical activation, are considered. A review of the scientific literature has shown that mechanical activation is an effective way to modify the $LaNi_5$ intermetallic compound to improve its hydrogen absorption properties.*

According to a number of studies, the effect of high-energy ball milling leads to significant changes in the microstructure of the material. It is shown that to increase the effectiveness of practical applications of $LaNi_5$ in hydrogen energy, additional comprehensive studies are needed to establish the relationship between mechanical processing parameters, structural characteristics, and functional properties of the material.The aim of this work is to use mechanical activation to modify the microstructure of a material, reduce the size of crystallites, increase the density of defects, and promote the formation of amorphous or nanostructured states, which together can significantly affect the structure and interactions with hydrogen.

Key words: *hydrogen storage, intermetallic compounds, hydrides, mechanical activation.*

Introduction

Among the many metal hydride materials, the intermetallic compound $LaNi_5$ attracts special attention due to its high reversible hydrogen capacity, stability in multiple absorption-desorption cycles, and relatively low saturated hydrogen vapor pressure at room temperature. However, one of the main limitations of its practical application in hydrogen storage systems is the insufficiently high kinetics of hydrogen absorption and the need to activate the material before the first use. The main focus of this work is on studying the effect of mechanical activation on the change in the structural-phase states and hydrogen absorption characteristics of $LaNi_5$. Thus, metal hydrides such as $LaNi_5$ play an important role in modern hydrogen storage technologies, offering safe and efficient solutions for various applications. Despite significant progress in this area, there are still many unresolved issues, such as optimization of the sintering process, increasing the stability and strength of materials. The prospects for using these materials in integrated circuits open up new horizons for energy and hydrogen storage microsystems, which makes further research in this area very relevant.

Mechanical activation of intermetallic compound is an effective method to improve its hydrogen absorption properties. These results open up new perspectives for the development of highly efficient hydrogen storage materials, which are of great importance for applications in energy and clean technologies.

The IPS method is a promising method for obtaining materials capable of efficiently absorbing and desorbing hydrogen, such as intermetallic compounds, hydrides and porous metals.

Application of AB5 type hydrogen storage materials and the prospects of $LaNi_5$

In this paper, the effect of mechanical activation on the structure, phase composition, and hydrogen absorption properties of $LaNi_5$ is considered. Particular attention is paid to the relationship between microstructural changes occurring as a result of mechanical action and the improvement of hydrogen absorption parameters. The obtained data are considered important for optimizing the characteristics of metal hydride hydrogen storage systems and, accordingly, increasing the efficiency of energy devices. As is known from the works, hydrides of intermetallic compounds are very well studied and are currently widely used in research. Intermetallic compounds of the AB5 (e.g., $LaNi_5$), AB2 (e.g., ZrV2), A2B (e.g., Ti2Ni) and AB (e.g., TiFe) type with atoms of rare earth and/or transition metals used for hydrogen storage are considered. Metal hydrides are easily formed when these compounds interact with hydrogen at 290-475K and a pressure of 0.1-1.0 MPa. Hydrides have a high bulk density for hydrogen, but their mass capacity does not exceed 3%. Partial replacement of the main components A and B with various elements (Ti, V, Cr, Mn, Ni, Fe, Co, Y, Ce, Cu, Zn, etc.), even with impurities of oxygen, nitrogen, carbon (for example, up to Ti2Ni), allows to increase the sorption capacity, improve the characteristics and reduce the cost. [1].

According to sources [2-3], hydride-forming materials ($LaNi_5$, TiFe, $TiCr_2$, Mg_2Ni and others) have a number of advantages as materials for storing hydrogen: high volumetric storage density, safety due to the formation of a hydride solid phase, selectivity of hydrogen absorption, etc. $LaNi_5$ is a typical representative of hydride-forming IMS class AB5.

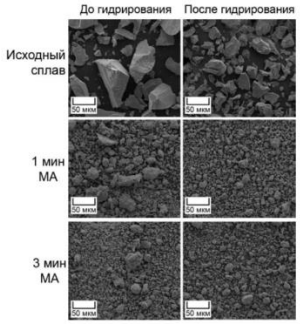
Hydrogen stands out as an efficient and environmentally sustainable energy carrier. Metals that can form hydrides exhibit high selectivity for hydrogen and exhibit very low permeability to other gases. The hydrogen transport mechanism begins with the decomposition of molecular hydrogen (H_2) into atomic hydrogen on the metal surface, followed by diffusion of these atoms through the metal layer, their re-integration into molecules, and finally desorption.

Among the intermetallic compounds containing rare earth elements, alloys of the $LaNi_5$ type are among the most studied materials. The discovery in 1970 of the ability of the $LaNi_5$ compound to form hydrides stimulated the rapid development of research in this area. This discovery paved the way for extensive research into hydrogen-absorbing intermetallic systems (IMS), which ultimately

contributed to the commercialization of nickel – metal hydride (Ni – MH) batteries and the development of hydrogen storage technologies.

At room temperature and slightly above atmospheric pressure (1.6 atm), this compound forms the hydride $LaNi_5H_6$. The hydrogen content in this form is about 1.38 wt.%. The hydride decomposes easily at a slight increase in temperature or decrease in pressure, regenerating the original intermetallic compound (IMC) and hydrogen. The volume fraction of hydrogen atoms in the $LaNi_5$ compound is approximately 1.5 times higher than in liquid hydrogen. The process of hydrogen saturation of this intermetallic compound takes less than 10 minutes at room temperature, and the main part of the gas is absorbed in the first 3-5 minutes. Like other intermetallic compounds of the AB_5 composition, $LaNi_5$ is distinguished by its high density, resistance to impurities in a gas environment, and endurance to multiple cycles of hydrogenation and dehydrogenation. To determine the structural parameters of the hydride phases, hydrogen-saturated samples are kept under pressure in liquid nitrogen, and then stored at a temperature of 77 K (in air) for 1-2 hours. Such treatment contributes to the formation of a passivation layer on the surface of the sample, preventing the decomposition of the hydride for several hours. This time is sufficient for X-ray phase analysis. During the mechanical activation process, the morphology of intermetallic powders changes according to the principles for all studied intermetallic compounds (Fig. 1). The effect of hydrogen causes a significant crushing of IMS particles. With an increase in the processing time, the size of amorphous fine particles increases in the ball mill.

The effect of mechanical activation on the structural characteristics and parameters of IMS samples was studied by X-ray phase analysis. The X-ray diffraction patterns of the initial and mechanically activated alloys, as well as their hydrides, are presented in Figure 2. These results clearly demonstrate the changes in the crystal structure of the materials, i.e. the evolution of the phase composition and lattice parameters after mechanical processing. The values of the structural parameters calculated for these samples are given in Table 1.



ИМС	Фаза	Время МА, мин	a, Å	c, Å	V, Å^3	$\Delta V/V_0$, %	$D_{ОКР}$, Å	ε, %
$LaNi_5$	Сплав	0	4,9671(1)	4,0044(2)	83,98	-	430(3)	0,01
		1	5,016(1)	3,992(1)	85,37	-	170(4)	0,06
		3	5,018(2)	4,005(1)	85,72	-	95(5)	0,45
	Гидрид	0*	5,0106(2)	4,0360(3)	86,13	2,5	290(7)	0,13
			5,3388(2)	4,2042(2)	101,86	21,3	300(5)	0,19
		1*	5,025(1)	3,990(1)	85,64	0,3	270(5)	0,41
			5,357(4)	4,180(5)	101,96	19,4	110(3)	0,45
		3	5,299(4)	4,161(4)	99,31	15,9	70(10)	0,48

Figure 1 – Shows SEM (scanning electron microscope) images of $LaNi_5$ alloy in the initial state and after mechanical activation, which underwent a three-cycle hydrogenation-dehydrogenation process. In addition, the table shows the crystal structure and microstructure of the hydride-forming intermetallic compounds, as well as the parameters of the corresponding hydride phases before and after mechanical activation [3]

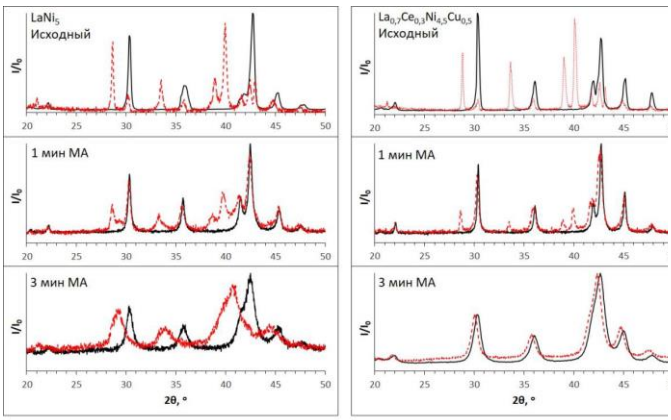


Figure 2 – Diffraction patterns of hydride-forming intermetallic compounds, as well as the corresponding hydride phases, before and after mechanical activation: $LaNi_5$ (a), $La_{0.7}Ce_{0.3}Ni_{4.5}Cu_{0.5}$. Black lines are alloys, red lines are hydrides [3]

The data in the table describe the increase in structural defects of the alloy as a result of mechanical activation and the change in lattice parameters under the influence of the hydride formation process.

The identified characteristic peaks are consistent with literature data [3]. All studied compounds, including the hydrides, possess a hexagonal structure of the $CaCu_5$ type, belonging to the P6/mmm space group. The addition of other metals to the $LaNi_5$ composition does not lead to the formation of any additional phases. In all intermetallic compounds, the c lattice parameter remains nearly unchanged, while the a parameter increases when nickel is replaced by aluminum, cobalt, or manganese, and decreases when lanthanum is substituted with cerium.

The positions of the characteristic diffraction peaks remain unchanged during the mechanical activation process, indicating that the crystalline structure of the intermetallic compound is retained after 1 and 3 minutes of ball milling. However, with increasing milling time, the diffraction peaks broaden. This broadening is attributed to a reduction in the size of the coherent scattering regions (DOC) and an increase in the level of microstrain (ε) (Table 1). These effects become particularly pronounced after 3 minutes of mechanical treatment.

In [4], the effect of mechanical activation in a high-energy planetary ball mill on the hydrogen sorption and structural properties of the intermetallic compound $LaNi_{2.5}Co_{2.4}Mn_{0.1}$ was studied in relation to its use as a filler in composite metal-polymer membranes for hydrogen separation from gas mixtures. High-energy mechanical activation significantly influences not only the physical properties of metal hydrides but also their hydrogen absorption and desorption behavior. While the enhanced kinetics of hydrogen uptake and release are primarily attributed to the reduction in particle size and the creation of additional reactive surface area, the changes in the thermodynamic characteristics of the hydrogenation process are more complex in nature. The choice of the object in this work is based on a number of important parameters that play a decisive role in the adaptation of metal hydride materials for membrane gas separation processes, several key factors must be considered. First, the equilibrium pressure for hydride formation should not exceed 1 atm within the operating temperature range (up to 60 °C). Second, the specific volume expansion during hydrogen absorption must be minimal to ensure compatibility at the metal-polymer interface. Third, the particular structure of the metal hydride phase diagram is advantageous for maintaining stability during repeated hydrogenation-dehydrogenation cycles, characterized by an enlarged solid solution region and a short plateau.

The intermetallic compound $LaNi_5$ is often used, including in their studies [5], as a reference material for testing installed facilities and for training students to determine the properties of hydrogen storage. Fig. 3 shows the isothermal dependences characteristic of the $LaNi_5 – H_2$ system. Upon formation of the hydride phase – resulting from the incorporation of hydrogen atoms into octahedral and tetrahedral sites – the crystal structure of the metal lattice remains unchanged; however, the lattice parameters and the unit cell volume increase by approximately 20-25% (Fig. 4).

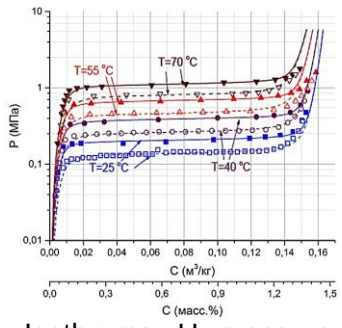


Figure 3 – Isotherms «H_2 pressure – hydride phase composition» in the $LaNi_5$–H_2 system: solid lines – absorption, dashed lines – desorption [5]

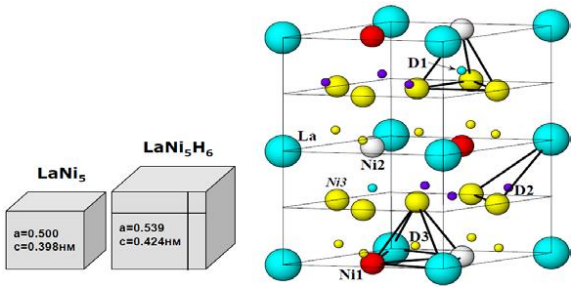


Figure 4 – Diagrammatic representation and lattice parameters of the unit cells of $LaNi_5$ and $LaNi_5H_6$ (left) along with the arrangement of D atoms within the $LaNi_5D_6$ lattice (right) [5]

The structures of AB_5-type intermetallic compounds and their corresponding hydrides have been extensively investigated and documented in the literature [6]. These compounds adopt the $CaCu_5$ structural type, featuring a hexagonal lattice within the P6/mmm space group. The

introduction of dopant elements into these intermetallic compounds alters the size of the structural voids due to differences in the crystallographic radii of the constituent metal atoms. To evaluate the impact of these structural modifications on hydrogen storage properties, the unit cell volumes provide a convenient metric. Among the AB_5-type intermetallics, the most promising systems are based on rare-earth metals (La, Ce, and unalloyed REM mixtures-mischmetal, Mm) alloyed with nickel and other transition metals.

The greatest difference between hydrogenation and dehydrogenation pressures occurs during the initial cycles, which is attributed to the fragmentation of larger particles down to the micron scale (Fig. 5).

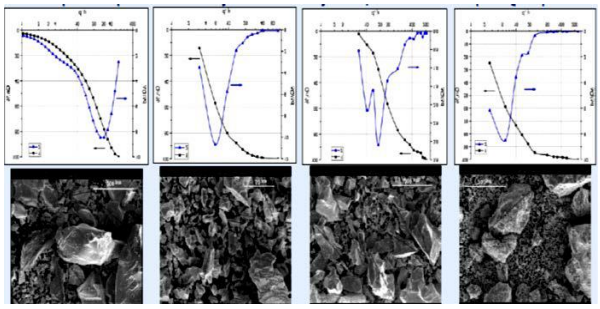


Figure 5 – SEM micrographs and particle size distributions of $LaNi_5$ after 10 cycles (A) and 18,180 cycles (B), as well as a material based on $La_{0.5}Ce_{0.5}Ni_5$ after 10 cycles (C) and 18,180 cycles (D) [6]

In many studies, the compositions of metal hydride alloys of the AB5 type have been widely studied from the point of view of hydrogen sorption properties and various alloy compositions with elements of microalloying of the $LaNi_5$ alloy base – cerium, aluminum, manganese, etc. – have been developed. In this direction, the authors' task was to develop the technological foundations for obtaining these alloys and the supply of pilot industrial small-tonnage lots. The manufacture of metal hydride alloys of the AB5 type was carried out as follows. Initially, the alloys were smelted in ingots weighing up to 30 kg. A larger ingot mass can lead to liquation heterogeneity of microalloying additives (Ce, Mn, Al) and, as a consequence, to a decrease in the properties of the alloys or the appearance of the effect of their heterogeneity [7].

In this context, the literature [8-11] highlights the widespread use of hydride-forming intermetallic compounds in the development of hydrogen batteries and compressors, heat pumps, and Ni-MH-type energy devices. The key properties of metal hydride materials include hydrogen storage capacity, reversibility, phase transition characteristics (such as hysteresis, plateau slope, enthalpy, and entropy), cyclic stability, hydrogenation kinetics, and hydrogen diffusion. The performance of metal hydride electrodes is influenced by multiple factors, including interfacial phase transitions, hydrogen migration through the surface layer, diffusion within the bulk, and the transformation from the α-phase solid solution to the β-phase metal hydride.Cyclic absorption and desorption of hydrogen have two major physical and irreversible consequences for intermetallic compounds such as $LaNi_5$: defect formation and sputtering. Both phenomena can significantly affect the properties of these compounds depending on the application. While defect formation leads to amorphization and a decrease in capacity after long-term cycling. Also in the article [12] Based on the analysis of literary data, hydride-forming intermetallic compounds (La, Ce) Ni_5 were chosen as working materials for hydrogen compression. They are easily activated, have a high rate of reversible hydrogen sorption and narrow hysteresis, are cyclically stable, are not poisoned by impurities in electrolytic hydrogen [12]. Metals and intermetallic compounds that form hydrides often require a pre-treatment known as activation. In some cases this is as simple as soaking in H_2 to remove surface contaminants. Most of the literature on $LaNi_5$ is devoted to the P-C phase diagrams and crystal structure models. This paper presents a comprehensive study of the activated state formation using P-C manometric measurements, X-ray and neutron diffraction, optical microscopy, scanning electron microscopy (SEM) and transmission electron microscopy (TEM) [13]. In this work, the proposed method is used to determine the sorption characteristics of $LaNi_5$ IMC with a hexagonal structure. For the first time, the phase diagrams of the $LaNi_5$-H_2 system are constructed both in the two-phase region (α+β) and at supercritical parameters [14]. In particular, the $LaNi_5$ alloy is of great technological interest for such application areas as compressors, heat pumps, rechargeable batteries and energy conversion materials. In addition, the $LaNi_5$-H system is considered to be a

prototype of hydrogen absorption materials due to its excellent hydrogenation properties. The hydrogen storage capacity of $LaNi_5$ is about 1.38 wt%, which is larger than the storage capacity of liquid hydrogen [15].

Much research is being conducted on materials that store hydrogen in a chemically bound state, such as metal hydrides or intermetallic compounds (IMCs). Since the ability of metals to store hydrogen was first discovered, scientists have been particularly interested in this class of compounds [16]. Although AB2 alloys are considered to have higher specific energy than AB5 alloys, AB5 alloys are mainly used in commercial NiMH batteries. AB5 alloys are based on $LaNi_5$ with various La and Ni substitutes. The systematic effects of alloy modification and the causes of these effects are current research topics [17]. Another study used pure powders of intermetallic compounds Mg, Ni, LaH, MgH and $LaNi_5$. Powder mixtures with a given composition were mechanically crushed in an argon medium was carried out in a Spex 8000 ball mill. In order to monitor structural changes, small amounts of powder were taken at certain intervals [18]. According to the work, magnesium alloys in the field of triple eutectic (composition 70-75% by weight Mg, 6-9% by weight (La)Mm, 19-21% by weight Ni), consisting of phases Mg, Mg_2Ni and $La(Mm)_2Mg_7$, are of great interest for hydrogen storage. These alloys are capable of absorbing up to 5.4-5.8% H2 mass fraction at temperatures and pressures of 520-550 K of 1.0-1.5 MPa. Hydrogen is released from the formed hydride phases at a temperature of 610-620 K and a pressure of 0.15-0.20 MPa. With multiple hydrogenation-dehydrogenation cycles, the sorption characteristics do not change significantly [19]. The intermetallic compound $LaNi_5$ and its metal-substituted derivatives have been studied by many authors because they are used as anode materials in nickel-metal hydride (Ni-MH) batteries, which in turn can replace the toxic element cadmium in alkaline batteries. However, the binary compound $LaNi_5$ is subject to severe corrosion during cycling due to the breakdown of the intermetallic compound in alkaline electrolyte, resulting in a rapid decrease in capacity with increasing number of cycles [20]. Nickel-metal hydride (Ni-MH) batteries, which use hydrogen-storing alloys as negative electrodes, have been widely studied due to their environmental safety and high operating efficiency. However, the electrochemical capacity of AB_5-type alloys, which are limited to the hexagonal structure of the $CaCu_5$ type, is insufficient. In addition, the energy density of Ni-MH batteries is low compared to some new-generation secondary batteries. In this regard, the development of new alloy types with high energy density, fast start-up capability, efficient operation in fast discharge mode, and low production cost has become a pressing issue [21-23]. It is well known that the substitution of La in $LaNi_5$ – type Ce or Mm alloys (industrial rare earth alloy) significantly affects the equilibrium pressures of hydrogen absorption and desorption, hysteresis parameters and hydrogenation/dehydrogenation enthalpies [24]. In order to improve the performance of nickel-metal hydride batteries, replacing nickel in $LaNi_5$-based metal hydride electrodes with other alloying elements is of great interest to many researchers. In fact, multicomponent alloys are usually used for practical applications for hydrogen storage. However, many studies devoted to the effect of alloying elements were mainly based on individual and discrete additives. Among the elements replacing Ni, Co, Mn and Al are the three most important elements added to hydrogen storage alloys. The beneficial effects of these elements have been studied extensively. Taking into account the operating conditions and cost, the alloying elements and their contents should be adjusted to achieve the desired optimum performance. However, in $LaNi_5$-based alloys containing (Co,Mn,Al), changes in the electrochemical properties of metal hydride electrodes with a fairly wide range of Ni contents are rare [25]. As demonstrated by numerous studies, partially substituting nickel atoms with aluminum in the $LaNi_5$ alloy significantly lowers the equilibrium pressure in the plateau region and reduces the hysteresis between hydrogen absorption and desorption pressures.However, partial replacement sharply reduces the hydrogen absorption capacity of the intermetallic compound. Especially at low temperatures, desorption slows down significantly. In addition, the presence of only 2 at.% manganese in the alloy reduces the equilibrium pressure in the system by almost half compared to $LaNi_5$, and even when the manganese content increases to 5 at.%, the hydrogen absorption capacity remains practically at the level of the original $LaNi_5$ compound. The conducted X-ray phase analysis confirmed the single-phase nature of the obtained sample and showed that the studied alloy has a hexagonal crystal lattice characteristic of the CaCu5 structural type with the parameters a = 5.045 ± 0.005 Å and c = 4.027 ± 0.005 Å [26]. It was shown in the works that even at a temperature of about 320 K, during long-term holding, ordering of dislocations in the metal occurs and experimentally, using precision equipment, it is possible to record a change in the

equilibrium pressure, hysteresis and heat of the hydrogenation reaction. The temperature conditions 313, 320, 353 K. are shown here. The intermediate hydride phase was structurally characterized by neutron diffraction, and changes in the nature of the stress state of the intermetallic matrix, concentration, and type of defects in the crystal structure were identified as the reason for its appearance [27].

Structural and phase characteristics of $LaNi_5$

Nickel metal hydride (Ni/MH) batteries based on alloy electrode for hydrogen storage have several important advantages over nickel cadmium (Ni/Cd) batteries, these systems have advantages such as high energy density and capacity, resistance to overcharging and deep discharge, as well as the absence of toxic heavy metals and no electrolyte consumption during charge/discharge cycles [28]. Magnesium hydride is a promising material for hydro regulation of the composition in the Mg-$LaNi_5$ system. It is used in this generation of storage systems due to its high capacity (Fig. 6). However, the slow work we are doing investigating the Mg-50 wt.% $LaNi_5$ composite on hydration and dehydration kinetics of pure magnesium, as well as the effect of high-intensity milling on the structure, limits its practical application. A number of studies have shown that the hydrogen storage properties are also subject to change. Doping magnesium with catalytic transition elements such as nickel, cobalt, titanium, or iron, as well as with intermetallic compounds like $LaNi_5$, FeTi, and Mg_2Ni, enhances the hydrogenation process. Additionally, effective experimental results on the dehydrogenation kinetics of magnesium at high temperatures (573 K) have been reported [29].

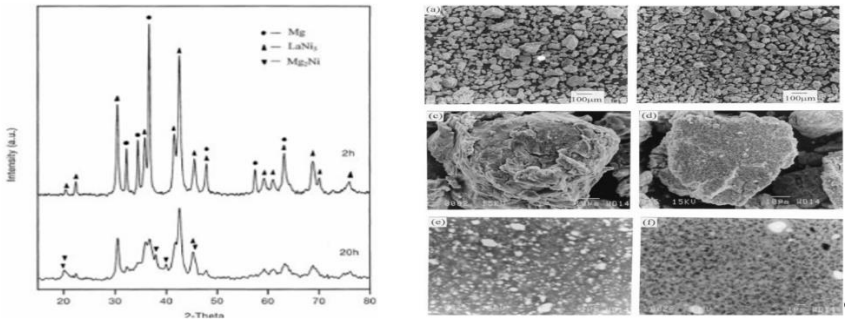


Figure 6 – X-ray spectra of Mg–50 wt% $LaNi_5$ composite after 2 and 20 h of grinding and SEM microstructures of Mg-50 wt.% $LaNi_5$ composite before (a, c, e) and after (b, d, f) hydrogenation; (a), (b) low-magnification images and (c), (d) high-magnification images; (e), (f) high-magnification scattered images [29]

In the study by the following authors, a mixture of magnesium (99.95%, 150 mesh) and nickel (99.95%, 250 mesh), purified hydrogen and argon (H_2O and O_2, less than 20 ppm) were used to produce Mg_2NiThe parameters of ball milling were as follows: the rod to metal powder ratio was 20 to 1, the rotation speed of ball milling was 0.2 s-1, and stearic acid was used as the processing reagent. Detailed TEM analyses were carried out to understand the change in the fine structure of mechanically alloyed Mg_2NiH_4 particles during the above milling steps. The hydrogen absorption properties of the nanocrystalline Mg_2Ni alloy obtained by the ball milling method were better than those of the conventional Mg_2Ni alloy [30].

According to the author of [31], several methods have been used to improve the properties of R–Mg–Ni-based alloys intended for hydrogen storage, such as element replacement in the alloy composition, rapid quenching, composite alloying, and surface modification. Among these methods, element replacement has proven to be an effective way to improve the cyclic stability of R–Mg–Ni-based alloys. The hydrogen storage materials used are rare earth alloy with magnesium and nickel AB3 with soft hydrogen storage conditions, moderate platform pressure and abundant raw material reserves, etc. The alloys can be produced by induction melting [32]. If we consider magnesium as an alloying element, that is, in the following literature [33] already in the 1970s it was discovered that solid solutions based on magnesium with a minimum content of the second component (up to 1 at.% Ag, ai, Cd, In, Pb, Y, Zn and Al, Ga, In) or mechanical mixtures of magnesium with hydrous metals and intermetallic compounds (Pb, V, $LaNi_5$, TiFe) were found to surpass individual magnesium in the rate of interaction with hydrogen. Nickel is one of the most effective activating components. It forms a compound Mg2Ni with magnesium, which is capable of reversibly absorbing hydrogen. The

hydrogen storage alloy La(Ni 1-x Fex)$_5$ was synthesized by melting stoichiometric mixtures of individual elements. High purity elements including La (99.9%), Ni, Fe and Co (99.99%) were taken in correct stoichiometric proportions and pressed into pellets (1 × 0.5 cm 2). The hydrogenation performance of the alloys was evaluated by measuring P-C isotherms and kinetics. The desorption isotherms corresponding to $LaNi_5$ and La(Ni_1-Xfex)$_5$ alloy were found to have the maximum storage capacity of 1.93, 1.96, 2.20, 1.78, 1.60 wt%. The X-ray diffraction analysis confirmed the formation of hexagonal structures of the CaCu5 type for all the studied composition [34].

This study investigates the XRD patterns of $LaNi_5$-based alloys, with particular attention to the direction and extent of peak broadening observed after activation and subsequent hydriding–dehydriding processes. Emphasis is placed on the development and accumulation of lattice strain in $LaNi_5$, as well as the influence of partial substitution of Ni with other elements on the strain formation within the crystal lattice [35]. A brief overview is provided of both qualitative and quantitative models that connect hydriding behavior – such as stability and hydrogen capacity – with various physical parameters, including formation enthalpy, unit cell volume, interstitial site dimensions, and electronic structure of these intermetallic compounds. The authors' specific contribution lies in establishing a relationship between compound stability and formation enthalpy. Furthermore, analysis of the crystal structures of certain Ni-substituted $LaNi_5$ compounds and their corresponding hydrides reveals a clear link between hydrogen absorption capacity and the number of hydrogen-occupied sites [36]. The $LaNi_5$ system adopts a hexagonal crystal structure of the $CaCu_5$-type, characterized by the P6/mmm space group, also known as the Haucke structure [37]. Among hydrogen storage alloys, AB_5-type compounds are the most widely utilized as negative electrode materials in nickel–metal hydride (Ni-MH) rechargeable batteries for portable electronic devices [38]. Observed phase transformations, element segregation, and structural degradation in La_2Mg_{17} with 40 wt% $LaNi_5$ during repeated hydrogenation–dehydrogenation cycles at temperatures reaching 350 °C. Additionally, it was reported in that the hydrogen storage capacity of $La_{0.5}Ni_{1.5}Mg_{17}$ declines progressively with cycling [39-40]. Nanocrystalline Mg_2Ni, synthesized via mechanical alloying of Mg and Mg_2Ni, demonstrates the ability to absorb hydrogen rapidly without requiring prior activation. In contrast, Mg + Mg_2Ni composite materials do require activation; however, once activated, they exhibit faster hydrogen absorption kinetics than pure Mg_2Ni at a relatively low temperature of 150 °C under 12 bar pressure, achieving a high storage capacity of 4.2 wt% [41].

Technologies and methods for obtaining $LaNi_5$ for use in hydrogen energy

SPS – is a complex multifactorial process, the study of which is at an early stage. Recent literature reviews note that many processes occurring during electric pulse plasma sintering are still not sufficiently clear. As for SPS in the literature, the physical description of SPS is based on the classical sintering theory, however, a number of aspects related to the fact that during high-speed heating the sintering process occurs in significantly nonequilibrium and non-stationary conditions cannot be described on the basis of the classical sintering theory. The main advantages of SPS technology include: – uniform heat distribution over the sample; – high density and controlled porosity; – no need for pre-pressure treatment and binders; – uniform sintering of homogeneous and dissimilar materials; – short working cycle time; – minimal grain growth and effect on the microstructure. The ability to consolidate the material in a short time at relatively low temperatures is a decisive advantage of the technology when working with thermally unstable iron nitrides, ensuring the retention of nitrogen in the material and tight control over grain growth [42]. According to the authors' group of IPS, in order to improve the cyclic stability of La-Mg-Ni alloy for hydrogen storage, the possible sintering temperature of $La_{0.78}$ $Mg_{0.22}$ $Ni_{3.70}$ alloy was investigated by spark plasma sintering (SPS). The fracture morphology and phase structure of the alloy were analyzed by scanning electron microscopy (SEM) and X-ray diffraction (XRD), and the electrochemical characteristics of the alloy were measured by the electrochemical method. The results show that the SPS process consists of expansion and compression stages, and the compression stage lasts longer than the expansion stage, and a higher compressed displacement is observed. The alloy is dense at first, and then loose with the increase of sintering temperature. The alloy consists of $LaNi_5$, $(La,Mg)_2Ni_7$ as the main phases and a small amount of $LaNi_{2.28}$ phases. The discharge capacity and cyclic stability of SPS alloy at 950°C are better than those of SPS alloys at 850, 900 and 1000°C [43].

For instance, in [44], the electrochemical properties of $La_{0.82}Mg_{0.18}Ni_{3.50}Co_{0.15}$ alloys synthesized via spark plasma sintering (SPS) were investigated using electrochemical

measurements, along with observations of physical parameters and microstructure. The sinterability of $La_{0.82}Mg_{0.18}Ni_{3.50}Co_{0.13}$ alloys at 900, 950, and 1000 °C is characterized by four stages: initial slight shrinkage, expansion, rapid shrinkage, and minor expansion.The maximum shrinkage displacement increases with increasing sintering temperature. All alloys consist of the $(La, Mg)_2$ (Ni, $Co)_7$ phase; in addition, temperatures of 900 and 950 °C are favorable for the formation of the (La, Mg) $(Ni, Co)_3$ phase, while the $LaNi_5$ phase is easily formed in the alloy synthesized by SPS at 1000 °C. Various methods of obtaining $LaNi_5$ have also been developed. $LaNi_5$ thin films can also be produced by magnetron ion spraying, powder sintering, composite materials based on intermetallic compounds using powder technology, electrochemical measurements show a significant change in the electrochemical characteristics of alloys associated with an increase in the sintering temperature. $LaNi_5$ thin films can be produced by magnetron ion spraying [45]. Metal hydrides as multifunctional materials are of particular importance for various hydrogen-related technologies. In addition to the widely used nickel-metal hydride batteries and solid-state storage systems, hydrides have proven their effectiveness in thermosorption compression and heat pump, as sensors and absorbers, in the separation and purification of hydrogen [46]. $LaNi_5$ and $MmNi_5$ based alloys have been extensively studied as hydrogen storage materials. These alloys are typically produced by melt casting [47]. This paper presents a study of the activation process of $LaNi_5$ alloy. To the best of our knowledge, this is the first systematic study on the effects of temperature, constant driving force, and pressure on the activation process [48]. This observation suggests that full activation of $LaNi_5$ can be achieved after just a single hydrogen absorption–desorption cycle. When $LaNi_5$ is hydrogenated without prior milling, it takes approximately 50 kiloseconds for complete hydrogen uptake. However, following ball milling in an inert gas atmosphere for only 0.6 kiloseconds, $LaNi_5$ becomes sufficiently activated. Therefore, ball milling under inert conditions followed by hydrogenation without air exposure proves to be an effective activation method for $LaNi_5$ [49]. The main factors influencing the performance of hydrogen storage materials include the capacity for hydrogen absorption and release, the thermal stability of the formed hydrides, the kinetics of hydration and dehydration reactions, and their thermodynamic and thermophysical characteristics. Furthermore, the crystal structure and surface-related phenomena, such as segregation and carbonization, are also of significant importance [50].

Conclusion

This paper presents a review of recent studies of the intermetallic compound $LaNi_5$, one of the most promising AB_5-type materials for hydrogen storage. The physicochemical properties of this compound, its ability to form stable reversible hydrides, and current trends in structural modifications to improve hydrogen absorption characteristics are considered.

Particular attention is focused on the effect of mechanical activation on the structural-phase states of $LaNi_5$ and, consequently, on its hydrogen interaction. Mechanical activation has been found to induce significant changes in the material’s microstructure by reducing crystallite size, increasing defect density, and partially amorphizing the material. These changes contribute to the improvement of the kinetics of hydrogen absorption and desorption, as well as to the increase in the specific hydrogen capacity.

Analysis of the latest achievements has shown that the most effective results can be achieved with the complex use of mechanical activation and alloying. Replacing nickel with other elements such as Co, Mn, Al and Fe allows fine-tuning the thermodynamic parameters of interaction with hydrogen and increasing the material's resistance to degradation during repeated cycles.

A review of methods for the synthesis and modification of intermetallic compounds confirmed that modern approaches, including spark plasma sintering and high-energy mechanical milling, are effective tools for improving the performance characteristics.

Thus, the analysis of the work performed shows the prospects of using mechanical activation as a method for increasing the efficiency of $LaNi_5$-based materials in hydrogen energy. The data obtained can be used in the development of highly efficient hydrogen storage systems and the creation of materials with specified characteristics.

References

1. Problemy akkumulirovaniya i hraneniya vodoroda himicheskie problemy / O.K. Fateev et al // Shemical problems, Rossiya. – 2018. – № 4(16) – H.453-483. (In Russian).

2. Effektivnye gidridoobrazuyushchie materialy na osnove $LaNi_5$ dlya sistem akkumulirovaniya energii / A.N. Kazakov et al // Rossijskie nanotekhnologii. – 2021. – tom 16, № 2. – P. 208-214. https://doi.org/10.1134/S1992722321020084. (In Russian).

3. Konik P.A. Sorbc. i gazorazd. svojstva kompozic.membrannyh materialov s metall-organicheskimi koordinacionnymi polimerami i gidridoobrazuyushchimi splavami v kachestve aktivnyh napolnitelej / P.A. Konik. – Moskva, 2020. – 246 s. (In Russian).
4. Vliyanie mekhanicheskoj aktivacii intermetallicheskogo soedineniya $LaNi_{2.5}$ $So_{2.4}$ $Mn_{0.1}$ na absorbciyu vodoroda / P.A. Konik et al // Zhurnal fizicheskoj himii. – 2020. – tom 94, № 5, S. 784-788. https://doi.org/10.31857/S004445372005012X. (In Russian).
5. Hydrogen Absorption Reactions of Hydrogen Storage Alloy $LaNi_5$ under High Pressure / S. Toyoto et al // Molecules. – 2023. – № 28(3). – P. 1256. https://doi.org/10.3390/molecules28031256. (In Russian).
6. Tarasov B.P. Fiziko-himicheskie osnovy sozdaniya effektivnyh vodorod-akkumuliruyushchih materialov / B.P. Tarasov. – Chernogolovka, 2024. – 125 s. (In Russian).
7. Vozmozhnosti metallurgii splavov v ao «giredmet»: ot metallogidridov do konstrukcionnyh specsplavov dlya vodorodnyh energotekhnologij / V.V. Sanin et al // Sbornik trudov. Nauchnaya konferenciya s mezhdunarodnym uchastiem «Vodorodnye energotekhnologii s ispol'zovaniem metallogidridov, Chernogolovka, 2024. – 17-20 s. (In Russian).
8. Volodin A.A. Intermetallidy dlya hraneniya vodoroda i elektrohimicheskih istochnikov energii / A.A. Volodin // Sbornik trudov. Nauchnaya konferenciya s mezhdunarodnym uchastiem «Vodorodnye energotekhnologii s ispol'zovaniem metallogidridov, Chernogolovka, 2024. – 45-50 s. (In Russian).
9. Korrelyaciya mezhdu harakteristikami processov gazofaznogo i elektrohimicheskogo gidrirovaniya intermetallicheskih soedinenij / A.A. Volodin et al // Zhurnal fizicheskoj himii. – 2020. – tom 94, № 5. – S. 796-802. https://doi.org/10.31857/S0044453720050258. (In Russian).
10. Shmalij S.V. Izuchenie struktury i elementnogo sostava intermetallidov $La(Ni,Al)_5$, poluchennyh metodom elektrodugovoj plavki / S.V. Shmalij, A.N. Lapshin, A.A. Volodin // Sbornik trudov, Chernogolovka. – 2024. – 103-206 s. (In Russian).
11. Hydrogen cycling induced degradation in $LaNi_5$ -type materials / J.-M. Joubert et al // Journal of Alloys and Compounds. – 2002. – P. 330-332, 208-214. https://doi.org/10.1016/S0925-8388(01)01640-1. (In English).
12. Bocharnikov M.S. Metallogidridnyj termosorbcionnyj kompressor vodoroda vysokogo davleniya / M.S. Bocharnikov, Yu.B. Yanenko, B.P. Tarasov // International Scientific Journal for Alternative Energy and Ecology, Chernogolovka. – 2012. – № 12(116). – 18-23 s. (In Russian).
13. Kisi E.H. The hydrogen activation of $LaNi_5$ / E.H. Kisi, C.E. Buckley, E.M. Gray // Journal of Alloys and Compounds. – 1992. – № 185(2). – P. 369-384. https://doi.org/10.1016/0925-8388(92)90484-q. (In Russian).
14. Solovej V.V. Analiz termodinamicheskih harakteristik metallogidridnyh sistem dlya hraneniya vodoroda s ispol'zovaniem modificirovannoj skhemy teorii vozmushchenij / V.V. Solovej, A.N. Avramenko, K.R. Umerenkova // Journal of Mechanical Engineering. – 2019. – Vol. 22, № 3. ISSN 0131-2928. (In Russian).
15. Physical properties and electronic structure of $LaNi_5$ compound before and after hydrogenation: An experimental and theoretical approach / Mojtaba S. Alavi Sadr (Zareii) et al // Iranian Journal of Hydrogen & Fuel Cell. – 2014. – № 1 – P. 27-39. (In English).
16. Nadol'skij D.S. Vodorodakkumuliruyushchie materialy / D.S. Nadol'skij, L.R. Zinnatullina, N.A. Medvedeva // Vestnik Permskogo universiteta. Seriya «Himiya». – 2019. – T. 9, vyp. 2. – S. 106-125. https://doi.org/10.17072/22231838-2019-2-106-125. (In Russian).
17. Electrochemical properties of the $LaNi_{3.55}Mn_{0.4}$ $Al_{0.3}$ $Co_{0.4}Fe_{0.35}$ hydrogen storage alloy / M. Tliha et al // Journal of Power Sources. – 2006. – № 160. – P. 1391-1394. https://doi.org/10.1016/j.jpowsour.2006.03.026. (In English).
18. Hydrogen storage in mechanically milled Mg–$LaNi_5$ and MgH_2–$LaNi_5$ composites / G. Liang et al // Journal of Alloys and Compounds. – 2000. – № 297. – P. 261-265. PII: S0925-8388(99)00592-7. (In English).
19. Vzaimodeĭstvie s vodorodom splavov Mg-rzm-Ni i kompozitov na ih osnove / D.N. Borisov et al // Proceedings of IX International Conference «Hydrogen Material Science and Chemistry of Metal Hydrides», Ukraine, 2005. – S. 128-129. (In Russian).
20. Magnetic properties of $LaNi_5$-based compounds / L.T. Tai et al // Journal of Magnetism and Magnetic Materials. – 2003. – № 262. – P. 485-489. https://doi.org/10.1016/S0304-8853(03)00082-9. (In English).

21. Microelectrochemistry study of metal-hydride battery materials Cycling behavior of $LaNi_{3.55}Mn_{0.4}Al_{0.3}Co_{0.75}$ compared with $LaNi_5$ and its mono-substituted derivatives / A. Merzouki et al // Journal of Power Sources. – 2002. – № 109. – P. 281-286. PII:S0378-7753(02)00074-5. (In English).
22. Ji L. Influence of annealing time on electrochemical hydrogen storage properties of $La_{0.5}Nd_{0.05}Sm_{0.3}Mg_{0.15}Ni_{3.5}$ alloys / L. Ji, X. Zhao, D. Ke // Journal Springer Nature. – 2018. https://doi.org/10.1007/s42452-018-0017-8. (In English).
23. Experimental study of the influences substitution from Ni by Co, Al and Mn on the hydrogen storage properties of $LaNi_{3.6}Mn_{0.3}Al_{0.4}Co_{0.7}$ alloy / C. Briki et al // International journal of hydrogen energy. – 2017. – P. 1-8. https://doi.org/10.1016/J.IJHYDENE.2017.02.065. (In English).
24. Vliyanie mishmetalla na svojstva gidridov na osnove $LaNi_5$ / N.V. Rtishcheva et al // Himicheskij fakul'tet, Moskovskij gosudarstvennyj universitet im. (In Russian).
25. Chang J.K. Effect of Ni content on the electrochemical characteristics of the $LaNi_5$-based hydrogen storage alloys / J.K. Chang, D.N.S. Shong, W.T. Tsai // Materials Chemistry and Physics. – 2004. – P.361-366. https://doi.org/10.1016/J.MATCHEMPHYS.2003.10.011. (In English).
26. Filatova E.A. Kalorimetricheskoe issledovanie vzaimodejstviya intermetallicheskogo soedineniya $LaNi_{4,5}Mn_{0,3}Al_{0,2}$ s vodorodom / E.A. Filatova, N.A. Yakovleva, K.N. Semenenko // Vestn. mosk. un-ta. ser. 2. himiya. – 2000. – T. 41, № 5. – P. 331-334s. (In Russian).
27. Klyamkin S.N. Neravnovesnye sostoyaniya i gisterezis sorbcii-desorbcii vodoroda v vodorodakkumuliruyushchih materialah / S.N. Klyamkin. – Moskva. – 2014. (In Russian).
28. Effect of Co content on the structural and electrochemical properties of the $La_{0.7}Mg_{0.3}Ni_{3.4-x}Mn_{0.1}Co_x$ hydride alloys / Y. Liu et al // Journal of Alloys and Compounds. – 2004. – № 376. – P. 296-303. https://doi.org/10.1016/j.jallcom.2004.01.007. (In English).
29. Hydrogen absorption properties of a mechanically milled Mg–50 wt.% LaNi composite / G. Liang et al // Journal of Alloys and Compounds. – 1998. – № 268. – P. 302–307. https://doi.org/10.1016/S0925-8388(97)00607-5. (In English).
30. Hydrogen Storage Properties of Nanocrystalline Mg_2Ni Based Alloys Prepared by Ball-Milling / Y. Xiong et al // Plasma Fusion Res. SERIES. – 2017. – Vol. 10. – P. 94-97. https://doi.org/10.12677/MS.2017.72031. (In English).
31. Effect of rare earth elements on electrochemical properties of La–Mg–Ni-based hydrogen storage alloys / L. Yuan et al // International Journal of Hydrogen Energy. – 2009. – № 34. – P. 1399-1404. https://doi.org/10.1016/J.IJHYDENE.2008.11.049. (In English).
32. Yang F. $La_2MgNi_{7.5}Co_{1.5}$ Hydrogen Storage Alloy Prepared by the Magnetic Field Assisted Sintering / F. Yang, H. Li, J. Liu // MATEC Web of Conferences. – 2018. – № 227. – P. 01006. https://doi.org/10.1051/matecconf/201822701006. (In English).
33. Klyamkin S.N. Metallgidridnye kompozicii na osnove magniya kak materialy dlya akkumulirovaniya vodoroda / S.N. Klyamkin // Ros.him.zh. (Zh.Ros.him.zh. ob-vo im. D.I. Mendeleeva). – 2006. – m. L, № 6. (In Russian).
34. Pandey S.K. Improvement in hydrogen storage capacity in $LaNi_5$ through substitution of Ni by Fe / S.K. Pandey, A. Srivastava, O.N. Srivastava // International Journal of Hydrogen Energy. – 2007. – № 32. – P. 2461-2465. https://doi.org/10.1016/J.IJHYDENE.2006.12.003. (In English).
35. X-ray diffraction peak broadening and lattice strain in $LaNi_5$-based alloys / Y. Nakamura et al // Journal of Alloys and Compounds. – 2000. – № 298. – P. 138-145. https://doi.org/10.1016/S0925-8388(99)00596-4. (In English).
36. Percheron-Guégan A. Correlations Between the Structural Properties, the Stability and the Hydrogen Content of Substituted $LaNi_5$ Compounds / A. Percheron-Guégan, C. Lartigue, J.C. Achard // J. Less-Common Met. – 1985. – № 109. – P. 287-309. (In English).
37. Investigation of changes in crystal and electronic structures by hydrogen within LaNi5 es / A.F. Al Alam et al. – 2009. – № 11. – P. 1098. (In English).
38. Microstructure of $LaNi_5$ Base Nanopowders Produced by High Energy Ball Milling / J. Kusiński et al // Solid State Phenomena. – 2012. – № 186. – P. 124-129. https://doi.org/10.4028/www.scientific. net/SSP.186.124. (In English).
39. Sakintuna B.A. Metal hydridematerials for solid hydrogen storage: A review / B.A. Sakintuna, Fb Lamari-Darkrim, Mc. Hirscher // International Journal of Hydrogen Energy. – 2007. – № 32. – P. 1121-1140. https://doi.org/10.1016/j.ijhydene.2006.11.022. (In English).
40. Hydrogen absorption and desorption characteristics in the La0.5Ni1.5Mg17 prepared by hydriding combustion synthesis / Q. Li et al // Int J Hydrogen Energy. – 2006. – № 31(4). – P. 497-503. (In English).

41. Mechanical alloying and hydrogen absorption properties of the Mg–Ni system / G. Liang et al // J Alloys Compds. – 1998. – № 267. – P. 302-6. (In English).
42. Smirnov V.L. Iskrovoe plazmennoe spekanie poroshkovyh materialov sistemy Fe-N / V.L. Smirnov, A.S. Yurovskih // XVII Mezhdunarodnaya nauchno-tekhnicheskaya Ural'skaya shkola-seminar metallovedov-molodyh uchenyh. – 2016. (In Russian).
43. LaMgNi hydrogen storage alloy prepared by spark plasma sintering / X.-P. Dong et al // Transactions of Materials and Heat Treatment. – 2014. (In English).
44. Effect of Spark Plasma Sintering Temperature on Electrochemical Properties of $La_{0.82}Mg_{0.18}Ni_{3.50}Co_{0.15}$ Alloy / X.P. Dong et al // Journal of Iron and Steel Research International – 2016. – № 23(5). – P. 459-465. https://doi.org/10.1016/S1006-706X(16)30073-5. (In English).
45. Aleksin E.N. Hranenie vodoroda v gidride intermetallicheskogo soedineniya $LaNi_5$ / E.N. Aleksin, A.A. Fokin // Morskoj Vestnik. – 2010. – № 3(35). – P.45-47. (In Russian).
46. Structure and hydrogenation features of mechanically activated $LaNi_5$-type alloys / P. Konik et al // International Journal of Hydrogen Energy. – 2021. – Т. 46, № 25. – P. 13638-13646. https://doi.org/10.1016/j.ijhydene.2020.07.163. (In English).
47. Liang G. Hydrogen storage properties of the mechanically alloyed $LaNi_5$-based materials / G. Liang, J. Huot, R. Schulz // Journal of Alloys and Compounds. – 2001. – № 320. – P. 133-139. https://doi.org/10.1016/s0925-8388(01)00929-x. (In English).
48. Sleiman S. Investigation of the First Hydrogenation of $LaNi_5$ / S. Sleiman, S. Shahgaldi, J. Huot // Reactions. – 2024. – Vol. 5, Iss. 3. – P. 419-428. https://doi.org/10.3390/reactions5030021. (In English).
49. Aoyagi H. Effect of ball milling on hydrogen absorption properties of FeTi, Mg2Ni and $LaNi_5$ / H. Aoyagi, K. Aoki, T. Masumoto // J Alloys Compds. – 1995. – № 231. – P. 804-9. (In English).
50. Experimental and theoretical analysis of hydrogen absorption in $LaNi_5$–H_2 reactors / A. Demircan et al // Int J Hydrogen Energy. – 2005. – № 30. – P. 1437-46. (In English).

This work was carried out within the framework of the implementation of the objectives of the project IRN No. PCF BR21882200 program target financing of the Science Committee of the Ministry of Science and Higher Education of the Republic of Kazakhstan.

М.К. Скаков[1], Н.М. Мұхамедова[1], А.К. Насырова[2*]
Қазақстан республикасының ұлттық Ядролық Орталығы,
180010,, Қазақстан Республикасы Курчатов қ., Бейбіт атом к-сі, 2б
Сәрсен Аманжолов Атындағы Шығыс Қазақстан Университеті,
070000, Қазақстан Республикасы, Өскемен қ., 30-шы Гвардиялық Дивизия, 34
*e-mail: anar.kenzhebekyzy@mail.ru

МЕХАНИКАЛЫҚ АКТИВТЕНДІРУДІҢ ҚҰРЫЛЫМДЫҚ-ФАЗАЛЫҚ КҮЙЛЕРГЕ ЖӘНЕ $LANI_5$ ИНТЕРМЕТАЛЛ ҚОСЫЛЫСЫНЫҢ СУТЕКТІ СІҢІРУ ҚАСИЕТТЕРІНЕ ӘСЕРІ-ШОЛУ

Мақалада сутегін сақтау үшін қорытпалар мен металларалық қосылыстарды қолдану бойынша бірқатар зерттеулерге шолу берілген. Олардың ішінде интерматалитті қосылыс $LaNi_5$ ерекше маңызды орынды алады. AB_5 түріндегі интерметалдық қосылыстарды әзірлеу және оңтайландыру саласындағы соңғы жетістіктер талданды. Бұл қосылыстар, атап айтқанда, $LaNi_5$ және оның легирленген аналогтары элементтерді ауыстыру арқылы олардың қасиеттерін реттеу мүмкіндігіне байланысты кеңінен қолданылады. Сондай-ақ мақалада сутегі технологияларында олардың тиімділігін арттыруға бағытталған AB5 қорытпаларын синтездеу және модификациялау әдістеріне шолу берілген. Өндірістің дәстүрлі әдістері де, заманауи технологиялық тәсілдер де, соның ішінде ұшқын плазмасын агломерациялау және механикалық белсендіру қарастырылады. Ғылыми әдебиеттерге шолу көрсеткендей, механикалық активтендіру оның сутегін сіңіру қасиеттерін жақсарту үшін интерметалитті қосылыстарды өзгертудің тиімді әдісі болып табылады. Бірқатар зерттеулерге сәйкес, жоғары энергиялы шарды ұнтақтаудың әсері материалдың микроқұрылымында айтарлықтай өзгерістерге әкеледі. $LaNi_5$-ны сутегі энергетикасында практикалық қолданудың тиімділігін арттыру үшін өңдеу параметрлері, құрылымдық сипаттамалары мен материалдың функционалдық қасиеттері арасындағы байланысты орнату үшін қосымша кешенді зерттеулер қажет. Бұл жұмыстың мақсаты-материалдың микроқұрылымын өзгерту, кристаллит мөлшерін азайту, ақаулардың тығыздығын арттыру және аморфты немесе наноқұрылымды күйлердің пайда болуына ықпал ету үшін

механикалық белсендіруді қолдану, бұл құрылымға және сутегімен өзара әрекеттесуге айтарлықтай әсер етуі мүмкін.

Түйін сөздер: *сутекті сақтау, интерметалитті қосылыстар, гидридтер, механикалық активтендіру.*

М.К. Скаков[1], Н.М. Мухамедова[1], А.К. Насырова[2*]
[1]Национальный ядерный центр Республики Казахстан,
180010, Республика Казахстан, г. Курчатов, ул. Бейбит атом, 2Б
[2]Восточно-Казахстанский университет имени Сарсена Аманжолова,
070000, Республика Казахстан, г. Усть-Каменогорск, ул. 30-й гвардейской дивизии, 34
[*]e-mail: anar.kenzhebekyzy@mail.ru

ВЛИЯНИЕ МЕХАНИЧЕСКОЙ АКТИВАЦИИ НА СТРУКТУРНО-ФАЗОВЫЕ СОСТОЯНИЯ И ВОДОРОДОПОГЛОЩАТЕЛЬНЫЕ СВОЙСТВА ИНТЕРМЕТАЛЛИЧЕСКОГО СОЕДИНЕНИЯ $LANI_5$ – ОБЗОР

В статье представлен обзор ряда исследований по использованию сплавов и интерметаллических соединений для хранения водорода. Среди них особое место занимает межметаллическое соединение $LaNi_5$. Проанализированы последние достижения в разработке интерметаллических соединений типа ab_5. Эти соединения, в частности, $LaNi_5$ и его легированные аналоги, широко используются благодаря возможности регулировать их свойства путем замены элементов. В статье также представлен обзор методов синтеза и модификации сплавов AB5, направленных на повышение их эффективности в водородных технологиях. Рассматриваются как традиционные методы производства, так и современные технологические подходы, включая искровое плазменное спекание и механоактивацию. Обзор научной литературы показал, что механическая активация является эффективным способом модификации интерметаллического соединения $LaNi_5$ для улучшения его свойств поглощения водорода. Согласно ряду исследований, воздействие высокоэнергетического шарового измельчения приводит к значительным изменениям в микроструктуре материала. Для повышения эффективности практического использования лавиверов в водородной энергетике необходимы дополнительные комплексные исследования для установления взаимосвязи между параметрами механической обработки, структурными характеристиками и функциональными свойствами материала. Целью данной работы является использование механической активации для изменения микроструктуры материала, уменьшения размера кристаллитов, увеличения плотности дефектов и стимулирования образования аморфных или наноструктурированных состояний, которые в совокупности могут существенно влиять на структуру и взаимодействие с водородом.

Ключевые слова: *хранение водорода, межметаллические соединения, гидриды, механическая активация.*

Information about the authors

Mazhyn Skakov – Doctor of Physical and Mathematical Sciences, Chief Researcher, RSE NNC RK, Kazakhstan; e-mail: skakov@nnc.kz. ORCID: https://orcid.org/0000-0003-3716-8846.

Nuriya Mukhamedova – PhD, Head of the Laboratory of Advanced Materials, branch of the Institute of Atomic Energy of the RSE NNC RK, Kazakhstan; e-mail: bakayeva@nnc.kz. ORCID: https://orcid.org/0000-0003-4189-6539.

Anar Nassyrova* – Doctoral student of the educational program 8D05301 – «Physics» (PhD) NJSC «East Kazakhstan University named after Sarsen Amanzholov»; e-mail: anar.kenzhebekyzy@mail.ru.

Авторлар туралы мәліметтер:

Мажын Канапинұлы Скаков – физика-математика ғылымдарының докторы, ҚР ҰЯО РМК бас ғылыми қызметкері, Қазақстан; e-mail: skakov@nnc.kz. ORCID: https://orcid.org/0000-0003-3716-8846.

Нурия Мейрамканқызы Мухамедова – PhD докторы, ҚР ҰЯО РМК Атом энергиясы институты филиалының перспективті материалдар зертханасының бастығы, Қазақстан; e-mail: bakayeva@nnc.kz. ORCID: https://orcid.org/0000-0003-4189-6539.

Анар Кенжебекқызы Насырова* – «С. Аманжолов атындағы ШҚУ» КЕАҚ 8D05301 – «Физика» білім беру бағдарламасының докторанты; e-mail: anar.kenzhebekyzy@mail.ru.

Сведения об авторах

Мажын Канапинович Скаков – д.ф.-м.н. главный научный сотрудник РГП НЯЦ РК, Қазақстан; e-mail: skakov@nnc.kz. ORCID: https://orcid.org/0000-0003-3716-8846.

Нурия Мейрамкановна Мухамедова – PhD, начальник лаборатории перспективных материалов филиал Институт атомной энергии РГП НЯЦ РК, Қазақстан; e-mail: bakayeva@nnc.kz. ORCID: https://orcid.org/0000-0003-4189-6539.

Анар Кенжебекқызы Насырова* – докторант образовательной программы 8D05301-«Физика», НАО «ВКУ имени С. Аманжолова»; e-mail: anar.kenzhebekyzy@mail.ru.

Received 24.10.2025
Revised 02.11.2025
Accepted 06.11.2025

https://doi.org/10.53360/2788-7995-2025-4(20)-65

IRSTI: 30.17.35

CC BY 4.0
Check for updates

A. Adylkanova[1], A. Kassymov[1], A. Bektemissov[1], T. Umyrzhan[1*], A. Gradoboev[2]
[1]Shakarim University,
071412, Republic of Kazakhstan, Semey, Glinki Street, 20 A
[2]National Research Tomsk Polytechnic University,
634050, Russia, Tomsk, Lenin Avenue, 30
*e-mail: timirlan-95@mail.ru

EFFECT OF NANOPARTICLES ON THE COUPLING OF TURBULENCE AND HEAT TRANSFER IN PIPE FLOWS WITH HEAT FLUX

Abstract: *Enhancing the efficiency of heat transfer processes remains one of the key challenges in modern energy and thermal engineering. Conventional working fluids, such as water and ethylene glycol, are limited in terms of thermal conductivity and heat capacity, which reduces their potential under high heat flux conditions. One of the promising approaches is the use of nanofluids – suspensions of nanoparticles in a base liquid that can modify its thermophysical properties and improve heat transfer performance.*

This study presents a numerical investigation of the flow of water and TiO_2-CuO nanofluid in a U-shaped tube channel under a constant heat flux. Computational fluid dynamics (CFD) was applied to analyze the distribution of turbulent kinetic energy (TKE), pressure variations along the channel, as well as integral heat transfer parameters: the heat transfer coefficient and heat absorption.

The results showed that water exhibits higher turbulent activity, with maximum TKE values reaching $1.9 \cdot 10^{-3}$ m^2/s^2, while the overall pressure drop is about 230 Pa. Its relatively low thermal conductivity (0.6 W/m·K) leads to a temperature rise of 5-7 °C at the outlet. For the TiO_2-CuO nanofluid, turbulence intensity decreases on straight sections (10^{-6}-10^{-5} m^2/s^2) and the pressure drop increases up to 270 Pa due to higher viscosity. However, improved thermophysical properties – thermal conductivity (0.702 W/m·K) and density – ensure more effective heat removal, with outlet overheating reduced to 4-5 °C.

Comparative analysis of heat absorption and the heat transfer coefficient revealed the advantage of the nanofluid: h=68.3 W/(m^2·K), Q=143 W compared with water (h=67.6 W/(m^2·K), Q=141.8 W). These results indicate that TiO_2-CuO nanofluid provides higher heat transfer efficiency with an acceptable increase in hydraulic losses, making it a promising coolant for compact and high-load thermal systems.

Key words: *nanofluid; TiO_2-CuO; CFD modeling; turbulent kinetic energy; thermophysical properties.*

Introduction

Modern heat transfer tasks – from solar energy systems to compact heat exchangers – impose high requirements on the efficiency of working fluids. Conventional liquids such as water, ethylene glycol, and their mixtures are limited in thermal conductivity and heat capacity, which often prevents them from achieving the required heat flux in compact designs. One promising solution to this problem is the use of nanofluids - suspensions of nanoparticles (1-100 nm in size) in a base liquid, which can enhance the thermophysical properties of the system. Research in this field has demonstrated that the addition of nanoparticles can improve thermal conductivity, increase effective heat capacity, and influence heat transfer due to Brownian motion, microscale thermal convection, and other effects [1-6].

Despite numerous experimental and theoretical studies, several key issues and contradictions remain:

1 Ambiguity of turbulence influence. Many studies emphasize the intensification of turbulent pulsations kinetic energy (TKE) as one of the main mechanisms of enhanced convective heat

transfer [7, 8]. However, with increased viscosity of nanofluids, small-scale vortices may be suppressed, reducing TKE. At the same time, heat transfer can remain at the same level or even improve due to higher thermal conductivity and heat capacity, which means the effect does not directly depend on turbulence.

2 Interdisciplinary nature of the problem. An adequate evaluation of nanofluid efficiency requires considering not only hydrodynamics Reynolds number (Re), but also the combination of thermophysical properties: viscosity, thermal conductivity, heat capacity, and density. Many studies focus only on thermal conductivity or changes in the Nusselt number (Nu), without analyzing how variations in properties affect the entire heat transfer process. Alami et al. (2023) critically note that the literature often underestimates the importance of the property complex and may overestimate the potential benefits of nanofluids [9].

3 Non-uniform experimental and modeling conditions. Different studies employ varying boundary conditions, such as fixed mass flow rate, different heat fluxes, and geometries [10]. This complicates direct comparison of results and often requires assumptions that may distort conclusions.

While many studies report convective enhancement with nanofluids, the literature rarely decouples turbulence intensity from property-driven effects under identical thermal loading and geometry. In particular, few works jointly examine how reduced turbulent kinetic energy (TKE) can coexist with higher overall heat transfer when thermal conductivity and density improve but viscosity rises. To address this gap, we perform a controlled computational fluid dynamics (CFD) study in a U-shaped tube at fixed wall heat flux and inlet temperature, comparing water and a TiO_2-CuO nanofluid. Our contribution is to (i) quantify the interplay between TKE, pressure loss, and integral heat-transfer metrics (h,Q) under matched boundary conditions; (ii) show that modest gains in h and Q are achievable even with lower TKE, attributable to property changes rather than turbulence intensification; and (iii) provide unit-consistent, reproducible inputs and reporting that facilitate comparison with future experiments and models.

Note on suspension stability and reproducibility. Reported thermophysical properties of nanofluids are sensitive to colloidal stability, which depends on pH control, the choice/dosage of surfactants or polymeric dispersants, and the ζ-potential (as a rule of thumb, $|\zeta| \gtrsim 30$ mV indicates electrostatic stabilization). For hybrid TiO_2-CuO systems, stability protocols should specify sonication time/power, aging time, and sedimentation observations (e.g., turbidity or UV-vis). Because stability directly affects effective k, μ, and c_p, we report input properties with units and uncertainties and discuss that small increases in μ may suppress small-scale turbulence while improved k can still raise h under fixed heat flux.

In this context, the aim of the present work is to perform a comparative analysis of two heat transfer fluids (water as the base liquid and a nanofluid) under a fixed heat flux and fixed inlet temperature, using both numerical approaches (CFD with evaluation of TKE) and classical correlations of heat transfer coefficients. The main focus is on clarifying whether a nanofluid can demonstrate comparable or improved heat transfer despite lower turbulence levels, due to its enhanced thermophysical properties.

Methods

For the numerical analysis, a section of a tubular heat exchanger designed as a U-shaped tube was considered. This configuration was chosen deliberately: the straight sections make it possible to trace the development of the turbulent regime at the inlet, while the bend allows the study of secondary flow formation and its effect on temperature distribution. Such a model is convenient for comparing different heat transfer fluids under conditions close to real operation.

The inlet condition for both cases was a coolant temperature of T_{in} =20°C. A constant heat flux of q=1000 W/m^2 was applied to the channel wall, ensuring comparability of regimes when using different working fluids.

Two variants of coolants were selected for analysis: water and the TiO_2-CuO nanofluid, which represents a suspension of titanium dioxide and copper oxide nanoparticles in water. This choice was motivated by the high thermal conductivity and chemical stability of TiO_2, as well as the enhanced thermal conductivity of CuO, which makes the combination promising for use in heat exchange systems.

The thermophysical properties of the working fluids are presented in Table 1. The data show that the nanofluid has higher density and thermal conductivity compared with water, while also being characterized by increased viscosity and somewhat lower heat capacity. This combination of

properties determines both the improvement in heat transfer efficiency and the increase in hydraulic losses.

Table 1 – Thermophysical properties of water and TiO_2-CuO nanofluid

Property	Water	Nanofluid TiO_2-CuO
Density	998,2 kg/m^3	1161 kg/m^3
Heat capacity	4182 J/kg·K	3533,6 J/kg·K
Thermal conductivity	0,6 W/m·K	0,702 W/m·K
Viscosity	0,001003 kg/m·s	0,0011533 kg/m·s

The channel model included two straight sections and a smooth bend (Figure 1). Such a design makes it possible to simultaneously evaluate the development of the boundary layer and the features of heat transfer in the region of the increased pressure gradient arising at the bend.



Figure 1 – Geometry of the investigated channel

For the discretization of the computational domain, a hybrid mesh was used, consisting of prismatic elements along the walls and tetrahedral elements in the channel volume. This approach made it possible to combine high accuracy in the near-wall region with optimized computational cost (Figure 2).

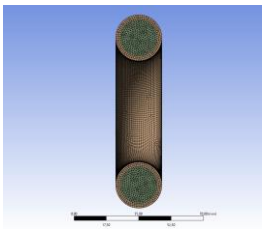


Figure 2 – Computational grid with local refinement in the near-wall region

Results and Discussion

The maximum values of turbulent kinetic energy (TKE) reach approximately $11.9 \cdot 10^{-3}$ m^2/s^2 and are observed in the bend region of the tube, which is associated with the formation of secondary flows and the intensification of velocity fluctuations (Figure 3). In the straight sections, TKE remains relatively low and uniform, at the level of 10^{-6}-10^{-4} m^2/s^2, which reflects the stabilization of the flow. Due to its low viscosity, water promotes freer development of turbulent fluctuations, which intensify when the flow direction changes.

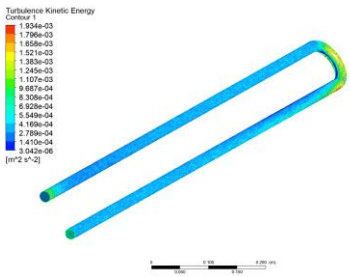


Figure 3 – Distribution of turbulent kinetic energy in the channel (working fluid – water)

The pressure distribution is shown in Figure 4. Pressure decreases smoothly from ≈233 Pa at the inlet to values close to zero at the outlet. The highest gradients are recorded in the bend region, where the pressure drop is about 50-70 Pa over a short section. The pressure decrease is

associated with hydraulic losses due to friction and the redistribution of velocities during curvilinear motion. For water, the total pressure losses are relatively small (about 230 Pa along the entire channel length) due to its low viscosity, which makes it an effective base coolant under moderate loads.

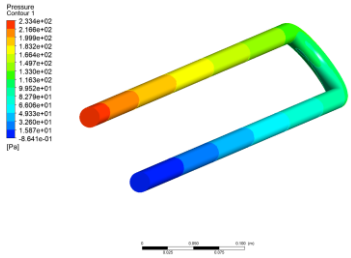


Figure 4 – Pressure distribution along the channel (working fluid – water)

The simulations showed that water is characterized by:
– higher TKE values compared with the nanofluid;
– relatively low pressure losses;
– uniform heating along the channel, with a noticeable temperature increase at the outlet.

Therefore, water provides intensive turbulent mixing; however, its efficiency is limited by relatively low thermal conductivity. This forms the basis for comparison with the TiO_2-CuO nanofluid, which has a different balance of thermophysical properties.

Figure 5 shows the pressure distribution during nanofluid flow. In the case of the nanofluid, the pressure values are higher compared to water: they reach ≈268 Pa at the inlet and decrease almost to zero at the outlet. This is associated with the increased viscosity of the TiO_2-CuO suspension and leads to greater hydraulic losses along the channel. The most pronounced pressure drop is observed in the bend region, where the local gradient reaches about 60-80 Pa over a short section.

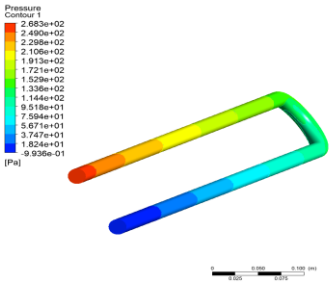


Figure 5 – Pressure distribution along the channel (working fluid – TiO_2-CuO nanofluid)

The distribution of TKE for the nanofluid is shown in Figure 6. The values of turbulent kinetic energy are lower than in the case of water: in the straight sections, the values are only 10^{-6}-10^{-5} m^2/s^2, whereas for water they reached 10^{-6}-10^{-4} m^2/s^2. This is explained by the higher viscosity of the suspension, which suppresses small-scale vortices and reduces the intensity of turbulent fluctuations. In the bend region, the TKE maximum of about $1.9 \cdot 10^{-3}$ m^2/s^2 is preserved; however, its level is lower compared to the base fluid, where more extensive areas of increased turbulence were observed.

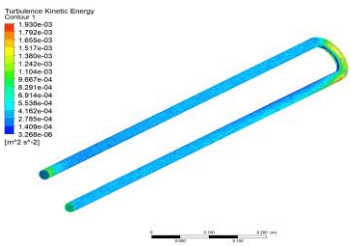


Figure 6 – Distribution of turbulent kinetic energy (working fluid – TiO_2-CuO)

For the TiO_2-CuO nanofluid, the following features are observed:
– a greater pressure drop compared to water, which is associated with increased viscosity;
– preservation of the overall flow pattern, but with a less pronounced turbulent structure.

Despite the reduction in turbulence, the heat transfer efficiency of the nanofluid remains high due to its improved thermophysical properties – thermal conductivity and heat capacity. This is further confirmed by the results of heat absorption and heat transfer coefficient analysis, presented in Figure 7.

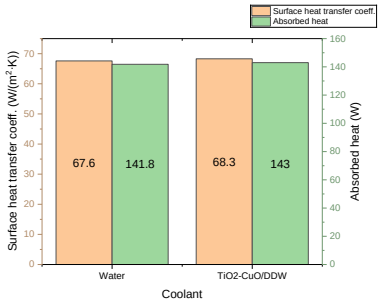


Figure 7 – Comparison of heat absorption and heat transfer coefficient for water and TiO_2-CuO nanofluid

Figure 7 clearly illustrates the differences between the two coolants. For water, the heat transfer coefficient is 67.6 W/(m^2·K), while heat absorption is 141.8 W. For the TiO_2-CuO nanofluid, the values are slightly higher: the heat transfer coefficient reaches 68.3 W/(m^2·K), and heat absorption is 143 W.

The results indicate that the nanofluid exhibits a small but consistent advantage in both heat transfer coefficient (+1%) and heat absorption (+0.8%). This confirms the effectiveness of using composite coolants in compact channels and under high thermal loads.

Conclusions

The numerical study made it possible to compare the thermohydraulic characteristics of water and the TiO_2-CuO nanofluid in a U-shaped tubular channel under an imposed heat flux.

The results showed that:

1 Water is characterized by higher turbulent activity: the maximum values of turbulent kinetic energy reach ≈1.9·10^{-3} m^2/s^2, while in the straight sections they remain at the level of 10^{-5}-10^{-4} m^2/s^2. The pressure losses amount to only about 230 Pa along the channel length. However, the thermal conductivity of water (≈0.6 W/m·K) is limited, which reduces heat transfer efficiency: the outlet temperature rise is ≈5-7 °C.

2 The TiO_2-CuO nanofluid shows the opposite behavior: turbulent kinetic energy is lower (10^{-6}-10^{-5} m^2/s^2 in straight sections, with a maximum in the bend also around 1.9·10^{-3} m^2/s^2). The inlet pressure is higher (≈268 Pa), and the pressure drop across the channel is about 270 Pa due to increased viscosity. At the same time, the improved thermophysical properties - thermal conductivity of 0.702 W/m·K and higher density – provide more efficient heat removal, resulting in a smaller overheating of the fluid (≈4-5 °C at the outlet).

3 A comparison of heat absorption and heat transfer coefficient showed that for water, the total heat absorption was 141.8 W with an average heat transfer coefficient of 67.6 W/(m^2·K), while for the TiO_2-CuO nanofluid, heat absorption was 143 W and the heat transfer coefficient 68.3 W/(m^2·K). This indicates that water provides higher integrated heat absorption due to more developed turbulence, while the nanofluid demonstrates a slightly higher heat transfer coefficient owing to its enhanced thermal conductivity.

The use of TiO_2-CuO nanofluid therefore makes it possible to increase the heat transfer coefficient against the background of a moderate rise in hydraulic losses. These findings confirm the potential of composite coolants for application in compact heat exchangers and systems with increased requirements for heat transfer efficiency.

References

1. A review on nanofluids coupled with extended surfaces for heat transfer enhancement / M.L. Ho et al // Results in Engineering. – 2023. – № 17. – P. 100957.

2. A detailed thermohydraulic performance assessment of surface-modified silver nanofluids in turbulent convective heat transfer / W. Bunpheng et al // Journal of Thermal Analysis and Calorimetry. – 2024. – № 149(17). – P. 10061-10079.

3. Experimental and machine learning study on the influence of nanoparticle size and pulsating flow on heat transfer performance in nanofluid-jet impingement cooling / E.O. Atofarati et al // Applied Thermal Engineering. – 2024. – № 258. – P. 124631.
4. Kareem A.K. Simulation study of heat transfer behaviour of turbulent two-phase flow in a 3D cubic shell and tube heat exchanger using water and different nanofluids / A.K. Kareem, A.H. Alabbasi, A.M. Mohsen // Results in Engineering. – 2024. – № 24. – P. 102851.
5. Enhancing heat transfer in a heat exchanger: CFD study of twisted tube and nanofluid (Al2O3, Cu, CuO, and TiO2) effects / V. Ghazanfari et al // Case Studies in Thermal Engineering. – 2024. – № 53. – P. 103864.
6. Heat transfer improvement in copper heat pipes using hybrid nanofluids: a comparative analysis / R. Dhairiyasamy et al // Journal of Thermal Analysis and Calorimetry. – 2025. – № 1-20.
7. Computational modelling and analysis of heat transfer enhancement in straight circular pipe with pulsating flow / S.V. Nishandar et al // International Journal on Interactive Design and Manufacturing (IJIDeM). – 2025. – № 19(3). – P. 1951-1969.
8. Towards a better understanding of high Reynolds number flow in U-tube heat exchangers: Insights from particle image velocimetry and computational fluid dynamics / G. Ligus et al // Energy conversion and management. – 2025. – № 343. – P. 120211.
9. A critical insight on nanofluids for heat transfer enhancement / A.H. Alami et al // Sci Rep. – 2023. – № 13. – P. 15303.
10. Investigating enhanced convection heat transfer in 3D micro-ribbed tubes using inverse problem techniques / Z. Wang et al // Energies. – 2024. – № 17(20). – P. 5102.

Funding information

This research is funded by the Science Committee of the Ministry of Science and Higher Education of the Republic of Kazakhstan (grant no.AP19678220).

А.Ж. Адылканова[1], А.Б. Касымов[1], А.А. Бектемисов[1], Т.Н. Умыржан[1*], А.В. Градобоев[2]
[1]Шәкәрім университеті,
071412, Республика Казахстан, г. Семей, ул. Глинки, 20 А
[2]ФГАОУ ВО «Национальный исследовательский Томский политехнический университет»,
634050, Россия, г. Томск, проспект Ленина, дом 30
*e-mail: timirlan-95@mail.ru

ВЛИЯНИЕ НАНОЧАСТИЦ НА СВЯЗЬ ТУРБУЛЕНТНОСТИ И ТЕПЛООТДАЧИ ПРИ ТЕПЛОВОМ ПОТОКЕ В ТРУБАХ

Повышение эффективности процессов теплообмена является одной из ключевых задач современной энергетики и теплотехники. Традиционные рабочие жидкости, такие как вода и этиленгликоль, ограничены по теплопроводности и теплоёмкости, что снижает их потенциал в условиях высоких тепловых нагрузок. Одним из направлений решения этой задачи является применение наножидкостей – дисперсий наночастиц в базовой жидкости, способных корректировать её теплофизические характеристики и повышать эффективность теплоотдачи.

В работе проведено численное исследование течения воды и наножидкости TiO_2-CuO в U-образном трубчатом канале при постоянном тепловом потоке. Для анализа использовалось моделирование методом вычислительной гидродинамики (CFD), позволившее оценить распределение турбулентной кинетической энергии (TKE), изменение давления вдоль канала, а также интегральные показатели теплообмена: коэффициент теплоотдачи и тепловосприятие.

Результаты показали, что вода обладает более высокой турбулентной активностью: максимальные значения TKE достигают $1.9 \cdot 10^{-3}$ м^2/с^2, при этом суммарное падение давления составляет около 230 Па. Ограниченная теплопроводность (0.6 Вт/м·К) приводит к росту температуры на выходе на 5-7 °С. Для наножидкости TiO_2-CuO характерно снижение уровня турбулентных флуктуаций на прямолинейных участках (10^{-6}-10^{-5} м^2/с^2) и увеличение перепада давления до 270 Па, однако более высокая теплопроводность (0.702 Вт/м·К) и плотность обеспечивают более эффективный отвод тепла, снижая перегрев жидкости до 4-5 °С на выходе.

Сравнительный анализ тепловосприятия и коэффициента теплоотдачи показал преимущество наножидкости: h=68.3 Вт/(м^2·К), Q=143 Вт по сравнению с водой (h=67.6 Вт/(м^2·К), Q=141.8Вт). Эти результаты свидетельствуют о том, что наножидкость TiO_2-CuO способна обеспечить более высокую эффективность теплопередачи при допустимом увеличении гидравлических потерь, что делает её перспективным теплоносителем для применения в компактных и энергонапряжённых системах.

Ключевые слова: *наножидкость, TiO_2-CuO, CFD-моделирование, турбулентная кинетическая энергия, теплофизические свойства.*

А.Ж. Адылканова[1], А.Б. Касымов[1], А.А. Бектемисов[1], Т.Н. Умыржан[1*], А.В. Градобоев[2]
[1]Шәкәрім университеті,
071412, Қазақстан Республикасы, Семей қ., Глинки көшесі, 20А
[2] Ұлттық зерттеу Томск политехникалық университеті,
634050, Ресей, Томск қ., Ленин даңғылы, 30
*e-mail: timirlan-95@mail.ru

НАНОБӨЛШЕКТЕРДІҢ ҚҰБЫРЛАРДАҒЫ ЖЫЛУ АҒЫНЫ КЕЗІНДЕ ТУРБУЛЕНТТІЛІК ПЕН ЖЫЛУ БЕРІЛІСІНІҢ БАЙЛАНЫСЫНА ӘСЕРІ

Жылу алмасу үдерістерінің тиімділігін арттыру қазіргі энергетика мен жылу техникасының негізгі міндеттерінің бірі болып табылады. Су, этиленгликоль сияқты дәстүрлі жұмыс сұйықтықтары жылу өткізгіштік пен жылусыйымдылық тұрғысынан шектеулі, бұл олардың жоғары жылулық жүктеме жағдайындағы мүмкіндіктерін азайтады. Бұл мәселенің ықтимал шешімдерінің бірі – базалық сұйықтықтағы нанобөлшектер дисперсиясы болып табылатын наносұйықтықтарды қолдану, олар жүйенің термофизикалық қасиеттерін түзетіп, жылу алмасудың тиімділігін арттыра алады.

Бұл жұмыста тұрақты жылу ағыны жағдайында U-тәрізді түтікшелі арнадағы судың және TiO_2-CuO наносұйықтығының ағыны сандық тұрғыдан зерттелді. Зерттеу үшін есептеу гидродинамикасының (CFD) әдістері қолданылды, олар турбуленттік кинетикалық энергияның (ТКЭ) таралуын, арна бойындағы қысым өзгерістерін, сондай-ақ жылу алмасудың интегралдық көрсеткіштерін өжылу беру коэффициенті мен жылуды сіңіру шамаларын – бағалауға мүмкіндік берді.

Нәтижелер көрсеткендей, су жоғары турбуленттік белсенділікке ие: ТКЭ-нің максималды мәндері $1.9 \cdot 10^{-3}$ $м^2/с^2$-ге жетеді, ал қысымның жалпы түсуі шамамен 230 Па құрайды. Жылу өткізгіштігінің шектеулі болуы (0.6 Вт/м·К) шығыстағы температураның 5-7 °С-қа дейін көтерілуіне әкеледі. TiO_2-CuO наносұйықтығына түзу учаскелерде турбуленттік тербелістер деңгейінің төмендеуі (10^{-6}-10^{-5} $м^2/с^2$) және қысым айырмасының 270 Па-ға дейін артуы тән. Дегенмен, жоғары жылу өткізгіштік (0.702 Вт/м·К) пен тығыздық жылуды тиімдірек әкетуді қамтамасыз етіп, шығыстағы сұйықтықтың қызуын 4-5 °С-қа дейін төмендетеді.

Жылуды сіңіру мен жылу беру коэффициентін салыстыру наносұйықтықтың артықшылығын көрсетті: h=68.3 Вт/($м^2$·К), Q=143 Вт, ал су үшін бұл көрсеткіштер h=67.6 Вт/($м^2$·К), Q=141.8 Вт болды. Бұл нәтижелер TiO_2-CuO наносұйықтығының гидравликалық шығындардың қабылданатын артуы аясында жылу алмасудың жоғары тиімділігін қамтамасыз ете алатынын, сондай-ақ оны ықшам және энергияға қанықкан жүйелерде болашағы бар жылу тасығыш ретінде қолдануға болатынын дәлелдейді.

Түйін сөздер: *наносұйықтық; TiO_2-CuO; CFD-модельдеу; турбуленттік кинетикалық энергия; теплофизикалық қасиеттер.*

Сведения об авторах

Айнур Жарылкасыновна Адылканова – PhD докторант образовательной программы «Техническая физика» кафедры «Техническая физика и теплоэнергетика», Шәкәрім университет, Республика Казахстан; e-mail: aiko6a8383@mail.ru. ORCID: https://orcid.org/0009-0006-6068-3941.

Аскар Багдатович Касымов – PhD, Член правления – проректор по стратегии и социальному развитию, Шәкәрім университет, Республика Казахстан; e-mail: askar.kassymov@shakarim.kz. ORCID: https://orcid.org/0000-0002-1983-6508.

Ануар Алмасбекович Бектемисов – научный сотрудник кафедры «Техническая физика и теплоэнергетика», Шәкәрім университет, Республика Казахстан; e-mail: anuar.bektemissov@icloud.com. ORCID: https://orcid.org/0000-0002-0364-4632.

Темірлан Нұрланұлы Умыржан* – PhD докторант образовательной программы «Техническая физика» кафедры «Техническая физика и теплоэнергетика», Шәкәрім университет, Республика Казахстан; e-mail: timirlan-95@mail.ru. ORCID: https://orcid.org/0009-0008-9111-1975.

Александр Васильевич Градобоев – доктор технических наук, профессор-консультант отделения экспериментальной физики; ФГАОУ ВО «Национальный исследовательский Томский политехнический университет», Россия; e-mail: gradoboev1@mail.ru. ORCID: https://orcid.org/0000-0002-2803-5972.

Авторлар туралы мәліметтер

Айнур Жарылкасыновна Адылканова – «Техникалық физика» білім беру бағдарламасының PhD докторанты, «Техникалық физика және жылуэнергетика» кафедрасы, Шәкәрім университеті, Қазақстан Республикасы; e-mail: aiko6a8383@mail.ru. ORCID: https://orcid.org/0009-0006-6068-3941.

Аскар Багдатович Касымов – PhD, Басқарма мүшесі – стратегия және әлеуметтік даму жөніндегі проректор, Шәкәрім университеті, Қазақстан Республикасы; e-mail: askar.kassymov@shakarim.kz. ORCID: https://orcid.org/0000-0002-1983-6508.

Ануар Алмасбекович Бектемисов – «Техникалық физика және жылуэнергетика» кафедрасының ғылыми қызметкері, Шәкәрім университеті, Қазақстан Республикасы; e-mail: anuar.bektemissov@icloud.com. ORCID: https://orcid.org/0000-0002-0364-4632.

Темірлан Нұрланұлы Умыржан* – «Техникалық физика» білім беру бағдарламасының PhD докторанты, «Техникалық физика және жылуэнергетика» кафедрасы, Шәкәрім университеті, Қазақстан Республикасы; e-mail: timirlan-95@mail.ru. ORCID: https://orcid.org/0009-0008-9111-1975.

Александр Васильевич Градобоев – техника ғылымдарының докторы, тәжірибелік физика бөлімінің профессор-кеңесшісі; «Ұлттық зерттеу Томск политехникалық университеті», Ресей Федерациясы; e-mail: gradoboev1@mail.ru. ORCID: https://orcid.org/0000-0002-2803-5972.

Information about the authors

Ainur Zharylkassynovna Adylkanova – PhD doctoral student of the educational program «Technical Physics», Department of Technical Physics and Heat Power Engineering; Shakarim University, Republic of Kazakhstan; e-mail: aiko6a8383@mail.ru. ORCID: https://orcid.org/0009-0006-6068-3941.

Askar Bagdatovich Kassymov – PhD, Member of the Board – Vice-Rector for Strategy and Social Development, Shakarim University, Republic of Kazakhstan; e-mail: askar.kassymov@shakarim.kz. ORCID: https://orcid.org/0000-0002-1983-6508.

Anuar Almasbekovich Bektemissov – Researcher, Department of Technical Physics and Heat Power Engineering; Shakarim University, Republic of Kazakhstan; e-mail: anuar.bektemissov@icloud.com. ORCID: https://orcid.org/0000-0002-0364-4632.

Temirlan Nurlanuly Umyrzhan* – PhD doctoral student of the educational program «Technical Physics», Department of Technical Physics and Heat Power Engineering; Shakarim University, Republic of Kazakhstan; e-mail: timirlan-95@mail.ru. ORCID: https://orcid.org/0009-0008-9111-1975.

Alexander Vasilievich Gradoboev – Doctor of Technical Sciences, Professor-Consultant, Division of Experimental Physics; National Research Tomsk Polytechnic University, Russian Federation; e-mail: gradoboev1@mail.ru. ORCID: https://orcid.org/0000-0002-2803-5972.

Received 06.10.2025
Revised 24.10.2025
Accepted 28.10.2025

https://doi.org/10.53360/2788-7995-2025-4(20)-66

BY 4.0
Check for updates

IRSTI: 44.31.01

A.R. Khazhidinova[1*], A.S. Khazhidinov[2], O.A. Stepanova[1], T.N. Umyrzhan[1]
[1]Shakarim University,
071412, Republic of Kazakhstan, Semey, 20 A Glinka Street
[2]Center of Nuclear Medicine and Oncology,
071400, Republic of Kazakhstan, Semey, 3 Kutzhanova Street
*e-mail: khazhidinova1991@mail.ru

STUDY ON THE GRINDING EFFICIENCY OF NON-DESIGN KARAZHYRA COAL IN BALL DRUM AND HAMMER MILLS

Annotation: *This paper presents a comparative study on the grinding efficiency of non-design Karazhyra coal using two main types of milling equipment: ball mills and hammer mills. The research was conducted to assess the suitability of local fuel for combustion in boiler units not originally designed for this type of coal. Laboratory sieve analysis was performed to determine the particle size distribution of the pulverized fuel. For the first time, polydispersity coefficients for Karazhyra coal dust, processed in both types of mills, were obtained and analyzed. Sieve residue measurements showed that in the product of the hammer mill only 0.2% of particles remained on the 400 μm sieve, whereas in the product of the ball drum mill this value was 2.5%. This indicates an almost complete elimination of coarse fractions during grinding in the hammer mill. It was found that with both grinding methods about 88% of coal dust particles are smaller than*

200 μm. At the same time, the residue on the 90 μm sieve was 32% for the ball drum mill and 53% for the hammer mill. Thus, the hammer mill product is characterized by an increased proportion of medium-sized particles (90-200 μm) in the absence of an excessive amount of ultrafine fractions. The absence of coarse and ultrafine fractions during grinding in the hammer mill contributes to the formation of a higher polydispersity index of coal dust, which was 1.51, whereas for the ball drum mill it was only 0.78. The findings suggest that both mills are suitable for fuel preparation, but the hammer mill ensures better combustion quality and thermal efficiency. Therefore, it is recommended as the more effective solution for the preparation of non-design coal in thermal. The conducted studies serve as a basis for further study of the characteristics and behavior of non-design coal in various operating modes.

Key words: *non-design coal, coal grinding, ball drum mill, hammer mill, particle size distribution, polydispersity coefficient.*

Introduction

Modern power generation facilities operating boiler equipment face the necessity of adapting to changing fuel supply conditions [1-2]. To conserve resources and improve economic efficiency, the use of non-design coal – those not originally intended for use in the equipment's design – is becoming increasingly common [3-4].

Switching to non-design coal entails a range of technical and operational challenges, including variability in calorific value, higher ash and moisture content, as well as potential corrosion and slagging issues. Nevertheless, the introduction of modern fuel preparation, dosing, and combustion technologies, along with improved automatic control systems, allows for the successful adaptation of existing boiler systems to alternative fuels [5-6].

One of the key stages in preparing non-design coal for combustion is grinding. The degree of fineness and the uniformity of particle size distribution affect not only combustion completeness, but also flame stability, ash content, equipment wear, and the overall efficiency of boiler units [7]. According to study [8], the influence of the grinding method and coal-biomass mixing on the atomization processes of fuel blends under varying atomizing air pressure was investigated. To evaluate the milling performance of coal and torrefied wood pellets (TPs), various blend ratios were tested using a bench-scale roller mill in study [9].

In [10] different coal preparation methods for small-capacity boiler applications were evaluated, demonstrating how fuel preprocessing can significantly improve combustion efficiency and environmental performance, reducing fuel consumption and emissions.

Study [11] experimentally assessed how mixing coal with biomass affects boiler performance and emissions, highlighting the operational implications of fuel preparation and dosing strategies.

Karazhyra coal is classified as a non-design fuel [12]. The relevance of this study lies in the need to ensure reliable and environmentally safe operation of boiler units using locally sourced coal. The aim of this work is to evaluate the effectiveness of preparing non-design coal for combustion by analyzing the fineness of coal dust produced by different types of milling equipment.

Methods

Karazhyra coal is predominantly burned in pulverized form, requiring that the coal dust meet specific dispersion standards [13]. Particle size significantly influences combustion efficiency and, consequently, the energy performance of boiler units.

Therefore, determining the particle size distribution of coal dust is a critical step in fuel preparation. Coal dust is a dispersed mixture of particles ranging from 0.1 to 500 μm [14]. To assess the combustion suitability of the coal dust, laboratory analyses were conducted at the Semey TPP-1 to determine grinding fineness. The sieve analysis method was used for this study.

Coal was ground in industrial mills: the hammer mill MMT-1300/1310/750K and the ball drum mill ShBM-10/250/390. The process was conducted at nominal fuel feed and standard air supply, with a calculated throughput of 16 t/h for MMT and 3.5 t/h for ShBM. Grinding parameters followed the manufacturer’s technical specifications. Samples of coal dust after mills were taken from dust pipelines in accordance with the requirements of GOST ISO 13909-4-2018 [15].

Sieve analysis involves screening a dust sample weighing 25-50 g through a set of standardized sieves [16]. Sieves with mesh sizes of 1000, 800, 400, 200, 120, 90, 75, and 60 μm are commonly used. In industrial conditions, sieving with two or three sieves (typically 90, 200, and 1000 μm) is often sufficient, starting with the coarsest.

The portion of material retained on a sieve is expressed as a percentage of the original sample mass and denoted as *R* with the sieve size as a subscript (e.g., R_{1000}). The portion that passes through the sieve is denoted as *D* with the mesh size (e.g., D_{200}). The sum of residue and passing material equals 100%.

Before entering the mills, the non-design coal was pre-cleaned of gravel and metal inclusions and pre-crushed in crushers. A two-stage crushing system is used at the TPP, ensuring a maximum coal chunk size of 200 mm at the crusher outlet.

The sieve analysis of non-design coal involved the following four stages:

1. Sampling 50 g fuel portions after grinding in the ball drum and hammer mills;
2. Sieving each sample for 20 minutes using a vibratory sieve shaker;
3. Measuring the mass of residue on each sieve;
4. Calculating the particle size distribution.

In addition to residue determination, an important parameter in evaluating the grinding quality is the polydispersity coefficient (n), which reflects the uniformity of the particle size distribution [14]. A higher ***n*** value indicates a uniform particle size. It is calculated using Equation (1):

$$n = \frac{lgln\frac{100}{R_{200}} - lgln\frac{100}{R_{90}}}{\lg\frac{200}{90}} \quad (1)$$

Hammer mills typically produce dust with **n** values between 1.1 and 1.6, while ball drum mills yield **n** values between 0.7 and 1. A more uniform grind results in better ignition and combustion of coal dust [16].

Results and Discussion

The sieve analysis yielded integral grain size characteristics of the Karazhyra coal. Figure 1 shows the dependence of residue percentage on particle size **x**.

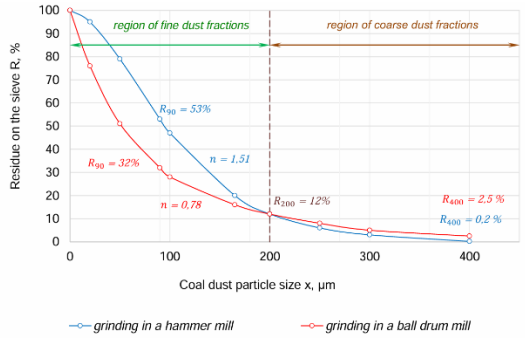


Figure 1 – Integral grain size characteristics of Karazhyra coal dust

The curve representing the integral grain size distribution of Karazhyra non-design coal dust produced in a hammer mill is steeper than the corresponding curve for dust produced in a ball drum mill.

Analysis of the results indicates that coal dust from non-design Karazhyra coal produced in a hammer mill is closer to monodisperse.

The particle residue on the 400-micron sieve was 2.5% for the ball drum mill and only 0.2% for the hammer mill. This indicates that grinding in the hammer mill virtually eliminates the presence of excessively coarse particles, which are characterized by poor combustion performance.

The residue on the 200-micron sieve was 12%, meaning that 88% of the coal dust particles from the non-design fuel were smaller than 200 microns and passed easily through the sieve. Consequently, the high proportion of particles passing through the sieve indicates a low content of coarse fractions in the dust obtained by both methods of non-design coal grinding.

Most of the coal dust from non-design fuel is concentrated in the fine fraction range. On the 90-micron sieve, the residue was 32% for the ball drum mill and 53% for the hammer mill. This means that the hammer mill retains a larger proportion of medium-sized particles (90-200 μm) without producing an excessive amount of ultrafine fractions. Such a balance is beneficial for stable combustion, as an overabundance of very fine particles leads to fuel losses due to entrainment.

The absence of coarse and ultrafine fractions during grinding in the hammer mill contributes to the formation of a higher polydispersity index of coal dust. The polydispersity coefficient (n) of coal

dust obtained by grinding in a ball drum mill was 0.78, while grinding in a hammer mill yielded a value of 1.51.

Table 1 presents the results of a comparative analysis of hammer and ball drum mill performance in preparing coal dust from non-design Karazhyra coal.

Table 1 – Comparative Analysis of Hammer Mill and Ball Drum Mill Performance in Preparing Coal Dust from Non-Design Karazhyra Coal

Parameter	Hammer Mill	Ball Drum Mill
Operating principle	Grinding by hammer impact	Grinding by impact and friction of metal balls inside the drum
Uniformity of non-design fuel grind	n = 1.51 (toward upper range for hammer mills; particles are relatively uniform)	n = 0.78 (toward lower range for ball drum mills; particles are less uniform)
Dust particle size range	88% of particles < 200 μm; fine fractions dominate, ensuring better combustion, higher heat output, and stable burning	

A comparative analysis of the two primary types of mills confirms that both are suitable for producing coal dust from non-design Karazhyra coal. However, the hammer mill showed higher grinding efficiency under the test conditions, providing more stable and economical equipment operation compared to the ball drum mill.

Conclusion

The use of non-design coal, particularly Karazhyra coal, is a promising approach to ensuring energy security and stable operation of boiler units under limited fuel supply conditions. This study led to the following conclusions:

- For the first time, polydispersity coefficients were determined for coal dust from Karazhyra coal ground in two types of milling equipment: hammer mill (**n** = 1.51) and ball drum mill (**n** = 0.78). These coefficients reflect particle size uniformity and enable comparative grinding performance assessments.
- Integral grain size characteristics of coal dust from both mills were established. Sieve analysis revealed greater fineness from the hammer mill.
- Residue on the 400 μm sieve was 0.2% for the hammer mill and 2.5% for the ball drum mill, indicating fewer coarse particles in the former. At 90 μm, the residue was 53% and 32%, respectively, showing a higher proportion of fine particles in the hammer-milled dust.
- Both mills produced coal dust suitable for pulverized coal combustion. However, the hammer mill achieved better grinding homogeneity and fineness.
- Based on the experimental data, the hammer mill can be recommended as the preferred equipment for preparing non-design Karazhyra coal for combustion in existing boiler systems.
- This research highlights the importance of controlling particle size distribution and grinding fineness as key factors in combustion efficiency and environmental safety. The findings can be used to optimize boiler operations when switching to local fuels, reducing operational costs, improving efficiency, and minimizing emissions.

Furthermore, the study provides a foundation for further exploration of non-design coal behavior under various operating conditions, enabling more precise recommendations for equipment settings, combustion modes, and the development of new solutions tailored to local fuel characteristics.

References

1. Research on the Modification of Coal Adaptability and Carbon Emissions Reduction Technology for Coal-Fired Boilers / D. Peng et al // Energies. – 2022. – Vol. 15, № 24. – Article 9533. https://doi.org/10.3390/en15249533.
2. Benalcazar P. An Integrated Approach to Long-Term Fuel Supply Planning in Combined Heat and Power Systems / P. Benalcazar, J. Kamiński, K. Stós // Energies. – 2022. – Vol. 15, № 22. – Article 8339. https://doi.org/10.3390/en15228339.
3. Numerical Study of Furnace Processes during Combustion of Off-Design Coals in a 220 t/h Boiler / K.I. Mal'tsev et al // Thermal Engineering. – 2022. – Vol. 69, № 11. – P. 971-980. https://doi.org/10.1134/S0040601522110040.

4. Kumar M. A Review on Alternate Fuels Used in Boilers / M. Kumar, D. Prakash, G. Krishnan // International Journal of Advanced Engineering and Management. – 2021. – Vol. 6, № 6. – P. 1-6. https://ijaem.net/issue_dcp/A%20Review%20on%20Alternate%20Fuels%20Used%20In%20Boilers.pdf.
5. Assessment of the Possibility of Transition Power Boilers to Alternative Solid Fuels by Modeling Combustion Processes / V. Prokhorov et al // Energetika. Proceedings of CIS Higher Education Institutions and Power Engineering Associations. – 2023. – Vol. 66, № 6. – P. 536-551. https://doi.org/10.21122/1029-7448-2023-66-6-536-551.
6. Simulation of Power Generation System with Co-Combustion of Coal and Torrefied Biomass by Flue Gas / C. Song et al // Energies. – 2024. – Vol. 17, № 12. – Article 3047. https://doi.org/10.3390/en17123047.
7. Effects of coal particle size on the two-phase flow and slagging performance in a swirl burner / N. Fang et al // Energy. – 2022. – Vol. 238, Part B. – Article 121797. https://doi.org/10.1016/j.energy.2021.121797.
8. Influence of Grinding Methodology and Particle Size on Coal and Wood Co-Combustion via Injection Flame Opening Angle / S. Yankovsky et al // Energies. – 2023. – № 16(11). – P. 4469. https://doi.org/10.3390/en16114469.
9. Sakuragi K. Milling characteristics of coal and torrefied biomass blends in a roller mill / K. Sakuragi, M. Otaka // ACS Omega. – 2021. – Vol. 6, № 46. – P. 31106-31117. https://doi.org/10.1021/acsomega.1c04276.
10. Kozlov A.N. Environmental performance assessments of different methods of coal preparation for use in small-capacity boilers: experiment and theory / A.N. Kozlov, E.P. Maysyuk, I.Y. Ivanova // Int J Coal Sci Technol. – 2023. – №10. – P. 63. https://doi.org/10.1007/s40789-023-00623-3.
11. Chin Jacky. Analysis of mixing coal and biomass fuels on industrial boiler performance / Chin Jacky // Jurnal Riset Teknologi Pencegahan Pencemaran Industri. – 2024. – Vol. 15, № 2. – P. 59-66. https://doi.org/10.21771/jrtppi.2024.v15.no2.p59-66.
12. ON THE ISSUE OF EFFICIENT COMBUSTION OF NON-DESIGN COAL KARAZHYRA / A.R. Khazhidinova et al // NNC RK Bulletin. – 2023. – № 2. – P. 58-65. (In Russ.). https://doi.org/10.52676/1729-7885-2023-2-58-65.
13. RESEARCH COMBUSTION EFFICIENCY OF UNPROJECTED COAL / O.A. Stepanova et al // Bulletin of Shakarim University. Technical Sciences. – 2024. – № 2(14). – P. 364-370. (In Russ.). https://doi.org/10.53360/2788-7995-2024-2(14)-45.
14. Size distribution of fine particles from coal combustion / M.W. McElroy et al // Science. – 1982. – Vol. 215, № 4528. – P. 13-19. https://doi.org/10.1126/science.215.4528.13. – PMID: 17790449.10.1126/science.215.4528.13.
15. GOST ISO 13909-4-2018. Hard coal and coke. Mechanical sampling. Part 4. Coal – Preparation of test samples. Moscow: Standartinform, 2020. – 28 p.
16. Avgushevich I.V. Standard Methods for Testing Coals / I.V. Avgushevich, E.I. Sidoruk, T.M. Bronovets // Coal Classification. – Moscow: Reklama Master, 2018. – 576 p.: ill. – ISBN 978-5-902989-59-2.

А.Р. Хажидинова[1*], А.С. Хажидинов[2], О.А. Степанова[1], Т.Н. Умыржан[1]
[1]Шәкәрім университеті,
071412, Қазақстан Республикасы, Семей қ., Глинки к-сі, 20 А
[2]Ядролық медицина және онкология орталығы,
071400, Қазақстан Республикасы, Семей қ., Кутжанова к-сі, 3
*e-mail: khazhidinova1991@mail.ru

ШАРЛЫ БАРАБАНДЫ ЖӘНЕ БАЛҒАЛЫ ДИІРМЕНДЕРДЕ ЖОБАЛАНБАҒАН ҚАРАЖЫРА КӨМІРІН ҰНТАҚТАУ ТИІМДІЛІГІН ЗЕРТТЕУ

Жұмыста жобаланбаған Қаражыра көмірді ұнтақтау жабдықтарының екі негізгі түрін: шар барабанды диірмен мен балғалы диірменді пайдалана отырып, ұнтақтау тиімділігінің салыстырмалы түрде зерттеу жасалған. Зерттеулер бастапқыда көмірдің осы түріне арналмаған қазандық қондырғыларында жергілікті отынның жағуға жарамдылығын бағалау үшін жүргізілді. Ұнтақталған отынның гранулометриялық құрамын анықтау үшін зертханалық електен талдау жүргізілді. Алғаш рет диірмендердің екі түрінде де өңделген Қаражыра көмір шаңы үшін полидисперстілік коэффициенттері алынып, талданған. Елеуіште қалдықтарды өлшеу нәтижелері бойынша балғалы диірмен өнімінде 400 мкм өлшемді елеуіште небәрі 0,2 % бөлшек қалса, шарлы

барабанды диірмен өнімінде бұл көрсеткіш 2,5 % болды. Бұл балғалы диірменде ірі фракциялардың іс жүзінде толық жойылатынын көрсетеді. Екі тәсілмен ұнтақтау кезінде де шамамен 88 % көмір шаңы бөлшектерінің өлшемі 200 мкм-ден аз екені анықталды. Сонымен қатар, 90 мкм өлшемді елеуіштегі қалдық шарлы барабанды диірмен үшін 32 %, ал балғалы диірмен үшін 53 % құрады. Осылайша, балғалы диірмен өнімі шамадан тыс ультраұсақ фракциялар болмаған жағдайда орташа өлшемді бөлшектердің (90-200 мкм) жоғары үлесімен сипатталады. Балғалы диірменде ұнтақтау барысында ірі және ультраұсақ фракциялардың болмауы көмір шаңының полидисперстілік коэффициентінің жоғары болуына ықпал етеді, ол 1,51 құраса, шарлы барабанды диірмен үшін бұл көрсеткіш небәрі 0,78 болды. Алынған нәтижелер екі диірменнің де жобаланбаған отын дайындауға жарамды екенін көрсетеді, бірақ балғалы диірмен жақсырақ жану сапасын және жылу тиімділігін қамтамасыз ететіні анық болды. Сондықтан жылу электр станцияларында жобаланбаған көмірді дайындаудың ең тиімді шешімі ретінде ұсынылады. Жүргізілген зерттеулер әртүрлі жұмыс режимдеріндегі жобаланбаған көмірдің сипаттамалары мен мінез-құлқын одан әрі зерттеуге негіз болады.

Түйін сөздер: *жобаланбаған көмір, көмірді ұнтақтау, шарлы барабанды диірмен, балғалы диірмен, гранулометриялық құрамы, полидисперстік коэффициент.*

А.Р. Хажидинова[1*], А.С. Хажидинов[2], О.А. Степанова[1], Т.Н. Умыржан[1]
[1]Шәкәрім университет,
071412, Республика Казахстан, г. Семей, ул. Глинки, 20 А
[2]Центр ядерной медицины и онкологии,
071400, Республика Казахстан, г. Семей, ул. Кутжанова, 3
*e-mail: khazhidinova1991@mail.ru

ИССЛЕДОВАНИЕ ЭФФЕКТИВНОСТИ ИЗМЕЛЬЧЕНИЯ НЕПРОЕКТНОГО УГЛЯ КАРАЖЫРА В ШАРОВЫХ БАРАБАННЫХ И МОЛОТКОВЫХ МЕЛЬНИЦАХ

В данной работе представлено сравнительное исследование эффективности измельчения непроектного угля Каражыра с использованием двух основных типов измельчительного оборудования: шаровых барабанных мельниц и молотковых мельниц. Исследования проводились с целью оценки пригодности местного топлива для сжигания в котельных агрегатах, изначально не предназначенных для данного типа угля. Для определения гранулометрического состава пылевидного топлива был проведен лабораторный ситовой анализ. Впервые получены и проанализированы коэффициенты полидисперсности для пыли угля Каражыра, измельченной в обоих типах мельниц. Измерения остатков на ситах показали, что в продукте молотковой мельницы на сите с размером ячейки 400 мкм осталось лишь 0,2% частиц, тогда как в продукте шаровой барабанной мельницы – 2,5%. Это свидетельствует о практически полном удалении грубых фракций при размоле в молотковой мельнице. Установлено, что при обоих способах измельчения около 88% частиц угольной пыли имеют размер менее 200 мкм. При этом остаток на сите 90 мкм составил 32% для шаровой барабанной мельницы и 53% для молотковой. Таким образом, продукт молотковой мельницы отличается повышенной долей частиц среднего размера (90-200 мкм) при отсутствии избыточного количества ультрамелких фракций. Отсутствие грубых и ультрамелких фракций при размоле в молотковой мельнице способствует формированию более высокого показателя полидисперсности угольной пыли, который составил 1,51, тогда как для шаровой барабанной мельницы он равен лишь 0,78. Полученные результаты свидетельствуют о том, что обе мельницы подходят для подготовки топлива, но молотковая мельница обеспечивает лучшее качество сгорания и тепловую эффективность. Поэтому рекомендуется как наиболее эффективное решение для подготовки непроектного угля в тепловых электростанциях. Проведённые исследования служат основой для дальнейшего изучения характеристик и поведения непроектного угля в различных режимах эксплуатации.

Ключевые слова: *непроектный уголь, измельчение угля, шаровая барабанная мельница, молотковая мельница, гранулометрический состав, коэффициент полидисперсности.*

Information about the authors

Akbota Ryspekovna Khazhidinova* – PhD, Acting Associate Professor, Department of Technical Physics and Heat Power Engineering, Non-profit Joint-stock Company, Shakarim University, Republic of Kazakhstan; e-mail: khazhidinova1991@mail.ru. ORCID: https://orcid.org/0000-0001-8802-1559.

Azamat Saginaevich Khazhidinov – Master of Physics, Cyclotron Engineer, «Center of Nuclear Medicine and Oncology», Department of Healthcare of Abai Region, Republic of Kazakhstan; e-mail: khazhidinov@mail.ru. ORCID: https://orcid.org/0009-0008-9900-4111.

Olga Aleksandrovna Stepanova – Candidate of Technical Sciences, Professor, Head of Department «Technical Physics and Heat Power Engineering», Shakarim University, Republic of Kazakhstan; e-mail: o.stepanova@shakarim.kz. ORCID: https://orcid.org/0000-0001-5221-1772.

Temirlan Nurlanuly Umyrzhan – doctoral student of the educational programme 8D05302-«Technical Physics» of the Department of «Technical Physics and Heat Power Engineering», Shakarim University, Republic of Kazakhstan; e-mail: timirlan-95@mail.ru. ORCID: https://orcid.org/0009-0008-9111-1975.

Авторлар туралы мәліметтер

Акбота Рыспековна Хажидинова* – PhD, «Техникалық физика және жылу энергетикасы» кафедрасының қауымдастырылған профессорының м.а., Шәкәрім университеті, Қазақстан Республикасы, e-mail: khazhidinova1991@mail.ru. ORCID: https://orcid.org/0000-0001-8802-1559.

Азамат Сагинаевич Хажидинов – физика магистрі, циклотрон инженері, Абай облысы денсаулық сақтау басқармасының «Ядролық медицина және онкология орталығы» шаруашылық жүргізу құқығындағы коммуналдық мемлекеттік кәсіпорны, Қазақстан Республикасы; e-mail: khazhidinov@mail.ru. ORCID: https://orcid.org/0009-0008-9900-4111.

Ольга Александровна Степанова – техника ғылымдарының кандидаты, профессор, «Техникалық физика және жылу энергетикасы» кафедрасының меңгерушісі, Шәкәрім университеті, Қазақстан Республикасы; e-mail: o.stepanova@shakarim.kz. ORCID: 0000-0001-5221-1772.

Темірлан Нұрланұлы Умыржан – «Техникалық физика және жылу энергетикасы» кафедрасының 8D05302-«Техникалық физика» білім беру бағдарламасының докторанты, Шәкәрім университеті, Қазақстан Республикасы; e-mail: timirlan-95@mail.ru. ORCID: https://orcid.org/0009-0008-9111-1975.

Сведения об авторах

Акбота Рыспековна Хажидинова* – PhD, и.о. ассоциированного профессора кафедры «Техническая физика и теплоэнергетика», Шәкәрім университет, Республика Казахстан; e-mail: khazhidinova1991@mail.ru. ORCID: https://orcid.org/0000-0001-8802-1559.

Азамат Сагинаевич Хажидинов – магистр физики, инженер циклотрона, коммунальное государственное предприятие на праве хозяйственного ведения «Центр ядерной медицины и онкологии» управления здравоохранения области Абай, Республика Казахстан; e-mail: khazhidinov@mail.ru. ORCID: https://orcid.org/0009-0008-9900-4111.

Ольга Александровна Степанова – кандидат технических наук, профессор, зав. кафедрой «Техническая физика и теплоэнергетика», Шәкәрім университет, Республика Казахстан; e-mail: o.stepanova@shakarim.kz. ORCID: https://orcid.org/0000-0001-5221-1772.

Темірлан Нұрланұлы Умыржан – докторант образовательной программы 8D05302-«Техническая физика» кафедры «Техническая физика и теплоэнергетика», Шәкәрім университет, Республика Казахстан; e-mail: timirlan-95@mail.ru. ORCID: https://orcid.org/0009-0008-9111-1975.

Received 16.06.2025
Revised 17.09.2025
Accepted 20.09.2025

https://doi.org/10.53360/2788-7995-2025-4(20)-67

IRSTI: 44.31.03

CC BY 4.0
Check for updates

M. Yermolenko[1], D. Nurgaliyev[*], S. Elistratov[2], A. Satybaldinova[1], A. Karnakova[1]
[1]Shakarim University,
071412, Republic of Kazakhstan, Semey, 20 A Glinka Street
[2]National Research Tomsk Polytechnic University,
634034, Russian Federation, Tomsk, Usova Street 13V (MCC TPU)
[*]e-mail: daniarsemei@mail.ru

INVESTIGATION OF THE DYNAMICS OF THE RESPONSE OF THE REFRIGERATION SYSTEM UNDER CONDITIONS OF SEVERE HEAT EXPOSURE

Annotation: *This article presents an assessment of the performance of a vapor-compression refrigeration system under shock thermal load. The study was carried out on a modernized experimental stand «Kholodilnik-2» equipped with a digital monitoring system, including 24 DS18B20 sensors and an STM32 microcontroller. The main objective was to compare the system behavior when introducing an object with temperatures of 40, 60, and 80°C after reaching a quasi-steady-state mode. Temperature curves, transient process duration, and stabilization times were analyzed. Additionally, features of temperature distribution*

inside the freezer compartment and the influence of thermal load on the main elements of the cycle were examined.

The scientific novelty of the study lies in the comprehensive analysis of transient processes occurring under sudden thermal impacts, with a focus on their duration and system stability. The practical significance of the work is related to the possibility of applying the obtained results to optimize the operating modes of refrigeration systems and to diagnose faults under conditions close to real operation. The optimal regime was found at 60°C, which ensures a balance between transient process duration and uniformity of temperature distribution.

Key words: *refrigeration system, shock load, transient processes, temperature monitoring, operational stability, cold production.*

Modern refrigeration systems operate under variable loads, which requires the analysis of not only steady-state conditions but also transient operating modes [1, 2]. Particular interest is directed toward the system's behavior under a sudden change in heat flux – known as a shock thermal load – which may occur during the rapid introduction of warm objects into the chamber, such as food products [3, 4]. The importance of analyzing transient processes is supported by numerous studies demonstrating that these regimes largely determine the stability and overall efficiency of the refrigeration cycle [5-7].

Despite significant progress in the modeling and automation of refrigeration systems [8, 9], the issues related to the quantitative assessment of transient process characteristics under different levels of thermal impact remain insufficiently explored. In this regard, an important objective is to perform an experimental analysis of the system's dynamic behavior, enabling a comparison of its performance under varying thermal loads and the identification of optimal operating conditions [10-12].

The experiments were conducted on the «Kholodilnik-2» RTB 02.00.01 experimental refrigeration stand installed in the laboratory of non-profit Joint Stock Company «Shakarim University» [13]. The stand was upgraded with a digital temperature monitoring system [14]. Digital DS18B20 sensors were used to record operating parameters, arranged at 11 control points of the refrigeration cycle and inside the chambers (Fig. 1). The key measurement zones included: the compressor discharge line (sensor 1), the condenser inlet (sensor 2) and midpoint (sensor 3), condenser outlet (sensor 4), the section after the filter-drier (sensor 5), the expansion device outlet (sensor 6), the evaporator inlet (sensor 7), midpoint (sensor 8), and outlet (sensor 9), the compressor suction line (sensor 10), as well as the air inside the freezer compartment (sensor 11). This configuration provided a comprehensive view of the temperature distribution along the main components of the cycle and the dynamics of their changes under different thermal loads. Temperature measurement and data logging were performed using an STM32F103 microcontroller, which ensured high accuracy of registration and facilitated subsequent processing of the experimental results.



Figure 1 – General view of the «Kholodilnik-2» RTB 02.00.01 experimental stand

Previous studies conducted on this test bench demonstrated that, under steady-state operating conditions of the refrigeration system (without shock thermal loading), the system reaches the target parameters on average 28 minutes after start-up [15]. These data formed the basis for planning the experiments under shock thermal exposure: knowing the characteristics of the established steady-state mode made it possible to accurately determine the moment of applying the thermal disturbance and to objectively evaluate the subsequent evolution of the transient processes.

Thus, the preceding experimental investigation not only established a dataset describing the dynamic characteristics of the refrigeration system, but also enabled a comparative analysis of

transient processes under internal anomalies and under external thermal loading. This provides a comprehensive understanding of the mechanisms of deviations in the operation of the refrigeration system and increases the reliability of the analysis performed in the present study.

To analyze the influence of different levels of thermal load, three characteristic temperatures were selected: 40°C – simulating the placement of warmed products after being stored in a warm environment; 60°C – representing partially cooked or reheated items; and 80°C – an extreme shock thermal load close to the upper limit of conditions that may occur in practical applications.

After the system reached a quasi-steady operating state (approximately 25 minutes after startup), a thermal load was introduced into the freezer compartment. The load consisted of a 1.5-liter vessel filled with water and preheated to the required temperature (40°C, 60°C, or 80°C). This choice was motivated by the high specific heat capacity of water, which ensures reproducibility of the thermal impact and comparability of results across repeated tests.

Before placing the vessel into the freezer compartment, the actual water temperature was verified using an infrared thermometer (Fig. 2). This ensured the accuracy of the initial conditions and eliminated the influence of temperature deviations on the experimental results.



Figure 2 – Verification of water temperature before the experiment using an infrared thermometer

Each test was repeated five times, and the averaged results were used for analysis. During the experiment, temperatures at all control points were recorded using DS18B20 digital sensors at 5-minute intervals, along with the duration of transient processes at each level of thermal exposure.

After completing the repeated trials, the average temperature value for each measurement point was calculated as:

$$\bar{T} = \frac{T_1+T_2+T_3+T_4+T_5}{5}. \quad (1)$$

The random component of the measurement error was determined using the root-mean-square deviation method:

$$S = \sqrt{\frac{(T_1-\bar{T})^2+(T_2-\bar{T})^2+(T_3-\bar{T})^2+(T_4-\bar{T})^2+(T_5-\bar{T})^2}{5-1}} \quad (2)$$

The root-mean-square error of the mean value is given by:

$$S_{\bar{T}} = \frac{S}{\sqrt{5}} \quad (3)$$

The total measurement error accounts for both the random component and the instrumental accuracy of the sensor (±0.5 °C):

$$\Delta T = \sqrt{{S_{\bar{T}}}^2 + (0.5)^2} \quad (4)$$

At the same time, the random component $S_{\bar{T}}$ was significantly smaller than the sensor's specified accuracy; therefore, the total measurement error was determined primarily by the characteristics of the sensor.

All experimental tests were carried out under strictly identical conditions. The position of the installation, the configuration of the equipment, and the layout of the sensors remained unchanged throughout the entire research cycle. The temperature in the laboratory room where the experiments were performed was maintained at a constant level, which eliminated the influence of external thermal fluctuations on the results. This approach ensured data reproducibility and allowed for a correct comparison of results across different operating modes of the system.

The primary criterion for evaluation was the time required for the system to reach a new steady-state regime after a sudden thermal load. Particular attention was paid to the pattern of temperature changes within the freezer chamber, as well as to the uniformity of cooling across different zones.

Under shock-loading conditions, the following time intervals to reach steady state were recorded:

at 40 °C – 41 minutes;

at 60 °C – 59 minutes;

at 80 °C – 165 minutes.

The obtained values indicate a consistent increase in the duration of the transient process with rising object temperature. The temperature dynamics recorded by the internal sensors confirm the growing inertia of the system under higher thermal loads. Thus, the transient process is significantly prolonged as the initial temperature of the loaded element increases, which should be taken into account when assessing the efficiency and adaptability of refrigeration systems to external disturbances.

Comparative analysis of the operating modes showed that an increase in thermal load leads to a longer stabilization time of system parameters, which is also corroborated by the findings reported in [10-12].

Figures 3÷5 show temperature diagrams obtained during full-scale experiments at the specified temperatures of the loaded object. Each diagram reflects the dynamics of temperature changes in the freezer chamber at 11 control points located in key zones of the volume.

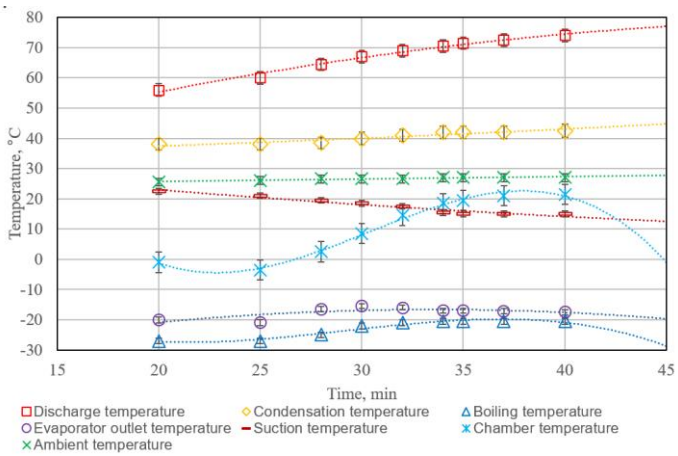


Figure 3 – Dynamics of temperature changes in the refrigeration cycle when a vessel with water at 40 °C is introduced

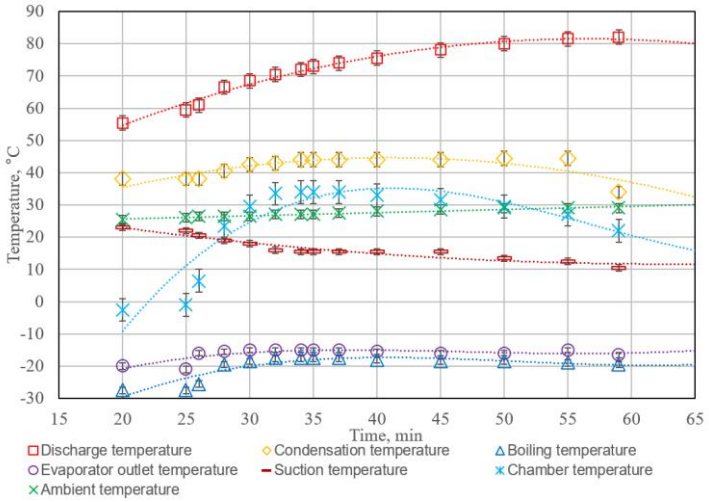


Figure 4 – Dynamics of temperature changes in the refrigeration cycle when a vessel with water at 60 °C is introduced

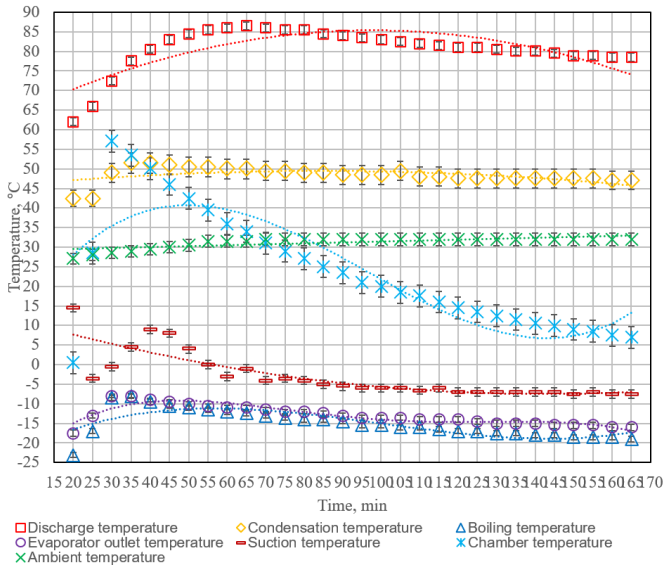


Figure 5 – Dynamics of temperature changes in the refrigeration cycle when a vessel with water at 80 °C is introduced

Analysis of the presented graphs allows for a comparative assessment of the temperature distribution within the chamber at different time intervals, as well as the identification of specific thermal behavior characteristics of the system under shock-loading conditions. These data serve as the basis for determining the degree of cooling uniformity, the efficiency of heat removal, and the rate of transition to the steady-state regime for each of the investigated modes.

Further comparison of the thermograms makes it possible to identify the most balanced operating mode, providing both an acceptable stabilization time and uniformity of the temperature field, which is a key criterion for evaluating the operational efficiency of the refrigeration system.

Analysis of the presented thermograms (Figures 3÷5) allows identifying characteristic features of the transient processes under different levels of thermal load. The duration of the transient processes directly depends on the initial temperature of the loaded element and determines the stability and uniformity of cooling.

In the 40 °C mode (Fig. 3), a rapid decrease in temperatures at the main control points is observed. By the 35th÷40th minute, the system reaches a quasi-steady state. However, local temperature differences between the central and peripheral zones of the chamber persist, particularly in the areas corresponding to sensors 1 and 11, indicating non-uniformity in the temperature field distribution.

In the 60 °C mode (Fig. 4), the cooling process occurs more uniformly despite the increased thermal load. The transient process is completed approximately by the 55th–60th minute, after which the temperature curves stabilize with minimal deviations. This indicates a balanced distribution of heat flows and efficient operation of the refrigeration system at this level of load.

The 80 °C mode (Fig. 5) is characterized by the maximum thermal load and, consequently, a significant increase in the duration of the transient process – up to 165 minutes. Temperature gradients between different zones of the chamber persist longer, indicating increased compressor load and reduced uniformity of cooling.

Comparison of the temperature diagrams shows that the nature of the shock load affects not only the duration of the transient process but also the dynamics of the main components of the refrigeration cycle. As the temperature of the loaded object increases from 40 to 80 °C, a more rapid rise in discharge temperature is observed, indicating increased compressor load. The boiling temperature changes less intensively, while the suction temperature remains elevated, reflecting reduced heat exchange efficiency in the evaporator. With increasing heating temperature, the difference between the discharge and suction temperatures grows, which is directly associated with higher energy consumption. Furthermore, the condensation temperature at 80 °C stabilizes significantly more slowly than at 40 °C and 60 °C, indicating condenser overload.

Thus, an increase in the level of thermal load leads to higher energy consumption, greater temperature gradients, and prolonged transient processes. Among the investigated modes, heating to 60 °C proved to be optimal, providing sufficient thermal load for evaluating the dynamic

characteristics of the system while maintaining the transient period duration and cooling uniformity at an optimal level. Therefore, further experiments on the analysis of operating modes and fault diagnostics were conducted at this heating level.

The calculations performed in accordance with the methodology of Sakun A.A. [16] confirm the adequacy of the experimental data and allow a quantitative assessment of changes in cooling capacity under different levels of thermal load. Figure 6 shows the dependence of cooling capacity on time at three levels of thermal load, illustrating the nature of changes in system efficiency during transient modes.

Figure 6 shows the dependence of the cooling capacity of the refrigeration system on time at different levels of thermal load – 40 °C, 60 °C, and 80 °C. Each curve reflects the dynamics of the refrigeration cycle's efficiency during the transition from system start-up to the quasi-steady-state regime.

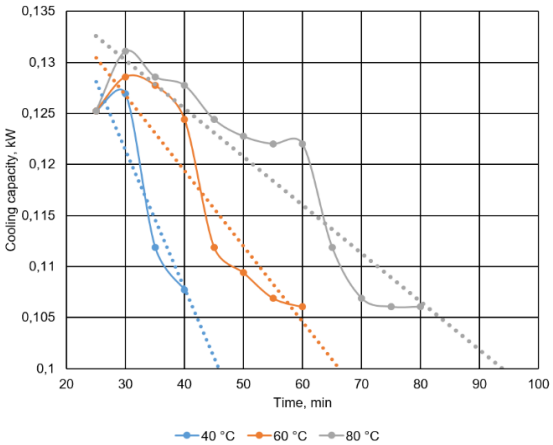


Figure 6 – Dependence of cooling capacity on time at different levels of thermal load

In the 40 °C mode, the highest and most stable cooling capacity is observed throughout the experiment. The curve exhibits a steep initial segment, indicating a rapid increase in efficiency after the compressor is switched on. By the 35th÷40th minute, the cooling capacity stabilizes at approximately 0.13 kW, indicating that the system has reached a steady operating regime under a moderate thermal load.

In the 60 °C mode, the curve is smoother: a gradual decrease in cooling capacity from 0.138 kW to 0.124 kW is observed by the end of the experiment (59th minute). This behavior indicates a more pronounced thermal load, which increases the compressor workload and reduces heat exchange efficiency in the evaporator. Nevertheless, the system demonstrates stable operation without sharp fluctuations, confirming its ability to adapt to the increased thermal input.

The most significant changes are observed at 80 °C. The curve shows a pronounced downward trend, with cooling capacity gradually decreasing from 0.133 kW to 0.106 kW by the end of the cycle (165 minutes). This indicates increased thermal inertia of the system and higher energy losses. In this mode, the compressor operates at maximum load, which is accompanied by an extended transient process and reduced efficiency of the entire cycle.

Approximating the obtained results as a linear relationship allows for assessing the intensity with which the system reaches a steady state after a disturbing thermal load in the cooled low-temperature circuit. The slope of the straight lines characterizes the rate of system stabilization: the smaller the slope, the longer the system takes to compensate for the thermal disturbance (as in the 80 °C mode). In this case, the increase in time until the start of stabilization amounted to 33 % for 60 °C and 50 % for 80 °C compared to the 40 °C mode.

Comparative analysis of the three modes shows that increasing the temperature of the loaded object leads to a decrease in actual cooling capacity and an increase in the duration of the transient process. At 40 °C, the system reaches a stable regime significantly faster, whereas at 80 °C, cooling becomes less intensive and more energy-consuming.

Thus, for further studies of the refrigeration system under various deviations from the nominal operating mode, the optimal thermal load level from the perspective of balancing power and transient duration is 60 °C, at which the refrigeration system maintains sufficient efficiency under a moderate thermal load.

References

1. Yasuda H. A Dynamic Model of a Vapor Compression Refrigeration Cycle / H. Yasuda, T. Yanagisawa, M. Izushi // Transactions of the Japan Society of Refrigerating and Air Conditioning Engineers. – 1994. – № 11(3). P. – 263-275.
2. Energy and Exergy Analysis of Vapor Compression Refrigeration System with Low-GWP Refrigerants / T. Aized et al // J. Energies. – 2022. – № 15(19). – P. 7246.
3. Eleiwi M.A. An Experimental Study on a Vapor Compression Refrigeration Cycle by Adding Internal Heat Exchanger / M.A. Eleiwi. – Tikrit Journal of Engineering Sciences.
4. Investigation of the Thermodynamic Process of the Refrigerator Compressor Based on the m-θ Diagram / Z. He et al // Energies. – 2017. – № 10(10). – P. 1517.
5. Tantekin A. Thermodynamic Analysis of Vapor Compression Refrigeration System with Various Refrigerants / A. Tantekin // Karadeniz Fen Bilimleri Dergisi. – 2025. – № 15(1). – P. 392-405.
6. Sarioğlu K. Performance Investigation of a Vapor Compression Refrigeration System with and without Heat Exchanger Using Mono and Hybrid Nanofluids (R1234yf) / K. Sarioğlu, G. Yıldız // Gazi University Journal of Science Part C. – 2025. – № 13(1). – P. 169-186.
7. Gabibov I.A. Modeling the Heat Transfer Process in Refrigeration Units Used in the Oil Industry / I.A. Gabibov, R.S. Nadjafkulieva, S.M. Abasova, // EUREKA: Physics and Engineering. – 2019.
8. Modelling and Cooling Power Control of TES-Backed Up Vapour-Compression Refrigeration System / D. Rodríguez et al // arXiv preprint – 2024.
9. Second-Law-Allowed Temporal Cooling of the Coldest Reservoir Without External Refrigeration / I.V. Vovchenko et al // arXiv preprint. – 2024.
10. Bolaji B.O. Ozone depletion and global warming: Case for the use of natural refrigerants – A review / B.O. Bolaji, Z. Huan // Renewable and Sustainable Energy Reviews. – 2013. – № 18. – P. 49-54.
11. Hermes C.J.L. Dynamic behavior of vapor compression refrigeration systems: Modeling and simulation / C.J.L. Hermes // International Journal of Refrigeration. – 2011. – № 34(6). – P. 1482-1493.
12. Kaya M. Transient thermal analysis of refrigeration systems under variable loads / M. Kaya, B. Kilic // Applied Thermal Engineering. – 2018. – № 145. – P. 742-752.
13. Вклад молодежного потенциала в модернизацию Казахстана 3.0: Сборник докладов Международной молодежной научно-практической конференции / Гл. ред. А.Б. Найзабеков, - Рудный: Рудненский индустриальный институт, 2018. – 454-457 С.
14. Конденсатордың жартылай бітелуі мен жеткіліксіз өнімділігі тоңазытқыш қондырғылардың тиімді жұмысына әсері / Д.Н. Нургалиев және т.б. // Семей қаласының Шәкәрім атындағы Мемлекеттік университетінің хабаршысы. – 2020. – № 4(92). – Б. 96-100.
15. Тоңазытқыштың ақау жағдайында жұмыс істеу принципі / Д.Н. Нургалиев және т.б. // Вестник НЯЦ РК периодический научно-технический журнал национального ядерного центра Республики Казахстан. – 2023. – № 1(93). – Б. 48-54.
16. Сакун А.А. Холодильные машины и тепловые насосы: теория, расчёт и эксплуатация. – М.: Машиностроение, 1988. – 320 с.

М.В. Ермоленко[1], Д.Н. Нургалиев[1*], С.Л. Елистратов[2], А.Е. Сатыбалдинова[1], А.М. Карнакова[1]

[1]Шәкәрім университет,

071412, Республика Казахстан, г. Семей, ул. Глинки, 20 А

[2]Национальный исследовательский Томский политехнический университет,

634034, Россиская федерация, г. Томск, ул. Усова 13В (МКЦ ТПУ)

[*]e-mail: daniarsemei@mail.ru

ИССЛЕДОВАНИЕ ДИНАМИКИ ОТКЛИКА ХОЛОДИЛЬНОЙ СИСТЕМЫ В УСЛОВИЯХ РЕЗКОГО ТЕПЛОВОГО ВОЗДЕЙСТВИЯ

В данной статье рассматривается оценка работы парокомпрессионной холодильной установки при воздействии шоковой тепловой нагрузки. Исследование проведено на модернизированном экспериментальном стенде «Холодильник-2» с системой цифрового мониторинга, включающей дополнительных 24 датчика DS18B20 и микроконтроллер STM32. Основной целью являлось сравнение поведения установки при внесении объекта с температурой 40, 60 и 80°C после выхода на квазистационарный режим. Проведён анализ температурных кривых, продолжительности переходных процессов и времени выхода на новый стационарный режим.

Дополнительно рассмотрены особенности распределения температур внутри морозильной камеры, а также влияние тепловой нагрузки на работу основных элементов цикла.

Научная новизна исследования заключается в комплексном рассмотрении переходных процессов, возникающих при резких тепловых воздействиях, с акцентом на их продолжительность и устойчивость системы. Практическая значимость работы связана с возможностью применения полученных результатов для оптимизации режимов эксплуатации холодильных установок, а также для проведения диагностики неисправностей в условиях, приближённых к реальным. В качестве оптимального выбран режим воздействия 60 °C, который обеспечивает баланс между продолжительностью переходного процесса и равномерностью распределения температур.

Ключевые слова: *холодильная установка, тепловая нагрузка, шоковое воздействие, температурные кривые, переходные процессы, холодопроизводительность.*

М.В. Ермоленко[1], Д.Н. Нургалиев[1*], С.Л. Елистратов[2], А.Е. Сатыбалдинова[1], А.М. Карнакова[1]
[1]Шәкәрім университеті,
071412, Қазақстан Республикасы, Семей қ., Глинки көш., 20 А
[2]Ұлттық зерттеу Томск политехникалық университеті,
634034, Ресей федерациясы, Томск қ., Усова көш. 13В
[*]e-mail: daniarsemei@mail.ru

КҮРТ ЖЫЛУ ӘСЕР ЕТУ ЖАҒДАЙЫНДА ТОҢАЗЫТҚЫШ ЖҮЙЕСІНІҢ ЖАУАП БЕРУ ДИНАМИКАСЫН ЗЕРТТЕУ

Бұл мақалада бу-компрессиялық тоңазытқыш қондырғысының шоктық жылулық жүктеме жағдайындағы жұмысы қарастырылған. Зерттеу қосымша 24 DS18B20 датчигі және STM32 микроконтроллері бар цифрлық мониторинг жүйесімен жабдықталған «Холодильник-2» тәжірибелік қондырғысында жүргізілді. Негізгі мақсат – қондырғының квазистатикалық режимге шыққаннан кейін 40, 60 және 80°C температурадағы нысан енгізілген кездегі жұмысын салыстыру болды. Температуралық қисықтар, ауыспалы процестің ұзақтығы және тұрақтану уақыты талданды. Сонымен қатар, мұздатқыш камерасының ішіндегі температураның таралу ерекшеліктері мен циклдің негізгі элементтеріне жылулық жүктеменің әсері зерттелді.

Зерттеудің ғылыми жаңалығы – кенеттен жылулық әсерлер кезінде туындайтын ауыспалы процестерді кешенді талдау, олардың ұзақтығы мен жүйенің тұрақтылығына назар аудару. Жұмыстың практикалық маңыздылығы алынған нәтижелерді тоңазытқыш қондырғылардың жұмыс режимдерін оңтайландыруға және нақты жағдайларға жақын ортада ақауларды диагностикалауға қолдану мүмкіндігімен байланысты. Оптималды режим ретінде 60 °C таңдалды, ол ауыспалы процестің ұзақтығы мен температураның біркелкі таралуы арасындағы тепе-теңдікті қамтамасыз етеді.

Түйін сөздер: *тоңазытқыш қондырғысы, шоктық жүктеме, ауыспалы процестер, температуралық мониторинг, жұмыс тұрақтылығы, суық өнімділік.*

Information about the authors

Nurgaliev Daniyar – Master of Engineering Sciences, Senior Lecturer, Department of Technical Physics and Heat Power Engineering, Shakarim University, Republic of Kazakhstan; e-mail: daniarsemei@mail.ru. ORCID: 0009-0004-1650-1077

Yermolenko Mikhail – PhD in Engineering, Associate Professor, Department of Technical Physics and Heat Power Engineering, Republic of Kazakhstan; e-mail: tehfiz@mail.ru. ORCID: 0000-0002-1677-8023

Sergey Elistratov – Doctor of Technical Sciences, Associate Professor, Head of the Department of Thermal Power Plants, National Research Tomsk Polytechnic University (TPU), Russian Federation

Satybaldinova Aigerim – Master of Engineering Sciences, Lecturer, Department of Technical Physics and Heat Power Engineering, Shakarim University, Republic of Kazakhstan; e-mail: aigerimsemei@mail.ru. ORCID: 0009-0005-7610-9058

Karnakova Ayazhan – first-year student of the specialty «Theoretical Physics»; NAO «Shakarim University», Republic of Kazakhstan; e-mail: ayazhankarnakova@gmail.com

Сведение об авторах

Данияр Нуржанович Нургалиев* – магистр технических наук, старший преподаватель кафедры «Техническая физика и теплоэнергетика»; НАО «Шәкәрім Университет», Республика Казахстан; e-mail: daniarsemei@mail.ru. ORCID: 0009-0004-1650-1077

Михаил Вячеславович Ермоленко – кандидат технических наук, ассоциированный профессор (доцент) кафедры «Техническая физика и теплоэнергетика»; Республика Казахстан; e-mail: tehfiz@mail.ru. ORCID: 0000-0002-1677-8023

Сергей Львович Елистратов – д.т.н., доцент, заведующий кафедры «Тепловых электрических станций»; Национальный исследовательский Томский политехнический университет (ТПУ), РФ; e-mail: elistratov@corp.nstu.ru

Айгерим Еркеновна Сатыбалдинова – магистр технических наук, преподаватель кафедры «Техническая физика и теплоэнергетика»; НАО «Шәкәрім Университет», Республика Казахстан; e-mail: aigerimsemei@mail.ru. ORCID: 0009-0005-7610-9058

Карнакова Аяжан Маликовна – студент 1 курса специальности «Теническая физика»; НАО «Шәкәрім Университет», Республика Казахстан; e-mail: ayazhankarnakova@gmail.com

Авторлар туралы мәліметтер

Данияр Нуржанович Нургалиев* – Техника ғылымдарының магистрі, «Техникалық физика және жылуэнергетика» кафедрасының аға оқытушысы; «Шәкәрім университеті» КеАҚ, Қазақстан Республикасы; e-mail: daniarsemei@mail.ru. ORCID: 0009-0004-1650-1077

Михаил Вячеславович Ермоленко – Техника ғылымдарының кандидаты, «Техникалық физика және жылуэнергетика» кафедрасының қауымдастырылған профессоры (доцент); Қазақстан Республикасы; e-mail: tehfiz@mail.ru. ORCID: 0000-0002-1677-8023

Сергей Львович Елистратов – т.ғ.д., доцент, «Жылулық электр станциялары» кафедрасының меңгерушісі; Ұлттық зерттеу Томск политехникалық университеті, РФ; e-mail: elistratov@corp.nstu.ru

Айгерим Еркеновна Сатыбалдинова – Техника ғылымдарының магистрі, «Техникалық физика және жылуэнергетика» кафедрасының оқытушысы; «Шәкәрім университеті» КеАҚ, Қазақстан Республикасы; e-mail: aigerimsemei@mail.ru. ORCID: 0009-0005-7610-9058

Карнакова Аяжан Маликовна – «Техникалық физика» мамандығының 1 курс студенті; «Шәкәрім Университет» КеАҚ, Республика Казахстан; e-mail: ayazhankarnakova@gmail.com

Received 17.10.2025
Revised 07.12.2025
Accepted 08.12.2025

https://doi.org/10.53360/2788-7995-2025-4(20)-68

МРНТИ: 31.25.15

CC BY 4.0
Check for updates

А.А. Мынбаева, А.Аманжолкызы*, Ш.Н. Жумагалиева, Ж.А. Абилов
Казахский национальный университет имени аль-Фараби,
050040, Республика Казахстан, г. Алматы, проспект аль-Фараби, 71
*e-mail: arai13_95@list.ru

КОМПОЗИЦИОННЫЕ МАТЕРИАЛЫ НА ОСНОВЕ ПРОИЗВОДНЫХ ЦЕЛЛЮЛОЗЫ: ПЕРСПЕКТИВЫ В ЛЕЧЕНИИ ТРОФИЧЕСКИХ ЯЗВ

Аннотация: *Хронические раны представляют серьезную проблему для современной медицины. В особенности сейчас можно наблюдать тенденцию увеличения числа пациентов с диабетическими ранами стопы. Поэтому разработка перевязочных материалов с идеальными характеристиками является одной из ключевых задач в современной медицине. Целлюлоза представляет собой перспективный материал для разработки раневых покрытий благодаря своей биосовместимости, доступности и экологичности. В данной статье поставлена цель проведения обзора исследований по гидрогелям и пленкам на основе производных целлюлозы и ее композиций для покрытия ран, опубликованных в научной литературе за последние десятилетия. Особое внимание уделено материалам, содержащим бентонит, и его влиянию на механические, сорбционные и биомедицинские свойства перевязочных покрытий. Проведён анализ отечественных и зарубежных исследований, посвящённых композитным материалам на основе карбоксиметилцеллюлозы (КМЦ) и бентонита. Анализ, имеющихся на сегодняшний день исследований показывает, что введение бентонита в полимерные матрицы способствует увеличению механической прочности, влагопоглощающей способности и структурной стабильности покрытий. Включение глинистых частиц позволяет регулировать процесс высвобождения лекарственных веществ, повышая таким образом эффективность терапевтического воздействия. Исследования, проведенные Казахстанскими учеными, подтверждают перспективность использования местных бентонитовых глин в разработке перевязочных материалов. Развитие композитных гидрогелей и плёнок на основе производных целлюлозы и бентонита открывает новые возможности для создания эффективных биосовместимых раневых покрытий. Дальнейшие исследования должны быть направлены на оптимизацию их состава и структуры для повышения функциональных характеристик и терапевтической эффективности.*

Ключевые слова: *карбоксиметилцеллюлоза, бентонит, композиционные материалы, раневые покрытия, гидрогели, пленки, заживление раны.*

Введение

Кожа – крупнейший орган человека, играющий ключевую роль в поддержании гомеостаза и защите организма от внешних воздействий. Она выполняет множество жизненно важных функций включая барьерную, терморегуляторную, сенсорную и метоболитическую. Благодаря сложной структуре, включающий эпидермис, дерму и гиподерму, этот орган обладает уникальной способностью к саморегенерации [1]. Однако, при травмировании кожных покровов, а в особенности при наличии хронических или затяжных повреждений – например, у пациентов с диабетическими язвами стопы (ДЯС) – происходит серьезное нарушение естественных защитных механизмов и процессов восстановления [2]. По данным опубликованным ВОЗ глобальным оценкам здоровья за 2019 год сахарный диабет впервые вошел в список основных причин смертности земного населения. И численность людей с сахарным диабетом растет с каждым годом [3]. По оценкам, около 20% из этих пациентов подвергается язвам нижних конечностей. Основными причинами появления язвы при сахарном диабете являются плохое кровоснабжение в стопах и периферическая невропатия [4]. Так как язва повреждает суставы глубоко, он требует постоянного ухода и значительно

ухудшает жизненный уровень пациентов. Тем самым он еще может быть причиной возникновения психологических травм у пациентов [5].

По степени выраженности поражений тканей стопы выделяют 5 стадий развития болезни (классификация Меггитт-Вагнера) (рис. 1) [6]. Этапы развития заболевания представлены в таблице 1.

Таблица 1 – Стадии развития диабетической язвы стопы

Стадия	Характеристика
0	Нет поражений
1	Неинфицированное поверхностное поражение в виде язвы
2	Более глубокое поражение, охватывающее сухожилию, кости или суставную капсулу
3	Поражение глубоких тканей, развивается абсцесс, остеомиелит или тендинит
4	Гангрена пальцев ног или передней части стопы
5	Гангрена распространяется на всю стопу или ее часть, необходимо провести ампутацию



0 1 2 3 4 5

Рисунок 1 – Стадии поражения стопы [7]

Так как язва стопы является хронической болезнью от него полностью вылечится невозможно. Есть несколько подходов к ее лечению такие как своевременная обработка раны, предотвращение появления инфекции (применение антибактериальных препаратов), реваскуляризация (при наличии показаний) и разгрузка стопы [8].

Из-за того, что язва стопы медленно заживает, есть большой риск инфицирования, что может привести к ампутации конечностей вплоть до бедер [9]. Чтобы предотвратить такое течение болезни, нужно вовремя обрабатывать раневое ложе и обеспечить необходимую среду, способствующую к заживлению. Поэтому правильно подобранное раневое покрытие имеет ключевую роль. Есть несколько основных характеристик, которыми должны обладать раневые повязки. Это способность эффективно впитывать образующийся экссудат, проявление необходимой механической стойкости, предотвращение высыхания раны за счет создания влажной среды, обеспечение газообмена через материал без препятствий, нетоксичность и совместимость с живыми тканями, исключение прилипания к раневой поверхности, комфортное ношение и легкость снятия. Кроме того, она должна обладать антигрибковыми свойствами для дополнительной защиты от микробов [10]. При лечении хронических ран традиционные перевязочные материалы (марля, бинты, вата) имеют множество недостатков. Например, они недостаточно защищают от инфекций, плохо поддерживают влажность в ране, недостаточно абсорбирует при обильном выделении экссудата. Вдобавок они могут прилипать к поверхности раны, что вызывает дискомфорт пациентам при смене повязки. По этой причине в современной медицине все больше дается предпочтение к интерактивным раневым покрытия на полимерной основе. У них имеется множество видов: пленки, гидрогели, гидроколлоиды, пены и гидроволокна [11]. Благодаря биосовместимости и схожести с биологическими молекулами для получения интерактивных раневых покрытий используются биополимеры (коллаген, полисахариды и их производные) [12].

Этот обзор посвящен ключевым достижениям в области полимерных композитов для заживления хронических ран, структурным особенностям, физико-химическим свойствам и методам получения раневых покрытий из целлюлозы и его производных, также возможностям использования органоминеральных композитных медицинских материалов на основе производных целлюлозы для лечения трофических ран.

Свойства целлюлозы и его производных

Целлюлоза широко распространенный в природе биоразлагаемый материал, получаемый в основном из растений, а также из бактерий [13]. Молекулярная структура целлюлозы состоит из последовательных молекул β-D-глюкопиранозы, которые связаны

через ковалентные ацетальные связи между экваториальными ОН-группами атома C_4 и C_1 (рис. 2) [14].

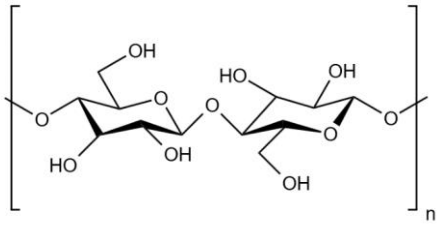


Рисунок 2 – Молекулярная структура целлюлозы

На основе химического строения целлюлозы следует отметить наличие множества сильно полярных гидроксильных групп на глюкопиранозильном кольце. Эти группы активно способствуют формированию как внутримолекулярных, так и межмолекулярных водородных связей. Природная целлюлоза имеет ряд свойств, которые затрудняют его использование биомедицинских и фармацевтических направлениях, такие как, низкая растворимость в большинстве сред, недостаточная термообрабатываемость, высокая гигроскопичность, слабое адгезионное взаимодействие и затруднения при технологической обработке. Одним из выходов устранения этих недостатков является химическая модификация, то есть получение производных целлюлозы, которое позволяет улучшить свойства природных полимеров (полисахаридов) [15].

Производные целлюлозы отличаются друг от друга химическими структурами, гигроскопичностью, поверхностной активностью и растворимостью. Они имеют обширное применение в лечении хронических ран (табл. 2) [16].

Таблица 2 – Краткое описание производных целлюлозы

Название	Свойства	Применение	Ссылки
Метилцеллюлоза (МЦ)	Термочувствительность, стабильность	Пролонгирование лекарственных веществ	[17]
Этилцеллюлоза (ЭЦ)	Термопластичность, нетоксичность, гибкость	Пленки, использования в микрокапсуляции, фармацевтической промышленности	[18]
Гидроксипропил-метилцеллюлоза (ГПМЦ)	Высокая растворимость, низкая токсичность, биосовместимость	Пленки для покрытия ран	[19]
Карбоксиметил-целлюлоза (КМЦ)	Гидрофильный, нетоксичный, биоадгезивный	Пленки и гидрогели с хорошими адсорбционными свойствами	[20]
Ацетат целлюлозы (АЦ)	Биосовместимость, биоразлагаемость, термическая стабильность	Ситемы для замедления высвобождения лекарственного средства	[21, 22]

Среди производных целлюлозы КМЦ показала себя как перспективный материал для создания раневых повязок: благодаря высокой гидрофильности, полной биологической совместимости, не вызывающей иммунного ответа и способствующей стимуляции производства цитокинов [23]. КМЦ – производное эфира целлюлозы, обладающая водорастворимым свойством, полученный полусинтетическим путем. На рисунке 3 представлено структура и химическая реакция получения КМЦ [27].

Большинство коммерческих гидрогелей, используемых в раневой терапии, изготавливаются на основе КМЦ с добавлением синтетических и природных полимеров и вспомогательных веществ неорганической природы (табл. 3).

Таким образом, приведенные выше результаты работ показывают, перспективность КМЦ в качестве раневого покрытия, которые будут широко использоваться в терапии хронических ран.

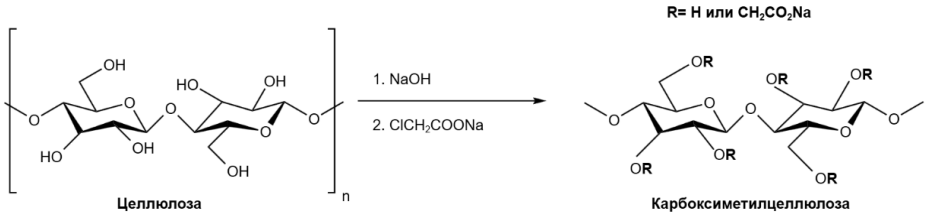


Рисунок 3 – Синтез и химическая структура КМЦ

Таблица 3 – Некоторые примеры гидрогелей на основе КМЦ, используемые в лечении хронических ран

Название продукта	Название компании	Состав	Ссылки
Purilon Gel®	Coloplast	Натриевая соль карбоксиметилцеллюлоза и более 90% очищенной воды	[24]
Intrasite Gel®	Smith & Nephew	Карбоксиметилцеллюлоза и пропиленгликоль	[25]
Solosite®	Smith & Nephew	Натриевая соль карбоксиметицеллюлозы, глицерин и очищенная вода	
Granugel®	ConvaTec	Пектин, карбоксиметилцеллюлоза и пропиленгликоль	[26]

Раневые покрытия на основе карбоксиметилцеллюлозы

Материалы для перевязки ран на основе карбоксиметилцеллюлозы, обычно, получают методами физического и химического сшивания. Так, например, в [28] работе гидрогели-суперабсорбенты получали из КМЦ и ПЭГ, с помощью химического сшивания лимонной кислотой. Это позволило создать гибридную гелевую сетку. Процесс синтеза проходил в водной среде при низкой температуре, что делает этот подход экологичным. Полученные в результате гидрогели проявили высокую способность к набуханию (до 5000%) и механическую прочность, благодаря сшиванию. Также гидрогели показали совместимость с клетками, что обеспечивает необходимый уровень клеточной целостности (более 95%). Эти характеристики имеют существенное значение для применения в медицине, особенно, для заживления хронических ран. С целью установления влияния пленок на основе КМЦ и ПЭГ авторы в [29] работе проводили эксперимент заживления ран в здоровых и диабетических условиях на моделях крыс. В результате, авторы пришли к выводу, что чистые пленки КМЦ более эффективны при заживлении ран. Это можно объяснить полисахаридной природой КМЦ, которая схожа с компонентами дермального слоя, что в свою очередь способствует образованию грануляционной ткани и уменьшению времени заживления раны. В исследовательской работе [30] так же была использована лимонная кислота в качестве сшивающего агента для получения гидрогелевых пленок на основе NaКМЦ и ГПМЦ. В ходе работы были исследованы загрузка, высвобождение лекарственных средств и антимикробная активность, в результате которых пленки показали большую степень загрузки катионных препаратов чем, анионных. А также, пленки могли высвобождать лекарственный препарат в течение длительного времени, до 72 часов. Они сохраняли антимикробную активность в течение трех дней после высвобождения лекарственного препарата, это дает дополнительное преимущество полимерным материалам для использования в лечении ран.

В работе [31] авторы получили несколько пленок в различных соотношениях N-(2-гидрокси)-пропил-3-триметиламмоний хлорид хитозан (ГТХХ)/ПВС/ NaКМЦ и исследовали структурные взаимодействия, физические и антибактериальные свойства бинарного состава (ПВС/ГТХХ) пленок с добавлением NaКМЦ. Добавление NaКМЦ в смесь ГТХХ/ПВС значительно увеличило механическую прочность, гибкость и способность к набуханию пленок. А также в [32] работе были получены гидрогели на основе ПВС и Na-КМЦ методом циклического замораживания и оттаивания.

В ходе лечения хронических ран немаловажную роль играет применение лекарственных препаратов в течение продолжительного времени, для того чтобы предотвратить инфицирование тканей. Поэтому исследование и получение раневых покрытий с загруженными лекарственными веществами является перспективным направлением в фармацевтике. Так, в работе [32] было исследовано эффективность гидрогеля ПВС/NaКМЦ как носителя антибиотика фузидата натрия в сравнении с его

традиционной мазевой формой. Было установлено, что, полученный гидрогель улучшил заживление ран по сравнению с традиционной мазью с фузидатом натрия.

В работе [33] были исследованы разработки многослойных пленочных материалов на основе NaКМЦ, содержащих ибупрофен в качестве активного компонента. Авторы применили метод послойного покрытия, обеспечивающий необходимое высвобождение из матрицы. Проведенный анализ показал, что использование суспензии ибупрофена является стандартом рекомендованного и длительного высвобождения лекарств, что крайне важно для разработки средств для лечения хронических ран. Полученные пленки характеризовались высокой технической прочностью, умеренной способностью к набуханию и достижением уровня pH поверхности, что обеспечивает благоприятную среду для заживления. Таким образом, результаты работы демонстрируют впечатляющую перспективность применения NaКМЦ для разработки эффективных повязок с комбинированным терапевтическим эффектом, включая обезболивание и поддержание влажного заживления тканей. Разработка композитных пленок на основе арабиноксилана (АК) и карбоксиметилцеллюлозы (КМЦ), предназначенных для приготовления антибиотиков амикацина (АМК), продемонстрировала их эффективность при лечении инфицированных ран. Пленки, полученные методом литья из раствора, обладают высокой цитосовместимостью, прочностью и способностью к продленному высвобождению антибиотика в течение 24 часов. Благодаря использованию АК и КМЦ удалось достичь улучшенных механических характеристик и устойчивости материала в условиях раневой среды. Кроме того, проведены тесты проявления выраженной антибактериальной активности пленок против *Escherichia coli, Staphylococcus aureus* и *Pseudomonas aeruginosa,* что подтверждает их перспективность для применения в качестве повязок с контролируемым высвобождением лекарственных средств [23].

Разработка систем доставки лекарственных веществ, на основе карбоксиметилцеллюлозы, направлена на обеспечение пролонгированного высвобождения препаратов, снижение побочных эффектов и повышение эффективности терапии. Поэтому сейчас развивается направление изучения многофункциональных систем, объединяющих свойства матрицы на основе гидрогелей и пленок с уникальными характеристиками наночастиц. Например, серебряные наночастицы демонстрируют выраженную антибактериальную активность, что делает их идеальными для интеграции в системы доставки лекарств. Например, оксиды таких металлов как цинка, меди, титана и серебра, а также графен и его оксид известны своими антибактериальными свойствами [34]. В [35] исследовательской работе были представлены гибридные гидрогели на основе карбоксиметилцеллюлозы (КМЦ) и поливинилового спирта (ПВС), модифицированных наночастицами серебра (AgNP), для применения в условиях хронических диабетических ран. Синтез гидрогелей осуществлялся методом химической сшивки с использованием лимонной кислоты, а наночастицы серебра образовывались непосредственно в полимерной матрице с использованием экологически безопасного водного процесса. Полученные гидрогели показали выраженную антибактериальную активность в отношении ряда патогенных организмов, что обеспечивает их потенциал в лечении и терапии инфекционных заболеваний, характерных для хронических ран. Уникальное сочетание антимикробных свойств наночастиц серебра и способности гидрогелей поддерживать влажную окружающую среду делает данные материалы перспективными для использования в регенеративной медицине. В то же время другие авторы [36] использовали оксид серебра (Ag_2O) в составе композитных материалов на основе КМЦ и коллагена для усиления антибактериальных свойств. В отличие от гидрогелей, композиты, полученные методом лиофилизации, демонстрировали высокую устойчивость к деградации под воздействием ферментов, таких как коллагеназа, и сохраняли свои свойства в течение 24 часов. Дополнительное сшивание с использованием глутарового альдегида позволило улучшить механическую стабильность и пористость матрицы, что способствовало лучшему переносу влаги и кислорода к ране. Сравнивая две работы, можно отметить, что гидрогели на основе КМЦ и ПВС предоставляют гибкость и адаптивность к форме раны, что делает их подходящими для лечения хронических повреждений. В то время как композиты с коллагеном ориентированы на долговечность и устойчивость в условиях сложных раневых инфекций. Оба подхода демонстрируют высокую антибактериальную активность против *Escherichia coli* и *Staphylococcus aureus.* В работе [37] созданы нанокомпозиты на основе карбоксиметилцеллюлозы (КМЦ) с добавлением оксида графена (Exf-GO), акцент сделан на

разработке биосовместимых материалов для лечения ран. Синтез материалов осуществлялся методом растворного литья, позволяющего получить однородные композиты с равномерными распределениями Exf-GO в матрице. Нанокомпозиты продемонстрировали антибактериальную активность против золотистого стафилококка, что подчёркивает их потенциал для предотвращения бактериальных эффектов. Это исследование подчёркивает полимерных наноматериалов для создания многофункциональных медицинских изделий.

Из-за специфических требований к полимерным перевязочным материалам они должны обеспечивать нетравматичное снятие, не оказывая прилипания к раневой поверхности. Поэтому для улучшения их эластичности и прочности к ним добавляют армирующие наноразмерные наполнители. Среди них в последнее время обрело особую популярность глинистые минералы, из-за их эффективной ассоциации с полимерной матрицей [38]. В целом, необходимо отметить нарастание интереса к раневым покрытиям на основе КМЦ в сочетании с полимерами, различными антибактериальными компонентами как органического, так и неорганического происхождения [39].

Получение композитных полимерных материалов с добавлением глинистых минералов

Несмотря на эффективность самого КМЦ в качестве основы в раневых покрытиях, специфичные требования при терапии трофических язв и хронических ран требуют расширения спектра полезных свойств [40] и ограничение таких свойств КМЦ, как высокая набухающая способность, быстрая разлагаемость, прочность материалов на ее основе, термостойкость. В целях улучшения свойств природных полимеров, в частности КМЦ, часто прибегают к получению композиционных материалов, в которых в качестве наполнителя выступает минеральный компонент. В роли усилителя свойств в композициях хорошо зарекомендовала себя бентонитовая глина, совместимая, также набухающая в воде и обладающая гелеобразующей способностью.

Глины образуются в природе под влиянием атмосферных факторов, которые воздействуют на силикаты, превращая их в алюмосиликатные соединения с характерной слоистой структуры. Поэтому, глины имеют пластинчатую структурную организацию. В зависимости от расположения тетраэдрических и октаэдрических слоев глины разделяются на три основных группы и обозначаются как: 1:1, 2:1, 2:1:1 [41] (табл. 4).

Таблица 4 – Основные группы глин

Название	Примеры	Структурные особенности
1:1	Каолинит Галлуазит	Один слой тетраэдров чередуется с одним слоем октаэдров
2:1	Смектиты (монтмориллонит, лапонит, гекторит, т.д.), вермикулиты, тальк-пирофиллиты, мика	Один слой октаэдров заключен между двумя слоями тетраэдров
2:1:1	Клоизит	Два слоя тетраэдров и один слой октаэдров имеют дополнительный слой октаэдров

Среди данных групп глин смектиты имеют высокую степень набухаемости. Это объясняется тем, что их трёхслойная структура обладает отрицательным зарядом, возникающим в результате изоморфного замещения в кристаллической решётке. Такой заряд формируется за счёт замещения трёхвалентных элементов (Al^{3+}, Fe^{3+}) на двухвалентные (Al^{2+}, Fe^{2+}) в октаэдрическом слое, а также замещения четырёхвалентного кремния (Si^{4+}) на трёхвалентный алюминий (Al^{3+}) в тетраэдрическом слое. Данный обменный процесс может происходить одновременно в обоих слоях, что приводит к формированию межслоевого отрицательного заряда. Для компенсации этого заряда в межслоевом пространстве располагаются одно-, двух- и трёхвалентные катионы, которые, связываясь с молекулами воды, образуют гидратные оболочки. Именно наличие этих гидратных слоёв и определяет способность смектитов к набуханию. Щелочные металлы, такие как натрий, демонстрируют наибольшую гидратообразующую способность, что особенно важно при создании нанокомпозитных материалов, где контролируемая степень набухаемости играет ключевую роль в формировании пористой структуры и управляемом высвобождении лекарственных веществ. Монтмориллонит, являясь одним из представителей смектитовых глин, обладает значительной способностью к набуханию благодаря наличию натрия в качестве основного

обменного катиона. Глина, содержащая не менее 70% минерала монтмориллонита, называется бентонитом [42, 43]. К ряду еще одного достоинства бентонита входит его антибактериальная активность против различных типов бактерий [44]. В [45] исследовании рассмотрен процесс получения нанокомпозитных плёнок на основе гидроксиэтилцеллюлозы (ГЭЦ) и бентонита с акцентом на их структурные и функциональные свойства. Композитные материалы были сформированы методом диспергирования бентонита в растворе полимера, что обеспечило равномерное распределение минерального наполнителя в матрице. Согласно результатам рентгенодифракционного анализа, введение бентонита привело к увеличению межслоевого расстояния в его структуре, что свидетельствует о формировании интеркалированного нанокомпозита. Добавление бентонита привело к значительному улучшению механических характеристик плёнок, включая прочность на разрыв и эластичность, а также повысило их устойчивость к набуханию. Кроме того, было выявлено, что полученные композиты проявляют фунгистатическую активность в отношении *Candida albicans*, что расширяет их потенциальные области применения. Полученные результаты подтверждают, что введение бентонита в состав полимерных матриц, не обладающих собственной антимикробной активностью, может существенно улучшать физико-химические свойства материалов и наделять их дополнительными функциями. Так же были разработаны нанокомпозитные плёнки на основе хитозана и бентонита, предназначенные для применения в раневой терапии. Плёнки синтезированы методом растворного литья, что обеспечило равномерное распределение компонентов в полимерной матрице. Взаимодействие отрицательно заряженного бентонита и положительно заряженного хитозана было подтверждено методом ИК-Фурье-спектроскопии, а их морфология изучена с помощью сканирующей электронной микроскопии. Физико-химические исследования показали, что добавление бентонита значительно повышает механическую прочность и способность к поглощению влаги, что является важным свойством для раневых покрытий. Наличие бентонита также улучшило гибкость материала, повышая его устойчивость к многократному сгибанию. Кроме того, исследования антибактериальной активности продемонстрировали выраженный ингибирующий эффект нанокомпозитных плёнок в отношении как грамположительных, так и грамотрицательных бактерий, что подтверждает их потенциальную эффективность в профилактике инфекций [46].

Крупные природные скопления натриевых бентонитов в Казахстане представлены Манракским месторождением на востоке, Кызыл-Жарским на западе и Кынгракским на юге страны [43]. Широкое распространение бентонитовых глин на территории Казахстана создаёт благоприятные условия для развития исследований в области композиционных материалов на их основе. Отечественные исследователи изучали композиционные гидрогели на основе натрий-карбоксиметилцеллюлозы (NaКМЦ) и бентонита, стремясь улучшить их механические и сорбционные свойства. Так, например в [47] работе были получены гидрогели при различных массовых соотношениях (75:25, 50:50, 25:75) Na-КМЦ к бентониту. Анализ набухаемости показал, что степень набухаемости глины в растворах NaКМЦ достигает максимума при низкой концентрации полисахарида (0.1 %), однако при дальнейшем увеличении концентрации (0.3 %) набухаемость снижается почти в два раза, что связано с агрегацией частиц. Исследование методом электрофореза подтвердило стабильность комплексов за счет водородных связей, а сканирующая электронная микроскопия (СЭМ) выявила образование однородных структур. Дополнительно была изучена сорбция и высвобождение местного анестетика рихлокаина. Установлено, что сорбция достигает 75-95 % в течение 3-4 часов, процесс десорбции продолжается до 24 часов. То есть достигается постепенное и продолжительное высвобождение местного анестетика. Таким образом, результаты данного исследования подтверждают перспективность разработки композитных материалов на основе Na-КМЦ и бентонита с улучшенными механическими и сорбционными характеристиками, что делает их потенциально применимыми в качестве раневых покрытий и сорбционных материалов для биомедицинских целей.

Необходимо отметить, что производные целлюлозы и глинистые минералы являются экологичными, природными и доступными компонентами многофункциональных материалов. Так, на основе глин в последние годы создаются композиционные носители [48-54] наночастиц, энзимов, протеинов, лекарственных веществ для применения в различных областях медицины. Имеющиеся немногочисленные работы в области создания

композиицонных материалов Na-КМЦ и бентонитовой глины представляют для исследователей широкое поле для дальнейших исследований, а свойства самих материалов показывают перспективу создания раневых покрытий и носителей биологически активных веществ на их основе.

Заключение

В данном обзоре рассматривались исследования по получению раневых покрытий на основе NaКМЦ, бентонита и их композитов. Показано, что такие материалы обладают хорошими адгезионными, гидрофильными и биосовместимыми свойствами, что делает их перспективными для медицинского применения. Однако количество работ, посвященных исследованию композиционных материалов на основе NaКМЦ и бентонита, остается ограниченным, что открывает возможности для проведения исследований в данной области. В частности, актуальными направлениями являются оптимизация состава и структуры композитов для повышения химической прочности и регулирования скорости деградации в биологических средах. Отмечено, что Казахстан обладает значительными запасами бентонита, что делает использование этого минерала в составе раневых покрытий перспективным направлением для развития науки и промышленности в стране. Локальное производство таких биоматериалов позволит снизить дефицит импортных медицинских продуктов, а также открыть новые возможности для использования ресурсов страны в медицине.

Список литературы

1. 3D Cell Printing of Perfusable Vascularized Human Skin Equivalent Composed of Epidermis, Dermis, and Hypodermis for Better Structural Recapitulation of Native Skin / B.S. Kim et al // Advanced Healthcare Materials. – 2019. – V. 8, Issue 7. https://doi.org/10.1002/adhm.201801019.
2. Advances in Skin Regeneration Using Tissue Engineering / K. Vig et al // International Journal of Molecular Sciences. – 2017. – V. 18, Issue 4. – P. 789. https://doi.org/10.3390/ijms18040789.
3. The top 10 causes of death. [Электронный ресурс]. Режим доступа: https://www.who.int/ru/news-room/fact-sheets/detail/the-top-10-causes-of-death.
4. Shengji ointment combined with bromelain promotes granulation of exposed tendons in diabetic foot ulcers: A multicenter, randomized, positive-controlled clinical trial / X. Sun et al // Heliyon. – 2024. – V. 10, Issue 22. https://doi.org/10.1016/j.heliyon.2024.e39716.
5. Prevalence, risk level and risk factors of diabetic foot ulcer among adult individuals with diabetes in the Southeastern Anatolia Region of Turkiye / M. Kilic et al // Journal of Tissue Viability. – 2024. – V. 34, Issue 1. https://doi.org/10.1016/j.jtv.2024.12.003.
6. The Dysvascular Foot: A System for Diagnosis and Treatment / F.W. Wagner // Foot & Ankle. – 1981. – V.2, Issue 2. – P. 64-122. https://doi.org/10.1177/107110078100200202.
7. Hyperglycaemia-Linked Diabetic Foot Complications and Their Management Using Conventional and Alternative Therapies / P. Ansari et al // Applied Sciences. – 2022. – V. 12, Issue 22. https://doi.org/10.3390/app122211777.
8. Management of diabetic foot ulcers / K. Alexiadou et al // Diabetes therapy: research, treatment and education of diabetes and related disorders. – 2012. – V. 3, Issue 1. – P. 4. https://doi.org/10.1007/s13300-012-0004-9.
9. Application of a collagen matrix dressing on a neuropathic diabetic foot ulcer: a randomised control trial / G.E. Djavid et al // Journal of wound care. – 2020. – V. 29, Issue 3. – P. 13-18. https://doi.org/10.12968/jowc.2020.29.sup3.s13.
10. Wound Healing: From Passive to Smart Dressings / M. Farahani et al // Advanced healthcare materials. – 2021. – V. 10, Issue 16. https://doi.org/10.1002/adhm.202100477.
11. Interactive dressings and topical agents / R.J. Morin et al // Clinics in plastic surgery. –2007. – V. 34, Issue 4. – P. 643-658. https://doi.org/10.1016/j.cps.2007.07.004.
12. Design and evaluation of new wound dressings based on collagen-cellulose derivatives / E-E. Tudoroiu // Materials & Design. – 2023. – V. 236. https://doi.org/10.1016/j.matdes.2023.112469.
13. Cellulose ionogels: Recent advancement in material, design, performance and applications / Q. Chen et al // Resources Chemicals and Materials. – 2024. https://doi.org/10.1016/j.recm.2024.12.001.
14. Cellulose: fascinating biopolymer and sustainable raw material / D. Klemm et al // Angewandte Chemie International Edition. – 2005. – V. 44, Issue 22. – P. 3358-3393. https://doi.org/10.1002/anie.200460587.

15. Cellulose-Based Gels / H. Kang et al // Macromolecular Chemistry and Physics. – 2016. – V. 217. – P. 1322-1334. http://doi.org/10.1002/macp.201500493.
16. An Overview of Cellulose Derivatives-Based Dressings for Wound-Healing Management / E.E. Tudoroiu et al // Pharmaceuticals. – 2021. – V. 14, Issue 12. – P. 1215. https://doi.org/10.3390/ph14121215.
17. Thermoresponsive keratin-methylcellulose self-healing injectable hydrogel accelerating full-thickness wound healing by – promoting rapid epithelialization / K. Dixit et al // International Journal of Biological Macromolecules. – 2024. – V. 263, Issue 1. https://doi.org/10.1016/j.ijbiomac.2024.130073.
18. Fabrication of honey-loaded ethylcellulose/gum tragacanth nanofibers as an effective antibacterial wound dressing / M. Ghorbani // Colloids and Surfaces A: Physicochemical and Engineering Aspects. – 2021. – V. 621. https://doi.org/10.1016/j.colsurfa.2021.126615.
19. Porous antimicrobial crosslinked film of hydroxypropyl methylcellulose/carboxymethyl starch incorporating gallic acid for wound dressing application / V. Pitpisutkul et al // International Journal of Biological Macromolecules. – 2024. – V. 256, Issue 1. https://doi.org/10.1016/j.ijbiomac.2023.128231.
20. Asymmetric chitosan-derivative/carboxymethylcellulose layer-by-layer film combining antimicrobial and vascular regeneration for the repair of infected wounds / F. Yang et al // International Journal of Biological Macromolecules. – 2024. – V. 269, Issue 2. https://doi.org/10.1016/j.ijbiomac.2024.132031.
21. Medicated tri-layer fibers based on cellulose acetate and polyvinylpyrrolidone for enhanced antibacterial and wound healing properties / M. Wang et al // Carbohydrate Polymers. – 2025. – V. 348 https://doi.org/10.1016/j.carbpol.2024.122856.
22. Nanoparticles loaded triple-layered cellulose-acetate based multifunctional dressing for wound healing / S.S. Dugam et al // International Journal of Biological Macromolecules. – 2024. – V. 276. https://doi.org/10.1016/j.ijbiomac.2024.133837.
23. Arabinoxylan-Carboxymethylcellulose Composite Films for Antibiotic Delivery to Infected Wounds / N.K. Alruwaili et al // Polymers. – 2022. – V. 14, Issue 9. – P. 1769. https://doi.org/10.3390/polym14091769.
24. WoundRes Collagen Hydrogel. [Электронный ресурс] – Режим доступа:https://www.coloplast.us/woundres-collagen-hydrogel-1-en-us.aspx .
25. Health Care Professionals. [Электронный ресурс] – Режим доступа: https://www.smith-nephew.com/en/health-care-professionals.
26. ConvaTec. [Электронный ресурс] – Режим доступа:http://www.convatec.co.uk/.
27. Chitosan/carboxymethyl cellulose wound dressings supplemented with biologically synthesized silver nanoparticles from the ligninolytic fungus Anamorphous Bjerkandera sp. R1 / Echavarría J. Osorio et al // Heliyon. – 2022. – V. 8, Issue 9. https://doi.org/10.1016/j.heliyon.2022.e10258.
28. Superabsorbent crosslinked carboxymethyl cellulose-PEG hydrogels for potential wound dressing applications / N.S.V. Capanema et al // International Journal of Biological Macromolecules. – 2018. – V. 106. – P. 1218–1234. https://doi.org/10.1016/j.ijbiomac.2017.08.124.
29. Characterization and Evaluation of Carboxymethyl Cellulose-Based Films for Healing of Full-Thickness Wounds in Normal and Diabetic Rats / P. Basu // ACS omega. – 2018. – V. 3, Issue 10. – P. 12622–12632. https://doi.org/10.1021/acsomega.8b02015.
30. Fabrication, characterization and drug loading efficiency of citric acid crosslinked NaCMC-HPMC hydrogel films for wound healing drug delivery applications / K. Dharmalingam et al // International Journal of Biological Macromolecules. – 2019. – V. 134. – P. 815-829. https://doi.org/10.1016/j.ijbiomac.2019.05.027.
31. Quaternized chitosan/polyvinyl alcohol/sodium carboxymethylcellulose blend film for potential wound dressing application / D. Hu et al // Wound Medicine. – 2017. – V. 16. – P. 15-21. https://doi.org/10.1016/j.wndm.2016.12.003.
32. Wound healing evaluation of sodium fucidate-loaded polyvinylalcohol/sodium carboxymethylcellulose-based wound dressing / J.H. Lee et al // Archives of pharmacal research. – 2010. – V. 33, Issue 7. – P. 1083–1089. https://doi.org/10.1007/s12272-010-0715-2.
33. Formulation of Novel Layered Sodium Carboxymethylcellulose Film Wound Dressings with Ibuprofen for Alleviating Wound Pain / L. Vinklárková et al // BioMed research international. –2015. https://doi.org/10.1155/2015/892671.

34. Nanomaterial strategies in wound healing: A comprehensive review of nanoparticles, nanofibres and nanosheets / M. Afshar et al // International Wound Gournal. – 2024. – V. 21, Issue 7. https://doi.org/10.1111/iwj.14953.
35. Bioengineered Water-Responsive Carboxymethyl Cellulose/Poly(vinyl alcohol) Hydrogel Hybrids for Wound Dressing and Skin Tissue Engineering Applications / N.S.V. Capanema et al // Gels – 2023. – V. 9, Issue 2. – P. 166. https://doi.org/10.3390/gels9020166.
36. Collagen-Carboxymethylcellulose Biocomposite Wound-Dressings with Antimicrobial Activity / I.A. Neacsu et al // Materials. – 2021. – V. 14. – P. 1153. https://doi.org/10.3390/ma14051153.
37. Graphene Oxide Carboxymethylcellulose Nanocomposite for Dressing Materials / M.L. Saladino et al // Materials. – 2020. – V. 13. – P. 1980. https://doi.org/10.3390/ma13081980.
38. PVA–clay nanocomposite hydrogels for wound dressing / M. Kokabi et al // European Polymer Journal. – 2007. – V. 43, Issue 3. – P. 773-781. https://doi.org/10.1016/j.eurpolymj.2006.11.030.
39. A review of carboxymethyl cellulose composite-based hydrogels in drug delivery applications. Y. Gupta et al // Results in Chemistry. – 2024. – V. 10. https://doi.org/10.1016/j.rechem.2024.101695.
40. Biodegradable Cellulose-based Hydrogels: Design and Applications / A. Sannino et al // Materials. – 2009. – V. 2. – P. 353-373. https://doi.org/10.3390/ma2020353.
41. The Use of Some Clay Minerals as Natural Resources for Drug Carrier Applications / M. Massaro et al // Journal of Functional Biomaterials. – 2018. – V. 9, Issue 4. – P. 58. https://doi.org/10.3390/jfb9040058.
42. Возможности использования бентонитовых глин в медицине / Н.Т. Гылымхан и др. // Доклады Национальной академии Республики Казахстан. – 2016. – № 4. – С. 24-33.
43. Application of montmorillonite in bentonite as a pharmaceutical excipient in drug delivery systems / J. Park et al // Journal of Pharmaceutical Investigation. – 2016. – V. 46, Issue 4. – P. 363-375. https://doi.org/10.1007/s40005-016-0258-8.
44. Лечебные свойства бентонита / Ф.Ш. Назарова и др. // Достижения науки и образования. – 2020. – № 5. – С. 59.
45. Структура и биологическая активность композитов гидроксиэтилцеллюлозы/бентонит / Е.В. Гарасько и др. // Успехи современного естествознания. – 2015. – № 11-1. – С. 20-25.
46. Preparation and characterization of chitosan-bentonite nanocomposite films for wound healing application / N. Devi et al // International Journal of Biological Macromolecules. – 2017. – V. 104. – 1897-1904. https://doi.org/10.1016/j.ijbiomac.2017.02.080.
47. Глинистые композиции натриевой соли карбоксиметилцеллюлозы в качестве носителя рихлокаина / Ш.Н. Жумагалиева // Известия НАН РК. Серия химическая. – 2008. –№ 5. – С. 63-66.
48. Exploring the cellular uptake of hectorite clay mineral and its drug carrier capabilities / M. Notarbartolo // Colloids and Surfaces B: Biointerfaces. – 2022. – V. 220. https://doi.org/10.1016/j.colsurfb.2022.112931.
49. Functionalizing graphene with clay nanosheets as a protein carrier / Q. Wang et al // Colloid and Interface Science Communications. – 2022. – V. 48. https://doi.org/10.1016/j.colcom.2022.100618.
50. Clay/au nanoparticle composites as acetylcholinesterase carriers and modified-electrode materials: A comparative study / A. Phongphut et al // Applied Clay Science. – 2020. – V. 194. https://doi.org/10.1016/j.clay.2020.105704.
51. Clay/chitosan biocomposite systems as novel green carriers for covalent immobilization of food enzymes / I. Cacciotti et al // Journal of Materials Research and Technology. – 2019. – V. 8, Issue 4. – P. 3644-3652. https://doi.org/10.1016/j.jmrt.2019.06.002.
52. Preparation and characterization of dicarboxylic acid modified starch-clay composites as carriers for pesticide delivery / Sh. Jain et al // Arabian Journal of Chemistry. – 2020. – V. 13, Issue 11. – P. 7990-8002. http://dx.doi.org/10.1016/j.arabjc.2020.09.028.
53. Evaluation of clay-ionene nanocomposite carriers for controlled drug delivery: Synthesis, in vitro drug release, and kinetics / H. El-Hamshary et al // Materials Chemistry and Physics. – 2019. – V. 225. – P. 122-132. https://doi.org/10.3390/molecules28155895.
54. Complex of chitosan pectin and clay as diclofenac carrier / D. Cheikh et al // Applied Clay Science. – 2019. – V. 172. – P. 155-164. http://dx.doi.org/10.1016/j.clay.2019.03.004.

References

1. 3D Cell Printing of Perfusable Vascularized Human Skin Equivalent Composed of Epidermis, Dermis, and Hypodermis for Better Structural Recapitulation of Native Skin / B.S. Kim et al // Advanced Healthcare Materials. – 2019. – V. 8, Issue 7. https://doi.org/10.1002/adhm.201801019. (In English).
2. Advances in Skin Regeneration Using Tissue Engineering / K. Vig et al // International Journal of Molecular Sciences. – 2017. – V. 18, Issue 4. – R. 789. https://doi.org/10.3390/ijms18040789. (In English).
3. The top 10 causes of death. [Ehlektronnyi resurs]. Rezhim dostupa: https://www.who.int/ru/news-room/fact-sheets/detail/the-top-10-causes-of-death. (In English).
4. Shengji ointment combined with bromelain promotes granulation of exposed tendons in diabetic foot ulcers: A multicenter, randomized, positive-controlled clinical trial / X. Sun et al // Heliyon. – 2024. – V. 10, Issue 22. https://doi.org/10.1016/j.heliyon.2024.e39716. (In English).
5. Prevalence, risk level and risk factors of diabetic foot ulcer among adult individuals with diabetes in the Southeastern Anatolia Region of Turkiye / M. Kilic et al // Journal of Tissue Viability. – 2024. – V. 34, Issue 1. https://doi.org/10.1016/j.jtv.2024.12.003. (In English).
6. The Dysvascular Foot: A System for Diagnosis and Treatment / F.W. Wagner // Foot & Ankle. – 1981. – V.2, Issue 2. – P. 64-122. https://doi.org/10.1177/107110078100200202. (In English).
7. Hyperglycaemia-Linked Diabetic Foot Complications and Their Management Using Conventional and Alternative Therapies / P. Ansari et al // Applied Sciences. – 2022. – V. 12, Issue 22. https://doi.org/10.3390/app122211777. (In English).
8. Management of diabetic foot ulcers / K. Alexiadou et al // Diabetes therapy: research, treatment and education of diabetes and related disorders. – 2012. – V. 3, Issue 1. – P. 4. https://doi.org/10.1007/s13300-012-0004-9. (In English).
9. Application of a collagen matrix dressing on a neuropathic diabetic foot ulcer: a randomised control trial / G.E. Djavid et al // Journal of wound care. – 2020. – V. 29, Issue 3. – P. 13-18. https://doi.org/10.12968/jowc.2020.29.sup3.s13. (In English).
10. Wound Healing: From Passive to Smart Dressings / M. Farahani et al // Advanced healthcare materials. – 2021. – V. 10, Issue 16. https://doi.org/10.1002/adhm.202100477. (In English).
11. Interactive dressings and topical agents / R.J. Morin et al // Clinics in plastic surgery. –2007. – V. 34, Issue 4. – P. 643-658. https://doi.org/10.1016/j.cps.2007.07.004. (In English).
12. Design and evaluation of new wound dressings based on collagen-cellulose derivatives / E-E. Tudoroiu // Materials & Design. – 2023. – V. 236. https://doi.org/10.1016/j.matdes.2023.112469. (In English).
13. Cellulose ionogels: Recent advancement in material, design, performance and applications / Q. Chen et al // Resources Chemicals and Materials. – 2024. https://doi.org/10.1016/j.recm.2024.12.001. (In English).
14. Cellulose: fascinating biopolymer and sustainable raw material / D. Klemm et al // Angewandte Chemie International Edition. – 2005. – V. 44, Issue 22. – P. 3358-3393. https://doi.org/10.1002/anie.200460587. (In English).
15. Cellulose-Based Gels / H. Kang et al // Macromolecular Chemistry and Physics. – 2016. – V. 217. – P. 1322-1334. http://doi.org/10.1002/macp.201500493. (In English).
16. An Overview of Cellulose Derivatives-Based Dressings for Wound-Healing Management / E.E. Tudoroiu et al // Pharmaceuticals. – 2021. – V. 14, Issue 12. – P. 1215. https://doi.org/10.3390/ph14121215. (In English).
17. Thermoresponsive keratin-methylcellulose self-healing injectable hydrogel accelerating full-thickness wound healing by – promoting rapid epithelialization / K. Dixit et al // International Journal of Biological Macromolecules. – 2024. – V. 263, Issue 1. https://doi.org/10.1016/j.ijbiomac.2024.130073. (In English).
18. Fabrication of honey-loaded ethylcellulose/gum tragacanth nanofibers as an effective antibacterial wound dressing / M. Ghorbani // Colloids and Surfaces A: Physicochemical and Engineering Aspects. – 2021. – V. 621. https://doi.org/10.1016/j.colsurfa.2021.126615. (In English).
19. Porous antimicrobial crosslinked film of hydroxypropyl methylcellulose/carboxymethyl starch incorporating gallic acid for wound dressing application / V. Pitpisutkul et al // International Journal of Biological Macromolecules. – 2024. – V. 256, Issue 1. https://doi.org/10.1016/j.ijbiomac.2023.128231. (In English).

20. Asymmetric chitosan-derivative/carboxymethylcellulose layer-by-layer film combining antimicrobial and vascular regeneration for the repair of infected wounds / F. Yang et al // International Journal of Biological Macromolecules. – 2024. – V. 269, Issue 2. https://doi.org/10.1016/j.ijbiomac.2024.132031. (In English).
21. Medicated tri-layer fibers based on cellulose acetate and polyvinylpyrrolidone for enhanced antibacterial and wound healing properties / M. Wang et al // Carbohydrate Polymers. – 2025. – V. 348 https://doi.org/10.1016/j.carbpol.2024.122856. (In English).
22. Nanoparticles loaded triple-layered cellulose-acetate based multifunctional dressing for wound healing / S.S. Dugam et al // International Journal of Biological Macromolecules. – 2024. – V. 276. https://doi.org/10.1016/j.ijbiomac.2024.133837. (In English).
23. Arabinoxylan-Carboxymethylcellulose Composite Films for Antibiotic Delivery to Infected Wounds / N.K. Alruwaili et al // Polymers. – 2022. – V. 14, Issue 9. – P. 1769. https://doi.org/10.3390/polym14091769. (In English).
24. WoundRes Collagen Hydrogel. [Ehlektronnyi resurs] – Rezhim dostupa:https://www.coloplast.us/woundres-collagen-hydrogel-1-en-us.aspx . (In English).
25. Health Care Professionals. [Ehlektronnyi resurs] – Rezhim dostupa: https://www.smith-nephew.com/en/health-care-professionals. (In English).
26. ConvaTec. [Ehlektronnyi resurs] – Rezhim dostupa:http://www.convatec.co.uk/. (In English).
27. Chitosan/carboxymethyl cellulose wound dressings supplemented with biologically synthesized silver nanoparticles from the ligninolytic fungus Anamorphous Bjerkandera sp. R1 / Echavarría J. Osorio et al // Heliyon. – 2022. – V. 8, Issue 9. https://doi.org/10.1016/j.heliyon.2022.e10258. (In English).
28. Superabsorbent crosslinked carboxymethyl cellulose-PEG hydrogels for potential wound dressing applications / N.S.V. Capanema et al // International Journal of Biological Macromolecules. – 2018. – V. 106. – P. 1218–1234. https://doi.org/10.1016/j.ijbiomac.2017.08.124. (In English).
29. Characterization and Evaluation of Carboxymethyl Cellulose-Based Films for Healing of Full-Thickness Wounds in Normal and Diabetic Rats / P. Basu // ACS omega. – 2018. – V. 3, Issue 10. – P. 12622–12632. https://doi.org/10.1021/acsomega.8b02015. (In English).
30. Fabrication, characterization and drug loading efficiency of citric acid crosslinked NaCMC-HPMC hydrogel films for wound healing drug delivery applications / K. Dharmalingam et al // International Journal of Biological Macromolecules. – 2019. – V. 134. – P. 815-829. https://doi.org/10.1016/j.ijbiomac.2019.05.027. (In English).
31. Quaternized chitosan/polyvinyl alcohol/sodium carboxymethylcellulose blend film for potential wound dressing application / D. Hu et al // Wound Medicine. – 2017. – V. 16. – P. 15-21. https://doi.org/10.1016/j.wndm.2016.12.003. (In English).
32. Wound healing evaluation of sodium fucidate-loaded polyvinylalcohol/sodium carboxymethylcellulose-based wound dressing / J.H. Lee et al // Archives of pharmacal research. – 2010. – V. 33, Issue 7. – P. 1083–1089. https://doi.org/10.1007/s12272-010-0715-2. (In English).
33. Formulation of Novel Layered Sodium Carboxymethylcellulose Film Wound Dressings with Ibuprofen for Alleviating Wound Pain / L. Vinklárková et al // BioMed research international. –2015. https://doi.org/10.1155/2015/892671. (In English).
34. Nanomaterial strategies in wound healing: A comprehensive review of nanoparticles, nanofibres and nanosheets / M. Afshar et al // International Wound Gournal. – 2024. – V. 21, Issue 7. https://doi.org/10.1111/iwj.14953. (In English).
35. Bioengineered Water-Responsive Carboxymethyl Cellulose/Poly(vinyl alcohol) Hydrogel Hybrids for Wound Dressing and Skin Tissue Engineering Applications / N.S.V. Capanema et al // Gels – 2023. – V. 9, Issue 2. – P. 166. https://doi.org/10.3390/gels9020166. (In English).
36. Collagen-Carboxymethylcellulose Biocomposite Wound-Dressings with Antimicrobial Activity / I.A. Neacsu et al // Materials. – 2021. – V. 14. – P. 1153. https://doi.org/10.3390/ma14051153. (In English).
37. Graphene Oxide Carboxymethylcellulose Nanocomposite for Dressing Materials / M.L. Saladino et al // Materials. – 2020. – V. 13. – P. 1980. https://doi.org/10.3390/ma13081980. (In English).
38. PVA–clay nanocomposite hydrogels for wound dressing / M. Kokabi et al // European Polymer Journal. – 2007. – V. 43, Issue 3. – P. 773-781. https://doi.org/10.1016/j.eurpolymj.2006.11.030. (In English).

39. A review of carboxymethyl cellulose composite-based hydrogels in drug delivery applications. Y. Gupta et al // Results in Chemistry. – 2024. – V. 10. https://doi.org/10.1016/j.rechem.2024.101695. (In English).
40. Biodegradable Cellulose-based Hydrogels: Design and Applications / A. Sannino et al // Materials. – 2009. – V. 2. – P. 353-373. https://doi.org/10.3390/ma2020353. (In English).
41. The Use of Some Clay Minerals as Natural Resources for Drug Carrier Applications / M. Massaro et al // Journal of Functional Biomaterials. – 2018. – V. 9, Issue 4. – P. 58. https://doi.org/10.3390/jfb9040058. (In English).
42. Vozmozhnosti ispol'zovaniya bentonitovykh glin v meditsine / N.T. Gylymkhan i dr. // Doklady Natsional'noi akademii Respubliki Kazakhstan. – 2016. – № 4. – S. 24-33. (In Russian).
43. Application of montmorillonite in bentonite as a pharmaceutical excipient in drug delivery systems / J. Park et al // Journal of Pharmaceutical Investigation. – 2016. – V. 46, Issue 4. – P. 363-375. https://doi.org/10.1007/s40005-016-0258-8. (In English).
44. Lechebnye svoistva bentonita / F.SH. Nazarova i dr. // Dostizheniya nauki i obrazovaniya. – 2020. – № 5. – S. 59. (In Russian).
45. Ctruktura i biologicheskaya aktivnost' kompozitov gidroksiehtiltsellyulozy/bentonit / E.V. Garas'ko i dr. // Uspekhi sovremennogo estestvoznaniya. – 2015. – № 11-1. – S. 20-25. (In Russian).
46. Preparation and characterization of chitosan-bentonite nanocomposite films for wound healing application / N. Devi et al // International Journal of Biological Macromolecules. – 2017. – V. 104. – 1897-1904. https://doi.org/10.1016/j.ijbiomac.2017.02.080. (In English).
47. Glinistye kompozitsii natrievoi soli karboksimetiltsellyulozy v kachestve nositelya rikhlokaina / SH.N. Zhumagalieva // Izvestiya NAN RK. Seriya khimicheskaya. – 2008. –№ 5. – S. 63-66. (In Russian).
48. Exploring the cellular uptake of hectorite clay mineral and its drug carrier capabilities / M. Notarbartolo // Colloids and Surfaces B: Biointerfaces. – 2022. – V. 220. https://doi.org/10.1016/j.colsurfb.2022.112931. (In English).
49. Functionalizing graphene with clay nanosheets as a protein carrier / Q. Wang et al // Colloid and Interface Science Communications. – 2022. – V. 48. https://doi.org/10.1016/j.colcom.2022.100618. (In English).
50. Clay/au nanoparticle composites as acetylcholinesterase carriers and modified-electrode materials: A comparative study / A. Phongphut et al // Applied Clay Science. – 2020. – V. 194. https://doi.org/10.1016/j.clay.2020.105704. (In English).
51. Clay/chitosan biocomposite systems as novel green carriers for covalent immobilization of food enzymes / I. Cacciotti et al // Journal of Materials Research and Technology. – 2019. – V. 8, Issue 4. – P. 3644-3652. https://doi.org/10.1016/j.jmrt.2019.06.002. (In English).
52. Preparation and characterization of dicarboxylic acid modified starch-clay composites as carriers for pesticide delivery / Sh. Jain et al // Arabian Journal of Chemistry. – 2020. – V. 13, Issue 11. – P. 7990-8002. http://dx.doi.org/10.1016/j.arabjc.2020.09.028. (In English).
53. Evaluation of clay-ionene nanocomposite carriers for controlled drug delivery: Synthesis, in vitro drug release, and kinetics / H. El-Hamshary et al // Materials Chemistry and Physics. – 2019. – V. 225. – P. 122-132. https://doi.org/10.3390/molecules28155895. (In English).
54. Complex of chitosan pectin and clay as diclofenac carrier / D. Cheikh et al // Applied Clay Science. – 2019. – V. 172. – P. 155-164. http://dx.doi.org/10.1016/j.clay.2019.03.004. (In English).

Финансирование: *данное исследование финансируется Комитетом Науки Министерства науки и высшего образования Республики Казахстан (грант № AP22684531, «Разработка гидрогелевых форм растительных экстрактов на основе ГПМЦ»).*

А.А. Мыңбаева, А.Аманжолқызы*, Ш.Н. Жумагалиева, Ж.Ә. Әбілов
әл-Фараби атындағы Қазақ ұлттық университеті,
050040, Қазақстан Республикасы, Алматы қаласы, Әл-Фараби даңғылы, 71
*e-mail: arai13_95@list.ru

ЦЕЛЛЮЛОЗА ТУЫНДЫЛАРЫНА НЕГІЗДЕЛГЕН КОМПОЗИЦИЯЛЫҚ МАТЕРИАЛДАР: ТРОФИКАЛЫҚ ЖАРАЛАРДЫ ЕМДЕУДЕГІ МҮМКІНДІКТЕРІ

Созылмалы жаралар қазіргі медицинаның алдында тұрған күрделі мәселелердің бірі болып табылады. Әсіресе, қазіргі уақытта диабеттік табан жаралары бар пациенттердің санының арту

үрдісі байқалады. Осыған байланысты мінсіз қасиеттерге ие таңғыш материалдарды әзірлеу – бүгінгі медицинаның басты міндеттерінің бірі. Целлюлоза өзінің биоүйлесімділігімен, қолжетімділігімен және экологиялық қауіпсіздігімен ерекшеленетін болашағы зор материал болып саналады. Бұл мақалада соңғы онжылдықтарда ғылыми әдебиетте жарияланған жараларды жабуға арналған целлюлоза туындылары мен оның композициялары негізіндегі гидрогельдер мен үлдірлер бойынша зерттеулерге шолу жасау мақсаты қойылды. Зерттеулерде ерекше назар бентонит қосылған материалдарға және оның таңғыш жабындардың механикалық, сорбциялық және биомедициналық қасиеттеріне әсеріне аударылды. Карбоксиметилцеллюлоза (КМЦ) мен бентонит негізіндегі композиттік материалдарға арналған отандық және шетелдік зерттеулерге талдау жүргізілді. Бүгінгі күнге дейінгі зерттеулер көрсеткендей, бентонитті полимерлі матрицаларға енгізу жабындардың механикалық беріктігін, ылғал сіңіру қабілетін және құрылымдық тұрақтылығын арттырады. Сонымен қатар, саз бөлшектерін қосу дәрілік заттардың бөліну процесін реттеуге мүмкіндік беріп, терапиялық әсердің тиімділігін жоғарылатады. Қазақстандық ғалымдар жүргізген зерттеулер жергілікті бентонитті саздарды таңғыш материалдарды әзірлеуде пайдаланудың болашағы зор екенін растайды. Целлюлоза туындылары мен бентонит негізіндегі композиттік гидрогельдер мен үлдірлерді дамыту биосыйымды, тиімді жара жабыны материалдарын жасауға жаңа мүмкіндіктер ашады. Алдағы зерттеулер олардың құрамын және құрылымын оңтайландыруға бағытталуы тиіс, бұл өз кезегінде олардың функционалдық қасиеттері мен терапиялық тиімділігін арттыруға мүмкіндік береді.

Түйін сөздер: *карбоксиметилцеллюлоза, бентонит, композициялық материалдар, жара жабындары, гидрогелдер, үлдірлер, жараны емдеу.*

A.A. Myngbayeva, A. Amanzholkyzy*, Sh.N. Zhumagalieva, Zh.A. Abilov
Al-Farabi Kazakh National University,
050040, Republic of Kazakhstan, Almaty, Al-Farabi ave., 71
*e-mail: arai13_95@list.ru

COMPOSITE MATERIALS BASED ON CELLULOSE DERIVATIVES: PROSPECTS IN THE TREATMENT OF TROPHIC ULCERS

Chronic wounds pose a serious challenge to modern medicine. There is now a trend towards an increase in the number of patients with diabetic foot wounds. Therefore, the development of dressing materials with ideal characteristics is one of the key tasks in modern medicine. Cellulose is a promising material for the development of wound dressings due to its biocompatibility, availability and environmental friendliness. The aim of this article is to review the studies on hydrogels and films based on cellulose derivatives and its compositions for wound covering published in the scientific literature over the past decades. Particular attention is paid to materials containing bentonite and its influence on the mechanical, sorption and biomedical properties of dressings. An analysis of domestic and foreign studies devoted to composite materials based on carboxymethyl cellulose (CMC) and bentonite was conducted. Analysis of the research available to date shows that the introduction of bentonite into polymer matrices helps to increase the mechanical strength, moisture absorption capacity and structural stability of the coatings. The inclusion of clay particles allows for the regulation of the release of medicinal substances, thus increasing the effectiveness of the therapeutic effect. Studies conducted by Kazakhstan scientists confirm the potential of using local bentonite clays in the development of dressings. The development of composite hydrogels and films based on cellulose and bentonite derivatives opens new possibilities for creating effective biocompatible wound dressings. Further research should be aimed at optimizing their composition and structure to improve functional characteristics and therapeutic effectiveness.

Key words: *carboxymethylcellulose, bentonite, composite materials, wound dressings, hydrogels, films, wound healing.*

Сведения об авторах

Аружан Аманкелдыкызы Мынбаева – магистрант кафедры «Химии и технологии органических веществ, природных соединений и полимеров», Казахский национальный университет имени аль-Фараби, г. Алматы, Республика Казахстан; e-mail: aruzhan.mnbv@gmail.com. ORCID: https://orcid.org/0009-0009-0394-0130.

Арайлым Аманжолкызы* – магистр химии, научный сотрудник кафедры «Химии и технологии органических веществ, природных соединений и полимеров», Казахский национальный университет имени аль-Фараби, г. Алматы, Республика Казахстан; e-mail: arai13_95@list.ru. ORCID; https://orcid.org/0000-0003-4052-1436.

Шынар Нурлановна Жумагалиева – доктор химических наук, профессор кафедры «Химии и технологии органических веществ, природных соединений и полимеров», Казахский национальный университет имени аль-Фараби, г. Алматы, Республика Казахстан; e-mail: shynarnur@mail.ru. ORCID: https://orcid.org/0000-0002-4110-678X.

Жарылкасын Абдуахитович Абилов – доктор химических наук, профессор кафедры «Химии и технологии органических веществ, природных соединений и полимеров», Казахский национальный университет имени аль-Фараби, г. Алматы, Республика Казахстан; e-mail: abilovs51@mail.ru. ORCID: https://orcid.org/0000-0002-2665-2539.

Авторлар туралы мәліметтер

Аружан Аманкелдықызы Мыңбаева – «Органикалық заттар, табиғи қосылыстар мен полимерлер» кафедрасының магистранты, Әл-Фараби атындағы Қазақ ұлттық университеті, Алматы қаласы, Қазақстан Республикасы; e-mail: aruzhan.mnbv@gmail.com. ORCID: https://orcid.org/0009-0009-0394-0130.

Арайлым Аманжолқызы* – химия магистрі, «Органикалық заттар, табиғи қосылыстар мен полимерлер» кафедрасының ғылыми қызметкері, Әл-Фараби атындағы Қазақ ұлттық университеті, Алматы қаласы, Қазақстан Республикасы; e-mail: arai13_95@list.ru. ORCID: https://orcid.org/0000-0003-4052-1436.

Шынар Нурлановна Жумагалиева – химия ғылымдарының докторы, «Органикалық заттар, табиғи қосылыстар мен полимерлер» кафедрасының профессоры, Әл-Фараби атындағы Қазақ ұлттық университеті, Алматы қаласы, Қазақстан Республикасы; e-mail: shynarnur@mail.ru. ORCID: https://orcid.org/0000-0002-4110-678X.

Жарылқасын Әбдуахитұлы Әбілов – химия ғылымдарының докторы, «Органикалық заттар, табиғи қосылыстар мен полимерлер» кафедрасының профессоры; Әл-Фараби атындағы Қазақ ұлттық университеті, Алматы қаласы, Қазақстан Республикасы; e-mail: abilovs51@mail.ru. ORCID: https://orcid.org/0000-0002-2665-2539.

Information about the authors

Aruzhan Mynbayeva – master's student of the department «Chemistry and technology of organic substances, natural compounds and polymers», Al-Farabi Kazakh National University, Almaty, Republic of Kazakhstan; e-mail: aruzhan.mnbv@gmail.com. ORCID: https://orcid.org/0009-0009-0394-0130.

Arailym Amanzholkyzy* – master of Chemistry, research associate of the department «Chemistry and technology of organic substances, natural compounds and polymers», Al-Farabi Kazakh National University, Almaty, Republic of Kazakhstan; e-mail: arai13_95@list.ru. ORCID: https://orcid.org/0000-0003-4052-1436.

Shynar Zhumagalieva – doctor of chemical sciences, professor of the department «Chemistry and technology of organic substances, natural compounds and polymers», Al-Farabi Kazakh National University, Almaty, Republic of Kazakhstan; e-mail: shynarnur@mail.ru. ORCID: https://orcid.org/0000-0002-4110-678X.

Jarylkasyn Abilov – doctor of chemical sciences, professor of the department «Chemistry and technology of organic substances, natural compounds and polymers», Al-Farabi Kazakh National University, Almaty, Republic of Kazakhstan; e-mail: abilovs51@mail.ru. ORCID: https://orcid.org/0000-0002-2665-2539.

Поступила в редакцию 04.06.2025
Поступила после доработки 21.10.2025
Принята к публикации 22.10.2025

https://doi.org/10.53360/2788-7995-2025-4(20)-69

CC BY 4.0
Check for updates

МРНТИ: 53.01.91

А.К. Кайракбаев[1]*, М.Б. Алиев[2], Ж.Б. Тукашев[3]
[1]Баишев университет,
030000, Республика Казахстан, г. Актобе, ул. Братьев Жубановых, д. 302а
[2]«Quanta Science» ИП,
030000, Республика Казахстан, г. Актобе, ул. М. Шокай, д. 338
[3]Актюбинский региональный университет имени К. Жубанова,
030000, Республика Казахстан, г. Актобе, Проспект Алии Молдагуловой, строение 34
*e-mail: kairak@mail.ru

СОВРЕМЕННЫЕ ТЕХНОЛОГИИ ЭФФЕКТИВНОГО ПРИМЕНЕНИЯ САМОРАСПАДАЮЩИХСЯ ШЛАКОВ ОТ ПРОИЗВОДСТВА НИЗКОУГЛЕРОДИСТОГО ФЕРРОХРОМА

Аннотация: *Производство низкоуглеродистого феррохрома неизбежно сопровождается образованием значительных объемов шлаков, ключевой особенностью которых является их способность к самопроизвольному распаду (дезинтеграции) при охлаждении и воздействии атмосферных факторов. Это явление обусловлено полиморфными превращениями β-*

дикальциевого силиката (C_2S) в γ -модификацию, сопровождающимися увеличением объема. Данная уникальная характеристика, с одной стороны, создает вызовы в управлении отходами, с другой – открывает широкие возможности для их эффективной и экономически выгодной утилизации без необходимости дорогостоящего измельчения. Настоящая обзорная статья представляет собой систематический анализ и обобщение современных высокоэффективных технологий мирового уровня по применению самораспадающихся шлаков производства низкоуглеродистого феррохрома. Особое внимание уделяется их использованию в производстве строительных материалов (цементы, бетоны, вяжущие), сорбентов для водоочистки, мелиорантов для сельского хозяйства, а также в дорожном строительстве. В данной работе проведен литературный обзор пятидесяти семи источников, опубликованных за последние десять лет и содержащих описание наиболее эффективных технологий применения самораспадающихся шлаков производства низкоуглеродистого феррохрома.

Целью статьи является демонстрация потенциала этих шлаков как ценного вторичного сырья, способствующего снижению экологической нагрузки, повышению ресурсоэффективности ферросплавного производства и развитию принципов циркулярной экономики.

Ключевые слова: *шлаки производства низкуглеродистого феррохрома, самораспадающиеся шлаки, утилизация промышленных отходов, техногенные отходы, отходы металлургии, эффективное прменение шлаков ферросплавного производства.*

Введение

Проблема утилизации промышленных отходов является одним из наиболее острых вызовов современного общества. Металлургическая промышленность, в частности производство ферросплавов, генерирует значительные объемы промышленных отходов таких, как шлаки. Среди них самораспадающиеся шлаки низкоуглеродистого феррохрома (НФХ) занимают особое место благодаря своей уникальной характеристике – самопроизвольному распаду. К примеру, общий объём накопленного шлака НФХ на 2025 год составляет 8-9 млн тонн на шлакоотвале Актюбинского завода ферросплавов (АО «ТНК Казхром»). Ежегодное образование таких шлаков – примерно 200 тыс. т. в год.

Феномен самораспада обусловлен фазовым переходом β-двухкальциевого силиката β-Ca_2SiO_4 в γ-модификацию при охлаждении, что сопровождается увеличением объема на 10-12% и приводит к образованию трещин, и затем к разрушению шлакового камня в порошок [1, 2]. Главным фактором, способствующему этому переходу из одной модификации в другую, служит процесс охлаждения. Кроме охлаждения влияет высокая доля β-C_2S и отсутствие стабилизирующих веществ таких, как бор, фосфаты. Традиционно самораспадающиеся шлаки НФХ представляют собой проблему из-за пыления и необходимости больших площадей для хранения. Однако в последние десятилетия, в свете растущей стоимости первичного сырья, ужесточения экологических норм и развития концепции циркулярной экономики, эти шлаки стали рассматриваться не как отходы, а как вторичный ресурс [3].

В настоящей работе сосредоточимся исключительно на наиболее эффективных технологиях, использующих этот специфический вид шлака, демонстрируя его потенциал для создания материалов с высокой добавленной стоимостью, минимизации воздействия на окружающую среду и повышения устойчивости промышленного производства.

Литературный обзор

Исследования самораспадающихся шлаков НФХ и их потенциального применения начались несколько десятилетий назад, но наиболее интенсивное развитие получили в последние 15-20 лет. Первоначальный фокус был на понимании механизма самораспада. В работах [4, 5] изложены основы для понимания полиморфных превращений C_2S, идентифицировав β→γ переход как основную причину дезинтеграции. Более поздние исследования [6] подтвердили, что содержание C_2S (обычно в диапазоне 40-70% масс.) является ключевым фактором, определяющим степень самораспада, наряду с условиями охлаждения.

Одним из наиболее перспективных направлений является использование само распадающихся шлаков НФХ в качестве компонента цементных и бесклинкерных вяжущих материалов. Высокое содержание CaO (до 40-50%) и SiO_2 (до 30-40%) делает их потенциально активными [7]. В ряде исследований было обнаружено, что измельченные до определенной тонкости шлаки НФХ могут выступать в качестве активной минеральной добавки в портландцементе. В работе [8] авторы продемонстрировали, что частичная замена цементного клинкера шлаком НФХ до 15-20% не только не ухудшает прочностные характеристики бетона, но и может улучшать его долговечность за счет снижения

тепловыделения при гидратации и повышения сульфатостойкости. Исследователи в статье [9] подчеркивают, что пуццоланическая активность шлаков НФХ, обусловленная наличием аморфных фаз и свободного CaO, позволяет им эффективно вступать в реакцию с $Ca(OH)_2$, образующимся при гидратации цемента, формируя дополнительные гидросиликаты кальция.

Значительный интерес представляют технологии получения бесклинкерных вяжущих на основе самораспадающихся шлаков. В статье [10] исследована активация шлаков НФХ щелочными растворами, показав возможность получения вяжущих с прочностью до 40 МПа после 28 суток. В этих системах шлак выступает как основной компонент, а щелочные активаторы (например, NaOH, KOH, жидкое стекло) инициируют образование гидратов, аналогичных тем, что образуются в портландцементе, или геополимерных структур [11]. В настоящее время известны примеры успешного синтеза геополимеров на основе шлаков НФХ, демонстрируя их применимость для производства строительных элементов с высокой прочностью и устойчивостью к агрессивным средам [12]. Самораспадающиеся шлаки могут быть использованы для производства искусственных пористых заполнителей. Кроме того, исследована возможность получения гранулированного пористого материала путем агломерации шлаков НФХ с последующей термообработкой, что позволяет получать легкие заполнители для бетонов [13]. В контексте керамики, в статье [14] изучалось использование шлаков НФХ в качестве флюсующей добавки при производстве керамических плиток, снижая температуру спекания и улучшая механические свойства.

Благодаря высокому содержанию CaO, самораспадающиеся шлаки НФХ являются потенциально эффективными мелиорантами для кислых почв. К примеру, исследования [15] показали, что известь, содержащаяся в шлаках, может эффективно нейтрализовать кислотность почв, улучшая их структуру и доступность питательных веществ. А в работе [16] изучалось применение шлаков НФХ в качестве источника кальция и магния для сельскохозяйственных культур, отмечая положительное влияние на урожайность при условии контроля за содержанием хрома. Следует отметить, что потенциальное наличие шестивалентного хрома в шлаках требует тщательного мониторинга и методов его стабилизации или восстановления до менее токсичного Cr(III) перед применением в сельском хозяйстве [17].

Развитая удельная поверхность и пористая структура, формирующаяся после самораспада, а также присутствие оксидов металлов, делают шлаки НФХ перспективными сорбентами. Авторы статьи [18] продемонстрировали высокую эффективность самораспадающихся шлаков НФХ в удалении ионов тяжелых металлов (Pb^{2+}, Cd^{2+}, Ni^{2+}) из водных растворов. Механизмы сорбции включают осаждение, поверхностную комплексообразование и ионный обмен. В статье [19] авторы исследовали применение шлаков НФХ для удаления фосфатов и фторидов из сточных вод, что обусловлено наличием Ca^{2+} и оксидов алюминия/железа. Для повышения сорбционной емкости и селективности шлаки могут быть модифицированы. Такой метод активации шлаков НФХ карбоксильными группами для улучшения адсорбции красителей, демонстрируя потенциал для создания специализированных фильтрующих материалов, был разработан в работе [20].

Самораспадающиеся шлаки НФХ могут быть использованы в качестве материала в дорожном строительстве. Авторы работ [21, 22] изучали использование шлаков в качестве наполнителя для дорожных оснований, отмечая их хорошую уплотняемость и дренирующие свойства. Использование шлаков в дорожном строительстве снижает потребность в природном щебне и песке. Однако, как и в случае с сельским хозяйством, необходимо строго контролировать выщелачивание потенциально опасных компонентов, особенно хрома, чтобы соответствовать экологическим нормам.

Материалы и методы. Для получения полной картины об исходном шлаке необходимо исследовать химический состав, фазовый состав, изучить морфологию и дисперсность, а также провести термический анализ.

Химический анализ необходим для определения макро- и микроэлементного состава (CaO, SiO_2, Al_2O_3, MgO, Cr_2O_3, Fe_2O_3, TiO_2, MnO, P_2O_5, K_2O, Na_2O, SO_3, Cl, а также следовых элементов). Его проводят с использованием рентгенофлуоресцентного анализа, атомно-эмиссионной спектрометрии с индуктивно-связанной плазмой и масс-спектрометрии с индуктивно-связанной плазмой для оценки содержания тяжелых металлов [23].

Фазовый состав нужен для идентификации кристаллических фаз (β-C_2S, γ-C_2S, мелилит (акерманит, геленит), шпинели (хромит), волластонит, периклаз, свободный CaO). Он проводится с помощью рентгенофазового анализа [24] и петрографического анализа в проходящем и отраженном свете. Количественный фазовый анализ может быть выполнен по методу Ритвельда [25].

Изучение микроструктуры, размера частиц, их формы, пористости и распределения элементов осуществляется с использованием сканирующей электронной микроскопии в сочетании с энерго-дисперсионным рентгеновским анализом [26]. Гранулометрический состав после распада и после дополнительного помола определяется с помощью лазерной дифракции [27]. Удельная поверхность измеряется методом БЭТ (Брунауэра-Эмметта-Теллера) [28].

Дифференциально-сканирующая калориметрия и термогравиметрический анализ используются для изучения термических превращений фаз, определения содержания $Ca(OH)_2$ и $CaCO_3$, а также для оценки стабильности шлака [29].

Для модификации и активации шлаков применяются три вида обработки: механохимическая, термическая и химическая.

Механохимическая активация проводится с использованием высокоэнергетического помола (шаровые мельницы, планетарные мельницы, вибрационные мельницы) для достижения сверхтонкого помола, увеличения удельной поверхности, разрушения кристаллической решетки и образования аморфных фаз, что повышает реакционную способность [30].

Термическая обработка проводится путем контролируемого нагрева и охлаждения для изменения фазового состава, агломерации или, наоборот, декомпозиции определенных фаз, а также для деактивации нежелательных компонентов (например, окисление Cr(III) до Cr(VI) или восстановление Cr(VI) до Cr(III)) [31].

Химическая обработка шлаков производится различными реагентами (кислотами, щелочами, солями) для модификации их поверхности, выщелачивания нежелательных компонентов или улучшения связующих или сорбционных свойств. Например, щелочная активация для производства геополимеров [32].

При синтезе вяжущих смесей из измельченного шлака с активаторами (известь, гипс, сульфаты, щелочные растворы) испытания должны проводиться по стандартным методикам (ГОСТ, EN, ASTM). Например, определение сроков схватывания, прочности при сжатии и изгибе (на различных этапах твердения – 3, 7, 28, 90, 180 суток), морозостойкости, водостойкости, усадки/расширения [33]. При приготовлении бетонов и растворов необходимо определять оптимальное содержание шлака как частичного заменителя цемента или наполнителя для оценки таких параметров, как удобоукладываемость, прочность, плотность, водопоглощение, морозостойкость, истираемость, сопротивления карбонизации и хлоридной агрессии [34].

Определение эффективности шлака как известкового мелиоранта и удобрения на различных типах почв (песчаные, суглинистые, глинистые). Мониторинг pH почвы, содержания доступных форм питательных веществ. А также концентрации тяжелых металлов в почве и сельскохозяйственных культурах (с помощью атомно-эмиссионной спектрометрии с индуктивно-связанной плазмой и масс-спектрометрии с индуктивно-связанной плазмой) [35].

Испытания на адсорбцию целевых загрязнителей (ионов тяжелых металлов, фосфатов, фторидов, красителей, органических соединений) из водных растворов. Использование различных моделей (Лэнгмюра, Фрейндлиха) для описания изотерм сорбции [36]. Изучение зависимости скорости сорбции от времени, температуры, pH раствора и концентрации загрязнителя [37].

Определение плотности, прочности на сжатие и сдвиг, морозостойкости, коэффициента фильтрации дорожных оснований и смесей с использованием шлака. Проведение испытаний на уплотняемость и несущую способность [38].

Необходимо проводить стандартные испытания на выщелачивание (например, по EN 12457, TCLP (Toxicity Characteristic Leaching Procedure)) для определения концентрации потенциально опасных компонентов (включая шестивалентный хром) из исходного шлака и конечных продуктов его переработки [39, 40]. Кроме того, необходимо измерение естественной радиоактивности шлака и продуктов его использования с помощью гамма-спектрометрии для оценки радиационной безопасности [41].

Все экспериментальные работы, как правило, должны проводиться в контролируемых лабораторных условиях с использованием высокоточного аналитического оборудования и сопровождаются статистической обработкой данных для обеспечения достоверности и воспроизводимости результатов.

Результаты обзора

В результате многочисленных исследований показано, что самораспадающиеся шлаки НФХ могут выступать в качестве эффективной активной минеральной добавки при производстве портландцемента. Пуццоланическая активность шлака и его способность связывать свободную известь, образующуюся при гидратации клинкера [8-10], позволяет получать цементы с сопоставимыми или даже улучшенными прочностными характеристиками на поздних сроках твердения при замещении измельченным шлаком НФХ до 20-30% цементного клинкера. Такие композиции демонстрируют повышенную сульфатостойкость и более низкую теплоту гидратации, что актуально для массивных бетонных конструкций [42]. Более того, разработаны и внедряются технологии получения бесклинкерных вяжущих на основе самораспадающихся шлаков, активированных щелочными растворами (NaOH, KOH, силикат натрия), известью или гипсом [11, 12]. Полученные вяжущие обладают высокой прочностью на сжатие (до 40-60 МПа), отличной водостойкостью и морозостойкостью, что позволяет использовать их для производства строительных блоков, тротуарной плитки и неответственных бетонных конструкций [43].

Применение измельченного самораспадающегося шлака в составе бетонов и растворов в качестве частичного заменителя цемента (до 15-25%) или тонкого заполнителя приводит к повышению плотности, снижению водопоглощения и улучшению микроструктуры бетона за счет эффекта микронаполнителя [44, 45]. Также отмечено снижение усадки и улучшение долговечности некоторых типов бетонов [46].

Возможность получения легких пористых заполнителей, например аналогов керамзита или шлаковой пемзы, с насыпной плотностью 500-800 кг/м³ и прочностью, достаточной для легких бетонов и теплоизоляционных материалов, рассмотрена в работе [13]. Этот способ представляет собой высокотемпературное спекание смесей самораспадающегося шлака с глинистыми добавками или другими отходами.

Шлаки НФХ также могут использоваться в качестве флюсующей добавки при производстве керамических изделий, способствуя снижению температуры обжига и улучшению физико-механических свойств готовой продукции [14].

Высокое содержание окиси кальция (более 40%) позволяет использовать самораспадающиеся шлаки НФХ в качестве эффективного известкового мелиоранта для кислых почв [15, 16]. Их применение способствует значительному повышению pH почвы, улучшению ее агрегатной структуры, повышению влагоудерживающей способности и доступности макро- и микроэлементов (Ca, Mg, Si) для растений [47]. Исследования [15-17] показали увеличение урожайности различных сельскохозяйственных культур (зерновые, овощные) при внесении шлака в рекомендованных дозировках.

Следует отметить, что при соблюдении дозировок уровень содержания хрома в почве и растениях остается в пределах, соответствующих гигиеническим нормативам, что критически важно для безопасности пищевой цепи [17, 48].

Высокая сорбционная активность самораспадающихся шлаков НФХ обусловлена развитой удельной поверхностью (до 5-10 м²/г) после самораспада и наличию активных оксидов (CaO, Fe_2O_3, Al_2O_3). Эти шлаки эффективны в удалении ионов тяжелых металлов Cr(VI), Pb^{2+}, Cd^{2+}, Cu^{2+}, Ni^{2+} [18, 49], а также фосфатов и фторидов [19, 50] из промышленных и бытовых сточных вод. Механизмы удаления включают адсорбцию, ионный обмен и химическое осаждение. Сорбционная емкость может быть дополнительно повышена путем кислотной или щелочной активации, а также создания композитных материалов на основе шлака [20, 51].

Отдельно следует отметить исследования по удалению шестивалентного хрома: шлаки НФХ, содержащие Fe^{2+} и другие восстановители, способны восстанавливать Cr(VI) до менее токсичного Cr(III), который затем может быть осажден или сорбирован [52].

Самораспадающиеся шлаки НФХ, особенно их более крупные фракции, благодаря хорошим показателям прочности, морозостойкости и дренажных свойств могут быть успешно применены в составе материалов для несвязанных и гидравлически связанных слоев

оснований автомобильных дорог, а также для отсыпки промышленных площадок и железнодорожных насыпей [21, 53]. Использование шлаков в дорожном строительстве позволяет значительно сократить потребление природного камня, снижая логистические затраты и экологическую нагрузку [22]. Важным аспектом является проведение тестов на выщелачивание для оценки экологической безопасности при длительной эксплуатации [39, 40].

Таким образом, исследования последнего десятилетия подтверждают многофункциональность и экономическую целесообразность применения самораспадающихся шлаков НФХ, как ценного вторичного сырья, применимого в различных отраслях промышленности. Тем самым, эти шлаки переходят от проблемного отхода к ценному ресурсу, обладающему множеством высокоэффективных применений.

Обсуждение

Главным и неоспоримым преимуществом является отсутствие необходимости в дорогостоящем механическом измельчении [3]. Природная дезинтеграция шлака до мелкодисперсного состояния существенно снижает капитальные и эксплуатационные затраты на его подготовку. Использование шлака в качестве заменителя первичного сырья (например, цементного клинкера, извести, природных заполнителей) приводит к значительной экономии ресурсов и снижению себестоимости конечной продукции [9].

Технологиями, использующими природную способность шлаков НФХ к самораспаду и позволяющими применять материал без этапа механического измельчения, являются, например, производство алкали-активированных вяжущих, лёгких пористых заполнителей и сорбентов для мелиорации и водоочистки. Исключение энергоёмкого помола потенциально может снизить себестоимость конечной продукции в среднем на 15-40 % и делает переработку шлаков экономически и экологически более эффективной [3, 9, 10].

Вторичное использование шлаков ведет к сокращению объемов отходов, направляемых на полигоны, и, как следствие, уменьшается площадь шлакоотвалов и степень запыленности прилегающих территорий [54]. Использование шлаков в цементной промышленности для замены клинкера способствует снижению выбросов диоксида углерода, который образуется в этом процессе при декарбонизации известняка [55]. Кроме того, шлаки, имея сорбционные свойства, могут выступать в роли барьера в процессе транспорта токсикантов в почве или воде. Результаты исследований показывают многофункциональность самораспадающихся шлаков НФХ. Их можно успешно применять в различных сферах: от производства высококачественных строительных материалов до мелиорации почв и очистки воды. Эта гибкость в выборе направлений утилизации позволяет предприятиям адаптироваться к рыночному спросу и обеспечивать максимальную ценность отходов [9, 10, 15, 18]. Такая многофункциональность самораспадающихся шлаков НФХ является основным экологическим преимуществом их использования по сравнению с традиционными методами утилизации промышленных отходов.

Химический и фазовый состав шлака, в частности, содержание силиката кальция, оксида кальция и аморфных фаз, придает ему пуццоланические, гидравлические и сорбционные свойства [7, 9]. Эти свойства могут быть усилены при соответствующей активации (механической, химической), после которой шлак становится не просто наполнителем, а активным компонентом новых материалов. Например, в работах [4, 11] шлаковый порошок НФХ использовался для замещения цемента в пропорциях 0 %, 10 %, 20 %, 30 % и 40 % по массе, соответственно.

Несмотря на вышеуказанные преимущества применение этих шлаков имеет ряд проблем и ограничений. Химический состав шлаков НФХ может значительно варьироваться в зависимости от используемого сырья (руды), типа печи и технологического режима производства феррохрома [6]. Это требует постоянного контроля качества шлака и адаптации рецептур при его использовании, чтобы обеспечить стабильность свойств конечной продукции. Самым критичным аспектом является потенциальное присутствие хрома, особенно в шестивалентной форме Cr(VI) – канцерогенной и высокотоксичной [56]. Хотя хром в шлаках НФХ находится преимущественно в стабильной и малорастворимой трехвалентной форме Cr(III) в составе шпинелей, существует риск его окисления до Cr(VI) в определенных условиях (например, при высокотемпературной обработке в окислительной среде или при контакте с агрессивными растворами) [17, 39]. Жесткий контроль выщелачивания (EN 12457,

TCLP) и разработка методов стабилизации Cr(VI) или его восстановления до Cr(III) являются обязательными для безопасного применения шлаков НФХ [40, 52].

Для широкого внедрения технологий на основе шлаков НФХ необходима разработка и утверждение национальных и международных стандартов и нормативных документов, регламентирующих их применение в различных отраслях. Отсутствие таких стандартов может затруднять коммерциализацию и масштабирование технологий [9]. Несмотря на положительные лабораторные и пилотные результаты, необходимы более длительные и широкомасштабные исследования эксплуатационных характеристик (долговечность, устойчивость и другие) материалов на основе шлаков НФХ в реальных условиях эксплуатации, особенно в агрессивных средах [57]. Масштабное производство материалов из шлаков требует эффективной логистической инфраструктуры для транспортировки больших объемов шлаков от мест образования к перерабатывающим предприятиям, а также продуманной стратегии для производства достаточных объемов конечной продукции, удовлетворяющим рыночный спрос [3].

Эти проблемы требуют от научного сообщества и промышленности активно работать над их преодолением. Развитие аналитических методов, появление новых методов активации и модификации материалов, а также усиление междисциплинарного сотрудничества способствуют дальнейшему расширению возможностей применения самораспадающихся шлаков НФХ, переводя их из категории отходов в статус ценного компонента для многих видов производств.

Заключение

На основании всестороннего обзора современных мировых технологий можно сделать следующие ключевые выводы о высокоэффективных способах применения этих шлаков:

– разработка бесклинкерных вяжущих и геополимеров на основе шлаков НФХ открывает новые перспективы для развития циркулярной экономики и создания экологичных и высокопрочных строительных материалов;

– благодаря высокому содержанию оксида кальция, шлаки НФХ могут эффективно применяться для раскисления кислых почв и улучшения их структуры, при этом обеспечивая поступление макро- и микроэлементов при контроле содержания хрома;

– использование модифицированных сорбентов на основе шлаков НФХ повышает эффективность удаления тяжёлых металлов, фосфатов и фторидов из сточных вод;

– применение шлаков НФХ в дорожном строительстве позволяет экономить природный камень и обеспечивать требуемые физико-механические и дренажные свойства покрытий;

– основные экологические преимущества использования самораспадающихся шлаков по сравнению с традиционными методами утилизации промышленных отходов заключается в экологическом преимуществе за счёт снижения объёмов отходов, снижения выбросов диоксида углерода и экономии потребления природных ресурсов благодаря их повторному вовлечению в производство.

Таким образом, природная способность шлаков НФХ к самопроизвольному распаду в мелкодисперсный порошок позволяет значительно снизить энергозатраты на подготовку сырья, делая процессы переработки экономически выгодными. Кроме этого, потенциал шлаков НФХ выходит за рамки традиционного строительства: они могут стать базой для инновационных материалов и технологий, объединяющих экологическую безопасность, экономическую эффективность и устойчивое развитие отрасли. Дальнейшие исследования направлены на повышение стабильности материалов и минимизацию рисков, связанных с выщелачиванием хрома.

Список литературы

1. Characteristics of ferrochrome slag aggregate and its uses as a green material in concrete – a review / A.I. Fares et al // Construction and Building Materials. – 2021. – Т. 294. – Н. 123552. https://doi.org/10.1016/j.conbuildmat.2021.123552.

2. Research progress on controlled low-strength materials: metallurgical waste slag as cementitious materials / Y. Liu et al // Materials. – 2022. – Т. 15(3). – P. 727. https://doi.org/10.3390/ma15030727.

3. Characteristics of steel slags and their use in cement and concrete – A review / Y. Jiang et al // Resources, Conservation and Recycling. – 2018. – Т. 136. – P. 187-197. https://doi.org/10.1016/j.resconrec.2018.04.023.

4. Nagarajan M. Some investigation on ternary powder (binder) technology incorporated with ferrochrome slag as fine aggregate in concrete / M. Nagarajan, P. Vijayan // Journal of Material Cycles and Waste Management. – 2023. – T. 25(5). – P. 2822-2834. https://doi.org/10.1007/s10163-023-01710-y.
5. Acharya P.K. Utilization of ferrochrome wastes such as ferrochrome ash and ferrochrome slag in concrete manufacturing / P.K. Acharya, S.K. Patro // Waste Management & Research. – 2016. – T. 34(8). – P. 764-774. https://doi.org/10.1177/0734242X16654751.
6. Green transformation of ferrochrome slag by geopolymers: Physical properties, fly ash replacement and chromium immobilization / S. Yu et al // Construction and Building Materials. – 2025. – T. 462. – P. 140063. https://doi.org/10.1016/j.conbuildmat.2025.140063.
7. Kinetics and mechanism of Pb (II), Cd (II) and Cu (II) adsorption on ferrochrome ash from aqueous solutions / E. Ugurlu et al // International Journal of Environmental Analytical Chemistry. – 2025. – T. 105(10). – P. 2369-2394. https://doi.org/10.1080/03067319.2024.2315480.
8. Al-Jabri K.S. Research on the use of Ferro-Chrome slag in civil engineering applications / K.S. Al-Jabri // MATEC Web of Conferences. – EDP Sciences. – 2018. – T. 149. – P. 01017. https://doi.org/10.1051/matecconf/201814901017.
9. Integrated management of ferrochrome slag: Metal recovery, Cr (VI) stabilization, and sustainable reuse in construction materials / A.K. Tripathi et al // Journal of Environmental Management. – 2025. – T. 390. – P. 126268. https://doi.org/10.1016/j.jenvman.2025.126268.
10. Nath S.K. Geopolymerization behavior of ferrochrome slag and fly ash blends / S.K. Nath // Construction and Building Materials. – 2018. – T. 181. – P. 487-494. https://doi.org/10.1016/j.conbuildmat.2018.06.070.
11. Design and Study of Physical and Mechanical Properties of Concrete Based on Ferrochrome Slag and Its Mechanism Analysis / M. Hang et al // Buildings. – 2023. – T. 13(1). – P. 54. https://doi.org/10.3390/buildings13010054.
12. Ferrochrome slag: a critical review of its properties, environmental issues and sustainable utilization / S.K. Das et al //Journal of Environmental Management. – 2023. – T. 326. – P. 116674. https://doi.org/10.1016/j.jenvman.2022.116674.
13. Valorization and enhancement mechanism of ferrochrome slag as aggregate for manufacturing ultra-high performance concrete (UHPC) / Y. Zhu et al // Cement and Concrete Composites. – 2023. – T. 144. – P. 105298. https://doi.org/10.1016/j.cemconcomp.2023.105298.
14. Influence mechanisms of porous aggregate morphology, maximum size and optimized gradation on ultra-high performance concrete with ferrochrome slag / Y. Zhu et al // Cement and Concrete Composites. – 2025. – T. 157. – P. 105890. https://doi.org/10.1016/j.cemconcomp.2024.105890.
15. Adsorptive removal of five heavy metals from water using blast furnace slag and fly ash / T.C. Nguyen et al // Environmental science and pollution research. – 2018. – T. 25(21). – P. 20430-20438. https://doi.org/10.1007/s11356-017-9610-4.
16. Chowdhury S.R. Recycled Smelter Slags for In Situ and Ex Situ Water and Wastewater Treatment – Current Knowledge and Opportunities / S.R. Chowdhury // Processes. – 2023. – T. 11(3). – P. 783. https://doi.org/10.3390/pr11030783.
17. Mechanism of Acid Mine Drainage Remediation with Steel Slag / M. Yang et al // ACS Omega. – 2021. – T. 6(43). – P. 28675-28684. https://doi.org/10.1021/acsomega.1c03504.
18. Pokhrel G.R. The effect of chromium on human-health: A review / G.R. Pokhrel, G. Pokhre // BMC Journal of Scientific Research. – 2022. – T. 5(1). – P. 27-35. https://doi.org/10.3126/bmcjsr.v5i1.50669.
19. Ironmaking and steelmaking slags as sustainable adsorbents for industrial effluents and wastewater treatment: a critical review of properties, performance, challenges and opportunities / J. Manchisi et al // Sustainability. – 2020. – T. 12(5). – P. 2118. https://doi.org/10.3390/su12052118.
20. Jiao M. A critical review of the material characteristics, utilizations, limitations, and advanced applications of ferrochrome slag / M. Jiao, Z. Rong, L. Zhang // Construction and Building Materials. – 2024. – T. 426. – P. 136180. https://doi.org/10.1016/j.conbuildmat.2024.136180.
21. Comprehensive characterization of ferrochrome slag and ferrochrome ash as sustainable materials in construction / B.A.V.R. Kumar et al // Journal of Nanomaterials. – 2022. – T. 2022(1). – P. 8571055. https://doi.org/10.1155/2022/8571055.
22. Hydration Activity and Carbonation Characteristics of Dicalcium Silicate in Steel Slag / S. Liu et al // Metals. – 2021. – T. 11(10). – P. 1580. https://doi.org/10.3390/met11101580.

23. Valuable recovery technology and resource utilization of chromium-containing metallurgical dust and slag: a review / J. Xu et al // Metals. – 2023. – T. 13(10). – P. 1768. https://doi.org/10.3390/met13101768.
24. Dinnebier R.E. Rietveld Refinement: Practical Powder Diffraction Pattern Analysis Using TOPAS / R.E. Dinnebier, A. Leineweber, J.S.O. Evans // Berlin: De Gruyter. – 2018. https://doi.org/10.1515/9783110461381.
25. Scanning Electron Microscopy and X-Ray Microanalysis / J. Goldstein et al // 4th ed. New York: Springer, 2018. https://doi.org/10.1007/978-1-4939-6676-9.
26. Geopolymer and Geopolymer matrix composites / D. Jia et al. – Singapore : Springer, 2020. – P. 81-129. https://doi.org/10.1007/978-981-15-9536-3.
27. De Belie N. Properties of Fresh and Hardened Concrete Containing Supplementary Cementitious Materials / N. De Belie, M. Soutsos, E. Gruyaert (Eds.) // Cham: Springer, 2018. https://doi.org/10.1007/978-3-319-70606-1.
28. Physisorption of gases, with special reference to the evaluation of surface area and pore size distribution (IUPAC Technical Report) / M. Thommes et al // Pure and applied chemistry. – 2015. – T. 87(9-10). – P. 1051-1069. https://doi.org/10.1515/pac-2014-1117.
29. Vyazovkin S. Isoconversional kinetics of thermally stimulated processes / S. Vyazovkin. – Springer, 2015. https://doi.org/10.1007/978-3-319-14175-6_1.
30. Recent trends in mechanochemical processing of fly ash aluminosilicate materials (geopolymers): advancement, challenges, and opportunities / P. Bhardwaj et al // Journal of Material Cycles and Waste Management. – 2024. – T. 26(1). – P. 1-19. https://doi.org/10.1007/s10163-023-01817-2.
31. Bin Tasnim T. Chromium stabilization in ferrochromium slag for its utilization as aggregate material / T. Bin Tasnim, L. Tafaghodi Khajavi // Journal of Sustainable Metallurgy. – 2022. – T. 8(3). – P. 1041-1052. https://doi.org/10.1007/s40831-022-00542-8.
32. Provis J. L. Alkali-activated materials // Cement and concrete research. – 2018. – T. 114. – C. 40-48. https://doi.org/10.1016/j.cemconres.2017.02.009.
33. ACI Committee et al. ACI 318-19: Building code requirements for structural concrete and commentary //American Concrete Institute: Farmington Hills, MI, USA, 2020. ISBN 9781641950862.
34. Advanced concrete technology / Z. Li et al. – John Wiley & Sons, 2022. ISBN 9781119806257.
35. Blum W.E.H. Essentials of Soil Science: soil formation, functions, use and classification (World Reference Base, WRB) / W.E.H. Blum, P. Schad, S. Nortcliff. – Gebr. Borntraeger Science Publishers, 2017. ISBN 9783443011291.
36. Adsorption isotherms in liquid phase: experimental, modeling, and interpretations / J.S. Piccin et al // Adsorption processes for water treatment and purification. – Cham : Springer International Publishing. – 2017. – P. 19-51. https://doi.org/10.1007/978-3-319-58136-1_2.
37. A revised pseudo-second-order kinetic model for adsorption, sensitive to changes in adsorbate and adsorbent concentrations / J.C. Bullen et al // Langmuir. – 2021. – T. 37(10). – P. 3189-3201. https://doi.org/10.1021/acs.langmuir.1c00142.
38. Mishra B. A study on use of industrial wastes in rural road construction / B. Mishra, R.S. Mishra // International journal of innovative research in science, engineering and technology. – 2015. – T. 4(11). – P. 10387-10398. https://doi.org/10.15680/IJIRSET.2015.0411009.
39. Stiernström S. Evaluation of frameworks for ecotoxicological hazard classification of waste / S. Stiernström, O. Wik, D. Bendz // Waste Management. – 2016. – T. 58. – P. 14-24. https://doi.org/10.1016/j.wasman.2016.08.030.
40. Leaching methods for the environmental assessment of industrial waste before its use in construction / M. Regadío et al // Advances in Sustainable Materials and Resilient Infrastructure. – Singapore: Springer Singapore, 2022. – P. 339-356. https://doi.org/10.1007/978-981-16-9744-9_23.
41. Domenech H. Radiation safety / H. Domenech // Management and Programs. Suiza: Springer. – 2017. https://doi.org/10.1007/978-3-319-42671-6.
42. The potential usage of waste ferrochrome slag in alkali-activated mixes / N. Miyan et al // Journal of Building Engineering. – 2023. – T. 75. – P. 107026. https://doi.org/10.1016/j.jobe.2023.107026.
43. Characterization of ferrochrome ash and blast furnace slag based alkali-activated paste and mortar / T. Omur et al // Construction and Building Materials. – 2023. – T. 363. – P. 129805. https://doi.org/10.1016/j.conbuildmat.2022.129805.

44. Towards sustainable construction: utilization of ferrochrome slag as Portland cement replacement in cementitious composites / S.K. Das et al // Journal of Sustainable Metallurgy. – 2023. – Т. 9(1). – P. 329-340. https://doi.org/10.1007/s40831-023-00653-w.
45. Al Hindasi Y. Sustainable application of ferrochrome slag as green aggregate material for novel application in concrete-A review / Y. Al Hindasi, N.H.A.S. Lim, N. Rajamohan // Journal of Hazardous Materials Advances. – 2025. – P. 100681. https://doi.org/10.1016/j.hazadv.2025.100681.
46. Al-Jabri K. Influence of nano metakaolin on thermo-physical, mechanical and microstructural properties of high-volume ferrochrome slag mortar / K. Al-Jabri, H. Shoukry // Construction and Building Materials. – 2018. – Т. 177. – P. 210-221. https://doi.org/10.1016/j.conbuildmat.2018.05.125.
47. Coetzee J.J. Chromium in environment, its toxic effect from chromite-mining and ferrochrome industries, and its possible bioremediation / J.J. Coetzee, N. Bansal, E.M.N. Chirwa // Exposure and health. – 2020. – Т. 12(1). – P. 51-62. https://doi.org/10.1007/s12403-018-0284-z.
48. World Health Organization. Guidelines for drinking-water quality: incorporating the first and second addenda. – World Health Organization, 2022. ISBN-13 9789240045064.
49. Removal of chromium species by adsorption: fundamental principles, newly developed adsorbents and future perspectives / B. Liu et al // Molecules. – 2023. – Т. 28(2). – P. 639. https://doi.org/10.3390/molecules28020639.
50. Efficient fluoride removal using Al-Cu oxide nanoparticles supported on steel slag industrial waste solid / A. Blanco-Flores et al // Environmental Science and Pollution Research. – 2018. – Т. 25(7). – P. 6414-6428. https://doi.org/10.1007/s11356-017-0849-6.
51. Efficient adsorption of hexavalent chromium ions onto novel ferrochrome slag/polyaniline nanocomposite: ANN modeling, isotherms, kinetics, and thermodynamic studies / M.I. Khan et al // Environmental Science and Pollution Research. – 2022. – Т. 29(57). – P. 86665-86679. https://doi.org/10.1007/s11356-022-21778-7.
52. Study of chromium immobilization behavior in unbound and concrete bound ferrochromium slag / C. Panda et al // Journal of Material Cycles and Waste Management. – 2022. – Т. 24(2). – P. 528-539. https://doi.org/10.1007/s10163-021-01337-x.
53. Assessment of valorisation opportunities for secondary metallurgy slag through multi-criteria decision making / M. Falsafi et al // Journal of Cleaner Production. – 2023. – Т. 402. – P. 136838. https://doi.org/10.1016/j.jclepro.2023.136838.
54. Salihpasaoglu F. Use of waste ferrochromium slag as aggregate in concrete / F. Salihpasaoglu, O. Sengul // Journal of Material Cycles and Waste Management. – 2020. – Т. 22(6). – P. 2048-2058. https://doi.org/10.1007/s10163-020-01091-6.
55. Properties of concrete with ferrochrome slag as a fine aggregate at elevated temperatures / M.Z. Islam et al // Case Studies in Construction Materials. – 2021. – Т. 15. – P. e00599. https://doi.org/10.1016/j.cscm.2021.e00599.
56. Costa M. Overview of chromium (III) toxicology / M. Costa, A. Murphy // The nutritional biochemistry of chromium (III). – Elsevier, 2019. – P. 341-359. https://doi.org/10.1016/B978-0-444-64121-2.00011-8.
57. Dey S. An experimental study on strength and durability properties of concrete with partial replacement of aggregate with ferrochrome slag / S. Dey, A. Anurag, Praveen V.V. Kumar // Architecture, Structures and Construction. – 2022. – Т. 2(3). – P. 335-347. https://doi.org/10.1007/s44150-022-00072-7.

А.Қ. Қайрақбаев[1*], М.Б. Алиев[2], Ж.Б. Тукашев[3]
[1]Бәйішев университеті,
030000, Қазақстан Республикасы, Ақтөбе қаласы, Ағайынды Жұбановтар көшесі, 302а
[2]«Quanta Science» ЖҚ,
030000, Қазақстан Республикасы, Ақтобе қаласы, М.Шоқай көшесі, 338
[3]К. Жұбанов атындағы Ақтөбе өңірлік университеті,
030000, Қазақстан Республикасы, Ақтөбе қаласы, Ағайынды Жұбановтар көшесі, 302а
[*]e-mail: kairak@mail.ru

ӨЗДІГІНЕН ЫДЫРАЙТЫН ТӨМЕН КӨМІРТЕКТІ ФЕРРОХРОМ ӨНДІРІСІНІҢ ҚОЖДАРЫН ТИІМДІ ҚОЛДАНУДЫҢ ЗАМАНАУИ ТЕХНОЛОГИЯЛАРЫ

Төмен көміртекті феррохром өндірісі қождардың едәуір көлемінің пайда болуымен қатар жүреді, олардың басты ерекшелігі-салқындау нәтижесінде және атмосфералық факторлардың әсерінен өздігінен ыдырау қабілеті. Бұл құбылыс β-дикальций силикатының (C_2S) γ-модификацияға полиморфты түрленуіне байланысты көлемнің ұлғаюымен бірге жүреді. Бұл бірегей сипаттама, бір жағынан, қалдықтарды тиімді орналастыаруда қиындықтар туғызады, екінші жағынан, қымбат ұсақтауды қажет етпестен оларды тиімді және үнемді кәдеге жарату үшін кең мүмкіндіктер ашады. Бұл мақалада өздігінен ыдырайтын төмен көміртекті феррохром өндірісі қождарын қолдану проблемасы бойынша заманауи әлемдік деңгейдегі жоғары тиімді технологияларға жүйелі талдау жасалды. Оларды құрылыс материалдарын (цементтер, бетондар, тұтқыр заттар), суды тазартуға арналған сорбенттерді, ауыл шаруашылығына арналған мелиоранттарды өндіруде, сондай-ақ жол құрылысында пайдалануға бағытталған технологияларға ерекше назар аударылады. Бұл жұмыста соңғы он жылда жарияланған және өздігінен ыдырайтын төмен көміртекті феррохром өндірісі қождарын қолданудың ең тиімді технологияларының сипаттамасын қамтитын елу жеті дереккөзге әдеби шолу жасалды.

Мақаланың мақсаты экологиялық ауыртпалықты төмендетуге, ферроқорытпа өндірісінің ресурстық тиімділігін арттыруға және тұйық экономика қағидаттарын дамытуға ықпал ететін құнды қайталама шикізат ретінде осы қождардың әлеуетін көрсету болып табылады.

Түйін сөздер: *төмен көміртекті феррохром өндірісінің қождары, өздігінен ыдырайтын қождар, өнеркәсіптік қалдықтарды кәдеге жарату, техногендік қалдықтар, металлургия қалдықтары, Ферроқорытпа өндірісінің қождарын тиімді қолдану.*

A.K. Kairakbaev[1]*, M. B. Aliyev[3], Z.B. Tukashev[2]
[1]Baishev University,
030000, Republic of Kazakhstan, Aktobe, Brothers Zhubanov street, 302a
[2]«Quanta Science» Individual entrepreneur,
030000, Republic of Kazakhstan, Aktobe, M.Shokay street, 338
[3]K. Zhubanov Aktobe Regional University,
030000, Republic of Kazakhstan, Aktobe, 34 Aliya Moldagulova Avenue
*e-mail: kairak@mail.ru

CONTEMPORARY TECHNOLOGIES FOR THE EFFECTIVE USE OF SELF-DISINTEGRATING SLAGS OF LOW-CARBON FERROCHROME PRODUCTION

The production of low-carbon ferrochrome is inevitably accompanied by the formation of significant volumes of slags, the key feature of which is their ability to spontaneously disintegrate upon cooling and exposure to atmospheric factors. This phenomenon is caused by polymorphic transformations of β-dicalcium silicate (C_2S) into the γ-modification, accompanied by an increase in volume. This unique characteristic, on the one hand, creates challenges in waste management, on the other hand, it opens up wide opportunities for their efficient and cost-effective disposal without the need for expensive crushing. This review article is a systematic analysis and generalization of modern high-performance world-class technologies for the use of self-decaying slags produced by low-carbon ferrochrome. Special attention is paid to their use in the production of building materials (cements, concretes, binders), sorbents for water treatment, ameliorants for agriculture, as well as in road construction. This paper provides a literary review of fifty-seven sources published over the past ten years describing the most effective technologies for the use of self-decaying slags for the production of low-carbon ferrochrome.

The purpose of the article is to demonstrate the potential of these slags as valuable secondary raw materials that contribute to reducing the environmental burden, increasing the resource efficiency of ferroalloy production and developing the principles of circular economy.

Key words: *slags produced by low-carbon ferrochrome, self-decomposing slags, industrial waste disposal, man-made waste, metallurgical waste, effective use of ferroalloy slags.*

Авторлар туралы мәліметтер

Аят Қырымұлы Қайрақбаев* – «Баишев университет» мекемесі, PhD докторы, профессор, Ақтобе, Казақстан; e-mail: kairak@mail.ru. ORCID: https://orcid.org/0000-0002-4416-4782.

Мурат Бакытжанович Алиев – «Quanta Science» ЖК, химия ғылымдарының кандидаты, доцент, Ақтобе, Қазақстан; e-mail: 301744@gmail.com. ORCID: https://orcid.org/ 0009-0000-7148-2623.

Жумабай Баракбаевич Тукашев – К. Жұбанов атындағы Ақтөбе өңірлік университеті, техника ғылымдарының кандидаты, доцент, Ақтөбе, Қазақстан; e-mail: mr.tukashev@inbox.ru. ORCID: https://orcid.org/0000-0002-5617-6748.

Сведения об авторах

Аят Крымович Кайракбаев* – Учреждение «Баишев университет», доктор PhD, профессор, Актобе, Казахстан; e-mail: kairak@mail.ru. ORCID: https://orcid.org/0000-0002-4416-4782.

Мурат Бакытжанович Алиев – «Quanta Science» ИП, кандидат химических наук, доцент, Актобе, Казахстан; e-mail: 301744@gmail.com. ORCID: https://orcid.org/0009-0000-7148-2623.

Жумабай Баракбаевич Тукашев – Актюбинский региональный университет имени К.Жубанова, кандидат технических наук, доцент, Актобе, Казахстан; e-mail: mr.tukashev@inbox.ru. ORCID: https://orcid.org/0000-0002-5617-6748.

Information about the authors

Aiat Krymovich Kairakbaev* – Baishev University, PhD, professor, Aktobe, Kazakhstan; e-mail: kairak@mail.ru. ORCID: https://orcid.org/0000-0002-4416-4782.

Murat Bakytzhanovich Aliyev – «Quanta Science» Individual entrepreneur, Candidate of Chemical Sciences, Associate Professor, Aktobe, Kazakhstan; e-mail: 301744@gmail.com. ORCID: https://orcid.org/0009-0000-7148-2623.

Zhumabai Barakbayevich Tukashev – Aktobe Regional University named after K.Zhubanov, Candidate of Technical Sciences, Associate Professor, Aktobe, Kazakhstan; e-mail: mr.tukashev@inbox.ru. ORCID: https://orcid.org/0000-0002-5617-6748.

Поступила в редакцию 18.09.2025
Поступила после доработки 26.10.2025
Принята к публикации 28.10.2025

https://doi.org/10.53360/2788-7995-2025-4(20)-70

BY 4.0
Check for updates

МРНТИ: 31.19.15

А. Кливенко[1]*, А. Касымов[1], Е. Евлампиева[1], Д. Шабдарбаева[2], А. Дюсупов[2]
[1]Шәкәрім университет,
071412 Республика Казахстан, г. Семей, ул. Глинки, 20А
[2]Медицинский университет Семей
071400 Республика Казахстан, г. Семей, ул. Абая, 103
*e-mail: alexeyklivenko@mail.ru

ОЦЕНКА КАЧЕСТВА ПИТЬЕВОЙ ВОДЫ В СЕЛАХ ИЗ ЗОНЫ ЧРЕЗВЫЧАЙНОГО И МАКСИМАЛЬНОГО РАДИАЦИОННОГО РИСКОВ ОБЛАСТИ АБАЙ

Аннотация: *Проведено исследование качества питьевой воды в селах, расположенных в зонах чрезвычайного (Долонь, Мостик, Черемушка, Саржал) и максимального (Караул, Кайнар) радиационного рисков на территории области Абай, прилегающей к бывшему Семипалатинскому испытательному полигону. Целью работы была оценка воды по показателям общей минерализации (TDS) и содержанию основных катионов (натрий, калий, кальций, магний). Анализ проб, отобранных из систем центрального водоснабжения, показал, что в трех населенных пунктах (Саржал, Кайнар, Долонь) общая минерализация превышает рекомендуемый ВОЗ предел в 1000 мг/л, достигая в селе Долонь 1500 мг/л. Во всех исследуемых селах, кроме Черемушки, зафиксировано повышенное содержание натрия, при этом в селах Кайнар и Долонь его концентрация превышает установленную ПДК в 200 мг/л. Общая жесткость воды в большинстве проб соответствует нормативам, за исключением образца воды из села Долонь, где вода классифицируется как жесткая. Вода в селе Черемушка, не имеющем центрального водоснабжения, характеризуется физиологически недостаточным содержанием кальция. Результаты свидетельствуют о неудовлетворительном качестве питьевой воды в большинстве изученных населенных пунктов зоны радиационного риска.*

Ключевые слова: *питьевая вода, зона чрезвычайного радиационного риска, жесткость воды, кальций, магний, натрий, калий.*

Введение

Резолюция Генеральной Ассамблеи ООН 64/292 (2010 г.) «Право человека на воду и санитарию» [1] провозглашает право на безопасную и чистую питьевую воду и санитарию как право человека, имеющее существенное значение для полноценной жизни и полного осуществления всех прав. Кроме того, вода, является ключевым залогом национальной безопасности государства. В Казахстане реализуется централизованное государственное

управление водными ресурсами через водный кодекс РК [2], согласно которого питьевая вода – это вода в ее естественном состоянии или после обработки, отвечающая по качеству установленным национальным стандартам и гигиеническим нормативам, предназначенная для удовлетворения питьевых и хозяйственно-бытовых нужд.

Анализ питьевой воды Казахстана проводился рядом отечественных и зарубежных ученых. Исследования подтверждают в целом хорошее качество воды [3-5]. Однако, в работе [6] выявлены превышения по некоторым катионам/анионам (железо, марганец, нитраты) в отдельных деревнях Акмолинской и Павлодарской областей. В работе [7] отмечаются значительные загрязнения воды, проблема биоаккумуляции в рыбе, необходимость усиления контроля на границах, защита трансграничных водных систем.

В таблице 1 обобщены сведения об исследованиях питьевой воды Казахстана.

Таблица 1 – Сведения об исследовании питьевых вод Казахстана

№	Объект исследования	Основные результаты	Ссылка
1	Вода г. Алматы из различных районов города на содержание микро- и макроэлементов	Отмечены уровни большинства элементов ниже предельно допустимых норм	[3]
2	Вода г. Алматы на физико-химические показатели воды (запах, цвет, мутность, жёсткость, остаток, ионы и др.), тяжёлые металлы, нефтепродукты	Вода в районах соответствует нормам Казахстана; антропогенное воздействие низкое	[4]
3	Кызылорда, район Кызылжарма / река Сырдарья и грунтовые воды (химический состав воды, сульфаты, жёсткость)	Минерализация грунтовых вод довольно высокая (0,8-1,1 г/л)	[5]
4	Балхашский район, Алматинская область, сельские колодцы / неглубокие источники	Не выявлено превышений уровня содержания кальция, магния, натрия и калия	[8]
5	Питьевая вода Майского района Павлодарской области	Содержание ионов кальция, магния, калия и кальция не превышает допустимых значений.	[9]

На территории области Абай находится бывший Семипалатинский испытательный ядерный полигон (СИЯП). Согласно закону Республики Казахстан от 18 декабря 1992 года № 1787-XII О социальной защите граждан, пострадавших вследствие ядерных испытаний на Семипалатинском испытательном ядерном полигоне к зоне чрезвычайного радиационного риска относятся территории Саржалского сельского округа Абайского района, Долонского сельского округа Бескарагайского района [10]. Важнейшим параметром, определяющим качество жизни населения, является доступ к питьевой воде. Таким образом, целью настоящего исследования было определение качества питьевой воды в селах, находящихся в зоне чрезвычайного радиационного риска (Долонь, Мостик, Черемушка, Саржал) и максимального радиационного риска (Караул, Кайнар) по содержанию основных катионов (калий, натрий, кальций и магний), а также общей минерализации воды.

Материалы и методы

Вода водопроводная была отобрана из водопроводной сети сел Караул (ул. Кокбай, д. 1), Кайнар (ул. Кайнар, д. 421), Саржал (ул. Матаева, д. 13), Долонь (ул. 1 Мая, д. 10), Мостик (колонка возле магазина по адресу ул. Ленина, 40), Черёмушка (скважина в доме с координатами 50,646056;79055303).

Анализ на общую минерализацию проводился кондуктометрически на автоматическом измерителе общей минерализации – TDS-3 (HM Digital, USA). Содержание ионов натрия, кальция и калия определяли на пламенном фотометре FP-5450 (BioBase, China, 2023). Определение содержания ионов магния выполняли на оптико-эмиссионном спектрометре EXPEC 6500 (FPI, China, 2024). Обзор плазмы выполняли в радиальном режиме.

Для калибровки приборов использовали государственные стандартные образцы ионов калия, натрия, кальция и магния.

Результаты и их обсуждение

Отбор проб в системах центрального водоснабжения изучаемых районов выполнялся в период с августа по сентябрь 2025 года (рис. 1). Согласно официальной информации

Водопроводная сеть сел Караул и Саржал реконструировалась в 2023 году. По словам местных жителей водопровод реконструировался в 2022 году в селе Кайнар. В селе Долонь водопровод построен в 2023 году, в селе Мостик – в 2022, в селе Черёмушка центральное водоснабжение отсутствует. Таким образом из исследованных сел 5 имеют центральное водоснабжение, одно не имеет. Анализ проводился по следующим параметрам – общая минерализация, содержание ионов натрия, калия, кальция и магния. Указанные параметры, позволяют в целом оценить качество питьевой воды.



Рисунок 1 – Карта области Абай с указанием точек отбора проб

Общая минерализация в англоязычной литературе TDS (Total dissolved solids) показывает содержание солей калия, натрия, магния и кальция в воде, а также содержание некоторых органических примесей. В этом исследовании изучено содержание TDS в водопроводной воде, за исключением с. Черемушка, которое не имеет центрального водоснабжения. На рисунке 2 представлены результаты исследования TDS.

Как видно из графика общая минерализация воды является весьма высокой, и в воде населенного пункта Долонь составляет порядка 1500 м.д. (мг/л). При этом норма общей минерализации воды для центрального водоснабжения составляет согласно Приказа Министра здравоохранения Республики Казахстан № ҚР ДСМ-138 от 24 ноября 2022 года – не более 1000 мг/л [11]. При этом согласно Руководству ВОЗ по качеству питьевой воды [12] вода с общей минерализацией ниже 600 считается хорошей, от 600 до 1000 допустимого качества, свыше 1000 не пригодной для потребления. Таким образом, вода только из 3 населенных пунктов считается пригодной для употребления согласно нормам ВОЗ, при этом в одном из них нет системы центрального водоснабжения. Воды систем центрального водоснабжения населенных пунктов Саржал и Кайнар по показателю минерализации имеют граничные значения показателей. Анализ питьевой воды в Майском районе Павлодарской области показал значение общей минерализации равный 405 мг/л [9].

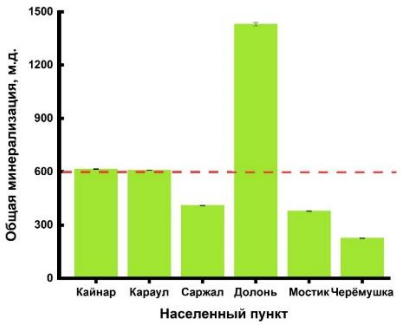


Рисунок 2 – Общая минерализация воды в исследованных населенных пунктах
(красная пунктирная линия показывает верхнее значение для «хорошей» воды,
согласно рекомендациям ВОЗ)

При этом вода с низкой минерализацией также вредна, поскольку приводит к выведению минеральных веществ из организма. Среди исследованных элементов в этой работе представлен калий. Калий необходим для нормального функционирования организма.

Суточная потребность взрослого человека в зависимости от веса составляет 2,5-3,5 г. Питьевая вода обычно не является основным источником калия для организма человека, и обычно не содержит более 10 мг/л калия. Подземные минеральные источники могут содержать до 30 мг/л калия. Анализ содержания калия в исследованных водах показал низкое значение содержания этого элемента (рис. 3)

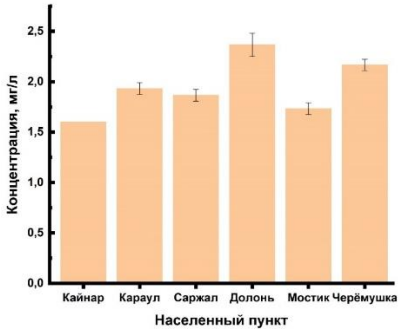


Рисунок 3 – Содержание калия в воде различных населенных пунктов

Содержание ионов калия изменяется в пределах 1,5-2,5 мг/л. Этот факт объясняется низким содержанием калия в поверхностных водах, которые являются основным источником водозабора указанных сел, а также особенностью геологического строения пород, которые залегают в основе местности, в которой выполняется водозабор. Важно отметить, что содержание калия не регламентируется нормативными документами государств и международных организаций.

В отличии от калия, содержание натрия регламентируется. Санитарно-эпидемиологические требования к водоисточникам, местам водозабора для хозяйственно-питьевых целей, хозяйственно-питьевому водоснабжению и местам культурно-бытового водопользования и безопасности водных объектов [13] определяет предельно допустимую концентрацию (ПДК) натрия в водопроводной воде равную 200 мг/л. Это связано с тем, что превышение ПДК приводит к появлению солоноватого привкуса у воды. Технический регламент Евразийского экономического союза (ТР ЕАЭС) 044/2017 [14] определяет нормы содержания натрия в воде не более 50 мг/л, а для детской воды и высшей категории не более 20 мг/л. Содержание натрия в исследованных водах представлены на рисунке 4.

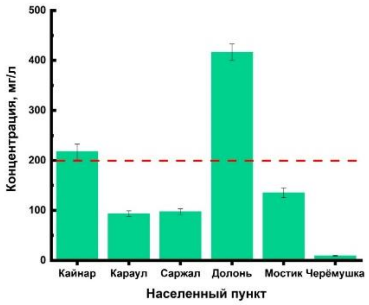


Рисунок 4 – Содержание натрия в воде различных населенных пунктов
(красной пунктирной линией показана ПДК для натрия в питьевой воде согласно (ТР ЕАЭС) 044/2017 [14])

Как следует из рисунка содержание натрия в водопроводной воде населенных пунктов Кайнар и Долонь превышает ПДК, согласно СанПиН РК [13]. При этом содержание натрия в воде населенного пункта Черёмушка (9,3±0,7 мг/л) соответствует нормам ТР ЕАЭС 044/2017 [14], предъявляемым к детской воде и воде высшей категории. Содержание натрия в воде населенного пункта Долонь превышает ПДК согласно [13] в 7 раз. При этом в статье [3] анализ воды города Алматы в 26 точках показал, что содержание натрия находится в интервале 3,5-27,2 мг/л, в работе [4] анализ воды в 16 точках города Алматы показал, что содержание натрия находится в интервале 3,23-18,0 мг/л.

Основные металлы жесткости воды – кальций и магний, вызывающие образование накипи, несмотря на то что являются макроэлементами, также имеют свои нормы содержания. В СанПиН [13] норматив жесткости составляет 7 мг-экв/л. В пересчете на чистый кальций, без учета вклада магния – это составляет 140 мг/л. Аналогичный расчет на магний, без учета вклада кальция составляет 84 мг/л. При этом [14] определяет минимальное содержание кальция в бутилированной воде, чтобы она была физиологически полноценной, равный 25 мг/л, а для магния – 5 мг/л. Фактическое содержание кальция и магия в исследованных водах представлено на рисунках 5 и 6.

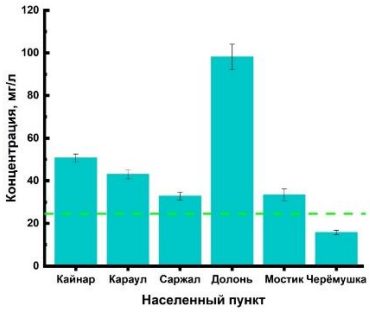


Рисунок 5 – Содержание кальция в воде различных населенных пунктов
(зелёной пунктирной линией показано значение нижнего предела физиологической полноценности воды по кальцию согласно ТР ЕАЭС 044/2017 [14])

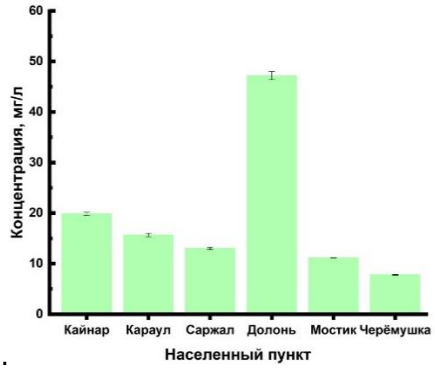


Рисунок 6 – Содержание магния в воде различных населенных пунктов

Из графиков видно, что содержание кальция и магния находится в физиологической норме для всех образцов, за исключением воды населенного пункта Черёмушка, где наблюдается физиологическая неполноценность по кальцию – 15,77 мг/л, при норме не менее 25 мг/л. Сравнение с качеством водопроводной воды в Алматы, показывает, что содержание кальция согласно работе [3] составляет 20,4-84,5; а в работе [4] – 19,7-135,3 мг/л. При этом среднее квадратичное значение для первой работы – 49,18 мг/л, а для второй 50,58 мг/л. В случае исследованных сел среднее квадратичное содержание кальция составляет 52,45 мг/л. Содержание кальция в водопроводной воде Майского района Павлодарской области составляет 60,1 мг/л. [9]

Общая жесткость воды, рассчитанная путем сложения концентраций ионов магния и кальция в образцах, представлена на рисунке 7.

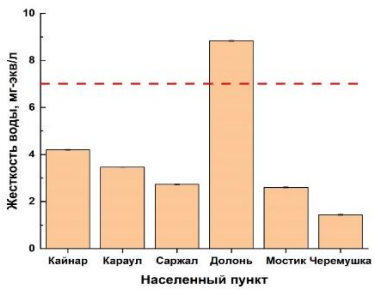


Рисунок 7 – Жесткость воды в различных населенных пунктах

Все образцы воды показали допустимое значение жесткости воды, за исключением образца воды из водопровода села Долонь. Уровень жесткости ниже 4 мг-экв/л соответствует мягкой воде. Таким образом, вода села Кайнар отвечает средней жесткости, а села Долонь – является жесткой.

Заключение

Исследование показало, что качество воды в исследованных населенных пунктах оставляет желать лучшего. В населенных пунктах Саржал, Кайнар и Долонь общая минерализация превышает рекомендуемые параметры ВОЗ. Содержание натрия является высоким во всех селах, кроме села Черёмушка, а в Кайнаре и Долони превышает допустимые значения – 200 мг/л. При этом, несмотря на то, что жесткость воды практически во всех селах является приемлемой, за исключением села Долонь, содержание кальция в воде села Черёмушка является физиологически неполноценным. Таким образом, качество воды в населенных пунктах, находящихся в зоне чрезвычайного радиационного риска, не является оптимальным.

Список литературы

1. Резолюция Генеральной Ассамблеи ООН 64/292 (2010 г.) «Право человека на воду и санитарию». – URL: https://docs.un.org/en/A/RES/64/292 (дата обращения 22.09.2025).
2. Кодекс Республики Казахстан от 9 апреля 2025 года № 178-VIII ЗРК. – URL: https://adilet.zan.kz/rus/docs/K2500000178 (дата обращения 22.09.2025).
3. Study of the Trace Element Composition of Drinking Water in Almaty City and Human Health Risk Assessment / M. Krasnopyorova et al // International Journal of Environmental Research and Public Health. – 2025. – № 22(4). – P. 560. https://doi.org/10.3390/ijerph22040560.
4. Preliminary Study and Assessment of Drinking Water from Almaty, Kazakhstan / Y. Sailaukhanuly et al // Eurasian Chemico-Technological Journal. – 2022. – № 24(4). – P. 341-350. https://doi.org/10.18321/ectj1478.
5. Absametov M. Water quality of the Syrdarya River and groundwater of the Kyzylzharma field in the Kyzylorda region (Kazakhstan) / M. Absametov, K. Ospanov, B. Kenesbayeva // Engineering Journal of Satbayev University. – 2024. – № 146(1). – P. 30-38. https://doi.org/10.51301/ejsu.2024.i1.05.
6. Perceived and Physical Quality of Drinking Water in Pavlodar and Akmola Rural Regions of Kazakhstan / R. Beisenova et al // Sustainability. – 2024. – № 16(17). – P. 7625. https://doi.org/10.3390/su16177625.
7. Water Quality Problems Analysis and Assessment of the Ecological Security Level of the Transboundary Ural-Caspian Basin of the Republic of Kazakhstan / N.A. Amirgaliev et al // Applied Sciences. – 2022. – № 12(4). – P. 2059. https://doi.org/10.3390/app12042059.
8. Quality of Drinking Water in the Balkhash District of Kazakhstan's Almaty Region / S. Nurtazin et al // Water. – 2020. – № 12(2). – P. 392. https://doi.org/10.3390/w12020392.
9. Качественные показатели питьевой воды Майского района Павлодарской области Республики Казахстан / С. Азат и др. // Вестник НЯЦ РК. – 2023. – № 2. – P. 25. https://doi.org/10.52676/1729-7885-2023-2-25-32.
10. Закон Республики Казахстан от 18 декабря 1992 года N 1787-XII О социальной защите граждан, пострадавших вследствие ядерных испытаний на Семипалатинском испытательном ядерном полигоне. – URL https://adilet.zan.kz/rus/docs/Z920003600_
11. Приказ Министра здравоохранения Республики Казахстан от 24 ноября 2022 года № ҚР ДСМ-138 Об утверждении Гигиенических нормативов показателей безопасности хозяйственно-питьевого и культурно-бытового водопользования. – URL https://adilet.zan.kz/rus/docs/V2200030713
12. Руководство по обеспечению качества питьевой воды, 4-е изд. ВОЗ. – 2011. – 564 с.
13. Приказ Министра здравоохранения Республики Казахстан от 20 февраля 2023 года № 26 об утверждении санитарных правил «Санитарно-эпидемиологические требования к водоисточникам, местам водозабора для хозяйственно-питьевых целей, хозяйственно-питьевому водоснабжению и местам культурно-бытового водопользования и безопасности водных объектов». – URL: https://adilet.zan.kz/rus/docs/V2300031934 (дата обращения 22.09.2025).
14. Технический регламент Евразийского экономического союза 044/2017 «О безопасности упакованной питьевой воды, включая природную минеральную воду». – URL: https://adilet.zan.kz/rus/docs/H17EV000045 (дата обращения 22.09.2025).

References

1. Rezolyutsiya General'noi Assamblei OON 64/292 (2010 g.) «Pravo cheloveka na vodu i sanitariYU». – URL: https://docs.un.org/en/A/RES/64/292 (data obrashcheniya 22.09.2025). (In Russian).
2. Kodeks Respubliki Kazakhstan ot 9 aprelya 2025 goda № 178-VIII ZRK. – URL: https://adilet.zan.kz/rus/docs/K2500000178 (data obrashcheniya 22.09.2025). (In Russian).
3. Study of the Trace Element Composition of Drinking Water in Almaty City and Human Health Risk Assessment / M. Krasnopyorova et al // International Journal of Environmental Research and Public Health. – 2025. – № 22(4). – R. 560. https://doi.org/10.3390/ijerph22040560. (In English).
4. Preliminary Study and Assessment of Drinking Water from Almaty, Kazakhstan / Y. Sailaukhanuly et al // Eurasian Chemico-Technological Journal. – 2022. – № 24(4). – R. 341-350. https://doi.org/10.18321/ectj1478. (In English).
5. Absametov M. Water quality of the Syrdarya River and groundwater of the Kyzylzharma field in the Kyzylorda region (Kazakhstan) / M. Absametov, K. Ospanov, B. Kenesbayeva // Engineering Journal of Satbayev University. – 2024. – № 146(1). – R. 30-38. https://doi.org/10.51301/ejsu.2024.i1.05. (In English).
6. Perceived and Physical Quality of Drinking Water in Pavlodar and Akmola Rural Regions of Kazakhstan / R. Beisenova et al // Sustainability. – 2024. – № 16(17). – R. 7625. https://doi.org/10.3390/su16177625. (In English).
7. Water Quality Problems Analysis and Assessment of the Ecological Security Level of the Transboundary Ural-Caspian Basin of the Republic of Kazakhstan / N.A. Amirgaliev et al // Applied Sciences. – 2022. – № 12(4). – R. 2059. https://doi.org/10.3390/app12042059. (In English).
8. Quality of Drinking Water in the Balkhash District of Kazakhstan's Almaty Region / S. Nurtazin et al // Water. – 2020. – № 12(2). – R. 392. https://doi.org/10.3390/w12020392. (In English).
9. Kachestvennye pokazateli pit'evoi vody Maiskogo raiona Pavlodarskoi oblasti Respubliki Kazakhstan / S. Azat i dr. // Vestnik NYATS RK. – 2023. – № 2. – R. 25. https://doi.org/10.52676/1729-7885-2023-2-25-32. (In Russian).
10. Zakon Respubliki Kazakhstan ot 18 dekabrya 1992 goda N 1787-XII O sotsial'noi zashchite gpazhdan, postradavshikh vsledstvie yadernykh ispytanii na Semipalatinskom ispytatel'nom yadepnom poligone. – URL https://adilet.zan.kz/rus/docs/Z920003600_ (In Russian).
11. Prikaz Ministra zdravookhraneniya Respubliki Kazakhstan ot 24 noyabrya 2022 goda № ҚR DSM-138 Ob utverzhdenii Gigienicheskikh normativov pokazatelei bezopasnosti khozyaistvenno-pit'evogo i kul'turno-bytovogo vodopol'zovaniya. – URL https://adilet.zan.kz/rus/docs/V2200030713 (In Russian).
12. Rukovodstvo po obespecheniyu kachestva pit'evoi vody, 4-e izd. VOZ. – 2011. – 564 s. (In Russian).
13. Prikaz Ministra zdravookhraneniya Respubliki Kazakhstan ot 20 fevralya 2023 goda № 26 ob utverzhdenii sanitarnykh pravil «Sanitarno-ehpidemiologicheskie trebovaniya k vodoistochnikam, mestam vodozabora dlya khozyaistvenno-pit'evykh tselei, khozyaistvenno-pit'evomu vodosnabzheniyu i mestam kul'turno-bytovogo vodopol'zovaniya i bezopasnosti vodnykh ob"ektoV». – URL: https://adilet.zan.kz/rus/docs/V2300031934 (data obrashcheniya 22.09.2025). (In Russian).
14. Tekhnicheskii reglament Evraziiskogo ehkonomicheskogo soyuza 044/2017 «O bezopasnosti upakovannoi pit'evoi vody, vklyuchaya prirodnuyu mineral'nuyu vodU». – URL: https://adilet.zan.kz/rus/docs/H17EV000045 (data obrashcheniya 22.09.2025). (In Russian).

Благодарности: *Исследования выполнены при финансовой поддержке КН МНВО РК в рамках программно-целевого финансирования ИРН BR28512329*

А. Кливенко[1]*, А. Қасымов[1], Е. Евлампиева[1], Д. Шабдарбаева[2], А. Дюсупов[2]
[1]Шәкәрім университеті,
071412 Қазақстан Республикасы, Семей қ., Глинка к-сі, 20а
[2]Семей медицина университеті,
071400 Қазақстан Республикасы, Семей қаласы, Абай көшесі, 103
*e-mail: alexeyklivenko@mail.ru

АБАЙ ОБЛЫСЫНДАҒЫ ТӨТЕНШЕ ЖӘНЕ ЕҢ ЖОҒАРЫ РАДИАЦИЯЛЫҚ ҚАУІП АЙМАҒЫНДАҒЫ АУЫЛДАРДА АУЫЗ СУ САПАСЫН БАҒАЛАУ

Абай облысының бұрынғы Семей сынақ полигонына іргелес аумағында төтенше (Долонь, Мостик, Черемушка, Саржал) және максималды (Қарауыл, Қайнар) радиациялық қауіп аймақтарында орналасқан ауылдарда ауыз судың сапасына зерттеу жүргізілді. Жұмыстың мақсаты суды жалпы минералдану көрсеткіштері (TDS) және негізгі катиондардың (натрий, калий, кальций, магний) құрамы бойынша бағалау болды. Орталық сумен жабдықтау жүйелерінен алынған сынамаларды талдау көрсеткендей, үш елді мекенде (Саржал, Қайнар, Долонь) жалпы минералдану шекті рұқсат етілген концентрация ұсынған 1000 мг/л шегінен асып, Долонь ауылында 1500 мг/л-ге дейін жетеді. Қайнар және Долон оның концентрациясы белгіленген ШРК-дан 200 мг/л-ден асады, көптеген сынамалардағы судың жалпы қаттылығы су қатты деп жіктелген Долонь ауылынан алынған су үлгісін қоспағанда, стандарттарға сәйкес келеді. Орталық сумен жабдықталмаған Черемушка ауылындағы су физиологиялық тұрғыдан жеткіліксіз кальциймен сипатталады. Нәтижелер радиациялық қауіп аймағының зерттелген елді мекендерінің көпшілігінде ауыз судың қанағаттанарлықсыз сапасын көрсетеді.

Түйін сөздер: *ауыз су, төтенше радиациялық қауіп аймағы, судың кермектігі, кальций, магний, натрий, калий.*

A. Klivenko[1]*, A. Kassymov[1], E. Yevlampieva[1], D. Shabdarbayeva[2], A. Dyusupov[2]
[1]Shakarim University,
071412 Republic of Kazakhstan, Semey, Glinka str., 20A
[2]Semey Medical University,
103 Abaya str., Semey, 071400 Republic of Kazakhstan
*e-mail: alexeyklivenko@mail.ru

ASSESSMENT OF DRINKING WATER QUALITY IN VILLAGES FROM THE EMERGENCY ZONE AND THE MAXIMUM RADIATION RISKS OF THE ABAI REGION

A study has been conducted on the quality of drinking water in villages located in the zones of extreme (Dolon, Bridge, Cheryomushka, Sarzhal) and maximum (Karaul, Kainar) radiation risks in the territory of the Abai region adjacent to the former Semipalatinsk test site. The aim of the work was to evaluate water by indicators of total mineralization (TDS) and the content of basic cations (sodium, potassium, calcium, magnesium). The analysis of samples taken from the central water supply systems showed that in three settlements (Sarzhal, Kainar, Dolon) the total mineralization exceeds the WHO recommended limit of 1000 mg/l, reaching 1500 mg/l in the village of Dolon. In all the villages studied, except Cheryomushka, an increased sodium content was recorded, while in the villages of Kainar and Dolon its concentration exceeds the established maximum permissible concentration of 200 mg/l. The total hardness of the water in most samples meets the standards, with the exception of the water sample from the village of Dolon, where the water is classified as hard. The water in the village of Cheryomushka, which does not have a central water supply, is characterized by a physiologically insufficient calcium content. The results indicate an unsatisfactory quality of drinking water in most of the studied settlements of the radiation risk zone.

Key words: *drinking water, zone of extreme radiation risk, water hardness, calcium, magnesium, sodium, potassium.*

Сведения об авторах

Алексей Николаевич Кливенко* – PhD, ассоциированный профессор, директор Shakarim Lab, Шәкәрім университет, Республика Казахстан; e-mail: alexeyklivenko@mail.ru. ORCID: https://orcid.org/0000-0002-8971-686X.

Аскар Багдатович Касымов – PhD, член Правления – проректор по стратегии и социальному развитию, Шәкәрім университет, Республика Казахстан; e-mail: kassymov.asb@gmail.com. ORCID: https://orcid.org/0000-0002-1983-6508.

Елена Петровна Евлампиева – к.б.н., старший преподаватель кафедры химии и экологии, Шәкәрім университет, Республика Казахстан; e-mail: elena_semei@mail.ru. ORCID: https://orcid.org/0000-0003-1953-3686.

Дария Муратовна Шабдарбаева – доктор медицинских наук, профессор, Медицинский университет Семей, Республика Казахстан; e-mail: dariya.shabdarbaeva@smu.edu.kz. ORCID: https://orcid.org/ 0000-0001-9463-1935.

Алтай Ахметкалиевич Дюсупов – доктор медицинских наук, профессор, Председатель Правления – Ректор, Медицинский университет Семей, Республика Казахстан; e-mail: altay.dyusupov@smu.edu.kz. ORCID: https://orcid.org/0000-0003-0875-1020.

Авторлар туралы мәліметтер

Алексей Николаевич Кливенко* – PhD, қауымдастырылған профессор, Shakarim Lab директоры, Шәкәрім университеті, Қазақстан Республикасы; e-mail: alexeyklivenko@mail.ru. ORCID: https://orcid.org/0000-0002-8971-686X.

Асқар Бағдатұлы Қасымов – PhD, Басқарма мүшесі – Стратегия және әлеуметтік даму жөніндегі проректор, Шәкәрім университеті, Қазақстан Республикасы; e-mail: kassymov.asb@gmail.com. ORCID: https://orcid.org/0000-0002-1983-6508.

Елена Петровна Евлампиева – б.ғ.к., химия және экология кафедрасының аға оқытушысы, Шәкәрім университеті, Қазақстан Республикасы; e-mail: elena_semei@mail.ru. ORCID: https://orcid.org/0000-0003-1953-3686.

Дария Мұратқызы Шабдарбаева – медицина ғылымдарының докторы, профессор, Семей медицина университеті, Қазақстан Республикасы; e-mail: dariya.shabdarbaeva@smu.edu.kz. ORCID: https://orcid.org/ 0000-0001-9463-1935.

Алтай Ахметқалиұлы Дүйсіпов – медицина ғылымдарының докторы, профессор, Басқарма төрағасы – ректор Семей медицина университеті, Қазақстан Республикасы; e-mail: altay.dyusupov@smu.edu.kz. ORCID: https://orcid.org/0000-0003-0875-1020.

Information about the authors

Alexey Klivenko* – PhD, Associate Professor, Director of Shakarim Lab, Shakarim University, Republic of Kazakhstan; e-mail: alexeyklivenko@mail.ru. ORCID: https://orcid.org/0000-0002-8971-686X.

Askar Kassymov – PhD, Member of the Board – Vice-rector for Strategy and Social Development, Shakarim University, Republic of Kazakhstan; e-mail: kassymov.asb@gmail.com. ORCID: https://orcid.org/0000-0002-1983-6508.

Elena Yevlampieva – PhD, Senior Lecturer at the Department of Chemistry and Ecology, Shakarim University, Republic of Kazakhstan; e-mail: elena_semei@mail.ru. ORCID: https://orcid.org/0000-0003-1953-3686.

Daria Shabdarbayeva – MD, Professor, Semey Medical University, Republic of Kazakhstan; e-mail: dariya.shabdarbaeva@smu.edu.kz. ORCID: https://orcid.org/ 0000-0001-9463-1935.

Altai Dyusupov – MD, Professor, Chairman of the Board – Rector of Semey Medical University, Republic of Kazakhstan; e-mail: altay.dyusupov@smu.edu.kz. ORCID: https://orcid.org/0000-0003-0875-1020.

Поступила в редакцию 09.09.2025
Поступила после доработки 23.10.2025
Принята к публикации 24.10.2025

https://doi.org/10.53360/2788-7995-2025-4(20)-71

CC BY 4.0
Check for updates

ҒТАХР: 55.21.19

А. Мәуліт[1,2*], З.А. Сатбаева[1,2], Р.С. Кожанова[1,2], Д.Р. Байжан[2], А.С. Рүстемов[1]
[1]«Plasma Science» ЖШС,
Шығыс Қазақстан обылысы, Өскемен қ., Гоголя көш., 7Г
[2]Шәкәрім университеті,
Абай обылысы, Семей қ., Глинки көш., 20 А
*e-mail: maulit.almas@gmail.com

12Х18Н10Т АУСТЕНИТТІ-ТОТ БАСПАЙТЫН БОЛАТТАН ЭЛЕКТРОЛИТТІ-ПЛАЗМАЛЫҚ АЗОТТАУДЫ ЗЕРТТЕУ

Аңдатпа: *Бұл зерттеуде плазманың спектрлік сипаттамаларын, сондай-ақ электролиттік-плазмалық азоттау (ЭПА) процесінде аустениттік тот баспайтын болатта болатын құрылымдық және фазалық өзгерістерді кешенді талдау нәтижелері келтірілген. Өңдеу 10 минут ішінде 550°С температурада 10% кальцийленген сода (Na_2CO_3), 20% карбамид ($CO(NH_2)_2$) және 3% аммоний хлориді (NH_4Cl) бар сулы электролитте жүргізілді. Осы жағдайларда қарқынды жарық шығаратын разрядтың тұрақты дамуы байқалды. Өңдеу кезінде жүргізілген оптикалық эмиссиялық спектроскопия азоттың (N I) және n_2 и иондарының қозған түрлерінің, сондай-ақ атомдық оттегінің (O I) және сутектің иондануына сәйкес келетін hα сызығының тән сызықтарының болуын анықтады. Бұл электролит компоненттерінің плазманың түзілуіне және азоттың үлгі бетіне өтуіне белсенді қатысуын көрсетеді. Hα желісінің кеңеюі негізінде (Бальмер сериясы) плазманың электронды тығыздығы есептелді, ол шамамен 8.5 × 10^{18} $см^{-3}$ болды, бұл разрядтың жоғары энергетикалық сипатын көрсетеді. Рентгендік фазалық талдау хром (CrN) және темір (FeN) нитридтері сияқты азотты қосылыстардың, сондай-ақ γ-Fe(N) аустениттік матрицасындағы азоттың қатты ерітіндісінің түзілуін көрсетті. Бұл нәтижелер Болаттың азотпен тиімді қанығуын және оның фазалық құрамының өзгеруін көрсетеді. Растрлық электронды*

микроскопияны (РЭМ) қолданатын микроқұрылымдық талдау EPA технологиясына тән үш қабатты азотталған қабат құрылымын анықтады, оның ішінде беттік нитридті аймақ, композиция градиенті бар өтпелі аймақ және негізгі бөлігі қанықпаған аустениттік матрица. Сонымен қатар, энергияның дисперсиялық рентгендік талдауы (ЭДТ) қанықтылықтың диффузиялық сипатын көрсететін азоттың концентрациялық градиентінің тереңдігін растады. Нәтижелер төмен температуралы азот бар электролитті пайдаланған кезде электролит-плазмалық азоттаудың жоғары тиімділігін көрсетеді және өнімділігі жақсартылған көп фазалы модификацияланған қабатты алу мүмкіндігін растайды.

Түйін сөздер: *электролиттік-плазмалық азоттау, электр разряды, эмиссиялық спектроскопия, электронды тығыздық, нитрид қабаты, беттік модификация.*

1. Кіріспе

Аустениттік тот баспайтын болаттар жоғары коррозияға төзімділікті және биомедицина, кеме жасау және аэроғарыш сияқты жақсы механикалық қасиеттерді қажет ететін салаларда кеңінен қолданылады [1-2]. Азоттау аустенитті тот баспайтын болаттардың механикалық қасиеттерін айтарлықтай жақсартады. Бұл әсер құрамында азот бар аустениттің (S фазасы) және материалдың бетін нығайтатын басқа қатты фазалардың пайда болуына байланысты. Болат құрылымына азот атомдарын енгізу темір мен хром нитридтерінің түзілуіне әкеледі [3-4]. Жұмыс авторлары [5-8] азоттау негізгі қасиеттерін айтарлықтай өзгертпестен болаттың бетінде мықты қабаттардың пайда болуына ықпал ететінін анықтады. Зерттеу [9] аустенитті болаттардың төмен температуралы азотталуы хлоридтер сияқты агрессивті заттардың енуіне жол бермейтін тығыз қорғаныс қабатын құрайтынын анықтады. Зерттеу [10] азоттау уақытының ұлғаюы үйкеліс коэффициентін төмендететін және бетінің беріктігін арттыратын қалың нитридті пленканың пайда болуына ықпал ететінін анықтады.

Тот баспайтын болаттардың қасиеттерін жақсарту үшін азоттаудың бірнеше әдістері қолданылады: газды азоттау – қаттылықты арттыратын, бірақ коррозияға төзімділікті төмендететін нитридтер қабатын құру арқылы аммиак атмосферасында жоғары температурада жүзеге асырылады [11]. Иондық (плазмалық) азоттау-болат бетіне азотты енгізу үшін иондық разрядты пайдаланады, жоғары қаттылық пен тозуға төзімділікті қамтамасыз етеді, бірақ күрделі жабдықты қажет етеді [12]. Төмен температуралы азоттау-әсіресе медициналық және биомедициналық қолдану үшін пайдалы, өйткені ол нәзік фазалардың пайда болуына жол бермейді [13]. Электролиттік-плазмалық азоттау (ЭПА) – бұл электролиттік плазманың көмегімен азотты болаттың беткі қабатына тез диффузиялау үшін қолданатын инновациялық әдіс, ол оны басқа беттік өңдеу әдістерінен ерекшелендіреді. Авторлардың зерттеуі [14] ЭПА дәстүрлі әдістермен салыстырғанда бетті азотпен қанықтырудың жоғары жылдамдығын қамтамасыз ететінін көрсетті. Дәстүрлі газды азоттаулардан айырмашылығы, ЭПА болат құрылымының термиялық бұрмалануын тудыруы мүмкін жоғары температураны болдырмайды [15].

ЭПА процесін жүзеге асыруда шешуші рөл өңделетін беттің айналасындағы бу-газ қабығында пайда болатын электр разрядтары болып табылады. Олар жергілікті жылуды, бетті белсендіруді және металға тиімді диффузиялауға қабілетті азоттың белсенді түрлерінің пайда болуын қамтамасыз етеді. Разрядтардың түрі, қарқындылығы және тұрақтылығы қалыптасқан қабаттың микроқұрылымына, фазалық құрамына және қасиеттеріне айтарлықтай әсер етеді. Тұрақсыз және қарқынды разрядтар қызып кетуге, микроэлементтерге және ақаулардың пайда болуына әкелуі мүмкін, ал бақыланатын жану разрядтары біркелкі және тығыз қатайтылған қабаттың пайда болуына ықпал етеді. Разрядтарды негізгі үш санатқа бөлуге болады: тікелей сұйықтықтың ішінде пайда болатын разрядтар [16], сұйық беттің үстіндегі газ фазасындағы разрядтар, соның ішінде сұйықтықтың өзі өткізгіш электрод ретінде қызмет ететін жағдайлар [17], сондай – ақ көп фазалы жүйелердегі разрядтар-көпіршіктердің ішінде, бу-газ қоспаларында, аэрозольдік орталарда және көбіктерде [18]. Сұйық ортадағы плазма визуалды бақылаулар мен оптикалық эмиссиялық спектроскопия арқылы зерттеледі [19]. Бұл әдістер плазманың негізгі сипаттамаларын анықтауға мүмкіндік береді, мысалы, плазмалық түзілімдердің түрі мен формасы, оның құрамы, температурасы және компоненттердің тығыздығы [20-21].

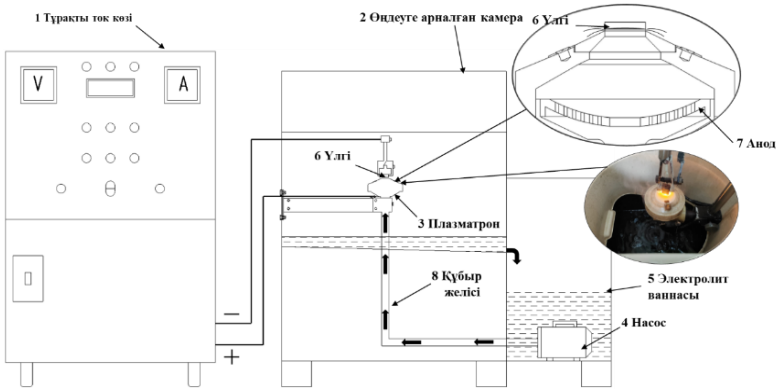
Бұл мақалада біз аустенитті тот баспайтын болатты электролитті-плазмалық азоттау үрдісіндегі электр разрядының спектрлік сипаттамаларын және оның құрылымдық-фазалық түрленуі зерттеуді мақсат етеміз. Азотталған қабатты құрайтын плазманың белсенді

компоненттерін, сондай-ақ материалдың тереңдігі бойынша азоттың таралуын анықтауға баса назар аударылады.

2. Материалдар мен әдістер

ЕРА жүргізу үшін AISI 321 болатының аналогы болып табылатын 12Х18Н10Т маркалы аустенитті тот баспайтын болат таңдалды. ГОСТ 5632-72 сәйкес 12Х18Н10Т Болаттың химиялық құрамы: темір (Fe) 67%-ге дейін, хром (Cr) 17-19%, никель (Ni) 9-11%, марганец (Mn) 2%-ге дейін, титан (Ti) 0,4-1%, кремний (Si) 0,8%-ге дейін, мыс (Cu) 0,3%-ке дейін, көміртек (C) 0,12% дейін, фосфор (P) 0,035% дейін, күкірт (S) 0,02 дейін. Үлгілер өлшемі 20х20х20 ММ текше түрінде дайындалды. беткі процесті бастамас бұрын үлгілер HUMP-2 тегістеу және жылтырату станогында дайындалды, Ra 1,0 ± 0,1 мкм кедір-бұдыр деңгейі. Жылтырату аяқталғаннан кейін үлгілер абразивті материалдардың қалдықтары мен кез келген ластаушы заттарды кетіру үшін ағынды сумен мұқият жуылды. Тәжірибе барысында құрамында 10% натрий карбонат, 22% карбамид, 3% аммоний хлориді, 60% тазартылған су негізіндегі электролит қолданылды.

Тәжірибе 40 кВт тұрақты ток түзеткішімен және 1-суретте көрсетілгендей плазмотрон орналастырылған арнайы өңдеу камерасымен жабдықталған ЭПА қондырғысында жүргізілді.



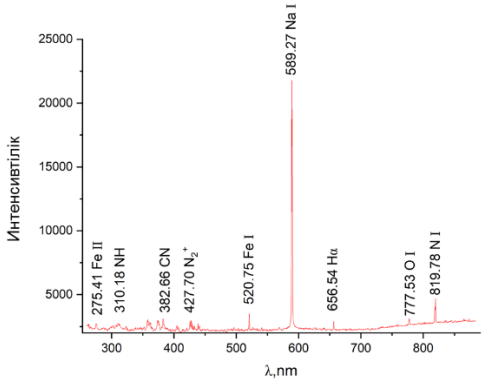
Сурет 1 – Электролитті-плазмалық азоттау қондырғысы

Үлгілерді азоттау процесі келесідей жүргізілді: басында жұмыс ваннасы (5) электролитпен толтырылды. Содан кейін ваннаның түбіне орнатылған сорғы (4) көмегімен электролит құбырлар арқылы (8) өңдеу камерасында орналасқан плазматронға (3) берілді (2). Плазматроннан өткеннен кейін электролит жұмыс ваннасына арнайы белгіленген ағызу тесіктері арқылы қайта оралып, осылайша сұйықтық айналымын жасады. Электролиттің берілу жылдамдығы 4-7 л/мин диапазонында сақталды, ал жылу алмастырғышқа берілетін салқындатқыш су 3-6 л/мин жылдамдықпен айналды, бұл 500-550°С үлгілерді қыздыру кезінде электролит температурасын 40-50°С температурада ұстауға мүмкіндік берді. конус тәрізді плазматронның саңылауынан 2-3 мм қашықтықта. Бұл тесік арқылы үлгілердің салқындауы мен температурасын бақылауды қамтамасыз ететін электролит ағыны берілді. Анод (7) қуат көзінің оң полюсіне (1) қосылды, ал катод рөлін атқаратын үлгілер теріс полюске қосылды. Содан кейін қанығу температурасына тез жету үшін үлгілерге 320 В кернеуі 10 секундқа берілді. Содан кейін кернеу 180 В дейін төмендеді және өңдеу 10 минут бойы жалғасты, үлгілердің температурасы электролит беру жылдамдығын реттеу арқылы 500-550°С диапазонында сақталды [22].

Электролиттік-плазмалық азоттау процесінің спектрлік сипаттамалары ATP3030 ультра жоғары ажыратымдылықтағы оптикалық спектрометрде талданды (Optosky, Қытай). Алынған деректерді талдау зерттелетін спектрді ұлттық стандарттар және технологиялар институтының (NIST) мәліметтер базасымен салыстыру арқылы жүргізілді [23]. Рентгендік фазалық талдау Xpert PRO PANalytical (PANAlytical BV, Нидерланды) құралында жүргізілді. Зерттеу барысында анодты мыс түтікке кернеу 40 кВ және ток 30 мА, Cu-Kα сәулеленуі (λ = 1,541 Å) 30 дан 100-ге дейін, түсіру қадамы 0,02, санау уақыты 0,5 с/қадам болды. Алынған дифрактограмма сызықтарын фазалық талдау Highscore Plus бағдарламалық пакетін қолдану арқылы жүргізілді. Азотталған үлгілердің микроқұрылымын зерттеу үшін оюдан кейін TESCAN MIRA3 LMH (TESCAN, Брно, Чехия) сканерлейтін электронды микроскоп қолданылды.

3. Нәтижелер мен талқылау

2-суретте көрсетілген алынған эмиссиялық спектр электродқа дейінгі аймақта пайда болатын белсенді бөлшектерге сапалы талдау жасауға мүмкіндік береді. Na I (589.27 нм), Fe I/II, NH, CN сызықтарын, сондай-ақ N_2^+ молекулалық иондарын және N I атомдық азотты анықтау плазмада иондалған және қозған бейтарап бөлшектердің болуын растайды. Бейтарап натрийдің резонанстық D сызығына сәйкес келетін 589.27 НМ толқын ұзындығындағы қарқынды шыңды ерекше атап өткен жөн. Себебі Na I 589.0/589.6 НМ желісі өзін-өзі сіңіруге әлсіз сезімтал [20, 21]. 427.70 НМ (N_2^+) аймағындағы жарылыс нитридті қабаттың түзілуінде шешуші рөл атқаратын қозған азот плазмасына тән молекулалық иондардың болуын көрсетеді. CN және NH радикалдарының болуы электролиттегі карбамид пен аммонийден алынған көміртегі мен сутегі компоненттерінің күрделі химиялық азоттау кинетикасына қатысуын көрсетеді.



Сурет 2 – Электролиттік-плазмалық азоттау кезіндегі электр разрядының спектрі

Қолданылатын жабдықтың сипаттамаларын ескере отырып, Штарктың қысымы мен сызықтық әсеріне байланысты спектрлік сызықтардың кеңеюі [23] формуласына сәйкес Лоренц профилінің жартылай биіктіктегі (FWHM) толық ені бойынша есептелді:

$$\Delta\lambda_F = 0{,}5346 \times \Delta\lambda_L + \sqrt{0.2166 \times \Delta\lambda_L^2 + \Delta\lambda_G^2}$$

мұндағы $\Delta\lambda_G$ – Гаусс профилінің биіктігінің жартысындағы жарты ені (OPTOSKY ATP3030 спектрометрінің аппараттық кеңеюі = 1.0 нм), $\Delta\lambda_F$ – Войгт профилінің биіктігінің жартысындағы жарты ені (1.12 нм), ал $\Delta\lambda_L$ — Лоренц профилінің биіктігінің жартысындағы жарты ені. Есептеу нәтижесінде Лоренц профилінің биіктігінің жартысындағы жартылай енінің шамасы 0,496 нм болды. .

n_e электронды тығыздығын есептеу үшін ne-дің Hα сызығының еніне жартылай биіктікте (FWHM) тәуелділігінің эмпирикалық формуласы қолданылды [24]:

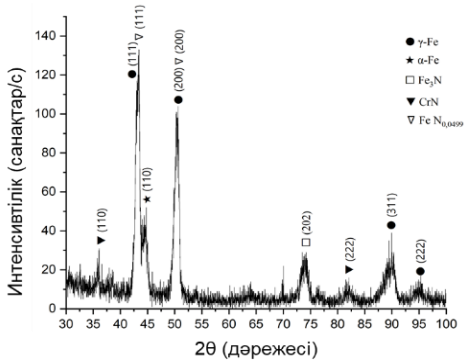
$$n_e = 10^{13}(\Delta\lambda_L)^{\frac{3}{2}}\left[C_0(T) + \sum_{n=1}^{m} C_n(T)\,(\ln\Delta\lambda_L)^n\right]$$

мұндағы $\Delta\lambda_L$ — Лоренц контурының жарты ені, $C_0(T)$ алынған [24] Бальмер сериясының сәйкес сутегі сызығы үшін. Бальмер сериясының сутегі сызықтарының сәулелену спектрлерінен электронды тығыздықты есептеу үшін қолданылатын коэффициенттер: C0=671.4, C1=-227.5, C2=44.72, C3 =-2.325.

Осылайша, плазманың есептелген электронды тығыздығы $n_e \approx 8.5\times10^{18}$ см$^{-3}$ құрайды, бұл атмосфералық азотты плазмалық разрядқа тән мәндерге сәйкес келеді. Бұл қолданылатын спектрлерді тіркеу және өңдеу әдісінің дұрыстығын, сондай-ақ көрсетілген жағдайларда электролиттік-плазмалық азоттаудың тиімділігін растайды.

3-суретте электролиттік-плазмалық азоттаудан кейін 12Х18Н10Т болат бетінің рентгенографиясы көрсетілген. Алынған рентгамманы талдау материалдың бастапқы күйімен салыстырғанда беткі қабаттың фазалық құрамындағы айтарлықтай өзгерістерді анықтауға мүмкіндік береді. Дифрактограммада келесі фазаларға сәйкес келетін биіктер байқалады: γ – Fe (аустенит) – жазықтықтағы негізгі рефлекстер (111), (200), (220), 12Х18Н10Т болаттың бастапқы құрылымына тән. бұл фазаның болуы көлемнің көп бөлігінде аустениттік

тордың сақталуын көрсетеді. α-Fe (феррит) – әлсіз шың (110), жоғары термиялық және азоттық әсерлердің әсерінен ішінара мартенситтік түрленуді немесе аустениттің деградация аймағын көрсетеді. Fe_3N (ε-фаза) – азотталған қабаттарға тән рефлекс (202) бетке жақын темірдің нитридті фазасының түзілуін растайды. CrN биіктері (111) және (200) хром нитридтерінің түзілуін, азоттың болаттың легирленген элементімен химиялық әрекеттесуінің нәтижесін көрсетеді. $FeN_{0.0499}$ – кең рефлекстер (111), (200) γ-Fe-де қанығудың ерте сатысында пайда болатын қатты азот ерітіндісінің болуын көрсетеді. γ-Fe матрицасында темір және хром нитридтерінің, сондай-ақ еріген азоттың болуы беттің белсенді азотты компоненттермен сәтті қанығуын көрсетеді, бұл эмиссиялық спектроскопия нәтижелеріне сәйкес келеді, атап айтқанда, плазмадағы азоттың жоғары белсенділігін көрсететін N_2^+ (427.7 нм) және N I (819.8 нм) сызықтарының болуы. Сонымен қатар, аустениттік биіктердің қарқындылығының бастапқы күймен салыстырғанда төмендеуін атап өткен жөн, бұл разрядтың термиялық және химиялық әсеріне байланысты ішінара қайта бөлінген кристалдық құрылымды растайды.

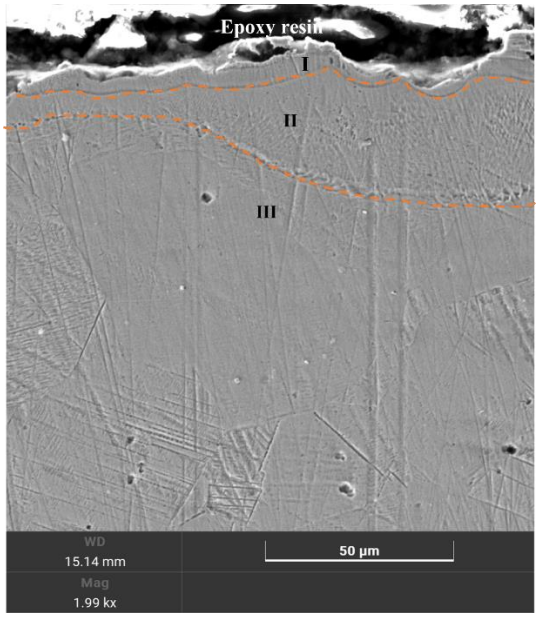


Сурет 3 –12Х18Н10Т аустенитті тот баспайтын болаттың беткі қабатының дифрактограммасы

12Х18Н10Т болаттың 4 көлденең қимасының растрлық электронды кескінінде ЕРА-дан кейін үш тән аймақ айқын байқалады. Бірінші аймақ (I) – қалыңдығы шамамен 7-8 мкм болатын ақ нитридті қабат. Рентгендік фазалық талдауға сәйкес, бұл аймақта хром нитридінің (CrN) және темір нитридінің (FeN) фазалары қалыптасады, бұл сәйкесінше (110), (222) және (202) жазықтықтарындағы рентгенограммадағы шағылысулардан көрінеді. Бұл аймақтың қалыптасуы плазмадағы азоттың белсенді түрлерінің жоғары концентрациясымен байланысты, бұл N_2^+ интенсив (427,7 нм) және N I (819,8 нм) қарқынды сызықтары тіркелген эмиссиялық спектрмен расталады. Төменде қалыңдығы шамамен 8-12 мкм болатын өтпелі аймақ (II) орналасқан, ол азоттың біртіндеп төмендеуімен және аустенитте ($FeN_{0.0499}$) азоттың қатты ерітіндісінің пайда болуымен сипатталады, бұрмаланған торы бар γ-фазаның сәйкес рефлекстері бойынша анықталған. Ақырында, үшінші аймақ (III)-бұл бастапқы аустениттік құрылымды сақтайтын материалдың қанықпаған бөлігі, ол ұшақтардан рентгенограммада γ-Fe тән биіктердің болуымен расталады (111), (200), (311) және (222). Осылайша, беттік қабаттың байқалған көп қабатты құрылымы беттің азотпен тиімді қанығуын және фазалар мен қасиеттердің айқын градиентімен қорғаныс жабынының қалыптасуын растайды.

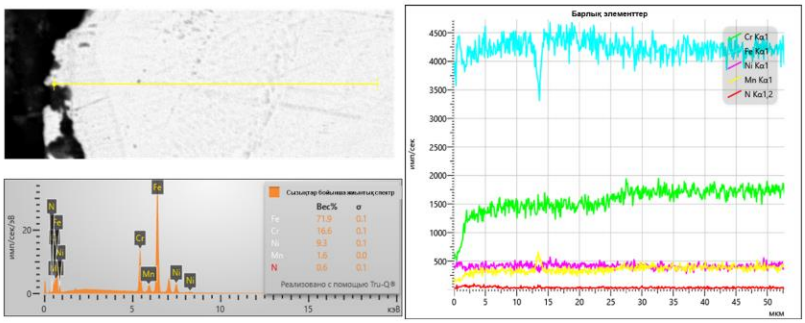
12Х18Н10Т Болаттың беткі қабаттарындағы элементтердің таралуын бағалау үшін ЕРА-дан кейін үлгінің көлденең қимасында сызықтық EDX талдауы жүргізілді. Берілген микрограф өңделген аймақты бетінен ~50 мкм тереңдікке кесіп өтетін талдау сызығын көрсетеді. Тиісті графикте негізгі элементтердің рентгендік сызықтарының қарқындылығы көрсетілген: Fe, Cr, Ni, Mn және N. Сонымен қатар композицияны жергілікті сандық талдау үшін екі аймақ бөлінді (сурет 4).

Бетіне жақын (профильдің бастапқы нүктесі, жоғарғы аймақ) азоттың жоғарылауы байқалады – 2.42 ат.%, сондай-ақ темірдің салыстырмалы түрде төмендеген мөлшері (70.00 ат.%) және хромның жоғарылауы (17.36 ат.%). Мұндай химиялық көрініс рентгендік фазалық талдау нәтижелері бойынша анықталған CrN және Fe_3N фазаларын қамтитын нитридтік аймақтың қалыптасуын растайды. Никель концентрациясы 8.62 ат құрайды.% , бұл бастапқы мазмұнға жақын, оның көрсетілген жағдайларда азоттауға инерттілігін көрсетеді.



Сурет 4 – 12Х18Н10Т аустенитті тот баспайтын болаттың ара-дан кейінгі көлденең қимасы, РЭМ х2000 үлкейту. I-нитридті аймақ; II-өтпелі аймақ; III-бастапқы құрылым

Материалға терең енген сайын азот концентрациясы айтарлықтай төмендейді және ~50 мкм қашықтықта 0.62 ат. % құрайды , ал темір мен никельдің мөлшері 71.86 және 9.30 ат. % дейін артады тиісінше. Осылайша, қанықтылықтың диффузиялық механизміне сәйкес келетін тереңдікте азоттың таралу градиенті айқын көрінеді. Хром мен марганец шамамен 16-17 және ~1.6 ат. % деңгейінде тұрақты деңгейде сақталады сәйкесінше, бұл элементтердің нитридтік аймақтан тыс химиялық түрлендірулерге шектеулі қатысуын көрсетеді (сурет 5).



Сурет 5 – 12Х18Н10Т аустенитті тот баспайтын болаттан жасалған энергия дисперсиялық рентгендік спектроскопия (EDX) электролитті-плазмалық азоттаудан кейін

Элементтердің таралуының жалпы көрінісі микроқұрылымдық бақылауларға сәйкес келеді және азотталған қабаттың үш аймақтық құрылымын растайды:

- жоғары азотты беттік нитридті аймақ;
- γ-Fe қатты ерітінді түріндегі азотпен өтпелі аймақ;
- және елеулі өзгерістерге ұшырамаған негізгі матрица.

Қорытынды

Жүргізілген зерттеулер көрсеткендей, катодтық электролиттік-плазмалық азоттау (ЭПА) әдісімен аустенитті тот баспайтын 12Х18Н10Т болатын 550 °С температурада 10 минут бойы Na_2CO_3, $CO(NH_2)_2$ және NH_4Cl құрамды сулы электролитте өңдеу нәтижесінде күрделі көпқабатты азотталған құрылым түзіледі. Эмиссиялық спектрлік талдау плазмада азоттың белсенді формаларының (N_2^+, N I), сондай-ақ сутек пен оттектің болуын растады, бұл беттің тиімді түрде азотпен қанығуына ықпал етеді. Hα сызығының ені бойынша есептелген электрондық тығыздық шамамен 8.5×10^{18} $см^{-3}$ құрады, бұл өңдеу аймағындағы иондалу дәрежесінің жоғары екенін көрсетеді.

Рентгенофазалық талдау нәтижесінде беткі аймақта CrN және Fe_3N нитридтік фазаларының, сондай-ақ аустениттік торда азоттың қатты ерітіндісі $FeN_{0.0499}$ түзілуі анықталды. Бұл құрылымдық өзгерістер тереңдік бойынша фазалардың градиентті таралуымен сипатталады, оны микроструктуралық бақылаулар мен энергия-дисперсиялық талдау (EDS) нәтижелері растады: азоттың концентрациясы беттік қабатта ең жоғары мәнге ие болып, тереңдікке қарай біртіндеп азаяды.

ЭПА процесі 12Х18Н10Т болатында айқын аймақтық құрылым қалыптастыруда жоғары тиімділік көрсетті, ол беткі нитридтік қабаттан, өтпелі аймақтан және сақталған аустениттік матрицадан тұрады. Микротверділіктің таралуы 550 °С-тағы ЭПА өңдеуден кейін бетке жақын аймақта шамамен 480 HV дейін жетіп, 15 мкм тереңдіктен кейін 180–220 HV дейін күрт төмендейтінін көрсетті. Бұл қатайтылған аймақтың бар екенін және оның матрицамен айқын шекара арқылы бөлінетінін, яғни фазалық градиенттілікті дәлелдейді.

«Шар-диск» сұлбасы бойынша жүргізілген трибологиялық сынақтар үйкеліс коэффициентінің бастапқы күймен салыстырғанда 20%-дан астам төмендегенін көрсетті. Азотталған үлгілерде үйкеліс коэффициенті шамамен 0,6 деңгейінде тұрақтанса, бастапқы үлгілерде ол ~0,8 құрады. Бұл нәтиже қатты нитридтік фазалардың түзілуімен және адгезиялық әсердің төмендеуімен түсіндіріледі.

Алдағы зерттеулерде беттің алдын ала механикалық активтендіруінің азотталған қабаттың құрылымына, фазалық құрамына және қасиеттеріне әсері зерттеліп, оның біртектілігін, тығыздығын және пайдалану сипаттамаларын арттыру көзделіп отыр.

Әдебиеттер тізімі

1. Corrosion performance of cold deformed austenitic stainless steels for biomedical applications / M. Talha et al // Corrosion Reviews. – 2019. – Vol. 37, № 4. – P. 283-306. https://doi.org/10.1515/corrrev-2019-0004.
2. Narayan R.J. Medical application of stainless steels / R.J. Narayan // ASM Handbook. – 2012. – Vol. 23. – P. 199-210. https://doi.org/10.31399/asm.hb.v23.9781627081986.
3. Borgioli F. From austenitic stainless steel to expanded austenite-S phase: formation, characteristics and properties of an elusive metastable phase / F. Borgioli // Metals. – 2020. – Vol. 10, № 2. – P. 187. https://doi.org/10.3390/met10020187.
4. Borgioli F. Advances in low-temperature nitriding and carburizing of stainless steels and metallic materials: formation and properties / F. Borgioli, S. Adachi, T. Lindner // Metals. – 2024. – Vol. 14, № 10. – P. 1179. https://doi.org/10.3390/met14101179.
5. Enhanced plasma nitriding efficiency and properties by severe plastic deformation pretreatment for 316L austenitic stainless steel / Y. Lu et al // J. Mater. Res. Technol. – 2021. – Vol. 15. – P. 1742-1746. https://doi.org/10.1016/j.jmrt.2021.08.082.
6. Enhancement of wear resistance by sand blasting-assisted rapid plasma nitriding for 304 austenitic stainless steel / D. Li et al // Surf. Eng. – 2020. – Vol. 36. – P. 524-530. https://doi.org/10.1080/02670844.2019.1641953.
7. Stability of expanded austenite by gas nitriding process on austenitic stainless-steel material under low temperature conditions / T.L. Deepak et al // Mater. Today Proc. – 2020. – Vol. 27. – P. 1681-1684. https://doi.org/10.1016/j.matpr.2020.03.571.
8. Hannula S.P. Surface structure and properties of ion-nitrided austenitic stainless steels / S.P. Hannula, P. Nenonen, J.P. Hirvonen // Thin Solid Films. – 1989. – Vol. 181. – P. 343-350. https://doi.org/10.1016/0040-6090(89)90502-6.
9. Borgioli F. Influence of surface morphology and roughness on water wetting properties of low temperature nitrided austenitic stainless steels / F. Borgioli, E. Galvanetto, T. Bacci // Mater. Charact. – 2014. – Vol. 95. – P. 278-284. https://doi.org/10.1016/j.matchar.2014.07.006.
10. Wang L. Effect of nitriding time on the nitrided layer of AISI 304 austenitic stainless steel / L. Wang, S. Ji, J. Sun // Surf. Coat. Technol. – 2006. – Vol. 200. – P. 5067-5070. https://doi.org/10.1016/j.surfcoat.2005.05.036.
11. Effect of alloying elements and low temperature plasma nitriding on corrosion resistance of stainless steel / Y. Liu et al // Materials. – 2022. – Vol. 15. – P. 6575. https://doi.org/10.3390/ma15196575.
12. The wear and corrosion properties of stainless steel nitrided by low-pressure plasma-arc source ion nitriding at low temperatures / W. Liang et al // Surf. Coat. Technol. – 2000. – Vol. 130. – P. 304-308. https://doi.org/10.1016/S0257-8972(00)00713-1.

13. Flis J. Effect of low-temperature plasma nitriding on corrosion of 304L stainless steel in sulfate and chloride solutions / J. Flis, M. Kuczynska // J. Electrochem. Soc. – 2004. – Vol. 151. – P. B573. https://doi.org/10.1149/1.1801352.
14. Plasma electrolytic polishing effect on steel's surface roughness after cathodic saturation with nitrogen and carbon / S.A. Kusmanov et al // Surf. Eng. Appl. Electrochem. – 2021. – Vol. 57. – P. 513-518. https://doi.org/10.3103/S1068375521050069.
15. Kozhanova R.S. Interaction model of low-temperature plasma with a steel surface during electrolyte plasma nitriding in an electrolyte based on carbamide / R.S. Kozhanova, B.K. Rakhadilov, W. Wieleba // Bull. Karaganda Univ. Phys. Ser. – 2020. – Vol. 100. – P. 39-48. https://doi.org/10.31489/2020ph4/39-48.
16. Generation of a nonequilibrium plasma in heterophase atmospheric-pressure gas-liquid media and demonstration of its sterilization ability / Y.S. Akishev et al // Plasma Phys. Rep. – 2006. – Vol. 32. – P. 1052-1061. https://doi.org/10.1134/S1063780X06120087.
17. Barinov Y.A. Discharge with a liquid nonmetallic cathode (tap water) in atmospheric-pressure air flow / Y.A. Barinov, S.M. Shkol'nik // Technical Physics. – 2016. – Vol. 61. – P. 1760-1763. https://doi.org/10.1134/S1063784216110049.
18. Certain features of multichannel discharge in a tube under atmospheric pressure / G.N.T.E. Samitova et al // High Temperature. – 2011. – Vol. 49. – P. 762-765. https://doi.org/10.1134/S0018151X11050208.
19. Spectral diagnostics of plasma discharge between a metal cathode and liquid anode / A.F. Gaisin et al // High Temperature. – 2017. – Vol. 55. – P. 457-460. https://doi.org/10.1134/S0018151X17030087.
20. Plasma-liquid recycling of metallic powder for 3D printing / A.F. Gaisin et al // Fiz. Khim. Obrab. Mater. – 2023. – № 1. – P. 37-44.
21. Electrical discharge between a metal cathode and a liquid non-metal anode / R.R. Kayumov et al // Plasma Phys. Rep. – 2024. – Vol. 50. – P. 115-121.
22. Electrolytic plasma nitriding of medium-carbon steel 45 for performance enhancement / Z. Satbayeva et al // Crystals. – 2024. – Vol. 14. – P. 895. https://doi.org/10.3390/cryst14100895.
23. NIST Atomic Spectra Database [Electronic resource]. – URL: https://physics.nist.gov/PhysRefData/ASD/lines_form.html (accessed: 22.03.2025).
24. Kielkopf J.F. Broadening of hydrogen lines / J.F. Kielkopf // J. Opt. Soc. Am. – 1973. – Vol. 63. – P. 987. https://doi.org/10.1364/JOSA.63.000987.
25. Kasabov G.A. Spectroscopic Tables for Low-Temperature Plasma / G.A. Kasabov, V.V. Eliseev. – Moscow: Atomizdat, 1973. – 240 p.

Алғыс

Зерттеуді Қазақстан Республикасы Ғылым және жоғары білім министрлігінің Ғылым комитеті қаржыландырды (грант № AP19579513).

А. Мәуліт[1,2]*, З.А. Сатбаева[1], Р.С. Кожанова[1,2], Д.Р. Байжан[2], А.С. Рүстемов[1]

[1]ТОО «Plasma Science»,
Восточно-Казахстанский область, г. Усть-Каменогорск, ул. Гоголя, 7Г
[2]Шәкәрім университет,
Область Абай, г.Семей, ул. Глинки, 20 А
*e-mail: maulit.almas@gmail.com

КОМПЛЕКСНОЕ ИССЛЕДОВАНИЕ ЭЛЕКТРОЛИТНО-ПЛАЗМЕННОГО АЗОТИРОВАНИЯ АУСТЕНИТНОЙ-НЕРЖАВЕЮЩЕЙ СТАЛИ

Аннотация: *В настоящей работе проведено исследования спектральных характеристик электрического разряда в процессе электролитно-плазменном азотировании, структурные и фазовые изменения, происходящие в аустенитной нержавеющей стали. Обработка проводилась в электролите, содержащем 10% кальцинирования сода (Na_2CO_3), 20% карбамид ($CO(NH_2)_2$) и 3% аммоний хлорид (NH_4Cl) при температуре 550 °C в течение 10 минут. Эмиссионная спектроскопия показала присутствие активных форм азота (N_2^+, N I), водорода (Hα) и кислорода (O I) в составе плазмы. Расчёт электронной плотности на основе уширения линии Hα серий Бальмера дал значение порядка 8.5 × 10¹⁸ см⁻³. Рентгенофазовый анализ выявил формирование нитридных фаз CrN и Fe_3N, а также твёрдого раствора азота в γ-Fe. Микроструктурные исследования с помощью РЭМ*

показали наличие трёхчленной структуры азотированного слоя: нитридной зоны, переходной области и исходный аустенитной матрицы. Энергодисперсионный рентгеновский анализ подтвердил наличие концентрационного градиента азота по глубине.

Ключевые слова: *электролитно-плазменное азотирование, электрический разряд, эмиссионная спектроскопия, электронная плотность, нитридный слой, поверхностная модификация.*

A. Maulit[1,2]*, Z.A. Satbayeva[1], R. Kozhanova[1,2], D. Baizhan[2], A. Rustemov[1]
[1]«Plasma Science» LLP,
East Kazakhstan region, Ust-Kamenogorsk, Gogol str., 7G
[2]Shakarim University,
Abai region, Semey, Glinka str., 20 A
*e-mail: maulit.almas@gmail.com

THE EFFECT OF THE ELECTROLYTE COMPOSITION ON THE MICROSTRUCTURE AND MECHANICAL PROPERTIES OF STEEL 45 AFTER CATHODIC ELECTROLYTE-PLASMA NITRIDING

Annotation: *In the present work, a study was conducted on the spectral characteristics of the electric discharge during the electrolytic plasma nitriding process, as well as the structural and phase changes occurring in austenitic stainless steel. The treatment was carried out in an electrolyte containing 10% soda ash (Na_2CO_3), 20% carbamide ($CO(NH_2)_2$), and 3% ammonium chloride (NH_4Cl) at a temperature of 550 °C for 10 minutes. Emis-sion spectroscopy revealed the presence of active nitrogen species (N_2^+, N I), hydrogen (Hα), and oxygen (O I) in the plasma composition. The calculation of electron density based on the broadening of the Hα line from the Balmer series yielded a value of ap-proximately 8.5 × 10^{18} cm^{-3}. X-ray phase analysis revealed the formation of nitride phases CrN and Fe_3N, as well as a solid solution of nitrogen in γ-Fe. Microstructural investigations using SEM revealed a three-layer structure of the nitrided layer: a ni-tride zone, a transition region, and the original austenitic matrix. Energy-dispersive X-ray analysis confirmed the presence of a nitrogen concentration gradient with depth.*

Key words: *electrolytic plasma nitriding; electric discharge; emission spectroscopy; electron density; nitride layer; surface modification.*

Сведения об авторах

Алмасбек Маулит* – докторант, Шәкәрім университет, научный сотрудник ТОО «PlasmaScience»; e-mail: maulit.almas@gmail.com. ORCID: https://orcid.org/0000-0002-0519-3222.

Зарина Аскарбековна Сатбаева – доктор PhD, Science professor исследовательский школы физических и химических наук, Шәкәрім университет, г. Семей, ведущий научный сотрудник ТОО «PlasmaScience»; e-mail: zarinavkgu@gmail.com. ORCID: https://orcid.org/0000-0001-7161-2686.

Рауан Сабырбековна Кожанова – докторант, Шәкәрім университет, старший научный сотрудник, ТОО «PlasmaScience»; e-mail: kozhanovars@yandex.kz. ORCID: https://orcid.org/0000-0002-5879-3002.

Дарын Рашидұлы Байжан – докторант, Шәкәрім университет; e-mail: daryn.baizhan@mail.ru. ORCID: https://orcid.org/0000-0002-9105-3129.

Ануар Саятбекұлы Рүстемов – студент специальности «Техническая физика», Шәкәрім университет, ВКТУ им. Д.Серикбаева, инженер ТОО «PlasmaScience»; e-mail: anuarrustemovv05@gmail.com.

Авторлар туралы мәліметтер

Мәуліт Алмасбек* – Шәкәрім университеті, «PlasmaScience» ЖШС, ғылыми қызыметкері; e-mail: maulit.almas@gmail.com. ORCID: https://orcid.org/0000-0002-0519-3222.

Зарина Аскарбековна Сатбаева – PhD докторы, физика және химия ғылымдарының ғылыми мектебі Science professor, Шәкәрім университеті, Семей қ. «PlasmaScience» ЖШС, жетекші ғылыми қызыметкері; e-mail: satbaeva.z@mail.ru. ORCID: https://orcid.org/0000-0001-7161-2686.

Рауан Сабырбековна Кожанова – Шәкәрім университеті докторанты, «PlasmaScience» ЖШС, аға ғылыми қызметкер; e-mail: kozhanovars@yandex.kz. ORCID: https://orcid.org/0000-0002-5879-3002.

Дарын Рашидұлы Байжан – Шәкәрім университеті докторанты; e-mail: daryn.baizhan@mail.ru. ORCID: https://orcid.org/0000-0002-9105-3129.

Ануар Саятбекұлы Рүстемов – «Техникалық физика» мамандығының студенті, Д. Серікбаев ат. «ШҚТУ» КЕАҚ, «PlasmaScience» ЖШС инженері; e-mail: anuarrustemovv05@gmail.com.

Information about the authors

Almasbek Maulit* – PhD student of the Shakarim University, Researcher at PlasmaScience LLP; e-mail: maulit.almas@gmail.com. ORCID: https://orcid.org/0000-0002-0519-3222.

Zarina Askarbekovna Satbayeva – PhD, Science Professor, Research School of Physical and Chemical Sciences, Shakarim University, Semey, Leading Researcher, PlasmaScience LLP; e-mail: satbaeva.z@mail.ru. ORCID: https://orcid.org/0000-0001-7161-2686.
Rauan Sabyrbekovna Kozhanova – Doctoral student of the Shakarim University, Senior Researcher, PlasmaScience LLP; e-mail: kozhanovars@yandex.kz. ORCID: https://orcid.org/0000-0002-5879-3002.
Daryn Rashiduly Baizhan – Doctoral student of the Shakarim University; e-mail: daryn.baizhan@mail.ru. ORCID: https://orcid.org/0000-0002-5879-3002.
Anuar Sayatbekovich Rustemov – student of the specialty «Technical Physics», VKTU named after D. Serikbaev, Engineer of TOO «PlasmaScience»; e-mail: anuarrustemovv05@gmail.com.

Редакцияға енуі 05.06.2025
Өңдеуден кейін түсуі 06.10.2025
Жариялауға қабылданды 07.10.2025

https://doi.org/10.53360/2788-7995-2025-4(20)-72

IRSTI: 53.01.91

BY 4.0
Check for updates

A.Z. Mutushev[1,2], A.B. Seisenova[1,3], O.S. Kapizov[1,3], D.K. Mukhanov[4,5*], J.M. Gonzalez-Leal[6]
[1]Scientific Center for New Technologies,
Almaty, Al-Farabi 7k, Nurly Tau Business Center, Block 5A, 334b, 050059, Kazakhstan
[2]Department of Chemistry, Chemical Technology and Ecology,
Almaty Technological University; Almaty, Tole bi st., 100, 050012, Kazakhstan
[3]AlAkSan,
Al-Farabi 7k, Nurly Tau Business Center, Block 5A, 334b, 050059, Kazakhstan
[4]Center for Advanced Science and Technology,
Akkainar Village, Zhambyl District, Almaty Region, Suranshy Batyr Street, 26, 040602, Kazakhstan
[5]Al-Farabi Kazakh National University,
71 al-Farabi Avenue, Almaty, 050040
[6]Universuty of Cadiz,
11510-Puerto Real, Cadiz, Spain
*e-mail: dd_511@mail.ru ;

PROCESSING OF AGRICULTURAL AND FOOD BIOWASTE BY PYROLYSIS: COMPOSITION, PREPARATION, AND APPLICATION PROSPECTS

Abstract: *In the context of the increasing accumulation of agricultural and food bio-waste (grain husks, straw, corn stalks, etc.), the development of efficient and environmentally safe processing technologies is a highly relevant task. The study analyzes modern methods of biomass utilization, including composting, anaerobic digestion, biopolymer production, and the manufacture of construction materials. Pyrolysis has been selected as the primary processing technology, as it enables the production of a wide range of products – biochar, liquid and gaseous fuels – that can be potentially applied in agriculture, energy, and industry. The chemical composition of the initial bio-waste (cellulose, lignin, ash-forming elements) is characterized, and the methods of their preparation (drying, grinding, pretreatment) are discussed. The results of laboratory studies are presented, confirming the effectiveness of pyrolysis in producing valuable products. A comparative assessment with existing analogues has been carried out, along with an analysis of the environmental benefits (reduction of CO_2 and CH_4 emissions, decrease in landfilled waste volumes) and an economic evaluation of the prospects for industrial implementation. It is shown that bio-waste processing by pyrolysis has high practical significance for addressing resource conservation and environmental protection challenges. The study demonstrates the potential applications of the obtained products as organic fertilizers, energy sources, sorbents, and components of construction materials. Promising directions for further research are identified, including combined processing technologies and the expansion of the spectrum of target products.*

Key words: *biowaste, pyrolysis, biochar, renewable resources, recycling, eco-technologies, sustainable development*.

1. Introduction

Modern agriculture and the food industry generate vast amounts of biowaste each year, primarily in the form of plant residues such as straw, cereal husks, corn stalks, sunflower husks, and

organic food waste. According to FAO estimates, the global volume of agricultural and food waste exceeds 1.3 billion tons annually – about one-third of all food produced [1]. If not properly utilized, this waste becomes a source of serious environmental problems. Uncontrolled decomposition releases greenhouse gases (CO_2, CH_4, N_2O), while uncontrolled disposal pollutes soil and water [2]. In many developing countries, open burning of agricultural residues remains a common practice, releasing fine particles and toxic compounds that degrade air quality and harm public health [3].Despite the considerable potential of biowaste as a feedstock for energy, organic fertilizers, sorbents, and advanced biomaterials, much of it is still managed inefficiently. Therefore, the development of integrated processing technologies is a key priority in the context of sustainable development, circular economy strategies, and reducing environmental impacts [4].

Agricultural biowaste generation is directly tied to the scale of crop production. For instance, cereal cultivation produces large amounts of by-products: on average, up to 1.3-1.5 tons of straw and husks per ton of grain. Globally, wheat straw accounts for more than 700 million tons annually, corn stalks nearly 1 billion tons, and rice husks over 150 million tons. Kazakhstan, like other agriculture-based economies, faces this challenge acutely. Millions of tons of straw, husks, and stalks are generated annually during crop cultivation and processing. Yet, most of this biomass is either burned or landfilled, representing not only an environmental burden but also a missed opportunity to generate energy, fertilizers, and value-added products [5].

The dominant disposal practices – burning and landfilling – intensify environmental risks. Burning straw, husks, and corn stalks is inexpensive but releases CO_2, CH_4, N_2O, and particulate matter ($PM_{2.5}$, PM_{10}), degrading both air quality and human health. Landfilling, in turn, causes anaerobic decomposition of biomass, releasing methane – a greenhouse gas 25 times more potent than CO_2 – while also creating risks of pathogen spread, soil contamination, and surface water pollution [6].

These drawbacks highlight the urgency of environmentally safe and resource-efficient solutions. Over recent decades, several biowaste processing technologies have been developed. Composting remains the most widely applied method, producing organic fertilizers and improving soil fertility, although it requires significant land and long processing times. Biogas and bioethanol production through fermentation offer dual benefits of waste utilization and renewable energy generation; in countries like Germany, China, and India, biogas plants have become integral to rural energy systems. Thermochemical conversion (pyrolysis, gasification, hydrothermal carbonization) shows promise in producing biofuels, biochar, and chemical intermediates, but high capital costs and energy demands hinder large-scale adoption [7].

Beyond energy, agricultural residues are increasingly explored as feedstock for new materials. Biopolymers such as PLA and PHA can be synthesized from starch-rich waste, offering biodegradable alternatives to petroleum-based plastics. Rice husks, corn stalks, and straw are used as fillers in lightweight construction composites [8], while pyrolysis products like ash and biochar serve as efficient sorbents for water and air purification. In animal husbandry, processed residues can even be converted into protein- and micronutrient-enriched feed additives [24 9]. These applications align with circular economy principles and open new market opportunities.

Nevertheless, widespread industrial implementation remains limited. Biowaste processing methods are often constrained by high energy inputs, expensive equipment, and the need for extensive pretreatment (e.g., grinding, hydrolysis, fermentation), which increase production costs [10]. Profitability is heavily scale-dependent, and at smaller volumes, operations are often unviable due to unstable markets and competition with conventional fuels and materials [11]. Logistics also poses a barrier: seasonal availability, bulky biomass, and high transportation costs complicate collection and storage. Moreover, insufficient government support – particularly in the form of subsidies, tax incentives, or concessional loans – slows technology adoption in many developing regions [12].

International experience illustrates both progress and persisting challenges. In the EU and North America, large-scale composting and biogas systems are widely adopted, combining effective waste management with renewable energy generation. In China and India, abundant feedstock availability and strong policy support have spurred bioethanol and biogas projects [13]. Yet, research still shows gaps: most studies emphasize single technologies rather than integrated systems capable of producing multiple value-added products from one feedstock. Additionally, challenges remain in integrating new biobased products, such as biodegradable plastics, into existing industrial and consumer markets due to higher costs and performance limitations. A striking imbalance also

persists: while developed countries are advancing in biowaste valorization, developing regions – despite generating enormous waste volumes – lack the infrastructure and investment needed for efficient utilization [12].

In summary, global experience demonstrates a wide range of solutions, from traditional composting to advanced biofuel and biomaterial production. However, none of the existing approaches is yet universal. Addressing biowaste challenges requires the development of integrated, resource-efficient, and economically viable technologies adapted to regional conditions.

2. Materials and Methods

2.1. Characteristics of the Initial Biowaste

The raw materials used in this study included the most common types of agricultural biowaste – cereal straw, corn stalks and cobs, as well as rice and sunflower husks. Their chemical composition is mainly represented by cellulose, hemicelluloses, lignin, extractives, proteins, and mineral ash.

The cellulose content in materials such as wheat straw, corn stalks, and cereal husks typically ranges from 35-45%, hemicelluloses from 20-30%, and lignin from 10-20%. The ash content of agricultural residues varies between 5-15%, depending on the type of crop and growing conditions [14]. The protein fraction in plant residues is relatively low – ranging from 2 to 6%; however, in sunflower husks and certain other crops, it can be higher.

A key feature of agri-biowaste is its high structural heterogeneity and variability in composition, which complicates processing and necessitates preliminary feedstock preparation. For instance, straw is characterized by a high content of silica and ash, which reduces its suitability for biofuel production without specialized treatment methods. Rice husks contain up to 15-20% silicon dioxide, making them a promising raw material for producing sorbents and construction materials.

Thus, understanding the chemical composition and specific characteristics of biowaste is crucial for selecting and optimizing processing technologies.

2.2. Feedstock Preparation Methods

The composition and preparation of feedstock play a crucial role in determining both the yield and the physicochemical properties of pyrolysis products – biochar, bio-oil, and syngas. The efficiency of the process depends not only on the chemical composition of the biomass but also on the method of its pretreatment prior to thermal conversion.

In this study, biowaste underwent a series of standard pretreatment steps, including drying, grinding, and preliminary cleaning, to ensure stable feedstock quality and efficient conversion (Table 1). Drying reduces the moisture content to below 10-15%, minimizing energy losses during pyrolysis and increasing the yield of condensable vapors (bio-oil). Excess moisture promotes the formation of water vapor, which can dilute volatile products and decrease the oil yield.

Table 1 – Main Stages of Biowaste Preparation and Processing

Stage	Conditions/methods	Aim
Drying	Convection drying chamber, 60-70°C, to <10% moisture	Prevents microbiological degradation, facilitates grinding, and preserves cellulose and hemicelluloses.
Crushing	Crushing to 2-5 mm fractions (hammer and disc crushers)	Increases specific surface area and reactivity during hydrolysis, pyrolysis, and fermentation.
Pre-treatment	Alkaline (NaOH, $Ca(OH)_2$) – removal of lignin and hemicelluloses • Steam explosion – disintegration of cell walls • Biological (cellulose-degrading microorganisms, enzymes) – gentle destruction	Increases cellulose availability, reduces energy consumption, and increases porosity.
Pyrolysis (main technology)	400-600°C, anoxic/low-oxygen environment.	Produces three products: • Solid residue (biochar, sorption material) • Liquid products (pyrolysis oil) • Gases (CO, CO_2, H_2, CH_4)

Grinding increases surface area and homogenizes particle size, improving heat transfer and ensuring more uniform pyrolysis; smaller particles tend to produce higher bio-oil yields, whereas larger particles typically generate more biochar due to limited internal heating. Pretreatment such as washing, acid or alkaline treatment, and catalyst impregnation can modify the mineral and organic composition of the feedstock. For example, alkaline pretreatment removes inorganic impurities that catalyze secondary cracking, thereby improving oil quality, while the addition of metal salts or clays can promote gas formation or regulate the porosity of biochar.

The intrinsic composition of biomass feedstock plays a decisive role in determining the distribution of pyrolysis products. Materials with a high lignin content (e.g., woody biomass) typically produce greater yields of biochar with high aromatic carbon and fixed carbon contents, making it suitable for applications such as sorbents and soil conditioners. Biomass with high cellulose and hemicellulose content (e.g., agricultural residues) generally yields more bio-oil, although with higher oxygen content and acidity, requiring additional upgrading prior to its use as a fuel. Feedstocks containing high ash levels (e.g., food waste or manure) promote catalytic cracking and gasification reactions, thereby increasing syngas production while lowering the yield of liquid fuels.

Under optimized laboratory conditions (Fig. 1), using a tubular furnace with precise temperature control and a nitrogen atmosphere, drying and homogenization ensured reproducible thermal profiles and reliable product yield measurements. At heating rates of 5-20°C/min and temperatures ranging from 400 to 600°C, a balance between solid, liquid, and gaseous products was achieved depending on the feedstock characteristics. Pilot-scale trials using a continuous screw reactor (capacity 2-5 kg/h) confirmed that biomass with appropriate preparation and a stable composition ensures steady operation, improved energy efficiency, and enhanced product quality.

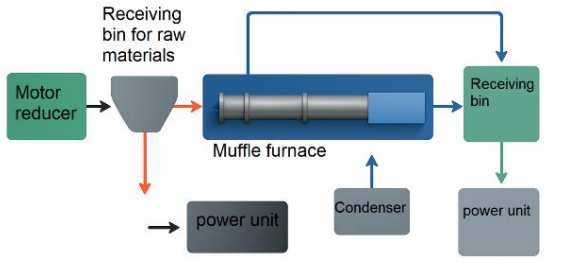


Figure 1 – Pyrolysis plant

In summary, the relationship between feedstock composition, pretreatment methods, and pyrolysis performance can be expressed as follows:

• Higher lignin content → increased biochar yield (a stable, carbon-rich solid).

• Higher cellulose/hemicellulose content → increased bio-oil production (an oxygen-rich liquid requiring upgrading)

• Higher ash or mineral content → increased syngas formation (an energy-rich gas).

• Proper drying → enhances bio-oil yield and energy efficiency.

• Fine grinding → improves heat transfer, uniform decomposition, and liquid product recovery.

• Chemical pretreatment → optimizes product composition and quality.

Therefore, careful feedstock preparation (as summarized in Table 1) directly determines not only the distribution of product yields but also the quality, stability, and potential applications of the resulting biochar, bio-oil, and syngas.

3. Results and Discussion

3.1 Efficiency of the Selected Technologies

The conducted studies confirmed the high efficiency of pyrolysis as a technology for biowaste processing. The results are presented in Figure 2. At a temperature of 450-550 °C, an optimal product distribution was observed: the yield of biochar was 28-35% of the dry feedstock mass, the liquid fraction (pyrolysis oil) accounted for 35-45%, and the gaseous products made up 20-30%. The obtained data are consistent with the results of previously published studies.

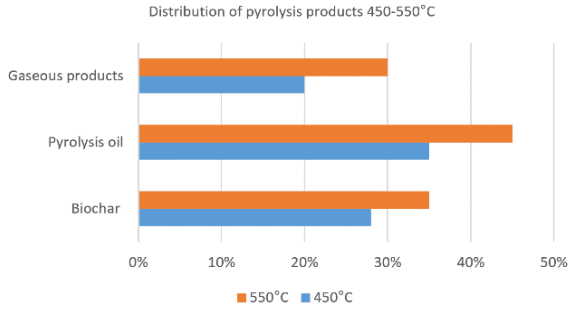


Figure 2 – Distribution of pyrolysis products at 450-550°C

The biochar characteristics were of particular importance. Analysis showed that it possessed a high specific surface area (up to 250 m²/g) and a well-developed porous structure, making it a promising material for use as an adsorbent, soil conditioner, and a component of composite materials. Elemental analysis revealed a decrease in atomic H/C and O/C ratios with increasing pyrolysis temperature, indicating enhanced aromaticity and stability of the carbon matrix.

The pyrolysis oil was characterized by a complex composition including phenolic compounds, oxygen-containing heterocycles, and organic acids. Despite its relatively high heating value, additional purification or catalytic upgrading is required before it can be used as a fuel.

The gaseous products consisted mainly of CO, H_2, and CH_4, which can be utilized as energy carriers to support the pyrolysis process itself. Thus, the technology demonstrated a closed-loop approach, where part of the products is used to meet the system's own energy requirements.

Overall, the results confirmed that pyrolysis of biowaste is an efficient technology for waste utilization and production of valuable products. However, to increase its economic feasibility, integration with purification and product upgrading methods is required.

The analysis of pyrolysis products showed that each of them possesses specific properties that open opportunities for practical application in various sectors.

3.2 Biochar (solid residue)

The T-Plot method was employed to evaluate the microporous structure of the sample using nitrogen adsorption data at liquid nitrogen temperature (77.3 K). A sample with a mass of 271 mg was analyzed, with nitrogen as the adsorbate, a saturated vapor pressure of 0.9900 bar, and an ambient temperature of 22.4°C. The total analysis time included 350 minutes of adsorption and 150 minutes of desorption.

In the obtained dependence of the adsorbed gas volume on the thickness of the hypothetical adsorption layer, a sharp increase in adsorption was observed at very low relative pressures ($P/P_0 < 0.01$). This indicates a significant development of microporosity, as micropores are filled first. With increasing pressure in the range $P/P_0 = 0.01$-0.1, the adsorption growth rate decreased, reflecting the formation of an adsorption layer and the possible involvement of small mesopores. At medium relative pressures ($P/P_0 > 0.1$), the curve became more gradual, indicating completion of micropore filling and transition to multimolecular adsorption on the external particle surface.

According to the T-Plot method, the linear portion of the dependence reflects adsorption on the external surface, while the excess adsorption compared to this trend corresponds to the contribution of micropores (Figure 3). Thus, the investigated sample can be characterized as a microporous material with a noticeable contribution from the external surface. The total volume of adsorbed nitrogen reached approximately 58.5 ml/g, which indicates a highly developed porous structure and significant specific surface area.

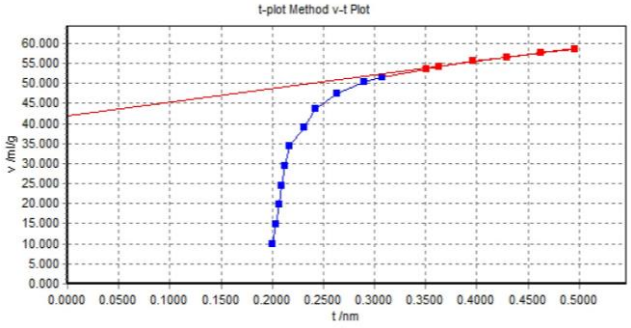


Figure 3 – T-Plot analysis of the sample

3.3 Pyrolysis oil (liquid fraction)

Chromatographic analysis revealed that the main components were phenolic and methoxyphenolic compounds (phenol, 2-methoxyphenol, 4-ethylphenol, cresol, catechol, vanillin, etc.) originating from lignin degradation. In addition, derivatives of furan, lactone, and carbohydrate series were identified (maltol, 1,4:3,6-dianhydro-α-D-glucopyranose), as well as a fatty acid (hexadecanoic acid) in the later retention region. Several unidentified compounds with a significant share (up to 10.7% for a single peak) were also detected (Figures 4-5).

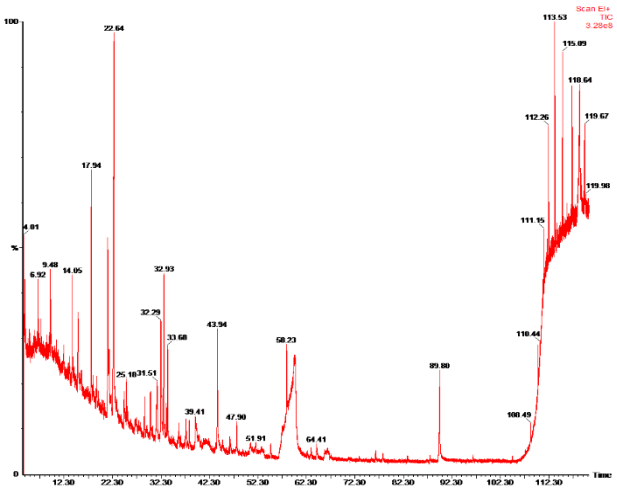


Figure 4 – Chromatogram of pyrolysis oil

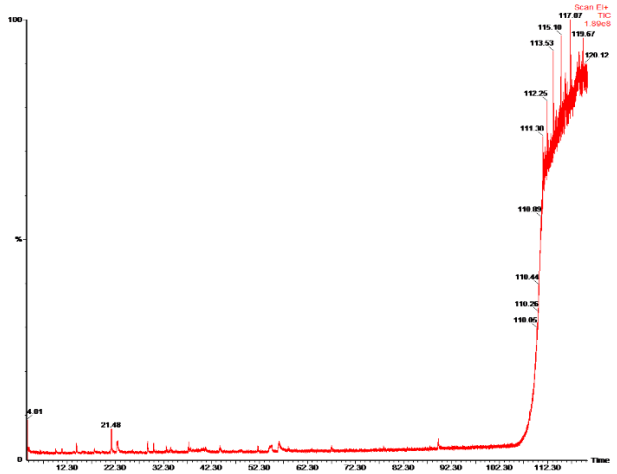


Figure 5 – Chromatogram of pyrolysis oil

Overall, the results confirmed the complex nature of the studied sample: it combined a microporous structure with a diverse chemical composition, including products of lignin, cellulose, hemicellulose, and other organic component decomposition. The obtained oil represented a complex mixture of phenolic, oxygenated, and hydrocarbon compounds. Its heating value was 16-19 MJ/kg, which is comparable to that of low-grade liquid fuels. However, its high acidity (pH 2-3) and instability limit direct application. After catalytic upgrading, pyrolysis oil can be used as boiler fuel or as a source of platform chemicals (furfural, phenols, organic acids) for the chemical industry.

3.4 Gaseous products

The gaseous products of pyrolysis included CO (20-30%), H_2 (10-20%), CH_4 (10-15%), and CO_2. Their calorific value was 5-10 MJ/m³, which allows the gas to be used for partially or fully covering the energy requirements of the pyrolysis process itself.

3.5 Application in construction materials

The study confirmed that pyrolysis products possess multifunctional value, suitable for applications in agriculture, energy, and industry. Biochar and ash can be incorporated into cement, concrete, and bricks manufacturing, improving material performance and resource efficiency. Experimental and pilot-scale data demonstrated that the incorporation of 5-10 wt% biochar increases compressive strength by 8-15%, reduces density by 5-10%, and enhances thermal insulation by 10-18% [15]

Quantitative environmental indicators highlight the potential for greenhouse gas mitigation. Each ton of biomass processed into biochar enables 0.8-1.2 t CO_2-eq of long-term carbon sequestration, while fuel replacement with pyrolysis oil and gas provides an additional 0.4-0.6 t CO_2-eq/t reduction. The overall reduction potential therefore reaches up to 1.8 t CO_2-eq per ton. Moreover, pyrolysis gas and part of bio-oil can supply 60-90% of the internal heat demand, improving the net positive energy balance [4-6].

Product quality metrics aligned with global values: biochar yields reached 28-35%, specific surface area up to 250 m²/g, exceeding typical 150-200 m²/g [7,8]. The calorific value of pyrolysis oil (16-19 MJ/kg) and gas (5-10 MJ/m³) confirms strong potential for on-site energy use or integration into fuel production [9].

A detailed techno-economic assessment demonstrated strong market feasibility. With a baseline processing cost of USD 80-100/t, revenue consists of three key streams: sale of biochar, sale of pyrolysis oil, and energy savings from pyrolysis gas utilization. A conservative scenario (0.15 t biochar × USD 150/t; 0.25 t bio-oil × USD 300/t; USD 5 energy savings) yields ≈ USD 102.5/t revenue, corresponding to 12-22% profitability. A typical scenario (0.30 t biochar × USD 200/t; 0.35 t bio-oil × USD 400/t; +USD 15) increases revenue to ≈ USD 215/t with 50-60% profit. An optimistic scenario (0.35 t biochar × USD 350/t; 0.40 t oil × USD 500/t; +USD 25) yields ≈ USD 347.5/t and >70% profit. These results confirm strong financial resilience even under conservative market conditions [10, 11].

Overall, the integration of biochar into construction materials supports circular economy goals and provides measurable environmental and economic benefits.

4. Conclusion

This study demonstrates the high relevance of developing and implementing technologies for the utilization of agricultural and agro-industrial biowaste. Using pyrolysis as a case study, it was shown that residues traditionally disposed of by burning or landfilling can be efficiently converted into valuable products, thereby reducing greenhouse gas emissions and mitigating environmental risks. Agricultural biowaste management remains challenged by large generation volumes, low utilization rates, and the ecological hazards of conventional disposal methods; however, pyrolysis offers an efficient pathway for comprehensive valorization. The process yields biochar, pyrolysis oil, and gas, all of which were confirmed to be suitable for applications in agriculture, energy, and industry. Environmental and economic assessments further indicate significant benefits, including lower CO_2 and CH_4 emissions, reduced waste accumulation, and profitability potential of 15-25%, making pyrolysis particularly attractive for small and medium-sized enterprises.

The findings highlight the practical potential of establishing local biowaste processing lines in agricultural regions, enabling soil fertility improvement through biochar application, the production of renewable fuels, and the creation of new industrial materials such as composites, bioplastics, and sorbents. These outcomes contribute not only to ecological sustainability but also to rural economic development through «green» job creation.

Future research should concentrate on integrating pyrolysis with complementary methods such as anaerobic digestion and hydrothermal carbonization to expand the spectrum of valuable products. Efforts are also needed to modify and functionalize biochar to enhance its sorption capacity, electrical conductivity, and durability, enabling its application in water treatment and energy storage systems. Further optimization of pyrolysis conditions could increase both yield and product quality, while agronomic studies are required to confirm the long-term benefits of biochar for different soils and crops. Finally, large-scale implementation will demand life-cycle and carbon footprint assessments, alongside integration into existing production chains.

The techno-economic and environmental feasibility assessment shows that the technology not only reduces CO_2 emissions, but also effectively mitigates methane formation: the avoidance of landfilling prevents up to 0.3-0.5 t CH_4-eq/t waste. More than 70-85% of the biowaste mass is converted into useful products, minimizing residue disposal. The cost – benefit ratio remains favorable even at small-scale production (1-5 t/day), with a payback period estimated at 2-4 years depending on plant configuration and product prices. Thus, pyrolysis simultaneously addresses climate mitigation, waste minimization, and profitability.

In conclusion, biowaste pyrolysis emerges as a practical and promising tool for sustainable development, combining environmental advantages with economic feasibility and supporting the broader transition toward a circular economy.

References

1. Global Food Losses and Food Waste / J. Gustavsson et al // Extent, Causes and Prevention. – 2011.

2. Renewable and Sustainable Energy Reviews / D.D. Pavani et al // Biochar-based adsorbents for carbon dioxide capture: A critical review. – 2020. – Vol. 119. – P. 109582. https://doi.org/10.1016/j.rser.2019.109582.

3. Hammami S.M. Identifying the determinants of community acceptance of renewable energy technologies / S.M. Hammami, S. chtourou, Abdelfattah // The case study of a wind energy project from Tunisia, Renewable and Sustainable Energy Reviews. – 2016. – Vol. 54. – P. 151-160. https://doi.org/10.1016/j.rser.2015.09.037.
4. Algae biotechnology for industrial wastewater treatment, bioenergy production, and high-value bioproducts / Ashfaq Ahmad et al // Science of The Total Environment. – 2022. – Vol. 806, Part 2. – P. 150585. https://doi.org/10.1016/j.scitotenv.2021.150585.
5. The Impact of China's Tightening Environmental Regulations on International Waste Trade and Logistics / Tran et al // Sustainability. – 2021. – Vol. 13, № 2. – P. 987. https://doi.org/10.3390/su13020987.
6. IPCC. (2021). Climate Change 2021: The Physical Science Basis. Contribution of Working Group I to the Sixth Assessment Report of the Intergovernmental Panel on Climate Change. Cambridge University Press. https://www.ipcc.ch/report/ar6/wg1/.
7. Technical, Economical, and Climate-Related Aspects of Biochar Production Technologies: A Literature Review. Sebastian Meyer, Bruno Glaser, and Peter Quicker Environmental Science & Technology. – 2011. – № 45 (22). – P. 9473-9483. https://doi.org/10.1021/es201792c.
8. A step towards durable, ductile and sustainable concrete / Babar Ali et al // Simultaneous incorporation of recycled aggregates, glass fiber and fly ash, Construction and Building Materials. – 2020. – Vol. 251. – P. 118980. https://doi.org/10.1016/j.conbuildmat.2020.118980.
9. Yafetto L. Valorization of agro-industrial wastes into animal feed through microbial fermentation / L. Yafetto, G.T. Odamtten, M. Wiafe-Kwagyan. // Helion. – 2023. – Vol. 9, Issue 4.
10. Moraes B. Anaerobic digestion of vinasse from sugarcane ethanol production in Brazil: Challenges and perspectives / B. Moraes, M. Zaiat, A. Bonomi // Renewable and Sustainable Energy Reviews. – 2015. – № 44. – P. 888-903. http://dx.doi.org/10.1016/j.rser.2015.01.023.
11. N. Scarlat Biogas: Developments and perspectives in Europe / N. Scarlat, J. Dallemand, F. Fahl // Renewable Energy. – 2018. – № 129. https://doi.org/10.1016/j.renene.2018.03.006. https://www.researchgate.net/publication/324070667_Biogas_Developments_and_perspectives_in_Europe
12. IRENA (2021). Renewable Energy Statistics 2021. International Renewable Energy Agency, Abu Dhabi. https://www.irena.org/publications/2021/Aug/Renewable-energy-statistics-2021.
13. Enhancement of methane production from anaerobic digestion of Erigeron canadensis via O2-nanobubble water supplementation / L. Pei et al // Chemosphere. – 2024. – № 354. – P. 141732. https://doi.org/10.1016/j.chemosphere.2024.141732. Epub 2024 Mar 16. PMID: 38499072.
14. Kinetic insights into the lignocellulosic biomass-based levulinic acid production by a mechanistic model / E.S. Lopes et al // Cellulose. – 2020. – № 27. – P. 5641-5663. https://doi.org/10.1007/s10570-020-03183-w.
15. Biochar-based cementitious materials: mechanical improvement and carbon sequestration potential / H. Zhang et al // Construction and Building Materials. – 2023. – № 389. – P. 131676.

Funding

This research has been/was/is funded by the Committee of Science of the Ministry of Science and Higher Education of the Republic of Kazakhstan (grant № BR28713383).

А.Ж. Мутушев[1,2], А.Б. Сейсенова[1,3], О.С. Капизов[1,3], Д.К. Муханов[4,5*], Х.М. Гонсалез-лил[6]

[1]Scientific Center for New Technologies,
050059, Республика Казахстан, Алматы, аль-Фараби 7к, блок 5 А,
[2]Алматинский технологический университет,
050012, Республика Казахстан, г. Алматы, Толе би 100,
[3]AlAkSan, 050059, Республика Казахстан, г. Алматы, аль-Фараби 7к, блок 5 А,
[4]Center for Advanced Science and Technology,
040602, Республика Казахстан, Алматинская область, с. Аккайнар, ул. Суранчи Батыра, 26,
[5]Казахский национальный университет имени аль-Фараби,
050040, Республика Казахстан, г. Алматы, пр. аль-Фараби, 71
[6]Университет Кадиз, 11510-Puerto Real, Кадиз, Испания
***e-mail: dd_511@mail.ru**

ПЕРЕРАБОТКА СЕЛЬСКОХОЗЯЙСТВЕННЫХ И ПИЩЕВЫХ БИОЛОГИЧЕСКИХ ОТХОДОВ МЕТОДОМ ПИРОЛИЗА: СОСТАВ, ПОДГОТОВКА И ПЕРСПЕКТИВЫ ПРИМЕНЕНИЯ

В условиях растущего накопления сельскохозяйственных и пищевых биоотходов (зерновой шелухи, соломы, кукурузных стеблей и т.д.) разработка эффективных и экологически безопасных технологий переработки является весьма актуальной задачей. В исследовании анализируются современные методы утилизации биомассы, включая компостирование, анаэробное сбраживание, производство биополимеров и производство строительных материалов. В качестве технологии первичной переработки был выбран пиролиз, поскольку он позволяет получать широкий спектр продуктов – биоуголь, жидкое и газообразное топливо, – которые потенциально могут быть использованы в сельском хозяйстве, энергетике и промышленности. Охарактеризован химический состав исходных биоотходов (целлюлоза, лигнин, золообразующие элементы) и рассмотрены способы их получения (сушка, измельчение, предварительная обработка). Представлены результаты лабораторных исследований, подтверждающие эффективность пиролиза при получении ценных продуктов. Была проведена сравнительная оценка с существующими аналогами, а также анализ экологических выгод (сокращение выбросов CO_2 и CH_4, уменьшение объемов размещаемых на свалках отходов) и экономическая оценка перспектив промышленного внедрения. Показано, что переработка биоотходов методом пиролиза имеет большое практическое значение для решения задач ресурсосбережения и охраны окружающей среды. Исследование демонстрирует потенциальное применение полученных продуктов в качестве органических удобрений, источников энергии, сорбентов и компонентов строительных материалов. Определены перспективные направления дальнейших исследований, включая комбинированные технологии переработки и расширение спектра целевых продуктов.

Ключевые слова: *биоотходы, пиролиз, биоуголь, возобновляемые ресурсы, вторичная переработка, экотехнологии, устойчивое развитие.*

А.Ж. Мутушев[1,2], А.Б. Сейсенова[1,3], Ө.С. Капизов[1,3], Д.К. Муханов[4,5*], Х.М. Гонсалез-лил[6]

[1]Scientific Center for New Technologies,
050059, Қазақстан Республикасы, г. Алматы, аль-Фараби 7к, блок 5А
[2]Алматы Технологиялық Университеті,
050012, Қазақстан Республикасы, Алматы, Толе би 100
[3]AlAkSan,
050059, Қазақстан Республикасы, Алматы, аль-Фараби 7к, блок 5А
[4]Center for Advanced Science and Technology,
040602, Қазақстан Республикасы, Алматы обл., Аққайнар ауылы Сураншы Батыр көш-сі, 26
[5]Әл-Фараби атындағы Қазақ ұлттық университеті,
050040, Қазақстан Республикасы, Алматы қ., әл-Фараби даңғылы, 71
[6]Кадиз университеті,
11510-Puerto Real, Кадиз, Испания
*****e-mail: dd_511@mail.ru

ПИРОЛИЗ ӘДІСІМЕН АУЫЛШАРУАШЫЛЫҚ ЖӘНЕ ТАҒАМДЫҚ БИОЛОГИЯЛЫҚ ҚОСПАЛАРДЫ ӨҢДЕУ: ҚҰРАМЫ, ДАЙЫНДАЛУЫ ЖӘНЕ ҚОЛДАНУ ПЕРСПЕКТИВАЛАРЫ

Ауыл шаруашылығы және азық-түлік биоқалдықтарының (астық қауызы, сабан, жүгері сабағы және т.б.) жинақталуының артуы жағдайында.), өңдеудің тиімді және экологиялық қауіпсіз технологияларын жасау өте өзекті міндет болып табылады. Зерттеу биомассаны кәдеге жаратудың заманауи әдістерін, соның ішінде компосттауды, анаэробты ас қорытуды, биополимерлерді өндіруді және құрылыс материалдарын өндіруді талдайды. Пиролиз негізгі өңдеу технологиясы ретінде таңдалды, өйткені ол ауыл шаруашылығында, энергетикада және өнеркәсіпте қолданылуы мүмкін көптеген өнімдерді – биокөміртекті, сұйық және газ тәрізді отынды өндіруге мүмкіндік береді. Бастапқы биоқалдықтардың (целлюлоза, лигнин, күл түзетін элементтер) химиялық құрамы сипатталады, оларды дайындау әдістері (кептіру, ұнтақтау, алдын ала өңдеу) талқыланады. Пиролиздің құнды өнімдерді шығарудағы тиімділігін растайтын зертханалық зерттеулердің нәтижелері келтірілген. Қолданыстағы аналогтармен салыстырмалы бағалау жүргізілді, сонымен қатар экологиялық тиімділікті талдау (CO_2 және CH_2 шығарындыларын азайту, полигон қалдықтарының көлемін азайту) және өнеркәсіптік іске асыру перспективаларын экономикалық бағалау жүргізілді.. Биологиялық қалдықтарды пиролиз әдісімен өңдеудің ресурстарды үнемдеу және қоршаған ортаны қорғау мәселелерін шешуде жоғары практикалық маңызы бар екендігі көрсетілген. Зерттеу нәтижесінде алынған өнімдердің органикалық тыңайтқыштар, энергия көздері, сорбенттер және құрылыс материалдарының компоненттері ретінде әлеуетті қолданылуы көрсетілген. Әрі қарайғы зерттеулердің перспективалық бағыттары анықталды, оның ішінде біріктірілген өңдеу технологиялары және мақсатты өнімдердің спектрін кеңейту.

Түйін сөздер: *биоқалдыру, пиролиз, биокөмір, жаңартылатын ресурстар, қайта өңдеу, эко-технологиялар, тұрақты даму.*

Information about authors

Alibek Zhumabekovich Mutushev – PhD, Scientific Center for New Technologies, Almaty Technological University; e-mail: alibek_090@mail.ru. ORCID: https://orcid.org/0000-0002-5047-5608.

Aknur Berdibayevna Seisenova – PhD, Scientific Center for New Technologies, AlAkSan, Almaty, Kazakhstan; e-mail: z_aknura@mail.ru. ORCID: https://orcid.org/0000-0002-8981-307X.

Omirzak Sembiuly Kapizov – Scientific Center for New Technologies, AlAkSan, Almaty, Kazakhstan; e-mail: ok-sir@mail.ru. ORCID: https://orcid.org/0000-0002-1979-7625.

Dauren Kabdrakimovich Mukhanov* – Department of Chemistry and Chemical Technology, Al-Farabi Kazakh National University, Center for Advanced Science and Technology, Almaty, Kazakhstan; e-mail: dd_511@mail.ru. ORCID: https://orcid.org/0009-0002-1645-8625.

González-Leal, Juan María – Professor, Department of Condensed Matter Physics, Faculty of Sciences, University of Cadiz, Puerto Real, Cadiz, Spain; e-mail: juanmaria.gonzalez@uca.es. https://orcid.org/0000-0003-1077-2197.

Сведения об авторах

Алибек Жумабекович Мутушев – PhD, Scientific Center for New Technologies, Алматинский технологический университет, Алматы, Казахстан; e-mail: alibek_090@mail.ru. ORCID: https://orcid.org/0000-0002-5047-5608.

Акнур Бердибаевна Сейсенова – PhD, Scientific Center for New Technologies, AlAkSan, Алматы, Казахстан; e-mail: z_aknura@mail.ru. ORCID: https://orcid.org/0000-0002-8981-307X.

Омирзак Сембиулы Капизов – Scientific Center for New Technologies, AlAkSan, Алматы, Казахстан; e-mail: ok-sir@mail.ru. ORCID: https://orcid.org/0000-0002-1979-7625.

Даурен Кабдракимович Муханов* – докторант факультета химии и химической технологии, Казахского национального университета имени аль-Фараби, Center for Advanced Science and Technology, Алматы, Казахстан; e-mail: dd_511@mail.ru. ORCID: https://orcid.org/0009-0002-1645-8625.

Хуан Мария Гонзалез-лил – Профессор кафедры физики конденсированных сред факультета естественных наук Университета Кадиса, Пуэрто-Реаль, Кадис, Испания; e-mail: juanmaria.gonzalez@uca.es. ORCID: https://orcid.org/0000-0003-1077-2197.

Авторлар туралы мәліметтер

Алибек Жумабекович Мутушев – PhD, Scientific Center For New Technologies, Алматы технологиялық университеті, Қазақстан; e-mail: alibek_090@mail.ru. ORCID: https://orcid.org/0000-0002-5047-5608.

Акнур Бердибаевна Сейсенова – PhD, Scientific Center For New Technologies, AlAkSan, Алматы, Қазақстан; e-mail: z_aknura@mail.ru. ORCID: https://orcid.org/0000-0002-8981-307X.

Өмірзақ Сембіұлы Қапизов – Scientific Center For New Technologies, AlAkSan, Алматы, Қазақстан; e-mail: ok-sir@mail.ru. ORCID: https://orcid.org/0000-0002-1979-7625.

Даурен Кабдракимович Муханов* – химия және химиялық технология факультетінің, әл-Фараби атындағы Қазақ ұлттық университетінің докторанты, Center for Advanced Science and Technology, Алматы, Қазақстан; e-mail: dd_511@mail.ru. ORCID: https://orcid.org/0009-0002-1645-8625.

Хуан Мария Гонзалез-лил – Кадис Университетінің жаратылыстану ғылымдары факультетінің конденсацияланған орта физикасы кафедрасының профессоры, Пуэрто-реал, Кадис, Испания; e-mail: juanmaria.gonzalez@uca.es. ORCID: https://orcid.org/0000-0003-1077-2197.

Received 23.09.2025
Revised 11.11.2025
Accepted 12.11.2025

https://doi.org/10.53360/2788-7995-2025-4(20)-73

МРНТИ: 61.61.01

CC BY 4.0
Check for updates

В.Ю. Тюканько, Р.А. Тарунин, В.А. Воропаева, Р.Р. Алпысов*, А.М. Умарова
Северо-Казахстанский Университет имени Манаша Козыбаева,
150000, Казахстан, Петропавловск, ул. Абая,18
*e-mail: sparkggvpeasy27@gmail.com

ИЗУЧЕНИЕ ТЕРМОДЕСТРУКЦИИ РОТАЦИОННЫХ КОМПОЗИТОВ В ПРОЦЕССЕ РЕЦИКЛИНГА ПУТЕМ ИССЛЕДОВАНИЯ ГИДРОФОБНОСТИ ИХ ПОВЕРХНОСТЕЙ

Аннотация: *В данной статье представлено исследование, посвященное изучению проблемы повторной утилизации полиэтилена (его вторичной переработки – рециклингу) методом ротационного формования. В научной литературе рециклинг ротационных марок полиэтилена (РПЭ) очень слабо изучен, а представленные данные часто противоречивы. Однако для*

производства емкостей, методом ротационного формования, с использование вторичного полиэтилена в промышленности необходимо учитывать его деградацию (проходящую в условиях рециклинга), для оценки которой авторы использовали методы: ИК-спектроскопию, атомно-силовую микроскопию, изучение гидрофобности поверхности РПЭ (путем замера краевого угла смачивания (КУС)) и механические испытания. Ввиду повсеместного использования данных емкостей (для хранения минерального удобрения, марки КАС28), изучали КУС РПЭ дистиллированной водой (после выдержки в среде КАС28) при различных технологических режимах их переработки (показатель PIAT). Показано, что рециклинг РПЭ приводит к образованию карбоксильных групп на поверхности полиэтилена и значительному росту его гидрофильности (КУС уменьшился до 36%). Выдержка в КАС28 так же увеличивает гидрофильность, изготовленных из вторичного и первичного РПЭ изделий (снижение краевого угла смачивания от 8% до 28%) независимо от рассматриваемых технологических параметров переработки. Показано, что наиболее влияющим фактором (из изученных) на гидрофильность РПЭ является – рециклинг. Установлено, что при дозировке до 15-25% вторичного полиэтилена в композитах наблюдаются лишь незначительные изменения прочностных характеристик (предела прочности и деформации), что позволяет рекомендовать частичное замещение первичного сырья без критических потерь в эксплуатационных свойствах (на вторичный полиэтилен). Это открывает перспективы для экономически целесообразного использования вторичного ПЭ в производстве ротационных композитов. Данное исследование может быть использовано для оценки деградации РПЭ в процессе его рециклинга и улучшения эксплуатационных свойств готовых изделий.

Ключевые слова: *ротационное формование, рециклинг, деградация, смачивание, полиэтилен.*

Введение

Ротационное формование (РФ) представляет собой уникальный технологический процесс переработки пластмасс для производства разнообразных изделий из полимеров, в основном из полиэтилена. Оно обеспечивает большую универсальность получаемых изделий (начиная от простых контейнеров для хранения сыпучих продуктов и заканчивая сложными конструкциями в автомобилестроении, медицине и аэрокосмической промышленности) [1, 2]. РФ является одним из быстрорастущих направлений переработки пластмасс в Республики Казахстан, однако исследований в области вторичной переработки ротационного полиэтилена (далее РПЭ) «рециклинга», в мире очень мало (в нашей стране не проводилось вовсе). Почти все проведенные исследования в области рециклинга пластмасс изучали такие процессы как: литье под давлением и экструзию пластиков [3]. Родоначальники научного изучения технологии РФ ученые королевского университета Белфаста провели цикл исследований по изучению влияния содержания вторичного полиэтилена на механические свойства ротационных композитов. В работе [4] показано, что введение в ротационные композиты вторичного РПЭ вызывает снижение прочности изделий, однако авторы утверждают, что смешивание первичного и вторичного полиэтилена для РФ может быть эффективным способом дальнейшей переработки пластмасс в условиях экономики замкнутого цикла. В результате изучения источников [5-7] можно сделать вывод о противоречивости результатов изучения рециклинга РПЭ.

Вместе с тем, имеющиеся в Республики Казахстан предприятия в области РФ заинтересованы в исследованиях в области рециклинга ПЭ для производства более дешевых емкостей, с использованием вторичного РПЭ. Для решения данной проблемы авторы статьи провели исследование оценки термодеструкции РПЭ, в процессе рециклинга. В процессе рециклинга РПЭ происходит два дополнительных его нагрева – при перемоле (до температуры 90-100ºС) и спекании (до температуры 180-210ºС), причем они проходят в кислородсодержащей атмосфере (воздух). Следовательно, возможно образование кислородсодержащих групп на поверхности изделий из РПЭ, поэтому для оценки его термодеструкции использовали методы: ИК-спектроскопию (для выявления кислородсодержащих групп), атомно-силовую микроскопию (для выявления морфологический изменений структуры) и изменение гидрофобности поверхности РПЭ (путем замера краевого угла смачивания (КУС)).

При разработки методики оценки гидрофобности РПЭ авторы столкнулись с эффектом «высокой пористости» изделий, изготовленных методом РФ. Количество пор на поверхности пластиковых изделий, изготовленных ротационным формованием, напрямую зависит от технологических параметров изготовления конкретного изделия [8-9]. При этом наличие

большого числа пор на поверхности изделия может значительно изменить гидрофобно/гидрофильные свойства поверхности полиэтилена. Для количественной оценки гидрофобно/гидрофильных свойств наружной поверхности полиэтиленовых изделий, изготовленных ротационным формованием, используется показатель «краевой угол смачивания (θ)». Краевой угол смачивания определяет способность жидкости растекаться и взаимодействовать с поверхностью твердого тела. Этот параметр часто используется для контроля за поверхностными свойствами материалов. Исследования, проведенные в работах Subedi, D.P. (2011) и Martins CI and Gil V (2020) [10], подтверждают, что краевой угол смачивания может служить надежным показателем для оценки гидрофобно/гидрофильных свойств поверхности материала. Смачиваемость поверхности пластмасс, мерой которой является краевой угол смачивания (θ), определяется как угол между касательной, проведенной к поверхности жидкости через точку соприкосновения трех сред и поверхностью твердого тела, при этом краевой угол смачивания отсчитывается от касательной в сторону жидкой фазы [11, 12].

Более 70% перерабатываемого сырья в ротационном формовании в Республики Казахстан приходиться на изготовление емкостей, в основном использующихся для хранения жидких минеральных удобрений, марки КАС-28. Поэтому краевой угол смачивания РПЭ изучали дистиллированной водой (после выдержки в среде КАС-28). В данной работе проведена оценка термодеструкции РПЭ в процессе рециклинга за счет изучения гидрофобно/гидрофильных свойств пластика, оцениваемых по краевому углу смачивания дистиллированной водой поверхности ротационного полиэтилена, ИК-спектроскопией и атомно-силовой микроскопией.

2. Экспериментальная часть

2.1 Материалы

Для исследований использовался первичный и вторичный (прошедший один цикл переработки – rРПЭ) линейный ротационный полиэтилен, марки ELTEX HD3850UA (далее «ELTEX») с плотностью 938кг/м^3 и индексом текучести (MFI) (190°C/2.16 kg) – 0,0044 kg/10 min, изготовитель фирма INEOS (Великобритания). В качестве пигмента использовался VYNAMON GREEN 600734 (PG7) изготовителя Heubach (Германия). Дополнительные пластификаторы, наполнители и модификаторы не применялись. Разделяющим агентом был фторопластовый лак с дисульфидом молибдена MODENGY® 1014 фирмы (MODENGY, Россия).

В качестве жидкого минерального удобрения использовали карбамид-аммиачную смесь, марки КАС-28 (плотность 1,28 кг/м^3), изготовитель – «Агросевер» (Россия). Её состав: аммиачная селитра (NH_4NO_3) – 40% (по массе), карбамид ($(NH_2)_2CO$) – 30% и вода (H_2O) – 30%.

2.2 Методика определения краевого угла смачивания

Краевой угол смачивания (θ) определяли на приборе ACAM (рис. 1) Индийской компании Apex Instruments.

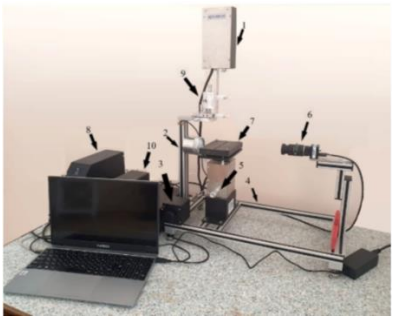


Рисунок 1 – Прибор для определения краевого угла смачивания ACAM

1 – модуль дозатора, 2 – источник света, 3 – регулятор интенсивности освещения, 4 – основание, 5 – регулятор поднятия столика, 6 – камера, 7 – столик с подложкой, 8 – главный контролер, 9 – системы настройки иглы по горизонтали и вертикали, 10 – двигатель модуля дозатора

Расчет краевого угла смачивания проводили в программе Apex Acam Software Virsion 2.026.088.1, поставляемой к прибору ACAM. В исследованиях использовали эллиптический метод расчета краевого угла смачивания [18]. Краевой угол смачивания определялся на трех местах/точках каждого образца полиэтилена и измерялся в каждом месте/точке три раза. В

работе приводятся результаты усредненных значений трех замеров в трех точках краевого угла смачивания.

2.3 Методика определения механических свойств композитов.

Механические испытания образцов исследованного полиэтилена проводились на разрывной машине марки HD–B617–S согласно ISO 527–2. Образцы для механических испытаний тестировали, при температурах (20±2) °C. Время выдержки между изготовлением и испытанием образцов составляло не менее 72 часов. Приведенные значения механических свойств основаны на среднем значении не менее восьми образцов (рис. 2).



а



б

Рисунок 2 – Разрывная машина, марки HD-B617-S (а), процесс разрыва образца (б)

При проведении механических испытаний определяли следующие характеристики ротационных композитов:

1. Процент растяжения при пределе текучести, %;
2. Процент растяжения при пределе прочности, %;
3. Предел прочности на разрыв, МПа.

2.4 Подготовка образцов и проведение испытаний

Определение угла смачивания проводили на образцах ротационного полиэтилена, любезно предоставленных ТОО «AVAGRO». Размеры образцов ротационного полиэтилена (далее ПЭ): 150×40×10мм. Образцы были предварительно отчищены от загрязнений, масла и других примесей с помощью ваты, смоченной медицинским спиртом (90% раствор этанола (C_2H_5OH) и растворителем 646 ГОСТ 18188-2020 (состава: толуол 50%, этанол 15%, бутанол 10%, бутилацетат 10%, этилцеллозольв 8% и ацетон 7%).

Затем все образцы были промаркированы с торца, спец. этикеткой.

После выдержки образцов ротационного полиэтилена, необходимое время, они извлекались, высушивались и определялся краевой угол смачивания дистиллированной водой (согласно п.2.2).

ИК-спектроскопия образцов полиэтилена была проведена на приборе, модели инфралюм ФТ-08.

Атомно-силовая микроскопия проводилось на сканирующем зондовом микроскопе Solver NANO производства компании NT-MDT Spectrum Instruments. Использовалась сканирующая туннельная измерительная головка в полу контактном колебательном режиме Semicontact. Скорость сканирования составляла 32,005 мкм/с. Максимальная область сканирования 92 мкм. Амплитудное значение колебаний зонда составляло 10 нм.

3. Результаты и обсуждение

3.1 Исследование влияния рециклинга ротационного полиэтилена (РПЭ) и его технологических режимов переработки на краевой угол смачивания

Влияние технологического параметра PIAT и продолжительности выдержки первичного РПЭ в жидком минеральном удобрении (Т, мин) на краевой угол смачивания (θ,°) дистилированной воды представлено на рисунке 3.

По мере увеличения PIAT (с 165 до 230°C) для образцов полиэтилена без выдержки в жидком минеральном удобрении, краевой угол смачивания уменьшился на 5%. Однако, при его экспозиции (выдержке) в ЖМУ (по мере такого же увеличения PIAT) краевой угол смачивания уже уменьшился на 6,3-7,5% (с 75,74±1° до 68,43±1° для времени выдержки 120 часов в КАС28). Следовательно, гидрофильность поверхности полиэтилена при контакте с

КАС28 возрастает. Влияние времени выдержки РПЭ в среде жидкого минерального удобрения КАС28 на краевой угол смачивания (θ,°) дистилированой водой представленно на рисунках 4 и 5.

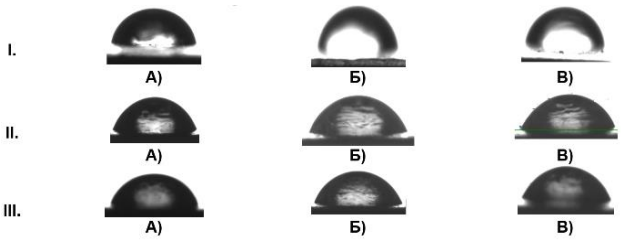


Рисунок 3 – Фотографии капель дистиллированной воды (при t=20°С) на первичном ротационном полиэтилене, марки ELTEX HD3850UA после выдержки в жидком минеральном удобрении, марки КАС28

(I) Без смачивания А) PIAT167, Б) PIAT198, В) PIAT230; (II) в течении 120 часов: А) PIAT167, Б) PIAT198, В) PIAT 230; (III) в течении 1440 часов: А) PIAT167, Б) PIAT198, В) PIAT 230

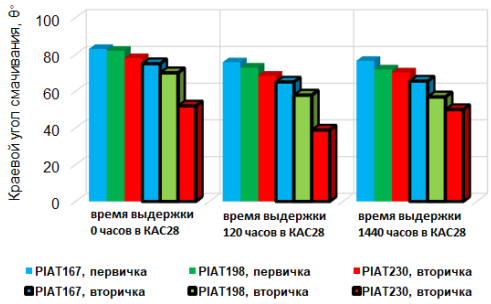


Рисунок 4 – Влияние на краевой угол смачивания (θ,°) дистилированной водой ротационного полиэтилена, марки ELTEX HD3850UA, технологического параметра PIAT и количество его переработок (первичный/вторичный) (при различном времени выдержки полиэтилена в среде жидкого минерального удобрения КАС28; при 0, 120 и 1440 часов)

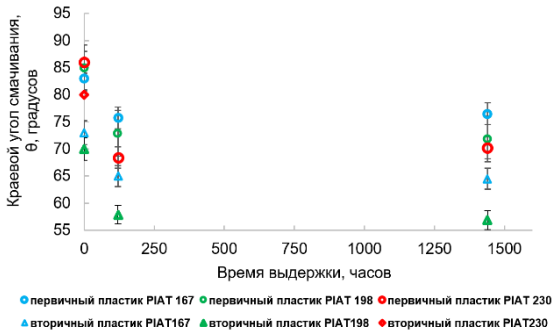


Рисунок 5 – Влияние на краевой угол смачивания (θ°) дистилированной водой времени выдержки в среде жидкого минерального удобрения (марки КАС28) и количество переработок (первичный/вторичный) ротационного полиэтилена, марки ELTEX HD3850UA

Выдержка в среде жидкого минерального удобрения в течении 60 дней (1440 часов), для технологически приемлемого значения PIAT198, вызывает стабильное уменьшение краевого угла смачивания ротационного полиэтилена для первичного на 15%, а для вторичного на 19%. При самом низком PIAT167 изменение краевого угла смачивания в аналогичных условиях для первичного ПЭ составило 8%, для вторичного – 12,5%. Однако при максимальном PIAT 230 (по мере выдержки в жидком минеральном удобрении в течении 1440 часов) депрессия θ составляет уже 28% для первичного ПЭ и 36% для вторичного. Следовательно, можно говорить о снижении гидрофобности поверхности полиэтилена по мере роста PIAT и количества циклов переработки пластика.

Для вторичного полиэтилена (rРПЭ). наблюдается значительное снижение гидрофобности (вообще без смачивания удобрением) вызванное прошедшим циклом ротационного формования. При котором происходит длительный нагрев в кислородсодержащей атмосфере в результате предполагается образование окисленного

слоя, содержащего большое число карбоксильных групп (рис. 5). Поэтому для вторичного ПЭ наблюдается аномально высокая депрессия θ в зависимости от PIAT от 12,5 до 36% (по результатам выдержки в жидком минеральном удобрении, марки КАС28).

Следовательно, в результате изучения КУС можно говорить о значительной термоокислительной деструкции полиэтилена в процессе вторичного ротационного формования (рециклинга), в независимости от технологического параметра PIAT. Поэтому в процессе разработки ротационных композитов, с использованием вторичного полиэтилена (rРПЭ) необходимо аккуратно дозировать его количество в рецептурах, для исключения резкого снижения механических свойств конечных изделий.

3.2 Исследование рециклинга ротационного полиэтилена и его технологических режимов переработки методами ИК-спектроскопии и атомно-силовой микроскопии.

Для выявления причины значительного увеличения гидрофильности исследованного РПЭ при увеличении PIAT и его рециклинге, была проведена ИК-спектроскопия образцов. Результаты ИК-спектроскопии представлены на рисунке 6.

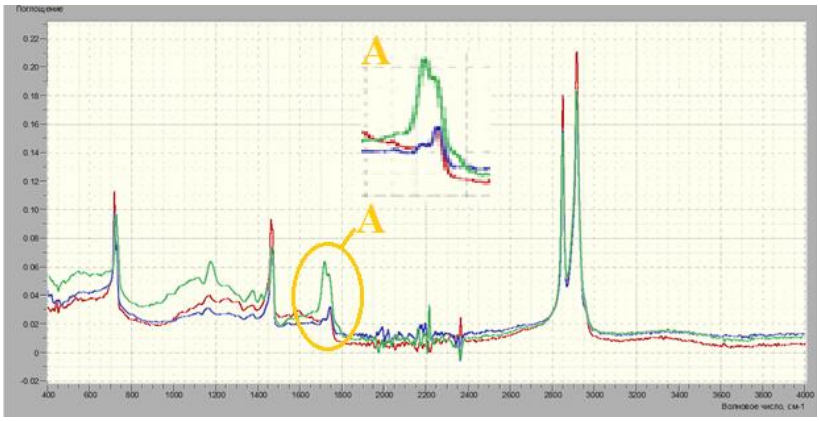


Рисунок 6 – ИК-спектры образцов первичного ротационного полиэтилена, марки марки ELTEX HD3850UA с различным PIAT
(синяя линия – 167С°; зеленая – 230С°; красная – 198С°)

Для первичного ротационного полиэтилена при росте PIAT свыше 210°С ИК-спектроскопией фиксируется значительный рост различных полярных групп, в частности, карбоксильных (появление пика 1740см$^{-1}$). Данное заключение подтверждается работами F.P.C. Gomes [13], который пришел к аналогичным выводам. Однако ввиду влияния различных эффектов поверхности (шероховатость, неровности и др.) на краевой угол смачивания нами проведено дополнительно исследование образцов РПЭ атомно-силовой микроскопией, представленное на рисунке 7.

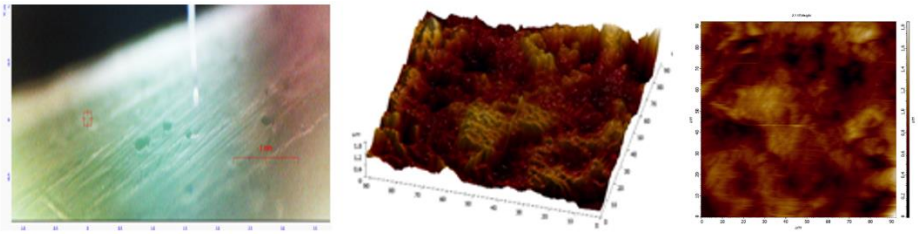


Рисунок 7 – Фотографии микропористости поверхности образца ротационного полиэтилена, марки ELTEX HD3850UA, PIAT 198
(получены на сканирующем зондовом микроскопе Solver NANO)

На всех образцах РПЭ атомно-силовой микроскопией выявлено значительное количество микропор. Так на исследованной площадке размера – 4,5 мм*0,5 мм выявлено 4 поры. Размеры данных пор варьируются в диаметре от 10 до 250 мкм и глубиной от 150нм до 125 мкм. Следовательно, с учетом результатов ИК-спектроскопии, увеличение гидрофильности РПЭ после выдержки в КАС28 может быть объяснено, тем, что жидкое удобрение проникая в микропоры при низком PIAT адсорбируется только физически, с

помощью сил Ван-дер-Вальса. А при рециклинге РПЭ удобрение проникая в микропоры окисленного полиэтилена, адсорбируется уже не только физически, а и с помощью хемосорбции (за счет образования водородной связи между полярными карбоксильными группами и поверхностно-активными веществами в составе удобрения КАС28). В результате гидрофильность поверхности полиэтилена значительно возрастает (по мере роста PIAT с 167 до 230°C краевой угол смачивания значительно увеличивает депрессию с 8 до 28%).

3.3 Влияние содержания вторичного ПЭ на механические свойства композитов.

В дополнение к изучению краевого угла смачивания была проведена оценка механических свойств ротационных композитов при различном содержании вторичного полиэтилена. Влияние содержания вторичного полиэтилена на предел прочности композитов представлено на рисунке 8.

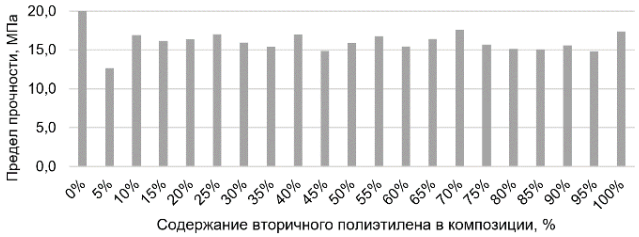


Рисунок 8 – Влияние содержания вторичного полиэтилена на предел прочности ротационных композитов

Введение вторичного полиэтилена незначительно снижает прочность ротационных композитов, порядка 15%. Влияние содержания вторичного полиэтилена на деформацию при пределе текучести (%) ротационных композитов представлено на рисунке 9, а при пределе прочности на рисунке 10.

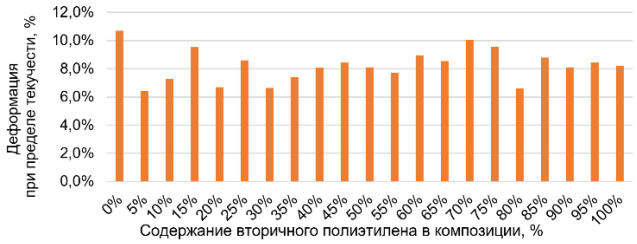


Рисунок 9 – Влияние содержания вторичного полиэтилена на деформацию при пределе текучести (%) ротационных композитов



Рисунок 10 – Влияние содержания вторичного полиэтилена на деформацию при пределе прочности (%) ротационных композитов

Введение вторичного полиэтилена незначительно снижает деформацию ротационных композитов при механических нагрузках. Даже при введении 5% вторичного полиэтилена наблюдается снижение всех ключевых показателей. Однако, при содержании вторичного ПЭ 25% в композиции механические свойства находятся в пределах допустимых технических значений. Несмотря на наблюдаемое снижение отдельных показателей, оно не носит критического характера и компенсируется рядом технологических и экономических преимуществ. В частности, при содержании вторичного ПЭ на уровне 15-25% сохраняется удовлетворительный уровень прочности и пластичности изделий, достаточный для большинства промышленных применений.

Таким образом, можно говорить о допустимости введения до 20-25% вторичного полиэтилена в ротационные композиции без значительного ущерба для механических свойств изделий. Учитывая более низкую стоимость вторичного/переработанного полиэтилена, его использование в данном диапазоне позволяет обеспечить снижение себестоимости конечного продукта и повышение экологической устойчивости производственного цикла, что особенно актуально в контексте перехода к принципам «зелёной» экономики и замкнутого материального оборота. Результаты подтверждают, что рациональное сочетание первичного и вторичного полиэтилена открывает возможности для создания эффективных и конкурентоспособных ротационных композитов.

4. Заключение

В результате проведённого исследования установлено, что рециклинг ротационного полиэтилена сопровождается термоокислительной деструкцией, выражающейся в образовании кислородсодержащих поверхностных групп, преимущественно карбоксильного типа, что подтверждено данными ИК-спектроскопии. Изменения в химической структуре поверхности сопровождаются повышением гидрофильности материала, о чём свидетельствует снижение краевого угла смачивания до 36%. Наиболее выраженное влияние на эти изменения оказывает сам факт повторной переработки, тогда как варьирование технологического параметра PIAT оказывает дополнительное, но менее значительное воздействие.

При введении вторичного полиэтилена в количестве от 20 до 25% обеспечиваются стабильно высокие механические свойства (предел прочности, деформации при пределе прочности и текучести) ротационных композитов. Это позволяет рекомендовать частичную замену первичного полиэтилена на вторичный без критического ухудшения эксплуатационных характеристик изделий. Таким образом, достигается баланс между экологическими и экономическими аспектами: введение до 25% переработанного материала в ротационные композиты обеспечивает снижение себестоимости продукции при сохранении её функциональности.

Полученные результаты могут быть использованы при разработке рецептур ротационных композитов с управляемой степенью рециклинга, направленных на оптимизацию свойств готовых изделий и повышение устойчивости производства к сырьевым ограничениям.

References

1. Revyako M.M. Chemical technologies, biotechnology, geoecology / M.M. Revyako, E.Z. Khrol // Journal Proceedings of BSTU. Series 2. – 2008.
2. Nugent P. Guide to the Development of Applied Plastics (second edition). – 2017.
3. La Mantia F.P. An additive model to predict the rheological and mechanical properties of polypropylene blends made by virgin and reprocessed components / F.P. La Mantia, M.C. Mistretta, V. Titone // Recycling. – 2021. – № 6. – P. 2.
4. Use of Virgin/Recycled Polyethylene Blends in Rotational Moulding / S.P. Cestari et al // J. Polym. Eng. – 2021. – № 41. – P. 509-516.
5. Compatibility of HDPE/Postconsumer HDPE Blends Using Compatibilizing Agents / E. Ramírez-Vargas et al // J. Appl. Polym. Sci. – 2006. – № 100. – P. 3696-3706.
6. Tesfaw S. Evaluation of Tensile and Flexural Strength Properties of Virgin and Recycled High-Density Polyethylene (HDPE) for Pipe Fitting Application / S. Tesfaw, O. Fatoba, T. Mulatie // Mater. Today. Proc. – 2022. – № 62. – P. 3103-3113.
7. Jian Zh. Blending Recycled High-Density Polyethylene HDPE (rHDPE) with Virgin (vHDPE) as an Effective Approach to Improve the Mechanical Properties / Zh. Jian, V. Hirschberg, D. Rodrigue // Recycling. – 2023. – № 8. – № 1.(2). https://doi.org/10.3390/recycling8010002.
8. Postnov V.I. Features of the preparation of a polymer polymer binder to reduce the porosity of fiberglass obtained by vacuum molding / V.I. Postnov, E.A. Veshkin, P.A. Abramov // Bulletin of the Samara Scientific Center of the Russian Academy of Sciences. – 2011. – 13, № 4(2). – P. 462-468.
9. Methods of molding aviation products from PCM(review) / E.D. Kolpachkov et al // Proceedings of VIAM. – 2019. – № 11(83). – P. 22-36.
10. Martini C.I. Processing – structure-properties of cork polymer composites / C.I. Martini, V. Gil // Polymer and Combined Materials. – 2020, Vol. 7.Dynamic pore wetting and its effects on porous

particle flotation: A review / Y. Mao et al // International Journal of Mining Science and Technology. – 2022, vol. 28, is. 6. – P. 1365-1378. https://doi.org/10.1016/j.ijmst2022.09.014
11. Yuan Y. Contact Angle and W etting Properties / Y. Yuan, T.R. Lee // Surface Science Techniques eds. G. Bracco, B. Holst. Berlin; Heidelberg: Springer. – 2013. – P. 3-34. https://doi.org/10.1007/978-3-642-34243-1.
12. Gomes P.C. Nondestructive evaluation of sintering and degradation for rotational molded polyethylene / P.C. Gomes, M.R. Thompson // Polymer Degradation and Stability. Volume 157, 2018, Pages 34-43, ISSN 0141-3910. https://doi.org/10.1016/j.polymdegradstab.2018.09.013.

Финансирование: *Данное исследование финансируется Комитетом науки Министерства науки и высшего образования Республики Казахстан (грант AP26104785).*

В.Ю. Тюканько, Р.А. Тарунин, В.А. Воропаева, Р.Р. Алпысов*, А.М. Умарова
Манаш Қозыбаев атындағы Солтүстік Қазақстан университеті,
150000, Қазақстан, Петропавл,Абай көшесі, 18
*e-mail: sparkggvpeasy27@gmail.com

АЙНАЛМАЛЫ ҚАЛЫПТАУДЫҢ ТЕХНОЛОГИЯЛЫҚ ПАРАМЕТРЛЕРІНІҢ ПОЛИЭТИЛЕНДІ ЫЛҒАЛДАНДЫРУДЫҢ ШЕТКІ БҰРЫШЫНА ӘСЕРІН ЗЕРТТЕУ

Бұл мақалада айналмалы қалыптау арқылы полиэтиленді қайта кәдеге жарату (оны қайталама өңдеу – қайта өңдеу) мәселесін зерттеу берілген. Ғылыми әдебиеттерде полиэтиленнің (РПЭ) айналмалы сорттарын қайта өңдеу өте нашар зерттелген және ұсынылған деректер көбінесе қарама-қайшы. Алайда, өнеркәсіпте қайталама полиэтиленді пайдалана отырып, айналмалы қалыптау әдісімен контейнерлерді өндіру үшін оның тозуы (қайта өңдеу жағдайында пайда болатын) ескерілуі керек, оны бағалау үшін авторлар келесі әдістерді пайдаланды: ИҚ-спектроскопия, атомдық күшті микроскопия, РПЭ бетінің гидрофобтылығын зерттеу (контакт бұрышын өлшеу арқылы) және механикалық сынақтар. Бұл ыдыстарды (минералды тыңайтқыштарды сақтауға арналған, KAC28 маркалы) кеңінен қолдануды ескере отырып, тазартылған сумен (KAS28 әсерінен кейін) РПЭ ББЗ оларды өңдеудің әртүрлі технологиялық режимдері (PIAT индикаторы) бойынша зерттелді. РПЭ қайта өңдеу полиэтиленнің бетінде карбоксил топтарының түзілуіне және оның гидрофильділігінің едәуір артуына әкелетіні көрсетілген (байланыс бұрышы 36%-ға дейін төмендеген). KAS28-де сақтау сонымен қатар қарастырылатын өңдеу параметрлеріне қарамастан қайталама және біріншілік РПЭ жасалған бұйымдардың гидрофильділігін арттырады (байланыс бұрышының 8%-дан 28%-ға дейін төмендеуі). РПЭ гидрофильділігіне ең әсер ететін фактор (зерттелетіндердің) қайта өңдеу екені көрсетілген. Композиттердегі қайталама полиэтиленнің 15-25% дейін дозаланғанда беріктік сипаттамаларында (созылу беріктігі мен деформациясында) шамалы ғана өзгерістер байқалатыны анықталды, бұл бастапқы шикізатты өнімділік қасиеттерін (қайталама полиэтиленмен) сыни жоғалтпай ішінара ауыстыруды ұсынуға мүмкіндік береді. Бұл айналмалы композиттер өндірісінде екінші реттік ПЭ-ді экономикалық тұрғыдан тиімді пайдалану перспективаларын ашады. Бұл зерттеуді қайта өңдеу кезінде РПЭ деградациясын бағалау және дайын өнімнің өнімділік қасиеттерін жақсарту үшін пайдалануға болады.

Түйін сөздер: *айналмалы қалыптау, қайта өңдеу, деградация, сулау, полиэтилен.*

V.Y. Tyukanko, R.A. Tarunin, V.A. Voropaeva, R.R. Alpysov*, A.M. Umarova
M. Kozybayev North Kazakhstan University,
150000, Petropavlovsk, Kazakhstan, Abaya str 18
*e-mail: sparkggvpeasy27@gmail.com

STUDY OF THE EFFECT OF TECHNOLOGICAL PARAMETERS OF ROTARY MOLDING ON THE WETTING EDGE ANGLE

This article presents a study of the problem of polyethylene re-utilization (its secondary processing – recycling) by rotational molding. In scientific literature, recycling of rotational grades of polyethylene (RPE) is very poorly studied, and the data presented are often contradictory. However, for the production of containers by rotational molding, using secondary polyethylene in industry, it is necessary to take into account its degradation (occurring under recycling conditions), for the assessment of which the authors used the following methods: IR spectroscopy, atomic force microscopy, study of the hydrophobicity of the RPE surface (by measuring the contact angle (CAA)) and mechanical tests. In view of the widespread use of these containers (for storing mineral fertilizer, grade KAS28), the CAA of RPE with distilled water (after exposure to KAS28)

was studied under various technological modes of their processing (PIAT indicator). It is shown that recycling of RPE leads to the formation of carboxyl groups on the surface of polyethylene and a significant increase in its hydrophilicity (the contact angle decreased to 36%). Keeping KAS28 also increases the hydrophilicity of products made of secondary and primary RPE (reduction in the contact angle from 8% to 28%) regardless of the processing parameters considered. It is shown that the most influential factor (of those studied) on the hydrophilicity of RPE is recycling. It was found that at a dosage of up to 15-25% of secondary polyethylene in composites, only minor changes in the strength characteristics (tensile strength and deformation) are observed, which allows us to recommend partial substitution of primary raw materials without critical losses in performance properties (with secondary polyethylene). This opens prospects for the economically feasible use of secondary PE in the production of rotational composites. This study can be used to assess the degradation of RPE during its recycling and improve the performance properties of finished products.

Key words: *rotational molding, recycling, degradation, wetting, polyethylene.*

Сведения об авторах

Виталий Юрьевич Тюканько – кандидат технических наук, PhD химии, доцент кафедры «Химия и химические технологии» Северо-Казахстанского Университета им. М. Козыбаева, Республика Казахстан, г. Петропавловск; e-mail: vetal3333@mail.ru. ORCID: https://orcid.org/0000-0002-1736-0283.

Роман Андреевич Тарунин – докторант, преподаватель кафедры «Химия и химические технологии» Северо-Казахстанского Университета им. М. Козыбаева, Республика Казахстан, г. Петропавловск; e-mail: ratarunin@ku.edu.kz. ORCID: https://orcid.org/0009-0008-5221-0663.

Вера Андреевна Воропаева – магистр технических наук кафедры «Химия и химические технологии» Северо-Казахстанского Университета им. М. Козыбаева, Республика Казахстан, г. Петропавловск; e-mail: vera0805023@inbox.ru. ORCID: https://orcid.org/0009-0006-6944-746X.

Рустам Русланович Алпысов* – магистрант кафедры «Химия и химические технологии» Северо-Казахстанского Университета им. М. Козыбаева, Республика Казахстан, г. Петропавловск; e-mail: sparkggvpeasy27@gmail.com. ORCID: https://orcid.org/0009-0004-2104-0551.

Айнель Муратбековна Умарова – студент кафедры «Химия и химические технологии» Северо-Казахстанского Университета им. М. Козыбаева, Республика Казахстан, г. Петропавловск; e-mail: ainekau@gmail.com. ORCID: https://orcid.org/0009-0001-0353-509X.

Авторлар туралы мәліметтер

Виталий Юрьевич Тюканько – техника ғылымдарының кандидаты, химия PhD, доцент, Солтүстік Қазақстан Университетінің «Химия және химиялық технологиялар» кафедрасы. М. Қозыбаева, Қазақстан Республикасы, Петропавл қаласы; e-mail: vetal3333@mail.ru. ORCID: https://orcid.org/0000-0002-1736-0323.

Роман Андреевич Тарунин – Солтүстік Қазақстан Университетінің «Химия және химиялық технологиялар» кафедрасының докторанты, оқытушысы. М. Қозыбаева, Қазақстан Республикасы, Петропавл қ.; e-mail: ratarunin@ku.edu.kz. ORCID: https://orcid.org/0009-0008-5221-0663.

Вера Андреевна Воропаева – техника ғылымдарының магистрі, Солтүстік Қазақстан Университетінің «Химия және химиялық технологиялар» кафедрасының түлегі М. Қозыбаева, Қазақстан Республикасы, Петропавл қ.; e-mail: vera0805023@inbox.ru. ORCID: https://orcid.org/0009-0006-6944-746X.

Рустам Русланович Алпысов* – Солтүстік Қазақстан Университетінің «Химия және химиялық технологиялар» кафедрасының магистранты. М. Қозыбаева, Қазақстан Республикасы, Петропавл қ.; e-mail: sparkggvpeasy27@gmail.com. ORCID: https://orcid.org/0009-0004-2104-0551.

Айнель Муратбековна Умарова – Солтүстік Қазақстан Университетінің «Химия және химиялық технологиялар» кафедрасының студенті. М. Қозыбаева, Қазақстан Республикасы, Петропавл қ.; e-mail: ainekau@gmail.com. ORCID: https://orcid.org/0009-0001-0353-509X.

Information about the authors

Vitaliy Tyukanko – Candidate of Technical Sciences, PhD in Chemistry, Associate Professor of the Department of Chemistry and Chemical Technologies of the M.Kozybayev North Kazakhstan University, Republic of Kazakhstan, Petropavlovsk; e-mail: vetal3333@mail.ru. ORCID: https://orcid.org/0000-0002-1736-0323.

Roman Tarunin – PhD student, Lecturer of the Department of Chemistry and Chemical Technologies of the M. Kozybayev North Kazakhstan University, Republic of Kazakhstan, Petropavlovsk; e-mail: ratarunin@ku.edu.kz. ORCID: https://orcid.org/0009-0008-5221-0663.

Vera Voropaeva – Master of Engineering Sciences, graduate of the Department of Chemistry and Chemical Technologies of the M. Kozybayev North Kazakhstan University, Republic of Kazakhstan, Petropavlovsk; e-mail: vera0805023@inbox.ru. ORCID: https://orcid.org/0009-0006-6944-746X.

Rustam Alpysov* – Master's student of the Department of Chemistry and Chemical Technologies of the M. Kozybayev North Kazakhstan University, Republic of Kazakhstan, Petropavlovsk; e-mail: sparkggvpeasy27@gmail.com. ORCID: https://orcid.org/0009-0004-2104-0551.

Ainel Umarova – Student of the Department of Chemistry and Chemical Technologies of the M.Kozybayev North Kazakhstan University, Republic of Kazakhstan, Petropavlovsk; e-mail: ainekau@gmail.com. ORCID: https://orcid.org/0009-0001-0353-509X.

Поступила в редакцию 25.09.2025
Поступила после доработки 14.11.2025
Принята к публикации 17.11.2025

https://doi.org/10.53360/2788-7995-2025-4(20)-74

МРНТИ: 31.27.21

CC BY 4.0
Check for updates

Э.Т. Ермолдина, Е.Ю. Степанова, А.С. Зенина, Ж.Ж. Жумабекова, А.Н Оразалиева*
Филиал РГП «Инфракос»,
050046, Казахстан, г. Алматы, пр. Абая 191
*e-mail: orazaliyevaaray@gmail.com

ВЛИЯНИЕ КОНЦЕНТРАЦИЙ УГЛЕВОДОРОДНОГО РАКЕТНОГО ТОПЛИВА НА РОСТ И МОРФОФИЗИОЛОГИЧЕСКИЕ ПОКАЗАТЕЛИ РЕДИСА В УСЛОВИЯХ ВЕГЕТАЦИОННОГО ОПЫТА

Аннотация: *Научное исследование посвящено оценке фитотоксического воздействия нефтепродуктов, в частности углеводородного ракетного горючего (УВГ), на растения. В лабораторных условиях в качестве тест-объекта использовался редис (Raphanus sativus L. var. sativus). Поводом для проведения работы стала необходимость экологической оценки почв, загрязнённых в районах падения частей ракетоносителей.*

Основная задача заключалась в определении взаимосвязи между степенью загрязнения почвы УВГ и изменениями морфофизиологических параметров у растения-индикатора. В исследовании применялись пять вариантов почвы: три опытных с содержанием УВГ в концентрациях 100, 500 и 1000 мг/кг, а также два контрольных образца – стандартный искусственный почвенный эталон (КМ) и почва с реальной загрязнённой территории (КФ). Биотестирование проводилось в течение шести недель. В ходе эксперимента фиксировались показатели всхожести, длины стеблей и корней проростков, по которым рассчитывались индексы токсичности.

Результаты продемонстрировали угнетающее влияние УВГ на развитие растений и прорастание семян. При минимальной концентрации в 100 мг/кг наблюдалось лишь незначительное сокращение длины побегов и корней. Однако при увеличении концентрации до 500 и 1000 мг/кг негативный эффект становился более выраженным: всхожесть семян снижалась до 40% и 25% соответственно, а длина стеблей и корней уменьшалась в 2-4 раза по сравнению с контрольными образцами.

Наблюдаемые изменения ясно указывают на дозозависимый характер токсичности УВГ. Полученные данные представляют практическую ценность для разработки нормативов оценки загрязнения, проведения экологического мониторинга и планирования мероприятий по восстановлению пострадавших территорий.

Ключевые слова: *фитотоксичность, ракетное топливо, углеводороды, загрязнение почвы, экотоксичность, экологическая безопасность.*

Введение. Одним из наиболее распространённых загрязнителей окружающей среды в районах падения отделяющихся частей ракетоносителей являются нефтяные углеводороды. Они представляют собой сложные смеси соединений, обладающие выраженным токсическим потенциалом. Для оценки их воздействия на природные экосистемы всё чаще применяются методы биотестирования, в том числе испытания на фитотоксичность с использованием высших растений как чувствительных индикаторов. Особенно актуальны такие исследования в случае, если загрязнители почвы известны или подозреваются как фитотоксичные [1-4].

Фитотоксичность проявляется в угнетении жизнедеятельности растений: нефтяные углеводороды способны вызывать структурные изменения в клетках и тканях, нарушать

процессы роста и метаболизма, вплоть до гибели растительных организмов. При этом краткосрочные тесты (например, по всхожести семян) позволяют оценить острые токсические эффекты, в то время как долгосрочные опыты (с учётом биомассы, длины корней и стеблей) – выявить хроническое воздействие [1-4].

Присутствие нефти и её производных в почве вызывает нарушения водно-воздушного режима и снижение доступности питательных веществ. Почва теряет свои физико-химические свойства, ухудшается её структура и состав, особенно гумусовый горизонт, в котором резко увеличивается содержание углерода. Из-за гидрофобных свойств нефтепродуктов корни растений испытывают дефицит влаги, подавляется фотосинтез и нарушаются окислительно-восстановительные процессы, что ведёт к снижению активности ферментов и микроорганизмов. Всё это приводит к потере почвенного плодородия и выбыванию таких земель из сельскохозяйственного использования [5-8].

В дополнение к химическим анализам, биологические методы, основанные на реакции живых организмов на загрязнение, являются важнейшим инструментом мониторинга. Фитотестирование как форма биотестирования позволяет получить количественные и качественные данные о токсичности почвы, используя параметры роста и развития растений, культивируемых в загрязнённых образцах, по сравнению с контрольными условиями [9-12].

В этой работе рассматривается влияние различных концентраций углеводородного ракетного горючего на показатели прорастания и морфометрии редиса *(Raphanus sativus L.)* как индикаторного растения. Исследование направлено на выявление степени фитотоксичности УВГ и её зависимости от уровня загрязнения почвы.

В ракетах-носителях типа «Союз» в качестве топлива используется керосин марок Т-1 и РГ-1, относящийся к керосиновому типу углеводородных ракетных топлив. Эти топлива представляют собой сложные фракции, включающие преимущественно алифатические (нормальные и разветвлённые) алканы, циклоалканы (нафтены) и ароматические углеводороды. В обобщённом виде состав этих классов можно представить формулами: C_nH_{2n+2} (алканы), C_nH_{2n} (циклоалканы) и C_nH_{2n-6} (ароматические соединения). Типичными представителями, иллюстрирующими состав Т-1 и РГ-1, являются: н-декан ($C_{10}H_{22}$), н-додекан ($C_{12}H_{26}$), н-гексадекан ($C_{16}H_{34}$) – алифатические алканы; циклогексан (C_6H_{12}), метилциклогексан (C_7H_{14}) – циклоалканы; бензол (C_6H_6), толуол (C_7H_8), этилбензол (C_8H_{10}), ксилолы (C_8H_{10}) – ароматические углеводороды (ГОСТ 10227-86 «Топлива для реактивных двигателей. Технические условия»). Эти компоненты определяют физико-химические свойства топлив – гидрофобность, низкую летучесть лёгких фракций, устойчивость в почве – и во многом объясняют их фитотоксичность при загрязнении почв. Следует учитывать, что массовое соотношение компонентов в Т-1 и РГ-1 варьирует в зависимости от источника и метода очистки, поэтому при аналитической оценке целесообразно указывать как общие классы (с формулами), так и их типичных представителей (табл. 1).

Таблица 1 – Усредненный групповой состав ракетного керосина марки Т-1 и РГ-1

Характеристики состава	Группы углеводородов			
	алканы	циклоалканы	арены	олефины
Содержание Т-1, % масс.	~25-30	~70	<5	отсутствуют
Содержание РГ-1, % масс.	~30-50	~40-60	15-20	1,0-1,5

Материалы и методы. Для проведения оценки фитотоксичности нефтепродуктов в образцах почвы использовались действующие нормативные документы и научно-методические источники, регламентирующие биотестирование и экологическую оценку:

- Методические указания по гигиеническому обоснованию ПДК химических веществ в почве № 2609-82 от 05.08.1982 г.;
- ГОСТ Р ISO 22030-2009 «Биологические методы. Хроническая фитотоксичность в отношении высших растений»;
- МУ 2.1.7.730-99 «Гигиеническая оценка качества почвы населённых мест»;
- ISO 11269:2012 «Качество почвы. Определение воздействия загрязняющих веществ на флору почвы», части 1 и 2;
- ГОСТ ISO 14507-2015 «Качество почвы. Предварительная подготовка проб для определения органических загрязняющих веществ»;

- ГОСТ Р ИСО 18763-2019 «Качество почвы. Определение токсического воздействия загрязняющих веществ на всхожесть и рост на ранних стадиях высших растений» (ISO 18763:2016);
- ГОСТ 12038-84 «Семена сельскохозяйственных культур. Методы определения всхожести».

В качестве теоретической основы использованы научные труды Кабирова Р.Р. [17], Багдасаряна А.С. [20], Богатыревой Е.Н. и др. [18], Поповой Е.И. [16], Прусаченко А.В. и др. [19], а также учебно-методическое пособие Галицкой П.Ю. и соавт. [21].

Оценка фитотоксичности проводилась с опорой на следующие показатели:

– при постановке вегетационных опытов с микро- и макроэлементами и другими веществами в почве, для которых отсутствует ПДОК в пищевых продуктах, берется набор растений, который по окончании опыта даст возможность рассчитать количество изучаемого вещества, которое поступает в организм человека с растительным рационом (растения, которые широко используются в питании человека: злаки (лучше пшеница), картофель, морковь, свекла, горох, редис, листовые овощи) (Методические указания по гигиеническому обоснованию ПДК химических веществ в почве №2609-82 от 05.08.82 г.);

– метод определения токсичности почвы с использованием теста прорастания и роста растений основан на сравнении всхожести и раннего роста однодольных и двудольных растений в исследуемой почве и/или в серии смесей с содержанием контрольной почвы (ГОСТ Р ИСО 18763-2019);

– энергия прорастания растительной тест-культуры Попова Е.И. [16] не должна быть менее 75% (среднее для всех повторов) (ГОСТ Р ИСО 22030-2009).

$$B = \frac{a}{b} \times 100\ (\%) \quad (1)$$

где *B* – энергия прорастания, *a* – число проросших семян, *b* – общее число семян, взятых для опыта.

– процентное замедление прорастания семян и роста корней для каждого растения, как разность этих показателей в контрольной и в исследуемой почвах, отнесенное к контрольному значению (формула 2) (ГОСТ Р ИСО 18763-2019):

$$\left(\frac{A-B}{A}\right) \times 100\% \quad (2)$$

где *A* – среднее значение всхожести семян или длины корней или длины самого длинного корня в контрольной почве; *B* – среднее значение всхожести семян, или длины корней или длины самого длинного корня в исследуемой почве.

– индекс фитотоксичности (ИТФ), как отношение значения регистрируемой тест-функции в опыте к значению регистрируемой тест-функции в контроле (Р.Р. Кабиров, 1995) [17]:

$$\text{ИТФ} = \frac{\text{ТФ}_\text{О}}{\text{ТФ}_\text{К}} \quad (3)$$

где *ИТФ* – индекс токсичности; $Т_{фо}$ – значение регистрируемой тест-функции в опыте; $Т_{фк}$ – значение регистрируемой тест-функции в контроле.

– процент ингибирования развития проростков тестируемых растений (Е.Н. Богатырёва с соавторами, 2020) [18]:

$$\text{И} = 100 - \frac{O \times 100}{K} \quad (4)$$

где *И* – изменение развития ростков или корней проростков, %; *О* – длина ростков или корней проростков, мм; *К* – длина ростков или корней проростков без нагрузок, мм.

– обобщенный критерий токсичности тест-функций энергии прорастания семян, длин ростка и корня тест-культур ИТФср, как осредненная величина ИТФ для каждого объекта (А.В. Прусаченко с соавторами, 2010) [19]:

$$\text{ИТФ}_\text{ср} = \frac{\text{ИТФ}_1 + \text{ИТФ}_2 + \text{ИТФ}_3 + \cdots + \text{ИТФ}_n}{n}, \quad (5)$$

где $ИТФ_{ср}$ – среднее значение индекса токсичности, $ИТФ_1$, $ИТФ_2$, $ИТФ_3$ и т.д. - индекс токсичности, рассчитанный для каждого тест-объекта; *n* – количество тест-объектов, задействованных в эксперименте для конкретного участка.

Объекты исследования

Для моделирования загрязнения почвы углеводородным ракетным топливом (УВГ) образцы предварительно просеивали, высушивали и увлажняли до 60 % полной влагоёмкости. Внесение топлива осуществляли не поверхностным проливом, а методом равномерного перемешивания топлива с подготовленной почвенной массой, что обеспечивало однородное распределение вещества по всему объёму образца. Такой подход позволял имитировать равномерное загрязнение и снижал вариативность результатов между повторностями опыта.

Объектами исследования на фитотоксичность ракетных углеводородов являются 5 образцов почвы, включая 3 образца, обработанных ракетным углеводородным горючим (УВГ), 100 мг/кг а также 2 контрольных образца, не загрязненных углеводородами, в том числе:УВГ-100 – загрязнение 100 мг/кг;

– УВГ-100 (концентрация УВГ в почве);

– УВГ-500 (концентрация УВГ в почве 500 мг/кг);

– УВГ-1000 (концентрация УВГ в почве 1000 мг/кг);

– КФ (почва из района падения отделяющихся частей ракеты-носителя);

– КМ (модельный почвенный эталон, МПЭ).

Биотестирование проводилось методом проростков с использованием тест-культуры редиса *Raphanus sativus L. var. sativus*, сорта «Краса Алтая». Метод базировался на сравнении морфофизиологических показателей проростков, выращенных в загрязнённых и контрольных почвах.

Семена высевались в пластмассовые горшки с перфорированным дном. На дно укладывался дренаж из керамзита среднего размера, затем – исследуемая почва. В каждый горшок высаживали по 20 семян с интервалом 20-25 мм (рис. 1).



Рисунок 1 – Засев индикаторного растения в почву

Выращивание проводилось при одинаковых условиях освещения и температуры в течение 6 недель. Период наблюдения начинался с момента прорастания семян. Каждую неделю проводились измерения длины стебля и корня у случайно выбранных проростков (по 3 экземпляра в каждой группе; при низкой всхожести – по 2 и менее растений). Всхожесть оценивалась на первой и второй неделях (рис. 2, 3).

Пробоподготовка, отбор и транспортировка почвенных образцов осуществлялись согласно требованиям ГОСТ 17.4.4.02-2017. Перед использованием почвы предварительно просеивали и увлажняли до оптимальной влажности для проращивания. Загрязнение образцов УВГ производилось в расчётных концентрациях.



Рисунок 2 – Иллюстрация метода измерения длины стебля и корня проростков редиса

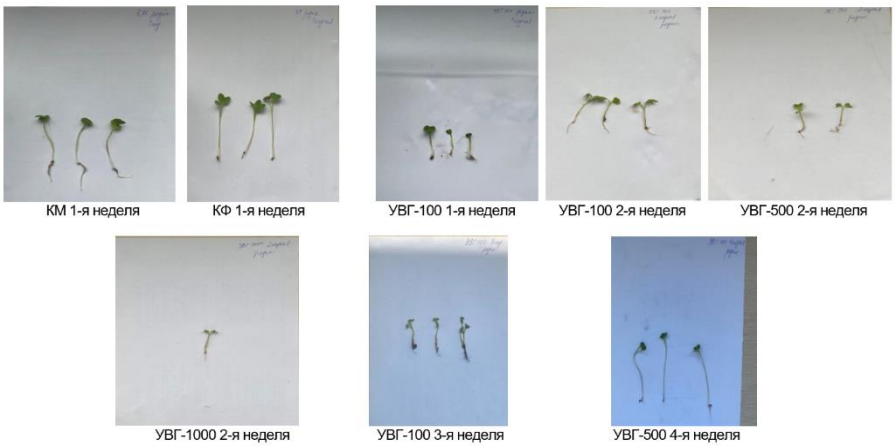


Рисунок 3 – Проростки редиса в контрольных и экспериментальных почвах на разных этапах эксперимента

Результаты и обсуждение

Данные по всхожести семян редиса в экспериментальных и контрольных образцах почв приведены в таблице 2.

Таблица 2 – Всхожесть семян индикаторного растения редиса в образцах почв

Период	Соотношение числа проростков / общее количество семян в почвах (%)				
	экспериментальные почвы			контрольные почвы	
	УВГ-100	УВГ-500	УВГ-1000	КФ	КМ
1 неделя	20/20 (100%)	8/20 (40%)	5/20 (25%)	15/20 (75%)	20/20 (100%)
2 неделя	*	17/20 (85%)	10/20 (50%)	*	*
Примечание: «» – без изменений в числе проростков редиса*					

На первой неделе наблюдения процент всхожести семян индикаторного растения редиса составляет 100% для контрольной почвы *КМ* (модельный почвенный эталон создан специально для эксперимента) и для почвенного образца с дозой углеводородов 100 мг/кг (*УВГ-100*). В контроле *КФ* (почва отобрана на месте падения ОЧ РН) взошло 75% семян биоиндикатора. Наименьшая всхожесть семян отмечается в образцах с нагрузкой 500 мг/кг (*УВГ-500*) и 1000 мг/кг (*УВГ-1000*), соответственно, 40% и 25%. После второй недели наблюдения в образцах *УВГ-500* и *УВГ-1000* всхожесть семян выросла до 85% и 50%, соответственно.

Концентрация углеводородов в почве начиная с 500 мг/кг и выше выявляется ингибирующий эффект УВГ на динамику и энергию прорастания семян редиса. На следующем этапе эксперимента по оценке фитотоксичности нефтепродуктов в почве измерена длина проростков и корней в динамике до 6-ти недель. Результаты замеров представлены в таблице 2.

На протяжении шести недель эксперимента наблюдалась чёткая зависимость морфологических характеристик редиса – растения-индикатора – от уровня загрязнения почвы углеводородным ракетным топливом (УВГ).

Уже на первой неделе наибольшая длина стеблей была зафиксирована в контрольных образцах: КФ – 6,8±0,3 см и КМ (модельный почвенный эталон) – 6,0±0,0 см. В опытных вариантах, содержащих УВГ, наблюдалось явное снижение роста в зависимости от концентрации загрязнителя: у растений, выращенных на УВГ-100, стебли достигали в среднем 3,3±0,6 см, на УВГ-500 – 2,0±0,0 см, а в самой загрязнённой почве (УВГ-1000) – всего 1,8±0,3 см (рис. 4).

Похожая картина наблюдалась и при оценке длины корней. Максимальные значения были отмечены в контрольной почве КМ (2,7±0,8 см), тогда как в загрязнённых вариантах корни заметно укоротились: в УВГ-100 – до 0,8±0,3 см, в УВГ-500 – до 0,4±0,06 см, в УВГ-1000 – 0,5±0,0 см. Любопытно, что в последнем случае прослеживалась слабая тенденция к увеличению длины корней, хотя показатели оставались крайне низкими (рис. 5).

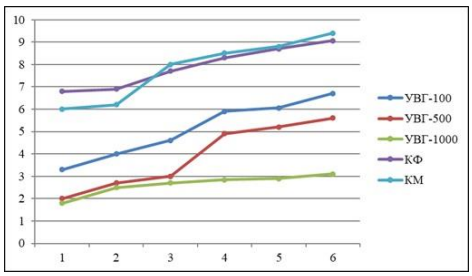


Рисунок 4 – Динамика роста стебля редиса при различных концентрациях углеводородного ракетного топлива

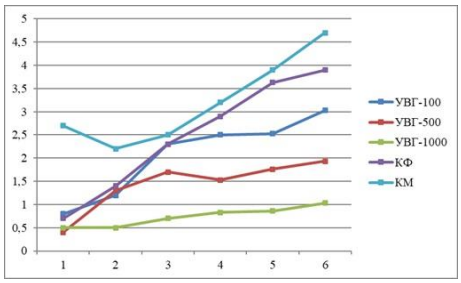


Рисунок 5 – Динамика роста корня редиса при различных концентрациях углеводородного ракетного топлива

Ко второй неделе наблюдений во всех вариантах, включая загрязнённые, отмечался рост проростков. Средняя длина стеблей в УВГ-100 составила 4,0±1,0 см, в УВГ-500 – 2,7±0,9 см, в УВГ-1000 – 2,5±0,0 см. Для сравнения: в контрольных образцах эти значения были значительно выше – 6,9±0,7 см (КФ) и 6,2±0,6 см (КМ). Длина корней в вариантах УВГ-100 и УВГ-500 составила соответственно 1,2±0,5 см и 1,3±0,3 см, тогда как в УВГ-1000 изменений по сравнению с первой неделей не произошло (осталось на уровне 0,5 см).

На третьей и четвёртой неделях продолжилась отчётливая тенденция к замедлению роста растений при возрастании концентрации загрязнителя. В контролях КФ и КМ средняя длина стеблей достигала 7,7±1,2 см и 8,0±1,0 см соответственно, в то время как в загрязнённых почвах значения были заметно ниже: в УВГ-100 – 4,6±0,6 см, в УВГ-500 – 3,0±0,1 см, в УВГ-1000 – 2,7±0,2 см (третья неделя); на четвёртой неделе – УВГ-100 – 5,9±0,2 см, УВГ-500 – 4,9±1,0 см, УВГ-1000 – 2,85±0,07 см.

При этом длина корней в группе УВГ-100 оставалась сравнимой с контрольными значениями, тогда как в УВГ-500 она уменьшалась почти в два раза, а в УВГ-1000 – более чем в 3,5 раза, что свидетельствует о сильном угнетающем эффекте.

К шестой неделе рост проростков в загрязнённых почвах стабилизировался, но восстановиться до уровня контрольных вариантов не смог. Средняя длина стебля в КФ составила 9,06±0,15 см, в КМ – 9,4±0,25 см. У растений, выросших в условиях загрязнения, стебли были заметно короче: 6,7±0,2 см (УВГ-100), 5,6±0,4 см (УВГ-500) и всего 3,1±0,05 см (УВГ-1000). Аналогичная картина наблюдалась и при измерении корней: КМ – 4,7±0,25 см, УВГ-100 – 3,03±0,2 см, УВГ-500 – 1,93±0,25 см, УВГ-1000 – 1,03±0,05 см.

Полученные результаты показывают, что рост и развитие редиса существенно зависят от концентрации углеводородного ракетного топлива (УВГ) в почве. Наблюдается выраженный дозозависимый эффект: при увеличении дозы топлива снижается как длина стебля, так и длина корневой системы. Особенно сильно угнетается рост при высоких концентрациях (УВГ-1000), что проявляется в резком отставании проростков от контрольных вариантов.

Механизм действия УВГ на растения связан с его физико-химическими свойствами. Попадая в почву, углеводородные соединения проявляют гидрофобность и низкую растворимость в воде, что приводит к нарушению водно-воздушного режима и ограничению доступа влаги и питательных веществ к корням. Одновременно отдельные компоненты топлива, особенно ароматические углеводороды (бензол, толуол, ксилолы), оказывают прямое токсическое воздействие на клетки растений, нарушая проницаемость мембран, угнетая дыхательные процессы и замедляя деление клеток. Это приводит к подавлению, как

роста надземной части, так и развития корневой системы. Таким образом, выявленные изменения в морфометрических показателях проростков редиса можно объяснить сочетанием косвенного (изменение свойств почвы) и прямого (токсическое действие углеводородов) влияния УВГ.

Сравнение полученных данных с литературными источниками подтверждает общность выявленных закономерностей. Так, по данным [9], нефтяные углеводороды снижают биологическую активность почвы и угнетают рост сельскохозяйственных культур. Исследования [5] показали, что тяжёлые углеводороды обладают длительным периодом разложения и сохраняют токсическое воздействие в почвенной среде. Аналогичные эффекты наблюдались и в отечественных исследованиях фитотестирования загрязнённых почв [16, 19]. В целом это подтверждает, что углеводородное ракетное топливо, близкое по составу к нефтяным фракциям, оказывает аналогичное фитотоксическое действие, выражающееся в угнетении ростовых процессов редиса.

На основании проведённых наблюдений можно заключить, что УВГ, применяемое в ракетах-носителях «Союз», запускаемых с космодрома Байконур, оказывает прямое и выраженное токсическое воздействие на развитие редиса. При увеличении концентрации загрязнителя в почве отмечается снижение длины как побегов, так и корней, что подтверждает дозозависимый характер влияния.

Важно отметить, что семена в контрольных группах (КФ и КМ) прорастали синхронно и довольно быстро, обеспечивая высокую общую всхожесть. В загрязнённых образцах ростки появлялись медленнее, а процент всхожести снижался по мере увеличения содержания УВГ. При дозе 500 мг/кг этот показатель был на 15% ниже контрольного уровня, а при 1000 мг/кг — уже на 50%.

К завершению эксперимента, разница в развитии растений стала ещё более очевидной. Побеги редиса в загрязнённой почве были короче контрольных на 26-29% при 100 мг/кг, на 38-41% при 500 мг/кг и на 66-67% при максимальной концентрации (1000 мг/кг). Аналогичные изменения отмечались и по длине корней: они были короче контрольных в 1,3-1,6 раза (УВГ-100), в 2-2,4 раза (УВГ-500) и в 3,8-4,6 раза (УВГ-1000).

Заключение

Результаты исследования выявили выраженный дозозависимый фитотоксический эффект углеводородного ракетного топлива на редис как растение-индикатор. Уже на ранних стадиях прорастания установлено снижение длины побегов и корней в загрязнённых образцах, особенно при концентрации 500 мг/кг и выше. Несмотря на кратковременную активацию роста на второй неделе, в дальнейшем наблюдалось устойчивое угнетение развития растений.

Фиксируемые морфологические изменения соответствуют ранее описанным механизмам действия углеводородов на почвенные и растительные системы: нарушению водно-воздушного режима, дефициту влаги и питательных веществ, ингибированию фотосинтеза и подавлению активности микробиоты. Особенно критично снижение длины корня, отражающее потерю адаптивного потенциала растения к неблагоприятной среде.

Таким образом, уже при концентрации 500 мг/кг УВГ наблюдаются признаки выраженной токсичности, а при 1000 мг/кг – существенное подавление роста, приближающееся к полному. Это подчёркивает необходимость установления нормативов допустимого содержания УВГ в почвах и подтверждает эффективность применения фитотестирования в качестве обязательного инструмента экологической диагностики загрязнённых территорий, в том числе в зонах падения отделяющихся частей ракет.

Список литературы

1. Banks M.K. Comparison of plants for germination toxicity tests in petroleum-contaminated soils / M.K. Banks, K.E. Schultz // Water, Air, and Soil Pollution. – 2005. – Vol. 167. – P. 211-219.
2. Ecotoxicity assessment of aged petroleum sludge using a suite of effects-based end points in earthworm Eisenia fetida / S.-J. Wang et al // Environmental Monitoring and Assessment. – 2010. – Vol. 169. – P. 417-428.
3. Wang W. Literature review on higher plants for toxicity testing / W. Wang // Water, Air, and Soil Pollution. – 1991. – Vol. 59. – P. 381-400.
4. Malachowska-Jutsz A. Toxicity of engine oil contaminated soil made subject to natural attenuation and phytoremediation / A. Malachowska-Jutsz, W. Janosz, J. Rudek // Ochrona Środowiska. – 2012. – Vol. 34. – P. 15-20.

5. Heavy hydrocarbon fate and transport in the environment / D.M. Brown et al // Quarterly Journal of Engineering Geology and Hydrogeology. – 2017. – Vol. 50, № 3. – P. 333-346. https://doi.org/10.1144/qjegh2016-142.
6. Characteristics of PAH tar oil contaminated soils – black particles, resins and implications for treatment strategies / C. Trellu et al // Journal of Hazardous Materials. – 2017. – Vol. 327. – P. 206-215. https://doi.org/10.1016/j.jhazmat.2016.12.062.
7. Bekbaeva V.K. Agroecological characteristics of soils disturbed by oil production and methods of their recultivation in Dossor / V.K. Bekbaeva, G.P. Metaksa, A.T. Kanaev // EurAsian Journal of BioSciences. – 2019. – Vol. 13. – P. 1967-1972.
8. Исмаилов Н.М. Микробиология и ферментативная активность нефтезагрязнённых почв / Н.М. Исмаилов. – М.: Наука, 1988. – 42-56 с.
9. Influence of oil pollution on various types of soil / A.F. Tumanyan et al // Chemistry and Technology of Fuels and Oils. – 2017. – Vol. 53. – P. 369-376. https://doi.org/10.1007/s10553-017-0813-7.
10. Ecotoxicity monitoring and bioindicator screening of oil-contaminated soil during bioremediation / W. Shen et al // Ecotoxicology and Environmental Safety. – 2016. – Vol. 124. – P. 120-128. https://doi.org/10.1016/j.ecoenv.2015.10.005.
11. Киреева Н.А. Комплексное биотестирование нефтезагрязнённых почв / Н.А. Киреева, Т.Р. Кабиров, И.Е. Дубовик // Теоретическая и прикладная экология. – 2007. – № 1. – С. 65-69.
12. Зильберман М.В. Биотестирование почв, загрязнённых нефтью и нефтепродуктами / М.В. Зильберман, Е.А. Порошина, Е.В. Зырянова – Пермь: ФГУ УралНИИ Экология, 2005. – 111 с.
13. Plant – bacteria partnerships for the remediation of hydrocarbon contaminated soils / S. Khan et al // Chemosphere. – 2013. – Vol. 90, № 4. – P. 1317-1332. https://doi.org/10.1016/j.chemosphere.2012.09.045.
14. Bioremediation of soils contaminated with polycyclic aromatic hydrocarbons, petroleum, pesticides, chlorophenols and heavy metals by composting: applications, microbes and future research needs / M. Chen et al // Biotechnology Advances. – 2015. – Vol. 33, № 6. – P. 745-755. https://doi.org/10.1016/j.biotechadv.2015.05.003.
15. Adam G. Influence of diesel fuel on seed germination / G. Adam, H. Duncan // Environmental Pollution. – 2002. – Vol. 120, № 2. – P. 363-370. https://doi.org/10.1016/S0269-7491(02)00119-7.
16. Попова Е.И. Определение фитотоксичности почв города Тобольска методом биотестирования / Е.И. Попова // Современные проблемы науки и образования. – 2016. – № 4. URL: https://science-education.ru/ru/article/view?id=24965 (дата обращения: 10.01.2025).
17. Кабиров Р.Р. Альтестирование и альгоиндикация (методические аспекты, практическое использование) / Р.Р. Кабиров. – Уфа: Башкирский педагогический университет, 1995. – 125 с.
18. Фитотоксичность дерново-подзолистых почв в зоне влияния животноводческих комплексов и птицефабрик / Е.Н. Богатырева и др. // Почвоведение и агрохимия: Плодородие почв и применение удобрений. – 2020. – № 1(64). – С. 133-142.
19. Фитотестирование в оценке токсичности городских почв / А.В. Прусаченко // Экология урбанизированных территорий. – 2010. – № 2. – С. 105-109.
20. Багдасарян А.С. Биотестирование почв техногенных зон городских территорий с использованием растительных организмов [Электрон. ресурс]. – Ставрополь, 2005. – URL: https://www.dissercat.com/content/biotestirovanie-pochv-tekhnogennykh-zon-gorodskikh-territorii-s-ispolzovaniem-rastitelnykh-o (дата обращения: 08.10.2025).
21. Галицкая П.Ю. Тестирование отходов, почв, материалов с использованием живых систем: учеб.-метод. пособие / П.Ю. Галицкая, С.Ю. Селивановская, Р.Х. Гумерова – Казань: Казанский федеральный университет, 2014. – 57 с.

References

1. Banks M.K. Comparison of plants for germination toxicity tests in petroleum-contaminated soils / M.K. Banks, K.E. Schultz // Water, Air, and Soil Pollution. – 2005. – Vol. 167. – P. 211-219. (In English).
2. Ecotoxicity assessment of aged petroleum sludge using a suite of effects-based end points in earthworm Eisenia fetida / S.-J. Wang et al // Environmental Monitoring and Assessment. – 2010. – Vol. 169. – P. 417-428. (In English).

3. Wang W. Literature review on higher plants for toxicity testing / W. Wang // Water, Air, and Soil Pollution. – 1991. – Vol. 59. – P. 381-400. (In English).
4. Malachowska-Jutsz A. Toxicity of engine oil contaminated soil made subject to natural attenuation and phytoremediation / A. Malachowska-Jutsz, W. Janosz, J. Rudek // Ochrona Środowiska. – 2012. – Vol. 34. – P. 15-20. (In English).
5. Heavy hydrocarbon fate and transport in the environment / D.M. Brown et al // Quarterly Journal of Engineering Geology and Hydrogeology. – 2017. – Vol. 50, № 3. – P. 333-346. https://doi.org/10.1144/qjegh2016-142. (In English).
6. Characteristics of PAH tar oil contaminated soils – black particles, resins and implications for treatment strategies / C. Trellu et al // Journal of Hazardous Materials. – 2017. – Vol. 327. – P. 206-215. https://doi.org/10.1016/j.jhazmat.2016.12.062. (In English).
7. Bekbaeva V.K. Agroecological characteristics of soils disturbed by oil production and methods of their recultivation in Dossor / V.K. Bekbaeva, G.P. Metaksa, A.T. Kanaev // EurAsian Journal of BioSciences. – 2019. – Vol. 13. – P. 1967-1972. (In English).
8. Ismailov N.M. Mikrobiologiya i fermentativnaya aktivnost' neftezagryaznennykh pochv / N.M. Ismailov. – M.: Nauka, 1988. – 42-56 s. (In Russian).
9. Influence of oil pollution on various types of soil / A.F. Tumanyan et al // Chemistry and Technology of Fuels and Oils. – 2017. – Vol. 53. – P. 369-376. https://doi.org/10.1007/s10553-017-0813-7. (In English).
10. Ecotoxicity monitoring and bioindicator screening of oil-contaminated soil during bioremediation / W. Shen et al // Ecotoxicology and Environmental Safety. – 2016. – Vol. 124. – P. 120-128. https://doi.org/10.1016/j.ecoenv.2015.10.005. (In English).
11. Kireeva N.A. Kompleksnoe biotestirovanie neftezagryaznennykh pochv / N.A. Kireeva, T.R. Kabirov, I.E. Dubovik // Teoreticheskaya i prikladnaya ehkologiya. – 2007. – № 1. – S. 65-69. (In Russian).
12. Zil'berman M.V. Biotestirovanie pochv, zagryaznennykh neft'yu i nefteproduktami / M.V. Zil'berman, E.A. Poroshina, E.V. Zyryanova – Perm': FGU UraLNII Ehkologiya, 2005. – 111 s. (In Russian).
13. Plant – bacteria partnerships for the remediation of hydrocarbon contaminated soils / S. Khan et al // Chemosphere. – 2013. – Vol. 90, № 4. – P. 1317-1332. https://doi.org/10.1016/j.chemosphere.2012.09.045. (In English).
14. Bioremediation of soils contaminated with polycyclic aromatic hydrocarbons, petroleum, pesticides, chlorophenols and heavy metals by composting: applications, microbes and future research needs / M. Chen et al // Biotechnology Advances. – 2015. – Vol. 33, № 6. – P. 745-755. https://doi.org/10.1016/j.biotechadv.2015.05.003. (In English).
15. Adam G. Influence of diesel fuel on seed germination / G. Adam, H. Duncan // Environmental Pollution. – 2002. – Vol. 120, № 2. – P. 363-370. https://doi.org/10.1016/S0269-7491(02)00119-7. (In English).
16. Popova E.I. Opredelenie fitotoksichnosti pochv goroda Tobol'ska metodom biotestirovaniya / E.I. Popova // Sovremennye problemy nauki i obrazovaniya. – 2016. – № 4. URL: https://science-education.ru/ru/article/view?id=24965 (data obrashcheniya: 10.01.2025). (In Russian).
17. Kabirov R.R. Al'testirovanie i al'goindikatsiya (metodicheskie aspekty, prakticheskoe ispol'zovanie) / R.R. Kabirov. – Ufa: Bashkirskii pedagogicheskii universitet, 1995. – 125 s. (In Russian).
18. Fitotoksichnost' dernovo-podzolistykh pochv v zone vliyaniya zhivotnovodcheskikh kompleksov i ptitsefabrik / E.N. Bogatyreva i dr. // Pochvovedenie i agrokhimiya: Plodorodie pochv i primenenie udobrenii. – 2020. – № 1(64). – S. 133-142. (In Russian).
19. Fitotestirovanie v otsenke toksichnosti gorodskikh pochv / A.V. Prusachenko // Ehkologiya urbanizirovannykh territorii. – 2010. – № 2. – S. 105-109. (In Russian).
20. Bagdasaryan A.S. Biotestirovanie pochv tekhnogennykh zon gorodskikh territorii s ispol'zovaniem rastitel'nykh organizmov [Ehlektron. resurs]. – Stavropol', 2005. – URL: https://www.dissercat.com/content/biotestirovanie-pochv-tekhnogennykh-zon-gorodskikh-territorii-s-ispolzovaniem-rastitelnykh-o (data obrashcheniya: 08.10.2025). (In Russian).
21. Galitskaya P.YU. Testirovanie otkhodov, pochv, materialov s ispol'zovaniem zhivykh sistem: ucheb.-metod. posobie / P.YU. Galitskaya, S.YU. Selivanovskaya, R.KH. Gumerova – Kazan': Kazanskii federal'nyi universitet, 2014. – 57 s. (In Russian).

Информация о финансировании

Исследования проведены при поддержке Комитета науки Министерства науки и высшего образования Республики Казахстан в рамках гранта № AP19679969 «Исследование процессов идентификации ракетного углеводородного топлива в почвах районов эксплуатации ракет-носителей и разработка их гигиенического норматива», послужат основой разработке гигиенического норматива.

Э.Т. Ермолдина, Е.Ю. Степанова, А.С. Зенина, Ж.Ж. Жумабекова, А.Н. Оразалиева*
«Инфракос» РМК филиалы,
050046, Қазақстан, Алматы қ., Абай даңғылы 191,
*e-mail: orazaliyevaaray@gmail.com

ВЕГЕТАЦИЯЛЫҚ ТӘЖІРИБЕ ЖАҒДАЙЫНДА КӨМІРСУТЕКТІ ЗЫМЫРАН ОТЫНЫНЫҢ КОНЦЕНТРАЦИЯЛАРЫНЫҢ ШАЛҒАМНЫҢ ӨСУІ МЕН МОРФОФИЗИОЛОГИЯЛЫҚ КӨРСЕТКІШТЕРІНЕ ӘСЕРІ

Бұл ғылыми зерттеу мұнай өнімдерінің, атап айтқанда көмірсутекті зымыран отынының (КЗО) өсімдіктерге фитоуытты әсерін бағалауға арналған. Лабораториялық жағдайда тест-объект ретінде кәдімгі шалғам (Raphanus sativus L. var. sativus) пайдаланылды. Жұмысты жүргізудің негізгі себебі – зымыран тасығыштардың бөлшектері құлаған аймақтарда ластанған топырақтың экологиялық жағдайын бағалау қажеттілігі болды.

Зерттеудің басты мақсаты – топырақтың КЗО-мен ластану дәрежесі мен өсімдік-индикатордың морфофизиологиялық параметрлеріндегі өзгерістер арасындағы өзара байланысты анықтау болды. Зерттеу барысында бес түрлі топырақ нұсқасы қолданылды: үшеуі КЗО-ның 100, 500 және 1000 мг/кг концентрацияларымен тәжірибелік үлгілер, сондай-ақ екі бақылау үлгісі – стандартты жасанды топырақ үлгісі (КМ) және нақты ластанған аумақтан алынған топырақ (КФ). Биотестілеу алты апта бойы жүргізілді. Эксперимент барысында өну қабілеті, өсінділердің сабақ және тамыр ұзындықтары тіркеліп, олардың негізінде уыттылық индекстері есептелді.

Нәтижелер КЗО-ның өсімдіктердің дамуы мен тұқым өнуіне кері әсерін көрсетіп отыр. Ең төменгі 100 мг/кг концентрациясында сабақ пен тамыр ұзындығының шамалы қысқаруы байқалды. Алайда КЗО концентрациясы 500 және 1000 мг/кг-ге жеткенде теріс әсер айқын көрінді: тұқымның өнуі тиісінше 40% және 25%-ға дейін төмендеді, ал сабақ пен тамыр ұзындығы бақылау үлгілерімен салыстырғанда 2-4 есеге қысқарды.

Бақылау нәтижелері КЗО фитоуыттылығының дозаға тәуелді сипатын анық көрсетеді. Алынған деректер ластану деңгейін бағалау нормативтерін әзірлеу, экологиялық мониторинг жүргізу және бүлінген аумақтарды қалпына келтіру шараларын жоспарлау үшін практикалық тұрғыдан маңызды.

Түйін сөздер: *фитоуыттылық, зымыран отыны, көмірсутектер, топырақтың ластануы, экоуыттылық, экологиялық қауіпсіздік.*

E. Yermoldina, Y. Stepanova, A. Zenina, Z. Zhumabekova, A. Orazaliyeva*
Branch of RSE «Infracos»,
050046, Kazakhstan, Almaty, 191 Abay Ave.
*e-mail: orazaliyevaaray@gmail.com

EFFECTS OF HYDROCARBON ROCKET FUEL CONCENTRATIONS ON THE GROWTH AND MORPHOPHYSIOLOGICAL PARAMETERS OF RADISH UNDER VEGETATION EXPERIMENT CONDITIONS

The scientific study is devoted to the assessment of phytotoxic effects of petroleum products, in particular hydrocarbon rocket fuel (HCF), on plants. Under laboratory conditions, radish (Raphanus sativus L. var. sativus) was used as a test subject. The reason for the work was the necessity of ecological assessment of soils contaminated in the areas where rocket carrier parts fall.

The main task was to determine the relationship between the degree of soil contamination by HCM and changes in morphophysiological parameters in the indicator plant. Five soil variants were used in the study: three experimental ones with HCV content in concentrations of 100, 500 and 1000 mg/kg, as well as two control samples – a standard artificial soil reference (ASR) and soil from a real contaminated area (CA). Biotesting was carried out for six weeks. During the experiment, germination, stem and root lengths of seedlings were recorded and toxicity indices were calculated.

The results demonstrated the depressing effect of UHG on plant development and seed germination. At minimum concentrations of 100 mg/kg, only a slight reduction in shoot and root length was observed. However, when the concentration was increased to 500 and 1000 mg/kg, the negative effect became more pronounced: seed germination decreased to 40% and 25%, respectively, and the length of stems and roots decreased 2-4 times compared to control samples.

The observed changes clearly indicate the dose-dependent nature of UHG toxicity. The obtained data are of practical value for the development of pollution assessment standards, environmental monitoring and planning of measures for the restoration of the affected territories.

Key words: *phytotoxicity, rocket fuel, hydrocarbons, soil contamination, ecotoxicity, environmental safety.*

Сведения об авторах

Эльмира Тлеубаевна Ермолдина – PhD, филиал РГП «Инфракос» в г. Алматы; e-mail: ermoldina@mail.ru. ORCID: https://orcid.org/0000-0002-8567-1342.

Елена Юрьевна Степанова – заместитель начальника экологического отдела Филиала РГП «Инфракос» в г. Алматы; e-mail: s.ell@mail.ru. ORCID: https://orcid.org/0000-0001-9983-5857.

Асель Сакеновна Зенина – заместитель начальника научно-технического отдела Филиала РГП «Инфракос» в г. Алматы; e-mail: abelhodzhayeva@mail.ru. ORCID: https://orcid.org/0009-0002-9181-1062.

Жазира Жаксылыковна Жумабекова – PhD, начальник научно-технического отдела Филиала РГП «Инфракос» в г. Алматы; e-mail: zh.dzhuzi@bk.ru. ORCID: https://orcid.org/0000-0003-1854-798X.

Арай Назарбайқызы Оразалиева* – магистр, Филиал РГП «Инфракос» в г. Алматы; e-mail: orazaliyevaaray@gmail.com. ORCID: https://orcid.org/0000-0002-5480-4835.

Авторлар туралы мәліметтер

Эльмира Тлеубаевна Ермолдина – PhD, «Инфракос» РМК филиалы, Қазақстан, Алматы қ.; e-mail: ermoldina@mail.ru. ORCID: https://orcid.org/0000-0002-8567-1342.

Елена Юрьевна Степанова – Инфракос» РМК филиалы, Қазақстан, Алматы қ., экология бөлім басшысының орынбасары; e-mail: s.ell@mail.ru. ORCID: https://orcid.org/0000-0001-9983-5857.

Асель Сакеновна Зенина – Инфракос» РМК филиалы, Қазақстан, Алматы қ., ғылыми-техникалық бөлім басшысының орынбасары; e-mail: abelhodzhayeva@mail.ru. ORCID: https://orcid.org/0009-0002-9181-1062.

Жазира Жаксылыковна Жумабекова – PhD, Инфракос» РМК филиалы, Қазақстан, Алматы қ.; e-mail: zh.dzhuzi@bk.ru. ORCID: https://orcid.org/0000-0003-1854-798X.

Арай Назарбайқызы Оразалиева* – Магистр, PhD, Инфракос» РМК филиалы, Қазақстан, Алматы қ.; e-mail: orazaliyevaaray@gmail.com. ORCID: https://orcid.org/0000-0002-5480-4835.

Information about the authors

Elmira Tleubaevna Yermoldina – PhD, branch of RSE «Infracos» in Almaty; e-mail: ermoldina@mail.ru. ORCID: https://orcid.org/0000-0002-8567-1342.

Yelena Yurevna Stepanova – Deputy Head of Ecological Department, «Infracos» RSE Branch in Almaty; e-mail: s.ell@mail.ru. ORCID: https://orcid.org/0000-0001-9983-5857.

Asel Sakenovna Zenina – Deputy Head of Scientific and Technical Department, branch of RSE «Infracos» in Almaty; e-mail: abelhodzhayeva@mail.ru. ORCID: https://orcid.org/0009-0002-9181-1062.

Zhazira Zhaksylykovna Zhumabekova – PhD, Head of Scientific and Technical Department of the Branch of RSE «Infracos» in Almaty; e-mail: zh.dzhuzi@bk.ru. ORCID: https://orcid.org/0000-0003-1854-798X.

Aray Nazarbaykyzy Orazaliyeva* – MSc, branch of RSE «Infracos» in Almaty; e-mail: orazaliyevaaray@gmail.com. ORCID: https://orcid.org/0000-0002-5480-4835.

Поступила в редакцию 24.06.2025
Поступила после доработки 07.10.2025
Принята к публикации 08.10.2025

https://doi.org/10.53360/2788-7995-2025-4(20)-75

BY 4.0
Check for updates

МРНТИ: 31.21.01

А.А. Каныкешова, И.О. Сапаргали*, Л.Н. Сеймуханова, К.С. Бексейтова, С. Азат
[1]Satbayev University,050013, Республика Казахстан, г.Алматы, , ул.Сатпаева 22
*e-mail: sapargali.i@mail.ru

ОЧИСТКА ВОД, ЗАГРЯЗНЁННЫХ РАДИОАКТИВНЫМ ЙОДОМ, С ИСПОЛЬЗОВАНИЕМ ПРИРОДНОГО И МОДИФИЦИРОВАННОГО ЦЕОЛИТА

Аннотация: *В работе исследована эффективность природного цеолита и его модифицированных форм для удаления стабильного изотопа йода (^{127}I) из водных растворов. Природный цеолит модифицирован ионами серебра (Ag^+) и меди (Cu^{2+}) методом ионного обмена. Структура и химический состав модифицированных образцов изучены с использованием рентгенофлуоресцентного анализа (XRF), рентгенографии (XRD) и сканирующей электронной микроскопии с энергодисперсионным рентгеновским анализом (SEM-EDX).*

Результаты кинетических экспериментов показали, что Cu-модифицированный цеолит быстрее достигает сорбционного равновесия по сравнению с Ag-модифицированным аналогом. Время достижения равновесия для Cu-модифицированного цеолита составило приблизительно 30,5 часов, тогда как для Ag-модифицированного образца – около 36,0 часов. Степень удаления йода из водных растворов в обоих случаях была высокой и составила 99,4% для Cu-модифицированного цеолита и 99,1% для Ag-модифицированного.

Анализ изотерм сорбции показал, что данные лучше всего описываются моделью Ленгмюра с коэффициентом детерминации (R^2) более 0,98. При этом расчётная максимальная сорбционная ёмкость модифицированных цеолитов оказалась выше, чем у природного цеолита.

Полученные результаты подтверждают высокую эффективность и экологическую безопасность металломодифицированных цеолитов в качестве сорбентов для удаления йодсодержащих загрязнений из водных растворов. Особое практическое значение имеет Cu-модификация, которая демонстрирует улучшенную кинетику сорбции, что делает её перспективной для применения в технологиях очистки воды.

Ключевые слова: *удаление радионуклидов, адсорбция йода, модифицированный цеолит, наночастицы серебра, ионы меди, очистка воды.*

ВВЕДЕНИЕ

В последние годы проблема очистки водных систем от радиоактивного йода становится всё более актуальной. Это связано с его высокой радиотоксичностью, значительной подвижностью в окружающей среде и выраженным негативным воздействием на здоровье человека [1-2]. В связи с этим активно исследуются различные материалы для удаления йода из воды, среди которых особое внимание привлекают цеолиты – как природные, так и модифицированные.

Цеолиты представляют собой алюмосиликатные минералы с высокоразвитой пористой структурой, значительной удельной поверхностью и высокой ионообменной ёмкостью. Эти свойства делают их эффективными адсорбентами и ионообменниками, что позволяет использовать их для очистки воды от различных загрязнений, включая радионуклиды [3]. Природные цеолиты широко распространены и обладают низкой стоимостью, что делает их привлекательными для практического применения в водоподготовке.

Для повышения селективности и сорбционной активности цеолитов проводится их химическая модификация. Исследования показывают, что введение катионов переходных металлов, таких как железо, медь или цинк, существенно увеличивает ёмкость цеолитов по отношению к ионам тяжёлых металлов и радионуклидов [4-6]. Это расширяет возможности их использования для дезактивации сточных вод и очистки радиоактивно загрязнённых источников.

Для селективного удаления йода из воды перспективными являются ионно-обменные стратегии, включающие использование ионов серебра (Ag^+) и меди (Cu^{2+}). Серебро обладает высоким сродством к йодид-ионам (I^-) благодаря образованию малорастворимых соединений, таких как AgI. Медь также может использоваться для удаления йода, но она часто

обеспечивает более быстрый массообмен и устойчивость к сопутствующим ионам, таким как хлорид-ионы (Cl^-) [7].

Цеолиты демонстрируют высокую эффективность в отношении широкого спектра радионуклидов, включая цезий (Cs^+) и стронций (Sr^{2+}). Клиноптилолит и морденит – два наиболее изученных цеолита – традиционно используются для удаления этих радионуклидов из воды благодаря своей избирательности [8]. Для удаления йодид-ионов наиболее эффективными являются цеолиты, модифицированные катионами серебра (Ag^+) или меди (Cu^{2+}). Эти материалы показывают высокие степени удаления йода в различных экспериментальных условиях, включая пакетные и колонные эксперименты, что делает их перспективными для промышленного применения [9].

Современные подходы к синтезу и модификации цеолитов направлены на создание устойчивых и экономически обоснованных решений для водоочистки. Развитие технологий позволяет не только улучшать адсорбционные свойства цеолитов, но и интегрировать их с другими методами очистки, такими как катализ и баромембранные процессы. Это расширяет функциональность материалов и повышает качество очищенной воды [10].

Интеграция природных и модифицированных цеолитов в существующие схемы водоподготовки является перспективным направлением, которое позволяет сочетать высокую эффективность, технологическую совместимость и экологическую безопасность. Совершенствование методов модификации и управление структурно-химическими параметрами цеолитов создают основу для разработки новых поколений сорбентов, способных надёжно защищать окружающую среду и здоровье населения от последствий радионуклидного загрязнения [11-12].

2 ЭКСПЕРИМЕНТАЛЬНАЯ ЧАСТЬ

Материалы исследования: Природный цеолит Шанханайского месторождения (Жетисуская область, Казахстан) представлен преимущественно клиноптилолитом, образованным в туфах риолит-дацитового состава пермской Жальгызашской формации. Минерал обладает развитой пористой структурой с каналами и полостями, что обеспечивает высокую катионообменную способность и селективную адсорбцию катионов. Химический состав включает Si, Al и O с примесью Na, K, Ca, Mg и Fe, при среднем мольном соотношении Si/Al около 2,9-3,0.

Для проведения экспериментов использовались следующие реактивы: хлорид натрия (NaCl), чистота 99,5 % (AR, CAS 7647-14-5, производитель Meyer); нитрат серебра ($AgNO_3$), аналитически чистый, ГОСТ 1277-75 (Лаборфарма ЖШС); нитрат меди (II) ($Cu(NO_3)_2$), аналитически чистый (ЧДА, ГОСТ 4166-76); йод (I_2), реактивный (ТОО «Лабимпэкс»); йодид калия (KI), реактивный (Reakhim); дистиллированная вода (ГОСТ 6709-72). Все реактивы применялись без дополнительной очистки.

2.1 Модификация природного цеолита наночастицами серебра

Для повышения сорбционных свойств первичных природных цеолитов часто используется их модификация различными химическими реагентами. Полученный природный цеолит проходит модификацию, состоящую из двух этапов. На первом этапе природный цеолит обрабатывают хлоридом натрия с образованием соединения типа Na-цеолит. Эта модификация способствует образованию эффективных ионных связей в процессе последующего образования комплекса с наночастицами серебра и закреплению наночастиц в поверхностных порах цеолита.

На первом этапе проводилась модификация: 10 г природного цеолита взвешивали и помещали в приготовленный 1 М раствор NaCl. Для приготовления раствора NaCl с помощью аналитических весов было измерено 5,844 г хлорида натрия, который затем полностью растворили в 100 мл дистиллированной воды. В раствор помещали образец природного цеолита и проводили модификацию NZ-Na путем обмена катионами Na^+. В процессе модификации значение pH раствора контролировалось универсальным индикатором, и когда pH достигал уровня 7, модифицированный образец природного цеолита сушили при 150 °C в течение 24 часов.

На втором этапе готовили 0,1 М раствор $AgNO_3$, полученный раствор смешивали с соединением NZ-Na. Образец хранился в тёмном месте в течение 24 часов, что позволило избежать фотодеструкции ионов серебра и ускорить процесс образования наночастиц Ag^0. После завершения реакции образовавшийся комплекс Ag^0@NZ высушивали и готовили к использованию в качестве конечного продукта.

В процессе модификации восстановление ионов Ag^+ до металлических наночастиц Ag^0 происходило за счёт взаимодействия сорбированных ионов серебра с гидроксильными группами и дефектами структуры цеолита, а также под действием термической обработки при 150°C. Это обеспечивало равномерное закрепление наночастиц Ag^0 в пористой матрице природного цеолита, что впоследствии подтверждено результатами XRD и СЭМ-ЭДХ анализа.

2.2 Модификация природного цеолита с наночастицами меди

Приготовили 1 М раствор нитрата меди (II) и добавляют в него природный цеолит массой 10 г. С целью модификации природного цеолита полученного раствора перемешивали на скорости 300 об/мин и при температуре 40 °C с помощью магнитного миксера в течение 24 часа. После завершения процесса модификации, образец сушили при 150 °C в течение 12 часов для стабилизации структуры полученного материала и удаления остаточной влаги.

2.3 Приготовления раствора йода (I_2)

Раствор готовили, растворяя 1,00 г молекулярного йода (I_2) и 1,96 г йодида калия (KI) в 1000 мл дистиллированной воде и подвергали ультразвуковой обработке раствора (60°C, 48 часов) для обеспечения полного растворения и равномерного распределения компонентов. Полученный раствор затем используется в качестве стандартной модели в точных и воспроизводимых исследованиях сорбционных свойств изотопа ^{127}I.

3 РЕЗУЛЬТАТЫ И ИХ ОБСУЖДЕНИЕ

3.1 Результаты рентгенофлуоресцентного (XRF) анализа

Для определения элементного состава изученных образцов природного цеолита использовался метод рентгенофлуоресцентной (XRF) спектроскопии. Данный метод позволяет точно определить количественный и качественный состав основных и примесных элементов в поверхностном слое материала. Результаты анализа показали, что в составе природного цеолита (табл. 1) преимущественно преобладают элементы кремния (Si), алюминия (Al), кальция (Ca), калия (K) и железа (Fe), что соответствует природной алюмосиликатной структуре.

Таблица 1 – Рентгенофлуоресцентные результаты

Элементы	Al, мас.%	Si,мас.%	S,масс.%	Fe,мас.%	Ag,мас.%	Cu,мас.%
Природный цеолит	14,94	57,26	2,74	20,36	-	0,057
Ag- модифицированный природным цеолитом	13,07	44,94	0,632	14,46	23,90	0,019
Cu-модифицированный природным цеолитом	13,99	45,68	0,651	9,41	-	27,81

Для природного цеолита, модифицированного серебром (Ag-Z), были зафиксированы сигналы элемента Ag, что подтвердило эффективность процесса модификации. Точно так же присутствие ионов меди (Cu) в природном цеолите, модифицированном медью (Cu-Z), было четко выражено в спектре XRF. Кроме того, в модифицированных образцах наблюдалось уменьшение или смещение относительного количества некоторых исходных элементов, что указывает на протекание процессов ионного обмена или поверхностной адсорбции.

В целом анализ XRF доказал успешное введение ионов металлов при модификации, сохраняя стабильность структуры природного цеолита. Это, несомненно, положительно влияет на способность сорбентов улавливать радионуклиды. Результат элементного состава представлен в таблице 1.

3.2 Результаты рентгенодифракционного анализа (XRD)

Рентгеновская дифракция исходного образца природного цеолита (образца а) подтверждает высокую кристалличность и чистоту алюмосиликатного скелета и четкие определенные отражения при 2θ = 9,9°, 22,4°, 26,8°, 30,0°, и 50,6°. Основываясь на ионах серебра (образец б) модификация, РСА показывает интенсивность профиля пики 2θ ≈ 38,1°, 44,3° и 64,4°, а также отражения (111), (200) и (220) кубические фазы Ag. Основные клиноптилолиты и рефлексы не изменяются и существенно не изменяются по ширине. Эти новые рефлексы ясно показывают образование наночастиц серебра внутри или на поверхности цеолитной структуры.

Образец РСА сохраняет все характерные пиковые положения природного цеолита без образования новых резких линий, указывающих на свободные фазы Cu или CuO

модифицированного образца меди (образец в). В частности, незначительное расширение основных пиков в области 2θ = 22°-30°, а также наблюдаемое расширение пиков может рассматриваться как первый признак дискретной интеркаляции ионов Cu^{2+} в каналы цеолита (рис. 1).

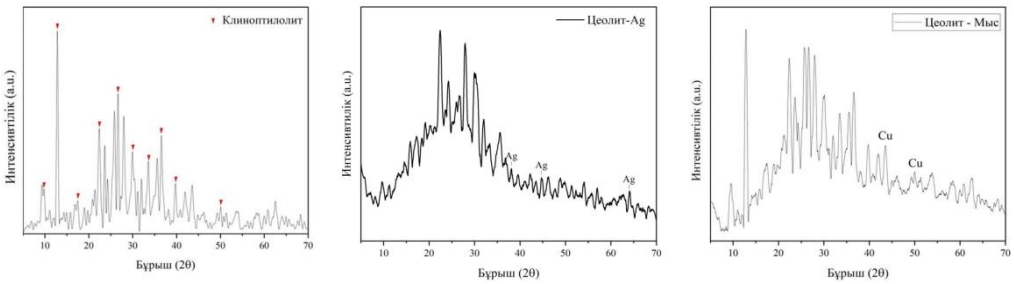


Рисунок 1 – Результаты рентгенодифракционного анализа

3.3 Результаты сканирующей электронной микроскопии с элементным анализом (СЭМ-ЭДХ)

С помощью методов сканирующей электронной микроскопии (СЭМ) и элементного анализа (ЭДХ) исследовали структуру поверхности и элементный состав чистых и модифицированных образцов природного цеолита, морфология природного и модифицированного цеолита изучалась методом сканирующей электронной микроскопии (СЭМ), а элементный состав-методом спектроскопии дисперсии энергии (ЭДХ). На рисунке 2 показано, что природный цеолит обладает развитой пористой структурой с неравномерным распределением частиц. После модификации наночастицами серебра и меди на поверхности природного цеолита наблюдаются морфологические изменения, отражающие фиксацию металлических нанофаз в структуре носителя.

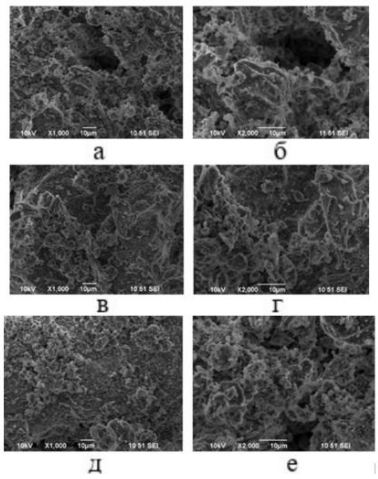


Рисунок 2 – Результаты сканирующей электронной микроскопии

а, б – результаты природного цеолита; в, г – результаты природного цеолита модифицированного наночастицами серебра; д, е – результаты природного цеолита модифицированного наночастицами меди

Результаты анализа ЭДХ (рис. 3) подтверждают наличие в природном цеолите таких основных элементов, как Si, Al и O, что соответствует типичной алюмосиликатной природе материала. Кроме того, в модифицированных образцах четко определены пики Ag и Cu, что указывает на успешное введение соответствующих наночастиц.

Полученные результаты (рис. 2 и 3) показывают, что в результате модификации природного цеолита наночастицами серебра и меди происходят значительные изменения как в морфологической структуре, так и в элементном составе материала. Фиксированное присутствие наночастиц на поверхности и их подтвержденный состав в спектрах указывает на то, что металлические компоненты прочно закреплены в цеолитовой матрице. Такие структурные характеристики позволяют рассматривать модифицированные цеолиты как перспективные материалы для использования в процессах сорбции загрязняющих веществ из водной среды.

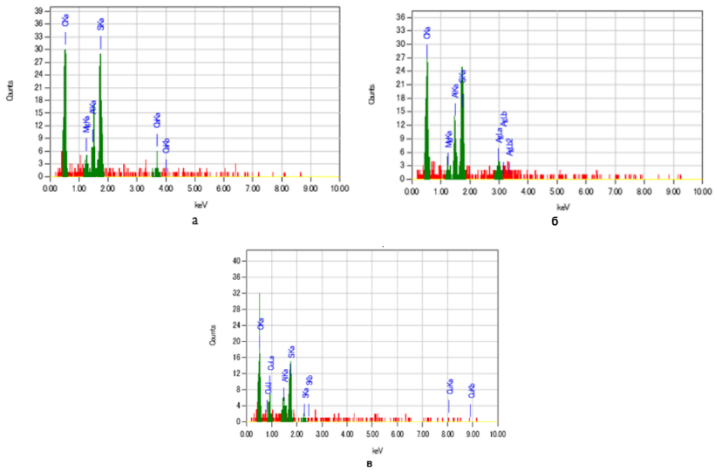


Рисунок 3 – Результаты элементного анализа
а –природный цеолит; б – модифицированный природный цеолит с наночастицами серебра;
в – модифицированный природный цеолит с наночастицами меди

3.4 Результаты кинетического исследования

Результаты кинетического исследования позволили относительно оценить сорбционную активность модифицированных цеолитов (природный цеолит-Ag и природного цеолит-Cu). Было замечено, что эффективность удаления изначально интенсивно росла с увеличением времени, достигая равновесного состояния через определенный промежуток времени.

Согласно полученным данным, модифицированный цеолит на основе меди проявлял высокую активность в процессе сорбции: достигал равновесного состояния за 30,5 часа и имел максимальную эффективность удаления 99,4%. Хотя процесс сорбции природного цеолита, модифицированного серебром, замедлился и достиг равновесия за 36,0 часов, его эффективность удаления также была зафиксирована около 99,1%.

При сравнительном рассмотрении было обнаружено, что оба сорбента обладают высокими адсорбционными свойствами. Однако было замечено, что цеолит, модифицированный ионами меди, реагирует кинетически быстрее и достигает равновесия раньше, что может быть связано с более высокой доступностью его сорбционной поверхности и повышенной ионообменной способностью (рис. 4).

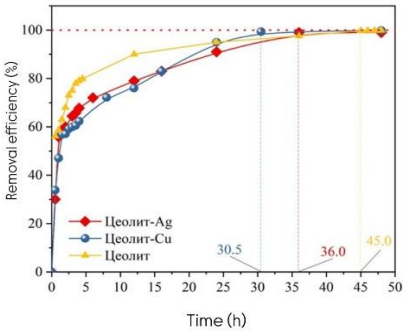


Рисунок 4 – Кривые кинетики адсорбции на цеолите и его модифицированных формах (Cu, Ag)

3.5 Результаты изотермических исследований

Изотермическое исследование сорбции йода проводилось при комнатной температуре (25°C) с целью определения равновесных характеристик процесса, изучения сорбционной способности природного и модифицированного цеолита. Эксперименты проводились при различных начальных концентрациях йода, постоянной массе сорбента и объеме раствора до достижения равновесного состояния. Концентрация остаточного йода определялась спектрофотометрически. На основе полученных данных были созданы сорбционные изотермы, показывающие зависимость равновесной концентрации (Ce) от количества сорбированного вещества (qe).

Изотермические модели Лангмюра и Фрейндлиха использовались для анализа экспериментальных данных. По результатам построены графики в координатах линейных уравнений моделей (рис. 5): аппроксимация данных показала, что модель Лангмюра лучше описывает сорбционное поведение модифицированного цеолита, что подтверждается высоким коэффициентом детерминации (R_2 > 0,98). Это указывает на мономолекулярный характер сорбции и неоднородность активных центров на поверхности сорбента. Расчет максимальной сорбционной емкости (qm) подтвердил, что модифицированный цеолит обладает значительно более высокой сорбционной способностью по сравнению с естественным цеолитом из-за увеличения количества доступных сорбционных центров после введения ионов меди.

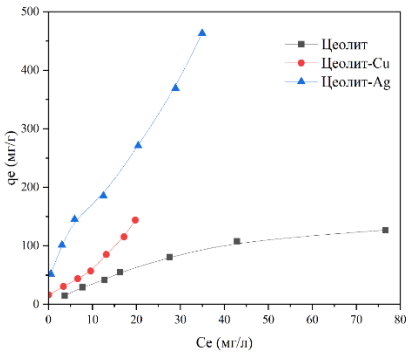


Рисунок 5 – Изотермы адсорбции на цеолите и модифицированных цеолитах (Cu, Ag)

Модель Фрейндлиха также использовалась для описания природы сорбции и показала хорошие результаты, особенно для естественного цеолита. Значения показателя 1/n находились в диапазоне 0,3-0,7, что указывает на благоприятные условия сорбции и наличие участков с разной энергией связи.

Таким образом, построенные графики и рассчитанные параметры подтверждают, что модифицированный цеолит является эффективным сорбентом для удаления йода при 25°C.

Сравнение полученных данных показывает, что, оба модификаторы (Ag и Cu) значительно повышают сорбционную активность цеолита по сравнению с исходным материалом, образец, модифицированный Cu, демонстрирует лучшую кинетику и быстрее достигает равновесия. Модифицированный медью цеолит считается наиболее перспективным для реального применения в системах очистки воды. А также использование меди экономически более целесообразно, так как она значительно дешевле и доступнее, чем серебро.

Заключение

В данной работе была изучена сорбциолнная емкость йодиде ионов на примере стабильного изотопа ^{127}I из водных растворов с помощью природного цеолита и его модифицированных форм. Основное внимание было уделено влиянию модифицирующих добавок (ионов меди и серебра) на сорбционные характеристики природного цеолита.

Эффективность модификации без изменения кристаллической структуры исходного цеолита была подтверждена XRD, XRF и SEM-EDX медодами. Методом XRF было определено содержание модификаторов: 27,81 % Cu и 23,90 % Ag, что свидетельствует о высокой степени насыщения сорбентов. После модификации СЭМ и ЭДС показали заметные изменения в морфологии поверхности, а также увеличение количества активных сорбционных центров.

Сравнительные сорбционные эксперименты показали, что природный цеолит обладает ограниченной эффективностью, тогда как модифицированные образцы существенно превосходят его по всем ключевым параметрам. Преимущество Cu-модифицированного цеолита было продемонстрировано кинетическими исследованиями: время достижения равновесия составило приблизительно 30,5 часов, что на 14,5 часов меньше, чем у природного образца (приблизительно 45 часов), и на 5,5 часов меньше, чем у Ag модицифированного цеолита- (приблизительно 36 часов). При добавлении меди это свидетельствует об улучшенной кинетике ионного обмена.

Согласно результатам изотермических исследований, оба модифицированных сорбента обладают значительно более высокой сорбционной емкостью, чем исходный

материал. В то же время, самые высокие показатели были отмечены для Ag модицифированного цеолита; тем не менее, скорость сорбции модифицированного медью цеолита была наиболее существенным практическим преимуществом.

Таким образом, основываясь на результатах исследования, Cu-модифицированный цеолит является наиболее перспективным из исследованных образцов. Он сочетает в себе улучшенные кинетические характеристики, высокую эффективность удаления йода и структурную стабильность, что делает его предпочтительным материалом для практического использования в системах очистки загрязненной воды.

Список литературы

1. Carbon adsorbents for the uptake of radioactive iodine from contaminated water effluents: A systematic review / M. Kunarbekova et al // Journal of Water Process Engineering. – 2024. – Vol. 67. – Art. 106174. https://doi.org/10.1016/J.JWPE.2024.106174.
2. Комплексный метод очистки микропластика в воде с использованием сорбентов / И.О. Сапаргали и др. // Вестник Университета Шакарима. Серия технические науки. – 2025. – С. 412-420. https://doi.org/10.53360/2788-7995-2025-1(17)-51.
3. Highly efficient iodide adsorption from medical radioactive wastewater by strong alkaline anion exchange fiber / Z. Liao et al // Journal of Environmental Chemical Engineering. – 2024. – Vol. 12, № 1. – Art. 111783. https://doi.org/10.1016/J.JECE.2023.111783.
4. Alotaibi A. Modification of clinoptilolite as a robust adsorbent for highly-efficient removal of thorium(IV) from aqueous solutions / A. Alotaibi, A. Ismail // International Journal of Environmental Research and Public Health. – 2022. – Vol. 19, № 21. – Art. 13774. https://doi.org/10.3390/ijerph192113774.
5. Cesium selectivity of natural zeolites (clinoptilolite, mordenite) in aqueous systems / H. Taira et al // Journal of Radioanalytical and Nuclear Chemistry. – 2017.
6. Modifying natural zeolites to improve heavy metal adsorption / E. Kuldeyev et al // Water. – 2023. – Vol. 15, № 12. – Art. 2215. https://doi.org/10.3390/w15122215.
7. Natural zeolites in water treatment – how effective is their use / J. Margeta et al // Water Treatment. – 2013. https://doi.org/10.5772/50738.
8. Removal of radioactive iodine and cesium in water purification / S. Kitada et al // Desalination and Water Treatment. – 2015. https://doi.org/10.1080/19443994.2014.923205.
9. Highly efficient removal of radioactive iodine anions by nano-silver modified activated carbon fiber X. Chen et al // Applied Surface Science. – 2024. – Vol. 643. – Art. 158644. https://doi.org/10.1016/J.APSUSC.2023.158644.
10. Capture of iodine and organic iodides using silica zeolites and the semiconductor behaviour of iodine in a silica zeolite / T.C.T. Pham et al // Energy & Environmental Science. – 2016. https://doi.org/10.1039/c5ee02843d.
11. Davis M.E. Zeolites from a materials chemistry perspective / M.E. Davis // Chemistry of Materials. – 2013. https://doi.org/10.1021/cm401914u.
12. Efficient removal of cesium from low-level radioactive liquid waste using natural and impregnated zeolite minerals / E.H. Borai et al // Journal of Hazardous Materials. – 2009. https://doi.org/10.1016/j.jhazmat.2009.07.033.

References

1. Carbon adsorbents for the uptake of radioactive iodine from contaminated water effluents: A systematic review / M. Kunarbekova et al // Journal of Water Process Engineering. – 2024. – Vol. 67. – Art. 106174. https://doi.org/10.1016/J.JWPE.2024.106174. (In English).
2. Kompleksnyi metod ochistki mikroplastika v vode s ispol'zovaniem sorbentov / I.O. Sapargali i dr. // Vestnik Universiteta Shakarima. Seriya tekhnicheskie nauki. – 2025. – S. 412-420. https://doi.org/10.53360/2788-7995-2025-1(17)-51. (In Russian).
3. Highly efficient iodide adsorption from medical radioactive wastewater by strong alkaline anion exchange fiber / Z. Liao et al // Journal of Environmental Chemical Engineering. – 2024. – Vol. 12, № 1. – Art. 111783. https://doi.org/10.1016/J.JECE.2023.111783. (In English).
4. Alotaibi A. Modification of clinoptilolite as a robust adsorbent for highly-efficient removal of thorium(IV) from aqueous solutions / A. Alotaibi, A. Ismail // International Journal of Environmental Research and Public Health. – 2022. – Vol. 19, № 21. – Art. 13774. https://doi.org/10.3390/ijerph192113774. (In English).

5. Cesium selectivity of natural zeolites (clinoptilolite, mordenite) in aqueous systems / H. Taira et al // Journal of Radioanalytical and Nuclear Chemistry. – 2017. (In English).
6. Modifying natural zeolites to improve heavy metal adsorption / E. Kuldeyev et al // Water. – 2023. – Vol. 15, № 12. – Art. 2215. https://doi.org/10.3390/w15122215. (In English).
7. Natural zeolites in water treatment – how effective is their use / J. Margeta et al // Water Treatment. – 2013. https://doi.org/10.5772/50738. (In English).
8. Removal of radioactive iodine and cesium in water purification / S. Kitada et al // Desalination and Water Treatment. – 2015. https://doi.org/10.1080/19443994.2014.923205. (In English).
9. Highly efficient removal of radioactive iodine anions by nano-silver modified activated carbon fiber X. Chen et al // Applied Surface Science. – 2024. – Vol. 643. – Art. 158644. https://doi.org/10.1016/J.APSUSC.2023.158644. (In English).
10. Capture of iodine and organic iodides using silica zeolites and the semiconductor behaviour of iodine in a silica zeolite / T.C.T. Pham et al // Energy & Environmental Science. – 2016. https://doi.org/10.1039/c5ee02843d. (In English).
11. Davis M.E. Zeolites from a materials chemistry perspective / M.E. Davis // Chemistry of Materials. – 2013. https://doi.org/10.1021/cm401914u. (In English).
12. Efficient removal of cesium from low-level radioactive liquid waste using natural and impregnated zeolite minerals / E.H. Borai et al // Journal of Hazardous Materials. – 2009. https://doi.org/10.1016/j.jhazmat.2009.07.033. (In English).

Благодарность: *Авторы выражают благодарность Министерству высшего образования и науки Республики Казахстан, выделившему грантовый проект ИРН:BR27199301 «Разработка климатически-нейтральных новых материалов, передовых технологий и методов для защиты окружающей среды от антропогенных загрязнений и изменения климата.»*

А.А. Каныкешова, И.О. Сапаргали, Л.Н. Сеймуханова, К.С. Бексейтова, С. Азат
[1]Satbayev University,
050013, Қазақстан Республикасы, Алматы қ., Сәтпаев к-сі 22
*e-mail: sapargali.i@mail.ru

ТАБИҒИ ЖӘНЕ МОДИФИКАЦИЯЛАНҒАН ЦЕОЛИТТІ ПАЙДАЛАНА ОТЫРЫП, РАДИОАКТИВТІ ЙОДПЕН ЛАСТАНҒАН СУЛАРДЫ ТАЗАРТУ

Зерттеуде табиғи цеолит пен оның модификацияланған түрлерінің су ерітінділерінен йодтың тұрақты изотопын (^127I) жою тиімділігі қарастырылды. Табиғи цеолит күміс (Ag^{+}) және мыс (Cu^{2+}) иондарымен ионалмасу әдісі арқылы модификацияланды. Модификацияланған үлгілердің құрылысы мен химиялық құрамы рентгенфлуоресценттік талдау (XRF), рентгендік дифракция (XRD) және энергия-дисперсиялық рентгендік талдауы бар сканерлейтін электрондық микроскопия (SEM-EDX) тәсілдерімен зерттелді.

Кинетикалық тәжірибелер нәтижелері Cu-модификацияланған цеолиттің сорбциялық тепе-теңдікке Ag-модификацияланған үлгіге қарағанда жылдамырақ жететінін көрсетті. Cu-модификацияланған цеолит үшін тепе-теңдікке жету уақыты шамамен 30,5 сағатты, ал Ag-модификацияланған үлгі үшін шамамен 36,0 сағатты құрады. Су ерітінділерінен йодты жою дәрежесі екі жағдайда да жоғары болды: Cu-модификация үшін 99,4% және Ag-модификация үшін 99,1%.

Сорбция изотермаларын талдау деректердің Ленгмюр моделіне жақсы сәйкес келетінін ($R^2 > 0,98$) көрсетті. Бұл ретте модификацияланған цеолиттердің есептелген максималды сорбциялық сыйымдылығы табиғи цеолитке қарағанда жоғары болды.

Алынған нәтижелер металмен модификацияланған цеолиттердің су ерітінділерінен йодқұрамды ластаушыларды жою үшін тиімді әрі экологиялық қауіпсіз сорбенттер екенін растайды. Cu-модификациясы сорбцияның жылдамдығын арттырып, су тазарту жүйелеріне енгізуге аса қолайлы екенін көрсетті.

Түйін сөздер: *радионуклидтерді жою, модификацияланған цеолит, йод адсорбциясы, күміс нанобөлшектері, мыс иондары, суды тазарту.*

A.A. Kanykeshova, I.O. Sapargali, K.S. Bexeitova, S. Azat
Satbayev University,
050013, Republic of Kazahstan, Almaty, Satpayev street, 22
*e-mail: sapargali.i@mail.ru

PURIFICATION OF WATER CONTAMINATED WITH RADIOACTIVE IODINE USING NATURAL AND MODIFIED ZEOLITE

The study evaluated the performance of natural zeolite and its modified forms for removing the stable iodine isotope (^127I) from aqueous solutions. The natural zeolite was modified with silver (Ag^+) and copper (Cu^{2+}) ions via an ion-exchange method. The structure and chemical composition of the modified samples were characterized by X-ray fluorescence (XRF), X-ray diffraction (XRD), and scanning electron microscopy coupled with energy-dispersive X-ray analysis (SEM-EDX).

Kinetic experiments showed that the Cu-modified zeolite reached sorption equilibrium faster than its Ag-modified counterpart. The time to equilibrium was approximately 30.5 h for the Cu-modified zeolite and about 36.0 h for the Ag-modified sample. In both cases, iodine removal from aqueous solutions was high: 99.4% for the Cu-modified zeolite and 99.1% for the Ag-modified zeolite.

Analysis of the adsorption isotherms indicated that the data were best described by the Langmuir model, with a coefficient of determination $R^2 > 0.98$. The calculated maximum sorption capacity of the modified zeolites exceeded that of the natural zeolite.

These results confirm that metal-modified zeolites are highly effective and environmentally safe sorbents for the removal of iodine-containing contaminants from water. Of particular practical interest is the Cu modification, which exhibits improved sorption kinetics and is therefore promising for water treatment technologies.

Key words: *radionuclide removal, modified zeolite, iodine adsorption, silver nanoparticles, copper ions, water purification.*

Авторлар туралы мәліметтер

Ақерке Алмасқызы Қанықешова – Сәтбаев Университеті, Инженерлік-бейінді зертханасының ғылыми қызметкері; e-mail: a.aslmasovna@gmail.com. ORCID: https://orcid.org/0009-0005-6517-6933.

Инабат Омирузакқызы Сапаргали* – Сәтбаев Университеті, Инженерлік-бейінді зертханасының ғылыми қызметкері; e-mail: sapargali.i@mail.ru. ORCID: https://orcid.org/0009-0002-0258-8277.

Лаура Нурланқызы Сеймуханова – Сәтбаев Университеті, Инженерлік-бейінді зертханасының ғылыми қызметкері; e-mail: lauraseimuhanova@gmail.com. ORCID: https://orcid.org/0009-0002-1438-6568.

Қалампыр Сунакбаевна Бексейтова – Сәтбаев Университеті, Инженерлік-бейінді зертханасының ғылыми қызметкері, философия докторы; e-mail: bekalsu@mail.ru. ORCID: https://orcid.org/0000-0002-5014-9407.

Сейтхан Азат – PhD, профессор, Сәтбаев Университеті, Инженерлік-бейінді зертханасының жетекшісі; e-mail: seytkhan.azat@gmail.com. ORCID: https://orcid.org/0000-0002-3858-9477.

Сведения об авторах

Акерке Алмаскызы Каныкешова – Сатбаев Университет, научный сотрудник лаборатории инженерного профиля; e-mail: a.aslmasovna@gmail.com. ORCID: https://orcid.org/0009-0005-6517-6933.

Инабат Омирузакқызы Сапаргали* – Сатбаев Университет, научный сотрудник лаборатории инженерного профиля; e-mail: sapargali.i@mail.ru. ORCID: https://orcid.org/0009-0002-0258-8277.

Лаура Нурланкызы Сеймуханова – Сатбаев Университет, научный сотрудник лаборатории инженерного профиля; e-mail: lauraseimuhanova@gmail.com. ORCID: https://orcid.org/0009-0002-1438-656**8.**

Қалампыр Сунакбаевна Бексейтова – Сатбаев Университет, научный сотрудник лаборатории инженерного профиля, доктор философии; e-mail: bekalsu@mail.ru. ORCID: https://orcid.org/0000-0002-5014-9407.

Сейтхан Азат – PhD, профессор, Сатбаев Университет, руководитель лаборатории инженерного профиля; e-mail: seytkhan.azat@gmail.com. ORCID: https://orcid.org/0000-0002-3858-9477.

Information about the authors

Akerke Almaskyzy Kanykeshova – Satbayev University, researcher at the Engineering Laboratory; e-mail: a.aslmasovna@gmail.com. ORCID: https://orcid.org/0009-0005-6517-6933.

Inabat Omiruzakkyzy Sapargali* – Satbayev University, researcher at the Engineering Laboratory; e-mail: sapargali.i@mail.ru. ORCID: https://orcid.org/0009-0002-0258-8277.

Laura Nurlanovna Seimukhanova – Satbayev University, researcher at the Engineering Laboratory; e-mail: lauraseimuhanova@gmail.com. ORCID: https://orcid.org/0009-0002-1438-6568.

Kalampyr Sunakbaevna Bexeitova – Satbayev University, researcher at the Engineering Laboratory; e-mail: bekalsu@mail.ru. ORCID: https://orcid.org/0000-0002-5014-9407.

Seitkhan Azat – Satbayev University, Head of the Engineering Laboratory; e-mail: seytkhan.azat@gmail.com. ORCID: https://orcid.org/0000-0002-3858-9477.

Поступила в редакцию 11.06.2025
Поступила после доработки 20.10.2025
Принята к публикации 21.10.2025

https://doi.org/10.53360/2788-7995-2025-4(20)-76

МРНТИ: 61.29.39

BY 4.0
Check for updates

Б.Т. Ғылымханов[1], А.Ж. Кожанова[1], А.А. Амитова[1], М.А. Елубай[2], Г.С. Айткалиева[*]
[1]Казахский национальный исследовательский технический университет имени К.И.Сатпаева, 050012, Республика Казахстан, г.Алматы, ул. Сатпаева 22
[2]Торайгыров университет,
140000, Республика Казахстан, г. Павлодар, ул. Ломова 64
[*]e-mail: g.aitkaliyeva@satbayev.university

ГЕОПОЛИМЕРЫ НА ОСНОВЕ АЛЮМОСИЛИКАТНОГО СЫРЬЯ: МЕХАНИЗМЫ, СЫРЬЕВЫЕ ИСТОЧНИКИ И ПЕРСПЕКТИВЫ ПРИМЕНЕНИЯ

Аннотация: *В работе рассмотрены современные направления развития геополимерных композитов как экологически устойчивой альтернативы портландцементу. Приведён анализ сырьевых источников для геополимеризации, включая природные алюмосиликатные материалы и техногенные отходы промышленности – золы-уноса, доменные и ферросплавные шлаки, красный шлам и другие побочные продукты энергетического и металлургического производств. Описаны основные стадии и механизмы геополимеризации, влияние щёлочных активаторов и параметров синтеза на формирование структуры и свойства материалов. Показано, что геополимерные композиты обладают высокой прочностью, термостойкостью и химической стойкостью при существенно меньшем углеродном следе, что делает их перспективными для применения в строительстве и утилизации промышленных отходов.*

Отмечено, что Республика Казахстан располагает значительными запасами как природных алюмосиликатных пород, так и вторичных техногенных ресурсов, что создаёт предпосылки для широкого внедрения геополимерных технологий в целях снижения экологической нагрузки и повышения эффективности использования минерального сырья.

Ключевые слова: *геополимер, активатор, сырье, алюмосиликаты, зола уноса, промышленные отходы, шламы.*

Введение. Горно-металлургический комплекс Республики Казахстан играет ключевую роль в экономике страны, однако его развитие сопровождается рядом системных проблем. Среди основных следует отметить истощение сырьевой базы, низкую комплексность использования минерального сырья, высокий уровень износа основных производственных фондов и значительное загрязнение окружающей среды. Технологическое отставание, отсутствие интегрированных комплексов полного производственного цикла (от добычи сырья до выпуска высококачественной продукции), малая емкость и рассредоточенность внутреннего рынка также остаются серьезными вызовами. Продукция предприятий характеризуется высокой энерго-, трудо- и материалоемкостью, а также дефицитом инвентарного подвижного состава.

Данные проблемы подчеркивают необходимость внедрения инновационных, безотходных технологий и разработки эффективных методов утилизации и рециклинга отходов горно-металлургического сектора [1]. В этом контексте особый интерес представляет применение геополимерных композитов – перспективные неорганические материалы, применение которых способствует развитию экологически устойчивого строительства.

1 Геополимеры как альтернатива портландцементу

Геополимерные композиты представляют собой неорганические полимерные материалы, получаемые в результате реакции щелочной активации алюмосиликатных соединений. Эти материалы рассматриваются как перспективная альтернатива портландцементу в строительной индустрии благодаря их высокой прочности, химической стойкости и долговечности, а также значительно меньшему углеродному следу [2, 3].

Цементная промышленность является одним из крупнейших источников антропогенных выбросов углекислого газа, на долю которой приходится около 6-8% глобальных выбросов CO_2. По современным оценкам, при производстве каждой тонны цемента в атмосферу выделяется от 0,66 до 1,5 тонн CO_2, что делает данный процесс одним из наиболее углеродоёмких в строительном секторе [4, 5]. Основные источники эмиссий связаны с термическим разложением карбонатов (кальцинацией известняка) и высокими энергетическими затратами при обжиге клинкера.

В этой связи особый интерес вызывают технологии, направленные на снижение углеродной интенсивности производства строительных материалов. Одним из наиболее эффективных решений является применение геополимерных вяжущих систем, производство которых сопровождается снижением выбросов CO_2 до 80% по сравнению с традиционным портландцементом [6]. Кроме того, геополимеры позволяют использовать техногенные алюмосиликатные материалы, что способствует снижению нагрузки на природные ресурсы и уменьшению объёма промышленных отходов.

Геополимерные композиты демонстрируют не только высокие механические характеристики, но и устойчивость к воздействию агрессивных сред, повышенную термостойкость и долговечность в условиях переменных температур и влажности. Благодаря этим свойствам они могут применяться в гражданском и промышленном строительстве, транспортной инфраструктуре, а также при утилизации отходов металлургического и энергетического производства. Исследователи [7] отмечают, что геополимеры обладают исключительной термической стабильностью при воздействии повышенных температур, что обусловливает их потенциал в качестве поверхностных защитных покрытий для противопожарных применений. Высокая термостойкость геополимерных матриц объясняется совокупностью факторов, таких как уплотнение структуры, уменьшение пористости и образование кристаллических фаз при нагревании. Эти процессы подтверждаются результатами исследований, посвящённых тепловому поведению, микроструктурной эволюции и остаточной прочности геополимеров после термического воздействия.

Таким образом, геополимерные материалы рассматриваются как экологически и технологически обоснованная альтернатива портландцементу, обеспечивающая снижение углеродного следа, рациональное использование ресурсов и переход к устойчивому развитию строительного сектора.

2 Сырьевые источники для геополимеризации

Сырьё играет ключевую роль в формировании структуры, прочности и долговечности геополимерных материалов. Процесс геополимеризации основан на взаимодействии щелочных активаторов с алюмосиликатным сырьём, в результате которого формируется пространственная сетчатая структура. Для систем, активированных натрием, характерно образование пространственной сетчатой структуры типа N–A–S–H (натриево-алюмосиликатный гидрат), описываемого обобщённой схемой: $Na_2O–Al_2O_3–SiO_2–H_2O \rightarrow$ N–A–S–H. В системах, содержащих кальций (шлаки, золы, техногенные силикатные отходы), параллельно или преимущественно формируется гель типа C–A–S–H (кальциево-алюмосиликатный гидрат), описываемый схематически как: $CaO – Al_2O_3 – SiO_2 – H_2O \rightarrow$ C–A–S–H. Оба типа обеспечивают развитие прочности и долговечности геополимерных композитов [8, 9].

Наиболее часто используемыми алюмосиликатными материалами являются метакаолин, золы-уноса (классов F и C), доменные гранулированные шлаки, красный шлам, зола рисовой шелухи, а также керамические и стекольные отходы [10-13]. Эти материалы различаются по содержанию оксидов кремния и алюминия, степени аморфности и морфологии частиц, что напрямую влияет на их реакционную способность и кинетику процесса геополимеризации.

В последние годы всё больше внимания уделяется применению вторичных ресурсов и промышленных отходов в качестве сырья для геополимеров. К ним относятся зола от сжигания биомассы, керамические шламы, цементно-бетонные отходы, измельчённое стекло и отходы камнеобработки [14-16]. Использование таких материалов позволяет существенно снизить себестоимость и углеродный след производства, одновременно решая проблему утилизации промышленных побочных продуктов. По данным современных исследований, внедрение отходных алюмосиликатных систем позволяет сократить выбросы CO_2 на 40-60% по сравнению с цементными материалами на основе портландцемента [8].

По происхождению алюмосиликатное сырьё подразделяется на две основные группы:

– природные материалы (каолинит, метакаолин, вулканический пепел, диатомит), отличающиеся стабильным химическим составом и высокой чистотой [17, 18];

– техногенные отходы (золы-уноса, доменные и ферросплавные шлаки, красный шлам, зола рисовой шелухи, отходы камнеобработки и строительного производства, т.д.) [19-24].

Метакаолин представляет собой продукт кальцинации каолина, получаемый при температуре 600-800°C, что сопровождается значительными энергетическими затратами и выбросами парниковых газов [25]. Его производство вносит вклад как в глобальное потепление, так и в истощение природных запасов глины. Кроме того, метакаолин является сравнительно дорогостоящим сырьём, что стимулирует поиски более доступных и устойчивых по происхождению материалов [26-28]. В целях повышения экономической эффективности и экологической устойчивости в последние годы предпринимаются активные попытки частичной или полной замены метакаолина промышленными и техногенными отходами. В качестве альтернативного сырья для геополимеров успешно используются отходы различного происхождения – красный шлам, зола рисовой шелухи, отвальные хвосты горнодобывающей промышленности, зола-уноса и донная зола угольных электростанций, каталитические остатки нефтехимии, отходы стекольного и керамического производства, зола от сжигания пальмового масла, зола целлюлозно-бумажного шлама и осадки, получаемые при очистке сточных вод [25].

Химический состав и соотношение основных оксидов оказывают решающее влияние на структуру и свойства конечных геополимеров. Согласно исследованиям [29], повышение соотношения Si/Al способствует увеличению прочности за счёт формирования связей типа Si–O–Si, однако при этом снижается термическая стабильность материала. Авторы работы [30] показали, что оптимальное формирование гелевой структуры наблюдается при Si/Al ≈ 1,5, а дальнейшее увеличение этого соотношения приводит к росту прочности на сжатие. Fletcher и соавторы [31] установили, что повышение содержания SiO_2 положительно влияет на модуль упругости.

Особое внимание в последние годы уделяется переработке отходов красного кирпича и керамических изделий, которые обладают высоким содержанием SiO_2 и Al_2O_3 и могут служить эффективным заменителем метакаолина [32-34]. Mahmoodi в своей работе [32] исследовали влияние параметров SiO_2/Al_2O_3, Na_2O/SiO_2 и L/S (жидкость/твёрдое) на степень геополимеризации и установили, что наибольшая прочность достигается при соотношениях SiO_2/Al_2O_3 = 7,1 и Na_2O/SiO_2 = 0,24. В работе [33] также отмечено влияние водоцементного отношения на прочность композитов на основе кирпичных отходов.

Исследования [35, 36] показали, что такие материалы обладают высокой удобоукладываемостью – расплыв смеси достигает 235-300 мм, а присутствие кальция способствует ускоренному твердению и росту прочности. Проведённые исследования подтверждают, что отходы обожжённого кирпича и красной глины являются перспективным сырьём для получения геополимеров, способным частично или полностью заменить метакаолин. Однако вопросы влияния соотношений Na/Al и Si/Al на микроструктуру и эксплуатационные свойства геополимеров на основе комбинированного сырья требуют дальнейшего изучения [37]. Обобщённые данные о составе исследованных алюмосиликатных систем, их молярных соотношениях и достигнутых механических характеристиках приведены в таблице 1.

Дополнительные данные о влиянии химико-минералогического состава сырья на формирование структур N–A–S–H и C–A–S–H подтверждаются как экспериментальными исследованиями, так и современными патентными разработками. Согласно материалам патента US 8,523,998 B2, даже комплексные по составу отходы – продукты термической обработки нефтеносных сланцев – способны формировать устойчивую геополимерную матрицу при соблюдении контролируемых молярных соотношений Si/Al = 2-5 и наличия реакционноспособного кальция. Последний выступает естественным активатором и способствует образованию смешанных гелевых фаз N–A–S–H/C–A–S–H, что повышает плотность и раннюю прочность материала [38].

Ряд зарубежных патентов также подчёркивает, что структурная организация геополимерного геля определяется не только содержанием SiO_2 и Al_2O_3, но и степенью полимеризации сетки и координацией алюминия. В патенте US 5,342,595 описаны различные семейства геополимеров (M–PS, M–PSS, M–PSDS), для которых изменение соотношения Si/Al и характера связей Si–O–Al приводит к варьированию термостойкости, химической стойкости и склонности к образованию пор [39]. При повышении доли кремнезёма гелевая структура становится более трёхмерной и менее подверженной дегидратации, что согласуется с выводами академических работ [29-31].

Таблица 1 – Примеры рецептур геополимеров и их основные преимущества

№	Состав геополимеров	Технический результат	Источник
1	70% доменного гранулированного шлака + 30% золы биомассы оливковых косточек	Прочность 18-33 МПа (28 сут.)	[14]
2	Геополимерный бетон на основе золы-уноса или гранулированного доменного шлака с частичной заменой 10-20% вяжущего тонкомолотым стекольным порошком	10-20% – повышение прочности, плотности и стойкости; >20 % – увеличение пористости и снижение реактивности	[15]
3	Каолин-основанный геополимер с добавлением 0.6-1.2 мас. % алюминиевого порошка (вспенивающий агент)	При 0.8 % Al – оптимальная пористость, удельная поверхность 23.58→54.81 м²/г, эффективность удаления Cu^{2+} до 98 %	[20]
4	Метакаолин с частичной заменой 33.3-66.6% на отходы красной керамики	33.3% замещения – прочность не снижается; 50 % – повышение прочности раствора (лучшее уплотнение структуры); 66.6% – резкое снижение прочности	[25]
5	Геополимерный раствор на основе золы-уноса с замещением 0-100% золой от сжигания пальмового масла	Ускоренное образование микропор при нагревании; смещение максимума прочности с 300°C (FA) до 500°C при добавлении POFA; повышение термостойкости	[28]
6	Геополимерный композит с варьируемой долей кварца и аморфного SiO_2 (0-100%)	Аморфный SiO_2 усиливает геополимеризацию и повышает прочность; кварц → отсутствие связности и снижение прочности; при стабильном Si/Al кварц повышает прочность за счёт уплотнения структуры	[30]
7	Отходы красного кирпича с частичной заменой 20-50 мас.% кальций-алюминатного цемента	40 % – 50 МПа за 3 суток (20 °C); при 65 °C до 92 МПа за 7 суток; ускорение геополимеризации; высокие дозы (50 %) – слишком быстрое твердение	[33]

Важным практическим аспектом является возможность модификации геополимерной структуры за счёт включения в сырьевую смесь дополнительных алюмосиликатных или реакционноспособных фаз. В патенте EP 4 484 398 A1 [40] показано, что добавление алюминиевого шлама или других алюмосодержащих отходов способствует формированию высокопористой и одновременно прочной структуры за счёт выделения водорода и последующего образования развитой внутренней поверхности. Это открывает перспективы для создания теплоизоляционных, фильтрационных и лёгких конструкционных материалов на геополимерной основе (табл. 2).

Совокупность научных и патентных данных демонстрирует, что разнообразие алюмосиликатного сырья – природного, техногенного и комбинированного – позволяет гибко управлять формированием гелевых структур и микропористости, что расширяет область применения геополимеров и делает выбор состава ключевым этапом разработки высокоэффективных композитов.

3 Механизм геополимеризации

Процесс геополимеризации представляет собой сложную совокупность физико-химических реакций, происходящих между щелочным активатором и алюмосиликатным сырьём. Его можно условно разделить на три основные стадии [25]:

На первой стадии под действием раствора щёлочного активатора (NaOH, KOH, Na_2SiO_3) происходит разрушение алюмосиликатной решётки исходного материала и переход активных форм кремния и алюминия в раствор [47].

На втором этапе происходит гидролиз и поликонденсация растворённых алюмосиликатных видов с образованием прочных ковалентных связей Si–O–Al и Si–O–Si, формирующих трёхмерную гелевую сетку N–A–S–H, а в присутствии кальция одновременно протекает образование фазы C–A–S–H, что приводит к уплотнению структуры и ускоренному набору прочности [48].

Таблица 2 – Примеры патентных рецептур геополимеров

№	Состав геополимеров	Технический результат	Источник
1	Геополимер из отходов нефтеносных сланцев, Si/Al=2–5, CaO до 15%	Образование смешанных гелей N–A–S–H/C–A–S–H; рост плотности, прочности, стойкости к химической коррозии	[38]
2	Композиция на основе алюминиевого шлама + алюмосиликатное сырье	Образование высокопористой структуры; возможность получения теплоизоляционных материалов	[40]
3	Геополимерный порошковый состав: 60–90% твёрдого геополимерного прекурсора(гранит/микросилика/шлаки), 5-8% ZnO, 1-10% твёрдый активатор (MOH, M=Li/Na/K)	Повышенная ранняя прочность; ускоренное твердение; улучшенная прокачиваемость и долговечность	[41]
4	Геополимерный цемент из 20-50% стеклобоя + алюмосиликатное сырьё (каолиниты/латериты/летучая зола), с NaOH/KOH и жидким стеклом	Формирование цемента с высокой ранней прочностью (до 30 МПа через 2 часа при нагреве); высокая химическая стойкость; понижение стоимости за счёт повторного использования стекла	[42]
5	35-45% алюминиевая золь, 10-15% шлак доменный, 35–45% стальной шлак, 8–12% метакаолин; активатор: Na_2SiO_3 + NaOH (30% от массы сырья)	Формирование высокопрочного геополимера; эффективная утилизация промышленных отходов; экономичность; хороший набор прочности при 60°C и в нормальных условиях	[43]
6	Алюмосиликатное сырьё + щёлочной активатор ($NaOH/Na_2SiO_3$) + газообразующий компонент (металлический Al или другие порообразующие добавки)	Регулируемая пористость; возможность получения лёгкого, пористого геополимера; высокие теплоизоляционные свойства; применение в фильтрах, сорбентах и теплоизоляционных системах	[44]
7	Метакаолин / алюмосиликатный прекурсор + щелочной раствор (Na_2SiO_3, $NaAlO_2$, $Na_2Si_2O_5$)	Образование золя-геля без высокотемпературного обжига; возможность получения геополимера без стадий сушки и размалывания; упрощение процесса	[45]
8	Геополимерный цемент из переработанного стекла (50-95%) + алюмосиликатное сырьё + щёлочной активатор ($NaOH/KOH/Na_2SiO_3$)	Улучшенное твердение при низких температурах; повышение ранней прочности; высокая экологичность за счёт утилизации стекла; снижение CO_2 и стоимости производства	[46]

На третьем этапе происходит гелеобразование и твердение, сопровождающиеся уплотнением структуры, удалением избыточной воды и формированием межчастичных связей. Условия твердения – температура, влажность и продолжительность выдержки – оказывают существенное влияние на кинетику реакций и конечные свойства композита. Оптимальный температурный диапазон 40-80°C способствует ускорению процессов поликонденсации, особенно при использовании низкореакционного сырья, обеспечивая более равномерное формирование структуры и рост прочности [49].

Регулирование параметров, таких как соотношение Si/Al, концентрация щёлочи, модуль активатора (SiO_2/Na_2O) и режим твердения, позволяет целенаправленно управлять структурой и свойствами геополимерных композитов. При этом наличие реакционноспособных соединений кальция способствует образованию гибридных фаз C–A–S–H, повышающих раннюю прочность и степень уплотнения структуры [50].

Щёлочные активаторы играют ключевую роль в определении скорости и механизма геополимеризации [51]. В качестве щелочных активаторов при синтезе геополимеров наиболее часто применяются соединения щелочных металлов – гидроксиды (NaOH, KOH) и силикаты (Na_2SiO_3, K_2SiO_3), а также карбонат бария ($BaCO_3$) [52-55]. Гидроксиды (NaOH, KOH) выполняют функцию сильных оснований, способствующих растворению алюмосиликатного сырья и высвобождению активных форм кремния и алюминия. По данным Jaarsveld и Deventer [56], использование NaOH в качестве активатора способствует более интенсивной поликонденсации, обеспечивая повышение прочности на сжатие, снижение степени кристалличности и повышение кислотостойкости по сравнению с системами на основе KOH.

В то же время силикаты (Na_2SiO_3, K_2SiO_3) обеспечивают поступление растворимого кремния, что способствует формированию более плотной и прочной гелевой структуры геополимера, улучшая его механические характеристики [57, 58].

Концентрация щёлочи является одним из наиболее значимых факторов, влияющих на эффективность геополимеризации. Повышение молярности раствора NaOH (обычно в диапазоне 6-12 М) усиливает щёлочную среду и, следовательно, ускоряет растворение алюмосиликатного сырья. Однако при чрезмерной концентрации наблюдается избыточное образование неструктурированных алюминатов и силикатов, что может приводить к повышенной пористости и неоднородности структуры. В исследованиях [59] показано, что оптимальный диапазон концентрации NaOH составляет 8-10 М, при котором достигается наилучшее сочетание растворимости, плотности геля и прочностных характеристик.

Наиболее распространённой считается комбинированная система NaOH–Na_2SiO_3, обеспечивающая оптимальный баланс между растворением и последующим образованием геля. Комбинация NaOH с жидким стеклом (Na_2SiO_3) повышает содержание растворённого кремния в смеси, что улучшает механические свойства композита [60]. Как отмечается в работе [61], молярная концентрация NaOH, применяемая в исследованиях, обычно не превышает 20 М, а отношение Na_2SiO_3/NaOH не должно быть выше 1,0, что позволяет избежать ухудшения структуры и обеспечить стабильные физико-химические характеристики материала.

Учитывая, что реакционная способность алюмосиликатного сырья значительно варьирует, влияние состава щёлочного активатора необходимо рассматривать на примере различных типов прекурсоров. Это позволяет оценить универсальность выявленных закономерностей и то, как изменение отношения Na_2SiO_3/NaOH отражается на прочности геополимеров, полученных из сырья с разной активностью. В этой связи на рисунке 1 представлены данные, демонстрирующие характер изменения прочности для трёх типов геополимерных систем (C100 – геополимер, полученный на основе измельчённого кирпичного боя; C50M50 – композиция, включающая кирпичное сырьё и метакаолин в соотношении 50/50; M100 – система на основе высокореактивного метакаолина) при варьировании состава активатора.

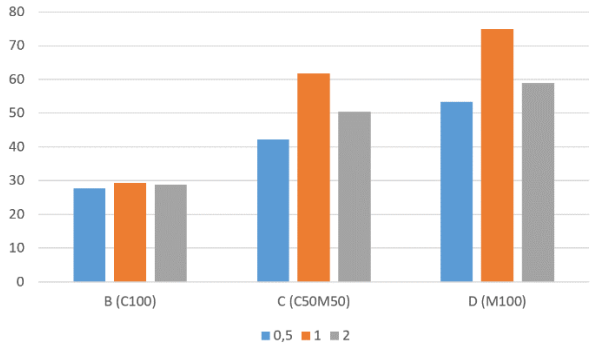


Рисунок 1 – Влияние отношения Na_2SiO_3/NaOH (0.5; 1; 2) на прочность геополимеров (построено на основе анализа данных источника [62])

Анализ литературных данных показывает, что изменение отношения Na_2SiO_3/NaOH оказывает выраженное влияние на прочность геополимеров. Как видно из зависимостей, приведённых на рисунке 1, для всех исследованных систем максимальные значения прочности достигаются при Na_2SiO_3/NaOH ≈ 1.0, тогда как более низкие или высокие значения приводят к снижению прочностных характеристик. Такая экстремальная зависимость отражает оптимальное соотношение растворённого кремнезёма и щёлочности раствора, обеспечивающее наиболее интенсивное формирование гелевых фаз N–A–S–H и C–A–S–H. Полученные тенденции согласуются с результатами работ [62] и подчеркивают важность выбора сбалансированного состава активатора.

В ряде исследований установлено, что концентрация щелочного активатора оказывает определяющее влияние на эффективность протекания геополимеризации и формирование структуры материала. Так, в работе [63] представлены результаты, свидетельствующие о

том, что оптимальная концентрация гидроксида натрия (NaOH) находится в диапазоне 8-12 М, при котором обеспечивается максимальная степень растворения алюмосиликатного сырья и формирование прочной трёхмерной структуры геополимера. Кроме того, показано, что при содержании силиката натрия (Na_2SiO_3) в пределах 35–50% по массе достигаются улучшенные показатели прочности на сжатие и плотности за счёт формирования более упорядоченной алюмосиликатной сетки [63].

Влияние щёлочного активатора проявляется не только в химическом, но и в морфологическом аспекте: варьирование концентрации и модуля активатора определяет размер и распределение пор, степень упорядоченности гелевой фазы и соотношение аморфных и кристаллических участков в структуре. Более высокая концентрация NaOH способствует ускоренному растворению частиц сырья, но может приводить к неравномерному росту гелевой сетки, тогда как увеличение содержания Na_2SiO_3 стабилизирует структуру и способствует формированию более плотной матрицы N–A–S–H.

Таким образом, процесс геополимеризации включает взаимосвязанные реакции растворения, миграции и поликонденсации алюмосиликатных тетраэдров с образованием аморфно-кристаллической структуры. Управление составом щёлочного активатора, мольными соотношениями и температурными условиями позволяет целенаправленно регулировать структуру и свойства получаемого материала.

Установление взаимосвязей между химическим составом щелочного активатора, параметрами геополимеризации и свойствами конечного материала имеет решающее значение для разработки композитов с прогнозируемыми характеристиками. Это создаёт основу для дальнейших исследований в области адаптивного подбора активаторов под конкретные виды алюмосиликатного сырья и условий эксплуатации геополимеров.

Заключение

На основании проведённого обзора наиболее перспективными для условий страны являются геополимерные системы, основанные на сочетании доступных техногенных алюмосиликатных ресурсов – золы ТЭЦ, доменных и ферросплавных шлаков, отходов обогащения и переработки бокситов – с высокореактивными природными компонентами, такими как метакаолин и диатомит. Наилучшие эксплуатационные показатели достигаются при использовании щёлочного активатора с отношением Na_2SiO_3/NaOH порядка 1.0 и концентрацией NaOH 8–10 М, что обеспечивает формирование плотной гелевой структуры и прочностные характеристики на уровне 60-75 МПа.

Для отечественной строительной промышленности наиболее значимыми техническими решениями являются вовлечение техногенных отходов в качестве основного алюмосиликатного сырья, оптимизация модуля жидкого стекла, регулирование водотвёрдого отношения и применение низкотемпературных условий твердения. Реализация таких подходов позволяет одновременно снизить себестоимость материалов, повысить степень переработки техногенных накоплений и обеспечить выпуск экологически безопасных строительных изделий, что делает геополимерные технологии одним из ключевых направлений устойчивого развития отрасли.

Список литературы

1. О внесении изменений и дополнений в Постановление Правительства Республики Казахстан от 30 октября 2010 года № 1144 «Об утверждении Программы по развитию горно-металлургической отрасли в Республике Казахстан на 2010-2014 годы».
2. Chemical fundamentals of geopolymers in sustainable construction / M. Makungu et al // Materials Today Sustainability. – 2024. – Vol. 27. https://doi.org/10.1016/j.mtsust.2024.100842.
3. Geopolymers: The green alternative to traditional materials for engineering applications / Z. Jwaidat et al // Infrastructures. – 2023. – № 8. – P. 98.
4. Tayeh B.A. The utilization of recycled aggregate in high performance concrete: A review / B.A. Tayeh, D.M. Al Saffar, R. Alyousef // Journal of Materials Research and Technology. – 2020. – № 9. – P. 8469-8481.
5. Geopolymer concrete as sustainable material: A state-of-the-art review / F. Farooq et al // Construction and Building Materials. – 2021. – № 306. – P. 124762.
6. Sustainable Geopolymer Tuff Composites Utilizing Iron Powder Waste: Rheological and Mechanical Performance Evaluation / M.L.K. Khouadjia et al // Sustainability. – 2025. – № 17. – P. 1240. https://doi.org/ 10.3390/su17031240.

7. Review: geopolymers for fire protection applications / R. Mohamed et al // J Mater Sci. – 2025. – № 60. – P. 18678-18709. https://doi.org/10.1007/s10853-025-11496-z.
8. Geopolymer Materials: Cutting-Edge Solutions for Sustainable Design Building / L. Ricciotti et al // Sustainability. – 2025. – № 17. – P. 7483. https://doi.org/10.3390/su17167483.
9. Ujianto M. Structural Behavior of Precast ConcreteWall Panels Due to Dynamic Load: A Review / M. Ujianto, A.Z. Mohd Ali, M. Solikin // AIP Conf. Proc. – 2019. – № 2114. – P. 050013.
10. Dimas D.D. Utilization of alumina red mud for synthesis of inorganic polymeric materials / D.D. Dimas, I.P. Giannopoulou, D. Panias // Miner. Process. Extr. Metall. Rev. – 2009. – № 30. – P. 211-239.
11. Nuaklong P. Properties of metakaolin-high calcium fly ash geopolymer concrete containing recycled aggregate from crushed concrete specimens / P. Nuaklong, V. Sata, P. Chindaprasirt // Constr. Build. Mater. – 2018. https://doi.org/10.1016/j.conbuildmat.2017.11.152.
12. Alomayri T. Experimental study of the microstructural and mechanical properties of geopolymer paste with nano material (Al2O3) / T. Alomayri // J. Build. Eng. – 2019. https://doi.org/10.1016/j.jobe.2019.100788.
13. Synthesis and characterization of red mud and rice husk ash-based geopolymer composites / J. He et al // Cem. Concr. Compos. – 2013. – № 37. – P. 108-118. https://doi.org/10.1016/j.cemconcomp.2012.11.010.
14. Olive biomass ash as an alternative activator in geopolymer formation: A study of strength, radiology and leaching behavior / M.M. Alonso et al // Cement and Concrete Composites. – 2019. – Vol. 104. https://doi.org/10.1016/j.cemconcomp.2019.103384.
15. Maaty Al.A. Geopolymer Concrete Performance Utilising Waste Glass: A Review / Al.A. Maaty, M.F. Ghazy, M.G. Eldmarny // Mansoura Engineering Journal. – 2025. – Vol. 50, Iss. 3. https://doi.org/10.58491/2735-4202.3254.
16. Harnessing waste for sustainable construction: Novel synthesizing activators from waste for geopolymer concrete / Murali G. et al // Theor. Appl. Fract. Mech. – 2024. – №124. – P. 103559.
17. Properties and performance of fly ash–based geopolymer as concrete repair material / W.W.A. Zailani et al // In Recent Developments of Geopolymer Materials; Woodhead Publishing: Cambridge, UK. – 2025. – P. 163-179.
18. Shafiq M.U. Applications of geopolymers / M.U. Shafiq, M. Jamil, , Khan, M., 2025. // Sustain. Struct. Mater. 256.
19. Smith, J. Sustainable recycling practices for waste glass in construction materials / J. Smith // J. Sustain. Mater. – 2021. – № 12. – P. 45e54.
20. Effect of Aluminium Powder on Kaolin-Based Geopolymer Characteristic and Removal of Cu2+ / N. Ariffin et al // Materials. – 2021. – № 14. – P. 814.
21. Assessment of the Suitability of Ceramic Waste in Geopolymer Composites: An Appraisal / I. Luhar et al // Materials. – 2021. – № 14. – P. 3279. https://doi.org/10.3390/ma14123279.
22. New Blended Cement from Polishing and Glazing Ceramic Sludge / F. Andreola et al // Int. J. Appl. Ceram. Technol. – 2009. – № 7. – P. 546-555.
23. Study of Novel Geopolymer Concrete Prepared with Slate Stone Cutting Sludge, Chamotte, Steel Slag and Activated with Olive Stone Bottom Ash / R. Carrillo Beltran et al // Materials. – 2025. – № 18. – P. 1974. https://doi.org/10.3390/ ma18091974.
24. Geopolymers: An option for the valorization of incinerator bottom ash derived «end of waste» / Lancellotti I. // Ceramics International. – 2015. – Vol. 41, Issue 2, Part A. – P. 2116-2123. https://doi.org/10.1016/j.ceramint.2014.10.008.
25. Madhuchhanda S. Partial replacement of metakaolin with red ceramic waste in geopolymer / S. Madhuchhanda, D. Kausik // Ceramics International. – 2021. – Vol. 47, Issue 3. – P. 3473-3483. https://doi.org/10.1016/j.ceramint.2020.09.191.
26. A review on properties of fresh and hardened geopolymer mortar / P. Zhang et al // Composites B: Engineering. – 2018. – № 152. – P. 79-95.
27. Pacheco-Torgal F. Properties of tungsten mine waste geopolymeric binder / F. Pacheco-Torgal, J. Castro-Gomes, S. Jalali // Construction and Building Materials. – 2008. – № 22. – P. 1201-1211.
28. Compressive strength and microstructural analysis of fly ash/palm oil fuel ash based geopolymer mortar under elevated temperatures / N. Ranjbar et al // Construction and Building Materials. – 2014. – № 65. – P. 114-121.

29. Effects of Si/Al ratio on the structure and properties of metakaolin based geopolymer / P.G. He et al // Ceram. Int. – 2016. – № 42. – P. 14416-14422.
30. Role of the silica source on the geopolymerization rate / A. Autef et al // J. Non-Cryst. Solids. – 2012. – № 358. – P. 2886-2893.
31. The composition range of aluminosilicate geopolymers / R.A. Fletcher et al // J. Eur. Ceram. Soc. – 2005. – № 25. – P. 1471-1477.
32. Optimization of brick waste-based geopolymer binders at ambient temperature and pre-targeted chemical parameters / O. Mahmoodi et al // J. Clean. Prod. – 2020. – № 268. https://doi.org/10.1016/j. jclepro.2020.122285.
33. Influence of calcium aluminate cement (CAC) on alkaline activation of red clay brick waste (RCBW) / L. Reig et al // Cement Concr. Compos. – 2016. – № 65. – P. 177-185.
34. Properties and microstructure of alkali-activated red clay brick waste / L. Reig et al // Construct. Build. Mater. – 2013. – № 43. – P. 98-106.
35. Application of waste brick powder in alkali activated aluminosilicates: functional and environmental aspects / J. Fort et al // J. Clean. Prod. – 2018. – № 194. – P. 714-725.
36. Development of high-strength alkali-activated pastes containing high volumes of waste brick and ceramic powders / C.L. Hwang et al // Construct. Build. Mater. – 2019. – № 218. – P. 519-528.
37. Rossignol, Feasibility of producing geopolymer binder based on a brick clay mixture / J. Peyne et al // Ceram. Int. – 2017. – № 43. – P. 9860-9871.
38. US 8 523 998 B2. Process for producing geopolymers / Edgar Gasafi, Katja Dombrowski-Daube. – Publ. – 2013.
39. US 5 342 595 A. Process for obtaining a geopolymericalumino-silicate and products thus obtained / J. Davidovits, M. Davidovics, N. Davidovits. – Publ. – 1994.
40. EP 4 484 398 A1. Geopolymer compositions comprising aluminum sludge and use thereof / A. Da Silva, A. Bem d'Eça Peixinho, F. Mendes Gaspar, T. Siqueira de Almeida Archer de Carvalho. – Publ. 2023.
41. № 20220629 A1. One-part geopolymer composition: patent application / Mahmoud Khalifeh, Mohamed Ahmed Fathy Abdelshafy Omran; applicant: Universitetet i Stavanger. – Publ. 2023.
42. WO 2015/089611 A1. Geopolymer cement produced from recycled glass and method for producing same: international patent application / Sidnei Antonio Pianaro, Gino Capobianco; applicant: Universidade Estadual de Ponta Grossa. – Publ. 2015.
43. CN 110759655 B. Industrial-waste-based geopolymer : invention patent / Tian Jun, E Xinrui, Wang Deyong, Qu Tianpeng, Shi Jialun, Xiong Yuandong, Lu Shilei, Zhang Min ; applicant: Suzhou University. – Publ. 2021.
44. Пат. RU 2503617 C2. Фризон Ф., Жуссо Дюбьен К. Способ получения геополимера с регулируемой пористостью, полученный геополимер и различные варианты его применения. Опубл. 2014.
45. EA 040554 B1 Кондратович Ф. Л., Утрата К., Микошек-Оперхальская М. Способ получения геополимера или геополимерного композита. Опубл. 2022.
46. WO 2015/089611 A1. Cimento geopolimérico a partir de vidros reciclados e seu processo de obtenção / R.H. Santos et al – 2015.
47. Radhakrishnan S. Analysis of Ferro-Geopolymer Panels Reinforced with Different Types of Fibres / S. Radhakrishnan, N. Soundarapandian // Struct. Concr. – 2025. – № 26. – P. 2052-2066.
48. Temuujin J. Preparation and thermal behaviour of potassium aluminosilicate geopolymers / J. Temuujin, A. van Riessen, K.J.D. MacKenzie // J. Non-Cryst. Solids. – 2010. – № 356. – P. 2023-2027.
49. Garcia-Lodeiro I. Variation in hybrid cements over time / I. Garcia-Lodeiro, A. Fernandez-Jimenez, A. Palomo // Cem. Concr. Res. – 2013 – № 52. – P. 112-122.
50. Effect of Silicate Modulus and Metakaolin Incorporation on the Carbonation of Alkali Silicate-Activated Slags / S.A. Bernal et al // Cem. Concr. Res. – 2010. – № 40. – P. 898-907.
51. The role of calcium in blended fly ash geopolymers / G.M. Canfield et al // J. Mater. Sci. – 2014. – № 17. – P. 5922-5933.
52. Influence of Activators on Mechanical Properties of Modified Fly Ash Based Geopolymer Mortars / P. Prochon et al // Materials (Basel). – 2020. – № 13(5). – P. 1033. https://doi.org/10.3390/ma13051033. PMID: 32106414; PMCID: PMC7084247.

53. Exemplification of efficacy of homebrewed sodium silicate solution processed from eco-processed pozzolan and palm oil clinker powder in geopolymer mortar / H.A.A.E. Ghanim et al // Construction and Building Materials. – 2025. – Vol. 460. https://doi.org/10.1016/j.conbuildmat.2024.139825.
54. Effect of natural and artificial silicon additives on the physicomechanical performance of dolomite-based alkaline-activated mortar / M. Kaya et al // Silicon. – 2024. – № 16(1). – P. 215-230. https:// doi.org/10.1007/s12633-023-02677-z.
55. JProvis.L. Alkali-activated materials / J.L. Provis // Cem. Concr. Res. – 2018. – № 114. – P. 40-48. https://doi.org/10.1016/j.cemconres.2017.02.009.
56. Jaarsveld van J. Effect of the Alkali Metal Activator on the Properties of Fly Ash-Based Geopolymers / J. Jaarsveld van, J. Deventer van // Eng. Chem. Res. – 1999. – № 38. – P. 3932-3941.
57. Fawer M. Life cycle inventories for the production of sodium silicates / M. Fawer, M. Concannon, W. Rieber // Int. J. Life Cycle Assess. – 1999. – № 4(4). – P. 207-212. https://doi.org/ 10.1007/BF02979498.
58. Effect of sodium hydroxide concentration on fresh properties and compressive strength of selfcompacting geopolymer concrete / F.A. Memon et al // J. Eng. Sci. Technol. – 2013. – № 8(1). – P. 44-56.
59. Influence of Alkaline Activator Properties on Corrosion Mechanisms and Durability of Steel Reinforcement in Geopolymer Binders / M. Chira et al // Coatings. – 2025. – № 15. – P. 734. https://doi.org/10.3390/ coatings15060734.
60. Pacheco-Torgal F. Alkali-activated binders: A review / F. Pacheco-Torgal, J. Castro-Gomes, S. Jalali // Part 2. About materials and binders manufacture. Constr. Build. Mater. – 2008. – № 22. – P. 1315-1322.
61. Effect of Sodium Silicate to Sodium Hydroxide Ratios on Strength and Microstructure of Fly Ash Geopolymer Binder / M.S. Morsy et al // J. Sci. Eng. – 2014. – № 39. – P. 4333-4339.
62. Effect of Sodium Silicate and Sodium Hydroxide Ratioson Compressive Strength of Ceramic Brick and Metakaolin Waste-Based Geopolymer Binder / M. Statkauskas et al // Materials. – 2025. – № 18. – P. 4947. https://doi.org/10.3390/ ma18214947.
63. Anburuvel A. The role of activators in geopolymer-based stabilization for road construction: a state-of-the-art review / A. Anburuvel // Multiscale and Multidiscip. Model. Exp. and Des. – 2023. – № 6. – P. 41-59. https://doi.org/10.1007/s41939-022-00139-4.

Информация о финансировании. Данное исследование финансируется Комитетом науки Министерства науки и высшего образования Республики Казахстан (грант № AP26197535 «Разработка геополимерных композитов на основе металлургических отходов»).

Б.Т. Ғылымханов[1], А.Ж. Кожанова[1], А.А. Амитова[1], М.А. Елубай[2], Г.С. Айткалиева[*]
[1]Қ.И. Сәтбаев атындағы Қазақ ұлттық зерттеу техникалық университеті,
050012, Қазақстан Республикасы, Алматы қ., Сәтбаев көшесі, 22
[2]Торайғыров университеті,
140000, Қазақстан Республикасы, Павлодар қ., Ломов көшесі, 64
[*]e-mail: g.aitkaliyeva@satbayev.university

АЛЮМОСИЛИКАТТЫ ШИКІЗАТ НЕГІЗІНДЕГІ ГЕОПОЛИМЕРЛЕР: МЕХАНИЗМДЕРІ, ШИКІЗАТ КӨЗДЕРІ ЖӘНЕ ҚОЛДАНУ БОЛАШАҒЫ

Мақалада портландцементке экологиялық тұрғыдан тұрақты балама ретінде геополимерлі композиттердің даму бағыттары қарастырылған. Геополимеризация процесіне арналған шикізат көздері – табиғи алюмосиликатты материалдар мен өнеркәсіптің техногендік қалдықтары: ұшпа күл, домна және ферроқорытпа шлактары, қызыл шлам және энергетика мен металлургия өндірістерінің басқа да жанама өнімдері талданған. Геополимеризацияның негізгі сатылары мен механизмдері, сілтілік активаторлардың және синтез параметрлерінің материал құрылымы мен қасиеттеріне әсері сипатталған. Геополимерлі композиттердің жоғары беріктікке, термотұрақтылыққа және химиялық төзімділікке ие екендігі, сондай-ақ көміртек ізі айтарлықтай төмен екендігі көрсетілген. Бұл оларды құрылыс және өнеркәсіптік қалдықтарды қайта өңдеу салаларында қолдануға перспективалы материал етеді.

Қазақстан Республикасы табиғи алюмосиликатты кендердің және техногендік екінші ресурстардың мол қорына ие, бұл экологиялық жүктемені азайту және минералдық шикізатты тиімді пайдалану мақсатында геополимерлік технологияларды кеңінен енгізуге алғышарттар жасайды.

Түйін сөздер: *геополимер, активатор, шикізат, алюмосиликаттар, ұшпа күл, өнеркәсіптік қалдықтар, шламдар.*

B. Gylymkhanov[1], A. Kozhanova[1], A. Amitova[1], M. Yelubay[2], G. Aitkaliyeva[*]
[1]Satbayev University,
050012, Republic of Kazakhstan, Almaty, 22 Satbayev Street,
[2]Toraighyrov University,
140000, Republic of Kazakhstan, Pavlodar, 64 Lomov Street,
[*]e-mail: g.aitkaliyeva@satbayev.university

GEOPOLYMERS BASED ON ALUMINOSILICATE RAW MATERIALS: MECHANISMS, RAW MATERIAL SOURCES AND APPLICATION PROSPECTS

The paper discusses current trends in the development of geopolymer composites as an environmentally sustainable alternative to Portland cement. An analysis of raw material sources for geopolymerization is presented, including natural aluminosilicate materials and industrial by-products such as fly ash, blast furnace and ferroalloy slags, red mud, and other residues from energy and metallurgical industries. The main stages and mechanisms of geopolymerization are described, as well as the influence of alkaline activators and synthesis parameters on the formation of the structure and properties of the materials. It is shown that geopolymer composites exhibit high strength, thermal stability, and chemical resistance with a significantly lower carbon footprint, making them promising for use in construction and industrial waste recycling.

It is noted that the Republic of Kazakhstan possesses substantial reserves of both natural aluminosilicate rocks and secondary technogenic resources, which creates favorable conditions for the widespread implementation of geopolymer technologies aimed at reducing environmental impact and improving the efficiency of mineral resource utilization.

Key words: *geopolymer, activator, raw materials, aluminosilicates, fly ash, industrial waste, sludge.*

Сведения об авторах

Бекболат Талғатұлы Ғылымханов – докторант кафедры «Химические процессы и промышленная экология», Казахский национальный исследовательский технический университет имени К.И. Сатпаева, Республика Казахстан; e-mail: bbekaa23@mail.ru. ORCID: https://orcid.org/0000-0002-5554-1061.

Акерке Жаркыновна Кожанова – магистрант кафедры «Химическая и биохимическая инженерия», Казахский национальный исследовательский технический университет имени К.И. Сатпаева, Республика Казахстан; e-mail: kozhanova250802@gmail.com. ORCID: htpps://orcid.org/0000-0002-7154-9370.

Айгуль Амантаевна Амитова – PhD, исследователь, научный руководитель проекта кафедры «Химическая и биохимическая инженерия», Казахский национальный исследовательский технический университет имени К.И. Сатпаева, Республика Казахстан; e-mail: aikkash@mail.ru. ORCID: https://orcid.org/0000-0001-7721-6473.

Мәдениет Азаматұлы Елубай – кандидат химических наук, декан факультета естественных наук, профессор, Торайгыров Университет; e-mail: yelubay.m@tou.edu.kz. ORCID: https://orcid.org/0000-0002-6209-5215.

Гульзат Сляшевна Айткалиева* – PhD, ассоциированный профессор кафедры «Химическая и биохимическая инженерия», Казахский национальный исследовательский технический университет имени К.И. Сатпаева, Республика Казахстан; e-mail: g.aitkaliyeva@satbayev.university. ORCID: https://orcid.org/0000-0001-9872-6317.

Авторлар туралы мәліметтер

Бекболат Талғатұлы Ғылымханов – «Химиялық үдерістер және өнеркәсіптік экология» кафедрасының докторанты, Қ.И. Сәтбаев атындағы Қазақ ұлттық зерттеу техникалық университеті, Қазақстан РеспубликасыҢ e-mail: bbekaa23@mail.ru№ ORCID: https://orcid.org/0000-0002-5554-1061.

Акерке Жарқынқызы Кожанова – «Химиялық және биохимиялық инженерия» кафедрасының магистранты, Қ.И. Сәтбаев атындағы Қазақ ұлттық зерттеу техникалық университеті, Қазақстан Республикасы; e-mail: kozhanova250802@gmail.com. ORCID: https://orcid.org/0000-0002-7154-9370.

Айгүл Амантаевна Амитова – PhD, зерттеуші, жоба ғылыми жетекшісі, «Химиялық және биохимиялық инженерия» кафедрасы, Қ.И. Сәтбаев атындағы Қазақ ұлттық зерттеу техникалық университеті, Қазақстан Республикасы; e-mail: aikkash@mail.ru. ORCID: https://orcid.org/0000-0001-7721-6473.

Мәдениет Азаматұлы Елубай – химия ғылымдарының кандидаты, Жаратылыстану ғылымдары факультетінің деканы, профессор, Торайғыров университеті, Қазақстан Республикасы; e-mail: yelubay.m@tou.edu.kz. ORCID: https://orcid.org/0000-0002-6209-5215.

Гүлзат Сляшқызы Айткалиева* – PhD, қауымдастырылған профессор, «Химиялық және биохимиялық инженерия» кафедрасы, Қ.И. Сәтбаев атындағы Қазақ ұлттық зерттеу техникалық университеті, Қазақстан Республикасы; e-mail: g.aitkaliyeva@satbayev.university. ORCID: https://orcid.org/0000-0001-9872-6317.

Information about the authors

Bekbolat Gylymkhanov – Doctoral student, Department of Chemical Processes and Industrial Ecology, Satbayev University, Republic of Kazakhstan; e-mail: bbekaa23@mail.ru. ORCID: https://orcid.org/0000-0002-5554-1061.

Akerke Kozhanova – Master's student, Department of Chemical and Biochemical Engineering, Satbayev University, Republic of Kazakhstan; e-mail: kozhanova250802@gmail.com. ORCID: https://orcid.org/0000-0002-7154-9370.

Aigul Amitova – PhD, Researcher, Project Supervisor, Department of Chemical and Biochemical Engineering, Satbayev University, Republic of Kazakhstan; e-mail: aikkash@mail.ru. ORCID: https://orcid.org/0000-0001-7721-6473.

Madeniet Yelubay – Candidate of Chemical Sciences, Dean of the Faculty of Natural Sciences, Professor, Toraighyrov University, Republic of Kazakhstan; e-mail: yelubay.m@tou.edu.kz. ORCID: https://orcid.org/0000-0002-6209-5215.

Gulzat Aitkaliyeva* – PhD, Associate Professor, Department of Chemical and Biochemical Engineering, Satbayev University, Republic of Kazakhstan; e-mail: g.aitkaliyeva@satbayev.university. ORCID: https://orcid.org/0000-0001-9872-6317.

Поступила в редакцию 24.10.2025
Поступила после доработки 01.12.2025
Принята к публикации 02.12.2025

https://doi.org/10.53360/2788-7995-2025-4(20)-77

BY 4.0
Check for updates

ҒТАХР: 31.25.19

М.К. Кабулова[1,2,*], Т.Қ. Джумадилов[2], Ж.Қ. Қорғанбаева[1], Ю.В. Гразулявичус[3]
[1]Абай атындағы Қазақ ұлттық педагогикалық университеті,
050060, Қазақстан Республикасы, Алматы қ., Достық көшесі 13
[2]«Ә.Б. Бектұров атындағы химия ғылымдары институты» АҚ,
050060, Қазақстан Республикасы, Алматы қ., Уалиханов көшесі 106
[3]Каунас технологиялық университеті,
Литва Республикасы, Каунас қ., Донелайчио көшесі 73
*e-mail: kabulovamk@mail.ru

МОДИФИКАЦИЯЛАНҒАН ИНТЕРПОЛИМЕРЛІ ЖҮЙЕЛЕРДІҢ НЕОДИМ ИОНДАРЫН СОРБЦИЯЛАУ ЕРЕКШЕЛІКТЕРІ

Аңдатпа: *Бұл зерттеуде неодим иондарын екі өнеркәсіптік сорбенттерден, Amberlite IR120(H^+) және AB-17-8(OH^-) ионалмастырғыш шайырлардан тұратын интерполимерлік жүйелерді пайдалана отырып, олардың ерітінді қоспасынан селективті сорбциялау мүмкіндіктері әртүрлі молярлық қатынаста зерттелді. Алынған нәтижелер негізінде полимерлердің максималды активтенуі Amberlite IR120:AB-17-8 (5:1) қатынастарында болатыны анықталды. Неодим иондарын максималды сорбциялау дәрежесі осы қатынастарда байқалады. Сорбция процесі статикалық режимде жүргізілді. Полимерлердің қашықтан өзара әрекеттесуінің 48 сағатынан кейін неодим иондарын максималды сорбциялау дәрежесі 56,2%, полимерлік тізбектің байланысу дәрежесі 3,96 % болды. Бастапқы активтенбеген Amberlite IR120 (6:0) және AB-17-8 (0:6) полимерлермен салыстырғанда интерполимерлік жүйелердің сорбциялық белсенділігінің Amberlite IR120: AB-17-8 (5:1), Amberlite IR120:AB-17-8 (3:3) қатынастарында анағұрлым жоғары болатынын бастапқы полимерлердің жалпы есептік мәндері дәлелдеді. Алынған нәтижелер интерполимерлік жүйелерде бастапқы полимерлердің электрохимиялық және сорбциялық қасиеттерінің өзгеретінін, яғни функционалды топтардың реакцияға түсу қабілеті артатынын көрсетті. Бұл оларды неодим иондарын бөліп алудың тиімді сорбциялық технологиясын жасау үшін қолдануға мүмкіндік береді.*

Осылайша, өнеркәсіптік ерітінділерден неодимді тиімді бөліп алу үшін сорбция шарттарын өзгерту арқылы интерполимерлік жүйелерді өнеркәсіпте қолдануға болатыны көрсетілді.

Түйін сөздер: *интерполимерлі жүйелер, неодим ионы, сорбция, ИҚ спектр, Amberlite IR120(H^+), AB-17-8(OH^-).*

Кіріспе

Сирек жер элементтері (СЖМ) күрделі және қарапайым халық тұтынатын тауарлардың дамуында негізгі рөл атқаратын тапшы шикізат болып табылады. Бұл элементтер өнеркәсіптің көптеген салаларында, соның ішінде металлургияда, энергетикада кеңінен қолданылады.

Сирек кездесетін жер элементтерін бір-бірінен таза түрде бөлу – қазіргі химия технологиясындағы ең өзекті және күрделі мәселелердің бірі болып саналады. Ион алмасу процестері металдарды бөлу және тазарту үшін қолданылады, оның ішінде уранды плутоний мен басқа актинидтерден, сондай-ақ лантан, торий, неодим, иттербий, самарий және лютецийді бір-бірінен және басқа лантаноидтерден бөлу үшін пайдаланылады. Сирек жер металдары (СЖМ) екі топқа бөлінеді: лантаноидтер және актиноидтер. Әр қатардың металдары ұқсас физикалық және химиялық қасиеттерге ие. Көп жылдар бойы экстракция үлкен мөлшердегі сирек жер металдары иондарын бөлудің іс жүзіндегі жалғыз әдісі болды. Шайырларды қолданудың бұл әдісін 1940 жылы Ф. Спейдинг әзірледі [1-5]. Кейінірек еріткіштерді экстракциялау әдісі, жоғары тазалықтағы өнімдерді алу жағдайларынан басқада, іс жүзінде ион алмастырғыш шайырларды пайдаланумен ауыстырылды.Негізгі және қосалқы көздерден СЖМ алудың негізгі әдістері тұндыру, экстракция және сорбция болып табылады [6-10]. СЖМ-н алудың технологиялық процесінің маңыздылығы соңғы жылдары СЖМ-ға сұраныстың тез өсуімен түсіндіріледі, өйткені олар өнімділігі жоғары магниттер, қайта зарядталатын батареялар, энергиясы аз флуоресцентті лампалар сияқты жоғары технологиялық және экологиялық таза технологияларда қолданылады [11].

Неодим компьютерлер мен ұялы телефондар сияқты электроникаға енгізілетін магниттерді өндіру үшін қолданылады [12, 13]. Сондықтан бұл зерттеудің мақсаты статикалық сорбция режимінде неодим иондарына (көптеген салаларда және жоғары технологияларда өзекті болып табылатын метал) қатысты Amberlite IR120(H^+) және AB-17-8 (OH^-) негізіндегі интерполимерлік жүйелерінің селективтілік шарттарын анықтау болды. Қойылған мақсатқа жету үшін келесі тапсырмалар орындалды:

1) әртүрлі қатынастағы катионалмастырғыш пен анионалмастырғыштан тұратын интерполимерлік жүйелер арқылы концентрациясы 5 мг/л үлгі ерітіндіден неодим ионының сорбция динамикасы анықтау;

2) алынған деректер негізінде максималды сорбция болатын арақатынастарды таңдау.

Бұл ионалмастырғыш шайырлар бағасы жағынан арзан, қолжетімділігі жоғары және экологиялық таза болғандықтан сирек кездесетін металдарды ерітінділерден селективті сіңіру мен концентрациялау мақсатында қолданылды. «Қашықтықтан әсер ету» көмегімен Amberlite IR120(H^+) және AB-17-8(OH^-) қосымша ісінеді және конформациясын өзгертеді. Бұл өз кезегінде мыналарға ықпал етуі мүмкін: біріншіден, сорбция көрсеткіштерінің жалпы жақсаруы, екіншіден, неодим иондарына селективтіліктің пайда болуы.

Зерттеу шарттары мен әдістері

Сорбенттердің массасы Shimadzu AY220 (Жапония) электронды аналитикалық таразысында өлшеу арқылы анықталды. Концентрациялар КФК-3 фотоколориметрі және атомдық эмиссиялық талдау (Thermo Scientific™ iCAP™ PRO XP ICP-OES, Thermo Fisher Scientific Inc., Waltham, MA, АҚШ) көмегімен анықталды. Өлшеу қателігі 1%-дан аз болды. Ерітінділердегі сутегі ионының концентрациясын өлшеу үшін «Metrohm 827 pH–Lab» pH-метрі (Metrohm AG, Herizau, Швейцария) қолданылды. Бастапқы ион алмасу құрылымдарының және интерполимер жүйесінің FTIR спектрлері NICOLET 5700 спектрофотометрінің көмегімен алынды (Thermo Fischer Science, Waltham, MA, АҚШ). *Материалдар*

Зерттеулер неодим сульфатының ерітінділерінде жүргізілді (тұз: Сигма-Олдрих, Дармштадт, Германия). Ионалмастырғыш шайырлар ретінде Amberlite IR120 (H^+) күшті қышқылды (Sigma-Oldrich, Германия) катионалмастырғыш және стирол сополимеріне негізделген күшті негізді AB-17-8 (OH^-) (Азот, Черкассы, Украина) гель-типті анионалмастырғыш қолданылды. Бұл зерттеуді жүргізу үшін осы полимерлерден катионалмастырғыш пен анионалмастырғыштың молярлық қатынасы әртүрлі интерполимерлі жүйелер құрастырылды.

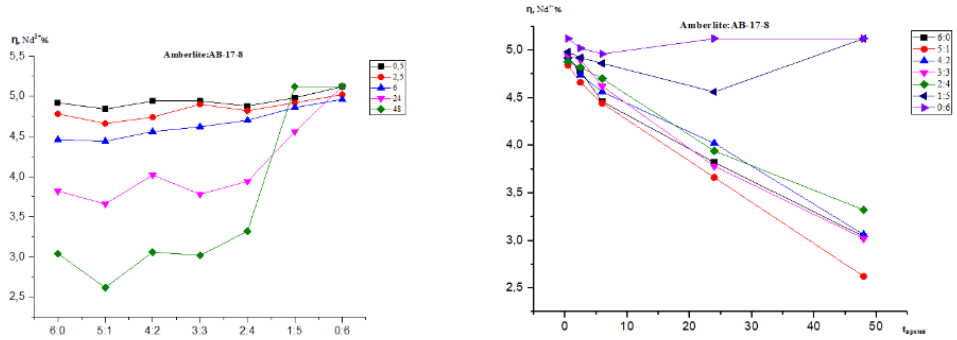
Тәжірибелер бөлме температурасында жүргізілді. Интерполимерлік жүйені зерттеу келесі тәртіпте жүзеге асырылды: әрбір ионалмастырғыш шайыр құрғақ күйінде жеке-жеке полипропиленді торларға орналастырылды, Amberlite IR120:AB-17-8 арақатынасы әртүрлі мольдік қатынастарда болды (6:0 – бастапқы катионит, массасы 0,12 г; 5:1 (0,089 г:0,018 г); 4:2 (0,071 г:0,037 г); 3:3 (0,053 г:0,056 г); 2:4 (0,035 г:0,075 г); 1:5 (0,018 г:0,094 г); және 0:6 (0,113 г) – тек анионит). Содан кейін Amberlite IR120 және AB-17-8 ионалмастырғыш шайырлары бар полипропиленді торларды неодим сульфатының ерітінділері (әрқайсысы 200 мл) бар стакандарға орналастырылды. Неодим ионының тәжірибелері статикалық режимде (араластырмай) бөлек жүргізіліп, сорбция жүргеннен кейін 0.5, 2.5, 6, 24 және 48 сағаттан кейін аликвоттар алынды. Иондардың қалдық концентрациясы фотоколориметр және спектрофотометр көмегімен анықталды.

Зерттеу нәтижелері

Алдыңғы зерттеулер [14, 15] көрсеткендей, қышқылдық (Amberlite IR120, Lewatit) және негіздік (АВ-17-8, П4ВП) торланған полимерлерден құралған интерполимерлік жүйелер олардың бастапқы компоненттерімен салыстырғанда айтарлықтай жоғары белсенділікке ие.Сондай-ақ иондардың жоғары сорбциясын қамтамасыз ететін полимерлердің қатынасы қышқылдық және негіздік полимерлердің табиғатына және сирек кездесетін металдардың табиғатына байланысты айтарлықтай ерекшеленетіні анықталды.

Бұл нәтижелер самарий, церий, диспрозий және эрбийдің сорбцияльнуын интерполимерлік жүйелермен зерттегеннен кейін алынды. Бастапқы полимер күйінің сорбция процесіне әсері де анықталды. Интерполимерлік жұптарды қалыптастыру үшін қандай полимер қолданылатынына байланысты (құрғақ, ісінген немесе ішінара ісінген) сорбциялық қабілеті жоғары полимер жүйелерінде және сирек кездесетін металл иондарының сорбция жылдамдығы әртүрлі полимер қатынасына байланысты болуы мүмкін. Дегенмен, неодим иондарын сорбциялау үшін интерполимерлік жүйелерді пайдаланған жағдайда максималды сорбция мен иондардың селективтілігінің оңтайлы шарттарын анықтау бойынша жұмыс жүргізілген жоқ.

Осы мақсатта сорбция динамикасы металдың (неодим) концентрациясы 5 мг/л болатын үлгілік ерітінділер арқылы 48 сағат бойы жеке зерттелді (тиісінше 0.5, 2.5, 6, 24 және 48 сағаттан кейін аликвоттар алу). 1-суретте полимерлердің әртүрлі молярлық қатынасында (катионалмастырғыш шайыр және анионалмастырғыш шайыр) иондық сорбция нәтижелері берілген.



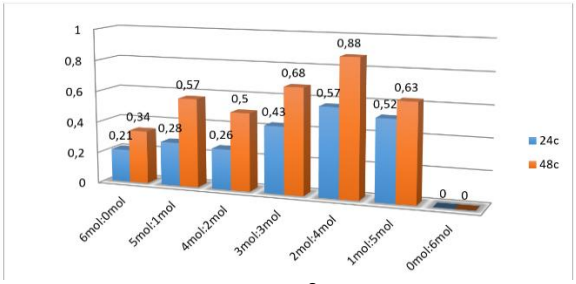
(a) (b)

Сурет 1 – Полимерлердің әртүрлі молярлық қатынастарында неодим иондарының қалдық концентрациясының уақыт бойынша өзгеруі

6:0 қатынасында катионит массасы ең үлкен және мақсатты иондарды сорбциялайтын Amberlite IR120(H^+) болғанына қарамастан жеке катионитпен (6:0) салыстырғанда, катионит пен анионит жұптарынан тұратын интерполимерлік жүйелердің сорбция тиімділігі жоғары екені екі графикте де байқалады. 1(а)-суретте ең аз қалдық металл концентрациясы 5:1 жүйесінде 2,22мг/л құрайды, дегенмен бұл қатынаста катионит массасы 6:0 қатынасындағыдан аз. Зерттеу көрсеткендей, Amberlite IR120 және AB-17-8 (5:1) интерполимер жүйесі бастапқы Amberlite IR120 (6:0) ионалмастырғыш шайырымен салыстырғанда неодим иондарының сорбциялық қабілетінің 25%-ға артқанын көрсетті. Сол сияқты, сол интерполимер жүйесі 48

сағат әрекеттесуден кейін АВ-17-8 (0:6) бастапқы ионалмастырғыш шайырымен салыстырғанда сорбциялық қабілетінің 48%-ға артқанын көрсетті (1-сурет, b).

2-суретте көрсетілгендей сорбенттің бір молыне есептегенде (сурет 2) ең жоғары сорбциялық қабілеттілікке (0,88 мг/ммоль) 2:4 қатынасында байқалған (Amberlite:АВ-17-8), бұл АВ-17-8 үлесінің жоғарылауымен ион алмастырғыштардың өзара әрекеттесуінің синергетикалық әсерін көрсетеді. Катионитің мөлшері азайып, анионитің мөлшері арттырылғанда жүйенің сорбция дәрежесі де біртіндеп артқан. Бұл жағдайда сіңіру процесі негізінен катионитте жүрген, ал екінші полимер анионит белсендіру процесіне қатысқан.



Сурет – 2 моль полимерге өткен Nd^{3+} иондарының сорбция дәрежесі

Әрбір мақсатты металл ионының әртүрлі әрекеттесу жағдайындағы сорбция сипаттамаларының толық кескінін алу үшін сорбциялаудың тағы екі маңызды көрсеткіші есептелді: полимер тізбегінің жалпы байланысу дәрежесі және тиімді динамикалық сорбция сыйымдылығы.

Нәтижелер 1- және 2-кестелерде келтірілген. Кестедегі мәліметтерге сүйене отырып жүйедегі анионалмастырғыштың мөлшері артқан сайын екінші компоненттің байланысу дәрежесі біртіндеп артқанын байқауға болады. Бұл құбылыс полимердің өзара белсендірілу әсері нәтижесінде катионалмастырғыштың құрылымындағы қосымша торлардың ашылуымен түсіндіріледі. Неодим иондарының полимер тізбегінің (θ) байланысу дәрежесінің максималды алынған мәні 48 сағат әрекеттесуден кейін Amberlite IR120: АВ-17-8 (5:1) интерполимер жүйесі үшін 3,96% құрады (1-кесте). Бұл Amberlite IR120 және АВ-17-8 ионалмастырғыштарының өзара активтенуінің нәтижесінде макромолекула иондануының жоғары дәрежесін көрсетеді.

Кесте 1 – Полимер тізбектерінің байланысу дәрежесі (θ,%)

Amberlite IR120:AB-17-8	t,уақыт				
	0.5	2.5	6	24	48
6:0	0.16	0.34	0.71	1.45	2.3
5:1	0.33	0.58	0.88	2.38	3.96
4:2	0.19	0.47	0.72	1.46	2.80
3:3	0.19	0.24	0.63	1.80	2.85
2:4	0.27	0.36	0.52	1.58	2.44
1:5	0.13	0.22	0.30	0.72	0
0:6	0	0.069	0.13	0.22	0.54

Кесте 2 – Тиімді динамикалық сорбциялық сиымдылық (Q,ммоль/г)

Amberlite IR120:AB-17-8	t,уақыт				
	0.5	2.5	6	24	48
6:0	0.0000092	0.0000173	0.0000358	0.0000727	0.0001178
5:1	0.0000153	0.0000267	0.0000408	0.0000905	0.0001824
4:2	0.0000088	0.0000215	0.0000328	0.0000670	0.0001277
3:3	0.0000087	0.0000112	0.0000288	0.0000814	0.0001291
2:4	0.0000124	0.0000161	0.0000236	0.0000708	0.0001094
1:5	0.0000061	0.0000098	0.0000135	0.0000320	0.0000512
0:6	0	0.0000036	0.0000073	0.0000095	0.0000147

Полимер тізбегінің жалпы байланысу дәрежесі полимер тізбегіндегі қанша байланысу орындарының немесе функционалдық топтардың басқа молекулалармен немесе иондармен әрекеттесетінін көрсететін сандық өлшемді білдіреді. Полимер тізбегінің жалпы байланысу дәрежесі келесі формула бойынша анықталды:

$$\theta = \frac{V_{\text{сорб.}}}{V} \cdot 100\%$$

мұнда $v_{\text{сорб.}}$ сорбцияланған металдың мөлшері, өлшем бірлік – моль; v – полимер байланыстарының жалпы саны (ерітіндіде екі гидрогель болса, ол әрбір полимер гидрогелінің байланыстарының қосындысы ретінде есептеледі), моль; θ – полимер тізбегінің жалпы байланысу дәрежесі.

Тиімді динамикалық сорбциялық сыйымдылық – бұл материал динамикалық режимде тиімді ұстай алатын заттың мөлшерін анықтайтын сорбциялық материалдың сандық сипаттамасы. Тиімді динамикалық сорбциялық сыйымдылық келесі формула бойынша есептелді:

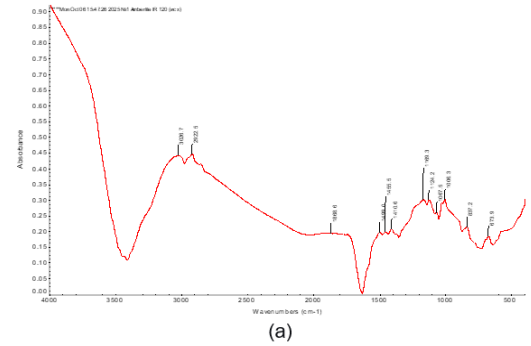
$$Q = \frac{V_{\text{сорб.}}}{m\ \text{сорбент}} \cdot 100\%$$

Алынған нәтижелер өнеркәсіптік ионалмастырғыштар негізіндегі интерполимерлік жүйелерді пайдалана отырып, неодим иондарын алудың тиімді сорбциялық технологиясын құру мүмкіндігін көрсетеді.

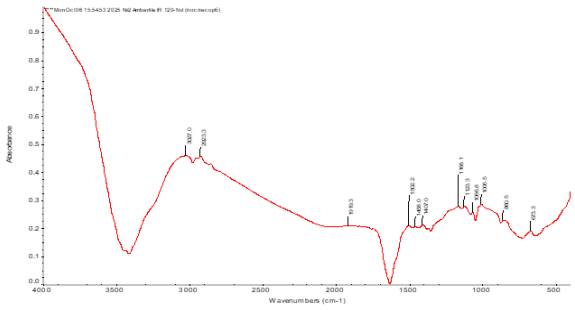
4,5-суреттерде төрт үлгінің ИҚ-спектрлері келтірілген: сорбцияға дейінгі бастапқы Amberlite IR120 катиониты, 5:1 қатынасымен дайындалған жүйеден алынған Amberlite IR120, 5:1 қатынасымен дайындалған жүйеден алынған АВ-17-8 және бастапқы АВ-17-8 аниониті (сорбция басталғаннан кейін 48 сағат өткен соң).

Осы ИК-спектрлерді талдау арқылы – $SO3^-$ функционалдық тобының және жалпы Amberlite IR120 катионитіне тән жұтылу жолақтарын көруге болады. Оларға сіңіру жолақтары (a) – бастапқы Amberlite IR120: 673.9 (C-S байланысқан); 1200-1000 аймақта – $SO3^-$ тобына сәйкес (1067.5, 1124.2, 1169.3) [16]. Amberlite IR120 (b), (сорбциядан кейін 5:1): 673,3 (C-S); 1006.5, 1068.8, 1123.3, 1168.1 (–$SO3^-$ тобы).

Бастапқы катионалмастырғыштың ИҚ-спектрлерін сорбциядан кейінгі үлгілермен салыстыру кезіндегі жалпы сурет неодим металдың полимер матрицасына сіңуіне байланысты айқын өзгерістерді көрсетеді. b үлгілері ИҚ спектрінде бастапқы Amberlite IR120 (a) үлгісінен ерекшеленеді. Сондай-ақ (b) үлгіде сорбциядан кейін жаңа шыңдар сәйкесінше 860.5, 585,5 және 1919.3 пайда болды. Әзірге біз бұл абсорбция аймақтарында қандай да бір жаңа ақпарат бар-жоғын нақты айта алмаймыз, олар катионалмастырғыштың функционалдық тобында металл иондары мен оттегі арасындағы координациялық байланыстардың пайда болуын көрсетуі мүмкін. Бірақ, сынама (a) (сорбцияға дейінгі катионит) (b) үлгісінен ерекшеленетінін сенімді түрде айтуға болады, бұл сорбция процесінің болғанын растайды.



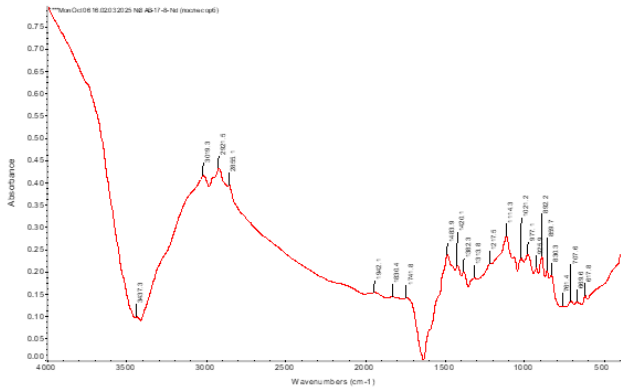
(a)



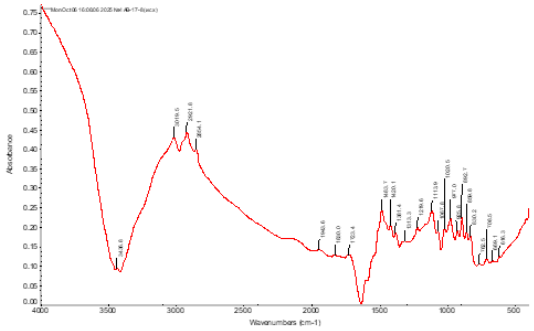
(b)

Сурет 4 – Фурье-ИҚ спектрлері:
(a) бастапқы Amberlite IR120; (b) сорбциядан кейінгі Amberlite IR120 (5:1) қатынаста

5 – суреттегі (a және b) АВ-17-8 үлгісінің ИҚ спектріне тоқталсақ , мұнда (b) бастапқы анонит, (a) 5:1 қатынасындағы анонит. Бұл суреттен бастапқы анионит спектрі сорбциядан кейінгі АВ-17-8 спектрімен бірдей екені көрініп тұр. Бұл АВ-17-8 құрылымында айтарлықтай өзгерістер болмағанын көрсетеді, себебі бұл полимерде неодим катиондары сорбцияға ұшырамаған. Бұл анонит ерітіндідегі катиондарды сіңірмейді деген қарапайым логикаға сәйкес келеді. Сондықтан интерполимерлік жүйелерде анионитің рөлі катионитті өзара белсендендіру болып табылады, бұл екі сорбенттің үлкен иондануына және сәйкесінше сорбция көрсеткіштерінің жақсаруына әкеледі.



(a)



(b)

Сурет 5 – Фурье-ИҚ спектрлері:
(a) бастапқы АВ-17-8; (b) сорбциядан кейінгі АВ-17-8 (5:1) қатынаста

Қорытынды

Алынған нәтижелер сирек кездесетін металдарды алуда интерполимерлік жүйені қолдану тиімді әдіс екенін растайды. Белсендірілген полимерлер жеке Amberlite IR120 (6:0) және АВ-17-8 (0:6) полимерлермен салыстырғанда сорбциялық белсенділіктің жоғары болатынын көрсетті. Бұл зерттеу полимерлердің максималды активтенуі Amberlite IR120:AB-17-8 5:1-ге тең молярлық қатынасында анықталды.

Amberlite IR120 (6:0) және АВ-17-8 (0:6) жеке полимерлермен 48 сағат сорбциялаудан кейін неодим иондарының жалпы сорбциялану дәрежесі сәйкесінше 40.1% және 26% құрады, ал неодим иондарының Amberlite IR120:AB-17-8 (5:1) интерполимерлік жүйесі бойынша сорбциялану дәрежесі 56.2% болды.

Жеке полимерлермен салыстырғанда Amberlite IR120:AB-17-8 (5:1) интерполимерлік жүйесі бойынша неодим иондарының сорбциялық дәрежесінің жоғарылауын дистанциялық әсерлесу эффектісімен белсендірілген интерполимер жүйесінің жоғары иондану дәрежесіне жетуімен түсіндіруге болады, бұл Қазақстанда сирек кездесетін элементті сорбциялаудың инновациялық мақсатты технологияларын дамыту үшін жаңа мүмкіндіктер ашады.

Әдебиеттер тізімі

1. Mulder M. Basic Principles of Membrane Technology / M. Mulder. – Springer: Netherlands, 1996. https://doi.org/10.1007/978-94-009- 1766-8.
2. Khaing Z., Troshkina A.: Sorp. Chromatogr. Proc., 2006. – № 6. – P. 972.

3. Ion Exchangers; Dorfner, K., Ed.; Walter de Gruyter: Berlin, 1991. https://doi.org/10.1515/9783110862430.
4. Harland C.E. Ion Exchange: Theory and Practice, 2 nd edn.; The Royal Society of Chemistry, 1994. https://doi.org/10.1039/9781847551184
5. Alekseeva S.L. Sorption of Cr(VI) on AV-17 and EDE-10P Anion Exchangers, KU-2 and KB-4 Cation Exchangers, Activated Charcoal, and Foamed Graphite (STRG) is Studied / S.L. Alekseeva, S.N. Bolotin, T.G. Tsupko // J. Appl. Chem. – 2007. – № 80. – P. 376-378. https://doi.org/10.1134/S107042720703007X.
6. Ivanik S.A. Flotation extraction of elemental sulfur from gold-bearing cakes / S.A. Ivanik, D.A. Ilyukhin // J. Min. Inst. – 2020. – № 242. – P. 202-208. https://doi.org/10.31897/pmi.2020.2.202.
7. A facile process for enhanced rare earth elements separation from dilute solutions using N, N-di(2-ethylhexyl)-diglycolamide grafted polymer resin / H. Cui et al // Sep. Purif. Technol. – 2020. – № 234. – P. 116096. https://doi.org/10.1016/j.seppur.2019.116096.
8. Extraction of Rare-Earth Elements (III) from Nitric Acid Solutions with Diethyl 2-[(Diphenylphosphoryl)methoxy]-5-ethylphenylphosphonate / A.N. Turanov et al // Russ. J. Inorg. Chem. – 2019. – № 64. – P. 1297-1303. https://doi.org/10.1134/S0036023619100164.
9. Improving the selective extraction of lanthanides by using functionalised ionic liquid / L. Maria et al // Sep. Purif. Technol. – 2020. – № 237. – P. 116354. https://doi.org/10.1016/j.jallcom.2019.152423.
10. Swain, N.; Mishra, S.; Acharya, M.R. Hydrometallurgical route for recovery and separation of samarium (III) and cobalt (II) from simulated waste solution using tri-n-octyl phosphine oxide – A novel pathway for synthesis of samarium and cobalt oxides nanoparticles / N. Swain et al // J. Alloys Compd. – 2020. – № 815. – P. 152423. https://doi.org/10.1016/j.jallcom.2019.152423.
11. Balaram V. Rare earth elements: A review of applications, occurrence, exploration, analysis, recycling, and environmental impact / V. Balaram // Geosci. Front. – 2019. – № 10. – P. 1285-1303. https://doi.org/10.1016/j.gsf.2018.12.005.
12. Understanding rare earth elements as critical raw materials / W.L. Filho et al // Sustainability. – 2023. – № 15. – P. 1919. https://doi.org/10.3390/su15031919.
13. Rare earth elements: Overview of mining, mineralogy, uses, sustainability and environmental impact / N. Haque et al // C. Resources. – 2014. – № 3. – P. 614-635. https://doi.org/10.3390/resources3040614.
14. Ion Exchange Dynamics in Cerium Nitrate Solution Regulated by Remotely Activated Industrial Ion Exchangers / T. Jumadilov et al // Materials. – 2021. – № 14. – P. 3491. https://doi.org/10.3390/ma14133491.
15. Создание принципиально новой технологии группового извлечения ионов редкоземельных металлов из продуктовых растворов металлургии / Т.К. Джумадилов и др. // Тенденции, перспективы и инновационные подходы развития химической науки, производства и образования в условиях глобализации: сборник научных трудов. – Алматы. – 2021. – С. 90-104.
16. Ulusoy Erol H.B. Effects of resin chemistries on the selective removal of industrially relevant metal ions using wafer-enhanced electrodeionization / H.B. Ulusoy Erol, C.N. Hestekin, J.A. Hestekin // Membranes. – 2021. – № 11. – P. 45. https://doi.org/10.3390/membranes11010045.

References

1. Mulder M. Basic Principles of Membrane Technology / M. Mulder. – Springer: Netherlands, 1996. https://doi.org/10.1007/978-94-009- 1766-8. (In English).
2. Khaing Z., Troshkina A.: Sorp. Chromatogr. Proc., 2006. – № 6. – R. 972. (In English).
3. Ion Exchangers; Dorfner, K., Ed.; Walter de Gruyter: Berlin, 1991. https://doi.org/10.1515/9783110862430. (In English).
4. Harland C.E. Ion Exchange: Theory and Practice, 2 nd edn.; The Royal Society of Chemistry, 1994. https://doi.org/10.1039/9781847551184 (In English).
5. Alekseeva S.L. Sorption of Cr(VI) on AV-17 and EDE-10P Anion Exchangers, KU-2 and KB-4 Cation Exchangers, Activated Charcoal, and Foamed Graphite (STRG) is Studied / S.L. Alekseeva, S.N. Bolotin, T.G. Tsupko // J. Appl. Chem. – 2007. – № 80. – R. 376-378. https://doi.org/10.1134/S107042720703007X. (In English).

6. Ivanik S.A. Flotation extraction of elemental sulfur from gold-bearing cakes / S.A. Ivanik, D.A. Ilyukhin // J. Min. Inst. – 2020. – № 242. – R. 202-208. https://doi.org/10.31897/pmi.2020.2.202. (In English).
7. A facile process for enhanced rare earth elements separation from dilute solutions using N, N-di(2-ethylhexyl)-diglycolamide grafted polymer resin / N. Cui et al // Sep. Purif. Technol. – 2020. – № 234. – R. 116096. https://doi.org/10.1016/j.seppur.2019.116096. (In English).
8. Extraction of Rare-Earth Elements (III) from Nitric Acid Solutions with Diethyl 2-[(Diphenylphosphoryl)methoxy]-5-ethylphenylphosphonate / A.N. Turanov et al // Russ. J. Inorg. Chem. – 2019. – № 64. – R. 1297-1303. https://doi.org/10.1134/S0036023619100164. (In English).
9. Improving the selective extraction of lanthanides by using functionalised ionic liquid / L. Maria et al // Sep. Purif. Technol. – 2020. – № 237. – R. 116354. https://doi.org/10.1016/j.jallcom.2019.152423. (In English).
10. Swain, N.; Mishra, S.; Acharya, M.R. Hydrometallurgical route for recovery and separation of samarium (III) and cobalt (II) from simulated waste solution using tri-n-octyl phosphine oxide – A novel pathway for synthesis of samarium and cobalt oxides nanoparticles / N. Swain et al // J. Alloys Compd. – 2020. – № 815. – R. 152423. https://doi.org/10.1016/j.jallcom.2019.152423. (In English).
11. Balaram V. Rare earth elements: A review of applications, occurrence, exploration, analysis, recycling, and environmental impact / V. Balaram // Geosci. Front. – 2019. – № 10. – R. 1285-1303. https://doi.org/10.1016/j.gsf.2018.12.005. (In English).
12. Understanding rare earth elements as critical raw materials / W.L. Filho et al // Sustainability. – 2023. – № 15. – R. 1919. https://doi.org/10.3390/su15031919. (In English).
13. Rare earth elements: Overview of mining, mineralogy, uses, sustainability and environmental impact / N. Haque et al // C. Resources. – 2014. – № 3. – R. 614-635. https://doi.org/10.3390/resources3040614. (In English).
14. Ion Exchange Dynamics in Cerium Nitrate Solution Regulated by Remotely Activated Industrial Ion Exchangers / T. Jumadilov et al // Materials. – 2021. – № 14. – R. 3491. https://doi.org/10.3390/ma14133491. (In English).
15. Sozdanie principial'no novoj tekhnologii gruppovogo izvlecheniya ionov redkozemel'nyh metallov iz produktovyh rastvorov metallurgii / T.K. Dzhumadilov i dr. // Tendencii, perspektivy i innovacionnye podhody razvitiya himicheskoj nauki, proizvodstva i obrazovaniya v usloviyah globalizacii: sbornik nauchnyh trudov. – Almaty. – 2021. – S. 90-104. (In Russian).
16. Ulusoy Erol H.B. Effects of resin chemistries on the selective removal of industrially relevant metal ions using wafer-enhanced electrodeionization / H.B. Ulusoy Erol, C.N. Hestekin, J.A. Hestekin // Membranes. – 2021. – № 11. – R. 45. https://doi.org/10.3390/membranes11010045. (In English).

М.К. Кабулова[1,2*], Т.К. Джумадилов[2], Ж.К. Корганбаева[1], Ю.В. Гразулявичюс[3]
[1]Казахский национальный педагогический университет имени Абая,
050060, Республика Казахстан, г. Алматы, улица Достык 13
[2]АО «А.Б. Институт химических наук им. Бектурова»,
050060, Республика Казахстан, г. Алматы, улица Уалиханова 106
[3]Каунасский технологический университет,
Республика Литва, г. Каунас, ул. Донелайчио 73
*e-mail: kabulovamk@mail.ru

ОСОБЕННОСТИ СОРБЦИИ ИОНОВ НЕОДИМА МОДИФИЦИРОВАННЫМИ ИНТЕРПОЛИМЕРНЫМИ СИСТЕМАМИ

В данной работе исследована селективная сорбция ионов неодима из смеси растворов с использованием интерполимерных систем, состоящих из двух промышленных сорбентов – ионообменных смол Amberlite IR120(H$^+$) и АВ-17-8(OH$^-$)*, в различных мольных соотношениях. На основании полученных результатов установлено, что максимальная активация полимеров происходит при соотношении Amberlite IR120:АВ-17-8 (5:1). При этих соотношениях наблюдается максимальная степень сорбции ионов неодима. Процесс сорбции проводили в статическом режиме. Через 48 часов дистанционного взаимодействия полимеров максимальная степень сорбции ионов неодима составила 56,2%, а степень связывания полимерной цепи – 3,96%. Суммарные расчетные значения неактивированных полимеров доказали, что сорбционная активность интерполимерных систем в соотношениях Amberlite IR120:АВ-17-8 (5:1), Amberlite IR120:АВ-17-8 (3:3) существенно выше, чем у исходных неактивированных полимеров Amberlite IR120 (6:0) и АВ-17-8 (0:6). Полученные результаты показали, что в интерполимерных системах изменяются электрохимические и*

сорбционные свойства исходных полимеров, то есть увеличивается способность функциональных групп к реагированию. Это позволяет использовать их для разработки эффективной сорбционной технологии разделения ионов неодима. Таким образом, показано, что интерполимерные системы могут быть использованы в промышленности путем изменения условий сорбции для эффективного выделения неодима из промышленных растворов.

Ключевые слова: *интерполимерные системы, ион неодима, сорбция, ИК спектр, Amberlite IR120(H$^+$), AB-17-8*(OH$^-$).

М.К. Kabulova[1,2]*, Т.К. Jumadilov[2], Zh.K. Korganbaeva[1], J.V. Grazulevicius[3]

[1]Abai Kazakh NationalPedagogical University,
050060, Republic of Kazakhstan, Almaty, Dostyk 13 Sreet
[2]JSC «A.B. Bekturov Institute of Chemical Sciences»,
050060, Republic of Kazakhstan, Almaty, Ualikhanov 106 Sreet
[3]Kaunas University of Technology,
Republic of Lithuania, Kaunas, Donelaičio 73 Street
*e-mail: kabulovamk@mail.ru

FEATURES OF NEODYMIUM ION SORPTION BY MODIFIED INTERPOLYMER SYSTEMS

In this study, we investigated the selective sorption of neodymium ions from a mixture of solutions using interpolymer systems consisting of two industrial sorbents – Amberlite IR120(H$^+$) and AB-17-8(OH$^-$) *ion exchange resins – in various molar ratios. Based on the obtained results, we found that maximum polymer activation occurs at an Amberlite IR120:AB-17-8 ratio of 5:1. These ratios yield the highest neodymium ion sorption. The sorption process was carried out in static mode. After 48 hours of remote polymer interaction, the maximum neodymium ion sorption was 56.2%, and the degree of polymer chain binding was 3.96%. The calculated values of the unactivated polymers demonstrated that the sorption activity of the interpolymer systems in the Amberlite IR120:AB-17-8 (5:1) and Amberlite IR120:AB-17-8 (3:3) ratios is significantly higher than that of the original unactivated polymers Amberlite IR120 (6:0) and AB-17-8 (0:6). The results demonstrate that the electrochemical and sorption properties of the original polymers are altered in the interpolymer systems, increasing the reactivity of the functional groups. This allows them to be used in the development of an effective sorption technology for the separation of neodymium ions. Thus, it is demonstrated that the interpolymer systems can be used in industry by varying the sorption conditions for the efficient extraction of neodymium from industrial solutions*.

Key words: *interpolymer systems, neodymium ion, sorption, IR spectrum, Amberlite IR120(H$^+$), AB-17-8*(OH$^-$).

Авторлар туралы мәліметтер

Мадина Кабуловна Кабулова* – PhD докторант, Абай атындағы Қазақ Ұлттық Педагогикалық университеті, Алматы қаласы, Қазақстан; email:kabulovamk@mail.ru. ORCID: https://orcid.org/0009-0007-7059-5635

Талқыбек Қожатаевич Джумадилов – х.ғ.д., профессор, «А.Б. Бектұров атындағы Химия ғылымдары институты» АҚ полимерлер синтезі және физикохимиясы зертханасының меңгерушісі, Алматы қаласы, Қазақстан; email: jumadilov@mail.ru. ORCID: https://orcid.org/0000-0001-9505-3719.

Жанар Қожамбердіқызы Қорғанбаева – х.ғ.к., аға оқытушы, Абай атындағы Қазақ Ұлттық Педагогикалық университеті, Алматы қаласы, Қазақстан; e-mail: korganbaeva.zhan@mail.ru. ORCID: https://orcid.org/0000-0002-3423-7116.

Юозас Видас Гражулявичюс – х.ғ.д., профессор, Химия және полимерлер химиясы кафедрасының меңгерушісі, Каунас университеті, Каунас қаласы, Литва; e-mail: juozas.grazulevicius@ktu.lt. ORCID: https://orcid.org/0000-0002-4408-9727.

Сведения об авторах

Мадина Кабуловна Кабулова* – PhD докторант, Казахский Национальный университет имени Абая, Алматы, Казахстан; e-mail:kabulovamk@mail.ru. ORCID: https://orcid.org/0009-0007-7059-5635.

Талқыбек Қожатаевич Джумадилов – д.х.н., профессор, заведующий лабораторией синтеза и физикохимии полимеров АО «Институт химических наук им. А.Б. Бектурова», Алматы, Казахстан; e-mail: jumadilov@mail.ru. ORCID: https://orcid.org/0000-0001-9505-3719.

Жанар Қожамбердіқызы Қорғанбаева – к.х.н., старший преподаватель, Казахский Национальный университет имени Абая, Алматы, Казахстан; e-mail:korganbaeva.zhan@mail.ru. ORCID: https://orcid.org/0000-0002-3423-7116.

Юозас Видас Гражулявичюс – д.х.н., профессор, заведующий кафедры химии и технологии полимеров Каунасского технологического университета, Каунас, Литва; e-mail: juozas.grazulevicius@ktu.lt. ORCID: https://orcid.org/0000-0002-4408-9727.

Information about the authors

Madina Kabulovna Kabulova* – PhD student, Abai Kazakh National Pedagogical University, Almaty, Kazakhstan; e-mail:kabulovamk@mail.ru. ORCID: https://orcid.org/0009-0007-7059-5635.

Talkybek Kozhataevich Dzhumadilov – Doctor of Chemical Sciences, Professor, Head of the Laboratory of Synthesis and Physical Chemistry of Polymers, «A.B. Bekturov Institute of Chemical Sciences», Almaty, Kazakhstan; e-mail: jumadilov@mail.ru. ORCID: https://orcid.org/0000-0001-9505-3719.

Zhanar Kozhamberdikyzy Korganbaeva – senior teacher, Abai Kazakh National Pedagogical University, Almaty, Kazakhstan; e-mail: korganbaeva.zhan@mail.ru. ORCID: https://orcid.org/0000-0002-3423-7116.

Juozas Vidas Grazulevicius – Doctor of Chemical Sciences, Professor, Head of the Department of Chemistry and Technology of Polymers, Kaunas University of Technology, Kaunas, Lithuania; e-mail: juozas.grazulevicius@ktu.lt. ORCID: https://orcid.org/0000-0002-4408-9727.

Редакцияға енуі 22.10.2025
Жариялауға қабылданды 05.12.2025

АВТОРЛАРҒА АРНАЛҒАН ЕРЕЖЕ

Ғылыми мақала бұрын жарияланбаған және жаңалығы бар авторлық әзірлемелерді, қорытындыларды, ұсыныстарды қамтитын ғылыми зерттеудің, эксперименттік немесе аналитикалық қызметтің бастапқы, аралық немесе түпкілікті нәтижелерінің мәтіндік материалы болуы тиіс. Ғылыми мақалаға жалпы тақырыппен байланысты бұрын жарияланған ғылыми нәтижелерді зерттеуге және талдауға арналған жұмыс кіреді (шолу мақаласы), онда жалпылама тұжырымдар мен ұсыныстар келтірілген.

«Шәкәрім университетінің хабаршысы. Техникалық ғылымдар бөлімі» ғылыми журналы қазақ, орыс, ағылшын тілдеріндегі қолжазбаларды қабылдайды.

Журналдың жиілігі-тоқсанына 1 рет (жылына 4 Нөмір).

Мақала электрондық форматта (.doc, .docx, .rtf) tech.vestnik.shakarim.kz журнал веб-сайтының жүктеу функционалдығы арқылы беріледі.

Порталмен жұмыс істеу үшін tech.vestnik.shakarim.kz сайтына тіркелу қажет.

Журналға жариялау үшін келесі бағыттар бойынша мақалалар қабылданады:

- Автоматтандыру және ақпараттық технологиялар
- Машина жасау және механика
- Тамақ инженериясы және биотехнология
- Техникалық физика және жылу энергетикасы
- Химиялық технология

Материалдарды ресімдеуге қойылатын талаптар

Мақала жиектердің келесі өлшемдерімен ресімделеді: парақтың шетінен шегініс – 2,0 см. Қаріп өлшемі – 11, жоларалық интервал – 1,0, қаріп гарнитурасы – Arial.

Ғылыми мақаланың құрылымы

Структура научной статьи должна включать следующие элементы:

Ғылыми мақаланың құрылымы келесі элементтерді қамтуы керек:

- ҒТАХА индексі (ғылыми-техникалық ақпараттың халықаралық айдары) – беттің сол жақ шетінен көрсетіледі. ҒТАХА индексінің мақаласын тағайындау үшін www.grnti.ru сайтын пайдалану қажет).
- Авторлар туралы мәлімет – ортадағы жол арқылы жазылады:
  - мақала авторының аты-жөні және тегі (алдымен аты-жөні, содан кейін тегі – А.К. Қалиев), қаріп-қалың;
  - автордың (лардың) жұмыс орны-ЖОО (ұйымның), қаланың, елдің атауы;
  - корреспондент-автордың байланыс ақпараты (e-mail).
- Мақаланың атауы (тақырыбы) – жол арқылы, қалың қаріппен, ортасына туралanады. Ол мазмұнды дәл көрсетуі керек, қысқа және нақты болуы керек. Тақырыптағы сөздерді қысқартуға жол берілмейді.
- Аннотация – зерттеудің негізгі мәнінің, зерттеу әдістері мен объектілерінің қысқаша мазмұнын, ең маңызды нәтижелерін, олардың маңыздылығын, ғылыми және тәжірибелік құндылығын қысқаша баяндайды. Аннотация мақала атауынан кейінгі жол арқылы курсивпен орналастырылады. Аннотация көлемі –150-300 сөз.
- Түйін сөздер – мақаланы іздеуге және оның тақырыптық аймағын анықтауға арналған.Түйін сөздердің саны-5-8, курсивпен жазылады.
- Мақаланың негізгі мәтіні – жол арқылы:
  - Кіріспе – өзектіліктің көрінісі;
  - Зерттеу шарттары мен әдістері;
  - Зерттеу нәтижелері;
  - Ғылыми нәтижелерді талқылау;
  - Қорытынды;
  - Пайдаланылған әдебиеттер тізімі – мақала жазылған тілде және ағылшын тілінде рәсімделеді.

- Қаржыландыру туралы ақпарат (бар болса).
- Мақаланың соңында автордың (авторлардың) аты-жөні, ғылыми дәрежесі, атағы, жұмыс орны; ЖОО-ның (ұйымның), қаланың, елдің атауы; әрбір автор үшін байланыс ақпараты (e-mail); мақаланың тақырыбы (атауы); аннотация; мақала тілінен ерекшеленетін екі тілдегі түйінді сөздер келтіріледі (қазақ/орыс, ағылшын).

Материалдардың көлемі, әдетте, мәтінді, суреттерді, кестелерді қоса алғанда, 3 беттен кем болмауы және 8 беттен аспауы тиіс.

Авторлар саны **5 адамнан** аспауы керек.

Суреттерді, карталарды, фотосуреттерді, кестелерді, формулаларды компьютерлік техниканың қолдана отырып орындау және олар туралы айтылғандай мақалада орналастыру ұсынылады. Суреттердің реттік нөмірлері араб цифрларымен белгіленеді, суреттің атауы суреттің астында ортасына келтіріледі (1 – сурет-суреттің атауы).

Кестелер мақаланың мәтінінде бірінші сілтемеден кейін немесе келесі бетте көрсетіледі. Кестенің нөмірі мен атауы беттің сол жағында келтірілген (1 – кесте-кестенің атауы). Кестені келесі бетке ауыстырған жағдайда бағандар нөмірленеді және келесі бетте оң жағында кестенің жалғасы (1 – кестенің жалғасы) көрсетіледі.

Әдебиеттерді ресімдеу тәртібі:

- литература располагается по мере упоминания в тексте;
- Әдебиет мәтінде айтылғандай орналастырылады;
- мәтін бойынша квадрат жақшада сілтеме берілген жұмыстың реттік нөмірі көрсетіледі;
- әдебиеттерді рәсімдеу МЕМСТ 7.1-2003 «Библиографиялық жазба. Библиографиялық сипаттама. Құрастырудың жалпы талаптары мен ережелері»;
- анықтамалық әдебиеттерді дайындау кезінде басылым авторларының толық тізімін (басқаларынсыз) көрсетіңіз.

Әдебиеттер тізімін құрастыру мысалдары

1. Аксартов Р.М. Леукомизинді сандық анықтау әдісі / Р.М. Аксартов, М.И. Айзиков, С.А. Расулова // ҚазҰУ Хабаршысы. Сер. хим. – 2003. – Т. 5, № 8. – Б. 40-41.
2. Курмуков А.А. Леуомизиннің ангиопротекторлық және гиполипидемиялық белсенділігі / А.А. Курмуков. – Алматы: Бастау, 2007. – 148 б.
3. Абимульдина С.Т. Қант өндірісі инфрақұрылымының жұмыс істеуі және дамуы / С.Т. Абимульдина, Г.Е. Сыдыкова, Л.А. Оразбаева // Қазақстанның аграрлық секторындағы Инновация: Матер. Халықарал. конф. / ҚазҰУ. Әл-Фараби атындағы қазұу. – Алматы, 2010. – Б.10-13.
4. Соколовский Д.В. Өзін-өзі реттейтін камера жетектерінің механизмдерін синтездеу теориясы [Электрондық. ресурс] / Д.В. Соколовский. – 2006. – URL: http://bookchamber.kz/stst_2006.htm (қарау күні 12.03.2009).

Автор мақаланы жібергеннен кейін журнал редакциясы ұсынылған жұмысты екі апта ішінде оның талаптарға сәйкестігін тексеру мақсатында (антиплагиат, дизайн, рецензия және т.б.) қарайды.

Журнал редакциясы мақаланы қабылдау туралы оң шешім қабылдаған жағдайда, авторларға жарияланымға ақы төлеу үшін тиісті хабарлама жіберіледі.

Мақала журнал талаптарына сәйкес келмеген жағдайда авторлар электрондық поштаға хабарлама арқылы хабарланатын болады.

Журналдың редакциясы келіп түскен жұмысты рецензиялауға дербес жібереді. Журнал мақаланы авторын жасырып (*Double-blind review*), екі рецензиялаудан өткізеді.

Журналдың редакциясы мақаланың ұқсастығының бар-жоғына тексеруді жүзеге асырады (лицензиялық бағдарламалық қамтамасыз ету пайдаланылады). Мәтіннің өзіндік ерекшелігі **кемінде 75%** болуы керек. Мақалалардағы өзін-өзі сілтеме жасау үлесі 15%-дан аспауы керек. Түпнұсқалықтың қажетті пайызын алмаған мақала авторға пысықтауға жіберіледі. Бірінші және екінші тексерулер тегін, үшінші тексеру – 2000 теңге. Үшінші тексеруден кейін теріс нәтиже алынған жағдайда, мақала журналға жариялауға жіберілмейді.

Мақаланы рәсімдеу үлгісі

ҒТАХА: 32.61.11

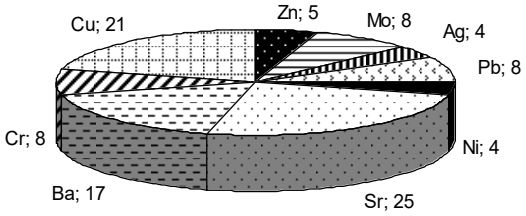
М.А. Смагулов[1*], С.А. Зайцев[2], М.М. Искакова[1], А.К. Каримов[3]
[1]Шәкәрім университеті,
071412, Қазақстан Республикасы, Семей қ., Глинка к-сі, 20 А
071412, Республика Казахстан, г. Семей, ул. Глинки, 20 А
[2]Мәскеу мемлекеттік университеті,
119991, Ресей Федерациясы, Мәскеу, Ленин таулары, 1-үй
[3]әл-Фараби атындағы Қазақ ұлттық университеті,
050040, Қазақстан Республикасы, Алматы қ., Әл-Фараби даңғылы, 71
*e-mail: smagulov@mail.ru

АУЫР МЕТАЛДАРДЫҢ БИОГЕОХИМИЯЛЫҚ МИГРАЦИЯСЫ ЖӘНЕ ЖИНАҚТАЛУЫ

Аңдатпа*: Мақалада зерттеу нәтижелері келтірілген.....…*
Түйін сөздер: *қоршаған орта, биолог, табиғат,.....*

Кіріспе

Ландшафт компоненттерінің Биогеохимиялық қасиеттерін қалыптастыруда атмосфералық, су және биогендік көші-қон маңызды рөл атқарады. Барлық табиғи сулардың ішінде жауын-шашында айтарлықтай өзгерістер байқалады. Қардағы элементтердің шоғырлануы ауа температурасына, ластану көзіне қатысты жел бағытының бағытына, одан қашықтығына, жер бедеріне байланысты [1]. Жауын-шашынның химиялық құрамындағы айырмашылықтар ауа массаларының күрделі қозғалыстарына байланысты. 1-суретте су қоймаларының мұзындағы ауыр металдардың құрамы көрсетілген.



1 сурет – Москворецкий жүйесінің су қоймаларының мұзында ауыр металдар құрамының таралуы

Зерттеу әдістері

Мәтін……

Зерттеу нәтижелері

Жаңбыр сулары құрамы бойынша сульфатты-бикарбонатты- және сульфатты-хлоридті-кальцийлі. Атмосферада шаңның шоғырлануына байланысты олардың минералдануы жоғары. Ландшафттың аудан бірлігіне жауын-шашынға есептелген ауыр металдардың басымдылығы қармен салыстырғанда жаңбырда (Sr, Pb, Cr, Zn, Ni) анықталды (1-кесте).

1 кесте – Қар мен жаңбырдағы ауыр металдардың құрамы, кг/га

№	Ауыр металдар	Қар	Жауын
1	Pb	$0,5x10^{-6}$	$0,2x10^{-4}$
2	Cr	$0,4x10^{-6}$	$1,6x10^{-3}$
3	V	$8,5x10^{-5}$	–
*Ескертпе **			

Ғылыми нәтижелерді талқылау
Мәтін……

Қорытынды
Мәтін……

Әдебиеттер тізімі

1. Курмуков А.А. Леуомизиннің ангиопротекторлық және гиполипидемиялық белсенділігі / А.А. Курмуков. – Алматы: Бастау, 2007. – 148 б.
2. Хрусталева М.А. Табиғи және антропогендік ландшафт компоненттеріндегі ауыр металдардың биогеохимиялық көші-қоны және жинақталуы / М.А. Хрусталева // 3-ші Халықаралық ғылыми конференцияның ғылыми еңбектер жинағы. – Семей қ.: СМУ баспасы Шәкәрім, 2012. – 1 Том. – Б. 368-373.
3. .....

References

1. Kurmukov A.A. Leuomizinnің angioprotektorlyқ zhəne gipolipidemiyalyқ belsendiligi / A.A. Kurmukov. – Almaty: Bastau, 2007. – 148 b.
2. Khrustaleva M.A. Tabiғi zhəne antropogendik landshaft komponentterindegi auyr metaldardyң biogeokhimiyalyқ kөshi-қony zhəne zhinaқtaluy / M.A. Khrustaleva // 3-shi Khalyқaralyқ ғylymi konferentsiyanyң ғylymi eңbekter zhinaғy. – Semei қ.: SMU baspasy Shəkərim, 2012. – 1 Tom. – B. 368-373.
3. .....

М.А. Смагулов[1*], С.А. Зайцев[2], М.М. Искакова[1], А.К. Каримов[3]
[1]Шәкәрім университет,
071412, Республика Казахстан, г. Семей, ул. Глинки, 20 А
[2]Московский государственный университет,
119991, Российская Федерация, Москва, Ленинские горы, д. 1
[3]Казахский национальный университет имени аль-Фараби,
050040, Республика Казахстан, г. Алматы, пр. аль-Фараби, 71
[*]e-mail: smagulov@mail.ru

БИОГЕОХИМИЧЕСКАЯ МИГРАЦИЯ И АККУМУЛЯЦИЯ ТЯЖЕЛЫХ МЕТАЛЛОВ

Аннотация: *В статье приведены результаты исследования…….*
Ключевые слова: *среда, биолог, природа,…....*

M. Smagulov[1*], S. Zaitsev[2], M. Iskakov[1], A. Karimov[3]
[1]Shakarim University,
071412, Republic of Kazakhstan, Semey, 20 A Glinka Street
[2]Moscow State University, Moscow, Russia
119991, Russian Federation, Moscow, 1 Leninskie gory Street
[3]Al-Farabi Kazakh National University, Republic of Kazakhstan, Almaty
050040, Republic of Kazakhstan, Almaty, 71 Al-Farabi Avenue
*e-mail: smagulov@mail.ru

BIOGEOCHEMICAL MIGRATION AND ACCUMULATION HEAVY METALS

This article discusses the characteristics of the development of eco-geochemical changes in the biosphere. Analyzed discretely, and in particular the relationship of environmental, geochemical and ecological changes. We present the laws of development of ecological-geochemical changes in the biosphere…...
Key words:*…..*

Авторлар туралы мәліметтер

Максат Ануарбекович Смагулов* – техника ғылымдарының докторы, «Технологиялық жабдықтар және машина жасау» кафедрасының профессоры; Шәкәрім университеті, Қазақстан; e-mail: smagulov@mail.ru. ORCID: https://orcid.org/0000-0001-6369-3690.

Сергей Александрович Зайцев – «Физика және математика» кафедрасының физика-математика ғылымдарының кандидаты; Мәскеу мемлекеттік университеті, Ресей Федерациясы; e-mail: zaisev@mail.ru. ORCID: https://orcid.org/0000-0001-7057-0461.

Маржан Муратовна Искакова – «Технологиялық жабдықтар және машина жасау» кафедрасының докторанты; Шәкәрім университеті, Қазақстан; e-mail: iskakova@mail.ru. ORCID: https://orcid.org/0000-0002-4787-4966.

Айтбек Калиевич Каримов – «Автоматтандыру» кафедрасының аға оқытушысы; әл-Фараби атындағы Қазақ ұлттық университеті, Қазақстан; e-mail: karimov@mail.ru. ORCID: https://orcid.org/0000-0002-5378-2266.

Сведения об авторах

Максат Ануарбекович Смагулов* – доктор технических наук, профессор кафедры «Технологическое оборудование и машиностроение»; Шәкәрім университет, Республика Казахстан; e-mail: smagulov@mail.ru. ORCID: https://orcid.org/0000-0001-6369-3690.

Сергей Александрович Зайцев – кандидат физико-математически наук кафедры «Физика и математика»; Московский государственный университет, Российская Федерация; e-mail: zaisev@mail.ru. ORCID: https://orcid.org/0000-0001-7057-0461.

Маржан Муратовна – докторант кафедры «Технологическое оборудование и машиностроение»; Шәкәрім университет, Республика Казахстан; e-mail: iskakova@mail.ru. ORCID: https://orcid.org/0000-0002-4787-4966.

Айтбек Калиевич Каримов – старший преподаватель кафедры «Автоматизация»; Казахский национальный университет имени аль-Фараби, Республика Казахстан; e-mail: karimov@mail.ru. ORCID: https://orcid.org/0000-0002-5378-2266.

Information about the authors

Maksat Smagulov* – doctor of technical sciences, professor of the department «Technological equipment and mechanical engineering»; Shakarim University, Republic of Kazakhstan; e-mail: smagulov@mail.ru. ORCID: https://orcid.org/0000-0001-6369-3690.

Sergei Zaitsev – Candidate of Physical and Mathematical Sciences, Department of Physics and Mathematics; Moscow State University, Russian Federation; e-mail: zaisev@mail.ru. ORCID: https://orcid.org/0000-0001-7057-0461.

Marjan Iskakova – doctoral student of the department «Technological equipment and mechanical engineering»; Shakarim University, Republic of Kazakhstan; e-mail: iskakova@mail.ru. ORCID: https://orcid.org/0000-0002-4787-4966

Aitbek Karimov – senior teacher at the Department of Automation; Al-Farabi Kazakh National University, Republic of Kazakhstan; e-mail: karimov@mail.ru. ORCID: https://orcid.org/0000-0002-5378-2266

ПРАВИЛА ДЛЯ АВТОРОВ

Научная статья должна представлять собой текстовый материал начальных, промежуточных или окончательных результатов научного исследования, экспериментальной или аналитической деятельности, содержащий авторские разработки, выводы, рекомендации, ранее не опубликованные и обладающие новизной. К научной статье относится также работа, посвященная изучению и анализу ранее опубликованных научных результатов, связанных общей темой (обзорная статья), в которой приводятся обобщающие выводы и рекомендации.

В научный журнал «Вестник Университета Шакарима. Серия технические науки» принимаются рукописи на казахском, русском, английском языках.

Периодичность журнала – 1 раз в квартал (4 номера в год).

Статья подается в электронном формате (.doc, .docx, .rtf) посредством загрузки через функционал веб-сайта журнала tech.vestnik.shakarim.kz

Для работы с порталом необходимо зарегистрироваться на сайте tech.vestnik.shakarim.kz

Для публикации в журнал принимаются статьи по следующим направлениям:

- Автоматизация и информационные технологии
- Машиностроение и механика
- Пищевая инженерия и биотехнология
- Техническая физика и теплоэнергетика
- Химическая технология

Требования к оформлению материалов

Статья оформляется со следующими размерами полей: отступ от края листа – 2,0 см. Кегль шрифта – 11, межстрочный интервал – 1,0, гарнитура шрифта – Arial.

Структура научной статьи

Структура научной статьи должна включать следующие элементы:

- Индекс МРНТИ (международный рубрикатор научно-технической информации) – указывается с левого края страницы. Для присвоения статье индекса МРНТИ необходимо использовать сайт www.grnti.ru).
- Сведения об авторах – пишутся через строку по центру:
  - инициалы и фамилия автора(-ов) статьи (сначала инициалы, затем фамилия – А.К. Калиев), шрифт – полужирный;
  - место работы автора(-ов) – название вуза (организации), города, страны;
  - контактная информация (e-mail) автора-корреспондента.
- Название статьи (заголовок) – через строку, выделяется полужирным шрифтом, выравнивание по центру. Должно точно отражать содержание, быть кратким и лаконичным. Сокращение слов в заглавии не допускается.
- Аннотация – краткое изложение основной сути исследований, методов и объектов исследований, наиболее важных результатов, их значимость, научная и практическая ценность. Аннотация размещается через строку после названия статьи курсивом. Объем аннотации – 150-300 слов.
- Ключевые слова – предназначены для поиска статьи и определения ее предметной области. Количество ключевых слов – 5-8, оформляются курсивом.
- Основной текст статьи – через строку:
  - Введение – отражение актуальности;
  - Условия и методы исследования;
  - Результаты исследований;
  - Обсуждение научных результатов;
  - Заключение;
  - Список литературы – оформляется на языке написания статьи и на английском языке.
- Информация о финансировании (при наличии).

- В конце статьи приводятся инициалы и фамилия, ученая степень, звание, место работы автора(-ов); название вуза (организации), города, страны; контактная информация (e-mail) для каждого автора; заглавие (название) статьи; аннотация; ключевые слова на двух языках, отличимых от языка статьи (казахский/русский, английский).

Объем материалов, как правило, не должен быть менее 3 страниц и не более 8 страниц, включая текст, рисунки, таблицы.

Количество авторов не должно превышать **5 человек**.

Рисунки, карты, фотографии, таблицы, формулы рекомендуется выполнять с помощью компьютерной техники и размещать в статье по мере их упоминания. Порядковые номера рисунков обозначаются арабскими цифрами, название рисунка приводятся по центру под рисунком (Рисунок 1 – Название рисунка).

Таблицы отражаются в тексте статьи после первой ссылки или на следующей странице. Номер и название таблицы приводятся с левой стороны страницы (Таблица 1 – Название таблицы). В случае переноса таблицы на следующую страницу, столбцы нумеруются и на следующей странице с правой стороны указывается продолжение таблицы (Продолжение таблицы 1).

Порядок оформления литературы:

- литература располагается по мере упоминания в тексте;
- по тексту в квадратных скобках указывается порядковый номер работы, на которую дается ссылка;
- оформление литературы должно производиться в соответствии с требованиями ГОСТ 7.1-2003 «Библиографическая запись. Библиографическое описание. Общие требования и правила составления»;
- при оформлении пристатейной литературы приводить полный перечень авторов издания (без др.).

Примеры оформления списка литературы

1. Аксартов Р.М. Метод количественного определения леукомизина / Аксартов Р.М., М.И. Айзиков, С.А. Расулова // Вестник КазНУ. Сер. хим. – 2003. – Т.1., № 8. – С. 40-41.
2. Курмуков А.А. Ангиопротекторная и гиполипидемическая активность леуомизина / А.А. Курмуков. – Алматы: Бастау, 2007. – 148 с.
3. Абимульдина С.Т. Функционирование и развитие инфраструктуры сахарного производства / С.Т. Абимульдина, Г.Е. Сыдыкова, Л.А. Оразбаева // Инновация в аграрном секторе Казахстана: Матер. Междунар. конф. / КазНУ им. аль-Фараби. – Алматы, 2010. – С. 10-13.
4. Соколовский Д.В. Теория синтеза самоустанавливающихся кулачковых механизмов приводов [Электрон. ресурс] / Д.В. Соколовский. – 2006. – URL: http://bookchamber.kz/stst_2006.htm (дата обращения: 12.03.2009).

После представления автором статьи редакция журнала рассматривает поступившую работу в течение двух недель с целью проверки ее соответствия предъявляемым требованиям (антиплагиат, оформление, рецензирование и т.д.).

В случае положительного решения редакции журнала о принятии статьи, авторам направляется соответствующее сообщение для произведения оплаты публикации.

В случае несоответствия статьи требованиям журнала авторы будут извещены сообщением на электронную почту.

Редакция журнала самостоятельно направляет поступившую работу на рецензирование. В журнале применяется двойное слепое рецензирование (*Double-blind review*), то есть конфиденциально.

Редакция журнала осуществляет проверку статьи на наличие заимствований (используется лицензионное программное обеспечение). Оригинальность текста должна составлять **не менее 75%**. Доля самоцитирования в статьях не должна превышать 15%. Статья, не набравшая необходимый процент оригинальности, направляется автору на доработку. Первая и вторая проверки осуществляются бесплатно, третья проверка – 2000 тенге. В случае получения отрицательного результата после третьей проверки, статья не допускается к публикации в журнале.

Образец оформления статьи

МРНТИ: 32.61.11

М.А. Смагулов[1*], С.А. Зайцев[2], М.М. Искакова[1], А.К. Каримов[3]
[1]Шәкәрім университет,
071412, Республика Казахстан, г. Семей, ул. Глинки, 20 А
[2]Московский государственный университет,
119991, Российская Федерация, Москва, Ленинские горы, д. 1
[3]Казахский национальный университет имени аль-Фараби,
050040, Республика Казахстан, г. Алматы, пр. аль-Фараби, 71
[*]e-mail: smagulov@mail.ru

БИОГЕОХИМИЧЕСКАЯ МИГРАЦИЯ И АККУМУЛЯЦИЯ ТЯЖЕЛЫХ МЕТАЛЛОВ

Аннотация: *В статье приведены результаты исследования……*
Ключевые слова: *среда, биолог, природа,…....*

Введение

В формировании биогеохимических свойств компонентов ландшафта важную роль играет атмосферная, водная и биогенная миграция. Из всех природных вод наиболее заметные изменения наблюдаются в атмосферных осадках. Концентрация элементов в снеге зависит от температуры воздуха, направления розы ветров по отношению к источнику загрязнения, удаленности от него, рельефа местности [1]. Различия химического состава атмосферных осадков обусловлены сложными перемещениями воздушных масс. На рисунке 1 отображено содержание тяжелых металлов во льду водохранилищ.

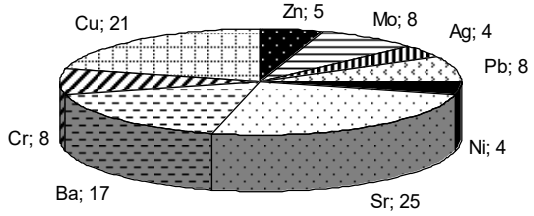


Рисунок 1 – Распределение содержания тяжелых металлов во льду водохранилищ Москворецкой системы

Методы исследования

Текст……

Результаты исследований

Дождевые воды по составу сульфатно-гидрокарбонатно- и сульфатно-хлоридно-кальциевые. Минерализация их выше за счет концентрации в атмосфере пыли. Выявлено преобладание тяжелых металлов, рассчитанных при выпадении на единицу площади ландшафта, в дожде (Sr, Pb, Cr, Zn, Ni) по сравнению со снегом (табл. 1).

Таблица 1 – Содержание тяжелых металлов в снеге и дожде, кг/га

№	Тяжелые металлы	Снег	Дождь
1	Pb	$0,5x10^{-6}$	$0,2x10^{-4}$
2	Cr	$0,4x10^{-6}$	$1,6x10^{-3}$
3	V	$8,5x10^{-5}$	–
*Примечание: **			

Обсуждение научных результатов

Текст……

Заключение

Текст……

Список литературы

1. Курмуков А.А. Ангиопротекторная и гиполипидемическая активность леуомизина / А.А. Курмуков. – Алматы: Бастау, 2007. – 148 с.
2. Хрусталева М.А. Биогеохимическая миграция и аккумуляция тяжелых металлов в компонентах природных и антропогенных ландшафтов / М.А. Хрусталева // Сборник трудов 3-й Международной научной конференции. – г. Семей: Изд-во СГУ им. Шакарима, 2012. – Том 1. – С. 368-373.

References

1. Kurmukov A.A. Angioprotektornaya i gipolipidemicheskaya aktivnost' leuomizina / A.A. Kurmukov. – Almaty: Bastau, 2007. – 148 s.
2. Khrustaleva M.A. Biogeokhimicheskaya migratsiya i akkumulyatsiya tyazhelykh metallov v komponentakh prirodnykh i antropogennykh landshaftov / M.A. Khrustaleva // Sbornik trudov 3-i Mezhdunarodnoi nauchnoi konferentsii. – g. Semei: Izd-vo SGU im. Shakarima, 2012. – Tom 1. – S. 368-373.

М.А. Смагулов[1*], С.А. Зайцев[2], М.М. Искакова[1], А.К. Каримов[3]
[1]Шәкәрім университеті,
071412, Қазақстан Республикасы, Семей қ., Глинки к-сі, 20 А
[2]Мәскеу мемлекеттік университеті,
119991, Ресей Федерациясы, Мәскеу, Ленин таулары, 1-үй
[3]Әл-Фараби атындағы Қазақ ұлттық университеті,
050040, Қазақстан Республикасы, Алматы қ., әл-Фараби даңғылы, 71
*e-mail: smagulov@mail.ru

АУЫР МЕТАЛДАРДЫҢ БИОГЕОХИМИЯЛЫҚ МИГРАЦИЯСЫ ЖӘНЕ ЖИНАҚТАЛУЫ

Бұл мақалада биосферадағы экологиялық-геохимиялық өзгерістердің даму сипаттамасы қаралады. Қоршаған геохимиялық және экологиялық-геохимиялық өзгерістердің әсерлері бөлек және жекеше талданды. Біз биосферадағы экологиялық-геохимиялық өзгерістердің дамуының заңдылығын ұсынамыз. .....

Түйін сөздер:*.....*

M. Smagulov[1*], S. Zaitsev[2], M. Iskakov[1], A. Karimov[3]
[1]Shakarim University,
071412, Republic of Kazakhstan, Semey, 20 A Glinka Street
[2]Moscow State University, Moscow, Russia
119991, Russian Federation, Moscow, 1 Leninskie gory Street
[3]Al-Farabi Kazakh National University, Republic of Kazakhstan, Almaty
050040, Republic of Kazakhstan, Almaty, 71 Al-Farabi Avenue
*e-mail: smagulov@mail.ru

BIOGEOCHEMICAL MIGRATION AND ACCUMULATION HEAVY METALS

This article discusses the characteristics of the development of eco-geochemical changes in the biosphere. Analyzed discretely, and in particular the relationship of environmental, geochemical and ecological changes. We present the laws of development of ecological-geochemical changes in the biosphere…...

Key words:*…..*

Сведения об авторах

Максат Ануарбекович Смагулов* – доктор технических наук, профессор кафедры «Технологическое оборудование и машиностроение»; Шәкәрім университет, Республика Казахстан; e-mail: smagulov@mail.ru. ORCID: https://orcid.org/0000-0001-6369-3690.

Сергей Александрович Зайцев – кандидат физико-математически наук кафедры «Физика и математика»; Московский государственный университет, Российская Федерация; e-mail: zaisev@mail.ru. ORCID: https://orcid.org/0000-0001-7057-0461.

Маржан Муратовна Искакова – докторант кафедры «Технологическое оборудование и машиностроение»; Шәкәрім университет, Республика Казахстан; e-mail: iskakova@mail.ru. ORCID: https://orcid.org/0000-0002-4787-4966.

Айтбек Калиевич Каримов – старший преподаватель кафедры «Автоматизация»; Казахский национальный университет имени аль-Фараби, Республика Казахстан; e-mail: karimov@mail.ru. ORCID: https://orcid.org/0000-0002-5378-2266.

Авторлар туралы мәліметтер

Максат Ануарбекович Смагулов* – техника ғылымдарының докторы, «Технологиялық жабдықтар және машина жасау» кафедрасының профессоры; Шәкәрім университеті, Қазақстан; e-mail: smagulov@mail.ru. ORCID: https://orcid.org/0000-0001-6369-3690.

Сергей Александрович Зайцев – «Физика және математика» кафедрасының физика-математика ғылымдарының кандидаты; Мәскеу мемлекеттік университеті, Ресей Федерациясы; e-mail: zaisev@mail.ru. ORCID: https://orcid.org/0000-0001-7057-0461.

Маржан Муратовна Искакова – «Технологиялық жабдықтар және машина жасау» кафедрасының докторанты; Шәкәрім университеті, Қазақстан; e-mail: iskakova@mail.ru. ORCID: https://orcid.org/0000-0002-4787-4966.

Айтбек Калиевич Каримов – «Автоматтандыру» кафедрасының аға оқытушысы; әл-Фараби атындағы Қазақ ұлттық университеті, Қазақстан; e-mail: karimov@mail.ru. ORCID: https://orcid.org/0000-0002-5378-2266.

Information about the authors

Maksat Smagulov* – doctor of technical sciences, professor of the department «Technological equipment and mechanical engineering»; Shakarim University, Republic of Kazakhstan; e-mail: smagulov@mail.ru. ORCID: https://orcid.org/0000-0001-6369-3690.

Sergei Zaitsev – Candidate of Physical and Mathematical Sciences, Department of Physics and Mathematics; Moscow State University, Russian Federation; e-mail: zaisev@mail.ru. ORCID: https://orcid.org/0000-0001-7057-0461.

Marjan Iskakova – doctoral student of the department «Technological equipment and mechanical engineering»; Shakarim University, Republic of Kazakhstan; e-mail: iskakova@mail.ru. ORCID: https://orcid.org/0000-0002-4787-4966

Aitbek Karimov – senior teacher at the Department of Automation; Al-Farabi Kazakh National University, Republic of Kazakhstan; e-mail: karimov@mail.ru. ORCID: https://orcid.org/0000-0002-5378-2266

RULES FOR AUTHORS

A scientific article should be a textual material of the initial, intermediate or final results of a scientific research, experimental or analytical activity, containing author's developments, conclusions, recommendations that have not been previously published and have novelty. A scientific article also includes a work devoted to the study and analysis of previously published scientific results related to a common theme (review article), which provides generalizing conclusions and recommendations.

In the scientific journal “Bulletin of Shakarim University”. Series of technical sciences” accepts manuscripts in Kazakh, Russian, English.

Periodicity of the journal – 1 time per quarter (4 issues per year).

The article is submitted in electronic format (.doc, .docx, .rtf) by downloading through the functionality of the journal website tech.vestnik.shakarim.kz

To work with the portal, you need to register on the site tech.vestnik.shakarim.kz

Articles in the following areas are accepted for publication in the journal:

- Automation and information technology
- Engineering and mechanics
- Food engineering and biotechnology
- Technical physics and Thermal power engineering
- Chemical Technology

Requirements for the formalization of materials

The article is drawn up with the following margins: indent from the edge of the sheet – 2.0 cm. Font size – 11, line spacing – 1.0, typeface – Arial.

Structure of a scientific article

• ISTIR index (international scientific and technical information rubric) – indicated from the left edge of the page. To assign an ISTIR index to an article, you need to use the site www.grnti.ru.

• Information about the authors – written on the next line in the center

– initials and surname of the author (s) of the article (first write the initials, then the surname – A. Kaliev), font selection – bold;

– place of work of the author(s) – the name of the university (organization), city, country;

– contact information (e-mail) of the corresponding author.

• Title of the article (title) – next line, highlighted in bold, center alignment. It should accurately reflect the content, be short and concise. Shortening of words in the title is not allowed.

• Annotation - a summary of the main essence of research, methods and objects of research, the most important results, their significance, scientific and practical value. The annotation is placed one line after the title of the article in italics. The volume of the abstract is 150-300 words.

• Keywords are designed to search for an article and determine its subject area. The number of keywords - 5-8, are written in italics.

• The main text of the article – through the line:

Introduction – a reflection of relevance;

– Conditions and methods of research;

– Research results;

– Discussion of scientific results;

– Conclusion;

– The list of references is drawn up in the language of writing the article and in English.

• Funding information (in the presence).

• At the end of the article, the initials and surname, academic degree, title, place of work of the author(s) are given; the name of the university (organization), city, country; contact information (e-mail) for each author; title (heading) of the article; annotation; keywords in two languages distinct from the language of the article (Kazakh/Russian, English).

The volume of materials, as a rule, should not be less than 3 pages and not more than 8 pages, including text, figures, tables.

The number of authors should not exceed **5 people**.

Drawings, maps, photographs, tables, formulas are recommended to be done using computer technology and placed in the article as they are mentioned. Sequential numbers of figures are indicated by Arabic numerals, the name of the figure is given in the center under the figure (Figure 1 – The title of the figure).

Tables are reflected in the text of the article after the first link or on the next page. The number and title of the table are given on the left side of the page (Table 1 – The title of the table). If the table is transferred to the next page, the columns are numbered and on the next page, on the right side, the continuation of the table is indicated (Continuation of table 1).

The order of registration of literature:

– literature is arranged as it is mentioned in the text;

– the text in square brackets indicates the serial number of the work to which the link is given;

– the design of the literature should be carried out in accordance with the requirements of GOST 7.1-2003 «Bibliographic record. Bibliographic description. General requirements and rules for drafting»;

– when preparing referenced literature, provide a complete list of the authors of the publication (without others).

Examples of designing a list of references

1. Aksartov R.M. Metod kolichestvennogo opredeleniya leukomizina / Aksartov R.M., M.I. Aizikov, S.A. Rasulova // Vestnik KaZNU. Ser. khim. – 2003. – T.1., № 8. – S. 40-41.
2. Kurmukov A.A. Angioprotektornaya i gipolipidemicheskaya aktivnost' leuomizina / A.A. Kurmukov. – Almaty: Bastau, 2007. – 148 s.
3. Abimul'dina S.T. Funktsionirovanie i razvitie infrastruktury sakharnogo proizvodstva / S.T. Abimul'dina, G.E. Sydykova, L.A. Orazbaeva // Innovatsiya v agrarnom sektore Kazakhstana: Mater. Mezhdunar. konf. / KaZNU im. al'-Farabi. – Almaty, 2010. – S. 10-13.
4. Sokolovskii D.V. Teoriya sinteza samoustanavlivayushchikhsya kulachkovykh mekhanizmov privodov [Ehlektron. resurs] / D.V. Sokolovskii. – 2006. – URL: http://bookchamber.kz/stst_ 2006.htm (data obrashcheniya: 12.03.2009).

After the submission of the article by the author, the editors of the journal review the submitted work within two weeks in order to check its compliance with the requirements (anti-plagiarism, design, review, etc.).

In case of a positive decision of the editorial board of the journal to accept the article, the authors are sent a corresponding message to pay for the publication.

In case of non-compliance of the article with the requirements of the journal, the authors will be notified by e-mail.

The editorial board of the journal independently sends the received work for review. The journal uses *double-blind review*, that is, it is confidential.

The editorial board of the journal checks the article for borrowings (licensed software is used). The originality of the text must be **at least 75%.** The share of self-citations in articles should not exceed 15%. An article that does not reach the required percentage of originality is sent to the author for revision. The first and second checks are free of charge, the third check is 2000 tenge. If a negative result is obtained after the third check, the article is not allowed for publication in the journal.

Sample design of the article

IRSTI: 32.61.11

M. Smagulov[1], S. Zaitsev[2], M. Iskakova[1], A. Karimov[3]
[1]Shakarim University
071412, Republic of Kazakhstan, Semey, 20 A, Glinki str.
[2]Moscow State University,
119991, Russian Federation, Moscow, Leninskiye Gory, 1, str.
[3]Kazakh al-Farabi National University
050040, Republic of Kazakhstan, Almaty, al-Farabi Ave., 71
*e-mail: smagulov@mail.ru

BIOGEOCHEMICAL MIGRATION AND ACCUMULATION HEAVY METALS

Annotation: *The article presents the results of the study……*
Key words: *environment, biologist, nature,…....*

Introduction

Atmospheric, water, and biogenic migration plays an important role in the formation of the biogeochemical properties of landscape components. Of all natural waters, the most noticeable changes are observed in precipitation. The concentration of elements in the snow depends on the air temperature, the direction of the wind rose in relation to the source of pollution, the distance from it, and the terrain [1]. Differences in the chemical composition of precipitation are due to complex movements of air masses. Figure 1 shows the content of heavy metals in the ice of reservoirs.

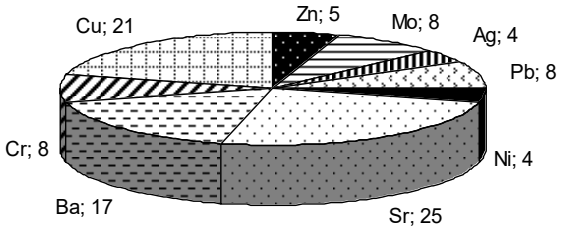


Figure 1 – Distribution of heavy metals in the ice of reservoirs of the Moskvoretskaya system

Research methods

Text……

Research results

Rain waters are sulfate-bicarbonate- and sulfate-chloride-calcium in composition. Their mineralization is higher due to the concentration of dust in the atmosphere. The predominance of heavy metals calculated for precipitation per unit area of the landscape was revealed in rain (Sr, Pb, Cr, Zn, Ni) compared to snow (Table 1).

Table 1 – Content of heavy metals in snow and rain, kg/ha

№	Heavy Metals	Snow	Rain
1	Pb	$0,5x10^{-6}$	$0,2x10^{-4}$
2	Cr	$0,4x10^{-6}$	$1,6x10^{-3}$
3	V	$8,5x10^{-5}$	–
*Note: **			

Discussion of scientific results

Text……

Conclusion

Text……

References

1. Kurmukov A.A. Angioprotektornaya i gipolipidemicheskaya aktivnost' leuomizina / A.A. Kurmukov. – Almaty: Bastau, 2007. – 148 s.
2. Khrustaleva M.A. Biogeokhimicheskaya migratsiya i akkumulyatsiya tyazhelykh metallov v komponentakh prirodnykh i antropogennykh landshaftov / M.A. Khrustaleva // Sbornik trudov 3-i Mezhdunarodnoi nauchnoi konferentsii. – g. Semei: Izd-vo SGU im. Shakarima, 2012. – Tom 1. – S. 368-373.
3. …

М.А. Смагулов[1*], С.А. Зайцев[2], М.М. Искакова[1], А.К. Каримов[3]
[1]Шәкәрім университеті,
071412, Қазақстан Республикасы, Семей қ., Глинки к-сі, 20 А
[2]Мәскеу мемлекеттік университеті,
119991, Ресей Федерациясы, Мәскеу, Ленин таулары, 1-үй
[3]Әл-Фараби атындағы Қазақ ұлттық университеті,
050040, Қазақстан Республикасы, Алматы қ., әл-Фараби даңғылы, 71
*e-mail: smagulov@mail.ru

АУЫР МЕТАЛДАРДЫҢ БИОГЕОХИМИЯЛЫҚ МИГРАЦИЯСЫ ЖӘНЕ ЖИНАҚТАЛУЫ

Бұл мақалада биосферадағы экологиялық-геохимиялық өзгерістердің даму сипаттамасы қаралады. Қоршаған геохимиялық және экологиялық-геохимиялық өзгерістердің әсерлері бөлек және жекеше талданды. Біз биосферадағы экологиялық-геохимиялық өзгерістердің дамуының заңдылығын ұсынамыз. .....

Түйін сөздер:*.....*

М.А. Смагулов[1*], С.А. Зайцев[2], М.М. Искакова[1], А.К. Каримов[3]
[1] Шәкәрім университет,
071412, Республика Казахстан, г. Семей, ул. Глинки, 20 А
[2]Московский государственный университет,
119991, Российская Федерация, Москва, Ленинские горы, д. 1
[3]Казахский национальный университет имени аль-Фараби,
050040, Республика Казахстан, г. Алматы, пр. аль-Фараби, 71
[*]e-mail: smagulov@mail.ru

БИОГЕОХИМИЧЕСКАЯ МИГРАЦИЯ И АККУМУЛЯЦИЯ ТЯЖЕЛЫХ МЕТАЛЛОВ

Аннотация: *В статье приведены результаты исследования……*
Ключевые слова: *среда, биолог, природа,…....*

Information about the authors

Maksat Smagulov* – doctor of technical sciences, professor of the department «Technological equipment and mechanical engineering»; Shakarim University, Republic of Kazakhstan; e-mail: smagulov@mail.ru. ORCID: https://orcid.org/0000-0001-6369-3690.

Sergei Zaitsev – Candidate of Physical and Mathematical Sciences, Department of Physics and Mathematics; Moscow State University, Russian Federation; e-mail: zaisev@mail.ru. ORCID: https://orcid.org/0000-0001-7057-0461.

Marjan Iskakova – doctoral student of the department «Technological equipment and mechanical engineering»; Shakarim University, Republic of Kazakhstan; e-mail: iskakova@mail.ru. ORCID: https://orcid.org/0000-0002-4787-4966

Aitbek Karimov – senior teacher at the Department of Automation; Al-Farabi Kazakh National University, Republic of Kazakhstan; e-mail: karimov@mail.ru. ORCID: https://orcid.org/0000-0002-5378-2266

Сведения об авторах

Максат Ануарбекович Смагулов* – доктор технических наук, профессор кафедры «Технологическое оборудование и машиностроение»; Шәкәрім университет, Республика Казахстан; e-mail: smagulov@mail.ru. ORCID: https://orcid.org/0000-0001-6369-3690.

Сергей Александрович Зайцев – кандидат физико-математически наук кафедры «Физика и математика»; Московский государственный университет, Российская Федерация; e-mail: zaisev@mail.ru. ORCID: https://orcid.org/0000-0001-7057-0461.

Маржан Муратовна Искакова – докторант кафедры «Технологическое оборудование и машиностроение»; Шәкәрім университет, Республика Казахстан; e-mail: iskakova@mail.ru. ORCID: https://orcid.org/0000-0002-4787-4966.

Айтбек Калиевич Каримов – старший преподаватель кафедры «Автоматизация»; Казахский национальный университет имени аль-Фараби, Республика Казахстан; e-mail: karimov@mail.ru. ORCID: https://orcid.org/0000-0002-5378-2266.

Авторлар туралы мәліметтер

Максат Ануарбекович Смагулов* – техника ғылымдарының докторы, «Технологиялық жабдықтар және машина жасау» кафедрасының профессоры; Шәкәрім университеті, Қазақстан; e-mail: smagulov@mail.ru. ORCID: https://orcid.org/0000-0001-6369-3690.

Сергей Александрович Зайцев – «Физика және математика» кафедрасының физика-математика ғылымдарының кандидаты; Мәскеу мемлекеттік университеті, Ресей Федерациясы; e-mail: zaisev@mail.ru. ORCID: https://orcid.org/0000-0001-7057-0461.

Маржан Муратовна Искакова – «Технологиялық жабдықтар және машина жасау» кафедрасының докторанты; Шәкәрім университеті, Қазақстан; e-mail: iskakova@mail.ru. ORCID: https://orcid.org/0000-0002-4787-4966.

Айтбек Калиевич Каримов – «Автоматтандыру» кафедрасының аға оқытушысы; әл-Фараби атындағы Қазақ ұлттық университеті, Қазақстан; e-mail: karimov@mail.ru. ORCID: https://orcid.org/0000-0002-5378-2266.

МАЗМҰНЫ – СОДЕРЖАНИЕ

АВТОМАТТАНДЫРУ ЖӘНЕ АҚПАРАТТЫҚ ТЕХНОЛОГИЯЛАР

АВТОМАТИЗАЦИЯ И ИНФОРМАЦИОННЫЕ ТЕХНОЛОГИИ

A.T. Bekbay, Zh.S. Bigaliyeva, V.K. Baityrganova, Zh.N. Alimbayeva, Zh.N. Issabekov
AUTOMATED CLASSIFICATION OF HEMODYNAMICALLY SIGNIFICANT ARRHYTHMIAS BASED ON ECG FEATURES…….. 6

С.С. Жусупбеков, Л.К. Абжанова, А.Сабырова, Е.С. Ким, Е.А. Оспанов
ТРЕХКОНТУРНАЯ КАСКАДНАЯ СИСТЕМА РЕГУЛИРОВАНИЯ ТЕПЛОЭНЕРГЕТИЧЕСКОЙ УСТАНОВКОЙ С АДАПТИВНОЙ НАСТРОЙКОЙ КОЭФФИЦИЕНТОВ PID РЕГУЛЯТОРА ……..... 13

О.С. Салыкова, А. А. Артыкбаева, А.М. Искакова, Л.И. Нурмагамбетова
НЕЙРОСЕТЕВЫЕ МЕТОДЫ АНАЛИЗА ТЕКСТОВЫХ ОТЗЫВОВ ОБУЧАЮЩИХСЯ: АРХИТЕКТУРА, ОБУЧЕНИЕ И ИНТЕРПРЕТАЦИЯ РЕЗУЛЬТАТОВ…… 24

К.П. Аман, А.А. Мусина
СРАВНИТЕЛЬНЫЙ АНАЛИЗ ПРОИЗВОДИТЕЛЬНОСТИ BGP И OSPF В МУЛЬТИУРОВНЕВЫХ АРХИТЕКТУРАХ…….. 31

B.Kh. Abdygalym, E. Adali, M.A. Sambetbayeva, Z.B. Sadirmekova, A.A. Nazymkhan
A CONCEPTUAL MODEL FOR ONTOLOGY-BASED DETECTION OF INFORMATION OPERATIONS IN DIGITAL MEDIA…….. 36

Ж.Е. Байғараева, А.К. Болтабоева, Б.Т. Иманбек, М.И. Кожамбердиева, Ж.Қ. Жолдыбаева
КОРОНАРЛЫҚ ЖҮРЕК АУРУЫН БОЛЖАУДА МАШИНАЛЫҚ ОҚЫТУ ӘДІСТЕРІНІҢ САЛЫСТЫРМАЛЫ ТАЛДАУЫ: UCI HEART DISEASE ДЕРЕКТЕР ЖИЫНЫ НЕГІЗІНДЕ..... 45

А.К. Шайханова, А.К. Токкулиева, И.М. Увалиева, К.Е. Мырзаханов, Б.Т. Смаилова
ПЕДАГОГТЕРДЕН БАСТАПҚЫ ДЕРЕКТЕРДІ ЖИНАУ НЕГІЗІНДЕ ЦИФРЛАНДЫРУДЫҢ БІЛІМ БЕРУ ТӘЖІРИБЕСІНЕ ӘСЕРІН БАҒАЛАУ..... 53

Z.K. Kaderkeyeva, A.S. Omarbekova, M. Milosz, Zh.S. Bigaliyeva, V.K. Baityrganova
USING ARTIFICIAL INTELLIGENCE TO ADAPT STUDENTS' LEARNING TRAJECTORIES…….. 65

Z.B. Mukhtarova, A.T. Zharkimbekova, B.T. Smailova
COMPARATIVE ANALYSIS OF AUDIT METHODS FOR INFORMATION SECURITY MANAGEMENT SYSTEMS IN KAZAKHSTAN AND OTHER COUNTRIES…… 73

Z.K. Kaderkeyeva, A.E. Nazyrova, G.T. Bekmanova, E. Tuleshov, M. Zhamuratova
DIGITAL EDUCATION AND ACADEMIC EXCELLENCE OF STUDENTS: DEVELOPMENT OF EDUCATION BETWEEN LEVELS…… 81

M.K. Ryspayeva, S.O. Salykova
EVALUATION OF STYLEGAN2 AND STYLEGAN3 FOR SYNTHETIC MEDICAL IMAGE GENERATION ON BUSI AND CBIS-DDSM DATASETS…….. 89

А.К. Шайханова, К.Е. Икласова, Г.И. Аймичева, Лили Нурлияна Абдулла, И.М. Увалиева
ИНТЕГРАЦИЯ ИННОВАЦИОННЫХ ЦИФРОВЫХ КОМПЕТЕНЦИЙ В ПЕДАГОГИЧЕСКУЮ ПРАКТИКУ: РАЗРАБОТКА И ВАЛИДАЦИЯ КАСКАДНОЙ МОДЕЛИ С ПРИМЕНЕНИЕМ AR И GENAI. 97

Т.К. Zhukabayeva, D.B. Baumuratova, L. Zholshiyeva, A. Karabay, K.A. Abdrakhmanov
DIGITAL TRANSFORMATION FOR SUSTAINABLE DEVELOPMENT OF HIGHER EDUCATION……. 106

П.М. Рахметова, Д.Д. Даулетия, А.Н. Ешмухаметов
РАЗРАБОТКА И ИССЛЕДОВАНИЕ СИСТЕМЫ ОБНАРУЖЕНИЯ И КОНТРОЛЯ ВНУТРИТРУБНЫХ ДЕФЕКТОВ…… 117

К.Б. Тусупова, Г.А. Мирзахмедова, А.Н. Шормакова
ПРИМЕНЕНИЕ МЕТОДОВ МАШИННОГО ОБУЧЕНИЯ ДЛЯ ПРОГНОЗИРОВАНИЯ И УПРАВЛЕНИЯ РЕСУРСАМИ НА ОСНОВЕ ИНТЕЛЛЕКТУАЛЬНОГО АНАЛИЗА ВРЕМЕННЫХ РЯДОВ…….. 123

М. Муратбеков, М. Жаканов, А. Құрманбай, Г. Шуйтенов
АНАЛИЗ И ВИЗУАЛИЗАЦИЯ ДАННЫХ СИСТЕМЫ ОНЛАЙН-ГОЛОСОВАНИЯ НА ОСНОВЕ ТЕХНОЛОГИИ БЛОКЧЕЙН С ИСПОЛЬЗОВАНИЕМ POWER BI…… 130

Н.Д. Бекен, А.С. Тергеусизова
GPS ЖӘНЕ ЖАСАНДЫ ИНТЕЛЛЕКТ КӨМЕГІМЕН ТОПЫРАҚ ҚҰРАМЫН КАРТАҒА ТҮСІРУГЕ АРНАЛҒАН ЖЫЛЖЫМАЛЫ КЕШЕН ӘЗІРЛЕУ..... 137

Д.С. Буданов, А.Ж. Тойғожинов
ЖАСАНДЫ ИНТЕЛЛЕКТТІ ҚОЛДАНА ОТЫРЫП СЕКСЕУІЛ ТҰҚЫМДАРЫН ЖИНАУДЫ АВТОМАТТАНДЫРУ..... 145

G. Abisheva, Sh. Razakhova, B. Smailova, T. Aidynov
MODERN METHODS FOR DETECTING RAILWAY TRACK DEFECTS…….. 156

А.В. Шапорева, А.М. Айтымова, О.Л. Копнова, К.Е. Икласова, Е.В. Шевчук
ОБЗОР ТРЕБОВАНИЙ К СОДЕРЖАНИЮ, UX/UI ДИЗАЙНУ И БЕЗОПАСНОСТИ ДЕТСКИХ ЭЛЕКТРОННЫХ ОБУЧАЮЩИХ ПРИЛОЖЕНИЙ..... 165

Б.К. Кенжалиев, С.Ж. Айбагаров, Н. Азатбекулы, А.А. Ультаракова
РАЗРАБОТКА ИНФОРМАЦИОННОЙ СИСТЕМЫ ДЛЯ МОДЕЛИРОВАНИЯ И АНАЛИЗА ГИДРОМЕТАЛЛУРГИЧЕСКОЙ ПЕРЕРАБОТКИ МОЛИБДЕНИТНЫХ КОНЦЕНТРАТОВ……. 179

Е.Ж. Кабдулкаримов, У.Т. Махажанова
МОДЕЛИРОВАНИЕ И ПРОГНОЗИРОВАНИЕ В ОБРАЗОВАТЕЛЬНЫХ ИНФОРМАЦИОННЫХ СИСТЕМАХ УСПЕВАЕМОСТИ СТУДЕНТОВ С ИСПОЛЬЗОВАНИЕМ МЕТОДОВ МАШИННОГО ОБУЧЕНИЯ…….. 186

А. Бидахметов, А.Золотов, А.Дворцевой, А. Карибжанова, Б. Наурузбаев
РЕАЛИЗАЦИЯ И ОЦЕНКА ЭФФЕКТИВНОСТИ АДАПТИВНОЙ BPM-СИСТЕМЫ ДЛЯ МСБ: КЕЙС-СТАДИ НА ОСНОВЕ ML И SERVERLESS С УЧЕТОМ КИБЕРБЕЗОПАСНОСТИ…….. 194

Г.Ж. Есенбекова, Қ.М. Райымқұл
МЕДИАӨНЕРДЕ ДЕРЕКТЕРДІ ВИЗУАЛИЗАЦИЯЛАУ ҮДЕРІСТЕРІН ЦИФРЛАНДЫРУ..... 203

D. Sultan, R. Abdrakhmanov, Esref Adali, T. Turymbetov, G. Bekeshova
DEEP LEARNING-BASED HATE SPEECH DETECTION IN KAZAKH: A HYBRID FRAMEWORK FOR ROBUST TEXT ANALYSIS…… 210

А.К. Майданов, Х. Джанболат, С.К. Атанов
ПОСТКВАНТОВАЯ КРИПТОГРАФИЯ SABER В ГИБРИДНОЙ АРХИТЕКТУРЕ CPU–FPGA…….. 220

Ж.Е. Байғараева, А.К. Болтабоева, Б.Т. Иманбек, М.И. Кожамбердиева, А.Б. Бектурганова
IOT ҚҰРЫЛҒЫСЫН ҚОЛДАНА ОТЫРЫП, ФОТОПЛЕТИЗМОГРАФИЯ НЕГІЗІНДЕГІ ЖҮРЕК СОҒУ ЖИІЛІГІ ВАРИАБЕЛЬДІГІН МАШИНАЛЫҚ ОҚЫТУ ӘДІСТЕРІМЕН ТАЛДАУ ЖӘНЕ ИШЕМИЯЛЫҚ ЖҮРЕК АУРУЫН ИНВАЗИВТІ ЕМЕС СКРИНИНГТЕУ..... 229

Б.А. Шырын, Т.А. Ahanger, А.К. Жумадиллаева, Г.Б. Бекешова
МНОГОЦЕЛЕВАЯ ЭВОЛЮЦИОННАЯ ОПТИМИЗАЦИЯ ПОЛИТИК БЕЗОПАСНОСТИ В ПРОГРАММНО-ОПРЕДЕЛЯЕМЫХ СЕТЯХ (SDN) С УЧЕТОМ ОГРАНИЧЕНИЙ TCAM И ЗАДЕРЖКИ. 238

МАШИНА ЖАСАУ ЖӘНЕ МЕХАНИКА

МАШИНОСТРОЕНИЕ И МЕХАНИКА

М.К. Шаяхметова, Б.А. Лобасенко, Г.Б. Абдилова, Н.К. Ибрагимов, Ә.С. Шенгельбаев
РАСЧЕТ ШНЕКА И ОБЛАСТЬ ПРИМЕНЕНИЯ…… 249

Е.А. Толекенов, Е.Я. Шаяхметов, Р.А. Советбаев, Г.М. Кудайбергенова
ПЕРСПЕКТИВЫ И КОНСТРУКТИВНОЕ ОБЕСПЕЧЕНИЕ НАКОПИТЕЛЕЙ ЭНЕРГИИ СЖАТОГО ВОЗДУХА (CAES)…… 255

V.N. Kots, K.D. Ormanbekov,**Zh. Turar**
TOPOLOGY OPTIMIZATION METHOD FOR IMPROVING THE MASS EFFICIENCY OF ALUMINUM BEAMS..... 261

С.К. Турусбеков, Ә.Ә. Раис, Г.М. Кудайбергенова, А. Кавалек
ВЛИЯНИЕ ЭЛЕКТРОЛИТНО-ПЛАЗМЕННОЙ ЗАКАЛКИ НА СТОЙКОСТЬ СТАЛЕЙ МАРКИ 45 И 65Г К АБРАЗИВНОМУ ИЗНАШИВАНИЮ…….. 267

ТАМАҚ ИНЖЕНЕРИЯСЫ ЖӘНЕ БИОТЕХНОЛОГИЯ

ПИЩЕВАЯ ИНЖЕНЕРИЯ И БИОТЕХНОЛОГИЯ

А.Е. Бепеева, Е.С. Жарыкбасов, С.С. Толеубекова, А.Т. Қабденова, Д.С. Свидерская
ТЕХНОЛОГИЯ ПРОИЗВОДСТВА ЙОГУРТА С БИОЛОГИЧЕСКИ АКТИВНЫМИ ДОБАВКАМИ РАСТИТЕЛЬНОГО ПРОИСХОЖДЕНИЯ…….. 273

S.E. Ibraimova[1*], A.N. Serikbaeva[1], G.Sh. Jumabekova[2], R.A. Izteliyeva[1], Sh.S. Amanova[1]
ENSURING MICROBIOLOGICAL SAFETY OF BREAD WITH THE ADDITION OF CRUSHED JUNIPER FRUIT..... 281

А.К. Базанова, А.К. Какимов, Н.К. Ибрагимов, М.М. Ташыбаева
ПРИМЕНЕНИЕ ПРИРОДНЫХ СОРБЕНТОВ В УСОВЕРШЕНСТВОВАННОЙ УСТАНОВКЕ ДЛЯ ОЧИСТКИ МОЛОКА ОТ ТОКСИЧНЫХ ЭЛЕМЕНТОВ..... 289

А.А. Макенова, С.Д.Мусаева, Ж.Б. Қалдыбекова, А.Ж. Айтбаева
ФЕРМЕНТАЦИЯ КЕЗІНДЕ VIGNA RADIATA L. «ЖАСЫЛ ДӘН» ТҰҚЫМДАРЫНЫҢ АМИНҚЫШҚЫЛДЫҚ ҚҰРАМЫ..... 298

Э.Ч. Базылханова, Ф.Т. Диханбаева, С.Ә. Карденов, А.С. Ергибаева, Р.Ф. Сейдгалиев
ТҮЙЕ СҮТІ НЕГІЗІНДЕ СҮТҚЫШҚЫЛДЫ СУСЫНДАРДЫҢ ТЕХНОЛОГИЯСЫН ӘЗІРЛЕУ ЖӘНЕ САПА КӨРСЕТКІШТЕРІН ЗЕРТТЕУ..... 305

Л.А.Мурат, Б.С. Шайменова, Д.К. Айтмухамбетов, Г.Х. Оспанкулова
БҰРШАҚ ЖӘНЕ ДӘНДІ ДАҚЫЛДАРДАН АЛЫНҒАН АҚУЫЗ ИЗОЛЯТТАРЫНЫҢ ФИЗИКА-ХИМИЯЛЫҚ ҚАСИЕТТЕРІ ЖӘНЕ ЕТ АЛМАСТЫРҒЫШТАР ӨНДІРІСІНДЕ ҚОЛДАНЫЛУЫ..... 314

С.Д. Мусаева, Г.Т. Туменова, С.Н. Туменов
СОЯ ИЗОЛЯТЫ МЕН ҚАРА БИДАЙ КЕБЕГІН ГЕРОДИЕТИКАЛЫҚ КОНДИТЕРЛІК ӨНІМДЕРДЕ ҚОЛДАНУ 322

Т.А. Мухамедов, Т.А. Байбатыров, Н.А. Еріш, Г.С. Сагитова, З.К. Молдахметова
ФОРМИРОВАНИЕ ВКУСА МЯСА В ПРОЦЕССЕ СОЗРЕВАНИЯ…….. 329

А.Д. Мыржыкбаева, А.Ж. Хастаева, В.С. Жамурова, Г.Т. Юсупова, С.С. Толеубекова
СҰЛЫ ДӘНІНІҢ ӘР ТҮРЛІ СОРТТАРЫНЫҢ АМИНҚЫШҚЫЛДАРЫ МЕН МАЙ ҚЫШҚЫЛДАРЫНЫҢ ҚҰРАМЫН САЛЫСТЫРМАЛЫ ЗЕРТТЕУ..... 342

С.Е. Аман, У.О. Тунгышбаева, А.К. Токтабаева, Р.К. Рахметуллаева, Ш.С. Аманова
ТҰРАҚТЫ ДАМУ МАҚСАТТАРЫ: ТАБИҒИ ПОЛИМЕРЛЕР НЕГІЗІНДЕГІ БИОЫДЫРАЙТЫН ҚАПТАМАЛАРДЫ ӘЗІРЛЕУ ЖӘНЕ ОЛАРДЫҢ АЗЫҚ-ТҮЛІК ӨНІМДЕРІН САҚТАУ ТИІМДІЛІГІНЕ ӘСЕРІН ЗЕРТТЕУ…….. 349

М.М. Джумажанова, А.К. Какимов, А.М. Муратбаев, Э.К. Окусханова, А.А. Даутова
БИОТЕХНОЛОГИЯЛЫҚ ПРОЦЕСТЕРДІ ҚАРҚЫНДАТУ ҮШІН ЖӘНЕ ҚҰС ЕТІНЕН ЖАСАЛҒАН ШИКІДЕЙ ҚАҚТАЛҒАН ӨНІМДЕРДІҢ САПАСЫН ЖАҚСАРТУ ҮШІН ИНГРЕДИЕНТТЕРДІ ТАҢДАУДЫ ТАЛДАУ ЖӘНЕ НЕГІЗДЕУ..... 359

Э.Б. Жаппарбергенова, Г.Б. Алпамысова
ИСПОЛЬЗОВАНИЕ БИОЛОГИЧЕСКИ АКТИВНЫХ КОМПОНЕНТОВ ШПИНАТА ОГОРОДНОГО В БИОТЕХНОЛОГИИ: СОВРЕМЕННЫЕ ТЕНДЕНЦИИ В ОБЛАСТИ СОЗДАНИЯ НАТУРАЛЬНОЙ РАСТИТЕЛЬНОЙ ПРОДУКЦИИ..... 368

Д.К. Дукенбаев, А.К. Какимов, А.К. Суйчинов, Ж.С. Есимбеков, Б.К. Кабдылжар
РАЗРАБОТКА МАЛОПРОИЗВОДИТЕЛЬНОЙ УСТАНОВКИ ДЛЯ СГУЩЕНИЯ И ПАСТЕРИЗАЦИИ ЖИДКИХ И ВЯЗКИХ ПИЩЕВЫХ ПРОДУКТОВ..... 379

Л.А. Мурат, Ә.Б. Қиықбай, Д.К. Айтмухамбетов, Г.Х. Оспанкулова
СОЯ ЖӘНЕ БҰРШАҚ АҚУЫЗ ИЗОЛЯТТАРЫНЫҢ ҚҰРЫЛЫМДЫҚ-ФУНКЦИОНАЛДЫҚ ҚАСИЕТТЕРІ 389

G.E. Orymbetova, E.M. Orymbetov, M.K.Kassymova, Z.I. Kobzhasarova, B.T. Yeshimbetova
DEVELOPMENT OF TECHNOLOGY FOR PRODUCING PASTA WITH ADDED PUMPKIN PUREE..... 395

Ф.Х. Смольникова, А.Д. Мұхаметқали, Э.К. Окусханова, А.С. Камбарова
ПРИМЕНЕНИЕ РАСТИТЕЛЬНЫХ КОМПОНЕНТОВ В ТЕХНОЛОГИИ МЯСНЫХ ИЗДЕЛИЙ ДЛЯ ПИТАНИЯ ПОЖИЛЫХ ЛЮДЕЙ..... 405

Ғ.Б. Төкен, А.М. Таева, Ж.Ж. Смаилова, З.Т. Сәрсенбаева
ӨСІМДІК АҚУЫЗДАРЫН ҚОЛДАНУ АРҚЫЛЫ ЕТТІ ПАШТЕТ ӨНІМДЕРІН ЖЕТІЛДІРУ..... 415

Б.С. Шайменова, С.А. Садуахасова, С.Г. Каманова, Lü Xin, Г.Х. Оспанкулова
ASPERGILLUS NIGER R5/4 ШТАММЫ НЕГІЗІНДЕ ЛИМОН ҚЫШҚЫЛЫНЫҢ ШЫҒЫМЫН АРТТЫРУ ҮШІН ОЗОНДАУ РЕЖИМДЕРІН ҚОЛДАНУ..... 424

Ш.С. Аманова, Р.У. Уажанова, У.О. Тунгышбаева, Р.А. Изтелиева, С.Е.Ибраимова
АЗЫҚ-ТҮЛІК ҚАУІПСІЗДІГІНІҢ ЖАҢА ТӘСІЛДЕРІ ЖӘНЕ ОЛАРДЫҢ САЛА ҮШІН МАҢЫЗДЫЛЫҒЫ (ШОЛУ)..... 432

А.М. Шуленова, А.Л. Касенов, М.Т. Мурсалыкова, М.М. Какимов, С.Н. Туменов
МАЙЛЫ ДАҚЫЛДАР КҮНЖАРАСЫН ПАЙДАЛАНУ АРҚЫЛЫ ЕТ ӨНІМДЕРІНІҢ САПАСЫН ЖАҚСАРТУ..... 440

Е.С. Жарыкбасов, Ж.Х. Какимова, К.С. Жарыкбасова, А.К. Какимов, А.Е. Бепеева
СРАВНИТЕЛЬНЫЙ АНАЛИЗ МЕТОДОВ ВЫДЕЛЕНИЯ ПОСТБИОТИКОВ И ОПРЕДЕЛЕНИЕ ВЫХОДА ПРЕПАРАТОВ ИЗ ШТАММОВ МИКРООРГАНИЗМОВ..... 448

A.E. Daniyarova, K.S. Bekbayev, A. Toleugazykyzy, Zh. Kalibekkyzy, K.P. Moldakashev
INHIBITORS OF LIGNOCELLULOSIC BIOMASS: MECHANISMS OF ACTION AND IMPACT ON THE EFFICIENCY OF BIOLOGICAL HYDROGEN PRODUCTION (REVIEW)..... 455

А.О. Майжанова, К.Ж. Амирханов, Г.Н. Нұрымхан, Ш. . Жакупбекова, А.А. Даутова
ИССЛЕДОВАНИЕ ПИЩЕВОЙ И БИОЛОГИЧЕСКОЙ ЦЕННОСТЕЙ КОМПОЗИТНОЙ МУКИ ИЗ ЛЬНЯНОГО И КОНОПЛЯНОГО ЖМЫХА..... 466

А.У. Шингисов, Б.М. Хамитова, С.У. Еркебаева, М.А. Турлыбек
ИССЛЕДОВАНИЕ ХИМИЧЕСКОГО И МИНЕРАЛЬНОГО СОСТАВА ПШЕНИЧНОЙ СОЛОМЫ КАК СЫРЬЯ ДЛЯ ПОЛУЧЕНИЯ ЦЕЛЛЮЛОЗЫ..... 473

А.М. Спанова, А.Н. Нургазезова, М.Б. Ребезов, Ж.М. Атамбаева, А.К. Зарлыкканова
СҮТОШАҒАН КҮНЖАРАСЫ МЕН СЫҒЫНДЫСЫН (ЭКСТРАКТ) ТАМАҚ ӨНЕРКӘСІБІНДЕ ҚОЛДАНУ 481

U.O. Tungyshbayeva, A.M. Amirgalinova, A.A. Zhanbolat
EFFECT OF CRITICAL CONTROL POINTS ON MICROBIOLOGICAL SAFETY AND ORGANOLEPTIC CHARACTERISTICS OF «PHILADELPHIA» SUSHI..... 487

З.В. Капшакбаева, Ж. Калибеккызы, А.О. Утегенова, К. М. Омарова
ВЫДЕЛЕНИЕ И КОМПЛЕКСНАЯ ХАРАКТЕРИСТИКА АВТОХТОННОЙ МИКРОФЛОРЫ КУМЫСА И ШУБАТА С ПЕРСПЕКТИВОЙ ИСПОЛЬЗОВАНИЯ В ЗАКВАСОЧНОЙ КУЛЬТУРЕ ДЛЯ ПРОИЗВОДСТВА МОЛОЧНЫХ ПРОДУКТОВ…….. 497

Д.С. Свидерская, **Е.Ф. Краснопёрова, А.М. Шуленова, А.Б. Шуакбаева**
ИССЛЕДОВАНИЕ ВЛИЯНИЯ ПЕКТИНОВЫХ ВЕЩЕСТВ ДИКОРАСТУЩИХ ПЛОДОВ И ЯГОД НА РЕОЛОГИЧЕСКИЕ СВОЙСТВА МОРОЖЕНОГО…… 504

Т.Д. Икомбаев, А.Б. Омарова, Г.Т. Касенова, С.А. Шарипова, А. Оразбек
ОПТИМИЗАЦИЯ И УСОВЕРШЕНСТВОВАНИЕ ТЕХНОЛОГИИ ПРОИЗВОДСТВА МЯГКОГО ТВОРОГА ИЗ КОЗЬЕГО МОЛОКА С ИСПОЛЬЗОВАНИЕМ НИЗКОКИСЛОТОПРОДУЦИРУЮЩИХ ПРОБИОТИЧЕСКИХ БАКТЕРИЙ..... 512

А.С. Шаяхметова, Д.Е. Иль, Ф.К. Муканова, Ч. Цзян, Е.Е. Ермеков
ОЦЕНКА КАЧЕСТВА КОРМОВ И БИОХИМИЧЕСКИХ ПОКАЗАТЕЛЕЙ КРОВИ МОЛОЧНЫХ КОРОВ…… 523

ТЕХНИКАЛЫҚ ФИЗИКА ЖӘНЕ ЖЫЛУЭНЕРГЕТИКАСЫ

ТЕХНИЧЕСКАЯ ФИЗИКА И ТЕПЛОЭНЕРГЕТИКА

A.R. Khazhidinova, A.S. Khazhidinov, O.A. Stepanova, T.N. Umyrzhan, Zh.K. Aldazhumanov
STUDY OF A DIRECT INJECTION PULVERIZING SYSTEM FOR INDIVIDUAL BOILER SUPPLY…… 531

M. Skakov, N. Mukhamedova, A. Nassyrova
THE INFLUENCE OF MECHANICAL ACTIVATION ON THE STRUCTURAL-PHASE STATES AND HYDROGEN ABSORPTION PROPERTIES OF THE INTERMETALLIC COMPOUND $LANI_5$ – REVIEW.. 538

A. Adylkanova, A. Kassymov, A. Bektemissov, T. Umyrzhan, A. Gradoboev
EFFECT OF NANOPARTICLES ON THE COUPLING OF TURBULENCE AND HEAT TRANSFER IN PIPE FLOWS WITH HEAT FLUX..... 551

A.R. Khazhidinova, A.S. Khazhidinov, O.A. Stepanova, T.N. Umyrzhan
STUDY ON THE GRINDING EFFICIENCY OF NON-DESIGN KARAZHYRA COAL IN BALL DRUM AND HAMMER MILLS..... 558

M. Yermolenko, D. Nurgaliyev, S. Elistratov, A. Satybaldinova, A.Karnakova
INVESTIGATION OF THE DYNAMICS OF THE RESPONSE OF THE REFRIGERATION SYSTEM UNDER CONDITIONS OF SEVERE HEAT EXPOSURE..... 564

ХИМИЯЛЫҚ ТЕХНОЛОГИЯ

ХИМИЧЕСКАЯ ТЕХНОЛОГИЯ

А.А. Мынбаева, А.Аманжолкызы, Ш.Н. Жумагалиева, Ж.А. Абилов
КОМПОЗИЦИОННЫЕ МАТЕРИАЛЫ НА ОСНОВЕ ПРОИЗВОДНЫХ ЦЕЛЛЮЛОЗЫ: ПЕРСПЕКТИВЫ В ЛЕЧЕНИИ ТРОФИЧЕСКИХ ЯЗВ..... 573

А.К. Кайракбаев, М.Б. Алиев, Ж.Б. Тукашев
СОВРЕМЕННЫЕ ТЕХНОЛОГИИ ЭФФЕКТИВНОГО ПРИМЕНЕНИЯ САМОРАСПАДАЮЩИХСЯ ШЛАКОВ ОТ ПРОИЗВОДСТВА НИЗКОУГЛЕРОДИСТОГО ФЕРРОХРОМА…… 587

А. Кливенко, А. Касымов, Е. Евлампиева, Д. Шабдарбаева, А. Дюсупов
ОЦЕНКА КАЧЕСТВА ПИТЬЕВОЙ ВОДЫ В СЕЛАХ ИЗ ЗОНЫ ЧРЕЗВЫЧАЙНОГО И МАКСИМАЛЬНОГО РАДИАЦИОННОГО РИСКОВ ОБЛАСТИ АБАЙ…… 598

А. Мәуліт, З.А. Сатбаева, Р.С. Кожанова, Д.Р. Байжан, А.С. Рүстемов
12Х18Н10Т АУСТЕНИТТІ-ТОТ БАСПАЙТЫН БОЛАТТАН ЭЛЕКТРОЛИТТІ-ПЛАЗМАЛЫҚ АЗОТТАУДЫ ЗЕРТТЕУ…… 606

A.Z. Mutushev, A.B. Seisenova, O.S. Kapizov, D.K. Mukhanov, J.M. Gonzalez-Leal
PROCESSING OF AGRICULTURAL AND FOOD BIOWASTE BY PYROLYSIS: COMPOSITION, PREPARATION, AND APPLICATION PROSPECTS…… 615

В.Ю. Тюканько, Р.А. Тарунин, В.А. Воропаева, Р.Р. Алпысов*, А.М. Умарова
ИЗУЧЕНИЕ ТЕРМОДЕСТРУКЦИИ РОТАЦИОННЫХ КОМПОЗИТОВ В ПРОЦЕССЕ РЕЦИКЛИНГА ПУТЕМ ИССЛЕДОВАНИЯ ГИДРОФОБНОСТИ ИХ ПОВЕРХНОСТЕЙ…… 624

Э.Т. Ермолдина, Е.Ю. Степанова, А.С. Зенина, Ж.Ж. Жумабекова, А.Н Оразалиева*
ВЛИЯНИЕ КОНЦЕНТРАЦИЙ УГЛЕВОДОРОДНОГО РАКЕТНОГО ТОПЛИВА НА РОСТ И МОРФОФИЗИОЛОГИЧЕСКИЕ ПОКАЗАТЕЛИ РЕДИСА В УСЛОВИЯХ ВЕГЕТАЦИОННОГО ОПЫТА. 634

А.А. Каныкешова, И.О. Сапаргалиұ, Л.Н. Сеймуханова, К.С. Бексейтова, С. Азат
ОЧИСТКА ВОД, ЗАГРЯЗНЁННЫХ РАДИОАКТИВНЫМ ЙОДОМ, С ИСПОЛЬЗОВАНИЕМ ПРИРОДНОГО И МОДИФИЦИРОВАННОГО ЦЕОЛИТА..... 645

Б.Т. Ғылымханов, А.Ж. Кожанова, А.А. Амитова, М.А. Елубай, Г.С. Айткалиева
ГЕОПОЛИМЕРЫ НА ОСНОВЕ АЛЮМОСИЛИКАТНОГО СЫРЬЯ: МЕХАНИЗМЫ, СЫРЬЕВЫЕ ИСТОЧНИКИ И ПЕРСПЕКТИВЫ ПРИМЕНЕНИЯ…… 654

М.К. Кабулова,Т.Қ. Джумадилов, Ж.Қ. Қорғанбаева, Ю.В. Гразулявичус
МОДИФИКАЦИЯЛАНҒАН ИНТЕРПОЛИМЕРЛІ ЖҮЙЕЛЕРДІҢ НЕОДИМ ИОНДАРЫН СОРБЦИЯЛАУ ЕРЕКШЕЛІКТЕРІ..... 665

АВТОРЛАРҒА АРНАЛҒАН ЕРЕЖЕ..... 675

ПРАВИЛА ДЛЯ АВТОРОВ..... 680

RULES FOR AUTHORS..... 685

Басуға жіберілген күні 26.12.2025 ж. Пішімі 60х84 1/8
Шартты баспа табағы 43,4
Таралымы 100 дана. Бағасы келісімді.

Техникалық редакторы: Е.П. Евлампиева, З.Т. Семейская
Безендіруші: С.Т. Мырзабеков

Журнал Қазақстан Республикасы Ақпарат және қоғамдық даму министрлігінің
Ақпарат комитетінде тіркелген
Есепке қою туралы куәлік № KZ93VPY00033663 19.03.2021 ж.

Жылына 4 рет шығады

Құрылтайшысы: «Шәкәрім университеті»
коммерциялық емес акционерлік қоғам

Шәкәрім университетінің
баспаханасында басылды

Редакцияның мекен-жайы: 071412, Абай облысы,
Семей қаласы, ул. Глинки, 20 А
Тел.: +7 (7222) 31-32-49, эл.почта: rio@shakarim.kz